




SOUŘADNICOVÝ SYSTÉM S-JTSK, VÝŠKOVÝ SYSTÉM Bpv , ±0,000=214,020 m, Bpv

OBJEDNATEL:  STATUTÁRNÍ MĚSTO OSTRAVA PROKEŠOVO NÁMĚSTÍ 8 729 30 OSTRAVA		ZHOTOVITEL:  AFRY CZ s.r.o. MAGISTRŮ 1275/13 140 00 PRAHA 4 tel.: +420 277 005 500 www.afry.cz		
HLAVNÍ INŽENÝR PROJEKTU:  Ing. DAVID NOVÁK	ZODPOVĚDNÝ PROJEKTANT: Ing. Pavel Čmiel	VYPRACOVAL: Ing. Jakub Šotkovský	KONTROLOVAL: Ing. Pavel Čmiel	
NÁZEV PROJEKTU: REVITALIZACE NÁMĚSTÍ REPUBLIKY				
ČÁST:	DOKUMENTACE OBJEKTŮ			
STAVEBNÍ OBJEKT:	SO 601, SO 602.2, SO603.1			
PŘÍLOHA:	TECHNICKÁ ZPRÁVA, STATICKÉ POSOUZENÍ			
KRAJ:	MORAVSKOSLEZSKÝ	ČÁST:	PŘÍLOHA Č.:	CÍSLO PARE:
DATUM:	11/2024	D.5.2664		
STUPEŇ:	PDPS	Stavebně-konstrukční část	TZ + SP	
MĚŘÍTKO:				
Č. ZAKÁZKY:	2022/0144			

	Akce: STATICKÝ POSUDEK – REVITALIZACE NÁMĚSTÍ REPUBLIKY Objekt: SO 664 Stupeň: DPS
kpstatika	Počet stran: 26 24-026-002 Strana: 2

D.1.2. – STAVEBNĚ KONSTRUKČNÍ ŘEŠENÍ
D.1.2.C STATICKÉ POSOUZENÍ
D.1.2.A TECHNICKÁ ZPRÁVA
D.1.2.B VÝKRESOVÁ ČÁST

POSUDEK JE VYHOTOVEN V PODROBNOSTI PRO PROVEDENÍ STAVBY.
ČÁST STAVEBNĚ KONSTRUKČNÍ ŘEŠENÍ ZAHRNÚJE NÁVRH A POSOUZENÍ OCELOVÉ KONSTRUKCE PŘÍSTŘEŠKŮ A DÁLE NÁVRH ZÁKLADOVÝCH ŽELEZOBETONOVÝCH PATEK.

NA OCELOVÉ A ŽELEZOBETONOVÉ KONSTRUKCE JE NUTNO ZPRACOVAT VÝROBNÍ DOKUMENTACI.

OBSAH

1. STATICKÉ POSOUZENÍ D.1.2.C	4
1.1. SEZNAM POUŽITÉ LITERATURY	4
1.2. PODMÍNKY VÝPOČTU	5
1.3. PODKLADY	5
1.4. ZATÍŽENÍ KONSTRUKCE	6
1.5. OCELOVÁ KONSTRUKCE SO 664.....	6
1.5.1 KRAJNÍ ČÁST - MODULOVÉ OSY A1 AŽ A14	6
1.5.2 STŘEDOVÁ ČÁST - MODULOVÉ OSY B1 AŽ B33	7
1.5.3 KONCOVÁ ČÁST - MODULOVÉ OSY C1 AŽ C8	9
1.6. NÁVRH A POSOUZENÍ VYBRANÝCH STYČNÍKŮ KONSTRUKCE	11
1.7. ZÁKLADOVÉ ŽELEZOBETONOVÉ PATKY.....	14
1.8. ZÁKLADOVÝ PRÁH NA STÁVAJÍCÍ ŽELEZOBETONOVÉ STĚNĚ	18
1.9. ZÁVĚR	19
2. TECHNICKÁ ZPRÁVA D.1.2.A	19
2.1. SEZNAM POUŽITÉ LITERATURY	19
2.2. POPIS KONSTRUKCE	20
2.3. ZATÍŽENÍ	20
2.4. VÝROBA A MONTÁŽ.....	20
2.5. MATERIÁL OCELOVÉ KONSTRUKCE.....	21
2.6. PROTIPOŽÁRNÍ OCHRANA	21
2.7. OCHRANA PROTI KOROZI	21
2.8. KOTVENÍ OCELOVÉ KONSTRUKCE	22
2.9. ZEMNĚNÍ NOSNÉ KONSTRUKCE	22
2.10. OPLÁŠTĚNÍ	22
2.11. KVALITA ŽELEZOBETONOVÝCH KONSTRUKCÍ	22
2.12. BEZPEČNOST PRÁCE A DALŠÍ OPATŘENÍ	23
2.13. PÉČE O ŽIVOTNÍ PROSTŘEDÍ	24
2.14. PLÁN KONTROLY SPOLEHLIVOST.....	24
2.15. ZÁVĚR	25
3. PŘÍLOHY	26
3.1. ZATÍŽENÍ KONSTRUKCE	26
3.2. STATICKÝ VÝPOČET – SO 664 - KRAJNÍ ČÁST - MODULOVÉ OSY A1 AŽ A14	26
3.3. STATICKÝ VÝPOČET – SO 664 - STŘEDOVÁ ČÁST - MODULOVÉ OSY B1 AŽ B33	26
3.4. STATICKÝ VÝPOČET – SO 664 - KONCOVÁ ČÁST - MODULOVÉ OSY C1 AŽ C8.....	26
3.5. STATICKÝ VÝPOČET – KOTVENÍ SLOUPU RHS 200*120*8 NA MONOLITICKÉ STĚNY PODĚL TRAVELÁTORU	26
3.6. STATICKÝ VÝPOČET – KOTVENÍ SLOUPU OSA B1-B3, B31-B33 – OSA 1	26
3.7. STATICKÝ VÝPOČET – KOTVENÍ SLOUPU OSA B4-B30 – OSA 1	26
3.8. STATICKÝ VÝPOČET – KOTVENÍ SLOUPU OSA B1 AŽ B33 – OSA 5.....	26
3.9. STATICKÝ VÝPOČET – KOTVENÍ SLOUPU CHS 168,3*8 – OSA B1 AŽ B33-OSA 4	26
3.10. STATICKÝ VÝPOČET – STYČNÍK SLOUP CHS 168,3*8 – PŘÍČEL OSY B1 AŽ B33	26
3.11. STATICKÝ VÝPOČET – ZÁKLADOVÉ PATKY A.5 (MODULOVÁ OSA A2-A14 - OSA5).....	26
3.12. STATICKÝ VÝPOČET - ZÁKLADOVÉ PATKY B.1.1	26
3.13. STATICKÝ VÝPOČET – ZÁKLADOVÉ PATKY B.1.2	26
3.14. STATICKÝ VÝPOČET – ZÁKLADOVÉ PATKY B.4.1	26

	Akce: STATICKÝ POSUDEK – REVITALIZACE NÁMĚSTÍ REPUBLIKY Objekt: SO 664 Stupeň: DPS		
kpstatika	Počet stran: 26	24-026-002	Strana: 3

3.15. STATICKÝ VÝPOČET – ZÁKLADOVÉ PATKY B.4.2	26
3.16. STATICKÝ VÝPOČET – ZÁKLADOVÉ PATKY B.5.2	26
3.17. STATICKÝ VÝPOČET – ZÁKLADOVÉ PATKY B.5.1	26
3.18. STATICKÝ VÝPOČET – ZÁKLADOVÉ PATKY C.1	26
3.19. STATICKÝ VÝPOČET – ZÁKLADOVÉ PATKY C.4	26
3.20. STATICKÝ VÝPOČET – ZÁKLADOVÉ PATKY C.5	26
3.21. VÝKRESOVÁ ČÁST: VÝKRES 01-07.....	26

	Akce: STATICKÝ POSUDEK – REVITALIZACE NÁMĚSTÍ REPUBLIKY Objekt: SO 664 Stupeň: DPS
kpstatika	Počet stran: 26
	24-026-002
	Strana: 4

1. STATICKÉ POSOUZENÍ D.1.2.C

1.1. SEZNAM POUŽITÉ LITERATURY

ZATÍŽENÍ STAVEBNÍCH KONSTRUKCÍ

ČSN EN 1991-1-1	Zatížení kci- Obecná zatížení- Objemové tíhy
ČSN EN 1991-1-3	Zatížení kci- Obecná zatížení- Zatížení sněhem, včetně změny Z1
ČSN EN 1991-1-4	Zatížení kci- Obecná zatížení- Zatížení větrem
ČSN EN 1991-1-7	Zatížení kci- Obecná zatížení- Mimořádná zatížení
ČSN EN 10027-1	Systém označování ocelí- Stavba značek ocelí

NAVRHOVÁNÍ DŘEVĚNÝCH KONSTRUKCÍ

ČSN EN 1995-1-1	Navrhování dřevěných konstrukcí - Část 1-1: Obecná pravidla - Společná pravidla a pravidla pro pozemní stavby
-----------------	---

Petr Kuklík, Anna Kuklíková – NAVRHOVÁNÍ DŘEVĚNÝCH KONSTRUKCÍ PŘÍRUČKA K ČSN EN 1995-1

NAVRHOVÁNÍ OCELOVÝCH KONSTRUKCÍ

ČSN EN 1993-1-1	Navrhování ocelových kci- Obecná pravidla pro pozemní stavby
ČSN EN 1993-1-2	Navrhování ocelových kci- Navrhování konstrukcí na účinky požáru
ČSN EN 1993-1-8	Navrhování ocelových kci- Navrhování styčníky
ČSN EN 1090-1	Provádění ocelových kci a hliníkových kci, část 1: Požadavky na posouzení shody konstrukčních dílců
ČSN EN 1090-2	Provádění ocelových konstrukcí a hliníkových konstrukcí - Část 2: Technické požadavky na ocelové konstrukce
ČSN 73 2611	Úchytky rozměrů a tvarů ocelových konstrukcí vč změny A, B, 3, 4, a Z5
ČSN 73 2604	Kontrola a údržba ocelových konstrukcí pozemní a inženýrských staveb
ČSN EN ISO 12944-5	Nátěrové hmoty- Protikorozní ochrana ocelových konstrukcí ochrannými nátěrovými systémy, část 5 Ochranné nátěrové systémy

NAVRHOVÁNÍ GEOTECHNICKÝCH KONSTRUKCÍ

ČSN EN 1997-1	Navrhování geotechnických konstrukcí – Část 1 : Obecná pravidla
---------------	---

NAVRHOVÁNÍ BETONOVÝCH KONSTRUKCÍ

ČSN EN 1992-1-1 Eurokód 2:	Navrhování betonových konstrukcí. Část 1-1: Obecná pravidla a pravidla pro pozemní stavby
----------------------------	---

Beton - technologie

ČSN EN 206-1	Beton – Část 1: Specifikace, vlastnosti, výroba a shoda
ČSN EN 13670	Provádění betonových konstrukcí
ČSN 73 0202	Geometrická přesnost ve výstavbě. Základní ustanovení
ČSN 42 0139	Ocel pro výztuž do betonu - Svařitelná žebírková betonářská ocel - Všeobecně
ČSN 73 0210-1	Geometrická přesnost ve výstavbě. Podmínky provádění. Část 1: Přesnost osazení
ČSN 73 0212-1	Geometrická přesnost ve výstavbě. Kontrola přesnosti. Část 1: Základní ustanovení
ČSN 73 0212-3	Geometrická přesnost ve výstavbě. Kontrola přesnosti. Část 3: Pozemní stavební objekty
ČSN 73 6180	Hmoty pro ošetřování povrchu čerstvého betonu

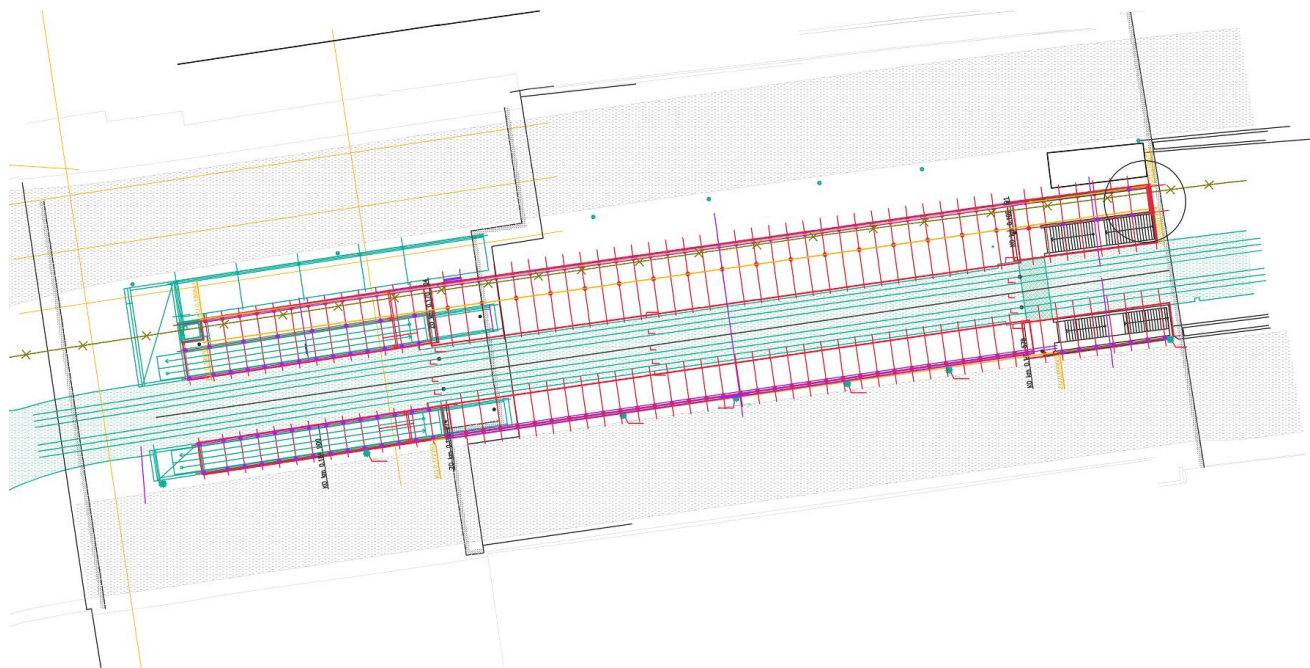
	Akce: STATICKÝ POSUDEK – REVITALIZACE NÁMĚSTÍ REPUBLIKY Objekt: SO 664 Stupeň: DPS		
kpstatika	Počet stran: 26	24-026-002	Strana: 5

1.2. PODMÍNKY VÝPOČTU

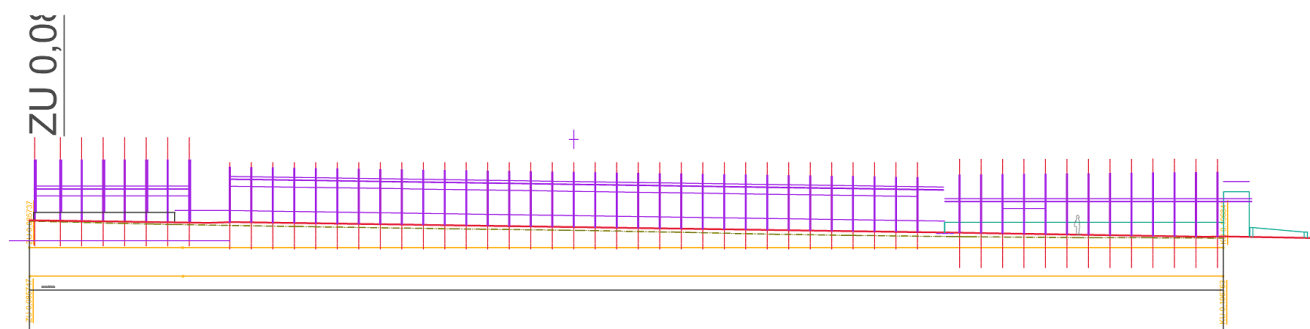
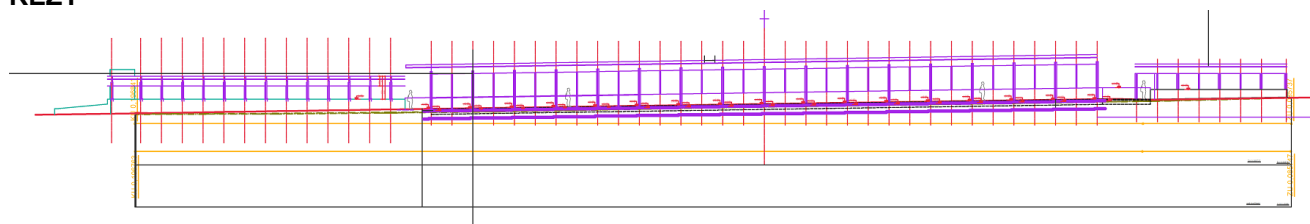
ÚKOLEM STATICKÉHO POSUDKU JE NÁVRH A POSOUZENÍ OCELOVÝCH KONSTRUKCÍ PŘÍSTŘEŠKŮ OBJEKTU 664 A NÁVRH ZÁKLADOVÝCH KONSTRUKCÍ. JEDNÁ SE O 6 SAMOSTATNÝCH KONSTRUKCÍ, KTERÉ NA SEBE NAVAZUJÍ V PODÉLNÉM SMĚRU. STŘEŠNÍ ROVINY JSOU PROVEDENY V PŘÍČNÉM SPÁDU, RESP. STŘEDOVÁ ČÁST MÁ STŘEŠNÍ ROVINU I V PODÉLNÉM SPÁDU.

1.3. PODKLADY

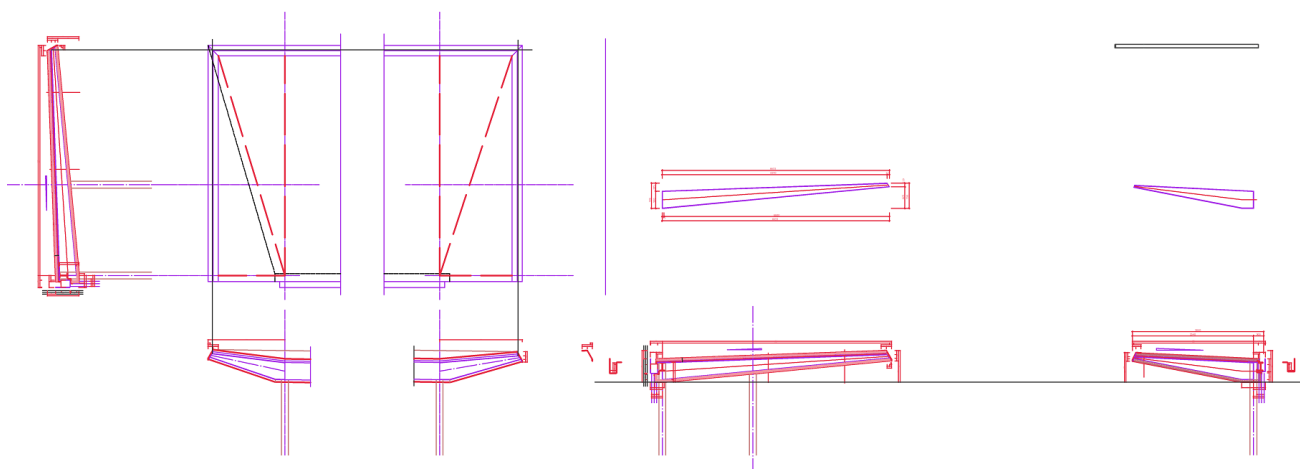
PŮDORYS



ŘEZY



kpstatika	Akce: STATICKÝ POSUDEK – REVITALIZACE NÁMĚSTÍ REPUBLIKY	Počet stran: 26	24-026-002	Strana: 6
	Objekt: SO 664			
	Stupeň: DPS			



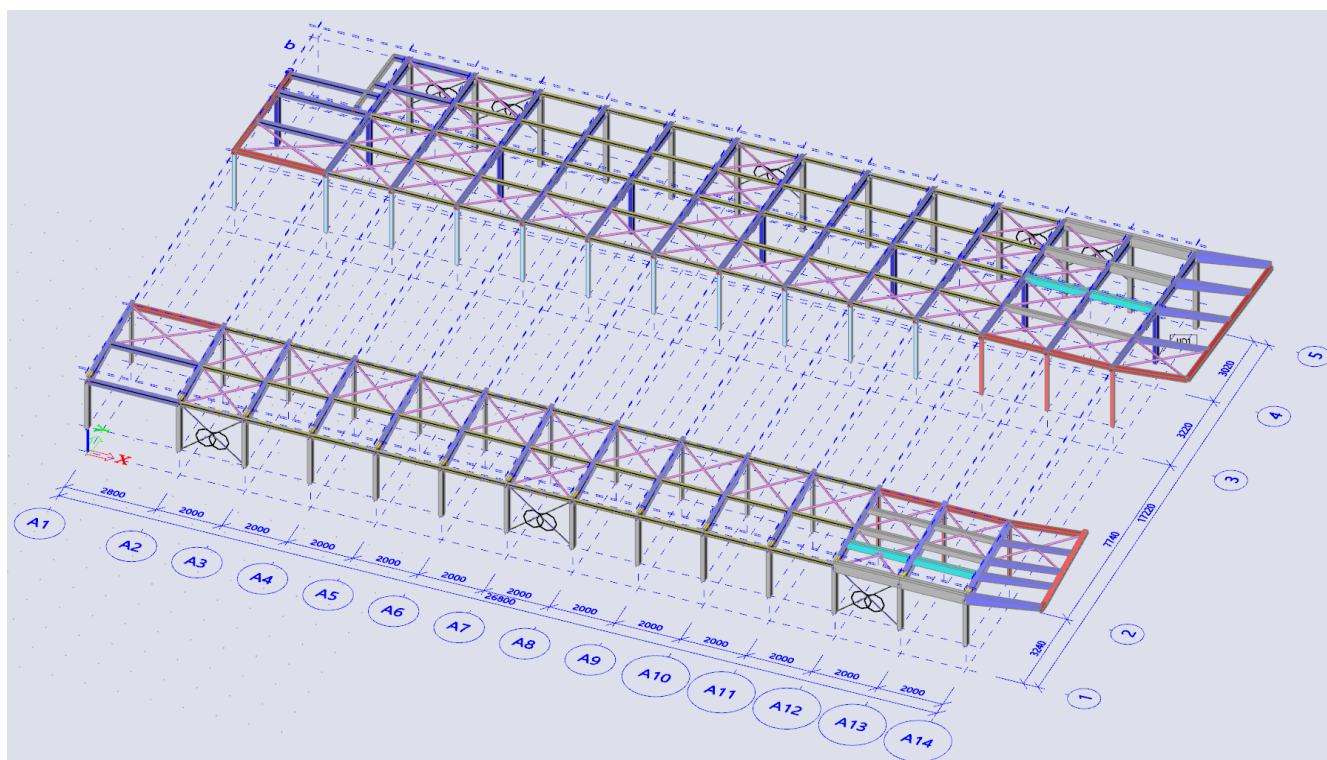
1.4. ZATÍŽENÍ KONSTRUKCE

DLE přílohy 3.1

1.5. OCELOVÁ KONSTRUKCE SO 664

1.5.1 KRAJNÍ ČÁST - MODULOVÉ OSY A1 AŽ A14

DLE přílohy 3.2



OBR. VÝPOČETNÍ MODEL KONSTRUKCE

ČÁST MODULOVÁ OSA 1,2

	Akce: STATICKÝ POSUDEK – REVITALIZACE NÁMĚSTÍ REPUBLIKY Objekt: SO 664 Stupeň: DPS		
kpstatika	Počet stran: 26	24-026-002	Strana: 7

HLAVNÍ KONSTRUKČNÍ SYSTÉM JE TVOŘEN HLAVNÍMI NOSNÝMI PŘÍČNÝMI VAZBAMI TVOŘENÝMI SLOUPY KLOUBOVĚ KOTVENÝMI V OBOU HLAVNÍCH SMĚRECH K ŽELEZOBETONOVÝM MONOLITICKÝM STĚNÁM PODÉL TRAVELÁTORU. SLOUPY JSOU Z UZAVŘENÝCH PROFILŮ RHS (OSA1) RESP. Z DVOJICE RHS PROFILŮ (OSA 2). PŘÍČNÉ VAZBY JSOU DOPLNĚNY SVAŘOVANÝMI PŘÍČLI Z PLECHŮ TVARU „I“ PROMĚNNÉHO PRŮŘEZU. PŘÍČLE JSOU MOMENTOVĚ SPOJENÉ SE SLOUPY V OSE 1, V OSE 2 JSOU PŘÍČLE ULOŽENY KLOUBOVĚ NA SLOUPY. V PODÉLNÉM SMĚRU JSOU MEZI PŘÍČLEMI V OSÁCH A1 AŽ A12 ULOŽENY VAZNICE KLOUBOVĚ, V OSÁCH A12 AŽ A14 JSOU VAZNICE V DŮSLEDKU VYNESENÍ KONZOLY PŘIPOJENY K PŘÍČLÍM TUZE. KONZOLY JSOU TVOŘENY UZAVŘENÝMI SVAŘOVANÝMI PROFILY Z PLECHŮ PROMĚNNÉHO PRŮŘEZU. TUHOST KONSTRUKCE JE V PŘÍČNÉM SMĚRU ZAJIŠTĚNA VETKNUITÍM PŘÍČLE DO SLOUPU V OSE 1, V PODÉLNÉM SMĚRU JE ZAJIŠTĚNA PŘÍČNÝMI ZTUŽIDLY (STĚNOVOU ČÁST TVOŘÍ TÁHLA Z KULATIN, STŘEŠNÍ ČÁST Z TRUBEK).

ČÁST MODULOVÁ OSA 3 AŽ 5

KONSTRUKCE JE TVOŘENA HLAVNÍMI NOSNÝMI PŘÍČNÝMI VAZBAMI TVOŘENÝMI SLOUPY A PŘÍČLEMI.

SLOUPY OSA 3 – Z DVOJIC UZAVŘENÝCH PROFILŮ RHS KLOUBOVĚ KOTVENÉ DO MONOLITICKÝCH ŽELEZOBETONOVÝCH STĚN TRAVELÁTORU, ULOŽENÍ PŘÍČLÍ NA SLOUPY KLOUBOVĚ

SLOUPY OSA 4 – RHS PROFILY KLOUBOVĚ KOTVENÉ DO MONOLITICKÝCH ŽELEZOBETONOVÝCH STĚN TRAVELÁTORU, ULOŽENÍ PŘÍČLÍ NA SLOUPY MOMENTOVĚ V PŘÍČNÉM SMĚRU

SLOUPY OSA 5 – RHS PROFILY KLOUBOVĚ KOTVENÉ DO MONOLITICKÝCH ŽELEZOBETONOVÝCH ZÁKLADOVÝCH PATEK, ULOŽENÍ PŘÍČLÍ KE SLOUPŮM MOMENTOVĚ V PŘÍČNÉM SMĚRU

PŘÍČLE JSOU TVOŘENY SVAŘOVANÝMI PLECHY DO TVARU „I“ PROMĚNNÉHO PRŮŘEZU. PŘÍČLE PŮSOBÍ JAKO PROSTÉ NOSÍKY RESP. SPOJITÉ.

V PODÉLNÉM SMĚRU JSOU MEZI PŘÍČLEMI V OSÁCH A1 AŽ A12 ULOŽENY VAZNICE KLOUBOVĚ, V OSÁCH A12 AŽ A14 JSOU VAZNICE V DŮSLEDKU VYNESENÍ KONZOLY PŘIPOJENY K PŘÍČLÍM TUZE. KONZOLY JSOU TVOŘENY UZAVŘENÝMI SVAŘOVANÝMI PROFILY Z PLECHŮ PROMĚNNÉHO PRŮŘEZU. TUHOST KONSTRUKCE JE V PŘÍČNÉM SMĚRU ZAJIŠTĚNA VETKNUITÍM PŘÍČLE DO SLOUPŮ V OSÁCH 4 a 5, V PODÉLNÉM SMĚRU JE ZAJIŠTĚNA PŘÍČNÝMI ZTUŽIDLY (STĚNOVOU ČÁST TVOŘÍ TÁHLA Z KULATIN, STŘEŠNÍ ČÁST Z TRUBEK).

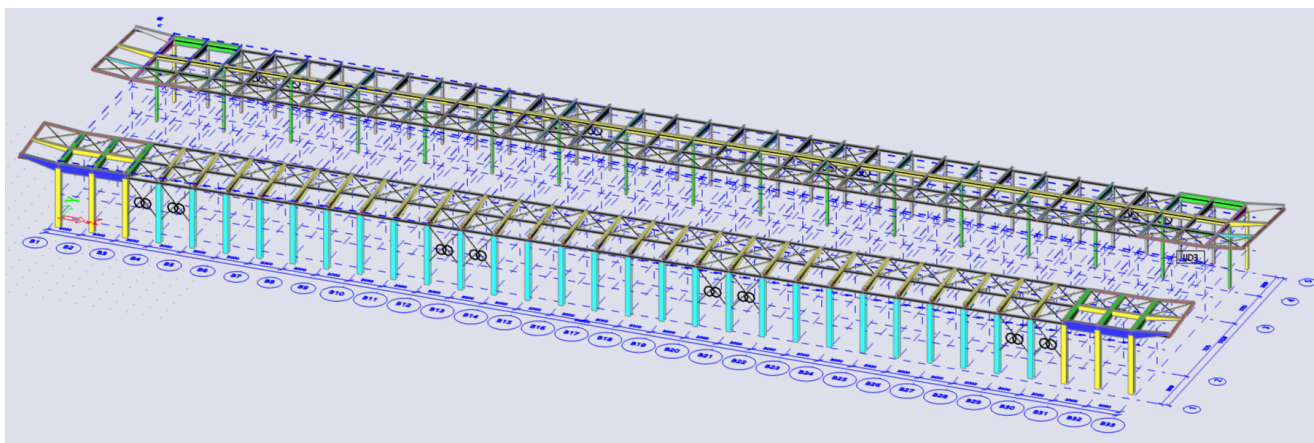
MATERIÁL:

PRIMÁRNÍ OCELOVÁ KONSTRUKCE: OCEL S235JR, S355J0
ŠROUBY, KOTVY – TŘÍDY PEVNOSTI 8.8

1.5.2 STŘEDOVÁ ČÁST - MODULOVÉ OSY B1 až B33

DLE přílohy 3.3

	Akce: STATICKÝ POSUDEK – REVITALIZACE NÁMĚSTÍ REPUBLIKY Objekt: SO 664 Stupeň: DPS
kpstatika	Počet stran: 26
	24-026-002
	Strana: 8



OBR. VÝPOČETNÍ MODEL KONSTRUKCE

ČÁST MODULOVÁ OSA 1,2

KONSTRUKCE JE TVOŘENA HLAVNÍMI NOSNÝMI PŘÍČNÝMI VAZBAMI TVOŘENÝMI SLOUPY A PŘÍČLEMI VETKNUTÝMI DO SLOUPŮ. SLOUPY JSOU VETKNUTY DO ZÁKLADOVÝCH PATEK V PŘÍČNÉM SMĚRU, V PODÉLNÉM SMĚRU ULOŽENY KLOBOVĚ. SLOUPY JSOU Z HEB RESP. SVAŘOVANÝCH UZAVŘENÝCH PLECHOVÝCH PROFILŮ. PŘÍČLE JSOU TVOŘENY SVAŘOVANÝMI PLECHY DO TVARU „I“ PROMĚNNÉHO PRŮŘEZU RESP. ZE SVAŘOVANÝCH UZAVŘENÝCH PLECHOVÝCH PROFILŮ PROMĚNNÉHO PRŮŘEZU.

V PODÉLNÉM SMĚRU JSOU MEZI PŘÍČLEMI V OSÁCH B3 AŽ B31 ULOŽENY VAZNICE KLOBOVĚ, V OSÁCH B1 AŽ B3 a B31 AŽ B33 JSOU VAZNICE V DŮSLEDKU VYNESENÍ KONZOLY PŘIPOJENY K PŘÍČLÍM TUZE. KONZOLY JSOU TVOŘENY UZAVŘENÝMI SVAŘOVANÝMI PROFILY Z PLECHŮ PROMĚNNÉHO PRŮŘEZU. TUHOST KONSTRUKCE JE V PŘÍČNÉM SMĚRU ZAJIŠTĚNA VETKNUTÍM SLOUPŮ DO ZÁKLADŮ, V PODÉLNÉM SMĚRU JE ZAJIŠTĚNA PŘÍČNÝMI ZTUŽIDLY (STĚNOVOU ČÁST TVOŘÍ TÁHLA Z KULATIN, STŘEŠNÍ ČÁST Z TRUBEK).

ČÁST MODULOVÁ OSA 3 AŽ 5

KONSTRUKCE JE TVOŘENA HLAVNÍMI NOSNÝMI PŘÍČNÝMI VAZBAMI TVOŘENÝMI SLOUPY A PŘÍČLEMI.

SLOUPY OSA 4 –UZAVŘENÉ PROFILY CHS KLOBOVĚ KOTVENÉ DO MONOLITICKÝCH ŽELEZOBETONOVÝCH ZÁKLADOVÝCH PATEK, ULOŽENÍ PŘÍČLÍ NA SLOUPY MOMENTOVĚ TUHÉ V PŘÍČNÉM SMĚRU

SLOUPY OSA 5 – RHS PROFILY KLOBOVĚ KOTVENÉ DO MONOLITICKÝCH ŽELEZOBETONOVÝCH ZÁKLADOVÝCH PATEK, ULOŽENÍ PŘÍČLÍ KE SLOUPŮM MOMENTOVĚ V PŘÍČNÉM SMĚRU

PŘÍČLE JSOU TVOŘENY SVAŘOVANÝMI PLECHY DO TVARU „I“ PROMĚNNÉHO PRŮŘEZU. PŘÍČLE PŮSOBÍ JAKO PROSTÉ NOSNÍKY S PŘEVIŠLÝM KONCEM (V OSÁCH KDE JSOU ULOŽENY PŘÍČLE NA OBA SLOUPY). V MEZILEHLÝCH OSÁCH JSOU PŘÍČLE MOMENTOVĚ SPOJENY SE SLOUPY V OSE 5 A V OSE 4 JSOU MOMENTOVĚ SPOJENY S PODÉLNÝMI PRŮVLAKY IPE.

V PODÉLNÉM SMĚRU JSOU MEZI PŘÍČLEMI V OSÁCH B3 AŽ B31 ULOŽENY VAZNICE KLOBOVĚ, V OSÁCH B1 AŽ B3 a B31 AŽ B33 JSOU VAZNICE V DŮSLEDKU VYNESENÍ KONZOLY PŘIPOJENY K PŘÍČLÍM TUZE. KONZOLY JSOU TVOŘENY UZAVŘENÝMI SVAŘOVANÝMI PROFILY Z PLECHŮ PROMĚNNÉHO PRŮŘEZU. TUHOST KONSTRUKCE JE V PŘÍČNÉM SMĚRU ZAJIŠTĚNA VETKNUTÍM

	Akce: STATICKÝ POSUDEK – REVITALIZACE NÁMĚSTÍ REPUBLIKY Objekt: SO 664 Stupeň: DPS		
kpstatika	Počet stran: 26	24-026-002	Strana: 9

PŘÍČLE DO SLOUPŮ, V PODÉLNÉM SMĚRU JE ZAJIŠTĚNA PŘÍČNÝMI ZTUŽIDLY (STĚNOVOU ČÁST TVOŘÍ TÁHLA Z KULATIN, STŘEŠNÍ ČÁST Z TRUBEK).

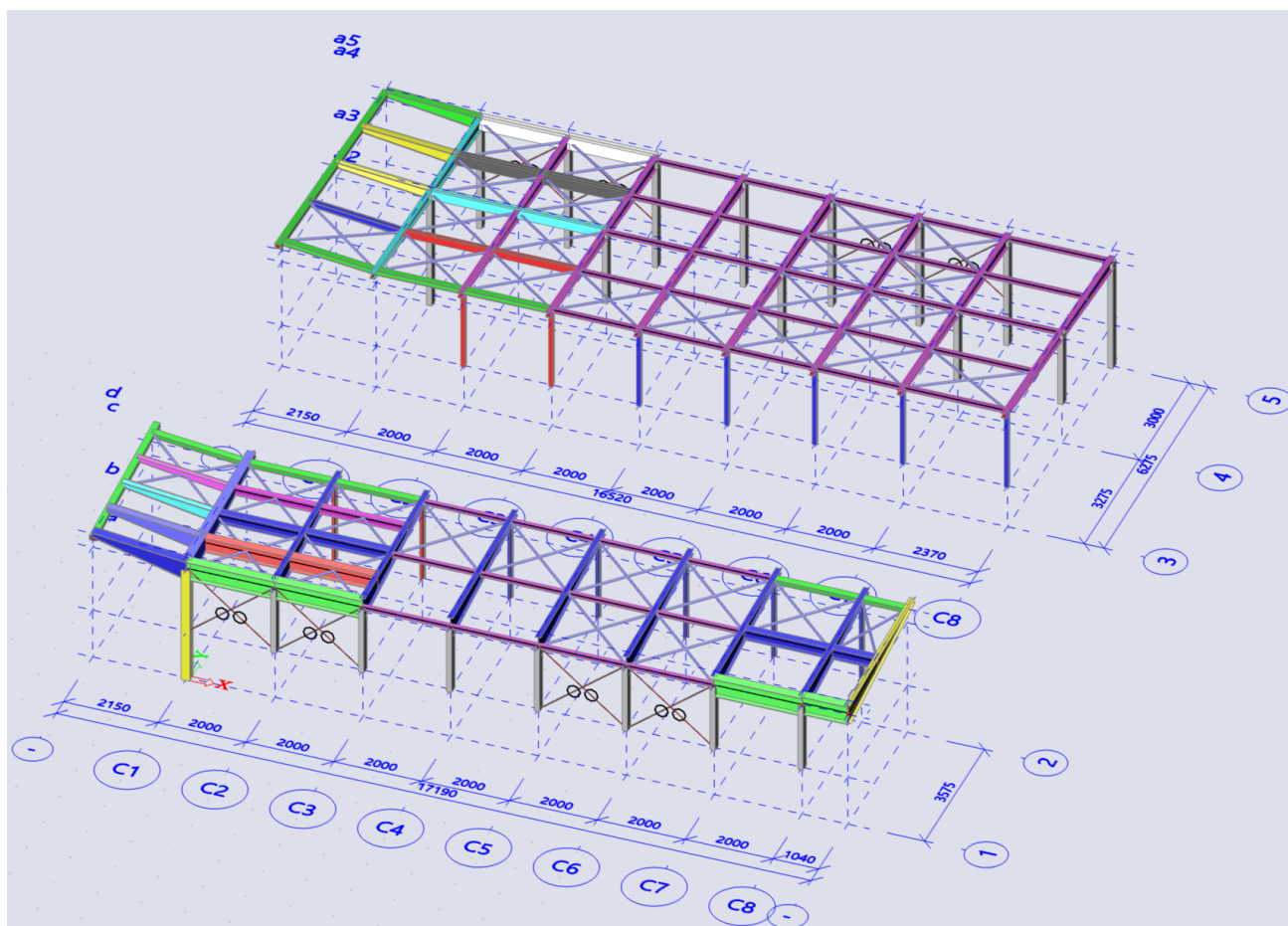
MATERIÁL:

PRIMÁRNÍ OCELOVÁ KONSTRUKCE: OCEL S235JR, S355J0

ŠROUBY, KOTVY – TŘÍDY PEVNOSTI 8.8

1.5.3 KONCOVÁ ČÁST - MODULOVÉ OSY C1 až C8

DLE přílohy 3.4



OBR. VÝPOČETNÍ MODEL KONSTRUKCE

ČÁST MODULOVÁ OSA 1,2

HLAVNÍ KONSTRUKČNÍ SYSTÉM JE TVOŘEN HLAVNÍMI NOSNÝMI PŘÍČNÝMI VAZBAMI TVOŘENÝMI SLOUPY KLOBOVĚ KOTVENÝMI V OBOU HLAVNÍCH SMĚRECH. SLOUPY V OSE 1 – C2 AŽ C8 JSOU TVOŘENY PROFILY RHS A KOTVENY NA MONOLITICKÉ ŽELEZOBETONOVÉ STĚNY, SLOUP V OSE C1-1 JE VETKNUT DO ZÁKLADOVÉ ŽELEZOBETONOVÉ PATKY V PŘÍČNÉM SMĚRU A JE Z UZAVŘENÉHO PLECHOVÉHO PROFILU.

SLOUPY V OSE 2 Z DVOJICE RHS PROFILŮ JSOU KOTVENY K ŽELEZOBETONOVÝM MONOLITICKÝM STĚNÁM PODÉL TRAVELÁTORU. PŘÍČNÉ VAZBY JSOU DOPLNĚNY SVAŘOVANÝMI PŘÍČLI Z PLECHŮ TVARU „I“ PROMĚNNÉHO PRŮŘEZU RESP. ZE SVAŘOVANÝCH UZAVŘENÝCH PLECHOVÝCH PROFILŮ PROMĚNNÉHO PRŮŘEZU. PŘÍČLE JSOU MOMENTOVĚ SPOJENÉ SE SLOUPY V OSE 1, V OSE 2 JSOU PŘÍČLE ULOŽENY KLOBOVĚ NA SLOUPY. V PODÉLNÉM SMĚRU JSOU MEZI

	Akce: STATICKÝ POSUDEK – REVITALIZACE NÁMĚSTÍ REPUBLIKY Objekt: SO 664 Stupeň: DPS		
kpstatika	Počet stran: 26	24-026-002	Strana: 10

PŘÍČLEMI V OSÁCH C3 AŽ C7 ULOŽENY VAZNICE KLOUBOVĚ, V OSÁCH C1 AŽ C3 JSOU VAZNICE V DŮSLEDKU VYNESENÍ KONZOLY PŘIPOJENY K PŘÍČLÍM TUZE. DÁLE MEZI OSAMI C7 AŽ C8 JSOU VAZNICE ROVNĚŽ K PŘÍČLÍM PŘIPOJENY TUZE. KONZOLY JSOU TVOŘENY UZAVŘENÝMI SVAŘOVANÝMI PROFILY Z PLECHŮ PROMĚNNÉHO PRŮŘEZU. TUHOST KONSTRUKCE JE V PŘÍČNÉM SMĚRU ZAJIŠTĚNA VETKNUTÍM PŘÍČLE DO SLOUPU V OSE 1, V PODÉLNÉM SMĚRU JE ZAJIŠTĚNA PŘÍČNÝMI ZTUŽIDLY (STĚNOVOU ČÁST TVOŘÍ TÁHLA Z KULATIN, STŘEŠNÍ ČÁST Z TRUBEK).

ČÁST MODULOVÁ OSA 3 AŽ 5

KONSTRUKCE JE TVOŘENA HLAVNÍMI NOSNÝMI PŘÍČNÝMI VAZBAMI TVOŘENÝMI SLOUPY A PŘÍČLEMI.

SLOUPY OSA 3 – Z DVOJIC UZAVŘENÝCH PROFILŮ RHS KLOUBOVĚ KOTVENÉ DO MONOLITICKÝCH ŽELEZOBETONOVÝCH STĚN TRAVELÁTORU, ULOŽENÍ PŘÍČLÍ NA SLOUPY KLOUBOVĚ.

SLOUPY OSA 4 – RHS PROFILY KLOUBOVĚ KOTVENÉ DO MONOLITICKÝCH ŽELEZOBETONOVÝCH STĚN TRAVELÁTORU, ULOŽENÍ PŘÍČLÍ NA SLOUPY MOMENTOVÉ V PŘÍČNÉM SMĚRU. SLOUP OSA C1-4 KOTVEN K ZÁKLADOVÉ PATCE.

SLOUPY OSA 5 – RHS PROFILY KLOUBOVĚ KOTVENÉ DO MONOLITICKÝCH ŽELEZOBETONOVÝCH ZÁKLADOVÝCH PATEK, ULOŽENÍ PŘÍČLÍ KE SLOUPŮM MOMENTOVÉ V PŘÍČNÉM SMĚRU.

PŘÍČLE JSOU TVOŘENY SVAŘOVANÝMI PLECHY DO TVARU „I“ PROMĚNNÉHO PRŮŘEZU. PŘÍČLE PŮSOBÍ JAKO PROSTÉ NOSNÍKY RESP. SPOJITÉ.

V PODÉLNÉM SMĚRU JSOU MEZI PŘÍČLEMI V OSÁCH C3 AŽ C8 ULOŽENY VAZNICE KLOUBOVĚ, V OSÁCH C1 AŽ C3 JSOU VAZNICE V DŮSLEDKU VYNESENÍ KONZOLY PŘIPOJENY K PŘÍČLÍM TUZE. KONZOLY JSOU TVOŘENY UZAVŘENÝMI SVAŘOVANÝMI PROFILY Z PLECHŮ PROMĚNNÉHO PRŮŘEZU. TUHOST KONSTRUKCE JE V PŘÍČNÉM SMĚRU ZAJIŠTĚNA VETKNUTÍM PŘÍČLE DO SLOUPŮ V OSÁCH 4 a 5, V PODÉLNÉM SMĚRU JE ZAJIŠTĚNA PŘÍČNÝMI ZTUŽIDLY (STĚNOVOU ČÁST TVOŘÍ TÁHLA Z KULATIN, STŘEŠNÍ ČÁST Z TRUBEK).

MATERIÁL:

PRIMÁRNÍ OCELOVÁ KONSTRUKCE: OCEL S235JR, S355J0

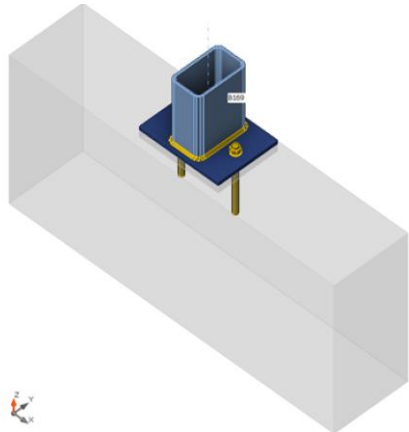
ŠROUBY, KOTVY – TŘÍDY PEVNOSTI 8.8

	Akce: STATICKÝ POSUDEK – REVITALIZACE NÁMĚSTÍ REPUBLIKY Objekt: SO 664 Stupeň: DPS		
kpstatika	Počet stran: 26	24-026-002	Strana: 11

1.6. NÁVRH A POSOUZENÍ VYBRANÝCH STYČNÍKŮ KONSTRUKCE

KOTVENÍ SLOUPU RHS 200*120*8 NA MONOLITICKÉ STĚNY PODÉL TRAVELÁTORU

VIZ PŘÍLOHA 3.5

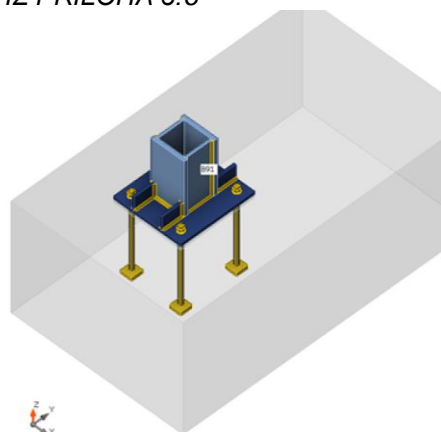


SLOUPY RHS 200*120*8 JSOU KLOUBOVĚ KOTVENY NA ŽELEZOBETONOVÉ STĚNY PODÉL TRAVELÁTORU POMOCÍ DODATEČNĚ OSAZOVANÝCH KOTEV M20 (8.8) POMOCÍ TECHNOLOGIE SafeSet S POUŽITÍM ETA CERTIFIKOVANÉ CHEMICKÉ KOTVY NA BÁZI EPOXIDOVÉ PRYSKYŘICE S KOTEVNÍM ŠROUBEM DEKLAROVANÉ KVALITY OCELI. HLOUBKA KOTVENÍ MIN. 200 mm. PODLITÍ TL. 30 mm. Podlití OK provést dle normy CSN EN 1090-2 +A1, odst. 5.8:

- podlití do 25mm - kaše z čistého portlandského cementu
 - podlití 25-50mm - malta z portlandského cementu která není chudší než 1:1 (cement k jemnému kamenivu)
 - podlití nad 50mm - hustší malta z portlandského cementu, která není chudší než 1:2 (cement k jemnému kamenivu)
- alternativní speciální zálivková smes

KOTVENÍ SLOUPU OSA B1-B3, B31-B33 – OSA 1

VIZ PŘÍLOHA 3.6



SLOUPY Z UZAVŘENÉHO SVAŘOVANÉHO PROFILU Z PLECHŮ JSOU MOMENTOVĚ V PŘÍČNÉM SMĚRU KOTVENY NA ŽELEZOBETONOVÉ PATKY POMOCÍ PŘEDEM ZABETONOVANÝCH KOTEV M33 (8.8) S KOTEVNÍ HLAVOU. HLOUBKA KOTVENÍ MIN. 600 mm, PŘENOS SMYKU POMOCÍ SMYKOVÉ ZARÁŽKY. PODLITÍ TL. 30 mm. Podlití OK provést dle normy CSN EN 1090-2 +A1, odst. 5.8:

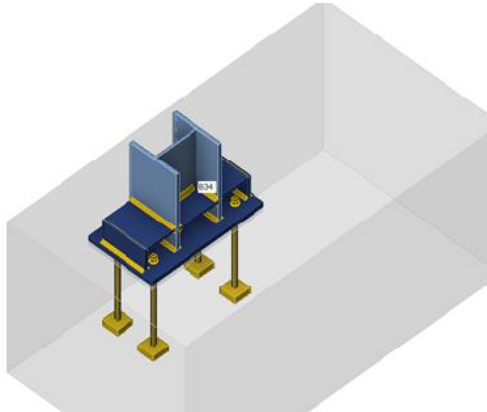
- podlití do 25mm - kaše z čistého portlandského cementu
- podlití 25-50mm - malta z portlandského cementu která není chudší než 1:1 (cement k jemnému kamenivu)
- podlití nad 50mm - hustší malta z portlandského cementu, která není chudší než 1:2 (cement k jemnému kamenivu)

	Akce: STATICKÝ POSUDEK – REVITALIZACE NÁMĚSTÍ REPUBLIKY Objekt: SO 664 Stupeň: DPS		
kpstatika	Počet stran: 26	24-026-002	Strana: 12

kamenivu)
alternativní speciální zálivková smes

KOTVENÍ SLOUPU OSA B4-B30 – OSA 1

VIZ PŘÍLOHA 3.7



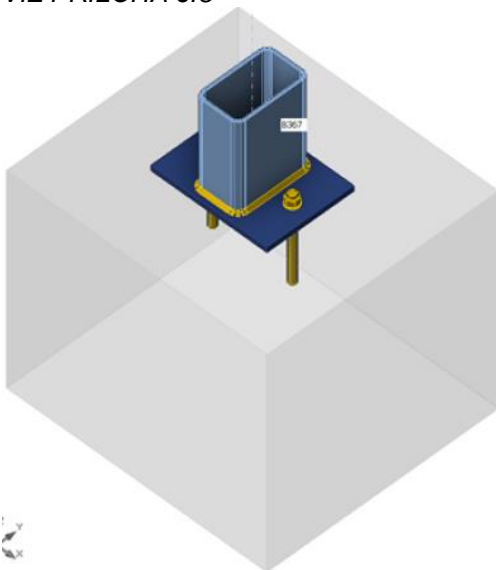
SLOUPY HEB JSOU MOMENTOVĚ V PŘÍČNÉM SMĚRU KOTVENY NA ŽELEZOBETONOVÉ PATKY POMOCÍ PŘEDEM ZABETONOVANÝCH KOTEV M24 (8.8) S KOTEVNÍ HLAVOU. HLOUBKA KOTVENÍ MIN. 500 mm, PODLITÍ TL. 30 mm. Podlití OK provést dle normy CSN EN 1090-2 +A1, odst. 5.8:

- podlití do 25mm - kaše z čistého portlandského cementu
- podlití 25-50mm - malta z portlandského cementu která není chudší než 1:1 (cement k jemnému kamenivu)
- podlití nad 50mm - hustší malta z portlandského cementu, která není chudší než 1:2 (cement k jemnému kamenivu)

alternativní speciální zálivková smes

KOTVENÍ SLOUPU OSA B1 AŽ B33 – OSA 5

VIZ PŘÍLOHA 3.8



SLOUPY RHS JSOU KLOUBOVĚ KOTVENY NA ŽELEZOBETONOVÉ ZÁKLADOVÉ PATKY POMOCÍ DODATEČNĚ OSAZOVANÝCH KOTEV M20 (8.8) POMOCÍ TECHNOLOGIE SafeSet S POUŽITÍM ETA CERTIFIKOVANÉ CHEMICKÉ KOTVY NA BÁZI EPOXIDOVÉ PRYSKYŘICE S KOTEVNÍM ŠROUBEM DEKLAROVANÉ KVALITY OCELI. HLOUBKA KOTVENÍ MIN. 200 mm. PODLITÍ TL. 30 mm. Podlití OK provést dle normy CSN EN 1090-2 +A1, odst. 5.8:

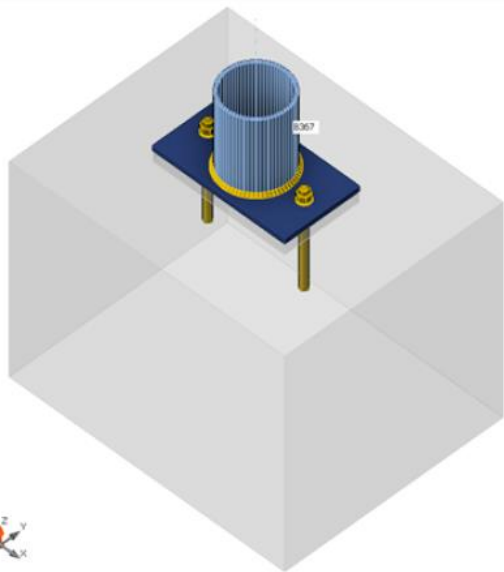
	Akce: STATICKÝ POSUDEK – REVITALIZACE NÁMĚSTÍ REPUBLIKY Objekt: SO 664 Stupeň: DPS		
kpstatika	Počet stran: 26	24-026-002	Strana: 13

- podlití do 25mm - kaše z čistého portlandského cementu
- podlití 25-50mm - malta z portlandského cementu která není chudší než 1:1 (cement k jemnému kamenivu)
- podlití nad 50mm - hustší malta z portlandského cementu, která není chudší než 1:2 (cement k jemnému kamenivu)

alternativní speciální zálivková smes

KOTVENÍ SLOUPU OSA B1 AŽ B33 – OSA 4

VIZ PŘÍLOHA 3.9



SLOUPY CHS JSOU KLOUBOVĚ KOTVENY NA ŽELEZOBETONOVÉ ZÁKLADOVÉ PATKY POMOCÍ DODATEČNĚ OSAZOVANÝCH KOTEV M20 (8.8) POMOCÍ TECHNOLOGIE SafeSet S POUŽITÍM ETA CERTIFIKOVANÉ CHEMICKÉ KOTVY NA BÁZI EPOXIDOVÉ PRYSKYŘICE S KOTEVNÍM ŠROUBEM DEKLAROVANÉ KVALITY OCELI. HLOUBKA KOTVENÍ MIN. 200 mm. PODLITÍ TL. 30 mm. Podlití OK provést dle normy CSN EN 1090-2 +A1, odst. 5.8:

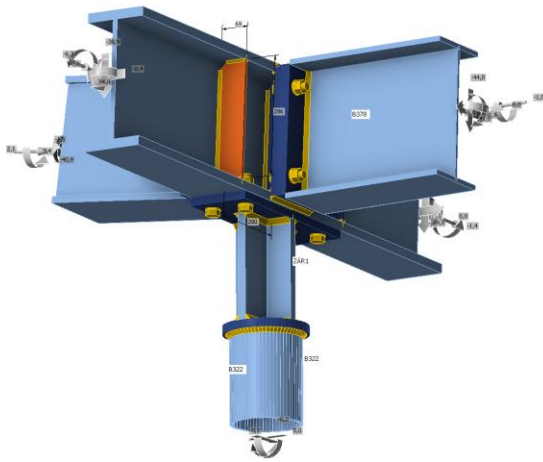
- podlití do 25mm - kaše z čistého portlandského cementu
- podlití 25-50mm - malta z portlandského cementu která není chudší než 1:1 (cement k jemnému kamenivu)
- podlití nad 50mm - hustší malta z portlandského cementu, která není chudší než 1:2 (cement k jemnému kamenivu)

alternativní speciální zálivková smes

STYČNÍK SLOUP CHS 168,3*8 – PŘÍČEL OSY B1-B33

VIZ PŘÍLOHA 3.10

	Akce: STATICKÝ POSUDEK – REVITALIZACE NÁMĚSTÍ REPUBLIKY Objekt: SO 664 Stupeň: DPS		
kpstatika	Počet stran: 26	24-026-002	Strana: 14



1.7. ZÁKLADOVÉ ŽELEZOBETONOVÉ PATKY

PO ODKRYTÍ ZÁKLADOVÉ SPÁRY JE NUTNÉ OVĚŘIT STAV A ÚNOSNOST ZÁKLADOVÉ SPÁRY. PŘI ZPRACOVÁNÍ TOHOTO POSUDKU NEJSOU ZNÁMY GEOLOGICKÉ PODMÍNKY. ZÁKLADOVOU SPÁRU JE NUTNÉ PŘEVZIT GEOLOGEM. PŘI ODLIŠNÝCH ZÁKLADOVÝCH POMĚRECH OPROTI PŘEDPOKLADU VE VÝPOČTU ZÁKLADU JE NUTNÉ NÁVRH ZÁKLADOVÉ KONSTRUKCE OVĚŘIT A PŘÍPADNĚ UPRAVIT TVAR.

ZÁKLADOVÁ SPÁRA MUSÍ BÝT V PRŮBĚHU VÝSTAVBY CHRÁNĚNA PŘED PŘEVLEHČENÍM. STROJNÍ VÝKOPY JE VHODNÉ PROVÁDĚT LŽÍCÍ S ROVNÝM BŘÍTEM.

ZÁKLADOVÉ KONSTRUKCE MUSÍ BÝT V PRŮBĚHU VÝSTAVBY A DÁLE PO CELOU DOBU ŽIVOTNOSTI OBJEKTU CHRÁNĚNY PROTI ZATĚKÁNÍ SRÁŽKOVÉ VODY A NÁSLEDNÉMU PODMÁČENÍ KONSTRUKCE.

POD ZÁKLADY JE NUTNÉ PROVÉST ZEMNĚNÍ, NENÍ V TEXTU DÁLE POPSÁNO, DLE ELEKTRO ČÁSTI PROJEKTU.

V PŘÍPADĚ ZJIŠTĚNÍ HLADINY PODZEMNÍ VODY JE NUTNO ZÁKLADOVOU SPÁRU PŘED PROVÁDĚNÍM SAMOTNÝCH ZÁKLADŮ ODVODNIT ČERPÁNÍM DO ÚROVNĚ MIN. 0,3 m POD ÚROVEŇ ZÁKLADOVÉ SPÁRY.

ZÁKLADOVÉ PATKY A.5 (MODULOVÁ OSA A2-A14 - OSA5)

DLE PŘÍLOHY 3.11

BETON C20/25 – XC2, BETONÁŘSKÁ VÝZTUŽ B500B, KRYTÍ VÝZTUŽE 50 mm VŠECHNY SMĚRY. ARMOKOŠ BUDE ULOŽEN NA DISTANČNÍ PRVKY TAK ABY NEDOŠLO KE KONTAKTU SE ZÁKLADOVOU SPÁROU A BYLO DODRŽENÉ DOSTATEČNÉ KRYTÍ 50 mm. PŮDORYSNÝ ROZMĚR PATKY 1200 x 1200 mm, VÝŠKA 600 mm.

ARMOVÁNÍ PATKY PŘI SPODNÍM LÍCI V OBOU SMĚRECH **φ 12 PO 100 mm**. ARMOVÁNÍ ZE SPODNÍHO LÍCE ZATÁHNOUT AŽ K HORNÍMU LÍCI + OHYBY. ARMOVÁNÍ PATKY PŘI HORNÍM LÍCI TVOŘENO KARI SÍTÍ **10/100/100 mm**.

ARMOVÁNÍ BOČNÍCH STĚN PATEK VE VODOROVNÉM SMĚRU JE ROZDĚLOVACÍ VÝZTUŽÍ **φ 10 PO 150 mm**. PRO VYMEZENÍ POLOHY VÝZTUŽE PŘI HORNÍM LÍCI V RÁMCI VÝROBNÍ DOKUMENTACE DOPLNIT STOLIČKY **φ 10 mm**.

	Akce: STATICKÝ POSUDEK – REVITALIZACE NÁMĚSTÍ REPUBLIKY Objekt: SO 664 Stupeň: DPS		
kpstatika	Počet stran: 26	24-026-002	Strana: 15

POD PATKAMI PROVÉST PODKLADNÍ BETON C12/15 – X0 TL. 80 mm, ROZŠÍŘENÍ OPROTI PATKÁM 100 mm.

ZÁKLADOVÉ PATKY B.1.1 (MODULOVÁ OSA B1 – B3 a B31 – B33 – OSA 1)

DLE PŘÍLOHY 3.12

BETON C20/25 – XC2, BETONÁŘSKÁ VÝZTUŽ B500B, KRYTÍ VÝZTUŽE 50 mm VŠECHNY SMĚRY. ARMOKOŠ BUDE ULOŽEN NA DISTANČNÍ PRVKY TAK ABY NEDOŠLO KE KONTAKTU SE ZÁKLADOVOU SPÁROU A BYLO DODRŽENÉ DOSTATEČNÉ KRYTÍ 50 mm. PŮDORYSNÝ ROZMĚR PATKY 1500 x 2800 mm, VÝŠKA 1000 mm.

ARMOVÁNÍ PATKY PŘI SPODNÍM LÍCI V OBOU SMĚRECH **φ 16 PO 100 mm**. ARMOVÁNÍ ZE SPODNÍHO LÍCE ZATÁHNOUT AŽ K HORNÍMU LÍCI + OHYBY. ARMOVÁNÍ PATKY PŘI HORNÍM LÍCI TVOŘENO KARI SÍTÍ **10/100/100 mm**.

ARMOVÁNÍ BOČNÍCH STĚN PATEK VE VODOROVNÉM SMĚRU JE ROZDĚLOVACÍ VÝZTUŽÍ **φ 10 PO 150 mm**. PRO VYMEZENÍ POLOHY VÝZTUŽE PŘI HORNÍM LÍCI V RÁMCI VÝROBNÍ DOKUMENTACE DOPLNIT STOLIČKY **φ 10 mm**.

V RÁMCI BETONÁŽE PATEK BUDOU ZABUDOVÁNY ŠABLONY S PŘEDEM ZABETONOVANÝMI KOTVAMI M33 (8.8), DÁLE BUDE PROVEDENO BEDNĚNÍ PŘI HORNÍM LÍCI PRO JAMKU SMYKOVÉ ZARÁŽKY. DETAILS VIZ VÝKRESOVÁ ČÁST.

POD PATKAMI PROVÉST PODKLADNÍ BETON C12/15 – X0 TL. 80 mm, ROZŠÍŘENÍ OPROTI PATKÁM 100 mm.

ZÁKLADOVÉ PATKY B.1.2 (MODULOVÁ OSA B4 – B30 – OSA 1)

DLE PŘÍLOHY 3.13

BETON C20/25 – XC2, BETONÁŘSKÁ VÝZTUŽ B500B, KRYTÍ VÝZTUŽE 50 mm VŠECHNY SMĚRY. ARMOKOŠ BUDE ULOŽEN NA DISTANČNÍ PRVKY TAK ABY NEDOŠLO KE KONTAKTU SE ZÁKLADOVOU SPÁROU A BYLO DODRŽENÉ DOSTATEČNÉ KRYTÍ 50 mm. PŮDORYSNÝ ROZMĚR PATKY 1200 x 2500 mm, VÝŠKA 1000 mm.

ARMOVÁNÍ PATKY PŘI SPODNÍM LÍCI VE SMĚRU ROVNOBĚŽNÉM S DELŠÍM ROZMĚREM PATKY **φ 16 PO 100 mm**. ARMOVÁNÍ VE SMĚRU ROVNOBĚŽNÉM S KRATŠÍM ROZMĚREM PATKY **φ 12 PO 100 mm**. ARMOVÁNÍ ZE SPODNÍHO LÍCE ZATÁHNOUT AŽ K HORNÍMU LÍCI + OHYBY. ARMOVÁNÍ PATKY PŘI HORNÍM LÍCI TVOŘENO KARI SÍTÍ **10/100/100 mm**.

ARMOVÁNÍ BOČNÍCH STĚN PATEK VE VODOROVNÉM SMĚRU JE ROZDĚLOVACÍ VÝZTUŽÍ **φ 10 PO 150 mm**. PRO VYMEZENÍ POLOHY VÝZTUŽE PŘI HORNÍM LÍCI V RÁMCI VÝROBNÍ DOKUMENTACE DOPLNIT STOLIČKY **φ 10 mm**.

V RÁMCI BETONÁŽE PATEK BUDOU ZABUDOVÁNY ŠABLONY S PŘEDEM ZABETONOVANÝMI KOTVAMI M24 (8.8), DETAILS VIZ VÝKRESOVÁ ČÁST.

POD PATKAMI PROVÉST PODKLADNÍ BETON C12/15 – X0 TL. 80 mm, ROZŠÍŘENÍ OPROTI PATKÁM 100 mm.

ZÁKLADOVÉ PATKY B.4.1 (MODULOVÁ OSA B1,B3 – OSA 4)

	Akce: STATICKÝ POSUDEK – REVITALIZACE NÁMĚSTÍ REPUBLIKY Objekt: SO 664 Stupeň: DPS		
kpstatika	Počet stran: 26	24-026-002	Strana: 16

DLE PŘÍLOHY 3.14

BETON C20/25 – XC2, BETONÁŘSKÁ VÝZTUŽ B500B, KRYTÍ VÝZTUŽE 50 mm VŠECHNY SMĚRY. ARMOKOŠ BUDE ULOŽEN NA DISTANČNÍ PRVKY TAK ABY NEDOŠLO KE KONTAKTU SE ZÁKLADOVOU SPÁROU A BYLO DODRŽENÉ DOSTATEČNÉ KRYTÍ 50 mm. PŮDORYSNÝ ROZMĚR PATKY 1600 x 1600 mm, VÝŠKA 600 mm.

ARMOVÁNÍ PATKY PŘI SPODNÍM LÍCI V OBOU SMĚRECH PATKY **φ 12 PO 100 mm**. ARMOVÁNÍ ZE SPODNÍHO LÍCE ZATÁHNOUT AŽ K HORNÍMU LÍCI + OHYBY. ARMOVÁNÍ PATKY PŘI HORNÍM LÍCI TVOŘENO KARI SÍTÍ **10/100/100 mm**.

ARMOVÁNÍ BOČNÍCH STĚN PATEK VE VODOROVNÉM SMĚRU JE ROZDĚLOVACÍ VÝZTUŽÍ **φ 10 PO 150 mm**. PRO VYMEZENÍ POLOHY VÝZTUŽE PŘI HORNÍM LÍCI V RÁMCI VÝROBNÍ DOKUMENTACE DOPLNIT STOLIČKY **φ 10 mm**.

POD PATKAMI PROVÉST PODKLADNÍ BETON C12/15 – X0 TL. 80 mm, ROZŠÍŘENÍ OPROTI PATKÁM 100 mm.

ZÁKLADOVÉ PATKY B.4.2 (MODULOVÁ OSA B5 AŽ B33 – OSA 4)

DLE PŘÍLOHY 3.15

BETON C20/25 – XC2, BETONÁŘSKÁ VÝZTUŽ B500B, KRYTÍ VÝZTUŽE 50 mm VŠECHNY SMĚRY. ARMOKOŠ BUDE ULOŽEN NA DISTANČNÍ PRVKY TAK ABY NEDOŠLO KE KONTAKTU SE ZÁKLADOVOU SPÁROU A BYLO DODRŽENÉ DOSTATEČNÉ KRYTÍ 50 mm. PŮDORYSNÝ ROZMĚR PATKY 1200 x 1200 mm, VÝŠKA 1000 mm.

ARMOVÁNÍ PATKY PŘI SPODNÍM LÍCI V OBOU SMĚRECH PATKY **φ 12 PO 100 mm**. ARMOVÁNÍ ZE SPODNÍHO LÍCE ZATÁHNOUT AŽ K HORNÍMU LÍCI + OHYBY. ARMOVÁNÍ PATKY PŘI HORNÍM LÍCI TVOŘENO KARI SÍTÍ **10/100/100 mm**.

ARMOVÁNÍ BOČNÍCH STĚN PATEK VE VODOROVNÉM SMĚRU JE ROZDĚLOVACÍ VÝZTUŽÍ **φ 10 PO 150 mm**. PRO VYMEZENÍ POLOHY VÝZTUŽE PŘI HORNÍM LÍCI V RÁMCI VÝROBNÍ DOKUMENTACE DOPLNIT STOLIČKY **φ 10 mm**.

POD PATKAMI PROVÉST PODKLADNÍ BETON C12/15 – X0 TL. 80 mm, ROZŠÍŘENÍ OPROTI PATKÁM 100 mm.

ZÁKLADOVÉ PATKY B.5.2 (MODULOVÁ OSA B4 AŽ B33 – OSA 5)

DLE PŘÍLOHY 3.16

BETON C20/25 – XC2, BETONÁŘSKÁ VÝZTUŽ B500B, KRYTÍ VÝZTUŽE 50 mm VŠECHNY SMĚRY. ARMOKOŠ BUDE ULOŽEN NA DISTANČNÍ PRVKY TAK ABY NEDOŠLO KE KONTAKTU SE ZÁKLADOVOU SPÁROU A BYLO DODRŽENÉ DOSTATEČNÉ KRYTÍ 50 mm. PŮDORYSNÝ ROZMĚR PATKY 1000 x 1000 mm, VÝŠKA 1000 mm.

ARMOVÁNÍ PATKY PŘI SPODNÍM LÍCI V OBOU SMĚRECH PATKY **φ 12 PO 100 mm**. ARMOVÁNÍ ZE SPODNÍHO LÍCE ZATÁHNOUT AŽ K HORNÍMU LÍCI + OHYBY. ARMOVÁNÍ PATKY PŘI HORNÍM LÍCI TVOŘENO KARI SÍTÍ **10/100/100 mm**.

	Akce: STATICKÝ POSUDEK – REVITALIZACE NÁMĚSTÍ REPUBLIKY Objekt: SO 664 Stupeň: DPS		
kpstatika	Počet stran: 26	24-026-002	Strana: 17

ARMOVÁNÍ BOČNÍCH STĚN PATEK VE VODOROVNÉM SMĚRU JE ROZDĚLOVACÍ VÝZTUŽÍ ϕ 10 PO 150 mm. PRO VYMEZENÍ POLOHY VÝZTUŽE PŘI HORNÍM LÍCI V RÁMCI VÝROBNÍ DOKUMENTACE DOPLNIT STOLIČKY ϕ 10 mm.

POD PATKAMI PROVÉST PODKLADNÍ BETON C12/15 – X0 TL. 80 mm, ROZŠÍŘENÍ OPROTI PATKÁM 100 mm.

ZÁKLADOVÉ PATKY B.5.1 (MODULOVÁ OSA B1 AŽ B3 – OSA 5)

DLE PŘÍLOHY 3.17

BETON C20/25 – XC2, BETONÁŘSKÁ VÝZTUŽ B500B, KRYTÍ VÝZTUŽE 50 mm VŠECHNY SMĚRY. ARMOKOŠ BUDE ULOŽEN NA DISTANČNÍ PRVKY TAK ABY NEDOŠLO KE KONTAKTU SE ZÁKLADOVOU SPÁROU A BYLO DODRŽENÉ DOSTATEČNÉ KRYTÍ 50 mm. PŮDORYSNÝ ROZMĚR PATKY 1400 x 1400 mm, VÝŠKA 600 mm.

ARMOVÁNÍ PATKY PŘI SPODNÍM LÍCI V OBOU SMĚRECH PATKY ϕ 12 PO 100 mm. ARMOVÁNÍ ZE SPODNÍHO LÍCE ZATÁHNOUT AŽ K HORNÍMU LÍCI + OHYBY. ARMOVÁNÍ PATKY PŘI HORNÍM LÍCI TVOŘENO KARI SÍTÍ 10/100/100 mm.

ARMOVÁNÍ BOČNÍCH STĚN PATEK VE VODOROVNÉM SMĚRU JE ROZDĚLOVACÍ VÝZTUŽÍ ϕ 10 PO 150 mm. PRO VYMEZENÍ POLOHY VÝZTUŽE PŘI HORNÍM LÍCI V RÁMCI VÝROBNÍ DOKUMENTACE DOPLNIT STOLIČKY ϕ 10 mm.

POD PATKAMI PROVÉST PODKLADNÍ BETON C12/15 – X0 TL. 80 mm, ROZŠÍŘENÍ OPROTI PATKÁM 100 mm.

ZÁKLADOVÉ PATKY C.1 (MODULOVÁ OSA C1 – OSA 1)

DLE PŘÍLOHY 3.18

BETON C20/25 – XC2, BETONÁŘSKÁ VÝZTUŽ B500B, KRYTÍ VÝZTUŽE 50 mm VŠECHNY SMĚRY. ARMOKOŠ BUDE ULOŽEN NA DISTANČNÍ PRVKY TAK ABY NEDOŠLO KE KONTAKTU SE ZÁKLADOVOU SPÁROU A BYLO DODRŽENÉ DOSTATEČNÉ KRYTÍ 50 mm. PŮDORYSNÝ ROZMĚR PATKY 1000 x 1500 mm, VÝŠKA 1000 mm.

ARMOVÁNÍ PATKY PŘI SPODNÍM LÍCI VE SMĚRU ROVNOBĚŽNÉM S DELŠÍ STRANOU PATKY ϕ 16 PO 100 mm, V KOLMÉM SMĚRU ϕ 12 PO 100 mm. ARMOVÁNÍ ZE SPODNÍHO LÍCE ZATÁHNOUT AŽ K HORNÍMU LÍCI + OHYBY. ARMOVÁNÍ PATKY PŘI HORNÍM LÍCI TVOŘENO KARI SÍTÍ 10/100/100 mm. ARMOVÁNÍ BOČNÍCH STĚN PATEK VE VODOROVNÉM SMĚRU JE ROZDĚLOVACÍ VÝZTUŽÍ ϕ 10 PO 150 mm. PRO VYMEZENÍ POLOHY VÝZTUŽE PŘI HORNÍM LÍCI V RÁMCI VÝROBNÍ DOKUMENTACE DOPLNIT STOLIČKY ϕ 10 mm.

POD PATKAMI PROVÉST PODKLADNÍ BETON C12/15 – X0 TL. 80 mm, ROZŠÍŘENÍ OPROTI PATKÁM 100 mm

ZÁKLADOVÉ PATKY C.4 (MODULOVÁ OSA C1 – OSA 4)

DLE PŘÍLOHY 3.19

BETON C20/25 – XC2, BETONÁŘSKÁ VÝZTUŽ B500B, KRYTÍ VÝZTUŽE 50 mm VŠECHNY SMĚRY.

	Akce: STATICKÝ POSUDEK – REVITALIZACE NÁMĚSTÍ REPUBLIKY Objekt: SO 664 Stupeň: DPS		
kpstatika	Počet stran: 26	24-026-002	Strana: 18

ARMOKOŠ BUDE ULOŽEN NA DISTANČNÍ PRVKY TAK ABY NEDOŠLO KE KONTAKTU SE ZÁKLADOVOU SPÁROU A BYLO DODRŽENÉ DOSTATEČNÉ KRYTÍ 50 mm. PŮDORYSNÝ ROZMĚR PATKY 1400 x 1400 mm, VÝŠKA 1000 mm.

ARMOVÁNÍ PATKY PŘI SPODNÍM LÍCI V OBOU SMĚRECH **φ 16 PO 100 mm**, ARMOVÁNÍ ZE SPODNÍHO LÍCE ZATÁHNOUT AŽ K HORNÍMU LÍCI + OHYBY. ARMOVÁNÍ PATKY PŘI HORNÍM LÍCI V OBOU SMĚRECH **φ 16 PO 100 mm**.

ARMOVÁNÍ BOČNÍCH STĚN PATEK VE VODOROVNÉM SMĚRU JE ROZDĚLOVACÍ VÝZTUŽÍ **φ 10 PO 150 mm**. PRO VYMEZENÍ POLOHY VÝZTUŽE PŘI HORNÍM LÍCI V RÁMCI VÝROBNÍ DOKUMENTACE DOPLNIT STOLIČKY **φ 10 mm**.

POD PATKAMI PROVÉST PODKLADNÍ BETON C12/15 – X0 TL. 80 mm, ROZŠÍŘENÍ OPROTI PATKÁM 100 mm

ZÁKLADOVÉ PATKY C.5 (MODULOVÁ OSA C1 až C8– OSA 5)

DLE PŘÍLOHY 3.20

BETON C20/25 – XC2, BETONÁŘSKÁ VÝZTUŽ B500B, KRYTÍ VÝZTUŽE 50 mm VŠECHNY SMĚRY. ARMOKOŠ BUDE ULOŽEN NA DISTANČNÍ PRVKY TAK ABY NEDOŠLO KE KONTAKTU SE ZÁKLADOVOU SPÁROU A BYLO DODRŽENÉ DOSTATEČNÉ KRYTÍ 50 mm. PŮDORYSNÝ ROZMĚR PATKY 1000 x 1000 mm, VÝŠKA 1000 mm.

ARMOVÁNÍ PATKY PŘI SPODNÍM LÍCI V OBOU SMĚRECH **φ 12 PO 100 mm**, ARMOVÁNÍ ZE SPODNÍHO LÍCE ZATÁHNOUT AŽ K HORNÍMU LÍCI + OHYBY. . ARMOVÁNÍ PATKY PŘI HORNÍM LÍCI TVOŘENO KARI SÍTÍ **10/100/100 mm**.

ARMOVÁNÍ BOČNÍCH STĚN PATEK VE VODOROVNÉM SMĚRU JE ROZDĚLOVACÍ VÝZTUŽÍ **φ 10 PO 150 mm**. PRO VYMEZENÍ POLOHY VÝZTUŽE PŘI HORNÍM LÍCI V RÁMCI VÝROBNÍ DOKUMENTACE DOPLNIT STOLIČKY **φ 10 mm**.

POD PATKAMI PROVÉST PODKLADNÍ BETON C12/15 – X0 TL. 80 mm, ROZŠÍŘENÍ OPROTI PATKÁM 100 mm

1.8. ZÁKLADOVÝ PRAH NA STÁVAJÍCÍ ŽELEZOBETONOVÉ STĚNĚ

NA STÁVAJÍCÍ SVISLÉ ŽELEZOBETONOVÉ STĚNY BUDE PROVEDENÁ MONOLITICKÁ DOBETONÁVKA NOVÉ ŽELEZOBETONOVÉ KONSTRUKCE ROZMĚRŮ CCA 300/300mm. ČÁST STĚNY (VÝŠKA CCA 300mm) BUDE ODSTRANĚNÁ PRO MOŽNOST NAPOJENÍ NOVÉ OCELOVÉ KONSTRUKCE PŘÍSTŘEŠKU. ODSTRANĚN BUDE POUZE BETONU, VÝZTUŽ BUDE PONECHÁNA V TVARU, PŘÍPADNĚ SE PŘIZPŮSOBI DLE SKUTEČNÉHO TVARU.

ÚPRAVA STÁVAJÍCÍHO POVRCHU PŘED BETONÁŽÍ NOVÉHO PRAHU

- PODKLAD MUSÍ BÝT ČISTÝ, PEVNÝ, S OTEVŘENÝMI PÓRY, SAVÝ A DOSTATEČNĚ DRSNÝ. VYSOCE HUTNÉ, HLADKÉ POVRCHY, NENOSNÉ VRSTVY A POŠKOZENÉ BETONOVÉ POVRCHY MUSÍ BÝT UPRAVENY VHODNÝM ZPŮSOBEM NAPŘ. OTRYSKÁNÍM PÍSKEM NEBO KULIČKAMI NEBO VYSOKOTLAKÝM PROUDEM VODY. PŘI REPROFILACI VYLOMENÝCH MÍST SE MUSÍ OKRAJOVÉ ČÁSTI SEŘÍZNOUT POD ÚHLEM 30° AŽ 60°.

- PROVEDENÍ NAVRTÁVEK BETONÁŘSKÉ VÝZTUŽE Ø12 Á 150MM (VLOŽIT DO RASTRU MEZI STÁVAJÍCÍ SVISLOU VÝZTUŽ) U OBOU LÍCŮ(ROVNOMĚRNĚ V PLOŠE), MIN HL. KOTVENÍ 600MM, S POUŽITÍM ETA CERTIFIKOVANÉ CHEMICKÉ KOTVY NA BÁZI EPOXIDOVÉ PRYSKYŘICE, BETONÁŘSKÁ VÝZTUŽ BUDE NAD PATKU 250MM S PROVEDENÍM L HÁKU + ZAPOJENÍ DO VÝZTUŽE PRAHU (PŘES OBĚ VRSTVY)

- PROVÉST SPOJOVACÍ MŮSTEK NA CEMENTOVÉ BÁZI MEZI DVĚ BETONOVÉ VRSTVY.

	Akce: STATICKÝ POSUDEK – REVITALIZACE NÁMĚSTÍ REPUBLIKY Objekt: SO 664 Stupeň: DPS
kpstatika	Počet stran: 26 24-026-002 Strana: 19

- OSADIT NOVÝ ARMOKOŠ, ARMOVÁNÍ U HORNÍHO LÍCE 4x Ø16, ARMOVÁNÍ U SPODNÍHO LÍCE 4x Ø16, TŘMÍNEK Ø10 Á 150mm, KONSTRUKČNÍ VÝZTUŽ Ø12, NOVÝ ARMOKOŠ BUDE OSAZEN MEZI NOVOU VLEPENOU VÝZTUŽ, KRYTÍ 30mm. VÝZTUŽ U HORNÍHO LÍCE PŘIZPŮSOBIT KOTVENÍ SLOUPU

- ZAKRYT A CHRÁNIT DO BETONÁŽE, PO BETONÁŽI PROVÁDĚT OŠETŘENÍ BETONU

V PŘÍPADĚ NEÚNOSNÝCH BETONU BUDOU PROVEDENY DELŠÍ NAVRTÁVKY, PŘÍPADNĚ ZVĚTŠENÝ ROZSAH NOVÝCH PRAHŮ

BETON C30/37XC4, XA1, XF2, Dmax 16mm
BETONÁSKÁ VÝZTUŽ B500B
KRYTÍ 30mm

POHLEDOVOST BETONU NOVÉHO PRAHU – DLE STAVEBNÍ ČÁSTI PROJEKTU

1.9. ZÁVĚR

V PROVEDENÉM VÝPOČTU BYLA OVĚŘENÁ ÚNOSNOST A STABILITA NOVĚ NAVRŽENÉ NOSNÉ OCELOVÉ KONSTRUKCE PŘÍSTŘEŠKŮ OBJEKTU SO 664. BYLY NAVRŽENY A POSOUZENY VYBRANÉ STYČNÍKY NA KONSTRUKCI A DÁLE NAVRŽENY ZÁKLADOVÉ ŽELEZOBETONOVÉ PATKY.

NAVRŽENÁ KONSTRUKCE VYHOVUJE NA MEZNÍ STAV ÚNOSNOSTI A MEZNÍ STAV POUŽITELNOSTI V UVAŽOVANÝCH PŘÍPADECH.

V PŘÍPADĚ DALŠÍHO UMÍSTĚNÍ ZATÍŽENÍ NA KONSTRUKCI JE NUTNO PROVÉST PODROBNÉ HODNOCENÍ A POSOUZENÍ KONSTRUKCE (VÝPOČET MEZNÍCH STAVŮ).

DOPLNĚNÍ PRO UŽIVATELE STAVBY

UŽIVATEL NAVRŽENÉ A POSOUZENÉ KONSTRUKCE SI MUSÍ BÝT PLNĚ VĚDOM PODMÍNEK A PŘEDPOKLADŮ UŽÍVÁNÍ OBJEKTU, TY JSOU OBECNĚ PLATNÉ PODLE STÁVAJÍCÍCH NOREM ČSN EN A DALŠÍCH PŘEDPISŮ, PŘÍPADNĚ VÝJIMKY JSOU DEFINOVÁNY V TÉTO ZPRÁVĚ.

KONSTRUKCE MUSÍ BÝT ZA PROVOZU ŘÁDNĚ UDRŽOVÁNA. CELKOVÝ STAV KONSTRUKCE BUDE ZJIŠŤOVÁN PRAVIDELNĚ SE OPAKUJÍCÍMI PROHLÍDKAMI PROVÁDĚNÝMI ODBORNĚ ZPŮSOBILOU OSOBOU.

SOUČÁSTÍ PRAVIDELNÝCH PROHLÍDEK PROVÁDĚNÝCH INVESTOREM, MAJITELEM NEBO PROVOZOVATELEM OBJEKTU JE MIMO JINÉ I KONTROLA FUNKČNOSTI STŘEŠNÍCH ŽLABŮ, SVODŮ A PŘEPADŮ.

POZN.: STAVEBNÍ ZÁKON §160 UKLÁDÁ ZHOTOVITELI STAVBY POVINNOST PROVÁDĚT STAVBU V SOULADU S OVĚŘENOU PROJEKTOVOU DOKUMENTACÍ, TECHNICKÝMI PŘEDPISY A TECHNICKÝMI NORMAMI. JAKÉKOLIV ZMĚNY PROVEDENÉ OPROTI TÉTO TECHNICKÉ ZPRÁVĚ MUSÍ BÝT ODSOUHLASENY A ZNOVU POSOUZENY AUTORIZOVANOU OSOBOU.

V Jablunkově 11/2024

Ing. Pavel Čmiel

Konec statického posudku

2. TECHNICKÁ ZPRÁVA D.1.2.A

2.1. SEZNAM POUŽITÉ LITERATURY

ZATÍŽENÍ STAVEBNÍCH KONSTRUKCÍ

	Akce: STATICKÝ POSUDEK – REVITALIZACE NÁMĚSTÍ REPUBLIKY Objekt: SO 664 Stupeň: DPS
kpstatika	Počet stran: 26 24-026-002 Strana: 20

ČSN EN 1991-1-1	Zatížení kci- Obecná zatížení- Objemové tíhy
ČSN EN 1991-1-3	Zatížení kci- Obecná zatížení- Zatížení sněhem, včetně změny Z1
ČSN EN 1991-1-4	Zatížení kci- Obecná zatížení- Zatížení větrem
ČSN EN 1991-1-7	Zatížení kci- Obecná zatížení- Mimořádná zatížení
ČSN EN 10027-1	Systém označování ocelí- Stavba značek ocelí

NAVRHOVÁNÍ DŘEVĚNÝCH KONSTRUKCÍ

ČSN EN 1995-1-1	Navrhování dřevěných konstrukcí - Část 1-1: Obecná pravidla - Společná pravidla a pravidla pro pozemní stavby
-----------------	---

Petr Kuklík, Anna Kuklíková – NAVRHOVÁNÍ DŘEVĚNÝCH KONSTRUKCÍ PŘÍRUČKA K ČSN EN 1995-1

NAVRHOVÁNÍ OCELOVÝCH KONSTRUKCÍ

ČSN EN 1993-1-1	Navrhování ocelových kci- Obecná pravidla pro pozemní stavby
ČSN EN 1993-1-2	Navrhování ocelových kci- Navrhování konstrukcí na účinky požáru
ČSN EN 1993-1-8	Navrhování ocelových kci- Navrhování styčnicků
ČSN EN 1090-1	Provádění ocelových kci a hliníkových kci, část 1: Požadavky na posouzení shody konstrukčních dílců
ČSN EN 1090-2	Provádění ocelových konstrukcí a hliníkových konstrukcí - Část 2: Technické požadavky na ocelové konstrukce
ČSN 73 2611	Úchytky rozměrů a tvarů ocelových konstrukcí vč změny A, B, 3, 4, a Z5
ČSN 73 2604	Kontrola a údržba ocelových konstrukcí pozemní a inženýrských staveb
ČSN EN ISO 12944-5	Nátěrové hmoty- Protikorozní ochrana ocelových konstrukcí ochrannými nátěrovými systémy, část 5 Ochranné nátěrové systémy

NAVRHOVÁNÍ GEOTECHNICKÝCH KONSTRUKCÍ

ČSN EN 1997-1	Navrhování geotechnických konstrukcí – Část 1 : Obecná pravidla
---------------	---

NAVRHOVÁNÍ BETONOVÝCH KONSTRUKCÍ

ČSN EN 1992-1-1 Eurokód 2:	Navrhování betonových konstrukcí. Část 1-1: Obecná pravidla a pravidla pro pozemní stavby
----------------------------	---

Beton - technologie

ČSN EN 206-1	Beton – Část 1: Specifikace, vlastnosti, výroba a shoda
ČSN EN 13670	Provádění betonových konstrukcí
ČSN 73 0202	Geometrická přesnost ve výstavbě. Základní ustanovení
ČSN 42 0139	Ocel pro výztuž do betonu - Svařitelná žebírková betonářská ocel - Všeobecně
ČSN 73 0210-1	Geometrická přesnost ve výstavbě. Podmínky provádění. Část 1: Přesnost osazení
ČSN 73 0212-1	Geometrická přesnost ve výstavbě. Kontrola přesnosti. Část 1: Základní ustanovení
ČSN 73 0212-3	Geometrická přesnost ve výstavbě. Kontrola přesnosti. Část 3: Pozemní stavební objekty
ČSN 73 6180	Hmoty pro ošetřování povrchu čerstvého betonu

2.2. POPIS KONSTRUKCE

ÚKOLEM STATICKÉHO POSUDKU JE NÁVRH A POSOUZENÍ OCELOVÝCH KONSTRUKCÍ PŘÍSTŘEŠKŮ OBJEKTU 664 A NÁVRH ZÁKLADOVÝCH KONSTRUKCÍ. JEDNÁ SE O 6 SAMOSTATNÝCH KONSTRUKCÍ, KTERÉ NA SEBE NAVAZUJÍ V PODÉLNÉM SMĚRU. STŘEŠNÍ ROVINY JSOU PROVEDENY V PŘÍČNÉM SPÁDU, RESP. STŘEDOVÁ ČÁST MÁ STŘEŠNÍ ROVINU I V PODÉLNÉM SPÁDU.

2.3. ZATÍŽENÍ

DLE PŘÍLOHY 3.1

2.4. VÝROBA A MONTÁŽ

	Akce: STATICKÝ POSUDEK – REVITALIZACE NÁMĚSTÍ REPUBLIKY Objekt: SO 664 Stupeň: DPS		
kpstatika	Počet stran: 26	24-026-002	Strana: 21

DLE ČSN EN 1090-2 (732601) PROVÁDĚNÍ OCELOVÝCH KONSTRUKCÍ A HLINÍKOVÝCH KONSTRUKCÍ - ČÁST 2: TECHNICKÉ POŽADAVKY NA OCELOVÉ KONSTRUKCE JE OK TŘÍDY ZAŘAZENA DO VÝROBNÍ SKUPINY „EXC2“.

KONSTRUKCE MÁ DÍLENSKÉ SPOJE NAVRŽENY JAKO SVAŘOVANÉ, NA MONTÁŽNÍ BUDOU PŘÍPOJE ŠROUBOVANÉ. NOSNÁ OK JE TVOŘENA BĚŽNÝMI VÁLCOVANÝMI PROFILY.

MAXIMÁLNÍ ROZMĚRY NOSNÉ OK PRO PŘEPRUVU A MONTÁŽ JSOU PODMÍNĚNY LIMITY: MAX DÉLKA 12,5 M, MAX ŠÍŘKA 2,3M A MAX VÝŠKA PRVKŮ 2,9M.,

2.5. MATERIÁL OCELOVÉ KONSTRUKCE

PRO OCELOVOU KONSTRUKCI (OK) SE POUŽIJÍ MATERIÁLY, JEJICHŽ MECHANICKÉ VLASTNOSTI A CHEMICKÉ SLOŽENÍ JSOU STANOVENY V PŘÍSLUŠNÝCH NORMÁCH TECHNICKÝCH DODACÍCH PODMÍNEK OCELI A JEJICHŽ TVARY A ROZMĚRY JSOU UVEDENY V NORMÁCH ROZMĚRŮ A GEOMETRICKÝCH ODCHYLEK HUTNÍCH VÝROBKŮ. OCELI O TAŽNOSTI MENŠÍ NEŽ 15 % NEJSOU PRO SVAŘOVANÉ OCELOVÉ KONSTRUKCE VHODNÉ. PRO SVAŘOVANÉ OCELOVÉ KONSTRUKCE SE POUŽIJÍ ZÁKLADNÍ MATERIÁLY TŘÍDY S 235 DODANÉ PODLE ČSN EN 10025+A1 JAKOSTNÍHO STUPNĚ JR A TŘÍDY S355 DODANÉ PODLE ČSN EN 10025+A1 JAKOSTNÍHO STUPNĚ J2 . PLECHY PRO PRVKY NOSNÝCH KONSTRUKCÍ SE OBJEDNAJÍ S DOKUMENTY KONTROLY JAKOSTI MATERIÁLU PODLE ČSN EN 10204 TYPU 2.2. PRVKY SE OBJEDNÁVAJÍ VE STAVU NORMALIZAČNĚ ŽÍHANÉM NEBO NORMALIZAČNĚ VÁLCOVANÉM. PLECHY PRO NOSNÉ KONSTRUKCE MUSÍ SPLŇOVAT POŽADAVEK HOMOGENITY (CELISTVOSTI) MATERIÁLU. V MÍSTECH, KDE ZDVOJENÍ MATERIÁLU OHROŽÍ BEZPEČNOST KONSTRUKCE, MUSÍ HOMOGENITA MATERIÁLU SPLŇOVAT MINIMÁLNÍ STUPEŇ TŘÍDY S3 A E4 PODLE ČSN EN 10160. DALŠÍ ZÁKLADNÍ KONSTRUKČNÍ MATERIÁLY (TYČE, PROFILY) SE OBJEDNAJÍ S DOKUMENTY KONTROLY JAKOSTI MATERIÁLU TYPU 2.2. PRVKY SE OBJEDNAJÍ VE STAVU PO VÁLCOVÁNÍ

SVAŘOVANÉ PŘÍPOJE: **VEŠKERÉ SVAROVÉ PŘÍPOJE JSOU PROVEDENY JAKO DÍLENSKÉ.** SVARY JSOU PROVEDENY NA PLNOU ÚNOSNOST, SVAROVÉ ÚKOSY JSOU PROVEDENY DLE ČSN EN ISO 9692-1, V PŘÍPADĚ SVARŮ NÁVAZNÝCH PŘÍPOJŮ NA ČELNÍ DESKU JE NUTNO PROVÉST NEDESTRUKTIVNÍ (NDT) KONTROLU SVARŮ: SVARY ZKOUŠET ULTRAZVUKEM DLE ČSN EN ISO 17640 A HODNOCENÍ PROVÉST NA STUPEŇ PŘÍPUSTNOSTI 2 DLE ČSN EN ISO 11666.

ŠROUBOVÉ PŘÍPOJE MUSÍ SPLŇOVAT PODMÍNKY ČSN EN 1090-2+A1 PRO ROZTEČE, ROZTEČNÉ ČÁRY, TĚŽIŠTNÍ OSY A PRŮMĚRY ŠROUBŮ. **VEŠKERÉ SPOJOVACÍ PROSTŘEDKY (TJ. ŠROUBY A ZÁVITOVÉ TYČE) BUDOU PROVEDENY V POZINKOVANÉ ÚPRAVĚ A MINIMÁLNÍ PEVNOSTI 8.8. PRO MOMENTOVÉ PŘÍPOJE BUDOU POUŽITY ŠROUBY TŘÍDY 10.9**

2.6. PROTIPOŽÁRNÍ OCHRANA

OCELOVÁ KONSTRUKCE NENÍ NAVRŽENA NA POŽÁRNÍ ODOLNOST DLE ČSN EN 1993-1-2.

2.7. OCHRANA PROTI KOROZI

OCELOVÉ KONSTRUKCE BUDOU CHRÁNĚNY UCELENÝM NÁTĚROVÝM SYSTÉMEM DLE STUPNĚ KOROZIVNÍHO PROSTŘEDÍ C-3 EXTERIÉR.

OBECNÉ ZÁSADY:

PŘI VÝROBĚ A MONTÁŽI OCELOVÉ KONSTRUKCE (OK) JE NUTNO DODRŽET NÁSLEDUJÍCÍ ZÁSADY DLE ČSN 73 0080, ZEJMÉNA:

- SRAZIT OSTRÉ HRANY KONSTRUKCÍ.
- ODSTRANIT OSTRÉ VÝČNĚLKY A ZÁSEKY.

	Akce: STATICKÝ POSUDEK – REVITALIZACE NÁMĚSTÍ REPUBLIKY Objekt: SO 664 Stupeň: DPS		
kpstatika	Počet stran: 26	24-026-002	Strana: 22

- SVARY MUSÍ ZAMEZIT ZATĚKÁNÍ VODY DO UZAVŘENÝCH ČÁSTÍ, SVARY OČISTIT, ZABROUSIT.
- ZAJISTIT ODTOK VODY ZE VŠECH UZLŮ KONSTRUKCE.

PŘI APLIKACI NÁTĚRU U ZÁKLADNÍHO NÁTĚRU A PRVNÍ MEZIVRSTVY PROVÉST PÁSOVÝ NÁTĚR (PŘED VLASTNÍ APLIKACI DANÉ VRSTVY SE PROVEDE NÁTĚR SVARŮ, HRAN, KOUTŮ, ŠROUBŮ, APOD. ŠTĚTCEM). ZÁKLADNÍ NÁTĚR SE NESMÍ PROVÁDĚT VÁLEČKEM A VZDUCHOVÝM STRÍKÁNÍM, VŠECHNY VRSTVY NÁTĚRŮ PROVÁDĚT V PŘEDEPSANÝCH TLOUŠTKÁCH.

PRO OCELOVOU KONSTRUKCI V PRŮMYSLOVÉM PROSTŘEDÍ JE STANOVEN STUPEŇ KOROZNÍ AGRESIVITY C3

TEPLOTA OCELOVÉ KONSTRUKCE NEPŘEKROČÍ HODNOTU 100°C.

PŘEJÍMKA NÁTĚRŮ PODLE ČSN EN ISO 12944 NEBO POKYNŮ INVESTORA STAVBY.

A) NOVÁ OK:

PŘÍPRAVA POVRCHU OCELOVÉ KONSTRUKCE: OTRYSKAT POVRCH NA STUPEŇ SA 2,5 VČETNĚ PROVEDENÍ ZÁKLADNÍHO NÁTĚRU, OBLAST MONTÁŽNÍCH SVAROVÝCH SPOJŮ OPATŘIT SNÍMATELNÝM LAKEM. V SOULADU SE SPECIFIKACI NÁTĚROVÝCH SYSTÉMŮ DLE NORMY ČSN EN ISO 12944-2 JE DOPORUČENÁ NÁSLEDUJÍCÍ SKLADBA NÁTĚROVÉHO SYSTÉMU V SOULADU S KOROZNÍ AGRESIVITOU PROSTŘEDÍ. OCEL KONSTRUKČNÍ – (VÁLCOVANÉ PROFILY, PLECHY...)

1. nátěr (základní) 1x tl. min. 120 µm
 2. nátěr (mezivrstva) 1x tl. min. 120 µm
 3. nátěr (vrchní) 1x tl. min. 80 µm
- Celkem tl. min. 320 µm

DŮLEŽITÉ UPOZORNĚNÍ:

ZHOTOVITEL V DOBĚ PŘED PODÁNÍM NABÍDKY PROKONZULTUJE SKUTEČNÝ ROZSAH NÁTĚRŮ SE ZADAVATELEM OSOBNĚ NA MÍSTĚ STAVBY.

2.8. KOTVENÍ OCELOVÉ KONSTRUKCE

KOTVENÍ OCELOVÉ KONSTRUKCE BUDE PROVEDENO POMOCI DODATEČNĚ OSAZOVANÝCH KOTEV PEVNOSTNÍ TŘÍDY (8.8) POMOCÍ TECHNOLOGIE SafeSet S POUŽITÍM ETA CERTIFIKOVANÉ CHEMICKÉ KOTVY NA BÁZI EPOXIDOVÉ PRYSKYŘICE S KOTEVNÍM ŠROUBEM DEKLAROVANÉ KVALITY OCELI.

PODLITÍ TL. 30 mm.

Podlití OK provést dle normy CSN EN 1090-2 +A1, odst. 5.8:

- podlití do 25mm - kaše z čistého portlandského cementu
- podlití 25-50mm - malta z portlandského cementu která není chudší než 1:1 (cement k jemnému kamenivu)
- podlití nad 50mm - hustší malta z portlandského cementu, která není chudší než 1:2 (cement k jemnému kamenivu)

alternativní speciální zálivková směs

2.9. ZEMNĚNÍ NOSNÉ KONSTRUKCE

DLE ELEKTRO ČÁSTI PROJEKTU

2.10. OPLÁŠTĚNÍ

DLE STAVEBNÍ ČÁSTI PROJEKTU, NOSNÁ KONSTRUKCE BUDE DOPLNĚNÁ O KONSTRUKČNÍ PRVKY PRO MOŽNOST NAPOJENÍ OPLÁŠTĚNÍ VYBRANÉHO DODAVATELE

2.11. KVALITA ŽELEZOBETONOVÝCH KONSTRUKCÍ

	Akce: STATICKÝ POSUDEK – REVITALIZACE NÁMĚSTÍ REPUBLIKY Objekt: SO 664 Stupeň: DPS		
kpstatika	Počet stran: 26	24-026-002	Strana: 23

KONSTRUKCE MUSÍ BÝT PROVEDENY V TOLERANCÍCH POŽADOVANÝMI PLATNÝMI NORMAMI ČSN EN 13670. Z HLEDISKA KVALITY VÝSLEDNÉHO POVRCHU BETONU JSOU KONSTRUKCE ROZDĚLENY DO TŘÍ KATEGORIÍ:

- A) BĚŽNÝ POVRH BEZ ZVLÁŠTNÍCH NÁROKŮ
- B) POHLEDOVÝ BETON BEZ MIMOŘÁDNÝCH NÁROKŮ
- C) POHLEDOVÝ BETON S MAXIMÁLNÍMI NÁROKY NA KVALITU PROVEDENÍ

NA TÉTO STAVBĚ SE NACHÁZÍ KATEGORIE „A, B“

KATEGORIE A) PLATÍ PRO VŠECHNY POVRCHY, KTERÉ NEBUDOU TRVALE VIDITELNÉ. Z KONSTRUKČNÍHO HLEDISKA MUSÍ TYTO POVRCHY VYHOVĚT POUZE BĚŽNÝM POŽADAVKŮM NA KVALITNÍ BETON S PATŘIČNÝM KRYTÍM VÝZTUŽE BEZ HNÍZD A NEPŘIMĚŘENÝCH TRHLIN. ROVINATOST POVRCHU MUSÍ VYHOVOVAT NAVAZUJÍCÍM KONSTRUKCÍM.

PŘI PROVÁDĚNÍ A OSAZENÍ KONSTRUKCÍ MUSÍ BÝT DODRŽENY MAX. DOVOLENÉ ODCHYLKY DLE ČSN 73 0205 „GEOMETRICKÁ PŘESNOST VE VÝSTAVBĚ - NAVRHOVÁNÍ GEOMETRICKÉ PŘESNOSTI“ A ČSN 73 0210-1 „GEOMETRICKÁ PŘESNOST VE VÝSTAVBĚ. PODMÍNKY PROVÁDĚNÍ, ČÁST 1 – PŘESNOST OSAZENÍ“. DÁLE ČSN 73 0212-3 „GEOMETRICKÁ PŘESNOST VE VÝSTAVBĚ, ČÁST 3 – POZEMNÍ STAVEBNÍ OBJEKTY“ A ČSN 73 0212-5 „GEOMETRICKÁ PŘESNOST VE VÝSTAVBĚ, ČÁST 5 – KONTROLA PŘESNOSTI STAVEBNÍCH DÍLCŮ“

KATEGORIE B) DLE STAVEBNÍ ČÁSTI PROJEKTU – PLATÍ PRO NOVÉ PRAHY NA ZÍDCE TRAVELÁTORU A SCHODIŠTĚ

ŘÁDNÉ KOTVENÍ KONSTRUKCE - MONOLITICKÉ KONSTRUKCE

SVISLÉ NOSNÉ MONOLITICKÉ KONSTRUKCE JSOU VŽDY VYVAZOVÁNY NA KOTEVNÍ VÝZTUŽ Z PŘEDCHOZÍ SOUSEDÍCÍ MONOLITICKÉ KONSTRUKCE. VEŠKERÉ SOUSEDÍCÍ MONOLITICKÉ KONSTRUKCE JSOU NAVZÁJEM PROVÁZANÉ VÝZTUŽÍ. KAŽDÝ VZNIKLÝ VYVÁZANÝ ROH MUSÍ MÍT ZAVLEČENOU VNITŘNÍ ZÁVLAČOVOU VÝZTUŽ. PRO KOTVENÍ PLATÍ VŽDY DÉLKY VÝZTUŽE NA MIN. KOTEVNÍ DÉLKU (DLE TŘÍDY BETONU A PROFILU VÝZTUŽE – CCA 50 PROFILŮ). PRO NASTAVOVÁNÍ VÝZTUŽÍ PLATÍ VŽDY MIN. DÉLKA PŘESAHU (DLE TŘÍDY BETONU A PROFILU VÝZTUŽE – CCA 60 PROFILŮ).

DODATEČNÉ KOTVENÍ - MONOLITICKÉ KONSTRUKCE

VEŠKERÉ DODATEČNÉ KOTVENÍ DO ŽB KONSTRUKCE MUSÍ BÝT PŘEDEM ODSOUHLASENO PROJEKTANTEM PROVÁDĚCÍ ČÁSTI DOKUMENTACE. DODATEČNÉ KOTVENÍ SE BUDE PROVÁDĚT POMOCÍ CHEMICKÝCH KOTEV. OSAZOVÁNÍ KOTEV SE ŘÍDÍ TECHNOLOGICKÝMI PŘEDPISY VÝROBCE.

PRACOVNÍ SPÁRY - MONOLITICKÉ KONSTRUKCE

PRACOVNÍ SPÁRY PŘI BETONÁŽI SE PŘEDPOKLÁDAJÍ VŽDY NA SPODNÍM A HORNÍM LÍCI STYKU STĚNA/DESKA, STYKU DESKA/STĚNA. V MÍSTĚ PRACOVNÍ SPÁRY DESKA/STĚNA NENÍ POŽADAVEK NA TĚSNĚNÍ PRACOVNÍ SPÁRY

SMRŠŤOVÁNÍ A DOTVAROVÁNÍ BETONU - MONOLITICKÉ KONSTRUKCE

NEPŘÍZNIVÉ ÚČINKY OD SMRŠŤOVÁNÍ BETONU JSOU OMEZENY VHODNÝM USPOŘÁDÁNÍM VÝZTUŽE, NAPŘÍKLAD ULOŽENÍM VÝZTUŽE I V TLAČENÉ OBLASTI STROPNÍ DESKY, VHODNOU TECHNOLOGIÍ UKLÁDÁNÍ BETONU, DODRŽOVÁNÍM TECHNOLOGICKÉ KÁZNĚ, KVALITNÍM OŠETŘOVÁNÍM ULOŽENÉHO BETONU, VHODNÝM SLOŽENÍM BETONOVÉ SMĚSI A PŘÍPADNĚ POUŽITÍM BETONU, U KTERÉHO JE DOSAŽENO POŽADOVANÝCH VLASTNOSTÍ PO DEVADESÁTI DNECH. STANDARDNĚ BUDE POUŽIT BETON, KTERÝ DOSÁHNE POŽADOVANÝCH VLASTNOSTÍ PO 28 DNECH OD ULOŽENÍ BETONOVÉ SMĚSI. U DESEK BUDE VODOROVNÁ VÝZTUŽ NAVRŽENA NA ŠÍŘKU TRHLINY OD VYNUCENÝCH PŘETVOŘENÍ. OSAZENÍ VÝPLNÍ OTVORŮ PROVĚST CO NEJPOZDĚJI, MINIMÁLNĚ 14 DNÍ OD BETONÁŽE.

2.12. BEZPEČNOST PRÁCE A DALŠÍ OPATŘENÍ

	Akce: STATICKÝ POSUDEK – REVITALIZACE NÁMĚSTÍ REPUBLIKY Objekt: SO 664 Stupeň: DPS		
kpstatika	Počet stran: 26	24-026-002	Strana: 24

PRÁCE BUDOU PROVÁDĚNY V SOULADU S VYHLÁŠKOU Č. 324/1990 SB. ČESKÉHO ÚŘADU BEZPEČNOSTI PRÁCE A ČBÚ. POŽÁRNÍ BEZPEČNOST MUSÍ BÝT ZAJIŠTĚNA VE SMYSLU ZÁKONA Č. 91/1995 SB. A VYHLÁŠKY MV Č. 21/1996 SB. MANIPULACE SE SYPKÝMI HMOTAMI VČETNĚ JEJICH SKLADOVÁNÍ MUSÍ ODPOVÍDAT VYHLÁŠCE MPSV Č. 12/1995 SB. PRACOVNÍ A OCHRANNÉ POMŮCKY PRACOVNÍKŮ MUSÍ ODPOVÍDAT VYHLÁŠCE MPSV Č. 204/1994. PRACOVNÍCI MUSÍ BÝT PŘED ZAHÁJENÍM PRACÍ SEZNÁMENI S TECHNOLOGICKÝMI POSTUPY A S PŘÍSLUŠNÝMI BEZPEČNOSTNÍMI PŘEDPISY. DÁLE MUSÍ BÝT SEZNÁMENI A MUSÍ SE ŘÍDIT BEZPEČNOSTNÍMI PŘEDPISY A PRAVIDLY JEDNOTLIVÝCH DODAVATELŮ, SOUVISEJÍCÍMI S REALIZACÍ DÍLA. OTVORY V ZEMI MUSÍ BÝT CHRÁNĚNY PLNÝM PŘEKRYTÍM.

PRÁCE BUDOU PROVÁDĚNY V SOULADU S TECHNOLOGICKÝMI PŘEDPISY DODAVATELE A ČSN EN 1536 A ČSN 73 1201.

2.13. PÉČE O ŽIVOTNÍ PROSTŘEDÍ

PŘI VLASTNÍ STAVBĚ MUSÍ BÝT RESPEKTOVÁNY PODMÍNKY ORGÁNŮ ŽIVOTNÍHO PROSTŘEDÍ. ŠETRNÝM PROVÁDĚNÍM STAVEBNÍCH ČINNOSTÍ SE DAJÍ ELIMINOVAT ŠKODY NA ŽIVOTNÍM PROSTŘEDÍ. ROVNĚŽ PŘI PRÁCI STAVEBNÍCH MECHANISMŮ A DOPRAVĚ STAVEBNÍCH MATERIÁLŮ JE NUTNO POSTUPOVAT SE ZVÝŠENOU OPATRNOSTÍ K ŽIVOTNÍMU PROSTŘEDÍ, VČETNĚ ZAMEZOVÁNÍ ÚKAPŮ POHONNÝCH HMOT A JINÝCH ROPNÝCH PRODUKTŮ. VÍCEVRSTVÉ POPŘÍPADĚ SENDVIČOVÉ ODPADNÍ MATERIÁLY SEPARUJEME NA JEDNOTLIVÉ ČÁSTI. ODŘEZKY A DALŠÍ ODPADY VZNIKLE PŘI STAVEBNÍ ČINNOSTI SE ODVEZOU NA ŘÍZENÉ SKLÁDKY PŘÍSLUŠNÝCH ODPADŮ K ULOŽENÍ, PŘÍP. K RECYKLACI (NAPŘ. NAPŘ. CIHELNÉ A BETONOVÉ ZDIVO, KOVOVÝ A PLASTOVÝ MATERIÁL).

ZNEŠKODNĚNÍ ODPADŮ ZE STAVEBNÍCH MATERIÁLŮ ZAJISTÍ DODAVATEL STAVBY. S NEBEZPEČNÝMI ODPADY BUDE NAKLÁDÁNO V SOULADU S PLATNOU LEGISLATIVOU – ZÁKON O ODPADECH.

PRO LIKVIDACI ODPADŮ MUSÍ MÍT DODAVATEL STAVBY UZAVŘENOU SMLOUVU O LIKVIDACI ODPADŮ S FIRMOU OPRÁVNĚNOU KE ZNEŠKODŇOVÁNÍ ODPADŮ. PRO VÝSTAVBU NESMÍ BÝT POUŽITY MATERIÁLY, U KTERÝCH NENÍ ZNÁM ZPŮSOB ZNEŠKODNĚNÍ PO JEJICH POUŽITÍ.

ŽÁDNÉ ZE ZAŘÍZENÍ STAVBY NENÍ UVEDENO V PŘÍLOZE Č. 1 ZÁKONA Č. 76/2002 SB. O INTEGROVANÉ PREVENCI A OMEZOVÁNÍ ZNEČIŠTĚNÍ, O INTEGROVANÉM REGISTRU ZNEČIŠŤOVÁNÍ A O ZMĚNĚ NĚKTERÝCH ZÁKONŮ VE ZNĚNÍ ZÁKONA Č. 521/2002 SB., ZÁKONA Č. 437/2004 SB., ZÁKONA Č. 695/2004 SB. A ZÁKONA Č. 444/2005 SB.

2.14. PLÁN KONTROLY SPOLEHLIVOST

PROHLÍDKY KONSTRUKCE, KONTROLNÍ PROHLÍDKY A PODROBNÉ KONTROLNÍ PROHLÍDKY PROVÁDĚT VE STANOVENÝCH TERMÍNECH A PŘEDEPSANÉM ROZSAHU DLE ČSN 732604.

PROHLÍDKY PROVEDOU OSOBY S ODPOVÍDAJÍCÍ KVALIFIKACÍ PRO PŘÍSLUŠNÝ DRUH KONTROLNÍHO ÚKONU, ŠKOLENÍM BEZPEČNOSTI PRÁCE. KONTROLU SVARŮ MOHOU PROVÁDĚT OSOBY S ODPOVÍDAJÍCÍ KVALIFIKACÍ STANOVENÉ V ČSN EN 1090-2+A1.

V RÁMCI PŘEJÍMKY NOVÉ KONSTRUKCE BUDE PROVEDENA **VÝCHOZÍ PROHLÍDKA**. PROHLÍDKA BUDE ZAMĚŘENA NA SOULAD KONSTRUKCE S DOKUMENTACÍ, ÚPLNOST KONSTRUKCE, KVALITU SVARŮ A ŠROUBŮ – SPOJŮ, PROTIKOROZNÍ OCHRANU, ZAMĚŘENÍ GEOMETRICKÉHO TVARU KONSTRUKCE.

BĚŽNÁ PROHLÍDKA KONSTRUKCE VE TŘÍDĚ NÁSLEDKŮ CC2 BUDE PROVÁDĚNA 1X ZA 5 LET SE ZÁPÍSEM DO PROVOZNÍ KNIHY. NOSNÁ KONSTRUKCE S PŘÍSLUŠENSTVÍM BUDE KONTROLOVÁNA VIZUÁLNĚ, PŘÍPADNĚ SE POŽIJÍ JEDNODUCHÉ NÁSTROJE. ROZSAH KONTROLY JE UVEDEN V NORMĚ ČSN 732604 V ODSTAVCI 6.2.4 BĚŽNÁ PROHLÍDKA.

PODROBNÁ PROHLÍDKA BUDE PROVÁDĚNA NA ZÁKLADĚ DOPORUČENÍ BĚŽNÉ PROHLÍDKY NEBO MIMOŘÁDNÉ PROHLÍDKY, NEJMÉNĚ 1X ZA 10 LET. ROZSAH KONTROLY JE UVEDEN V NORMĚ ČSN 732604 V ODSTAVCI 6.2.5 PODROBNÁ PROHLÍDKA.

MIMOŘÁDNÁ PROHLÍDKA BUDE PROVEDENA V PŘÍPADĚ ZÁVAŽNÝCH ZJIŠTĚNÍ PŘI PRAVIDELNÉ (BĚŽNÉ A PODROBNÉ) PROHLÍDKĚ, PŘÍPADNĚ PO MIMOŘÁDNÉ UDÁLOSTI, KTERÁ MOHLA

	Akce: STATICKÝ POSUDEK – REVITALIZACE NÁMĚSTÍ REPUBLIKY Objekt: SO 664 Stupeň: DPS		
kpstatika	Počet stran: 26	24-026-002	Strana: 25

ZPŮSOBIT POŠKOZENÍ KONSTRUKCE. JEDNÁ SE ZEJMÉNA O POŽÁR NEBO VÝBUCH OVLIVŇUJÍCÍ VLASTNOSTI OCELOVÉ KONSTRUKCE, ÚDER BLESKU, PÁD BŘEMENA NA KONSTRUKCI, NÁRAZ DOPRAVNÍHO PROSTŘEDKU, POŠKOZENÍ VANDALY, TERORISTICKÝ ČIN, POVODEŇ NEBO ZAPLAVENÍ, LAVINA, SESUV, TECHNICKÉ NEBO PŘÍRODNÍ SEIZMICKÉ UDÁLOSTI, PŘETÍŽENÍ SNĚHEM NEBO LEDEM, POKLES V DŮSLEDKU DŮLNÍ ČINNOSTI, KRASOVÝCH JEVŮ APOD. U VYSOKÝCH A/NEBO ŠTÍHLÝCH KONSTRUKCÍ PO MIMOŘÁDNÉM ZATÍŽENÍ VĚTREM A PŘI ZJIŠTĚNÍ REZONANČNÍHO KMITÁNÍ NEBO JINÝCH JEVŮ AERODYNAMICKÉ ČI AEROELASTICKÉ NESTABILITY. ROZSAH MIMOŘÁDNÉ PROHLÍDKY SE URČÍ V ZÁPISU O PROVEDENÍ PRAVIDELNÉ PROHLÍDKY, PŘÍPADNĚ PODLE ROZSAHU A POVAHY MIMOŘÁDNÉ UDÁLOSTI.

2.15. ZÁVĚR

V PROVEDENÉM VÝPOČTU BYLA OVĚŘENÁ ÚNOSNOST A STABILITA NOVĚ NAVRŽENÉ NOSNÉ OCELOVÉ KONSTRUKCE PŘÍSTŘEŠKŮ OBJEKTU SO 664. BYLY NAVRŽENY A POSOUZENY VYBRANÉ STYČNÍKY NA KONSTRUKCI A DÁLE NAVRŽENY ZÁKLADOVÉ ŽELEZOBETONOVÉ PATKY.

NAVRŽENÁ KONSTRUKCE VYHOVUJE NA MEZNÍ STAV ÚNOSNOSTI A MEZNÍ STAV POUŽITELNOST V UVAŽOVANÝCH PŘÍPADECH.

V PŘÍPADĚ DALŠÍHO UMÍSTĚNÍ ZATÍŽENÍ NA KONSTRUKCI JE NUTNO PROVÉST PODROBNÉ HDNOCENÍ A POSOUZENÍ KONSTRUKCE (VÝPOČET MEZNÍCH STAVŮ).

DOPLNĚNÍ PRO UŽIVATELE STAVBY

UŽIVATEL NAVRŽENÉ A POSOUZENÉ KONSTRUKCE SI MUSÍ BÝT PLNĚ VĚDOM PODMÍNEK A PŘEDPOKLADŮ UŽÍVÁNÍ OBJEKTU, TY JSOU OBECNĚ PLATNÉ PODLE STÁVAJÍCÍCH NOREM ČSN EN A DALŠÍCH PŘEDPISŮ, PŘÍPADNĚ VÝJIMKY JSOU DEFINOVÁNY V TĚTO ZPRÁVĚ.

KONSTRUKCE MUSÍ BÝT ZA PROVOZU ŘÁDNĚ UDRŽOVÁNA. CELKOVÝ STAV KONSTRUKCE BUDE ZJIŠŤOVÁN PRAVIDELNĚ SE OPAKUJÍCÍMI PROHLÍDKAMI PROVÁDĚNÝMI ODBORNĚ ZPŮSOBILOU OSOBOU.

SOUČÁSTÍ PRAVIDELNÝCH PROHLÍDEK PROVÁDĚNÝCH INVESTOREM, MAJITELEM NEBO PROVOZOVATELEM OBJEKTU JE MIMO JINÉ I KONTROLA FUNKČNOSTI STŘEŠNÍCH ŽLABŮ, SVODŮ A PŘEPADŮ.

POZN.: STAVEBNÍ ZÁKON §160 UKLÁDÁ ZHOTOVITELI STAVBY POVINNOST PROVÁDĚT STAVBU V SOULADU S OVĚŘENOU PROJEKTOVOU DOKUMENTACÍ, TECHNICKÝMI PŘEDPISY A TECHNICKÝMI NORMAMI. JAKÉKOLIV ZMĚNY PROVEDENÉ OPROTI TĚTO TECHNICKÉ ZPRÁVĚ MUSÍ BÝT ODSOUHLASENY A ZNOVU POSOUZENY AUTORIZOVANOU OSOBOU.

TATO DOKUMENTACE NENAHRADUJE VÝROBNÍ A MONTÁŽNÍ DOKUMENTACI VYBRANÉHO DODAVATELE OCELOVÉ A ŽELEZOBETONOVÉ KONSTRUKCE.

V Jablunkově 11/2024

Ing. Pavel Čmiel

Konec technické zprávy

	Akce: STATICKÝ POSUDEK – REVITALIZACE NÁMĚSTÍ REPUBLIKY Objekt: SO 664 Stupeň: DPS
kpstatika	Počet stran: 26
	24-026-002
	Strana: 26

3. PŘÍLOHY

- 3.1. ZATÍŽENÍ KONSTRUKCE**
- 3.2. STATICKÝ VÝPOČET – SO 664 - KRAJNÍ ČÁST - MODULOVÉ OSY A1 AŽ A14**
- 3.3. STATICKÝ VÝPOČET – SO 664 - STŘEDOVÁ ČÁST - MODULOVÉ OSY B1 AŽ B33**
- 3.4. STATICKÝ VÝPOČET – SO 664 - KONCOVÁ ČÁST - MODULOVÉ OSY C1 AŽ C8**
- 3.5. STATICKÝ VÝPOČET – KOTVENÍ SLOUPU RHS 200*120*8 NA MONOLITICKÉ STĚNY PODÉL TRAVELÁTORU**
- 3.6. STATICKÝ VÝPOČET – KOTVENÍ SLOUPU OSA B1-B3, B31-B33 – OSA 1**
- 3.7. STATICKÝ VÝPOČET – KOTVENÍ SLOUPU OSA B4-B30 – OSA 1**
- 3.8. STATICKÝ VÝPOČET – KOTVENÍ SLOUPU OSA B1 AŽ B33 – OSA 5**
- 3.9. STATICKÝ VÝPOČET – KOTVENÍ SLOUPU CHS 168,3*8 – OSA B1 AŽ B33-OSA 4**
- 3.10. STATICKÝ VÝPOČET – STYČNÍK SLOUP CHS 168,3*8 – PŘÍČEL OSY B1 AŽ B33**
- 3.11. STATICKÝ VÝPOČET – ZÁKLADOVÉ PATKY A.5 (MODULOVÁ OSA A2-A14 - OSA5)**
- 3.12. STATICKÝ VÝPOČET - ZÁKLADOVÉ PATKY B.1.1**
- 3.13. STATICKÝ VÝPOČET – ZÁKLADOVÉ PATKY B.1.2**
- 3.14. STATICKÝ VÝPOČET – ZÁKLADOVÉ PATKY B.4.1**
- 3.15. STATICKÝ VÝPOČET – ZÁKLADOVÉ PATKY B.4.2**
- 3.16. STATICKÝ VÝPOČET – ZÁKLADOVÉ PATKY B.5.2**
- 3.17. STATICKÝ VÝPOČET – ZÁKLADOVÉ PATKY B.5.1**
- 3.18. STATICKÝ VÝPOČET – ZÁKLADOVÉ PATKY C.1**
- 3.19. STATICKÝ VÝPOČET – ZÁKLADOVÉ PATKY C.4**
- 3.20. STATICKÝ VÝPOČET – ZÁKLADOVÉ PATKY C.5**
- 3.21. VÝKRESOVÁ ČÁST:**
VÝKRES 01-07

Projekt

Akce : RNR
Část : SO664
Datum : 22.10.2024
Číslo zakázky : 24-026-002

Norma

Použita národní příloha pro Česko

1 Protokol zatížení: STŘEŠNÍ PLÁŠŤ

Stálé zatížení	Charakt. [kN/m ²]	Souč. [-]	Návrh. [kN/m ²]
Ostatní stálé zatížení			
PUR PANEL TL. 80 mm	0,12	1,35	0,16
TRAPEZ PLECH. + KRYTINA	0,25	1,35	0,34
Součet: Ostatní stálé zatížení	0,37	1,35	0,50
Součet: Stálé zatížení	0,37	1,35	0,50
Součet zatížení	0,37	1,35	0,50

2 Protokol zatížení: OPLÁŠTĚNÍ STĚN

Stálé zatížení	Charakt. [kN/m ²]	Souč. [-]	Návrh. [kN/m ²]
Ostatní stálé zatížení			
sklo (26,00 × 0,010)	0,26	1,35	0,35
SEKUNDARNÍ KONSTRUKCE OPLASTENÍ	0,50	1,35	0,68
Součet: Ostatní stálé zatížení	0,76	1,35	1,03
Součet: Stálé zatížení	0,76	1,35	1,03
Součet zatížení	0,76	1,35	1,03

3 Protokol zatížení: UZITNE NA STRESE

Proměnné zatížení	Charakt. [kN/m ²]	Souč. [-]	Návrh. [kN/m ²]
Užitné zatížení			
H Střechy nepřístupné s výjimkou běžné údržby a oprav	0,75	1,50	1,12
Součet: Užitné zatížení	0,75	1,50	1,12
Součet: Proměnné zatížení	0,75	1,50	1,12
Součet zatížení	0,75	1,50	1,12

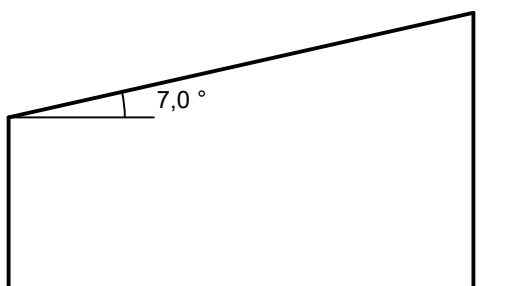
4 Protokol zatížení: Zatížení sněhem

Zatížení podle ČSN EN 1991-1-3

Sněhová oblast: II
Charakteristická hodnota zatížení $s_k = 1,00$ kN/m²
Typ krajiny: normální
Součinitel expozice $C_e = 1,00$
Tepelný součinitel $C_t = 1,00$
Součinitel zatížení $\gamma_f = 1,50$
Tvar zastřešení: pultová střecha
Sklon střechy $\alpha = 7,0$ °
Tvarový součinitel $\mu_1 = 0,80$

Charakteristická hodnota zatížení (v závorce návrhová hodnota)

$s_1 = 0,80$ kN/m² (1,20 kN/m²)

 0,80;(1,20) [kN/m²]

5 Protokol zatížení: Zatížení větrem

Zatížení podle ČSN EN 1991-1-4

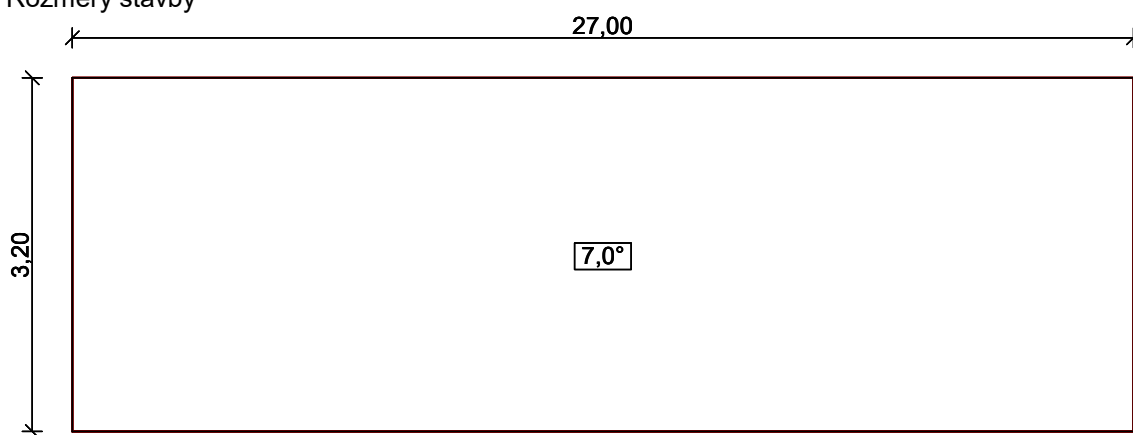
Větrná oblast:		II
Rychlost větru	$v_{b,0}$	= 25,00 m/s
Kategorie terénu:		III
Referenční výška budovy	z_e	= 3,00 m
Součinitel směru větru	c_{dir}	= 1,00
Součinitel ročního období	c_{season}	= 1,00
Měrná hmotnost vzduchu	ρ	= 1,250 kg/m ³
Součinitel orografie	c_o	= 1,00
Maximální dynamický tlak	q_p	= 0,50 kN/m ²
Součinitel zatížení	γ_f	= 1,50

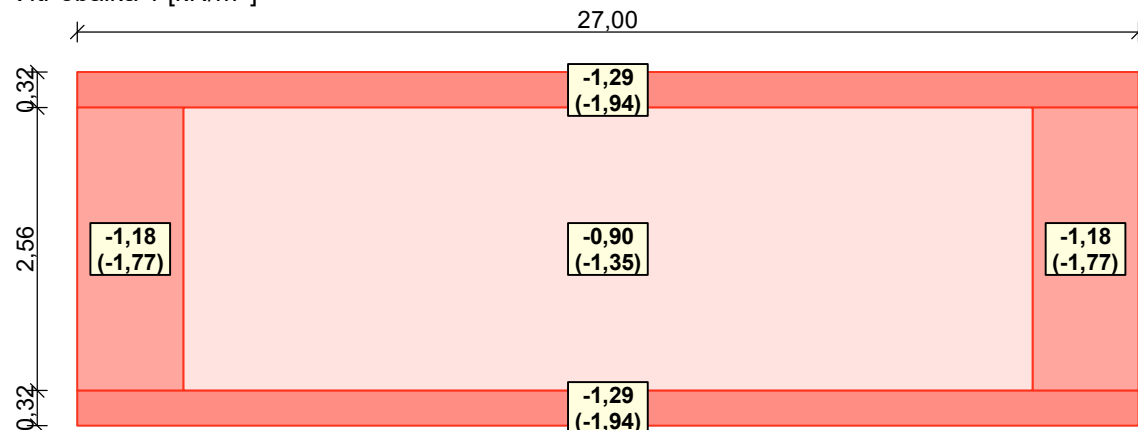
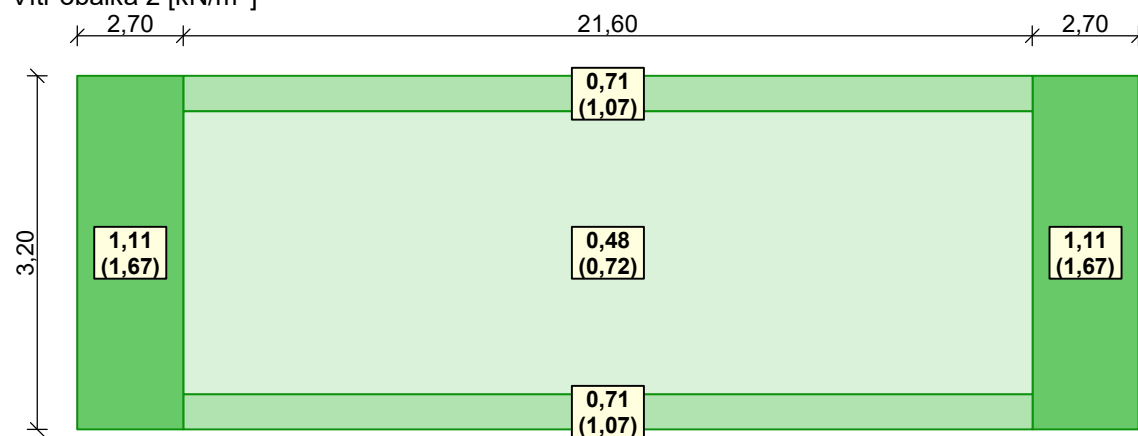
Přístřešek

Součinitel plnosti $\varphi_{min} = 0,00$

Součinitel plnosti $\varphi_{max} = 1,00$

Rozměry stavby



Charakteristické hodnoty zatížení (v závorce návrhové hodnoty)Vítr obálka 1 [kN/m²]Vítr obálka 2 [kN/m²]**6 Protokol zatížení: Zatížení větrem 1**

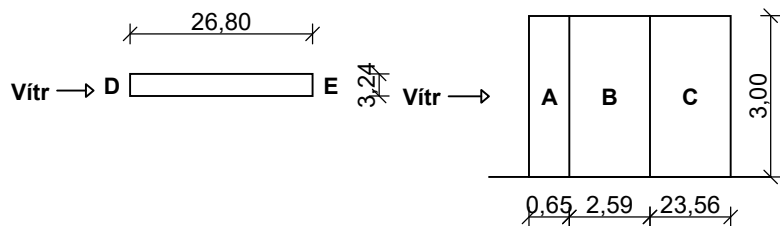
Zatížení podle ČSN EN 1991-1-4

Větrná oblast:		II
Rychlost větru	$v_{b,0}$	= 25,00 m/s
Kategorie terénu:		III
Referenční výška budovy	z_e	= 3,00 m
Součinitel směru větru	c_{dir}	= 1,00
Součinitel ročního období	c_{season}	= 1,00
Měrná hmotnost vzduchu	ρ	= 1,250 kg/m ³
Součinitel orografie	c_o	= 1,00
Maximální dynamický tlak	q_p	= 0,50 kN/m ²
Součinitel zatížení	γ_f	= 1,50
Plocha pro stanovení	c_{pe} A	= 10,00 m ²

Stěny pravouhlého objektu - směr 1Výška objektu $h = 3,00$ mDélka objektu $d = 26,80$ mŠířka objektu $b = 3,24$ m

Půdorys

Pohled



Charakteristické hodnoty zatížení (v závorce návrhové hodnoty)

Výška nad terénem [m]	Tlak větru v oblastech [kN/m ²]				
	A	B	C	D	E
3,00	-0,60 (-0,90)	-0,40 (-0,60)	-0,25 (-0,38)	0,30 (0,45)	-0,13 (-0,19)

Nedostatečná korelace tlaků uvažována koeficientem 0,85.

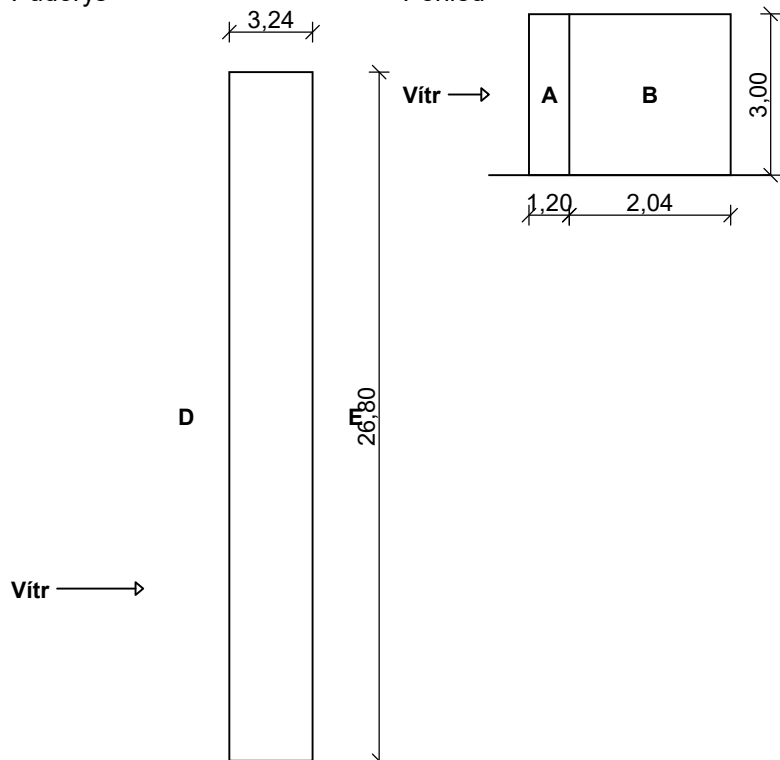
Stěny pravouhlého objektu - směr 2

Výška objektu $h = 3,00$ m

Délka objektu $d = 3,24$ m

Šířka objektu $b = 26,80$ m

Půdorys



Charakteristické hodnoty zatížení (v závorce návrhové hodnoty)

Výška nad terénem [m]	Tlak větru v oblastech [kN/m ²]			
	A	B	D	E
3,00	-0,60 (-0,90)	-0,40 (-0,60)	0,34 (0,50)	-0,20 (-0,31)

Nedostatečná korelace tlaků uvažována koeficientem 0,85.

7 Protokol zatížení: TECHNOLOGIE POD STŘECHOU

Proměnné zatížení	Charakt. [kN/m ²]	Souč. [-]	Návrh. [kN/m ²]
Užitné zatížení			
Užitné zatížení	0,20	1,50	0,30
Součet: Užitné zatížení	0,20	1,50	0,30
Součet: Proměnné zatížení	0,20	1,50	0,30
Součet zatížení	0,20	1,50	0,30

8 Protokol zatížení: Zatížení sněhem 1

Zatížení podle ČSN EN 1991-1-3

Sněhová oblast:	II
Charakteristická hodnota zatížení s_k	= 1,00 kN/m ²
Typ krajiny:	normální
Součinitel expozice C_e	= 1,00
Tepelný součinitel C_t	= 1,00
Součinitel zatížení γ_f	= 1,50

Tvar zastřešení: střecha přiléhající k vyšší stavbě

Šířka vyšší budovy	b_1 = 16,70 m
Šířka střechy	b_2 = 62,00 m
Šířka přilehlého sklonu střechy	b_s = 16,00 m
Výška okapu nad střechou	h = 2,00 m
Přilehlý sklon vyšší střechy	α = 5,0 °
Tvarový součinitel μ_1	= 0,80
Tvarový součinitel μ_s	= 0,00
Tvarový součinitel μ_w'	= 2,00
Tvarový součinitel μ_2'	= 2,00
Délka návěje l_s	= 5,00 m

Charakteristické hodnoty zatížení (v závorce návrhové hodnoty)

Případ (i) - zatížení nenavátým sněhem:

$$s_1 = 0,80 \text{ kN/m}^2 \text{ (} 1,20 \text{ kN/m}^2 \text{)}$$

Případ (ii) - zatížení navátým sněhem:

$$s_1 = 2,00 \text{ kN/m}^2 \text{ (} 3,00 \text{ kN/m}^2 \text{)}$$

$$s_2 = 0,80 \text{ kN/m}^2 \text{ (} 1,20 \text{ kN/m}^2 \text{)}$$

Případ (i)

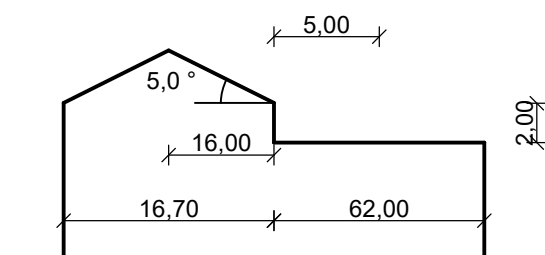


$$0,80; (1,20) \text{ [kN/m}^2\text{]}$$

Případ (ii)



$$2,00; (3,00) \text{ [kN/m}^2\text{]}$$



Projekt RNR

1. Projekt

Uživatel licence	info@kpstatika.cz
Projekt	RNR
Část	SO664 - KRAJNÍ ČÁST OSY A1 až A14
Popis	24-026-002
Autor	KPSTATIKA STAVBY s.r.o.
Datum	22.10.2024
Konstrukce	Obecná XYZ
Počet uzlů :	259
Počet prutů :	342
Počet ploch :	0
Počet těles :	0
Počet průřezů :	27
Počet zat. stavů :	22
Počet materiálů :	1
Tíhové zrychlení [m/s ²]	9,810
Národní norma	EC - EN

2. Obsah

1. Projekt	1
2. Obsah	1
3. EC0	2
4. EC3	3
5. Výpočtový model	4
6. Výpočtový model	5
7. Výpočtový model	6
8. Výpočtový model	6
9. Výpočtový model	7
10. Materiály	7
11. Průřezy	7
12. Uzly	29
13. Prvky	30
14. Zatěžovací panely	35
15. Pruty s proměnným průřezem	36
16. Klouby	38
17. Křížení	42
18. Podpory v uzlech	42
19. UZLY	43
20. PRVKY	44
21. PRŮŘEZY	45
22. KLOUBY	46
23. PODPORY	47
24. Zatěžovací stavy	48
24.1. Zatěžovací stavy - ZS1	48
24.2. Zatěžovací stavy - ZS2	48
24.3. Zatěžovací stavy - ZS3	49
24.4. Zatěžovací stavy - ZS4	49
24.5. Zatěžovací stavy - ZS5	49
24.6. Zatěžovací stavy - ZS6	50
24.7. Zatěžovací stavy - 3DVítr1	50
24.8. Zatěžovací stavy - 3DVítr2	51
24.9. Zatěžovací stavy - 3DVítr3	51
24.10. Zatěžovací stavy - 3DVítr4	52
24.11. Zatěžovací stavy - 3DVítr5	52
24.12. Zatěžovací stavy - 3DVítr6	53
24.13. Zatěžovací stavy - 3DVítr7	53
24.14. Zatěžovací stavy - 3DVítr8	54
24.15. Zatěžovací stavy - 3DVítr9	54
24.16. Zatěžovací stavy - 3DVítr10	55
24.17. Zatěžovací stavy - 3DVítr11	55
24.18. Zatěžovací stavy - 3DVítr12	56

Projekt RNR

24.19. Zatěžovací stavy - 3DVítr13	56
24.20. Zatěžovací stavy - 3DVítr14	57
24.21. Zatěžovací stavy - 3DVítr15	57
24.22. Zatěžovací stavy - 3DVítr16	58
25. Zatěžovací stavy	58
26. Skupiny zatížení	59
27. Kombinace	59
28. Nelineární kombinace	60
29. Skupiny výsledků	60
30. Reakce	60
31. Reakce; R_z	67
32. Reakce; R_x	68
33. Reakce; R_y	69
34. 1D vnitřní síly	70
35. 1D vnitřní síly; N	85
36. 1D vnitřní síly; V_y	86
37. 1D vnitřní síly; V_z	87
38. 1D vnitřní síly; M_x	88
39. 1D vnitřní síly; M_y	89
40. 1D vnitřní síly; M_z	90
41. 1D deformace; u_z	91
42. 1D deformace; u_x	92
43. 1D deformace; u_y	93
44. 1D deformace; u_x	94
45. EC-EN 1993 Posudek oceli MSÚ; Souhrnný posudek	95
46. EC-EN 1993 Posudek oceli MSÚ	96

3. ECO

alternativa (STR/GEO)

Kombinace	Rov.6.10a & Rov.6.10b
-----------	--------------------------

Součinitele Psi

Zatížení	Psi0	Psi1	Psi2
KategorieA	0.7	0.5	0.3
KategorieB	0.7	0.5	0.3
KategorieC	0.7	0.7	0.6
KategorieD	0.7	0.7	0.6
KategorieE	1	0.9	0.8
KategorieF	0.7	0.7	0.6
KategorieG	0.7	0.5	0.3
KategorieH	0.7	0.2	0
Sníh	0.5	0.2	0
Vítr	0.6	0.2	0
Teplota	0.6	0.5	0
Zatížení ledem	0.5	0.2	0
Voda s proměnnou hladinou	0.5	0.2	0
Zatížení od výstavby	1	0	0.2

Součinitele zatížení do kombinací

Stálé zatížení - nepříznivé	1,35
Stálé zatížení - příznivé	1,00
Hlavní proměnné zatížení	1,50
Doprovodné proměnné zatížení	1,50
Redukční součinitel ksi	0,85
Stálé zatížení - nepříznivé	1,00
Stálé zatížení - příznivé	1,00
Hlavní proměnné zatížení	1,30
Doprovodné proměnné zatížení	1,30

4. EC3

Posudek prutu

Y-Y	✓
Z-Z	✗
Max. poměr k [-]	10,00
Max. štíhlost [-]	1000,00
Součinitele vzpěru pro 2. řád	Podle zadání
Křivky klopení	Válcované průřezy nebo ekvivalentní svařované
Metoda pro C1 C2 C3	ECCS 119/Galea
Metoda pro k_c	Určeno z C1
Pružné ověření	✗
Jen posudek na únosnost	✗
Rovinný vzpěr zohledněn výpočtem podle teorie druhého řádu	✗
Momenty na sloupech v jednoduché konstrukci	✗
Interakční metoda	Příloha B (alternativní metoda 2)
Gamma M0 [-]	1,00
Gamma M1 [-]	1,00
Gamma M2 [-]	1,25
a0 (1/hodnota) [-]	350,00
a (1/hodnota) [-]	300,00
b (1/hodnota) [-]	250,00
c (1/hodnota) [-]	200,00
d (1/hodnota) [-]	150,00
a0 (1/hodnota) [-]	300,00
a (1/hodnota) [-]	250,00
b (1/hodnota) [-]	200,00
c (1/hodnota) [-]	150,00
d (1/hodnota) [-]	100,00
a [-]	0,21
b [-]	0,34
c [-]	0,49
d [-]	0,76
Křivky klopení	Použít tabulku 6.4
Lambda,LT,0 [-]	0,40
Beta [-]	0,75
Křivky klopení	Použít tabulku 6.5
Součinitel modifikace f	Výchozí metoda podle EN

Požární odolnost

Křivka teplota - čas	Křivka ISO 834
Součinitel přestupu tepla prouděním α_c [W/m ² K]	25,00
Emisivita vztažená k požárnímu úseku ϵ_f [-]	1,00
Emisivita vztažená k povrchu materiálu ϵ_m [-]	0,70
Polohový faktor toku tepla sáláním ϕ [-]	1,00
Typ analýzy	Oblast pevnosti
Gama M_{fi} [-]	1,00
Použít opravný součinitel pro efekt stínu k_{sh}	✓
Únosnost průřezu třídy 4	Příloha E
Kritická teplota	Metoda podle ČSN-EN NAD

Tvářený za studena

Iterace výztuhy	✓
Celková iterace průřezu	✓
Spolupůsobení	EN 1993-1-1 čl. 6.3.3

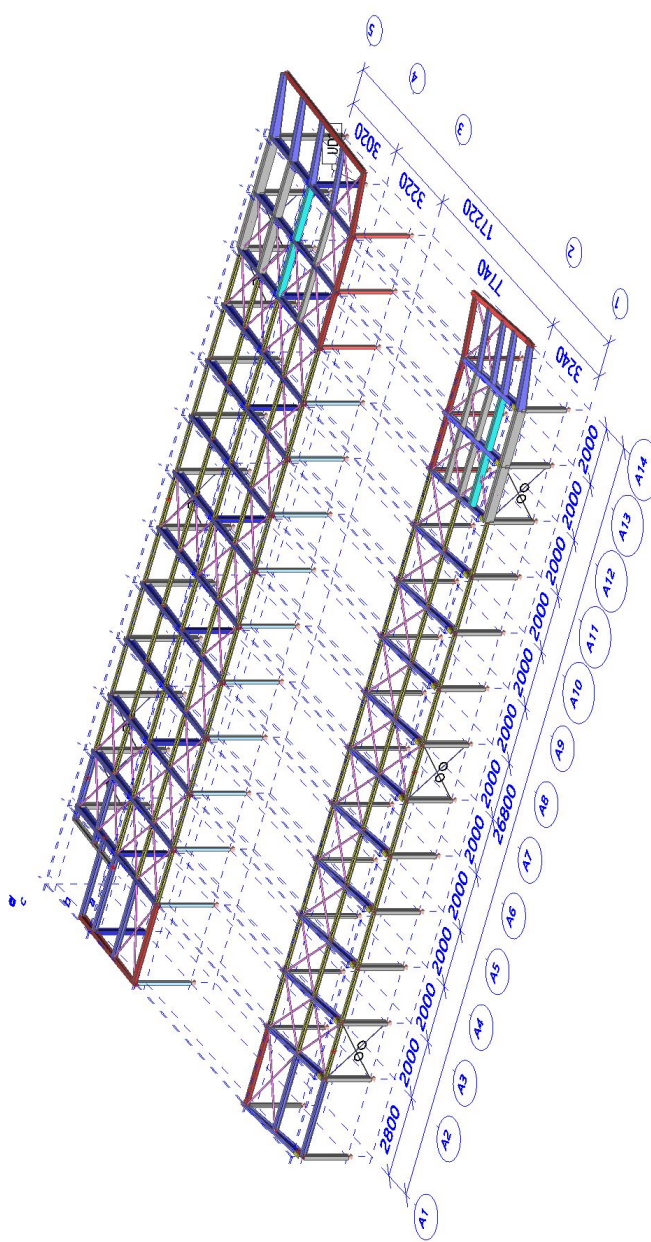
Projekt RNR

Limit pro velkou osovou sílu	0,1
Nosná délka S_s [mm]	10,00

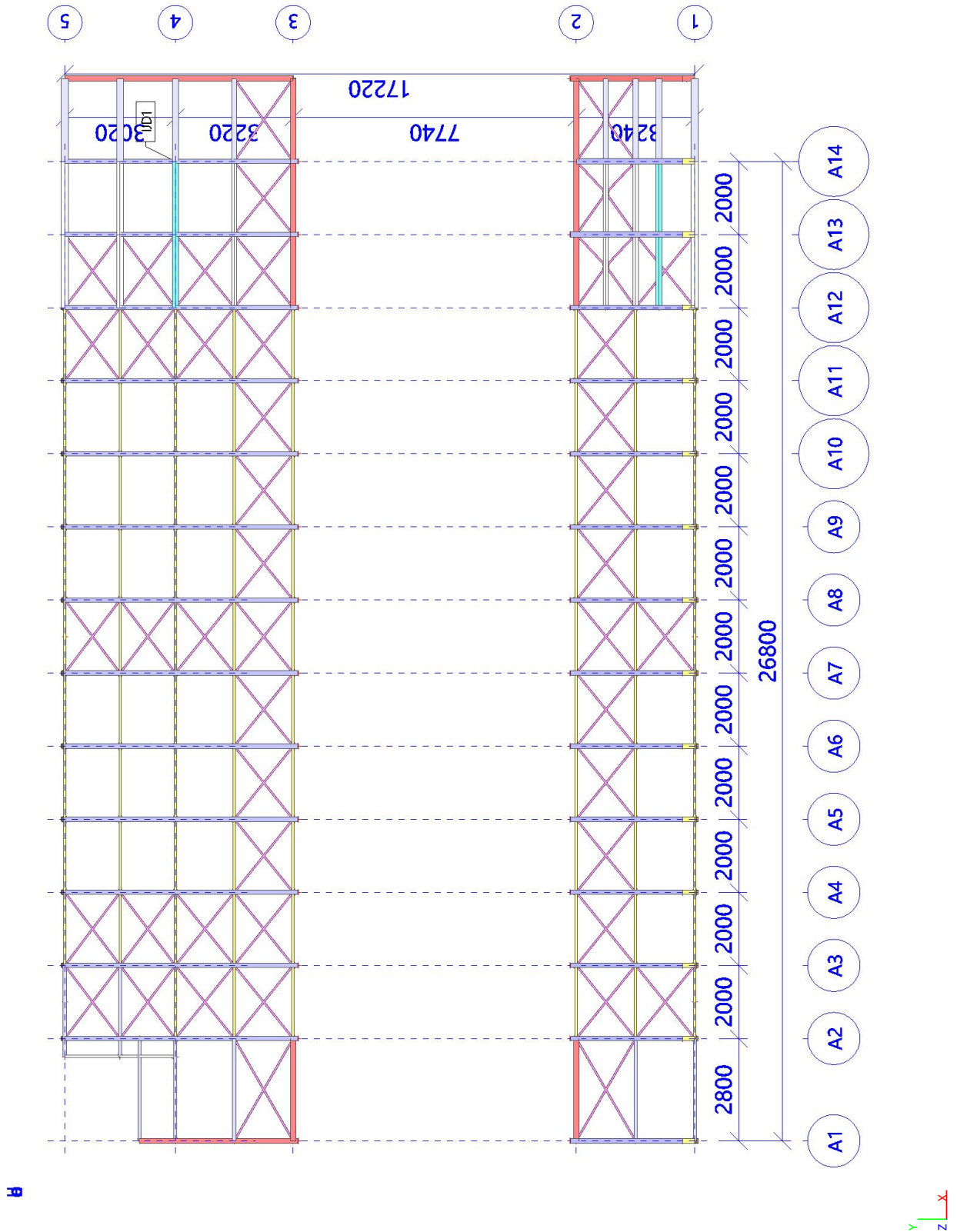
Národní příloha

Gama,M0 [-]	1,00
Gama,M1 [-]	1,00
Gama,M2 [-]	1,25
Gama,M3 [-]	1,25
Gama,c [-]	1,50
Součinitel modifikace [-]	1,00
Triangulační mez	Výchozí metoda podle EN

5. Výpočtový model



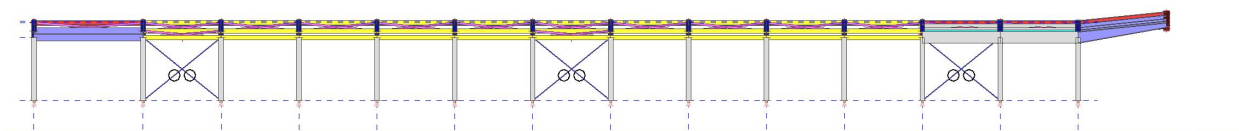
6. Výpočtový model



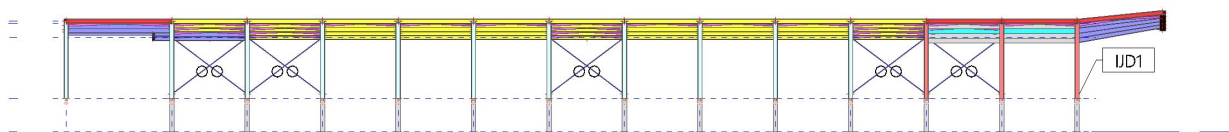
7. Výpočtový model



8. Výpočtový model



9. Výpočtový model



10. Materiály

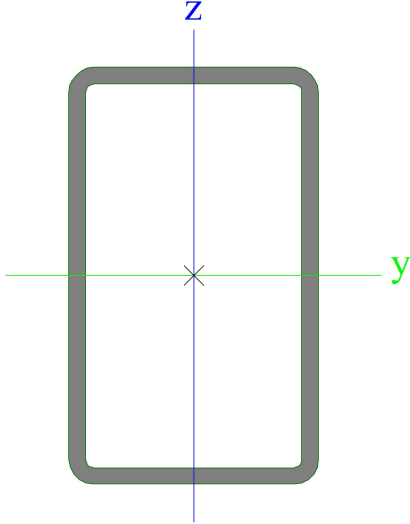
Ocel EC3

Jméno	ρ [kg/m ³]	E_{mod} [MPa]	μ	Dolní mez [mm]	Horní mez [mm]	F_y [MPa]	F_u [MPa]	Barva
		G_{mod} [MPa]	α [m/mK]					
S 235	7850,00	2,1000e+05	0,3	0,00	40,00	235,0	360,0	■
		8,0769e+04	0,01e-003	40,00	80,00	215,0	360,0	

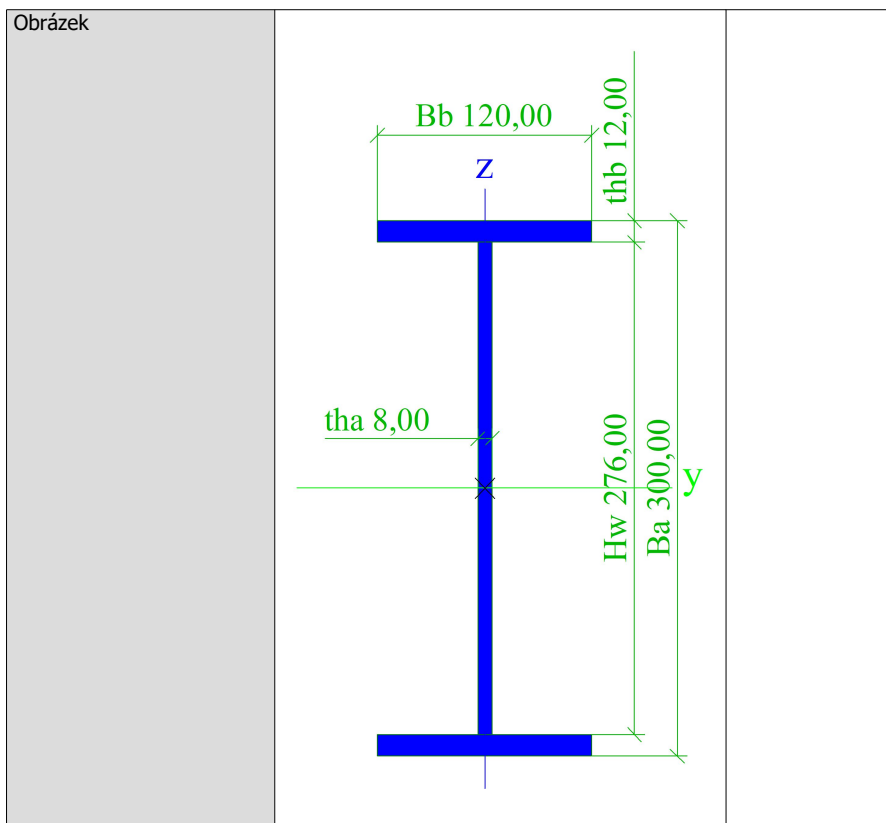
11. Průřezy

SLOUP1		
Typ	RHS200/120/8.0	
Kód tvaru	2 - Obdélníkové uzavřené průřezy	
Typ tvaru	Tenkostěnný	
Materiál	S 235	
Výroba	válcovaný	
Barva	■	
Posudek rovinného vzpěru y-y, Posudek rovinného vzpěru z-z	a	a
A [mm ²]	4,8000e+03	
A_y [mm ²], A_z [mm ²]	1,7820e+03	2,9701e+03
A_L [m ² /m], A_D [m ² /m]	6,1900e-01	1,1884e+00
$c_{y,UCS}$ [mm], $c_{z,UCS}$ [mm]	60,00	100,00
α [deg]	0,00	
I_y [mm ⁴], I_z [mm ⁴]	2,5290e+07	1,1280e+07
i_y [mm], i_z [mm]	72,59	48,48
$W_{el,y}$ [mm ³], $W_{el,z}$ [mm ³]	2,5300e+05	1,8800e+05
$W_{pl,y}$ [mm ³], $W_{pl,z}$ [mm ³]	3,0877e+05	2,1597e+05
$M_{pl,y,+}$ [Nmm], $M_{pl,y,-}$ [Nmm]	72560792,25	72560792,25

Projekt RNR

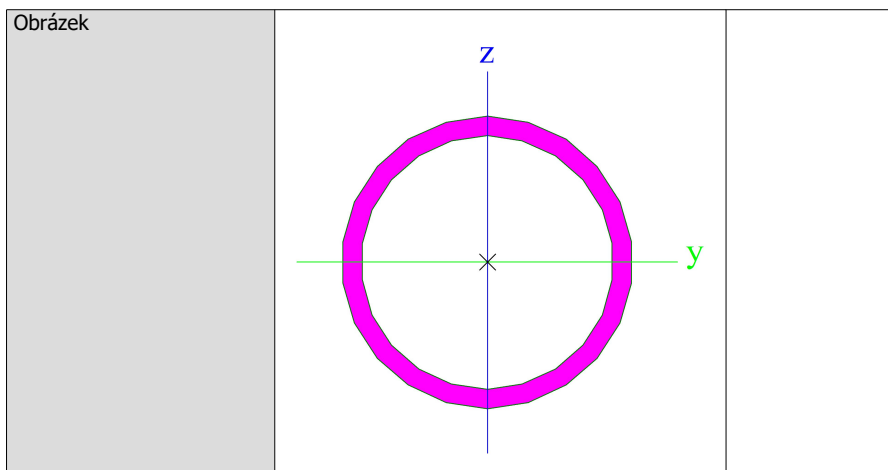
M _{pl.z.+} [Nmm], M _{pl.z.-} [Nmm]	50751989,48	50751989,48
d _y [mm], d _z [mm]	0,00	0,00
I _E [mm ⁴], I _w [mm ⁶]	2,4950e+07	6,1440e+10
β _y [mm], β _z [mm]	0,00	0,00
Obrázek		

PRÍČEL2		
Typ	Iw	
Detailní	300,00; 8,00; 120,00; 12,00; 276,00; 0,00	
Kód tvaru	1 - I průřez	
Typ tvaru	Tenkostěnný	
Materiál	S 235	
Výroba	svařovaný	
Barva	■	
Posudek rovinného vzpěru y-y, Posudek rovinného vzpěru z-z	b	c
A [mm ²]	5,0880e+03	
A _y [mm ²], A _z [mm ²]	2,8706e+03	2,3895e+03
A _L [m ² /m], A _D [m ² /m]	1,0640e+00	1,0640e+00
c _{y,UCS} [mm], c _{z,UCS} [mm]	60,00	150,00
α [deg]	0,00	
I _y [mm ⁴], I _z [mm ⁴]	7,3771e+07	3,4678e+06
i _y [mm], i _z [mm]	120,41	26,11
W _{el.y} [mm ³], W _{el.z} [mm ³]	4,9180e+05	5,7796e+04
W _{pl.y} [mm ³], W _{pl.z} [mm ³]	5,6707e+05	9,0816e+04
M _{pl.y.+} [Nmm], M _{pl.y.-} [Nmm]	133261920,00	133261920,00
M _{pl.z.+} [Nmm], M _{pl.z.-} [Nmm]	21341760,00	21341760,00
d _y [mm], d _z [mm]	0,00	0,00
I _E [mm ⁴], I _w [mm ⁶]	1,8739e+05	7,1664e+10
β _y [mm], β _z [mm]	0,00	0,00

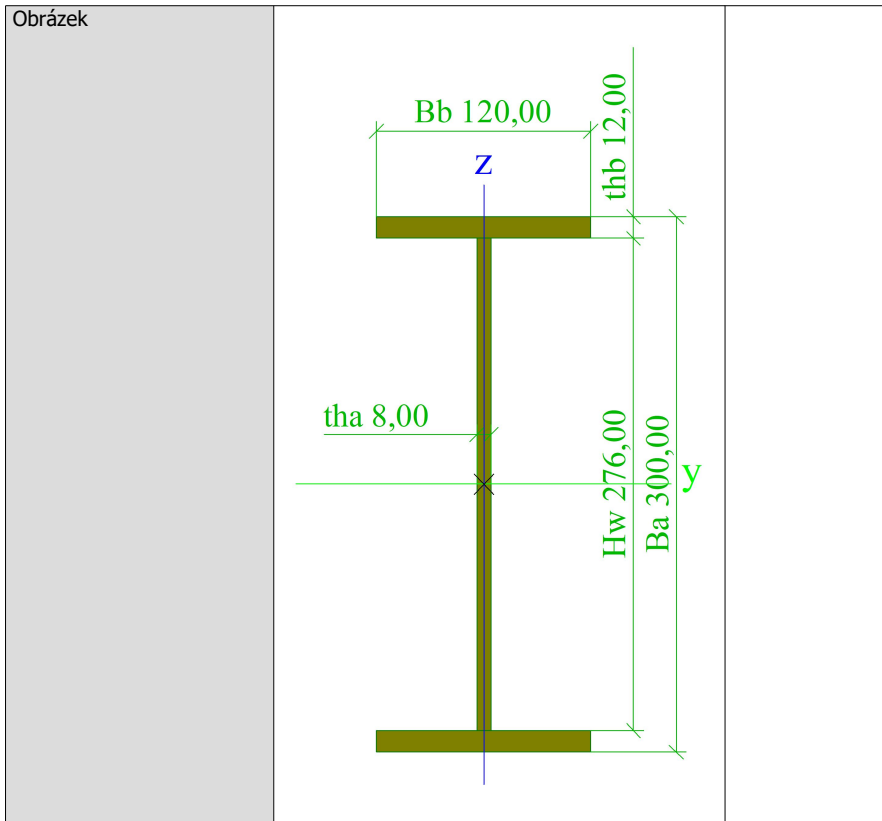


ZTUZIDLO STRESNI 2

Typ	CHS48.3/3.2	
Kód tvaru	3 - Kruhové uzavřené průřezy	
Typ tvaru	Tenkostěnný	
Materiál	S 235	
Výroba	válcovaný	
Barva	■	
Posudek rovinného vzpěru y-y, Posudek rovinného vzpěru z-z	a	a
A [mm ²]	4,5300e+02	
A _y [mm ²], A _z [mm ²]	2,8864e+02	2,8864e+02
A _L [m ² /m], A _D [m ² /m]	1,5200e-01	2,8336e-01
c _{y,UCS} [mm], c _{z,UCS} [mm]	24,15	24,15
α [deg]	0,00	
I _y [mm ⁴], I _z [mm ⁴]	1,1600e+05	1,1600e+05
i _y [mm], i _z [mm]	16,00	16,00
W _{el,y} [mm ³], W _{el,z} [mm ³]	4,8000e+03	4,8000e+03
W _{pl,y} [mm ³], W _{pl,z} [mm ³]	6,4169e+03	6,4169e+03
M _{pl,y,+} [Nmm], M _{pl,y,-} [Nmm]	1531675,68	1531675,68
M _{pl,z,+} [Nmm], M _{pl,z,-} [Nmm]	1531675,68	1531675,68
d _y [mm], d _z [mm]	0,00	0,00
I _t [mm ⁴], I _w [mm ⁶]	2,3200e+05	1,7457e-25
β _y [mm], β _z [mm]	0,00	0,00

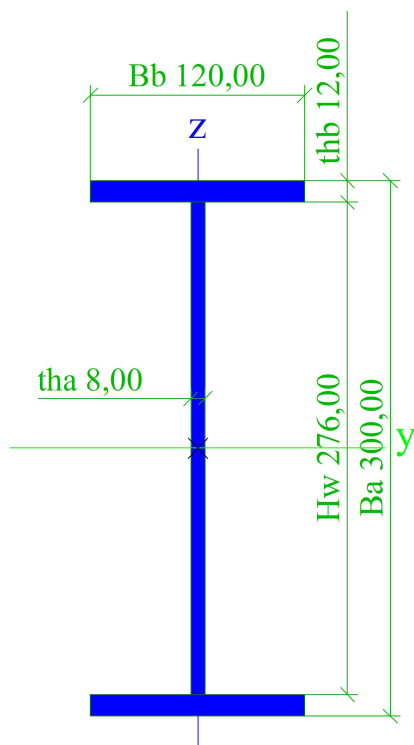


PŘÍČEL4		
Typ	Iw	
Detailní	300,00; 8,00; 120,00; 12,00; 276,00; 0,00	
Kód tvaru	1 - I průřez	
Typ tvaru	Tenkostěnný	
Materiál	S 235	
Výroba	svařovaný	
Barva	■	
Posudek rovinného vzpěru y-y, Posudek rovinného vzpěru z-z	b	c
A [mm ²]	5,0880e+03	
A _y [mm ²], A _z [mm ²]	2,8706e+03	2,3895e+03
A _L [m ² /m], A _D [m ² /m]	1,0640e+00	1,0640e+00
c _{y,UCS} [mm], c _{z,UCS} [mm]	60,00	150,00
α [deg]	0,00	
I _y [mm ⁴], I _z [mm ⁴]	7,3771e+07	3,4678e+06
i _y [mm], i _z [mm]	120,41	26,11
W _{el,y} [mm ³], W _{el,z} [mm ³]	4,9180e+05	5,7796e+04
W _{pl,y} [mm ³], W _{pl,z} [mm ³]	5,6707e+05	9,0816e+04
M _{pl,y,+} [Nmm], M _{pl,y,-} [Nmm]	133261920,00	133261920,00
M _{pl,z,+} [Nmm], M _{pl,z,-} [Nmm]	21341760,00	21341760,00
d _y [mm], d _z [mm]	0,00	0,00
I _t [mm ⁴], I _w [mm ⁶]	1,8739e+05	7,1664e+10
β _y [mm], β _z [mm]	0,00	0,00



PŘÍČEL5		
Typ	Iw	
Detailní	300,00; 8,00; 120,00; 12,00; 276,00; 0,00	
Kód tvaru	1 - I průřez	
Typ tvaru	Tenkostěnný	
Materiál	S 235	
Výroba	svařovaný	
Barva	■	
Posudek rovinného vzpěru y-y, Posudek rovinného vzpěru z-z	b	c
A [mm ²]	5,0880e+03	
A _y [mm ²], A _z [mm ²]	2,8706e+03	2,3895e+03
A _L [m ² /m], A _D [m ² /m]	1,0640e+00	1,0640e+00
c _{y,UCS} [mm], c _{z,UCS} [mm]	60,00	150,00
α [deg]	0,00	
I _y [mm ⁴], I _z [mm ⁴]	7,3771e+07	3,4678e+06
i _y [mm], i _z [mm]	120,41	26,11
W _{el,y} [mm ³], W _{el,z} [mm ³]	4,9180e+05	5,7796e+04
W _{pl,y} [mm ³], W _{pl,z} [mm ³]	5,6707e+05	9,0816e+04
M _{pl,y,+} [Nmm], M _{pl,y,-} [Nmm]	133261920,00	133261920,00
M _{pl,z,+} [Nmm], M _{pl,z,-} [Nmm]	21341760,00	21341760,00
d _y [mm], d _z [mm]	0,00	0,00
I _t [mm ⁴], I _w [mm ⁶]	1,8739e+05	7,1664e+10
β _y [mm], β _z [mm]	0,00	0,00

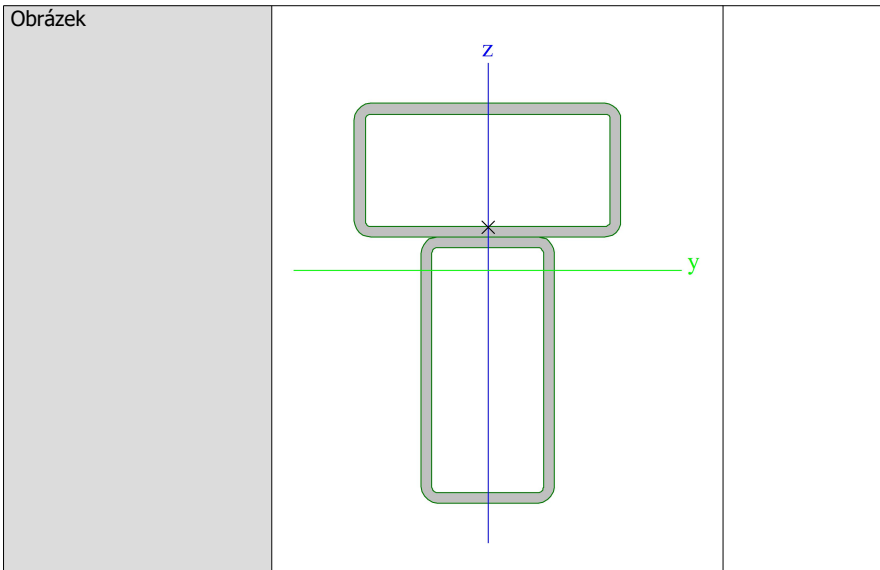
Obrázek



SLOUP4

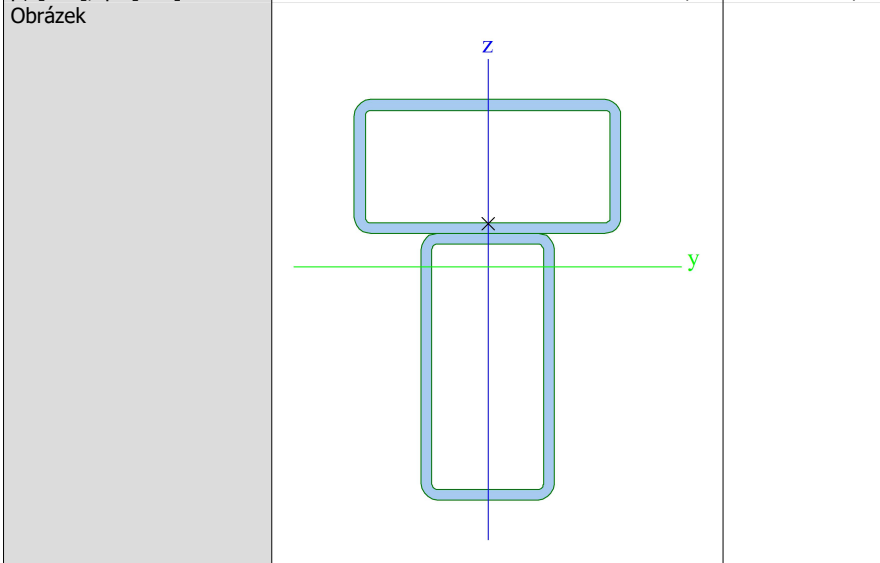
Typ	Obecný průřez	
Typ tvaru	Tenkostěnný	
Materiál	S 235	
Výroba	obecný	
Barva	■	
Posudek rovinného vzpěru y-y, Posudek rovinného vzpěru z-z	d	d
A [mm ²]	2,2160e+03	
A _y [mm ²], A _z [mm ²]	9,7588e+02	8,6632e+02
A _L [m ² /m], A _D [m ² /m]	5,0330e-01	1,0324e+00
c _{y,ucs} [mm], c _{z,ucs} [mm]	0,00	37,50
α [deg]	0,00	
I _y [mm ⁴], I _z [mm ⁴]	4,9478e+06	1,8315e+06
i _y [mm], i _z [mm]	47,25	28,75
W _{el,y} [mm ³], W _{el,z} [mm ³]	5,6546e+04	3,6630e+04
W _{pl,y} [mm ³], W _{pl,z} [mm ³]	8,3102e+04	5,6012e+04
M _{pl,y,+} [Nmm], M _{pl,y,-} [Nmm]	19528894,76	19528894,76
M _{pl,z,+} [Nmm], M _{pl,z,-} [Nmm]	13162772,63	13162772,63
d _y [mm], d _z [mm]	0,00	16,11
I _t [mm ⁴], I _w [mm ⁶]	2,6702e+06	1,0663e+09
β _y [mm], β _z [mm]	-46,10	0,00

Projekt RNR



SLOUP5

Typ	Obecný průřez	
Typ tvaru	Tenkostěnný	
Materiál	S 235	
Výroba	obecný	
Barva	■	
Posudek rovinného vzpěru y-y, Posudek rovinného vzpěru z-z	d	d
A [mm ²]	2,2160e+03	
A _y [mm ²], A _z [mm ²]	9,7588e+02	8,6632e+02
A _L [m ² /m], A _D [m ² /m]	5,0330e-01	1,0324e+00
c _{y,UCS} [mm], c _{z,UCS} [mm]	0,00	37,50
α [deg]	0,00	
I _y [mm ⁴], I _z [mm ⁴]	4,9478e+06	1,8315e+06
i _y [mm], i _z [mm]	47,25	28,75
W _{el,y} [mm ³], W _{el,z} [mm ³]	5,6546e+04	3,6630e+04
W _{pl,y} [mm ³], W _{pl,z} [mm ³]	8,3102e+04	5,6012e+04
M _{pl,y,+} [Nmm], M _{pl,y,-} [Nmm]	19528894,76	19528894,76
M _{pl,z,+} [Nmm], M _{pl,z,-} [Nmm]	13162772,63	13162772,63
d _y [mm], d _z [mm]	0,00	16,11
I _t [mm ⁴], I _w [mm ⁶]	2,6702e+06	1,0663e+09
β _y [mm], β _z [mm]	-46,10	0,00



Projekt RNR

PŘÍČEL7

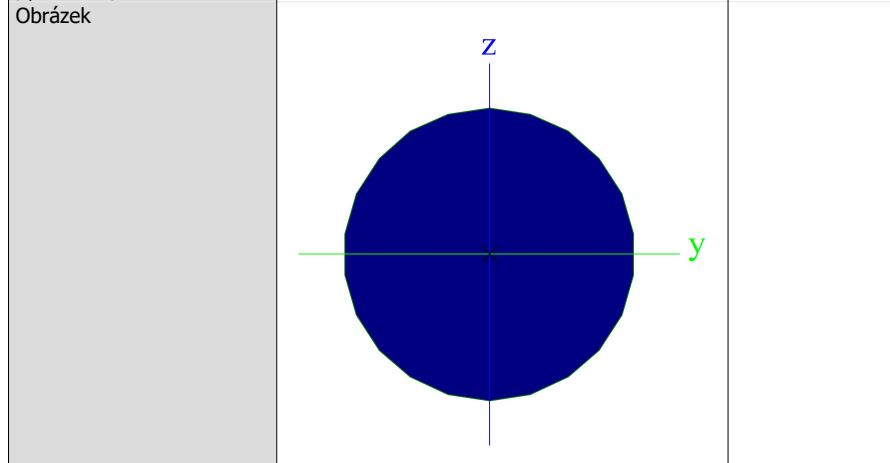
Typ	Iw	
Detailní	240,00; 6,00; 120,00; 10,00; 220,00; 0,00	
Kód tvaru	1 - I průřez	
Typ tvaru	Tenkostěnný	
Materiál	S 235	
Výroba	svařovaný	
Barva	■	
Posudek rovinného vzpěru y-y, Posudek rovinného vzpěru z-z	b	c
A [mm ²]	3,7200e+03	
A _y [mm ²], A _z [mm ²]	2,1930e+03	1,4432e+03
A _L [m ² /m], A _D [m ² /m]	9,4800e-01	9,4800e-01
c _{y,UCS} [mm], c _{z,UCS} [mm]	60,00	120,00
α [deg]	0,00	
I _y [mm ⁴], I _z [mm ⁴]	3,7084e+07	2,8840e+06
i _y [mm], i _z [mm]	99,84	27,84
W _{el,y} [mm ³], W _{el,z} [mm ³]	3,0903e+05	4,8066e+04
W _{pl,y} [mm ³], W _{pl,z} [mm ³]	3,4860e+05	7,3980e+04
M _{pl,y,+} [Nmm], M _{pl,y,-} [Nmm]	81921000,00	81921000,00
M _{pl,z,+} [Nmm], M _{pl,z,-} [Nmm]	17385300,00	17385300,00
d _y [mm], d _z [mm]	0,00	0,00
I _t [mm ⁴], I _w [mm ⁶]	9,6560e+04	3,8088e+10
β _y [mm], β _z [mm]	0,00	0,00
Obrázek		

STENOVE TAHLA

Typ	RD20	
Kód tvaru	11 - Plný kruhový průřez	
Typ tvaru	Tlustostěnný	
Materiál	S 235	
Výroba	válcovaný	
Barva	■	
Posudek rovinného vzpěru y-y, Posudek rovinného vzpěru z-z	c	c
A [mm ²]	3,1400e+02	
A _y [mm ²], A _z [mm ²]	2,6918e+02	2,6918e+02
A _L [m ² /m], A _D [m ² /m]	6,2666e-02	6,2829e-02

Projekt RNR

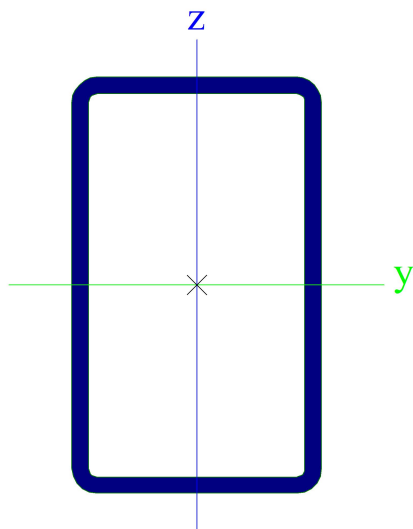
Cy.UCS [mm], Cz.UCS [mm]	10,00	10,00
α [deg]	0,00	
Iy [mm ⁴], Iz [mm ⁴]	7,6894e+03	7,6894e+03
iy [mm], iz [mm]	4,95	4,95
W _{el.y} [mm ³], W _{el.z} [mm ³]	7,6894e+02	7,6894e+02
W _{pl.y} [mm ³], W _{pl.z} [mm ³]	1,3123e+03	1,3123e+03
M _{pl.y,+} [Nmm], M _{pl.y,-} [Nmm]	313237,90	313237,90
M _{pl.z,+} [Nmm], M _{pl.z,-} [Nmm]	313237,90	313237,90
dy [mm], dz [mm]	0,00	0,00
I _t [mm ⁴], I _w [mm ⁶]	1,5695e+04	0,0000e+00
β_y [mm], β_z [mm]	0,00	0,00



SLOUP		
Typ	RHS200/120/8.0	
Kód tvaru	2 - Obdélníkové uzavřené průřezy	
Typ tvaru	Tenkostěnný	
Materiál	S 235	
Výroba	válcovaný	
Barva	■	
Posudek rovinného vzpěru y-y, Posudek rovinného vzpěru z-z	a	a
A [mm ²]	4,8000e+03	
A _y [mm ²], A _z [mm ²]	1,7820e+03	2,9701e+03
A _L [m ² /m], A _D [m ² /m]	6,1900e-01	1,1884e+00
Cy.UCS [mm], Cz.UCS [mm]	60,00	100,00
α [deg]	0,00	
Iy [mm ⁴], Iz [mm ⁴]	2,5290e+07	1,1280e+07
iy [mm], iz [mm]	72,59	48,48
W _{el.y} [mm ³], W _{el.z} [mm ³]	2,5300e+05	1,8800e+05
W _{pl.y} [mm ³], W _{pl.z} [mm ³]	3,0877e+05	2,1597e+05
M _{pl.y,+} [Nmm], M _{pl.y,-} [Nmm]	72560792,25	72560792,25
M _{pl.z,+} [Nmm], M _{pl.z,-} [Nmm]	50751989,48	50751989,48
dy [mm], dz [mm]	0,00	0,00
I _t [mm ⁴], I _w [mm ⁶]	2,4950e+07	6,1440e+10
β_y [mm], β_z [mm]	0,00	0,00

Projekt RNR

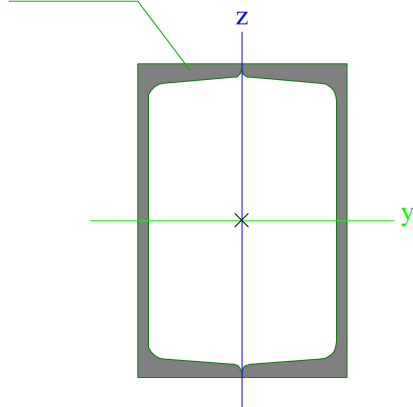
Obrázek



PRUVLAK5

Typ	2U komora	
Detailní	UPN300	
Typ tvaru	Tenkostěnný	
Materiál	S 235	
Výroba	svařovaný	
Barva	■	
Posudek rovinného vzpěru y-y, Posudek rovinného vzpěru z-z	b	b
A [mm ²]	1,1756e+04	
A _y [mm ²], A _z [mm ²]	5,7148e+03	5,9866e+03
A _L [m ² /m], A _D [m ² /m]	1,0000e+00	1,8796e+00
c _{y,ucs} [mm], c _{z,ucs} [mm]	100,00	150,00
α [deg]	0,00	
I _y [mm ⁴], I _z [mm ⁴]	1,6060e+08	7,2515e+07
i _y [mm], i _z [mm]	116,88	78,54
W _{el,y} [mm ³], W _{el,z} [mm ³]	1,0707e+06	7,2515e+05
W _{pl,y} [mm ³], W _{pl,z} [mm ³]	1,2651e+06	8,5824e+05
M _{pl,y,+} [Nmm], M _{pl,y,-} [Nmm]	297305052,04	297305052,04
M _{pl,z,+} [Nmm], M _{pl,z,-} [Nmm]	201687076,83	201687076,83
d _y [mm], d _z [mm]	0,00	0,00
I _e [mm ⁴], I _w [mm ⁶]	1,4530e+08	1,2009e+11
β _y [mm], β _z [mm]	0,00	0,00

2x UPN300



PRUVLAK16

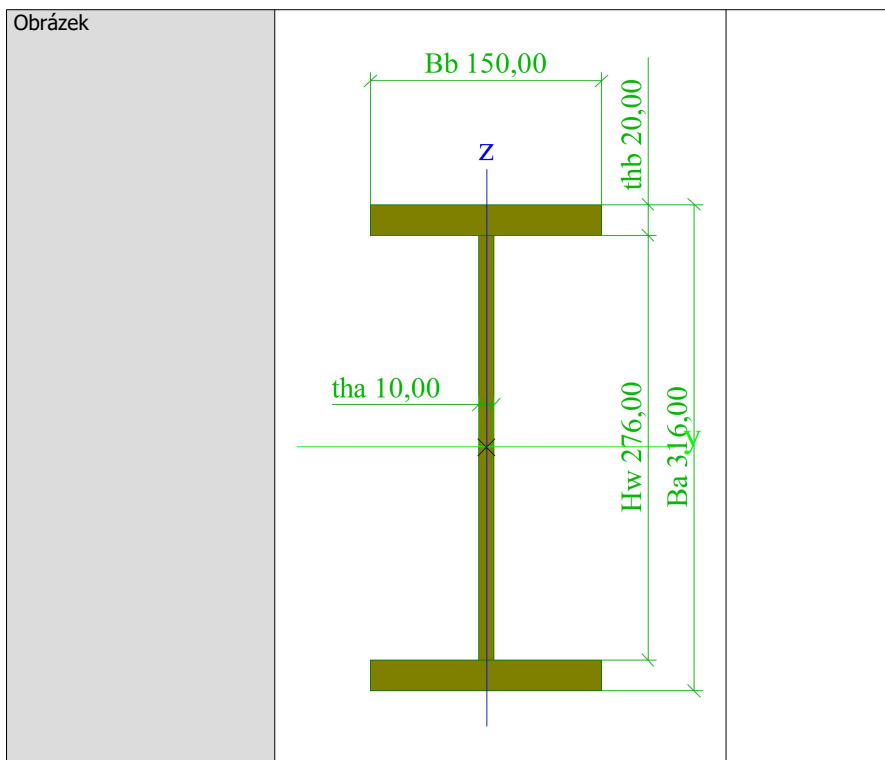
Projekt RNR

Typ	2U komora	
Detailní	UPN220	
Typ tvaru	Tenkostěnný	
Materiál	S 235	
Výroba	svařovaný	
Barva	■	
Posudek rovinného vzpěru y-y, Posudek rovinného vzpěru z-z	b	b
A [mm ²]	7,4908e+03	
A _y [mm ²], A _z [mm ²]	3,5860e+03	3,9361e+03
A _L [m ² /m], A _D [m ² /m]	7,6000e-01	1,4218e+00
c _{y,UCS} [mm], c _{z,UCS} [mm]	80,00	110,00
α [deg]	0,00	
I _y [mm ⁴], I _z [mm ⁴]	5,3838e+07	2,9604e+07
i _y [mm], i _z [mm]	84,78	62,87
W _{el,y} [mm ³], W _{el,z} [mm ³]	4,8943e+05	3,7005e+05
W _{pl,y} [mm ³], W _{pl,z} [mm ³]	5,8315e+05	4,3866e+05
M _{pl,y,+} [Nmm], M _{pl,y,-} [Nmm]	137039562,72	137039562,72
M _{pl,z,+} [Nmm], M _{pl,z,-} [Nmm]	103085645,54	103085645,54
d _y [mm], d _z [mm]	0,00	0,00
I _E [mm ⁴], I _w [mm ⁶]	5,6180e+07	1,4988e+10
β _y [mm], β _z [mm]	0,00	0,00
Obrázek		
PŘÍČEL8		
Typ	I _w	
Detailní	316,00; 10,00; 150,00; 20,00; 276,00; 0,00	
Kód tvaru	1 - I průřez	
Typ tvaru	Tenkostěnný	
Materiál	S 235	
Výroba	svařovaný	
Barva	■	
Posudek rovinného vzpěru y-y, Posudek rovinného vzpěru z-z	b	c
A [mm ²]	8,7600e+03	
A _y [mm ²], A _z [mm ²]	5,8725e+03	3,1811e+03
A _L [m ² /m], A _D [m ² /m]	1,2120e+00	1,2120e+00
c _{y,UCS} [mm], c _{z,UCS} [mm]	75,00	158,00
α [deg]	0,00	
I _y [mm ⁴], I _z [mm ⁴]	1,4914e+08	1,1273e+07
i _y [mm], i _z [mm]	130,48	35,87
W _{el,y} [mm ³], W _{el,z} [mm ³]	9,4395e+05	1,5031e+05
W _{pl,y} [mm ³], W _{pl,z} [mm ³]	1,0784e+06	2,3190e+05
M _{pl,y,+} [Nmm], M _{pl,y,-} [Nmm]	253433400,00	253433400,00
M _{pl,z,+} [Nmm], M _{pl,z,-} [Nmm]	54496500,00	54496500,00
d _y [mm], d _z [mm]	0,00	0,00

Projekt RNR

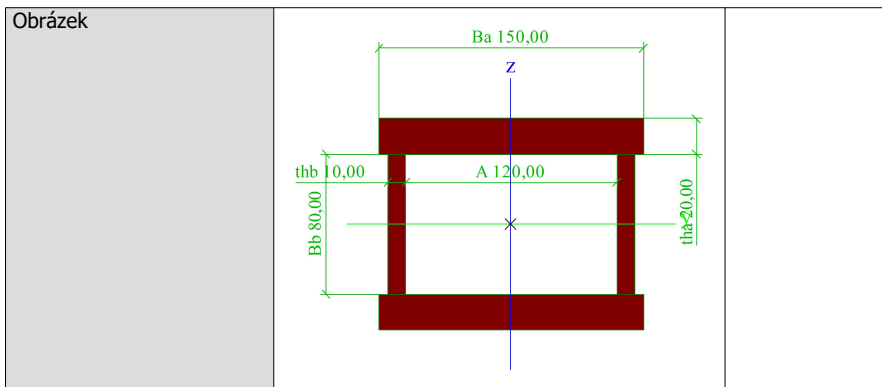
I_t [mm ⁴], I_w [mm ⁶]	8,9867e+05	2,4642e+11
β_y [mm], β_z [mm]	0,00	0,00
Obrázek		

PŘÍČEL9		
Typ	Iw	
Detailní	316,00; 10,00; 150,00; 20,00; 276,00; 0,00	
Kód tvaru	1 - I průřez	
Typ tvaru	Tenkostěnný	
Materiál	S 235	
Výroba	svařovaný	
Barva	■	
Posudek rovinného vzpěru y-y, Posudek rovinného vzpěru z-z	b	c
A [mm ²]	8,7600e+03	
A_y [mm ²], A_z [mm ²]	5,8725e+03	3,1811e+03
A_L [m ² /m], A_D [m ² /m]	1,2120e+00	1,2120e+00
$c_{y,UCS}$ [mm], $c_{z,UCS}$ [mm]	75,00	158,00
α [deg]	0,00	
I_y [mm ⁴], I_z [mm ⁴]	1,4914e+08	1,1273e+07
i_y [mm], i_z [mm]	130,48	35,87
$W_{el,y}$ [mm ³], $W_{el,z}$ [mm ³]	9,4395e+05	1,5031e+05
$W_{pl,y}$ [mm ³], $W_{pl,z}$ [mm ³]	1,0784e+06	2,3190e+05
$M_{pl,y,+}$ [Nmm], $M_{pl,y,-}$ [Nmm]	253433400,00	253433400,00
$M_{pl,z,+}$ [Nmm], $M_{pl,z,-}$ [Nmm]	54496500,00	54496500,00
d_y [mm], d_z [mm]	0,00	0,00
I_t [mm ⁴], I_w [mm ⁶]	8,9867e+05	2,4642e+11
β_y [mm], β_z [mm]	0,00	0,00



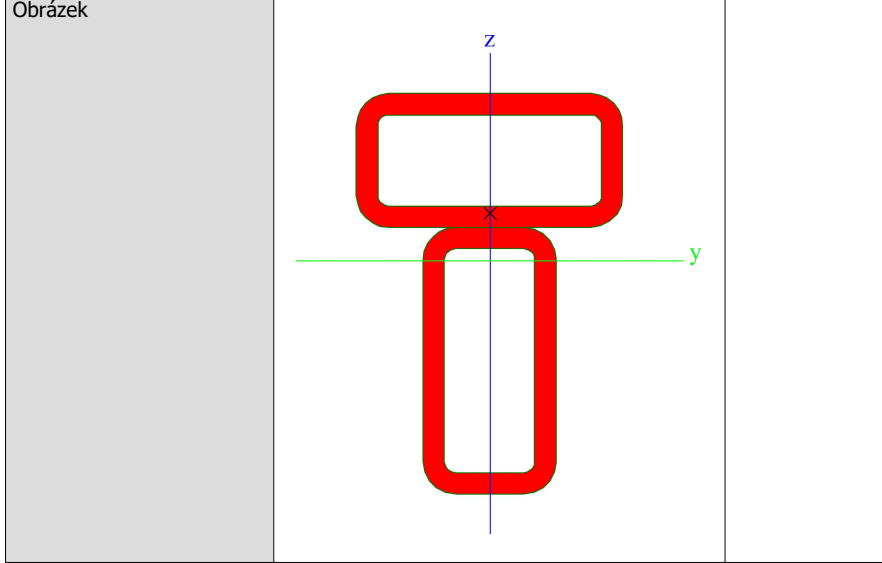
PRUVLAK6		
Typ	Komora fl	
Detailní	150,00; 20,00; 80,00; 10,00; 120,00	
Typ tvaru	Tenkostěnný	
Materiál	S 235	
Výroba	svařovaný	
Barva	■	
Posudek rovinného vzpěru y-y, Posudek rovinného vzpěru z-z	b	b
A [mm ²]	7,6000e+03	
A _y [mm ²], A _z [mm ²]	5,2977e+03	2,4840e+03
A _L [m ² /m], A _D [m ² /m]	5,6000e-01	9,6000e-01
c _{y,UCS} [mm], c _{z,UCS} [mm]	75,00	60,00
α [deg]	0,00	
I _y [mm ⁴], I _z [mm ⁴]	1,6053e+07	1,8023e+07
i _y [mm], i _z [mm]	45,96	48,70
W _{el,y} [mm ³], W _{el,z} [mm ³]	2,6756e+05	2,4031e+05
W _{pl,y} [mm ³], W _{pl,z} [mm ³]	3,3200e+05	3,2900e+05
M _{pl,y,+} [Nmm], M _{pl,y,-} [Nmm]	78020000,00	78020000,00
M _{pl,z,+} [Nmm], M _{pl,z,-} [Nmm]	77315000,00	77315000,00
d _y [mm], d _z [mm]	0,00	0,00
I _t [mm ⁴], I _w [mm ⁶]	2,1352e+07	1,8633e+09
β _y [mm], β _z [mm]	0,00	0,00

Projekt RNR



SLOUP6

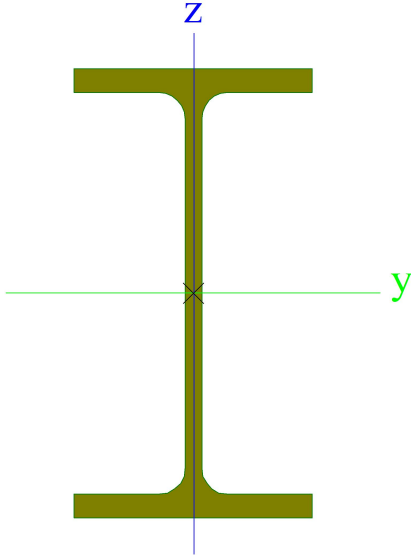
Typ	Obecný průřez	
Typ tvaru	Tenkostěnný	
Materiál	S 235	
Výroba	obecný	
Barva	■	
Posudek rovinného vzpěru y-y, Posudek rovinného vzpěru z-z	d	d
A [mm ²]	4,0642e+03	
A _y [mm ²], A _z [mm ²]	1,8625e+03	1,6297e+03
A _L [m ² /m], A _D [m ² /m]	5,0661e-01	9,6481e-01
c _{y,UCS} [mm], c _{z,UCS} [mm]	0,00	37,50
α [deg]	0,00	
I _y [mm ⁴], I _z [mm ⁴]	8,6510e+06	2,9357e+06
i _y [mm], i _z [mm]	46,14	26,88
W _{el,y} [mm ³], W _{el,z} [mm ³]	9,8868e+04	5,8714e+04
W _{pl,y} [mm ³], W _{pl,z} [mm ³]	1,5241e+05	9,5288e+04
M _{pl,y,+} [Nmm], M _{pl,y,-} [Nmm]	35815523,55	35815523,55
M _{pl,z,+} [Nmm], M _{pl,z,-} [Nmm]	22392675,83	22392675,83
d _y [mm], d _z [mm]	0,00	17,75
I _t [mm ⁴], I _w [mm ⁶]	4,2402e+06	2,2026e+09
β _y [mm], β _z [mm]	-48,70	0,00



VAZNICE

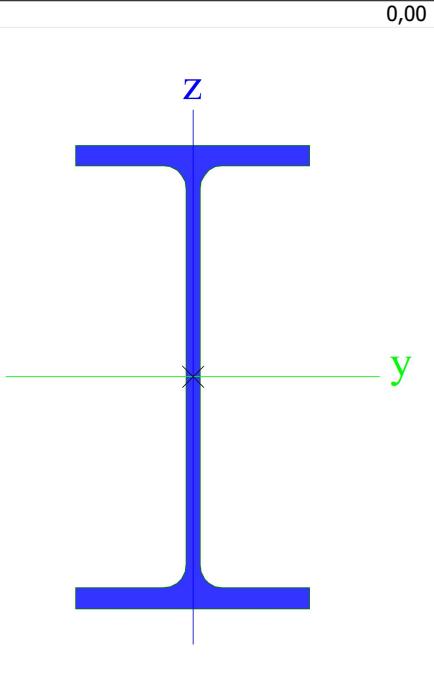
Typ	IPE120	
Kód tvaru	1 - I průřez	
Typ tvaru	Tenkostěnný	
Materiál	S 235	
Výroba	válcovaný	
Barva	■	

Projekt RNR

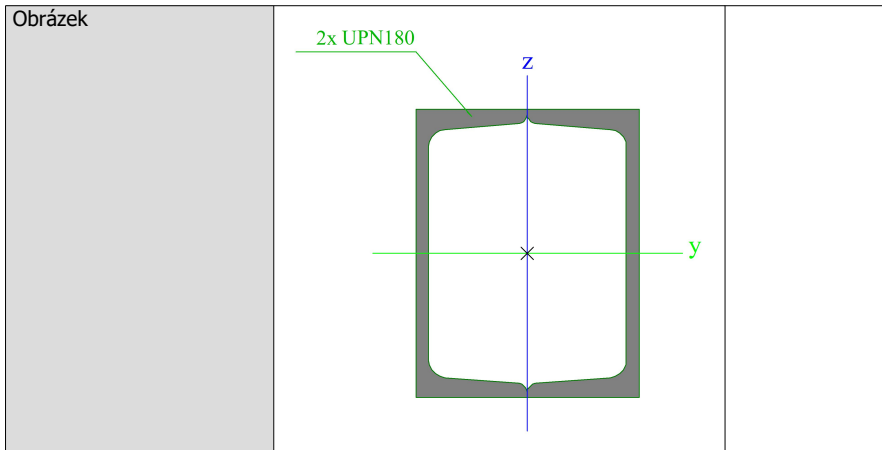
Posudek rovinného vzpěru y-y, Posudek rovinného vzpěru z-z	a	b
A [mm ²]	1,3200e+03	
A _y [mm ²], A _z [mm ²]	8,4381e+02	5,3657e+02
A _L [m ² /m], A _D [m ² /m]	4,7513e-01	4,7513e-01
c _{y,UCS} [mm], c _{z,UCS} [mm]	32,00	60,00
α [deg]	0,00	
I _y [mm ⁴], I _z [mm ⁴]	3,1770e+06	2,7660e+05
i _y [mm], i _z [mm]	49,06	14,48
W _{el,y} [mm ³], W _{el,z} [mm ³]	5,2950e+04	8,6460e+03
W _{pl,y} [mm ³], W _{pl,z} [mm ³]	6,0720e+04	1,3580e+04
M _{pl,y,+} [Nmm], M _{pl,y,-} [Nmm]	14279763,81	14279763,81
M _{pl,z,+} [Nmm], M _{pl,z,-} [Nmm]	3192292,78	3192292,78
d _y [mm], d _z [mm]	0,00	0,00
I _t [mm ⁴], I _w [mm ⁶]	1,6900e+04	8,8900e+08
β _y [mm], β _z [mm]	0,00	0,00
Obrázek		

VAZNICE1		
Typ	IPE180	
Kód tvaru	1 - I průřez	
Typ tvaru	Tenkostěnný	
Materiál	S 235	
Výroba	válcovaný	
Barva	■	
Posudek rovinného vzpěru y-y, Posudek rovinného vzpěru z-z	a	b
A [mm ²]	2,3900e+03	
A _y [mm ²], A _z [mm ²]	1,4865e+03	9,6640e+02
A _L [m ² /m], A _D [m ² /m]	6,9788e-01	6,9788e-01
c _{y,UCS} [mm], c _{z,UCS} [mm]	45,50	90,00
α [deg]	0,00	
I _y [mm ⁴], I _z [mm ⁴]	1,3160e+07	1,0080e+06
i _y [mm], i _z [mm]	74,20	20,54
W _{el,y} [mm ³], W _{el,z} [mm ³]	1,4630e+05	2,2160e+04
W _{pl,y} [mm ³], W _{pl,z} [mm ³]	1,6640e+05	3,4590e+04
M _{pl,y,+} [Nmm], M _{pl,y,-} [Nmm]	39131380,62	39131380,62
M _{pl,z,+} [Nmm], M _{pl,z,-} [Nmm]	8132732,12	8132732,12
d _y [mm], d _z [mm]	0,00	0,00
I _t [mm ⁴], I _w [mm ⁶]	4,7260e+04	7,4310e+09

Projekt RNR

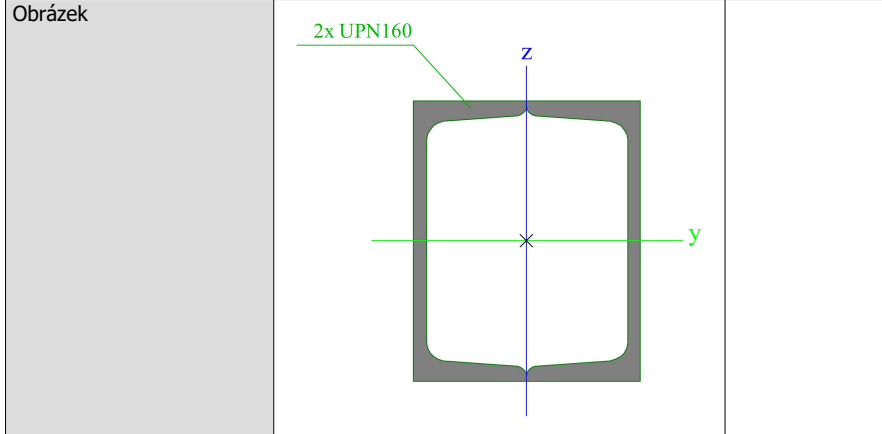
β_y [mm], β_z [mm] Obrázek	0,00	0,00
		
PRUVLAK7		
Typ	2U komora	
Detailní	UPN180	
Typ tvaru	Tenkostěnný	
Materiál	S 235	
Výroba	svařovaný	
Barva	■	
Posudek rovinného vzpěru y-y, Posudek rovinného vzpěru z-z	b	b
A [mm ²]	5,5947e+03	
A _y [mm ²], A _z [mm ²]	2,7554e+03	2,8707e+03
A _L [m ² /m], A _D [m ² /m]	6,4000e-01	1,1929e+00
c _{y,UCS} [mm], c _{z,UCS} [mm]	70,00	90,00
α [deg]	0,00	
I _y [mm ⁴], I _z [mm ⁴]	2,7086e+07	1,6663e+07
i _y [mm], i _z [mm]	69,58	54,57
W _{el,y} [mm ³], W _{el,z} [mm ³]	3,0095e+05	2,3804e+05
W _{pl,y} [mm ³], W _{pl,z} [mm ³]	3,5834e+05	2,8378e+05
M _{pl,y,+} [Nmm], M _{pl,y,-} [Nmm]	84209865,65	84209865,65
M _{pl,z,+} [Nmm], M _{pl,z,-} [Nmm]	66688397,83	66688397,83
d _y [mm], d _z [mm]	0,00	0,00
I _t [mm ⁴], I _w [mm ⁶]	3,0221e+07	4,4121e+09
β_y [mm], β_z [mm]	0,00	0,00

Projekt RNR



PRUVLAK8

Typ	2U komora	
Detailní	UPN160	
Typ tvaru	Tenkostěnný	
Materiál	S 235	
Výroba	svařovaný	
Barva	■	
Posudek rovinného vzpěru y-y, Posudek rovinného vzpěru z-z	b	b
A [mm ²]	4,8042e+03	
A _y [mm ²], A _z [mm ²]	2,4312e+03	2,3997e+03
A _L [m ² /m], A _D [m ² /m]	5,8000e-01	1,0782e+00
c _{y,UCS} [mm], c _{z,UCS} [mm]	65,00	80,00
α [deg]	0,00	
I _y [mm ⁴], I _z [mm ⁴]	1,8500e+07	1,2138e+07
i _y [mm], i _z [mm]	62,05	50,26
W _{el,y} [mm ³], W _{el,z} [mm ³]	2,3125e+05	1,8674e+05
W _{pl,y} [mm ³], W _{pl,z} [mm ³]	2,7516e+05	2,2393e+05
M _{pl,y,+} [Nmm], M _{pl,y,-} [Nmm]	64662448,68	64662448,68
M _{pl,z,+} [Nmm], M _{pl,z,-} [Nmm]	52624443,45	52624443,45
d _y [mm], d _z [mm]	0,00	
I _t [mm ⁴], I _w [mm ⁶]	2,1364e+07	2,3025e+09
β _y [mm], β _z [mm]	0,00	



PRUVLAK9

Typ	Komora fl	
Detailní	200,00; 15,00; 270,00; 10,00; 150,00	
Typ tvaru	Tenkostěnný	
Materiál	S 235	
Výroba	svařovaný	
Barva	■	
Posudek rovinného	b	b

Projekt RNR

vzpěru y-y, Posudek rovinného vzpěru z-z		
A [mm ²]	1,1400e+04	
A _y [mm ²], A _z [mm ²]	5,1705e+03	5,8155e+03
A _L [m ² /m], A _D [m ² /m]	1,0600e+00	1,9000e+00
c _{y,UCS} [mm], c _{z,UCS} [mm]	100,00	150,00
α [deg]	0,00	
I _y [mm ⁴], I _z [mm ⁴]	1,5476e+08	5,4605e+07
i _y [mm], i _z [mm]	116,51	69,21
W _{el,y} [mm ³], W _{el,z} [mm ³]	1,0317e+06	5,4605e+05
W _{pl,y} [mm ³], W _{pl,z} [mm ³]	1,2195e+06	7,3200e+05
M _{pl,y,+} [Nmm], M _{pl,y,-} [Nmm]	286582500,00	286582500,00
M _{pl,z,+} [Nmm], M _{pl,z,-} [Nmm]	172020000,00	172020000,00
d _y [mm], d _z [mm]	0,00	0,00
I _t [mm ⁴], I _w [mm ⁶]	1,0682e+08	1,4763e+11
β _y [mm], β _z [mm]	0,00	0,00
Obrázek		
PRUVLAK10		
Typ	Komora fl	
Detailní	160,00; 12,00; 196,00; 10,00; 110,00	
Typ tvaru	Tenkostěnný	
Materiál	S 235	
Výroba	svařovaný	
Barva	■	
Posudek rovinného vzpěru y-y, Posudek rovinného vzpěru z-z	b	b
A [mm ²]	7,7600e+03	
A _y [mm ²], A _z [mm ²]	3,3252e+03	4,3078e+03
A _L [m ² /m], A _D [m ² /m]	8,2000e-01	1,4320e+00
c _{y,UCS} [mm], c _{z,UCS} [mm]	80,00	110,00
α [deg]	0,00	
I _y [mm ⁴], I _z [mm ⁴]	5,4129e+07	2,2337e+07
i _y [mm], i _z [mm]	83,52	53,65
W _{el,y} [mm ³], W _{el,z} [mm ³]	4,9208e+05	2,7921e+05
W _{pl,y} [mm ³], W _{pl,z} [mm ³]	5,9144e+05	3,8880e+05
M _{pl,y,+} [Nmm], M _{pl,y,-} [Nmm]	138988400,00	138988400,00
M _{pl,z,+} [Nmm], M _{pl,z,-} [Nmm]	91368000,00	91368000,00
d _y [mm], d _z [mm]	0,00	0,00
I _t [mm ⁴], I _w [mm ⁶]	4,0778e+07	2,1584e+10
β _y [mm], β _z [mm]	0,00	0,00

Projekt RNR

Obrázek		
---------	--	--

PRUVLAK11


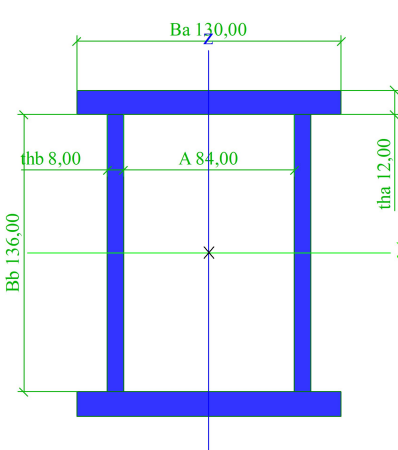
Typ	Komora fl	
Detailní	140,00; 12,00; 156,00; 8,00; 94,00	
Typ tvaru	Tenkostěnný	
Materiál	S 235	
Výroba	svařovaný	
Barva	■	
Posudek rovinného vzpěru y-y, Posudek rovinného vzpěru z-z	b	b
A [mm ²]	5,8560e+03	
Ay [mm ²], Az [mm ²]	2,8492e+03	2,8327e+03
AL [m ² /m], AD [m ² /m]	7,0000e-01	1,2000e+00
Cy.ucs [mm], Cz.ucs [mm]	70,00	90,00
α [deg]	0,00	
Iy [mm ⁴], Iz [mm ⁴]	2,8810e+07	1,1993e+07
iy [mm], iz [mm]	70,14	45,26
W _{el.y} [mm ³], W _{el.z} [mm ³]	3,2012e+05	1,7133e+05
W _{pl.y} [mm ³], W _{pl.z} [mm ³]	3,7958e+05	2,4490e+05
M _{pl.y.+} [Nmm], M _{pl.y.-} [Nmm]	89202240,00	89202240,00
M _{pl.z.+} [Nmm], M _{pl.z.-} [Nmm]	57550560,00	57550560,00
dy [mm], dz [mm]	0,00	0,00
I _E [mm ⁴], I _w [mm ⁶]	2,0127e+07	1,2063e+10
β _y [mm], β _z [mm]	0,00	0,00

Obrázek		
---------	--	--


PRUVLAK12

Typ	Komora fl	
Detailní	130,00; 12,00; 136,00; 8,00; 84,00	
Typ tvaru	Tenkostěnný	

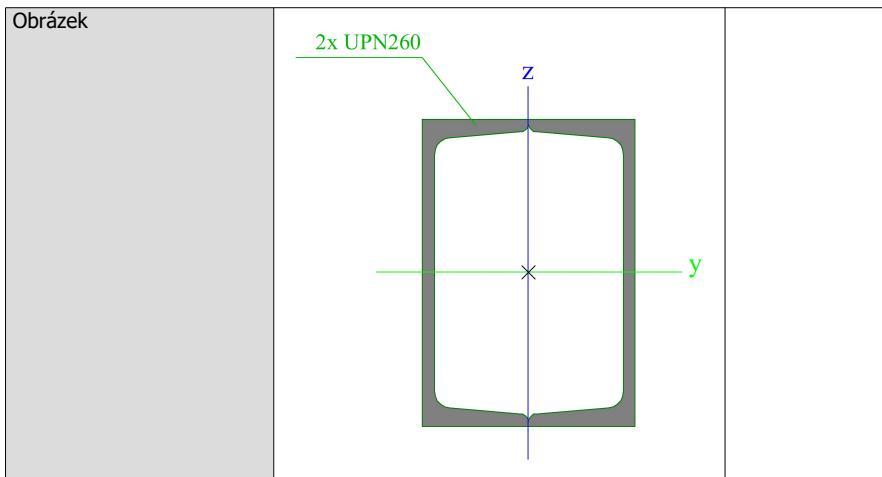
Projekt RNR

Materiál	S 235	
Výroba	svařovaný	
Barva		
Posudek rovinného vzpěru y-y, Posudek rovinného vzpěru z-z	b	b
A [mm ²]	5,2960e+03	
A _y [mm ²], A _z [mm ²]	2,6227e+03	2,4850e+03
A _L [m ² /m], A _D [m ² /m]	6,4000e-01	1,0800e+00
c _{y,UCS} [mm], c _{z,UCS} [mm]	65,00	80,00
α [deg]	0,00	
I _y [mm ⁴], I _z [mm ⁴]	2,0477e+07	9,0100e+06
i _y [mm], i _z [mm]	62,18	41,25
W _{el,y} [mm ³], W _{el,z} [mm ³]	2,5596e+05	1,3862e+05
W _{pl,y} [mm ³], W _{pl,z} [mm ³]	3,0486e+05	2,0150e+05
M _{pl,y,+} [Nmm], M _{pl,y,-} [Nmm]	71643040,00	71643040,00
M _{pl,z,+} [Nmm], M _{pl,z,-} [Nmm]	47351560,00	47351560,00
d _y [mm], d _z [mm]	0,00	0,00
I _E [mm ⁴], I _w [mm ⁶]	1,4371e+07	7,2489e+09
β _y [mm], β _z [mm]	0,00	0,00
Obrázek		

PRUVLAK13

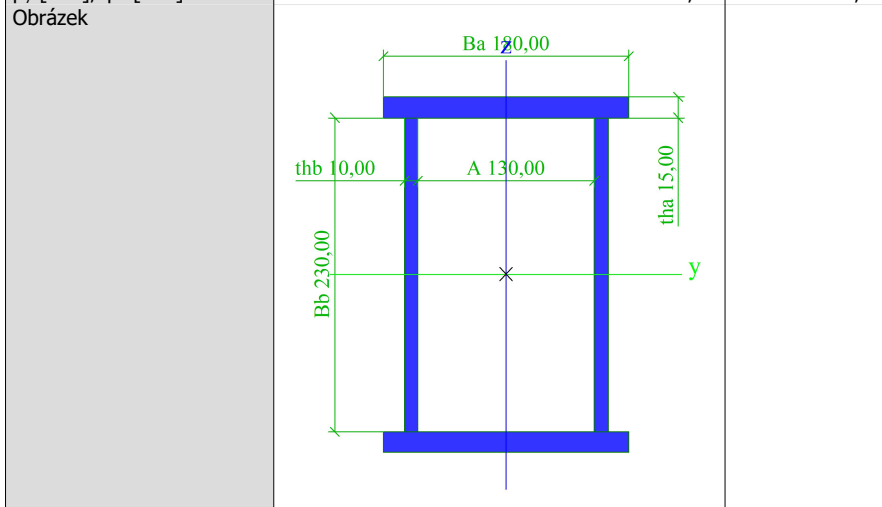
Typ	2U komora	
Detailní	UPN260	
Typ tvaru	Tenkostěnný	
Materiál	S 235	
Výroba	svařovaný	
Barva		
Posudek rovinného vzpěru y-y, Posudek rovinného vzpěru z-z	b	b
A [mm ²]	9,6590e+03	
A _y [mm ²], A _z [mm ²]	4,5389e+03	5,1572e+03
A _L [m ² /m], A _D [m ² /m]	8,8000e-01	1,6496e+00
c _{y,UCS} [mm], c _{z,UCS} [mm]	90,00	130,00
α [deg]	0,00	
I _y [mm ⁴], I _z [mm ⁴]	9,6512e+07	4,8839e+07
i _y [mm], i _z [mm]	99,96	71,11
W _{el,y} [mm ³], W _{el,z} [mm ³]	7,4240e+05	5,4266e+05
W _{pl,y} [mm ³], W _{pl,z} [mm ³]	8,8508e+05	6,4069e+05
M _{pl,y,+} [Nmm], M _{pl,y,-} [Nmm]	207993670,85	207993670,85
M _{pl,z,+} [Nmm], M _{pl,z,-} [Nmm]	150561206,71	150561206,71
d _y [mm], d _z [mm]	0,00	0,00
I _E [mm ⁴], I _w [mm ⁶]	9,5672e+07	4,0541e+10
β _y [mm], β _z [mm]	0,00	0,00

Projekt RNR



PRUVLAK14


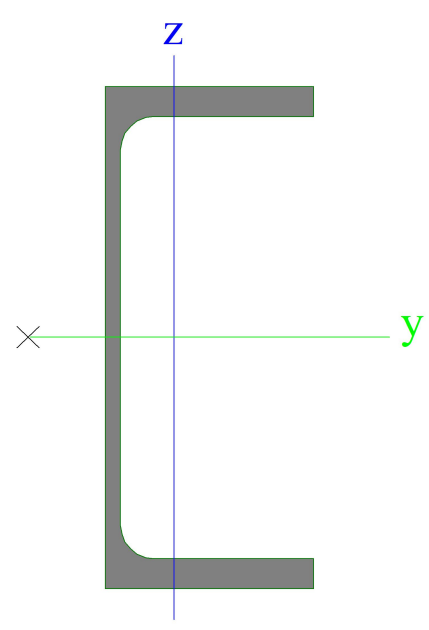
Typ	Komora fl	
Detailní	180,00; 15,00; 230,00; 10,00; 130,00	
Typ tvaru	Tenkostěnný	
Materiál	S 235	
Výroba	svařovaný	
Barva	■	
Posudek rovinného vzpěru y-y, Posudek rovinného vzpěru z-z	b	b
A [mm ²]	1,0000e+04	
A _y [mm ²], A _z [mm ²]	4,6888e+03	5,1389e+03
A _L [m ² /m], A _D [m ² /m]	9,4000e-01	1,6600e+00
c _{y,UCS} [mm], c _{z,UCS} [mm]	90,00	130,00
α [deg]	0,00	
I _y [mm ⁴], I _z [mm ⁴]	1,0141e+08	3,7158e+07
i _y [mm], i _z [mm]	100,70	60,96
W _{el,y} [mm ³], W _{el,z} [mm ³]	7,8010e+05	4,1287e+05
W _{pl,y} [mm ³], W _{pl,z} [mm ³]	9,2600e+05	5,6500e+05
M _{pl,y,+} [Nmm], M _{pl,y,-} [Nmm]	217610000,00	217610000,00
M _{pl,z,+} [Nmm], M _{pl,z,-} [Nmm]	132775000,00	132775000,00
d _y [mm], d _z [mm]	0,00	0,00
I _t [mm ⁴], I _w [mm ⁶]	7,0115e+07	7,6254e+10
β _y [mm], β _z [mm]	0,00	0,00



PRUVLAK15

Typ	UPE180	
Kód tvaru	5 - U průřez	
Typ tvaru	Tenkostěnný	
Materiál	S 235	

Projekt RNR

Výroba	válcovaný	
Barva		
Posudek rovinného vzpěru y-y, Posudek rovinného vzpěru z-z	c	c
A [mm ²]	2,5100e+03	
A _y [mm ²], A _z [mm ²]	1,4635e+03	1,0094e+03
A _L [m ² /m], A _D [m ² /m]	6,3870e-01	6,3865e-01
c _{y,UCS} [mm], c _{z,UCS} [mm]	24,67	90,00
α [deg]	0,00	
I _y [mm ⁴], I _z [mm ⁴]	1,3530e+07	1,4400e+06
i _y [mm], i _z [mm]	73,42	23,95
W _{el,y} [mm ³], W _{el,z} [mm ³]	1,5000e+05	2,8600e+04
W _{pl,y} [mm ³], W _{pl,z} [mm ³]	1,7300e+05	5,1300e+04
M _{pl,y,+} [Nmm], M _{pl,y,-} [Nmm]	40673008,79	40673008,79
M _{pl,z,+} [Nmm], M _{pl,z,-} [Nmm]	12056096,19	12056096,19
d _y [mm], d _z [mm]	-52,36	0,00
I _t [mm ⁴], I _w [mm ⁶]	6,9900e+04	7,1582e+09
β _y [mm], β _z [mm]	0,00	188,86
Obrázek		

Vysvětlivky symbolů	
Kód tvaru	h - Výška b - Šířka s - Tloušťka r - Vnější poloměr r1 - Vnitřní poloměr
A	Plocha
A _y	Smyková plocha ve směru hlavní osy y
A _z	Smyková plocha ve směru hlavní osy z
A _L	Obvodový povrch na jednotku délky
A _D	Vysýchající povrch na jednotku délky
c _{y,UCS}	Souřadnice těžiště ve směru osy Y zadávacího systému
c _{z,UCS}	Souřadnice těžiště ve směru osy Z zadávacího systému
I _{y,LCS}	Moment setrvačnosti kolem osy YLSS
I _{z,LCS}	Moment setrvačnosti kolem osy ZLSS
I _{y,ZLCS}	Moment setrvačnosti I _{yz} v LSS
α	Úhel pootočení hlavní osy

Vysvětlivky symbolů	
I _y	Moment setrvačnosti kolem hlavní osy y
I _z	Moment setrvačnosti kolem hlavní osy z
i _y	Poloměr setrvačnosti kolem hlavní osy y
i _z	Poloměr setrvačnosti kolem hlavní osy z
W _{el,y}	Pružný modul průřezu k hlavní ose y
W _{el,z}	Pružný modul průřezu k hlavní ose z
W _{pl,y}	Plastický modul průřezu k hlavní ose y
W _{pl,z}	Plastický modul průřezu k hlavní ose z
M _{pl,y,+}	Plastický moment kolem hlavní osy y pro kladný moment M _y
M _{pl,y,-}	Plastický moment kolem hlavní osy y pro záporný moment M _y
M _{pl,z,+}	Plastický moment kolem hlavní osy z pro kladný moment M _z
M _{pl,z,-}	Plastický moment kolem hlavní osy z

Projekt RNR

Vysvětlivky symbolů	
	pro záporný moment Mz
d_y	Souřadnice středu smyku ve směru hlavní osy y měřená od těžiště
d_z	Souřadnice středu smyku ve směru hlavní osy z měřená od těžiště

Vysvětlivky symbolů	
I_t	Moment setrvačnosti v prostém kroucení
I_w	Výsečový moment setrvačnosti
β_y	Mono-symetrická konstanta kolem hlavní osy y
β_z	Mono-symetrická konstanta kolem hlavní osy z

12. Uzly

Jméno	Souř. X [m]	Souř. Y [m]	Souř. Z [m]
N1	0,000	0,000	0,885
N2	0,000	0,000	2,505
N3	0,000	3,240	0,885
N4	0,000	3,240	2,878
N5	0,000	0,335	2,505
N6	0,000	3,404	2,899
N7	2,800	0,000	0,885
N8	2,800	0,000	2,505
N9	2,800	0,335	2,505
N10	2,800	3,404	2,899
N11	2,800	3,240	0,885
N12	2,800	3,240	2,878
N13	4,800	0,000	0,885
N14	4,800	0,000	2,505
N15	4,800	0,335	2,505
N16	4,800	3,404	2,899
N17	4,800	3,240	0,885
N18	4,800	3,240	2,878
N19	6,800	0,000	0,885
N20	6,800	0,000	2,505
N21	6,800	0,335	2,505
N22	6,800	3,404	2,899
N23	6,800	3,240	0,885
N24	6,800	3,240	2,878
N25	8,800	0,000	0,885
N26	8,800	0,000	2,505
N27	8,800	0,335	2,505
N28	8,800	3,404	2,899
N29	8,800	3,240	0,885
N30	8,800	3,240	2,878
N31	10,800	0,000	0,885
N32	10,800	0,000	2,505
N33	10,800	0,335	2,505
N34	10,800	3,404	2,899
N35	10,800	3,240	0,885
N36	10,800	3,240	2,878
N37	12,800	0,000	0,885
N38	12,800	0,000	2,505
N39	12,800	0,335	2,505
N40	12,800	3,404	2,899
N41	12,800	3,240	0,885
N42	12,800	3,240	2,878
N43	14,800	0,000	0,885
N44	14,800	0,000	2,505
N45	14,800	0,335	2,505
N46	14,800	3,404	2,899
N47	14,800	3,240	0,885
N48	14,800	3,240	2,878
N49	16,800	0,000	0,885
N50	16,800	0,000	2,505
N51	16,800	0,335	2,505
N52	16,800	3,404	2,899
N53	16,800	3,240	0,885
N54	16,800	3,240	2,878

Jméno	Souř. X [m]	Souř. Y [m]	Souř. Z [m]
N55	18,800	0,000	0,885
N56	18,800	0,000	2,505
N57	18,800	0,335	2,505
N58	18,800	3,404	2,899
N59	18,800	3,240	0,885
N60	18,800	3,240	2,878
N61	20,800	0,000	0,885
N62	20,800	0,000	2,505
N63	20,800	0,335	2,505
N64	20,800	3,404	2,899
N65	20,800	3,240	0,885
N66	20,800	3,240	2,878
N67	22,800	0,000	0,885
N68	22,800	0,000	2,505
N69	22,800	0,335	2,505
N70	22,800	3,404	2,899
N71	22,800	3,240	0,885
N72	22,800	3,240	2,878
N73	24,800	0,000	0,885
N74	24,800	0,000	2,505
N75	24,800	0,335	2,505
N76	24,800	3,404	2,899
N77	24,800	3,240	0,885
N78	24,800	3,240	2,878
N79	26,800	0,000	0,885
N80	26,800	0,000	2,505
N81	26,800	0,335	2,505
N82	26,800	3,404	2,899
N83	26,800	3,240	0,885
N84	26,800	3,240	2,878
N85	3,800	0,000	2,505
N86	23,800	0,000	2,505
N87	13,800	0,000	2,505
N89	4,800	1,620	2,670
N91	2,800	1,620	2,670
N93	0,000	1,620	2,670
N94	6,800	1,620	2,670
N95	8,800	1,620	2,670
N96	10,800	1,620	2,670
N97	12,800	1,620	2,670
N98	14,800	1,620	2,670
N99	16,800	1,620	2,670
N100	18,800	1,620	2,670
N101	20,800	1,620	2,670
N102	22,800	1,620	2,670
N103	24,800	1,620	2,670
N104	26,800	1,620	2,670
N107	2,800	17,220	0,000
N108	2,800	17,220	2,505
N109	2,800	10,980	0,885
N110	2,800	10,980	2,930
N111	2,800	10,845	2,939
N112	2,800	14,200	0,885
N113	2,800	14,200	2,711

Jméno	Souř. X [m]	Souř. Y [m]	Souř. Z [m]
N116	0,000	10,980	0,885
N117	0,000	10,980	2,930
N118	0,000	10,845	2,939
N119	0,000	14,200	0,885
N120	0,000	14,200	2,711
N121	0,000	15,178	2,644
N122	4,800	17,220	0,000
N123	4,800	17,220	2,505
N124	4,800	10,980	0,885
N125	4,800	10,980	2,930
N126	4,800	10,845	2,939
N129	6,800	17,220	0,000
N130	6,800	17,220	2,505
N131	6,800	10,980	0,885
N132	6,800	10,980	2,930
N133	6,800	10,845	2,939
N134	6,800	14,200	0,885
N135	6,800	14,200	2,711
N136	8,800	17,220	0,000
N137	8,800	17,220	2,505
N138	8,800	10,980	0,885
N139	8,800	10,980	2,930
N140	8,800	10,845	2,939
N143	10,800	17,220	0,000
N144	10,800	17,220	2,505
N145	10,800	10,980	0,885
N146	10,800	10,980	2,930
N147	10,800	10,845	2,939
N148	10,800	14,200	0,885
N149	10,800	14,200	2,711
N150	12,800	17,220	0,000
N151	12,800	17,220	2,505
N152	12,800	10,980	0,885
N153	12,800	10,980	2,930
N154	12,800	10,845	2,939
N157	14,800	17,220	0,000
N158	14,800	17,220	2,505
N159	14,800	10,980	0,885
N160	14,800	10,980	2,930
N161	14,800	10,845	2,939
N162	14,800	14,200	0,885
N163	14,800	14,200	2,711
N164	16,800	17,220	0,000
N165	16,800	17,220	2,505
N166	16,800	10,980	0,885
N167	16,800	10,980	2,930
N168	16,800	10,845	2,939
N171	18,800	17,220	0,000
N172	18,800	17,220	2,505
N173	18,800	10,980	0,885
N174	18,800	10,980	2,930
N175	18,800	10,845	2,939
N176	18,800	14,200	0,885
N177	18,800	14,200	2,711

Projekt RNR

Jméno	Souř. X [m]	Souř. Y [m]	Souř. Z [m]
N178	20,800	17,220	0,000
N179	20,800	17,220	2,505
N180	20,800	10,980	0,885
N181	20,800	10,980	2,930
N182	20,800	10,845	2,939
N185	22,800	17,220	0,000
N186	22,800	17,220	2,505
N187	22,800	10,980	0,885
N188	22,800	10,980	2,930
N189	22,800	10,845	2,939
N190	22,800	14,200	0,885
N191	22,800	14,200	2,711
N192	24,800	17,220	0,000
N193	24,800	17,220	2,505
N194	24,800	10,980	0,885
N195	24,800	10,980	2,930
N196	24,800	10,845	2,939
N199	26,800	17,220	0,000
N200	26,800	17,220	2,505
N201	26,800	10,980	0,885
N202	26,800	10,980	2,930
N204	26,800	14,200	0,885
N205	26,800	14,200	2,711
N207	4,800	12,590	2,820
N209	2,800	12,590	2,820
N210	3,800	17,220	2,505
N212	4,800	15,710	2,608
N214	2,800	15,710	2,608
N215	4,800	14,200	2,711
N216	6,800	12,590	2,820
N217	6,800	15,710	2,608
N218	8,800	12,590	2,820
N219	8,800	15,710	2,608

Jméno	Souř. X [m]	Souř. Y [m]	Souř. Z [m]
N220	10,800	12,590	2,820
N221	10,800	15,710	2,608
N222	12,800	12,590	2,820
N223	12,800	15,710	2,608
N224	14,800	12,590	2,820
N225	14,800	15,710	2,608
N226	16,800	12,590	2,820
N227	16,800	15,710	2,608
N228	18,800	12,590	2,820
N229	18,800	15,710	2,608
N230	20,800	12,590	2,820
N231	20,800	15,710	2,608
N232	22,800	12,590	2,820
N233	22,800	15,710	2,608
N234	24,800	12,590	2,820
N235	24,800	15,710	2,608
N236	26,800	12,590	2,820
N237	26,800	15,710	2,608
N238	0,000	12,590	2,820
N239	23,800	17,220	2,505
N240	24,800	14,200	2,711
N241	13,800	17,220	2,505
N242	12,800	14,200	2,711
N245	8,800	14,200	2,711
N246	16,800	14,200	2,711
N247	20,800	14,200	2,711
N248	2,800	15,178	2,644
N249	26,800	17,220	0,885
N250	2,800	17,220	0,885
N251	29,070	0,000	2,735
N252	29,070	3,240	3,108
N253	29,070	0,335	2,735
N254	29,070	3,404	3,129

Jméno	Souř. X [m]	Souř. Y [m]	Souř. Z [m]
N255	29,070	1,620	2,900
N256	29,070	17,220	2,735
N257	29,070	10,980	3,160
N258	29,070	12,590	3,050
N259	29,070	14,200	2,941
N260	29,070	15,710	2,838
N261	29,070	10,845	3,169
N262	24,800	2,430	2,774
N263	26,800	2,430	2,774
N264	29,070	2,430	3,004
N265	24,800	0,978	2,587
N266	26,800	0,977	2,587
N267	29,070	0,977	2,817
N268	22,800	2,430	2,774
N269	22,800	0,978	2,587
N270	27,935	2,430	2,889
N271	25,800	2,430	2,774
N274	23,800	2,430	2,774
N275	2,300	17,220	2,505
N276	2,300	14,200	2,711
N277	2,300	15,710	2,608
N278	4,800	17,220	1,000
N279	2,800	17,220	1,000
N280	6,800	17,220	1,000
N281	22,800	17,220	1,000
N282	20,800	17,220	1,000
N283	24,800	17,220	1,000
N284	14,800	17,220	1,000
N285	12,800	17,220	1,000
N286	26,800	10,845	2,939
N287	29,070	10,861	3,168

13. Prvky

Jméno	Průřez	Materiál	Délka [m]	Poč. uzel	Konc. uzel	Typ
B1	SLOUP1 - RHS200/120/8.0	S 235	1,620	N1	N2	sloup (100)
B2	SLOUP4 - Obecný průřez	S 235	1,993	N3	N4	sloup (100)
B3	PŘÍČEL4 - Iw (300,00; 8,00; 120,00; 12,00; 276,00; 0,00)	S 235	0,335	N2	N5	obecný (0)
B4	PŘÍČEL5 - Iw (300,00; 8,00; 120,00; 12,00; 276,00; 0,00)	S 235	3,094	N5	N6	obecný (0)
B5	SLOUP1 - RHS200/120/8.0	S 235	1,620	N7	N8	sloup (100)
B6	PŘÍČEL5 - Iw (300,00; 8,00; 120,00; 12,00; 276,00; 0,00)	S 235	3,094	N9	N10	obecný (0)
B7	SLOUP4 - Obecný průřez	S 235	1,993	N11	N12	sloup (100)
B8	PŘÍČEL4 - Iw (300,00; 8,00; 120,00; 12,00; 276,00; 0,00)	S 235	0,335	N8	N9	obecný (0)
B9	SLOUP1 - RHS200/120/8.0	S 235	1,620	N13	N14	sloup (100)
B10	PŘÍČEL4 - Iw (300,00; 8,00; 120,00; 12,00; 276,00; 0,00)	S 235	0,335	N14	N15	obecný (0)
B11	PŘÍČEL5 - Iw (300,00; 8,00; 120,00; 12,00; 276,00; 0,00)	S 235	3,094	N15	N16	obecný (0)
B12	SLOUP4 - Obecný průřez	S 235	1,993	N17	N18	sloup (100)
B13	SLOUP1 - RHS200/120/8.0	S 235	1,620	N19	N20	sloup (100)
B14	PŘÍČEL4 - Iw (300,00; 8,00; 120,00; 12,00; 276,00; 0,00)	S 235	0,335	N20	N21	obecný (0)
B15	PŘÍČEL5 - Iw (300,00; 8,00; 120,00; 12,00; 276,00; 0,00)	S 235	3,094	N21	N22	obecný (0)
B16	SLOUP4 - Obecný průřez	S 235	1,993	N23	N24	sloup (100)
B17	SLOUP1 - RHS200/120/8.0	S 235	1,620	N25	N26	sloup (100)
B18	PŘÍČEL4 - Iw (300,00; 8,00; 120,00; 12,00; 276,00; 0,00)	S 235	0,335	N26	N27	obecný (0)
B19	PŘÍČEL5 - Iw (300,00; 8,00; 120,00; 12,00; 276,00; 0,00)	S 235	3,094	N27	N28	obecný (0)
B20	SLOUP4 - Obecný průřez	S 235	1,993	N29	N30	sloup (100)
B21	SLOUP1 - RHS200/120/8.0	S 235	1,620	N31	N32	sloup (100)
B22	PŘÍČEL4 - Iw (300,00; 8,00; 120,00; 12,00; 276,00; 0,00)	S 235	0,335	N32	N33	obecný (0)
B23	PŘÍČEL5 - Iw (300,00; 8,00; 120,00; 12,00; 276,00; 0,00)	S 235	3,094	N33	N34	obecný (0)
B24	SLOUP4 - Obecný průřez	S 235	1,993	N35	N36	sloup (100)
B25	SLOUP1 - RHS200/120/8.0	S 235	1,620	N37	N38	sloup (100)
B26	PŘÍČEL4 - Iw (300,00; 8,00; 120,00; 12,00; 276,00; 0,00)	S 235	0,335	N38	N39	obecný (0)
B27	PŘÍČEL5 - Iw (300,00; 8,00; 120,00; 12,00; 276,00; 0,00)	S 235	3,094	N39	N40	obecný (0)

Projekt RNR

Jméno	Průřez	Materiál	Délka [m]	Poč. uzel	Konc. uzel	Typ
B28	SLOUP4 - Obecný průřez	S 235	1,993	N41	N42	sloup (100)
B29	SLOUP1 - RHS200/120/8.0	S 235	1,620	N43	N44	sloup (100)
B30	PŘÍČEL4 - Iw (300,00; 8,00; 120,00; 12,00; 276,00; 0,00)	S 235	0,335	N44	N45	obecný (0)
B31	PŘÍČEL5 - Iw (300,00; 8,00; 120,00; 12,00; 276,00; 0,00)	S 235	3,094	N45	N46	obecný (0)
B32	SLOUP4 - Obecný průřez	S 235	1,993	N47	N48	sloup (100)
B33	SLOUP1 - RHS200/120/8.0	S 235	1,620	N49	N50	sloup (100)
B34	PŘÍČEL4 - Iw (300,00; 8,00; 120,00; 12,00; 276,00; 0,00)	S 235	0,335	N50	N51	obecný (0)
B35	PŘÍČEL5 - Iw (300,00; 8,00; 120,00; 12,00; 276,00; 0,00)	S 235	3,094	N51	N52	obecný (0)
B36	SLOUP4 - Obecný průřez	S 235	1,993	N53	N54	sloup (100)
B37	SLOUP1 - RHS200/120/8.0	S 235	1,620	N55	N56	sloup (100)
B38	PŘÍČEL4 - Iw (300,00; 8,00; 120,00; 12,00; 276,00; 0,00)	S 235	0,335	N56	N57	obecný (0)
B39	PŘÍČEL5 - Iw (300,00; 8,00; 120,00; 12,00; 276,00; 0,00)	S 235	3,094	N57	N58	obecný (0)
B40	SLOUP4 - Obecný průřez	S 235	1,993	N59	N60	sloup (100)
B41	SLOUP1 - RHS200/120/8.0	S 235	1,620	N61	N62	sloup (100)
B42	PŘÍČEL4 - Iw (300,00; 8,00; 120,00; 12,00; 276,00; 0,00)	S 235	0,335	N62	N63	obecný (0)
B43	PŘÍČEL5 - Iw (300,00; 8,00; 120,00; 12,00; 276,00; 0,00)	S 235	3,094	N63	N64	obecný (0)
B44	SLOUP4 - Obecný průřez	S 235	1,993	N65	N66	sloup (100)
B45	SLOUP1 - RHS200/120/8.0	S 235	1,620	N67	N68	sloup (100)
B46	PŘÍČEL4 - Iw (300,00; 8,00; 120,00; 12,00; 276,00; 0,00)	S 235	0,335	N68	N69	obecný (0)
B47	PŘÍČEL5 - Iw (300,00; 8,00; 120,00; 12,00; 276,00; 0,00)	S 235	3,094	N69	N70	obecný (0)
B48	SLOUP6 - Obecný průřez	S 235	1,993	N71	N72	sloup (100)
B49	SLOUP1 - RHS200/120/8.0	S 235	1,620	N73	N74	sloup (100)
B50	PŘÍČEL9 - Iw (316,00; 10,00; 150,00; 20,00; 276,00; 0,00)	S 235	0,335	N74	N75	obecný (0)
B51	PŘÍČEL5 - Iw (300,00; 8,00; 120,00; 12,00; 276,00; 0,00)	S 235	3,094	N75	N76	obecný (0)
B52	SLOUP6 - Obecný průřez	S 235	1,993	N77	N78	sloup (100)
B53	SLOUP1 - RHS200/120/8.0	S 235	1,620	N79	N80	sloup (100)
B54	PŘÍČEL9 - Iw (316,00; 10,00; 150,00; 20,00; 276,00; 0,00)	S 235	0,335	N80	N81	obecný (0)
B55	PŘÍČEL5 - Iw (300,00; 8,00; 120,00; 12,00; 276,00; 0,00)	S 235	2,929	N81	N84	obecný (0)
B56	SLOUP6 - Obecný průřez	S 235	1,993	N83	N84	sloup (100)
B57	VAZNICE1 - IPE180	S 235	2,800	N2	N8	obecný (0)
B58	VAZNICE - IPE120	S 235	2,000	N8	N14	obecný (0)
B59	VAZNICE - IPE120	S 235	2,000	N14	N20	obecný (0)
B60	VAZNICE - IPE120	S 235	2,000	N20	N26	obecný (0)
B61	VAZNICE - IPE120	S 235	2,000	N26	N32	obecný (0)
B62	VAZNICE - IPE120	S 235	2,000	N32	N38	obecný (0)
B63	VAZNICE - IPE120	S 235	2,000	N38	N44	obecný (0)
B64	VAZNICE - IPE120	S 235	2,000	N44	N50	obecný (0)
B65	VAZNICE - IPE120	S 235	2,000	N50	N56	obecný (0)
B66	VAZNICE - IPE120	S 235	2,000	N56	N62	obecný (0)
B67	VAZNICE - IPE120	S 235	2,000	N62	N68	obecný (0)
B68	PRUVLAK5 - 2U komora (UPN300)	S 235	2,000	N68	N74	obecný (0)
B69	PRUVLAK5 - 2U komora (UPN300)	S 235	2,000	N74	N80	obecný (0)
B70	PRUVLAK6 - Komora fl (150,00; 20,00; 80,00; 10,00; 120,00)	S 235	2,800	N4	N12	obecný (0)
B71	VAZNICE - IPE120	S 235	2,000	N12	N18	obecný (0)
B72	VAZNICE - IPE120	S 235	2,000	N18	N24	obecný (0)
B73	VAZNICE - IPE120	S 235	2,000	N24	N30	obecný (0)
B74	VAZNICE - IPE120	S 235	2,000	N30	N36	obecný (0)
B75	VAZNICE - IPE120	S 235	2,000	N36	N42	obecný (0)
B76	VAZNICE - IPE120	S 235	2,000	N42	N48	obecný (0)
B77	VAZNICE - IPE120	S 235	2,000	N48	N54	obecný (0)
B78	VAZNICE - IPE120	S 235	2,000	N54	N60	obecný (0)
B79	VAZNICE - IPE120	S 235	2,000	N60	N66	obecný (0)
B80	VAZNICE - IPE120	S 235	2,000	N66	N72	obecný (0)
B89	VAZNICE - IPE120	S 235	2,000	N91	N89	obecný (0)
B94	VAZNICE1 - IPE180	S 235	2,800	N91	N93	nosník (80)
B95	VAZNICE - IPE120	S 235	2,000	N89	N94	obecný (0)
B96	VAZNICE - IPE120	S 235	2,000	N94	N95	obecný (0)
B97	VAZNICE - IPE120	S 235	2,000	N95	N96	obecný (0)
B98	VAZNICE - IPE120	S 235	2,000	N96	N97	obecný (0)
B99	VAZNICE - IPE120	S 235	2,000	N97	N98	obecný (0)
B100	VAZNICE - IPE120	S 235	2,000	N98	N99	obecný (0)
B101	VAZNICE - IPE120	S 235	2,000	N99	N100	obecný (0)
B102	VAZNICE - IPE120	S 235	2,000	N100	N101	obecný (0)
B103	VAZNICE - IPE120	S 235	2,000	N101	N102	obecný (0)
B105	PRUVLAK7 - 2U komora (UPN180)	S 235	2,000	N103	N104	obecný (0)
B114	SLOUP1 - RHS200/120/8.0	S 235	2,505	N107	N108	sloup (100)

Projekt RNR

Jméno	Průřez	Materiál	Délka [m]	Poč. uzel	Konc. uzel	Typ
B115	SLOUP5 - Obecný průřez	S 235	2,045	N109	N110	sloup (100)
B116	PŘÍČEL2 - Iw (300,00; 8,00; 120,00; 12,00; 276,00; 0,00)	S 235	6,389	N108	N111	nosník (80)
B117	SLOUP - RHS200/120/8.0	S 235	1,826	N112	N113	sloup (100)
B119	SLOUP5 - Obecný průřez	S 235	2,045	N116	N117	sloup (100)
B120	PŘÍČEL7 - Iw (240,00; 6,00; 120,00; 10,00; 220,00; 0,00)	S 235	4,342	N121	N118	nosník (80)
B121	SLOUP - RHS200/120/8.0	S 235	1,826	N119	N120	sloup (100)
B122	SLOUP1 - RHS200/120/8.0	S 235	2,505	N122	N123	sloup (100)
B123	SLOUP5 - Obecný průřez	S 235	2,045	N124	N125	sloup (100)
B124	PŘÍČEL2 - Iw (300,00; 8,00; 120,00; 12,00; 276,00; 0,00)	S 235	6,389	N123	N126	nosník (80)
B126	SLOUP1 - RHS200/120/8.0	S 235	2,505	N129	N130	sloup (100)
B127	SLOUP5 - Obecný průřez	S 235	2,045	N131	N132	sloup (100)
B128	PŘÍČEL2 - Iw (300,00; 8,00; 120,00; 12,00; 276,00; 0,00)	S 235	6,389	N130	N133	nosník (80)
B129	SLOUP - RHS200/120/8.0	S 235	1,826	N134	N135	sloup (100)
B130	SLOUP1 - RHS200/120/8.0	S 235	2,505	N136	N137	sloup (100)
B131	SLOUP5 - Obecný průřez	S 235	2,045	N138	N139	sloup (100)
B132	PŘÍČEL2 - Iw (300,00; 8,00; 120,00; 12,00; 276,00; 0,00)	S 235	6,389	N137	N140	nosník (80)
B134	SLOUP1 - RHS200/120/8.0	S 235	2,505	N143	N144	sloup (100)
B135	SLOUP5 - Obecný průřez	S 235	2,045	N145	N146	sloup (100)
B136	PŘÍČEL2 - Iw (300,00; 8,00; 120,00; 12,00; 276,00; 0,00)	S 235	6,389	N144	N147	nosník (80)
B137	SLOUP - RHS200/120/8.0	S 235	1,826	N148	N149	sloup (100)
B138	SLOUP1 - RHS200/120/8.0	S 235	2,505	N150	N151	sloup (100)
B139	SLOUP5 - Obecný průřez	S 235	2,045	N152	N153	sloup (100)
B140	PŘÍČEL2 - Iw (300,00; 8,00; 120,00; 12,00; 276,00; 0,00)	S 235	6,389	N151	N154	nosník (80)
B142	SLOUP1 - RHS200/120/8.0	S 235	2,505	N157	N158	sloup (100)
B143	SLOUP5 - Obecný průřez	S 235	2,045	N159	N160	sloup (100)
B144	PŘÍČEL2 - Iw (300,00; 8,00; 120,00; 12,00; 276,00; 0,00)	S 235	6,389	N158	N161	nosník (80)
B145	SLOUP - RHS200/120/8.0	S 235	1,826	N162	N163	sloup (100)
B146	SLOUP1 - RHS200/120/8.0	S 235	2,505	N164	N165	sloup (100)
B147	SLOUP5 - Obecný průřez	S 235	2,045	N166	N167	sloup (100)
B148	PŘÍČEL2 - Iw (300,00; 8,00; 120,00; 12,00; 276,00; 0,00)	S 235	6,389	N165	N168	nosník (80)
B150	SLOUP1 - RHS200/120/8.0	S 235	2,505	N171	N172	sloup (100)
B151	SLOUP5 - Obecný průřez	S 235	2,045	N173	N174	sloup (100)
B152	PŘÍČEL2 - Iw (300,00; 8,00; 120,00; 12,00; 276,00; 0,00)	S 235	6,389	N172	N175	nosník (80)
B153	SLOUP - RHS200/120/8.0	S 235	1,826	N176	N177	sloup (100)
B154	SLOUP1 - RHS200/120/8.0	S 235	2,505	N178	N179	sloup (100)
B155	SLOUP5 - Obecný průřez	S 235	2,045	N180	N181	sloup (100)
B156	PŘÍČEL2 - Iw (300,00; 8,00; 120,00; 12,00; 276,00; 0,00)	S 235	6,389	N179	N182	nosník (80)
B158	SLOUP1 - RHS200/120/8.0	S 235	2,505	N185	N186	sloup (100)
B159	SLOUP6 - Obecný průřez	S 235	2,045	N187	N188	sloup (100)
B160	PŘÍČEL2 - Iw (300,00; 8,00; 120,00; 12,00; 276,00; 0,00)	S 235	6,389	N186	N189	nosník (80)
B161	SLOUP - RHS200/120/8.0	S 235	1,826	N190	N191	sloup (100)
B162	SLOUP1 - RHS200/120/8.0	S 235	2,505	N192	N193	sloup (100)
B163	SLOUP6 - Obecný průřez	S 235	2,045	N194	N195	sloup (100)
B164	PŘÍČEL2 - Iw (300,00; 8,00; 120,00; 12,00; 276,00; 0,00)	S 235	6,389	N193	N196	nosník (80)
B166	SLOUP1 - RHS200/120/8.0	S 235	2,505	N199	N200	sloup (100)
B167	SLOUP6 - Obecný průřez	S 235	2,045	N201	N202	sloup (100)
B168	PŘÍČEL2 - Iw (300,00; 8,00; 120,00; 12,00; 276,00; 0,00)	S 235	6,389	N200	N286	nosník (80)
B169	SLOUP - RHS200/120/8.0	S 235	1,826	N204	N205	sloup (100)
B176	PRUVLAK6 - Komora fl (150,00; 20,00; 80,00; 10,00; 120,00)	S 235	2,800	N117	N110	nosník (80)
B177	VAZNICE1 - IPE180	S 235	2,800	N120	N113	nosník (80)
B178	VAZNICE - IPE120	S 235	2,000	N110	N125	nosník (80)
B179	VAZNICE1 - IPE180	S 235	2,000	N108	N123	nosník (80)
B180	VAZNICE - IPE120	S 235	2,000	N209	N207	nosník (80)
B183	VAZNICE1 - IPE180	S 235	2,000	N214	N212	nosník (80)
B186	ZTUZIDLO STRESNI 2 - CHS48.3/3.2	S 235	2,579	N8	N89	nosník (80)
B187	ZTUZIDLO STRESNI 2 - CHS48.3/3.2	S 235	2,579	N14	N91	nosník (80)
B188	ZTUZIDLO STRESNI 2 - CHS48.3/3.2	S 235	2,582	N91	N18	nosník (80)
B189	ZTUZIDLO STRESNI 2 - CHS48.3/3.2	S 235	2,582	N89	N12	nosník (80)
B190	ZTUZIDLO STRESNI 2 - CHS48.3/3.2	S 235	2,579	N38	N98	nosník (80)
B191	ZTUZIDLO STRESNI 2 - CHS48.3/3.2	S 235	2,579	N44	N97	nosník (80)
B192	ZTUZIDLO STRESNI 2 - CHS48.3/3.2	S 235	2,582	N97	N48	nosník (80)
B193	ZTUZIDLO STRESNI 2 - CHS48.3/3.2	S 235	2,582	N98	N42	nosník (80)
B194	ZTUZIDLO STRESNI 2 - CHS48.3/3.2	S 235	2,579	N68	N103	nosník (80)
B195	ZTUZIDLO STRESNI 2 - CHS48.3/3.2	S 235	2,579	N74	N102	nosník (80)
B198	ZTUZIDLO STRESNI 2 - CHS48.3/3.2	S 235	2,508	N108	N212	nosník (80)
B199	ZTUZIDLO STRESNI 2 - CHS48.3/3.2	S 235	2,508	N214	N123	nosník (80)

Projekt RNR

Jméno	Průřez	Materiál	Délka [m]	Poč. uzel	Konc. uzel	Typ
B200	ZTUZIDLO STRESNI 2 - CHS48.3/3.2	S 235	2,508	N214	N215	nosník (80)
B201	ZTUZIDLO STRESNI 2 - CHS48.3/3.2	S 235	2,508	N113	N212	nosník (80)
B202	ZTUZIDLO STRESNI 2 - CHS48.3/3.2	S 235	2,570	N113	N207	nosník (80)
B203	ZTUZIDLO STRESNI 2 - CHS48.3/3.2	S 235	2,570	N209	N215	nosník (80)
B204	ZTUZIDLO STRESNI 2 - CHS48.3/3.2	S 235	2,570	N209	N125	nosník (80)
B205	ZTUZIDLO STRESNI 2 - CHS48.3/3.2	S 235	2,570	N110	N207	nosník (80)
B206	VAZNICE - IPE120	S 235	2,000	N207	N216	nosník (80)
B207	VAZNICE - IPE120	S 235	2,000	N212	N217	nosník (80)
B208	VAZNICE - IPE120	S 235	2,000	N123	N130	nosník (80)
B209	VAZNICE - IPE120	S 235	2,000	N216	N218	nosník (80)
B210	VAZNICE - IPE120	S 235	2,000	N217	N219	nosník (80)
B211	VAZNICE - IPE120	S 235	2,000	N130	N137	nosník (80)
B212	VAZNICE - IPE120	S 235	2,000	N218	N220	nosník (80)
B213	VAZNICE - IPE120	S 235	2,000	N219	N221	nosník (80)
B214	VAZNICE - IPE120	S 235	2,000	N137	N144	nosník (80)
B215	VAZNICE - IPE120	S 235	2,000	N220	N222	nosník (80)
B216	VAZNICE - IPE120	S 235	2,000	N221	N223	nosník (80)
B217	VAZNICE - IPE120	S 235	2,000	N144	N151	nosník (80)
B218	VAZNICE - IPE120	S 235	2,000	N222	N224	nosník (80)
B219	VAZNICE - IPE120	S 235	2,000	N223	N225	nosník (80)
B220	VAZNICE - IPE120	S 235	2,000	N151	N158	nosník (80)
B221	VAZNICE - IPE120	S 235	2,000	N224	N226	nosník (80)
B222	VAZNICE - IPE120	S 235	2,000	N225	N227	nosník (80)
B223	VAZNICE - IPE120	S 235	2,000	N158	N165	nosník (80)
B224	VAZNICE - IPE120	S 235	2,000	N226	N228	nosník (80)
B225	VAZNICE - IPE120	S 235	2,000	N227	N229	nosník (80)
B226	VAZNICE - IPE120	S 235	2,000	N165	N172	nosník (80)
B227	VAZNICE - IPE120	S 235	2,000	N228	N230	nosník (80)
B228	VAZNICE - IPE120	S 235	2,000	N229	N231	nosník (80)
B229	VAZNICE - IPE120	S 235	2,000	N172	N179	nosník (80)
B230	VAZNICE - IPE120	S 235	2,000	N230	N232	nosník (80)
B231	VAZNICE - IPE120	S 235	2,000	N231	N233	nosník (80)
B232	VAZNICE - IPE120	S 235	2,000	N179	N186	nosník (80)
B233	PRUVLAK8 - 2U komora (UPN160)	S 235	2,000	N232	N234	nosník (80)
B234	PRUVLAK13 - 2U komora (UPN260)	S 235	2,000	N233	N235	nosník (80)
B235	PRUVLAK5 - 2U komora (UPN300)	S 235	2,000	N186	N193	nosník (80)
B236	PRUVLAK8 - 2U komora (UPN160)	S 235	2,000	N234	N236	nosník (80)
B237	PRUVLAK13 - 2U komora (UPN260)	S 235	2,000	N235	N237	nosník (80)
B238	PRUVLAK5 - 2U komora (UPN300)	S 235	2,000	N193	N200	nosník (80)
B242	VAZNICE - IPE120	S 235	2,000	N125	N132	nosník (80)
B243	VAZNICE - IPE120	S 235	2,000	N132	N139	nosník (80)
B244	VAZNICE - IPE120	S 235	2,000	N139	N146	nosník (80)
B245	VAZNICE - IPE120	S 235	2,000	N146	N153	nosník (80)
B246	VAZNICE - IPE120	S 235	2,000	N153	N160	nosník (80)
B247	VAZNICE - IPE120	S 235	2,000	N160	N167	nosník (80)
B248	VAZNICE - IPE120	S 235	2,000	N167	N174	nosník (80)
B249	VAZNICE - IPE120	S 235	2,000	N174	N181	nosník (80)
B250	VAZNICE - IPE120	S 235	2,000	N181	N188	nosník (80)
B251	PRUVLAK6 - Komora fl (150,00; 20,00; 80,00; 10,00; 120,00)	S 235	2,000	N188	N195	nosník (80)
B253	VAZNICE1 - IPE180	S 235	2,800	N209	N238	nosník (80)
B256	ZTUZIDLO STRESNI 2 - CHS48.3/3.2	S 235	2,570	N232	N195	nosník (80)
B257	ZTUZIDLO STRESNI 2 - CHS48.3/3.2	S 235	2,570	N188	N234	nosník (80)
B258	ZTUZIDLO STRESNI 2 - CHS48.3/3.2	S 235	2,570	N191	N234	nosník (80)
B259	ZTUZIDLO STRESNI 2 - CHS48.3/3.2	S 235	2,570	N232	N240	nosník (80)
B260	ZTUZIDLO STRESNI 2 - CHS48.3/3.2	S 235	2,508	N233	N240	nosník (80)
B261	ZTUZIDLO STRESNI 2 - CHS48.3/3.2	S 235	2,508	N191	N235	nosník (80)
B262	ZTUZIDLO STRESNI 2 - CHS48.3/3.2	S 235	2,508	N186	N235	nosník (80)
B263	ZTUZIDLO STRESNI 2 - CHS48.3/3.2	S 235	2,508	N233	N193	nosník (80)
B266	ZTUZIDLO STRESNI 2 - CHS48.3/3.2	S 235	2,570	N222	N160	nosník (80)
B267	ZTUZIDLO STRESNI 2 - CHS48.3/3.2	S 235	2,570	N153	N224	nosník (80)
B268	ZTUZIDLO STRESNI 2 - CHS48.3/3.2	S 235	2,570	N242	N224	nosník (80)
B269	ZTUZIDLO STRESNI 2 - CHS48.3/3.2	S 235	2,570	N222	N163	nosník (80)
B270	ZTUZIDLO STRESNI 2 - CHS48.3/3.2	S 235	2,508	N223	N163	nosník (80)
B271	ZTUZIDLO STRESNI 2 - CHS48.3/3.2	S 235	2,508	N242	N225	nosník (80)
B272	ZTUZIDLO STRESNI 2 - CHS48.3/3.2	S 235	2,508	N151	N225	nosník (80)
B273	ZTUZIDLO STRESNI 2 - CHS48.3/3.2	S 235	2,508	N223	N158	nosník (80)

Projekt RNR

Jméno	Průřez	Materiál	Délka [m]	Poč. uzel	Konc. uzel	Typ
B274	ZTUZIDLO STRESNI 2 - CHS48.3/3.2	S 235	3,232	N110	N238	nosník (80)
B275	ZTUZIDLO STRESNI 2 - CHS48.3/3.2	S 235	3,232	N117	N209	nosník (80)
B276	ZTUZIDLO STRESNI 2 - CHS48.3/3.2	S 235	2,570	N207	N132	nosník (80)
B277	ZTUZIDLO STRESNI 2 - CHS48.3/3.2	S 235	2,570	N125	N216	nosník (80)
B278	ZTUZIDLO STRESNI 2 - CHS48.3/3.2	S 235	2,570	N216	N139	nosník (80)
B279	ZTUZIDLO STRESNI 2 - CHS48.3/3.2	S 235	2,570	N132	N218	nosník (80)
B280	ZTUZIDLO STRESNI 2 - CHS48.3/3.2	S 235	2,570	N218	N146	nosník (80)
B281	ZTUZIDLO STRESNI 2 - CHS48.3/3.2	S 235	2,570	N139	N220	nosník (80)
B282	ZTUZIDLO STRESNI 2 - CHS48.3/3.2	S 235	2,570	N220	N153	nosník (80)
B283	ZTUZIDLO STRESNI 2 - CHS48.3/3.2	S 235	2,570	N146	N222	nosník (80)
B284	ZTUZIDLO STRESNI 2 - CHS48.3/3.2	S 235	2,570	N224	N167	nosník (80)
B285	ZTUZIDLO STRESNI 2 - CHS48.3/3.2	S 235	2,570	N160	N226	nosník (80)
B286	ZTUZIDLO STRESNI 2 - CHS48.3/3.2	S 235	2,570	N226	N174	nosník (80)
B287	ZTUZIDLO STRESNI 2 - CHS48.3/3.2	S 235	2,570	N167	N228	nosník (80)
B288	ZTUZIDLO STRESNI 2 - CHS48.3/3.2	S 235	2,570	N228	N181	nosník (80)
B289	ZTUZIDLO STRESNI 2 - CHS48.3/3.2	S 235	2,570	N174	N230	nosník (80)
B290	ZTUZIDLO STRESNI 2 - CHS48.3/3.2	S 235	2,570	N230	N188	nosník (80)
B291	ZTUZIDLO STRESNI 2 - CHS48.3/3.2	S 235	2,570	N181	N232	nosník (80)
B292	ZTUZIDLO STRESNI 2 - CHS48.3/3.2	S 235	2,570	N234	N202	nosník (80)
B293	ZTUZIDLO STRESNI 2 - CHS48.3/3.2	S 235	2,570	N195	N236	nosník (80)
B294	ZTUZIDLO STRESNI 2 - CHS48.3/3.2	S 235	3,242	N4	N91	nosník (80)
B295	ZTUZIDLO STRESNI 2 - CHS48.3/3.2	S 235	3,242	N93	N12	nosník (80)
B296	ZTUZIDLO STRESNI 2 - CHS48.3/3.2	S 235	2,582	N89	N24	nosník (80)
B297	ZTUZIDLO STRESNI 2 - CHS48.3/3.2	S 235	2,582	N94	N18	nosník (80)
B298	ZTUZIDLO STRESNI 2 - CHS48.3/3.2	S 235	2,582	N94	N30	nosník (80)
B299	ZTUZIDLO STRESNI 2 - CHS48.3/3.2	S 235	2,582	N95	N24	nosník (80)
B300	ZTUZIDLO STRESNI 2 - CHS48.3/3.2	S 235	2,582	N95	N36	nosník (80)
B301	ZTUZIDLO STRESNI 2 - CHS48.3/3.2	S 235	2,582	N96	N30	nosník (80)
B302	ZTUZIDLO STRESNI 2 - CHS48.3/3.2	S 235	2,582	N96	N42	nosník (80)
B303	ZTUZIDLO STRESNI 2 - CHS48.3/3.2	S 235	2,582	N97	N36	nosník (80)
B304	ZTUZIDLO STRESNI 2 - CHS48.3/3.2	S 235	2,582	N98	N54	nosník (80)
B305	ZTUZIDLO STRESNI 2 - CHS48.3/3.2	S 235	2,582	N99	N48	nosník (80)
B306	ZTUZIDLO STRESNI 2 - CHS48.3/3.2	S 235	2,582	N99	N60	nosník (80)
B307	ZTUZIDLO STRESNI 2 - CHS48.3/3.2	S 235	2,582	N100	N54	nosník (80)
B308	ZTUZIDLO STRESNI 2 - CHS48.3/3.2	S 235	2,582	N100	N66	nosník (80)
B309	ZTUZIDLO STRESNI 2 - CHS48.3/3.2	S 235	2,582	N101	N60	nosník (80)
B310	ZTUZIDLO STRESNI 2 - CHS48.3/3.2	S 235	2,582	N101	N72	nosník (80)
B311	ZTUZIDLO STRESNI 2 - CHS48.3/3.2	S 235	2,582	N102	N66	nosník (80)
B314	VAZNICE - IPE120	S 235	2,000	N215	N135	nosník (80)
B315	VAZNICE - IPE120	S 235	2,000	N113	N215	nosník (80)
B316	VAZNICE - IPE120	S 235	2,000	N135	N245	nosník (80)
B317	VAZNICE - IPE120	S 235	2,000	N245	N149	nosník (80)
B318	VAZNICE - IPE120	S 235	2,000	N149	N242	nosník (80)
B319	VAZNICE - IPE120	S 235	2,000	N242	N163	nosník (80)
B320	VAZNICE - IPE120	S 235	2,000	N163	N246	nosník (80)
B321	VAZNICE - IPE120	S 235	2,000	N246	N177	nosník (80)
B322	VAZNICE - IPE120	S 235	2,000	N177	N247	nosník (80)
B323	VAZNICE - IPE120	S 235	2,000	N247	N191	nosník (80)
B324	PRUVLAK16 - 2U komora (UPN220)	S 235	2,000	N191	N240	nosník (80)
B325	PRUVLAK16 - 2U komora (UPN220)	S 235	2,000	N240	N205	nosník (80)
B326	PRUVLAK9 - Komora fl (200,00; 15,00; 270,00; 10,00; 150,00)	S 235	2,282	N80	N251	nosník (80)
B328	PRUVLAK6 - Komora fl (150,00; 20,00; 80,00; 10,00; 120,00)	S 235	3,094	N253	N254	obecný (0)
B329	PRUVLAK6 - Komora fl (150,00; 20,00; 80,00; 10,00; 120,00)	S 235	0,335	N251	N253	obecný (0)
B330	PRUVLAK11 - Komora fl (140,00; 12,00; 156,00; 8,00; 94,00)	S 235	2,282	N104	N255	nosník (80)
B331	ZTUZIDLO STRESNI 2 - CHS48.3/3.2	S 235	1,411	N104	N270	nosník (80)
B332	ZTUZIDLO STRESNI 2 - CHS48.3/3.2	S 235	1,394	N255	N270	nosník (80)
B333	PRUVLAK9 - Komora fl (200,00; 15,00; 270,00; 10,00; 150,00)	S 235	2,282	N200	N256	nosník (80)
B334	PRUVLAK6 - Komora fl (150,00; 20,00; 80,00; 10,00; 120,00)	S 235	2,000	N195	N202	nosník (80)
B335	PRUVLAK6 - Komora fl (150,00; 20,00; 80,00; 10,00; 120,00)	S 235	6,254	N256	N257	nosník (80)
B336	PRUVLAK12 - Komora fl (130,00; 12,00; 136,00; 8,00; 84,00)	S 235	2,282	N236	N258	nosník (80)
B337	PRUVLAK10 - Komora fl (160,00; 12,00; 196,00; 10,00; 110,00)	S 235	2,282	N205	N259	nosník (80)
B338	PRUVLAK14 - Komora fl (180,00; 15,00; 230,00; 10,00; 130,00)	S 235	2,282	N237	N260	nosník (80)
B339	ZTUZIDLO STRESNI 2 - CHS48.3/3.2	S 235	2,804	N236	N257	nosník (80)
B340	ZTUZIDLO STRESNI 2 - CHS48.3/3.2	S 235	2,786	N202	N258	nosník (80)
B341	STENOVE TAHLA - RD20	S 235	2,574	N7	N14	nosník (80)
B342	STENOVE TAHLA - RD20	S 235	2,574	N13	N8	nosník (80)

Projekt RNR

Jméno	Průřez	Materiál	Délka [m]	Poč. uzel	Konc. uzel	Typ
B343	STENOVE TAHLA - RD20	S 235	2,574	N43	N38	nosník (80)
B344	STENOVE TAHLA - RD20	S 235	2,574	N37	N44	nosník (80)
B345	STENOVE TAHLA - RD20	S 235	2,574	N67	N74	nosník (80)
B346	STENOVE TAHLA - RD20	S 235	2,574	N73	N68	nosník (80)
B353	PRUVLAK8 - 2U komora (UPN160)	S 235	2,000	N262	N263	obecný (0)
B354	PRUVLAK12 - Komora fl (130,00; 12,00; 136,00; 8,00; 84,00)	S 235	2,282	N263	N264	nosník (80)
B355	PRUVLAK16 - 2U komora (UPN220)	S 235	2,000	N265	N266	obecný (0)
B356	PRUVLAK10 - Komora fl (160,00; 12,00; 196,00; 10,00; 110,00)	S 235	2,282	N266	N267	nosník (80)
B357	PRUVLAK8 - 2U komora (UPN160)	S 235	2,000	N268	N262	obecný (0)
B358	PRUVLAK7 - 2U komora (UPN180)	S 235	2,000	N102	N103	obecný (0)
B359	PRUVLAK16 - 2U komora (UPN220)	S 235	2,000	N269	N265	obecný (0)
B360	ZTUZIDLO STRESNI 2 - CHS48.3/3.2	S 235	1,411	N270	N252	nosník (80)
B361	ZTUZIDLO STRESNI 2 - CHS48.3/3.2	S 235	1,394	N270	N84	nosník (80)
B362	ZTUZIDLO STRESNI 2 - CHS48.3/3.2	S 235	1,291	N103	N271	nosník (80)
B363	ZTUZIDLO STRESNI 2 - CHS48.3/3.2	S 235	1,291	N271	N84	nosník (80)
B364	ZTUZIDLO STRESNI 2 - CHS48.3/3.2	S 235	1,291	N271	N78	nosník (80)
B365	ZTUZIDLO STRESNI 2 - CHS48.3/3.2	S 235	1,291	N104	N271	nosník (80)
B366	ZTUZIDLO STRESNI 2 - CHS48.3/3.2	S 235	1,291	N102	N274	nosník (80)
B367	ZTUZIDLO STRESNI 2 - CHS48.3/3.2	S 235	1,291	N274	N72	nosník (80)
B368	ZTUZIDLO STRESNI 2 - CHS48.3/3.2	S 235	1,291	N274	N78	nosník (80)
B369	ZTUZIDLO STRESNI 2 - CHS48.3/3.2	S 235	1,291	N103	N274	nosník (80)
B370	PRUVLAK6 - Komora fl (150,00; 20,00; 80,00; 10,00; 120,00)	S 235	2,000	N72	N78	obecný (0)
B371	PRUVLAK6 - Komora fl (150,00; 20,00; 80,00; 10,00; 120,00)	S 235	2,000	N78	N84	obecný (0)
B372	PRUVLAK6 - Komora fl (150,00; 20,00; 80,00; 10,00; 120,00)	S 235	2,282	N84	N252	nosník (80)
B373	VAZNICE1 - IPE180	S 235	2,800	N121	N248	nosník (80)
B374	PRUVLAK15 - UPE180	S 235	3,027	N275	N276	nosník (80)
B375	VAZNICE1 - IPE180	S 235	0,500	N214	N277	nosník (80)
B376	VAZNICE1 - IPE180	S 235	0,500	N108	N275	nosník (80)
B377	STENOVE TAHLA - RD20	S 235	2,503	N278	N108	nosník (80)
B378	STENOVE TAHLA - RD20	S 235	2,503	N279	N123	nosník (80)
B379	STENOVE TAHLA - RD20	S 235	2,503	N280	N123	nosník (80)
B380	STENOVE TAHLA - RD20	S 235	2,503	N278	N130	nosník (80)
B381	STENOVE TAHLA - RD20	S 235	2,503	N281	N179	nosník (80)
B382	STENOVE TAHLA - RD20	S 235	2,503	N282	N186	nosník (80)
B383	STENOVE TAHLA - RD20	S 235	2,503	N283	N186	nosník (80)
B384	STENOVE TAHLA - RD20	S 235	2,503	N281	N193	nosník (80)
B385	STENOVE TAHLA - RD20	S 235	2,503	N284	N151	nosník (80)
B386	STENOVE TAHLA - RD20	S 235	2,503	N285	N158	nosník (80)
B387	ZTUZIDLO STRESNI 2 - CHS48.3/3.2	S 235	2,508	N179	N233	nosník (80)
B388	ZTUZIDLO STRESNI 2 - CHS48.3/3.2	S 235	2,508	N231	N186	nosník (80)
B389	ZTUZIDLO STRESNI 2 - CHS48.3/3.2	S 235	2,508	N231	N191	nosník (80)
B390	ZTUZIDLO STRESNI 2 - CHS48.3/3.2	S 235	2,508	N247	N233	nosník (80)
B391	ZTUZIDLO STRESNI 2 - CHS48.3/3.2	S 235	2,570	N247	N232	nosník (80)
B392	ZTUZIDLO STRESNI 2 - CHS48.3/3.2	S 235	2,570	N230	N191	nosník (80)
B393	ZTUZIDLO STRESNI 2 - CHS48.3/3.2	S 235	2,508	N123	N217	nosník (80)
B394	ZTUZIDLO STRESNI 2 - CHS48.3/3.2	S 235	2,508	N212	N130	nosník (80)
B395	ZTUZIDLO STRESNI 2 - CHS48.3/3.2	S 235	2,508	N212	N135	nosník (80)
B396	ZTUZIDLO STRESNI 2 - CHS48.3/3.2	S 235	2,508	N215	N217	nosník (80)
B397	ZTUZIDLO STRESNI 2 - CHS48.3/3.2	S 235	2,570	N215	N216	nosník (80)
B398	ZTUZIDLO STRESNI 2 - CHS48.3/3.2	S 235	2,570	N207	N135	nosník (80)
B399	PRUVLAK6 - Komora fl (150,00; 20,00; 80,00; 10,00; 120,00)	S 235	2,282	N202	N257	nosník (80)

14. Zatěžovací panely

Jméno	Typ panelu	Směr roznosu zatížení	Výběr entit
LP2	Do okrajů panelu a do nosníků	X (LSS panelu)	Automatický výběr
LP5	Do okrajů panelu a do nosníků	X (LSS panelu)	Automatický výběr
LP6	Do okrajů panelu a do nosníků	Y (LSS panelu)	Automatický výběr
LP7	Do okrajů panelu a do nosníků	Y (LSS panelu)	Automatický výběr
LP8	Do okrajů panelu a do nosníků	X (LSS panelu)	Automatický výběr
LP9	Do okrajů panelu a do nosníků	X (LSS panelu)	Automatický výběr
LP10	Do okrajů panelu a do nosníků	Y (LSS panelu)	Automatický výběr
LP11	Do okrajů panelu a do nosníků	X (LSS panelu)	Automatický výběr
LP12	Do okrajů panelu a do nosníků	X (LSS panelu)	Automatický výběr
LP13	Do okrajů panelu a do nosníků	X (LSS panelu)	Automatický výběr

Projekt RNR

Jméno	Typ panelu	Směr roznosu zatížení	Výběr entit
LP14	Do okrajů panelu a do nosníků	X (LSS panelu)	Automatický výběr
LP15	Do okrajů panelu a do nosníků	X (LSS panelu)	Automatický výběr
LP16	Do okrajů panelu a do nosníků	X (LSS panelu)	Automatický výběr
LP17	Do okrajů panelu a do nosníků	X (LSS panelu)	Automatický výběr
LP18	Do okrajů panelu a do nosníků	Y (LSS panelu)	Automatický výběr
LP19	Do okrajů panelu a do nosníků	Y (LSS panelu)	Automatický výběr
LP20	Do okrajů panelu a do nosníků	Y (LSS panelu)	Automatický výběr
LP21	Do okrajů panelu a do nosníků	Y (LSS panelu)	Automatický výběr
LP22	Do okrajů panelu a do nosníků	Y (LSS panelu)	Automatický výběr

Vysvětlivky symbolů	
Výběr entit	<p>Vše: vybere všechny okraje a nosníky, které podepírají panel ve stejném místě.</p> <p>Automatický výběr: pokud se dva nebo více podpírajících prvků překrývá, výběr vynechá hrany, které náleží 2D dílcům ležícím ve stejné rovině jako panel.</p> <p>Uživatelský výběr: vyžaduje ruční výběr podpírajících okrajů a nosníků (pomocí akčního tlačítka).</p> <p>Podle typu: za podpírající prvky se uvažují pouze nosníky typu vybraného v seznamu.</p>

15. Pruty s proměnným průřezem

AP		
Dílec	B4	
Souř.	Rela	
délka 1, Prur1(1), Prur2(1)	1.000	PŘÍČEL5 - Iw (300,00; 8,00; 120,00; 12,00; 276,00; 0,00)
AP1		
Dílec	B6	
Souř.	Rela	
délka 1, Prur1(1), Prur2(1)	1.000	PŘÍČEL5 - Iw (300,00; 8,00; 120,00; 12,00; 276,00; 0,00)
AP2		
Dílec	B11	
Souř.	Rela	
délka 1, Prur1(1), Prur2(1)	1.000	PŘÍČEL5 - Iw (300,00; 8,00; 120,00; 12,00; 276,00; 0,00)
AP3		
Dílec	B15	
Souř.	Rela	
délka 1, Prur1(1), Prur2(1)	1.000	PŘÍČEL5 - Iw (300,00; 8,00; 120,00; 12,00; 276,00; 0,00)
AP4		
Dílec	B19	
Souř.	Rela	
délka 1, Prur1(1), Prur2(1)	1.000	PŘÍČEL5 - Iw (300,00; 8,00; 120,00; 12,00; 276,00; 0,00)
AP5		
Dílec	B23	
Souř.	Rela	
délka 1, Prur1(1), Prur2(1)	1.000	PŘÍČEL5 - Iw (300,00; 8,00; 120,00; 12,00; 276,00; 0,00)
AP6		
Dílec	B27	
Souř.	Rela	
délka 1, Prur1(1), Prur2(1)	1.000	PŘÍČEL5 - Iw (300,00; 8,00; 120,00; 12,00; 276,00; 0,00)
AP7		
Dílec	B31	
Souř.	Rela	
délka 1, Prur1(1), Prur2(1)	1.000	PŘÍČEL5 - Iw (300,00; 8,00; 120,00; 12,00; 276,00; 0,00)
AP8		
Dílec	B35	
Souř.	Rela	
délka 1, Prur1(1), Prur2(1)	1.000	PŘÍČEL5 - Iw (300,00; 8,00; 120,00; 12,00; 276,00; 0,00)
AP9		
Dílec	B39	
Souř.	Rela	

Projekt RNR

délka 1, Prur1(1), Prur2(1)	1.000	PŘÍČEL5 - Iw (300,00; 8,00; 120,00; 12,00; 276,00; 0,00)
AP10		
Dílec	B43	
Souř.	Rela	
délka 1, Prur1(1), Prur2(1)	1.000	PŘÍČEL5 - Iw (300,00; 8,00; 120,00; 12,00; 276,00; 0,00)
AP11		
Dílec	B47	
Souř.	Rela	
délka 1, Prur1(1), Prur2(1)	1.000	PŘÍČEL5 - Iw (300,00; 8,00; 120,00; 12,00; 276,00; 0,00)
AP12		
Dílec	B51	
Souř.	Rela	
délka 1, Prur1(1), Prur2(1)	1.000	PŘÍČEL8 - Iw (316,00; 10,00; 150,00; 20,00; 276,00; 0,00)
AP13		
Dílec	B55	
Souř.	Rela	
délka 1, Prur1(1), Prur2(1)	1.000	PŘÍČEL8 - Iw (316,00; 10,00; 150,00; 20,00; 276,00; 0,00)
AP14		
Dílec	B116	
Souř.	Rela	
délka 1, Prur1(1), Prur2(1)	1.000	PŘÍČEL2 - Iw (300,00; 8,00; 120,00; 12,00; 276,00; 0,00)
AP16		
Dílec	B124	
Souř.	Rela	
délka 1, Prur1(1), Prur2(1)	1.000	PŘÍČEL2 - Iw (300,00; 8,00; 120,00; 12,00; 276,00; 0,00)
AP17		
Dílec	B128	
Souř.	Rela	
délka 1, Prur1(1), Prur2(1)	1.000	PŘÍČEL2 - Iw (300,00; 8,00; 120,00; 12,00; 276,00; 0,00)
AP18		
Dílec	B132	
Souř.	Rela	
délka 1, Prur1(1), Prur2(1)	1.000	PŘÍČEL2 - Iw (300,00; 8,00; 120,00; 12,00; 276,00; 0,00)
AP19		
Dílec	B136	
Souř.	Rela	
délka 1, Prur1(1), Prur2(1)	1.000	PŘÍČEL2 - Iw (300,00; 8,00; 120,00; 12,00; 276,00; 0,00)
AP20		
Dílec	B140	
Souř.	Rela	
délka 1, Prur1(1), Prur2(1)	1.000	PŘÍČEL2 - Iw (300,00; 8,00; 120,00; 12,00; 276,00; 0,00)
AP21		
Dílec	B144	
Souř.	Rela	
délka 1, Prur1(1), Prur2(1)	1.000	PŘÍČEL2 - Iw (300,00; 8,00; 120,00; 12,00; 276,00; 0,00)
AP22		
Dílec	B148	
Souř.	Rela	
délka 1, Prur1(1), Prur2(1)	1.000	PŘÍČEL2 - Iw (300,00; 8,00; 120,00; 12,00; 276,00; 0,00)
AP23		
Dílec	B152	
Souř.	Rela	
délka 1, Prur1(1), Prur2(1)	1.000	PŘÍČEL2 - Iw (300,00; 8,00; 120,00; 12,00; 276,00; 0,00)
AP24		
Dílec	B156	
Souř.	Rela	
délka 1, Prur1(1), Prur2(1)	1.000	PŘÍČEL2 - Iw (300,00; 8,00; 120,00; 12,00; 276,00; 0,00)
AP25		
Dílec	B160	
Souř.	Rela	
délka 1, Prur1(1), Prur2(1)	1.000	PŘÍČEL2 - Iw (300,00; 8,00; 120,00; 12,00; 276,00; 0,00)
AP26		
Dílec	B164	
Souř.	Rela	
délka 1, Prur1(1), Prur2(1)	1.000	PŘÍČEL2 - Iw (300,00; 8,00; 120,00; 12,00; 276,00; 0,00)
AP27		
Dílec	B168	
Souř.	Rela	

Projekt RNR

délka 1, Prur1(1), Prur2(1)	1.000	PŘÍČEL2 - Iw (300,00; 8,00; 120,00; 12,00; 276,00; 0,00)
AP29		
Dílec	B120	
Souř.	Rela	
délka 1, Prur1(1), Prur2(1)	1.000	PŘÍČEL7 - Iw (240,00; 6,00; 120,00; 10,00; 220,00; 0,00)
AP31		
Dílec	B326	
Souř.	Rela	
délka 1, Prur1(1), Prur2(1)	1.000	PRUVLAK9 - Komora fl (200,00; 15,00; 270,00; 10,00; 150,00)
AP32		
Dílec	B356	
Souř.	Rela	
délka 1, Prur1(1), Prur2(1)	1.000	PRUVLAK10 - Komora fl (160,00; 12,00; 196,00; 10,00; 110,00)
AP33		
Dílec	B330	
Souř.	Rela	
délka 1, Prur1(1), Prur2(1)	1.000	PRUVLAK11 - Komora fl (140,00; 12,00; 156,00; 8,00; 94,00)
AP34		
Dílec	B354	
Souř.	Rela	
délka 1, Prur1(1), Prur2(1)	1.000	PRUVLAK12 - Komora fl (130,00; 12,00; 136,00; 8,00; 84,00)
AP35		
Dílec	B336	
Souř.	Rela	
délka 1, Prur1(1), Prur2(1)	1.000	PRUVLAK12 - Komora fl (130,00; 12,00; 136,00; 8,00; 84,00)
AP36		
Dílec	B337	
Souř.	Rela	
délka 1, Prur1(1), Prur2(1)	1.000	PRUVLAK10 - Komora fl (160,00; 12,00; 196,00; 10,00; 110,00)
AP37		
Dílec	B338	
Souř.	Rela	
délka 1, Prur1(1), Prur2(1)	1.000	PRUVLAK14 - Komora fl (180,00; 15,00; 230,00; 10,00; 130,00)
AP38		
Dílec	B333	
Souř.	Rela	
délka 1, Prur1(1), Prur2(1)	1.000	PRUVLAK9 - Komora fl (200,00; 15,00; 270,00; 10,00; 150,00)

16. Klouby

Jméno	Dílec	Pozice	ux	uy	uz	fix	fiy	fiz
H1	B2	Konec	Tuhý	Tuhý	Tuhý	Tuhý	Volný	Volný
H2	B7	Konec	Tuhý	Tuhý	Tuhý	Tuhý	Volný	Volný
H3	B12	Konec	Tuhý	Tuhý	Tuhý	Tuhý	Volný	Volný
H4	B16	Konec	Tuhý	Tuhý	Tuhý	Tuhý	Volný	Volný
H5	B20	Konec	Tuhý	Tuhý	Tuhý	Tuhý	Volný	Volný
H6	B24	Konec	Tuhý	Tuhý	Tuhý	Tuhý	Volný	Volný
H7	B28	Konec	Tuhý	Tuhý	Tuhý	Tuhý	Volný	Volný
H8	B32	Konec	Tuhý	Tuhý	Tuhý	Tuhý	Volný	Volný
H9	B36	Konec	Tuhý	Tuhý	Tuhý	Tuhý	Volný	Volný
H10	B40	Konec	Tuhý	Tuhý	Tuhý	Tuhý	Volný	Volný
H11	B44	Konec	Tuhý	Tuhý	Tuhý	Tuhý	Volný	Volný
H12	B48	Konec	Tuhý	Tuhý	Tuhý	Tuhý	Volný	Volný
H13	B52	Konec	Tuhý	Tuhý	Tuhý	Tuhý	Volný	Volný
H14	B56	Konec	Tuhý	Tuhý	Tuhý	Tuhý	Volný	Volný
H15	B57	Oba	Tuhý	Tuhý	Tuhý	Tuhý	Volný	Volný
H16	B58	Oba	Tuhý	Tuhý	Tuhý	Tuhý	Volný	Volný
H17	B59	Oba	Tuhý	Tuhý	Tuhý	Tuhý	Volný	Volný
H18	B60	Oba	Tuhý	Tuhý	Tuhý	Tuhý	Volný	Volný
H19	B61	Oba	Tuhý	Tuhý	Tuhý	Tuhý	Volný	Volný
H20	B62	Oba	Tuhý	Tuhý	Tuhý	Tuhý	Volný	Volný
H21	B63	Oba	Tuhý	Tuhý	Tuhý	Tuhý	Volný	Volný
H22	B64	Oba	Tuhý	Tuhý	Tuhý	Tuhý	Volný	Volný
H23	B65	Oba	Tuhý	Tuhý	Tuhý	Tuhý	Volný	Volný
H24	B66	Oba	Tuhý	Tuhý	Tuhý	Tuhý	Volný	Volný
H25	B67	Oba	Tuhý	Tuhý	Tuhý	Tuhý	Volný	Volný
H26	B68	Začátek	Tuhý	Tuhý	Tuhý	Tuhý	Volný	Volný

Projekt RNR

Jméno	Dílec	Pozice	ux	uy	uz	fix	fiy	fiz
H28	B70	Oba	Tuhý	Tuhý	Tuhý	Tuhý	Volný	Volný
H29	B71	Oba	Tuhý	Tuhý	Tuhý	Tuhý	Volný	Volný
H30	B72	Oba	Tuhý	Tuhý	Tuhý	Tuhý	Volný	Volný
H31	B73	Oba	Tuhý	Tuhý	Tuhý	Tuhý	Volný	Volný
H32	B74	Oba	Tuhý	Tuhý	Tuhý	Tuhý	Volný	Volný
H33	B75	Oba	Tuhý	Tuhý	Tuhý	Tuhý	Volný	Volný
H34	B76	Oba	Tuhý	Tuhý	Tuhý	Tuhý	Volný	Volný
H35	B77	Oba	Tuhý	Tuhý	Tuhý	Tuhý	Volný	Volný
H36	B78	Oba	Tuhý	Tuhý	Tuhý	Tuhý	Volný	Volný
H37	B79	Oba	Tuhý	Tuhý	Tuhý	Tuhý	Volný	Volný
H38	B80	Oba	Tuhý	Tuhý	Tuhý	Tuhý	Volný	Volný
H47	B89	Oba	Tuhý	Tuhý	Tuhý	Tuhý	Volný	Volný
H52	B94	Oba	Tuhý	Tuhý	Tuhý	Tuhý	Volný	Volný
H53	B95	Oba	Tuhý	Tuhý	Tuhý	Tuhý	Volný	Volný
H54	B96	Oba	Tuhý	Tuhý	Tuhý	Tuhý	Volný	Volný
H55	B97	Oba	Tuhý	Tuhý	Tuhý	Tuhý	Volný	Volný
H56	B98	Oba	Tuhý	Tuhý	Tuhý	Tuhý	Volný	Volný
H57	B99	Oba	Tuhý	Tuhý	Tuhý	Tuhý	Volný	Volný
H58	B100	Oba	Tuhý	Tuhý	Tuhý	Tuhý	Volný	Volný
H59	B101	Oba	Tuhý	Tuhý	Tuhý	Tuhý	Volný	Volný
H60	B102	Oba	Tuhý	Tuhý	Tuhý	Tuhý	Volný	Volný
H61	B103	Oba	Tuhý	Tuhý	Tuhý	Tuhý	Volný	Volný
H72	B115	Konec	Tuhý	Tuhý	Tuhý	Tuhý	Volný	Volný
H73	B119	Konec	Tuhý	Tuhý	Tuhý	Tuhý	Volný	Volný
H74	B123	Konec	Tuhý	Tuhý	Tuhý	Tuhý	Volný	Volný
H75	B127	Konec	Tuhý	Tuhý	Tuhý	Tuhý	Volný	Volný
H76	B131	Konec	Tuhý	Tuhý	Tuhý	Tuhý	Volný	Volný
H77	B135	Konec	Tuhý	Tuhý	Tuhý	Tuhý	Volný	Volný
H78	B139	Konec	Tuhý	Tuhý	Tuhý	Tuhý	Volný	Volný
H79	B143	Konec	Tuhý	Tuhý	Tuhý	Tuhý	Volný	Volný
H80	B147	Konec	Tuhý	Tuhý	Tuhý	Tuhý	Volný	Volný
H81	B151	Konec	Tuhý	Tuhý	Tuhý	Tuhý	Volný	Volný
H82	B155	Konec	Tuhý	Tuhý	Tuhý	Tuhý	Volný	Volný
H83	B159	Konec	Tuhý	Tuhý	Tuhý	Tuhý	Volný	Volný
H84	B163	Konec	Tuhý	Tuhý	Tuhý	Tuhý	Volný	Volný
H85	B167	Konec	Tuhý	Tuhý	Tuhý	Tuhý	Volný	Volný
H92	B176	Oba	Tuhý	Tuhý	Tuhý	Tuhý	Volný	Volný
H93	B177	Oba	Tuhý	Tuhý	Tuhý	Tuhý	Volný	Volný
H94	B178	Oba	Tuhý	Tuhý	Tuhý	Tuhý	Volný	Volný
H95	B179	Oba	Tuhý	Tuhý	Tuhý	Tuhý	Volný	Volný
H96	B180	Oba	Tuhý	Tuhý	Tuhý	Tuhý	Volný	Volný
H99	B183	Oba	Tuhý	Tuhý	Tuhý	Tuhý	Volný	Volný
H100	B186	Oba	Tuhý	Tuhý	Tuhý	Tuhý	Volný	Volný
H101	B187	Oba	Tuhý	Tuhý	Tuhý	Tuhý	Volný	Volný
H102	B188	Oba	Tuhý	Tuhý	Tuhý	Tuhý	Volný	Volný
H103	B189	Oba	Tuhý	Tuhý	Tuhý	Tuhý	Volný	Volný
H104	B190	Oba	Tuhý	Tuhý	Tuhý	Tuhý	Volný	Volný
H105	B191	Oba	Tuhý	Tuhý	Tuhý	Tuhý	Volný	Volný
H106	B192	Oba	Tuhý	Tuhý	Tuhý	Tuhý	Volný	Volný
H107	B193	Oba	Tuhý	Tuhý	Tuhý	Tuhý	Volný	Volný
H108	B194	Oba	Tuhý	Tuhý	Tuhý	Tuhý	Volný	Volný
H109	B195	Oba	Tuhý	Tuhý	Tuhý	Tuhý	Volný	Volný
H112	B204	Oba	Tuhý	Tuhý	Tuhý	Tuhý	Volný	Volný
H113	B205	Oba	Tuhý	Tuhý	Tuhý	Tuhý	Volný	Volný
H114	B202	Oba	Tuhý	Tuhý	Tuhý	Tuhý	Volný	Volný
H115	B203	Oba	Tuhý	Tuhý	Tuhý	Tuhý	Volný	Volný
H116	B200	Oba	Tuhý	Tuhý	Tuhý	Tuhý	Volný	Volný
H117	B201	Oba	Tuhý	Tuhý	Tuhý	Tuhý	Volný	Volný
H118	B198	Oba	Tuhý	Tuhý	Tuhý	Tuhý	Volný	Volný
H119	B199	Oba	Tuhý	Tuhý	Tuhý	Tuhý	Volný	Volný
H120	B206	Oba	Tuhý	Tuhý	Tuhý	Tuhý	Volný	Volný
H121	B207	Oba	Tuhý	Tuhý	Tuhý	Tuhý	Volný	Volný
H122	B208	Oba	Tuhý	Tuhý	Tuhý	Tuhý	Volný	Volný
H123	B209	Oba	Tuhý	Tuhý	Tuhý	Tuhý	Volný	Volný
H124	B210	Oba	Tuhý	Tuhý	Tuhý	Tuhý	Volný	Volný
H125	B211	Oba	Tuhý	Tuhý	Tuhý	Tuhý	Volný	Volný
H126	B212	Oba	Tuhý	Tuhý	Tuhý	Tuhý	Volný	Volný

Projekt RNR

Jméno	Dílec	Pozice	ux	uy	uz	fix	fiy	fiz
H127	B213	Oba	Tuhý	Tuhý	Tuhý	Tuhý	Volný	Volný
H128	B214	Oba	Tuhý	Tuhý	Tuhý	Tuhý	Volný	Volný
H129	B215	Oba	Tuhý	Tuhý	Tuhý	Tuhý	Volný	Volný
H130	B216	Oba	Tuhý	Tuhý	Tuhý	Tuhý	Volný	Volný
H131	B217	Oba	Tuhý	Tuhý	Tuhý	Tuhý	Volný	Volný
H132	B218	Oba	Tuhý	Tuhý	Tuhý	Tuhý	Volný	Volný
H133	B219	Oba	Tuhý	Tuhý	Tuhý	Tuhý	Volný	Volný
H134	B220	Oba	Tuhý	Tuhý	Tuhý	Tuhý	Volný	Volný
H135	B221	Oba	Tuhý	Tuhý	Tuhý	Tuhý	Volný	Volný
H136	B222	Oba	Tuhý	Tuhý	Tuhý	Tuhý	Volný	Volný
H137	B223	Oba	Tuhý	Tuhý	Tuhý	Tuhý	Volný	Volný
H138	B224	Oba	Tuhý	Tuhý	Tuhý	Tuhý	Volný	Volný
H139	B225	Oba	Tuhý	Tuhý	Tuhý	Tuhý	Volný	Volný
H140	B226	Oba	Tuhý	Tuhý	Tuhý	Tuhý	Volný	Volný
H141	B227	Oba	Tuhý	Tuhý	Tuhý	Tuhý	Volný	Volný
H142	B228	Oba	Tuhý	Tuhý	Tuhý	Tuhý	Volný	Volný
H143	B229	Oba	Tuhý	Tuhý	Tuhý	Tuhý	Volný	Volný
H144	B230	Oba	Tuhý	Tuhý	Tuhý	Tuhý	Volný	Volný
H145	B231	Oba	Tuhý	Tuhý	Tuhý	Tuhý	Volný	Volný
H146	B232	Oba	Tuhý	Tuhý	Tuhý	Tuhý	Volný	Volný
H149	B235	Začátek	Tuhý	Tuhý	Tuhý	Tuhý	Volný	Volný
H152	B238	Začátek	Tuhý	Tuhý	Tuhý	Tuhý	Volný	Volný
H156	B242	Oba	Tuhý	Tuhý	Tuhý	Tuhý	Volný	Volný
H157	B243	Oba	Tuhý	Tuhý	Tuhý	Tuhý	Volný	Volný
H158	B244	Oba	Tuhý	Tuhý	Tuhý	Tuhý	Volný	Volný
H159	B245	Oba	Tuhý	Tuhý	Tuhý	Tuhý	Volný	Volný
H160	B246	Oba	Tuhý	Tuhý	Tuhý	Tuhý	Volný	Volný
H161	B247	Oba	Tuhý	Tuhý	Tuhý	Tuhý	Volný	Volný
H162	B248	Oba	Tuhý	Tuhý	Tuhý	Tuhý	Volný	Volný
H163	B249	Oba	Tuhý	Tuhý	Tuhý	Tuhý	Volný	Volný
H164	B250	Oba	Tuhý	Tuhý	Tuhý	Tuhý	Volný	Volný
H167	B253	Oba	Tuhý	Tuhý	Tuhý	Tuhý	Volný	Volný
H170	B256	Oba	Tuhý	Tuhý	Tuhý	Tuhý	Volný	Volný
H171	B257	Oba	Tuhý	Tuhý	Tuhý	Tuhý	Volný	Volný
H172	B258	Oba	Tuhý	Tuhý	Tuhý	Tuhý	Volný	Volný
H173	B259	Oba	Tuhý	Tuhý	Tuhý	Tuhý	Volný	Volný
H174	B260	Oba	Tuhý	Tuhý	Tuhý	Tuhý	Volný	Volný
H175	B261	Oba	Tuhý	Tuhý	Tuhý	Tuhý	Volný	Volný
H176	B262	Oba	Tuhý	Tuhý	Tuhý	Tuhý	Volný	Volný
H177	B263	Oba	Tuhý	Tuhý	Tuhý	Tuhý	Volný	Volný
H180	B266	Oba	Tuhý	Tuhý	Tuhý	Tuhý	Volný	Volný
H181	B267	Oba	Tuhý	Tuhý	Tuhý	Tuhý	Volný	Volný
H182	B268	Oba	Tuhý	Tuhý	Tuhý	Tuhý	Volný	Volný
H183	B269	Oba	Tuhý	Tuhý	Tuhý	Tuhý	Volný	Volný
H184	B270	Oba	Tuhý	Tuhý	Tuhý	Tuhý	Volný	Volný
H185	B271	Oba	Tuhý	Tuhý	Tuhý	Tuhý	Volný	Volný
H186	B272	Oba	Tuhý	Tuhý	Tuhý	Tuhý	Volný	Volný
H187	B273	Oba	Tuhý	Tuhý	Tuhý	Tuhý	Volný	Volný
H188	B274	Oba	Tuhý	Tuhý	Tuhý	Tuhý	Volný	Volný
H189	B275	Oba	Tuhý	Tuhý	Tuhý	Tuhý	Volný	Volný
H190	B276	Oba	Tuhý	Tuhý	Tuhý	Tuhý	Volný	Volný
H191	B277	Oba	Tuhý	Tuhý	Tuhý	Tuhý	Volný	Volný
H192	B278	Oba	Tuhý	Tuhý	Tuhý	Tuhý	Volný	Volný
H193	B279	Oba	Tuhý	Tuhý	Tuhý	Tuhý	Volný	Volný
H194	B280	Oba	Tuhý	Tuhý	Tuhý	Tuhý	Volný	Volný
H195	B281	Oba	Tuhý	Tuhý	Tuhý	Tuhý	Volný	Volný
H196	B282	Oba	Tuhý	Tuhý	Tuhý	Tuhý	Volný	Volný
H197	B283	Oba	Tuhý	Tuhý	Tuhý	Tuhý	Volný	Volný
H198	B284	Oba	Tuhý	Tuhý	Tuhý	Tuhý	Volný	Volný
H199	B285	Oba	Tuhý	Tuhý	Tuhý	Tuhý	Volný	Volný
H200	B286	Oba	Tuhý	Tuhý	Tuhý	Tuhý	Volný	Volný
H201	B287	Oba	Tuhý	Tuhý	Tuhý	Tuhý	Volný	Volný
H202	B288	Oba	Tuhý	Tuhý	Tuhý	Tuhý	Volný	Volný
H203	B289	Oba	Tuhý	Tuhý	Tuhý	Tuhý	Volný	Volný
H204	B290	Oba	Tuhý	Tuhý	Tuhý	Tuhý	Volný	Volný
H205	B291	Oba	Tuhý	Tuhý	Tuhý	Tuhý	Volný	Volný
H206	B292	Oba	Tuhý	Tuhý	Tuhý	Tuhý	Volný	Volný

Projekt RNR

Jméno	Dílec	Pozice	ux	uy	uz	fix	fiy	fiz
H207	B293	Oba	Tuhý	Tuhý	Tuhý	Tuhý	Volný	Volný
H208	B294	Oba	Tuhý	Tuhý	Tuhý	Tuhý	Volný	Volný
H209	B295	Oba	Tuhý	Tuhý	Tuhý	Tuhý	Volný	Volný
H210	B296	Oba	Tuhý	Tuhý	Tuhý	Tuhý	Volný	Volný
H211	B297	Oba	Tuhý	Tuhý	Tuhý	Tuhý	Volný	Volný
H212	B298	Oba	Tuhý	Tuhý	Tuhý	Tuhý	Volný	Volný
H213	B299	Oba	Tuhý	Tuhý	Tuhý	Tuhý	Volný	Volný
H214	B300	Oba	Tuhý	Tuhý	Tuhý	Tuhý	Volný	Volný
H215	B301	Oba	Tuhý	Tuhý	Tuhý	Tuhý	Volný	Volný
H216	B302	Oba	Tuhý	Tuhý	Tuhý	Tuhý	Volný	Volný
H217	B303	Oba	Tuhý	Tuhý	Tuhý	Tuhý	Volný	Volný
H218	B304	Oba	Tuhý	Tuhý	Tuhý	Tuhý	Volný	Volný
H219	B305	Oba	Tuhý	Tuhý	Tuhý	Tuhý	Volný	Volný
H220	B306	Oba	Tuhý	Tuhý	Tuhý	Tuhý	Volný	Volný
H221	B307	Oba	Tuhý	Tuhý	Tuhý	Tuhý	Volný	Volný
H222	B308	Oba	Tuhý	Tuhý	Tuhý	Tuhý	Volný	Volný
H223	B309	Oba	Tuhý	Tuhý	Tuhý	Tuhý	Volný	Volný
H224	B310	Oba	Tuhý	Tuhý	Tuhý	Tuhý	Volný	Volný
H225	B311	Oba	Tuhý	Tuhý	Tuhý	Tuhý	Volný	Volný
H228	B314	Oba	Tuhý	Tuhý	Tuhý	Tuhý	Volný	Volný
H229	B315	Oba	Tuhý	Tuhý	Tuhý	Tuhý	Volný	Volný
H230	B316	Oba	Tuhý	Tuhý	Tuhý	Tuhý	Volný	Volný
H231	B317	Oba	Tuhý	Tuhý	Tuhý	Tuhý	Volný	Volný
H232	B318	Oba	Tuhý	Tuhý	Tuhý	Tuhý	Volný	Volný
H233	B319	Oba	Tuhý	Tuhý	Tuhý	Tuhý	Volný	Volný
H234	B320	Oba	Tuhý	Tuhý	Tuhý	Tuhý	Volný	Volný
H235	B321	Oba	Tuhý	Tuhý	Tuhý	Tuhý	Volný	Volný
H236	B322	Oba	Tuhý	Tuhý	Tuhý	Tuhý	Volný	Volný
H237	B323	Oba	Tuhý	Tuhý	Tuhý	Tuhý	Volný	Volný
H240	B69	Začátek	Tuhý	Tuhý	Tuhý	Tuhý	Volný	Volný
H242	B329	Začátek	Tuhý	Tuhý	Tuhý	Tuhý	Volný	Volný
H244	B331	Oba	Tuhý	Tuhý	Tuhý	Tuhý	Volný	Volný
H245	B332	Oba	Tuhý	Tuhý	Tuhý	Tuhý	Volný	Volný
H246	B55	Konec	Tuhý	Tuhý	Tuhý	Tuhý	Volný	Volný
H249	B335	Oba	Tuhý	Tuhý	Tuhý	Tuhý	Volný	Volný
H250	B339	Oba	Tuhý	Tuhý	Tuhý	Tuhý	Volný	Volný
H251	B340	Oba	Tuhý	Tuhý	Tuhý	Tuhý	Volný	Volný
H255	B360	Oba	Tuhý	Tuhý	Tuhý	Tuhý	Volný	Volný
H256	B361	Oba	Tuhý	Tuhý	Tuhý	Tuhý	Volný	Volný
H257	B362	Oba	Tuhý	Tuhý	Tuhý	Tuhý	Volný	Volný
H258	B363	Oba	Tuhý	Tuhý	Tuhý	Tuhý	Volný	Volný
H259	B364	Oba	Tuhý	Tuhý	Tuhý	Tuhý	Volný	Volný
H260	B365	Oba	Tuhý	Tuhý	Tuhý	Tuhý	Volný	Volný
H261	B366	Oba	Tuhý	Tuhý	Tuhý	Tuhý	Volný	Volný
H262	B367	Oba	Tuhý	Tuhý	Tuhý	Tuhý	Volný	Volný
H263	B368	Oba	Tuhý	Tuhý	Tuhý	Tuhý	Volný	Volný
H264	B369	Oba	Tuhý	Tuhý	Tuhý	Tuhý	Volný	Volný
H265	B373	Oba	Tuhý	Tuhý	Tuhý	Tuhý	Volný	Volný
H266	B375	Konec	Tuhý	Tuhý	Tuhý	Tuhý	Volný	Volný
H267	B376	Konec	Tuhý	Tuhý	Tuhý	Tuhý	Volný	Volný
H268	B374	Konec	Tuhý	Tuhý	Tuhý	Tuhý	Volný	Volný
H269	B387	Oba	Tuhý	Tuhý	Tuhý	Tuhý	Volný	Volný
H270	B388	Oba	Tuhý	Tuhý	Tuhý	Tuhý	Volný	Volný
H271	B389	Oba	Tuhý	Tuhý	Tuhý	Tuhý	Volný	Volný
H272	B390	Oba	Tuhý	Tuhý	Tuhý	Tuhý	Volný	Volný
H273	B391	Oba	Tuhý	Tuhý	Tuhý	Tuhý	Volný	Volný
H274	B392	Oba	Tuhý	Tuhý	Tuhý	Tuhý	Volný	Volný
H275	B393	Oba	Tuhý	Tuhý	Tuhý	Tuhý	Volný	Volný
H276	B394	Oba	Tuhý	Tuhý	Tuhý	Tuhý	Volný	Volný
H277	B395	Oba	Tuhý	Tuhý	Tuhý	Tuhý	Volný	Volný
H278	B396	Oba	Tuhý	Tuhý	Tuhý	Tuhý	Volný	Volný
H279	B397	Oba	Tuhý	Tuhý	Tuhý	Tuhý	Volný	Volný
H280	B398	Oba	Tuhý	Tuhý	Tuhý	Tuhý	Volný	Volný

Projekt RNR

17. Křížení

Jméno	1. prut	2. prut	Typ
CL1	B373	B374	Pevný

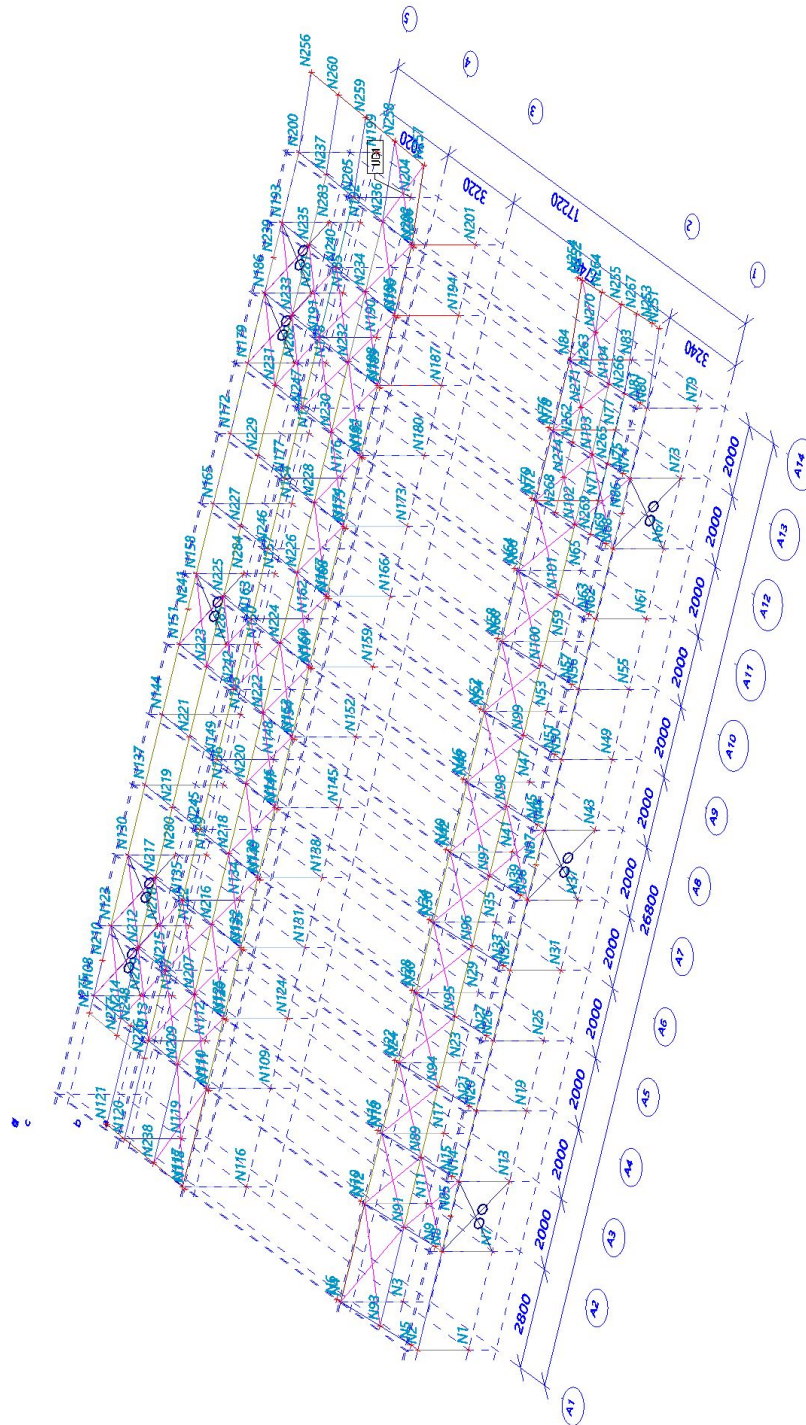
18. Podpory v uzlech

Jméno	Uzel	Systém	Typ	X	Y	Z	Rx	Ry	Rz
Sn1	N1	GSS	Standard	Tuhý	Tuhý	Tuhý	Volný	Volný	Volný
Sn2	N3	GSS	Standard	Tuhý	Tuhý	Tuhý	Volný	Volný	Volný
Sn3	N7	GSS	Standard	Tuhý	Tuhý	Tuhý	Volný	Volný	Volný
Sn4	N11	GSS	Standard	Tuhý	Tuhý	Tuhý	Volný	Volný	Volný
Sn5	N13	GSS	Standard	Tuhý	Tuhý	Tuhý	Volný	Volný	Volný
Sn6	N17	GSS	Standard	Tuhý	Tuhý	Tuhý	Volný	Volný	Volný
Sn7	N19	GSS	Standard	Tuhý	Tuhý	Tuhý	Volný	Volný	Volný
Sn8	N23	GSS	Standard	Tuhý	Tuhý	Tuhý	Volný	Volný	Volný
Sn9	N25	GSS	Standard	Tuhý	Tuhý	Tuhý	Volný	Volný	Volný
Sn10	N29	GSS	Standard	Tuhý	Tuhý	Tuhý	Volný	Volný	Volný
Sn11	N31	GSS	Standard	Tuhý	Tuhý	Tuhý	Volný	Volný	Volný
Sn12	N35	GSS	Standard	Tuhý	Tuhý	Tuhý	Volný	Volný	Volný
Sn13	N37	GSS	Standard	Tuhý	Tuhý	Tuhý	Volný	Volný	Volný
Sn14	N41	GSS	Standard	Tuhý	Tuhý	Tuhý	Volný	Volný	Volný
Sn15	N43	GSS	Standard	Tuhý	Tuhý	Tuhý	Volný	Volný	Volný
Sn16	N47	GSS	Standard	Tuhý	Tuhý	Tuhý	Volný	Volný	Volný
Sn17	N49	GSS	Standard	Tuhý	Tuhý	Tuhý	Volný	Volný	Volný
Sn18	N53	GSS	Standard	Tuhý	Tuhý	Tuhý	Volný	Volný	Volný
Sn19	N55	GSS	Standard	Tuhý	Tuhý	Tuhý	Volný	Volný	Volný
Sn20	N59	GSS	Standard	Tuhý	Tuhý	Tuhý	Volný	Volný	Volný
Sn21	N61	GSS	Standard	Tuhý	Tuhý	Tuhý	Volný	Volný	Volný
Sn22	N65	GSS	Standard	Tuhý	Tuhý	Tuhý	Volný	Volný	Volný
Sn23	N67	GSS	Standard	Tuhý	Tuhý	Tuhý	Volný	Volný	Volný
Sn24	N71	GSS	Standard	Tuhý	Tuhý	Tuhý	Volný	Volný	Volný
Sn25	N73	GSS	Standard	Tuhý	Tuhý	Tuhý	Volný	Volný	Volný
Sn26	N77	GSS	Standard	Tuhý	Tuhý	Tuhý	Volný	Volný	Volný
Sn27	N79	GSS	Standard	Tuhý	Tuhý	Tuhý	Volný	Volný	Volný
Sn28	N83	GSS	Standard	Tuhý	Tuhý	Tuhý	Volný	Volný	Volný
Sn29	N109	GSS	Standard	Tuhý	Tuhý	Tuhý	Volný	Volný	Volný
Sn30	N107	GSS	Standard	Tuhý	Tuhý	Tuhý	Volný	Volný	Volný
Sn31	N112	GSS	Standard	Tuhý	Tuhý	Tuhý	Volný	Volný	Volný
Sn33	N116	GSS	Standard	Tuhý	Tuhý	Tuhý	Volný	Volný	Volný
Sn34	N119	GSS	Standard	Tuhý	Tuhý	Tuhý	Volný	Volný	Volný
Sn35	N122	GSS	Standard	Tuhý	Tuhý	Tuhý	Volný	Volný	Volný
Sn36	N124	GSS	Standard	Tuhý	Tuhý	Tuhý	Volný	Volný	Volný
Sn38	N129	GSS	Standard	Tuhý	Tuhý	Tuhý	Volný	Volný	Volný
Sn39	N131	GSS	Standard	Tuhý	Tuhý	Tuhý	Volný	Volný	Volný
Sn40	N134	GSS	Standard	Tuhý	Tuhý	Tuhý	Volný	Volný	Volný
Sn41	N136	GSS	Standard	Tuhý	Tuhý	Tuhý	Volný	Volný	Volný
Sn42	N138	GSS	Standard	Tuhý	Tuhý	Tuhý	Volný	Volný	Volný
Sn44	N143	GSS	Standard	Tuhý	Tuhý	Tuhý	Volný	Volný	Volný
Sn45	N145	GSS	Standard	Tuhý	Tuhý	Tuhý	Volný	Volný	Volný
Sn46	N148	GSS	Standard	Tuhý	Tuhý	Tuhý	Volný	Volný	Volný
Sn47	N150	GSS	Standard	Tuhý	Tuhý	Tuhý	Volný	Volný	Volný
Sn48	N152	GSS	Standard	Tuhý	Tuhý	Tuhý	Volný	Volný	Volný
Sn50	N157	GSS	Standard	Tuhý	Tuhý	Tuhý	Volný	Volný	Volný
Sn51	N159	GSS	Standard	Tuhý	Tuhý	Tuhý	Volný	Volný	Volný
Sn52	N162	GSS	Standard	Tuhý	Tuhý	Tuhý	Volný	Volný	Volný
Sn53	N164	GSS	Standard	Tuhý	Tuhý	Tuhý	Volný	Volný	Volný
Sn54	N166	GSS	Standard	Tuhý	Tuhý	Tuhý	Volný	Volný	Volný
Sn56	N171	GSS	Standard	Tuhý	Tuhý	Tuhý	Volný	Volný	Volný
Sn57	N173	GSS	Standard	Tuhý	Tuhý	Tuhý	Volný	Volný	Volný
Sn58	N176	GSS	Standard	Tuhý	Tuhý	Tuhý	Volný	Volný	Volný
Sn59	N178	GSS	Standard	Tuhý	Tuhý	Tuhý	Volný	Volný	Volný
Sn60	N180	GSS	Standard	Tuhý	Tuhý	Tuhý	Volný	Volný	Volný
Sn62	N185	GSS	Standard	Tuhý	Tuhý	Tuhý	Volný	Volný	Volný
Sn63	N187	GSS	Standard	Tuhý	Tuhý	Tuhý	Volný	Volný	Volný
Sn64	N190	GSS	Standard	Tuhý	Tuhý	Tuhý	Volný	Volný	Volný
Sn65	N192	GSS	Standard	Tuhý	Tuhý	Tuhý	Volný	Volný	Volný
Sn66	N194	GSS	Standard	Tuhý	Tuhý	Tuhý	Volný	Volný	Volný

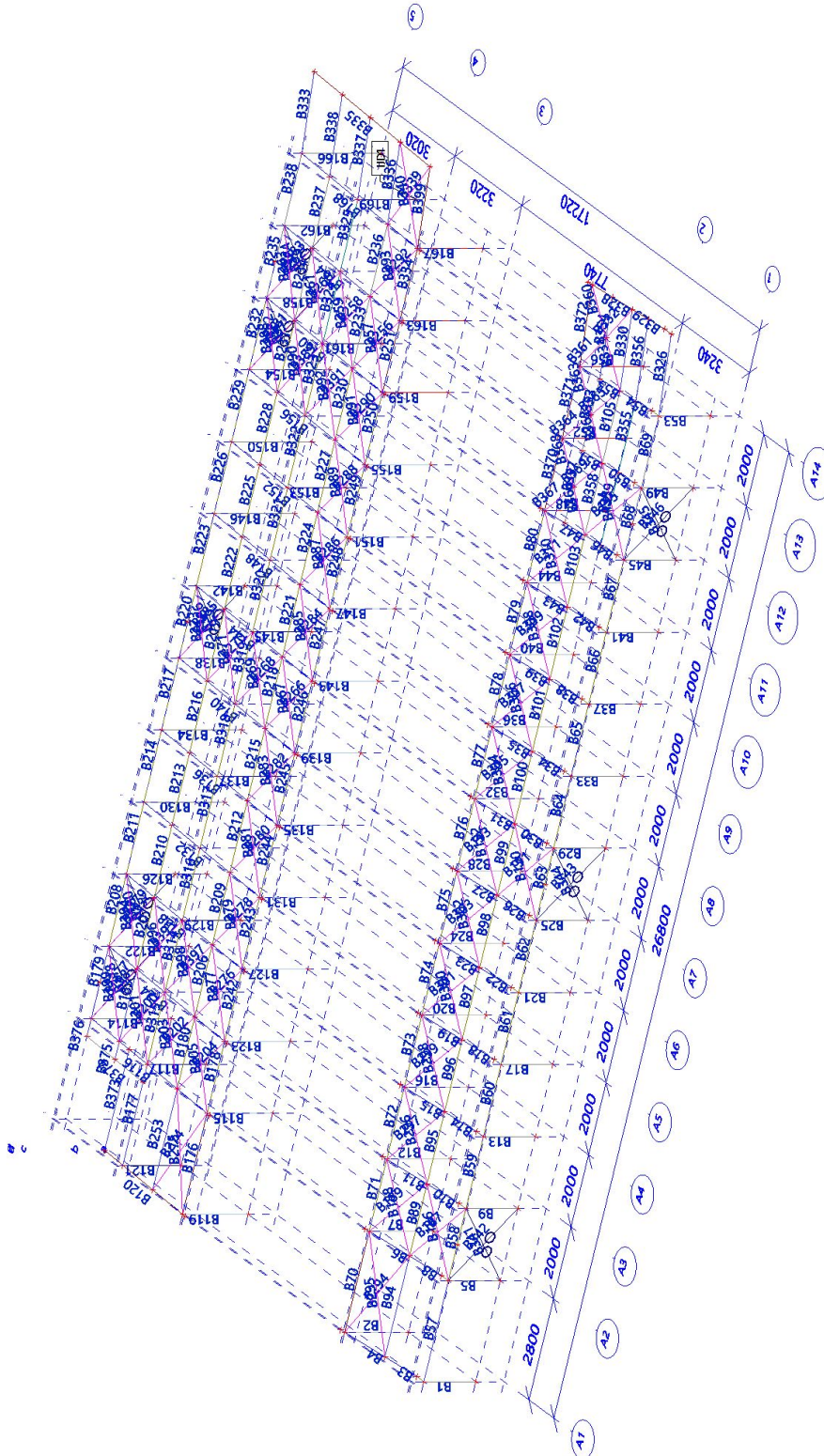
Projekt RNR

Jméno	Uzel	Systém	Typ	X	Y	Z	Rx	Ry	Rz
Sn68	N199	GSS	Standard	Tuhý	Tuhý	Tuhý	Volný	Volný	Volný
Sn69	N201	GSS	Standard	Tuhý	Tuhý	Tuhý	Volný	Volný	Volný
Sn70	N204	GSS	Standard	Tuhý	Tuhý	Tuhý	Volný	Volný	Volný

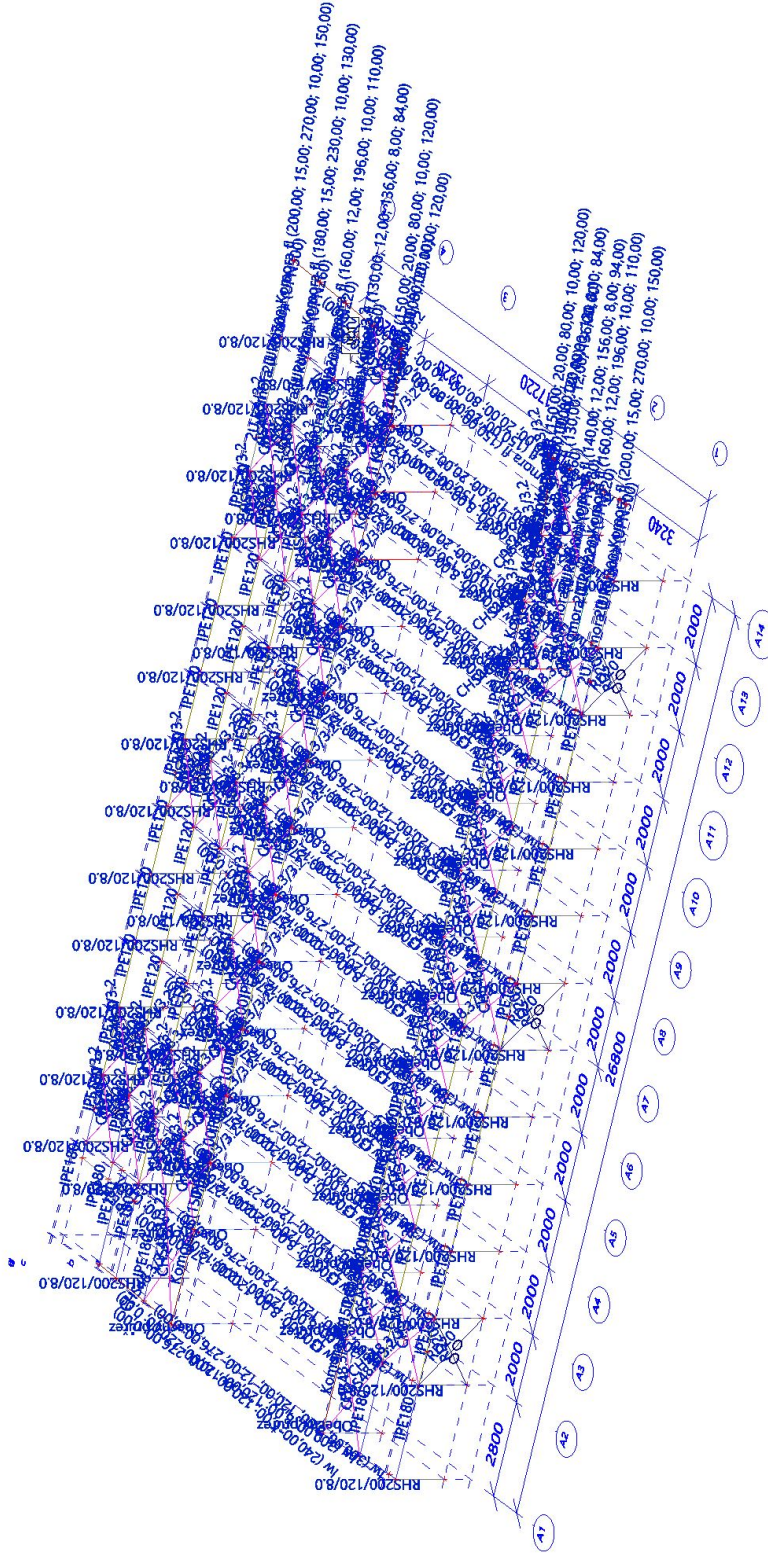
19. UZLY



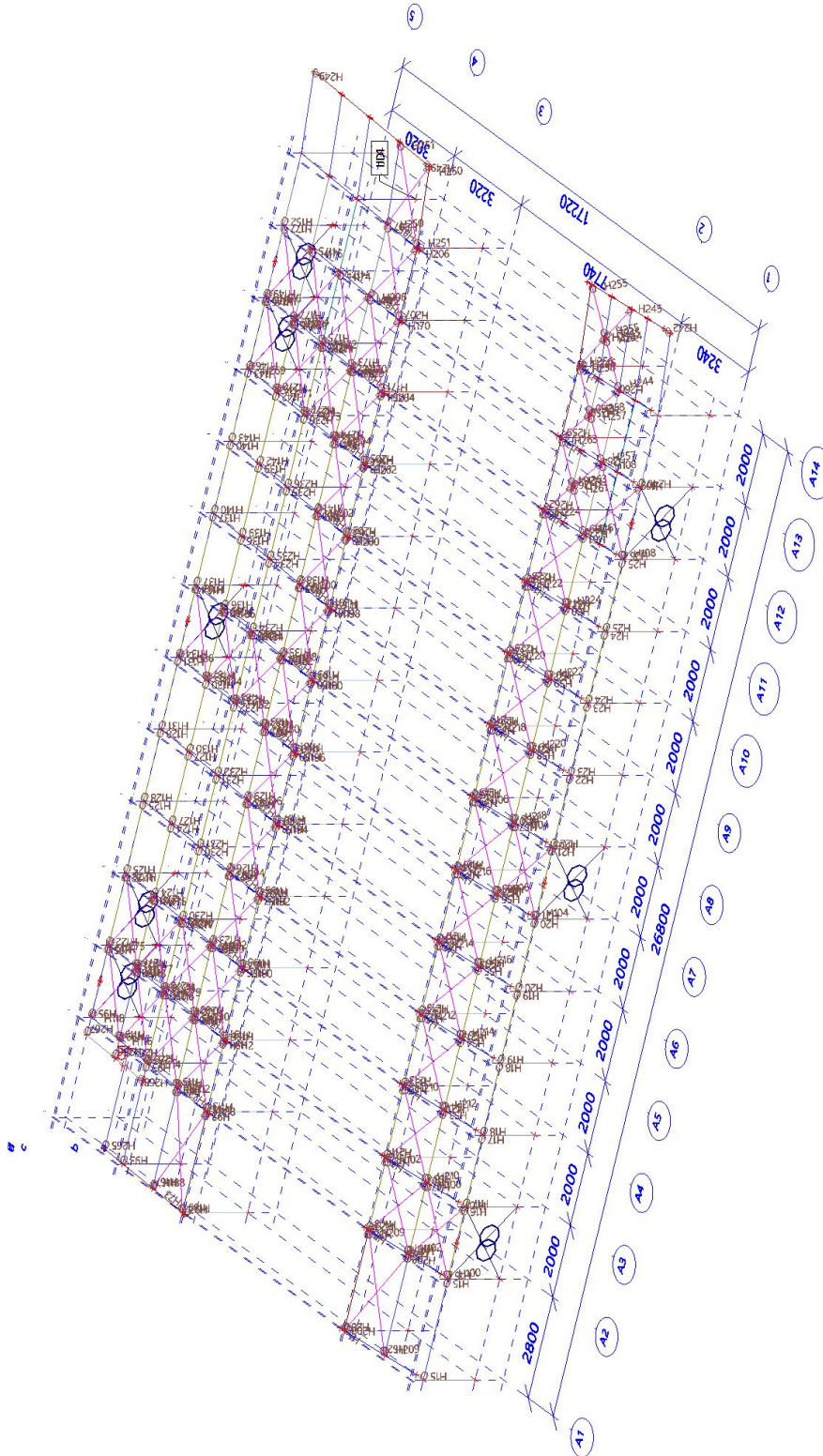
20. PRVKY



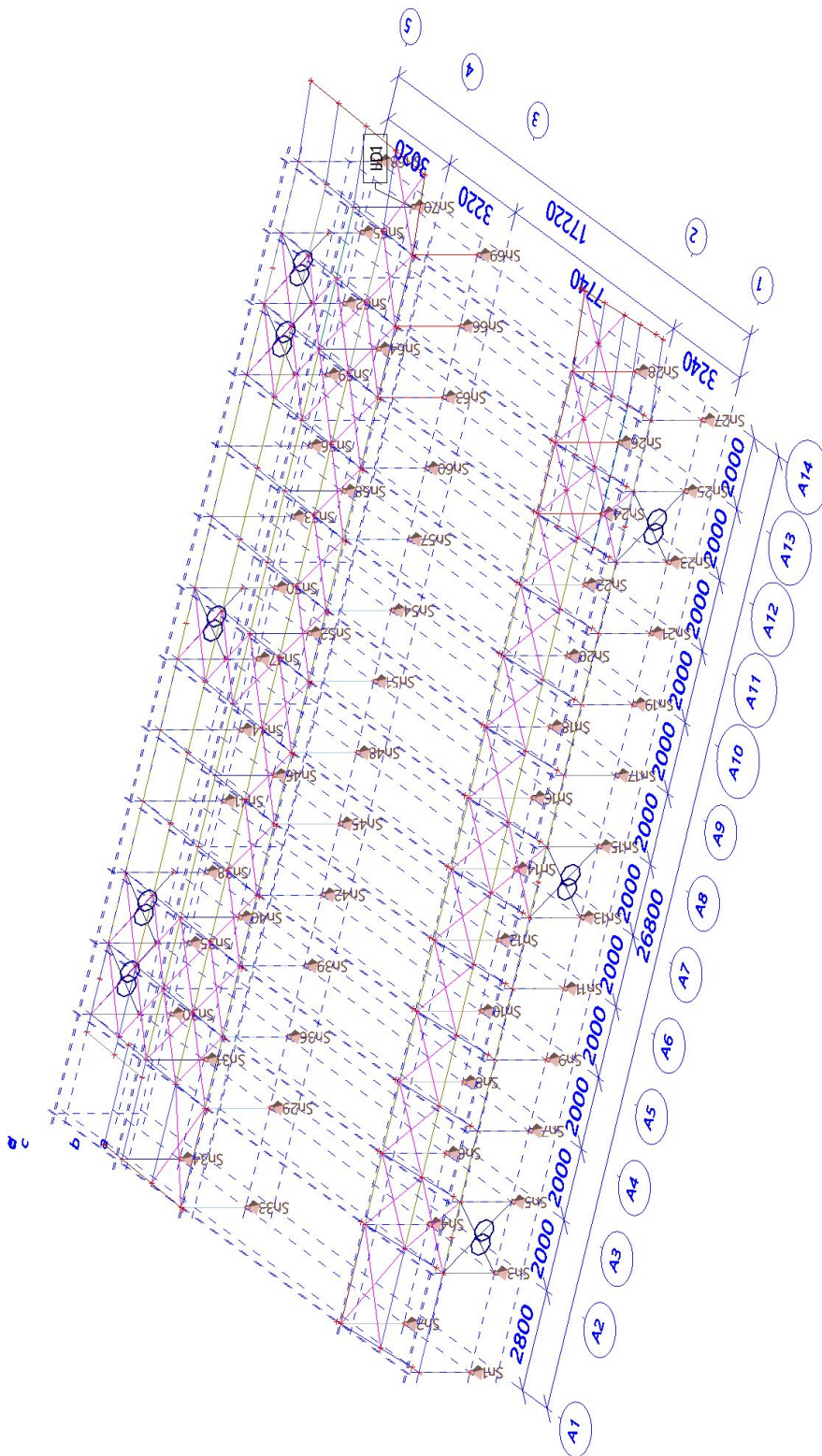
21. PRŮŘEZY



22. KLOUBY



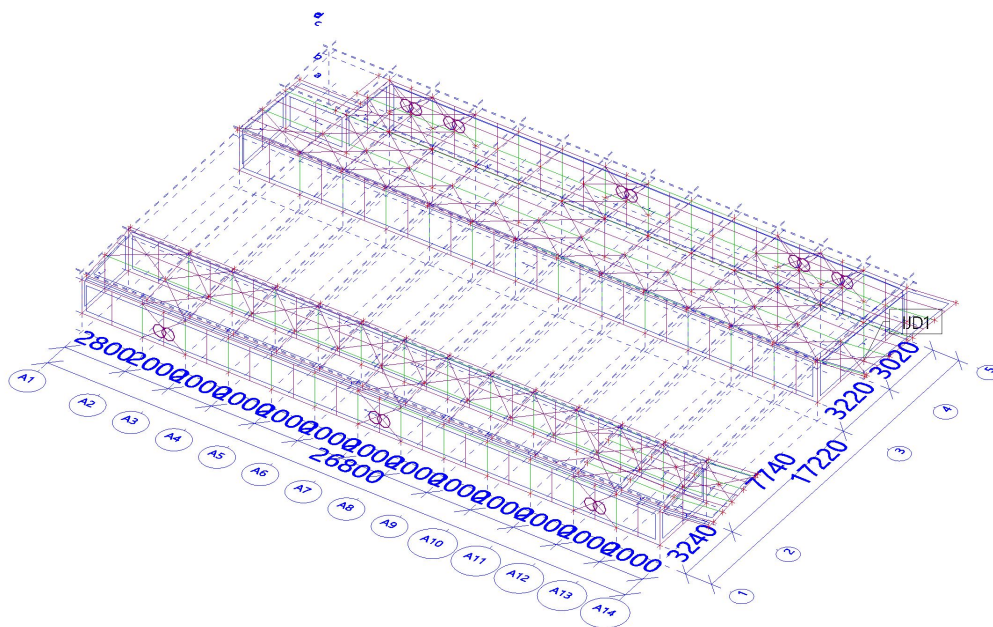
23. PODPORY



24. Zatěžovací stavy

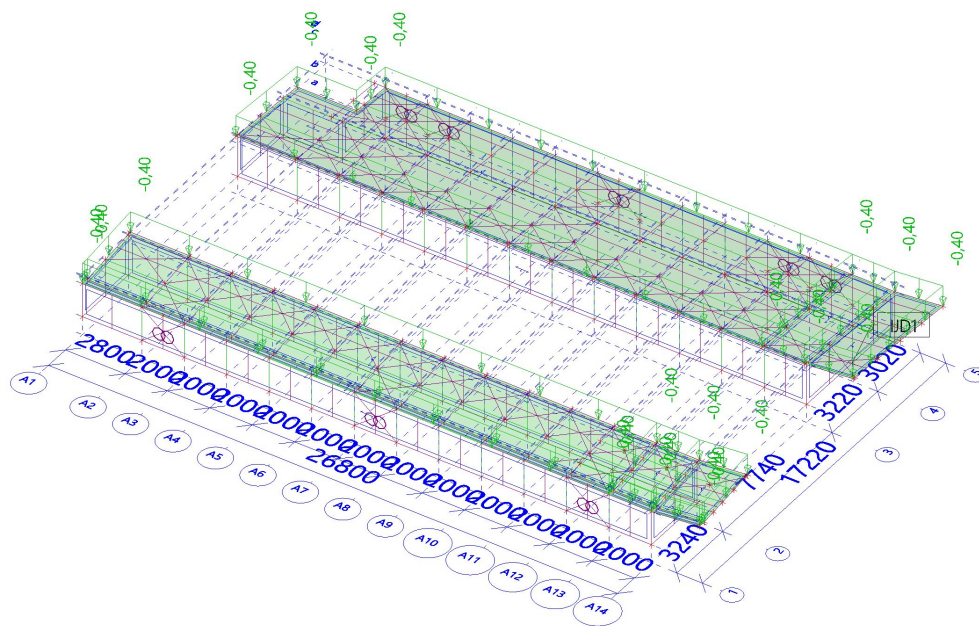
24.1. Zatěžovací stavy - ZS1

Jméno	Popis	Typ působení	Skupina zatížení	Typ zatížení	Směr
ZS1	Vlastní tíha	Stálé	SZ1	Vlastní tíha	-Z



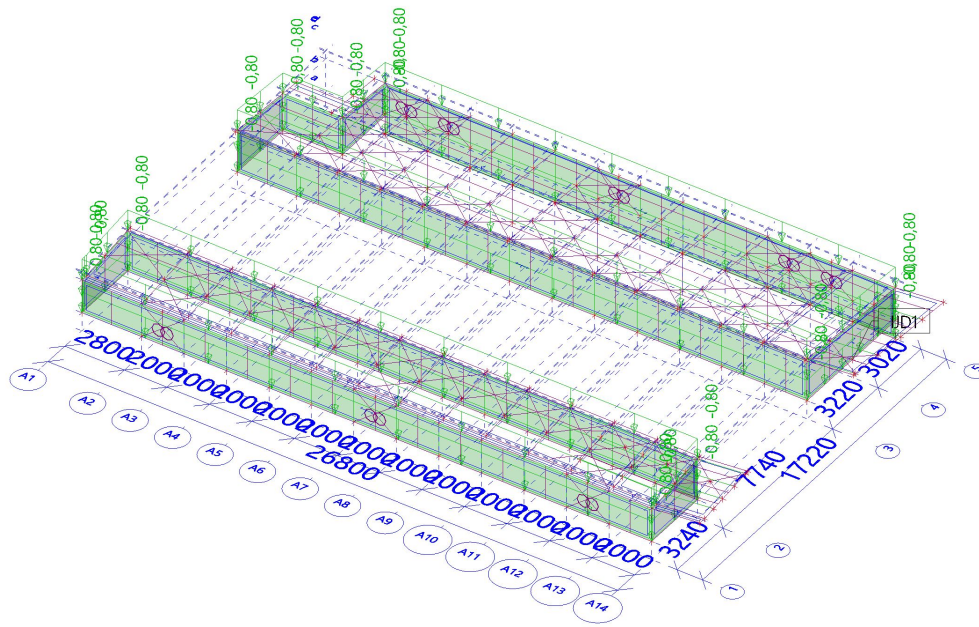
24.2. Zatěžovací stavy - ZS2

Jméno	Popis	Typ působení	Skupina zatížení	Typ zatížení
ZS2	STRESNI PLAST	Stálé	SZ1	Standard



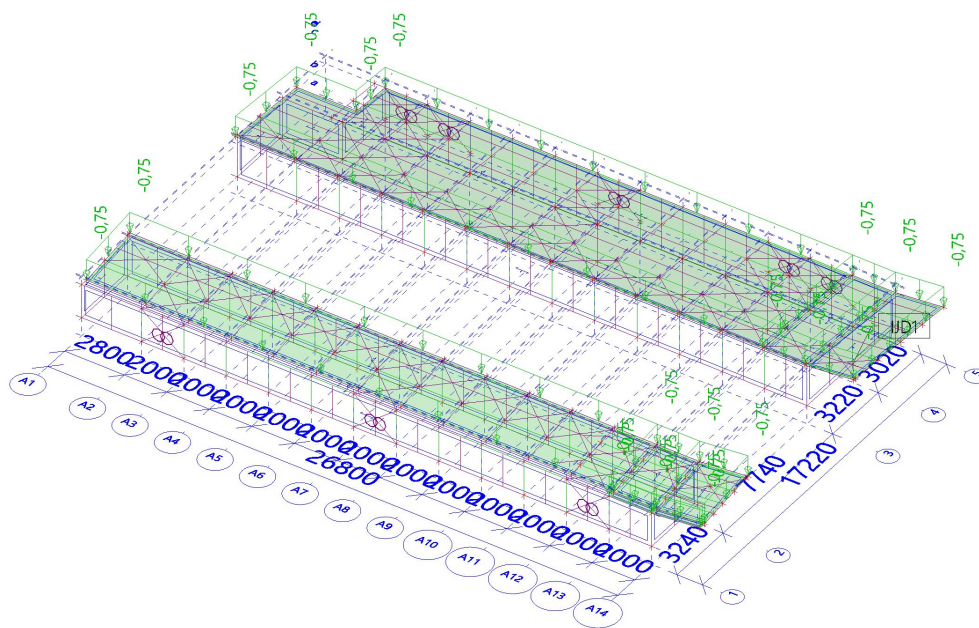
24.3. Zatěžovací stavy - ZS3

Jméno	Popis	Typ působení	Skupina zatížení	Typ zatížení
ZS3	OPLASTENI STEN	Stálé	SZ1	Standard



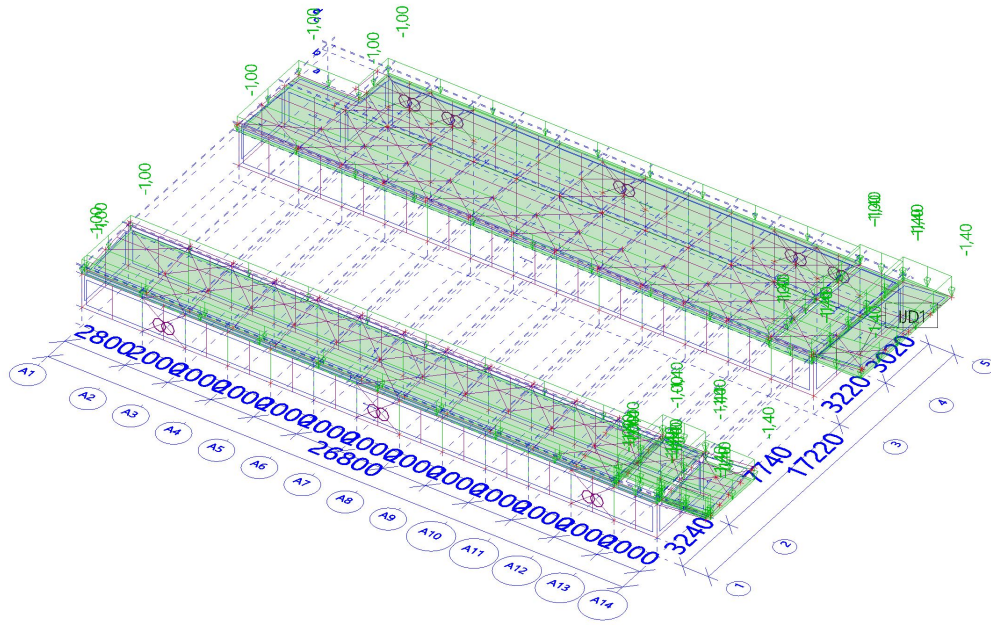
24.4. Zatěžovací stavy - ZS4

Jméno	Popis	Typ působení	Skupina zatížení	Typ zatížení	Spec	Působení	Řídící zat. stav
ZS4	ÚZITNE NA STRESE	Proměnné	UZITNE NA STRESE	Statické	Standard	Krátkodobé	Žádný



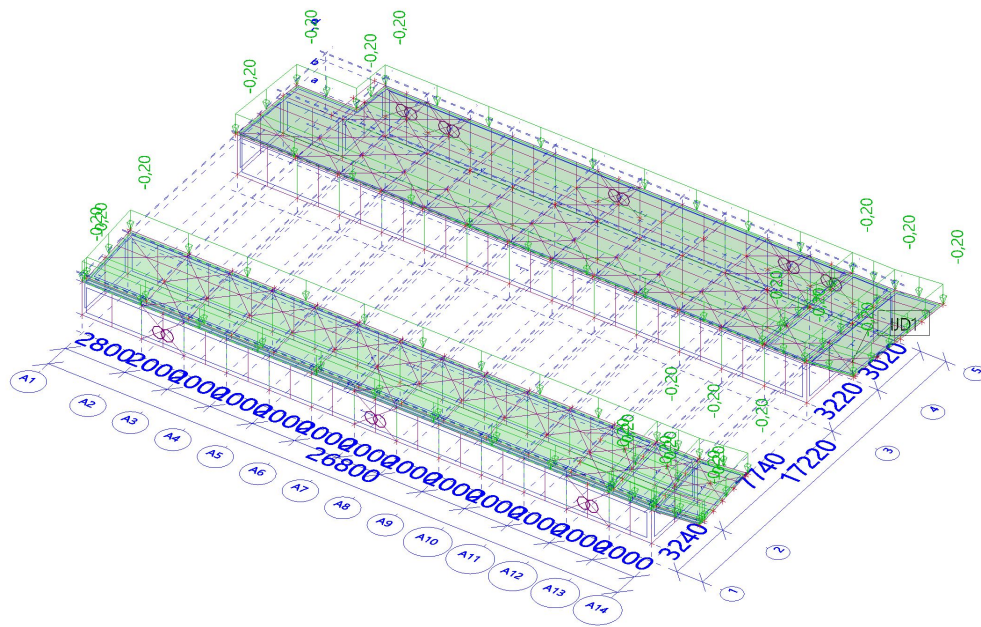
24.5. Zatěžovací stavy - ZS5

Jméno	Popis	Typ působení	Skupina zatížení	Typ zatížení	Spec	Působení	Řídící zat. stav
ZS5	SNIH	Proměnné	SNIH	Statické	Standard	Krátkodobé	Žádný



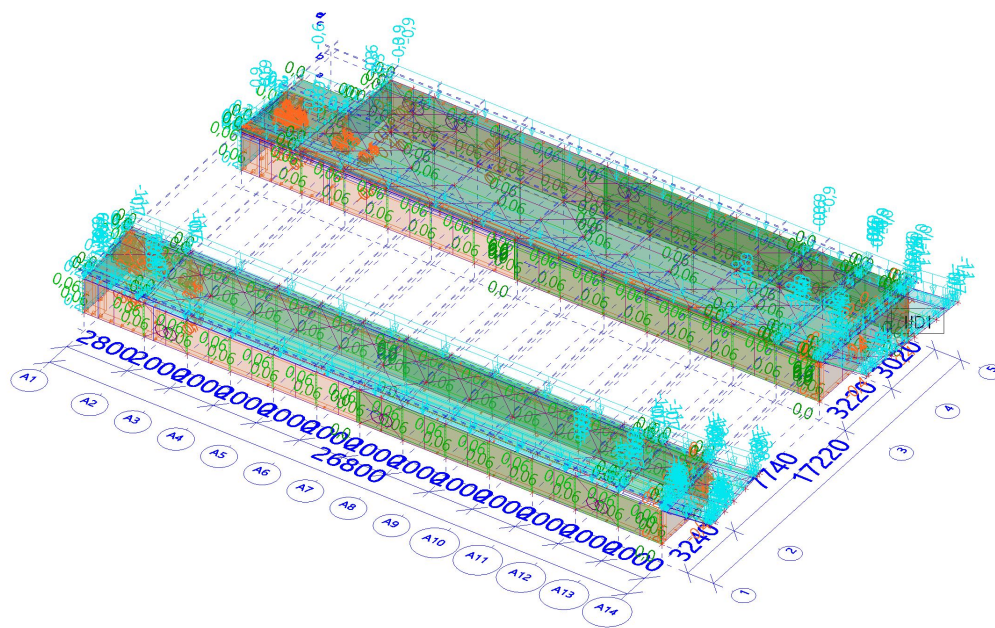
24.6. Zatěžovací stavy - ZS6

Jméno	Popis	Typ působení	Skupina zatížení	Typ zatížení	Spec	Působení	Řídící zat. s
ZS6	TECHNOLOGIE POD STRECHOU	Proměnné	TECHNOLOGIE POD STRECHOU	Statické	Standard	Krátkodobé	Žádný



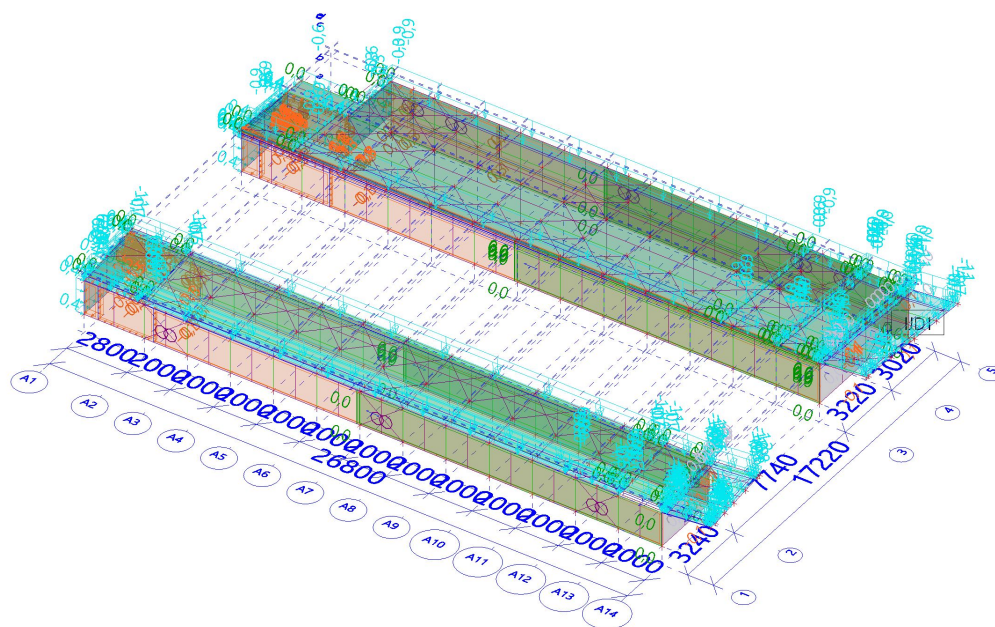
24.7. Zatěžovací stavy - 3DVítr1

Jméno	Popis	Typ působení	Skupina zatížení	Typ zatížení	Spec	Řídící zat. stav
3DVítr1	0, + CPE, + CPI	Proměnné	TECHNOLOGIE POD STRECHOU7	Statické	Statický vítr	Žádný



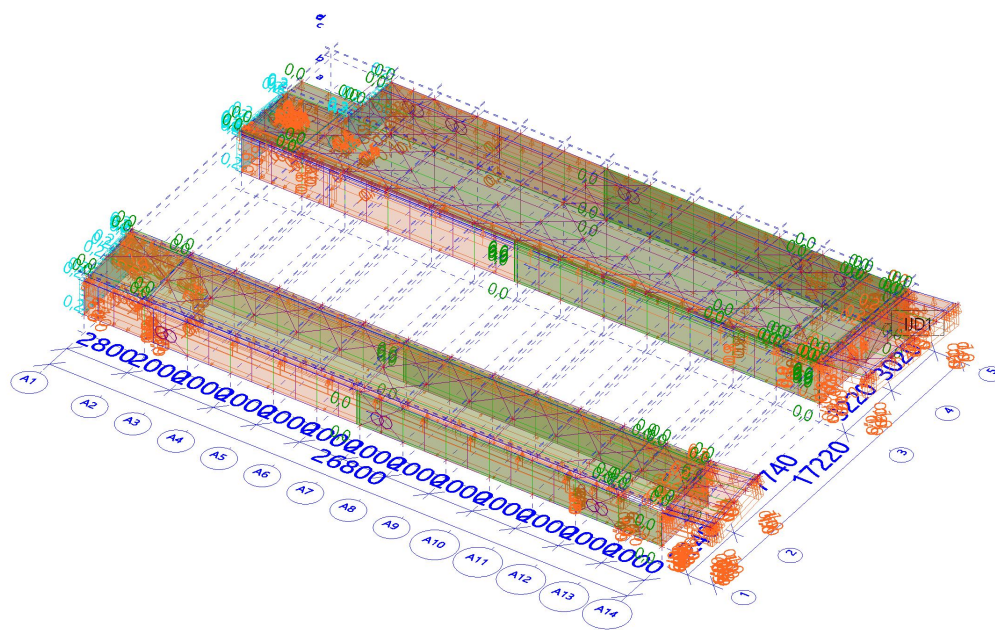
24.8. Zatěžovací stavy - 3DVitr2

Jméno	Popis	Typ působení	Skupina zatížení	Typ zatížení	Spec	Řídící zat. stav
3DVitr2	0, + CPE, - CPI	Proměnné	TECHNOLOGIE POD STRECHOU7	Statické	Statický vítr	Žádný



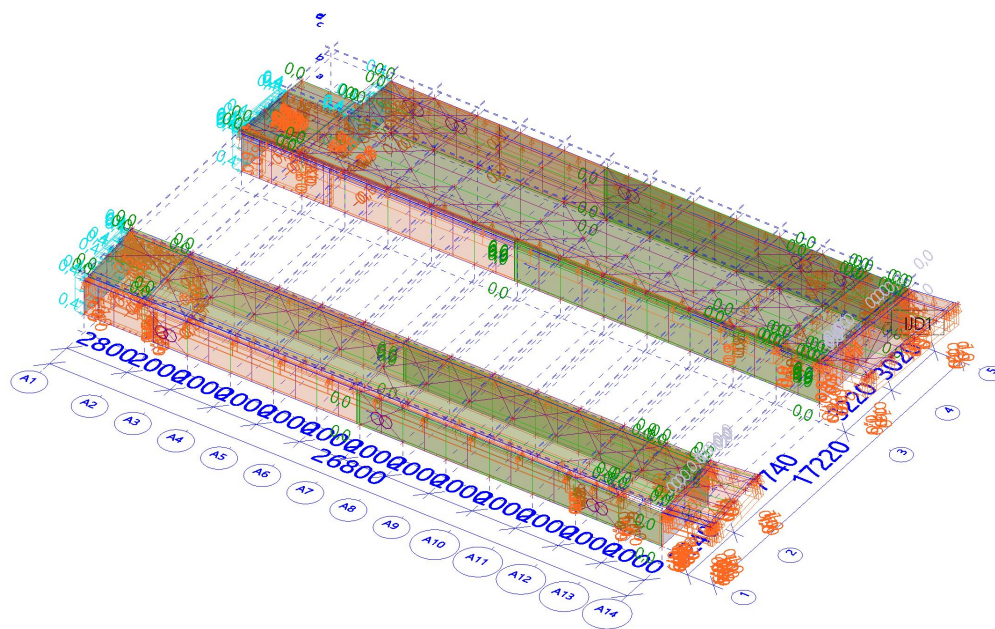
24.9. Zatěžovací stavy - 3DVitr3

Jméno	Popis	Typ působení	Skupina zatížení	Typ zatížení	Spec	Řídící zat. stav
3DVitr3	0, - CPE, + CPI	Proměnné	TECHNOLOGIE POD STRECHOU7	Statické	Statický vítr	Žádný



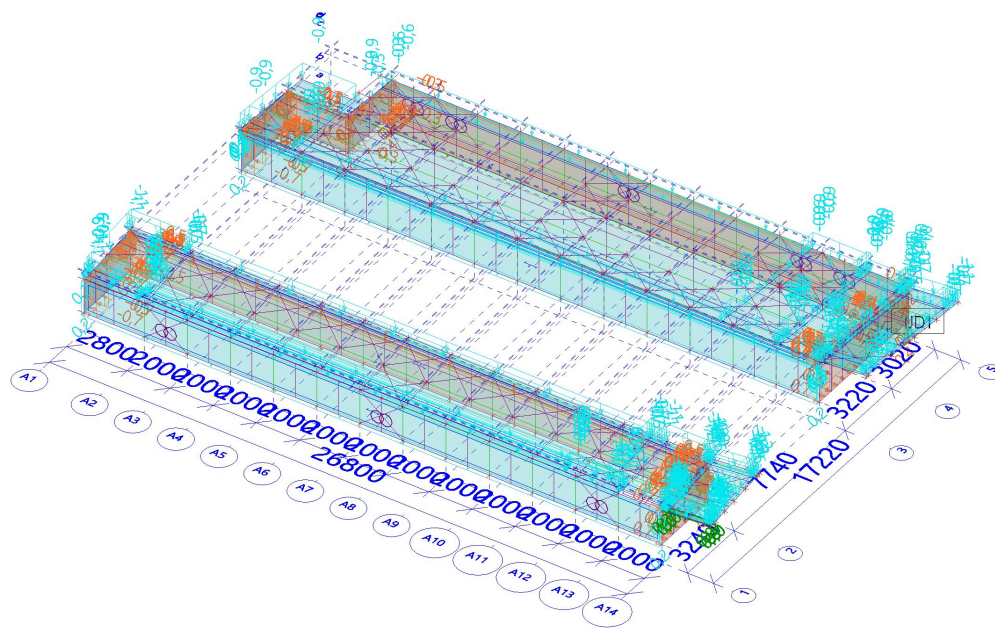
24.10. Zatěžovací stavy - 3DVitr4

Jméno	Popis	Typ působení	Skupina zatížení	Typ zatížení	Spec	Řídící zat. stav
3DVitr4	0, - CPE, - CPI	Proměnné	TECHNOLOGIE POD STRECHOU7	Statické	Statický vítr	Žádný



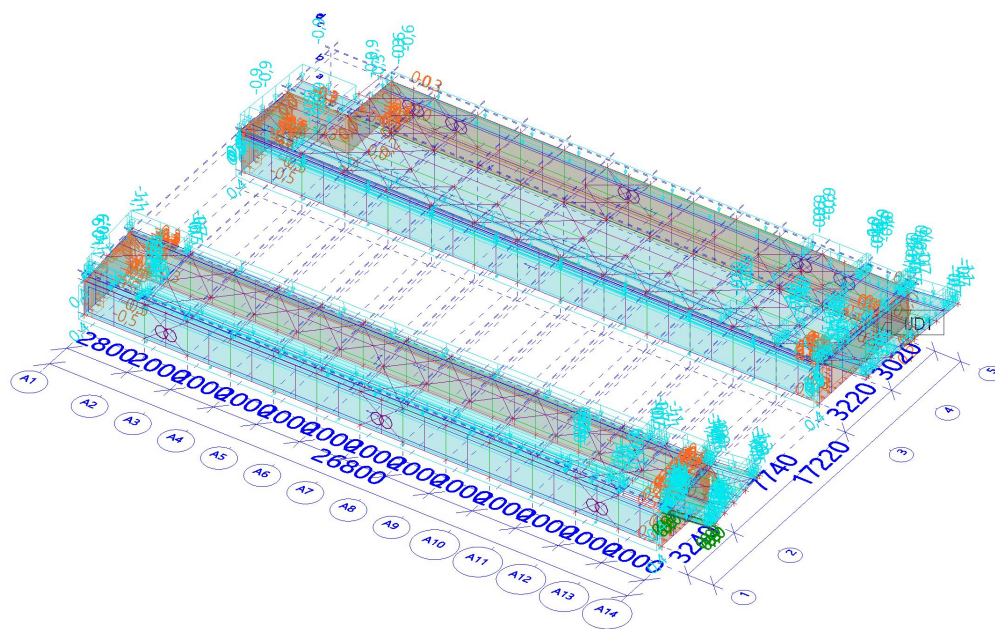
24.11. Zatěžovací stavy - 3DVitr5

Jméno	Popis	Typ působení	Skupina zatížení	Typ zatížení	Spec	Řídící zat. stav
3DVitr5	90, + CPE, + CPI	Proměnné	TECHNOLOGIE POD STRECHOU7	Statické	Statický vítr	Žádný



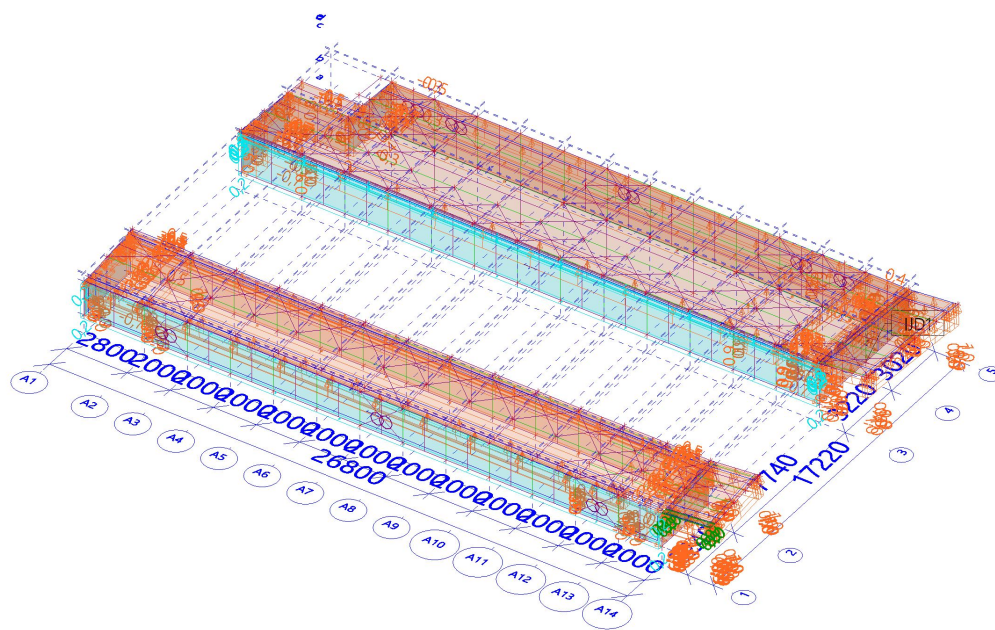
24.12. Zatěžovací stavy - 3DVitr6

Jméno	Popis	Typ působení	Skupina zatížení	Typ zatížení	Spec	Řídicí zat. stav
3DVitr6	90, + CPE, - CPI	Proměnné	TECHNOLOGIE POD STRECHOU7	Statické	Statický vítr	Žádný



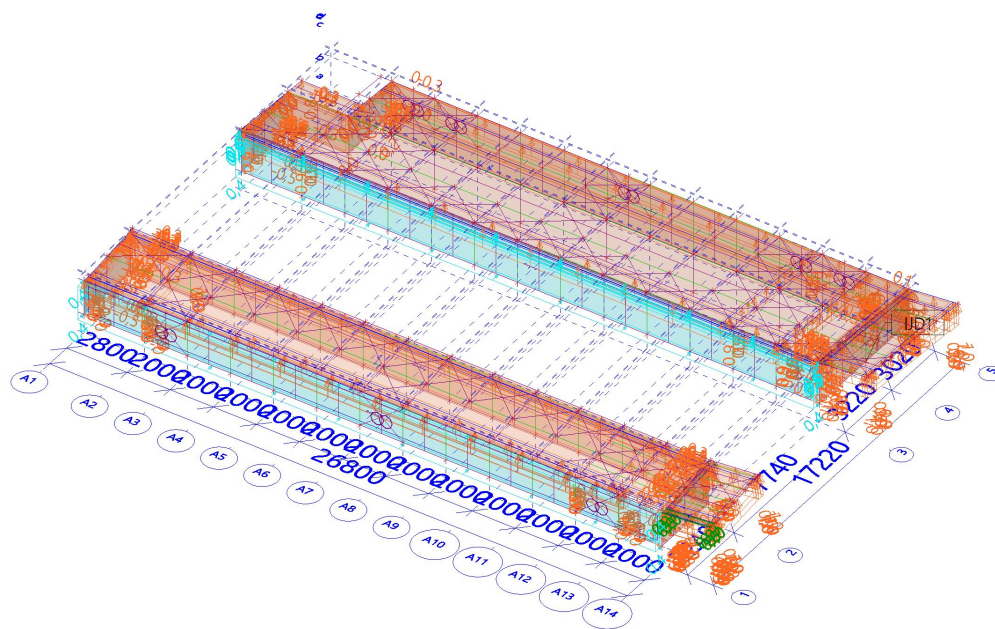
24.13. Zatěžovací stavy - 3DVitr7

Jméno	Popis	Typ působení	Skupina zatížení	Typ zatížení	Spec	Řídicí zat. stav
3DVitr7	90, - CPE, + CPI	Proměnné	TECHNOLOGIE POD STRECHOU7	Statické	Statický vítr	Žádný



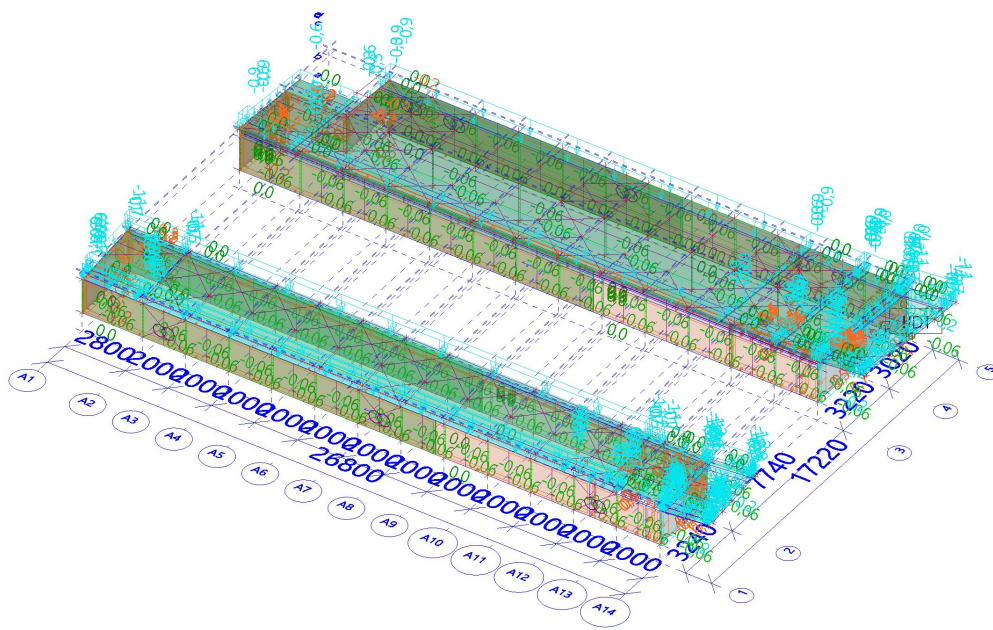
24.14. Zatěžovací stavy - 3DVitr8

Jméno	Popis	Typ působení	Skupina zatížení	Typ zatížení	Spec	Řídící zat. stav
3DVitr8	90, - CPE, - CPI	Proměnné	TECHNOLOGIE POD STRECHOU7	Statické	Statický vítr	Žádný



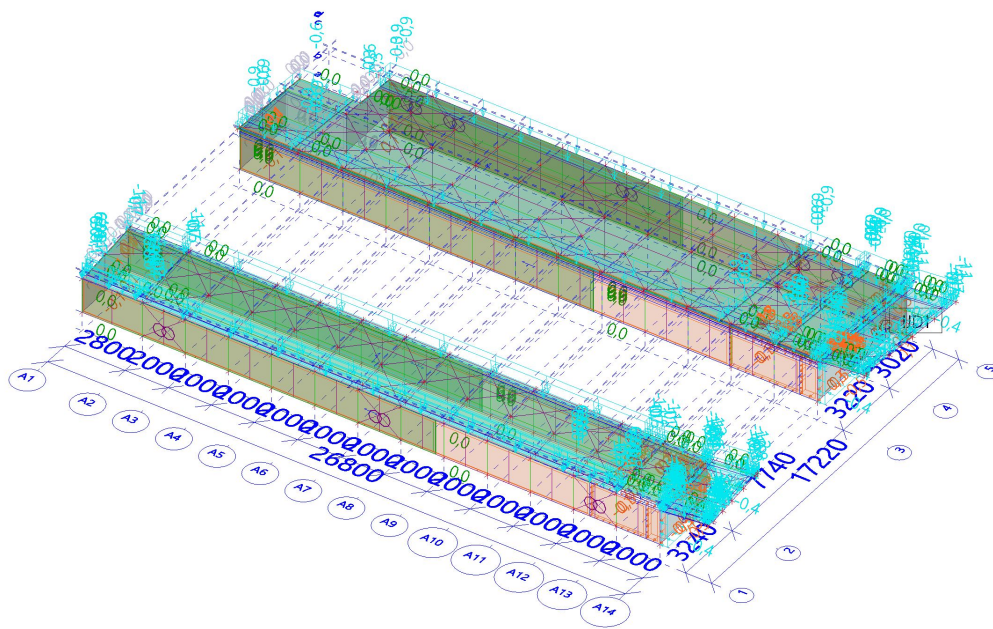
24.15. Zatěžovací stavy - 3DVitr9

Jméno	Popis	Typ působení	Skupina zatížení	Typ zatížení	Spec	Řídící zat. stav
3DVitr9	180, + CPE, + CPI	Proměnné	TECHNOLOGIE POD STRECHOU7	Statické	Statický vítr	Žádný



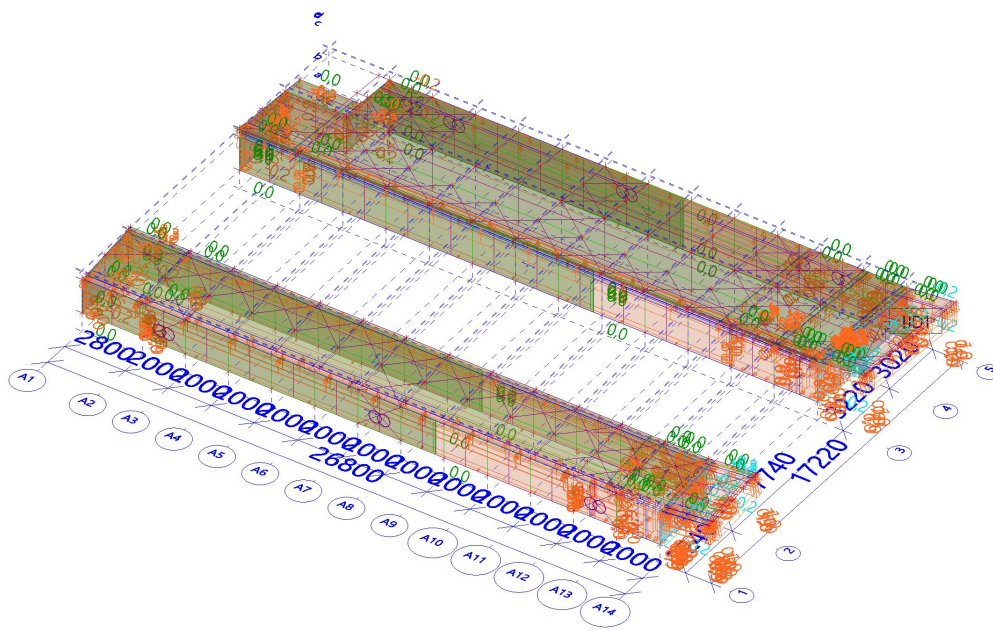
24.16. Zatěžovací stavy - 3DVitr10

Jméno	Popis	Typ působení	Skupina zatížení	Typ zatížení	Spec	Řídící zat. stav
3DVitr10	180, + CPE, - CPI	Proměnné	TECHNOLOGIE POD STRECHOU7	Statické	Statický vítr	Žádný



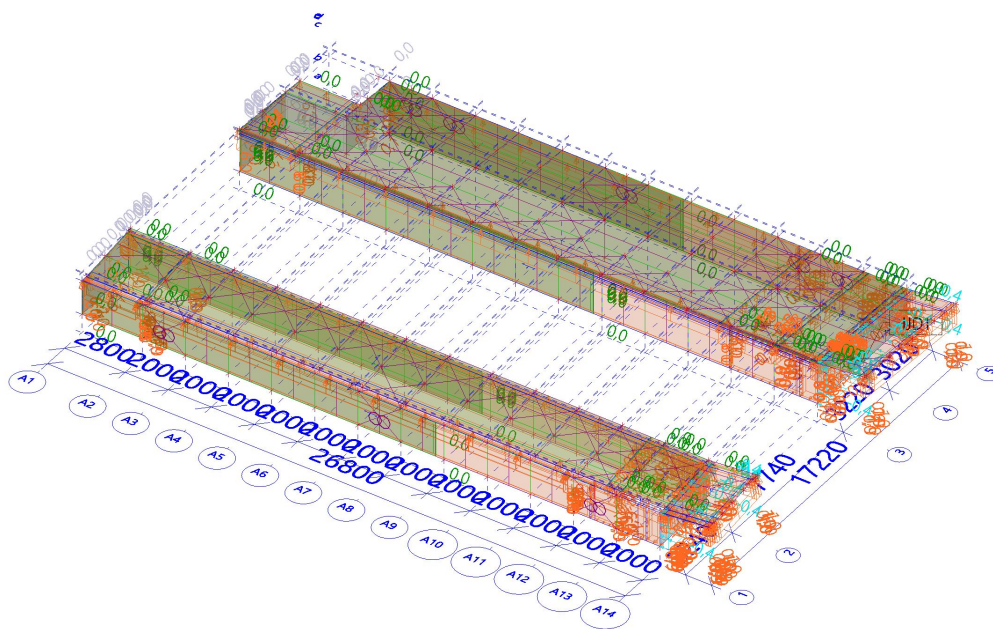
24.17. Zatěžovací stavy - 3DVitr11

Jméno	Popis	Typ působení	Skupina zatížení	Typ zatížení	Spec	Řídící zat. stav
3DVitr11	180, - CPE, + CPI	Proměnné	TECHNOLOGIE POD STRECHOU7	Statické	Statický vítr	Žádný



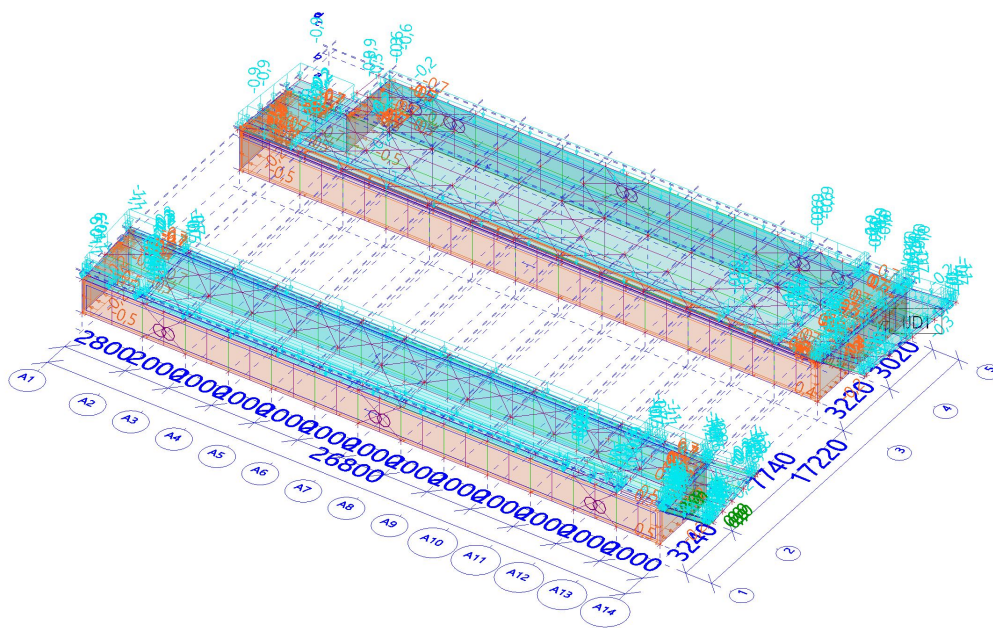
24.18. Zatěžovací stavy - 3DVitr12

Jméno	Popis	Typ působení	Skupina zatížení	Typ zatížení	Spec	Řídicí zat. stav
3DVitr12	180, - CPE, - CPI	Proměnné	TECHNOLOGIE POD STRECHOU7	Statické	Statický vítr	Žádný



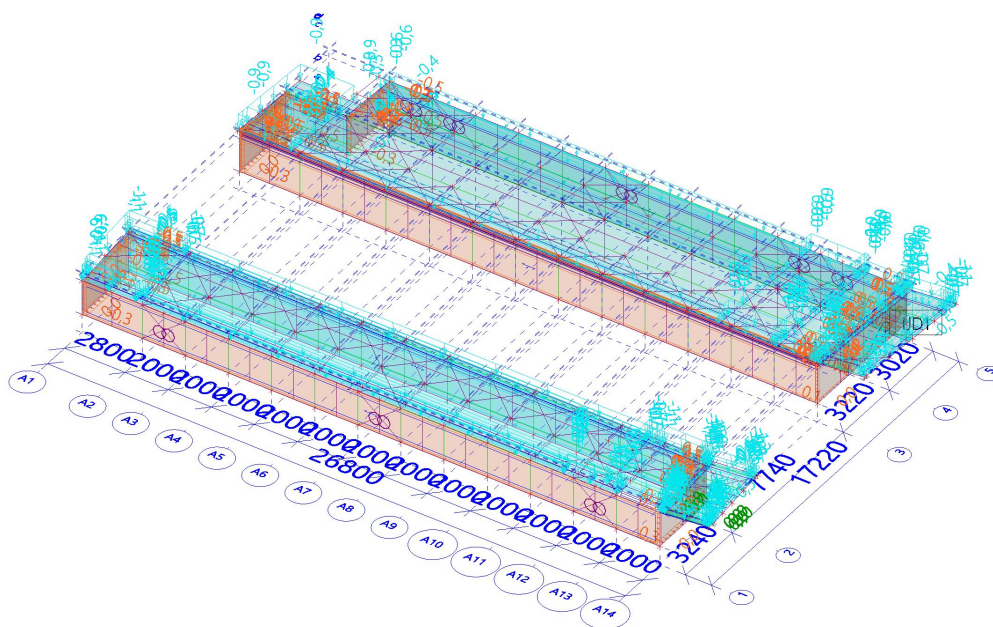
24.19. Zatěžovací stavy - 3DVitr13

Jméno	Popis	Typ působení	Skupina zatížení	Typ zatížení	Spec	Řídicí zat. stav
3DVitr13	270, + CPE, + CPI	Proměnné	TECHNOLOGIE POD STRECHOU7	Statické	Statický vítr	Žádný



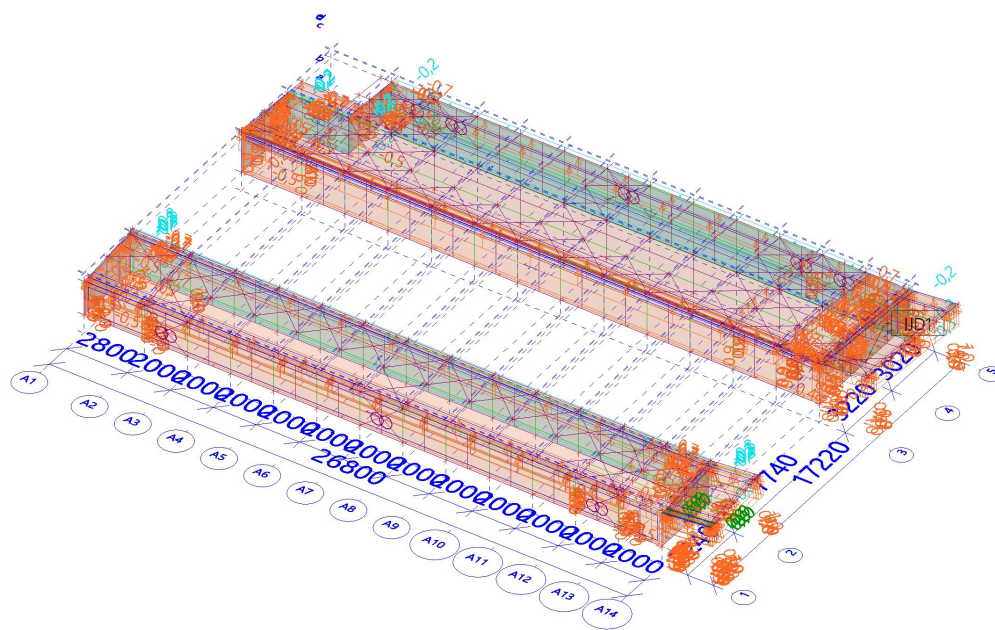
24.20. Zatěžovací stavy - 3DVítr14

Jméno	Popis	Typ působení	Skupina zatížení	Typ zatížení	Spec	Řídící zat. stav
3DVítr14	270, + CPE, - CPI	Proměnné	TECHNOLOGIE POD STRECHOU7	Statické	Statický vítr	Žádný



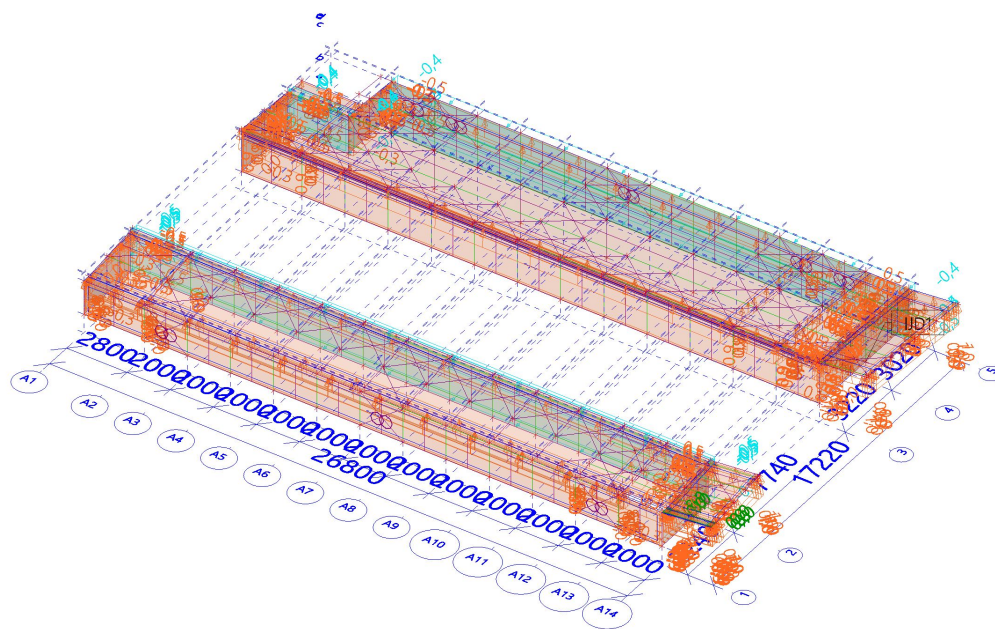
24.21. Zatěžovací stavy - 3DVítr15

Jméno	Popis	Typ působení	Skupina zatížení	Typ zatížení	Spec	Řídící zat. stav
3DVítr15	270, - CPE, + CPI	Proměnné	TECHNOLOGIE POD STRECHOU7	Statické	Statický vítr	Žádný



24.22. Zatěžovací stavy - 3DVítr16

Jméno	Popis	Typ působení	Skupina zatížení	Typ zatížení	Spec	Řídicí zat. stav
3DVítr16	270, - CPE, - CPI	Proměnné	TECHNOLOGIE POD STRECHOU7	Statické	Statický vítr	Žádný



25. Zatěžovací stavy

Jméno	Popis	Typ působení	Skupina zatížení	Typ zatížení	Spec	Směr	Působení
ZS1	Vlastní tíha	Stálé	SZ1	Vlastní tíha		-Z	
ZS2	STRESNI PLAST	Stálé	SZ1	Standard			
ZS3	OPLASTENI STEN	Stálé	SZ1	Standard			
ZS4	ÚZITNE NA STRESE	Proměnné	UZITNE NA STRESE	Statické	Standard		Krátkodobé
ZS5	SNIH	Proměnné	SNIH	Statické	Standard		Krátkodobé
ZS6	TECHNOLOGIE POD STRECHOU	Proměnné	TECHNOLOGIE POD STRECHOU	Statické	Standard		Krátkodobé

Projekt RNR

Jméno	Popis	Typ působení	Skupina zatížení	Typ zatížení	Spec	Směr	Působení
3DVítr1	0, + CPE, + CPI	Proměnné	TECHNOLOGIE POD STRECHOU7	Statické	Statický vítr		
3DVítr2	0, + CPE, - CPI	Proměnné	TECHNOLOGIE POD STRECHOU7	Statické	Statický vítr		
3DVítr3	0, - CPE, + CPI	Proměnné	TECHNOLOGIE POD STRECHOU7	Statické	Statický vítr		
3DVítr4	0, - CPE, - CPI	Proměnné	TECHNOLOGIE POD STRECHOU7	Statické	Statický vítr		
3DVítr5	90, + CPE, + CPI	Proměnné	TECHNOLOGIE POD STRECHOU7	Statické	Statický vítr		
3DVítr6	90, + CPE, - CPI	Proměnné	TECHNOLOGIE POD STRECHOU7	Statické	Statický vítr		
3DVítr7	90, - CPE, + CPI	Proměnné	TECHNOLOGIE POD STRECHOU7	Statické	Statický vítr		
3DVítr8	90, - CPE, - CPI	Proměnné	TECHNOLOGIE POD STRECHOU7	Statické	Statický vítr		
3DVítr9	180, + CPE, + CPI	Proměnné	TECHNOLOGIE POD STRECHOU7	Statické	Statický vítr		
3DVítr10	180, + CPE, - CPI	Proměnné	TECHNOLOGIE POD STRECHOU7	Statické	Statický vítr		
3DVítr11	180, - CPE, + CPI	Proměnné	TECHNOLOGIE POD STRECHOU7	Statické	Statický vítr		
3DVítr12	180, - CPE, - CPI	Proměnné	TECHNOLOGIE POD STRECHOU7	Statické	Statický vítr		
3DVítr13	270, + CPE, + CPI	Proměnné	TECHNOLOGIE POD STRECHOU7	Statické	Statický vítr		
3DVítr14	270, + CPE, - CPI	Proměnné	TECHNOLOGIE POD STRECHOU7	Statické	Statický vítr		
3DVítr15	270, - CPE, + CPI	Proměnné	TECHNOLOGIE POD STRECHOU7	Statické	Statický vítr		
3DVítr16	270, - CPE, - CPI	Proměnné	TECHNOLOGIE POD STRECHOU7	Statické	Statický vítr		

26. Skupiny zatížení

Jméno	Zatížení	Vztah	Typ
SZ1	Stálé		
UZITNE NA STRESE	Proměnné	Standard	Kat H : střechy
SNIH	Proměnné	Standard	Sníh
SNIH2	Proměnné	Výběrová	Vítr
TECHNOLOGIE POD STRECHOU	Proměnné	Standard	Kat E : sklady
TECHNOLOGIE POD STRECHOU1	Proměnné	Výběrová	Vítr
TECHNOLOGIE POD STRECHOU2	Proměnné	Výběrová	Vítr
TECHNOLOGIE POD STRECHOU3	Proměnné	Výběrová	Vítr
TECHNOLOGIE POD STRECHOU4	Proměnné	Výběrová	Vítr
TECHNOLOGIE POD STRECHOU5	Proměnné	Výběrová	Vítr
TECHNOLOGIE POD STRECHOU6	Proměnné	Výběrová	Vítr
TECHNOLOGIE POD STRECHOU7	Proměnné	Výběrová	Vítr

27. Kombinace

Jméno	Typ	Zatěžovací stav	Souč. [-]
MSÚ-Sada B (auto)	EN-MSÚ (STR/GEO) Soubor B	ZS1 - Vlastní tíha	1,000
		ZS2 - STRESNI PLAST	1,000
		ZS3 - OPLASTENI STEN	1,000
		ZS4 - ÚZITNE NA STRESE	1,000
		ZS5 - SNIH	1,000
		ZS6 - TECHNOLOGIE POD STRECHOU	1,000
		3DVítr1 - 0, + CPE, + CPI	1,000
		3DVítr2 - 0, + CPE, - CPI	1,000
		3DVítr3 - 0, - CPE, + CPI	1,000
		3DVítr4 - 0, - CPE, - CPI	1,000
		3DVítr5 - 90, + CPE, + CPI	1,000
		3DVítr6 - 90, + CPE, - CPI	1,000
		3DVítr7 - 90, - CPE, + CPI	1,000
		3DVítr8 - 90, - CPE, - CPI	1,000
		3DVítr9 - 180, + CPE, + CPI	1,000
		3DVítr10 - 180, + CPE, - CPI	1,000
		3DVítr11 - 180, - CPE, + CPI	1,000
3DVítr12 - 180, - CPE, - CPI	1,000		
3DVítr13 - 270, + CPE, + CPI	1,000		
3DVítr14 - 270, + CPE, - CPI	1,000		
3DVítr15 - 270, - CPE, + CPI	1,000		
3DVítr16 - 270, - CPE, - CPI	1,000		
MSP-Char (auto)	EN-MSP charakteristická	ZS1 - Vlastní tíha	1,000
		ZS2 - STRESNI PLAST	1,000
		ZS3 - OPLASTENI STEN	1,000
		ZS4 - ÚZITNE NA STRESE	1,000
		ZS5 - SNIH	1,000
		ZS6 - TECHNOLOGIE POD STRECHOU	1,000
		3DVítr1 - 0, + CPE, + CPI	1,000

Projekt RNR

Jméno	Typ	Zatěžovací stavy	Souč. [-]
		3DVítr2 - 0, + CPE, - CPI	1,000
		3DVítr3 - 0, - CPE, + CPI	1,000
		3DVítr4 - 0, - CPE, - CPI	1,000
		3DVítr5 - 90, + CPE, + CPI	1,000
		3DVítr6 - 90, + CPE, - CPI	1,000
		3DVítr7 - 90, - CPE, + CPI	1,000
		3DVítr8 - 90, - CPE, - CPI	1,000
		3DVítr9 - 180, + CPE, + CPI	1,000
		3DVítr10 - 180, + CPE, - CPI	1,000
		3DVítr11 - 180, - CPE, + CPI	1,000
		3DVítr12 - 180, - CPE, - CPI	1,000
		3DVítr13 - 270, + CPE, + CPI	1,000
		3DVítr14 - 270, + CPE, - CPI	1,000
		3DVítr15 - 270, - CPE, + CPI	1,000
		3DVítr16 - 270, - CPE, - CPI	1,000

28. Nelineární kombinace

Prázdná tabulka

29. Skupiny výsledků

Jméno	Výpis
Všechny MSU	MSÚ-Sada B (auto) - EN-MSÚ (STR/GEO) Soubor B
Všechny MSP	MSP-Char (auto) - EN-MSP charakteristická
Vše MSÚ+MSP	MSÚ-Sada B (auto) - EN-MSÚ (STR/GEO) Soubor B MSP-Char (auto) - EN-MSP charakteristická

30. Reakce

Lineární výpočet
 Kombinace: MSÚ-Sada B (auto)
 Systém: Globální
 Extrém: Dílec
 Výběr: Vše
Uzlové reakce

Jméno	Stav	R _x [kN]	R _y [kN]	R _z [kN]
Sn1/N1	MSÚ-Sada B (auto)/1	-0,84	1,17	3,87
Sn1/N1	MSÚ-Sada B (auto)/2	1,19	-2,93	11,03
Sn1/N1	MSÚ-Sada B (auto)/3	0,69	-3,21	11,12
Sn1/N1	MSÚ-Sada B (auto)/4	0,99	2,73	5,12
Sn1/N1	MSÚ-Sada B (auto)/5	1,18	-0,76	3,55
Sn1/N1	MSÚ-Sada B (auto)/6	0,50	0,28	12,68
Sn2/N3	MSÚ-Sada B (auto)/7	-1,03	-0,72	13,14
Sn2/N3	MSÚ-Sada B (auto)/8	1,45	0,52	13,47
Sn2/N3	MSÚ-Sada B (auto)/9	-0,60	-1,24	13,29
Sn2/N3	MSÚ-Sada B (auto)/10	0,84	0,97	2,48
Sn2/N3	MSÚ-Sada B (auto)/2	1,21	-0,60	18,00
Sn3/N7	MSÚ-Sada B (auto)/11	-1,56	0,53	7,28
Sn3/N7	MSÚ-Sada B (auto)/12	1,80	0,79	15,12
Sn3/N7	MSÚ-Sada B (auto)/13	0,25	-2,86	9,73
Sn3/N7	MSÚ-Sada B (auto)/14	0,44	2,98	8,71
Sn3/N7	MSÚ-Sada B (auto)/15	-1,12	1,64	0,46
Sn3/N7	MSÚ-Sada B (auto)/16	1,12	0,79	16,52
Sn4/N11	MSÚ-Sada B (auto)/17	0,16	-1,26	14,90
Sn4/N11	MSÚ-Sada B (auto)/9	-0,09	-1,66	15,21
Sn4/N11	MSÚ-Sada B (auto)/10	0,00	1,66	0,53
Sn4/N11	MSÚ-Sada B (auto)/18	0,00	-0,62	22,14
Sn5/N13	MSÚ-Sada B (auto)/19	-1,92	-0,23	13,23
Sn5/N13	MSÚ-Sada B (auto)/20	1,56	-0,10	4,46
Sn5/N13	MSÚ-Sada B (auto)/13	0,11	-3,39	5,77
Sn5/N13	MSÚ-Sada B (auto)/14	0,29	2,91	7,04
Sn5/N13	MSÚ-Sada B (auto)/21	1,30	1,71	1,00

Jméno	Stav	R _x [kN]	R _y [kN]	R _z [kN]
Sn5/N13	MSÚ-Sada B (auto)/22	-1,31	-0,12	13,74
Sn6/N17	MSÚ-Sada B (auto)/17	0,15	-1,05	11,65
Sn6/N17	MSÚ-Sada B (auto)/9	-0,09	-1,05	11,67
Sn6/N17	MSÚ-Sada B (auto)/10	0,00	1,38	0,42
Sn6/N17	MSÚ-Sada B (auto)/18	0,00	-0,51	17,20
Sn7/N19	MSÚ-Sada B (auto)/23	-0,07	-0,18	9,67
Sn7/N19	MSÚ-Sada B (auto)/17	0,12	-0,12	7,57
Sn7/N19	MSÚ-Sada B (auto)/24	0,00	-3,29	7,60
Sn7/N19	MSÚ-Sada B (auto)/25	0,00	2,85	5,83
Sn7/N19	MSÚ-Sada B (auto)/5	0,00	-1,07	2,18
Sn7/N19	MSÚ-Sada B (auto)/26	0,00	0,38	12,40
Sn8/N23	MSÚ-Sada B (auto)/17	0,15	-1,05	11,61
Sn8/N23	MSÚ-Sada B (auto)/9	-0,09	-1,05	11,64
Sn8/N23	MSÚ-Sada B (auto)/10	0,00	1,38	0,42
Sn8/N23	MSÚ-Sada B (auto)/18	0,00	-0,51	17,15
Sn9/N25	MSÚ-Sada B (auto)/23	-0,07	-0,16	9,68
Sn9/N25	MSÚ-Sada B (auto)/17	0,12	-0,08	7,60
Sn9/N25	MSÚ-Sada B (auto)/24	0,00	-3,19	7,66
Sn9/N25	MSÚ-Sada B (auto)/25	0,00	2,82	5,81
Sn9/N25	MSÚ-Sada B (auto)/5	0,00	-1,12	2,15
Sn9/N25	MSÚ-Sada B (auto)/26	0,00	0,45	12,44
Sn10/N29	MSÚ-Sada B (auto)/17	0,15	-1,05	11,59
Sn10/N29	MSÚ-Sada B (auto)/9	-0,09	-1,05	11,63
Sn10/N29	MSÚ-Sada B (auto)/10	0,00	1,38	0,43
Sn10/N29	MSÚ-Sada B (auto)/18	0,00	-0,51	17,12
Sn11/N31	MSÚ-Sada B (auto)/11	-0,07	-0,17	7,61
Sn11/N31	MSÚ-Sada B (auto)/12	0,12	-0,02	9,71
Sn11/N31	MSÚ-Sada B (auto)/13	0,00	-3,12	6,10
Sn11/N31	MSÚ-Sada B (auto)/14	0,00	2,79	7,41
Sn11/N31	MSÚ-Sada B (auto)/5	0,00	-1,15	2,13
Sn11/N31	MSÚ-Sada B (auto)/26	0,00	0,50	12,47
Sn12/N35	MSÚ-Sada B (auto)/17	0,15	-1,05	11,56
Sn12/N35	MSÚ-Sada B (auto)/9	-0,09	-1,05	11,63
Sn12/N35	MSÚ-Sada B (auto)/10	0,00	1,38	0,45
Sn12/N35	MSÚ-Sada B (auto)/22	-0,05	-0,63	17,10
Sn13/N37	MSÚ-Sada B (auto)/27	-1,78	-0,14	4,11
Sn13/N37	MSÚ-Sada B (auto)/28	1,76	0,02	13,10
Sn13/N37	MSÚ-Sada B (auto)/13	-0,14	-3,06	5,96
Sn13/N37	MSÚ-Sada B (auto)/14	0,19	2,77	7,72
Sn13/N37	MSÚ-Sada B (auto)/15	-1,11	1,44	1,10
Sn13/N37	MSÚ-Sada B (auto)/16	1,13	0,03	13,54
Sn14/N41	MSÚ-Sada B (auto)/17	0,15	-1,05	11,54
Sn14/N41	MSÚ-Sada B (auto)/9	-0,12	-1,05	11,67
Sn14/N41	MSÚ-Sada B (auto)/10	0,00	1,38	0,48
Sn14/N41	MSÚ-Sada B (auto)/22	-0,07	-0,63	17,12
Sn15/N43	MSÚ-Sada B (auto)/19	-2,04	0,02	13,56
Sn15/N43	MSÚ-Sada B (auto)/20	1,54	-0,08	4,55
Sn15/N43	MSÚ-Sada B (auto)/13	-0,24	-3,01	6,61
Sn15/N43	MSÚ-Sada B (auto)/14	0,03	2,72	7,34
Sn15/N43	MSÚ-Sada B (auto)/21	1,39	1,43	0,66
Sn15/N43	MSÚ-Sada B (auto)/22	-1,34	0,04	13,89
Sn16/N47	MSÚ-Sada B (auto)/17	0,15	-1,05	11,65
Sn16/N47	MSÚ-Sada B (auto)/9	-0,15	-1,05	11,55
Sn16/N47	MSÚ-Sada B (auto)/10	0,00	1,38	0,52
Sn16/N47	MSÚ-Sada B (auto)/16	0,09	-0,63	17,10
Sn17/N49	MSÚ-Sada B (auto)/19	-0,12	0,04	10,58
Sn17/N49	MSÚ-Sada B (auto)/20	0,09	-0,08	6,83
Sn17/N49	MSÚ-Sada B (auto)/29	0,00	-3,00	6,95
Sn17/N49	MSÚ-Sada B (auto)/30	0,00	2,67	6,56
Sn17/N49	MSÚ-Sada B (auto)/5	0,00	-1,16	2,13
Sn17/N49	MSÚ-Sada B (auto)/26	0,00	0,55	12,50
Sn18/N53	MSÚ-Sada B (auto)/17	0,11	-1,05	11,59
Sn18/N53	MSÚ-Sada B (auto)/9	-0,15	-1,05	11,56
Sn18/N53	MSÚ-Sada B (auto)/10	0,00	1,38	0,53
Sn18/N53	MSÚ-Sada B (auto)/16	0,06	-0,63	17,04
Sn19/N55	MSÚ-Sada B (auto)/23	-0,12	0,05	9,82

Jméno	Stav	R _x [kN]	R _y [kN]	R _z [kN]
Sn19/N55	MSÚ-Sada B (auto)/17	0,07	-0,05	7,62
Sn19/N55	MSÚ-Sada B (auto)/29	0,00	-2,99	6,95
Sn19/N55	MSÚ-Sada B (auto)/30	0,00	2,63	6,53
Sn19/N55	MSÚ-Sada B (auto)/5	0,00	-1,13	2,14
Sn19/N55	MSÚ-Sada B (auto)/26	0,00	0,53	12,49
Sn20/N59	MSÚ-Sada B (auto)/17	0,09	-1,05	11,58
Sn20/N59	MSÚ-Sada B (auto)/9	-0,15	-1,05	11,57
Sn20/N59	MSÚ-Sada B (auto)/10	0,00	1,38	0,57
Sn20/N59	MSÚ-Sada B (auto)/16	0,05	-0,63	17,01
Sn21/N61	MSÚ-Sada B (auto)/23	-0,12	-0,01	9,59
Sn21/N61	MSÚ-Sada B (auto)/17	0,07	-0,10	7,47
Sn21/N61	MSÚ-Sada B (auto)/29	0,00	-3,05	6,84
Sn21/N61	MSÚ-Sada B (auto)/30	0,00	2,56	6,47
Sn21/N61	MSÚ-Sada B (auto)/5	0,00	-1,06	2,24
Sn21/N61	MSÚ-Sada B (auto)/26	0,00	0,39	12,22
Sn22/N65	MSÚ-Sada B (auto)/17	0,09	-1,05	11,45
Sn22/N65	MSÚ-Sada B (auto)/9	-0,15	-1,05	11,45
Sn22/N65	MSÚ-Sada B (auto)/10	0,00	1,38	0,68
Sn22/N65	MSÚ-Sada B (auto)/18	0,00	-0,51	16,77
Sn23/N67	MSÚ-Sada B (auto)/9	-2,07	-0,30	5,88
Sn23/N67	MSÚ-Sada B (auto)/31	1,72	1,13	9,56
Sn23/N67	MSÚ-Sada B (auto)/3	-0,49	-3,37	10,55
Sn23/N67	MSÚ-Sada B (auto)/4	-0,14	2,79	4,47
Sn23/N67	MSÚ-Sada B (auto)/15	-1,04	1,73	2,26
Sn23/N67	MSÚ-Sada B (auto)/16	0,88	-0,45	14,37
Sn24/N71	MSÚ-Sada B (auto)/9	-0,15	-1,05	12,32
Sn24/N71	MSÚ-Sada B (auto)/17	0,09	-1,10	12,39
Sn24/N71	MSÚ-Sada B (auto)/10	0,00	1,38	2,31
Sn24/N71	MSÚ-Sada B (auto)/18	0,00	-0,51	17,14
Sn25/N73	MSÚ-Sada B (auto)/19	-2,56	-0,97	10,96
Sn25/N73	MSÚ-Sada B (auto)/3	-0,91	-4,12	9,26
Sn25/N73	MSÚ-Sada B (auto)/4	-0,29	3,08	5,63
Sn25/N73	MSÚ-Sada B (auto)/32	1,72	1,50	1,23
Sn25/N73	MSÚ-Sada B (auto)/33	-1,35	0,01	11,24
Sn26/N77	MSÚ-Sada B (auto)/9	-0,15	-1,05	11,34
Sn26/N77	MSÚ-Sada B (auto)/17	0,09	-1,49	11,67
Sn26/N77	MSÚ-Sada B (auto)/10	0,00	1,38	1,55
Sn26/N77	MSÚ-Sada B (auto)/2	0,00	-0,86	16,23
Sn27/N79	MSÚ-Sada B (auto)/34	1,38	-0,41	36,29
Sn27/N79	MSÚ-Sada B (auto)/13	-0,18	-2,45	23,93
Sn27/N79	MSÚ-Sada B (auto)/14	-0,49	3,29	22,57
Sn27/N79	MSÚ-Sada B (auto)/5	-0,82	-0,09	8,43
Sn27/N79	MSÚ-Sada B (auto)/26	0,42	0,99	42,51
Sn28/N83	MSÚ-Sada B (auto)/8	-1,45	0,37	27,58
Sn28/N83	MSÚ-Sada B (auto)/35	1,03	-0,57	27,75
Sn28/N83	MSÚ-Sada B (auto)/17	0,60	-0,94	27,89
Sn28/N83	MSÚ-Sada B (auto)/10	-0,84	0,69	4,78
Sn28/N83	MSÚ-Sada B (auto)/18	-0,73	-0,26	42,61
Sn29/N109	MSÚ-Sada B (auto)/9	-0,09	1,84	11,92
Sn29/N109	MSÚ-Sada B (auto)/17	0,17	1,29	11,75
Sn29/N109	MSÚ-Sada B (auto)/36	0,00	-1,61	2,78
Sn29/N109	MSÚ-Sada B (auto)/37	0,00	0,53	17,25
Sn30/N107	MSÚ-Sada B (auto)/19	-2,31	1,04	1,82
Sn30/N107	MSÚ-Sada B (auto)/20	1,86	-0,04	9,49
Sn30/N107	MSÚ-Sada B (auto)/5	0,16	-2,05	8,13
Sn30/N107	MSÚ-Sada B (auto)/6	-0,15	3,53	3,35
Sn30/N107	MSÚ-Sada B (auto)/23	-2,30	0,98	0,99
Sn30/N107	MSÚ-Sada B (auto)/38	1,71	-0,99	11,35
Sn31/N112	MSÚ-Sada B (auto)/1	-0,88	-1,12	2,27
Sn31/N112	MSÚ-Sada B (auto)/33	1,05	5,68	30,72
Sn31/N112	MSÚ-Sada B (auto)/6	0,53	6,23	30,79
Sn31/N112	MSÚ-Sada B (auto)/5	0,53	-3,38	1,40
Sn31/N112	MSÚ-Sada B (auto)/26	0,33	5,56	34,07
Sn33/N116	MSÚ-Sada B (auto)/7	-1,05	0,79	11,37
Sn33/N116	MSÚ-Sada B (auto)/39	1,49	-0,48	11,22
Sn33/N116	MSÚ-Sada B (auto)/9	-0,62	1,32	11,43

Jméno	Stav	R _x [kN]	R _y [kN]	R _z [kN]
Sn33/N116	MSÚ-Sada B (auto)/36	0,87	-0,94	3,87
Sn33/N116	MSÚ-Sada B (auto)/37	0,74	0,31	15,22
Sn34/N119	MSÚ-Sada B (auto)/33	1,33	2,18	17,65
Sn34/N119	MSÚ-Sada B (auto)/5	1,11	-1,72	4,54
Sn34/N119	MSÚ-Sada B (auto)/6	0,78	2,64	17,65
Sn34/N119	MSÚ-Sada B (auto)/1	-0,94	-0,71	3,02
Sn34/N119	MSÚ-Sada B (auto)/18	0,67	0,19	19,27
Sn35/N122	MSÚ-Sada B (auto)/19	-2,81	-6,41	22,82
Sn35/N122	MSÚ-Sada B (auto)/20	2,11	-3,69	14,38
Sn35/N122	MSÚ-Sada B (auto)/18	-0,46	-7,37	26,96
Sn35/N122	MSÚ-Sada B (auto)/10	0,27	2,02	4,36
Sn35/N122	MSÚ-Sada B (auto)/1	-1,72	-0,61	3,70
Sn35/N122	MSÚ-Sada B (auto)/16	1,02	-7,22	27,24
Sn36/N124	MSÚ-Sada B (auto)/9	-0,09	1,14	12,13
Sn36/N124	MSÚ-Sada B (auto)/17	0,15	1,07	12,07
Sn36/N124	MSÚ-Sada B (auto)/36	0,00	-1,34	1,99
Sn36/N124	MSÚ-Sada B (auto)/22	-0,06	0,68	20,76
Sn38/N129	MSÚ-Sada B (auto)/19	-2,50	-0,04	14,23
Sn38/N129	MSÚ-Sada B (auto)/5	0,13	-2,49	6,22
Sn38/N129	MSÚ-Sada B (auto)/6	-0,42	4,00	8,06
Sn38/N129	MSÚ-Sada B (auto)/21	1,76	-1,77	1,84
Sn39/N131	MSÚ-Sada B (auto)/9	-0,09	1,07	8,97
Sn39/N131	MSÚ-Sada B (auto)/17	0,15	1,07	9,02
Sn39/N131	MSÚ-Sada B (auto)/29	0,00	-1,34	7,99
Sn39/N131	MSÚ-Sada B (auto)/5	0,00	-0,69	2,05
Sn39/N131	MSÚ-Sada B (auto)/40	0,04	0,18	13,52
Sn40/N134	MSÚ-Sada B (auto)/19	-0,10	2,80	19,33
Sn40/N134	MSÚ-Sada B (auto)/20	0,08	1,59	9,78
Sn40/N134	MSÚ-Sada B (auto)/6	-0,01	5,54	20,45
Sn40/N134	MSÚ-Sada B (auto)/5	0,00	-3,02	-1,87
Sn40/N134	MSÚ-Sada B (auto)/26	-0,02	5,16	24,82
Sn41/N136	MSÚ-Sada B (auto)/27	-0,11	-3,52	13,63
Sn41/N136	MSÚ-Sada B (auto)/28	0,19	-6,10	22,73
Sn41/N136	MSÚ-Sada B (auto)/18	0,00	-7,21	26,41
Sn41/N136	MSÚ-Sada B (auto)/10	0,00	2,19	3,32
Sn41/N136	MSÚ-Sada B (auto)/4	0,00	1,40	3,25
Sn41/N136	MSÚ-Sada B (auto)/41	0,00	-6,49	26,73
Sn42/N138	MSÚ-Sada B (auto)/9	-0,09	1,07	11,91
Sn42/N138	MSÚ-Sada B (auto)/17	0,15	1,07	11,93
Sn42/N138	MSÚ-Sada B (auto)/36	0,00	-1,34	1,83
Sn42/N138	MSÚ-Sada B (auto)/16	0,09	0,64	20,60
Sn44/N143	MSÚ-Sada B (auto)/27	-0,11	-0,39	7,04
Sn44/N143	MSÚ-Sada B (auto)/28	0,19	0,24	9,29
Sn44/N143	MSÚ-Sada B (auto)/5	0,00	-2,51	6,39
Sn44/N143	MSÚ-Sada B (auto)/6	0,00	4,09	6,95
Sn44/N143	MSÚ-Sada B (auto)/10	0,00	1,99	3,36
Sn44/N143	MSÚ-Sada B (auto)/42	0,00	0,27	10,34
Sn45/N145	MSÚ-Sada B (auto)/9	-0,09	1,07	9,00
Sn45/N145	MSÚ-Sada B (auto)/17	0,15	1,07	8,99
Sn45/N145	MSÚ-Sada B (auto)/29	0,00	-1,34	7,98
Sn45/N145	MSÚ-Sada B (auto)/5	0,00	-0,69	2,03
Sn45/N145	MSÚ-Sada B (auto)/41	0,00	0,18	13,53
Sn46/N148	MSÚ-Sada B (auto)/27	-0,08	1,59	9,60
Sn46/N148	MSÚ-Sada B (auto)/28	0,08	3,02	19,18
Sn46/N148	MSÚ-Sada B (auto)/6	0,00	5,71	20,35
Sn46/N148	MSÚ-Sada B (auto)/5	0,00	-3,07	-2,07
Sn46/N148	MSÚ-Sada B (auto)/26	0,00	5,39	24,75
Sn47/N150	MSÚ-Sada B (auto)/19	-2,32	-6,11	17,45
Sn47/N150	MSÚ-Sada B (auto)/20	1,79	-3,59	17,86
Sn47/N150	MSÚ-Sada B (auto)/18	-0,33	-7,24	25,70
Sn47/N150	MSÚ-Sada B (auto)/10	0,21	2,12	4,11
Sn47/N150	MSÚ-Sada B (auto)/15	-1,41	-1,25	0,36
Sn47/N150	MSÚ-Sada B (auto)/16	0,95	-7,08	28,90
Sn48/N152	MSÚ-Sada B (auto)/9	-0,13	1,07	12,02
Sn48/N152	MSÚ-Sada B (auto)/17	0,15	1,07	11,99
Sn48/N152	MSÚ-Sada B (auto)/36	0,00	-1,34	1,90

Jméno	Stav	R _x [kN]	R _y [kN]	R _z [kN]
Sn48/N152	MSÚ-Sada B (auto)/22	-0,08	0,64	20,70
Sn50/N157	MSÚ-Sada B (auto)/19	-2,45	0,18	15,10
Sn50/N157	MSÚ-Sada B (auto)/20	1,75	-0,37	3,17
Sn50/N157	MSÚ-Sada B (auto)/5	0,08	-2,51	6,35
Sn50/N157	MSÚ-Sada B (auto)/6	-0,35	4,06	7,90
Sn50/N157	MSÚ-Sada B (auto)/32	1,73	-0,86	1,07
Sn51/N159	MSÚ-Sada B (auto)/9	-0,15	1,07	8,98
Sn51/N159	MSÚ-Sada B (auto)/17	0,15	1,07	9,03
Sn51/N159	MSÚ-Sada B (auto)/29	0,00	-1,34	8,00
Sn51/N159	MSÚ-Sada B (auto)/5	0,00	-0,69	2,04
Sn51/N159	MSÚ-Sada B (auto)/40	0,04	0,18	13,55
Sn52/N162	MSÚ-Sada B (auto)/19	-0,10	2,89	19,32
Sn52/N162	MSÚ-Sada B (auto)/20	0,08	1,65	9,81
Sn52/N162	MSÚ-Sada B (auto)/6	-0,01	5,66	20,53
Sn52/N162	MSÚ-Sada B (auto)/5	0,00	-3,06	-1,90
Sn52/N162	MSÚ-Sada B (auto)/26	-0,02	5,33	24,93
Sn53/N164	MSÚ-Sada B (auto)/27	-0,19	-3,51	13,63
Sn53/N164	MSÚ-Sada B (auto)/28	0,14	-6,13	22,75
Sn53/N164	MSÚ-Sada B (auto)/18	0,00	-7,23	26,42
Sn53/N164	MSÚ-Sada B (auto)/10	0,00	2,17	3,32
Sn53/N164	MSÚ-Sada B (auto)/4	0,00	1,38	3,26
Sn53/N164	MSÚ-Sada B (auto)/41	-0,04	-6,51	26,74
Sn54/N166	MSÚ-Sada B (auto)/9	-0,15	1,07	11,91
Sn54/N166	MSÚ-Sada B (auto)/17	0,11	1,07	11,92
Sn54/N166	MSÚ-Sada B (auto)/36	0,00	-1,34	1,84
Sn54/N166	MSÚ-Sada B (auto)/16	0,07	0,64	20,59
Sn56/N171	MSÚ-Sada B (auto)/27	-0,19	-0,45	7,14
Sn56/N171	MSÚ-Sada B (auto)/28	0,11	0,07	9,61
Sn56/N171	MSÚ-Sada B (auto)/5	0,00	-2,46	6,31
Sn56/N171	MSÚ-Sada B (auto)/6	0,00	3,89	7,32
Sn56/N171	MSÚ-Sada B (auto)/10	0,00	1,92	3,49
Sn56/N171	MSÚ-Sada B (auto)/42	0,00	0,14	10,59
Sn57/N173	MSÚ-Sada B (auto)/9	-0,15	1,07	8,98
Sn57/N173	MSÚ-Sada B (auto)/17	0,09	1,07	8,97
Sn57/N173	MSÚ-Sada B (auto)/29	0,00	-1,34	7,99
Sn57/N173	MSÚ-Sada B (auto)/5	0,00	-0,69	2,04
Sn57/N173	MSÚ-Sada B (auto)/41	-0,04	0,18	13,46
Sn58/N176	MSÚ-Sada B (auto)/27	-0,08	1,48	9,54
Sn58/N176	MSÚ-Sada B (auto)/28	0,08	2,64	18,95
Sn58/N176	MSÚ-Sada B (auto)/6	0,00	5,28	20,08
Sn58/N176	MSÚ-Sada B (auto)/5	0,00	-2,97	-2,02
Sn58/N176	MSÚ-Sada B (auto)/26	0,00	4,83	24,40
Sn59/N178	MSÚ-Sada B (auto)/19	-2,30	-6,34	18,69
Sn59/N178	MSÚ-Sada B (auto)/20	1,76	-3,67	17,20
Sn59/N178	MSÚ-Sada B (auto)/18	-0,30	-7,48	26,04
Sn59/N178	MSÚ-Sada B (auto)/10	0,21	2,09	3,97
Sn59/N178	MSÚ-Sada B (auto)/15	-1,42	-1,23	0,95
Sn59/N178	MSÚ-Sada B (auto)/16	0,99	-7,33	28,71
Sn60/N180	MSÚ-Sada B (auto)/9	-0,15	1,07	12,04
Sn60/N180	MSÚ-Sada B (auto)/17	0,09	1,07	12,02
Sn60/N180	MSÚ-Sada B (auto)/36	0,00	-1,34	1,88
Sn60/N180	MSÚ-Sada B (auto)/22	-0,09	0,64	20,63
Sn62/N185	MSÚ-Sada B (auto)/19	-2,77	-0,36	12,21
Sn62/N185	MSÚ-Sada B (auto)/32	2,07	-0,98	5,54
Sn62/N185	MSÚ-Sada B (auto)/5	0,02	-2,34	6,88
Sn62/N185	MSÚ-Sada B (auto)/6	-0,31	3,36	10,99
Sn62/N185	MSÚ-Sada B (auto)/4	0,22	1,04	4,61
Sn62/N185	MSÚ-Sada B (auto)/43	-0,36	0,27	13,59
Sn63/N187	MSÚ-Sada B (auto)/9	-0,15	1,07	10,66
Sn63/N187	MSÚ-Sada B (auto)/29	0,00	-1,34	10,77
Sn63/N187	MSÚ-Sada B (auto)/17	0,09	1,32	10,71
Sn63/N187	MSÚ-Sada B (auto)/5	0,00	-0,69	2,69
Sn63/N187	MSÚ-Sada B (auto)/26	0,00	0,05	15,39
Sn64/N190	MSÚ-Sada B (auto)/15	-1,15	-1,80	-4,67
Sn64/N190	MSÚ-Sada B (auto)/28	1,92	2,61	28,01
Sn64/N190	MSÚ-Sada B (auto)/5	-0,07	-2,93	-3,23

Projekt RNR

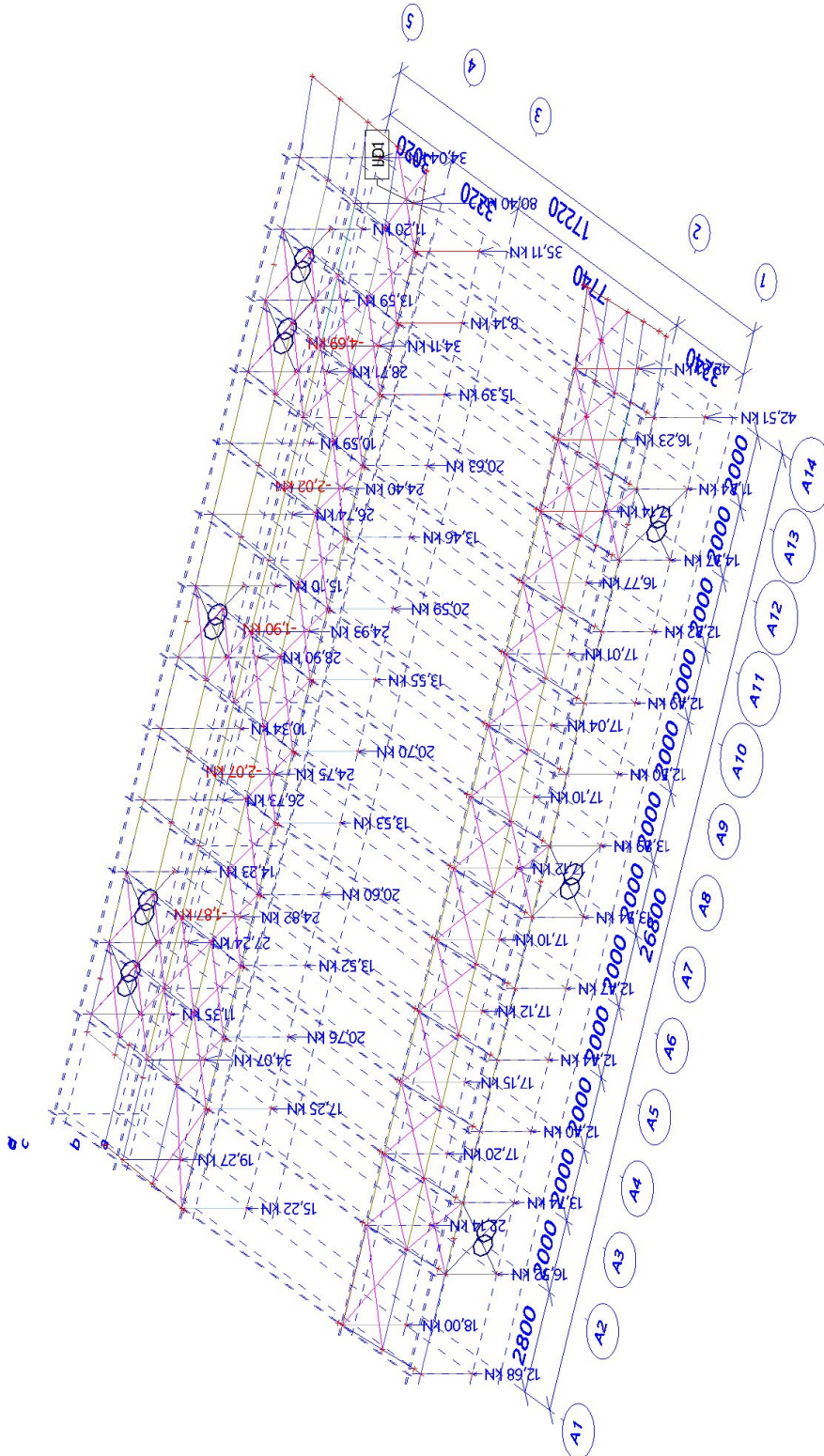
Jméno	Stav	R _x [kN]	R _y [kN]	R _z [kN]
Sn64/N190	MSÚ-Sada B (auto)/6	0,75	4,92	31,57
Sn64/N190	MSÚ-Sada B (auto)/1	-1,14	-1,49	-4,69
Sn64/N190	MSÚ-Sada B (auto)/37	0,82	4,18	34,11
Sn65/N192	MSÚ-Sada B (auto)/19	-2,37	-0,85	11,20
Sn65/N192	MSÚ-Sada B (auto)/20	1,76	-0,75	2,68
Sn65/N192	MSÚ-Sada B (auto)/5	-0,01	-2,23	6,82
Sn65/N192	MSÚ-Sada B (auto)/6	-0,25	2,91	7,49
Sn65/N192	MSÚ-Sada B (auto)/32	1,75	-0,80	2,07
Sn66/N194	MSÚ-Sada B (auto)/9	-0,15	1,07	6,13
Sn66/N194	MSÚ-Sada B (auto)/29	0,00	-1,34	6,58
Sn66/N194	MSÚ-Sada B (auto)/17	0,09	1,53	6,24
Sn66/N194	MSÚ-Sada B (auto)/1	-0,06	0,31	2,72
Sn66/N194	MSÚ-Sada B (auto)/44	0,00	0,44	8,14
Sn68/N199	MSÚ-Sada B (auto)/27	-0,59	-0,93	21,41
Sn68/N199	MSÚ-Sada B (auto)/28	0,86	-0,36	28,71
Sn68/N199	MSÚ-Sada B (auto)/45	-0,20	-1,76	10,93
Sn68/N199	MSÚ-Sada B (auto)/46	-0,07	1,74	25,28
Sn68/N199	MSÚ-Sada B (auto)/4	-0,35	0,51	6,51
Sn68/N199	MSÚ-Sada B (auto)/22	-0,19	-0,58	34,04
Sn69/N201	MSÚ-Sada B (auto)/35	1,05	0,63	22,27
Sn69/N201	MSÚ-Sada B (auto)/29	-0,87	-0,67	21,10
Sn69/N201	MSÚ-Sada B (auto)/17	0,62	1,02	22,24
Sn69/N201	MSÚ-Sada B (auto)/5	-1,49	-0,35	4,90
Sn69/N201	MSÚ-Sada B (auto)/40	0,63	0,38	35,11
Sn70/N204	MSÚ-Sada B (auto)/27	-1,71	0,14	38,64
Sn70/N204	MSÚ-Sada B (auto)/34	3,31	2,68	65,37
Sn70/N204	MSÚ-Sada B (auto)/6	-0,19	4,11	69,34
Sn70/N204	MSÚ-Sada B (auto)/5	-1,28	-2,74	4,21
Sn70/N204	MSÚ-Sada B (auto)/26	0,34	3,33	80,40

Jméno	Klíč kombinace
MSÚ-Sada B (auto)/1	ZS1 + ZS2 + ZS3 + 1.50*3DVítr4
MSÚ-Sada B (auto)/2	1.15*ZS1 + 1.15*ZS2 + 1.15*ZS3 + 0.75*ZS5 + 1.50*ZS6 + 1.50*3DVítr5
MSÚ-Sada B (auto)/3	1.15*ZS1 + 1.15*ZS2 + 1.15*ZS3 + 0.75*ZS5 + 1.50*ZS6 + 1.50*3DVítr6
MSÚ-Sada B (auto)/4	ZS1 + ZS2 + ZS3 + 1.50*3DVítr15
MSÚ-Sada B (auto)/5	ZS1 + ZS2 + ZS3 + 1.50*3DVítr7
MSÚ-Sada B (auto)/6	1.15*ZS1 + 1.15*ZS2 + 1.15*ZS3 + 0.75*ZS5 + 1.50*ZS6 + 1.50*3DVítr14
MSÚ-Sada B (auto)/7	1.15*ZS1 + 1.15*ZS2 + 1.15*ZS3 + 1.50*3DVítr2
MSÚ-Sada B (auto)/8	1.15*ZS1 + 1.15*ZS2 + 1.15*ZS3 + 1.50*3DVítr13
MSÚ-Sada B (auto)/9	1.15*ZS1 + 1.15*ZS2 + 1.15*ZS3 + 1.50*3DVítr1
MSÚ-Sada B (auto)/10	ZS1 + ZS2 + ZS3 + 1.50*3DVítr16
MSÚ-Sada B (auto)/11	ZS1 + ZS2 + ZS3 + 1.50*ZS6 + 1.50*3DVítr1
MSÚ-Sada B (auto)/12	1.15*ZS1 + 1.15*ZS2 + 1.15*ZS3 + 0.75*ZS5 + 1.50*3DVítr9
MSÚ-Sada B (auto)/13	ZS1 + ZS2 + ZS3 + 1.50*3DVítr6
MSÚ-Sada B (auto)/14	1.15*ZS1 + 1.15*ZS2 + 1.15*ZS3 + 0.75*ZS5 + 1.50*ZS6 + 1.50*3DVítr15
MSÚ-Sada B (auto)/15	ZS1 + ZS2 + ZS3 + 1.50*3DVítr3
MSÚ-Sada B (auto)/16	1.15*ZS1 + 1.15*ZS2 + 1.15*ZS3 + 1.50*ZS5 + 1.50*ZS6 + 0.90*3DVítr9
MSÚ-Sada B (auto)/17	1.15*ZS1 + 1.15*ZS2 + 1.15*ZS3 + 1.50*3DVítr9
MSÚ-Sada B (auto)/18	1.15*ZS1 + 1.15*ZS2 + 1.15*ZS3 + 1.50*ZS5 + 1.50*ZS6 + 0.90*3DVítr5
MSÚ-Sada B (auto)/19	1.15*ZS1 + 1.15*ZS2 + 1.15*ZS3 + 0.75*ZS5 + 1.50*ZS6 + 1.50*3DVítr1
MSÚ-Sada B (auto)/20	ZS1 + ZS2 + ZS3 + 1.50*3DVítr9
MSÚ-Sada B (auto)/21	ZS1 + ZS2 + ZS3 + 1.50*3DVítr11
MSÚ-Sada B (auto)/22	1.15*ZS1 + 1.15*ZS2 + 1.15*ZS3 + 1.50*ZS5 + 1.50*ZS6 + 0.90*3DVítr1
MSÚ-Sada B (auto)/23	ZS1 + ZS2 + ZS3 + 0.75*ZS5 + 1.50*ZS6 + 1.50*3DVítr1
MSÚ-Sada B (auto)/24	1.15*ZS1 + 1.15*ZS2 + 1.15*ZS3 + 1.50*ZS6 + 1.50*3DVítr6
MSÚ-Sada B (auto)/25	ZS1 + ZS2 + ZS3 + 0.75*ZS5 + 1.50*3DVítr15

Projekt RNR

Jméno	Klíč kombinace
MSÚ-Sada B (auto)/26	1.15*ZS1 + 1.15*ZS2 + 1.15*ZS3 + 1.50*ZS5 + 1.50*ZS6 + 0.90*3DVítr14
MSÚ-Sada B (auto)/27	ZS1 + ZS2 + ZS3 + 1.50*3DVítr1
MSÚ-Sada B (auto)/28	1.15*ZS1 + 1.15*ZS2 + 1.15*ZS3 + 0.75*ZS5 + 1.50*ZS6 + 1.50*3DVítr9
MSÚ-Sada B (auto)/29	1.15*ZS1 + 1.15*ZS2 + 1.15*ZS3 + 1.50*3DVítr6
MSÚ-Sada B (auto)/30	ZS1 + ZS2 + ZS3 + 0.75*ZS5 + 1.50*ZS6 + 1.50*3DVítr15
MSÚ-Sada B (auto)/31	ZS1 + ZS2 + ZS3 + 0.75*ZS5 + 1.50*ZS6 + 1.50*3DVítr12
MSÚ-Sada B (auto)/32	ZS1 + ZS2 + ZS3 + 1.50*3DVítr12
MSÚ-Sada B (auto)/33	1.15*ZS1 + 1.15*ZS2 + 1.15*ZS3 + 0.75*ZS5 + 1.50*ZS6 + 1.50*3DVítr13
MSÚ-Sada B (auto)/34	1.15*ZS1 + 1.15*ZS2 + 1.15*ZS3 + 0.75*ZS5 + 1.50*ZS6 + 1.50*3DVítr10
MSÚ-Sada B (auto)/35	1.15*ZS1 + 1.15*ZS2 + 1.15*ZS3 + 1.50*3DVítr10
MSÚ-Sada B (auto)/36	ZS1 + ZS2 + ZS3 + 1.50*3DVítr8
MSÚ-Sada B (auto)/37	1.15*ZS1 + 1.15*ZS2 + 1.15*ZS3 + 1.50*ZS5 + 1.50*ZS6 + 0.90*3DVítr13
MSÚ-Sada B (auto)/38	1.15*ZS1 + 1.15*ZS2 + 1.15*ZS3 + 1.50*3DVítr12
MSÚ-Sada B (auto)/39	1.15*ZS1 + 1.15*ZS2 + 1.15*ZS3 + 1.50*3DVítr5
MSÚ-Sada B (auto)/40	1.15*ZS1 + 1.15*ZS2 + 1.15*ZS3 + 1.50*ZS5 + 1.50*ZS6 + 0.90*3DVítr10
MSÚ-Sada B (auto)/41	1.15*ZS1 + 1.15*ZS2 + 1.15*ZS3 + 1.50*ZS5 + 1.50*ZS6 + 0.90*3DVítr2
MSÚ-Sada B (auto)/42	1.35*ZS1 + 1.35*ZS2 + 1.35*ZS3 + 0.75*ZS5 + 1.50*ZS6 + 0.90*3DVítr5
MSÚ-Sada B (auto)/43	1.35*ZS1 + 1.35*ZS2 + 1.35*ZS3 + 0.75*ZS5 + 1.50*ZS6 + 0.90*3DVítr6
MSÚ-Sada B (auto)/44	1.35*ZS1 + 1.35*ZS2 + 1.35*ZS3 + 0.75*ZS5 + 1.50*ZS6 + 0.90*3DVítr13
MSÚ-Sada B (auto)/45	1.15*ZS1 + 1.15*ZS2 + 1.15*ZS3 + 1.50*3DVítr7
MSÚ-Sada B (auto)/46	ZS1 + ZS2 + ZS3 + 0.75*ZS5 + 1.50*ZS6 + 1.50*3DVítr14

31. Reakce; R_z

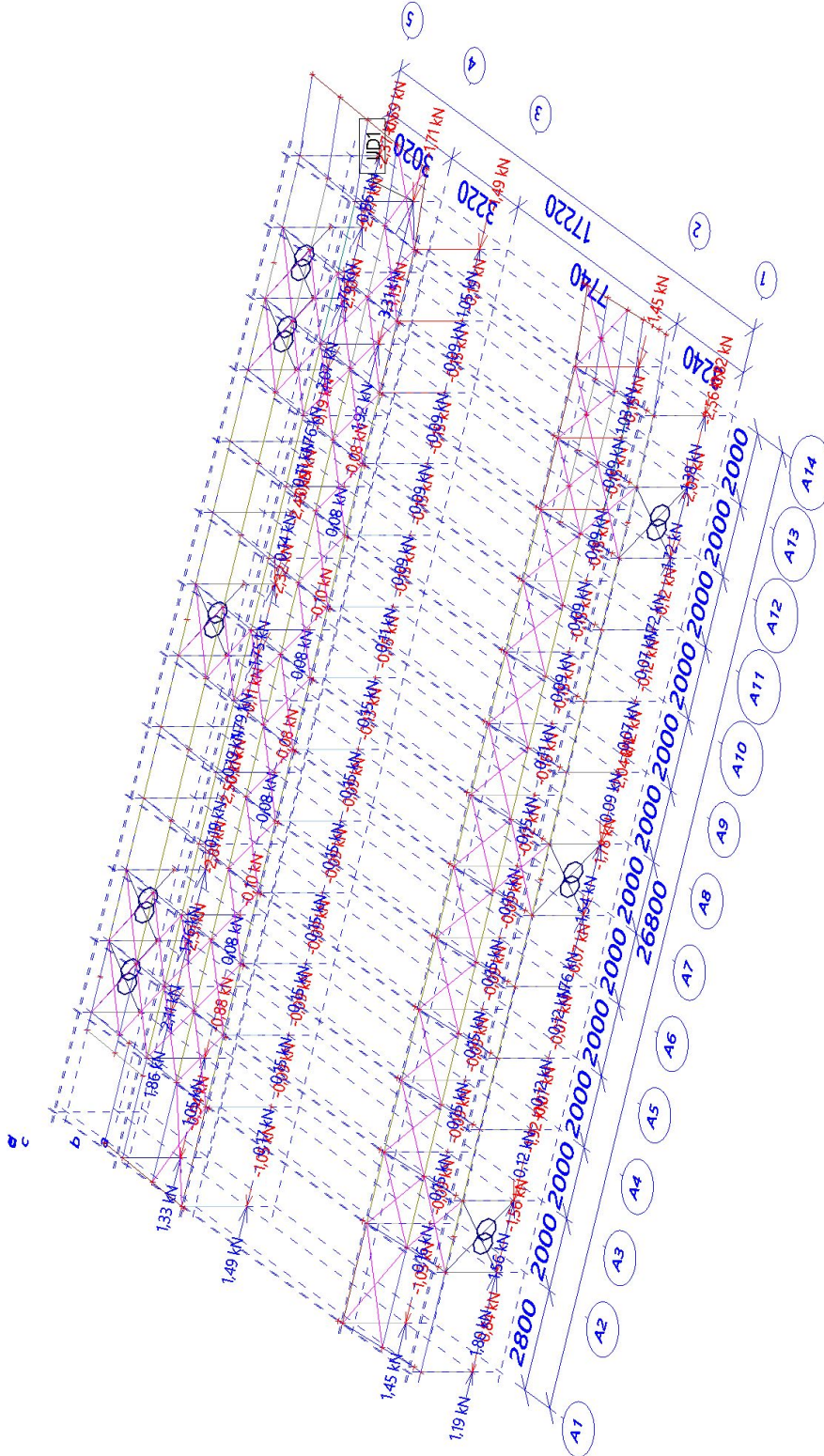


Hodnoty: R_z
Lineární výpočet
Kombinace: MSÚ-Sada B (auto)
Systém: Globální
Extrém: Dílec
Výběr: Vše

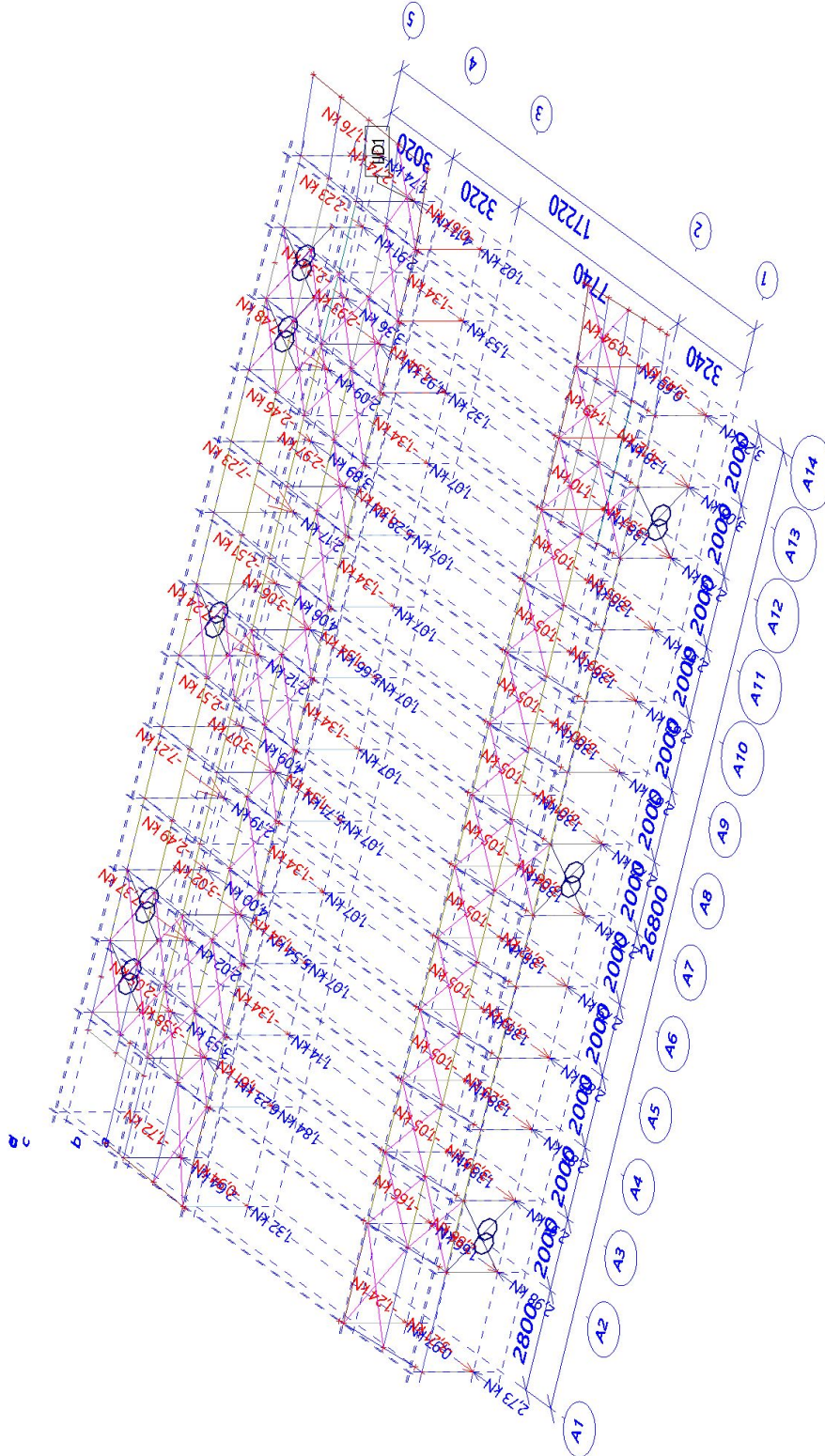


32. Reakce; R_x

Hodnoty: **R_x**
Lineární výpočet
Kombinace: MSÚ-Sada B (auto)
Systém: Globální
Extrém: Dílec
Výběr: Vše



33. Reakce; R_y



Hodnoty: R_y
Lineární výpočet
Kombinace: MSÚ-Sada B (auto)
Systém: Globální
Extrém: Dílec
Výběr: Vše

34. 1D vnitřní síly

Lineární výpočet

Kombinace: MSÚ-Sada B (auto)

Souřadný systém: Hlavní

Extrém 1D: Průřez

Výběr: Vše

Jméno	dx [m]	Stav	Průřez	N [kN]	V _y [kN]	V _z [kN]	M _x [kNm]	M _y [kNm]	M _z [kNm]
B53	0,000	MSÚ-Sada B (auto)/1	SLOUP1 - RHS200/120/8.0	-42,51	-0,42	-0,99	0,00	0,00	0,00
B138	2,505	MSÚ-Sada B (auto)/2	SLOUP1 - RHS200/120/8.0	2,89	-0,95	-1,38	0,00	-0,17	0,00
B122	0,000	MSÚ-Sada B (auto)/3	SLOUP1 - RHS200/120/8.0	-14,38	-2,11	3,69	0,00	0,00	0,00
B122	0,000	MSÚ-Sada B (auto)/4	SLOUP1 - RHS200/120/8.0	-22,82	2,81	6,41	0,00	0,00	0,00
B134	0,000	MSÚ-Sada B (auto)/5	SLOUP1 - RHS200/120/8.0	-6,95	0,00	-4,09	0,00	0,00	0,00
B154	0,000	MSÚ-Sada B (auto)/6	SLOUP1 - RHS200/120/8.0	-26,04	0,30	7,48	0,00	0,00	0,00
B114	2,505	MSÚ-Sada B (auto)/5	SLOUP1 - RHS200/120/8.0	1,62	0,47	-1,84	0,00	-6,69	-0,08
B154	2,505	MSÚ-Sada B (auto)/7	SLOUP1 - RHS200/120/8.0	-20,77	-0,19	6,67	0,00	16,94	-0,02
B158	1,000-	MSÚ-Sada B (auto)/8	SLOUP1 - RHS200/120/8.0	-3,57	-2,07	0,63	0,00	0,83	-2,07
B122	1,000+	MSÚ-Sada B (auto)/4	SLOUP1 - RHS200/120/8.0	-20,52	-1,77	5,31	0,00	5,89	2,76
B7	0,000	MSÚ-Sada B (auto)/6	SLOUP4 - Obecný průřez	-22,14	0,00	-0,62	0,00	0,00	0,00
B7	1,993	MSÚ-Sada B (auto)/9	SLOUP4 - Obecný průřez	3,64	0,00	-1,66	0,00	0,00	0,00
B7	0,000	MSÚ-Sada B (auto)/9	SLOUP4 - Obecný průřez	-0,53	0,00	1,66	0,00	0,00	0,00
B2	1,993	MSÚ-Sada B (auto)/10	SLOUP4 - Obecný průřez	-7,71	-1,32	-0,53	-0,02	0,00	0,00
B2	0,000	MSÚ-Sada B (auto)/10	SLOUP4 - Obecný průřez	-13,47	1,45	0,52	0,02	0,00	0,00
B7	0,997	MSÚ-Sada B (auto)/11	SLOUP4 - Obecný průřez	-12,82	0,00	0,01	0,00	-0,83	-0,04
B7	0,997	MSÚ-Sada B (auto)/9	SLOUP4 - Obecný průřez	1,55	0,00	0,00	0,00	0,83	0,00
B2	0,997	MSÚ-Sada B (auto)/12	SLOUP4 - Obecný průřez	-10,18	0,00	0,00	0,00	-0,35	-0,51
B2	0,997	MSÚ-Sada B (auto)/10	SLOUP4 - Obecný průřez	-10,51	0,00	0,00	0,00	0,26	0,72
B10	0,000	MSÚ-Sada B (auto)/9	PRÍČEL4 - Iw (300,00; 8,00; 120,00; 12,00; 276,00; 0,00)	-2,64	-0,01	0,92	0,00	-3,95	0,00
B10	0,000	MSÚ-Sada B (auto)/4	PRÍČEL4 - Iw (300,00; 8,00; 120,00; 12,00; 276,00; 0,00)	2,94	0,02	5,03	0,00	1,75	0,00
B8	0,335	MSÚ-Sada B (auto)/13	PRÍČEL4 - Iw (300,00; 8,00; 120,00; 12,00; 276,00; 0,00)	-0,29	0,01	-1,71	0,00	0,58	0,00
B8	0,000	MSÚ-Sada B (auto)/1	PRÍČEL4 - Iw (300,00; 8,00; 120,00; 12,00; 276,00; 0,00)	-0,74	0,00	9,18	0,00	-1,82	0,00
B3	0,000	MSÚ-Sada B (auto)/7	PRÍČEL4 - Iw (300,00; 8,00; 120,00; 12,00; 276,00; 0,00)	1,31	0,01	4,72	-0,01	2,85	0,00

Projekt RNR

Jméno	dx [m]	Stav	Průřez	N [kN]	V _y [kN]	V _z [kN]	M _x [kNm]	M _y [kNm]	M _z [kNm]
B46	0,000	MSÚ-Sada B (auto)/4	PRÍČEL4 - Iw (300,00; 8,00; 120,00; 12,00; 276,00; 0,00)	1,27	0,05	5,73	0,00	1,23	0,00
B10	0,000	MSÚ-Sada B (auto)/14	PRÍČEL4 - Iw (300,00; 8,00; 120,00; 12,00; 276,00; 0,00)	-2,50	0,00	3,35	0,00	-3,96	0,00
B3	0,335	MSÚ-Sada B (auto)/15	PRÍČEL4 - Iw (300,00; 8,00; 120,00; 12,00; 276,00; 0,00)	2,16	0,02	3,97	-0,01	5,48	0,01
B46	0,335	MSÚ-Sada B (auto)/16	PRÍČEL4 - Iw (300,00; 8,00; 120,00; 12,00; 276,00; 0,00)	0,92	-0,08	2,30	0,00	-0,34	-0,03
B46	0,335	MSÚ-Sada B (auto)/17	PRÍČEL4 - Iw (300,00; 8,00; 120,00; 12,00; 276,00; 0,00)	1,12	0,06	3,24	0,00	2,37	0,02
B55	0,000	MSÚ-Sada B (auto)/14	PRÍČEL5 - Iw (300,00; 8,00; 120,00; 12,00; 276,00; 0,00)	-4,08	-0,31	9,13	-0,02	-2,79	0,04
B55	2,929	MSÚ-Sada B (auto)/18	PRÍČEL5 - Iw (300,00; 8,00; 120,00; 12,00; 276,00; 0,00)	5,85	-0,25	-17,69	-0,02	0,00	0,00
B55	0,000	MSÚ-Sada B (auto)/16	PRÍČEL5 - Iw (300,00; 8,00; 120,00; 12,00; 276,00; 0,00)	-1,35	-0,97	7,97	-0,02	-0,19	0,15
B55	2,929	MSÚ-Sada B (auto)/6	PRÍČEL5 - Iw (300,00; 8,00; 120,00; 12,00; 276,00; 0,00)	5,75	-0,30	-20,59	-0,02	0,00	0,00
B55	0,000	MSÚ-Sada B (auto)/1	PRÍČEL5 - Iw (300,00; 8,00; 120,00; 12,00; 276,00; 0,00)	-2,85	-0,42	21,08	-0,04	3,35	0,07
B55	0,000	MSÚ-Sada B (auto)/19	PRÍČEL5 - Iw (300,00; 8,00; 120,00; 12,00; 276,00; 0,00)	-1,16	-0,91	20,01	-0,04	4,87	0,16
B51	2,112+	MSÚ-Sada B (auto)/1	PRÍČEL5 - Iw (300,00; 8,00; 120,00; 12,00; 276,00; 0,00)	0,48	-0,19	-10,11	0,02	8,00	0,13
B6	1,296-	MSÚ-Sada B (auto)/9	PRÍČEL5 - Iw (300,00; 8,00; 120,00; 12,00; 276,00; 0,00)	-1,97	-0,01	-0,80	0,00	-4,28	-0,01
B55	1,296+	MSÚ-Sada B (auto)/6	PRÍČEL5 - Iw (300,00; 8,00; 120,00; 12,00; 276,00; 0,00)	4,65	0,09	-7,32	-0,03	21,68	0,07
B51	0,648+	MSÚ-Sada B (auto)/20	PRÍČEL5 - Iw (300,00; 8,00; 120,00; 12,00; 276,00; 0,00)	1,73	1,42	-0,13	0,00	12,87	-0,49
B51	1,296-	MSÚ-Sada B (auto)/4	PRÍČEL5 - Iw (300,00; 8,00; 120,00; 12,00; 276,00; 0,00)	2,55	1,43	-0,82	0,00	11,57	0,45
B56	0,000	MSÚ-Sada B (auto)/6	SLOUP6 - Obecný průřez	-42,61	-0,73	-0,26	-0,01	0,00	0,00

Projekt RNR

Jméno	dx [m]	Stav	Průřez	N [kN]	V _y [kN]	V _z [kN]	M _x [kNm]	M _y [kNm]	M _z [kNm]
B52	1,993	MSÚ-Sada B (auto)/9	SLOUP6 - Obecný průřez	2,26	0,00	-1,39	0,00	0,00	0,00
B163	0,000	MSÚ-Sada B (auto)/21	SLOUP6 - Obecný průřez	-6,24	-0,09	-1,53	0,00	0,00	0,00
B163	2,045	MSÚ-Sada B (auto)/21	SLOUP6 - Obecný průřez	-1,75	0,09	1,51	0,00	0,00	0,00
B56	0,000	MSÚ-Sada B (auto)/10	SLOUP6 - Obecný průřez	-27,58	-1,45	0,37	-0,03	0,00	0,00
B167	0,000	MSÚ-Sada B (auto)/13	SLOUP6 - Obecný průřez	-4,90	1,49	0,35	0,03	0,00	0,00
B163	1,022	MSÚ-Sada B (auto)/21	SLOUP6 - Obecný průřez	-4,00	0,00	0,00	0,00	-0,78	-0,05
B48	0,997	MSÚ-Sada B (auto)/9	SLOUP6 - Obecný průřez	-0,40	0,00	0,00	0,00	0,69	0,00
B56	0,997	MSÚ-Sada B (auto)/10	SLOUP6 - Obecný průřez	-24,83	0,00	0,00	0,00	0,19	-0,72
B167	1,022	MSÚ-Sada B (auto)/13	SLOUP6 - Obecný průřez	-2,44	0,00	0,00	0,00	0,18	0,76
B54	0,000	MSÚ-Sada B (auto)/22	PRÍČEL9 - Iw (316,00; 10,00; 150,00; 20,00; 276,00; 0,00)	-2,91	-0,25	8,54	-0,01	-5,90	0,11
B50	0,000	MSÚ-Sada B (auto)/4	PRÍČEL9 - Iw (316,00; 10,00; 150,00; 20,00; 276,00; 0,00)	3,36	0,67	5,64	0,00	5,48	-0,29
B54	0,000	MSÚ-Sada B (auto)/16	PRÍČEL9 - Iw (316,00; 10,00; 150,00; 20,00; 276,00; 0,00)	-0,33	-0,97	8,34	0,00	-2,93	0,48
B50	0,000	MSÚ-Sada B (auto)/23	PRÍČEL9 - Iw (316,00; 10,00; 150,00; 20,00; 276,00; 0,00)	3,30	0,68	5,09	0,00	5,16	-0,30
B50	0,335	MSÚ-Sada B (auto)/13	PRÍČEL9 - Iw (316,00; 10,00; 150,00; 20,00; 276,00; 0,00)	-0,71	-0,32	-0,55	0,00	0,21	0,03
B54	0,000	MSÚ-Sada B (auto)/1	PRÍČEL9 - Iw (316,00; 10,00; 150,00; 20,00; 276,00; 0,00)	-0,14	-0,42	21,53	-0,03	-3,81	0,22
B54	0,000	MSÚ-Sada B (auto)/4	PRÍČEL9 - Iw (316,00; 10,00; 150,00; 20,00; 276,00; 0,00)	1,21	0,16	17,75	-0,03	-1,70	-0,07
B54	0,000	MSÚ-Sada B (auto)/24	PRÍČEL9 - Iw (316,00; 10,00; 150,00; 20,00; 276,00; 0,00)	-0,31	-0,72	1,44	0,01	-1,80	0,35
B54	0,000	MSÚ-Sada B (auto)/14	PRÍČEL9 - Iw (316,00; 10,00; 150,00; 20,00; 276,00; 0,00)	-2,89	-0,31	9,84	-0,01	-6,04	0,15
B50	0,335	MSÚ-Sada B (auto)/15	PRÍČEL9 - Iw (316,00; 10,00; 150,00; 20,00; 276,00; 0,00)	2,76	0,22	5,80	0,00	9,61	-0,02
B50	0,000	MSÚ-Sada B (auto)/11	PRÍČEL9 - Iw (316,00; 10,00; 150,00; 20,00; 276,00; 0,00)	3,08	0,68	3,66	-0,01	4,14	-0,30
B54	0,000	MSÚ-Sada B (auto)/18	PRÍČEL9 - Iw (316,00; 10,00; 150,00; 20,00; 276,00; 0,00)	2,47	-0,96	17,02	-0,01	-0,17	0,49

Projekt RNR

Jméno	dx [m]	Stav	Průřez	N [kN]	V _y [kN]	V _z [kN]	M _x [kNm]	M _y [kNm]	M _z [kNm]
B179	2,000	MSÚ-Sada B (auto)/25	VAZNICE1 - IPE180	-2,14	-0,06	-2,26	-0,01	0,00	0,00
B177	2,300+	MSÚ-Sada B (auto)/26	VAZNICE1 - IPE180	1,37	-0,09	0,60	0,00	-0,38	0,04
B94	2,800	MSÚ-Sada B (auto)/27	VAZNICE1 - IPE180	-0,35	-0,63	-6,58	0,00	0,00	0,00
B94	0,000	MSÚ-Sada B (auto)/27	VAZNICE1 - IPE180	-0,35	0,60	6,36	0,00	0,00	0,00
B94	2,800	MSÚ-Sada B (auto)/6	VAZNICE1 - IPE180	-0,55	-0,38	-9,89	0,00	0,00	0,00
B94	0,000	MSÚ-Sada B (auto)/6	VAZNICE1 - IPE180	-0,55	0,36	9,77	0,00	0,00	0,00
B183	0,000	MSÚ-Sada B (auto)/28	VAZNICE1 - IPE180	0,20	0,02	3,58	-0,01	0,00	0,00
B373	2,300+	MSÚ-Sada B (auto)/28	VAZNICE1 - IPE180	0,01	-0,05	-2,94	0,00	1,73	0,03
B94	1,482	MSÚ-Sada B (auto)/2	VAZNICE1 - IPE180	-0,24	0,03	0,16	0,00	-1,97	-0,38
B94	1,482	MSÚ-Sada B (auto)/6	VAZNICE1 - IPE180	-0,55	-0,02	-0,58	0,00	6,90	0,26
B94	1,482	MSÚ-Sada B (auto)/27	VAZNICE1 - IPE180	-0,35	-0,04	-0,38	0,00	4,59	0,44
B242	2,000	MSÚ-Sada B (auto)/4	VAZNICE - IPE120	-5,06	-0,07	-2,51	0,00	0,00	0,00
B209	0,000	MSÚ-Sada B (auto)/4	VAZNICE - IPE120	5,64	0,04	3,15	0,00	0,00	0,00
B89	2,000	MSÚ-Sada B (auto)/29	VAZNICE - IPE120	0,10	-0,28	1,09	0,00	0,00	0,00
B89	0,000	MSÚ-Sada B (auto)/29	VAZNICE - IPE120	0,10	0,28	-1,09	0,00	0,00	0,00
B89	2,000	MSÚ-Sada B (auto)/20	VAZNICE - IPE120	-0,23	0,14	-5,97	0,00	0,00	0,00
B89	0,000	MSÚ-Sada B (auto)/20	VAZNICE - IPE120	-0,08	-0,14	5,97	0,00	0,00	0,00
B242	1,167	MSÚ-Sada B (auto)/20	VAZNICE - IPE120	-3,47	-0,01	-0,47	0,00	1,37	0,02
B245	0,000	MSÚ-Sada B (auto)/20	VAZNICE - IPE120	4,43	0,04	2,83	0,00	0,00	0,00
B89	1,000	MSÚ-Sada B (auto)/13	VAZNICE - IPE120	0,12	0,00	0,00	0,00	-0,61	0,14
B89	1,000	MSÚ-Sada B (auto)/20	VAZNICE - IPE120	-0,15	0,00	0,00	0,00	2,98	-0,07
B89	1,000	MSÚ-Sada B (auto)/18	VAZNICE - IPE120	-1,13	0,00	0,00	0,00	2,56	-0,12
B235	0,000	MSÚ-Sada B (auto)/30	PRUVLAK5 - 2U komora (UPN300)	-2,31	-0,11	0,30	-0,03	0,00	0,00
B235	0,000	MSÚ-Sada B (auto)/23	PRUVLAK5 - 2U komora (UPN300)	2,36	0,12	3,04	-0,24	0,00	0,00
B238	0,000	MSÚ-Sada B (auto)/4	PRUVLAK5 - 2U komora (UPN300)	0,98	0,46	-2,50	-0,69	0,00	0,00
B235	0,000	MSÚ-Sada B (auto)/20	PRUVLAK5 - 2U komora (UPN300)	1,47	0,08	3,38	-0,42	0,00	0,00
B238	0,000	MSÚ-Sada B (auto)/31	PRUVLAK5 - 2U komora (UPN300)	-0,73	0,32	-2,23	-0,91	0,00	0,00
B69	0,000	MSÚ-Sada B (auto)/1	PRUVLAK5 - 2U komora (UPN300)	0,83	-0,37	-4,27	2,15	0,00	0,00
B238	2,000	MSÚ-Sada B (auto)/32	PRUVLAK5 - 2U komora (UPN300)	0,01	0,34	-10,27	-0,90	-12,88	0,77
B235	1,000-	MSÚ-Sada B	PRUVLAK5 - 2U	1,44	0,04	0,06	-0,42	1,72	0,06

Projekt RNR

Jméno	dx [m]	Stav	Průřez	N [kN]	V _y [kN]	V _z [kN]	M _x [kNm]	M _y [kNm]	M _z [kNm]
		(auto)/20	komora (UPN300)						
B69	2,000	MSÚ-Sada B (auto)/4	PRUVLAK5 - 2U komora (UPN300)	1,60	-0,41	-7,24	1,68	-11,20	-0,82
B238	2,000	MSÚ-Sada B (auto)/20	PRUVLAK5 - 2U komora (UPN300)	0,45	0,36	-10,25	-0,87	-12,84	0,81
B371	0,000	MSÚ-Sada B (auto)/33	PRUVLAK6 - Komora fl (150,00; 20,00; 80,00; 10,00; 120,00)	-4,32	0,39	-1,97	0,65	0,74	-0,10
B251	0,000	MSÚ-Sada B (auto)/34	PRUVLAK6 - Komora fl (150,00; 20,00; 80,00; 10,00; 120,00)	2,26	0,17	3,82	0,08	0,01	0,03
B328	0,648+	MSÚ-Sada B (auto)/19	PRUVLAK6 - Komora fl (150,00; 20,00; 80,00; 10,00; 120,00)	-1,47	-1,57	2,00	-0,99	1,93	0,63
B335	3,027+	MSÚ-Sada B (auto)/28	PRUVLAK6 - Komora fl (150,00; 20,00; 80,00; 10,00; 120,00)	-1,20	1,09	3,63	0,23	-2,33	-0,92
B334	2,000	MSÚ-Sada B (auto)/32	PRUVLAK6 - Komora fl (150,00; 20,00; 80,00; 10,00; 120,00)	-0,59	-0,70	-11,12	0,47	-12,96	-1,11
B399	0,000	MSÚ-Sada B (auto)/31	PRUVLAK6 - Komora fl (150,00; 20,00; 80,00; 10,00; 120,00)	-1,80	0,61	11,05	-0,03	-12,95	-1,15
B328	2,112+	MSÚ-Sada B (auto)/6	PRUVLAK6 - Komora fl (150,00; 20,00; 80,00; 10,00; 120,00)	-1,60	0,82	-1,20	-1,72	1,76	-0,31
B335	1,513+	MSÚ-Sada B (auto)/28	PRUVLAK6 - Komora fl (150,00; 20,00; 80,00; 10,00; 120,00)	-0,63	-0,34	0,15	1,66	-0,75	0,23
B399	0,000	MSÚ-Sada B (auto)/32	PRUVLAK6 - Komora fl (150,00; 20,00; 80,00; 10,00; 120,00)	-1,59	0,59	11,05	-0,03	-12,97	-1,10
B70	1,318	MSÚ-Sada B (auto)/6	PRUVLAK6 - Komora fl (150,00; 20,00; 80,00; 10,00; 120,00)	1,19	-0,01	0,32	-0,22	3,77	-0,12
B334	2,000	MSÚ-Sada B (auto)/1	PRUVLAK6 - Komora fl (150,00; 20,00; 80,00; 10,00; 120,00)	-0,11	-0,78	-10,84	0,43	-12,73	-1,19
B372	0,000	MSÚ-Sada B (auto)/6	PRUVLAK6 - Komora fl (150,00; 20,00;	-3,10	-0,74	7,85	0,62	-9,26	1,03

Projekt RNR

Jméno	dx [m]	Stav	Průřez	N [kN]	V _y [kN]	V _z [kN]	M _x [kNm]	M _y [kNm]	M _z [kNm]
			80,00; 10,00; 120,00)						
B358	2,000	MSÚ-Sada B (auto)/35	PRUVLAK7 - 2U komora (UPN180)	-2,10	-0,15	0,21	-0,01	0,07	-0,06
B358	2,000	MSÚ-Sada B (auto)/18	PRUVLAK7 - 2U komora (UPN180)	3,53	0,10	-3,14	-0,06	-1,74	0,05
B105	0,000	MSÚ-Sada B (auto)/5	PRUVLAK7 - 2U komora (UPN180)	1,60	-0,44	1,28	0,18	-1,67	0,49
B358	0,000	MSÚ-Sada B (auto)/28	PRUVLAK7 - 2U komora (UPN180)	1,66	-0,07	1,50	-0,07	0,01	0,06
B358	0,667	MSÚ-Sada B (auto)/20	PRUVLAK7 - 2U komora (UPN180)	0,74	-0,03	-0,18	-0,08	0,44	0,02
B105	1,333	MSÚ-Sada B (auto)/20	PRUVLAK7 - 2U komora (UPN180)	1,26	-0,25	-2,97	0,21	-3,22	0,10
B105	2,000	MSÚ-Sada B (auto)/1	PRUVLAK7 - 2U komora (UPN180)	1,58	-0,18	-5,29	0,21	-5,91	-0,06
B358	0,667	MSÚ-Sada B (auto)/28	PRUVLAK7 - 2U komora (UPN180)	1,66	-0,04	-0,14	-0,07	0,47	0,02
B105	0,000	MSÚ-Sada B (auto)/24	PRUVLAK7 - 2U komora (UPN180)	-0,24	0,22	-0,57	0,02	0,07	-0,11
B123	0,000	MSÚ-Sada B (auto)/20	SLOUP5 - Obecný průřez	-20,76	0,06	-0,68	0,00	0,00	0,00
B131	2,045	MSÚ-Sada B (auto)/36	SLOUP5 - Obecný průřez	1,79	0,00	-1,36	0,00	0,00	0,00
B115	0,000	MSÚ-Sada B (auto)/11	SLOUP5 - Obecný průřez	-11,92	0,09	-1,84	0,00	0,00	0,00
B115	2,045	MSÚ-Sada B (auto)/11	SLOUP5 - Obecný průřez	-7,02	-0,09	1,78	0,00	0,00	0,00
B119	0,000	MSÚ-Sada B (auto)/27	SLOUP5 - Obecný průřez	-11,22	-1,49	0,48	-0,02	0,00	0,00
B119	2,045	MSÚ-Sada B (auto)/27	SLOUP5 - Obecný průřez	-5,25	1,41	-0,50	0,02	0,00	0,00
B115	1,023	MSÚ-Sada B (auto)/11	SLOUP5 - Obecný průřez	-9,47	0,00	0,00	0,00	-0,94	0,05
B115	1,023	MSÚ-Sada B (auto)/36	SLOUP5 - Obecný průřez	-0,64	0,00	0,00	0,00	0,83	0,00
B119	1,022	MSÚ-Sada B (auto)/27	SLOUP5 - Obecný průřez	-8,20	0,00	0,00	0,00	0,25	-0,76
B119	1,022	MSÚ-Sada B (auto)/12	SLOUP5 - Obecný průřez	-8,35	0,00	0,00	0,00	-0,40	0,54
B140	3,027+	MSÚ-Sada B (auto)/25	PRÍČEL2 - Iw (300,00; 8,00; 120,00; 12,00; 276,00; 0,00)	-8,98	-0,08	-0,87	0,01	15,03	0,03
B144	4,641-	MSÚ-Sada B (auto)/4	PRÍČEL2 - Iw (300,00; 8,00; 120,00; 12,00; 276,00; 0,00)	10,42	-0,08	4,22	0,00	4,13	-0,10
B168	0,000	MSÚ-Sada B (auto)/17	PRÍČEL2 - Iw (300,00; 8,00; 120,00; 12,00; 276,00; 0,00)	0,36	-0,21	4,50	0,00	-1,10	0,15
B168	0,000	MSÚ-Sada B (auto)/37	PRÍČEL2 - Iw (300,00; 8,00; 120,00; 12,00; 276,00; 0,00)	0,64	0,26	3,90	0,00	-1,09	-0,20
B124	0,000	MSÚ-Sada B	PRÍČEL2 - Iw	-6,51	0,00	16,36	0,00	-16,72	0,00

Projekt RNR

Jméno	dx [m]	Stav	Průřez	N [kN]	V _y [kN]	V _z [kN]	M _x [kNm]	M _y [kNm]	M _z [kNm]
		(auto)/7	(300,00; 8,00; 120,00; 12,00; 276,00; 0,00)						
B116	4,641+	MSÚ-Sada B (auto)/20	PRÍČEL2 - Iw (300,00; 8,00; 120,00; 12,00; 276,00; 0,00)	0,14	0,02	-3,76	-0,01	6,67	-0,04
B116	3,027+	MSÚ-Sada B (auto)/19	PRÍČEL2 - Iw (300,00; 8,00; 120,00; 12,00; 276,00; 0,00)	1,21	-0,02	7,57	0,01	-5,20	0,01
B168	3,027-	MSÚ-Sada B (auto)/1	PRÍČEL2 - Iw (300,00; 8,00; 120,00; 12,00; 276,00; 0,00)	1,95	0,22	-21,63	0,00	-18,71	0,18
B124	3,027-	MSÚ-Sada B (auto)/28	PRÍČEL2 - Iw (300,00; 8,00; 120,00; 12,00; 276,00; 0,00)	-4,04	0,00	6,93	0,00	19,35	0,00
B168	3,027+	MSÚ-Sada B (auto)/1	PRÍČEL2 - Iw (300,00; 8,00; 120,00; 12,00; 276,00; 0,00)	2,69	0,25	14,17	0,01	-11,93	-0,20
B168	3,027-	MSÚ-Sada B (auto)/31	PRÍČEL2 - Iw (300,00; 8,00; 120,00; 12,00; 276,00; 0,00)	2,67	0,26	-20,56	0,00	-17,42	0,20
B169	0,000	MSÚ-Sada B (auto)/1	SLOUP - RHS200/120/8.0	-80,40	-0,34	-3,33	0,00	0,00	0,00
B161	1,826	MSÚ-Sada B (auto)/35	SLOUP - RHS200/120/8.0	5,36	1,14	1,49	0,00	2,72	2,08
B169	0,000	MSÚ-Sada B (auto)/33	SLOUP - RHS200/120/8.0	-65,37	-3,31	-2,68	0,00	0,00	0,00
B169	0,000	MSÚ-Sada B (auto)/17	SLOUP - RHS200/120/8.0	-38,64	1,71	-0,14	0,00	0,00	0,00
B117	0,000	MSÚ-Sada B (auto)/5	SLOUP - RHS200/120/8.0	-30,79	-0,53	-6,23	0,00	0,00	0,00
B117	0,000	MSÚ-Sada B (auto)/13	SLOUP - RHS200/120/8.0	-1,40	-0,53	3,38	0,00	0,00	0,00
B137	1,826	MSÚ-Sada B (auto)/5	SLOUP - RHS200/120/8.0	-19,57	0,00	-5,71	0,00	-10,43	0,00
B137	1,826	MSÚ-Sada B (auto)/13	SLOUP - RHS200/120/8.0	2,75	0,00	3,07	0,00	5,60	0,00
B169	1,826	MSÚ-Sada B (auto)/18	SLOUP - RHS200/120/8.0	-59,14	-0,89	-2,52	0,00	-4,61	-3,45
B161	1,826	MSÚ-Sada B (auto)/2	SLOUP - RHS200/120/8.0	5,34	1,15	1,80	0,00	3,29	2,09
B120	0,980+	MSÚ-Sada B (auto)/36	PRÍČEL7 - Iw (240,00; 6,00; 120,00; 10,00; 220,00; 0,00)	-1,13	-0,01	0,39	0,00	-2,08	0,01
B120	2,594-	MSÚ-Sada B (auto)/4	PRÍČEL7 - Iw (240,00; 6,00; 120,00; 10,00; 220,00; 0,00)	2,10	-0,01	2,74	0,01	4,81	-0,03
B120	0,980+	MSÚ-Sada B (auto)/34	PRÍČEL7 - Iw (240,00; 6,00; 120,00; 10,00; 220,00; 0,00)	0,93	-0,04	3,62	0,01	0,53	0,03
B120	0,000	MSÚ-Sada B (auto)/34	PRÍČEL7 - Iw (240,00; 6,00; 120,00; 10,00; 220,00; 0,00)	0,12	0,03	-2,59	0,00	0,00	0,00
B120	4,207-	MSÚ-Sada B (auto)/1	PRÍČEL7 - Iw (240,00; 6,00; 120,00; 10,00;	0,78	0,02	-4,16	0,00	-0,20	0,00

Projekt RNR

Jméno	dx [m]	Stav	Průřez	N [kN]	V _y [kN]	V _z [kN]	M _x [kNm]	M _y [kNm]	M _z [kNm]
			220,00; 0,00)						
B120	0,980+	MSÚ-Sada B (auto)/15	PRÍČEL7 - Iw (240,00; 6,00; 120,00; 10,00; 220,00; 0,00)	-0,20	-0,03	4,70	0,00	-2,78	0,02
B120	0,980+	MSÚ-Sada B (auto)/13	PRÍČEL7 - Iw (240,00; 6,00; 120,00; 10,00; 220,00; 0,00)	-0,77	-0,02	0,42	0,00	-2,17	0,02
B120	0,980-	MSÚ-Sada B (auto)/1	PRÍČEL7 - Iw (240,00; 6,00; 120,00; 10,00; 220,00; 0,00)	0,17	0,01	-3,06	0,00	-2,85	0,01
B120	2,594-	MSÚ-Sada B (auto)/1	PRÍČEL7 - Iw (240,00; 6,00; 120,00; 10,00; 220,00; 0,00)	0,74	-0,03	3,54	0,01	6,16	-0,04
B120	2,594+	MSÚ-Sada B (auto)/28	PRÍČEL7 - Iw (240,00; 6,00; 120,00; 10,00; 220,00; 0,00)	0,99	0,02	-3,70	0,00	6,13	-0,04
B279	2,570	MSÚ-Sada B (auto)/20	ZTUZIDLO STRESNI 2 - CHS48.3/3.2	-4,55	0,00	-0,05	0,01	0,00	0,00
B278	2,570	MSÚ-Sada B (auto)/20	ZTUZIDLO STRESNI 2 - CHS48.3/3.2	5,27	0,00	-0,05	0,04	0,00	0,00
B294	3,242	MSÚ-Sada B (auto)/38	ZTUZIDLO STRESNI 2 - CHS48.3/3.2	-0,10	0,00	-0,08	0,00	0,00	0,00
B294	0,000	MSÚ-Sada B (auto)/38	ZTUZIDLO STRESNI 2 - CHS48.3/3.2	-0,09	0,00	0,08	0,00	0,00	0,00
B281	0,000	MSÚ-Sada B (auto)/28	ZTUZIDLO STRESNI 2 - CHS48.3/3.2	1,97	0,00	0,05	-0,04	0,00	0,00
B288	0,000	MSÚ-Sada B (auto)/19	ZTUZIDLO STRESNI 2 - CHS48.3/3.2	0,41	0,00	0,05	0,05	0,00	0,00
B294	1,621	MSÚ-Sada B (auto)/38	ZTUZIDLO STRESNI 2 - CHS48.3/3.2	-0,10	0,00	0,00	0,00	0,06	0,00
B233	2,000	MSÚ-Sada B (auto)/35	PRUVLAK8 - 2U komora (UPN160)	-1,22	0,12	1,25	-0,04	0,18	-0,01
B353	1,000+	MSÚ-Sada B (auto)/6	PRUVLAK8 - 2U komora (UPN160)	5,25	0,19	-2,70	-0,28	-2,07	0,19
B233	2,000	MSÚ-Sada B (auto)/15	PRUVLAK8 - 2U komora (UPN160)	2,01	-0,23	-5,22	0,20	-0,40	-0,09
B353	2,000	MSÚ-Sada B (auto)/39	PRUVLAK8 - 2U komora (UPN160)	4,85	0,33	-5,61	-0,23	-5,73	0,40
B236	2,000	MSÚ-Sada B (auto)/6	PRUVLAK8 - 2U komora (UPN160)	2,29	-0,05	-10,19	-0,41	-9,52	-0,08
B233	0,000	MSÚ-Sada B (auto)/6	PRUVLAK8 - 2U komora (UPN160)	1,69	0,01	5,06	0,20	-0,04	0,09
B236	2,000	MSÚ-Sada B (auto)/20	PRUVLAK8 - 2U komora (UPN160)	1,87	-0,02	-10,04	-0,39	-9,52	-0,06
B233	1,000-	MSÚ-Sada B (auto)/6	PRUVLAK8 - 2U komora (UPN160)	1,69	-0,08	-0,31	0,20	2,34	0,05

Projekt RNR

Jméno	dx [m]	Stav	Průřez	N [kN]	V _y [kN]	V _z [kN]	M _x [kNm]	M _y [kNm]	M _z [kNm]
B236	0,000	MSÚ-Sada B (auto)/11	PRUVLAK8 - 2U komora (UPN160)	1,40	0,17	-0,32	-0,20	-0,21	-0,19
B353	2,000	MSÚ-Sada B (auto)/7	PRUVLAK8 - 2U komora (UPN160)	5,22	0,30	-6,26	-0,28	-6,55	0,43
B237	0,000	MSÚ-Sada B (auto)/8	PRUVLAK13 - 2U komora (UPN260)	-0,62	-0,35	0,15	-0,20	-0,91	0,35
B237	0,000	MSÚ-Sada B (auto)/4	PRUVLAK13 - 2U komora (UPN260)	0,93	0,50	-2,43	0,50	0,27	-0,58
B237	0,000	MSÚ-Sada B (auto)/14	PRUVLAK13 - 2U komora (UPN260)	-0,15	-0,36	-0,97	0,19	0,11	0,37
B237	0,000	MSÚ-Sada B (auto)/17	PRUVLAK13 - 2U komora (UPN260)	0,77	0,51	-1,82	0,24	0,05	-0,60
B234	0,000	MSÚ-Sada B (auto)/28	PRUVLAK13 - 2U komora (UPN260)	0,42	0,14	6,02	-1,00	-0,01	0,01
B237	0,000	MSÚ-Sada B (auto)/28	PRUVLAK13 - 2U komora (UPN260)	0,75	-0,09	-2,68	0,79	1,05	0,12
B237	2,000	MSÚ-Sada B (auto)/1	PRUVLAK13 - 2U komora (UPN260)	0,70	-0,21	-14,39	0,78	-16,04	-0,17
B234	1,167	MSÚ-Sada B (auto)/34	PRUVLAK13 - 2U komora (UPN260)	0,71	0,07	-0,12	-0,97	3,38	0,16
B237	0,000	MSÚ-Sada B (auto)/11	PRUVLAK13 - 2U komora (UPN260)	0,79	0,51	-1,97	0,26	0,04	-0,61
B237	0,000	MSÚ-Sada B (auto)/40	PRUVLAK13 - 2U komora (UPN260)	-0,48	-0,36	-0,31	0,04	-0,68	0,38
B355	2,000	MSÚ-Sada B (auto)/20	PRUVLAK16 - 2U komora (UPN220)	-1,36	-0,51	-7,13	0,86	-8,61	-0,40
B325	0,000	MSÚ-Sada B (auto)/27	PRUVLAK16 - 2U komora (UPN220)	2,34	0,11	-5,35	0,13	4,43	-0,11
B355	0,000	MSÚ-Sada B (auto)/4	PRUVLAK16 - 2U komora (UPN220)	-1,14	-0,83	1,01	0,73	-2,32	0,88
B355	0,000	MSÚ-Sada B (auto)/24	PRUVLAK16 - 2U komora (UPN220)	-0,12	0,46	-0,77	0,10	0,10	-0,33
B325	2,000	MSÚ-Sada B (auto)/1	PRUVLAK16 - 2U komora (UPN220)	0,30	-0,37	-20,81	-0,26	-21,86	-0,31
B324	0,000	MSÚ-Sada B (auto)/28	PRUVLAK16 - 2U komora (UPN220)	0,46	0,21	10,29	0,38	-1,53	0,04
B324	0,000	MSÚ-Sada B (auto)/13	PRUVLAK16 - 2U komora (UPN220)	1,90	-0,17	-1,08	-0,41	0,14	0,02
B355	1,000-	MSÚ-Sada B (auto)/1	PRUVLAK16 - 2U komora (UPN220)	-1,25	-0,55	-3,00	0,88	-3,39	0,13
B325	2,000	MSÚ-Sada B (auto)/20	PRUVLAK16 - 2U komora (UPN220)	-0,38	-0,13	-20,62	-0,04	-22,47	-0,15
B324	1,833	MSÚ-Sada B (auto)/28	PRUVLAK16 - 2U komora (UPN220)	0,46	0,05	0,30	0,38	8,17	0,28

Projekt RNR

Jméno	dx [m]	Stav	Průřez	N [kN]	V _y [kN]	V _z [kN]	M _x [kNm]	M _y [kNm]	M _z [kNm]
B355	2,000	MSÚ-Sada B (auto)/4	PRUVLAK16 - 2U komora (UPN220)	-1,26	-0,52	-6,26	0,73	-7,57	-0,48
B333	0,000	MSÚ-Sada B (auto)/19	PRUVLAK9 - Komora fl (200,00; 15,00; 270,00; 10,00; 150,00)	-1,10	-0,30	9,61	0,00	-12,95	0,74
B326	2,282	MSÚ-Sada B (auto)/35	PRUVLAK9 - Komora fl (200,00; 15,00; 270,00; 10,00; 150,00)	0,14	-0,07	0,21	-0,01	-0,14	0,00
B333	2,282	MSÚ-Sada B (auto)/20	PRUVLAK9 - Komora fl (200,00; 15,00; 270,00; 10,00; 150,00)	-0,32	-0,43	1,21	-0,03	-0,79	-0,05
B326	2,282	MSÚ-Sada B (auto)/6	PRUVLAK9 - Komora fl (200,00; 15,00; 270,00; 10,00; 150,00)	-0,28	0,48	3,56	0,04	-0,66	0,00
B326	2,282	MSÚ-Sada B (auto)/9	PRUVLAK9 - Komora fl (200,00; 15,00; 270,00; 10,00; 150,00)	0,06	-0,08	0,18	-0,01	-0,17	0,00
B333	0,000	MSÚ-Sada B (auto)/20	PRUVLAK9 - Komora fl (200,00; 15,00; 270,00; 10,00; 150,00)	-1,01	-0,32	9,62	0,00	-12,99	0,81
B333	2,282	MSÚ-Sada B (auto)/24	PRUVLAK9 - Komora fl (200,00; 15,00; 270,00; 10,00; 150,00)	-0,14	0,06	0,54	0,01	-0,09	-0,01
B326	0,000	MSÚ-Sada B (auto)/6	PRUVLAK9 - Komora fl (200,00; 15,00; 270,00; 10,00; 150,00)	-0,70	0,45	8,09	0,01	-13,80	-1,07
B333	0,000	MSÚ-Sada B (auto)/6	PRUVLAK9 - Komora fl (200,00; 15,00; 270,00; 10,00; 150,00)	-1,07	-0,35	9,27	0,00	-12,64	0,83
B330	0,000	MSÚ-Sada B (auto)/35	PRUVLAK11 - Komora fl (140,00; 12,00; 156,00; 8,00; 94,00)	-0,65	0,14	0,04	0,06	-0,44	-0,05
B330	2,282	MSÚ-Sada B (auto)/18	PRUVLAK11 - Komora fl (140,00; 12,00; 156,00; 8,00; 94,00)	1,26	0,24	-0,69	0,64	-0,30	0,29
B330	2,282	MSÚ-Sada B (auto)/35	PRUVLAK11 - Komora fl (140,00; 12,00; 156,00; 8,00; 94,00)	-0,49	-0,11	0,38	0,06	-0,01	-0,01
B330	2,282	MSÚ-Sada B (auto)/15	PRUVLAK11 - Komora fl (140,00; 12,00;	1,13	0,26	-0,80	0,63	-0,34	0,29

Projekt RNR

Jméno	dx [m]	Stav	Průřez	N [kN]	V _y [kN]	V _z [kN]	M _x [kNm]	M _y [kNm]	M _z [kNm]
			156,00; 8,00; 94,00)						
B330	2,282	MSÚ-Sada B (auto)/6	PRUVLAK11 - Komora fl (140,00; 12,00; 156,00; 8,00; 94,00)	1,12	0,24	-0,99	0,71	-0,36	0,31
B330	0,000	MSÚ-Sada B (auto)/9	PRUVLAK11 - Komora fl (140,00; 12,00; 156,00; 8,00; 94,00)	-0,52	0,15	0,07	0,06	-0,47	-0,06
B330	1,825+	MSÚ-Sada B (auto)/19	PRUVLAK11 - Komora fl (140,00; 12,00; 156,00; 8,00; 94,00)	1,09	0,20	0,43	0,72	-0,23	0,21
B330	0,000	MSÚ-Sada B (auto)/1	PRUVLAK11 - Komora fl (140,00; 12,00; 156,00; 8,00; 94,00)	0,39	0,09	5,87	0,71	-5,93	-0,06
B330	2,282	MSÚ-Sada B (auto)/26	PRUVLAK11 - Komora fl (140,00; 12,00; 156,00; 8,00; 94,00)	-0,34	-0,10	0,38	0,06	0,01	0,00
B330	0,000	MSÚ-Sada B (auto)/41	PRUVLAK11 - Komora fl (140,00; 12,00; 156,00; 8,00; 94,00)	0,04	0,22	4,07	0,51	-4,23	-0,13
B336	0,000	MSÚ-Sada B (auto)/35	PRUVLAK12 - Komora fl (130,00; 12,00; 136,00; 8,00; 84,00)	-0,91	-0,13	-0,43	0,01	-0,51	0,04
B354	1,141-	MSÚ-Sada B (auto)/6	PRUVLAK12 - Komora fl (130,00; 12,00; 136,00; 8,00; 84,00)	5,33	-0,23	2,78	0,81	-1,28	0,12
B354	0,000	MSÚ-Sada B (auto)/15	PRUVLAK12 - Komora fl (130,00; 12,00; 136,00; 8,00; 84,00)	4,71	-0,31	5,59	0,73	-5,74	0,39
B336	2,282	MSÚ-Sada B (auto)/35	PRUVLAK12 - Komora fl (130,00; 12,00; 136,00; 8,00; 84,00)	-0,67	0,13	1,04	0,01	0,16	0,04
B336	2,282	MSÚ-Sada B (auto)/1	PRUVLAK12 - Komora fl (130,00; 12,00; 136,00; 8,00; 84,00)	2,34	-0,30	-3,15	-0,38	-1,30	-0,39
B336	0,000	MSÚ-Sada B (auto)/6	PRUVLAK12 - Komora fl (130,00; 12,00; 136,00; 8,00; 84,00)	1,03	-0,15	10,33	-0,37	-9,53	0,12
B336	1,825+	MSÚ-Sada B (auto)/19	PRUVLAK12 - Komora fl (130,00; 12,00; 136,00; 8,00; 84,00)	2,07	-0,25	-0,38	-0,40	-0,50	-0,26

Projekt RNR

Jméno	dx [m]	Stav	Průřez	N [kN]	V _y [kN]	V _z [kN]	M _x [kNm]	M _y [kNm]	M _z [kNm]
			84,00)						
B336	0,000	MSÚ-Sada B (auto)/20	PRUVLAK12 - Komora fl (130,00; 12,00; 136,00; 8,00; 84,00)	0,80	-0,14	10,21	-0,38	-9,53	0,11
B336	2,282	MSÚ-Sada B (auto)/2	PRUVLAK12 - Komora fl (130,00; 12,00; 136,00; 8,00; 84,00)	-0,67	0,13	1,05	0,01	0,16	0,04
B336	2,282	MSÚ-Sada B (auto)/28	PRUVLAK12 - Komora fl (130,00; 12,00; 136,00; 8,00; 84,00)	2,35	-0,30	-3,14	-0,38	-1,30	-0,40
B354	0,000	MSÚ-Sada B (auto)/6	PRUVLAK12 - Komora fl (130,00; 12,00; 136,00; 8,00; 84,00)	5,01	-0,30	6,50	0,81	-6,56	0,41
B337	2,282	MSÚ-Sada B (auto)/8	PRUVLAK10 - Komora fl (160,00; 12,00; 196,00; 10,00; 110,00)	0,04	0,04	1,13	-0,12	0,07	-0,14
B337	2,282	MSÚ-Sada B (auto)/5	PRUVLAK10 - Komora fl (160,00; 12,00; 196,00; 10,00; 110,00)	-1,63	-0,34	3,89	-0,78	1,17	-0,58
B356	2,282	MSÚ-Sada B (auto)/18	PRUVLAK10 - Komora fl (160,00; 12,00; 196,00; 10,00; 110,00)	-1,34	0,76	-0,73	0,98	-0,29	0,79
B356	2,282	MSÚ-Sada B (auto)/42	PRUVLAK10 - Komora fl (160,00; 12,00; 196,00; 10,00; 110,00)	-1,45	0,72	-0,90	1,07	-0,30	0,80
B337	1,825+	MSÚ-Sada B (auto)/20	PRUVLAK10 - Komora fl (160,00; 12,00; 196,00; 10,00; 110,00)	-1,93	-0,18	6,72	-1,11	-1,17	-0,38
B356	1,825+	MSÚ-Sada B (auto)/20	PRUVLAK10 - Komora fl (160,00; 12,00; 196,00; 10,00; 110,00)	-1,73	0,57	0,95	1,13	-0,33	0,41
B337	0,000	MSÚ-Sada B (auto)/28	PRUVLAK10 - Komora fl (160,00; 12,00; 196,00; 10,00; 110,00)	-3,03	-0,20	17,73	-0,98	-23,62	-0,03
B337	2,282	MSÚ-Sada B (auto)/28	PRUVLAK10 - Komora fl (160,00; 12,00; 196,00; 10,00; 110,00)	-1,87	-0,33	4,36	-0,99	1,39	-0,65
B337	2,282	MSÚ-Sada B (auto)/19	PRUVLAK10 - Komora fl (160,00; 12,00; 196,00; 10,00; 110,00)	-1,68	-0,33	4,39	-1,05	1,36	-0,67

Projekt RNR

Jméno	dx [m]	Stav	Průřez	N [kN]	V _y [kN]	V _z [kN]	M _x [kNm]	M _y [kNm]	M _z [kNm]
B356	2,282	MSÚ-Sada B (auto)/19	PRUVLAK10 - Komora fl (160,00; 12,00; 196,00; 10,00; 110,00)	-1,53	0,75	-0,87	1,13	-0,31	0,83
B338	0,000	MSÚ-Sada B (auto)/43	PRUVLAK14 - Komora fl (180,00; 15,00; 230,00; 10,00; 130,00)	-0,89	-0,34	9,55	-1,31	-11,57	0,12
B338	2,282	MSÚ-Sada B (auto)/6	PRUVLAK14 - Komora fl (180,00; 15,00; 230,00; 10,00; 130,00)	0,61	-0,24	-0,03	-1,76	-0,85	-0,37
B338	0,000	MSÚ-Sada B (auto)/37	PRUVLAK14 - Komora fl (180,00; 15,00; 230,00; 10,00; 130,00)	-0,79	-0,37	4,83	-0,71	-6,25	0,15
B338	0,000	MSÚ-Sada B (auto)/17	PRUVLAK14 - Komora fl (180,00; 15,00; 230,00; 10,00; 130,00)	0,02	0,17	6,22	-0,89	-8,17	-0,09
B338	2,282	MSÚ-Sada B (auto)/44	PRUVLAK14 - Komora fl (180,00; 15,00; 230,00; 10,00; 130,00)	0,60	-0,23	-0,12	-1,68	-0,81	-0,35
B338	1,825+	MSÚ-Sada B (auto)/1	PRUVLAK14 - Komora fl (180,00; 15,00; 230,00; 10,00; 130,00)	0,33	-0,18	2,78	-1,82	-1,50	-0,33
B338	0,000	MSÚ-Sada B (auto)/13	PRUVLAK14 - Komora fl (180,00; 15,00; 230,00; 10,00; 130,00)	-0,26	-0,22	0,06	-0,05	-0,78	0,20
B338	0,000	MSÚ-Sada B (auto)/1	PRUVLAK14 - Komora fl (180,00; 15,00; 230,00; 10,00; 130,00)	-0,61	-0,09	13,40	-1,81	-16,07	-0,07
B338	2,282	MSÚ-Sada B (auto)/35	PRUVLAK14 - Komora fl (180,00; 15,00; 230,00; 10,00; 130,00)	-0,07	0,12	0,90	-0,14	0,00	0,10
B338	2,282	MSÚ-Sada B (auto)/19	PRUVLAK14 - Komora fl (180,00; 15,00; 230,00; 10,00; 130,00)	0,50	-0,28	-0,01	-1,76	-0,86	-0,51
B338	0,000	MSÚ-Sada B (auto)/45	PRUVLAK14 - Komora fl (180,00; 15,00; 230,00; 10,00; 130,00)	-0,53	-0,30	4,34	-0,59	-5,54	0,23
B379	0,000	MSÚ-Sada B (auto)/4	STENOVE TAHLA - RD20	-5,00	0,00	0,00	0,00	0,00	0,00
B386	2,503	MSÚ-Sada B (auto)/4	STENOVE TAHLA - RD20	4,55	0,00	0,00	0,00	0,00	0,00
B374	2,047+	MSÚ-Sada B (auto)/46	PRUVLAK15 - UPE180	-0,34	-0,04	0,21	0,01	-0,10	0,04

Projekt RNR

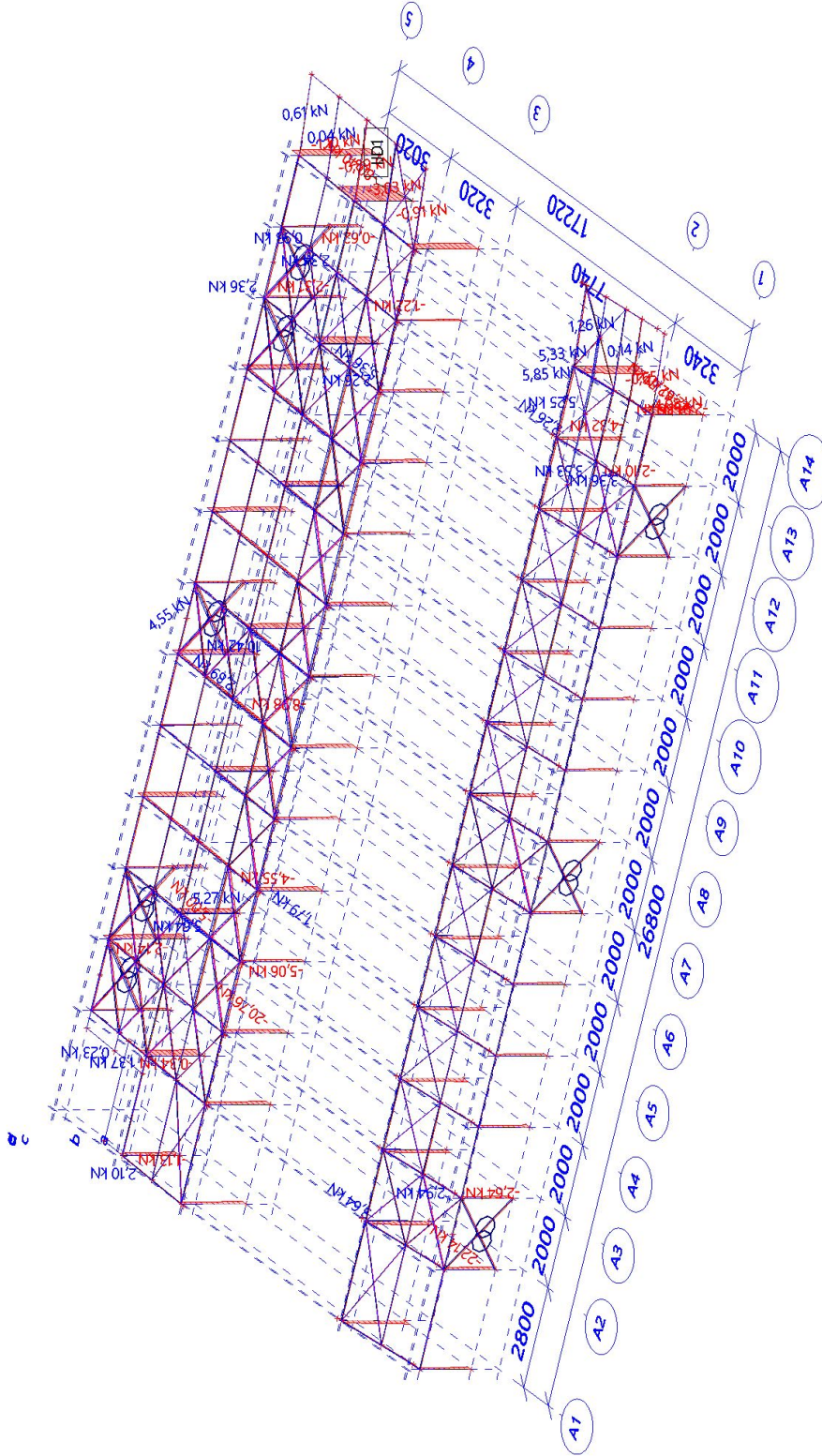
Jméno	dx [m]	Stav	Průřez	N [kN]	V _y [kN]	V _z [kN]	M _x [kNm]	M _y [kNm]	M _z [kNm]
B374	2,047-	MSÚ-Sada B (auto)/47	PRUVLAK15 - UPE180	0,23	0,06	-0,54	-0,03	-0,65	0,03
B374	1,513+	MSÚ-Sada B (auto)/3	PRUVLAK15 - UPE180	0,19	0,08	-0,23	-0,01	-0,06	0,00
B374	2,047-	MSÚ-Sada B (auto)/5	PRUVLAK15 - UPE180	0,20	0,05	-0,71	-0,04	-0,95	0,02
B374	0,000	MSÚ-Sada B (auto)/29	PRUVLAK15 - UPE180	-0,14	0,00	0,47	0,02	0,00	0,00
B374	2,047+	MSÚ-Sada B (auto)/5	PRUVLAK15 - UPE180	0,12	0,02	1,08	0,00	-0,96	-0,02
B374	2,047+	MSÚ-Sada B (auto)/13	PRUVLAK15 - UPE180	-0,20	-0,02	-0,41	0,01	0,49	0,02
B374	2,047-	MSÚ-Sada B (auto)/46	PRUVLAK15 - UPE180	-0,28	-0,13	-0,30	-0,02	-0,10	-0,06

Jméno	Klíč kombinace
MSÚ-Sada B (auto)/1	1.15*ZS1 + 1.15*ZS2 + 1.15*ZS3 + 1.50*ZS5 + 1.50*ZS6 + 0.90*3DVitr14
MSÚ-Sada B (auto)/2	ZS1 + ZS2 + ZS3 + 1.50*3DVitr3
MSÚ-Sada B (auto)/3	ZS1 + ZS2 + ZS3 + 1.50*3DVitr9
MSÚ-Sada B (auto)/4	1.15*ZS1 + 1.15*ZS2 + 1.15*ZS3 + 0.75*ZS5 + 1.50*ZS6 + 1.50*3DVitr1
MSÚ-Sada B (auto)/5	1.15*ZS1 + 1.15*ZS2 + 1.15*ZS3 + 0.75*ZS5 + 1.50*ZS6 + 1.50*3DVitr14
MSÚ-Sada B (auto)/6	1.15*ZS1 + 1.15*ZS2 + 1.15*ZS3 + 1.50*ZS5 + 1.50*ZS6 + 0.90*3DVitr5
MSÚ-Sada B (auto)/7	1.15*ZS1 + 1.15*ZS2 + 1.15*ZS3 + 1.50*ZS5 + 1.50*ZS6 + 0.90*3DVitr6
MSÚ-Sada B (auto)/8	ZS1 + ZS2 + ZS3 + 1.50*3DVitr12
MSÚ-Sada B (auto)/9	ZS1 + ZS2 + ZS3 + 1.50*3DVitr16
MSÚ-Sada B (auto)/10	1.15*ZS1 + 1.15*ZS2 + 1.15*ZS3 + 1.50*3DVitr13
MSÚ-Sada B (auto)/11	1.15*ZS1 + 1.15*ZS2 + 1.15*ZS3 + 1.50*3DVitr1
MSÚ-Sada B (auto)/12	1.15*ZS1 + 1.15*ZS2 + 1.15*ZS3 + 1.50*3DVitr2
MSÚ-Sada B (auto)/13	ZS1 + ZS2 + ZS3 + 1.50*3DVitr7
MSÚ-Sada B (auto)/14	1.15*ZS1 + 1.15*ZS2 + 1.15*ZS3 + 0.75*ZS5 + 1.50*ZS6 + 1.50*3DVitr16
MSÚ-Sada B (auto)/15	1.15*ZS1 + 1.15*ZS2 + 1.15*ZS3 + 0.75*ZS5 + 1.50*ZS6 + 1.50*3DVitr5
MSÚ-Sada B (auto)/16	1.15*ZS1 + 1.15*ZS2 + 1.15*ZS3 + 0.75*ZS5 + 1.50*ZS6 + 1.50*3DVitr11
MSÚ-Sada B (auto)/17	ZS1 + ZS2 + ZS3 + 1.50*3DVitr1
MSÚ-Sada B (auto)/18	1.15*ZS1 + 1.15*ZS2 + 1.15*ZS3 + 0.75*ZS5 + 1.50*ZS6 + 1.50*3DVitr9
MSÚ-Sada B (auto)/19	1.15*ZS1 + 1.15*ZS2 + 1.15*ZS3 + 1.50*ZS5 + 1.50*ZS6 + 0.90*3DVitr9
MSÚ-Sada B (auto)/20	1.15*ZS1 + 1.15*ZS2 + 1.15*ZS3 + 1.50*ZS5 + 1.50*ZS6 + 0.90*3DVitr1
MSÚ-Sada B (auto)/21	1.15*ZS1 + 1.15*ZS2 + 1.15*ZS3 + 1.50*3DVitr9
MSÚ-Sada B (auto)/22	1.15*ZS1 + 1.15*ZS2 + 1.15*ZS3 + 0.75*ZS5 + 1.50*3DVitr16
MSÚ-Sada B (auto)/23	1.15*ZS1 + 1.15*ZS2 + 1.15*ZS3 + 0.75*ZS5 + 1.50*3DVitr1
MSÚ-Sada B (auto)/24	ZS1 + ZS2 + ZS3 + 1.50*3DVitr11
MSÚ-Sada B (auto)/25	1.15*ZS1 + 1.15*ZS2 + 1.15*ZS3 + 0.75*ZS5 + 1.50*ZS6 + 1.50*3DVitr2
MSÚ-Sada B (auto)/26	ZS1 + ZS2 + ZS3 + 1.50*3DVitr15
MSÚ-Sada B (auto)/27	1.15*ZS1 + 1.15*ZS2 + 1.15*ZS3 + 1.50*3DVitr5
MSÚ-Sada B (auto)/28	1.15*ZS1 + 1.15*ZS2 + 1.15*ZS3 + 1.50*ZS5 + 1.50*ZS6 + 0.90*3DVitr13
MSÚ-Sada B (auto)/29	1.15*ZS1 + 1.15*ZS2 + 1.15*ZS3 + 1.50*3DVitr7
MSÚ-Sada B (auto)/30	ZS1 + ZS2 + ZS3 + 1.50*ZS6 + 1.50*3DVitr12
MSÚ-Sada B (auto)/31	1.15*ZS1 + 1.15*ZS2 + 1.15*ZS3 + 1.50*ZS5 + 1.50*ZS6 + 0.90*3DVitr10
MSÚ-Sada B (auto)/32	1.15*ZS1 + 1.15*ZS2 + 1.15*ZS3 + 1.50*ZS5 + 1.50*ZS6 + 0.90*3DVitr2
MSÚ-Sada B (auto)/33	1.15*ZS1 + 1.15*ZS2 + 1.15*ZS3 + 0.75*ZS5 + 1.50*ZS6

Projekt RNR

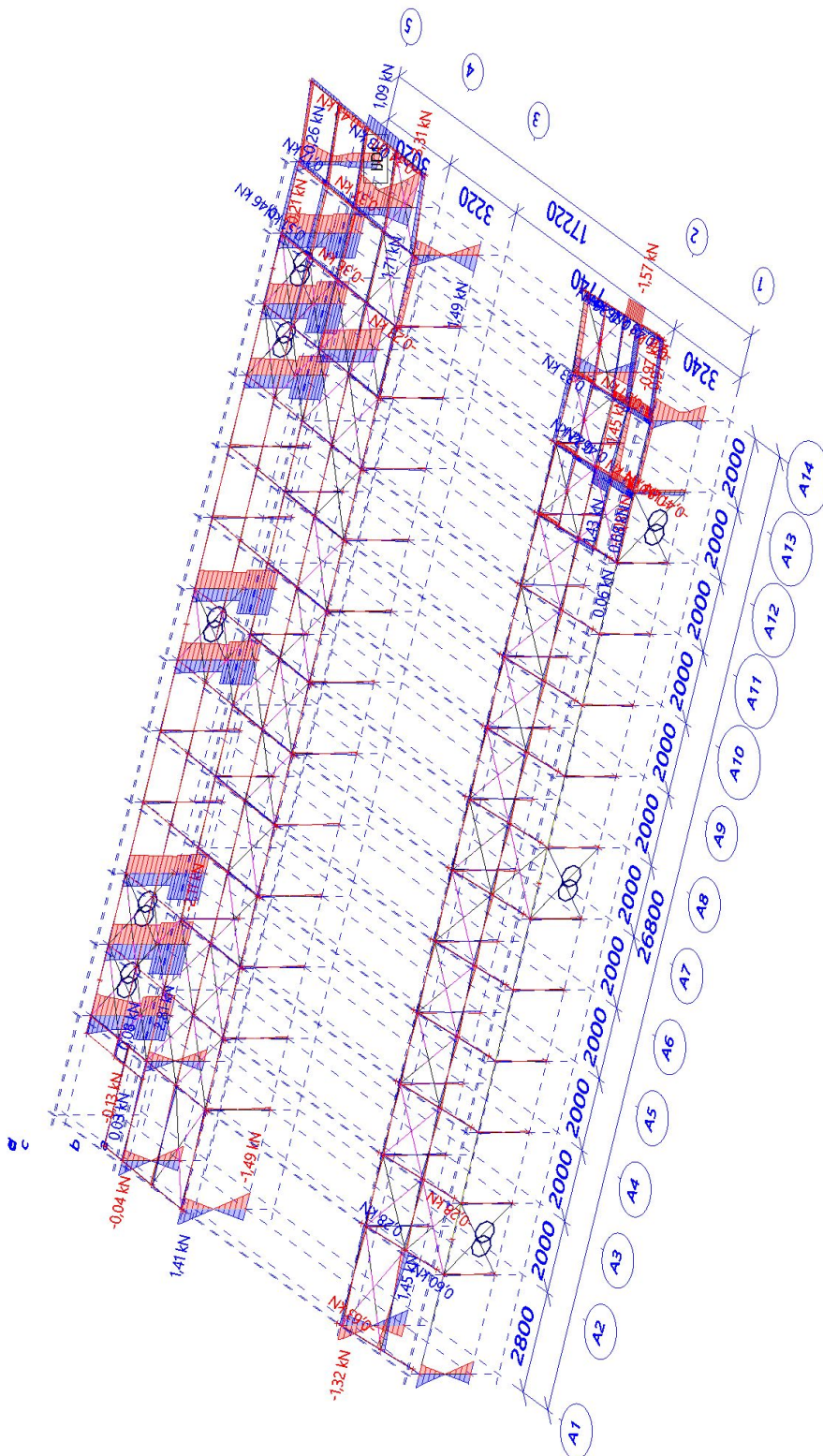
Jméno	Klíč kombinace
	+ 1.50*3DVítr10
MSÚ-Sada B (auto)/34	1.15*ZS1 + 1.15*ZS2 + 1.15*ZS3 + 0.75*ZS5 + 1.50*ZS6 + 1.50*3DVítr13
MSÚ-Sada B (auto)/35	ZS1 + ZS2 + ZS3 + 1.50*3DVítr4
MSÚ-Sada B (auto)/36	ZS1 + ZS2 + ZS3 + 1.50*3DVítr8
MSÚ-Sada B (auto)/37	1.15*ZS1 + 1.15*ZS2 + 1.15*ZS3 + 0.75*ZS5 + 1.50*ZS6 + 1.50*3DVítr12
MSÚ-Sada B (auto)/38	1.35*ZS1 + 1.35*ZS2 + 1.35*ZS3
MSÚ-Sada B (auto)/39	1.15*ZS1 + 1.15*ZS2 + 1.15*ZS3 + 0.75*ZS5 + 1.50*ZS6 + 1.50*3DVítr6
MSÚ-Sada B (auto)/40	ZS1 + ZS2 + ZS3 + 0.75*ZS5 + 1.50*ZS6 + 1.50*3DVítr12
MSÚ-Sada B (auto)/41	1.15*ZS1 + 1.15*ZS2 + 1.15*ZS3 + 1.50*ZS5 + 1.50*ZS6 + 0.90*3DVítr11
MSÚ-Sada B (auto)/42	ZS1 + ZS2 + ZS3 + 1.50*ZS5 + 1.50*ZS6 + 0.90*3DVítr9
MSÚ-Sada B (auto)/43	1.15*ZS1 + 1.15*ZS2 + 1.15*ZS3 + 1.50*ZS5 + 1.50*ZS6 + 0.90*3DVítr12
MSÚ-Sada B (auto)/44	ZS1 + ZS2 + ZS3 + 1.50*ZS5 + 1.50*ZS6 + 0.90*3DVítr5
MSÚ-Sada B (auto)/45	ZS1 + ZS2 + ZS3 + 0.75*ZS5 + 1.50*ZS6 + 1.50*3DVítr7
MSÚ-Sada B (auto)/46	1.15*ZS1 + 1.15*ZS2 + 1.15*ZS3 + 0.75*ZS5 + 1.50*ZS6 + 1.50*3DVítr4
MSÚ-Sada B (auto)/47	ZS1 + ZS2 + ZS3 + 1.50*3DVítr14

35. 1D vnitřní síly; N



Hodnoty: N
Lineární výpočet
Kombinace: MSÚ-Sada B (auto)
Souřadný systém: Hlavní
Extrém 1D: Průřez
Výběr: Vše

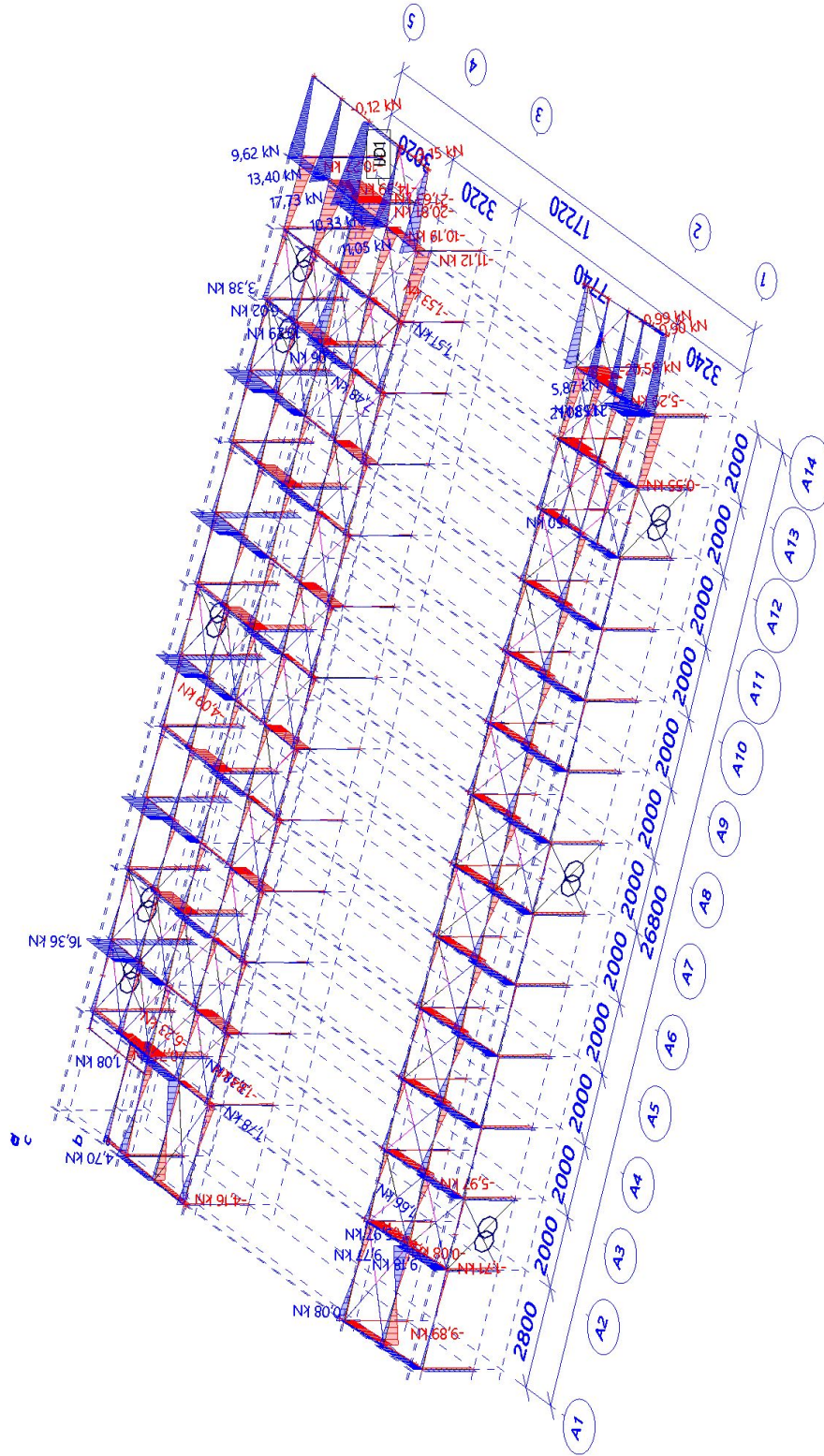
36. 1D vnitřní síly; V_y



Hodnoty: V_y
Lineární výpočet
Kombinace: MSÚ-Sada B (auto)
Souřadný systém: Hlavní
Extrém 1D: Průřez
Výběr: Vše



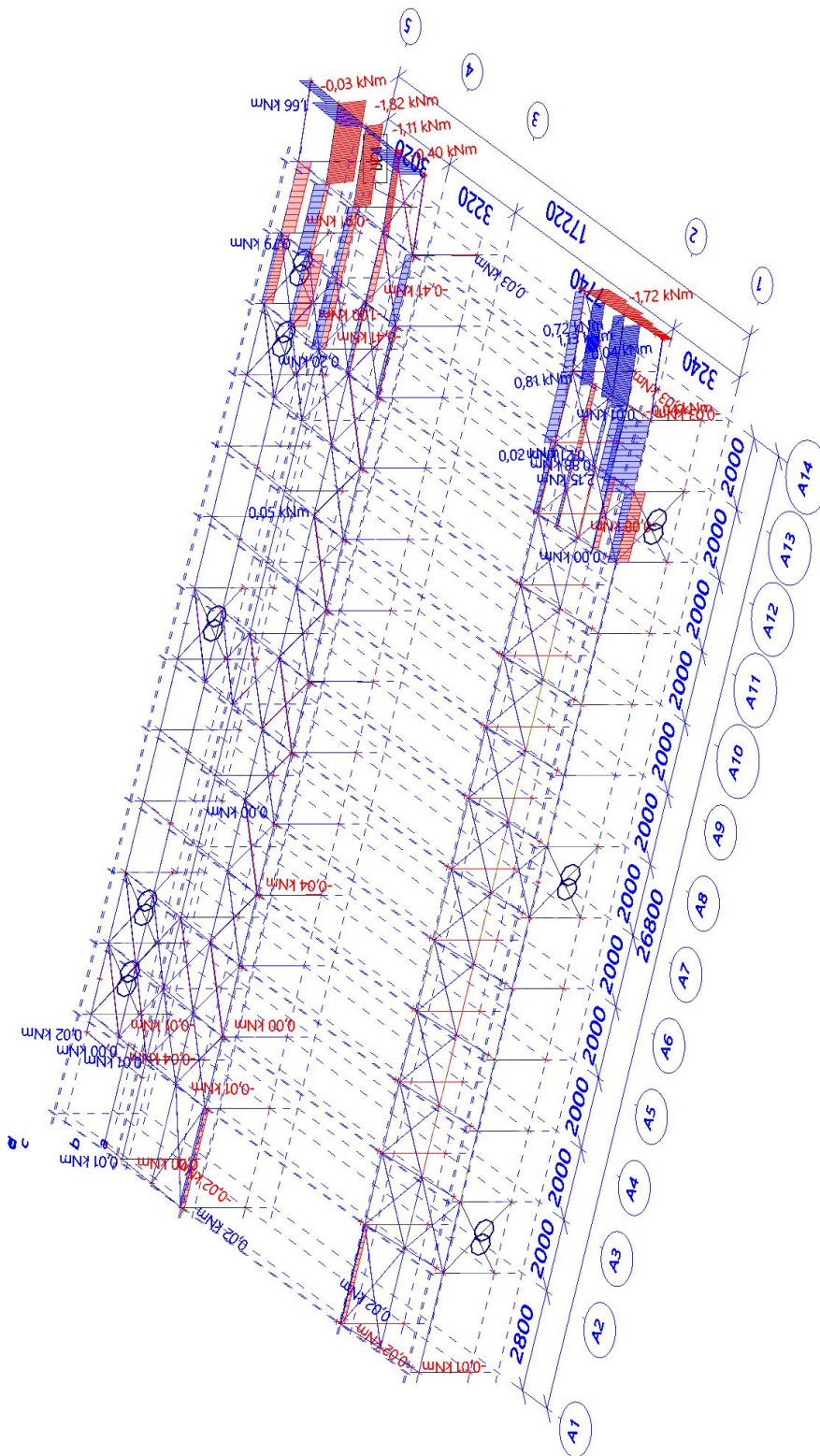
37. 1D vnitřní síly; V_z



Hodnoty: V_z
Lineární výpočet
Kombinace: MSÚ-Sada B (auto)
Souřadný systém: Hlavní
Extrém 1D: Průřez
Výběr: Vše



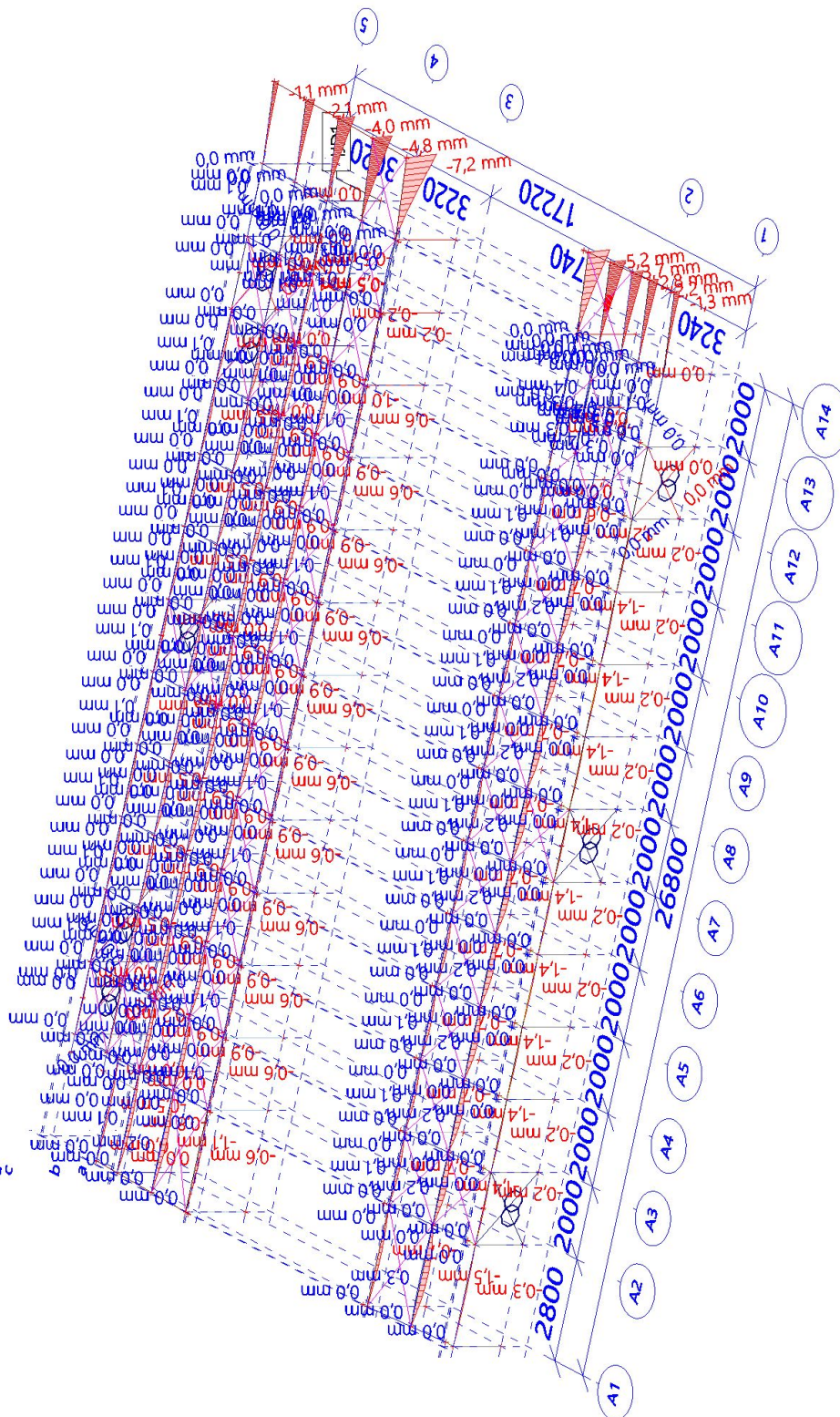
38. 1D vnitřní síly; M_x



Hodnoty: M_x
Lineární výpočet
Kombinace: MSÚ-Sada B (auto)
Souřadný systém: Hlavní
Extrém 1D: Průřez
Výběr: Vše

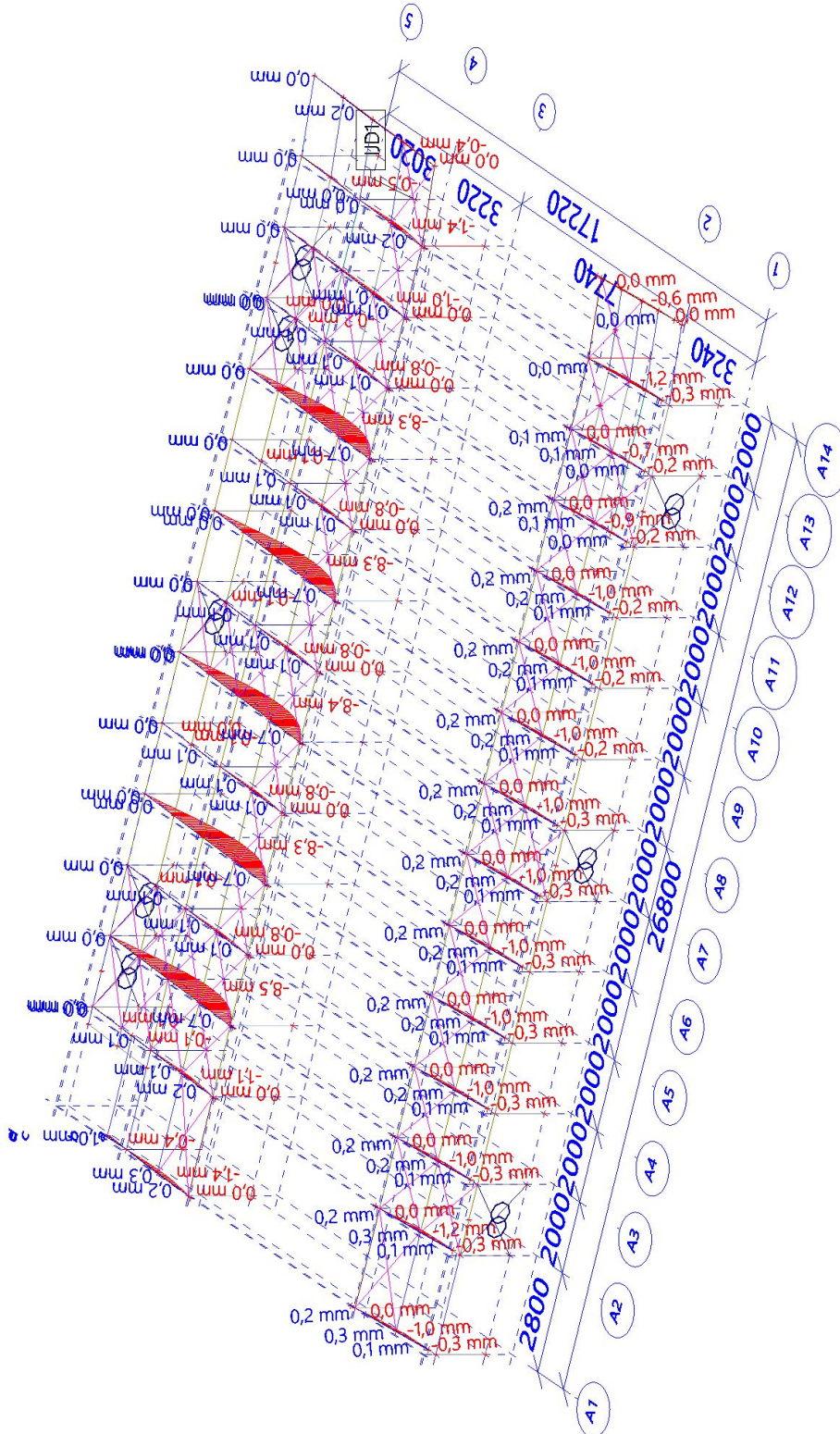


41. 1D deformace; u_z



Hodnoty: u_z
 Lineární výpočet
 Kombinace: MSP-Char (auto)
 Souřadný systém: Hlavní
 Extrém 1D: Lokální
 Výběr: Pojmenovaný výběr - STRECHA

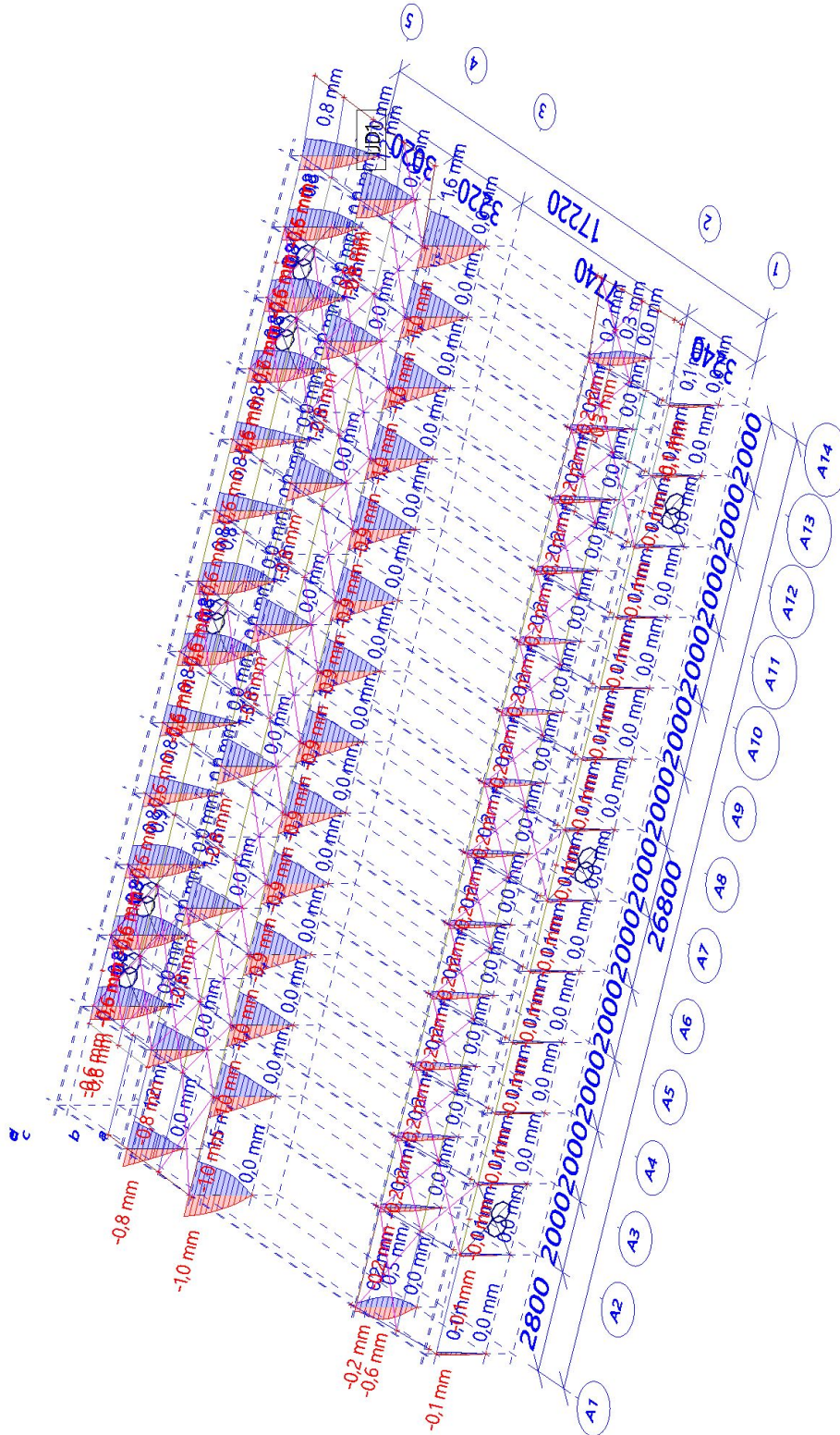
42. 1D deformace; u_z



Hodnoty: u_z
 Lineární výpočet
 Kombinace: MSP-Char (auto)
 Souřadný systém: Hlavní
 Extrém 1D: Lokální
 Výběr: Pojmenovaný výběr -
 STRECHA1

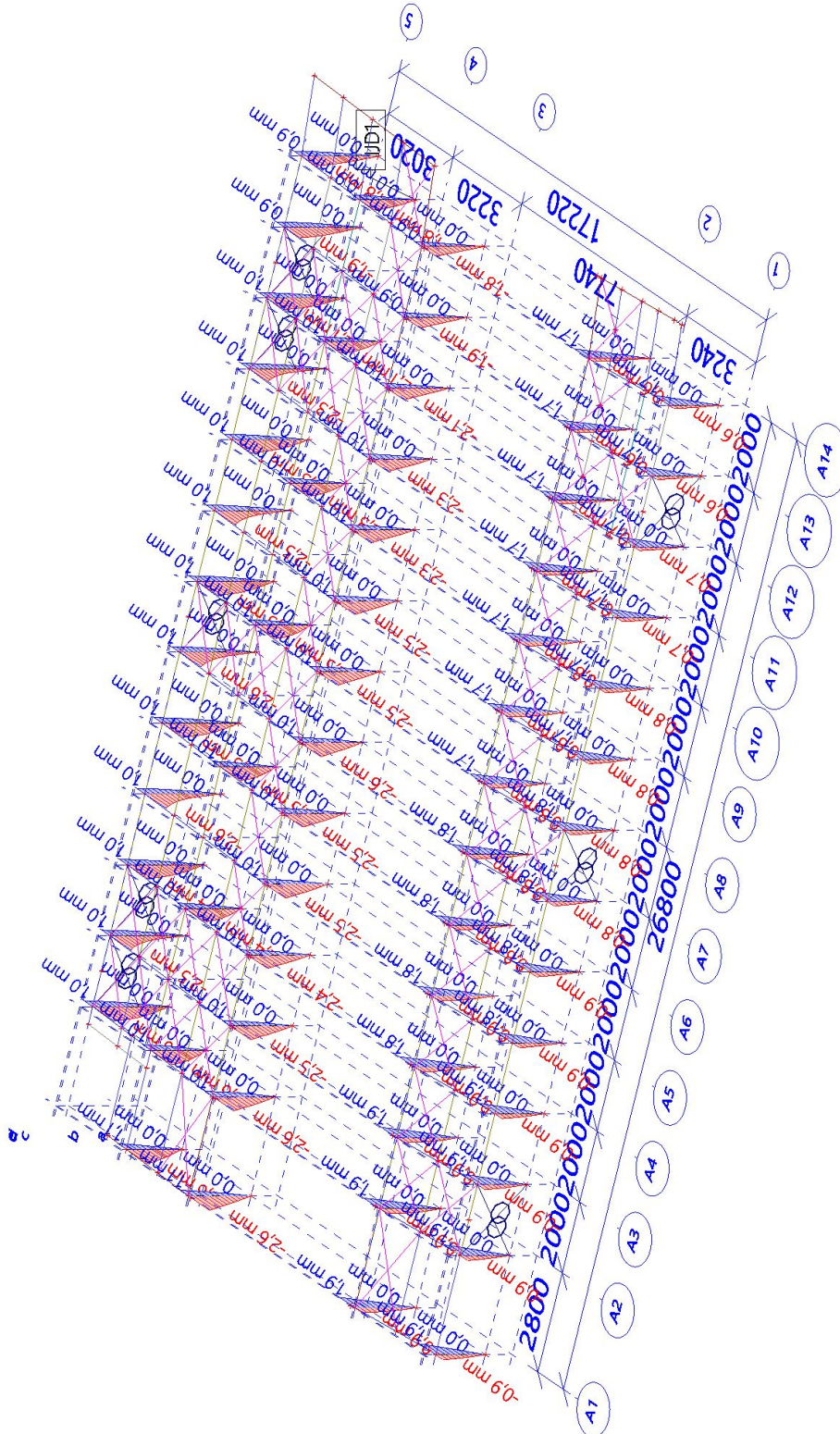


43. 1D deformace; u_x



Hodnoty: u_x
Lineární výpočet
Kombinace: MSP-Char (auto)
Souřadný systém: Globální
Extrém 1D: Lokální
Výběr: Vše
Filtr: Typ prutu = Sloup

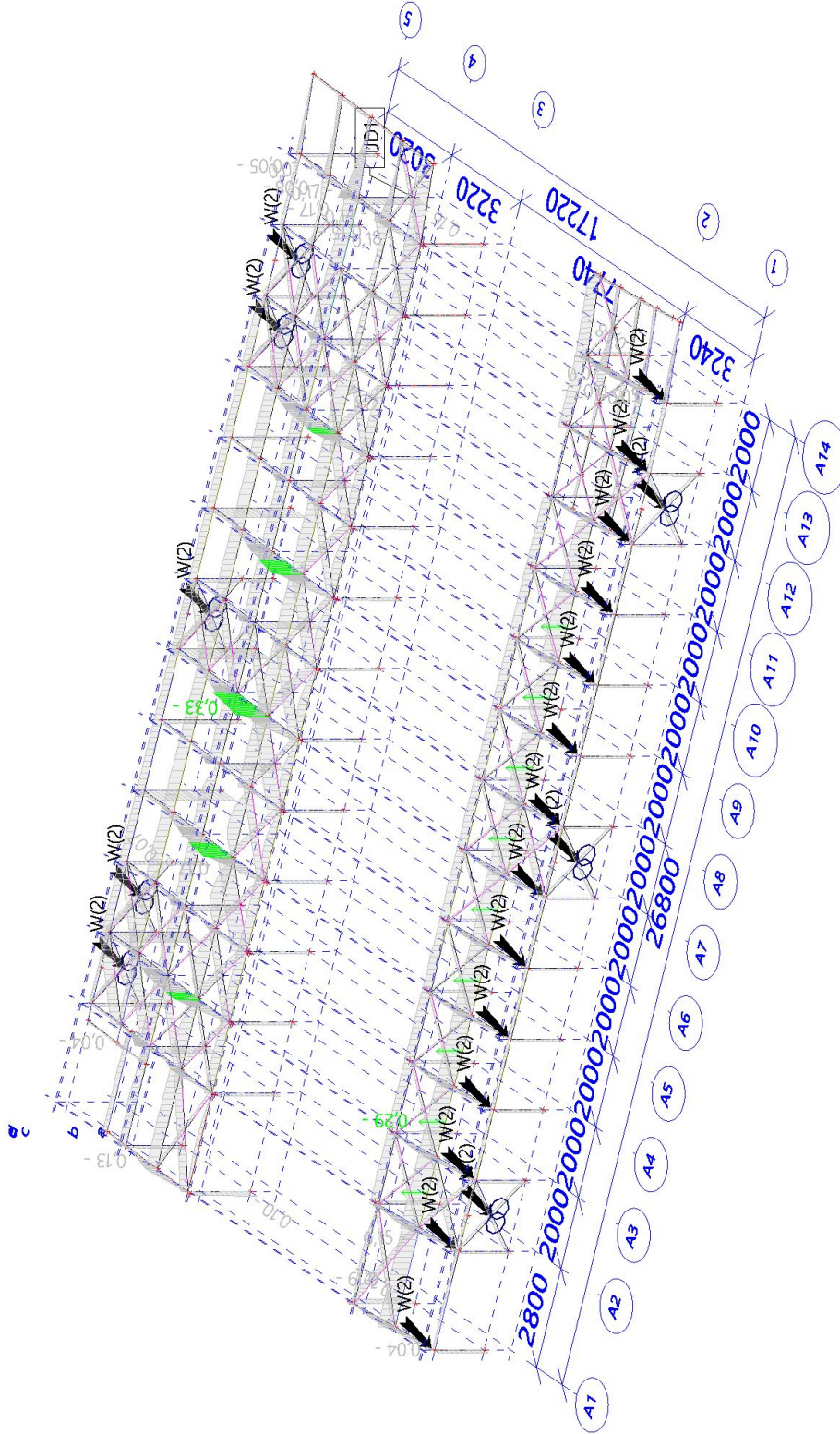
44. 1D deformace; u_y



Hodnoty: u_y
 Lineární výpočet
 Kombinace: MSP-Char (auto)
 Souřadný systém: Globální
 Extrém 1D: Lokální
 Výběr: Vše
 Filtr: Typ prutu = Sloup



45. EC-EN 1993 Posudek oceli MSÚ; Souhrnný posudek



Hodnoty: **UC**Celkový
Lineární výpočet
Kombinace: MSÚ-Sada B (auto)
Souběžný systém: Hlavní
Extrém ID: Průřez
Výběr: Vše
Na vybraných dílcích se vyskytuje 4
varování. 4 z nich je zobrazeno.

46. EC-EN 1993 Posudek oceli MSÚ

Hodnoty: **UC_{Celkový}**

Lineární výpočet

Kombinace: MSÚ-Sada B (auto)

Souřadný systém: Hlavní

Extrém 1D: Průřez

Výběr: Vše

Na vybraných dílcích se vyskytuje 4 varování. 4 z nich je zobrazeno.

Celkový posudek

Jméno	dx [m]	Stav	Průřez	Materiál	UC _{Celkový} [-]	UC _{Průřez} [-]	UC _{Stabilita} [-]	CH/V/P
B154	0,000	MSÚ-Sada B (auto)/1	SLOUP1 - RHS200/120/8.0	S 235	0,24	0,03	0,24	
B2	0,000	MSÚ-Sada B (auto)/2	SLOUP4 - Obecný průřez	S 235	0,10	0,03	0,10	
B3	0,335	MSÚ-Sada B (auto)/3	PŘÍČEL4 - Iw (300,00; 8,00; 120,00; 12,00; 276,00; 0,00)	S 235	0,04	0,04	0,00	W19, W22
B6	1,296-	MSÚ-Sada B (auto)/4	PŘÍČEL5 - Iw (300,00; 8,00; 120,00; 12,00; 276,00; 0,00)	S 235	0,15	0,15	0,14	
B56	0,000	MSÚ-Sada B (auto)/2	SLOUP6 - Obecný průřez	S 235	0,08	0,04	0,08	
B54	0,000	MSÚ-Sada B (auto)/5	PŘÍČEL9 - Iw (316,00; 10,00; 150,00; 20,00; 276,00; 0,00)	S 235	0,05	0,05	0,02	W19, W22
B94	1,482	MSÚ-Sada B (auto)/3	VAZNICE1 - IPE180	S 235	0,19	0,17	0,19	
B95	1,000	MSÚ-Sada B (auto)/1	VAZNICE - IPE120	S 235	0,29	0,21	0,29	
B238	2,000	MSÚ-Sada B (auto)/6	PRUVLAK5 - 2U komora (UPN300)	S 235	0,05	0,05	0,00	
B399	0,000	MSÚ-Sada B (auto)/7	PRUVLAK6 - Komora fl (150,00; 20,00; 80,00; 10,00; 120,00)	S 235	0,18	0,18	0,17	
B105	2,000	MSÚ-Sada B (auto)/5	PRUVLAK7 - 2U komora (UPN180)	S 235	0,07	0,07	0,00	
B119	0,000	MSÚ-Sada B (auto)/3	SLOUP5 - Obecný průřez	S 235	0,10	0,03	0,10	
B140	4,641-	MSÚ-Sada B (auto)/8	PŘÍČEL2 - Iw (300,00; 8,00; 120,00; 12,00; 276,00; 0,00)	S 235	0,33	0,26	0,33	
B169	0,000	MSÚ-Sada B (auto)/9	SLOUP - RHS200/120/8.0	S 235	0,16	0,06	0,16	
B120	2,594-	MSÚ-Sada B (auto)/5	PŘÍČEL7 - Iw (240,00; 6,00; 120,00; 10,00; 220,00; 0,00)	S 235	0,13	0,13	0,00	
B279	2,570	MSÚ-Sada B (auto)/6	ZTUZIDLO STRESNI 2 - CHS48.3/3.2	S 235	0,17	0,04	0,17	
B236	2,000	MSÚ-Sada B (auto)/4	PRUVLAK8 - 2U komora (UPN160)	S 235	0,15	0,15	0,00	
B237	2,000	MSÚ-Sada B (auto)/5	PRUVLAK13 - 2U komora (UPN260)	S 235	0,08	0,08	0,00	
B325	2,000	MSÚ-Sada B (auto)/6	PRUVLAK16 - 2U komora (UPN220)	S 235	0,17	0,17	0,15	
B326	0,000	MSÚ-Sada B (auto)/4	PRUVLAK9 - Komora fl (200,00; 15,00; 270,00; 10,00; 150,00)	S 235	0,05	0,05	0,05	
B330	0,000	MSÚ-Sada B (auto)/10	PRUVLAK11 - Komora fl (140,00; 12,00; 156,00; 8,00; 94,00)	S 235	0,07	0,07	0,00	
B336	0,000	MSÚ-Sada B (auto)/4	PRUVLAK12 - Komora fl (130,00; 12,00; 136,00; 8,00; 84,00)	S 235	0,14	0,14	0,00	
B337	0,000	MSÚ-Sada B (auto)/4	PRUVLAK10 - Komora fl (160,00; 12,00; 196,00; 10,00;	S 235	0,17	0,17	0,17	

Projekt RNR

Jméno	dx [m]	Stav	Průřez	Materiál	UC Celkový [-]	UC Průřez [-]	UC Stabilita [-]	CH/V/P
			110,00)					
B338	0,000	MSÚ-Sada B (auto)/5	PRUVLAK14 - Komora fl (180,00; 15,00; 230,00; 10,00; 130,00)	S 235	0,07	0,07	0,07	
B379	0,000	MSÚ-Sada B (auto)/11	STENOVE TAHLA - RD20	S 235	0,07	0,07	0,00	W2, W9
B374	2,047-	MSÚ-Sada B (auto)/9	PRUVLAK15 - UPE180	S 235	0,04	0,04	0,00	

Jméno	Klíč kombinace
MSÚ-Sada B (auto)/1	1.15*ZS1 + 1.15*ZS2 + 1.15*ZS3 + 1.50*ZS5 + 1.50*ZS6 + 0.90*3DVitr9
MSÚ-Sada B (auto)/2	1.15*ZS1 + 1.15*ZS2 + 1.15*ZS3 + 0.75*ZS5 + 1.50*ZS6 + 1.50*3DVitr13
MSÚ-Sada B (auto)/3	1.15*ZS1 + 1.15*ZS2 + 1.15*ZS3 + 0.75*ZS5 + 1.50*ZS6 + 1.50*3DVitr5
MSÚ-Sada B (auto)/4	1.15*ZS1 + 1.15*ZS2 + 1.15*ZS3 + 1.50*ZS5 + 1.50*ZS6 + 0.90*3DVitr5
MSÚ-Sada B (auto)/5	1.15*ZS1 + 1.15*ZS2 + 1.15*ZS3 + 1.50*ZS5 + 1.50*ZS6 + 0.90*3DVitr14
MSÚ-Sada B (auto)/6	1.15*ZS1 + 1.15*ZS2 + 1.15*ZS3 + 1.50*ZS5 + 1.50*ZS6 + 0.90*3DVitr1
MSÚ-Sada B (auto)/7	1.15*ZS1 + 1.15*ZS2 + 1.15*ZS3 + 1.50*ZS5 + 1.50*ZS6 + 0.90*3DVitr10
MSÚ-Sada B (auto)/8	1.15*ZS1 + 1.15*ZS2 + 1.15*ZS3 + 1.50*ZS5 + 1.50*ZS6 + 0.90*3DVitr2
MSÚ-Sada B (auto)/9	1.15*ZS1 + 1.15*ZS2 + 1.15*ZS3 + 0.75*ZS5 + 1.50*ZS6 + 1.50*3DVitr14
MSÚ-Sada B (auto)/10	1.15*ZS1 + 1.15*ZS2 + 1.15*ZS3 + 1.50*ZS5 + 1.50*ZS6 + 0.90*3DVitr13
MSÚ-Sada B (auto)/11	1.15*ZS1 + 1.15*ZS2 + 1.15*ZS3 + 0.75*ZS5 + 1.50*ZS6 + 1.50*3DVitr1

CH/V/P	Přítomno na dílcích
W19	B3, B50, B54
W22	B3, B50, B54
W2	B341, B342, B343, B345, B346, B378, B379
W9	B341, B342, B343, B345, B346, B378, B379

Projekt RNR

1. Projekt

Uživatel licence	info@kpstatika.cz
Projekt	RNR
Část	SO 664 - STŘEDOVÁ ČÁST B1 až B33
Popis	24-026-002
Autor	KPSTATIKA STAVBY s.r.o.
Datum	23.10.2024
Konstrukce	Obecná XYZ
Počet uzlů :	386
Počet prutů :	626
Počet ploch :	0
Počet těles :	0
Počet průřezů :	24
Počet zat. stavů :	22
Počet materiálů :	1
Tíhové zrychlení [m/s ²]	9,810
Národní norma	EC - EN

2. Obsah

1. Projekt	1
2. Obsah	1
3. EC0	2
4. EC3	3
5. Výpočtový model	4
6. Výpočtový model	5
7. Výpočtový model	6
8. Výpočtový model	7
9. Výpočtový model	8
10. Materiály	9
11. Průřezy	9
12. Uzly	29
13. Prvky	31
14. Zatěžovací panely	41
15. Pruty s proměnným průřezem	41
16. Klouby	46
17. Křížení	52
18. Podpory v uzlech	52
19. UZLY	54
20. PRVKY	55
21. PRŮŘEZY - VÝSEK	56
22. KLOUBY	57
23. PODPORY	58
24. Zatěžovací stavy	59
24.1. Zatěžovací stavy - ZS1	59
24.2. Zatěžovací stavy - ZS2	59
24.3. Zatěžovací stavy - ZS3	60
24.4. Zatěžovací stavy - ZS4	60
24.5. Zatěžovací stavy - ZS5	60
24.6. Zatěžovací stavy - ZS6	61
24.7. Zatěžovací stavy - 3DVítr1	61
24.8. Zatěžovací stavy - 3DVítr2	62
24.9. Zatěžovací stavy - 3DVítr3	62
24.10. Zatěžovací stavy - 3DVítr4	63
24.11. Zatěžovací stavy - 3DVítr5	63
24.12. Zatěžovací stavy - 3DVítr6	64
24.13. Zatěžovací stavy - 3DVítr7	64
24.14. Zatěžovací stavy - 3DVítr8	65
24.15. Zatěžovací stavy - 3DVítr9	65
24.16. Zatěžovací stavy - 3DVítr10	66
24.17. Zatěžovací stavy - 3DVítr11	66
24.18. Zatěžovací stavy - 3DVítr12	67

Projekt RNR

24.19. Zatěžovací stavy - 3DVitr13	67
24.20. Zatěžovací stavy - 3DVitr14	68
24.21. Zatěžovací stavy - 3DVitr15	68
24.22. Zatěžovací stavy - 3DVitr16	69
25. Zatěžovací stavy	69
26. Skupiny zatížení	70
27. Kombinace	70
28. Nelineární kombinace	71
29. Skupiny výsledků	71
30. Reakce	71
31. Reakce; R_z	91
32. Reakce; R_x	92
33. Reakce; R_y	93
34. Reakce; M_x	94
35. Reakce; M_z	95
36. 1D vnitřní síly	96
37. 1D vnitřní síly; N	110
38. 1D vnitřní síly; V_y	111
39. 1D vnitřní síly; V_z	112
40. 1D vnitřní síly; M_x	113
41. 1D vnitřní síly; M_y	114
42. 1D vnitřní síly; M_z	115
43. 1D deformace; u_z	116
44. 1D deformace; u_x	117
45. 1D deformace; u_y	118
46. 1D deformace; u_z	119
47. EC-EN 1993 Posudek oceli MSÚ; Souhrnný posudek	120
48. EC-EN 1993 Posudek oceli MSÚ	121

3. ECO

alternativa (STR/GEO)

Kombinace	Rov.6.10a & Rov.6.10b
-----------	--------------------------

Součinitele Psi

Zatížení	Psi0	Psi1	Psi2
KategorieA	0.7	0.5	0.3
KategorieB	0.7	0.5	0.3
KategorieC	0.7	0.7	0.6
KategorieD	0.7	0.7	0.6
KategorieE	1	0.9	0.8
KategorieF	0.7	0.7	0.6
KategorieG	0.7	0.5	0.3
KategorieH	0.7	0.2	0
Sníh	0.5	0.2	0
Vítr	0.6	0.2	0
Teplota	0.6	0.5	0
Zatížení ledem	0.5	0.2	0
Voda s proměnnou hladinou	0.5	0.2	0
Zatížení od výstavby	1	0	0.2

Součinitele zatížení do kombinací

Stálé zatížení - nepříznivé	1,35
Stálé zatížení - příznivé	1,00
Hlavní proměnné zatížení	1,50
Doprovodné proměnné zatížení	1,50
Redukční součinitel ksi	0,85
Stálé zatížení - nepříznivé	1,00
Stálé zatížení - příznivé	1,00
Hlavní proměnné zatížení	1,30
Doprovodné proměnné zatížení	1,30

4. EC3

Posudek prutu

Y-Y	✓
Z-Z	✗
Max. poměr k [-]	10,00
Max. štíhlost [-]	1000,00
Součinitele vzpěru pro 2. řád	Podle zadání
Křivky klopení	Válcované průřezy nebo ekvivalentní svařované
Metoda pro C1 C2 C3	ECCS 119/Galea
Metoda pro k_c	Určeno z C1
Pružné ověření	✗
Jen posudek na únosnost	✗
Rovinný vzpěr zohledněn výpočtem podle teorie druhého řádu	✗
Momenty na sloupech v jednoduché konstrukci	✗
Interakční metoda	Příloha B (alternativní metoda 2)
Gamma M0 [-]	1,00
Gamma M1 [-]	1,00
Gamma M2 [-]	1,25
a0 (1/hodnota) [-]	350,00
a (1/hodnota) [-]	300,00
b (1/hodnota) [-]	250,00
c (1/hodnota) [-]	200,00
d (1/hodnota) [-]	150,00
a0 (1/hodnota) [-]	300,00
a (1/hodnota) [-]	250,00
b (1/hodnota) [-]	200,00
c (1/hodnota) [-]	150,00
d (1/hodnota) [-]	100,00
a [-]	0,21
b [-]	0,34
c [-]	0,49
d [-]	0,76
Křivky klopení	Použít tabulku 6.4
Lambda,LT,0 [-]	0,40
Beta [-]	0,75
Křivky klopení	Použít tabulku 6.5
Součinitel modifikace f	Výchozí metoda podle EN

Požární odolnost

Křivka teplota - čas	Křivka ISO 834
Součinitel přestupu tepla prouděním α_c [W/m ² K]	25,00
Emisivita vztažená k požárnímu úseku ϵ_f [-]	1,00
Emisivita vztažená k povrchu materiálu ϵ_m [-]	0,70
Polohový faktor toku tepla sáláním ϕ [-]	1,00
Typ analýzy	Oblast pevnosti
Gama M,fi [-]	1,00
Použít opravný součinitel pro efekt stínu k_{sh}	✓
Únosnost průřezu třídy 4	Příloha E
Kritická teplota	Metoda podle ČSN-EN NAD

Tvářený za studena

Iterace výztuhy	✓
Celková iterace průřezu	✓
Spolupůsobení	EN 1993-1-1 čl. 6.3.3

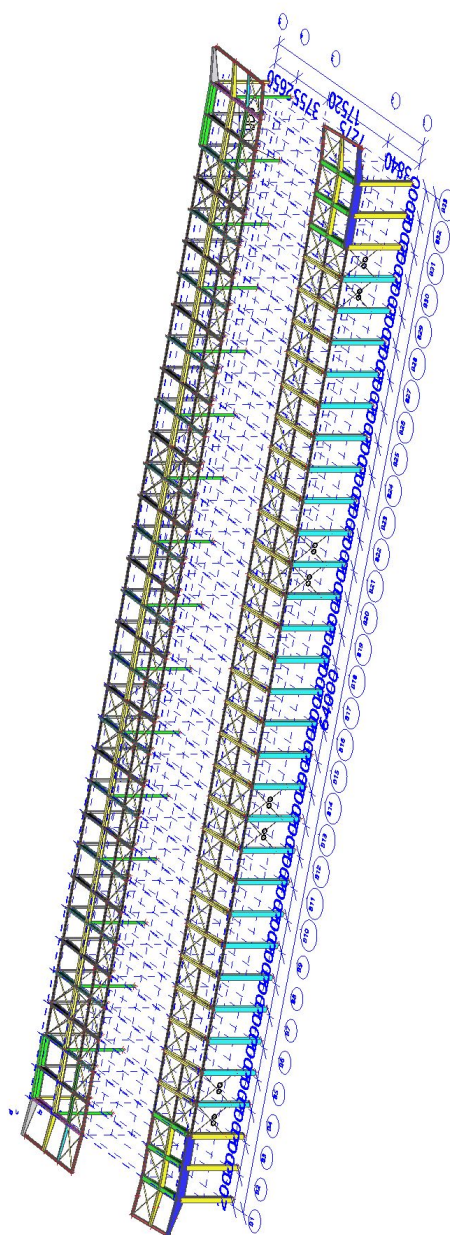
Projekt RNR

Limit pro velkou osovou sílu	0.1
Nosná délka S_s [mm]	10,00

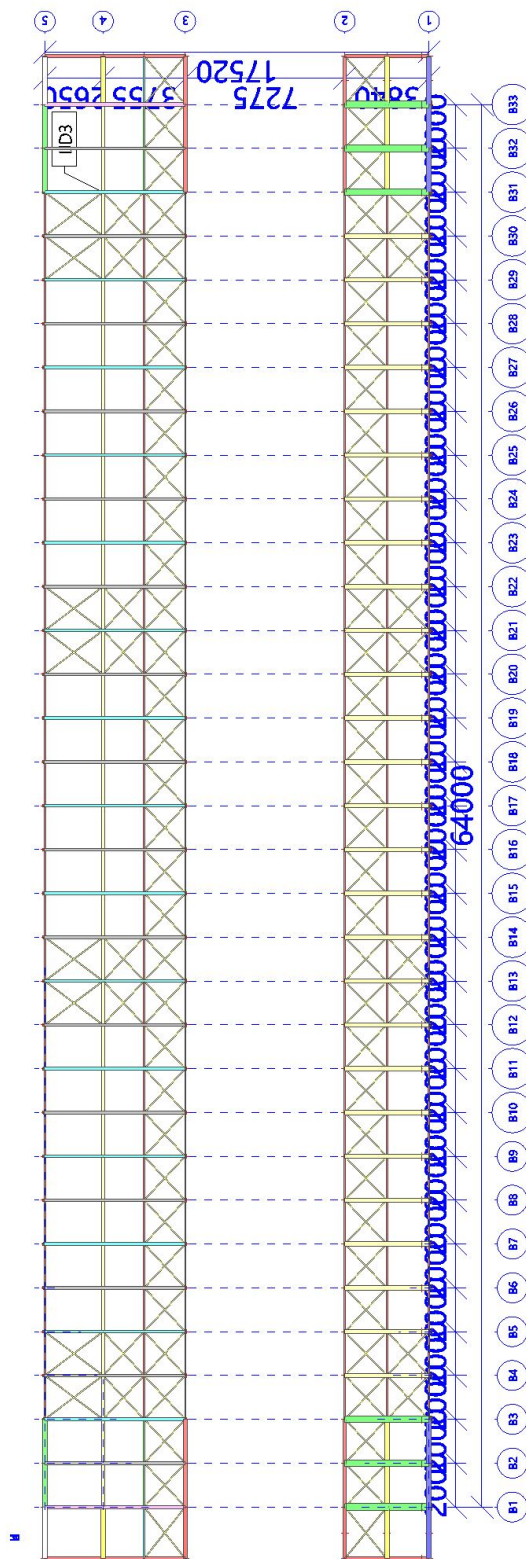
Národní příloha

Gama,M0 [-]	1,00
Gama,M1 [-]	1,00
Gama,M2 [-]	1,25
Gama,M3 [-]	1,25
Gama,c [-]	1,50
Součinitel modifikace [-]	1,00
Triangulační mez	Výchozí metoda podle EN

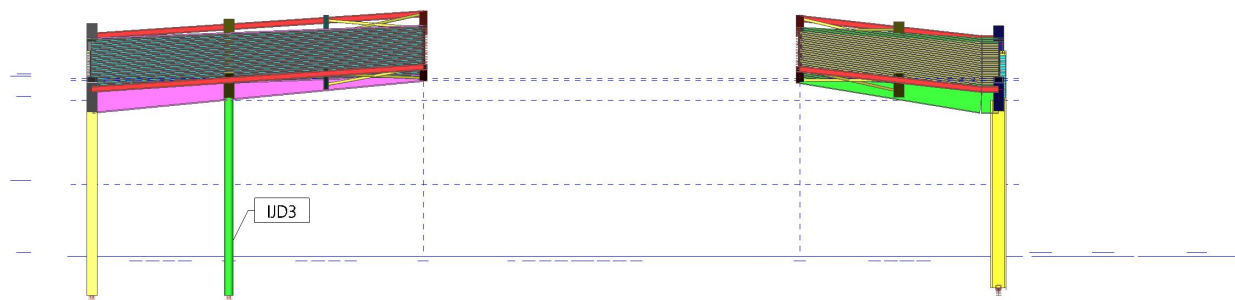
5. Výpočtový model



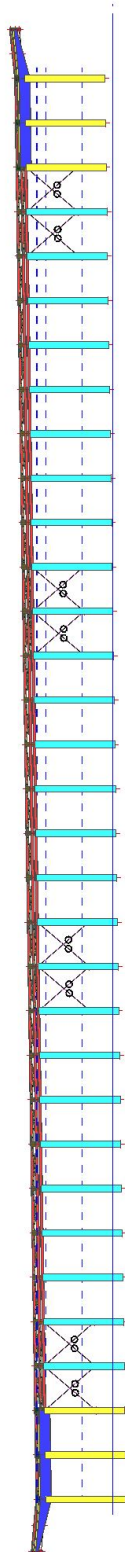
6. Výpočtový model



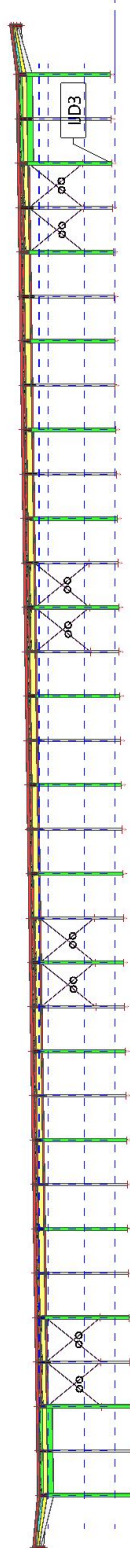
7. Výpočtový model



8. Výpočtový model




9. Výpočtový model




Projekt RNR

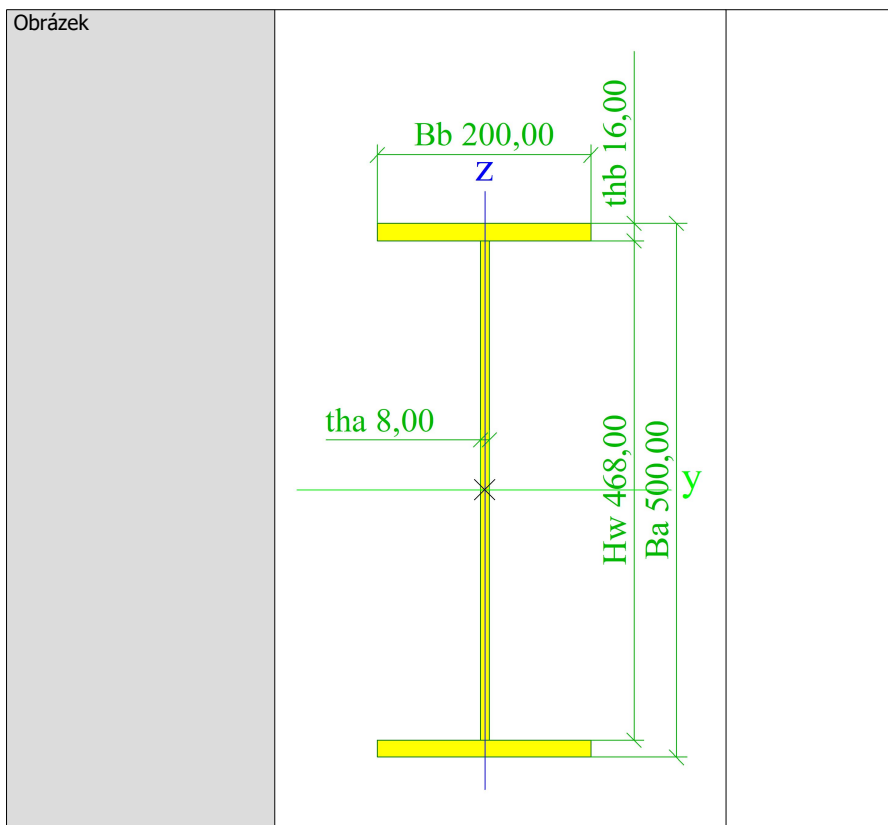
10. Materiály

Ocel EC3

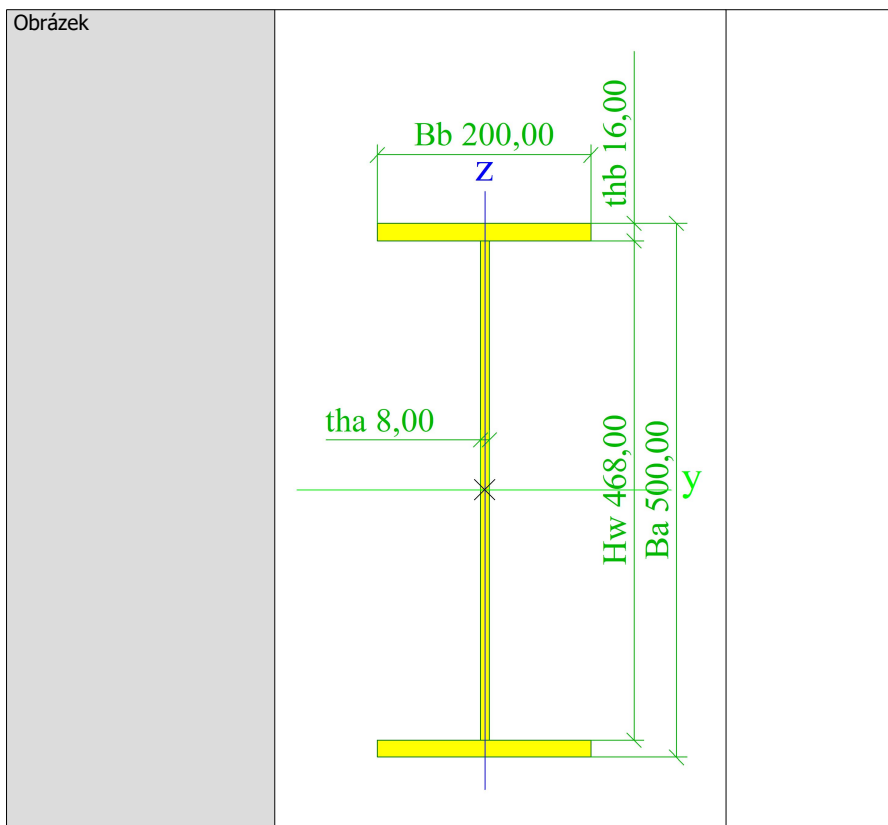
Jméno	ρ [kg/m ³]	E_{mod} [MPa]	μ	Dolní mez [mm]	Horní mez [mm]	F_y [MPa]	F_u [MPa]	Barva
		G_{mod} [MPa]	α [m/mK]					
S 235	7850,00	2,1000e+05	0,3	0,00	40,00	235,0	360,0	
		8,0769e+04	0,01e-003	40,00	80,00	215,0	360,0	

11. Průřezy

PŘÍČEL1		
Typ	Iw	
Detailní	500,00; 8,00; 200,00; 16,00; 468,00; 0,00	
Kód tvaru	1 - I průřez	
Typ tvaru	Tenkostěnný	
Materiál	S 235	
Výroba	svařovaný	
Barva		
Posudek rovinného vzpěru y-y, Posudek rovinného vzpěru z-z	b	c
A [mm ²]	1,0144e+04	
A _y [mm ²], A _z [mm ²]	5,8457e+03	4,0657e+03
A _L [m ² /m], A _D [m ² /m]	1,7840e+00	1,7840e+00
c _{y,UCS} [mm], c _{z,UCS} [mm]	100,00	250,00
α [deg]	0,00	
I _y [mm ⁴], I _z [mm ⁴]	4,4328e+08	2,1353e+07
i _y [mm], i _z [mm]	209,04	45,88
W _{el,y} [mm ³], W _{el,z} [mm ³]	1,7731e+06	2,1353e+05
W _{pl,y} [mm ³], W _{pl,z} [mm ³]	1,9868e+06	3,2749e+05
M _{pl,y,+} [Nmm], M _{pl,y,-} [Nmm]	466909280,00	466909280,00
M _{pl,z,+} [Nmm], M _{pl,z,-} [Nmm]	76959680,00	76959680,00
d _y [mm], d _z [mm]	0,00	0,00
I _t [mm ⁴], I _w [mm ⁶]	6,2874e+05	1,2494e+12
β_y [mm], β_z [mm]	0,00	0,00



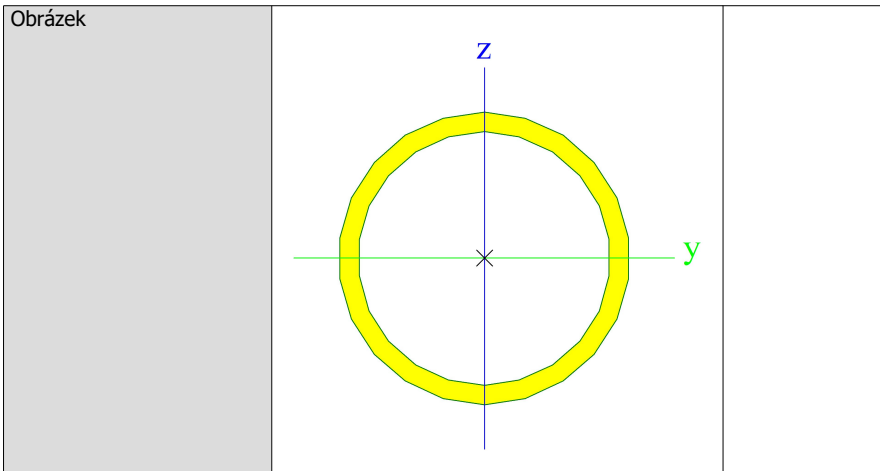
PŘÍČEL2		
Typ	Iw	
Detailní	500,00; 8,00; 200,00; 16,00; 468,00; 0,00	
Kód tvaru	1 - I průřez	
Typ tvaru	Tenkostěnný	
Materiál	S 235	
Výroba	svařovaný	
Barva	■	
Posudek rovinného vzpěru y-y, Posudek rovinného vzpěru z-z	b	c
A [mm ²]	1,0144e+04	
A _y [mm ²], A _z [mm ²]	5,8457e+03	4,0657e+03
A _L [m ² /m], A _D [m ² /m]	1,7840e+00	1,7840e+00
c _{y,UCS} [mm], c _{z,UCS} [mm]	100,00	250,00
α [deg]	0,00	
I _y [mm ⁴], I _z [mm ⁴]	4,4328e+08	2,1353e+07
i _y [mm], i _z [mm]	209,04	45,88
W _{el,y} [mm ³], W _{el,z} [mm ³]	1,7731e+06	2,1353e+05
W _{pl,y} [mm ³], W _{pl,z} [mm ³]	1,9868e+06	3,2749e+05
M _{pl,y,+} [Nmm], M _{pl,y,-} [Nmm]	466909280,00	466909280,00
M _{pl,z,+} [Nmm], M _{pl,z,-} [Nmm]	76959680,00	76959680,00
d _y [mm], d _z [mm]	0,00	0,00
I _t [mm ⁴], I _w [mm ⁶]	6,2874e+05	1,2494e+12
β _y [mm], β _z [mm]	0,00	0,00



STŘEŠNÍ ZTUŽIDLO

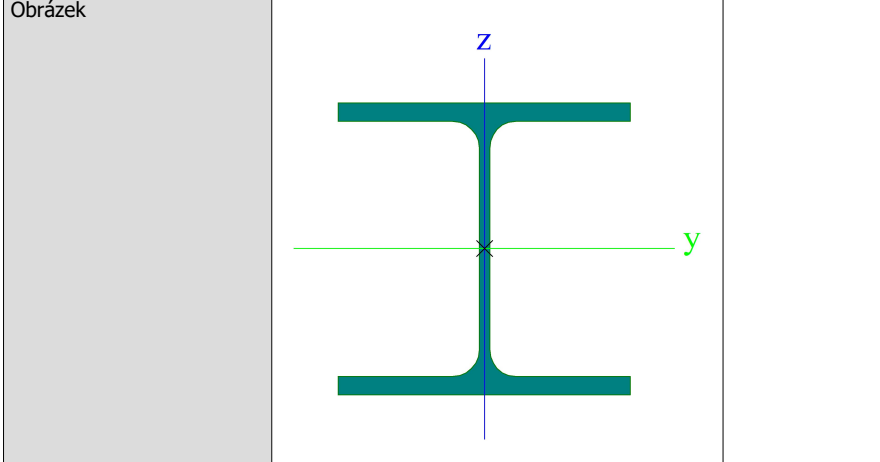
Typ	CHS48.3/3.2	
Kód tvaru	3 - Kruhové uzavřené průřezy	
Typ tvaru	Tenkostěnný	
Materiál	S 235	
Výroba	válcovaný	
Barva	■	
Posudek rovinného vzpěru y-y, Posudek rovinného vzpěru z-z	a	a
A [mm ²]	4,5300e+02	
A _y [mm ²], A _z [mm ²]	2,8864e+02	2,8864e+02
A _L [m ² /m], A _D [m ² /m]	1,5200e-01	2,8336e-01
c _{y,UCS} [mm], c _{z,UCS} [mm]	24,15	24,15
α [deg]	0,00	
I _y [mm ⁴], I _z [mm ⁴]	1,1600e+05	1,1600e+05
i _y [mm], i _z [mm]	16,00	16,00
W _{el,y} [mm ³], W _{el,z} [mm ³]	4,8000e+03	4,8000e+03
W _{pl,y} [mm ³], W _{pl,z} [mm ³]	6,4169e+03	6,4169e+03
M _{pl,y,+} [Nmm], M _{pl,y,-} [Nmm]	1531675,68	1531675,68
M _{pl,z,+} [Nmm], M _{pl,z,-} [Nmm]	1531675,68	1531675,68
d _y [mm], d _z [mm]	0,00	0,00
I _t [mm ⁴], I _w [mm ⁶]	2,3200e+05	1,7457e-25
β _y [mm], β _z [mm]	0,00	0,00

Projekt RNR



SLOUP4

Typ	HEB300	
Kód tvaru	1 - I průřez	
Typ tvaru	Tenkostěnný	
Materiál	S 235	
Výroba	válcovaný	
Barva	■	
Posudek rovinného vzpěru y-y, Posudek rovinného vzpěru z-z	b	c
A [mm ²]	1,4910e+04	
A _y [mm ²], A _z [mm ²]	1,0963e+04	3,5436e+03
A _L [m ² /m], A _D [m ² /m]	1,7300e+00	1,7314e+00
c _{y,UCS} [mm], c _{z,UCS} [mm]	150,00	150,00
α [deg]	0,00	
I _y [mm ⁴], I _z [mm ⁴]	2,5170e+08	8,5630e+07
i _y [mm], i _z [mm]	129,93	75,78
W _{el,y} [mm ³], W _{el,z} [mm ³]	1,6780e+06	5,7090e+05
W _{pl,y} [mm ³], W _{pl,z} [mm ³]	1,8690e+06	8,7010e+05
M _{pl,y,+} [Nmm], M _{pl,y,-} [Nmm]	439468980,57	439468980,57
M _{pl,z,+} [Nmm], M _{pl,z,-} [Nmm]	204525030,15	204525030,15
d _y [mm], d _z [mm]	0,00	0,00
I _t [mm ⁴], I _w [mm ⁶]	1,8500e+06	1,6878e+12
β _y [mm], β _z [mm]	0,00	0,00



SLOUP10

Typ	RHS200/120/8.0	
Kód tvaru	2 - Obdélníkové uzavřené průřezy	
Typ tvaru	Tenkostěnný	
Materiál	S 235	
Výroba	válcovaný	

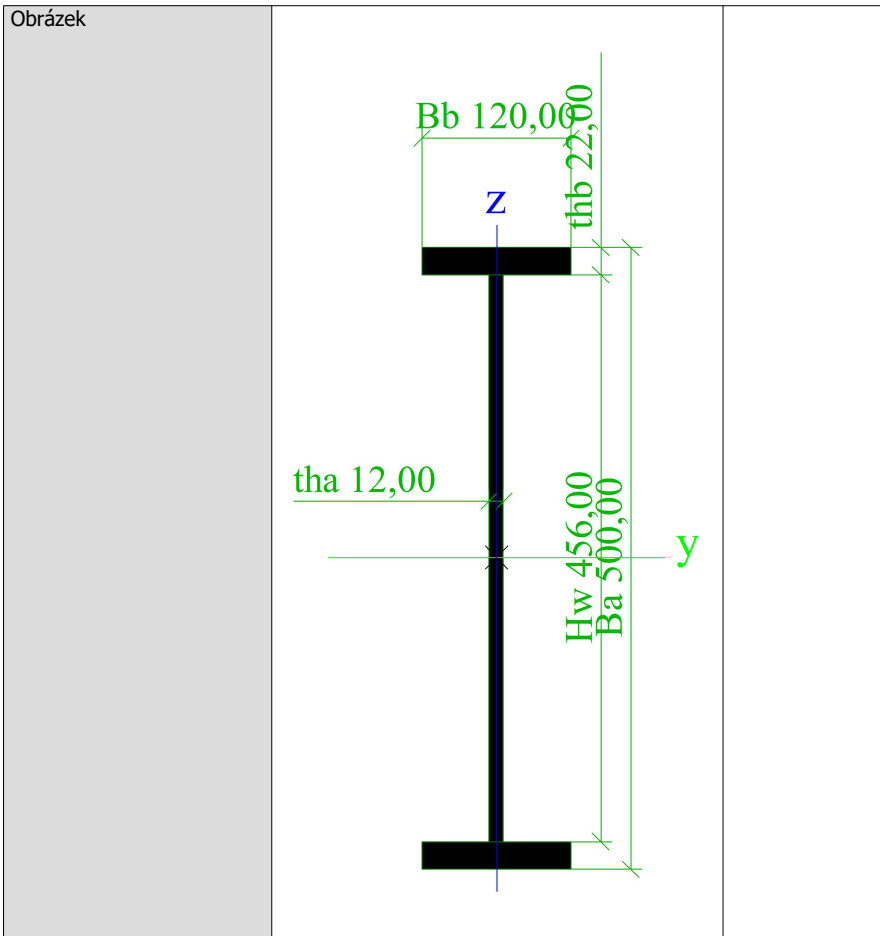
Projekt RNR

Barva	■	
Posudek rovinného vzpěru y-y, Posudek rovinného vzpěru z-z	a	a
A [mm ²]	4,8000e+03	
A _y [mm ²], A _z [mm ²]	1,7820e+03	2,9701e+03
A _L [m ² /m], A _D [m ² /m]	6,1900e-01	1,1884e+00
c _{y,UCS} [mm], c _{z,UCS} [mm]	60,00	100,00
α [deg]	0,00	
I _y [mm ⁴], I _z [mm ⁴]	2,5290e+07	1,1280e+07
i _y [mm], i _z [mm]	72,59	48,48
W _{el,y} [mm ³], W _{el,z} [mm ³]	2,5300e+05	1,8800e+05
W _{pl,y} [mm ³], W _{pl,z} [mm ³]	3,0877e+05	2,1597e+05
M _{pl,y,+} [Nmm], M _{pl,y,-} [Nmm]	72560792,25	72560792,25
M _{pl,z,+} [Nmm], M _{pl,z,-} [Nmm]	50751989,48	50751989,48
d _y [mm], d _z [mm]	0,00	0,00
I _t [mm ⁴], I _w [mm ⁶]	2,4950e+07	6,1440e+10
β _y [mm], β _z [mm]	0,00	0,00
Obrázek		
PŘÍČEL3		
Typ	Iw	
Detailní	500,00; 10,00; 120,00; 15,00; 470,00; 0,00	
Kód tvaru	1 - I průřez	
Typ tvaru	Tenkostěnný	
Materiál	S 235	
Výroba	svařovaný	
Barva	■	
Posudek rovinného vzpěru y-y, Posudek rovinného vzpěru z-z	b	c
A [mm ²]	8,3000e+03	
A _y [mm ²], A _z [mm ²]	3,6829e+03	4,9205e+03
A _L [m ² /m], A _D [m ² /m]	1,4600e+00	1,4600e+00
c _{y,UCS} [mm], c _{z,UCS} [mm]	60,00	250,00
α [deg]	0,00	
I _y [mm ⁴], I _z [mm ⁴]	2,9829e+08	4,3592e+06
i _y [mm], i _z [mm]	189,57	22,92
W _{el,y} [mm ³], W _{el,z} [mm ³]	1,1932e+06	7,2653e+04
W _{pl,y} [mm ³], W _{pl,z} [mm ³]	1,4252e+06	1,1975e+05
M _{pl,y,+} [Nmm], M _{pl,y,-} [Nmm]	334933750,00	334933750,00
M _{pl,z,+} [Nmm], M _{pl,z,-} [Nmm]	28141250,00	28141250,00
d _y [mm], d _z [mm]	0,00	0,00

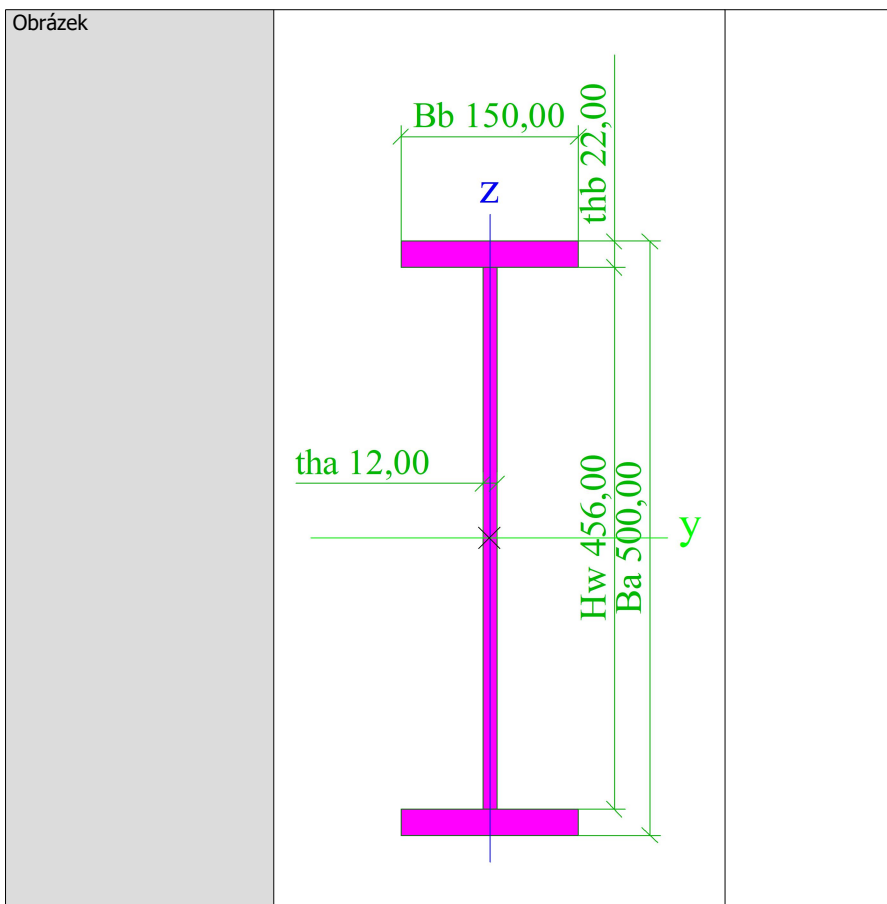
Projekt RNR

I_t [mm ⁴], I_w [mm ⁶]	4,3167e+05	2,5404e+11
β_y [mm], β_z [mm]	0,00	0,00
Obrázek		

PRÍČEL4		
Typ	Iw	
Detailní	500,00; 12,00; 120,00; 22,00; 456,00; 0,00	
Kód tvaru	1 - I průřez	
Typ tvaru	Tenkostěnný	
Materiál	S 235	
Výroba	svařovaný	
Barva	■	
Posudek rovinného vzpěru y-y, Posudek rovinného vzpěru z-z	b	c
A [mm ²]	1,0752e+04	
A _y [mm ²], A _z [mm ²]	5,3954e+03	5,8590e+03
A _L [m ² /m], A _D [m ² /m]	1,4560e+00	1,4560e+00
c _{y,UCS} [mm], c _{z,UCS} [mm]	60,00	250,00
α [deg]	0,00	
I _y [mm ⁴], I _z [mm ⁴]	3,9663e+08	6,4017e+06
i _y [mm], i _z [mm]	192,07	24,40
W _{el,y} [mm ³], W _{el,z} [mm ³]	1,5865e+06	1,0669e+05
W _{pl,y} [mm ³], W _{pl,z} [mm ³]	1,8857e+06	1,7482e+05
M _{pl,y,+} [Nmm], M _{pl,y,-} [Nmm]	443146080,00	443146080,00
M _{pl,z,+} [Nmm], M _{pl,z,-} [Nmm]	41081760,00	41081760,00
d _y [mm], d _z [mm]	0,00	0,00
I _t [mm ⁴], I _w [mm ⁶]	1,1272e+06	3,6192e+11
β _y [mm], β _z [mm]	0,00	0,00

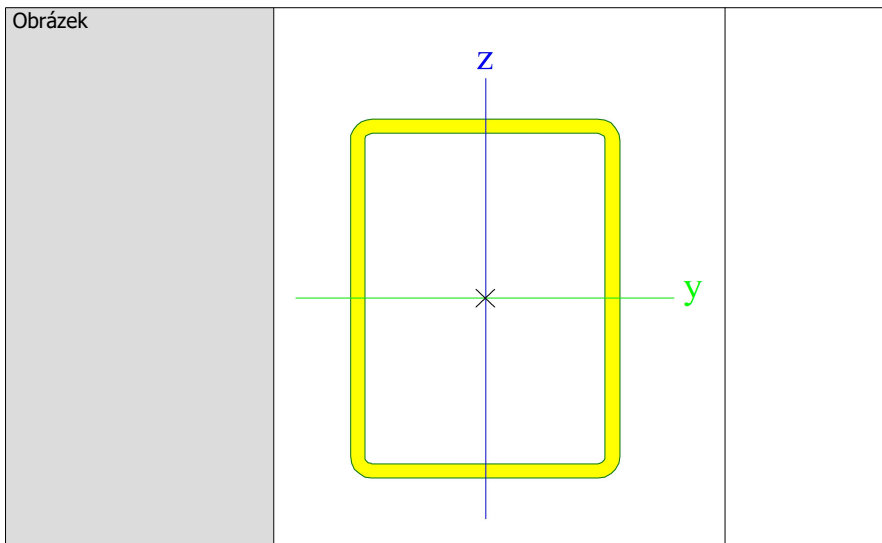


PŘÍČEL5		
Typ	Iw	
Detailní	500,00; 12,00; 150,00; 22,00; 456,00; 0,00	
Kód tvaru	1 - I průřez	
Typ tvaru	Tenkostěnný	
Materiál	S 235	
Výroba	svařovaný	
Barva	■	
Posudek rovinného vzpěru y-y, Posudek rovinného vzpěru z-z	b	c
A [mm ²]	1,2072e+04	
A _y [mm ²], A _z [mm ²]	6,6443e+03	5,9099e+03
A _L [m ² /m], A _D [m ² /m]	1,5760e+00	1,5760e+00
c _{y,UCS} [mm], c _{z,UCS} [mm]	75,00	250,00
α [deg]	0,00	
I _y [mm ⁴], I _z [mm ⁴]	4,7208e+08	1,2441e+07
i _y [mm], i _z [mm]	197,75	32,10
W _{el,y} [mm ³], W _{el,z} [mm ³]	1,8883e+06	1,6588e+05
W _{pl,y} [mm ³], W _{pl,z} [mm ³]	2,2012e+06	2,6392e+05
M _{pl,y,+} [Nmm], M _{pl,y,-} [Nmm]	517283880,00	517283880,00
M _{pl,z,+} [Nmm], M _{pl,z,-} [Nmm]	62020260,00	62020260,00
d _y [mm], d _z [mm]	0,00	0,00
I _t [mm ⁴], I _w [mm ⁶]	1,3401e+06	7,0687e+11
β _y [mm], β _z [mm]	0,00	0,00



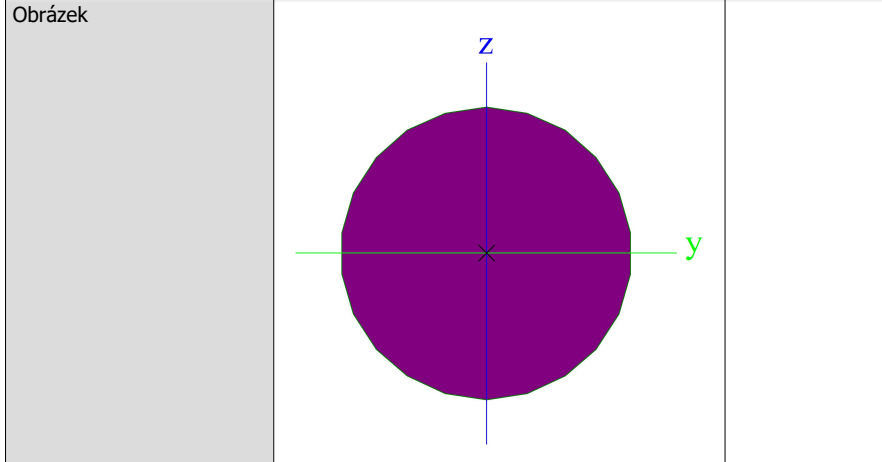
SLOUP12		
Typ	RHS200/150/8.0	
Kód tvaru	2 - Obdélníkové uzavřené průřezy	
Typ tvaru	Tenkostěnný	
Materiál	S 235	
Výroba	válcovaný	
Barva	■	
Posudek rovinného vzpěru y-y, Posudek rovinného vzpěru z-z	a	a
A [mm ²]	5,2800e+03	
A _y [mm ²], A _z [mm ²]	2,2423e+03	2,9898e+03
A _L [m ² /m], A _D [m ² /m]	6,7900e-01	1,3084e+00
c _{y,UCS} [mm], c _{z,UCS} [mm]	75,00	100,00
α [deg]	0,00	
I _y [mm ⁴], I _z [mm ⁴]	2,9710e+07	1,8940e+07
i _y [mm], i _z [mm]	75,01	59,89
W _{el,y} [mm ³], W _{el,z} [mm ³]	2,9700e+05	2,5300e+05
W _{pl,y} [mm ³], W _{pl,z} [mm ³]	3,5485e+05	2,9085e+05
M _{pl,y,+} [Nmm], M _{pl,y,-} [Nmm]	83389592,25	83389592,25
M _{pl,z,+} [Nmm], M _{pl,z,-} [Nmm]	68349090,52	68349090,52
d _y [mm], d _z [mm]	0,00	0,00
I _t [mm ⁴], I _w [mm ⁶]	3,6430e+07	1,0500e+11
β _y [mm], β _z [mm]	0,00	0,00

Projekt RNR



STENOVE TAHLO

Typ	RD20	
Kód tvaru	11 - Plný kruhový průřez	
Typ tvaru	Tlustostěnný	
Materiál	S 235	
Výroba	válcovaný	
Barva	■	
Posudek rovinného vzpěru y-y, Posudek rovinného vzpěru z-z	c	c
A [mm ²]	3,1400e+02	
A _y [mm ²], A _z [mm ²]	2,6918e+02	2,6918e+02
A _L [m ² /m], A _D [m ² /m]	6,2666e-02	6,2829e-02
c _{y,UCS} [mm], c _{z,UCS} [mm]	10,00	10,00
α [deg]	0,00	
I _y [mm ⁴], I _z [mm ⁴]	7,6894e+03	7,6894e+03
i _y [mm], i _z [mm]	4,95	4,95
W _{el,y} [mm ³], W _{el,z} [mm ³]	7,6894e+02	7,6894e+02
W _{pl,y} [mm ³], W _{pl,z} [mm ³]	1,3123e+03	1,3123e+03
M _{pl,y,+} [Nmm], M _{pl,y,-} [Nmm]	313237,90	313237,90
M _{pl,z,+} [Nmm], M _{pl,z,-} [Nmm]	313237,90	313237,90
d _y [mm], d _z [mm]	0,00	0,00
I _t [mm ⁴], I _w [mm ⁶]	1,5695e+04	0,0000e+00
β _y [mm], β _z [mm]	0,00	0,00



PRUVLAK5

Typ	IPE330	
Kód tvaru	1 - I průřez	
Typ tvaru	Tenkostěnný	

Projekt RNR

Materiál	S 235	
Výroba	válcovaný	
Barva	■	
Posudek rovinného vzpěru y-y, Posudek rovinného vzpěru z-z	a	b
A [mm ²]	6,2600e+03	
A _y [mm ²], A _z [mm ²]	3,7139e+03	2,5380e+03
A _L [m ² /m], A _D [m ² /m]	1,2540e+00	1,2540e+00
c _{y,ucs} [mm], c _{z,ucs} [mm]	80,00	165,00
α [deg]	0,00	
I _y [mm ⁴], I _z [mm ⁴]	1,1760e+08	7,8810e+06
i _y [mm], i _z [mm]	137,06	35,48
W _{el,y} [mm ³], W _{el,z} [mm ³]	7,1310e+05	9,8510e+04
W _{pl,y} [mm ³], W _{pl,z} [mm ³]	8,0430e+05	1,5360e+05
M _{pl,y,+} [Nmm], M _{pl,y,-} [Nmm]	189195891,77	189195891,77
M _{pl,z,+} [Nmm], M _{pl,z,-} [Nmm]	36126912,68	36126912,68
d _y [mm], d _z [mm]	0,00	0,00
I _E [mm ⁴], I _w [mm ⁶]	2,8060e+05	1,9900e+11
β _y [mm], β _z [mm]	0,00	0,00
Obrázek		

PRUVLAK6		
Typ	Komora fl	
Detailní	150,00; 20,00; 80,00; 10,00; 110,00	
Typ tvaru	Tenkostěnný	
Materiál	S 235	
Výroba	svařovaný	
Barva	■	
Posudek rovinného vzpěru y-y, Posudek rovinného vzpěru z-z	b	b
A [mm ²]	7,6000e+03	
A _y [mm ²], A _z [mm ²]	5,2165e+03	2,4840e+03
A _L [m ² /m], A _D [m ² /m]	5,8000e-01	9,6000e-01
c _{y,ucs} [mm], c _{z,ucs} [mm]	75,00	60,00
α [deg]	0,00	
I _y [mm ⁴], I _z [mm ⁴]	1,6053e+07	1,7023e+07
i _y [mm], i _z [mm]	45,96	47,33
W _{el,y} [mm ³], W _{el,z} [mm ³]	2,6756e+05	2,2698e+05
W _{pl,y} [mm ³], W _{pl,z} [mm ³]	3,3200e+05	3,2100e+05
M _{pl,y,+} [Nmm], M _{pl,y,-} [Nmm]	78020000,00	78020000,00

Projekt RNR

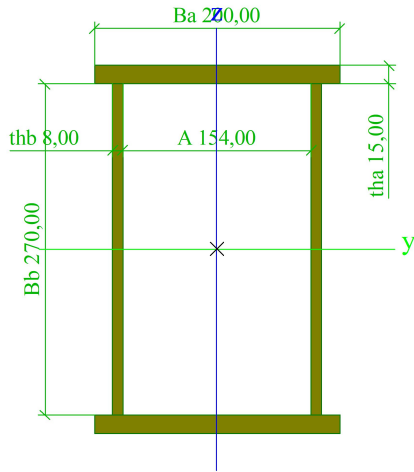
M _{pl.z.+} [Nmm], M _{pl.z.-} [Nmm]	75435000,00	75435000,00
d _y [mm], d _z [mm]	0,00	0,00
I _t [mm ⁴], I _w [mm ⁶]	1,8867e+07	2,8500e+09
β _y [mm], β _z [mm]	0,00	0,00
Obrázek		

SLOUP14		
Typ	Komora fl	
Detailní	300,00; 35,00; 230,00; 20,00; 230,00	
Typ tvaru	Tenkostěnný	
Materiál	S 235	
Výroba	svařovaný	
Barva	■	
Posudek rovinného vzpěru y-y, Posudek rovinného vzpěru z-z	b	b
A [mm ²]	3,0200e+04	
A _y [mm ²], A _z [mm ²]	1,8712e+04	1,1988e+04
A _L [m ² /m], A _D [m ² /m]	1,2600e+00	2,1800e+00
c _{y,UCS} [mm], c _{z,UCS} [mm]	150,00	150,00
α [deg]	0,00	
I _y [mm ⁴], I _z [mm ⁴]	4,1138e+08	3,0156e+08
i _y [mm], i _z [mm]	116,71	99,93
W _{el,y} [mm ³], W _{el,z} [mm ³]	2,7425e+06	2,0104e+06
W _{pl,y} [mm ³], W _{pl,z} [mm ³]	3,3115e+06	2,7250e+06
M _{pl.y.+} [Nmm], M _{pl.y.-} [Nmm]	778202500,00	778202500,00
M _{pl.z.+} [Nmm], M _{pl.z.-} [Nmm]	640375000,00	640375000,00
d _y [mm], d _z [mm]	0,00	0,00
I _t [mm ⁴], I _w [mm ⁶]	4,4044e+08	3,8685e+11
β _y [mm], β _z [mm]	0,00	0,00
Obrázek		

PRUVLAK7		
Typ	Komora fl	
Detailní	200,00; 15,00; 270,00; 8,00; 154,00	
Typ tvaru	Tenkostěnný	
Materiál	S 235	
Výroba	svařovaný	

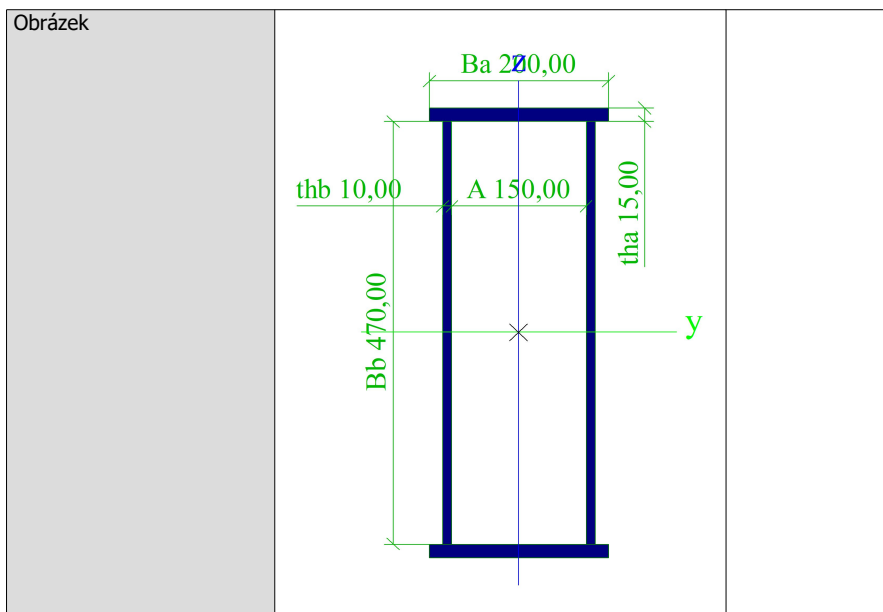
Projekt RNR

Barva	■	
Posudek rovinného vzpěru y-y, Posudek rovinného vzpěru z-z	b	b
A [mm ²]	1,0320e+04	
A _y [mm ²], A _z [mm ²]	5,2629e+03	4,6855e+03
A _L [m ² /m], A _D [m ² /m]	1,0600e+00	1,9080e+00
c _{y,UCS} [mm], c _{z,UCS} [mm]	100,00	150,00
α [deg]	0,00	
I _y [mm ⁴], I _z [mm ⁴]	1,4819e+08	4,8367e+07
i _y [mm], i _z [mm]	119,83	68,46
W _{el,y} [mm ³], W _{el,z} [mm ³]	9,8796e+05	4,8367e+05
W _{pl,y} [mm ³], W _{pl,z} [mm ³]	1,1466e+06	6,4992e+05
M _{pl,y,+} [Nmm], M _{pl,y,-} [Nmm]	269451000,00	269451000,00
M _{pl,z,+} [Nmm], M _{pl,z,-} [Nmm]	152731200,00	152731200,00
d _y [mm], d _z [mm]	0,00	0,00
I _t [mm ⁴], I _w [mm ⁶]	9,2380e+07	1,8489e+11
β _y [mm], β _z [mm]	0,00	0,00

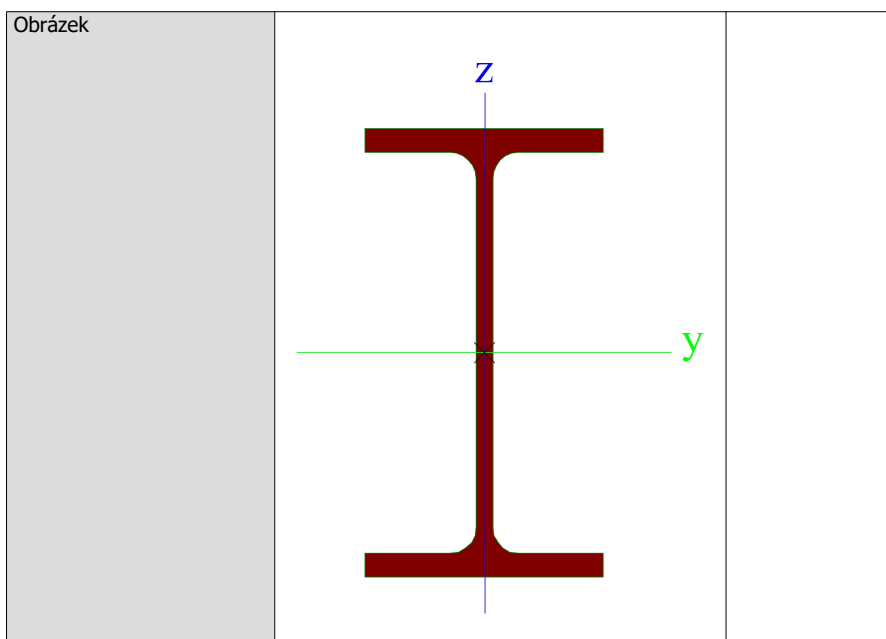


PRUVLAKS

Typ	Komora fl	
Detailní	200,00; 15,00; 470,00; 10,00; 150,00	
Typ tvaru	Tenkostěnný	
Materiál	S 235	
Výroba	svařovaný	
Barva	■	
Posudek rovinného vzpěru y-y, Posudek rovinného vzpěru z-z	b	b
A [mm ²]	1,5400e+04	
A _y [mm ²], A _z [mm ²]	5,1666e+03	9,7409e+03
A _L [m ² /m], A _D [m ² /m]	1,4600e+00	2,7000e+00
c _{y,UCS} [mm], c _{z,UCS} [mm]	100,00	250,00
α [deg]	0,00	
I _y [mm ⁴], I _z [mm ⁴]	5,2599e+08	8,0238e+07
i _y [mm], i _z [mm]	184,81	72,18
W _{el,y} [mm ³], W _{el,z} [mm ³]	2,1040e+06	8,0238e+05
W _{pl,y} [mm ³], W _{pl,z} [mm ³]	2,5595e+06	1,0520e+06
M _{pl,y,+} [Nmm], M _{pl,y,-} [Nmm]	601482500,00	601482500,00
M _{pl,z,+} [Nmm], M _{pl,z,-} [Nmm]	247220000,00	247220000,00
d _y [mm], d _z [mm]	0,00	0,00
I _t [mm ⁴], I _w [mm ⁶]	2,0433e+08	1,0101e+12
β _y [mm], β _z [mm]	0,00	0,00

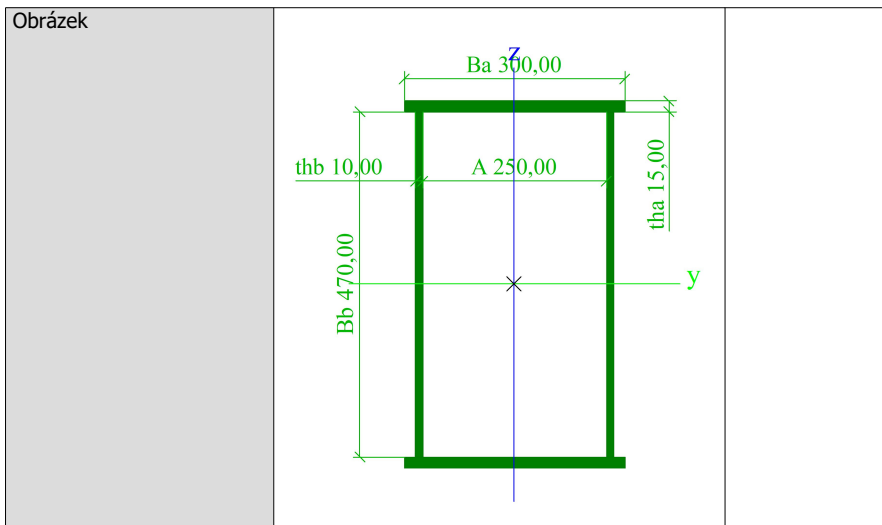


VAZNICE		
Typ	IPE120	
Kód tvaru	1 - I průřez	
Typ tvaru	Tenkostěnný	
Materiál	S 235	
Výroba	válcovaný	
Barva	■	
Posudek rovinného vzpěru y-y, Posudek rovinného vzpěru z-z	a	b
A [mm ²]	1,3200e+03	
A _y [mm ²], A _z [mm ²]	8,4381e+02	5,3657e+02
A _L [m ² /m], A _D [m ² /m]	4,7513e-01	4,7513e-01
c _{y,UCS} [mm], c _{z,UCS} [mm]	32,00	60,00
α [deg]	0,00	
I _y [mm ⁴], I _z [mm ⁴]	3,1770e+06	2,7660e+05
i _y [mm], i _z [mm]	49,06	14,48
W _{el,y} [mm ³], W _{el,z} [mm ³]	5,2950e+04	8,6460e+03
W _{pl,y} [mm ³], W _{pl,z} [mm ³]	6,0720e+04	1,3580e+04
M _{pl,y,+} [Nmm], M _{pl,y,-} [Nmm]	14279763,81	14279763,81
M _{pl,z,+} [Nmm], M _{pl,z,-} [Nmm]	3192292,78	3192292,78
d _y [mm], d _z [mm]	0,00	0,00
I _t [mm ⁴], I _w [mm ⁶]	1,6900e+04	8,8900e+08
β _y [mm], β _z [mm]	0,00	0,00



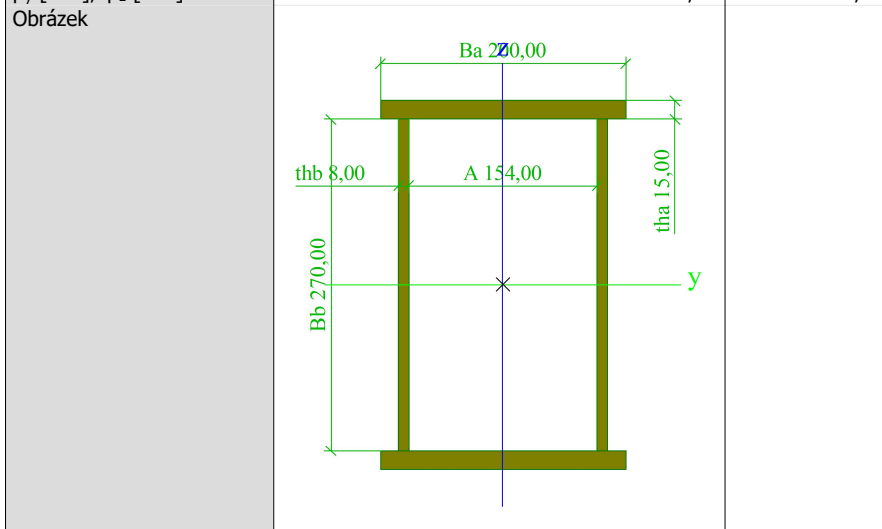
PRICEL		
Typ	Komora fl	
Detailní	300,00; 15,00; 470,00; 10,00; 250,00	
Typ tvaru	Tenkostěnný	
Materiál	S 235	
Výroba	svařovaný	
Barva	■	
Posudek rovinného vzpěru y-y, Posudek rovinného vzpěru z-z	b	b
A [mm ²]	1,8400e+04	
A _y [mm ²], A _z [mm ²]	8,3015e+03	9,9515e+03
A _L [m ² /m], A _D [m ² /m]	1,6600e+00	3,1000e+00
c _{y,ucs} [mm], c _{z,ucs} [mm]	150,00	250,00
α [deg]	0,00	
I _y [mm ⁴], I _z [mm ⁴]	7,0246e+08	2,2644e+08
i _y [mm], i _z [mm]	195,39	110,93
W _{el,y} [mm ³], W _{el,z} [mm ³]	2,8099e+06	1,5096e+06
W _{pl,y} [mm ³], W _{pl,z} [mm ³]	3,2870e+06	1,8970e+06
M _{pl,y,+} [Nmm], M _{pl,y,-} [Nmm]	772445000,00	772445000,00
M _{pl,z,+} [Nmm], M _{pl,z,-} [Nmm]	445795000,00	445795000,00
d _y [mm], d _z [mm]	0,00	0,00
I _t [mm ⁴], I _w [mm ⁶]	4,8407e+08	1,6629e+12
β _y [mm], β _z [mm]	0,00	0,00

Projekt RNR



pruvlak2

Typ	Komora fl	
Detailní	200,00; 15,00; 270,00; 8,00; 154,00	
Typ tvaru	Tenkostěnný	
Materiál	S 235	
Výroba	svařovaný	
Barva	■	
Posudek rovinného vzpěru y-y, Posudek rovinného vzpěru z-z	b	b
A [mm ²]	1,0320e+04	
A _y [mm ²], A _z [mm ²]	5,2629e+03	4,6855e+03
A _L [m ² /m], A _D [m ² /m]	1,0600e+00	1,9080e+00
C _{y,UCS} [mm], C _{z,UCS} [mm]	100,00	150,00
α [deg]	0,00	
I _y [mm ⁴], I _z [mm ⁴]	1,4819e+08	4,8367e+07
i _y [mm], i _z [mm]	119,83	68,46
W _{el,y} [mm ³], W _{el,z} [mm ³]	9,8796e+05	4,8367e+05
W _{pl,y} [mm ³], W _{pl,z} [mm ³]	1,1466e+06	6,4992e+05
M _{pl,y,+} [Nmm], M _{pl,y,-} [Nmm]	269451000,00	269451000,00
M _{pl,z,+} [Nmm], M _{pl,z,-} [Nmm]	152731200,00	152731200,00
d _y [mm], d _z [mm]	0,00	0,00
I _F [mm ⁴], I _w [mm ⁶]	9,2380e+07	1,8489e+11
β _y [mm], β _z [mm]	0,00	0,00

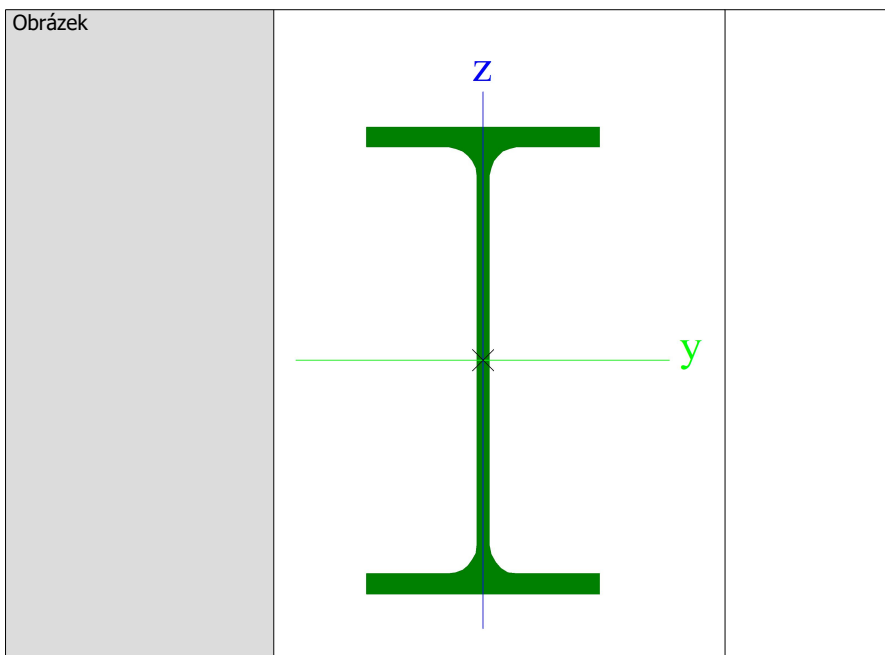


PRUVLAK9

Typ	Komora fl	
-----	-----------	--

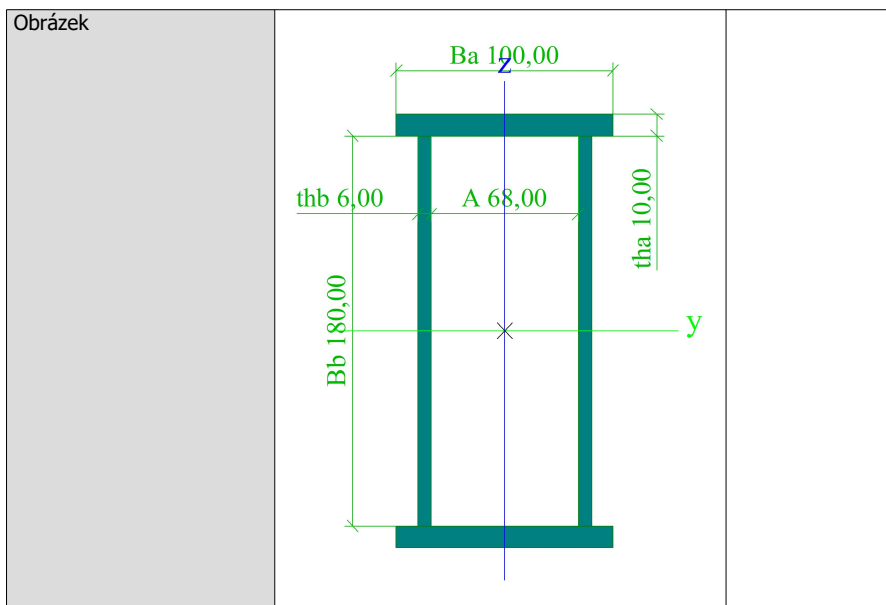
Projekt RNR

Detailní	150,00; 20,00; 80,00; 10,00; 110,00	
Typ tvaru	Tenkostěnný	
Materiál	S 235	
Výroba	svařovaný	
Barva	■	
Posudek rovinného vzpěru y-y, Posudek rovinného vzpěru z-z	b	b
A [mm ²]	7,6000e+03	
A _y [mm ²], A _z [mm ²]	5,2165e+03	2,4840e+03
A _L [m ² /m], A _D [m ² /m]	5,8000e-01	9,6000e-01
c _{y,UCS} [mm], c _{z,UCS} [mm]	75,00	60,00
α [deg]	0,00	
I _y [mm ⁴], I _z [mm ⁴]	1,6053e+07	1,7023e+07
i _y [mm], i _z [mm]	45,96	47,33
W _{el,y} [mm ³], W _{el,z} [mm ³]	2,6756e+05	2,2698e+05
W _{pl,y} [mm ³], W _{pl,z} [mm ³]	3,3200e+05	3,2100e+05
M _{pl,y,+} [Nmm], M _{pl,y,-} [Nmm]	78020000,00	78020000,00
M _{pl,z,+} [Nmm], M _{pl,z,-} [Nmm]	75435000,00	75435000,00
d _y [mm], d _z [mm]	0,00	0,00
I _t [mm ⁴], I _w [mm ⁶]	1,8867e+07	2,8500e+09
β _y [mm], β _z [mm]	0,00	0,00
Obrázek		
NOSNIK		
Typ	IPE200	
Kód tvaru	1 - I průřez	
Typ tvaru	Tenkostěnný	
Materiál	S 235	
Výroba	válcovaný	
Barva	■	
Posudek rovinného vzpěru y-y, Posudek rovinného vzpěru z-z	a	b
A [mm ²]	2,8500e+03	
A _y [mm ²], A _z [mm ²]	1,7729e+03	1,1448e+03
A _L [m ² /m], A _D [m ² /m]	7,6810e-01	7,6810e-01
c _{y,UCS} [mm], c _{z,UCS} [mm]	50,00	100,00
α [deg]	0,00	
I _y [mm ⁴], I _z [mm ⁴]	1,9430e+07	1,4230e+06
i _y [mm], i _z [mm]	82,57	22,34
W _{el,y} [mm ³], W _{el,z} [mm ³]	1,9430e+05	2,8470e+04
W _{pl,y} [mm ³], W _{pl,z} [mm ³]	2,2060e+05	4,4610e+04
M _{pl,y,+} [Nmm], M _{pl,y,-} [Nmm]	51897038,90	51897038,90
M _{pl,z,+} [Nmm], M _{pl,z,-} [Nmm]	10487720,20	10487720,20
d _y [mm], d _z [mm]	0,00	0,00
I _t [mm ⁴], I _w [mm ⁶]	6,9150e+04	1,2980e+10
β _y [mm], β _z [mm]	0,00	0,00



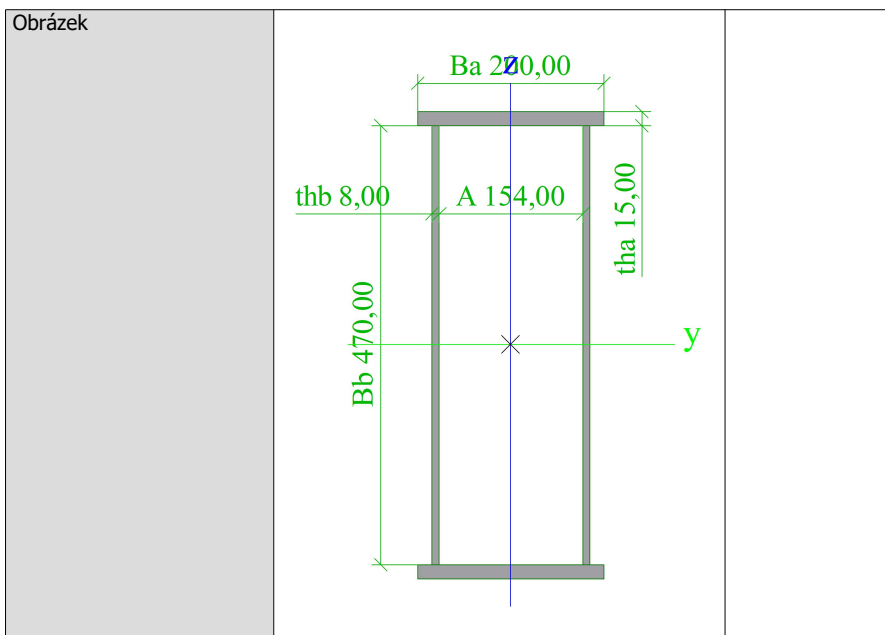
pruvlak3		
Typ	Komora fl	
Detailní	100,00; 10,00; 180,00; 6,00; 68,00	
Typ tvaru	Tenkostěnný	
Materiál	S 235	
Výroba	svařovaný	
Barva	■	
Posudek rovinného vzpěru y-y, Posudek rovinného vzpěru z-z	b	b
A [mm ²]	4,1600e+03	
A _y [mm ²], A _z [mm ²]	1,7207e+03	2,3102e+03
A _L [m ² /m], A _D [m ² /m]	6,4000e-01	1,1360e+00
c _{y,UCS} [mm], c _{z,UCS} [mm]	50,00	100,00
α [deg]	0,00	
I _y [mm ⁴], I _z [mm ⁴]	2,3899e+07	4,6302e+06
i _y [mm], i _z [mm]	75,79	33,36
W _{el,y} [mm ³], W _{el,z} [mm ³]	2,3899e+05	9,2604e+04
W _{pl,y} [mm ³], W _{pl,z} [mm ³]	2,8720e+05	1,2992e+05
M _{pl,y,+} [Nmm], M _{pl,y,-} [Nmm]	67492000,00	67492000,00
M _{pl,z,+} [Nmm], M _{pl,z,-} [Nmm]	30531200,00	30531200,00
d _y [mm], d _z [mm]	0,00	0,00
I _t [mm ⁴], I _w [mm ⁶]	1,0214e+07	1,0120e+10
β _y [mm], β _z [mm]	0,00	0,00

Projekt RNR

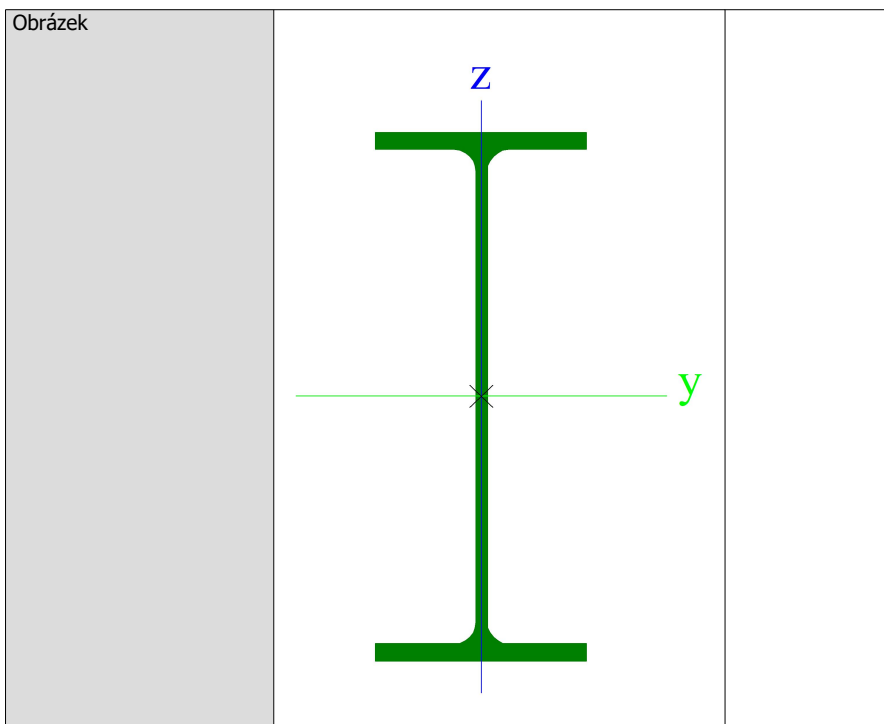


průvlak4		
Typ	Komora fl	
Detailní	200,00; 15,00; 470,00; 8,00; 154,00	
Typ tvaru	Tenkostěnný	
Materiál	S 235	
Výroba	svařovaný	
Barva	■	
Posudek rovinného vzpěru y-y, Posudek rovinného vzpěru z-z	b	b
A [mm ²]	1,3520e+04	
A _y [mm ²], A _z [mm ²]	5,2860e+03	7,8898e+03
A _L [m ² /m], A _D [m ² /m]	1,4600e+00	2,7080e+00
c _{y,UCS} [mm], c _{z,UCS} [mm]	100,00	250,00
α [deg]	0,00	
I _y [mm ⁴], I _z [mm ⁴]	4,9138e+08	6,9379e+07
i _y [mm], i _z [mm]	190,64	71,63
W _{el,y} [mm ³], W _{el,z} [mm ³]	1,9655e+06	6,9379e+05
W _{pl,y} [mm ³], W _{pl,z} [mm ³]	2,3386e+06	9,0912e+05
M _{pl,y,+} [Nmm], M _{pl,y,-} [Nmm]	549571000,00	549571000,00
M _{pl,z,+} [Nmm], M _{pl,z,-} [Nmm]	213643200,00	213643200,00
d _y [mm], d _z [mm]	0,00	0,00
I _t [mm ⁴], I _w [mm ⁶]	1,7348e+08	1,0839e+12
β _y [mm], β _z [mm]	0,00	0,00

Projekt RNR

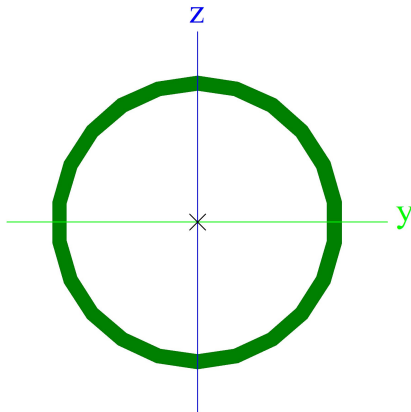


NOSNIK1		
Typ	IPE500	
Kód tvaru	1 - I průřez	
Typ tvaru	Tenkostěnný	
Materiál	S 235	
Výroba	válcovaný	
Barva	■	
Posudek rovinného vzpěru y-y, Posudek rovinného vzpěru z-z	a	b
A [mm ²]	1,1550e+04	
A _y [mm ²], A _z [mm ²]	6,4460e+03	5,1707e+03
A _L [m ² /m], A _D [m ² /m]	1,7434e+00	1,7434e+00
c _{y,UCS} [mm], c _{z,UCS} [mm]	100,00	250,00
α [deg]	0,00	
I _y [mm ⁴], I _z [mm ⁴]	4,8190e+08	2,1410e+07
i _y [mm], i _z [mm]	204,26	43,05
W _{el,y} [mm ³], W _{el,z} [mm ³]	1,9270e+06	2,1410e+05
W _{pl,y} [mm ³], W _{pl,z} [mm ³]	2,1940e+06	3,3580e+05
M _{pl,y,+} [Nmm], M _{pl,y,-} [Nmm]	515991309,51	515991309,51
M _{pl,z,+} [Nmm], M _{pl,z,-} [Nmm]	78952607,15	78952607,15
d _y [mm], d _z [mm]	0,00	0,00
I _t [mm ⁴], I _w [mm ⁶]	8,9090e+05	1,2490e+12
β _y [mm], β _z [mm]	0,00	0,00



SLOUP15		
Typ	CHS168.3/8.0	
Kód tvaru	3 - Kruhové uzavřené průřezy	
Typ tvaru	Tenkostěnný	
Materiál	S 235	
Výroba	válcovaný	
Barva	■	
Posudek rovinného vzpěru y-y, Posudek rovinného vzpěru z-z	a	a
A [mm ²]	4,0300e+03	
A _y [mm ²], A _z [mm ²]	2,5648e+03	2,5648e+03
A _L [m ² /m], A _D [m ² /m]	5,2900e-01	1,0071e+00
c _{y,UCS} [mm], c _{z,UCS} [mm]	84,15	84,15
α [deg]	0,00	
I _y [mm ⁴], I _z [mm ⁴]	1,2970e+07	1,2970e+07
i _y [mm], i _z [mm]	56,73	56,73
W _{el,y} [mm ³], W _{el,z} [mm ³]	1,5400e+05	1,5400e+05
W _{pl,y} [mm ³], W _{pl,z} [mm ³]	2,0250e+05	2,0250e+05
M _{pl,y,+} [Nmm], M _{pl,y,-} [Nmm]	48334029,49	48334029,49
M _{pl,z,+} [Nmm], M _{pl,z,-} [Nmm]	48334029,49	48334029,49
d _y [mm], d _z [mm]	0,00	0,00
I _t [mm ⁴], I _w [mm ⁶]	2,5950e+07	2,1202e-22
β _y [mm], β _z [mm]	0,00	0,00

Obrázek



Vysvětlivky symbolů

Kód tvaru	h - Výška b - Šířka pásnice t - Tloušťka pásnice s - Tloušťka stojiny r - Poloměr u přechodu pásnice a stojiny r1 - Poloměr u hrany pásnice a - Sklon pásnice W - Vzdálenost vnitřních šroubů wm - Jednotková deplanace u hrany pásnice
A	Plocha
A _y	Smyková plocha ve směru hlavní osy y
A _z	Smyková plocha ve směru hlavní osy z
A _L	Obvodový povrch na jednotku délky
A _D	Vysýchající povrch na jednotku délky
C _{y.UCS}	Souřadnice těžiště ve směru osy Y zadávacího systému
C _{z.UCS}	Souřadnice těžiště ve směru osy Z zadávacího systému
I _{y.LCS}	Moment setrvačnosti kolem osy YLSS
I _{z.LCS}	Moment setrvačnosti kolem osy ZLSS
I _{yz.LCS}	Moment setrvačnosti I _{yz} v LSS
α	Úhel pootočení hlavní osy
I _y	Moment setrvačnosti kolem hlavní osy y
I _z	Moment setrvačnosti kolem hlavní osy z
i _y	Poloměr setrvačnosti kolem hlavní osy y

Vysvětlivky symbolů

i _z	Poloměr setrvačnosti kolem hlavní osy z
W _{el.y}	Pružný modul průřezu k hlavní ose y
W _{el.z}	Pružný modul průřezu k hlavní ose z
W _{pl.y}	Plastický modul průřezu k hlavní ose y
W _{pl.z}	Plastický modul průřezu k hlavní ose z
M _{pl.y.+}	Plastický moment kolem hlavní osy y pro kladný moment M _y
M _{pl.y.-}	Plastický moment kolem hlavní osy y pro záporný moment M _y
M _{pl.z.+}	Plastický moment kolem hlavní osy z pro kladný moment M _z
M _{pl.z.-}	Plastický moment kolem hlavní osy z pro záporný moment M _z
d _y	Souřadnice středu smyku ve směru hlavní osy y měřená od těžiště
d _z	Souřadnice středu smyku ve směru hlavní osy z měřená od těžiště
I _t	Moment setrvačnosti v prostém kroucení
I _w	Výšečový moment setrvačnosti
β _y	Mono-symetrická konstanta kolem hlavní osy y
β _z	Mono-symetrická konstanta kolem hlavní osy z

12. Uzly

Jméno	Souř. X [m]	Souř. Y [m]	Souř. Z [m]
N1	0,000	0,000	-0,600
N2	0,000	0,000	3,018
N3	0,000	0,335	3,018
N4	0,000	3,840	3,408
N5	2,000	0,000	-0,570
N6	2,000	0,000	3,048
N7	2,000	0,335	3,048
N8	2,000	3,840	3,438
N9	4,000	0,000	-0,540
N10	4,000	0,000	3,078
N11	4,000	0,335	3,078
N12	4,000	3,840	3,468

Jméno	Souř. X [m]	Souř. Y [m]	Souř. Z [m]
N13	6,000	0,000	-0,510
N14	6,000	0,000	3,108
N15	6,000	0,335	3,108
N16	6,000	3,840	3,498
N17	8,000	0,000	-0,480
N18	8,000	0,000	3,138
N19	8,000	0,335	3,138
N20	8,000	3,840	3,528
N21	10,000	0,000	-0,450
N22	10,000	0,000	3,168
N23	10,000	0,335	3,168
N24	10,000	3,840	3,558

Jméno	Souř. X [m]	Souř. Y [m]	Souř. Z [m]
N25	12,000	0,000	-0,420
N26	12,000	0,000	3,198
N27	12,000	0,335	3,198
N28	12,000	3,840	3,588
N29	14,000	0,000	-0,390
N30	14,000	0,000	3,228
N31	14,000	0,335	3,228
N32	14,000	3,840	3,618
N33	16,000	0,000	-0,360
N34	16,000	0,000	3,258
N35	16,000	0,335	3,258
N36	16,000	3,840	3,648

Projekt RNR

Jméno	Souř. X [m]	Souř. Y [m]	Souř. Z [m]
N37	18,000	0,000	-0,330
N38	18,000	0,000	3,288
N39	18,000	0,335	3,288
N40	18,000	3,840	3,678
N41	20,000	0,000	-0,300
N42	20,000	0,000	3,318
N43	20,000	0,335	3,318
N44	20,000	3,840	3,708
N45	22,000	0,000	-0,270
N46	22,000	0,000	3,348
N47	22,000	0,335	3,348
N48	22,000	3,840	3,738
N49	24,000	0,000	-0,240
N50	24,000	0,000	3,378
N51	24,000	0,335	3,378
N52	24,000	3,840	3,768
N54	26,000	0,000	3,408
N55	26,000	0,335	3,408
N56	26,000	3,840	3,798
N58	28,000	0,000	3,438
N59	28,000	0,335	3,438
N60	28,000	3,840	3,828
N62	30,000	0,000	3,468
N63	30,000	0,335	3,468
N64	30,000	3,840	3,858
N65	32,000	0,000	-0,120
N66	32,000	0,000	3,498
N67	32,000	0,335	3,498
N68	32,000	3,840	3,888
N69	34,000	0,000	-0,090
N70	34,000	0,000	3,528
N71	34,000	0,335	3,528
N72	34,000	3,840	3,918
N73	36,000	0,000	-0,060
N74	36,000	0,000	3,558
N75	36,000	0,335	3,558
N76	36,000	3,840	3,948
N77	38,000	0,000	-0,030
N78	38,000	0,000	3,588
N79	38,000	0,335	3,588
N80	38,000	3,840	3,978
N81	40,000	0,000	0,000
N82	40,000	0,000	3,618
N83	40,000	0,335	3,618
N84	40,000	3,840	4,008
N85	42,000	0,000	0,030
N86	42,000	0,000	3,648
N87	42,000	0,335	3,648
N88	42,000	3,840	4,038
N89	44,000	0,000	0,060
N90	44,000	0,000	3,678
N91	44,000	0,335	3,678
N92	44,000	3,840	4,068
N93	46,000	0,000	0,090
N94	46,000	0,000	3,708
N95	46,000	0,335	3,708
N96	46,000	3,840	4,098
N97	48,000	0,000	0,120
N98	48,000	0,000	3,738
N99	48,000	0,335	3,738
N100	48,000	3,840	4,128
N101	50,000	0,000	0,150
N102	50,000	0,000	3,768
N103	50,000	0,335	3,768
N104	50,000	3,840	4,158
N105	52,000	0,000	0,180

Jméno	Souř. X [m]	Souř. Y [m]	Souř. Z [m]
N106	52,000	0,000	3,798
N107	52,000	0,335	3,798
N108	52,000	3,840	4,188
N109	54,000	0,000	0,210
N110	54,000	0,000	3,828
N111	54,000	0,335	3,828
N112	54,000	3,840	4,218
N113	56,000	0,000	0,240
N114	56,000	0,000	3,858
N115	56,000	0,335	3,858
N116	56,000	3,840	4,248
N117	58,000	0,000	0,270
N118	58,000	0,000	3,888
N119	58,000	0,335	3,888
N120	58,000	3,840	4,278
N121	60,000	0,000	0,300
N122	60,000	0,000	3,918
N123	60,000	0,335	3,918
N124	60,000	3,840	4,308
N125	62,000	0,000	0,330
N126	62,000	0,000	3,948
N127	62,000	0,335	3,948
N128	62,000	3,840	4,338
N129	64,000	0,000	0,360
N130	64,000	0,000	3,978
N131	64,000	0,335	3,978
N132	64,000	3,840	4,368
N134	2,000	1,920	3,224
N137	4,000	1,920	3,254
N138	6,000	1,920	3,284
N139	8,000	1,920	3,314
N140	10,000	1,920	3,344
N141	12,000	1,920	3,374
N142	14,000	1,920	3,404
N143	16,000	1,920	3,434
N144	18,000	1,920	3,464
N145	20,000	1,920	3,494
N146	22,000	1,920	3,524
N147	24,000	1,920	3,554
N148	26,000	1,920	3,584
N149	28,000	1,920	3,614
N150	30,000	1,920	3,644
N151	32,000	1,920	3,674
N152	34,000	1,920	3,704
N153	36,000	1,920	3,734
N154	38,000	1,920	3,764
N155	40,000	1,920	3,794
N156	42,000	1,920	3,824
N157	44,000	1,920	3,854
N158	46,000	1,920	3,884
N159	48,000	1,920	3,914
N160	50,000	1,920	3,944
N161	52,000	1,920	3,974
N162	54,000	1,920	4,004
N163	56,000	1,920	4,034
N164	58,000	1,920	4,064
N165	60,000	1,920	4,094
N166	62,000	1,920	4,124
N167	64,000	1,920	4,154
N168	0,000	1,920	3,194
N169	-2,360	0,000	3,233
N170	-2,360	0,335	3,233
N171	-2,360	3,840	3,623
N172	-2,360	1,920	3,409
N173	66,210	0,000	4,211
N174	66,210	1,920	4,388

Jméno	Souř. X [m]	Souř. Y [m]	Souř. Z [m]
N175	66,210	0,335	4,211
N178	66,210	3,840	4,601
N226	0,000	17,520	-0,750
N227	0,000	17,520	3,018
N228	0,000	11,115	3,448
N229	0,000	14,870	-0,750
N230	0,000	14,870	3,196
N231	4,000	17,520	-0,690
N232	4,000	17,520	3,078
N233	4,000	11,115	3,508
N234	4,000	14,870	-0,690
N235	4,000	14,870	3,256
N236	8,000	17,520	-0,630
N237	8,000	17,520	3,138
N238	8,000	14,870	-0,630
N239	8,000	14,870	3,316
N240	8,000	11,115	3,568
N241	12,000	17,520	-0,570
N242	12,000	17,520	3,198
N243	12,000	14,870	-0,570
N244	12,000	14,870	3,376
N245	12,000	11,115	3,628
N246	16,000	17,520	-0,510
N247	16,000	17,520	3,258
N248	16,000	14,870	-0,510
N249	16,000	14,870	3,436
N250	16,000	11,115	3,688
N251	20,000	17,520	-0,450
N252	20,000	17,520	3,318
N253	20,000	14,870	-0,450
N254	20,000	14,870	3,496
N255	20,000	11,115	3,748
N256	24,000	17,520	-0,390
N257	24,000	17,520	3,378
N258	24,000	14,870	-0,390
N259	24,000	14,870	3,556
N260	24,000	11,115	3,808
N261	28,000	17,520	-0,330
N262	28,000	17,520	3,438
N263	28,000	14,870	-0,330
N264	28,000	14,870	3,616
N265	28,000	11,115	3,868
N266	32,000	17,520	-0,270
N267	32,000	17,520	3,498
N268	32,000	14,870	-0,270
N269	32,000	14,870	3,676
N270	32,000	11,115	3,928
N271	36,000	17,520	-0,210
N272	36,000	17,520	3,558
N273	36,000	14,870	-0,210
N274	36,000	14,870	3,736
N275	36,000	11,115	3,988
N276	40,000	17,520	-0,150
N277	40,000	17,520	3,618
N278	40,000	14,870	-0,150
N279	40,000	14,870	3,796
N280	40,000	11,115	4,048
N281	44,000	17,520	-0,090
N282	44,000	17,520	3,678
N283	44,000	14,870	-0,090
N284	44,000	14,870	3,856
N285	44,000	11,115	4,108
N286	48,000	17,520	-0,030
N287	48,000	17,520	3,738
N288	48,000	14,870	-0,030
N289	48,000	14,870	3,916

Projekt RNR

Jméno	Souř. X [m]	Souř. Y [m]	Souř. Z [m]	Jméno	Souř. X [m]	Souř. Y [m]	Souř. Z [m]	Jméno	Souř. X [m]	Souř. Y [m]	Souř. Z [m]
N290	48,000	11,115	4,168	N341	38,000	17,520	-0,180	N395	50,000	12,993	4,072
N291	52,000	17,520	0,030	N342	38,000	17,520	3,588	N396	52,000	12,993	4,102
N292	52,000	17,520	3,798	N343	38,000	11,115	4,018	N397	54,000	12,992	4,132
N293	52,000	14,870	0,030	N344	42,000	17,520	-0,120	N398	56,000	12,993	4,162
N294	52,000	14,870	3,976	N345	42,000	17,520	3,648	N399	58,000	12,993	4,192
N295	52,000	11,115	4,228	N346	42,000	11,115	4,078	N400	60,000	12,993	4,222
N296	56,000	17,520	0,090	N347	46,000	17,520	-0,060	N401	62,000	12,993	4,252
N297	56,000	17,520	3,858	N348	46,000	17,520	3,708	N402	64,000	12,992	4,282
N298	56,000	14,870	0,090	N349	46,000	11,115	4,138	N404	66,210	12,993	4,565
N299	56,000	14,870	4,036	N350	50,000	17,520	0,000	N405	22,000	14,870	3,526
N300	56,000	11,115	4,288	N351	50,000	17,520	3,768	N406	42,000	14,870	3,826
N301	60,000	17,520	0,150	N352	50,000	11,115	4,198	N407	58,000	14,870	4,066
N302	60,000	17,520	3,918	N353	54,000	17,520	0,060	N408	30,000	0,000	-0,150
N303	60,000	14,870	0,150	N354	54,000	17,520	3,828	N409	28,000	0,000	-0,180
N304	60,000	14,870	4,096	N355	54,000	11,115	4,258	N410	26,000	0,000	-0,210
N305	60,000	11,115	4,348	N356	58,000	17,520	0,120	N412	65,105	3,840	4,485
N306	64,000	17,520	0,210	N357	58,000	17,520	3,888	N413	65,105	0,000	4,095
N307	64,000	17,520	3,978	N358	58,000	11,115	4,318	N414	65,105	1,920	4,271
N308	64,000	14,870	0,210	N359	62,000	17,520	0,180	N416	-2,360	0,000	3,233
N309	64,000	14,870	4,156	N360	62,000	17,520	3,948	N417	-2,360	0,335	3,233
N310	64,000	11,115	4,408	N361	62,000	11,115	4,378	N418	-2,360	3,840	3,623
N311	2,000	17,520	-0,720	N362	66,210	14,870	4,439	N419	-1,180	0,000	3,125
N312	2,000	17,520	3,048	N363	66,210	17,520	4,261	N421	-1,180	3,840	3,515
N313	2,000	11,115	3,478	N364	66,210	11,115	4,691	N423	-1,180	1,920	3,302
N314	-2,360	14,870	3,411	N366	6,000	12,992	3,412	N424	60,000	17,520	1,450
N315	-2,360	17,520	3,233	N368	4,000	12,992	3,382	N425	58,000	17,520	1,420
N316	-2,360	11,115	3,663	N369	6,000	14,870	3,286	N426	56,000	17,520	1,390
N317	6,000	17,520	-0,660	N370	2,000	12,992	3,352	N427	6,000	17,520	0,640
N318	6,000	17,520	3,108	N371	0,000	12,992	3,322	N428	8,000	17,520	0,670
N319	6,000	11,115	3,538	N373	-2,360	12,992	3,537	N429	4,000	17,520	0,610
N320	10,000	17,520	-0,600	N374	8,000	12,992	3,442	N430	40,000	17,520	1,150
N321	10,000	17,520	3,168	N375	10,000	12,992	3,472	N431	42,000	17,520	1,180
N322	10,000	11,115	3,598	N376	12,000	12,992	3,502	N432	38,000	17,520	1,120
N323	14,000	17,520	-0,540	N377	14,000	12,992	3,532	N433	22,000	17,520	0,880
N324	14,000	17,520	3,228	N378	16,000	12,992	3,562	N434	24,000	17,520	0,910
N325	14,000	11,115	3,658	N379	18,000	12,992	3,592	N435	26,000	17,520	0,940
N326	18,000	17,520	-0,480	N380	20,000	12,993	3,622	N436	58,000	0,000	1,570
N327	18,000	17,520	3,288	N381	22,000	12,992	3,652	N437	60,000	0,000	1,600
N328	18,000	11,115	3,718	N382	24,000	12,992	3,682	N438	56,000	0,000	1,540
N329	22,000	17,520	-0,420	N383	26,000	12,993	3,712	N439	40,000	0,000	1,300
N330	22,000	17,520	3,348	N384	28,000	12,992	3,742	N440	42,000	0,000	1,330
N331	22,000	11,115	3,778	N385	30,000	12,992	3,772	N441	38,000	0,000	1,270
N332	26,000	17,520	-0,360	N386	32,000	12,993	3,802	N442	22,000	0,000	1,030
N333	26,000	17,520	3,408	N387	34,000	12,993	3,832	N443	24,000	0,000	1,060
N334	26,000	11,115	3,838	N388	36,000	12,992	3,862	N445	4,000	0,000	0,760
N335	30,000	17,520	-0,300	N389	38,000	12,993	3,892	N446	6,000	0,000	0,790
N336	30,000	17,520	3,468	N390	40,000	12,993	3,922	N447	8,000	0,000	0,820
N337	30,000	11,115	3,898	N391	42,000	12,992	3,952	N448	26,000	0,000	1,090
N338	34,000	17,520	-0,240	N392	44,000	12,993	3,982	N449	38,000	14,870	3,766
N339	34,000	17,520	3,528	N393	46,000	12,993	4,012	N450	26,000	14,870	3,586
N340	34,000	11,115	3,958	N394	48,000	12,992	4,042				

13. Prvky

Jméno	Průřez	Materiál	Délka [m]	Poč. uzel	Konc. uzel	Typ
B1	SLOUP14 - Komora fl (300,00; 35,00; 230,00; 20,00; 230,00)	S 235	3,618	N1	N2	sloup (100)
B2	PRICEL - Komora fl (300,00; 15,00; 470,00; 10,00; 250,00)	S 235	0,335	N2	N3	obecný (0)
B3	PRICEL - Komora fl (300,00; 15,00; 470,00; 10,00; 250,00)	S 235	3,527	N3	N4	obecný (0)
B4	SLOUP14 - Komora fl (300,00; 35,00; 230,00; 20,00; 230,00)	S 235	3,618	N5	N6	sloup (100)
B5	PRICEL - Komora fl (300,00; 15,00; 470,00; 10,00; 250,00)	S 235	0,335	N6	N7	obecný (0)
B6	PRICEL - Komora fl (300,00; 15,00; 470,00; 10,00; 250,00)	S 235	3,527	N7	N8	obecný (0)
B7	SLOUP14 - Komora fl (300,00; 35,00; 230,00; 20,00; 230,00)	S 235	3,618	N9	N10	sloup (100)
B8	PRICEL - Komora fl (300,00; 15,00; 470,00; 10,00; 250,00)	S 235	0,335	N10	N11	obecný (0)
B9	PRICEL - Komora fl (300,00; 15,00; 470,00; 10,00; 250,00)	S 235	3,527	N11	N12	obecný (0)

Projekt RNR

Jméno	Průřez	Materiál	Délka [m]	Poč. uzel	Konc. uzel	Typ
B10	SLOUP4 - HEB300	S 235	3,618	N13	N14	sloup (100)
B11	PŘÍČEL1 - Iw (500,00; 8,00; 200,00; 16,00; 468,00; 0,00)	S 235	0,335	N14	N15	obecný (0)
B12	PŘÍČEL2 - Iw (500,00; 8,00; 200,00; 16,00; 468,00; 0,00)	S 235	3,527	N15	N16	obecný (0)
B13	SLOUP4 - HEB300	S 235	3,618	N17	N18	sloup (100)
B14	PŘÍČEL1 - Iw (500,00; 8,00; 200,00; 16,00; 468,00; 0,00)	S 235	0,335	N18	N19	obecný (0)
B15	PŘÍČEL2 - Iw (500,00; 8,00; 200,00; 16,00; 468,00; 0,00)	S 235	3,527	N19	N20	obecný (0)
B16	SLOUP4 - HEB300	S 235	3,618	N21	N22	sloup (100)
B17	PŘÍČEL1 - Iw (500,00; 8,00; 200,00; 16,00; 468,00; 0,00)	S 235	0,335	N22	N23	obecný (0)
B18	PŘÍČEL2 - Iw (500,00; 8,00; 200,00; 16,00; 468,00; 0,00)	S 235	3,527	N23	N24	obecný (0)
B19	SLOUP4 - HEB300	S 235	3,618	N25	N26	sloup (100)
B20	PŘÍČEL1 - Iw (500,00; 8,00; 200,00; 16,00; 468,00; 0,00)	S 235	0,335	N26	N27	obecný (0)
B21	PŘÍČEL2 - Iw (500,00; 8,00; 200,00; 16,00; 468,00; 0,00)	S 235	3,527	N27	N28	obecný (0)
B22	SLOUP4 - HEB300	S 235	3,618	N29	N30	sloup (100)
B23	PŘÍČEL1 - Iw (500,00; 8,00; 200,00; 16,00; 468,00; 0,00)	S 235	0,335	N30	N31	obecný (0)
B24	PŘÍČEL2 - Iw (500,00; 8,00; 200,00; 16,00; 468,00; 0,00)	S 235	3,527	N31	N32	obecný (0)
B25	SLOUP4 - HEB300	S 235	3,618	N33	N34	sloup (100)
B26	PŘÍČEL1 - Iw (500,00; 8,00; 200,00; 16,00; 468,00; 0,00)	S 235	0,335	N34	N35	obecný (0)
B27	PŘÍČEL2 - Iw (500,00; 8,00; 200,00; 16,00; 468,00; 0,00)	S 235	3,527	N35	N36	obecný (0)
B28	SLOUP4 - HEB300	S 235	3,618	N37	N38	sloup (100)
B29	PŘÍČEL1 - Iw (500,00; 8,00; 200,00; 16,00; 468,00; 0,00)	S 235	0,335	N38	N39	obecný (0)
B30	PŘÍČEL2 - Iw (500,00; 8,00; 200,00; 16,00; 468,00; 0,00)	S 235	3,527	N39	N40	obecný (0)
B31	SLOUP4 - HEB300	S 235	3,618	N41	N42	sloup (100)
B32	PŘÍČEL1 - Iw (500,00; 8,00; 200,00; 16,00; 468,00; 0,00)	S 235	0,335	N42	N43	obecný (0)
B33	PŘÍČEL2 - Iw (500,00; 8,00; 200,00; 16,00; 468,00; 0,00)	S 235	3,527	N43	N44	obecný (0)
B34	SLOUP4 - HEB300	S 235	3,618	N45	N46	sloup (100)
B35	PŘÍČEL1 - Iw (500,00; 8,00; 200,00; 16,00; 468,00; 0,00)	S 235	0,335	N46	N47	obecný (0)
B36	PŘÍČEL2 - Iw (500,00; 8,00; 200,00; 16,00; 468,00; 0,00)	S 235	3,527	N47	N48	obecný (0)
B37	SLOUP4 - HEB300	S 235	3,618	N49	N50	sloup (100)
B38	PŘÍČEL1 - Iw (500,00; 8,00; 200,00; 16,00; 468,00; 0,00)	S 235	0,335	N50	N51	obecný (0)
B39	PŘÍČEL2 - Iw (500,00; 8,00; 200,00; 16,00; 468,00; 0,00)	S 235	3,527	N51	N52	obecný (0)
B41	PŘÍČEL1 - Iw (500,00; 8,00; 200,00; 16,00; 468,00; 0,00)	S 235	0,335	N54	N55	obecný (0)
B42	PŘÍČEL2 - Iw (500,00; 8,00; 200,00; 16,00; 468,00; 0,00)	S 235	3,527	N55	N56	obecný (0)
B44	PŘÍČEL1 - Iw (500,00; 8,00; 200,00; 16,00; 468,00; 0,00)	S 235	0,335	N58	N59	obecný (0)
B45	PŘÍČEL2 - Iw (500,00; 8,00; 200,00; 16,00; 468,00; 0,00)	S 235	3,527	N59	N60	obecný (0)
B47	PŘÍČEL1 - Iw (500,00; 8,00; 200,00; 16,00; 468,00; 0,00)	S 235	0,335	N62	N63	obecný (0)
B48	PŘÍČEL2 - Iw (500,00; 8,00; 200,00; 16,00; 468,00; 0,00)	S 235	3,527	N63	N64	obecný (0)
B49	SLOUP4 - HEB300	S 235	3,618	N65	N66	sloup (100)
B50	PŘÍČEL1 - Iw (500,00; 8,00; 200,00; 16,00; 468,00; 0,00)	S 235	0,335	N66	N67	obecný (0)
B51	PŘÍČEL2 - Iw (500,00; 8,00; 200,00; 16,00; 468,00; 0,00)	S 235	3,527	N67	N68	obecný (0)
B52	SLOUP4 - HEB300	S 235	3,618	N69	N70	sloup (100)
B53	PŘÍČEL1 - Iw (500,00; 8,00; 200,00; 16,00; 468,00; 0,00)	S 235	0,335	N70	N71	obecný (0)
B54	PŘÍČEL2 - Iw (500,00; 8,00; 200,00; 16,00; 468,00; 0,00)	S 235	3,527	N71	N72	obecný (0)
B55	SLOUP4 - HEB300	S 235	3,618	N73	N74	sloup (100)
B56	PŘÍČEL1 - Iw (500,00; 8,00; 200,00; 16,00; 468,00; 0,00)	S 235	0,335	N74	N75	obecný (0)
B57	PŘÍČEL2 - Iw (500,00; 8,00; 200,00; 16,00; 468,00; 0,00)	S 235	3,527	N75	N76	obecný (0)
B58	SLOUP4 - HEB300	S 235	3,618	N77	N78	sloup (100)
B59	PŘÍČEL1 - Iw (500,00; 8,00; 200,00; 16,00; 468,00; 0,00)	S 235	0,335	N78	N79	obecný (0)
B60	PŘÍČEL2 - Iw (500,00; 8,00; 200,00; 16,00; 468,00; 0,00)	S 235	3,527	N79	N80	obecný (0)
B61	SLOUP4 - HEB300	S 235	3,618	N81	N82	sloup (100)
B62	PŘÍČEL1 - Iw (500,00; 8,00; 200,00; 16,00; 468,00; 0,00)	S 235	0,335	N82	N83	obecný (0)
B63	PŘÍČEL2 - Iw (500,00; 8,00; 200,00; 16,00; 468,00; 0,00)	S 235	3,527	N83	N84	obecný (0)
B64	SLOUP4 - HEB300	S 235	3,618	N85	N86	sloup (100)
B65	PŘÍČEL1 - Iw (500,00; 8,00; 200,00; 16,00; 468,00; 0,00)	S 235	0,335	N86	N87	obecný (0)
B66	PŘÍČEL2 - Iw (500,00; 8,00; 200,00; 16,00; 468,00; 0,00)	S 235	3,527	N87	N88	obecný (0)
B67	SLOUP4 - HEB300	S 235	3,618	N89	N90	sloup (100)
B68	PŘÍČEL1 - Iw (500,00; 8,00; 200,00; 16,00; 468,00; 0,00)	S 235	0,335	N90	N91	obecný (0)
B69	PŘÍČEL2 - Iw (500,00; 8,00; 200,00; 16,00; 468,00; 0,00)	S 235	3,527	N91	N92	obecný (0)
B70	SLOUP4 - HEB300	S 235	3,618	N93	N94	sloup (100)
B71	PŘÍČEL1 - Iw (500,00; 8,00; 200,00; 16,00; 468,00; 0,00)	S 235	0,335	N94	N95	obecný (0)
B72	PŘÍČEL2 - Iw (500,00; 8,00; 200,00; 16,00; 468,00; 0,00)	S 235	3,527	N95	N96	obecný (0)
B73	SLOUP4 - HEB300	S 235	3,618	N97	N98	sloup (100)
B74	PŘÍČEL1 - Iw (500,00; 8,00; 200,00; 16,00; 468,00; 0,00)	S 235	0,335	N98	N99	obecný (0)
B75	PŘÍČEL2 - Iw (500,00; 8,00; 200,00; 16,00; 468,00; 0,00)	S 235	3,527	N99	N100	obecný (0)
B76	SLOUP4 - HEB300	S 235	3,618	N101	N102	sloup (100)
B77	PŘÍČEL1 - Iw (500,00; 8,00; 200,00; 16,00; 468,00; 0,00)	S 235	0,335	N102	N103	obecný (0)
B78	PŘÍČEL2 - Iw (500,00; 8,00; 200,00; 16,00; 468,00; 0,00)	S 235	3,527	N103	N104	obecný (0)

Projekt RNR

Jméno	Průřez	Materiál	Délka [m]	Poč. uzel	Konc. uzel	Typ
B79	SLOUP4 - HEB300	S 235	3,618	N105	N106	sloup (100)
B80	PŘÍČEL1 - Iw (500,00; 8,00; 200,00; 16,00; 468,00; 0,00)	S 235	0,335	N106	N107	obecný (0)
B81	PŘÍČEL2 - Iw (500,00; 8,00; 200,00; 16,00; 468,00; 0,00)	S 235	3,527	N107	N108	obecný (0)
B82	SLOUP4 - HEB300	S 235	3,618	N109	N110	sloup (100)
B83	PŘÍČEL1 - Iw (500,00; 8,00; 200,00; 16,00; 468,00; 0,00)	S 235	0,335	N110	N111	obecný (0)
B84	PŘÍČEL2 - Iw (500,00; 8,00; 200,00; 16,00; 468,00; 0,00)	S 235	3,527	N111	N112	obecný (0)
B85	SLOUP4 - HEB300	S 235	3,618	N113	N114	sloup (100)
B86	PŘÍČEL1 - Iw (500,00; 8,00; 200,00; 16,00; 468,00; 0,00)	S 235	0,335	N114	N115	obecný (0)
B87	PŘÍČEL2 - Iw (500,00; 8,00; 200,00; 16,00; 468,00; 0,00)	S 235	3,527	N115	N116	obecný (0)
B88	SLOUP4 - HEB300	S 235	3,618	N117	N118	sloup (100)
B89	PŘÍČEL1 - Iw (500,00; 8,00; 200,00; 16,00; 468,00; 0,00)	S 235	0,335	N118	N119	obecný (0)
B90	PŘÍČEL2 - Iw (500,00; 8,00; 200,00; 16,00; 468,00; 0,00)	S 235	3,527	N119	N120	obecný (0)
B91	SLOUP14 - Komora fl (300,00; 35,00; 230,00; 20,00; 230,00)	S 235	3,618	N121	N122	sloup (100)
B92	PRICEL - Komora fl (300,00; 15,00; 470,00; 10,00; 250,00)	S 235	0,335	N122	N123	obecný (0)
B93	PRICEL - Komora fl (300,00; 15,00; 470,00; 10,00; 250,00)	S 235	3,527	N123	N124	obecný (0)
B94	SLOUP14 - Komora fl (300,00; 35,00; 230,00; 20,00; 230,00)	S 235	3,618	N125	N126	sloup (100)
B95	PRICEL - Komora fl (300,00; 15,00; 470,00; 10,00; 250,00)	S 235	0,335	N126	N127	obecný (0)
B96	PRICEL - Komora fl (300,00; 15,00; 470,00; 10,00; 250,00)	S 235	3,527	N127	N128	obecný (0)
B97	SLOUP14 - Komora fl (300,00; 35,00; 230,00; 20,00; 230,00)	S 235	3,618	N129	N130	sloup (100)
B98	PRICEL - Komora fl (300,00; 15,00; 470,00; 10,00; 250,00)	S 235	0,335	N130	N131	obecný (0)
B99	PRICEL - Komora fl (300,00; 15,00; 470,00; 10,00; 250,00)	S 235	3,527	N131	N132	obecný (0)
B103	PRUVLAK8 - Komora fl (200,00; 15,00; 470,00; 10,00; 150,00)	S 235	2,369	N169	N2	obecný (0)
B104	PRUVLAK6 - Komora fl (150,00; 20,00; 80,00; 10,00; 110,00)	S 235	2,000	N4	N8	obecný (0)
B107	PRUVLAK8 - Komora fl (200,00; 15,00; 470,00; 10,00; 150,00)	S 235	2,000	N6	N10	obecný (0)
B108	PRUVLAK6 - Komora fl (150,00; 20,00; 80,00; 10,00; 110,00)	S 235	2,000	N8	N12	obecný (0)
B109	VAZNICE - IPE120	S 235	2,000	N10	N14	obecný (0)
B110	VAZNICE - IPE120	S 235	2,000	N12	N16	obecný (0)
B111	VAZNICE - IPE120	S 235	2,000	N14	N18	obecný (0)
B112	VAZNICE - IPE120	S 235	2,000	N16	N20	obecný (0)
B113	VAZNICE - IPE120	S 235	2,000	N18	N22	obecný (0)
B114	VAZNICE - IPE120	S 235	2,000	N20	N24	obecný (0)
B115	VAZNICE - IPE120	S 235	2,000	N22	N26	obecný (0)
B116	VAZNICE - IPE120	S 235	2,000	N24	N28	obecný (0)
B117	VAZNICE - IPE120	S 235	2,000	N26	N30	obecný (0)
B118	VAZNICE - IPE120	S 235	2,000	N28	N32	obecný (0)
B119	VAZNICE - IPE120	S 235	2,000	N30	N34	obecný (0)
B120	VAZNICE - IPE120	S 235	2,000	N32	N36	obecný (0)
B121	VAZNICE - IPE120	S 235	2,000	N34	N38	obecný (0)
B122	VAZNICE - IPE120	S 235	2,000	N36	N40	obecný (0)
B123	VAZNICE - IPE120	S 235	2,000	N38	N42	obecný (0)
B124	VAZNICE - IPE120	S 235	2,000	N40	N44	obecný (0)
B125	VAZNICE - IPE120	S 235	2,000	N42	N46	obecný (0)
B126	VAZNICE - IPE120	S 235	2,000	N44	N48	obecný (0)
B127	VAZNICE - IPE120	S 235	2,000	N46	N50	obecný (0)
B128	VAZNICE - IPE120	S 235	2,000	N48	N52	obecný (0)
B129	VAZNICE - IPE120	S 235	2,000	N50	N54	obecný (0)
B130	VAZNICE - IPE120	S 235	2,000	N52	N56	obecný (0)
B131	VAZNICE - IPE120	S 235	2,000	N54	N58	obecný (0)
B132	VAZNICE - IPE120	S 235	2,000	N56	N60	obecný (0)
B133	VAZNICE - IPE120	S 235	2,000	N58	N62	obecný (0)
B134	VAZNICE - IPE120	S 235	2,000	N60	N64	obecný (0)
B135	VAZNICE - IPE120	S 235	2,000	N62	N66	obecný (0)
B136	VAZNICE - IPE120	S 235	2,000	N64	N68	obecný (0)
B137	VAZNICE - IPE120	S 235	2,000	N66	N70	obecný (0)
B138	VAZNICE - IPE120	S 235	2,000	N68	N72	obecný (0)
B139	VAZNICE - IPE120	S 235	2,000	N70	N74	obecný (0)
B140	VAZNICE - IPE120	S 235	2,000	N72	N76	obecný (0)
B141	VAZNICE - IPE120	S 235	2,000	N74	N78	obecný (0)
B142	VAZNICE - IPE120	S 235	2,000	N76	N80	obecný (0)
B143	VAZNICE - IPE120	S 235	2,000	N78	N82	obecný (0)
B144	VAZNICE - IPE120	S 235	2,000	N80	N84	obecný (0)
B145	VAZNICE - IPE120	S 235	2,000	N82	N86	obecný (0)
B146	VAZNICE - IPE120	S 235	2,000	N84	N88	obecný (0)
B147	VAZNICE - IPE120	S 235	2,000	N86	N90	obecný (0)
B148	VAZNICE - IPE120	S 235	2,000	N88	N92	obecný (0)
B149	VAZNICE - IPE120	S 235	2,000	N90	N94	obecný (0)

Projekt RNR

Jméno	Průřez	Materiál	Délka [m]	Poč. uzel	Konc. uzel	Typ
B150	VAZNICE - IPE120	S 235	2,000	N92	N96	obecný (0)
B151	VAZNICE - IPE120	S 235	2,000	N94	N98	obecný (0)
B152	VAZNICE - IPE120	S 235	2,000	N96	N100	obecný (0)
B153	VAZNICE - IPE120	S 235	2,000	N98	N102	obecný (0)
B154	VAZNICE - IPE120	S 235	2,000	N100	N104	obecný (0)
B155	VAZNICE - IPE120	S 235	2,000	N102	N106	obecný (0)
B156	VAZNICE - IPE120	S 235	2,000	N104	N108	obecný (0)
B157	VAZNICE - IPE120	S 235	2,000	N106	N110	obecný (0)
B158	VAZNICE - IPE120	S 235	2,000	N108	N112	obecný (0)
B159	VAZNICE - IPE120	S 235	2,000	N110	N114	obecný (0)
B160	VAZNICE - IPE120	S 235	2,000	N112	N116	obecný (0)
B161	VAZNICE - IPE120	S 235	2,000	N114	N118	obecný (0)
B162	VAZNICE - IPE120	S 235	2,000	N116	N120	obecný (0)
B163	VAZNICE - IPE120	S 235	2,000	N118	N122	obecný (0)
B164	VAZNICE - IPE120	S 235	2,000	N120	N124	obecný (0)
B165	PRUVLAK8 - Komora fl (200,00; 15,00; 470,00; 10,00; 150,00)	S 235	2,000	N122	N126	obecný (0)
B166	PRUVLAK6 - Komora fl (150,00; 20,00; 80,00; 10,00; 110,00)	S 235	2,000	N124	N128	obecný (0)
B167	PRUVLAK8 - Komora fl (200,00; 15,00; 470,00; 10,00; 150,00)	S 235	2,000	N126	N130	obecný (0)
B168	PRUVLAK6 - Komora fl (150,00; 20,00; 80,00; 10,00; 110,00)	S 235	2,000	N128	N132	obecný (0)
B170	PRUVLAK7 - Komora fl (200,00; 15,00; 270,00; 8,00; 154,00)	S 235	2,000	N134	N137	obecný (0)
B171	VAZNICE - IPE120	S 235	2,000	N137	N138	obecný (0)
B172	VAZNICE - IPE120	S 235	2,000	N138	N139	obecný (0)
B173	VAZNICE - IPE120	S 235	2,000	N139	N140	obecný (0)
B174	VAZNICE - IPE120	S 235	2,000	N140	N141	obecný (0)
B175	VAZNICE - IPE120	S 235	2,000	N141	N142	obecný (0)
B176	VAZNICE - IPE120	S 235	2,000	N142	N143	obecný (0)
B177	VAZNICE - IPE120	S 235	2,000	N143	N144	obecný (0)
B178	VAZNICE - IPE120	S 235	2,000	N144	N145	obecný (0)
B179	VAZNICE - IPE120	S 235	2,000	N145	N146	obecný (0)
B180	VAZNICE - IPE120	S 235	2,000	N146	N147	obecný (0)
B181	VAZNICE - IPE120	S 235	2,000	N147	N148	obecný (0)
B182	VAZNICE - IPE120	S 235	2,000	N148	N149	obecný (0)
B183	VAZNICE - IPE120	S 235	2,000	N149	N150	obecný (0)
B184	VAZNICE - IPE120	S 235	2,000	N150	N151	obecný (0)
B185	VAZNICE - IPE120	S 235	2,000	N151	N152	obecný (0)
B186	VAZNICE - IPE120	S 235	2,000	N152	N153	obecný (0)
B187	VAZNICE - IPE120	S 235	2,000	N153	N154	obecný (0)
B188	VAZNICE - IPE120	S 235	2,000	N154	N155	obecný (0)
B189	VAZNICE - IPE120	S 235	2,000	N155	N156	obecný (0)
B190	VAZNICE - IPE120	S 235	2,000	N156	N157	obecný (0)
B191	VAZNICE - IPE120	S 235	2,000	N157	N158	obecný (0)
B192	VAZNICE - IPE120	S 235	2,000	N158	N159	obecný (0)
B193	VAZNICE - IPE120	S 235	2,000	N159	N160	obecný (0)
B194	VAZNICE - IPE120	S 235	2,000	N160	N161	obecný (0)
B195	VAZNICE - IPE120	S 235	2,000	N161	N162	obecný (0)
B196	VAZNICE - IPE120	S 235	2,000	N162	N163	obecný (0)
B197	VAZNICE - IPE120	S 235	2,000	N163	N164	obecný (0)
B198	VAZNICE - IPE120	S 235	2,000	N164	N165	obecný (0)
B199	PRUVLAK7 - Komora fl (200,00; 15,00; 270,00; 8,00; 154,00)	S 235	2,000	N165	N166	obecný (0)
B200	PRUVLAK7 - Komora fl (200,00; 15,00; 270,00; 8,00; 154,00)	S 235	2,000	N166	N167	obecný (0)
B201	PRUVLAK7 - Komora fl (200,00; 15,00; 270,00; 8,00; 154,00)	S 235	2,000	N168	N134	obecný (0)
B202	STŘEŠNÍ ZTUŽIDLO - CHS48.3/3.2	S 235	2,780	N10	N138	nosník (80)
B203	STŘEŠNÍ ZTUŽIDLO - CHS48.3/3.2	S 235	2,776	N14	N137	nosník (80)
B204	STŘEŠNÍ ZTUŽIDLO - CHS48.3/3.2	S 235	2,783	N137	N16	nosník (80)
B205	STŘEŠNÍ ZTUŽIDLO - CHS48.3/3.2	S 235	2,779	N138	N12	nosník (80)
B208	STŘEŠNÍ ZTUŽIDLO - CHS48.3/3.2	S 235	2,780	N118	N165	nosník (80)
B209	STŘEŠNÍ ZTUŽIDLO - CHS48.3/3.2	S 235	2,776	N122	N164	nosník (80)
B210	STŘEŠNÍ ZTUŽIDLO - CHS48.3/3.2	S 235	2,779	N165	N120	nosník (80)
B211	STŘEŠNÍ ZTUŽIDLO - CHS48.3/3.2	S 235	2,783	N164	N124	nosník (80)
B214	STŘEŠNÍ ZTUŽIDLO - CHS48.3/3.2	S 235	2,780	N46	N147	nosník (80)
B215	STŘEŠNÍ ZTUŽIDLO - CHS48.3/3.2	S 235	2,776	N50	N146	nosník (80)
B216	STŘEŠNÍ ZTUŽIDLO - CHS48.3/3.2	S 235	2,783	N146	N52	nosník (80)
B217	STŘEŠNÍ ZTUŽIDLO - CHS48.3/3.2	S 235	2,779	N147	N48	nosník (80)
B220	STŘEŠNÍ ZTUŽIDLO - CHS48.3/3.2	S 235	2,780	N82	N156	nosník (80)
B221	STŘEŠNÍ ZTUŽIDLO - CHS48.3/3.2	S 235	2,776	N86	N155	nosník (80)
B222	STŘEŠNÍ ZTUŽIDLO - CHS48.3/3.2	S 235	2,783	N155	N88	nosník (80)

Projekt RNR

Jméno	Průřez	Materiál	Délka [m]	Poč. uzel	Konc. uzel	Typ
B223	STŘEŠNÍ ZTUŽIDLO - CHS48.3/3.2	S 235	2,779	N156	N84	nosník (80)
B224	PRUVLAK8 - Komora fl (200,00; 15,00; 470,00; 10,00; 150,00)	S 235	2,000	N2	N6	obecný (0)
B225	PRUVLAK6 - Komora fl (150,00; 20,00; 80,00; 10,00; 110,00)	S 235	0,335	N169	N170	obecný (0)
B226	PRUVLAK6 - Komora fl (150,00; 20,00; 80,00; 10,00; 110,00)	S 235	3,527	N170	N171	obecný (0)
B227	PRUVLAK7 - Komora fl (200,00; 15,00; 270,00; 8,00; 154,00)	S 235	2,369	N172	N168	obecný (0)
B228	PRUVLAK6 - Komora fl (150,00; 20,00; 80,00; 10,00; 110,00)	S 235	2,369	N171	N4	obecný (0)
B229	PRUVLAK8 - Komora fl (200,00; 15,00; 470,00; 10,00; 150,00)	S 235	2,222	N130	N173	obecný (0)
B230	PRUVLAK7 - Komora fl (200,00; 15,00; 270,00; 8,00; 154,00)	S 235	2,222	N167	N174	obecný (0)
B231	PRUVLAK6 - Komora fl (150,00; 20,00; 80,00; 10,00; 110,00)	S 235	0,335	N173	N175	obecný (0)
B232	PRUVLAK6 - Komora fl (150,00; 20,00; 80,00; 10,00; 110,00)	S 235	3,527	N175	N178	obecný (0)
B233	PRUVLAK6 - Komora fl (150,00; 20,00; 80,00; 10,00; 110,00)	S 235	2,222	N132	N178	obecný (0)
B234	STŘEŠNÍ ZTUŽIDLO - CHS48.3/3.2	S 235	2,783	N134	N12	nosník (80)
B235	STŘEŠNÍ ZTUŽIDLO - CHS48.3/3.2	S 235	2,779	N137	N8	nosník (80)
B236	STŘEŠNÍ ZTUŽIDLO - CHS48.3/3.2	S 235	2,783	N168	N8	nosník (80)
B237	STŘEŠNÍ ZTUŽIDLO - CHS48.3/3.2	S 235	2,779	N134	N4	nosník (80)
B239	STŘEŠNÍ ZTUŽIDLO - CHS48.3/3.2	S 235	3,072	N168	N418	nosník (80)
B240	STŘEŠNÍ ZTUŽIDLO - CHS48.3/3.2	S 235	2,783	N138	N20	nosník (80)
B241	STŘEŠNÍ ZTUŽIDLO - CHS48.3/3.2	S 235	2,779	N139	N16	nosník (80)
B242	STŘEŠNÍ ZTUŽIDLO - CHS48.3/3.2	S 235	2,783	N139	N24	nosník (80)
B243	STŘEŠNÍ ZTUŽIDLO - CHS48.3/3.2	S 235	2,779	N140	N20	nosník (80)
B244	STŘEŠNÍ ZTUŽIDLO - CHS48.3/3.2	S 235	2,783	N140	N28	nosník (80)
B245	STŘEŠNÍ ZTUŽIDLO - CHS48.3/3.2	S 235	2,779	N141	N24	nosník (80)
B246	STŘEŠNÍ ZTUŽIDLO - CHS48.3/3.2	S 235	2,783	N141	N32	nosník (80)
B247	STŘEŠNÍ ZTUŽIDLO - CHS48.3/3.2	S 235	2,779	N142	N28	nosník (80)
B248	STŘEŠNÍ ZTUŽIDLO - CHS48.3/3.2	S 235	2,783	N142	N36	nosník (80)
B249	STŘEŠNÍ ZTUŽIDLO - CHS48.3/3.2	S 235	2,779	N143	N32	nosník (80)
B250	STŘEŠNÍ ZTUŽIDLO - CHS48.3/3.2	S 235	2,783	N143	N40	nosník (80)
B251	STŘEŠNÍ ZTUŽIDLO - CHS48.3/3.2	S 235	2,779	N144	N36	nosník (80)
B252	STŘEŠNÍ ZTUŽIDLO - CHS48.3/3.2	S 235	2,783	N144	N44	nosník (80)
B253	STŘEŠNÍ ZTUŽIDLO - CHS48.3/3.2	S 235	2,779	N145	N40	nosník (80)
B254	STŘEŠNÍ ZTUŽIDLO - CHS48.3/3.2	S 235	2,783	N145	N48	nosník (80)
B255	STŘEŠNÍ ZTUŽIDLO - CHS48.3/3.2	S 235	2,779	N146	N44	nosník (80)
B256	STŘEŠNÍ ZTUŽIDLO - CHS48.3/3.2	S 235	2,783	N147	N56	nosník (80)
B257	STŘEŠNÍ ZTUŽIDLO - CHS48.3/3.2	S 235	2,779	N148	N52	nosník (80)
B258	STŘEŠNÍ ZTUŽIDLO - CHS48.3/3.2	S 235	2,783	N148	N60	nosník (80)
B259	STŘEŠNÍ ZTUŽIDLO - CHS48.3/3.2	S 235	2,779	N149	N56	nosník (80)
B260	STŘEŠNÍ ZTUŽIDLO - CHS48.3/3.2	S 235	2,783	N149	N64	nosník (80)
B261	STŘEŠNÍ ZTUŽIDLO - CHS48.3/3.2	S 235	2,779	N150	N60	nosník (80)
B262	STŘEŠNÍ ZTUŽIDLO - CHS48.3/3.2	S 235	2,783	N150	N68	nosník (80)
B263	STŘEŠNÍ ZTUŽIDLO - CHS48.3/3.2	S 235	2,779	N151	N64	nosník (80)
B264	STŘEŠNÍ ZTUŽIDLO - CHS48.3/3.2	S 235	2,783	N151	N72	nosník (80)
B265	STŘEŠNÍ ZTUŽIDLO - CHS48.3/3.2	S 235	2,779	N152	N68	nosník (80)
B266	STŘEŠNÍ ZTUŽIDLO - CHS48.3/3.2	S 235	2,783	N152	N76	nosník (80)
B267	STŘEŠNÍ ZTUŽIDLO - CHS48.3/3.2	S 235	2,779	N153	N72	nosník (80)
B268	STŘEŠNÍ ZTUŽIDLO - CHS48.3/3.2	S 235	2,783	N153	N80	nosník (80)
B269	STŘEŠNÍ ZTUŽIDLO - CHS48.3/3.2	S 235	2,779	N154	N76	nosník (80)
B270	STŘEŠNÍ ZTUŽIDLO - CHS48.3/3.2	S 235	2,783	N154	N84	nosník (80)
B271	STŘEŠNÍ ZTUŽIDLO - CHS48.3/3.2	S 235	2,779	N155	N80	nosník (80)
B272	STŘEŠNÍ ZTUŽIDLO - CHS48.3/3.2	S 235	2,783	N156	N92	nosník (80)
B273	STŘEŠNÍ ZTUŽIDLO - CHS48.3/3.2	S 235	2,779	N157	N88	nosník (80)
B274	STŘEŠNÍ ZTUŽIDLO - CHS48.3/3.2	S 235	2,783	N157	N96	nosník (80)
B275	STŘEŠNÍ ZTUŽIDLO - CHS48.3/3.2	S 235	2,779	N158	N92	nosník (80)
B276	STŘEŠNÍ ZTUŽIDLO - CHS48.3/3.2	S 235	2,783	N158	N100	nosník (80)
B277	STŘEŠNÍ ZTUŽIDLO - CHS48.3/3.2	S 235	2,779	N159	N96	nosník (80)
B278	STŘEŠNÍ ZTUŽIDLO - CHS48.3/3.2	S 235	2,783	N159	N104	nosník (80)
B279	STŘEŠNÍ ZTUŽIDLO - CHS48.3/3.2	S 235	2,779	N160	N100	nosník (80)
B280	STŘEŠNÍ ZTUŽIDLO - CHS48.3/3.2	S 235	2,783	N160	N108	nosník (80)
B281	STŘEŠNÍ ZTUŽIDLO - CHS48.3/3.2	S 235	2,779	N161	N104	nosník (80)
B282	STŘEŠNÍ ZTUŽIDLO - CHS48.3/3.2	S 235	2,783	N161	N112	nosník (80)
B283	STŘEŠNÍ ZTUŽIDLO - CHS48.3/3.2	S 235	2,779	N162	N108	nosník (80)
B284	STŘEŠNÍ ZTUŽIDLO - CHS48.3/3.2	S 235	2,783	N162	N116	nosník (80)
B285	STŘEŠNÍ ZTUŽIDLO - CHS48.3/3.2	S 235	2,779	N163	N112	nosník (80)
B286	STŘEŠNÍ ZTUŽIDLO - CHS48.3/3.2	S 235	2,783	N163	N120	nosník (80)
B287	STŘEŠNÍ ZTUŽIDLO - CHS48.3/3.2	S 235	2,779	N164	N116	nosník (80)
B288	STŘEŠNÍ ZTUŽIDLO - CHS48.3/3.2	S 235	2,779	N166	N124	nosník (80)
B289	STŘEŠNÍ ZTUŽIDLO - CHS48.3/3.2	S 235	2,783	N165	N128	nosník (80)

Projekt RNR

Jméno	Průřez	Materiál	Délka [m]	Poč. uzel	Konc. uzel	Typ
B290	STŘEŠNÍ ZTUŽIDLO - CHS48.3/3.2	S 235	2,779	N167	N128	nosník (80)
B291	STŘEŠNÍ ZTUŽIDLO - CHS48.3/3.2	S 235	2,783	N166	N132	nosník (80)
B292	STŘEŠNÍ ZTUŽIDLO - CHS48.3/3.2	S 235	2,961	N167	N178	nosník (80)
B320	SLOUP12 - RHS200/150/8.0	S 235	3,768	N226	N227	sloup (100)
B321	PŘÍČEL5 - Iw (500,00; 12,00; 150,00; 22,00; 456,00; 0,00)	S 235	6,419	N227	N228	nosník (80)
B322	SLOUP15 - CHS168.3/8.0	S 235	3,946	N229	N230	sloup (100)
B323	SLOUP10 - RHS200/120/8.0	S 235	3,768	N231	N232	sloup (100)
B324	PŘÍČEL3 - Iw (500,00; 10,00; 120,00; 15,00; 470,00; 0,00)	S 235	6,419	N232	N233	nosník (80)
B325	SLOUP15 - CHS168.3/8.0	S 235	3,946	N234	N235	sloup (100)
B326	SLOUP10 - RHS200/120/8.0	S 235	3,768	N236	N237	sloup (100)
B327	PŘÍČEL3 - Iw (500,00; 10,00; 120,00; 15,00; 470,00; 0,00)	S 235	6,419	N237	N240	nosník (80)
B328	SLOUP15 - CHS168.3/8.0	S 235	3,946	N238	N239	sloup (100)
B329	SLOUP10 - RHS200/120/8.0	S 235	3,768	N241	N242	sloup (100)
B330	PŘÍČEL3 - Iw (500,00; 10,00; 120,00; 15,00; 470,00; 0,00)	S 235	6,419	N242	N245	nosník (80)
B331	SLOUP15 - CHS168.3/8.0	S 235	3,946	N243	N244	sloup (100)
B332	SLOUP10 - RHS200/120/8.0	S 235	3,768	N246	N247	sloup (100)
B333	PŘÍČEL3 - Iw (500,00; 10,00; 120,00; 15,00; 470,00; 0,00)	S 235	6,419	N247	N250	nosník (80)
B334	SLOUP15 - CHS168.3/8.0	S 235	3,946	N248	N249	sloup (100)
B335	SLOUP10 - RHS200/120/8.0	S 235	3,768	N251	N252	sloup (100)
B336	PŘÍČEL3 - Iw (500,00; 10,00; 120,00; 15,00; 470,00; 0,00)	S 235	6,419	N252	N255	nosník (80)
B337	SLOUP15 - CHS168.3/8.0	S 235	3,946	N253	N254	sloup (100)
B338	SLOUP10 - RHS200/120/8.0	S 235	3,768	N256	N257	sloup (100)
B339	PŘÍČEL3 - Iw (500,00; 10,00; 120,00; 15,00; 470,00; 0,00)	S 235	6,419	N257	N260	nosník (80)
B340	SLOUP15 - CHS168.3/8.0	S 235	3,946	N258	N259	sloup (100)
B341	SLOUP10 - RHS200/120/8.0	S 235	3,768	N261	N262	sloup (100)
B342	PŘÍČEL3 - Iw (500,00; 10,00; 120,00; 15,00; 470,00; 0,00)	S 235	6,419	N262	N265	nosník (80)
B343	SLOUP15 - CHS168.3/8.0	S 235	3,946	N263	N264	sloup (100)
B344	SLOUP10 - RHS200/120/8.0	S 235	3,768	N266	N267	sloup (100)
B345	PŘÍČEL3 - Iw (500,00; 10,00; 120,00; 15,00; 470,00; 0,00)	S 235	6,419	N267	N270	nosník (80)
B346	SLOUP15 - CHS168.3/8.0	S 235	3,946	N268	N269	sloup (100)
B347	SLOUP10 - RHS200/120/8.0	S 235	3,768	N271	N272	sloup (100)
B348	PŘÍČEL3 - Iw (500,00; 10,00; 120,00; 15,00; 470,00; 0,00)	S 235	6,419	N272	N275	nosník (80)
B349	SLOUP15 - CHS168.3/8.0	S 235	3,946	N273	N274	sloup (100)
B350	SLOUP10 - RHS200/120/8.0	S 235	3,768	N276	N277	sloup (100)
B351	PŘÍČEL3 - Iw (500,00; 10,00; 120,00; 15,00; 470,00; 0,00)	S 235	6,419	N277	N280	nosník (80)
B352	SLOUP15 - CHS168.3/8.0	S 235	3,946	N278	N279	sloup (100)
B353	SLOUP10 - RHS200/120/8.0	S 235	3,768	N281	N282	sloup (100)
B354	PŘÍČEL3 - Iw (500,00; 10,00; 120,00; 15,00; 470,00; 0,00)	S 235	6,419	N282	N285	nosník (80)
B355	SLOUP15 - CHS168.3/8.0	S 235	3,946	N283	N284	sloup (100)
B356	SLOUP10 - RHS200/120/8.0	S 235	3,768	N286	N287	sloup (100)
B357	PŘÍČEL3 - Iw (500,00; 10,00; 120,00; 15,00; 470,00; 0,00)	S 235	6,419	N287	N290	nosník (80)
B358	SLOUP15 - CHS168.3/8.0	S 235	3,946	N288	N289	sloup (100)
B359	SLOUP10 - RHS200/120/8.0	S 235	3,768	N291	N292	sloup (100)
B360	PŘÍČEL3 - Iw (500,00; 10,00; 120,00; 15,00; 470,00; 0,00)	S 235	6,419	N292	N295	nosník (80)
B361	SLOUP15 - CHS168.3/8.0	S 235	3,946	N293	N294	sloup (100)
B362	SLOUP10 - RHS200/120/8.0	S 235	3,768	N296	N297	sloup (100)
B363	PŘÍČEL3 - Iw (500,00; 10,00; 120,00; 15,00; 470,00; 0,00)	S 235	6,419	N297	N300	nosník (80)
B364	SLOUP15 - CHS168.3/8.0	S 235	3,946	N298	N299	sloup (100)
B365	SLOUP10 - RHS200/120/8.0	S 235	3,768	N301	N302	sloup (100)
B366	PŘÍČEL3 - Iw (500,00; 10,00; 120,00; 15,00; 470,00; 0,00)	S 235	6,419	N302	N305	nosník (80)
B367	SLOUP15 - CHS168.3/8.0	S 235	3,946	N303	N304	sloup (100)
B368	SLOUP12 - RHS200/150/8.0	S 235	3,768	N306	N307	sloup (100)
B369	PŘÍČEL5 - Iw (500,00; 12,00; 150,00; 22,00; 456,00; 0,00)	S 235	6,419	N307	N310	nosník (80)
B370	SLOUP15 - CHS168.3/8.0	S 235	3,946	N308	N309	sloup (100)
B371	SLOUP10 - RHS200/120/8.0	S 235	3,768	N311	N312	sloup (100)
B372	PŘÍČEL4 - Iw (500,00; 12,00; 120,00; 22,00; 456,00; 0,00)	S 235	6,419	N312	N313	nosník (80)
B373	pruvlak2 - Komora fl (200,00; 15,00; 270,00; 8,00; 154,00)	S 235	2,369	N314	N230	nosník (80)
B374	PRUVLAK9 - Komora fl (150,00; 20,00; 80,00; 10,00; 110,00)	S 235	6,419	N315	N316	nosník (80)
B375	NOSNIK1 - IPE500	S 235	2,000	N312	N232	nosník (80)
B376	pruvlak4 - Komora fl (200,00; 15,00; 470,00; 8,00; 154,00)	S 235	2,369	N315	N227	nosník (80)
B377	NOSNIK1 - IPE500	S 235	2,000	N227	N312	nosník (80)
B378	PRUVLAK5 - IPE330	S 235	4,000	N230	N235	nosník (80)
B379	SLOUP10 - RHS200/120/8.0	S 235	3,768	N317	N318	sloup (100)
B380	PŘÍČEL4 - Iw (500,00; 12,00; 120,00; 22,00; 456,00; 0,00)	S 235	6,419	N318	N319	nosník (80)
B381	PRUVLAK5 - IPE330	S 235	4,000	N235	N239	nosník (80)
B382	SLOUP10 - RHS200/120/8.0	S 235	3,768	N320	N321	sloup (100)

Projekt RNR

Jméno	Průřez	Materiál	Délka [m]	Poč. uzel	Konc. uzel	Typ
B383	PŘÍČEL4 - Iw (500,00; 12,00; 120,00; 22,00; 456,00; 0,00)	S 235	6,419	N321	N322	nosník (80)
B384	PRUVLAK5 - IPE330	S 235	4,000	N239	N244	nosník (80)
B385	SLOUP10 - RHS200/120/8.0	S 235	3,768	N323	N324	sloup (100)
B386	PŘÍČEL4 - Iw (500,00; 12,00; 120,00; 22,00; 456,00; 0,00)	S 235	6,419	N324	N325	nosník (80)
B387	PRUVLAK5 - IPE330	S 235	4,000	N244	N249	nosník (80)
B388	SLOUP10 - RHS200/120/8.0	S 235	3,768	N326	N327	sloup (100)
B389	PŘÍČEL4 - Iw (500,00; 12,00; 120,00; 22,00; 456,00; 0,00)	S 235	6,419	N327	N328	nosník (80)
B390	PRUVLAK5 - IPE330	S 235	4,000	N249	N254	nosník (80)
B391	SLOUP10 - RHS200/120/8.0	S 235	3,768	N329	N330	sloup (100)
B392	PŘÍČEL4 - Iw (500,00; 12,00; 120,00; 22,00; 456,00; 0,00)	S 235	6,419	N330	N331	nosník (80)
B393	PRUVLAK5 - IPE330	S 235	4,000	N254	N259	nosník (80)
B394	SLOUP10 - RHS200/120/8.0	S 235	3,768	N332	N333	sloup (100)
B395	PŘÍČEL4 - Iw (500,00; 12,00; 120,00; 22,00; 456,00; 0,00)	S 235	6,419	N333	N334	nosník (80)
B396	PRUVLAK5 - IPE330	S 235	4,000	N259	N264	nosník (80)
B397	SLOUP10 - RHS200/120/8.0	S 235	3,768	N335	N336	sloup (100)
B398	PŘÍČEL4 - Iw (500,00; 12,00; 120,00; 22,00; 456,00; 0,00)	S 235	6,419	N336	N337	nosník (80)
B399	PRUVLAK5 - IPE330	S 235	4,000	N264	N269	nosník (80)
B400	SLOUP10 - RHS200/120/8.0	S 235	3,768	N338	N339	sloup (100)
B401	PŘÍČEL4 - Iw (500,00; 12,00; 120,00; 22,00; 456,00; 0,00)	S 235	6,419	N339	N340	nosník (80)
B402	PRUVLAK5 - IPE330	S 235	4,000	N269	N274	nosník (80)
B403	SLOUP10 - RHS200/120/8.0	S 235	3,768	N341	N342	sloup (100)
B404	PŘÍČEL4 - Iw (500,00; 12,00; 120,00; 22,00; 456,00; 0,00)	S 235	6,419	N342	N343	nosník (80)
B405	PRUVLAK5 - IPE330	S 235	4,000	N274	N279	nosník (80)
B406	SLOUP10 - RHS200/120/8.0	S 235	3,768	N344	N345	sloup (100)
B407	PŘÍČEL4 - Iw (500,00; 12,00; 120,00; 22,00; 456,00; 0,00)	S 235	6,419	N345	N346	nosník (80)
B408	PRUVLAK5 - IPE330	S 235	4,000	N279	N284	nosník (80)
B409	SLOUP10 - RHS200/120/8.0	S 235	3,768	N347	N348	sloup (100)
B410	PŘÍČEL4 - Iw (500,00; 12,00; 120,00; 22,00; 456,00; 0,00)	S 235	6,419	N348	N349	nosník (80)
B411	PRUVLAK5 - IPE330	S 235	4,000	N284	N289	nosník (80)
B412	SLOUP10 - RHS200/120/8.0	S 235	3,768	N350	N351	sloup (100)
B413	PŘÍČEL4 - Iw (500,00; 12,00; 120,00; 22,00; 456,00; 0,00)	S 235	6,419	N351	N352	nosník (80)
B414	PRUVLAK5 - IPE330	S 235	4,000	N289	N294	nosník (80)
B415	SLOUP10 - RHS200/120/8.0	S 235	3,768	N353	N354	sloup (100)
B416	PŘÍČEL4 - Iw (500,00; 12,00; 120,00; 22,00; 456,00; 0,00)	S 235	6,419	N354	N355	nosník (80)
B417	PRUVLAK5 - IPE330	S 235	4,000	N294	N299	nosník (80)
B418	SLOUP10 - RHS200/120/8.0	S 235	3,768	N356	N357	sloup (100)
B419	PŘÍČEL4 - Iw (500,00; 12,00; 120,00; 22,00; 456,00; 0,00)	S 235	6,419	N357	N358	nosník (80)
B420	PRUVLAK5 - IPE330	S 235	4,000	N299	N304	nosník (80)
B421	SLOUP10 - RHS200/120/8.0	S 235	3,768	N359	N360	sloup (100)
B422	PŘÍČEL4 - Iw (500,00; 12,00; 120,00; 22,00; 456,00; 0,00)	S 235	6,419	N360	N361	nosník (80)
B423	PRUVLAK5 - IPE330	S 235	4,000	N304	N309	nosník (80)
B424	PRUVLAK9 - Komora fl (150,00; 20,00; 80,00; 10,00; 110,00)	S 235	6,419	N363	N364	nosník (80)
B425	NOSNIK1 - IPE500	S 235	2,000	N302	N360	nosník (80)
B426	NOSNIK1 - IPE500	S 235	2,000	N360	N307	nosník (80)
B427	pruvlak4 - Komora fl (200,00; 15,00; 470,00; 8,00; 154,00)	S 235	2,228	N307	N363	nosník (80)
B428	pruvlak2 - Komora fl (200,00; 15,00; 270,00; 8,00; 154,00)	S 235	2,228	N309	N362	nosník (80)
B429	VAZNICE - IPE120	S 235	2,000	N232	N318	nosník (80)
B430	VAZNICE - IPE120	S 235	2,000	N318	N237	nosník (80)
B431	VAZNICE - IPE120	S 235	2,000	N237	N321	nosník (80)
B432	VAZNICE - IPE120	S 235	2,000	N321	N242	nosník (80)
B433	VAZNICE - IPE120	S 235	2,000	N242	N324	nosník (80)
B434	VAZNICE - IPE120	S 235	2,000	N324	N247	nosník (80)
B435	VAZNICE - IPE120	S 235	2,000	N247	N327	nosník (80)
B436	VAZNICE - IPE120	S 235	2,000	N327	N252	nosník (80)
B437	VAZNICE - IPE120	S 235	2,000	N252	N330	nosník (80)
B438	VAZNICE - IPE120	S 235	2,000	N330	N257	nosník (80)
B439	VAZNICE - IPE120	S 235	2,000	N257	N333	nosník (80)
B440	VAZNICE - IPE120	S 235	2,000	N333	N262	nosník (80)
B441	VAZNICE - IPE120	S 235	2,000	N262	N336	nosník (80)
B442	VAZNICE - IPE120	S 235	2,000	N336	N267	nosník (80)
B443	VAZNICE - IPE120	S 235	2,000	N267	N339	nosník (80)
B444	VAZNICE - IPE120	S 235	2,000	N339	N272	nosník (80)
B445	VAZNICE - IPE120	S 235	2,000	N272	N342	nosník (80)
B446	VAZNICE - IPE120	S 235	2,000	N342	N277	nosník (80)
B447	VAZNICE - IPE120	S 235	2,000	N277	N345	nosník (80)
B448	VAZNICE - IPE120	S 235	2,000	N345	N282	nosník (80)

Projekt RNR

Jméno	Průřez	Materiál	Délka [m]	Poč. uzel	Konc. uzel	Typ
B449	VAZNICE - IPE120	S 235	2,000	N282	N348	nosník (80)
B450	VAZNICE - IPE120	S 235	2,000	N348	N287	nosník (80)
B451	VAZNICE - IPE120	S 235	2,000	N287	N351	nosník (80)
B452	VAZNICE - IPE120	S 235	2,000	N351	N292	nosník (80)
B453	VAZNICE - IPE120	S 235	2,000	N292	N354	nosník (80)
B454	VAZNICE - IPE120	S 235	2,000	N354	N297	nosník (80)
B455	VAZNICE - IPE120	S 235	2,000	N297	N357	nosník (80)
B456	VAZNICE - IPE120	S 235	2,000	N357	N302	nosník (80)
B459	VAZNICE - IPE120	S 235	2,000	N368	N366	nosník (80)
B460	STŘEŠNÍ ZTUŽIDLO - CHS48.3/3.2	S 235	2,748	N368	N319	nosník (80)
B461	STŘEŠNÍ ZTUŽIDLO - CHS48.3/3.2	S 235	2,745	N233	N366	nosník (80)
B462	STŘEŠNÍ ZTUŽIDLO - CHS48.3/3.2	S 235	2,745	N368	N369	nosník (80)
B463	STŘEŠNÍ ZTUŽIDLO - CHS48.3/3.2	S 235	2,748	N235	N366	nosník (80)
B466	STŘEŠNÍ ZTUŽIDLO - CHS48.3/3.2	S 235	3,323	N318	N235	nosník (80)
B467	STŘEŠNÍ ZTUŽIDLO - CHS48.3/3.2	S 235	3,327	N232	N369	nosník (80)
B468	VAZNICE - IPE120	S 235	2,000	N233	N319	nosník (80)
B469	PRUVLAK9 - Komora fl (150,00; 20,00; 80,00; 10,00; 110,00)	S 235	2,000	N313	N233	nosník (80)
B470	NOSNIK - IPE200	S 235	2,000	N370	N368	nosník (80)
B471	PRUVLAK9 - Komora fl (150,00; 20,00; 80,00; 10,00; 110,00)	S 235	2,000	N228	N313	nosník (80)
B472	NOSNIK - IPE200	S 235	2,000	N371	N370	nosník (80)
B473	PRUVLAK9 - Komora fl (150,00; 20,00; 80,00; 10,00; 110,00)	S 235	2,369	N316	N228	nosník (80)
B474	pruvlak3 - Komora fl (100,00; 10,00; 180,00; 6,00; 68,00)	S 235	2,369	N373	N371	nosník (80)
B475	VAZNICE - IPE120	S 235	2,000	N319	N240	nosník (80)
B476	VAZNICE - IPE120	S 235	2,000	N366	N374	nosník (80)
B477	VAZNICE - IPE120	S 235	2,000	N240	N322	nosník (80)
B478	VAZNICE - IPE120	S 235	2,000	N374	N375	nosník (80)
B479	VAZNICE - IPE120	S 235	2,000	N322	N245	nosník (80)
B480	VAZNICE - IPE120	S 235	2,000	N375	N376	nosník (80)
B481	VAZNICE - IPE120	S 235	2,000	N245	N325	nosník (80)
B482	VAZNICE - IPE120	S 235	2,000	N376	N377	nosník (80)
B483	VAZNICE - IPE120	S 235	2,000	N325	N250	nosník (80)
B484	VAZNICE - IPE120	S 235	2,000	N377	N378	nosník (80)
B485	VAZNICE - IPE120	S 235	2,000	N250	N328	nosník (80)
B486	VAZNICE - IPE120	S 235	2,000	N378	N379	nosník (80)
B487	VAZNICE - IPE120	S 235	2,000	N328	N255	nosník (80)
B488	VAZNICE - IPE120	S 235	2,000	N379	N380	nosník (80)
B489	VAZNICE - IPE120	S 235	2,000	N255	N331	nosník (80)
B490	VAZNICE - IPE120	S 235	2,000	N380	N381	nosník (80)
B491	VAZNICE - IPE120	S 235	2,000	N331	N260	nosník (80)
B492	VAZNICE - IPE120	S 235	2,000	N381	N382	nosník (80)
B493	VAZNICE - IPE120	S 235	2,000	N260	N334	nosník (80)
B494	VAZNICE - IPE120	S 235	2,000	N382	N383	nosník (80)
B495	VAZNICE - IPE120	S 235	2,000	N334	N265	nosník (80)
B496	VAZNICE - IPE120	S 235	2,000	N383	N384	nosník (80)
B497	VAZNICE - IPE120	S 235	2,000	N265	N337	nosník (80)
B498	VAZNICE - IPE120	S 235	2,000	N384	N385	nosník (80)
B499	VAZNICE - IPE120	S 235	2,000	N337	N270	nosník (80)
B500	VAZNICE - IPE120	S 235	2,000	N385	N386	nosník (80)
B501	VAZNICE - IPE120	S 235	2,000	N270	N340	nosník (80)
B502	VAZNICE - IPE120	S 235	2,000	N386	N387	nosník (80)
B503	VAZNICE - IPE120	S 235	2,000	N340	N275	nosník (80)
B504	VAZNICE - IPE120	S 235	2,000	N387	N388	nosník (80)
B505	VAZNICE - IPE120	S 235	2,000	N275	N343	nosník (80)
B506	VAZNICE - IPE120	S 235	2,000	N388	N389	nosník (80)
B507	VAZNICE - IPE120	S 235	2,000	N343	N280	nosník (80)
B508	VAZNICE - IPE120	S 235	2,000	N389	N390	nosník (80)
B509	VAZNICE - IPE120	S 235	2,000	N280	N346	nosník (80)
B510	VAZNICE - IPE120	S 235	2,000	N390	N391	nosník (80)
B511	VAZNICE - IPE120	S 235	2,000	N346	N285	nosník (80)
B512	VAZNICE - IPE120	S 235	2,000	N391	N392	nosník (80)
B513	VAZNICE - IPE120	S 235	2,000	N285	N349	nosník (80)
B514	VAZNICE - IPE120	S 235	2,000	N392	N393	nosník (80)
B515	VAZNICE - IPE120	S 235	2,000	N349	N290	nosník (80)
B516	VAZNICE - IPE120	S 235	2,000	N393	N394	nosník (80)
B517	VAZNICE - IPE120	S 235	2,000	N290	N352	nosník (80)
B518	VAZNICE - IPE120	S 235	2,000	N394	N395	nosník (80)

Projekt RNR

Jméno	Průřez	Materiál	Délka [m]	Poč. uzel	Konc. uzel	Typ
B519	VAZNICE - IPE120	S 235	2,000	N352	N295	nosník (80)
B520	VAZNICE - IPE120	S 235	2,000	N395	N396	nosník (80)
B521	VAZNICE - IPE120	S 235	2,000	N295	N355	nosník (80)
B522	VAZNICE - IPE120	S 235	2,000	N396	N397	nosník (80)
B523	VAZNICE - IPE120	S 235	2,000	N355	N300	nosník (80)
B524	VAZNICE - IPE120	S 235	2,000	N397	N398	nosník (80)
B525	VAZNICE - IPE120	S 235	2,000	N300	N358	nosník (80)
B526	VAZNICE - IPE120	S 235	2,000	N398	N399	nosník (80)
B527	VAZNICE - IPE120	S 235	2,000	N358	N305	nosník (80)
B528	VAZNICE - IPE120	S 235	2,000	N399	N400	nosník (80)
B529	PRUVLAK9 - Komora fl (150,00; 20,00; 80,00; 10,00; 110,00)	S 235	2,000	N305	N361	nosník (80)
B530	NOSNIK - IPE200	S 235	2,000	N400	N401	nosník (80)
B531	PRUVLAK9 - Komora fl (150,00; 20,00; 80,00; 10,00; 110,00)	S 235	2,000	N361	N310	nosník (80)
B532	NOSNIK - IPE200	S 235	2,000	N401	N402	nosník (80)
B533	PRUVLAK9 - Komora fl (150,00; 20,00; 80,00; 10,00; 110,00)	S 235	2,228	N310	N364	nosník (80)
B534	pruvlak3 - Komora fl (100,00; 10,00; 180,00; 6,00; 68,00)	S 235	2,228	N402	N404	nosník (80)
B537	STŘEŠNÍ ZTUŽIDLO - CHS48.3/3.2	S 235	3,323	N257	N405	nosník (80)
B538	STŘEŠNÍ ZTUŽIDLO - CHS48.3/3.2	S 235	3,327	N330	N259	nosník (80)
B539	STŘEŠNÍ ZTUŽIDLO - CHS48.3/3.2	S 235	2,745	N381	N259	nosník (80)
B540	STŘEŠNÍ ZTUŽIDLO - CHS48.3/3.2	S 235	2,748	N405	N382	nosník (80)
B541	STŘEŠNÍ ZTUŽIDLO - CHS48.3/3.2	S 235	2,748	N381	N260	nosník (80)
B542	STŘEŠNÍ ZTUŽIDLO - CHS48.3/3.2	S 235	2,745	N331	N382	nosník (80)
B545	STŘEŠNÍ ZTUŽIDLO - CHS48.3/3.2	S 235	3,323	N345	N279	nosník (80)
B546	STŘEŠNÍ ZTUŽIDLO - CHS48.3/3.2	S 235	3,327	N277	N406	nosník (80)
B547	STŘEŠNÍ ZTUŽIDLO - CHS48.3/3.2	S 235	2,745	N390	N406	nosník (80)
B548	STŘEŠNÍ ZTUŽIDLO - CHS48.3/3.2	S 235	2,748	N279	N391	nosník (80)
B549	STŘEŠNÍ ZTUŽIDLO - CHS48.3/3.2	S 235	2,748	N390	N346	nosník (80)
B550	STŘEŠNÍ ZTUŽIDLO - CHS48.3/3.2	S 235	2,745	N280	N391	nosník (80)
B553	STŘEŠNÍ ZTUŽIDLO - CHS48.3/3.2	S 235	3,323	N302	N407	nosník (80)
B554	STŘEŠNÍ ZTUŽIDLO - CHS48.3/3.2	S 235	3,327	N357	N304	nosník (80)
B555	STŘEŠNÍ ZTUŽIDLO - CHS48.3/3.2	S 235	2,745	N399	N304	nosník (80)
B556	STŘEŠNÍ ZTUŽIDLO - CHS48.3/3.2	S 235	2,748	N407	N400	nosník (80)
B557	STŘEŠNÍ ZTUŽIDLO - CHS48.3/3.2	S 235	2,748	N399	N305	nosník (80)
B558	STŘEŠNÍ ZTUŽIDLO - CHS48.3/3.2	S 235	2,745	N358	N400	nosník (80)
B559	STŘEŠNÍ ZTUŽIDLO - CHS48.3/3.2	S 235	2,748	N370	N233	nosník (80)
B560	STŘEŠNÍ ZTUŽIDLO - CHS48.3/3.2	S 235	2,745	N313	N368	nosník (80)
B561	STŘEŠNÍ ZTUŽIDLO - CHS48.3/3.2	S 235	2,748	N371	N313	nosník (80)
B562	STŘEŠNÍ ZTUŽIDLO - CHS48.3/3.2	S 235	2,745	N228	N370	nosník (80)
B563	STŘEŠNÍ ZTUŽIDLO - CHS48.3/3.2	S 235	3,017	N228	N373	nosník (80)
B564	STŘEŠNÍ ZTUŽIDLO - CHS48.3/3.2	S 235	3,035	N371	N316	nosník (80)
B565	STŘEŠNÍ ZTUŽIDLO - CHS48.3/3.2	S 235	2,748	N366	N240	nosník (80)
B566	STŘEŠNÍ ZTUŽIDLO - CHS48.3/3.2	S 235	2,745	N319	N374	nosník (80)
B567	STŘEŠNÍ ZTUŽIDLO - CHS48.3/3.2	S 235	2,748	N374	N322	nosník (80)
B568	STŘEŠNÍ ZTUŽIDLO - CHS48.3/3.2	S 235	2,745	N240	N375	nosník (80)
B569	STŘEŠNÍ ZTUŽIDLO - CHS48.3/3.2	S 235	2,748	N375	N245	nosník (80)
B570	STŘEŠNÍ ZTUŽIDLO - CHS48.3/3.2	S 235	2,745	N322	N376	nosník (80)
B571	STŘEŠNÍ ZTUŽIDLO - CHS48.3/3.2	S 235	2,748	N376	N325	nosník (80)
B572	STŘEŠNÍ ZTUŽIDLO - CHS48.3/3.2	S 235	2,745	N245	N377	nosník (80)
B573	STŘEŠNÍ ZTUŽIDLO - CHS48.3/3.2	S 235	2,748	N377	N250	nosník (80)
B574	STŘEŠNÍ ZTUŽIDLO - CHS48.3/3.2	S 235	2,745	N325	N378	nosník (80)
B575	STŘEŠNÍ ZTUŽIDLO - CHS48.3/3.2	S 235	2,748	N378	N328	nosník (80)
B576	STŘEŠNÍ ZTUŽIDLO - CHS48.3/3.2	S 235	2,745	N250	N379	nosník (80)
B577	STŘEŠNÍ ZTUŽIDLO - CHS48.3/3.2	S 235	2,748	N379	N255	nosník (80)
B578	STŘEŠNÍ ZTUŽIDLO - CHS48.3/3.2	S 235	2,745	N328	N380	nosník (80)
B579	STŘEŠNÍ ZTUŽIDLO - CHS48.3/3.2	S 235	2,748	N380	N331	nosník (80)
B580	STŘEŠNÍ ZTUŽIDLO - CHS48.3/3.2	S 235	2,745	N255	N381	nosník (80)
B581	STŘEŠNÍ ZTUŽIDLO - CHS48.3/3.2	S 235	2,748	N382	N334	nosník (80)
B582	STŘEŠNÍ ZTUŽIDLO - CHS48.3/3.2	S 235	2,745	N260	N383	nosník (80)
B583	STŘEŠNÍ ZTUŽIDLO - CHS48.3/3.2	S 235	2,748	N383	N265	nosník (80)
B584	STŘEŠNÍ ZTUŽIDLO - CHS48.3/3.2	S 235	2,745	N334	N384	nosník (80)
B585	STŘEŠNÍ ZTUŽIDLO - CHS48.3/3.2	S 235	2,748	N384	N337	nosník (80)
B586	STŘEŠNÍ ZTUŽIDLO - CHS48.3/3.2	S 235	2,745	N265	N385	nosník (80)
B587	STŘEŠNÍ ZTUŽIDLO - CHS48.3/3.2	S 235	2,748	N385	N270	nosník (80)
B588	STŘEŠNÍ ZTUŽIDLO - CHS48.3/3.2	S 235	2,745	N337	N386	nosník (80)
B589	STŘEŠNÍ ZTUŽIDLO - CHS48.3/3.2	S 235	2,748	N386	N340	nosník (80)
B590	STŘEŠNÍ ZTUŽIDLO - CHS48.3/3.2	S 235	2,745	N270	N387	nosník (80)

Projekt RNR

Jméno	Průřez	Materiál	Délka [m]	Poč. uzel	Konc. uzel	Typ
B591	STŘEŠNÍ ZTUŽIDLO - CHS48.3/3.2	S 235	2,748	N387	N275	nosník (80)
B592	STŘEŠNÍ ZTUŽIDLO - CHS48.3/3.2	S 235	2,745	N340	N388	nosník (80)
B593	STŘEŠNÍ ZTUŽIDLO - CHS48.3/3.2	S 235	2,748	N388	N343	nosník (80)
B594	STŘEŠNÍ ZTUŽIDLO - CHS48.3/3.2	S 235	2,745	N275	N389	nosník (80)
B595	STŘEŠNÍ ZTUŽIDLO - CHS48.3/3.2	S 235	2,748	N389	N280	nosník (80)
B596	STŘEŠNÍ ZTUŽIDLO - CHS48.3/3.2	S 235	2,745	N343	N390	nosník (80)
B597	STŘEŠNÍ ZTUŽIDLO - CHS48.3/3.2	S 235	2,748	N391	N285	nosník (80)
B598	STŘEŠNÍ ZTUŽIDLO - CHS48.3/3.2	S 235	2,745	N346	N392	nosník (80)
B599	STŘEŠNÍ ZTUŽIDLO - CHS48.3/3.2	S 235	2,748	N392	N349	nosník (80)
B600	STŘEŠNÍ ZTUŽIDLO - CHS48.3/3.2	S 235	2,745	N285	N393	nosník (80)
B601	STŘEŠNÍ ZTUŽIDLO - CHS48.3/3.2	S 235	2,748	N393	N290	nosník (80)
B602	STŘEŠNÍ ZTUŽIDLO - CHS48.3/3.2	S 235	2,745	N349	N394	nosník (80)
B603	STŘEŠNÍ ZTUŽIDLO - CHS48.3/3.2	S 235	2,748	N394	N352	nosník (80)
B604	STŘEŠNÍ ZTUŽIDLO - CHS48.3/3.2	S 235	2,745	N290	N395	nosník (80)
B605	STŘEŠNÍ ZTUŽIDLO - CHS48.3/3.2	S 235	2,748	N395	N295	nosník (80)
B606	STŘEŠNÍ ZTUŽIDLO - CHS48.3/3.2	S 235	2,745	N352	N396	nosník (80)
B607	STŘEŠNÍ ZTUŽIDLO - CHS48.3/3.2	S 235	2,748	N396	N355	nosník (80)
B608	STŘEŠNÍ ZTUŽIDLO - CHS48.3/3.2	S 235	2,745	N295	N397	nosník (80)
B609	STŘEŠNÍ ZTUŽIDLO - CHS48.3/3.2	S 235	2,748	N397	N300	nosník (80)
B610	STŘEŠNÍ ZTUŽIDLO - CHS48.3/3.2	S 235	2,745	N355	N398	nosník (80)
B611	STŘEŠNÍ ZTUŽIDLO - CHS48.3/3.2	S 235	2,748	N398	N358	nosník (80)
B612	STŘEŠNÍ ZTUŽIDLO - CHS48.3/3.2	S 235	2,745	N300	N399	nosník (80)
B613	STŘEŠNÍ ZTUŽIDLO - CHS48.3/3.2	S 235	2,748	N400	N361	nosník (80)
B614	STŘEŠNÍ ZTUŽIDLO - CHS48.3/3.2	S 235	2,745	N305	N401	nosník (80)
B615	STŘEŠNÍ ZTUŽIDLO - CHS48.3/3.2	S 235	2,748	N401	N310	nosník (80)
B616	STŘEŠNÍ ZTUŽIDLO - CHS48.3/3.2	S 235	2,745	N361	N402	nosník (80)
B617	STŘEŠNÍ ZTUŽIDLO - CHS48.3/3.2	S 235	2,928	N402	N364	nosník (80)
B618	STŘEŠNÍ ZTUŽIDLO - CHS48.3/3.2	S 235	2,904	N310	N404	nosník (80)
B619	SLOUP4 - HEB300	S 235	3,618	N408	N62	sloup (100)
B620	SLOUP4 - HEB300	S 235	3,618	N409	N58	sloup (100)
B621	SLOUP4 - HEB300	S 235	3,618	N410	N54	sloup (100)
B626	STŘEŠNÍ ZTUŽIDLO - CHS48.3/3.2	S 235	2,927	N174	N132	nosník (80)
B631	STŘEŠNÍ ZTUŽIDLO - CHS48.3/3.2	S 235	3,042	N4	N172	nosník (80)
B633	STENOVE TAHLO - RD20	S 235	3,153	N424	N357	nosník (80)
B634	STENOVE TAHLO - RD20	S 235	3,200	N425	N302	nosník (80)
B635	STENOVE TAHLO - RD20	S 235	3,200	N426	N357	nosník (80)
B636	STENOVE TAHLO - RD20	S 235	3,153	N425	N297	nosník (80)
B637	STENOVE TAHLO - RD20	S 235	3,200	N427	N237	nosník (80)
B638	STENOVE TAHLO - RD20	S 235	3,153	N428	N318	nosník (80)
B639	STENOVE TAHLO - RD20	S 235	3,200	N429	N318	nosník (80)
B640	STENOVE TAHLO - RD20	S 235	3,153	N427	N232	nosník (80)
B641	STENOVE TAHLO - RD20	S 235	3,200	N430	N345	nosník (80)
B642	STENOVE TAHLO - RD20	S 235	3,153	N431	N277	nosník (80)
B643	STENOVE TAHLO - RD20	S 235	3,200	N432	N277	nosník (80)
B644	STENOVE TAHLO - RD20	S 235	3,153	N430	N342	nosník (80)
B645	STENOVE TAHLO - RD20	S 235	3,200	N433	N257	nosník (80)
B646	STENOVE TAHLO - RD20	S 235	3,153	N434	N330	nosník (80)
B647	STENOVE TAHLO - RD20	S 235	3,200	N434	N333	nosník (80)
B648	STENOVE TAHLO - RD20	S 235	3,153	N435	N257	nosník (80)
B649	STENOVE TAHLO - RD20	S 235	3,084	N436	N122	nosník (80)
B650	STENOVE TAHLO - RD20	S 235	3,039	N437	N118	nosník (80)
B651	STENOVE TAHLO - RD20	S 235	3,084	N438	N118	nosník (80)
B652	STENOVE TAHLO - RD20	S 235	3,039	N436	N114	nosník (80)
B653	STENOVE TAHLO - RD20	S 235	3,084	N439	N86	nosník (80)
B654	STENOVE TAHLO - RD20	S 235	3,039	N440	N82	nosník (80)
B655	STENOVE TAHLO - RD20	S 235	3,084	N441	N82	nosník (80)
B656	STENOVE TAHLO - RD20	S 235	3,039	N439	N78	nosník (80)
B657	STENOVE TAHLO - RD20	S 235	3,084	N442	N50	nosník (80)
B658	STENOVE TAHLO - RD20	S 235	3,039	N443	N46	nosník (80)
B659	STENOVE TAHLO - RD20	S 235	3,084	N443	N54	nosník (80)
B660	STENOVE TAHLO - RD20	S 235	3,039	N448	N50	nosník (80)
B661	STENOVE TAHLO - RD20	S 235	3,084	N445	N14	nosník (80)
B662	STENOVE TAHLO - RD20	S 235	3,039	N446	N10	nosník (80)
B663	STENOVE TAHLO - RD20	S 235	3,084	N446	N18	nosník (80)
B664	STENOVE TAHLO - RD20	S 235	3,039	N447	N14	nosník (80)
B665	STŘEŠNÍ ZTUŽIDLO - CHS48.3/3.2	S 235	2,780	N114	N164	nosník (80)

Projekt RNR

Jméno	Průřez	Materiál	Délka [m]	Poč. uzel	Konc. uzel	Typ
B666	STŘEŠNÍ ZTUŽIDLO - CHS48.3/3.2	S 235	2,776	N118	N163	nosník (80)
B667	STŘEŠNÍ ZTUŽIDLO - CHS48.3/3.2	S 235	2,780	N78	N155	nosník (80)
B668	STŘEŠNÍ ZTUŽIDLO - CHS48.3/3.2	S 235	2,776	N82	N154	nosník (80)
B669	STŘEŠNÍ ZTUŽIDLO - CHS48.3/3.2	S 235	2,780	N50	N148	nosník (80)
B670	STŘEŠNÍ ZTUŽIDLO - CHS48.3/3.2	S 235	2,776	N54	N147	nosník (80)
B671	STŘEŠNÍ ZTUŽIDLO - CHS48.3/3.2	S 235	2,780	N14	N139	nosník (80)
B672	STŘEŠNÍ ZTUŽIDLO - CHS48.3/3.2	S 235	2,776	N18	N138	nosník (80)
B673	STŘEŠNÍ ZTUŽIDLO - CHS48.3/3.2	S 235	3,323	N357	N299	nosník (80)
B674	STŘEŠNÍ ZTUŽIDLO - CHS48.3/3.2	S 235	3,327	N297	N407	nosník (80)
B675	STŘEŠNÍ ZTUŽIDLO - CHS48.3/3.2	S 235	2,745	N398	N407	nosník (80)
B676	STŘEŠNÍ ZTUŽIDLO - CHS48.3/3.2	S 235	2,748	N299	N399	nosník (80)
B677	STŘEŠNÍ ZTUŽIDLO - CHS48.3/3.2	S 235	3,323	N277	N449	nosník (80)
B678	STŘEŠNÍ ZTUŽIDLO - CHS48.3/3.2	S 235	3,327	N342	N279	nosník (80)
B679	STŘEŠNÍ ZTUŽIDLO - CHS48.3/3.2	S 235	2,745	N389	N279	nosník (80)
B680	STŘEŠNÍ ZTUŽIDLO - CHS48.3/3.2	S 235	2,748	N449	N390	nosník (80)
B681	STŘEŠNÍ ZTUŽIDLO - CHS48.3/3.2	S 235	3,323	N333	N259	nosník (80)
B682	STŘEŠNÍ ZTUŽIDLO - CHS48.3/3.2	S 235	3,327	N257	N450	nosník (80)
B683	STŘEŠNÍ ZTUŽIDLO - CHS48.3/3.2	S 235	2,745	N382	N450	nosník (80)
B684	STŘEŠNÍ ZTUŽIDLO - CHS48.3/3.2	S 235	2,748	N259	N383	nosník (80)
B685	STŘEŠNÍ ZTUŽIDLO - CHS48.3/3.2	S 235	3,323	N237	N369	nosník (80)
B686	STŘEŠNÍ ZTUŽIDLO - CHS48.3/3.2	S 235	3,327	N318	N239	nosník (80)
B687	STŘEŠNÍ ZTUŽIDLO - CHS48.3/3.2	S 235	2,745	N366	N239	nosník (80)
B688	STŘEŠNÍ ZTUŽIDLO - CHS48.3/3.2	S 235	2,748	N369	N374	nosník (80)

14. Zatěžovací panely

Jméno	Typ panelu	Směr roznosu zatížení	Výběr entit
LP2	Do okrajů panelu a do nosníků	X (LSS panelu)	Automatický výběr
LP3	Do okrajů panelu a do nosníků	X (LSS panelu)	Automatický výběr
LP4	Do okrajů panelu a do nosníků	Y (LSS panelu)	Automatický výběr
LP5	Do okrajů panelu a do nosníků	Y (LSS panelu)	Automatický výběr
LP6	Do okrajů panelu a do nosníků	X (LSS panelu)	Automatický výběr
LP7	Do okrajů panelu a do nosníků	X (LSS panelu)	Automatický výběr
LP8	Do okrajů panelu a do nosníků	Y (LSS panelu)	Automatický výběr
LP9	Do okrajů panelu a do nosníků	X (LSS panelu)	Automatický výběr
LP10	Do okrajů panelu a do nosníků	X (LSS panelu)	Automatický výběr
LP11	Do okrajů panelu a do nosníků	Y (LSS panelu)	Automatický výběr
LP12	Do okrajů panelu a do nosníků	X (LSS panelu)	Automatický výběr

Vysvětlivky symbolů

Výběr entit	<p>Vše: vybere všechny okraje a nosníky, které podepírají panel ve stejném místě.</p> <p>Automatický výběr: pokud se dva nebo více podpírajících prvků překrývá, výběr vynechá hrany, které náleží 2D dílcům ležícím ve stejné rovině jako panel.</p> <p>Uživatelský výběr: vyžaduje ruční výběr podpírajících okrajů a nosníků (pomocí akčního tlačítka).</p> <p>Podle typu: za podpírající prvky se uvažují pouze nosníky typu vybraného v seznamu.</p>
-------------	---

15. Pruty s proměnným průřezem

AP		
Dílec	B3	
Souř.	Rela	
délka 1, Prur1(1), Prur2(1)	1.000	PRICEL - Komora fl (300,00; 15,00; 470,00; 10,00; 250,00)
AP1		
Dílec	B6	
Souř.	Rela	
délka 1, Prur1(1), Prur2(1)	1.000	PRICEL - Komora fl (300,00; 15,00; 470,00; 10,00; 250,00)
AP2		

Projekt RNR

Dílec Souř. délka 1, Prur1(1), Prur2(1)	B9 Rela 1.000	PRÍCEL - Komora fl (300,00; 15,00; 470,00; 10,00; 250,00)
AP3		
Dílec Souř. délka 1, Prur1(1), Prur2(1)	B12 Rela 1.000	PŘÍČEL2 - Iw (500,00; 8,00; 200,00; 16,00; 468,00; 0,00)
AP4		
Dílec Souř. délka 1, Prur1(1), Prur2(1)	B15 Rela 1.000	PŘÍČEL2 - Iw (500,00; 8,00; 200,00; 16,00; 468,00; 0,00)
AP5		
Dílec Souř. délka 1, Prur1(1), Prur2(1)	B18 Rela 1.000	PŘÍČEL2 - Iw (500,00; 8,00; 200,00; 16,00; 468,00; 0,00)
AP6		
Dílec Souř. délka 1, Prur1(1), Prur2(1)	B21 Rela 1.000	PŘÍČEL2 - Iw (500,00; 8,00; 200,00; 16,00; 468,00; 0,00)
AP7		
Dílec Souř. délka 1, Prur1(1), Prur2(1)	B24 Rela 1.000	PŘÍČEL2 - Iw (500,00; 8,00; 200,00; 16,00; 468,00; 0,00)
AP8		
Dílec Souř. délka 1, Prur1(1), Prur2(1)	B27 Rela 1.000	PŘÍČEL2 - Iw (500,00; 8,00; 200,00; 16,00; 468,00; 0,00)
AP9		
Dílec Souř. délka 1, Prur1(1), Prur2(1)	B30 Rela 1.000	PŘÍČEL2 - Iw (500,00; 8,00; 200,00; 16,00; 468,00; 0,00)
AP10		
Dílec Souř. délka 1, Prur1(1), Prur2(1)	B33 Rela 1.000	PŘÍČEL2 - Iw (500,00; 8,00; 200,00; 16,00; 468,00; 0,00)
AP11		
Dílec Souř. délka 1, Prur1(1), Prur2(1)	B36 Rela 1.000	PŘÍČEL2 - Iw (500,00; 8,00; 200,00; 16,00; 468,00; 0,00)
AP12		
Dílec Souř. délka 1, Prur1(1), Prur2(1)	B39 Rela 1.000	PŘÍČEL2 - Iw (500,00; 8,00; 200,00; 16,00; 468,00; 0,00)
AP13		
Dílec Souř. délka 1, Prur1(1), Prur2(1)	B42 Rela 1.000	PŘÍČEL2 - Iw (500,00; 8,00; 200,00; 16,00; 468,00; 0,00)
AP14		
Dílec Souř. délka 1, Prur1(1), Prur2(1)	B45 Rela 1.000	PŘÍČEL2 - Iw (500,00; 8,00; 200,00; 16,00; 468,00; 0,00)
AP15		
Dílec Souř. délka 1, Prur1(1), Prur2(1)	B48 Rela 1.000	PŘÍČEL2 - Iw (500,00; 8,00; 200,00; 16,00; 468,00; 0,00)
AP16		
Dílec Souř. délka 1, Prur1(1), Prur2(1)	B51 Rela 1.000	PŘÍČEL2 - Iw (500,00; 8,00; 200,00; 16,00; 468,00; 0,00)
AP17		
Dílec Souř. délka 1, Prur1(1), Prur2(1)	B54 Rela 1.000	PŘÍČEL2 - Iw (500,00; 8,00; 200,00; 16,00; 468,00; 0,00)
AP18		
Dílec Souř. délka 1, Prur1(1), Prur2(1)	B57 Rela 1.000	PŘÍČEL2 - Iw (500,00; 8,00; 200,00; 16,00; 468,00; 0,00)
AP19		

Projekt RNR

Dílec Souř. délka 1, Prur1(1), Prur2(1)	B60 Rela 1.000	PŘÍČEL2 - Iw (500,00; 8,00; 200,00; 16,00; 468,00; 0,00)
AP20		
Dílec Souř. délka 1, Prur1(1), Prur2(1)	B63 Rela 1.000	PŘÍČEL2 - Iw (500,00; 8,00; 200,00; 16,00; 468,00; 0,00)
AP21		
Dílec Souř. délka 1, Prur1(1), Prur2(1)	B66 Rela 1.000	PŘÍČEL2 - Iw (500,00; 8,00; 200,00; 16,00; 468,00; 0,00)
AP22		
Dílec Souř. délka 1, Prur1(1), Prur2(1)	B69 Rela 1.000	PŘÍČEL2 - Iw (500,00; 8,00; 200,00; 16,00; 468,00; 0,00)
AP23		
Dílec Souř. délka 1, Prur1(1), Prur2(1)	B72 Rela 1.000	PŘÍČEL2 - Iw (500,00; 8,00; 200,00; 16,00; 468,00; 0,00)
AP24		
Dílec Souř. délka 1, Prur1(1), Prur2(1)	B75 Rela 1.000	PŘÍČEL2 - Iw (500,00; 8,00; 200,00; 16,00; 468,00; 0,00)
AP25		
Dílec Souř. délka 1, Prur1(1), Prur2(1)	B78 Rela 1.000	PŘÍČEL2 - Iw (500,00; 8,00; 200,00; 16,00; 468,00; 0,00)
AP26		
Dílec Souř. délka 1, Prur1(1), Prur2(1)	B81 Rela 1.000	PŘÍČEL2 - Iw (500,00; 8,00; 200,00; 16,00; 468,00; 0,00)
AP27		
Dílec Souř. délka 1, Prur1(1), Prur2(1)	B84 Rela 1.000	PŘÍČEL2 - Iw (500,00; 8,00; 200,00; 16,00; 468,00; 0,00)
AP28		
Dílec Souř. délka 1, Prur1(1), Prur2(1)	B87 Rela 1.000	PŘÍČEL2 - Iw (500,00; 8,00; 200,00; 16,00; 468,00; 0,00)
AP29		
Dílec Souř. délka 1, Prur1(1), Prur2(1)	B90 Rela 1.000	PŘÍČEL2 - Iw (500,00; 8,00; 200,00; 16,00; 468,00; 0,00)
AP30		
Dílec Souř. délka 1, Prur1(1), Prur2(1)	B93 Rela 1.000	PRICEL - Komora fl (300,00; 15,00; 470,00; 10,00; 250,00)
AP31		
Dílec Souř. délka 1, Prur1(1), Prur2(1)	B96 Rela 1.000	PRICEL - Komora fl (300,00; 15,00; 470,00; 10,00; 250,00)
AP32		
Dílec Souř. délka 1, Prur1(1), Prur2(1)	B99 Rela 1.000	PRICEL - Komora fl (300,00; 15,00; 470,00; 10,00; 250,00)
AP41		
Dílec Souř. délka 1, Prur1(1), Prur2(1)	B321 Rela 1.000	PŘÍČEL5 - Iw (500,00; 12,00; 150,00; 22,00; 456,00; 0,00)
AP42		
Dílec Souř. délka 1, Prur1(1), Prur2(1)	B324 Rela 1.000	PŘÍČEL3 - Iw (500,00; 10,00; 120,00; 15,00; 470,00; 0,00)
AP43		
Dílec Souř. délka 1, Prur1(1), Prur2(1)	B327 Rela 1.000	PŘÍČEL3 - Iw (500,00; 10,00; 120,00; 15,00; 470,00; 0,00)
AP44		

Projekt RNR

Dílec	B330	
Souř.	Rela	
délka 1, Prur1(1), Prur2(1)	1.000	PŘÍČEL3 - Iw (500,00; 10,00; 120,00; 15,00; 470,00; 0,00)
AP45		
Dílec	B333	
Souř.	Rela	
délka 1, Prur1(1), Prur2(1)	1.000	PŘÍČEL3 - Iw (500,00; 10,00; 120,00; 15,00; 470,00; 0,00)
AP46		
Dílec	B336	
Souř.	Rela	
délka 1, Prur1(1), Prur2(1)	1.000	PŘÍČEL3 - Iw (500,00; 10,00; 120,00; 15,00; 470,00; 0,00)
AP47		
Dílec	B339	
Souř.	Rela	
délka 1, Prur1(1), Prur2(1)	1.000	PŘÍČEL3 - Iw (500,00; 10,00; 120,00; 15,00; 470,00; 0,00)
AP48		
Dílec	B342	
Souř.	Rela	
délka 1, Prur1(1), Prur2(1)	1.000	PŘÍČEL3 - Iw (500,00; 10,00; 120,00; 15,00; 470,00; 0,00)
AP49		
Dílec	B345	
Souř.	Rela	
délka 1, Prur1(1), Prur2(1)	1.000	PŘÍČEL3 - Iw (500,00; 10,00; 120,00; 15,00; 470,00; 0,00)
AP50		
Dílec	B348	
Souř.	Rela	
délka 1, Prur1(1), Prur2(1)	1.000	PŘÍČEL3 - Iw (500,00; 10,00; 120,00; 15,00; 470,00; 0,00)
AP51		
Dílec	B351	
Souř.	Rela	
délka 1, Prur1(1), Prur2(1)	1.000	PŘÍČEL3 - Iw (500,00; 10,00; 120,00; 15,00; 470,00; 0,00)
AP52		
Dílec	B354	
Souř.	Rela	
délka 1, Prur1(1), Prur2(1)	1.000	PŘÍČEL3 - Iw (500,00; 10,00; 120,00; 15,00; 470,00; 0,00)
AP53		
Dílec	B357	
Souř.	Rela	
délka 1, Prur1(1), Prur2(1)	1.000	PŘÍČEL3 - Iw (500,00; 10,00; 120,00; 15,00; 470,00; 0,00)
AP54		
Dílec	B360	
Souř.	Rela	
délka 1, Prur1(1), Prur2(1)	1.000	PŘÍČEL3 - Iw (500,00; 10,00; 120,00; 15,00; 470,00; 0,00)
AP55		
Dílec	B363	
Souř.	Rela	
délka 1, Prur1(1), Prur2(1)	1.000	PŘÍČEL3 - Iw (500,00; 10,00; 120,00; 15,00; 470,00; 0,00)
AP56		
Dílec	B366	
Souř.	Rela	
délka 1, Prur1(1), Prur2(1)	1.000	PŘÍČEL3 - Iw (500,00; 10,00; 120,00; 15,00; 470,00; 0,00)
AP57		
Dílec	B369	
Souř.	Rela	
délka 1, Prur1(1), Prur2(1)	1.000	PŘÍČEL5 - Iw (500,00; 12,00; 150,00; 22,00; 456,00; 0,00)
AP58		
Dílec	B372	
Souř.	Rela	
délka 1, Prur1(1), Prur2(1)	1.000	PŘÍČEL4 - Iw (500,00; 12,00; 120,00; 22,00; 456,00; 0,00)
AP60		
Dílec	B380	
Souř.	Rela	
délka 1, Prur1(1), Prur2(1)	1.000	PŘÍČEL4 - Iw (500,00; 12,00; 120,00; 22,00; 456,00; 0,00)
AP61		
Dílec	B383	
Souř.	Rela	
délka 1, Prur1(1), Prur2(1)	1.000	PŘÍČEL4 - Iw (500,00; 12,00; 120,00; 22,00; 456,00; 0,00)
AP62		

Projekt RNR

Dílec	B386	
Souř.	Rela	
délka 1, Prur1(1), Prur2(1)	1.000	PŘÍČEL4 - Iw (500,00; 12,00; 120,00; 22,00; 456,00; 0,00)
AP63		
Dílec	B389	
Souř.	Rela	
délka 1, Prur1(1), Prur2(1)	1.000	PŘÍČEL4 - Iw (500,00; 12,00; 120,00; 22,00; 456,00; 0,00)
AP64		
Dílec	B392	
Souř.	Rela	
délka 1, Prur1(1), Prur2(1)	1.000	PŘÍČEL4 - Iw (500,00; 12,00; 120,00; 22,00; 456,00; 0,00)
AP65		
Dílec	B395	
Souř.	Rela	
délka 1, Prur1(1), Prur2(1)	1.000	PŘÍČEL4 - Iw (500,00; 12,00; 120,00; 22,00; 456,00; 0,00)
AP66		
Dílec	B398	
Souř.	Rela	
délka 1, Prur1(1), Prur2(1)	1.000	PŘÍČEL4 - Iw (500,00; 12,00; 120,00; 22,00; 456,00; 0,00)
AP67		
Dílec	B401	
Souř.	Rela	
délka 1, Prur1(1), Prur2(1)	1.000	PŘÍČEL4 - Iw (500,00; 12,00; 120,00; 22,00; 456,00; 0,00)
AP68		
Dílec	B404	
Souř.	Rela	
délka 1, Prur1(1), Prur2(1)	1.000	PŘÍČEL4 - Iw (500,00; 12,00; 120,00; 22,00; 456,00; 0,00)
AP69		
Dílec	B407	
Souř.	Rela	
délka 1, Prur1(1), Prur2(1)	1.000	PŘÍČEL4 - Iw (500,00; 12,00; 120,00; 22,00; 456,00; 0,00)
AP70		
Dílec	B410	
Souř.	Rela	
délka 1, Prur1(1), Prur2(1)	1.000	PŘÍČEL4 - Iw (500,00; 12,00; 120,00; 22,00; 456,00; 0,00)
AP71		
Dílec	B413	
Souř.	Rela	
délka 1, Prur1(1), Prur2(1)	1.000	PŘÍČEL4 - Iw (500,00; 12,00; 120,00; 22,00; 456,00; 0,00)
AP72		
Dílec	B416	
Souř.	Rela	
délka 1, Prur1(1), Prur2(1)	1.000	PŘÍČEL4 - Iw (500,00; 12,00; 120,00; 22,00; 456,00; 0,00)
AP73		
Dílec	B419	
Souř.	Rela	
délka 1, Prur1(1), Prur2(1)	1.000	PŘÍČEL4 - Iw (500,00; 12,00; 120,00; 22,00; 456,00; 0,00)
AP74		
Dílec	B422	
Souř.	Rela	
délka 1, Prur1(1), Prur2(1)	1.000	PŘÍČEL4 - Iw (500,00; 12,00; 120,00; 22,00; 456,00; 0,00)
AP76		
Dílec	B229	
Souř.	Rela	
délka 1, Prur1(1), Prur2(1)	1.000	PRUVLAK8 - Komora fl (200,00; 15,00; 470,00; 10,00; 150,00)
AP77		
Dílec	B230	
Souř.	Rela	
délka 1, Prur1(1), Prur2(1)	1.000	PRUVLAK7 - Komora fl (200,00; 15,00; 270,00; 8,00; 154,00)
AP78		
Dílec	B103	
Souř.	Rela	
délka 1, Prur1(1), Prur2(1)	1.000	PRUVLAK8 - Komora fl (200,00; 15,00; 470,00; 10,00; 150,00)
AP79		
Dílec	B227	
Souř.	Rela	
délka 1, Prur1(1), Prur2(1)	1.000	PRUVLAK7 - Komora fl (200,00; 15,00; 270,00; 8,00; 154,00)
AP80		

Projekt RNR

Dílec Souř. délka 1, Prur1(1), Prur2(1)	B428 Rela 1.000	pruvlak2 - Komora fl (200,00; 15,00; 270,00; 8,00; 154,00)
AP81		
Dílec Souř. délka 1, Prur1(1), Prur2(1)	B427 Rela 1.000	pruvlak4 - Komora fl (200,00; 15,00; 470,00; 8,00; 154,00)
AP82		
Dílec Souř. délka 1, Prur1(1), Prur2(1)	B534 Rela 1.000	pruvlak3 - Komora fl (100,00; 10,00; 180,00; 6,00; 68,00)
AP83		
Dílec Souř. délka 1, Prur1(1), Prur2(1)	B474 Rela 1.000	pruvlak3 - Komora fl (100,00; 10,00; 180,00; 6,00; 68,00)
AP84		
Dílec Souř. délka 1, Prur1(1), Prur2(1)	B373 Rela 1.000	pruvlak2 - Komora fl (200,00; 15,00; 270,00; 8,00; 154,00)
AP85		
Dílec Souř. délka 1, Prur1(1), Prur2(1)	B376 Rela 1.000	pruvlak4 - Komora fl (200,00; 15,00; 470,00; 8,00; 154,00)

16. Klouby

Jméno	Dílec	Pozice	ux	uy	uz	fix	fiy	fiz
H2	B104	Oba	Tuhý	Tuhý	Tuhý	Tuhý	Volný	Volný
H5	B107	Konec	Tuhý	Tuhý	Tuhý	Tuhý	Volný	Volný
H6	B108	Oba	Tuhý	Tuhý	Tuhý	Tuhý	Volný	Volný
H7	B109	Oba	Tuhý	Tuhý	Tuhý	Tuhý	Volný	Volný
H8	B110	Oba	Tuhý	Tuhý	Tuhý	Tuhý	Volný	Volný
H9	B111	Oba	Tuhý	Tuhý	Tuhý	Tuhý	Volný	Volný
H10	B112	Oba	Tuhý	Tuhý	Tuhý	Tuhý	Volný	Volný
H11	B113	Oba	Tuhý	Tuhý	Tuhý	Tuhý	Volný	Volný
H12	B114	Oba	Tuhý	Tuhý	Tuhý	Tuhý	Volný	Volný
H13	B115	Oba	Tuhý	Tuhý	Tuhý	Tuhý	Volný	Volný
H14	B116	Oba	Tuhý	Tuhý	Tuhý	Tuhý	Volný	Volný
H15	B117	Oba	Tuhý	Tuhý	Tuhý	Tuhý	Volný	Volný
H16	B118	Oba	Tuhý	Tuhý	Tuhý	Tuhý	Volný	Volný
H17	B119	Oba	Tuhý	Tuhý	Tuhý	Tuhý	Volný	Volný
H18	B120	Oba	Tuhý	Tuhý	Tuhý	Tuhý	Volný	Volný
H19	B121	Oba	Tuhý	Tuhý	Tuhý	Tuhý	Volný	Volný
H20	B122	Oba	Tuhý	Tuhý	Tuhý	Tuhý	Volný	Volný
H21	B123	Oba	Tuhý	Tuhý	Tuhý	Tuhý	Volný	Volný
H22	B124	Oba	Tuhý	Tuhý	Tuhý	Tuhý	Volný	Volný
H23	B125	Oba	Tuhý	Tuhý	Tuhý	Tuhý	Volný	Volný
H24	B126	Oba	Tuhý	Tuhý	Tuhý	Tuhý	Volný	Volný
H25	B127	Oba	Tuhý	Tuhý	Tuhý	Tuhý	Volný	Volný
H26	B128	Oba	Tuhý	Tuhý	Tuhý	Tuhý	Volný	Volný
H27	B129	Oba	Tuhý	Tuhý	Tuhý	Tuhý	Volný	Volný
H28	B130	Oba	Tuhý	Tuhý	Tuhý	Tuhý	Volný	Volný
H29	B131	Oba	Tuhý	Tuhý	Tuhý	Tuhý	Volný	Volný
H30	B132	Oba	Tuhý	Tuhý	Tuhý	Tuhý	Volný	Volný
H31	B133	Oba	Tuhý	Tuhý	Tuhý	Tuhý	Volný	Volný
H32	B134	Oba	Tuhý	Tuhý	Tuhý	Tuhý	Volný	Volný
H33	B135	Oba	Tuhý	Tuhý	Tuhý	Tuhý	Volný	Volný
H34	B136	Oba	Tuhý	Tuhý	Tuhý	Tuhý	Volný	Volný
H35	B137	Oba	Tuhý	Tuhý	Tuhý	Tuhý	Volný	Volný
H36	B138	Oba	Tuhý	Tuhý	Tuhý	Tuhý	Volný	Volný
H37	B139	Oba	Tuhý	Tuhý	Tuhý	Tuhý	Volný	Volný
H38	B140	Oba	Tuhý	Tuhý	Tuhý	Tuhý	Volný	Volný
H39	B141	Oba	Tuhý	Tuhý	Tuhý	Tuhý	Volný	Volný
H40	B142	Oba	Tuhý	Tuhý	Tuhý	Tuhý	Volný	Volný
H41	B143	Oba	Tuhý	Tuhý	Tuhý	Tuhý	Volný	Volný
H42	B144	Oba	Tuhý	Tuhý	Tuhý	Tuhý	Volný	Volný
H43	B145	Oba	Tuhý	Tuhý	Tuhý	Tuhý	Volný	Volný

Projekt RNR

Jméno	Dílec	Pozice	ux	uy	uz	fix	fiy	fiz
H44	B146	Oba	Tuhý	Tuhý	Tuhý	Tuhý	Volný	Volný
H45	B147	Oba	Tuhý	Tuhý	Tuhý	Tuhý	Volný	Volný
H46	B148	Oba	Tuhý	Tuhý	Tuhý	Tuhý	Volný	Volný
H47	B149	Oba	Tuhý	Tuhý	Tuhý	Tuhý	Volný	Volný
H48	B150	Oba	Tuhý	Tuhý	Tuhý	Tuhý	Volný	Volný
H49	B151	Oba	Tuhý	Tuhý	Tuhý	Tuhý	Volný	Volný
H50	B152	Oba	Tuhý	Tuhý	Tuhý	Tuhý	Volný	Volný
H51	B153	Oba	Tuhý	Tuhý	Tuhý	Tuhý	Volný	Volný
H52	B154	Oba	Tuhý	Tuhý	Tuhý	Tuhý	Volný	Volný
H53	B155	Oba	Tuhý	Tuhý	Tuhý	Tuhý	Volný	Volný
H54	B156	Oba	Tuhý	Tuhý	Tuhý	Tuhý	Volný	Volný
H55	B157	Oba	Tuhý	Tuhý	Tuhý	Tuhý	Volný	Volný
H56	B158	Oba	Tuhý	Tuhý	Tuhý	Tuhý	Volný	Volný
H57	B159	Oba	Tuhý	Tuhý	Tuhý	Tuhý	Volný	Volný
H58	B160	Oba	Tuhý	Tuhý	Tuhý	Tuhý	Volný	Volný
H59	B161	Oba	Tuhý	Tuhý	Tuhý	Tuhý	Volný	Volný
H60	B162	Oba	Tuhý	Tuhý	Tuhý	Tuhý	Volný	Volný
H61	B163	Oba	Tuhý	Tuhý	Tuhý	Tuhý	Volný	Volný
H62	B164	Oba	Tuhý	Tuhý	Tuhý	Tuhý	Volný	Volný
H63	B165	Začátek	Tuhý	Tuhý	Tuhý	Tuhý	Volný	Volný
H64	B166	Začátek	Tuhý	Tuhý	Tuhý	Tuhý	Volný	Volný
H68	B170	Konec	Tuhý	Tuhý	Tuhý	Tuhý	Volný	Volný
H69	B171	Oba	Tuhý	Tuhý	Tuhý	Tuhý	Volný	Volný
H70	B172	Oba	Tuhý	Tuhý	Tuhý	Tuhý	Volný	Volný
H71	B173	Oba	Tuhý	Tuhý	Tuhý	Tuhý	Volný	Volný
H72	B174	Oba	Tuhý	Tuhý	Tuhý	Tuhý	Volný	Volný
H73	B175	Oba	Tuhý	Tuhý	Tuhý	Tuhý	Volný	Volný
H74	B176	Oba	Tuhý	Tuhý	Tuhý	Tuhý	Volný	Volný
H75	B177	Oba	Tuhý	Tuhý	Tuhý	Tuhý	Volný	Volný
H76	B178	Oba	Tuhý	Tuhý	Tuhý	Tuhý	Volný	Volný
H77	B179	Oba	Tuhý	Tuhý	Tuhý	Tuhý	Volný	Volný
H78	B180	Oba	Tuhý	Tuhý	Tuhý	Tuhý	Volný	Volný
H79	B181	Oba	Tuhý	Tuhý	Tuhý	Tuhý	Volný	Volný
H80	B182	Oba	Tuhý	Tuhý	Tuhý	Tuhý	Volný	Volný
H81	B183	Oba	Tuhý	Tuhý	Tuhý	Tuhý	Volný	Volný
H82	B184	Oba	Tuhý	Tuhý	Tuhý	Tuhý	Volný	Volný
H83	B185	Oba	Tuhý	Tuhý	Tuhý	Tuhý	Volný	Volný
H84	B186	Oba	Tuhý	Tuhý	Tuhý	Tuhý	Volný	Volný
H85	B187	Oba	Tuhý	Tuhý	Tuhý	Tuhý	Volný	Volný
H86	B188	Oba	Tuhý	Tuhý	Tuhý	Tuhý	Volný	Volný
H87	B189	Oba	Tuhý	Tuhý	Tuhý	Tuhý	Volný	Volný
H88	B190	Oba	Tuhý	Tuhý	Tuhý	Tuhý	Volný	Volný
H89	B191	Oba	Tuhý	Tuhý	Tuhý	Tuhý	Volný	Volný
H90	B192	Oba	Tuhý	Tuhý	Tuhý	Tuhý	Volný	Volný
H91	B193	Oba	Tuhý	Tuhý	Tuhý	Tuhý	Volný	Volný
H92	B194	Oba	Tuhý	Tuhý	Tuhý	Tuhý	Volný	Volný
H93	B195	Oba	Tuhý	Tuhý	Tuhý	Tuhý	Volný	Volný
H94	B196	Oba	Tuhý	Tuhý	Tuhý	Tuhý	Volný	Volný
H95	B197	Oba	Tuhý	Tuhý	Tuhý	Tuhý	Volný	Volný
H96	B198	Oba	Tuhý	Tuhý	Tuhý	Tuhý	Volný	Volný
H97	B199	Začátek	Tuhý	Tuhý	Tuhý	Tuhý	Volný	Volný
H100	B204	Oba	Tuhý	Tuhý	Tuhý	Tuhý	Volný	Volný
H101	B205	Oba	Tuhý	Tuhý	Tuhý	Tuhý	Volný	Volný
H102	B202	Oba	Tuhý	Tuhý	Tuhý	Tuhý	Volný	Volný
H103	B203	Oba	Tuhý	Tuhý	Tuhý	Tuhý	Volný	Volný
H106	B208	Oba	Tuhý	Tuhý	Tuhý	Tuhý	Volný	Volný
H107	B209	Oba	Tuhý	Tuhý	Tuhý	Tuhý	Volný	Volný
H108	B210	Oba	Tuhý	Tuhý	Tuhý	Tuhý	Volný	Volný
H109	B211	Oba	Tuhý	Tuhý	Tuhý	Tuhý	Volný	Volný
H112	B214	Oba	Tuhý	Tuhý	Tuhý	Tuhý	Volný	Volný
H113	B215	Oba	Tuhý	Tuhý	Tuhý	Tuhý	Volný	Volný
H114	B216	Oba	Tuhý	Tuhý	Tuhý	Tuhý	Volný	Volný
H115	B217	Oba	Tuhý	Tuhý	Tuhý	Tuhý	Volný	Volný
H118	B220	Oba	Tuhý	Tuhý	Tuhý	Tuhý	Volný	Volný
H119	B221	Oba	Tuhý	Tuhý	Tuhý	Tuhý	Volný	Volný
H120	B222	Oba	Tuhý	Tuhý	Tuhý	Tuhý	Volný	Volný
H121	B223	Oba	Tuhý	Tuhý	Tuhý	Tuhý	Volný	Volný

Projekt RNR

Jméno	Dílec	Pozice	ux	uy	uz	fix	fiy	fiz
H123	B225	Začátek	Tuhý	Tuhý	Tuhý	Tuhý	Volný	Volný
H124	B227	Začátek	Tuhý	Tuhý	Tuhý	Tuhý	Volný	Volný
H125	B228	Oba	Tuhý	Tuhý	Tuhý	Tuhý	Volný	Volný
H126	B233	Konec	Tuhý	Tuhý	Tuhý	Tuhý	Volný	Volný
H127	B230	Konec	Tuhý	Tuhý	Tuhý	Tuhý	Volný	Volný
H128	B234	Oba	Tuhý	Tuhý	Tuhý	Tuhý	Volný	Volný
H129	B235	Oba	Tuhý	Tuhý	Tuhý	Tuhý	Volný	Volný
H130	B236	Oba	Tuhý	Tuhý	Tuhý	Tuhý	Volný	Volný
H131	B237	Oba	Tuhý	Tuhý	Tuhý	Tuhý	Volný	Volný
H133	B239	Oba	Tuhý	Tuhý	Tuhý	Tuhý	Volný	Volný
H134	B240	Oba	Tuhý	Tuhý	Tuhý	Tuhý	Volný	Volný
H135	B241	Oba	Tuhý	Tuhý	Tuhý	Tuhý	Volný	Volný
H136	B242	Oba	Tuhý	Tuhý	Tuhý	Tuhý	Volný	Volný
H137	B243	Oba	Tuhý	Tuhý	Tuhý	Tuhý	Volný	Volný
H138	B244	Oba	Tuhý	Tuhý	Tuhý	Tuhý	Volný	Volný
H139	B245	Oba	Tuhý	Tuhý	Tuhý	Tuhý	Volný	Volný
H140	B246	Oba	Tuhý	Tuhý	Tuhý	Tuhý	Volný	Volný
H141	B247	Oba	Tuhý	Tuhý	Tuhý	Tuhý	Volný	Volný
H142	B248	Oba	Tuhý	Tuhý	Tuhý	Tuhý	Volný	Volný
H143	B249	Oba	Tuhý	Tuhý	Tuhý	Tuhý	Volný	Volný
H144	B250	Oba	Tuhý	Tuhý	Tuhý	Tuhý	Volný	Volný
H145	B251	Oba	Tuhý	Tuhý	Tuhý	Tuhý	Volný	Volný
H146	B252	Oba	Tuhý	Tuhý	Tuhý	Tuhý	Volný	Volný
H147	B253	Oba	Tuhý	Tuhý	Tuhý	Tuhý	Volný	Volný
H148	B254	Oba	Tuhý	Tuhý	Tuhý	Tuhý	Volný	Volný
H149	B255	Oba	Tuhý	Tuhý	Tuhý	Tuhý	Volný	Volný
H150	B256	Oba	Tuhý	Tuhý	Tuhý	Tuhý	Volný	Volný
H151	B257	Oba	Tuhý	Tuhý	Tuhý	Tuhý	Volný	Volný
H152	B258	Oba	Tuhý	Tuhý	Tuhý	Tuhý	Volný	Volný
H153	B259	Oba	Tuhý	Tuhý	Tuhý	Tuhý	Volný	Volný
H154	B260	Oba	Tuhý	Tuhý	Tuhý	Tuhý	Volný	Volný
H155	B261	Oba	Tuhý	Tuhý	Tuhý	Tuhý	Volný	Volný
H156	B262	Oba	Tuhý	Tuhý	Tuhý	Tuhý	Volný	Volný
H157	B263	Oba	Tuhý	Tuhý	Tuhý	Tuhý	Volný	Volný
H158	B264	Oba	Tuhý	Tuhý	Tuhý	Tuhý	Volný	Volný
H159	B265	Oba	Tuhý	Tuhý	Tuhý	Tuhý	Volný	Volný
H160	B266	Oba	Tuhý	Tuhý	Tuhý	Tuhý	Volný	Volný
H161	B267	Oba	Tuhý	Tuhý	Tuhý	Tuhý	Volný	Volný
H162	B268	Oba	Tuhý	Tuhý	Tuhý	Tuhý	Volný	Volný
H163	B269	Oba	Tuhý	Tuhý	Tuhý	Tuhý	Volný	Volný
H164	B270	Oba	Tuhý	Tuhý	Tuhý	Tuhý	Volný	Volný
H165	B271	Oba	Tuhý	Tuhý	Tuhý	Tuhý	Volný	Volný
H166	B272	Oba	Tuhý	Tuhý	Tuhý	Tuhý	Volný	Volný
H167	B273	Oba	Tuhý	Tuhý	Tuhý	Tuhý	Volný	Volný
H168	B274	Oba	Tuhý	Tuhý	Tuhý	Tuhý	Volný	Volný
H169	B275	Oba	Tuhý	Tuhý	Tuhý	Tuhý	Volný	Volný
H170	B276	Oba	Tuhý	Tuhý	Tuhý	Tuhý	Volný	Volný
H171	B277	Oba	Tuhý	Tuhý	Tuhý	Tuhý	Volný	Volný
H172	B278	Oba	Tuhý	Tuhý	Tuhý	Tuhý	Volný	Volný
H173	B279	Oba	Tuhý	Tuhý	Tuhý	Tuhý	Volný	Volný
H174	B280	Oba	Tuhý	Tuhý	Tuhý	Tuhý	Volný	Volný
H175	B281	Oba	Tuhý	Tuhý	Tuhý	Tuhý	Volný	Volný
H176	B282	Oba	Tuhý	Tuhý	Tuhý	Tuhý	Volný	Volný
H177	B283	Oba	Tuhý	Tuhý	Tuhý	Tuhý	Volný	Volný
H178	B284	Oba	Tuhý	Tuhý	Tuhý	Tuhý	Volný	Volný
H179	B285	Oba	Tuhý	Tuhý	Tuhý	Tuhý	Volný	Volný
H180	B286	Oba	Tuhý	Tuhý	Tuhý	Tuhý	Volný	Volný
H181	B287	Oba	Tuhý	Tuhý	Tuhý	Tuhý	Volný	Volný
H182	B288	Oba	Tuhý	Tuhý	Tuhý	Tuhý	Volný	Volný
H183	B289	Oba	Tuhý	Tuhý	Tuhý	Tuhý	Volný	Volný
H184	B290	Oba	Tuhý	Tuhý	Tuhý	Tuhý	Volný	Volný
H185	B291	Oba	Tuhý	Tuhý	Tuhý	Tuhý	Volný	Volný
H186	B292	Oba	Tuhý	Tuhý	Tuhý	Tuhý	Volný	Volný
H194	B375	Konec	Tuhý	Tuhý	Tuhý	Tuhý	Volný	Volný
H195	B373	Začátek	Tuhý	Tuhý	Tuhý	Tuhý	Volný	Volný
H196	B378	Konec	Tuhý	Tuhý	Tuhý	Tuhý	Volný	Volný
H197	B376	Začátek	Tuhý	Tuhý	Tuhý	Tuhý	Volný	Volný

Projekt RNR

Jméno	Dílec	Pozice	ux	uy	uz	fix	fiy	fiz
H198	B381	Oba	Tuhý	Tuhý	Tuhý	Tuhý	Volný	Volný
H199	B384	Oba	Tuhý	Tuhý	Tuhý	Tuhý	Volný	Volný
H200	B387	Oba	Tuhý	Tuhý	Tuhý	Tuhý	Volný	Volný
H201	B390	Oba	Tuhý	Tuhý	Tuhý	Tuhý	Volný	Volný
H202	B393	Oba	Tuhý	Tuhý	Tuhý	Tuhý	Volný	Volný
H203	B396	Oba	Tuhý	Tuhý	Tuhý	Tuhý	Volný	Volný
H204	B399	Oba	Tuhý	Tuhý	Tuhý	Tuhý	Volný	Volný
H205	B402	Oba	Tuhý	Tuhý	Tuhý	Tuhý	Volný	Volný
H206	B405	Oba	Tuhý	Tuhý	Tuhý	Tuhý	Volný	Volný
H207	B408	Oba	Tuhý	Tuhý	Tuhý	Tuhý	Volný	Volný
H208	B411	Oba	Tuhý	Tuhý	Tuhý	Tuhý	Volný	Volný
H209	B414	Oba	Tuhý	Tuhý	Tuhý	Tuhý	Volný	Volný
H210	B417	Oba	Tuhý	Tuhý	Tuhý	Tuhý	Volný	Volný
H211	B420	Oba	Tuhý	Tuhý	Tuhý	Tuhý	Volný	Volný
H212	B423	Začátek	Tuhý	Tuhý	Tuhý	Tuhý	Volný	Volný
H213	B425	Začátek	Tuhý	Tuhý	Tuhý	Tuhý	Volný	Volný
H214	B427	Konec	Tuhý	Tuhý	Tuhý	Tuhý	Volný	Volný
H215	B428	Konec	Tuhý	Tuhý	Tuhý	Tuhý	Volný	Volný
H216	B429	Oba	Tuhý	Tuhý	Tuhý	Tuhý	Volný	Volný
H217	B430	Oba	Tuhý	Tuhý	Tuhý	Tuhý	Volný	Volný
H218	B431	Oba	Tuhý	Tuhý	Tuhý	Tuhý	Volný	Volný
H219	B432	Oba	Tuhý	Tuhý	Tuhý	Tuhý	Volný	Volný
H220	B433	Oba	Tuhý	Tuhý	Tuhý	Tuhý	Volný	Volný
H221	B434	Oba	Tuhý	Tuhý	Tuhý	Tuhý	Volný	Volný
H222	B435	Oba	Tuhý	Tuhý	Tuhý	Tuhý	Volný	Volný
H223	B436	Oba	Tuhý	Tuhý	Tuhý	Tuhý	Volný	Volný
H224	B437	Oba	Tuhý	Tuhý	Tuhý	Tuhý	Volný	Volný
H225	B438	Oba	Tuhý	Tuhý	Tuhý	Tuhý	Volný	Volný
H226	B439	Oba	Tuhý	Tuhý	Tuhý	Tuhý	Volný	Volný
H227	B440	Oba	Tuhý	Tuhý	Tuhý	Tuhý	Volný	Volný
H228	B441	Oba	Tuhý	Tuhý	Tuhý	Tuhý	Volný	Volný
H229	B442	Oba	Tuhý	Tuhý	Tuhý	Tuhý	Volný	Volný
H230	B443	Oba	Tuhý	Tuhý	Tuhý	Tuhý	Volný	Volný
H231	B444	Oba	Tuhý	Tuhý	Tuhý	Tuhý	Volný	Volný
H232	B445	Oba	Tuhý	Tuhý	Tuhý	Tuhý	Volný	Volný
H233	B446	Oba	Tuhý	Tuhý	Tuhý	Tuhý	Volný	Volný
H234	B447	Oba	Tuhý	Tuhý	Tuhý	Tuhý	Volný	Volný
H235	B448	Oba	Tuhý	Tuhý	Tuhý	Tuhý	Volný	Volný
H236	B449	Oba	Tuhý	Tuhý	Tuhý	Tuhý	Volný	Volný
H237	B450	Oba	Tuhý	Tuhý	Tuhý	Tuhý	Volný	Volný
H238	B451	Oba	Tuhý	Tuhý	Tuhý	Tuhý	Volný	Volný
H239	B452	Oba	Tuhý	Tuhý	Tuhý	Tuhý	Volný	Volný
H240	B453	Oba	Tuhý	Tuhý	Tuhý	Tuhý	Volný	Volný
H241	B454	Oba	Tuhý	Tuhý	Tuhý	Tuhý	Volný	Volný
H242	B455	Oba	Tuhý	Tuhý	Tuhý	Tuhý	Volný	Volný
H243	B456	Oba	Tuhý	Tuhý	Tuhý	Tuhý	Volný	Volný
H246	B460	Oba	Tuhý	Tuhý	Tuhý	Tuhý	Volný	Volný
H247	B461	Oba	Tuhý	Tuhý	Tuhý	Tuhý	Volný	Volný
H248	B462	Oba	Tuhý	Tuhý	Tuhý	Tuhý	Volný	Volný
H249	B463	Oba	Tuhý	Tuhý	Tuhý	Tuhý	Volný	Volný
H250	B459	Oba	Tuhý	Tuhý	Tuhý	Tuhý	Volný	Volný
H251	B466	Oba	Tuhý	Tuhý	Tuhý	Tuhý	Volný	Volný
H252	B467	Oba	Tuhý	Tuhý	Tuhý	Tuhý	Volný	Volný
H253	B468	Oba	Tuhý	Tuhý	Tuhý	Tuhý	Volný	Volný
H254	B469	Konec	Tuhý	Tuhý	Tuhý	Tuhý	Volný	Volný
H255	B470	Konec	Tuhý	Tuhý	Tuhý	Tuhý	Volný	Volný
H258	B473	Začátek	Tuhý	Tuhý	Tuhý	Tuhý	Volný	Volný
H259	B474	Začátek	Tuhý	Tuhý	Tuhý	Tuhý	Volný	Volný
H260	B475	Oba	Tuhý	Tuhý	Tuhý	Tuhý	Volný	Volný
H261	B476	Oba	Tuhý	Tuhý	Tuhý	Tuhý	Volný	Volný
H262	B477	Oba	Tuhý	Tuhý	Tuhý	Tuhý	Volný	Volný
H263	B478	Oba	Tuhý	Tuhý	Tuhý	Tuhý	Volný	Volný
H264	B479	Oba	Tuhý	Tuhý	Tuhý	Tuhý	Volný	Volný
H265	B480	Oba	Tuhý	Tuhý	Tuhý	Tuhý	Volný	Volný
H266	B481	Oba	Tuhý	Tuhý	Tuhý	Tuhý	Volný	Volný
H267	B482	Oba	Tuhý	Tuhý	Tuhý	Tuhý	Volný	Volný
H268	B483	Oba	Tuhý	Tuhý	Tuhý	Tuhý	Volný	Volný

Projekt RNR

Jméno	Dílec	Pozice	ux	uy	uz	fix	fiy	fiz
H269	B484	Oba	Tuhý	Tuhý	Tuhý	Tuhý	Volný	Volný
H270	B485	Oba	Tuhý	Tuhý	Tuhý	Tuhý	Volný	Volný
H271	B486	Oba	Tuhý	Tuhý	Tuhý	Tuhý	Volný	Volný
H272	B487	Oba	Tuhý	Tuhý	Tuhý	Tuhý	Volný	Volný
H273	B488	Oba	Tuhý	Tuhý	Tuhý	Tuhý	Volný	Volný
H274	B489	Oba	Tuhý	Tuhý	Tuhý	Tuhý	Volný	Volný
H275	B490	Oba	Tuhý	Tuhý	Tuhý	Tuhý	Volný	Volný
H276	B491	Oba	Tuhý	Tuhý	Tuhý	Tuhý	Volný	Volný
H277	B492	Oba	Tuhý	Tuhý	Tuhý	Tuhý	Volný	Volný
H278	B493	Oba	Tuhý	Tuhý	Tuhý	Tuhý	Volný	Volný
H279	B494	Oba	Tuhý	Tuhý	Tuhý	Tuhý	Volný	Volný
H280	B495	Oba	Tuhý	Tuhý	Tuhý	Tuhý	Volný	Volný
H281	B496	Oba	Tuhý	Tuhý	Tuhý	Tuhý	Volný	Volný
H282	B497	Oba	Tuhý	Tuhý	Tuhý	Tuhý	Volný	Volný
H283	B498	Oba	Tuhý	Tuhý	Tuhý	Tuhý	Volný	Volný
H284	B499	Oba	Tuhý	Tuhý	Tuhý	Tuhý	Volný	Volný
H285	B500	Oba	Tuhý	Tuhý	Tuhý	Tuhý	Volný	Volný
H286	B501	Oba	Tuhý	Tuhý	Tuhý	Tuhý	Volný	Volný
H287	B502	Oba	Tuhý	Tuhý	Tuhý	Tuhý	Volný	Volný
H288	B503	Oba	Tuhý	Tuhý	Tuhý	Tuhý	Volný	Volný
H289	B504	Oba	Tuhý	Tuhý	Tuhý	Tuhý	Volný	Volný
H290	B505	Oba	Tuhý	Tuhý	Tuhý	Tuhý	Volný	Volný
H291	B506	Oba	Tuhý	Tuhý	Tuhý	Tuhý	Volný	Volný
H292	B507	Oba	Tuhý	Tuhý	Tuhý	Tuhý	Volný	Volný
H293	B508	Oba	Tuhý	Tuhý	Tuhý	Tuhý	Volný	Volný
H294	B509	Oba	Tuhý	Tuhý	Tuhý	Tuhý	Volný	Volný
H295	B510	Oba	Tuhý	Tuhý	Tuhý	Tuhý	Volný	Volný
H296	B511	Oba	Tuhý	Tuhý	Tuhý	Tuhý	Volný	Volný
H297	B512	Oba	Tuhý	Tuhý	Tuhý	Tuhý	Volný	Volný
H298	B513	Oba	Tuhý	Tuhý	Tuhý	Tuhý	Volný	Volný
H299	B514	Oba	Tuhý	Tuhý	Tuhý	Tuhý	Volný	Volný
H300	B515	Oba	Tuhý	Tuhý	Tuhý	Tuhý	Volný	Volný
H301	B516	Oba	Tuhý	Tuhý	Tuhý	Tuhý	Volný	Volný
H302	B517	Oba	Tuhý	Tuhý	Tuhý	Tuhý	Volný	Volný
H303	B518	Oba	Tuhý	Tuhý	Tuhý	Tuhý	Volný	Volný
H304	B519	Oba	Tuhý	Tuhý	Tuhý	Tuhý	Volný	Volný
H305	B520	Oba	Tuhý	Tuhý	Tuhý	Tuhý	Volný	Volný
H306	B521	Oba	Tuhý	Tuhý	Tuhý	Tuhý	Volný	Volný
H307	B522	Oba	Tuhý	Tuhý	Tuhý	Tuhý	Volný	Volný
H308	B523	Oba	Tuhý	Tuhý	Tuhý	Tuhý	Volný	Volný
H309	B524	Oba	Tuhý	Tuhý	Tuhý	Tuhý	Volný	Volný
H310	B525	Oba	Tuhý	Tuhý	Tuhý	Tuhý	Volný	Volný
H311	B526	Oba	Tuhý	Tuhý	Tuhý	Tuhý	Volný	Volný
H312	B527	Oba	Tuhý	Tuhý	Tuhý	Tuhý	Volný	Volný
H313	B528	Oba	Tuhý	Tuhý	Tuhý	Tuhý	Volný	Volný
H314	B529	Začátek	Tuhý	Tuhý	Tuhý	Tuhý	Volný	Volný
H315	B530	Začátek	Tuhý	Tuhý	Tuhý	Tuhý	Volný	Volný
H318	B533	Konec	Tuhý	Tuhý	Tuhý	Tuhý	Volný	Volný
H319	B534	Konec	Tuhý	Tuhý	Tuhý	Tuhý	Volný	Volný
H322	B537	Oba	Tuhý	Tuhý	Tuhý	Tuhý	Volný	Volný
H323	B538	Oba	Tuhý	Tuhý	Tuhý	Tuhý	Volný	Volný
H324	B539	Oba	Tuhý	Tuhý	Tuhý	Tuhý	Volný	Volný
H325	B540	Oba	Tuhý	Tuhý	Tuhý	Tuhý	Volný	Volný
H326	B541	Oba	Tuhý	Tuhý	Tuhý	Tuhý	Volný	Volný
H327	B542	Oba	Tuhý	Tuhý	Tuhý	Tuhý	Volný	Volný
H330	B545	Oba	Tuhý	Tuhý	Tuhý	Tuhý	Volný	Volný
H331	B546	Oba	Tuhý	Tuhý	Tuhý	Tuhý	Volný	Volný
H332	B547	Oba	Tuhý	Tuhý	Tuhý	Tuhý	Volný	Volný
H333	B548	Oba	Tuhý	Tuhý	Tuhý	Tuhý	Volný	Volný
H334	B549	Oba	Tuhý	Tuhý	Tuhý	Tuhý	Volný	Volný
H335	B550	Oba	Tuhý	Tuhý	Tuhý	Tuhý	Volný	Volný
H338	B553	Oba	Tuhý	Tuhý	Tuhý	Tuhý	Volný	Volný
H339	B554	Oba	Tuhý	Tuhý	Tuhý	Tuhý	Volný	Volný
H340	B555	Oba	Tuhý	Tuhý	Tuhý	Tuhý	Volný	Volný
H341	B556	Oba	Tuhý	Tuhý	Tuhý	Tuhý	Volný	Volný
H342	B557	Oba	Tuhý	Tuhý	Tuhý	Tuhý	Volný	Volný
H343	B558	Oba	Tuhý	Tuhý	Tuhý	Tuhý	Volný	Volný

Projekt RNR

Jméno	Dílec	Pozice	ux	uy	uz	fix	fiy	fiz
H344	B559	Oba	Tuhý	Tuhý	Tuhý	Tuhý	Volný	Volný
H345	B560	Oba	Tuhý	Tuhý	Tuhý	Tuhý	Volný	Volný
H346	B561	Oba	Tuhý	Tuhý	Tuhý	Tuhý	Volný	Volný
H347	B562	Oba	Tuhý	Tuhý	Tuhý	Tuhý	Volný	Volný
H348	B563	Oba	Tuhý	Tuhý	Tuhý	Tuhý	Volný	Volný
H349	B564	Oba	Tuhý	Tuhý	Tuhý	Tuhý	Volný	Volný
H350	B565	Oba	Tuhý	Tuhý	Tuhý	Tuhý	Volný	Volný
H351	B566	Oba	Tuhý	Tuhý	Tuhý	Tuhý	Volný	Volný
H352	B567	Oba	Tuhý	Tuhý	Tuhý	Tuhý	Volný	Volný
H353	B568	Oba	Tuhý	Tuhý	Tuhý	Tuhý	Volný	Volný
H354	B569	Oba	Tuhý	Tuhý	Tuhý	Tuhý	Volný	Volný
H355	B570	Oba	Tuhý	Tuhý	Tuhý	Tuhý	Volný	Volný
H356	B571	Oba	Tuhý	Tuhý	Tuhý	Tuhý	Volný	Volný
H357	B572	Oba	Tuhý	Tuhý	Tuhý	Tuhý	Volný	Volný
H358	B573	Oba	Tuhý	Tuhý	Tuhý	Tuhý	Volný	Volný
H359	B574	Oba	Tuhý	Tuhý	Tuhý	Tuhý	Volný	Volný
H360	B575	Oba	Tuhý	Tuhý	Tuhý	Tuhý	Volný	Volný
H361	B576	Oba	Tuhý	Tuhý	Tuhý	Tuhý	Volný	Volný
H362	B577	Oba	Tuhý	Tuhý	Tuhý	Tuhý	Volný	Volný
H363	B578	Oba	Tuhý	Tuhý	Tuhý	Tuhý	Volný	Volný
H364	B579	Oba	Tuhý	Tuhý	Tuhý	Tuhý	Volný	Volný
H365	B580	Oba	Tuhý	Tuhý	Tuhý	Tuhý	Volný	Volný
H366	B581	Oba	Tuhý	Tuhý	Tuhý	Tuhý	Volný	Volný
H367	B582	Oba	Tuhý	Tuhý	Tuhý	Tuhý	Volný	Volný
H368	B583	Oba	Tuhý	Tuhý	Tuhý	Tuhý	Volný	Volný
H369	B584	Oba	Tuhý	Tuhý	Tuhý	Tuhý	Volný	Volný
H370	B585	Oba	Tuhý	Tuhý	Tuhý	Tuhý	Volný	Volný
H371	B586	Oba	Tuhý	Tuhý	Tuhý	Tuhý	Volný	Volný
H372	B587	Oba	Tuhý	Tuhý	Tuhý	Tuhý	Volný	Volný
H373	B588	Oba	Tuhý	Tuhý	Tuhý	Tuhý	Volný	Volný
H374	B589	Oba	Tuhý	Tuhý	Tuhý	Tuhý	Volný	Volný
H375	B590	Oba	Tuhý	Tuhý	Tuhý	Tuhý	Volný	Volný
H376	B591	Oba	Tuhý	Tuhý	Tuhý	Tuhý	Volný	Volný
H377	B592	Oba	Tuhý	Tuhý	Tuhý	Tuhý	Volný	Volný
H378	B593	Oba	Tuhý	Tuhý	Tuhý	Tuhý	Volný	Volný
H379	B594	Oba	Tuhý	Tuhý	Tuhý	Tuhý	Volný	Volný
H380	B595	Oba	Tuhý	Tuhý	Tuhý	Tuhý	Volný	Volný
H381	B596	Oba	Tuhý	Tuhý	Tuhý	Tuhý	Volný	Volný
H382	B597	Oba	Tuhý	Tuhý	Tuhý	Tuhý	Volný	Volný
H383	B598	Oba	Tuhý	Tuhý	Tuhý	Tuhý	Volný	Volný
H384	B599	Oba	Tuhý	Tuhý	Tuhý	Tuhý	Volný	Volný
H385	B600	Oba	Tuhý	Tuhý	Tuhý	Tuhý	Volný	Volný
H386	B601	Oba	Tuhý	Tuhý	Tuhý	Tuhý	Volný	Volný
H387	B602	Oba	Tuhý	Tuhý	Tuhý	Tuhý	Volný	Volný
H388	B603	Oba	Tuhý	Tuhý	Tuhý	Tuhý	Volný	Volný
H389	B604	Oba	Tuhý	Tuhý	Tuhý	Tuhý	Volný	Volný
H390	B605	Oba	Tuhý	Tuhý	Tuhý	Tuhý	Volný	Volný
H391	B606	Oba	Tuhý	Tuhý	Tuhý	Tuhý	Volný	Volný
H392	B607	Oba	Tuhý	Tuhý	Tuhý	Tuhý	Volný	Volný
H393	B608	Oba	Tuhý	Tuhý	Tuhý	Tuhý	Volný	Volný
H394	B609	Oba	Tuhý	Tuhý	Tuhý	Tuhý	Volný	Volný
H395	B610	Oba	Tuhý	Tuhý	Tuhý	Tuhý	Volný	Volný
H396	B611	Oba	Tuhý	Tuhý	Tuhý	Tuhý	Volný	Volný
H397	B612	Oba	Tuhý	Tuhý	Tuhý	Tuhý	Volný	Volný
H398	B613	Oba	Tuhý	Tuhý	Tuhý	Tuhý	Volný	Volný
H399	B614	Oba	Tuhý	Tuhý	Tuhý	Tuhý	Volný	Volný
H400	B615	Oba	Tuhý	Tuhý	Tuhý	Tuhý	Volný	Volný
H401	B616	Oba	Tuhý	Tuhý	Tuhý	Tuhý	Volný	Volný
H402	B617	Oba	Tuhý	Tuhý	Tuhý	Tuhý	Volný	Volný
H403	B618	Oba	Tuhý	Tuhý	Tuhý	Tuhý	Volný	Volný
H404	B229	Konec	Tuhý	Tuhý	Tuhý	Tuhý	Volný	Volný
H406	B626	Oba	Tuhý	Tuhý	Tuhý	Tuhý	Volný	Volný
H411	B631	Oba	Tuhý	Tuhý	Tuhý	Tuhý	Volný	Volný
H412	B665	Oba	Tuhý	Tuhý	Tuhý	Tuhý	Volný	Volný
H413	B666	Oba	Tuhý	Tuhý	Tuhý	Tuhý	Volný	Volný
H414	B667	Oba	Tuhý	Tuhý	Tuhý	Tuhý	Volný	Volný
H415	B668	Oba	Tuhý	Tuhý	Tuhý	Tuhý	Volný	Volný

Projekt RNR

Jméno	Dílec	Pozice	ux	uy	uz	fix	fiy	fiz
H416	B669	Oba	Tuhý	Tuhý	Tuhý	Tuhý	Volný	Volný
H417	B670	Oba	Tuhý	Tuhý	Tuhý	Tuhý	Volný	Volný
H418	B671	Oba	Tuhý	Tuhý	Tuhý	Tuhý	Volný	Volný
H419	B672	Oba	Tuhý	Tuhý	Tuhý	Tuhý	Volný	Volný
H420	B673	Oba	Tuhý	Tuhý	Tuhý	Tuhý	Volný	Volný
H421	B674	Oba	Tuhý	Tuhý	Tuhý	Tuhý	Volný	Volný
H422	B675	Oba	Tuhý	Tuhý	Tuhý	Tuhý	Volný	Volný
H423	B676	Oba	Tuhý	Tuhý	Tuhý	Tuhý	Volný	Volný
H424	B677	Oba	Tuhý	Tuhý	Tuhý	Tuhý	Volný	Volný
H425	B678	Oba	Tuhý	Tuhý	Tuhý	Tuhý	Volný	Volný
H426	B679	Oba	Tuhý	Tuhý	Tuhý	Tuhý	Volný	Volný
H427	B680	Oba	Tuhý	Tuhý	Tuhý	Tuhý	Volný	Volný
H428	B681	Oba	Tuhý	Tuhý	Tuhý	Tuhý	Volný	Volný
H429	B682	Oba	Tuhý	Tuhý	Tuhý	Tuhý	Volný	Volný
H430	B683	Oba	Tuhý	Tuhý	Tuhý	Tuhý	Volný	Volný
H431	B684	Oba	Tuhý	Tuhý	Tuhý	Tuhý	Volný	Volný
H432	B685	Oba	Tuhý	Tuhý	Tuhý	Tuhý	Volný	Volný
H433	B686	Oba	Tuhý	Tuhý	Tuhý	Tuhý	Volný	Volný
H434	B687	Oba	Tuhý	Tuhý	Tuhý	Tuhý	Volný	Volný
H435	B688	Oba	Tuhý	Tuhý	Tuhý	Tuhý	Volný	Volný

17. Křížení

Jméno	1. prut	2. prut	Typ
CL1	B372	B378	Pevný
CL2	B380	B381	Pevný
CL3	B383	B384	Pevný
CL4	B386	B387	Pevný
CL5	B389	B390	Pevný
CL6	B392	B393	Pevný

Jméno	1. prut	2. prut	Typ
CL7	B395	B396	Pevný
CL8	B398	B399	Pevný
CL9	B401	B402	Pevný
CL10	B404	B405	Pevný
CL11	B407	B408	Pevný
CL12	B410	B411	Pevný

Jméno	1. prut	2. prut	Typ
CL13	B413	B414	Pevný
CL14	B416	B417	Pevný
CL15	B419	B420	Pevný
CL16	B422	B423	Pevný

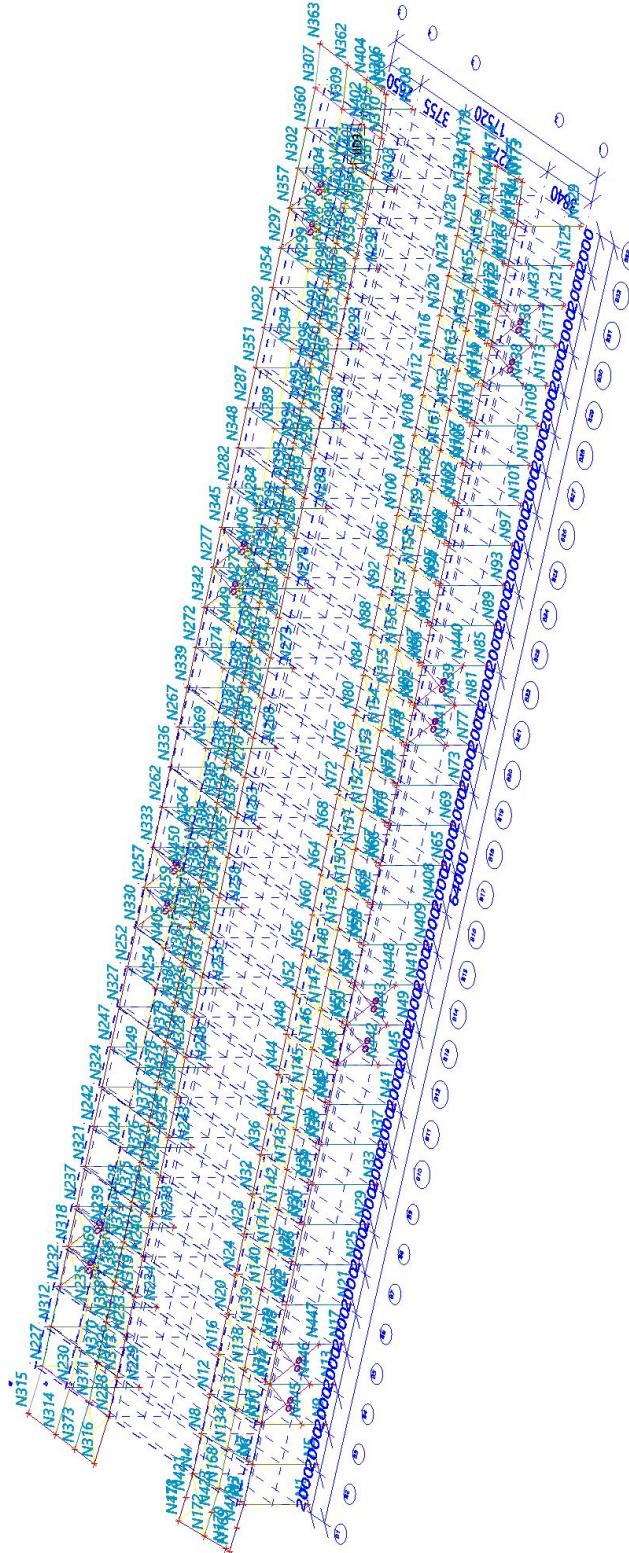
18. Podpory v uzlech

Jméno	Uzel	Systém	Typ	X	Y	Z	Rx	Ry	Rz
Sn1	N1	GSS	Standard	Tuhý	Tuhý	Tuhý	Tuhý	Volný	Tuhý
Sn2	N5	GSS	Standard	Tuhý	Tuhý	Tuhý	Tuhý	Volný	Tuhý
Sn3	N9	GSS	Standard	Tuhý	Tuhý	Tuhý	Tuhý	Volný	Tuhý
Sn4	N13	GSS	Standard	Tuhý	Tuhý	Tuhý	Tuhý	Volný	Tuhý
Sn5	N17	GSS	Standard	Tuhý	Tuhý	Tuhý	Tuhý	Volný	Tuhý
Sn6	N21	GSS	Standard	Tuhý	Tuhý	Tuhý	Tuhý	Volný	Tuhý
Sn7	N25	GSS	Standard	Tuhý	Tuhý	Tuhý	Tuhý	Volný	Tuhý
Sn8	N29	GSS	Standard	Tuhý	Tuhý	Tuhý	Tuhý	Volný	Tuhý
Sn9	N33	GSS	Standard	Tuhý	Tuhý	Tuhý	Tuhý	Volný	Tuhý
Sn10	N37	GSS	Standard	Tuhý	Tuhý	Tuhý	Tuhý	Volný	Tuhý
Sn11	N41	GSS	Standard	Tuhý	Tuhý	Tuhý	Tuhý	Volný	Tuhý
Sn12	N45	GSS	Standard	Tuhý	Tuhý	Tuhý	Tuhý	Volný	Tuhý
Sn13	N49	GSS	Standard	Tuhý	Tuhý	Tuhý	Tuhý	Volný	Tuhý
Sn17	N65	GSS	Standard	Tuhý	Tuhý	Tuhý	Tuhý	Volný	Tuhý
Sn18	N69	GSS	Standard	Tuhý	Tuhý	Tuhý	Tuhý	Volný	Tuhý
Sn19	N73	GSS	Standard	Tuhý	Tuhý	Tuhý	Tuhý	Volný	Tuhý
Sn20	N77	GSS	Standard	Tuhý	Tuhý	Tuhý	Tuhý	Volný	Tuhý
Sn21	N81	GSS	Standard	Tuhý	Tuhý	Tuhý	Tuhý	Volný	Tuhý
Sn22	N85	GSS	Standard	Tuhý	Tuhý	Tuhý	Tuhý	Volný	Tuhý
Sn23	N89	GSS	Standard	Tuhý	Tuhý	Tuhý	Tuhý	Volný	Tuhý
Sn24	N93	GSS	Standard	Tuhý	Tuhý	Tuhý	Tuhý	Volný	Tuhý
Sn25	N97	GSS	Standard	Tuhý	Tuhý	Tuhý	Tuhý	Volný	Tuhý
Sn26	N101	GSS	Standard	Tuhý	Tuhý	Tuhý	Tuhý	Volný	Tuhý
Sn27	N105	GSS	Standard	Tuhý	Tuhý	Tuhý	Tuhý	Volný	Tuhý
Sn28	N109	GSS	Standard	Tuhý	Tuhý	Tuhý	Tuhý	Volný	Tuhý
Sn29	N113	GSS	Standard	Tuhý	Tuhý	Tuhý	Tuhý	Volný	Tuhý
Sn30	N117	GSS	Standard	Tuhý	Tuhý	Tuhý	Tuhý	Volný	Tuhý
Sn31	N121	GSS	Standard	Tuhý	Tuhý	Tuhý	Tuhý	Volný	Tuhý
Sn32	N125	GSS	Standard	Tuhý	Tuhý	Tuhý	Tuhý	Volný	Tuhý
Sn33	N129	GSS	Standard	Tuhý	Tuhý	Tuhý	Tuhý	Volný	Tuhý
Sn39	N229	GSS	Standard	Tuhý	Tuhý	Tuhý	Volný	Volný	Volný
Sn40	N226	GSS	Standard	Tuhý	Tuhý	Tuhý	Volný	Volný	Volný

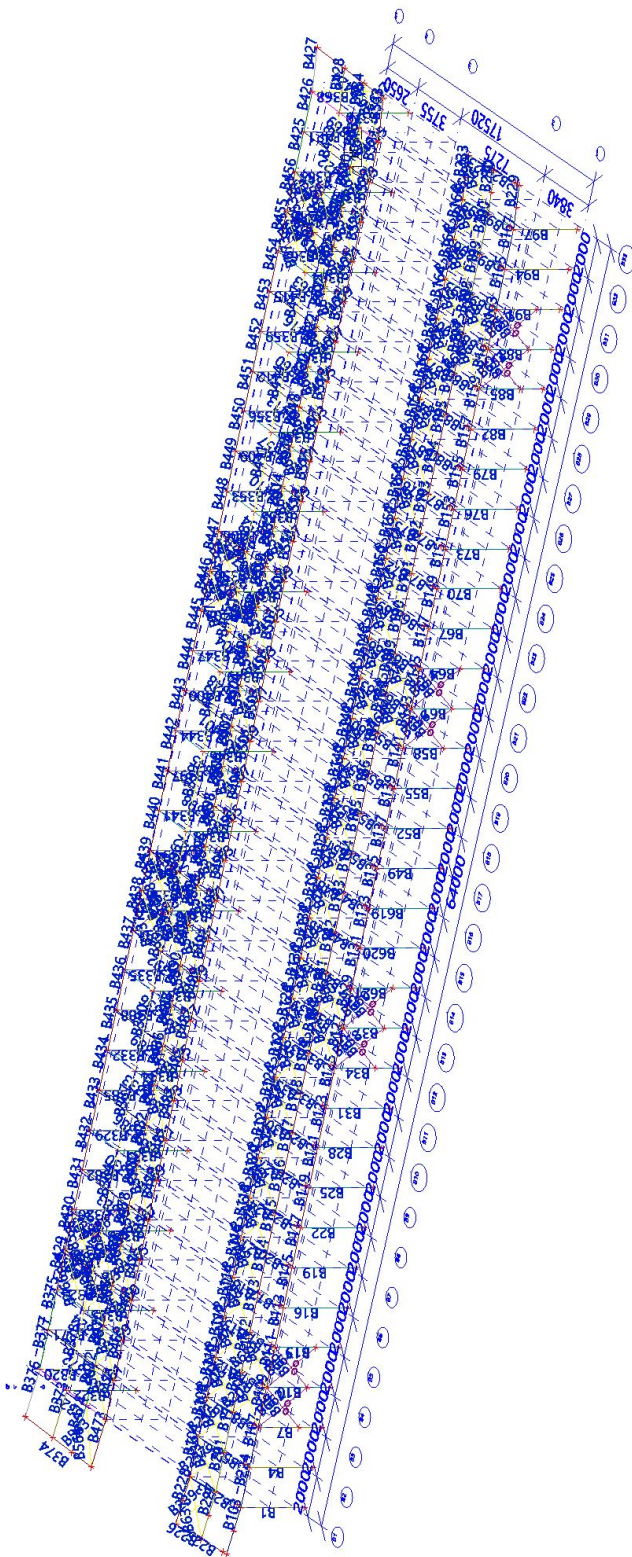
Projekt RNR

Jméno	Uzel	Systém	Typ	X	Y	Z	Rx	Ry	Rz
Sn41	N231	GSS	Standard	Tuhý	Tuhý	Tuhý	Volný	Volný	Volný
Sn42	N234	GSS	Standard	Tuhý	Tuhý	Tuhý	Volný	Volný	Volný
Sn43	N236	GSS	Standard	Tuhý	Tuhý	Tuhý	Volný	Volný	Volný
Sn44	N238	GSS	Standard	Tuhý	Tuhý	Tuhý	Volný	Volný	Volný
Sn45	N241	GSS	Standard	Tuhý	Tuhý	Tuhý	Volný	Volný	Volný
Sn46	N243	GSS	Standard	Tuhý	Tuhý	Tuhý	Volný	Volný	Volný
Sn47	N246	GSS	Standard	Tuhý	Tuhý	Tuhý	Volný	Volný	Volný
Sn48	N248	GSS	Standard	Tuhý	Tuhý	Tuhý	Volný	Volný	Volný
Sn49	N251	GSS	Standard	Tuhý	Tuhý	Tuhý	Volný	Volný	Volný
Sn50	N253	GSS	Standard	Tuhý	Tuhý	Tuhý	Volný	Volný	Volný
Sn51	N256	GSS	Standard	Tuhý	Tuhý	Tuhý	Volný	Volný	Volný
Sn52	N258	GSS	Standard	Tuhý	Tuhý	Tuhý	Volný	Volný	Volný
Sn53	N261	GSS	Standard	Tuhý	Tuhý	Tuhý	Volný	Volný	Volný
Sn54	N263	GSS	Standard	Tuhý	Tuhý	Tuhý	Volný	Volný	Volný
Sn55	N266	GSS	Standard	Tuhý	Tuhý	Tuhý	Volný	Volný	Volný
Sn56	N268	GSS	Standard	Tuhý	Tuhý	Tuhý	Volný	Volný	Volný
Sn57	N271	GSS	Standard	Tuhý	Tuhý	Tuhý	Volný	Volný	Volný
Sn58	N273	GSS	Standard	Tuhý	Tuhý	Tuhý	Volný	Volný	Volný
Sn59	N276	GSS	Standard	Tuhý	Tuhý	Tuhý	Volný	Volný	Volný
Sn60	N278	GSS	Standard	Tuhý	Tuhý	Tuhý	Volný	Volný	Volný
Sn61	N281	GSS	Standard	Tuhý	Tuhý	Tuhý	Volný	Volný	Volný
Sn62	N283	GSS	Standard	Tuhý	Tuhý	Tuhý	Volný	Volný	Volný
Sn63	N286	GSS	Standard	Tuhý	Tuhý	Tuhý	Volný	Volný	Volný
Sn64	N288	GSS	Standard	Tuhý	Tuhý	Tuhý	Volný	Volný	Volný
Sn65	N291	GSS	Standard	Tuhý	Tuhý	Tuhý	Volný	Volný	Volný
Sn66	N293	GSS	Standard	Tuhý	Tuhý	Tuhý	Volný	Volný	Volný
Sn67	N296	GSS	Standard	Tuhý	Tuhý	Tuhý	Volný	Volný	Volný
Sn68	N298	GSS	Standard	Tuhý	Tuhý	Tuhý	Volný	Volný	Volný
Sn69	N301	GSS	Standard	Tuhý	Tuhý	Tuhý	Volný	Volný	Volný
Sn70	N303	GSS	Standard	Tuhý	Tuhý	Tuhý	Volný	Volný	Volný
Sn71	N306	GSS	Standard	Tuhý	Tuhý	Tuhý	Volný	Volný	Volný
Sn72	N308	GSS	Standard	Tuhý	Tuhý	Tuhý	Volný	Volný	Volný
Sn73	N311	GSS	Standard	Tuhý	Tuhý	Tuhý	Volný	Volný	Volný
Sn74	N317	GSS	Standard	Tuhý	Tuhý	Tuhý	Volný	Volný	Volný
Sn75	N320	GSS	Standard	Tuhý	Tuhý	Tuhý	Volný	Volný	Volný
Sn76	N323	GSS	Standard	Tuhý	Tuhý	Tuhý	Volný	Volný	Volný
Sn77	N326	GSS	Standard	Tuhý	Tuhý	Tuhý	Volný	Volný	Volný
Sn78	N329	GSS	Standard	Tuhý	Tuhý	Tuhý	Volný	Volný	Volný
Sn79	N332	GSS	Standard	Tuhý	Tuhý	Tuhý	Volný	Volný	Volný
Sn80	N335	GSS	Standard	Tuhý	Tuhý	Tuhý	Volný	Volný	Volný
Sn81	N338	GSS	Standard	Tuhý	Tuhý	Tuhý	Volný	Volný	Volný
Sn82	N341	GSS	Standard	Tuhý	Tuhý	Tuhý	Volný	Volný	Volný
Sn83	N344	GSS	Standard	Tuhý	Tuhý	Tuhý	Volný	Volný	Volný
Sn84	N347	GSS	Standard	Tuhý	Tuhý	Tuhý	Volný	Volný	Volný
Sn85	N350	GSS	Standard	Tuhý	Tuhý	Tuhý	Volný	Volný	Volný
Sn86	N353	GSS	Standard	Tuhý	Tuhý	Tuhý	Volný	Volný	Volný
Sn87	N356	GSS	Standard	Tuhý	Tuhý	Tuhý	Volný	Volný	Volný
Sn88	N359	GSS	Standard	Tuhý	Tuhý	Tuhý	Volný	Volný	Volný
Sn89	N408	GSS	Standard	Tuhý	Tuhý	Tuhý	Tuhý	Volný	Tuhý
Sn90	N409	GSS	Standard	Tuhý	Tuhý	Tuhý	Tuhý	Volný	Tuhý
Sn91	N410	GSS	Standard	Tuhý	Tuhý	Tuhý	Tuhý	Volný	Tuhý

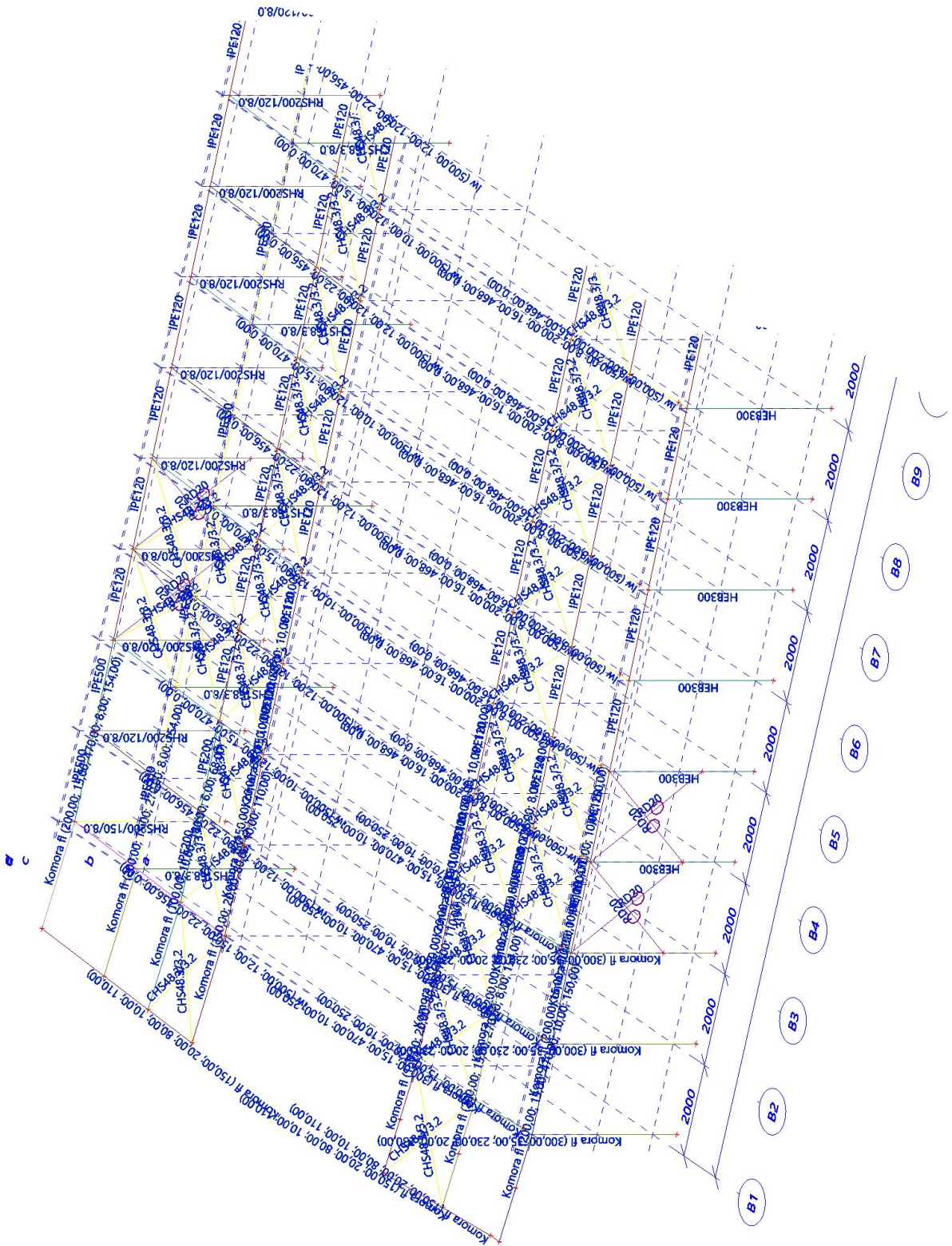
19. UZLY



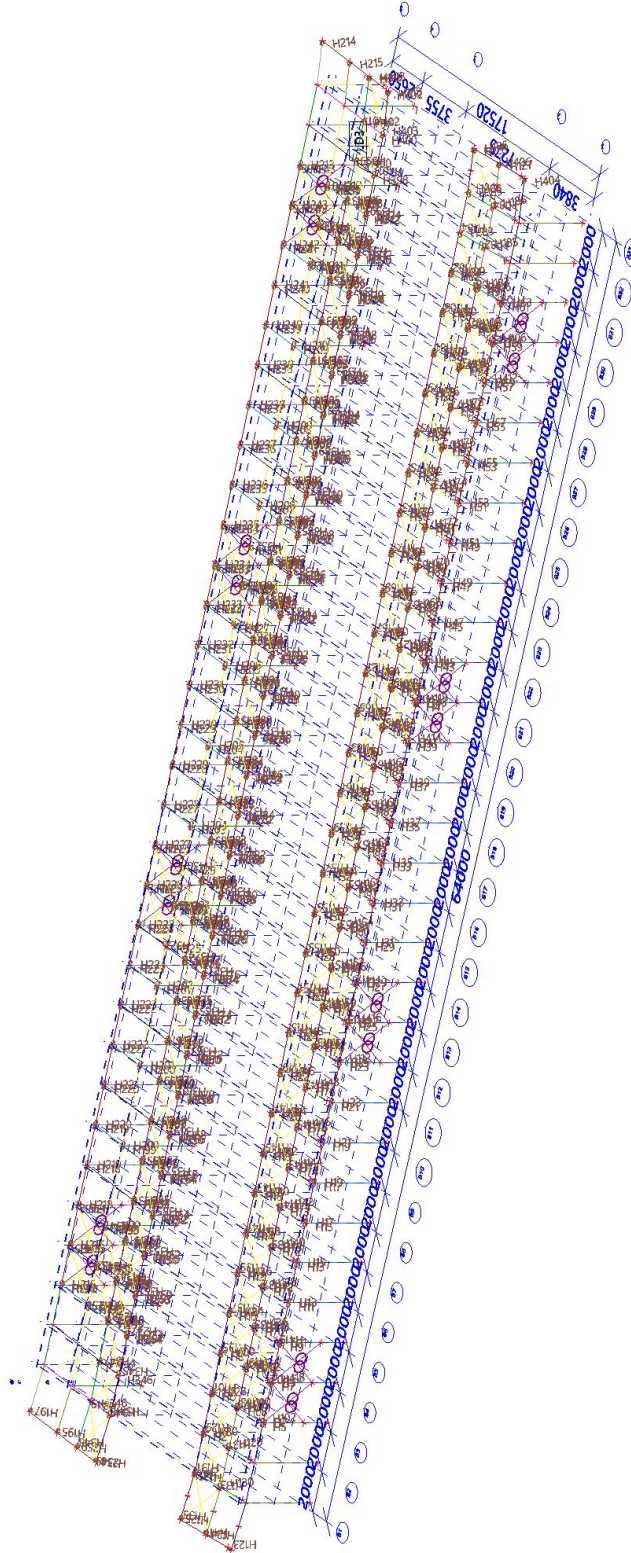
20. PRVKY



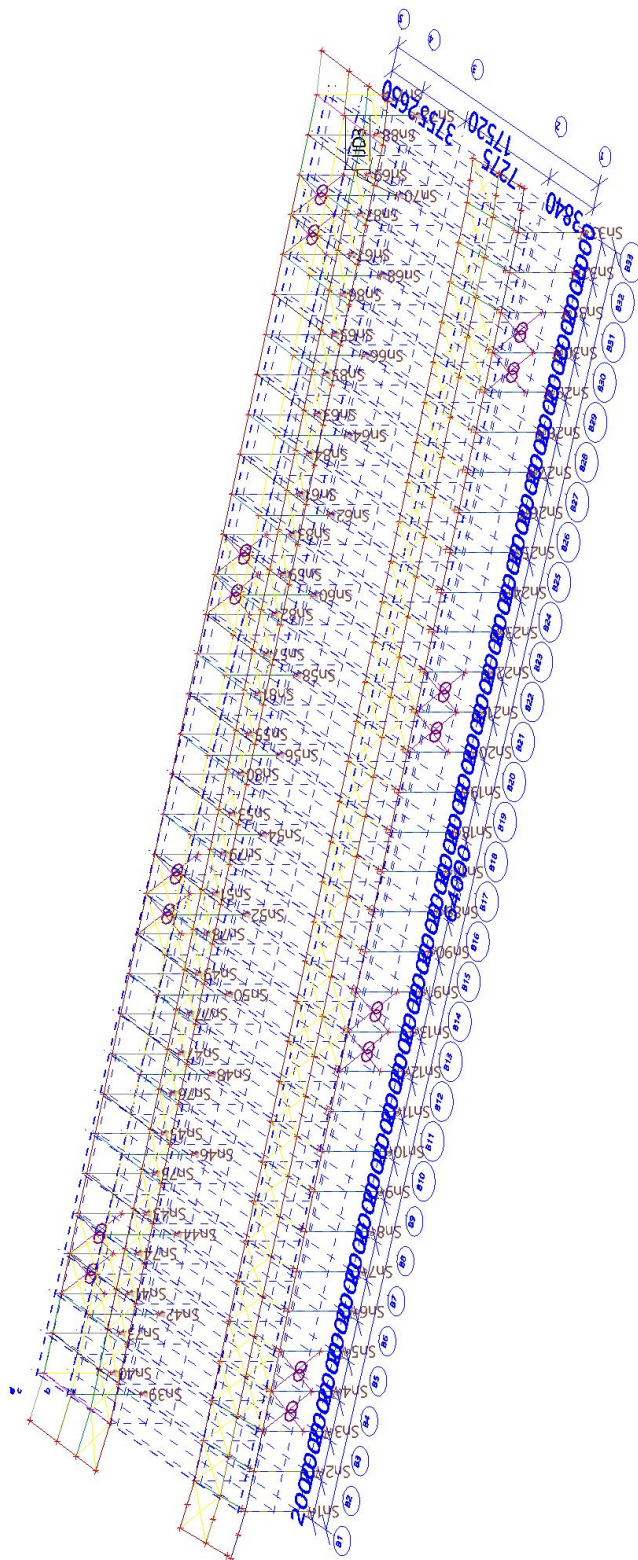
21. PRŮŘEZY - VÝSEK



22. KLOUBY



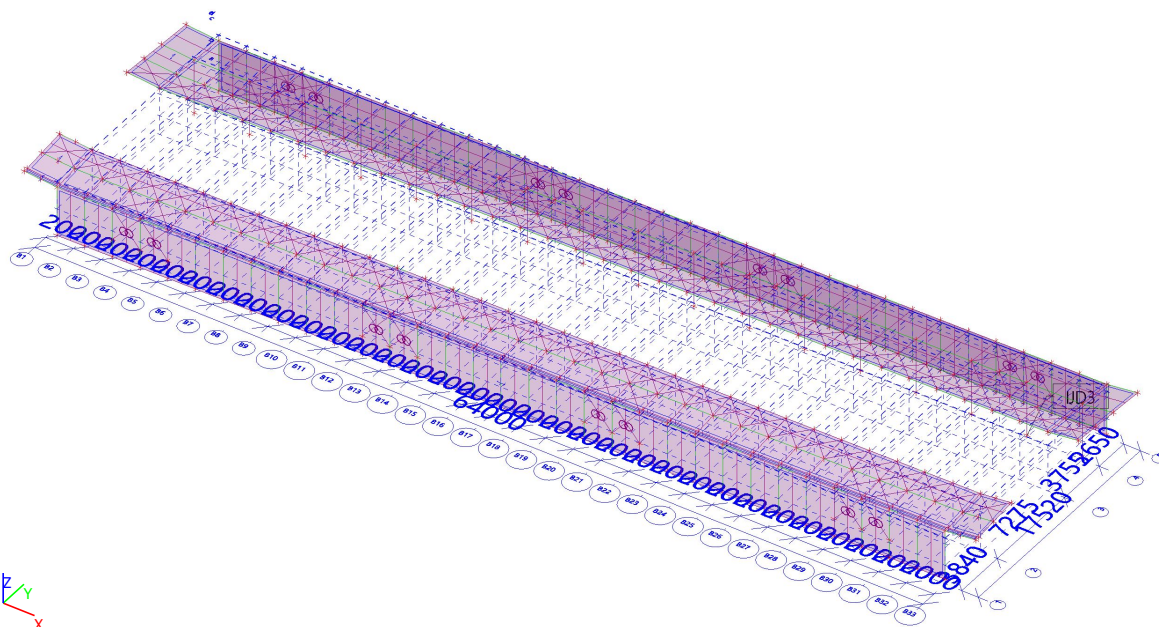
23. PODPORY



24. Zatěžovací stavy

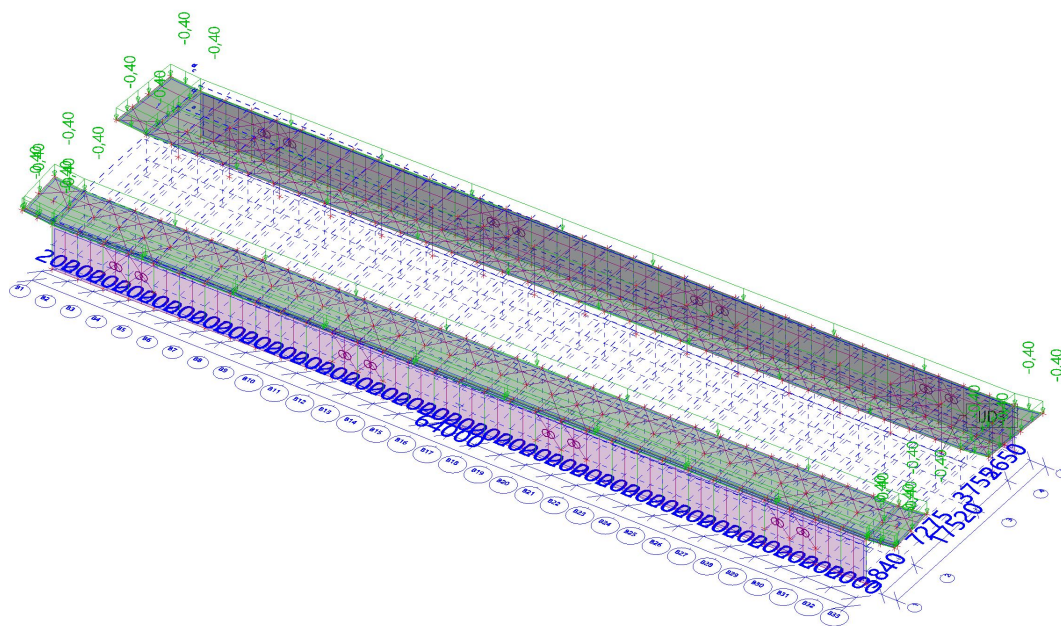
24.1. Zatěžovací stavy - ZS1

Jméno	Popis	Typ působení	Skupina zatížení	Typ zatížení	Směr
ZS1	Vlastní tíha	Stálé	SZ1	Vlastní tíha	-Z



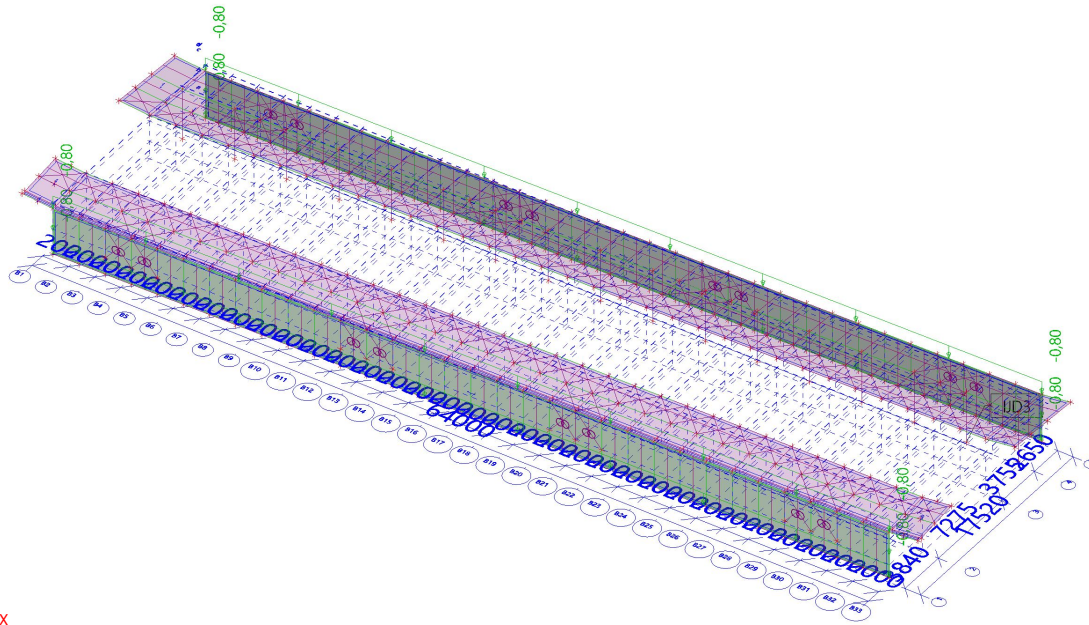
24.2. Zatěžovací stavy - ZS2

Jméno	Popis	Typ působení	Skupina zatížení	Typ zatížení
ZS2	STŘEŠNÍ PLÁŠŤ	Stálé	SZ1	Standard



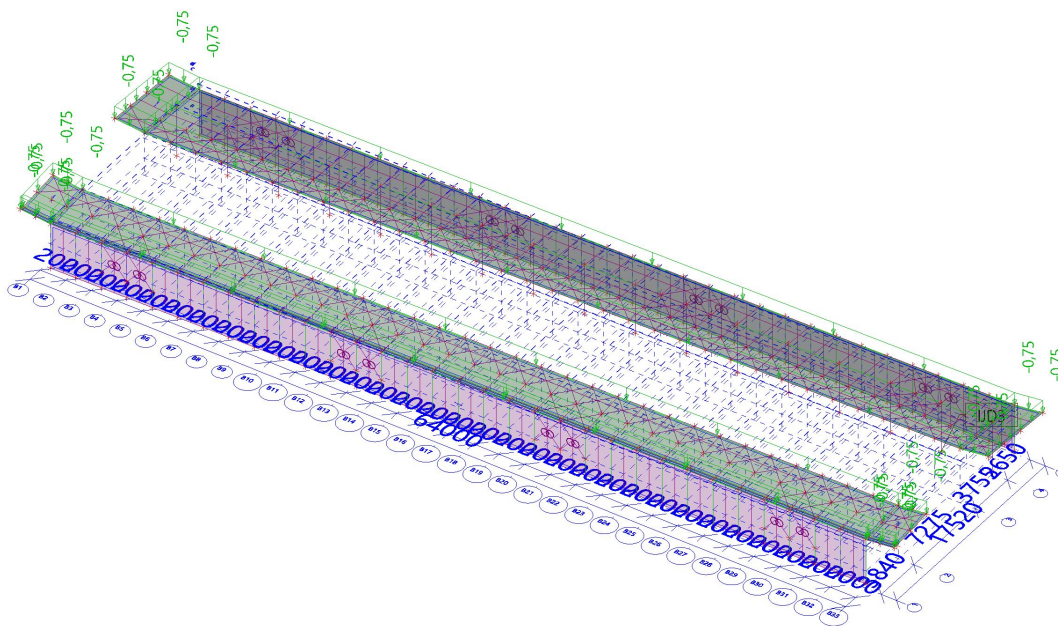
24.3. Zatěžovací stavy - ZS3

Jméno	Popis	Typ působení	Skupina zatížení	Typ zatížení
ZS3	STĚNOVÝ PLÁŠT	Stálé	SZ1	Standard



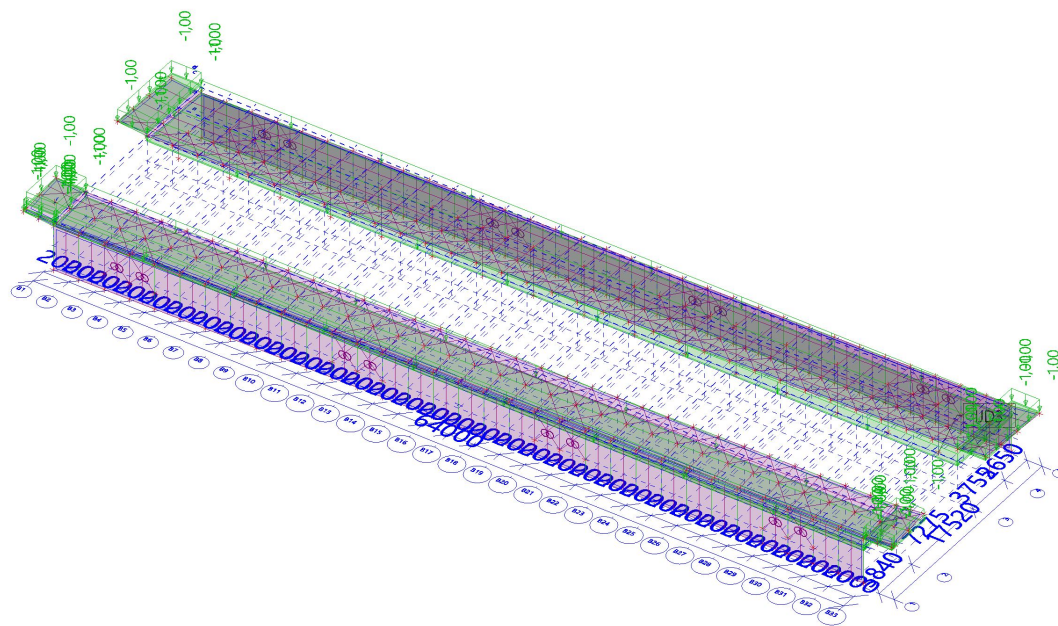
24.4. Zatěžovací stavy - ZS4

Jméno	Popis	Typ působení	Skupina zatížení	Typ zatížení	Spec	Působení	Rídící zat. stav
ZS4	UZITNE NA STRESE	Proměnné	UZITNE NA STRESE	Statické	Standard	Krátkodobé	Žádný



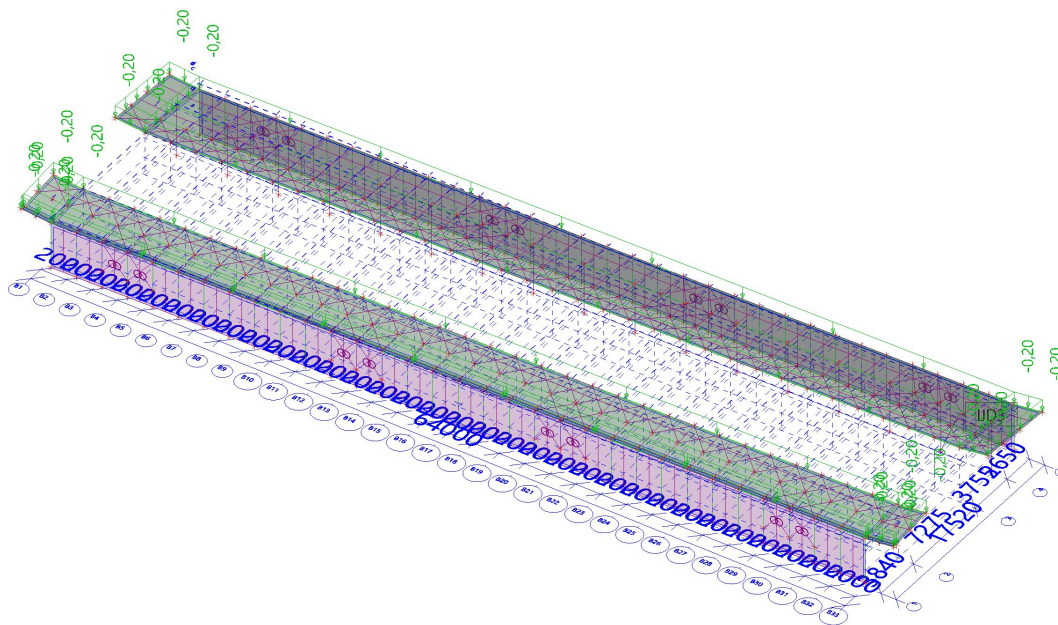
24.5. Zatěžovací stavy - ZS5

Jméno	Popis	Typ působení	Skupina zatížení	Typ zatížení	Spec	Působení	Rídící zat. stav
ZS5	SNIH	Proměnné	SNIH	Statické	Standard	Krátkodobé	Žádný



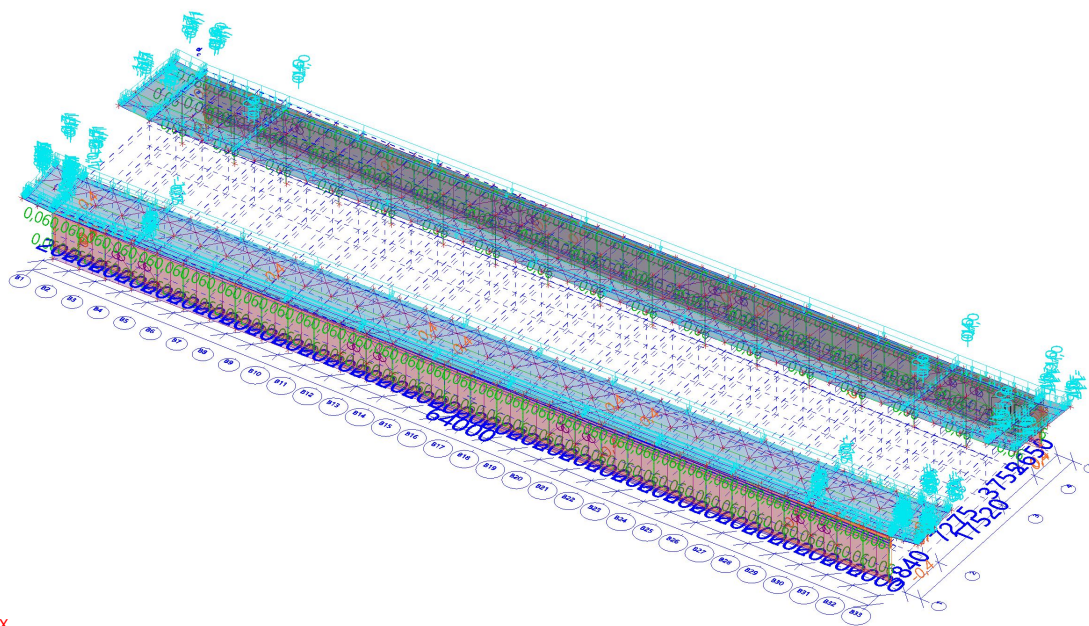
24.6. Zatěžovací stavy - ZS6

Jméno	Popis	Typ působení	Skupina zatížení	Typ zatížení	Spec	Působení	Řídicí zat. stav
ZS6	TECHNOLOGIE POD STRECHOU	Proměnné	TECHNOLGOIE	Statické	Standard	Krátkodobé	Žádný



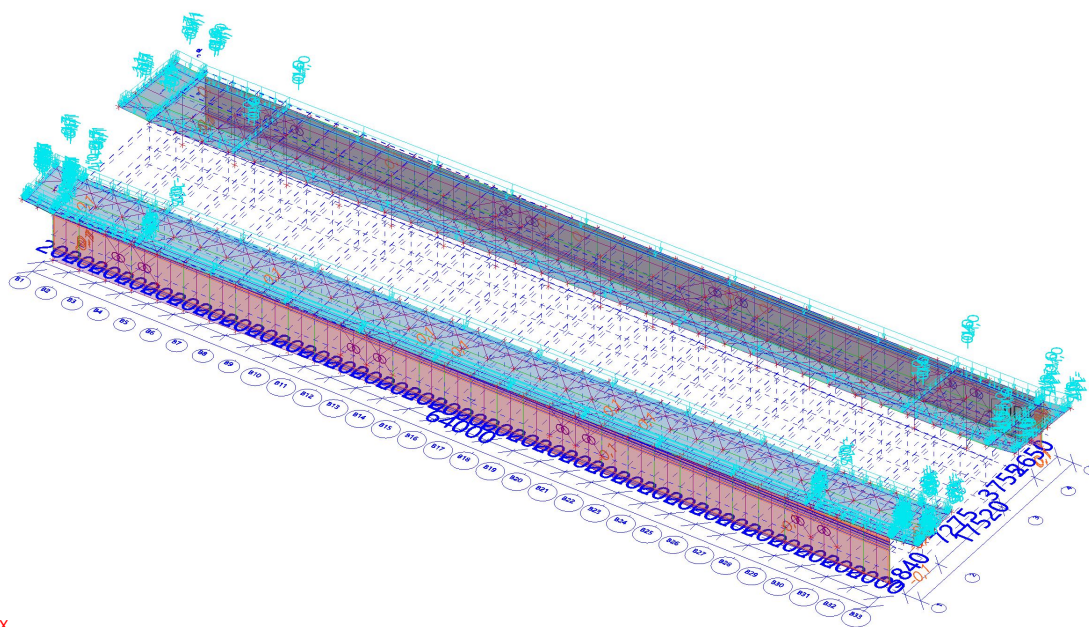
24.7. Zatěžovací stavy - 3DVitr1

Jméno	Popis	Typ působení	Skupina zatížení	Typ zatížení	Spec	Řídicí zat. stav
3DVitr1	0, + CPE, + CPI	Proměnné	TECHNOLGOIE5	Statické	Statický vítr	Žádný



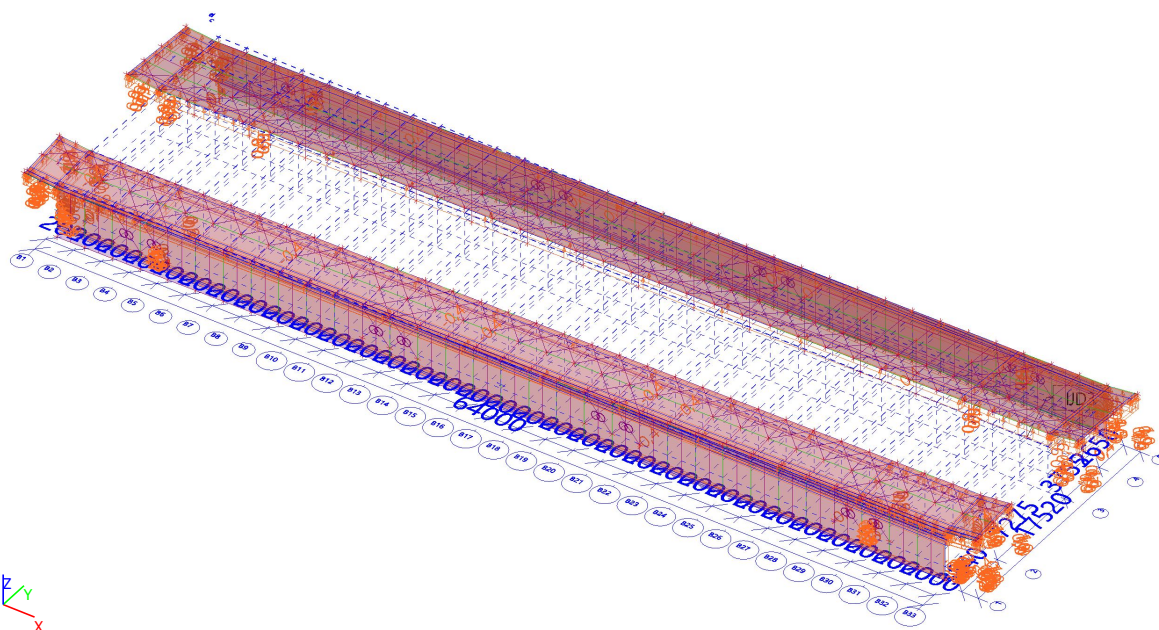
24.8. Zatěžovací stavy - 3DVitr2

Jméno	Popis	Typ působení	Skupina zatížení	Typ zatížení	Spec	Řídící zat. stav
3DVitr2	0, + CPE, - CPI	Proměnné	TECHNOLGOIE5	Statické	Statický vítr	Žádný



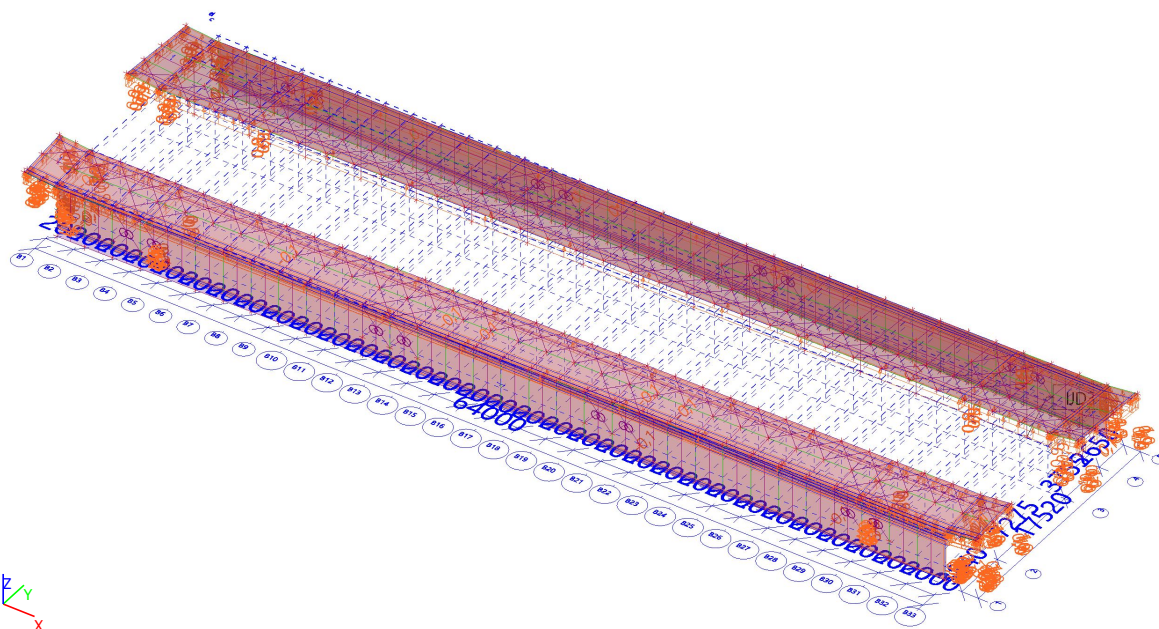
24.9. Zatěžovací stavy - 3DVitr3

Jméno	Popis	Typ působení	Skupina zatížení	Typ zatížení	Spec	Řídící zat. stav
3DVitr3	0, - CPE, + CPI	Proměnné	TECHNOLGOIE5	Statické	Statický vítr	Žádný



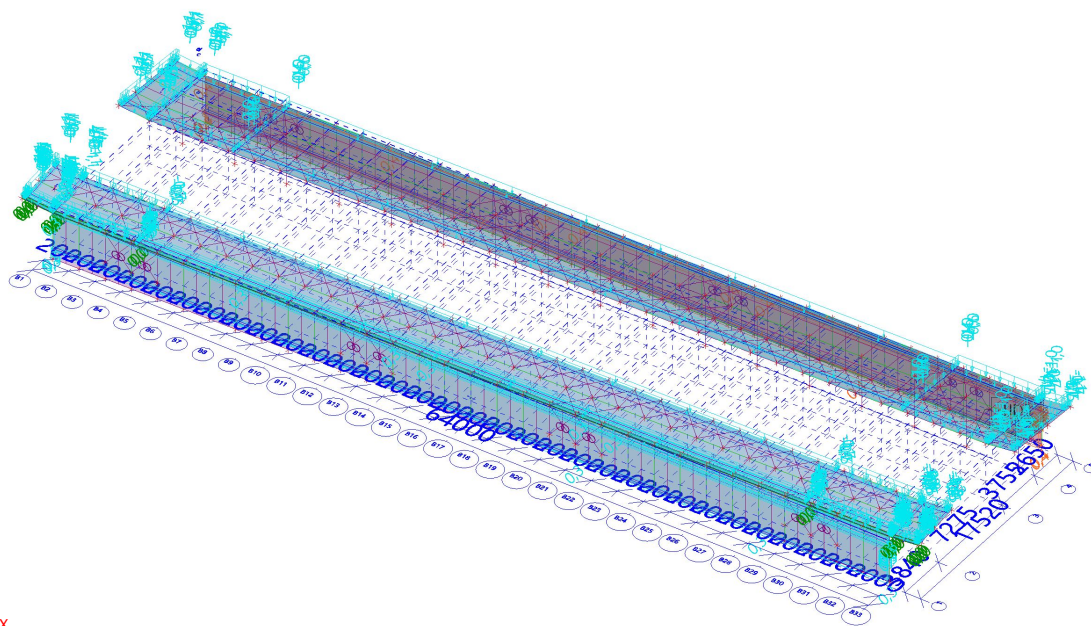
24.10. Zatěžovací stavy - 3DVitr4

Jméno	Popis	Typ působení	Skupina zatížení	Typ zatížení	Spec	Řídící zat. stav
3DVitr4	0, - CPE, - CPI	Proměnné	TECHNOLGOIE5	Statické	Statický vítr	Žádný



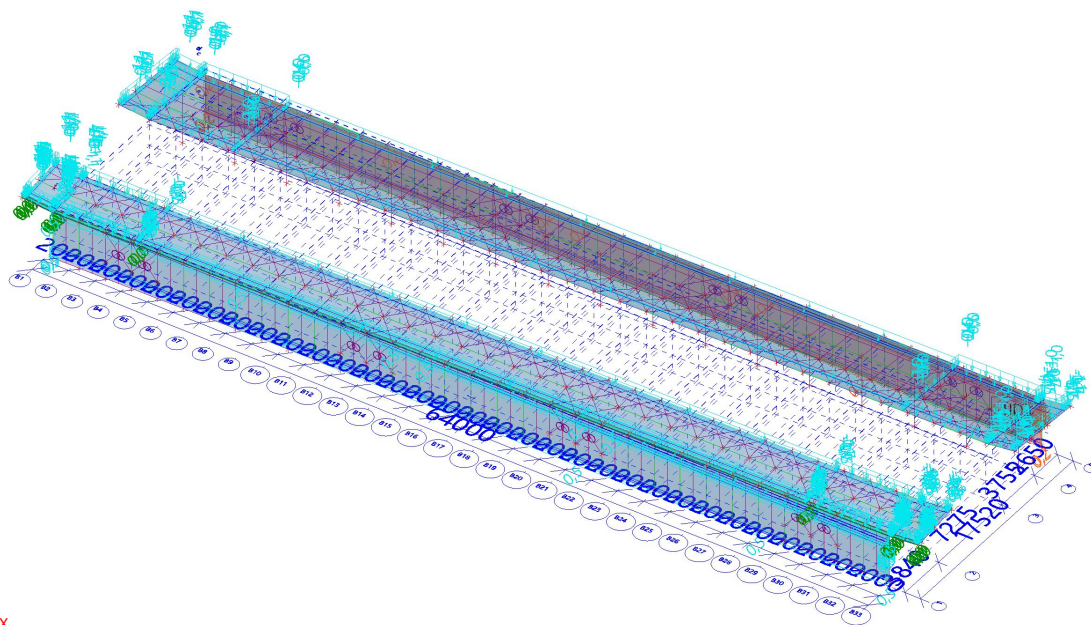
24.11. Zatěžovací stavy - 3DVitr5

Jméno	Popis	Typ působení	Skupina zatížení	Typ zatížení	Spec	Řídící zat. stav
3DVitr5	90, + CPE, + CPI	Proměnné	TECHNOLGOIE5	Statické	Statický vítr	Žádný



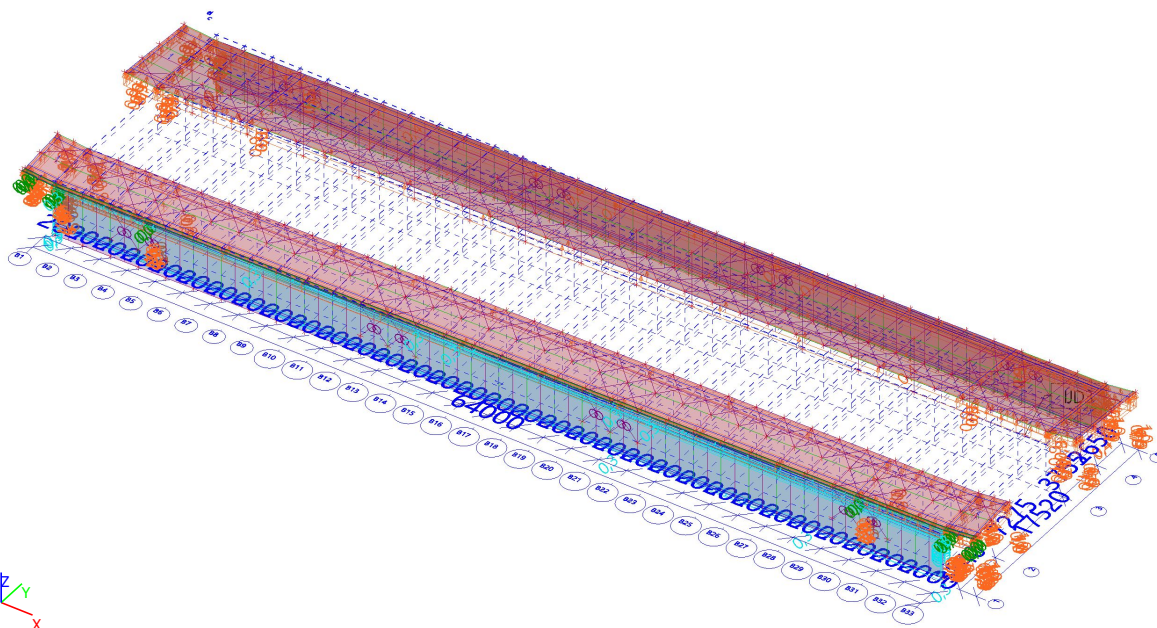
24.12. Zatěžovací stavy - 3DVitr6

Jméno	Popis	Typ působení	Skupina zatížení	Typ zatížení	Spec	Řídicí zat. stav
3DVitr6	90, + CPE, - CPI	Proměnné	TECHNOLGOIE5	Statické	Statický vitr	Žádný



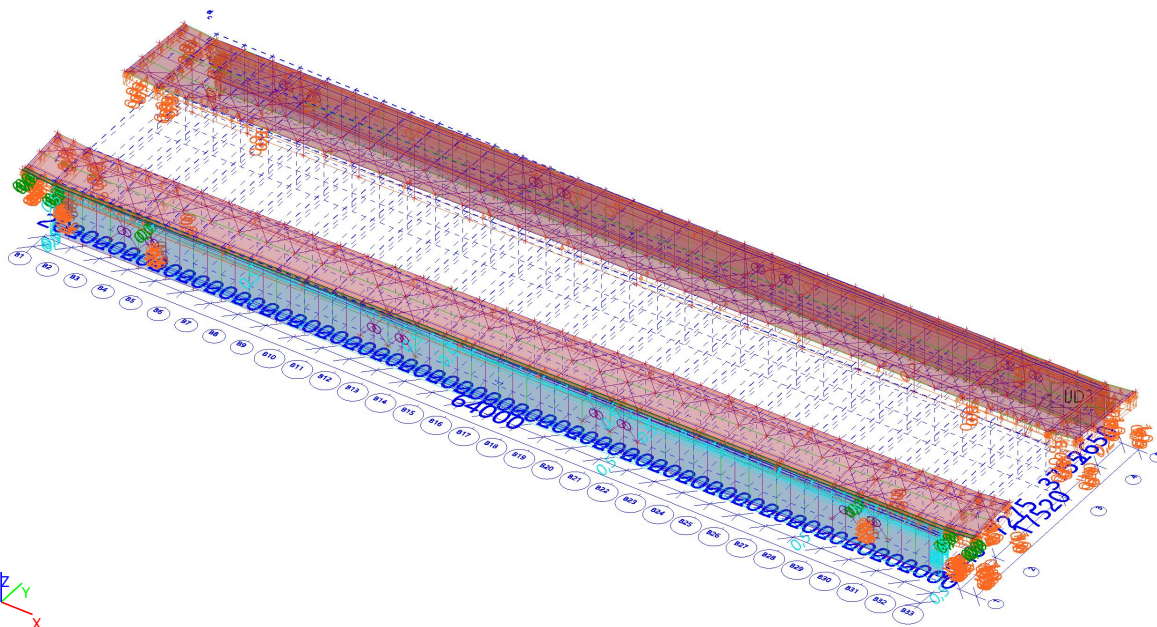
24.13. Zatěžovací stavy - 3DVitr7

Jméno	Popis	Typ působení	Skupina zatížení	Typ zatížení	Spec	Řídicí zat. stav
3DVitr7	90, - CPE, + CPI	Proměnné	TECHNOLGOIE5	Statické	Statický vitr	Žádný



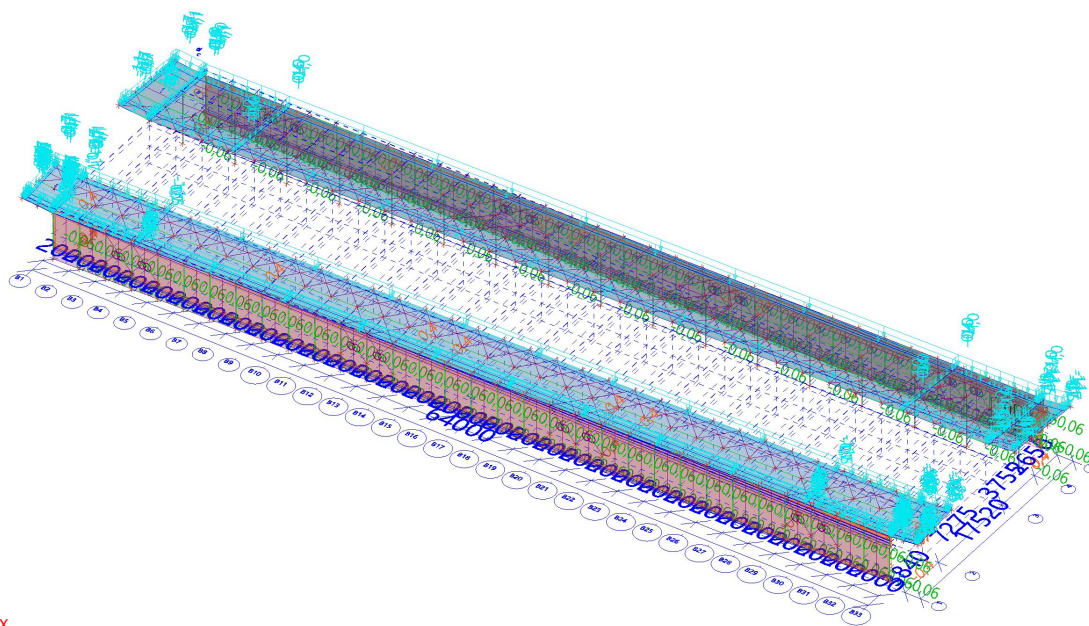
24.14. Zatěžovací stavy - 3DVitr8

Jméno	Popis	Typ působení	Skupina zatížení	Typ zatížení	Spec	Řídící zat. stav
3DVitr8	90, - CPE, - CPI	Proměnné	TECHNOLGOIE5	Statické	Statický vítr	Žádný



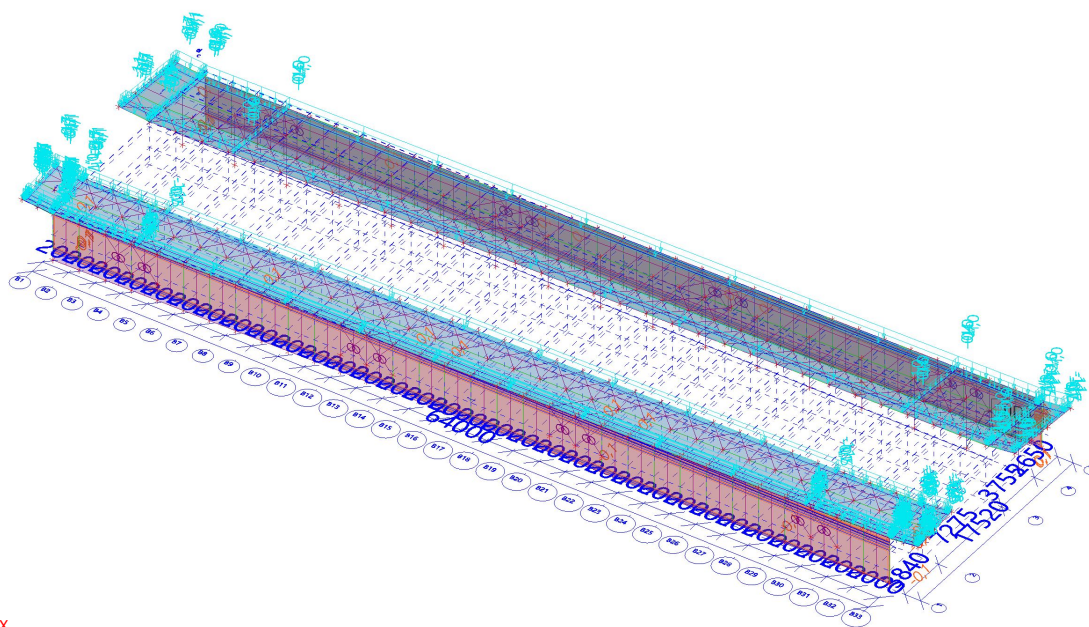
24.15. Zatěžovací stavy - 3DVitr9

Jméno	Popis	Typ působení	Skupina zatížení	Typ zatížení	Spec	Řídící zat. stav
3DVitr9	180, + CPE, + CPI	Proměnné	TECHNOLGOIE5	Statické	Statický vítr	Žádný



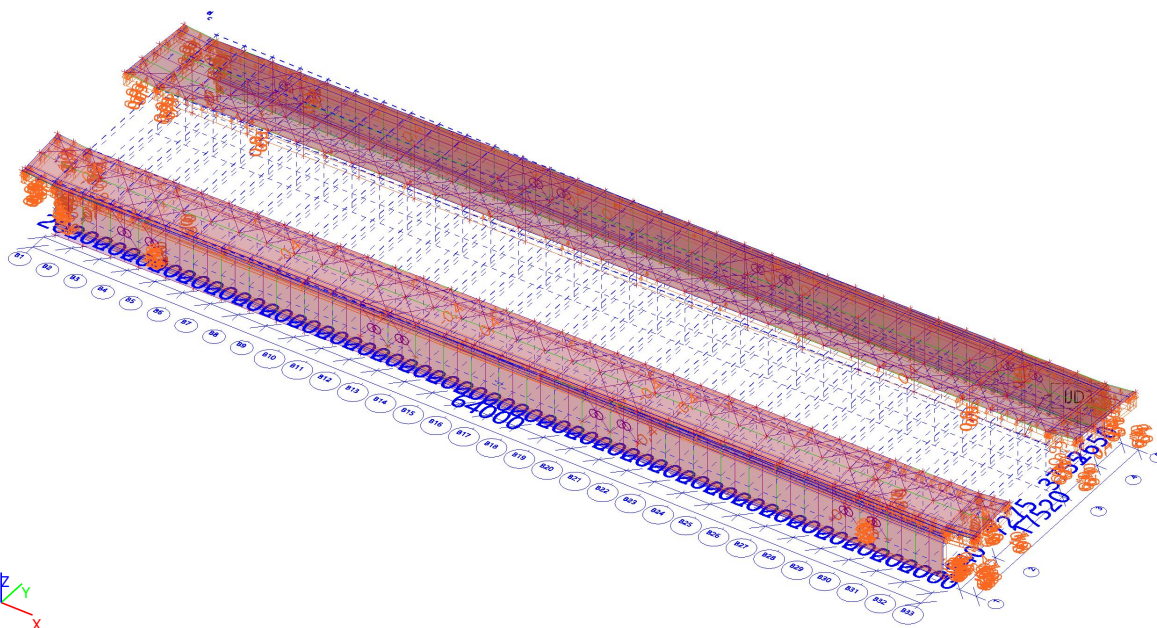
24.16. Zatěžovací stavy - 3DVitr10

Jméno	Popis	Typ působení	Skupina zatížení	Typ zatížení	Spec	Řídící zat. stav
3DVitr10	180, + CPE, - CPI	Proměnné	TECHNOLGOIE5	Statické	Statický vítr	Žádný



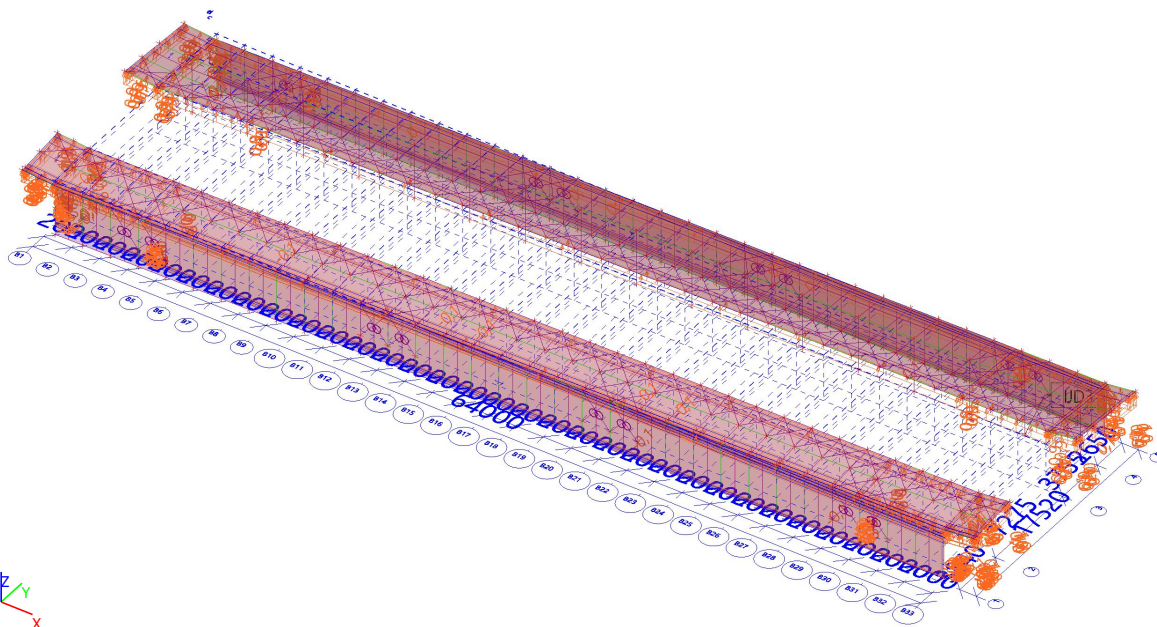
24.17. Zatěžovací stavy - 3DVitr11

Jméno	Popis	Typ působení	Skupina zatížení	Typ zatížení	Spec	Řídící zat. stav
3DVitr11	180, - CPE, + CPI	Proměnné	TECHNOLGOIE5	Statické	Statický vítr	Žádný



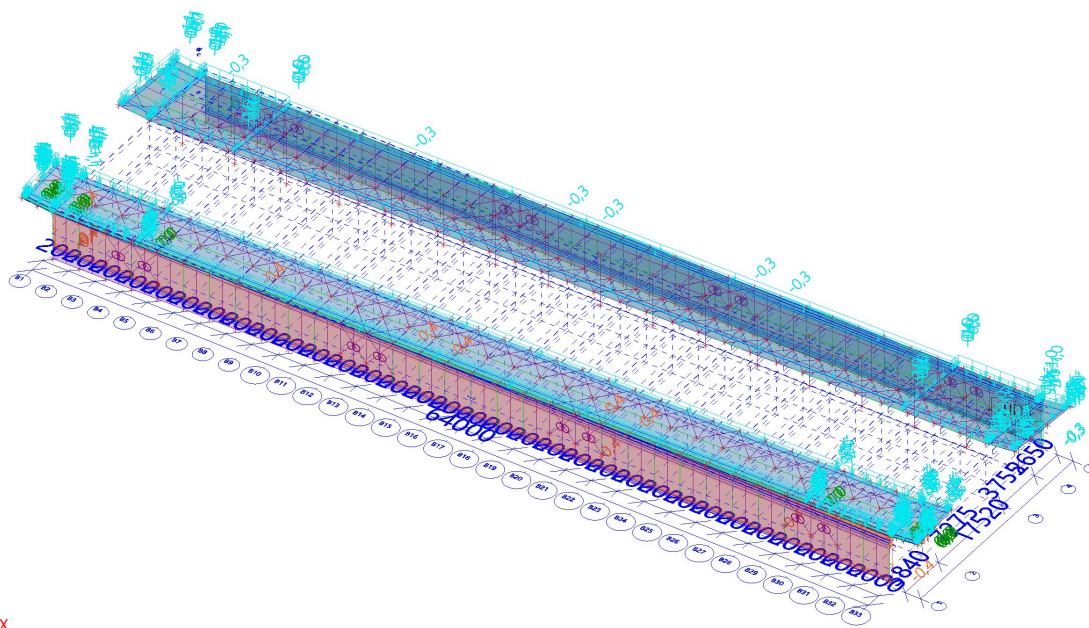
24.18. Zatěžovací stavy - 3DVitr12

Jméno	Popis	Typ působení	Skupina zatížení	Typ zatížení	Spec	Řídicí zat. stav
3DVitr12	180, - CPE, - CPI	Proměnné	TECHNOLGOIE5	Statické	Statický vitr	Žádný



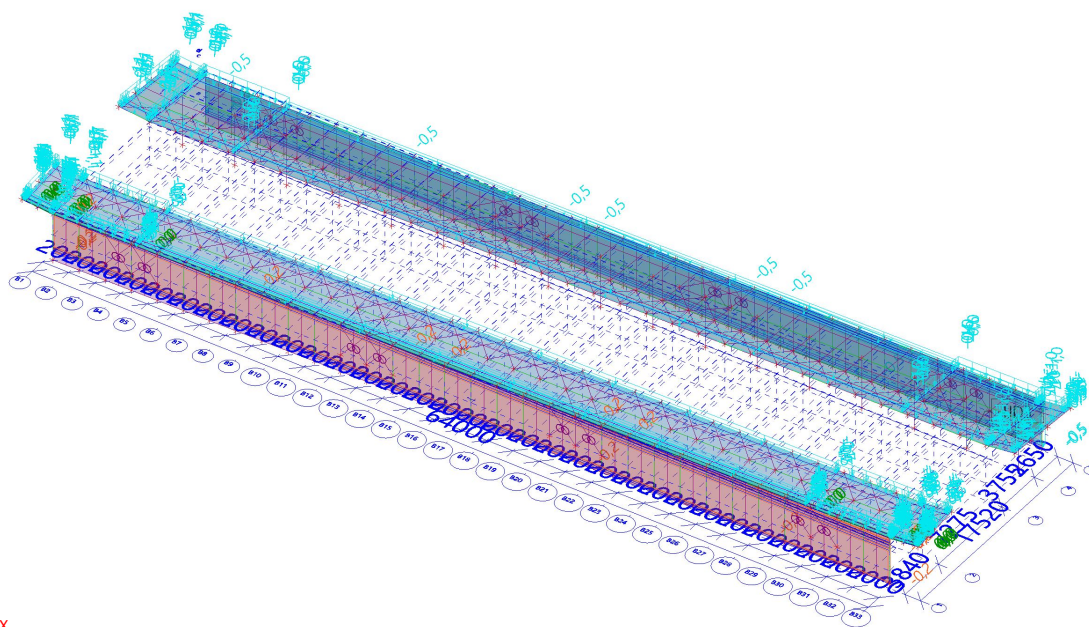
24.19. Zatěžovací stavy - 3DVitr13

Jméno	Popis	Typ působení	Skupina zatížení	Typ zatížení	Spec	Řídicí zat. stav
3DVitr13	270, + CPE, + CPI	Proměnné	TECHNOLGOIE5	Statické	Statický vitr	Žádný



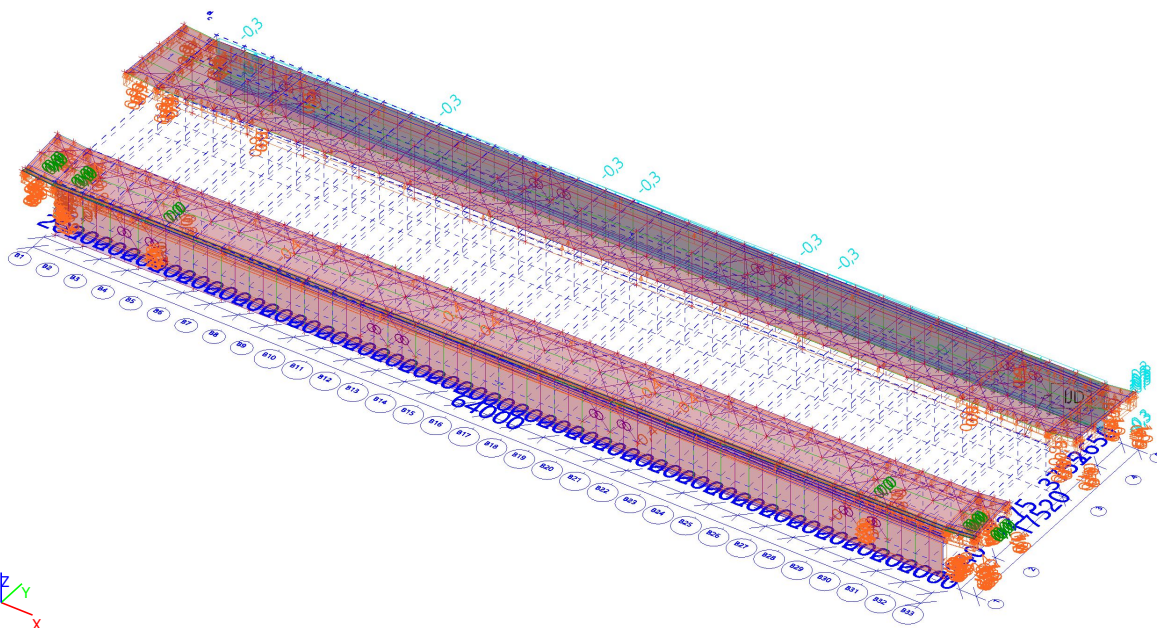
24.20. Zatěžovací stavy - 3DVitr14

Jméno	Popis	Typ působení	Skupina zatížení	Typ zatížení	Spec	Řídící zat. stav
3DVitr14	270, + CPE, - CPI	Proměnné	TECHNOLGOIE5	Statické	Statický vítr	Žádný



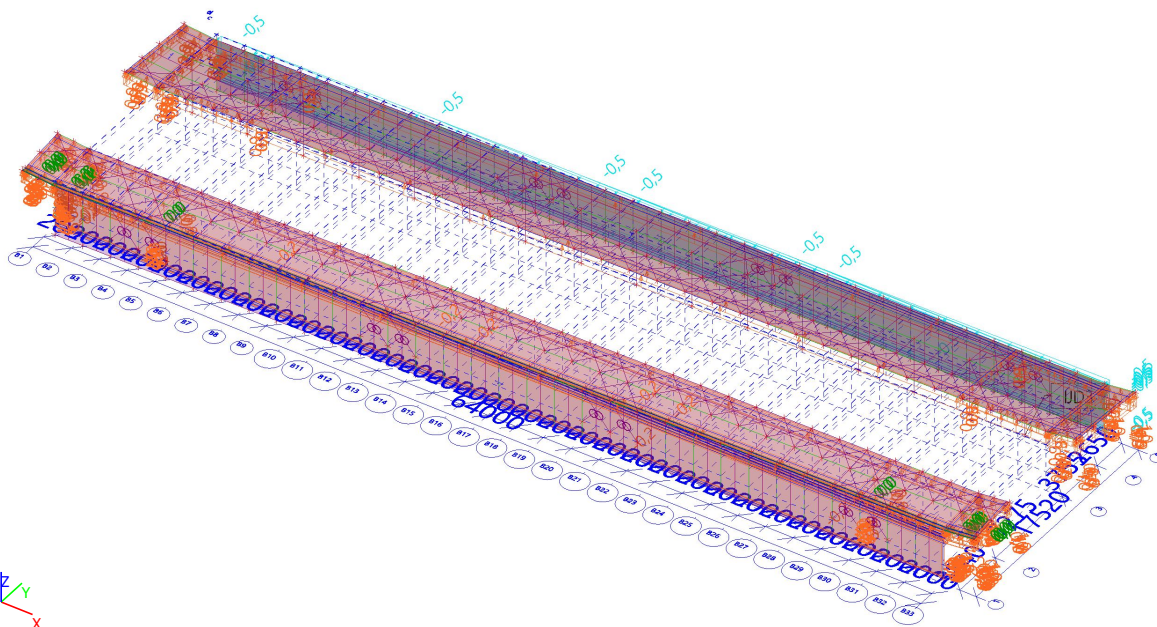
24.21. Zatěžovací stavy - 3DVitr15

Jméno	Popis	Typ působení	Skupina zatížení	Typ zatížení	Spec	Řídící zat. stav
3DVitr15	270, - CPE, + CPI	Proměnné	TECHNOLGOIE5	Statické	Statický vítr	Žádný



24.22. Zatěžovací stavy - 3DVitr16

Jméno	Popis	Typ působení	Skupina zatížení	Typ zatížení	Spec	Řídící zat. stav
3DVitr16	270, - CPE, - CPI	Proměnné	TECHNOLGOIE5	Statické	Statický vitr	Žádný



25. Zatěžovací stavy

Jméno	Popis	Typ působení	Skupina zatížení	Typ zatížení	Spec	Směr	Působení	Řídící zat. s
ZS1	Vlastní tíha	Stálé	SZ1	Vlastní tíha		-Z		
ZS2	STŘEŠNÍ PLÁŠŤ	Stálé	SZ1	Standard				
ZS3	STĚNOVÝ PLÁŠŤ	Stálé	SZ1	Standard				
ZS4	UZITNE NA STRESE	Proměnné	UZITNE NA STRESE	Statické	Standard		Krátkodobé	Žádný
ZS5	SNIH	Proměnné	SNIH	Statické	Standard		Krátkodobé	Žádný
ZS6	TECHNOLOGIE POD STRECHOU	Proměnné	TECHNOLGOIE	Statické	Standard		Krátkodobé	Žádný

Projekt RNR

Jméno	Popis	Typ působení	Skupina zatížení	Typ zatížení	Spec	Směr	Působení	Řídící zat. s
3DVítr1	0, + CPE, + CPI	Proměnné	TECHNOLGOIE5	Statické	Statický vítr			Žádný
3DVítr2	0, + CPE, - CPI	Proměnné	TECHNOLGOIE5	Statické	Statický vítr			Žádný
3DVítr3	0, - CPE, + CPI	Proměnné	TECHNOLGOIE5	Statické	Statický vítr			Žádný
3DVítr4	0, - CPE, - CPI	Proměnné	TECHNOLGOIE5	Statické	Statický vítr			Žádný
3DVítr5	90, + CPE, + CPI	Proměnné	TECHNOLGOIE5	Statické	Statický vítr			Žádný
3DVítr6	90, + CPE, - CPI	Proměnné	TECHNOLGOIE5	Statické	Statický vítr			Žádný
3DVítr7	90, - CPE, + CPI	Proměnné	TECHNOLGOIE5	Statické	Statický vítr			Žádný
3DVítr8	90, - CPE, - CPI	Proměnné	TECHNOLGOIE5	Statické	Statický vítr			Žádný
3DVítr9	180, + CPE, + CPI	Proměnné	TECHNOLGOIE5	Statické	Statický vítr			Žádný
3DVítr10	180, + CPE, - CPI	Proměnné	TECHNOLGOIE5	Statické	Statický vítr			Žádný
3DVítr11	180, - CPE, + CPI	Proměnné	TECHNOLGOIE5	Statické	Statický vítr			Žádný
3DVítr12	180, - CPE, - CPI	Proměnné	TECHNOLGOIE5	Statické	Statický vítr			Žádný
3DVítr13	270, + CPE, + CPI	Proměnné	TECHNOLGOIE5	Statické	Statický vítr			Žádný
3DVítr14	270, + CPE, - CPI	Proměnné	TECHNOLGOIE5	Statické	Statický vítr			Žádný
3DVítr15	270, - CPE, + CPI	Proměnné	TECHNOLGOIE5	Statické	Statický vítr			Žádný
3DVítr16	270, - CPE, - CPI	Proměnné	TECHNOLGOIE5	Statické	Statický vítr			Žádný

26. Skupiny zatížení

Jméno	Zatížení	Vztah	Typ
SZ1	Stálé		
UZITNE NA STRESE	Proměnné	Standard	Kat H : střechy
SNIH	Proměnné	Standard	Sníh
TECHNOLGOIE	Proměnné	Standard	Kat E : sklady
TECHNOLGOIE1	Proměnné	Výběrová	Vítr
TECHNOLGOIE2	Proměnné	Výběrová	Vítr
TECHNOLGOIE3	Proměnné	Výběrová	Vítr
TECHNOLGOIE4	Proměnné	Výběrová	Vítr
TECHNOLGOIE5	Proměnné	Výběrová	Vítr

27. Kombinace

Jméno	Typ	Zatěžovací stavy	Souč. [-]
MSÚ-Sada B (auto)	EN-MSÚ (STR/GEO) Soubor B	ZS1 - Vlastní tíha	1,000
		ZS2 - STŘEŠNÍ PLÁŠŤ	1,000
		ZS3 - STĚNOVÝ PLÁŠŤ	1,000
		ZS4 - UZITNE NA STRESE	1,000
		ZS5 - SNIH	1,000
		ZS6 - TECHNOLOGIE POD STRECHOU	1,000
		3DVítr1 - 0, + CPE, + CPI	1,000
		3DVítr2 - 0, + CPE, - CPI	1,000
		3DVítr3 - 0, - CPE, + CPI	1,000
		3DVítr4 - 0, - CPE, - CPI	1,000
		3DVítr5 - 90, + CPE, + CPI	1,000
		3DVítr6 - 90, + CPE, - CPI	1,000
		3DVítr7 - 90, - CPE, + CPI	1,000
		3DVítr8 - 90, - CPE, - CPI	1,000
		3DVítr9 - 180, + CPE, + CPI	1,000
		3DVítr10 - 180, + CPE, - CPI	1,000
		3DVítr11 - 180, - CPE, + CPI	1,000
MSP-Char (auto)	EN-MSP charakteristická	ZS1 - Vlastní tíha	1,000
		ZS2 - STŘEŠNÍ PLÁŠŤ	1,000
		ZS3 - STĚNOVÝ PLÁŠŤ	1,000
		ZS4 - UZITNE NA STRESE	1,000
		ZS5 - SNIH	1,000
		ZS6 - TECHNOLOGIE POD STRECHOU	1,000
		3DVítr1 - 0, + CPE, + CPI	1,000
		3DVítr2 - 0, + CPE, - CPI	1,000
3DVítr3 - 0, - CPE, + CPI	1,000		
3DVítr4 - 0, - CPE, - CPI	1,000		

Projekt RNR

Jméno	Typ	Zatěžovací stavy	Souč. [-]
		3DVítr5 - 90, + CPE, + CPI	1,000
		3DVítr6 - 90, + CPE, - CPI	1,000
		3DVítr7 - 90, - CPE, + CPI	1,000
		3DVítr8 - 90, - CPE, - CPI	1,000
		3DVítr9 - 180, + CPE, + CPI	1,000
		3DVítr10 - 180, + CPE, - CPI	1,000
		3DVítr11 - 180, - CPE, + CPI	1,000
		3DVítr12 - 180, - CPE, - CPI	1,000
		3DVítr13 - 270, + CPE, + CPI	1,000
		3DVítr14 - 270, + CPE, - CPI	1,000
		3DVítr15 - 270, - CPE, + CPI	1,000
		3DVítr16 - 270, - CPE, - CPI	1,000

28. Nelineární kombinace

Prázdná tabulka

29. Skupiny výsledků

Jméno	Výpis
Všechny MSÚ	MSÚ-Sada B (auto) - EN-MSÚ (STR/GEO) Soubor B
Všechny MSP	MSP-Char (auto) - EN-MSP charakteristická
Vše MSÚ+MSP	MSÚ-Sada B (auto) - EN-MSÚ (STR/GEO) Soubor B MSP-Char (auto) - EN-MSP charakteristická

30. Reakce

Lineární výpočet
 Kombinace: MSÚ-Sada B (auto)
 Systém: Globální
 Extrém: Dílec
 Výběr: Vše
Uzlové reakce

Jméno	Stav	R _x [kN]	R _y [kN]	R _z [kN]	M _x [kNm]	M _y [kNm]	M _z [kNm]
Sn1/N1	MSÚ-Sada B (auto)/1	0,20	4,32	18,40	-13,27	0,00	0,44
Sn1/N1	MSÚ-Sada B (auto)/2	-1,15	9,30	83,35	79,74	0,00	1,76
Sn1/N1	MSÚ-Sada B (auto)/3	-1,30	8,73	84,20	84,44	0,00	2,04
Sn1/N1	MSÚ-Sada B (auto)/4	0,17	4,23	18,08	-13,65	0,00	0,37
Sn1/N1	MSÚ-Sada B (auto)/5	-1,22	2,90	79,19	93,98	0,00	1,98
Sn1/N1	MSÚ-Sada B (auto)/6	-1,76	8,63	76,48	74,09	0,00	1,91
Sn1/N1	MSÚ-Sada B (auto)/7	0,04	-0,54	17,77	-0,96	0,00	0,07
Sn1/N1	MSÚ-Sada B (auto)/8	-1,06	7,76	79,83	81,68	0,00	2,34
Sn2/N5	MSÚ-Sada B (auto)/9	0,75	-0,65	31,55	56,71	0,00	1,34
Sn2/N5	MSÚ-Sada B (auto)/5	0,19	-9,39	41,87	103,95	0,00	1,48
Sn2/N5	MSÚ-Sada B (auto)/4	0,43	4,98	13,95	-15,61	0,00	0,38
Sn2/N5	MSÚ-Sada B (auto)/10	0,25	-7,01	42,32	91,09	0,00	1,38
Sn2/N5	MSÚ-Sada B (auto)/1	0,47	5,38	14,33	-15,71	0,00	0,45
Sn2/N5	MSÚ-Sada B (auto)/11	0,15	-8,01	42,02	104,07	0,00	1,28
Sn2/N5	MSÚ-Sada B	-0,40	-2,21	35,56	78,77	0,00	1,32

Projekt RNR

Jméno	Stav	R _x [kN]	R _y [kN]	R _z [kN]	M _x [kNm]	M _y [kNm]	M _z [kNm]
	(auto)/12						
Sn2/N5	MSÚ-Sada B (auto)/7	0,28	-2,35	14,85	0,58	0,00	0,07
Sn2/N5	MSÚ-Sada B (auto)/8	0,38	-1,66	41,36	87,66	0,00	1,86
Sn3/N9	MSÚ-Sada B (auto)/9	0,78	-2,28	35,55	55,12	0,00	1,01
Sn3/N9	MSÚ-Sada B (auto)/5	0,29	-12,52	44,90	104,43	0,00	1,12
Sn3/N9	MSÚ-Sada B (auto)/13	0,33	2,97	15,45	-12,46	0,00	0,20
Sn3/N9	MSÚ-Sada B (auto)/14	0,42	-4,86	45,72	80,27	0,00	1,21
Sn3/N9	MSÚ-Sada B (auto)/1	0,42	6,06	16,19	-18,36	0,00	0,36
Sn3/N9	MSÚ-Sada B (auto)/11	0,23	-12,05	44,96	106,18	0,00	0,90
Sn3/N9	MSÚ-Sada B (auto)/12	-0,34	-5,25	36,83	79,27	0,00	0,92
Sn3/N9	MSÚ-Sada B (auto)/15	0,20	-5,95	21,88	28,55	0,00	0,02
Sn3/N9	MSÚ-Sada B (auto)/16	0,51	-0,51	39,21	57,53	0,00	1,46
Sn4/N13	MSÚ-Sada B (auto)/9	0,83	3,32	26,82	27,59	0,00	0,00
Sn4/N13	MSÚ-Sada B (auto)/17	0,35	-5,13	9,68	5,64	0,00	0,00
Sn4/N13	MSÚ-Sada B (auto)/18	0,41	5,70	34,82	40,14	0,00	0,01
Sn4/N13	MSÚ-Sada B (auto)/4	0,47	1,68	6,78	-9,76	0,00	0,00
Sn4/N13	MSÚ-Sada B (auto)/1	0,51	2,12	7,05	-10,29	0,00	0,00
Sn4/N13	MSÚ-Sada B (auto)/11	0,21	0,03	39,05	56,46	0,00	0,00
Sn4/N13	MSÚ-Sada B (auto)/12	-0,38	4,36	32,76	39,87	0,00	0,00
Sn4/N13	MSÚ-Sada B (auto)/15	0,25	-4,11	15,33	17,97	0,00	0,00
Sn4/N13	MSÚ-Sada B (auto)/16	0,51	4,67	29,17	27,81	0,00	0,01
Sn5/N17	MSÚ-Sada B (auto)/9	0,51	2,47	24,50	27,52	0,00	0,00
Sn5/N17	MSÚ-Sada B (auto)/19	0,11	-5,99	24,33	43,84	0,00	0,00
Sn5/N17	MSÚ-Sada B (auto)/20	0,26	4,66	16,31	2,32	0,00	0,00
Sn5/N17	MSÚ-Sada B (auto)/21	-0,29	2,73	37,45	49,03	0,00	0,00
Sn5/N17	MSÚ-Sada B (auto)/1	0,35	3,91	7,94	-12,99	0,00	0,00
Sn5/N17	MSÚ-Sada B (auto)/5	0,02	-5,24	32,70	59,14	0,00	0,01
Sn5/N17	MSÚ-Sada B (auto)/12	-0,43	3,26	32,14	40,71	0,00	0,00
Sn5/N17	MSÚ-Sada B (auto)/7	0,21	-3,66	8,40	1,84	0,00	0,00
Sn5/N17	MSÚ-Sada B (auto)/8	0,17	2,33	32,24	44,31	0,00	0,01
Sn6/N21	MSÚ-Sada B (auto)/22	0,16	2,63	23,00	24,90	0,00	0,00
Sn6/N21	MSÚ-Sada B (auto)/19	0,00	-5,72	24,44	42,30	0,00	0,00
Sn6/N21	MSÚ-Sada B (auto)/20	0,00	4,69	17,04	2,38	0,00	0,00
Sn6/N21	MSÚ-Sada B	0,00	1,05	36,75	52,83	0,00	0,00

Projekt RNR

Jméno	Stav	R _x [kN]	R _y [kN]	R _z [kN]	M _x [kNm]	M _y [kNm]	M _z [kNm]
	(auto)/23						
Sn6/N21	MSÚ-Sada B (auto)/1	0,00	4,19	8,91	-13,87	0,00	0,00
Sn6/N21	MSÚ-Sada B (auto)/11	0,00	-2,59	36,15	59,38	0,00	0,00
Sn6/N21	MSÚ-Sada B (auto)/6	-0,16	3,15	33,57	43,05	0,00	0,00
Sn6/N21	MSÚ-Sada B (auto)/7	0,00	-3,68	8,94	1,81	0,00	0,00
Sn6/N21	MSÚ-Sada B (auto)/8	0,00	2,65	32,54	42,86	0,00	0,01
Sn7/N25	MSÚ-Sada B (auto)/22	0,16	2,74	23,01	24,61	0,00	0,00
Sn7/N25	MSÚ-Sada B (auto)/24	0,00	-5,45	22,05	39,21	0,00	0,00
Sn7/N25	MSÚ-Sada B (auto)/25	0,00	4,68	19,46	4,48	0,00	0,00
Sn7/N25	MSÚ-Sada B (auto)/23	0,00	0,76	36,71	53,89	0,00	0,00
Sn7/N25	MSÚ-Sada B (auto)/1	0,00	4,38	8,93	-14,45	0,00	0,00
Sn7/N25	MSÚ-Sada B (auto)/11	0,00	-2,74	36,14	59,85	0,00	0,00
Sn7/N25	MSÚ-Sada B (auto)/6	-0,16	3,06	33,55	43,46	0,00	0,00
Sn7/N25	MSÚ-Sada B (auto)/7	0,00	-3,72	8,94	1,81	0,00	0,00
Sn7/N25	MSÚ-Sada B (auto)/8	0,00	2,95	32,57	41,87	0,00	0,01
Sn8/N29	MSÚ-Sada B (auto)/22	0,16	2,79	23,01	24,54	0,00	0,00
Sn8/N29	MSÚ-Sada B (auto)/24	0,00	-5,30	22,07	38,55	0,00	0,00
Sn8/N29	MSÚ-Sada B (auto)/25	0,00	4,67	19,46	4,63	0,00	0,00
Sn8/N29	MSÚ-Sada B (auto)/21	-0,10	1,98	36,69	51,84	0,00	0,00
Sn8/N29	MSÚ-Sada B (auto)/1	0,00	4,51	8,94	-14,79	0,00	0,00
Sn8/N29	MSÚ-Sada B (auto)/11	0,00	-2,89	36,12	60,28	0,00	0,00
Sn8/N29	MSÚ-Sada B (auto)/6	-0,16	2,97	33,54	43,89	0,00	0,00
Sn8/N29	MSÚ-Sada B (auto)/7	0,00	-3,76	8,94	1,82	0,00	0,00
Sn8/N29	MSÚ-Sada B (auto)/8	0,00	3,13	32,59	41,36	0,00	0,01
Sn9/N33	MSÚ-Sada B (auto)/26	0,16	2,86	31,09	42,39	0,00	0,00
Sn9/N33	MSÚ-Sada B (auto)/24	0,00	-5,25	22,08	38,24	0,00	0,00
Sn9/N33	MSÚ-Sada B (auto)/25	0,00	4,66	19,45	4,77	0,00	0,00
Sn9/N33	MSÚ-Sada B (auto)/21	-0,10	1,83	36,67	52,43	0,00	0,00
Sn9/N33	MSÚ-Sada B (auto)/1	0,00	4,59	8,94	-14,97	0,00	0,00
Sn9/N33	MSÚ-Sada B (auto)/11	0,00	-3,01	36,11	60,65	0,00	0,00
Sn9/N33	MSÚ-Sada B (auto)/27	-0,16	2,82	25,44	26,49	0,00	0,00
Sn9/N33	MSÚ-Sada B (auto)/7	0,00	-3,80	8,94	1,84	0,00	0,00
Sn9/N33	MSÚ-Sada B (auto)/8	0,00	3,21	32,60	41,17	0,00	0,01
Sn10/N37	MSÚ-Sada B	0,16	2,81	31,08	42,70	0,00	0,00

Projekt RNR

Jméno	Stav	R _x [kN]	R _y [kN]	R _z [kN]	M _x [kNm]	M _y [kNm]	M _z [kNm]
	(auto)/26						
Sn10/N37	MSÚ-Sada B (auto)/24	0,00	-5,26	22,09	38,14	0,00	0,00
Sn10/N37	MSÚ-Sada B (auto)/25	0,00	4,66	19,45	4,89	0,00	0,00
Sn10/N37	MSÚ-Sada B (auto)/21	-0,10	1,73	36,66	52,85	0,00	0,00
Sn10/N37	MSÚ-Sada B (auto)/1	0,00	4,64	8,94	-15,03	0,00	0,00
Sn10/N37	MSÚ-Sada B (auto)/11	0,00	-3,11	36,10	60,93	0,00	0,00
Sn10/N37	MSÚ-Sada B (auto)/27	-0,16	2,81	25,44	26,63	0,00	0,00
Sn10/N37	MSÚ-Sada B (auto)/7	0,00	-3,85	8,94	1,86	0,00	0,00
Sn10/N37	MSÚ-Sada B (auto)/8	0,00	3,24	32,60	41,17	0,00	0,01
Sn11/N41	MSÚ-Sada B (auto)/26	0,16	2,77	31,07	42,93	0,00	0,00
Sn11/N41	MSÚ-Sada B (auto)/5	0,00	-5,31	32,59	58,19	0,00	0,00
Sn11/N41	MSÚ-Sada B (auto)/21	-0,10	1,67	36,65	53,13	0,00	0,00
Sn11/N41	MSÚ-Sada B (auto)/1	0,00	4,67	8,94	-15,04	0,00	0,00
Sn11/N41	MSÚ-Sada B (auto)/11	0,00	-3,19	36,10	61,14	0,00	0,00
Sn11/N41	MSÚ-Sada B (auto)/27	-0,16	2,79	25,43	26,79	0,00	0,00
Sn11/N41	MSÚ-Sada B (auto)/7	0,00	-3,89	8,94	1,89	0,00	0,00
Sn11/N41	MSÚ-Sada B (auto)/8	0,00	3,25	32,59	41,27	0,00	0,00
Sn12/N45	MSÚ-Sada B (auto)/28	0,37	2,81	34,10	45,00	0,00	0,00
Sn12/N45	MSÚ-Sada B (auto)/29	-0,07	-5,33	29,86	56,26	0,00	0,00
Sn12/N45	MSÚ-Sada B (auto)/30	0,22	4,74	12,28	-13,08	0,00	0,00
Sn12/N45	MSÚ-Sada B (auto)/2	0,26	1,68	37,03	53,29	0,00	0,00
Sn12/N45	MSÚ-Sada B (auto)/1	0,21	4,73	9,82	-15,05	0,00	0,00
Sn12/N45	MSÚ-Sada B (auto)/11	0,00	-3,21	35,97	61,23	0,00	0,00
Sn12/N45	MSÚ-Sada B (auto)/31	-0,55	2,84	21,80	24,87	0,00	0,00
Sn12/N45	MSÚ-Sada B (auto)/7	0,21	-3,91	9,75	1,88	0,00	0,00
Sn12/N45	MSÚ-Sada B (auto)/8	-0,06	3,31	32,39	41,30	0,00	0,00
Sn13/N49	MSÚ-Sada B (auto)/9	0,39	2,97	25,83	26,57	0,00	0,00
Sn13/N49	MSÚ-Sada B (auto)/29	-0,22	-5,28	30,54	56,02	0,00	0,00
Sn13/N49	MSÚ-Sada B (auto)/30	0,34	4,82	11,74	-13,17	0,00	0,00
Sn13/N49	MSÚ-Sada B (auto)/32	-0,15	0,23	37,15	56,10	0,00	0,00
Sn13/N49	MSÚ-Sada B (auto)/1	0,33	4,81	9,27	-15,12	0,00	0,00
Sn13/N49	MSÚ-Sada B (auto)/11	-0,14	-3,17	36,58	61,09	0,00	0,00
Sn13/N49	MSÚ-Sada B (auto)/12	-0,85	2,92	31,47	42,77	0,00	0,00
Sn13/N49	MSÚ-Sada B	0,31	-3,93	9,30	1,94	0,00	0,00

Projekt RNR

Jméno	Stav	R _x [kN]	R _y [kN]	R _z [kN]	M _x [kNm]	M _y [kNm]	M _z [kNm]
	(auto)/7						
Sn13/N49	MSÚ-Sada B (auto)/8	-0,19	3,47	32,98	40,91	0,00	0,00
Sn17/N65	MSÚ-Sada B (auto)/28	0,16	3,00	33,51	44,71	0,00	0,00
Sn17/N65	MSÚ-Sada B (auto)/29	0,00	-5,50	30,17	56,03	0,00	0,00
Sn17/N65	MSÚ-Sada B (auto)/30	0,00	4,90	11,37	-13,19	0,00	0,00
Sn17/N65	MSÚ-Sada B (auto)/7	0,00	-4,16	8,94	2,01	0,00	0,00
Sn17/N65	MSÚ-Sada B (auto)/21	-0,10	1,77	36,65	53,15	0,00	0,00
Sn17/N65	MSÚ-Sada B (auto)/11	0,00	-3,33	36,10	61,12	0,00	0,00
Sn17/N65	MSÚ-Sada B (auto)/31	-0,16	3,04	23,01	24,57	0,00	0,00
Sn17/N65	MSÚ-Sada B (auto)/1	0,00	4,89	8,95	-15,15	0,00	0,00
Sn17/N65	MSÚ-Sada B (auto)/2	0,10	1,77	36,64	53,15	0,00	0,00
Sn18/N69	MSÚ-Sada B (auto)/28	0,16	3,02	33,50	44,77	0,00	0,00
Sn18/N69	MSÚ-Sada B (auto)/29	0,00	-5,56	30,17	56,09	0,00	0,00
Sn18/N69	MSÚ-Sada B (auto)/30	0,00	4,95	11,38	-13,25	0,00	0,00
Sn18/N69	MSÚ-Sada B (auto)/7	0,00	-4,19	8,94	1,96	0,00	0,00
Sn18/N69	MSÚ-Sada B (auto)/21	-0,10	1,78	36,64	53,19	0,00	0,00
Sn18/N69	MSÚ-Sada B (auto)/11	0,00	-3,37	36,10	61,17	0,00	0,00
Sn18/N69	MSÚ-Sada B (auto)/31	-0,16	3,06	23,01	24,60	0,00	0,00
Sn18/N69	MSÚ-Sada B (auto)/1	0,00	4,94	8,95	-15,21	0,00	0,00
Sn18/N69	MSÚ-Sada B (auto)/2	0,10	1,77	36,64	53,21	0,00	0,00
Sn19/N73	MSÚ-Sada B (auto)/28	0,16	3,03	33,50	44,84	0,00	0,00
Sn19/N73	MSÚ-Sada B (auto)/29	0,00	-5,61	30,17	56,14	0,00	0,00
Sn19/N73	MSÚ-Sada B (auto)/30	0,00	5,00	11,38	-13,30	0,00	0,00
Sn19/N73	MSÚ-Sada B (auto)/7	0,00	-4,22	8,94	1,93	0,00	0,00
Sn19/N73	MSÚ-Sada B (auto)/21	-0,10	1,78	36,64	53,25	0,00	0,00
Sn19/N73	MSÚ-Sada B (auto)/11	0,00	-3,41	36,10	61,22	0,00	0,00
Sn19/N73	MSÚ-Sada B (auto)/31	-0,16	3,08	23,01	24,63	0,00	0,00
Sn19/N73	MSÚ-Sada B (auto)/1	0,00	4,99	8,95	-15,26	0,00	0,00
Sn19/N73	MSÚ-Sada B (auto)/2	0,10	1,77	36,64	53,27	0,00	0,00
Sn20/N77	MSÚ-Sada B (auto)/28	0,31	3,09	33,89	44,84	0,00	0,00
Sn20/N77	MSÚ-Sada B (auto)/29	-0,14	-5,62	29,61	56,13	0,00	0,00
Sn20/N77	MSÚ-Sada B (auto)/30	0,21	5,07	12,24	-13,36	0,00	0,00
Sn20/N77	MSÚ-Sada B (auto)/11	-0,04	-3,40	35,80	61,22	0,00	0,00
Sn20/N77	MSÚ-Sada B	-0,60	3,15	21,55	24,61	0,00	0,00

Projekt RNR

Jméno	Stav	R _x [kN]	R _y [kN]	R _z [kN]	M _x [kNm]	M _y [kNm]	M _z [kNm]
	(auto)/31						
Sn20/N77	MSÚ-Sada B (auto)/1	0,21	5,06	9,80	-15,31	0,00	0,00
Sn20/N77	MSÚ-Sada B (auto)/2	0,23	1,82	36,91	53,27	0,00	0,00
Sn21/N81	MSÚ-Sada B (auto)/15	0,34	-4,30	17,44	20,16	0,00	0,00
Sn21/N81	MSÚ-Sada B (auto)/29	-0,35	-5,62	30,55	56,06	0,00	0,00
Sn21/N81	MSÚ-Sada B (auto)/30	0,31	5,09	11,74	-13,19	0,00	0,00
Sn21/N81	MSÚ-Sada B (auto)/11	-0,22	-3,37	36,59	61,12	0,00	0,00
Sn21/N81	MSÚ-Sada B (auto)/27	-0,96	3,22	25,83	26,54	0,00	0,00
Sn21/N81	MSÚ-Sada B (auto)/1	0,31	5,07	9,26	-15,15	0,00	0,00
Sn21/N81	MSÚ-Sada B (auto)/23	-0,21	0,27	37,16	56,10	0,00	0,00
Sn22/N85	MSÚ-Sada B (auto)/29	-0,30	-5,65	31,03	56,09	0,00	0,00
Sn22/N85	MSÚ-Sada B (auto)/30	0,20	4,99	10,94	-12,89	0,00	0,00
Sn22/N85	MSÚ-Sada B (auto)/7	0,21	-4,34	8,42	2,17	0,00	0,00
Sn22/N85	MSÚ-Sada B (auto)/21	-0,51	1,89	37,76	53,09	0,00	0,00
Sn22/N85	MSÚ-Sada B (auto)/11	-0,23	-3,39	36,69	61,10	0,00	0,00
Sn22/N85	MSÚ-Sada B (auto)/6	-0,76	3,16	35,28	44,71	0,00	0,00
Sn22/N85	MSÚ-Sada B (auto)/1	0,21	4,98	8,48	-14,86	0,00	0,00
Sn22/N85	MSÚ-Sada B (auto)/23	-0,23	0,26	37,20	56,02	0,00	0,00
Sn23/N89	MSÚ-Sada B (auto)/28	0,16	3,16	33,51	44,58	0,00	0,00
Sn23/N89	MSÚ-Sada B (auto)/29	0,00	-5,68	30,17	56,08	0,00	0,00
Sn23/N89	MSÚ-Sada B (auto)/7	0,00	-4,37	8,94	2,15	0,00	0,00
Sn23/N89	MSÚ-Sada B (auto)/21	-0,10	1,89	36,65	52,99	0,00	0,00
Sn23/N89	MSÚ-Sada B (auto)/1	0,00	4,96	8,94	-14,89	0,00	0,00
Sn23/N89	MSÚ-Sada B (auto)/11	0,00	-3,41	36,10	61,04	0,00	0,00
Sn23/N89	MSÚ-Sada B (auto)/31	-0,16	3,15	23,01	24,63	0,00	0,00
Sn23/N89	MSÚ-Sada B (auto)/30	0,00	4,96	11,36	-12,91	0,00	0,00
Sn23/N89	MSÚ-Sada B (auto)/33	0,00	0,26	34,22	53,96	0,00	0,00
Sn24/N93	MSÚ-Sada B (auto)/34	0,16	3,19	27,75	31,62	0,00	0,00
Sn24/N93	MSÚ-Sada B (auto)/24	0,00	-5,70	22,09	38,11	0,00	0,00
Sn24/N93	MSÚ-Sada B (auto)/25	0,00	5,01	19,45	4,94	0,00	0,00
Sn24/N93	MSÚ-Sada B (auto)/7	0,00	-4,34	8,94	2,06	0,00	0,00
Sn24/N93	MSÚ-Sada B (auto)/21	-0,10	1,95	36,66	52,77	0,00	0,00
Sn24/N93	MSÚ-Sada B (auto)/1	0,00	4,98	8,94	-14,97	0,00	0,00
Sn24/N93	MSÚ-Sada B	0,00	-3,37	36,11	60,90	0,00	0,00

Projekt RNR

Jméno	Stav	R _x [kN]	R _y [kN]	R _z [kN]	M _x [kNm]	M _y [kNm]	M _z [kNm]
	(auto)/11						
Sn24/N93	MSÚ-Sada B (auto)/35	-0,16	3,18	28,77	37,37	0,00	0,00
Sn24/N93	MSÚ-Sada B (auto)/30	0,00	4,98	11,37	-13,02	0,00	0,00
Sn24/N93	MSÚ-Sada B (auto)/33	0,00	0,32	34,23	53,75	0,00	0,00
Sn25/N97	MSÚ-Sada B (auto)/28	0,16	3,27	33,52	44,20	0,00	0,00
Sn25/N97	MSÚ-Sada B (auto)/24	0,00	-5,75	22,08	38,32	0,00	0,00
Sn25/N97	MSÚ-Sada B (auto)/25	0,00	5,07	19,45	4,71	0,00	0,00
Sn25/N97	MSÚ-Sada B (auto)/21	-0,10	2,05	36,67	52,42	0,00	0,00
Sn25/N97	MSÚ-Sada B (auto)/1	0,00	5,00	8,94	-15,03	0,00	0,00
Sn25/N97	MSÚ-Sada B (auto)/11	0,00	-3,31	36,11	60,70	0,00	0,00
Sn25/N97	MSÚ-Sada B (auto)/31	-0,16	3,18	23,01	24,53	0,00	0,00
Sn25/N97	MSÚ-Sada B (auto)/30	0,00	5,00	11,37	-13,08	0,00	0,00
Sn25/N97	MSÚ-Sada B (auto)/33	0,00	0,42	34,24	53,40	0,00	0,00
Sn26/N101	MSÚ-Sada B (auto)/28	0,16	3,35	33,53	43,91	0,00	0,00
Sn26/N101	MSÚ-Sada B (auto)/24	0,00	-5,88	22,07	38,75	0,00	0,00
Sn26/N101	MSÚ-Sada B (auto)/25	0,00	5,15	19,46	4,44	0,00	0,00
Sn26/N101	MSÚ-Sada B (auto)/32	0,00	0,58	36,69	54,79	0,00	0,00
Sn26/N101	MSÚ-Sada B (auto)/1	0,00	4,98	8,94	-14,98	0,00	0,00
Sn26/N101	MSÚ-Sada B (auto)/11	0,00	-3,23	36,12	60,41	0,00	0,00
Sn26/N101	MSÚ-Sada B (auto)/31	-0,16	3,17	23,01	24,56	0,00	0,00
Sn26/N101	MSÚ-Sada B (auto)/30	0,00	4,99	11,37	-13,03	0,00	0,00
Sn26/N101	MSÚ-Sada B (auto)/33	0,00	0,57	34,26	52,84	0,00	0,00
Sn27/N105	MSÚ-Sada B (auto)/28	0,16	3,45	33,54	43,56	0,00	0,00
Sn27/N105	MSÚ-Sada B (auto)/24	0,00	-6,09	22,05	39,51	0,00	0,00
Sn27/N105	MSÚ-Sada B (auto)/25	0,00	5,22	19,47	4,17	0,00	0,00
Sn27/N105	MSÚ-Sada B (auto)/32	0,00	0,80	36,71	53,99	0,00	0,00
Sn27/N105	MSÚ-Sada B (auto)/1	0,00	4,92	8,93	-14,76	0,00	0,00
Sn27/N105	MSÚ-Sada B (auto)/11	0,00	-3,12	36,13	60,03	0,00	0,00
Sn27/N105	MSÚ-Sada B (auto)/31	-0,16	3,12	23,01	24,71	0,00	0,00
Sn27/N105	MSÚ-Sada B (auto)/30	0,00	4,93	11,36	-12,80	0,00	0,00
Sn27/N105	MSÚ-Sada B (auto)/33	0,00	0,80	34,28	52,03	0,00	0,00
Sn28/N109	MSÚ-Sada B (auto)/28	0,16	3,55	33,55	43,19	0,00	0,00
Sn28/N109	MSÚ-Sada B (auto)/19	0,00	-6,42	24,44	42,67	0,00	0,00
Sn28/N109	MSÚ-Sada B	0,00	5,29	17,05	1,95	0,00	0,00

Projekt RNR

Jméno	Stav	R _x [kN]	R _y [kN]	R _z [kN]	M _x [kNm]	M _y [kNm]	M _z [kNm]
	(auto)/20						
Sn28/N109	MSÚ-Sada B (auto)/32	0,00	1,10	36,74	52,93	0,00	0,00
Sn28/N109	MSÚ-Sada B (auto)/1	0,00	4,79	8,92	-14,28	0,00	0,00
Sn28/N109	MSÚ-Sada B (auto)/11	0,00	-3,00	36,15	59,57	0,00	0,00
Sn28/N109	MSÚ-Sada B (auto)/31	-0,16	3,03	23,00	25,06	0,00	0,00
Sn28/N109	MSÚ-Sada B (auto)/30	0,00	4,78	11,35	-12,30	0,00	0,00
Sn28/N109	MSÚ-Sada B (auto)/33	0,00	1,10	34,32	50,95	0,00	0,00
Sn29/N113	MSÚ-Sada B (auto)/15	0,28	-3,48	18,05	16,91	0,00	0,00
Sn29/N113	MSÚ-Sada B (auto)/19	-0,44	-6,72	23,23	44,21	0,00	0,00
Sn29/N113	MSÚ-Sada B (auto)/20	0,14	5,31	17,58	1,81	0,00	0,00
Sn29/N113	MSÚ-Sada B (auto)/2	0,10	3,03	36,82	49,00	0,00	0,00
Sn29/N113	MSÚ-Sada B (auto)/1	0,04	4,54	9,20	-13,43	0,00	0,00
Sn29/N113	MSÚ-Sada B (auto)/5	-0,34	-5,95	31,61	59,45	0,00	0,00
Sn29/N113	MSÚ-Sada B (auto)/27	-0,82	2,91	23,41	27,66	0,00	0,00
Sn29/N113	MSÚ-Sada B (auto)/30	0,02	4,53	11,58	-11,39	0,00	0,00
Sn29/N113	MSÚ-Sada B (auto)/33	-0,10	1,50	34,02	49,61	0,00	0,00
Sn30/N117	MSÚ-Sada B (auto)/15	0,37	-4,76	15,54	17,91	0,00	0,00
Sn30/N117	MSÚ-Sada B (auto)/17	0,26	-5,82	9,87	5,70	0,00	0,00
Sn30/N117	MSÚ-Sada B (auto)/18	-0,93	6,33	34,64	39,83	0,00	0,00
Sn30/N117	MSÚ-Sada B (auto)/4	0,14	2,24	6,97	-9,97	0,00	0,00
Sn30/N117	MSÚ-Sada B (auto)/1	0,10	2,73	7,24	-10,51	0,00	0,00
Sn30/N117	MSÚ-Sada B (auto)/11	-0,51	-0,32	38,96	56,26	0,00	0,00
Sn30/N117	MSÚ-Sada B (auto)/27	-1,35	3,87	26,63	27,40	0,00	0,00
Sn30/N117	MSÚ-Sada B (auto)/30	0,06	2,69	9,67	-8,37	0,00	0,00
Sn30/N117	MSÚ-Sada B (auto)/33	-0,41	2,50	35,13	47,98	0,00	0,00
Sn31/N121	MSÚ-Sada B (auto)/15	0,31	-6,56	21,06	28,53	0,00	0,11
Sn31/N121	MSÚ-Sada B (auto)/5	-0,71	-13,02	46,37	103,65	0,00	0,05
Sn31/N121	MSÚ-Sada B (auto)/13	0,16	3,22	14,46	-12,40	0,00	-0,41
Sn31/N121	MSÚ-Sada B (auto)/8	-0,89	-2,88	46,95	84,46	0,00	-0,33
Sn31/N121	MSÚ-Sada B (auto)/1	0,07	6,78	15,19	-18,43	0,00	-0,58
Sn31/N121	MSÚ-Sada B (auto)/11	-0,46	-12,19	46,15	105,19	0,00	0,27
Sn31/N121	MSÚ-Sada B (auto)/27	-1,22	-1,49	36,87	54,26	0,00	-0,25
Sn31/N121	MSÚ-Sada B (auto)/16	-0,95	0,32	40,51	56,69	0,00	-0,64
Sn31/N121	MSÚ-Sada B	-0,35	-8,69	40,20	91,64	0,00	0,37

Projekt RNR

Jméno	Stav	R _x [kN]	R _y [kN]	R _z [kN]	M _x [kNm]	M _y [kNm]	M _z [kNm]
	(auto)/33						
Sn32/N125	MSÚ-Sada B (auto)/15	0,33	-4,61	22,20	26,54	0,00	0,05
Sn32/N125	MSÚ-Sada B (auto)/5	-0,67	-8,92	41,93	101,53	0,00	-0,17
Sn32/N125	MSÚ-Sada B (auto)/4	0,10	5,46	15,03	-15,31	0,00	-0,59
Sn32/N125	MSÚ-Sada B (auto)/10	-0,53	-6,32	42,69	88,83	0,00	-0,23
Sn32/N125	MSÚ-Sada B (auto)/1	0,07	5,90	15,42	-15,42	0,00	-0,66
Sn32/N125	MSÚ-Sada B (auto)/27	-1,22	0,86	31,24	54,65	0,00	-0,48
Sn32/N125	MSÚ-Sada B (auto)/16	-0,92	1,59	35,15	59,57	0,00	-0,88
Sn32/N125	MSÚ-Sada B (auto)/36	0,18	-4,53	29,36	54,82	0,00	0,19
Sn33/N129	MSÚ-Sada B (auto)/2	1,47	7,90	79,39	79,29	0,00	-0,25
Sn33/N129	MSÚ-Sada B (auto)/21	0,90	7,96	80,54	79,15	0,00	-0,23
Sn33/N129	MSÚ-Sada B (auto)/7	0,42	-1,40	16,00	0,24	0,00	-0,20
Sn33/N129	MSÚ-Sada B (auto)/3	1,05	7,40	81,39	83,89	0,00	-0,47
Sn33/N129	MSÚ-Sada B (auto)/4	0,29	4,11	16,32	-12,69	0,00	-0,56
Sn33/N129	MSÚ-Sada B (auto)/5	0,80	1,26	77,40	93,36	0,00	-0,41
Sn33/N129	MSÚ-Sada B (auto)/31	-0,09	5,53	55,21	47,79	0,00	-0,56
Sn33/N129	MSÚ-Sada B (auto)/16	0,21	4,97	62,00	59,39	0,00	-1,02
Sn33/N129	MSÚ-Sada B (auto)/36	1,15	3,44	51,64	46,91	0,00	0,04
Sn39/N229	MSÚ-Sada B (auto)/22	0,12	-0,86	80,71	0,00	0,00	0,00
Sn39/N229	MSÚ-Sada B (auto)/37	-0,11	-1,49	39,89	0,00	0,00	0,00
Sn39/N229	MSÚ-Sada B (auto)/38	0,03	1,01	99,19	0,00	0,00	0,00
Sn39/N229	MSÚ-Sada B (auto)/4	-0,10	-1,20	-8,02	0,00	0,00	0,00
Sn39/N229	MSÚ-Sada B (auto)/39	-0,05	0,16	153,73	0,00	0,00	0,00
Sn39/N229	MSÚ-Sada B (auto)/6	-0,41	-1,06	128,05	0,00	0,00	0,00
Sn40/N226	MSÚ-Sada B (auto)/22	0,23	-1,01	-2,67	0,00	0,00	0,00
Sn40/N226	MSÚ-Sada B (auto)/40	0,11	-3,69	12,75	0,00	0,00	0,00
Sn40/N226	MSÚ-Sada B (auto)/41	-0,12	5,05	-18,75	0,00	0,00	0,00
Sn40/N226	MSÚ-Sada B (auto)/42	-0,11	5,02	-18,81	0,00	0,00	0,00
Sn40/N226	MSÚ-Sada B (auto)/43	0,11	-3,65	12,81	0,00	0,00	0,00
Sn40/N226	MSÚ-Sada B (auto)/6	-0,42	-0,64	-8,73	0,00	0,00	0,00
Sn41/N231	MSÚ-Sada B (auto)/9	0,53	-1,50	7,40	0,00	0,00	0,00
Sn41/N231	MSÚ-Sada B (auto)/40	0,49	-3,75	15,18	0,00	0,00	0,00
Sn41/N231	MSÚ-Sada B (auto)/41	-0,42	5,05	-5,42	0,00	0,00	0,00
Sn41/N231	MSÚ-Sada B	-0,42	5,02	-6,35	0,00	0,00	0,00

Projekt RNR

Jméno	Stav	R _x [kN]	R _y [kN]	R _z [kN]	M _x [kNm]	M _y [kNm]	M _z [kNm]
	(auto)/42						
Sn41/N231	MSÚ-Sada B (auto)/43	0,49	-3,72	16,11	0,00	0,00	0,00
Sn41/N231	MSÚ-Sada B (auto)/12	-1,08	-1,26	0,57	0,00	0,00	0,00
Sn42/N234	MSÚ-Sada B (auto)/22	0,18	-0,72	48,42	0,00	0,00	0,00
Sn42/N234	MSÚ-Sada B (auto)/37	0,00	-1,31	14,54	0,00	0,00	0,00
Sn42/N234	MSÚ-Sada B (auto)/38	0,00	1,12	72,45	0,00	0,00	0,00
Sn42/N234	MSÚ-Sada B (auto)/4	0,00	-1,10	-17,50	0,00	0,00	0,00
Sn42/N234	MSÚ-Sada B (auto)/41	0,00	0,99	103,28	0,00	0,00	0,00
Sn42/N234	MSÚ-Sada B (auto)/6	-0,18	-0,84	79,50	0,00	0,00	0,00
Sn43/N236	MSÚ-Sada B (auto)/26	0,56	-1,43	1,20	0,00	0,00	0,00
Sn43/N236	MSÚ-Sada B (auto)/40	0,45	-3,78	11,49	0,00	0,00	0,00
Sn43/N236	MSÚ-Sada B (auto)/41	-0,37	5,02	-2,78	0,00	0,00	0,00
Sn43/N236	MSÚ-Sada B (auto)/42	-0,37	5,00	-3,60	0,00	0,00	0,00
Sn43/N236	MSÚ-Sada B (auto)/43	0,45	-3,75	12,32	0,00	0,00	0,00
Sn43/N236	MSÚ-Sada B (auto)/27	-1,05	-1,64	8,62	0,00	0,00	0,00
Sn44/N238	MSÚ-Sada B (auto)/28	0,18	-0,89	85,01	0,00	0,00	0,00
Sn44/N238	MSÚ-Sada B (auto)/37	0,00	-1,37	26,18	0,00	0,00	0,00
Sn44/N238	MSÚ-Sada B (auto)/38	0,00	1,27	60,15	0,00	0,00	0,00
Sn44/N238	MSÚ-Sada B (auto)/40	0,00	-1,21	-10,16	0,00	0,00	0,00
Sn44/N238	MSÚ-Sada B (auto)/39	0,00	0,47	106,16	0,00	0,00	0,00
Sn44/N238	MSÚ-Sada B (auto)/31	-0,18	-0,73	48,72	0,00	0,00	0,00
Sn45/N241	MSÚ-Sada B (auto)/9	0,17	-1,80	6,05	0,00	0,00	0,00
Sn45/N241	MSÚ-Sada B (auto)/40	0,00	-3,85	13,01	0,00	0,00	0,00
Sn45/N241	MSÚ-Sada B (auto)/41	0,00	5,10	-4,31	0,00	0,00	0,00
Sn45/N241	MSÚ-Sada B (auto)/42	0,00	5,07	-5,11	0,00	0,00	0,00
Sn45/N241	MSÚ-Sada B (auto)/43	0,00	-3,82	13,81	0,00	0,00	0,00
Sn45/N241	MSÚ-Sada B (auto)/12	-0,17	-1,56	2,24	0,00	0,00	0,00
Sn46/N243	MSÚ-Sada B (auto)/28	0,18	-0,93	82,62	0,00	0,00	0,00
Sn46/N243	MSÚ-Sada B (auto)/37	0,00	-1,37	27,77	0,00	0,00	0,00
Sn46/N243	MSÚ-Sada B (auto)/38	0,00	1,28	54,88	0,00	0,00	0,00
Sn46/N243	MSÚ-Sada B (auto)/40	0,00	-1,22	-8,55	0,00	0,00	0,00
Sn46/N243	MSÚ-Sada B (auto)/39	0,00	0,48	102,87	0,00	0,00	0,00
Sn46/N243	MSÚ-Sada B (auto)/31	-0,18	-0,77	46,32	0,00	0,00	0,00
Sn47/N246	MSÚ-Sada B	0,17	-1,93	6,21	0,00	0,00	0,00

Projekt RNR

Jméno	Stav	R _x [kN]	R _y [kN]	R _z [kN]	M _x [kNm]	M _y [kNm]	M _z [kNm]
	(auto)/9						
Sn47/N246	MSÚ-Sada B (auto)/40	0,00	-3,92	13,05	0,00	0,00	0,00
Sn47/N246	MSÚ-Sada B (auto)/41	0,00	5,18	-4,32	0,00	0,00	0,00
Sn47/N246	MSÚ-Sada B (auto)/42	0,00	5,15	-5,12	0,00	0,00	0,00
Sn47/N246	MSÚ-Sada B (auto)/43	0,00	-3,89	13,85	0,00	0,00	0,00
Sn47/N246	MSÚ-Sada B (auto)/12	-0,17	-1,67	2,38	0,00	0,00	0,00
Sn48/N248	MSÚ-Sada B (auto)/22	0,18	-0,81	46,04	0,00	0,00	0,00
Sn48/N248	MSÚ-Sada B (auto)/37	0,00	-1,38	27,75	0,00	0,00	0,00
Sn48/N248	MSÚ-Sada B (auto)/38	0,00	1,28	54,87	0,00	0,00	0,00
Sn48/N248	MSÚ-Sada B (auto)/40	0,00	-1,23	-8,61	0,00	0,00	0,00
Sn48/N248	MSÚ-Sada B (auto)/39	0,00	0,49	102,92	0,00	0,00	0,00
Sn48/N248	MSÚ-Sada B (auto)/6	-0,18	-0,96	82,43	0,00	0,00	0,00
Sn49/N251	MSÚ-Sada B (auto)/22	0,17	-2,06	5,53	0,00	0,00	0,00
Sn49/N251	MSÚ-Sada B (auto)/40	0,00	-4,00	13,08	0,00	0,00	0,00
Sn49/N251	MSÚ-Sada B (auto)/41	0,00	5,25	-4,32	0,00	0,00	0,00
Sn49/N251	MSÚ-Sada B (auto)/42	0,00	5,22	-5,13	0,00	0,00	0,00
Sn49/N251	MSÚ-Sada B (auto)/43	0,00	-3,97	13,88	0,00	0,00	0,00
Sn49/N251	MSÚ-Sada B (auto)/6	-0,17	-1,74	3,28	0,00	0,00	0,00
Sn50/N253	MSÚ-Sada B (auto)/22	0,18	-0,84	45,94	0,00	0,00	0,00
Sn50/N253	MSÚ-Sada B (auto)/37	0,00	-1,39	27,82	0,00	0,00	0,00
Sn50/N253	MSÚ-Sada B (auto)/38	0,00	1,28	54,95	0,00	0,00	0,00
Sn50/N253	MSÚ-Sada B (auto)/40	0,00	-1,24	-8,57	0,00	0,00	0,00
Sn50/N253	MSÚ-Sada B (auto)/39	0,00	0,50	103,07	0,00	0,00	0,00
Sn50/N253	MSÚ-Sada B (auto)/6	-0,18	-0,98	82,38	0,00	0,00	0,00
Sn51/N256	MSÚ-Sada B (auto)/40	0,54	-4,05	13,40	0,00	0,00	0,00
Sn51/N256	MSÚ-Sada B (auto)/41	-0,46	5,32	-4,21	0,00	0,00	0,00
Sn51/N256	MSÚ-Sada B (auto)/42	-0,46	5,29	-5,05	0,00	0,00	0,00
Sn51/N256	MSÚ-Sada B (auto)/43	0,54	-4,02	14,23	0,00	0,00	0,00
Sn51/N256	MSÚ-Sada B (auto)/12	-1,31	-1,87	2,47	0,00	0,00	0,00
Sn52/N258	MSÚ-Sada B (auto)/9	0,18	-0,87	50,20	0,00	0,00	0,00
Sn52/N258	MSÚ-Sada B (auto)/37	0,00	-1,39	28,38	0,00	0,00	0,00
Sn52/N258	MSÚ-Sada B (auto)/38	0,00	1,27	55,38	0,00	0,00	0,00
Sn52/N258	MSÚ-Sada B (auto)/40	0,00	-1,24	-8,09	0,00	0,00	0,00
Sn52/N258	MSÚ-Sada B	0,00	0,49	103,59	0,00	0,00	0,00

Projekt RNR

Jméno	Stav	R _x [kN]	R _y [kN]	R _z [kN]	M _x [kNm]	M _y [kNm]	M _z [kNm]
	(auto)/39						
Sn52/N258	MSÚ-Sada B (auto)/12	-0,18	-0,99	78,81	0,00	0,00	0,00
Sn53/N261	MSÚ-Sada B (auto)/9	0,17	-2,21	6,47	0,00	0,00	0,00
Sn53/N261	MSÚ-Sada B (auto)/40	0,00	-4,11	13,05	0,00	0,00	0,00
Sn53/N261	MSÚ-Sada B (auto)/41	0,00	5,39	-4,29	0,00	0,00	0,00
Sn53/N261	MSÚ-Sada B (auto)/42	0,00	5,36	-5,09	0,00	0,00	0,00
Sn53/N261	MSÚ-Sada B (auto)/43	0,00	-4,08	13,86	0,00	0,00	0,00
Sn53/N261	MSÚ-Sada B (auto)/12	-0,17	-1,96	2,65	0,00	0,00	0,00
Sn54/N263	MSÚ-Sada B (auto)/28	0,18	-1,01	82,13	0,00	0,00	0,00
Sn54/N263	MSÚ-Sada B (auto)/37	0,00	-1,38	27,88	0,00	0,00	0,00
Sn54/N263	MSÚ-Sada B (auto)/38	0,00	1,27	54,89	0,00	0,00	0,00
Sn54/N263	MSÚ-Sada B (auto)/40	0,00	-1,24	-8,53	0,00	0,00	0,00
Sn54/N263	MSÚ-Sada B (auto)/39	0,00	0,50	103,05	0,00	0,00	0,00
Sn54/N263	MSÚ-Sada B (auto)/31	-0,18	-0,87	45,71	0,00	0,00	0,00
Sn55/N266	MSÚ-Sada B (auto)/28	0,17	-1,99	3,44	0,00	0,00	0,00
Sn55/N266	MSÚ-Sada B (auto)/40	0,00	-4,18	13,08	0,00	0,00	0,00
Sn55/N266	MSÚ-Sada B (auto)/41	0,00	5,48	-4,32	0,00	0,00	0,00
Sn55/N266	MSÚ-Sada B (auto)/42	0,00	5,45	-5,12	0,00	0,00	0,00
Sn55/N266	MSÚ-Sada B (auto)/43	0,00	-4,15	13,88	0,00	0,00	0,00
Sn55/N266	MSÚ-Sada B (auto)/31	-0,17	-2,30	5,68	0,00	0,00	0,00
Sn56/N268	MSÚ-Sada B (auto)/22	0,18	-0,88	45,61	0,00	0,00	0,00
Sn56/N268	MSÚ-Sada B (auto)/37	0,00	-1,39	27,73	0,00	0,00	0,00
Sn56/N268	MSÚ-Sada B (auto)/38	0,00	1,28	54,83	0,00	0,00	0,00
Sn56/N268	MSÚ-Sada B (auto)/40	0,00	-1,24	-8,66	0,00	0,00	0,00
Sn56/N268	MSÚ-Sada B (auto)/39	0,00	0,50	102,97	0,00	0,00	0,00
Sn56/N268	MSÚ-Sada B (auto)/6	-0,18	-1,02	82,01	0,00	0,00	0,00
Sn57/N271	MSÚ-Sada B (auto)/28	0,17	-2,04	3,43	0,00	0,00	0,00
Sn57/N271	MSÚ-Sada B (auto)/40	0,00	-4,26	13,11	0,00	0,00	0,00
Sn57/N271	MSÚ-Sada B (auto)/41	0,00	5,57	-4,34	0,00	0,00	0,00
Sn57/N271	MSÚ-Sada B (auto)/42	0,00	5,54	-5,15	0,00	0,00	0,00
Sn57/N271	MSÚ-Sada B (auto)/43	0,00	-4,23	13,91	0,00	0,00	0,00
Sn57/N271	MSÚ-Sada B (auto)/31	-0,17	-2,35	5,66	0,00	0,00	0,00
Sn58/N273	MSÚ-Sada B (auto)/22	0,18	-0,87	45,72	0,00	0,00	0,00
Sn58/N273	MSÚ-Sada B	0,00	-1,39	27,80	0,00	0,00	0,00

Projekt RNR

Jméno	Stav	R _x [kN]	R _y [kN]	R _z [kN]	M _x [kNm]	M _y [kNm]	M _z [kNm]
	(auto)/37						
Sn58/N273	MSÚ-Sada B (auto)/38	0,00	1,28	54,97	0,00	0,00	0,00
Sn58/N273	MSÚ-Sada B (auto)/40	0,00	-1,25	-8,61	0,00	0,00	0,00
Sn58/N273	MSÚ-Sada B (auto)/39	0,00	0,50	103,10	0,00	0,00	0,00
Sn58/N273	MSÚ-Sada B (auto)/6	-0,18	-1,01	82,15	0,00	0,00	0,00
Sn59/N276	MSÚ-Sada B (auto)/44	0,60	4,16	2,81	0,00	0,00	0,00
Sn59/N276	MSÚ-Sada B (auto)/40	0,53	-4,31	13,39	0,00	0,00	0,00
Sn59/N276	MSÚ-Sada B (auto)/41	-0,46	5,65	-4,23	0,00	0,00	0,00
Sn59/N276	MSÚ-Sada B (auto)/42	-0,46	5,62	-5,06	0,00	0,00	0,00
Sn59/N276	MSÚ-Sada B (auto)/43	0,53	-4,28	14,23	0,00	0,00	0,00
Sn59/N276	MSÚ-Sada B (auto)/31	-1,41	-2,41	5,65	0,00	0,00	0,00
Sn60/N278	MSÚ-Sada B (auto)/28	0,18	-1,02	82,66	0,00	0,00	0,00
Sn60/N278	MSÚ-Sada B (auto)/37	0,00	-1,39	28,36	0,00	0,00	0,00
Sn60/N278	MSÚ-Sada B (auto)/38	0,00	1,28	55,42	0,00	0,00	0,00
Sn60/N278	MSÚ-Sada B (auto)/40	0,00	-1,25	-8,11	0,00	0,00	0,00
Sn60/N278	MSÚ-Sada B (auto)/39	0,00	0,50	103,61	0,00	0,00	0,00
Sn60/N278	MSÚ-Sada B (auto)/31	-0,18	-0,88	46,19	0,00	0,00	0,00
Sn61/N281	MSÚ-Sada B (auto)/28	0,17	-2,14	3,39	0,00	0,00	0,00
Sn61/N281	MSÚ-Sada B (auto)/40	0,00	-4,37	13,05	0,00	0,00	0,00
Sn61/N281	MSÚ-Sada B (auto)/41	0,00	5,72	-4,32	0,00	0,00	0,00
Sn61/N281	MSÚ-Sada B (auto)/42	0,00	5,69	-5,12	0,00	0,00	0,00
Sn61/N281	MSÚ-Sada B (auto)/43	0,00	-4,34	13,86	0,00	0,00	0,00
Sn61/N281	MSÚ-Sada B (auto)/31	-0,17	-2,46	5,64	0,00	0,00	0,00
Sn62/N283	MSÚ-Sada B (auto)/28	0,18	-1,01	82,20	0,00	0,00	0,00
Sn62/N283	MSÚ-Sada B (auto)/37	0,00	-1,38	27,87	0,00	0,00	0,00
Sn62/N283	MSÚ-Sada B (auto)/38	0,00	1,28	54,94	0,00	0,00	0,00
Sn62/N283	MSÚ-Sada B (auto)/40	0,00	-1,24	-8,52	0,00	0,00	0,00
Sn62/N283	MSÚ-Sada B (auto)/39	0,00	0,50	103,06	0,00	0,00	0,00
Sn62/N283	MSÚ-Sada B (auto)/31	-0,18	-0,87	45,77	0,00	0,00	0,00
Sn63/N286	MSÚ-Sada B (auto)/28	0,17	-2,16	3,29	0,00	0,00	0,00
Sn63/N286	MSÚ-Sada B (auto)/40	0,00	-4,43	13,06	0,00	0,00	0,00
Sn63/N286	MSÚ-Sada B (auto)/41	0,00	5,81	-4,35	0,00	0,00	0,00
Sn63/N286	MSÚ-Sada B (auto)/42	0,00	5,78	-5,15	0,00	0,00	0,00
Sn63/N286	MSÚ-Sada B	0,00	-4,41	13,86	0,00	0,00	0,00

Projekt RNR

Jméno	Stav	R _x [kN]	R _y [kN]	R _z [kN]	M _x [kNm]	M _y [kNm]	M _z [kNm]
	(auto)/43						
Sn63/N286	MSÚ-Sada B (auto)/31	-0,17	-2,47	5,52	0,00	0,00	0,00
Sn64/N288	MSÚ-Sada B (auto)/22	0,18	-0,84	45,90	0,00	0,00	0,00
Sn64/N288	MSÚ-Sada B (auto)/37	0,00	-1,39	27,74	0,00	0,00	0,00
Sn64/N288	MSÚ-Sada B (auto)/38	0,00	1,29	54,92	0,00	0,00	0,00
Sn64/N288	MSÚ-Sada B (auto)/40	0,00	-1,24	-8,62	0,00	0,00	0,00
Sn64/N288	MSÚ-Sada B (auto)/39	0,00	0,50	102,96	0,00	0,00	0,00
Sn64/N288	MSÚ-Sada B (auto)/6	-0,18	-0,99	82,23	0,00	0,00	0,00
Sn65/N291	MSÚ-Sada B (auto)/28	0,17	-2,12	3,14	0,00	0,00	0,00
Sn65/N291	MSÚ-Sada B (auto)/40	0,00	-4,47	13,05	0,00	0,00	0,00
Sn65/N291	MSÚ-Sada B (auto)/41	0,00	5,87	-4,38	0,00	0,00	0,00
Sn65/N291	MSÚ-Sada B (auto)/42	0,00	5,84	-5,18	0,00	0,00	0,00
Sn65/N291	MSÚ-Sada B (auto)/43	0,00	-4,44	13,86	0,00	0,00	0,00
Sn65/N291	MSÚ-Sada B (auto)/31	-0,17	-2,42	5,35	0,00	0,00	0,00
Sn66/N293	MSÚ-Sada B (auto)/22	0,18	-0,80	46,15	0,00	0,00	0,00
Sn66/N293	MSÚ-Sada B (auto)/37	0,00	-1,39	27,72	0,00	0,00	0,00
Sn66/N293	MSÚ-Sada B (auto)/38	0,00	1,30	54,99	0,00	0,00	0,00
Sn66/N293	MSÚ-Sada B (auto)/40	0,00	-1,24	-8,61	0,00	0,00	0,00
Sn66/N293	MSÚ-Sada B (auto)/39	0,00	0,50	102,94	0,00	0,00	0,00
Sn66/N293	MSÚ-Sada B (auto)/6	-0,18	-0,96	82,46	0,00	0,00	0,00
Sn67/N296	MSÚ-Sada B (auto)/44	0,65	4,01	5,13	0,00	0,00	0,00
Sn67/N296	MSÚ-Sada B (auto)/40	0,46	-4,45	14,26	0,00	0,00	0,00
Sn67/N296	MSÚ-Sada B (auto)/41	-0,42	5,86	-5,19	0,00	0,00	0,00
Sn67/N296	MSÚ-Sada B (auto)/42	-0,42	5,83	-6,01	0,00	0,00	0,00
Sn67/N296	MSÚ-Sada B (auto)/43	0,46	-4,42	15,08	0,00	0,00	0,00
Sn67/N296	MSÚ-Sada B (auto)/31	-1,34	-2,35	1,82	0,00	0,00	0,00
Sn68/N298	MSÚ-Sada B (auto)/22	0,18	-0,77	48,50	0,00	0,00	0,00
Sn68/N298	MSÚ-Sada B (auto)/37	0,00	-1,39	26,15	0,00	0,00	0,00
Sn68/N298	MSÚ-Sada B (auto)/38	0,00	1,30	60,24	0,00	0,00	0,00
Sn68/N298	MSÚ-Sada B (auto)/40	0,00	-1,23	-10,19	0,00	0,00	0,00
Sn68/N298	MSÚ-Sada B (auto)/39	0,00	0,48	106,23	0,00	0,00	0,00
Sn68/N298	MSÚ-Sada B (auto)/6	-0,18	-0,93	84,80	0,00	0,00	0,00
Sn69/N301	MSÚ-Sada B (auto)/44	0,65	3,94	3,30	0,00	0,00	0,00
Sn69/N301	MSÚ-Sada B	0,43	-4,42	12,50	0,00	0,00	0,00

Projekt RNR

Jméno	Stav	R _x [kN]	R _y [kN]	R _z [kN]	M _x [kNm]	M _y [kNm]	M _z [kNm]
	(auto)/40						
Sn69/N301	MSÚ-Sada B (auto)/41	-0,37	5,91	-3,51	0,00	0,00	0,00
Sn69/N301	MSÚ-Sada B (auto)/42	-0,37	5,88	-4,43	0,00	0,00	0,00
Sn69/N301	MSÚ-Sada B (auto)/43	0,43	-4,39	13,42	0,00	0,00	0,00
Sn69/N301	MSÚ-Sada B (auto)/31	-1,34	-2,30	8,72	0,00	0,00	0,00
Sn70/N303	MSÚ-Sada B (auto)/28	0,18	-0,91	80,15	0,00	0,00	0,00
Sn70/N303	MSÚ-Sada B (auto)/37	0,00	-1,31	15,72	0,00	0,00	0,00
Sn70/N303	MSÚ-Sada B (auto)/38	0,00	1,12	72,86	0,00	0,00	0,00
Sn70/N303	MSÚ-Sada B (auto)/4	0,00	-1,09	-16,92	0,00	0,00	0,00
Sn70/N303	MSÚ-Sada B (auto)/39	0,00	0,41	104,62	0,00	0,00	0,00
Sn70/N303	MSÚ-Sada B (auto)/31	-0,18	-0,79	48,47	0,00	0,00	0,00
Sn71/N306	MSÚ-Sada B (auto)/28	0,21	-1,21	-8,01	0,00	0,00	0,00
Sn71/N306	MSÚ-Sada B (auto)/40	0,13	-4,00	12,06	0,00	0,00	0,00
Sn71/N306	MSÚ-Sada B (auto)/41	-0,10	5,49	-18,33	0,00	0,00	0,00
Sn71/N306	MSÚ-Sada B (auto)/42	-0,10	5,45	-18,38	0,00	0,00	0,00
Sn71/N306	MSÚ-Sada B (auto)/43	0,13	-3,96	12,10	0,00	0,00	0,00
Sn71/N306	MSÚ-Sada B (auto)/31	-0,44	-1,57	-1,99	0,00	0,00	0,00
Sn72/N308	MSÚ-Sada B (auto)/45	0,24	-1,19	-3,09	0,00	0,00	0,00
Sn72/N308	MSÚ-Sada B (auto)/37	0,21	-1,44	36,46	0,00	0,00	0,00
Sn72/N308	MSÚ-Sada B (auto)/38	-0,20	1,01	98,33	0,00	0,00	0,00
Sn72/N308	MSÚ-Sada B (auto)/4	0,23	-1,16	-9,47	0,00	0,00	0,00
Sn72/N308	MSÚ-Sada B (auto)/39	-0,12	0,18	149,44	0,00	0,00	0,00
Sn72/N308	MSÚ-Sada B (auto)/12	-0,31	-1,11	118,46	0,00	0,00	0,00
Sn73/N311	MSÚ-Sada B (auto)/28	0,22	-1,78	0,43	0,00	0,00	0,00
Sn73/N311	MSÚ-Sada B (auto)/40	0,08	-3,52	10,95	0,00	0,00	0,00
Sn73/N311	MSÚ-Sada B (auto)/41	-0,05	4,15	-3,76	0,00	0,00	0,00
Sn73/N311	MSÚ-Sada B (auto)/42	-0,05	4,14	-4,46	0,00	0,00	0,00
Sn73/N311	MSÚ-Sada B (auto)/43	0,08	-3,51	11,64	0,00	0,00	0,00
Sn73/N311	MSÚ-Sada B (auto)/31	-0,28	-1,77	2,99	0,00	0,00	0,00
Sn74/N317	MSÚ-Sada B (auto)/9	0,60	-2,32	5,15	0,00	0,00	0,00
Sn74/N317	MSÚ-Sada B (auto)/37	0,53	-3,78	10,29	0,00	0,00	0,00
Sn74/N317	MSÚ-Sada B (auto)/38	-0,44	3,85	-0,99	0,00	0,00	0,00
Sn74/N317	MSÚ-Sada B (auto)/42	-0,44	3,68	-3,66	0,00	0,00	0,00
Sn74/N317	MSÚ-Sada B	0,53	-3,61	12,96	0,00	0,00	0,00

Projekt RNR

Jméno	Stav	R _x [kN]	R _y [kN]	R _z [kN]	M _x [kNm]	M _y [kNm]	M _z [kNm]
	(auto)/43						
Sn74/N317	MSÚ-Sada B (auto)/12	-1,19	-2,45	1,54	0,00	0,00	0,00
Sn75/N320	MSÚ-Sada B (auto)/9	0,17	-2,38	5,61	0,00	0,00	0,00
Sn75/N320	MSÚ-Sada B (auto)/37	0,00	-3,91	9,16	0,00	0,00	0,00
Sn75/N320	MSÚ-Sada B (auto)/38	0,00	4,10	0,63	0,00	0,00	0,00
Sn75/N320	MSÚ-Sada B (auto)/42	0,00	3,93	-1,92	0,00	0,00	0,00
Sn75/N320	MSÚ-Sada B (auto)/43	0,00	-3,74	11,71	0,00	0,00	0,00
Sn75/N320	MSÚ-Sada B (auto)/12	-0,17	-2,53	2,21	0,00	0,00	0,00
Sn76/N323	MSÚ-Sada B (auto)/9	0,17	-2,52	5,72	0,00	0,00	0,00
Sn76/N323	MSÚ-Sada B (auto)/37	0,00	-3,97	9,17	0,00	0,00	0,00
Sn76/N323	MSÚ-Sada B (auto)/38	0,00	4,17	0,63	0,00	0,00	0,00
Sn76/N323	MSÚ-Sada B (auto)/42	0,00	4,01	-1,93	0,00	0,00	0,00
Sn76/N323	MSÚ-Sada B (auto)/43	0,00	-3,81	11,73	0,00	0,00	0,00
Sn76/N323	MSÚ-Sada B (auto)/12	-0,17	-2,65	2,32	0,00	0,00	0,00
Sn77/N326	MSÚ-Sada B (auto)/9	0,17	-2,63	5,82	0,00	0,00	0,00
Sn77/N326	MSÚ-Sada B (auto)/37	0,00	-4,04	9,18	0,00	0,00	0,00
Sn77/N326	MSÚ-Sada B (auto)/38	0,00	4,24	0,64	0,00	0,00	0,00
Sn77/N326	MSÚ-Sada B (auto)/42	0,00	4,08	-1,93	0,00	0,00	0,00
Sn77/N326	MSÚ-Sada B (auto)/43	0,00	-3,88	11,76	0,00	0,00	0,00
Sn77/N326	MSÚ-Sada B (auto)/12	-0,17	-2,76	2,39	0,00	0,00	0,00
Sn78/N329	MSÚ-Sada B (auto)/37	0,49	-4,11	10,69	0,00	0,00	0,00
Sn78/N329	MSÚ-Sada B (auto)/38	-0,43	4,31	-0,41	0,00	0,00	0,00
Sn78/N329	MSÚ-Sada B (auto)/42	-0,44	4,15	-2,95	0,00	0,00	0,00
Sn78/N329	MSÚ-Sada B (auto)/43	0,51	-3,96	13,24	0,00	0,00	0,00
Sn78/N329	MSÚ-Sada B (auto)/12	-1,18	-2,86	-0,27	0,00	0,00	0,00
Sn79/N332	MSÚ-Sada B (auto)/26	0,46	-2,95	1,95	0,00	0,00	0,00
Sn79/N332	MSÚ-Sada B (auto)/37	0,45	-4,15	7,87	0,00	0,00	0,00
Sn79/N332	MSÚ-Sada B (auto)/38	-0,37	4,36	1,99	0,00	0,00	0,00
Sn79/N332	MSÚ-Sada B (auto)/46	-0,20	2,31	-0,87	0,00	0,00	0,00
Sn79/N332	MSÚ-Sada B (auto)/43	0,44	-4,00	10,42	0,00	0,00	0,00
Sn79/N332	MSÚ-Sada B (auto)/27	-1,17	-2,83	9,11	0,00	0,00	0,00
Sn80/N335	MSÚ-Sada B (auto)/28	0,17	-3,04	3,36	0,00	0,00	0,00
Sn80/N335	MSÚ-Sada B (auto)/37	0,00	-4,21	9,17	0,00	0,00	0,00
Sn80/N335	MSÚ-Sada B	0,00	4,45	0,67	0,00	0,00	0,00

Projekt RNR

Jméno	Stav	R _x [kN]	R _y [kN]	R _z [kN]	M _x [kNm]	M _y [kNm]	M _z [kNm]
	(auto)/38						
Sn80/N335	MSÚ-Sada B (auto)/42	0,00	4,30	-1,92	0,00	0,00	0,00
Sn80/N335	MSÚ-Sada B (auto)/43	0,00	-4,07	11,75	0,00	0,00	0,00
Sn80/N335	MSÚ-Sada B (auto)/31	-0,17	-2,87	5,12	0,00	0,00	0,00
Sn81/N338	MSÚ-Sada B (auto)/28	0,17	-3,09	3,36	0,00	0,00	0,00
Sn81/N338	MSÚ-Sada B (auto)/37	0,00	-4,29	9,18	0,00	0,00	0,00
Sn81/N338	MSÚ-Sada B (auto)/38	0,00	4,54	0,65	0,00	0,00	0,00
Sn81/N338	MSÚ-Sada B (auto)/42	0,00	4,39	-1,93	0,00	0,00	0,00
Sn81/N338	MSÚ-Sada B (auto)/43	0,00	-4,14	11,77	0,00	0,00	0,00
Sn81/N338	MSÚ-Sada B (auto)/31	-0,17	-2,92	5,11	0,00	0,00	0,00
Sn82/N341	MSÚ-Sada B (auto)/47	0,53	3,75	8,23	0,00	0,00	0,00
Sn82/N341	MSÚ-Sada B (auto)/37	0,49	-4,37	10,70	0,00	0,00	0,00
Sn82/N341	MSÚ-Sada B (auto)/38	-0,44	4,62	-0,45	0,00	0,00	0,00
Sn82/N341	MSÚ-Sada B (auto)/42	-0,44	4,47	-2,98	0,00	0,00	0,00
Sn82/N341	MSÚ-Sada B (auto)/43	0,50	-4,22	13,23	0,00	0,00	0,00
Sn82/N341	MSÚ-Sada B (auto)/12	-1,26	-3,13	-0,47	0,00	0,00	0,00
Sn83/N344	MSÚ-Sada B (auto)/44	0,54	3,68	2,56	0,00	0,00	0,00
Sn83/N344	MSÚ-Sada B (auto)/37	0,45	-4,41	7,89	0,00	0,00	0,00
Sn83/N344	MSÚ-Sada B (auto)/38	-0,38	4,69	1,99	0,00	0,00	0,00
Sn83/N344	MSÚ-Sada B (auto)/46	-0,20	2,50	-0,90	0,00	0,00	0,00
Sn83/N344	MSÚ-Sada B (auto)/43	0,43	-4,26	10,45	0,00	0,00	0,00
Sn83/N344	MSÚ-Sada B (auto)/31	-1,26	-3,05	8,52	0,00	0,00	0,00
Sn84/N347	MSÚ-Sada B (auto)/28	0,17	-3,23	3,29	0,00	0,00	0,00
Sn84/N347	MSÚ-Sada B (auto)/37	0,00	-4,48	9,17	0,00	0,00	0,00
Sn84/N347	MSÚ-Sada B (auto)/38	0,00	4,79	0,64	0,00	0,00	0,00
Sn84/N347	MSÚ-Sada B (auto)/42	0,00	4,63	-1,93	0,00	0,00	0,00
Sn84/N347	MSÚ-Sada B (auto)/43	0,00	-4,32	11,74	0,00	0,00	0,00
Sn84/N347	MSÚ-Sada B (auto)/31	-0,17	-3,07	5,05	0,00	0,00	0,00
Sn85/N350	MSÚ-Sada B (auto)/28	0,17	-3,23	3,21	0,00	0,00	0,00
Sn85/N350	MSÚ-Sada B (auto)/37	0,00	-4,55	9,18	0,00	0,00	0,00
Sn85/N350	MSÚ-Sada B (auto)/38	0,00	4,89	0,61	0,00	0,00	0,00
Sn85/N350	MSÚ-Sada B (auto)/42	0,00	4,73	-1,96	0,00	0,00	0,00
Sn85/N350	MSÚ-Sada B (auto)/43	0,00	-4,39	11,74	0,00	0,00	0,00
Sn85/N350	MSÚ-Sada B	-0,17	-3,06	4,95	0,00	0,00	0,00

Projekt RNR

Jméno	Stav	R _x [kN]	R _y [kN]	R _z [kN]	M _x [kNm]	M _y [kNm]	M _z [kNm]
	(auto)/31						
Sn86/N353	MSÚ-Sada B (auto)/28	0,17	-3,17	3,11	0,00	0,00	0,00
Sn86/N353	MSÚ-Sada B (auto)/37	0,00	-4,55	9,18	0,00	0,00	0,00
Sn86/N353	MSÚ-Sada B (auto)/38	0,00	4,90	0,59	0,00	0,00	0,00
Sn86/N353	MSÚ-Sada B (auto)/42	0,00	4,73	-1,96	0,00	0,00	0,00
Sn86/N353	MSÚ-Sada B (auto)/43	0,00	-4,38	11,73	0,00	0,00	0,00
Sn86/N353	MSÚ-Sada B (auto)/31	-0,17	-2,99	4,84	0,00	0,00	0,00
Sn87/N356	MSÚ-Sada B (auto)/44	0,74	3,56	5,50	0,00	0,00	0,00
Sn87/N356	MSÚ-Sada B (auto)/37	0,52	-4,45	10,23	0,00	0,00	0,00
Sn87/N356	MSÚ-Sada B (auto)/38	-0,47	4,70	-0,98	0,00	0,00	0,00
Sn87/N356	MSÚ-Sada B (auto)/42	-0,46	4,52	-3,65	0,00	0,00	0,00
Sn87/N356	MSÚ-Sada B (auto)/43	0,51	-4,28	12,90	0,00	0,00	0,00
Sn87/N356	MSÚ-Sada B (auto)/31	-1,50	-3,01	4,43	0,00	0,00	0,00
Sn88/N359	MSÚ-Sada B (auto)/22	0,15	-2,59	3,29	0,00	0,00	0,00
Sn88/N359	MSÚ-Sada B (auto)/40	0,07	-4,21	11,44	0,00	0,00	0,00
Sn88/N359	MSÚ-Sada B (auto)/41	-0,07	4,99	-3,25	0,00	0,00	0,00
Sn88/N359	MSÚ-Sada B (auto)/42	-0,07	4,99	-4,00	0,00	0,00	0,00
Sn88/N359	MSÚ-Sada B (auto)/43	0,07	-4,21	12,19	0,00	0,00	0,00
Sn88/N359	MSÚ-Sada B (auto)/6	-0,34	-2,62	1,10	0,00	0,00	0,00
Sn89/N408	MSÚ-Sada B (auto)/29	0,00	-5,44	30,17	55,97	0,00	0,00
Sn89/N408	MSÚ-Sada B (auto)/30	0,00	4,85	11,37	-13,14	0,00	0,00
Sn89/N408	MSÚ-Sada B (auto)/7	0,00	-4,14	8,94	2,05	0,00	0,00
Sn89/N408	MSÚ-Sada B (auto)/21	-0,10	1,76	36,65	53,12	0,00	0,00
Sn89/N408	MSÚ-Sada B (auto)/11	0,00	-3,29	36,10	61,08	0,00	0,00
Sn89/N408	MSÚ-Sada B (auto)/31	-0,16	3,02	23,01	24,53	0,00	0,00
Sn89/N408	MSÚ-Sada B (auto)/1	0,00	4,85	8,94	-15,10	0,00	0,00
Sn89/N408	MSÚ-Sada B (auto)/28	0,16	2,99	33,51	44,64	0,00	0,00
Sn90/N409	MSÚ-Sada B (auto)/29	0,00	-5,39	30,17	55,92	0,00	0,00
Sn90/N409	MSÚ-Sada B (auto)/30	0,00	4,81	11,37	-13,10	0,00	0,00
Sn90/N409	MSÚ-Sada B (auto)/7	0,00	-4,11	8,94	2,10	0,00	0,00
Sn90/N409	MSÚ-Sada B (auto)/21	-0,10	1,74	36,65	53,12	0,00	0,00
Sn90/N409	MSÚ-Sada B (auto)/1	0,00	4,80	8,94	-15,06	0,00	0,00
Sn90/N409	MSÚ-Sada B (auto)/11	0,00	-3,26	36,10	61,06	0,00	0,00
Sn90/N409	MSÚ-Sada B	-0,16	3,00	23,01	24,49	0,00	0,00

Projekt RNR

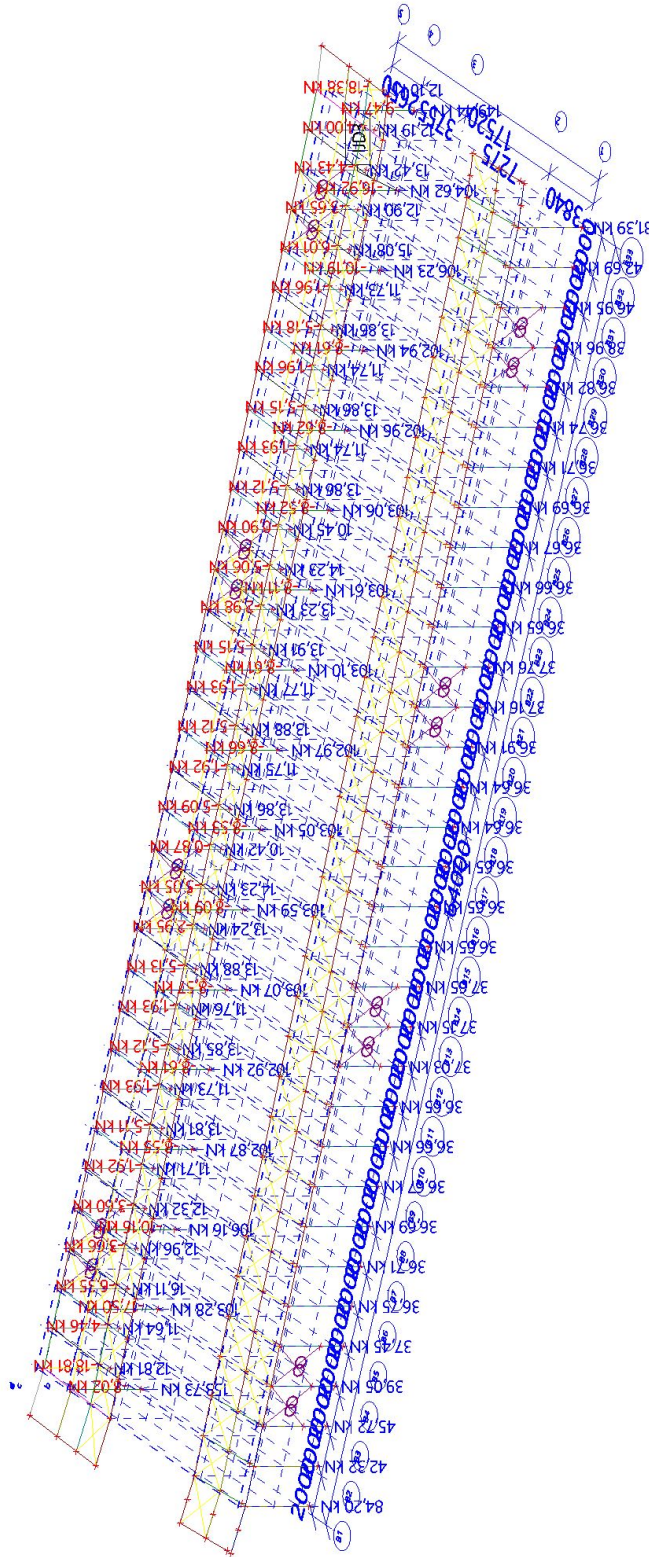
Jméno	Stav	R _x [kN]	R _y [kN]	R _z [kN]	M _x [kNm]	M _y [kNm]	M _z [kNm]
	(auto)/31						
Sn90/N409	MSÚ-Sada B (auto)/4	0,00	4,40	9,06	-13,88	0,00	0,00
Sn90/N409	MSÚ-Sada B (auto)/28	0,16	2,97	33,51	44,60	0,00	0,00
Sn91/N410	MSÚ-Sada B (auto)/22	0,24	3,01	22,74	24,41	0,00	0,00
Sn91/N410	MSÚ-Sada B (auto)/29	-0,23	-5,31	30,79	55,87	0,00	0,00
Sn91/N410	MSÚ-Sada B (auto)/30	0,20	4,81	10,91	-13,12	0,00	0,00
Sn91/N410	MSÚ-Sada B (auto)/21	-0,47	1,76	37,65	53,10	0,00	0,00
Sn91/N410	MSÚ-Sada B (auto)/1	0,21	4,80	8,46	-15,07	0,00	0,00
Sn91/N410	MSÚ-Sada B (auto)/11	-0,19	-3,20	36,54	61,02	0,00	0,00
Sn91/N410	MSÚ-Sada B (auto)/6	-0,70	2,97	35,09	44,61	0,00	0,00
Sn91/N410	MSÚ-Sada B (auto)/48	0,20	1,83	8,58	-8,93	0,00	0,00
Sn91/N410	MSÚ-Sada B (auto)/8	-0,22	3,53	33,22	40,67	0,00	0,00

Jméno	Klíč kombinace
MSÚ-Sada B (auto)/1	ZS1 + ZS2 + ZS3 + 1.50*3DVítr15
MSÚ-Sada B (auto)/2	1.15*ZS1 + 1.15*ZS2 + 1.15*ZS3 + 1.50*ZS5 + 1.50*ZS6 + 0.90*3DVítr9
MSÚ-Sada B (auto)/3	1.15*ZS1 + 1.15*ZS2 + 1.15*ZS3 + 1.50*ZS5 + 1.50*ZS6 + 0.90*3DVítr13
MSÚ-Sada B (auto)/4	ZS1 + ZS2 + ZS3 + 1.50*3DVítr3
MSÚ-Sada B (auto)/5	1.15*ZS1 + 1.15*ZS2 + 1.15*ZS3 + 0.75*ZS5 + 1.50*ZS6 + 1.50*3DVítr6
MSÚ-Sada B (auto)/6	1.15*ZS1 + 1.15*ZS2 + 1.15*ZS3 + 0.75*ZS5 + 1.50*ZS6 + 1.50*3DVítr1
MSÚ-Sada B (auto)/7	ZS1 + ZS2 + ZS3 + 1.50*3DVítr8
MSÚ-Sada B (auto)/8	1.15*ZS1 + 1.15*ZS2 + 1.15*ZS3 + 0.75*ZS5 + 1.50*ZS6 + 1.50*3DVítr13
MSÚ-Sada B (auto)/9	1.15*ZS1 + 1.15*ZS2 + 1.15*ZS3 + 1.50*3DVítr9
MSÚ-Sada B (auto)/10	1.35*ZS1 + 1.35*ZS2 + 1.35*ZS3 + 0.75*ZS5 + 1.50*ZS6 + 0.90*3DVítr6
MSÚ-Sada B (auto)/11	1.15*ZS1 + 1.15*ZS2 + 1.15*ZS3 + 1.50*ZS5 + 1.50*ZS6 + 0.90*3DVítr6
MSÚ-Sada B (auto)/12	ZS1 + ZS2 + ZS3 + 0.75*ZS5 + 1.50*ZS6 + 1.50*3DVítr1
MSÚ-Sada B (auto)/13	ZS1 + ZS2 + ZS3 + 1.50*3DVítr12
MSÚ-Sada B (auto)/14	1.35*ZS1 + 1.35*ZS2 + 1.35*ZS3 + 0.75*ZS5 + 1.50*ZS6 + 0.90*3DVítr13
MSÚ-Sada B (auto)/15	ZS1 + ZS2 + ZS3 + 0.75*ZS5 + 1.50*ZS6 + 1.50*3DVítr8
MSÚ-Sada B (auto)/16	1.15*ZS1 + 1.15*ZS2 + 1.15*ZS3 + 1.50*3DVítr13
MSÚ-Sada B (auto)/17	1.15*ZS1 + 1.15*ZS2 + 1.15*ZS3 + 1.50*3DVítr8
MSÚ-Sada B (auto)/18	ZS1 + ZS2 + ZS3 + 0.75*ZS5 + 1.50*ZS6 + 1.50*3DVítr13
MSÚ-Sada B (auto)/19	1.15*ZS1 + 1.15*ZS2 + 1.15*ZS3 + 1.50*3DVítr6
MSÚ-Sada B (auto)/20	ZS1 + ZS2 + ZS3 + 0.75*ZS5 + 1.50*ZS6 + 1.50*3DVítr15
MSÚ-Sada B (auto)/21	1.15*ZS1 + 1.15*ZS2 + 1.15*ZS3 + 1.50*ZS5 + 1.50*ZS6 + 0.90*3DVítr1
MSÚ-Sada B (auto)/22	ZS1 + ZS2 + ZS3 + 1.50*3DVítr9
MSÚ-Sada B (auto)/23	1.15*ZS1 + 1.15*ZS2 + 1.15*ZS3 + 1.50*ZS5 + 1.50*ZS6 + 0.90*3DVítr2
MSÚ-Sada B (auto)/24	ZS1 + ZS2 + ZS3 + 1.50*3DVítr6
MSÚ-Sada B (auto)/25	1.15*ZS1 + 1.15*ZS2 + 1.15*ZS3 + 0.75*ZS5 + 1.50*ZS6 + 1.50*3DVítr15
MSÚ-Sada B (auto)/26	ZS1 + ZS2 + ZS3 + 0.75*ZS5 + 1.50*ZS6 + 1.50*3DVítr9
MSÚ-Sada B (auto)/27	1.15*ZS1 + 1.15*ZS2 + 1.15*ZS3 + 1.50*3DVítr1
MSÚ-Sada B (auto)/28	1.15*ZS1 + 1.15*ZS2 + 1.15*ZS3 + 0.75*ZS5 + 1.50*ZS6 + 1.50*3DVítr9
MSÚ-Sada B (auto)/29	ZS1 + ZS2 + ZS3 + 0.75*ZS5 + 1.50*ZS6 + 1.50*3DVítr6

Projekt RNR

Jméno	Klíč kombinace
MSÚ-Sada B (auto)/30	1.15*ZS1 + 1.15*ZS2 + 1.15*ZS3 + 1.50*3DVítr15
MSÚ-Sada B (auto)/31	ZS1 + ZS2 + ZS3 + 1.50*3DVítr1
MSÚ-Sada B (auto)/32	1.15*ZS1 + 1.15*ZS2 + 1.15*ZS3 + 1.50*ZS5 + 1.50*ZS6 + 0.90*3DVítr10
MSÚ-Sada B (auto)/33	ZS1 + ZS2 + ZS3 + 1.50*ZS5 + 1.50*ZS6 + 0.90*3DVítr2
MSÚ-Sada B (auto)/34	1.15*ZS1 + 1.15*ZS2 + 1.15*ZS3 + 1.50*ZS6 + 1.50*3DVítr9
MSÚ-Sada B (auto)/35	ZS1 + ZS2 + ZS3 + 0.75*ZS5 + 1.50*3DVítr1
MSÚ-Sada B (auto)/36	ZS1 + ZS2 + ZS3 + 1.50*ZS5 + 1.50*ZS6 + 0.90*3DVítr8
MSÚ-Sada B (auto)/37	1.15*ZS1 + 1.15*ZS2 + 1.15*ZS3 + 0.75*ZS5 + 1.50*ZS6 + 1.50*3DVítr7
MSÚ-Sada B (auto)/38	ZS1 + ZS2 + ZS3 + 1.50*3DVítr14
MSÚ-Sada B (auto)/39	1.15*ZS1 + 1.15*ZS2 + 1.15*ZS3 + 1.50*ZS5 + 1.50*ZS6 + 0.90*3DVítr14
MSÚ-Sada B (auto)/40	ZS1 + ZS2 + ZS3 + 1.50*3DVítr7
MSÚ-Sada B (auto)/41	1.15*ZS1 + 1.15*ZS2 + 1.15*ZS3 + 0.75*ZS5 + 1.50*ZS6 + 1.50*3DVítr14
MSÚ-Sada B (auto)/42	ZS1 + ZS2 + ZS3 + 0.75*ZS5 + 1.50*ZS6 + 1.50*3DVítr14
MSÚ-Sada B (auto)/43	1.15*ZS1 + 1.15*ZS2 + 1.15*ZS3 + 1.50*3DVítr7
MSÚ-Sada B (auto)/44	1.15*ZS1 + 1.15*ZS2 + 1.15*ZS3 + 0.75*ZS5 + 1.50*ZS6 + 1.50*3DVítr16
MSÚ-Sada B (auto)/45	1.15*ZS1 + 1.15*ZS2 + 1.15*ZS3 + 1.50*3DVítr3
MSÚ-Sada B (auto)/46	ZS1 + ZS2 + ZS3 + 1.50*ZS5 + 1.50*ZS6 + 0.90*3DVítr14
MSÚ-Sada B (auto)/47	1.15*ZS1 + 1.15*ZS2 + 1.15*ZS3 + 1.50*3DVítr16
MSÚ-Sada B (auto)/48	ZS1 + ZS2 + ZS3 + 1.50*3DVítr4

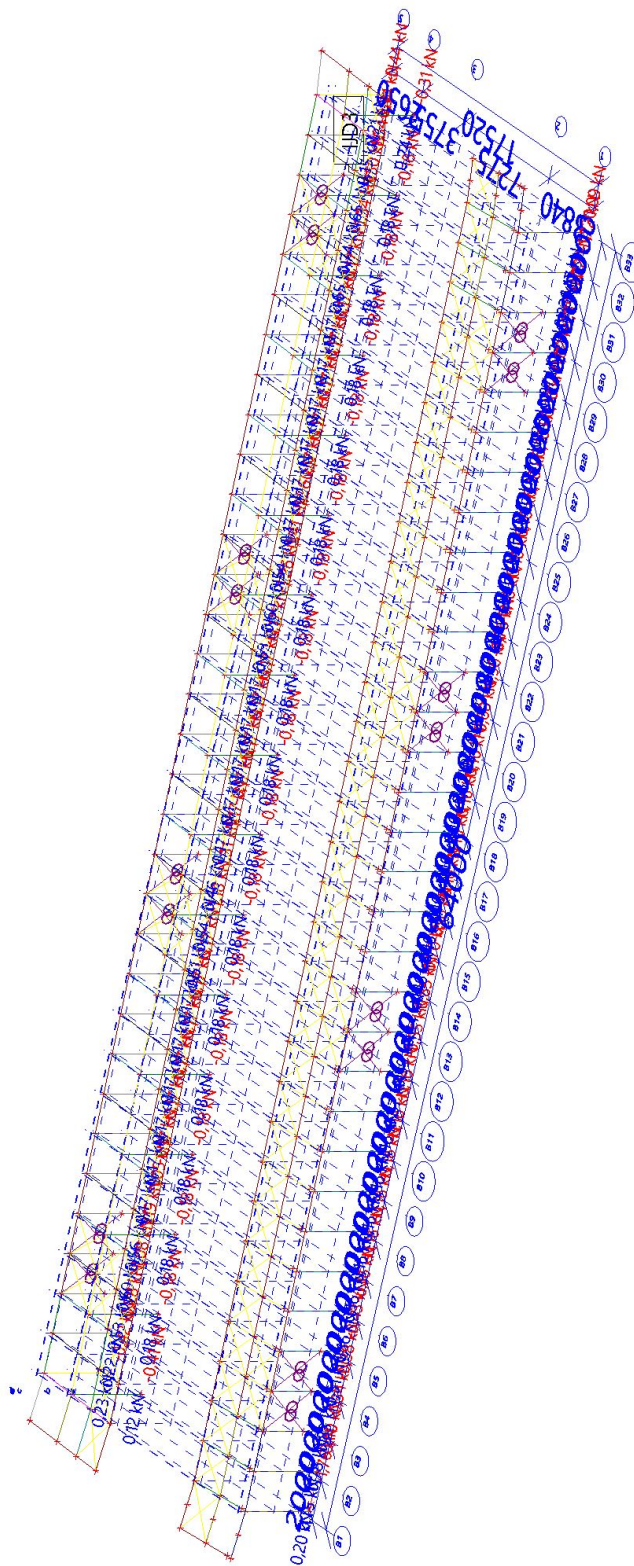
31. Reakce; R_z



Hodnoty: R_z
 Lineární výpočet
 Kombinace: MSÚ-Sada B (auto)
 Systém: Globální
 Extrém: Dílec
 Výběr: Vše

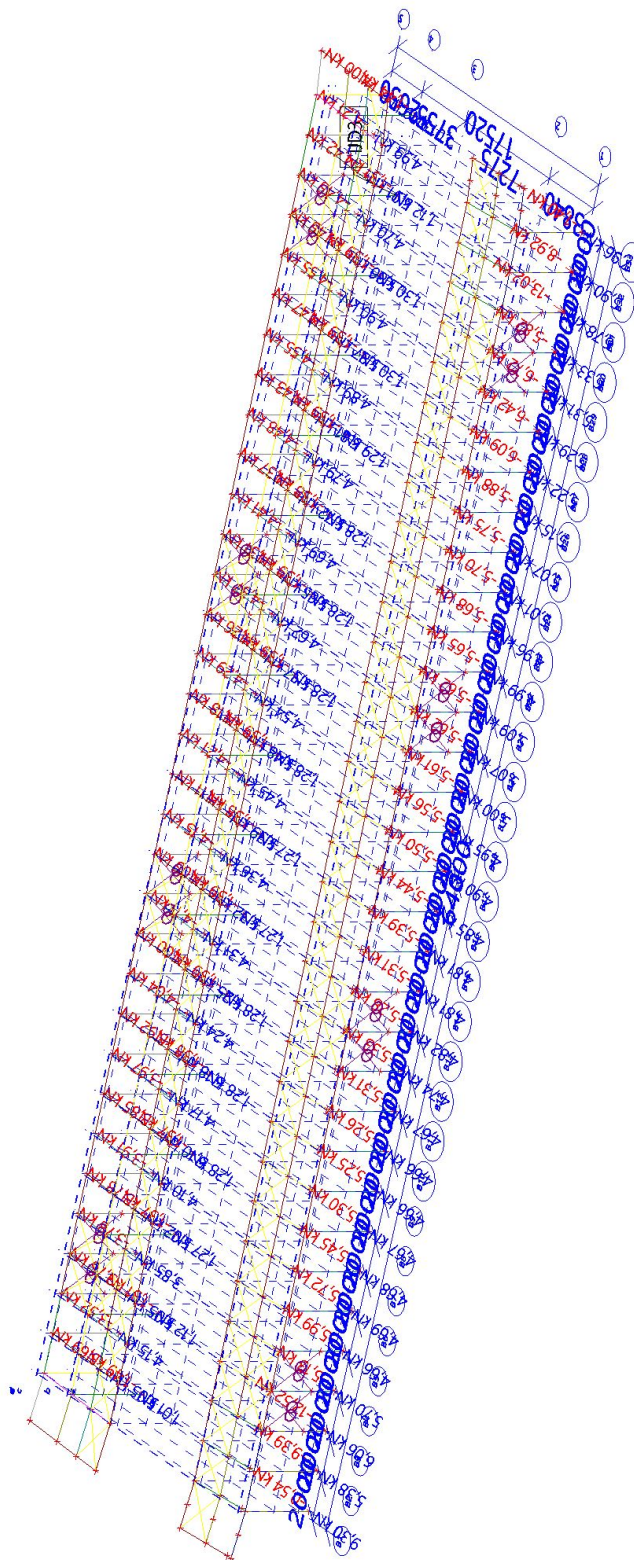


32. Reakce; R_x



Hodnoty: R_x
Lineární výpočet
Kombinace: MSÚ-Sada B (auto)
Systém: Globální
Extrém: Dílec
Výběr: Vše

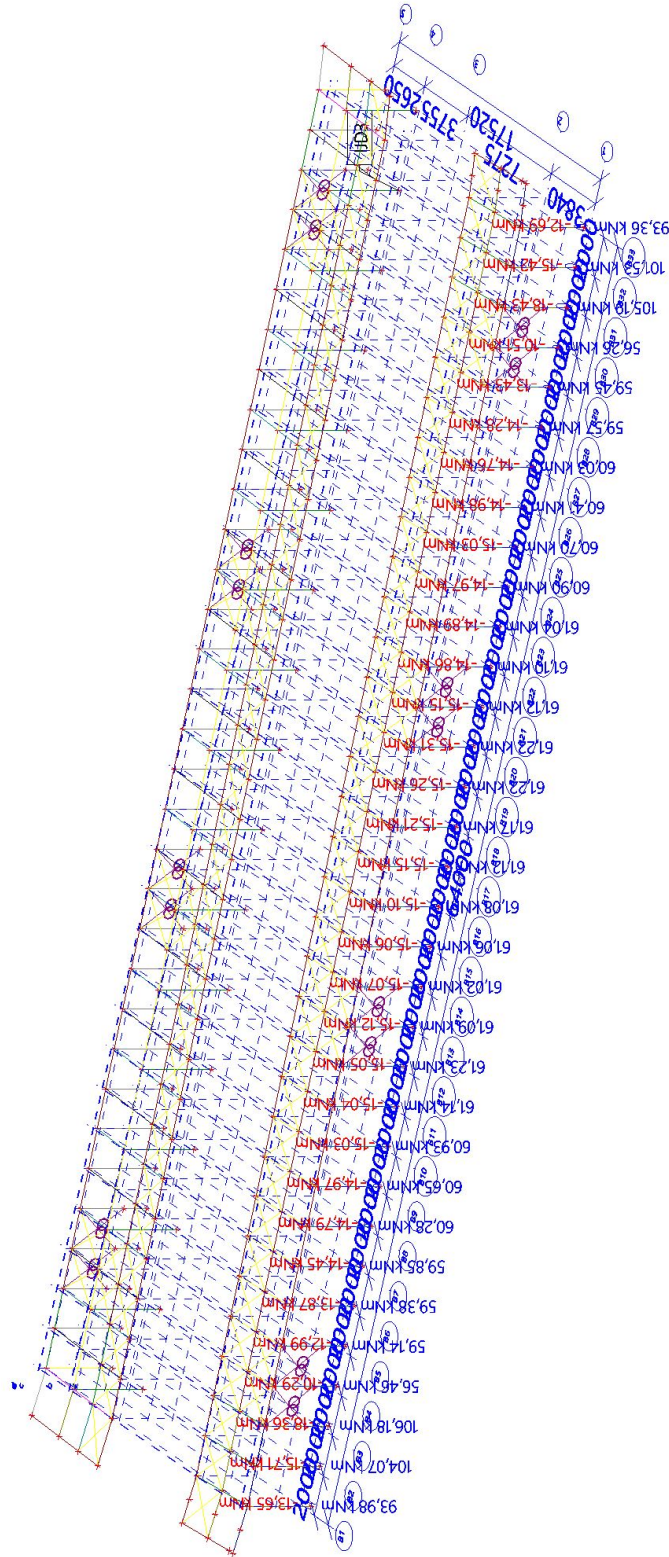
33. Reakce; R_y



Hodnoty: R_y
Lineární výpočet
Kombinace: MSÚ-Sada B (auto)
Systém: Globální
Extrém: Dílec
Výběr: Vše



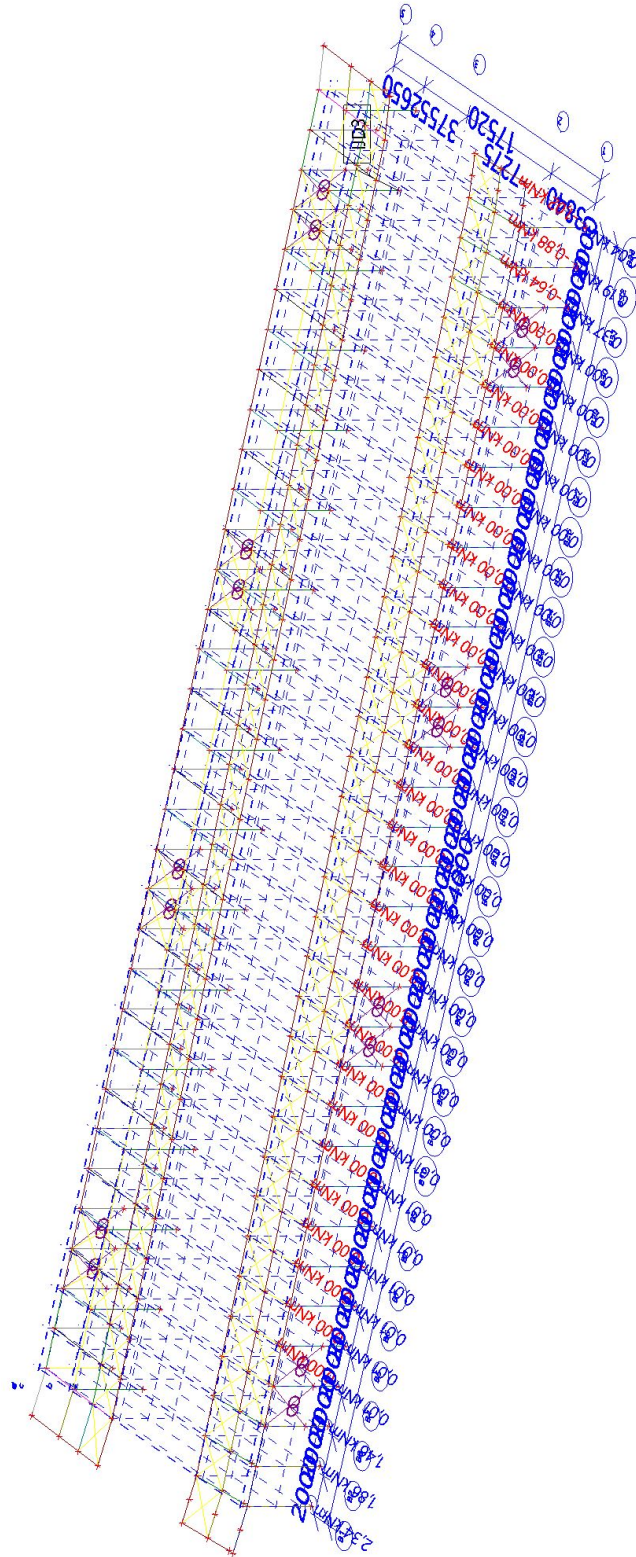
34. Reakce; M_x



Hodnoty: M_x
Lineární výpočet
Kombinace: MSÚ-Sada B (auto)
Systém: Globální
Extrém: Dílec
Výběr: Vše



35. Reakce; M_z



Hodnoty: **M_z**
Lineární výpočet
Kombinace: MSÚ-Sada B (auto)
Systém: Globální
Extrém: Dílec
Výběr: Vše

Projekt RNR

36. 1D vnitřní síly

Lineární výpočet

Kombinace: MSÚ-Sada B (auto)

Souřadný systém: Hlavní

Extrém 1D: Průřez

Výběr: Vše

Jméno	dx [m]	Stav	Průřez	N [kN]	V _y [kN]	V _z [kN]	M _x [kNm]	M _y [kNm]	M _z [kNm]
B1	0,000	MSÚ-Sada B (auto)/1	SLOUP14 - Komora fl (300,00; 35,00; 230,00; 20,00; 230,00)	-84,20	1,30	-8,73	2,04	-84,44	0,00
B4	3,618	MSÚ-Sada B (auto)/2	SLOUP14 - Komora fl (300,00; 35,00; 230,00; 20,00; 230,00)	0,26	-0,43	-1,78	0,38	2,46	-1,57
B97	0,000	MSÚ-Sada B (auto)/3	SLOUP14 - Komora fl (300,00; 35,00; 230,00; 20,00; 230,00)	-79,39	-1,47	-7,90	-0,25	-79,29	0,00
B1	0,000	MSÚ-Sada B (auto)/4	SLOUP14 - Komora fl (300,00; 35,00; 230,00; 20,00; 230,00)	-76,48	1,76	-8,63	1,91	-74,09	0,00
B1	0,000	MSÚ-Sada B (auto)/3	SLOUP14 - Komora fl (300,00; 35,00; 230,00; 20,00; 230,00)	-83,35	1,15	-9,30	1,76	-79,74	0,00
B91	0,000	MSÚ-Sada B (auto)/5	SLOUP14 - Komora fl (300,00; 35,00; 230,00; 20,00; 230,00)	-46,37	0,71	13,02	0,05	-103,65	0,00
B97	0,000	MSÚ-Sada B (auto)/6	SLOUP14 - Komora fl (300,00; 35,00; 230,00; 20,00; 230,00)	-62,00	-0,21	-4,97	-1,02	-59,39	0,00
B1	0,000	MSÚ-Sada B (auto)/7	SLOUP14 - Komora fl (300,00; 35,00; 230,00; 20,00; 230,00)	-79,83	1,06	-7,76	2,34	-81,68	0,00
B1	3,618	MSÚ-Sada B (auto)/8	SLOUP14 - Komora fl (300,00; 35,00; 230,00; 20,00; 230,00)	-70,85	1,40	-7,08	1,82	-114,75	5,07
B91	0,000	MSÚ-Sada B (auto)/9	SLOUP14 - Komora fl (300,00; 35,00; 230,00; 20,00; 230,00)	-15,19	-0,07	-6,78	-0,58	18,43	0,00
B97	3,618	MSÚ-Sada B (auto)/3	SLOUP14 - Komora fl (300,00; 35,00; 230,00; 20,00; 230,00)	-66,42	-1,28	-6,76	-0,25	-105,79	-4,98
B1	3,618	MSÚ-Sada B (auto)/10	SLOUP14 - Komora fl (300,00; 35,00;	-69,22	1,53	-8,29	1,78	-111,89	5,90

Projekt RNR

Jméno	dx [m]	Stav	Průřez	N [kN]	V _y [kN]	V _z [kN]	M _x [kNm]	M _y [kNm]	M _z [kNm]
			230,00; 20,00; 230,00)						
B3	0,000	MSÚ-Sada B (auto)/3	PRICEL - Komora fl (300,00; 15,00; 470,00; 10,00; 250,00)	-13,15	-3,42	50,44	18,55	-98,70	3,27
B8	0,000	MSÚ-Sada B (auto)/11	PRICEL - Komora fl (300,00; 15,00; 470,00; 10,00; 250,00)	7,41	0,31	23,50	-0,06	-60,06	-0,73
B9	1,595-	MSÚ-Sada B (auto)/12	PRICEL - Komora fl (300,00; 15,00; 470,00; 10,00; 250,00)	-1,20	0,07	-2,95	0,00	0,22	-0,07
B98	0,000	MSÚ-Sada B (auto)/3	PRICEL - Komora fl (300,00; 15,00; 470,00; 10,00; 250,00)	-6,32	2,84	45,67	-12,41	-104,60	-2,89
B2	0,000	MSÚ-Sada B (auto)/10	PRICEL - Komora fl (300,00; 15,00; 470,00; 10,00; 250,00)	-7,45	-3,38	52,09	18,87	-116,00	2,30
B2	0,000	MSÚ-Sada B (auto)/8	PRICEL - Komora fl (300,00; 15,00; 470,00; 10,00; 250,00)	-6,60	-3,11	53,26	18,44	-118,73	2,03
B8	0,000	MSÚ-Sada B (auto)/12	PRICEL - Komora fl (300,00; 15,00; 470,00; 10,00; 250,00)	-1,52	0,07	-0,27	-0,02	3,51	-0,20
B99	0,000	MSÚ-Sada B (auto)/10	PRICEL - Komora fl (300,00; 15,00; 470,00; 10,00; 250,00)	-11,32	2,89	44,20	-12,05	-89,46	-3,32
B10	0,000	MSÚ-Sada B (auto)/8	SLOUP4 - HEB300	-39,05	-0,21	-0,03	0,00	-56,46	0,00
B10	3,618	MSÚ-Sada B (auto)/2	SLOUP4 - HEB300	3,18	0,27	1,58	0,00	8,75	0,00
B10	0,000	MSÚ-Sada B (auto)/13	SLOUP4 - HEB300	-26,82	-0,83	-3,32	0,00	-27,59	0,00
B88	0,000	MSÚ-Sada B (auto)/14	SLOUP4 - HEB300	-26,63	1,35	-3,87	0,00	-27,40	0,00
B88	0,000	MSÚ-Sada B (auto)/15	SLOUP4 - HEB300	-34,64	0,93	-6,33	0,00	-39,83	0,00
B85	0,000	MSÚ-Sada B (auto)/16	SLOUP4 - HEB300	-23,23	0,44	6,72	0,00	-44,21	0,00
B79	0,000	MSÚ-Sada B (auto)/17	SLOUP4 - HEB300	-11,36	0,00	-4,93	0,00	12,80	0,00
B10	0,000	MSÚ-Sada B (auto)/6	SLOUP4 - HEB300	-29,17	-0,51	-4,67	0,01	-27,81	0,00
B34	0,000	MSÚ-Sada B (auto)/8	SLOUP4 - HEB300	-35,97	0,00	3,21	0,00	-61,23	0,00
B58	0,000	MSÚ-Sada B (auto)/9	SLOUP4 - HEB300	-9,80	-0,21	-5,06	0,00	15,31	0,00
B10	1,300-	MSÚ-Sada B (auto)/13	SLOUP4 - HEB300	-22,72	-0,71	-2,49	0,00	-31,57	-1,00
B88	1,300+	MSÚ-Sada B (auto)/14	SLOUP4 - HEB300	-22,54	-0,62	-2,50	0,00	-31,54	1,68
B83	0,000	MSÚ-Sada B (auto)/6	PRÍCEL1 - Iw (500,00; 8,00; 200,00; 16,00; 468,00; 0,00)	1,60	-0,01	12,12	0,00	-28,62	0,00
B11	0,335	MSÚ-Sada B (auto)/2	PRÍCEL1 - Iw (500,00; 8,00; 200,00; 16,00; 468,00; 0,00)	0,76	0,00	-3,28	0,00	7,69	0,00

Projekt RNR

Jméno	dx [m]	Stav	Průřez	N [kN]	V _y [kN]	V _z [kN]	M _x [kNm]	M _y [kNm]	M _z [kNm]
B65	0,000	MSÚ-Sada B (auto)/1	PRÍČEL1 - Iw (500,00; 8,00; 200,00; 16,00; 468,00; 0,00)	0,00	-0,03	22,83	0,00	-54,33	0,00
B29	0,000	MSÚ-Sada B (auto)/6	PRÍČEL1 - Iw (500,00; 8,00; 200,00; 16,00; 468,00; 0,00)	0,59	0,10	12,23	0,00	-28,66	-0,01
B11	0,000	MSÚ-Sada B (auto)/8	PRÍČEL1 - Iw (500,00; 8,00; 200,00; 16,00; 468,00; 0,00)	-2,67	-0,01	25,71	0,00	-60,63	0,00
B11	0,000	MSÚ-Sada B (auto)/2	PRÍČEL1 - Iw (500,00; 8,00; 200,00; 16,00; 468,00; 0,00)	0,76	0,00	-3,02	0,00	8,75	0,00
B80	0,335	MSÚ-Sada B (auto)/18	PRÍČEL1 - Iw (500,00; 8,00; 200,00; 16,00; 468,00; 0,00)	-1,00	-0,09	15,13	0,00	-30,62	-0,03
B26	0,335	MSÚ-Sada B (auto)/6	PRÍČEL1 - Iw (500,00; 8,00; 200,00; 16,00; 468,00; 0,00)	0,64	0,10	11,92	0,00	-24,61	0,03
B12	0,000	MSÚ-Sada B (auto)/8	PRÍČEL2 - Iw (500,00; 8,00; 200,00; 16,00; 468,00; 0,00)	-5,47	-0,01	24,96	0,00	-52,07	-0,01
B12	1,595-	MSÚ-Sada B (auto)/2	PRÍČEL2 - Iw (500,00; 8,00; 200,00; 16,00; 468,00; 0,00)	1,25	0,00	-4,33	0,00	1,69	0,00
B27	0,000	MSÚ-Sada B (auto)/6	PRÍČEL2 - Iw (500,00; 8,00; 200,00; 16,00; 468,00; 0,00)	-0,68	0,10	11,92	0,00	-24,61	0,03
B12	1,595-	MSÚ-Sada B (auto)/12	PRÍČEL2 - Iw (500,00; 8,00; 200,00; 16,00; 468,00; 0,00)	1,11	0,00	-4,33	0,00	1,69	0,00
B12	0,000	MSÚ-Sada B (auto)/1	PRÍČEL2 - Iw (500,00; 8,00; 200,00; 16,00; 468,00; 0,00)	-5,19	-0,01	24,96	0,00	-52,07	-0,01
B15	0,000	MSÚ-Sada B (auto)/11	PRÍČEL2 - Iw (500,00; 8,00; 200,00; 16,00; 468,00; 0,00)	-2,70	0,04	22,90	0,00	-48,04	0,01
B87	0,000	MSÚ-Sada B (auto)/19	PRÍČEL2 - Iw (500,00; 8,00; 200,00; 16,00; 468,00; 0,00)	-2,85	-0,05	22,90	0,00	-48,05	-0,02
B90	0,000	MSÚ-Sada B (auto)/1	PRÍČEL2 - Iw (500,00; 8,00; 200,00; 16,00; 468,00; 0,00)	-5,13	-0,02	24,96	0,00	-52,07	-0,01
B90	0,000	MSÚ-Sada B (auto)/12	PRÍČEL2 - Iw (500,00; 8,00; 200,00; 16,00; 468,00; 0,00)	0,81	-0,01	-3,18	0,00	7,70	0,00
B81	1,595-	MSÚ-Sada B (auto)/18	PRÍČEL2 - Iw (500,00; 8,00; 200,00; 16,00; 468,00; 0,00)	-2,52	-0,09	13,60	0,00	-7,89	-0,17
B27	1,595+	MSÚ-Sada B (auto)/6	PRÍČEL2 - Iw (500,00; 8,00;	0,17	-0,10	4,16	0,00	-6,68	0,19

Projekt RNR

Jméno	dx [m]	Stav	Průřez	N [kN]	V _y [kN]	V _z [kN]	M _x [kNm]	M _y [kNm]	M _z [kNm]
			200,00; 16,00; 468,00; 0,00)						
B107	0,000	MSÚ-Sada B (auto)/20	PRUVLAK8 - Komora fl (200,00; 15,00; 470,00; 10,00; 150,00)	-0,31	0,09	1,34	-0,22	-0,73	-0,22
B107	2,000	MSÚ-Sada B (auto)/10	PRUVLAK8 - Komora fl (200,00; 15,00; 470,00; 10,00; 150,00)	7,49	0,33	-1,42	-1,85	0,00	0,00
B167	0,000	MSÚ-Sada B (auto)/4	PRUVLAK8 - Komora fl (200,00; 15,00; 470,00; 10,00; 150,00)	4,38	-1,57	-10,46	3,16	5,93	1,80
B167	2,000	MSÚ-Sada B (auto)/4	PRUVLAK8 - Komora fl (200,00; 15,00; 470,00; 10,00; 150,00)	4,44	-1,57	-14,83	3,16	-19,36	-1,34
B224	0,000	MSÚ-Sada B (auto)/1	PRUVLAK8 - Komora fl (200,00; 15,00; 470,00; 10,00; 150,00)	4,61	1,89	13,88	-4,32	-18,33	-1,49
B229	0,000	MSÚ-Sada B (auto)/1	PRUVLAK8 - Komora fl (200,00; 15,00; 470,00; 10,00; 150,00)	-0,09	-1,08	7,11	4,24	-10,71	2,42
B167	2,000	MSÚ-Sada B (auto)/10	PRUVLAK8 - Komora fl (200,00; 15,00; 470,00; 10,00; 150,00)	4,86	-1,50	-14,70	3,30	-19,44	-1,25
B224	0,000	MSÚ-Sada B (auto)/3	PRUVLAK8 - Komora fl (200,00; 15,00; 470,00; 10,00; 150,00)	4,85	1,96	14,12	-4,32	-18,74	-1,57
B103	2,369	MSÚ-Sada B (auto)/1	PRUVLAK8 - Komora fl (200,00; 15,00; 470,00; 10,00; 150,00)	-0,09	1,13	-4,21	0,02	-4,50	2,71
B108	0,000	MSÚ-Sada B (auto)/3	PRUVLAK6 - Komora fl (150,00; 20,00; 80,00; 10,00; 110,00)	-4,57	-0,08	3,57	-0,30	0,00	0,00
B233	2,222	MSÚ-Sada B (auto)/1	PRUVLAK6 - Komora fl (150,00; 20,00; 80,00; 10,00; 110,00)	2,69	0,04	-0,95	0,67	0,00	0,00
B168	0,000	MSÚ-Sada B (auto)/10	PRUVLAK6 - Komora fl (150,00; 20,00; 80,00; 10,00; 110,00)	-0,16	-0,68	4,27	0,55	-3,42	0,79
B231	0,000	MSÚ-Sada B (auto)/1	PRUVLAK6 - Komora fl (150,00; 20,00; 80,00; 10,00; 110,00)	1,10	0,62	2,70	-0,05	-4,24	-0,45

Projekt RNR

Jméno	dx [m]	Stav	Průřez	N [kN]	V _y [kN]	V _z [kN]	M _x [kNm]	M _y [kNm]	M _z [kNm]
			110,00)						
B166	2,000	MSÚ-Sada B (auto)/8	PRUVLAK6 - Komora fl (150,00; 20,00; 80,00; 10,00; 110,00)	-3,57	0,03	-4,48	0,41	-1,37	-0,14
B233	0,000	MSÚ-Sada B (auto)/19	PRUVLAK6 - Komora fl (150,00; 20,00; 80,00; 10,00; 110,00)	1,98	-0,13	6,82	0,70	-6,45	0,09
B233	0,000	MSÚ-Sada B (auto)/3	PRUVLAK6 - Komora fl (150,00; 20,00; 80,00; 10,00; 110,00)	1,99	-0,13	6,82	0,70	-6,45	0,09
B226	1,595+	MSÚ-Sada B (auto)/3	PRUVLAK6 - Komora fl (150,00; 20,00; 80,00; 10,00; 110,00)	-0,49	-0,10	5,48	0,04	-7,12	-0,02
B228	1,185-	MSÚ-Sada B (auto)/10	PRUVLAK6 - Komora fl (150,00; 20,00; 80,00; 10,00; 110,00)	0,00	0,00	0,00	-2,21	2,44	-0,05
B226	1,595-	MSÚ-Sada B (auto)/1	PRUVLAK6 - Komora fl (150,00; 20,00; 80,00; 10,00; 110,00)	1,34	-0,26	-1,60	0,33	-1,89	-0,46
B110	0,000	MSÚ-Sada B (auto)/3	VAZNICE - IPE120	-5,01	-0,08	3,01	0,00	0,00	0,00
B109	2,000	MSÚ-Sada B (auto)/10	VAZNICE - IPE120	4,67	0,00	-1,07	0,00	0,00	0,00
B171	0,000	MSÚ-Sada B (auto)/21	VAZNICE - IPE120	0,53	-0,46	5,47	0,00	0,00	0,00
B171	2,000	MSÚ-Sada B (auto)/21	VAZNICE - IPE120	0,57	0,46	-5,47	0,00	0,00	0,00
B171	2,000	MSÚ-Sada B (auto)/22	VAZNICE - IPE120	0,95	0,28	-8,38	0,00	0,00	0,00
B171	0,000	MSÚ-Sada B (auto)/22	VAZNICE - IPE120	0,77	-0,28	8,38	0,00	0,00	0,00
B429	0,000	MSÚ-Sada B (auto)/23	VAZNICE - IPE120	0,43	0,08	4,33	0,00	0,00	0,00
B456	0,000	MSÚ-Sada B (auto)/23	VAZNICE - IPE120	0,49	0,08	4,33	0,00	0,00	0,00
B171	1,000	MSÚ-Sada B (auto)/2	VAZNICE - IPE120	-0,14	0,00	0,00	0,00	-1,24	0,20
B171	1,000	MSÚ-Sada B (auto)/22	VAZNICE - IPE120	0,86	0,00	0,00	0,00	4,19	-0,14
B171	1,000	MSÚ-Sada B (auto)/21	VAZNICE - IPE120	0,55	0,00	0,00	0,00	2,73	-0,23
B227	2,369	MSÚ-Sada B (auto)/1	PRUVLAK7 - Komora fl (200,00; 15,00; 270,00; 8,00; 154,00)	-4,72	1,42	-26,05	-5,16	-38,68	2,89
B230	2,222	MSÚ-Sada B (auto)/24	PRUVLAK7 - Komora fl (200,00; 15,00; 270,00; 8,00; 154,00)	0,05	-0,23	1,66	0,26	0,00	0,00
B200	0,000	MSÚ-Sada B (auto)/4	PRUVLAK7 - Komora fl (200,00; 15,00;	-2,45	-1,90	4,88	2,29	-7,31	1,92

Projekt RNR

Jméno	dx [m]	Stav	Průřez	N [kN]	V _y [kN]	V _z [kN]	M _x [kNm]	M _y [kNm]	M _z [kNm]
			270,00; 8,00; 154,00)						
B201	2,000	MSÚ-Sada B (auto)/3	PRUVLAK7 - Komora fl (200,00; 15,00; 270,00; 8,00; 154,00)	-3,29	2,19	-4,69	-3,37	-13,01	2,51
B227	2,369	MSÚ-Sada B (auto)/8	PRUVLAK7 - Komora fl (200,00; 15,00; 270,00; 8,00; 154,00)	-4,68	1,42	-26,06	-5,15	-38,70	2,88
B230	0,000	MSÚ-Sada B (auto)/8	PRUVLAK7 - Komora fl (200,00; 15,00; 270,00; 8,00; 154,00)	-1,53	-0,62	18,74	2,47	-21,46	0,94
B227	1,896+	MSÚ-Sada B (auto)/10	PRUVLAK7 - Komora fl (200,00; 15,00; 270,00; 8,00; 154,00)	-4,41	1,33	-22,08	-5,22	-27,33	2,25
B230	0,000	MSÚ-Sada B (auto)/3	PRUVLAK7 - Komora fl (200,00; 15,00; 270,00; 8,00; 154,00)	-1,53	-0,61	18,63	2,52	-21,37	0,95
B227	2,369	MSÚ-Sada B (auto)/19	PRUVLAK7 - Komora fl (200,00; 15,00; 270,00; 8,00; 154,00)	-4,69	1,42	-26,00	-5,22	-38,72	2,90
B199	0,800	MSÚ-Sada B (auto)/7	PRUVLAK7 - Komora fl (200,00; 15,00; 270,00; 8,00; 154,00)	-0,83	-0,31	-0,41	1,48	2,53	-0,40
B201	0,000	MSÚ-Sada B (auto)/3	PRUVLAK7 - Komora fl (200,00; 15,00; 270,00; 8,00; 154,00)	-3,49	1,81	12,08	-3,37	-20,40	-1,50
B227	2,369	MSÚ-Sada B (auto)/3	PRUVLAK7 - Komora fl (200,00; 15,00; 270,00; 8,00; 154,00)	-4,69	1,42	-26,00	-5,22	-38,72	2,90
B617	0,000	MSÚ-Sada B (auto)/10	STŘEŠNÍ ZTUŽIDLO - CHS48.3/3.2	-5,93	0,00	0,06	0,03	0,00	0,00
B237	2,779	MSÚ-Sada B (auto)/3	STŘEŠNÍ ZTUŽIDLO - CHS48.3/3.2	3,72	0,00	-0,06	0,00	0,00	0,00
B466	3,323	MSÚ-Sada B (auto)/25	STŘEŠNÍ ZTUŽIDLO - CHS48.3/3.2	-0,22	0,00	-0,08	0,00	0,00	0,00
B466	0,000	MSÚ-Sada B (auto)/25	STŘEŠNÍ ZTUŽIDLO - CHS48.3/3.2	-0,23	0,00	0,08	0,00	0,00	0,00
B618	0,000	MSÚ-Sada B (auto)/10	STŘEŠNÍ ZTUŽIDLO - CHS48.3/3.2	-0,91	0,00	0,06	-0,03	0,00	0,00
B563	0,000	MSÚ-Sada B (auto)/3	STŘEŠNÍ ZTUŽIDLO - CHS48.3/3.2	-0,67	0,00	0,06	0,03	0,00	0,00
B467	1,663	MSÚ-Sada B	STŘEŠNÍ	0,28	0,00	0,00	0,00	0,07	0,00

Projekt RNR

Jméno	dx [m]	Stav	Průřez	N [kN]	V _y [kN]	V _z [kN]	M _x [kNm]	M _y [kNm]	M _z [kNm]
		(auto)/25	ZTUŽIDLO - CHS48.3/3.2						
B320	0,000	MSÚ-Sada B (auto)/26	SLOUP12 - RHS200/150/8.0	2,67	-0,23	1,01	0,00	0,00	0,00
B368	0,000	MSÚ-Sada B (auto)/27	SLOUP12 - RHS200/150/8.0	1,99	0,44	1,57	0,00	0,00	0,00
B368	0,000	MSÚ-Sada B (auto)/28	SLOUP12 - RHS200/150/8.0	18,33	0,10	-5,49	0,00	0,00	0,00
B368	0,000	MSÚ-Sada B (auto)/29	SLOUP12 - RHS200/150/8.0	-12,06	-0,13	4,00	0,00	0,00	0,00
B320	0,000	MSÚ-Sada B (auto)/30	SLOUP12 - RHS200/150/8.0	-12,81	-0,11	3,65	0,00	0,00	0,00
B320	3,768	MSÚ-Sada B (auto)/28	SLOUP12 - RHS200/150/8.0	23,96	0,12	-2,93	0,00	-15,84	0,44
B320	3,768	MSÚ-Sada B (auto)/29	SLOUP12 - RHS200/150/8.0	-8,21	-0,11	1,95	0,00	11,28	-0,41
B368	3,768	MSÚ-Sada B (auto)/31	SLOUP12 - RHS200/150/8.0	7,75	-0,17	-0,47	0,00	-6,72	-0,66
B368	3,768	MSÚ-Sada B (auto)/27	SLOUP12 - RHS200/150/8.0	6,54	0,11	-0,41	0,00	2,18	1,04
B369	2,656+	MSÚ-Sada B (auto)/22	PRÍČEL5 - Iw (500,00; 12,00; 150,00; 22,00; 456,00; 0,00)	-8,67	-0,74	37,78	0,07	-91,83	1,11
B321	2,656-	MSÚ-Sada B (auto)/28	PRÍČEL5 - Iw (500,00; 12,00; 150,00; 22,00; 456,00; 0,00)	2,25	0,95	-43,20	0,01	-94,30	1,20
B369	0,000	MSÚ-Sada B (auto)/32	PRÍČEL5 - Iw (500,00; 12,00; 150,00; 22,00; 456,00; 0,00)	-0,57	-1,29	-30,66	-0,01	0,39	1,90
B321	0,000	MSÚ-Sada B (auto)/22	PRÍČEL5 - Iw (500,00; 12,00; 150,00; 22,00; 456,00; 0,00)	-0,04	1,22	-35,60	0,00	3,32	-1,73
B321	2,656+	MSÚ-Sada B (auto)/22	PRÍČEL5 - Iw (500,00; 12,00; 150,00; 22,00; 456,00; 0,00)	-8,30	0,67	38,89	-0,08	-94,86	-0,89
B321	2,656+	MSÚ-Sada B (auto)/19	PRÍČEL5 - Iw (500,00; 12,00; 150,00; 22,00; 456,00; 0,00)	-7,60	0,56	37,89	-0,09	-93,21	-0,79
B369	2,656+	MSÚ-Sada B (auto)/19	PRÍČEL5 - Iw (500,00; 12,00; 150,00; 22,00; 456,00; 0,00)	-7,93	-0,62	36,79	0,08	-90,16	0,99
B321	2,656-	MSÚ-Sada B (auto)/23	PRÍČEL5 - Iw (500,00; 12,00; 150,00; 22,00; 456,00; 0,00)	1,43	1,06	-43,33	0,00	-99,05	1,33
B321	0,000	MSÚ-Sada B (auto)/28	PRÍČEL5 - Iw (500,00; 12,00; 150,00; 22,00; 456,00; 0,00)	2,07	0,95	-40,59	0,01	17,05	-1,32
B321	0,000	MSÚ-Sada B (auto)/32	PRÍČEL5 - Iw (500,00; 12,00; 150,00; 22,00; 456,00; 0,00)	-0,09	1,22	-32,06	0,00	1,50	-1,73
B325	3,946	MSÚ-Sada B (auto)/2	SLOUP15 - CHS168.3/8.0	18,72	0,00	1,10	0,00	4,33	-0,01
B322	0,000	MSÚ-Sada B (auto)/4	SLOUP15 - CHS168.3/8.0	-128,05	0,41	1,06	0,00	0,00	0,00
B322	0,000	MSÚ-Sada B (auto)/23	SLOUP15 - CHS168.3/8.0	-153,73	0,05	-0,16	0,00	0,00	0,00

Projekt RNR

Jméno	dx [m]	Stav	Průřez	N [kN]	V _y [kN]	V _z [kN]	M _x [kNm]	M _y [kNm]	M _z [kNm]
B361	3,946	MSÚ-Sada B (auto)/33	SLOUP15 - CHS168.3/8.0	-53,76	0,00	-1,30	0,00	-5,14	0,00
B322	3,946	MSÚ-Sada B (auto)/34	SLOUP15 - CHS168.3/8.0	-38,48	0,11	1,49	0,00	5,88	0,42
B370	3,946	MSÚ-Sada B (auto)/35	SLOUP15 - CHS168.3/8.0	4,49	-0,24	1,19	0,00	4,71	-0,95
B322	3,946	MSÚ-Sada B (auto)/4	SLOUP15 - CHS168.3/8.0	-126,64	0,05	1,06	0,00	4,16	0,90
B418	3,768	MSÚ-Sada B (auto)/27	SLOUP10 - RHS200/120/8.0	2,98	-0,88	-0,95	0,00	3,89	-0,01
B418	0,000	MSÚ-Sada B (auto)/27	SLOUP10 - RHS200/120/8.0	-4,43	1,50	3,01	0,00	0,00	0,00
B365	0,000	MSÚ-Sada B (auto)/28	SLOUP10 - RHS200/120/8.0	3,51	0,37	-5,91	0,00	0,00	0,00
B415	0,000	MSÚ-Sada B (auto)/34	SLOUP10 - RHS200/120/8.0	-9,18	0,00	4,55	0,00	0,00	0,00
B323	0,000	MSÚ-Sada B (auto)/30	SLOUP10 - RHS200/120/8.0	-16,11	-0,49	3,72	0,00	0,00	0,00
B323	3,768	MSÚ-Sada B (auto)/28	SLOUP10 - RHS200/120/8.0	13,18	-0,22	-0,73	0,00	-12,37	0,00
B403	3,768	MSÚ-Sada B (auto)/34	SLOUP10 - RHS200/120/8.0	-1,20	0,26	0,25	0,00	9,06	0,00
B418	1,300-	MSÚ-Sada B (auto)/31	SLOUP10 - RHS200/120/8.0	-2,57	-0,74	-1,73	0,00	-3,44	-0,96
B418	1,300+	MSÚ-Sada B (auto)/27	SLOUP10 - RHS200/120/8.0	-1,88	-0,66	1,65	0,00	3,03	1,88
B366	2,656+	MSÚ-Sada B (auto)/31	PRÍČEL3 - Iw (500,00; 10,00; 120,00; 15,00; 470,00; 0,00)	-3,87	0,04	4,42	0,00	-9,79	-0,01
B366	2,656-	MSÚ-Sada B (auto)/32	PRÍČEL3 - Iw (500,00; 10,00; 120,00; 15,00; 470,00; 0,00)	3,43	0,01	-16,88	0,00	-42,55	0,03
B360	2,656+	MSÚ-Sada B (auto)/36	PRÍČEL3 - Iw (500,00; 10,00; 120,00; 15,00; 470,00; 0,00)	-0,14	-0,06	8,09	0,00	-19,90	0,04
B366	2,656+	MSÚ-Sada B (auto)/23	PRÍČEL3 - Iw (500,00; 10,00; 120,00; 15,00; 470,00; 0,00)	-2,09	0,02	20,30	0,00	-47,88	0,01
B324	2,656+	MSÚ-Sada B (auto)/4	PRÍČEL3 - Iw (500,00; 10,00; 120,00; 15,00; 470,00; 0,00)	-0,97	0,01	16,44	-0,01	-39,40	0,00
B351	0,000	MSÚ-Sada B (auto)/27	PRÍČEL3 - Iw (500,00; 10,00; 120,00; 15,00; 470,00; 0,00)	1,34	0,00	-5,71	0,01	-2,20	0,00
B366	2,656-	MSÚ-Sada B (auto)/28	PRÍČEL3 - Iw (500,00; 10,00; 120,00; 15,00; 470,00; 0,00)	1,44	0,00	-24,57	0,00	-50,65	0,01
B324	0,000	MSÚ-Sada B (auto)/28	PRÍČEL3 - Iw (500,00; 10,00; 120,00; 15,00; 470,00; 0,00)	0,87	0,01	-22,54	0,00	12,40	0,00
B360	4,538+	MSÚ-Sada B (auto)/36	PRÍČEL3 - Iw (500,00; 10,00; 120,00; 15,00; 470,00; 0,00)	0,35	0,04	3,32	0,00	-5,54	-0,08
B360	4,538-	MSÚ-Sada B (auto)/31	PRÍČEL3 - Iw (500,00; 10,00; 120,00; 15,00; 470,00; 0,00)	-0,51	0,05	5,10	0,00	-2,78	0,08

Projekt RNR

Jméno	dx [m]	Stav	Průřez	N [kN]	V _y [kN]	V _z [kN]	M _x [kNm]	M _y [kNm]	M _z [kNm]
B407	2,656+	MSÚ-Sada B (auto)/31	PRÍČEL4 - Iw (500,00; 12,00; 120,00; 22,00; 456,00; 0,00)	-2,45	0,06	6,85	0,00	-14,65	-0,05
B372	2,656-	MSÚ-Sada B (auto)/32	PRÍČEL4 - Iw (500,00; 12,00; 120,00; 22,00; 456,00; 0,00)	3,84	-0,04	-16,62	0,00	-43,35	-0,03
B372	0,000	MSÚ-Sada B (auto)/28	PRÍČEL4 - Iw (500,00; 12,00; 120,00; 22,00; 456,00; 0,00)	2,68	-0,23	-18,54	0,00	9,07	0,35
B422	2,656+	MSÚ-Sada B (auto)/31	PRÍČEL4 - Iw (500,00; 12,00; 120,00; 22,00; 456,00; 0,00)	-0,07	0,25	4,37	0,01	-11,96	-0,25
B419	2,656-	MSÚ-Sada B (auto)/28	PRÍČEL4 - Iw (500,00; 12,00; 120,00; 22,00; 456,00; 0,00)	0,77	0,00	-20,97	0,00	-45,72	0,01
B372	4,538+	MSÚ-Sada B (auto)/3	PRÍČEL4 - Iw (500,00; 12,00; 120,00; 22,00; 456,00; 0,00)	1,15	0,10	8,65	-0,04	-16,31	-0,06
B422	4,538+	MSÚ-Sada B (auto)/10	PRÍČEL4 - Iw (500,00; 12,00; 120,00; 22,00; 456,00; 0,00)	1,11	-0,11	8,52	0,03	-16,01	0,10
B419	2,656+	MSÚ-Sada B (auto)/23	PRÍČEL4 - Iw (500,00; 12,00; 120,00; 22,00; 456,00; 0,00)	-0,86	0,01	20,24	0,00	-49,19	0,03
B422	0,000	MSÚ-Sada B (auto)/31	PRÍČEL4 - Iw (500,00; 12,00; 120,00; 22,00; 456,00; 0,00)	-0,30	0,22	-4,79	0,00	3,90	-0,33
B428	0,000	MSÚ-Sada B (auto)/23	pruvlak2 - Komora fl (200,00; 15,00; 270,00; 8,00; 154,00)	-2,62	1,66	24,83	-2,85	-37,35	-3,49
B373	0,000	MSÚ-Sada B (auto)/29	pruvlak2 - Komora fl (200,00; 15,00; 270,00; 8,00; 154,00)	-0,18	-0,15	-1,25	0,50	0,00	0,00
B373	2,369	MSÚ-Sada B (auto)/32	pruvlak2 - Komora fl (200,00; 15,00; 270,00; 8,00; 154,00)	-1,52	-1,61	-22,83	3,00	-36,61	-3,45
B428	0,000	MSÚ-Sada B (auto)/32	pruvlak2 - Komora fl (200,00; 15,00; 270,00; 8,00; 154,00)	-1,88	1,82	22,31	-2,61	-33,75	-3,69
B428	0,000	MSÚ-Sada B (auto)/10	pruvlak2 - Komora fl (200,00; 15,00; 270,00; 8,00; 154,00)	-2,50	1,72	24,22	-3,10	-36,40	-3,65
B373	1,896+	MSÚ-Sada B (auto)/3	pruvlak2 - Komora fl (200,00; 15,00; 270,00; 8,00; 154,00)	-1,78	-1,51	-21,74	3,61	-28,87	-2,76

Projekt RNR

Jméno	dx [m]	Stav	Průřez	N [kN]	V _y [kN]	V _z [kN]	M _x [kNm]	M _y [kNm]	M _z [kNm]
B373	2,369	MSÚ-Sada B (auto)/23	pruvlak2 - Komora fl (200,00; 15,00; 270,00; 8,00; 154,00)	-2,15	-1,50	-25,73	3,36	-40,95	-3,33
B428	0,000	MSÚ-Sada B (auto)/22	pruvlak2 - Komora fl (200,00; 15,00; 270,00; 8,00; 154,00)	-2,49	1,76	24,63	-2,93	-36,90	-3,70
B428	0,000	MSÚ-Sada B (auto)/37	pruvlak2 - Komora fl (200,00; 15,00; 270,00; 8,00; 154,00)	-0,90	-0,45	-0,40	-0,23	-1,17	0,60
B529	0,000	MSÚ-Sada B (auto)/29	PRUVLAK9 - Komora fl (150,00; 20,00; 80,00; 10,00; 110,00)	-1,33	-0,09	-0,26	-0,28	0,00	0,00
B533	2,228	MSÚ-Sada B (auto)/10	PRUVLAK9 - Komora fl (150,00; 20,00; 80,00; 10,00; 110,00)	4,80	-0,27	-1,14	-0,37	0,00	0,00
B424	2,656+	MSÚ-Sada B (auto)/38	PRUVLAK9 - Komora fl (150,00; 20,00; 80,00; 10,00; 110,00)	2,87	-0,41	4,81	-0,04	-10,56	0,33
B531	0,000	MSÚ-Sada B (auto)/38	PRUVLAK9 - Komora fl (150,00; 20,00; 80,00; 10,00; 110,00)	2,59	0,40	1,97	-0,99	-2,99	-0,42
B473	2,369	MSÚ-Sada B (auto)/3	PRUVLAK9 - Komora fl (150,00; 20,00; 80,00; 10,00; 110,00)	3,95	0,08	-7,10	0,53	-6,86	0,33
B533	0,000	MSÚ-Sada B (auto)/10	PRUVLAK9 - Komora fl (150,00; 20,00; 80,00; 10,00; 110,00)	4,02	-0,15	6,75	-0,37	-6,16	0,46
B531	1,000-	MSÚ-Sada B (auto)/3	PRUVLAK9 - Komora fl (150,00; 20,00; 80,00; 10,00; 110,00)	3,04	0,32	-1,45	-1,04	-2,86	-0,08
B471	0,400	MSÚ-Sada B (auto)/10	PRUVLAK9 - Komora fl (150,00; 20,00; 80,00; 10,00; 110,00)	2,91	-0,27	3,69	1,22	-5,02	0,05
B374	2,656+	MSÚ-Sada B (auto)/19	PRUVLAK9 - Komora fl (150,00; 20,00; 80,00; 10,00; 110,00)	2,71	0,20	5,52	0,03	-11,85	0,05
B529	0,600	MSÚ-Sada B (auto)/32	PRUVLAK9 - Komora fl (150,00; 20,00; 80,00; 10,00; 110,00)	-0,11	-0,08	0,14	0,26	0,72	-0,03
B424	4,538-	MSÚ-Sada B	PRUVLAK9 -	3,07	-0,41	3,49	-0,03	-2,60	-0,48

Projekt RNR

Jméno	dx [m]	Stav	Průřez	N [kN]	V _y [kN]	V _z [kN]	M _x [kNm]	M _y [kNm]	M _z [kNm]
		(auto)/32	Komora fl (150,00; 20,00; 80,00; 10,00; 110,00)						
B374	4,538-	MSÚ-Sada B (auto)/32	PRUVLAK9 - Komora fl (150,00; 20,00; 80,00; 10,00; 110,00)	2,66	0,28	3,72	0,02	-2,54	0,53
B425	0,000	MSÚ-Sada B (auto)/37	NOSNIK1 - IPE500	-0,75	-0,12	0,15	0,00	0,00	0,00
B375	2,000	MSÚ-Sada B (auto)/38	NOSNIK1 - IPE500	1,85	-0,27	-4,32	0,02	0,00	0,00
B426	2,000	MSÚ-Sada B (auto)/28	NOSNIK1 - IPE500	1,49	-1,81	-8,38	0,03	-6,35	-2,65
B377	0,000	MSÚ-Sada B (auto)/28	NOSNIK1 - IPE500	1,37	1,79	8,54	-0,03	-6,83	-2,60
B426	2,000	MSÚ-Sada B (auto)/10	NOSNIK1 - IPE500	1,69	-1,55	-8,98	0,02	-8,31	-2,46
B425	0,000	MSÚ-Sada B (auto)/28	NOSNIK1 - IPE500	1,14	0,34	5,08	-0,03	0,00	0,00
B377	0,000	MSÚ-Sada B (auto)/3	NOSNIK1 - IPE500	1,55	1,54	9,49	-0,02	-9,47	-2,42
B375	1,000	MSÚ-Sada B (auto)/28	NOSNIK1 - IPE500	1,24	-0,18	-0,20	0,03	2,73	0,25
B426	2,000	MSÚ-Sada B (auto)/23	NOSNIK1 - IPE500	1,47	-1,80	-8,79	0,03	-7,04	-2,73
B426	0,000	MSÚ-Sada B (auto)/23	NOSNIK1 - IPE500	1,35	-1,64	1,67	0,03	0,08	0,70
B427	0,000	MSÚ-Sada B (auto)/39	pruvlak4 - Komora fl (200,00; 15,00; 470,00; 8,00; 154,00)	-0,91	1,08	5,63	-0,93	-5,21	-2,58
B376	0,000	MSÚ-Sada B (auto)/23	pruvlak4 - Komora fl (200,00; 15,00; 470,00; 8,00; 154,00)	0,36	-1,74	1,95	0,87	0,00	0,00
B376	2,369	MSÚ-Sada B (auto)/22	pruvlak4 - Komora fl (200,00; 15,00; 470,00; 8,00; 154,00)	-0,49	-1,88	-9,36	1,37	-8,76	-4,30
B427	0,000	MSÚ-Sada B (auto)/10	pruvlak4 - Komora fl (200,00; 15,00; 470,00; 8,00; 154,00)	-0,77	2,06	8,97	-0,95	-7,64	-4,42
B427	0,000	MSÚ-Sada B (auto)/40	pruvlak4 - Komora fl (200,00; 15,00; 470,00; 8,00; 154,00)	-0,63	1,80	7,91	-0,95	-7,01	-3,85
B376	2,369	MSÚ-Sada B (auto)/3	pruvlak4 - Komora fl (200,00; 15,00; 470,00; 8,00; 154,00)	-0,49	-1,88	-9,75	1,49	-9,29	-4,28
B427	1,782+	MSÚ-Sada B (auto)/41	pruvlak4 - Komora fl (200,00; 15,00; 470,00; 8,00; 154,00)	0,14	1,86	-0,11	-0,22	0,49	-0,82
B427	0,000	MSÚ-Sada B (auto)/22	pruvlak4 - Komora fl	-0,78	2,06	8,59	-0,83	-7,14	-4,45

Projekt RNR

Jméno	dx [m]	Stav	Průřez	N [kN]	V _y [kN]	V _z [kN]	M _x [kNm]	M _y [kNm]	M _z [kNm]
			(200,00; 15,00; 470,00; 8,00; 154,00)						
B427	0,000	MSÚ-Sada B (auto)/37	pruvlak4 - Komora fl (200,00; 15,00; 470,00; 8,00; 154,00)	-0,41	-0,25	-0,07	-0,24	-0,56	0,28
B411	0,000	MSÚ-Sada B (auto)/31	PRUVLAK5 - IPE330	-3,10	-0,07	12,09	0,00	0,00	0,00
B396	4,000	MSÚ-Sada B (auto)/32	PRUVLAK5 - IPE330	3,06	-0,14	-24,76	0,01	0,00	0,00
B423	4,000	MSÚ-Sada B (auto)/28	PRUVLAK5 - IPE330	0,67	-0,97	-41,80	0,00	-35,52	-0,99
B423	4,000	MSÚ-Sada B (auto)/23	PRUVLAK5 - IPE330	0,50	-0,87	-43,11	0,00	-38,04	-0,97
B420	0,000	MSÚ-Sada B (auto)/32	PRUVLAK5 - IPE330	1,06	0,20	29,83	-0,01	0,00	0,00
B381	2,000+	MSÚ-Sada B (auto)/32	PRUVLAK5 - IPE330	1,88	0,04	-18,56	0,01	49,16	0,20
B378	0,000	MSÚ-Sada B (auto)/23	PRUVLAK5 - IPE330	-1,05	0,92	43,96	0,00	-40,95	-1,03
B420	2,000-	MSÚ-Sada B (auto)/23	PRUVLAK5 - IPE330	-0,61	0,04	21,13	-0,01	56,06	0,25
B378	0,000	MSÚ-Sada B (auto)/28	PRUVLAK5 - IPE330	-0,84	1,03	42,38	0,00	-37,54	-1,06
B378	2,000-	MSÚ-Sada B (auto)/28	PRUVLAK5 - IPE330	-0,72	0,56	27,52	0,00	32,38	0,53
B472	0,000	MSÚ-Sada B (auto)/23	NOSNIK - IPE200	-3,91	0,16	12,29	0,00	-11,30	-0,10
B530	2,000	MSÚ-Sada B (auto)/36	NOSNIK - IPE200	0,71	-0,22	-3,35	0,00	0,98	-0,05
B530	2,000	MSÚ-Sada B (auto)/42	NOSNIK - IPE200	-2,40	-0,24	-3,37	0,00	1,22	-0,09
B532	2,000	MSÚ-Sada B (auto)/23	NOSNIK - IPE200	-3,65	-0,15	-12,02	0,00	-10,39	-0,08
B532	0,400	MSÚ-Sada B (auto)/19	NOSNIK - IPE200	-3,47	0,04	-2,24	0,00	0,41	-0,01
B472	1,400	MSÚ-Sada B (auto)/19	NOSNIK - IPE200	-3,53	-0,01	3,63	0,00	-0,67	0,00
B472	0,000	MSÚ-Sada B (auto)/22	NOSNIK - IPE200	-3,59	0,11	12,25	0,00	-11,33	-0,04
B530	1,200	MSÚ-Sada B (auto)/28	NOSNIK - IPE200	-3,21	-0,08	-0,47	0,00	3,73	0,04
B472	0,000	MSÚ-Sada B (auto)/28	NOSNIK - IPE200	-3,56	0,25	11,63	0,00	-10,17	-0,13
B532	0,000	MSÚ-Sada B (auto)/31	NOSNIK - IPE200	-2,19	-0,23	-0,91	0,00	0,25	0,12
B534	0,000	MSÚ-Sada B (auto)/43	pruvlak3 - Komora fl (100,00; 10,00; 180,00; 6,00; 68,00)	-1,06	0,17	10,55	-0,40	-9,95	-0,19
B534	2,228	MSÚ-Sada B (auto)/44	pruvlak3 - Komora fl (100,00; 10,00; 180,00; 6,00; 68,00)	0,96	0,08	1,09	-0,09	0,00	0,00
B474	2,369	MSÚ-Sada B (auto)/32	pruvlak3 - Komora fl (100,00; 10,00; 180,00; 6,00; 68,00)	-0,64	-0,23	-9,99	0,43	-10,21	-0,24
B534	0,000	MSÚ-Sada B (auto)/22	pruvlak3 - Komora fl (100,00; 10,00;	-1,02	0,17	10,93	-0,42	-10,41	-0,20

Projekt RNR

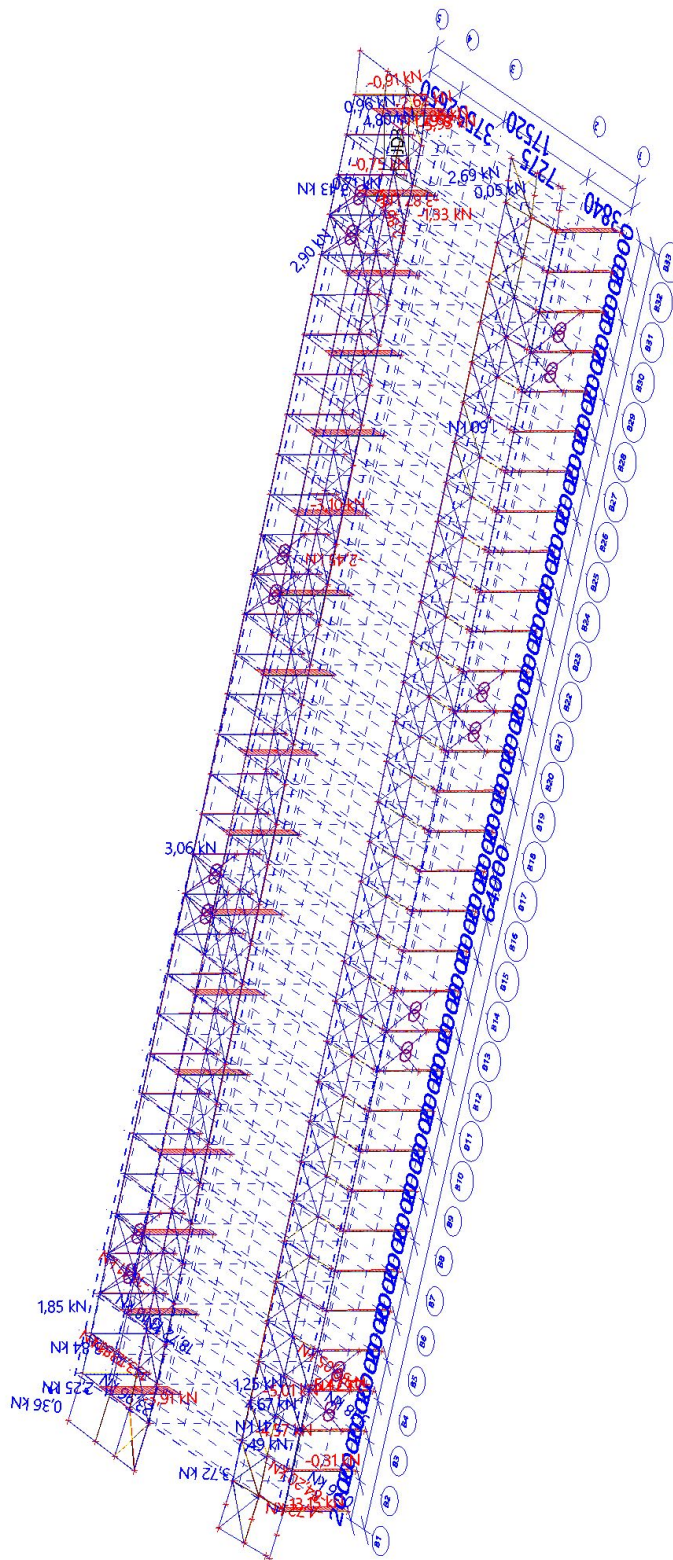
Jméno	dx [m]	Stav	Průřez	N [kN]	V _y [kN]	V _z [kN]	M _x [kNm]	M _y [kNm]	M _z [kNm]
			180,00; 6,00; 68,00)						
B534	0,000	MSÚ-Sada B (auto)/3	pruvlak3 - Komora fl (100,00; 10,00; 180,00; 6,00; 68,00)	-0,92	0,16	10,73	-0,47	-10,28	-0,19
B474	1,896+	MSÚ-Sada B (auto)/10	pruvlak3 - Komora fl (100,00; 10,00; 180,00; 6,00; 68,00)	-0,54	-0,12	-8,51	0,55	-6,55	-0,13
B474	2,369	MSÚ-Sada B (auto)/22	pruvlak3 - Komora fl (100,00; 10,00; 180,00; 6,00; 68,00)	-0,81	-0,16	-11,34	0,50	-11,33	-0,20
B474	0,284	MSÚ-Sada B (auto)/41	pruvlak3 - Komora fl (100,00; 10,00; 180,00; 6,00; 68,00)	0,16	-0,02	0,08	0,46	0,26	0,00
B534	0,000	MSÚ-Sada B (auto)/32	pruvlak3 - Komora fl (100,00; 10,00; 180,00; 6,00; 68,00)	-0,78	0,25	9,80	-0,37	-9,53	-0,25
B534	0,000	MSÚ-Sada B (auto)/37	pruvlak3 - Komora fl (100,00; 10,00; 180,00; 6,00; 68,00)	0,59	-0,22	-1,22	-0,06	0,19	0,16
B635	3,200	MSÚ-Sada B (auto)/14	STENOVE TAHLO - RD20	2,90	0,00	0,00	0,00	0,00	0,00
B633	0,000	MSÚ-Sada B (auto)/14	STENOVE TAHLO - RD20	-2,86	0,00	0,00	0,00	0,00	0,00

Jméno	Klíč kombinace
MSÚ-Sada B (auto)/1	1.15*ZS1 + 1.15*ZS2 + 1.15*ZS3 + 1.50*ZS5 + 1.50*ZS6 + 0.90*3DVitr13
MSÚ-Sada B (auto)/2	ZS1 + ZS2 + ZS3 + 1.50*3DVitr3
MSÚ-Sada B (auto)/3	1.15*ZS1 + 1.15*ZS2 + 1.15*ZS3 + 1.50*ZS5 + 1.50*ZS6 + 0.90*3DVitr9
MSÚ-Sada B (auto)/4	1.15*ZS1 + 1.15*ZS2 + 1.15*ZS3 + 0.75*ZS5 + 1.50*ZS6 + 1.50*3DVitr1
MSÚ-Sada B (auto)/5	1.15*ZS1 + 1.15*ZS2 + 1.15*ZS3 + 0.75*ZS5 + 1.50*ZS6 + 1.50*3DVitr6
MSÚ-Sada B (auto)/6	1.15*ZS1 + 1.15*ZS2 + 1.15*ZS3 + 1.50*3DVitr13
MSÚ-Sada B (auto)/7	1.15*ZS1 + 1.15*ZS2 + 1.15*ZS3 + 0.75*ZS5 + 1.50*ZS6 + 1.50*3DVitr13
MSÚ-Sada B (auto)/8	1.15*ZS1 + 1.15*ZS2 + 1.15*ZS3 + 1.50*ZS5 + 1.50*ZS6 + 0.90*3DVitr6
MSÚ-Sada B (auto)/9	ZS1 + ZS2 + ZS3 + 1.50*3DVitr15
MSÚ-Sada B (auto)/10	1.15*ZS1 + 1.15*ZS2 + 1.15*ZS3 + 1.50*ZS5 + 1.50*ZS6 + 0.90*3DVitr1
MSÚ-Sada B (auto)/11	1.15*ZS1 + 1.15*ZS2 + 1.15*ZS3 + 1.50*ZS5 + 1.50*ZS6 + 0.90*3DVitr10
MSÚ-Sada B (auto)/12	ZS1 + ZS2 + ZS3 + 1.50*3DVitr4
MSÚ-Sada B (auto)/13	1.15*ZS1 + 1.15*ZS2 + 1.15*ZS3 + 1.50*3DVitr9
MSÚ-Sada B (auto)/14	1.15*ZS1 + 1.15*ZS2 + 1.15*ZS3 + 1.50*3DVitr1
MSÚ-Sada B (auto)/15	ZS1 + ZS2 + ZS3 + 0.75*ZS5 + 1.50*ZS6 + 1.50*3DVitr13
MSÚ-Sada B (auto)/16	1.15*ZS1 + 1.15*ZS2 + 1.15*ZS3 + 1.50*3DVitr6
MSÚ-Sada B (auto)/17	1.15*ZS1 + 1.15*ZS2 + 1.15*ZS3 + 1.50*3DVitr15
MSÚ-Sada B (auto)/18	1.15*ZS1 + 1.15*ZS2 + 1.15*ZS3 + 1.50*ZS5 + 1.50*ZS6 + 0.90*3DVitr3
MSÚ-Sada B (auto)/19	1.15*ZS1 + 1.15*ZS2 + 1.15*ZS3 + 1.50*ZS5 + 1.50*ZS6

Projekt RNR

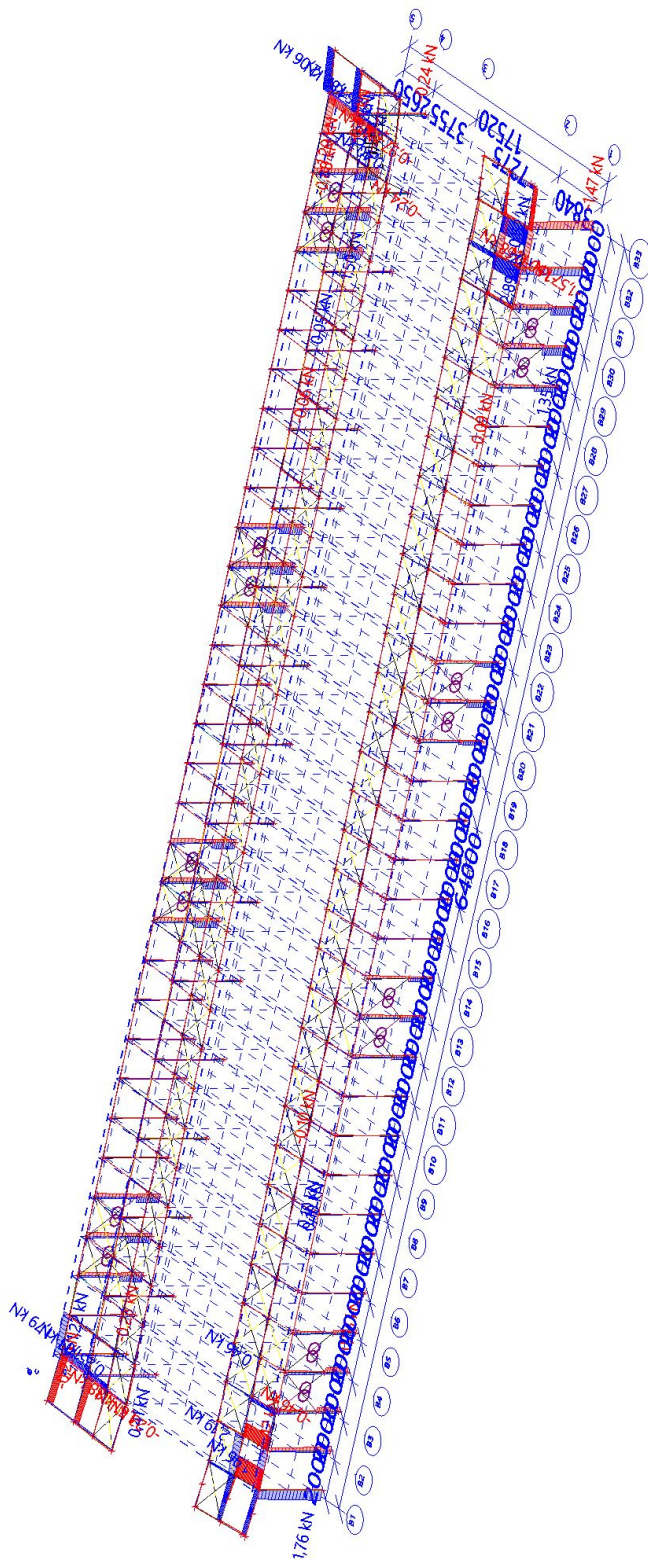
Jméno	Klíč kombinace
	+ 0.90*3DVítr2
MSÚ-Sada B (auto)/20	ZS1 + ZS2 + ZS3 + 1.50*3DVítr8
MSÚ-Sada B (auto)/21	1.15*ZS1 + 1.15*ZS2 + 1.15*ZS3 + 1.50*3DVítr5
MSÚ-Sada B (auto)/22	1.15*ZS1 + 1.15*ZS2 + 1.15*ZS3 + 1.50*ZS5 + 1.50*ZS6 + 0.90*3DVítr5
MSÚ-Sada B (auto)/23	1.15*ZS1 + 1.15*ZS2 + 1.15*ZS3 + 1.50*ZS5 + 1.50*ZS6 + 0.90*3DVítr14
MSÚ-Sada B (auto)/24	1.15*ZS1 + 1.15*ZS2 + 1.15*ZS3 + 1.50*3DVítr8
MSÚ-Sada B (auto)/25	1.35*ZS1 + 1.35*ZS2 + 1.35*ZS3
MSÚ-Sada B (auto)/26	ZS1 + ZS2 + ZS3 + 1.50*3DVítr9
MSÚ-Sada B (auto)/27	ZS1 + ZS2 + ZS3 + 1.50*3DVítr1
MSÚ-Sada B (auto)/28	1.15*ZS1 + 1.15*ZS2 + 1.15*ZS3 + 0.75*ZS5 + 1.50*ZS6 + 1.50*3DVítr14
MSÚ-Sada B (auto)/29	ZS1 + ZS2 + ZS3 + 1.50*3DVítr7
MSÚ-Sada B (auto)/30	1.15*ZS1 + 1.15*ZS2 + 1.15*ZS3 + 1.50*3DVítr7
MSÚ-Sada B (auto)/31	1.15*ZS1 + 1.15*ZS2 + 1.15*ZS3 + 0.75*ZS5 + 1.50*ZS6 + 1.50*3DVítr16
MSÚ-Sada B (auto)/32	1.15*ZS1 + 1.15*ZS2 + 1.15*ZS3 + 0.75*ZS5 + 1.50*ZS6 + 1.50*3DVítr5
MSÚ-Sada B (auto)/33	ZS1 + ZS2 + ZS3 + 1.50*3DVítr14
MSÚ-Sada B (auto)/34	1.15*ZS1 + 1.15*ZS2 + 1.15*ZS3 + 0.75*ZS5 + 1.50*ZS6 + 1.50*3DVítr7
MSÚ-Sada B (auto)/35	1.15*ZS1 + 1.15*ZS2 + 1.15*ZS3 + 1.50*3DVítr3
MSÚ-Sada B (auto)/36	ZS1 + ZS2 + ZS3 + 1.50*3DVítr5
MSÚ-Sada B (auto)/37	ZS1 + ZS2 + ZS3 + 1.50*3DVítr16
MSÚ-Sada B (auto)/38	1.15*ZS1 + 1.15*ZS2 + 1.15*ZS3 + 0.75*ZS5 + 1.50*ZS6 + 1.50*3DVítr9
MSÚ-Sada B (auto)/39	1.15*ZS1 + 1.15*ZS2 + 1.15*ZS3 + 1.50*ZS5 + 1.50*ZS6 + 0.90*3DVítr7
MSÚ-Sada B (auto)/40	1.35*ZS1 + 1.35*ZS2 + 1.35*ZS3 + 0.75*ZS5 + 1.50*ZS6 + 0.90*3DVítr1
MSÚ-Sada B (auto)/41	ZS1 + ZS2 + ZS3 + 1.50*ZS5 + 1.50*ZS6 + 0.90*3DVítr14
MSÚ-Sada B (auto)/42	1.15*ZS1 + 1.15*ZS2 + 1.15*ZS3 + 1.50*3DVítr14
MSÚ-Sada B (auto)/43	ZS1 + ZS2 + ZS3 + 1.50*ZS5 + 1.50*ZS6 + 0.90*3DVítr5
MSÚ-Sada B (auto)/44	1.15*ZS1 + 1.15*ZS2 + 1.15*ZS3 + 1.50*3DVítr16

37. 1D vnitřní síly; N



Hodnoty: **N**
Lineární výpočet
Kombinace: MSÚ-Sada B (auto)
Souradný systém: Hlavní
Extrém 1D: Průřez
Výběr: Vše

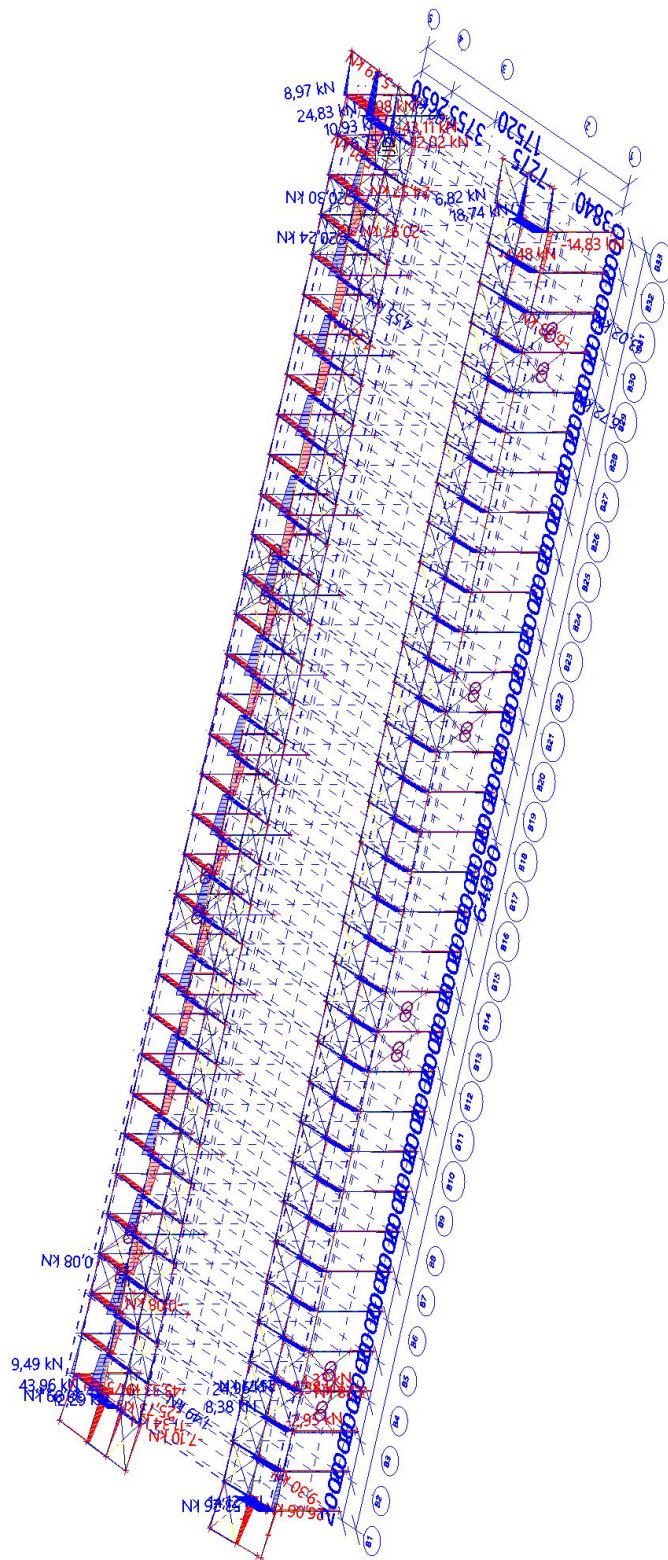
38. 1D vnitřní síly; V_y



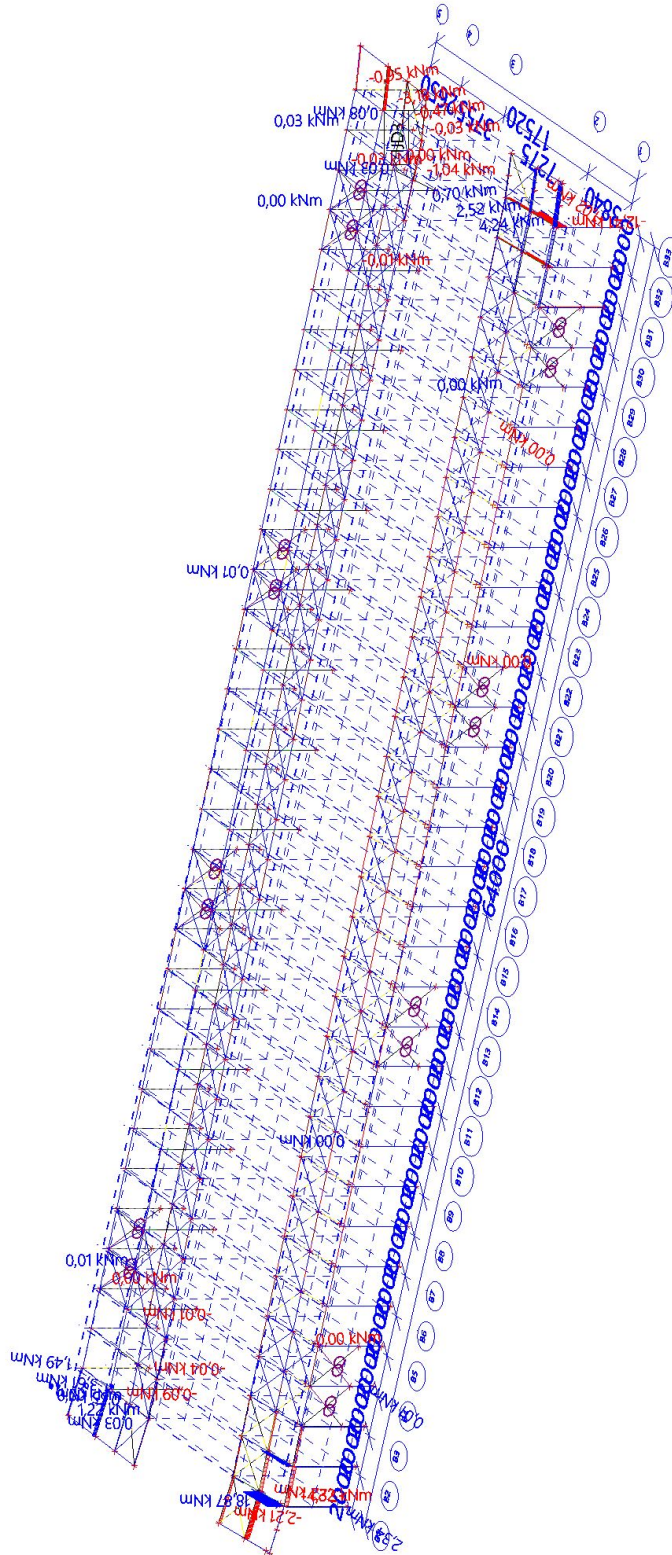
Hodnoty: V_y
Lineární výpočet
Kombinace: MSÚ-Sada B (auto)
Souřadný systém: Hlavní
Extrém ID: Průřez
Výběr: Vše



Projekt RNR

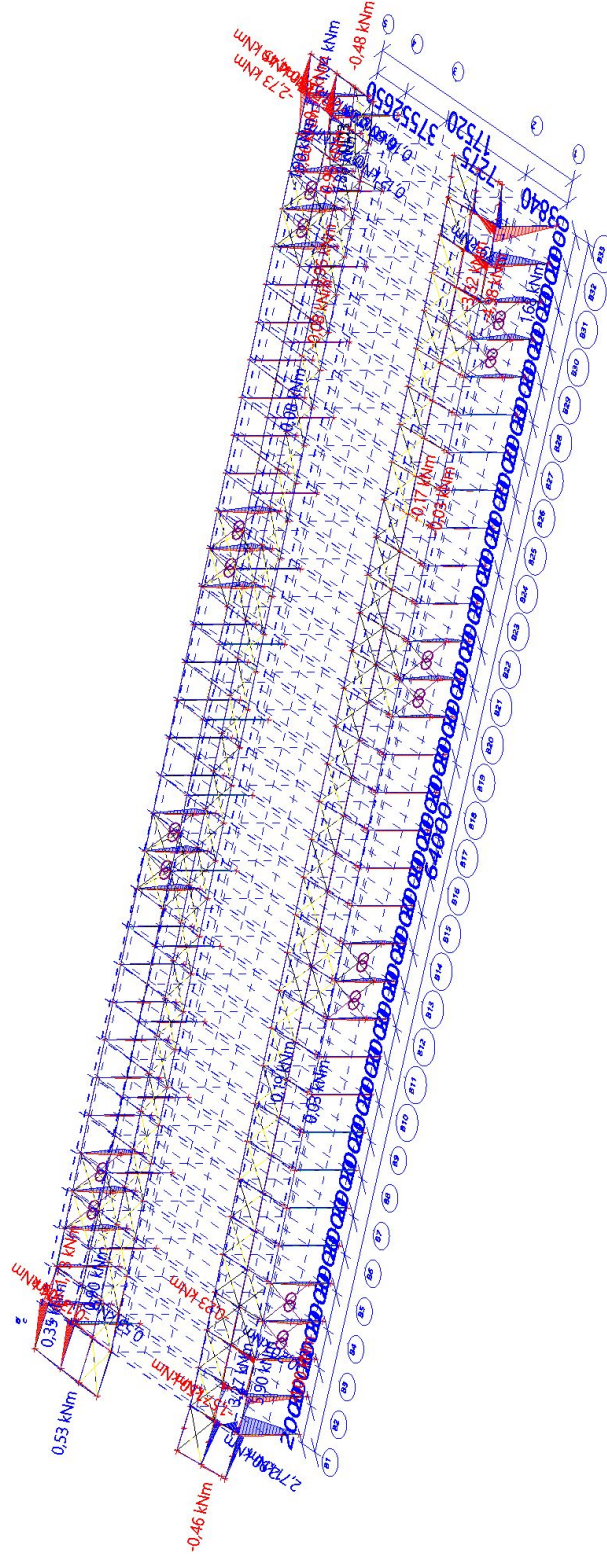
39. 1D vnitřní síly; V_z

40. 1D vnitřní síly; M_x



Hodnoty: M_x
Lineární výpočet
Kombinace: MSÚ-Sada B (auto)
Souřadný systém: Hlavní
Extrém 1D: Průřez
Výběr: Vše

42. 1D vnitřní síly; M_z

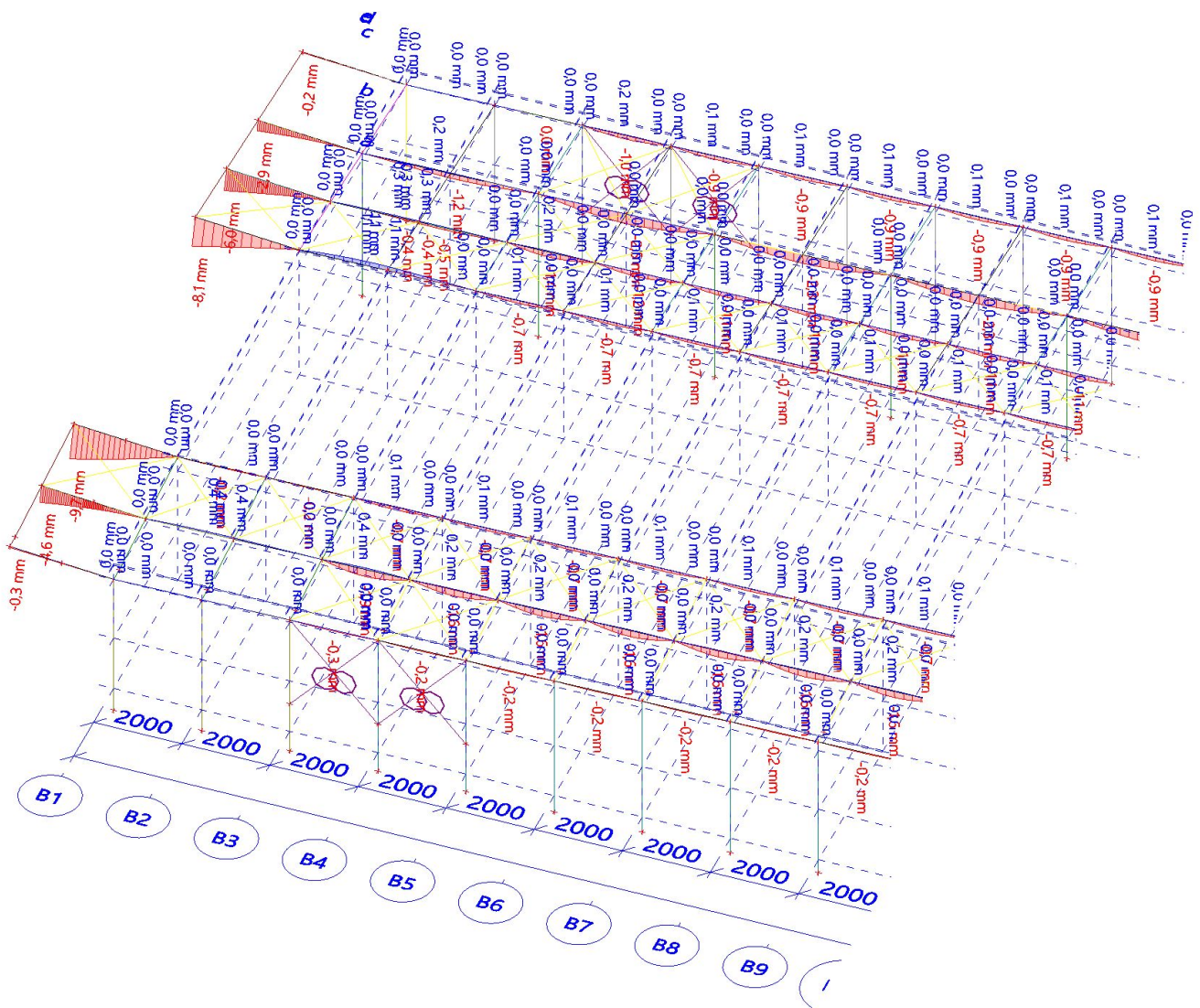


Hodnoty: M_z
Lineární výpočet
Kombinace: MSÚ-Sada B (auto)
Sourádný systém: Hlavní
Extrém 1D: Průřez
Výběr: Vše



43. 1D deformace; u_z

Hodnoty: u_z
Lineární výpočet
Kombinace: MSP-Char (auto)
Souřadný systém: Hlavní
Extrém 1D: Lokální
Výběr: Pojmenovaný výběr - STRECHA



44. 1D deformace; u_z

Hodnoty: u_z

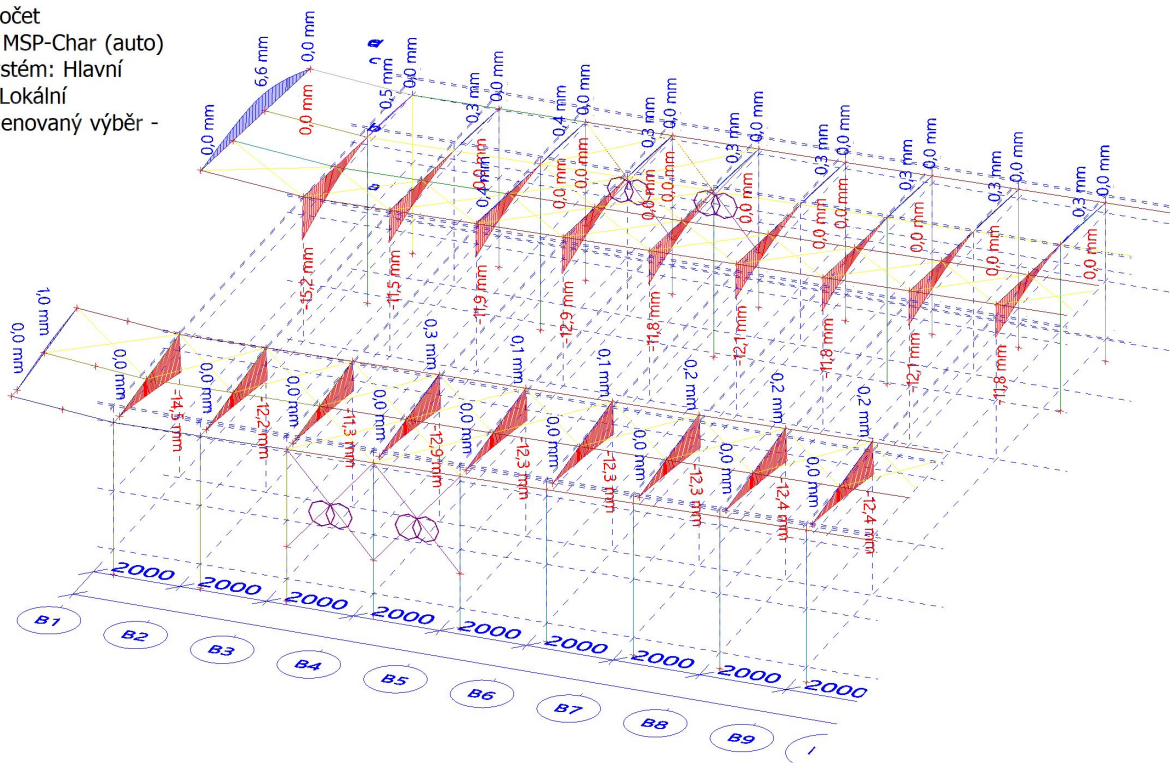
Lineární výpočet

Kombinace: MSP-Char (auto)

Souřadný systém: Hlavní

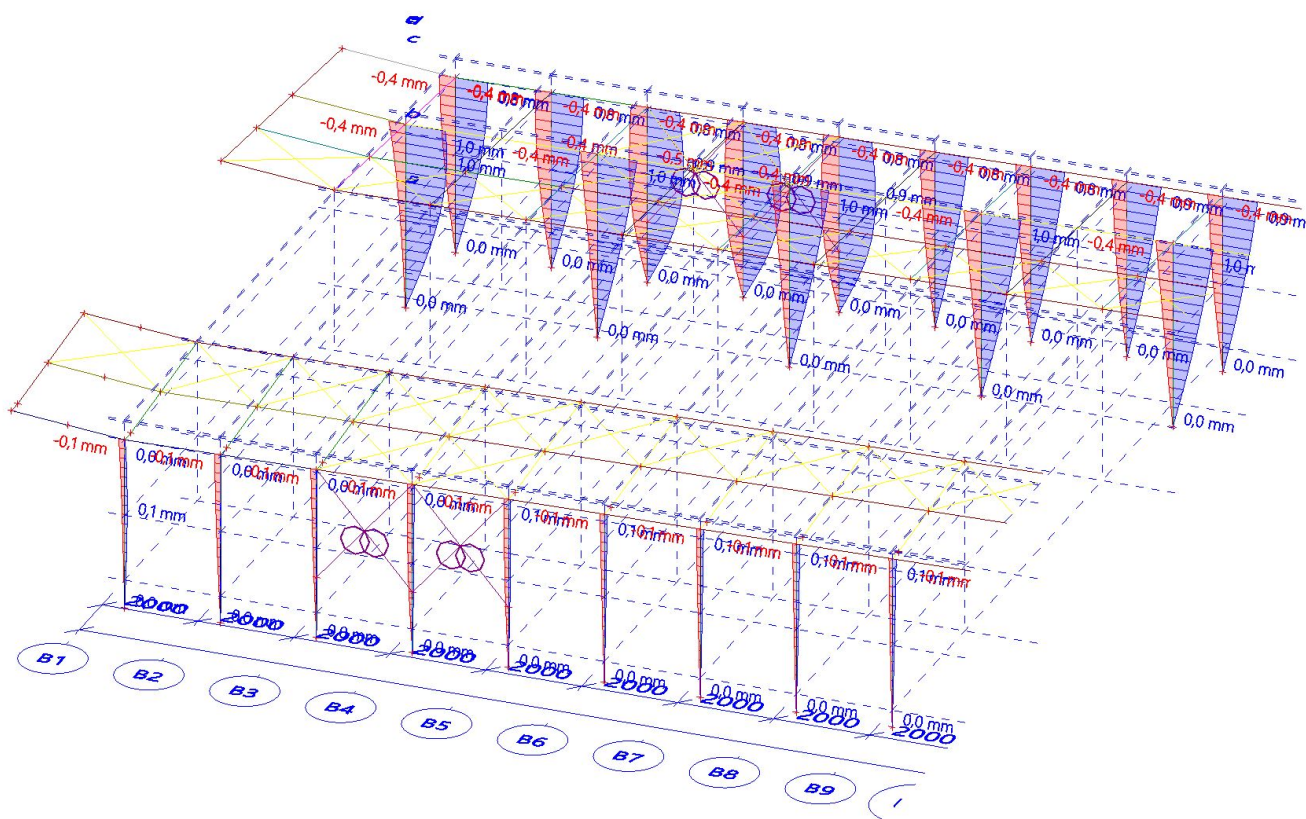
Extrém 1D: Lokální

Výběr: Pojmenovaný výběr -
STRECHA



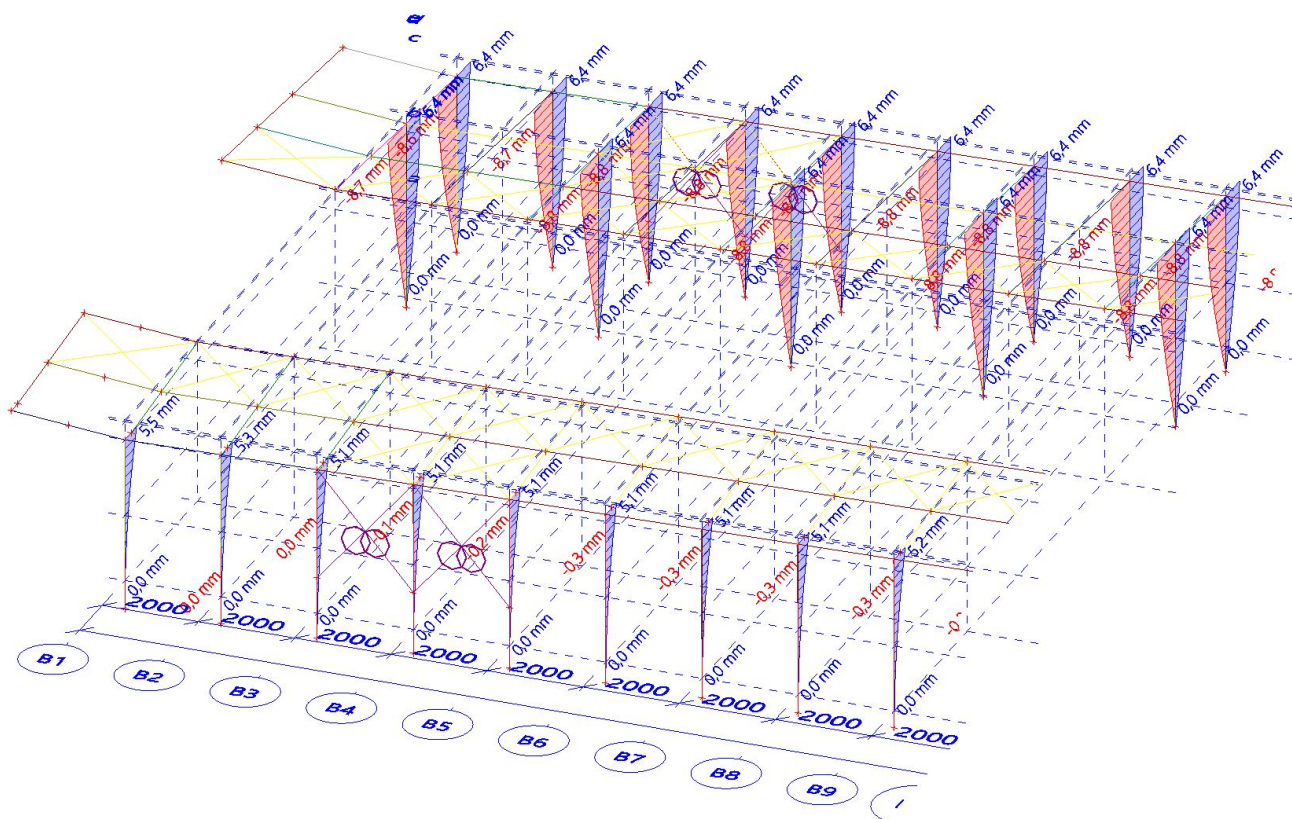
45. 1D deformace; u_x

Hodnoty: u_x
Lineární výpočet
Kombinace: MSP-Char (auto)
Souřadný systém: Globální
Extrém 1D: Lokální
Výběr: Vše
Filtr: Typ prutu = Sloup

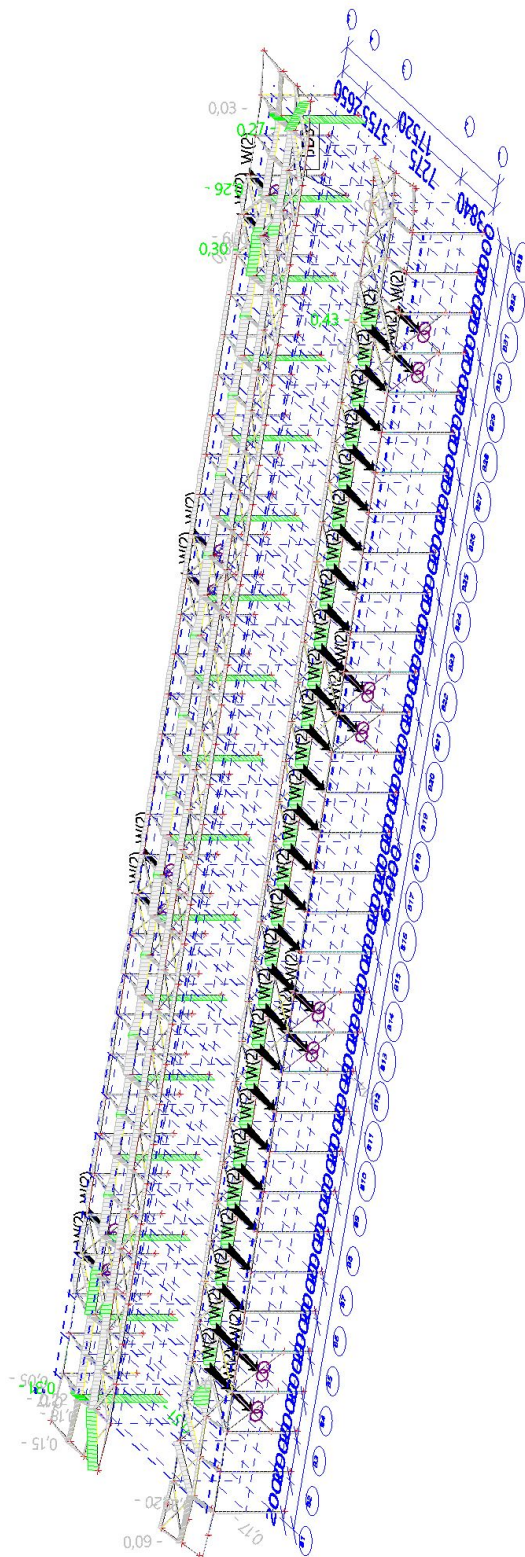


46. 1D deformace; u_y

Hodnoty: u_y
Lineární výpočet
Kombinace: MSP-Char (auto)
Souřadný systém: Globální
Extrém 1D: Lokální
Výběr: Vše
Filtr: Typ prutu = Sloup



47. EC-EN 1993 Posudek oceli MSÚ; Souhrnný posudek



Hodnoty: **UC** Celkový
 Lineární výpočet
 Kombinace: MSÚ-Sada B (auto)
 Souřadný systém: Hlavní
 Extrém ID: Průřez
 Výběr: Vše
 Na vybraných dílcích se vyskytuje 4
 varování. 4 z nich je zobrazeno.

48. EC-EN 1993 Posudek oceli MSÚ

Hodnoty: **UC_{Celkový}**

Lineární výpočet

Kombinace: MSÚ-Sada B (auto)

Souřadný systém: Hlavní

Extrém 1D: Průřez

Výběr: Vše

Na vybraných dílcích se vyskytuje 4 varování. 4 z nich je zobrazeno.

Celkový posudek

Jméno	dx [m]	Stav	Průřez	Materiál	UC _{Celkový} [-]	UC _{Průřez} [-]	UC _{Stabilita} [-]	CH/V/P
B1	3,618	MSÚ-Sada B (auto)/1	SLOUP14 - Komora fl (300,00; 35,00; 230,00; 20,00; 230,00)	S 235	0,17	0,17	0,15	
B2	0,000	MSÚ-Sada B (auto)/1	PRICEL - Komora fl (300,00; 15,00; 470,00; 10,00; 250,00)	S 235	0,20	0,20	0,14	
B34	0,000	MSÚ-Sada B (auto)/1	SLOUP4 - HEB300	S 235	0,14	0,14	0,14	
B11	0,000	MSÚ-Sada B (auto)/1	PŘÍČEL1 - Iw (500,00; 8,00; 200,00; 16,00; 468,00; 0,00)	S 235	0,13	0,13	0,12	W19, W22
B90	0,000	MSÚ-Sada B (auto)/2	PŘÍČEL2 - Iw (500,00; 8,00; 200,00; 16,00; 468,00; 0,00)	S 235	0,11	0,11	0,10	
B229	2,222	MSÚ-Sada B (auto)/3	PRUVLAK8 - Komora fl (200,00; 15,00; 470,00; 10,00; 150,00)	S 235	0,10	0,10	0,00	
B226	1,595+	MSÚ-Sada B (auto)/3	PRUVLAK6 - Komora fl (150,00; 20,00; 80,00; 10,00; 110,00)	S 235	0,09	0,09	0,07	
B198	1,000	MSÚ-Sada B (auto)/4	VAZNICE - IPE120	S 235	0,43	0,29	0,43	
B227	2,369	MSÚ-Sada B (auto)/3	PRUVLAK7 - Komora fl (200,00; 15,00; 270,00; 8,00; 154,00)	S 235	0,20	0,20	0,15	
B617	0,000	MSÚ-Sada B (auto)/5	STŘEŠNÍ ZTUŽIDLO - CHS48.3/3.2	S 235	0,27	0,06	0,27	
B320	3,768	MSÚ-Sada B (auto)/6	SLOUP12 - RHS200/150/8.0	S 235	0,19	0,19	0,00	
B321	2,656-	MSÚ-Sada B (auto)/7	PŘÍČEL5 - Iw (500,00; 12,00; 150,00; 22,00; 456,00; 0,00)	S 235	0,31	0,31	0,00	
B322	0,000	MSÚ-Sada B (auto)/8	SLOUP15 - CHS168.3/8.0	S 235	0,51	0,16	0,51	
B323	3,768	MSÚ-Sada B (auto)/6	SLOUP10 - RHS200/120/8.0	S 235	0,17	0,17	0,00	
B366	2,656-	MSÚ-Sada B (auto)/6	PŘÍČEL3 - Iw (500,00; 10,00; 120,00; 15,00; 470,00; 0,00)	S 235	0,26	0,26	0,00	
B419	2,656+	MSÚ-Sada B (auto)/7	PŘÍČEL4 - Iw (500,00; 12,00; 120,00; 22,00; 456,00; 0,00)	S 235	0,19	0,19	0,17	
B373	2,369	MSÚ-Sada B (auto)/7	pruvlak2 - Komora fl (200,00; 15,00; 270,00; 8,00; 154,00)	S 235	0,17	0,17	0,16	
B374	2,656+	MSÚ-Sada B (auto)/9	PRUVLAK9 - Komora fl (150,00; 20,00; 80,00; 10,00; 110,00)	S 235	0,15	0,15	0,00	
B426	2,000	MSÚ-Sada B (auto)/7	NOSNIK1 - IPE500	S 235	0,03	0,03	0,00	
B376	2,369	MSÚ-Sada B (auto)/3	pruvlak4 - Komora fl (200,00; 15,00; 470,00; 8,00; 154,00)	S 235	0,05	0,05	0,04	
B420	2,000-	MSÚ-Sada B (auto)/7	PRUVLAK5 - IPE330	S 235	0,30	0,30	0,27	
B472	0,000	MSÚ-Sada B (auto)/8	NOSNIK - IPE200	S 235	0,22	0,22	0,20	

Projekt RNR

Jméno	dx [m]	Stav	Průřez	Materiál	UC _{Celkový} [-]	UC _{Průřez} [-]	UC _{Stabilita} [-]	CH/V/P
B474	2,369	MSÚ-Sada B (auto)/8	pruvlak3 - Komora fl (100,00; 10,00; 180,00; 6,00; 68,00)	S 235	0,18	0,18	0,17	
B635	3,200	MSÚ-Sada B (auto)/10	STENOVE TAHLO - RD20	S 235	0,04	0,04	0,00	W2, W9

Jméno	Klíč kombinace
MSÚ-Sada B (auto)/1	1.15*ZS1 + 1.15*ZS2 + 1.15*ZS3 + 1.50*ZS5 + 1.50*ZS6 + 0.90*3DVítr6
MSÚ-Sada B (auto)/2	1.15*ZS1 + 1.15*ZS2 + 1.15*ZS3 + 1.50*ZS5 + 1.50*ZS6 + 0.90*3DVítr13
MSÚ-Sada B (auto)/3	1.15*ZS1 + 1.15*ZS2 + 1.15*ZS3 + 1.50*ZS5 + 1.50*ZS6 + 0.90*3DVítr9
MSÚ-Sada B (auto)/4	1.15*ZS1 + 1.15*ZS2 + 1.15*ZS3 + 0.75*ZS5 + 1.50*ZS6 + 1.50*3DVítr6
MSÚ-Sada B (auto)/5	1.15*ZS1 + 1.15*ZS2 + 1.15*ZS3 + 1.50*ZS5 + 1.50*ZS6 + 0.90*3DVítr1
MSÚ-Sada B (auto)/6	1.15*ZS1 + 1.15*ZS2 + 1.15*ZS3 + 0.75*ZS5 + 1.50*ZS6 + 1.50*3DVítr14
MSÚ-Sada B (auto)/7	1.15*ZS1 + 1.15*ZS2 + 1.15*ZS3 + 1.50*ZS5 + 1.50*ZS6 + 0.90*3DVítr14
MSÚ-Sada B (auto)/8	1.15*ZS1 + 1.15*ZS2 + 1.15*ZS3 + 1.50*ZS5 + 1.50*ZS6 + 0.90*3DVítr5
MSÚ-Sada B (auto)/9	1.15*ZS1 + 1.15*ZS2 + 1.15*ZS3 + 1.50*ZS5 + 1.50*ZS6 + 0.90*3DVítr2
MSÚ-Sada B (auto)/10	1.15*ZS1 + 1.15*ZS2 + 1.15*ZS3 + 1.50*3DVítr1

CH/V/P	Přítomno na dílcích
W19	B11
W22	B11
W2	B633, B635
W9	B633, B635

Projekt RNR

1. Projekt

Uživatel licence	info@kpstatika.cz		
Projekt	RNR		
Část	SO 664 - KONCOVA ČÁST OSY C1 až C8		
Popis	24-026-002		
Autor	-		
Datum	29.11.2024		
Konstrukce	Obecná XYZ		
Počet uzlů :		149	
Počet prutů :		209	
Počet ploch :		0	
Počet těles :		0	
Počet průřezů :		29	
Počet zat. stavů :		22	
Počet materiálů :		1	
Tíhové zrychlení [m/s ²]		9,810	
Národní norma	EC - EN		

2. Obsah

1. Projekt	1
2. Obsah	1
3. EC0	2
4. EC3	3
5. Výpočtový model	4
6. Výpočtový model	5
7. Výpočtový model	6
8. Výpočtový model	6
9. Výpočtový model	7
10. Materiály	7
11. Průřezy	7
12. Uzly	30
13. Prvky	31
14. Zatěžovací panely	35
15. Pruty s proměnným průřezem	35
16. Podpory v uzlech	37
17. Klouby	37
18. UZLY	40
19. PRVKY	41
20. PRŮŘEZY	42
21. KLOUBY	43
22. PODPORY	44
23. Zatěžovací stavy	45
23.1. Zatěžovací stavy - ZS1	45
23.2. Zatěžovací stavy - ZS2	45
23.3. Zatěžovací stavy - ZS3	46
23.4. Zatěžovací stavy - ZS4	46
23.5. Zatěžovací stavy - ZS5	46
23.6. Zatěžovací stavy - ZS6	47
23.7. Zatěžovací stavy - 3DVítr1	47
23.8. Zatěžovací stavy - 3DVítr2	48
23.9. Zatěžovací stavy - 3DVítr3	48
23.10. Zatěžovací stavy - 3DVítr4	49
23.11. Zatěžovací stavy - 3DVítr5	49
23.12. Zatěžovací stavy - 3DVítr6	50
23.13. Zatěžovací stavy - 3DVítr7	50
23.14. Zatěžovací stavy - 3DVítr8	51
23.15. Zatěžovací stavy - 3DVítr9	51
23.16. Zatěžovací stavy - 3DVítr10	52
23.17. Zatěžovací stavy - 3DVítr11	52
23.18. Zatěžovací stavy - 3DVítr12	53
23.19. Zatěžovací stavy - 3DVítr13	53

Projekt RNR

23.20. Zatěžovací stavy - 3DVitr14	54
23.21. Zatěžovací stavy - 3DVitr15	54
23.22. Zatěžovací stavy - 3DVitr16	55
24. Zatěžovací stavy	55
25. Skupiny zatížení	56
26. Kombinace	56
27. Nelineární kombinace	57
28. Skupiny výsledků	57
29. Reakce	57
30. Reakce; R_z	61
31. Reakce; R_x	62
32. Reakce; R_y	63
33. Reakce; M_x	64
34. 1D vnitřní síly	64
35. 1D vnitřní síly; N	78
36. 1D vnitřní síly; V_y	79
37. 1D vnitřní síly; V_z	80
38. 1D vnitřní síly; M_x	81
39. 1D vnitřní síly; M_y	82
40. 1D vnitřní síly; M_z	83
41. 1D deformace; u_z	84
42. 1D deformace; u_x	85
43. 1D deformace; u_y	86
44. 1D deformace; u_x	87
45. EC-EN 1993 Posudek oceli MSÚ; Souhrnný posudek	88
46. EC-EN 1993 Posudek oceli MSÚ	89

3. ECO

alternativa (STR/GEO)

Kombinace	Rov.6.10a & Rov.6.10b
-----------	--------------------------

Součinitele Psi

Zatížení	Psi0	Psi1	Psi2
KategorieA	0.7	0.5	0.3
KategorieB	0.7	0.5	0.3
KategorieC	0.7	0.7	0.6
KategorieD	0.7	0.7	0.6
KategorieE	1	0.9	0.8
KategorieF	0.7	0.7	0.6
KategorieG	0.7	0.5	0.3
KategorieH	0.7	0.2	0
Sníh	0.5	0.2	0
Vítr	0.6	0.2	0
Teplota	0.6	0.5	0
Zatížení ledem	0.5	0.2	0
Voda s proměnnou hladinou	0.5	0.2	0
Zatížení od výstavby	1	0	0.2

Součinitele zatížení do kombinací

Stálé zatížení - nepříznivé	1,35
Stálé zatížení - příznivé	1,00
Hlavní proměnné zatížení	1,50
Doprovodné proměnné zatížení	1,50
Redukční součinitel ksi	0,85
Stálé zatížení - nepříznivé	1,00
Stálé zatížení - příznivé	1,00
Hlavní proměnné zatížení	1,30
Doprovodné proměnné zatížení	1,30

4. EC3

Posudek prutu

Y-Y	✓
Z-Z	✗
Max. poměr k [-]	10,00
Max. štíhlost [-]	1000,00
Součinitele vzpěru pro 2. řád	Podle zadání
Křivky klopení	Válcované průřezy nebo ekvivalentní svařované
Metoda pro C1 C2 C3	ECCS 119/Galea
Metoda pro k_c	Určeno z C1
Pružné ověření	✗
Jen posudek na únosnost	✗
Rovinný vzpěr zohledněn výpočtem podle teorie druhého řádu	✗
Momenty na sloupech v jednoduché konstrukci	✗
Interakční metoda	Příloha B (alternativní metoda 2)
Gamma M0 [-]	1,00
Gamma M1 [-]	1,00
Gamma M2 [-]	1,25
a0 (1/hodnota) [-]	350,00
a (1/hodnota) [-]	300,00
b (1/hodnota) [-]	250,00
c (1/hodnota) [-]	200,00
d (1/hodnota) [-]	150,00
a0 (1/hodnota) [-]	300,00
a (1/hodnota) [-]	250,00
b (1/hodnota) [-]	200,00
c (1/hodnota) [-]	150,00
d (1/hodnota) [-]	100,00
a [-]	0,21
b [-]	0,34
c [-]	0,49
d [-]	0,76
Křivky klopení	Použít tabulku 6.4
Lambda _{LT,0} [-]	0,40
Beta [-]	0,75
Křivky klopení	Použít tabulku 6.5
Součinitel modifikace f	Výchozí metoda podle EN

Požární odolnost

Křivka teplota - čas	Křivka ISO 834
Součinitel přestupu tepla prouděním α_c [W/m ² K]	25,00
Emisivita vztažená k požárnímu úseku ϵ_f [-]	1,00
Emisivita vztažená k povrchu materiálu ϵ_m [-]	0,70
Polohový faktor toku tepla sáláním ϕ [-]	1,00
Typ analýzy	Oblast pevnosti
Gama M_{fi} [-]	1,00
Použít opravný součinitel pro efekt stínu k_{sh}	✓
Únosnost průřezu třídy 4	Příloha E
Kritická teplota	Metoda podle ČSN-EN NAD

Tvářený za studena

Iterace výztuhy	✓
Celková iterace průřezu	✓
Spolupůsobení	EN 1993-1-1 čl. 6.3.3

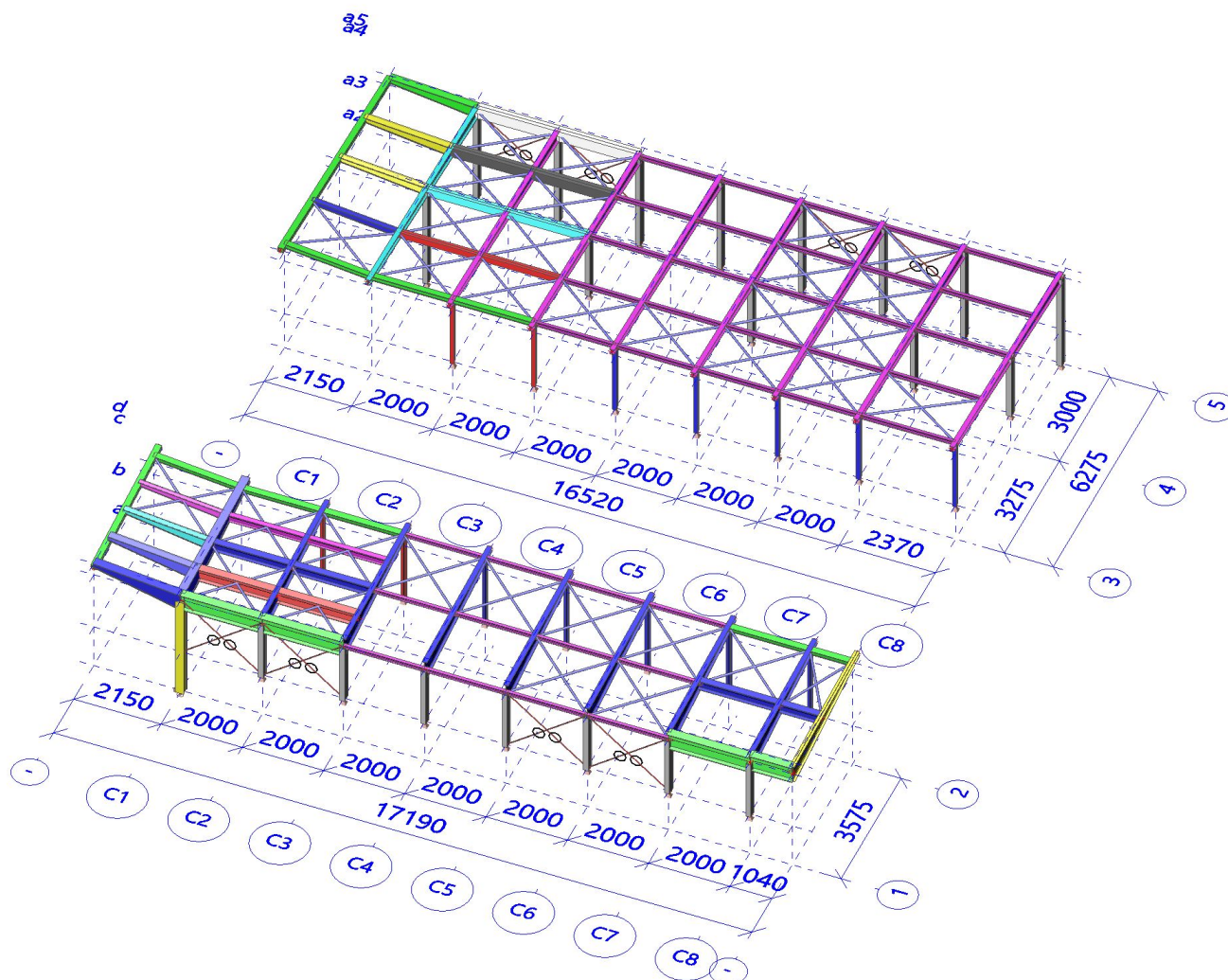
Projekt RNR

Limit pro velkou osovou sílu	0.1
Nosná délka S_s [mm]	10,00

Národní příloha

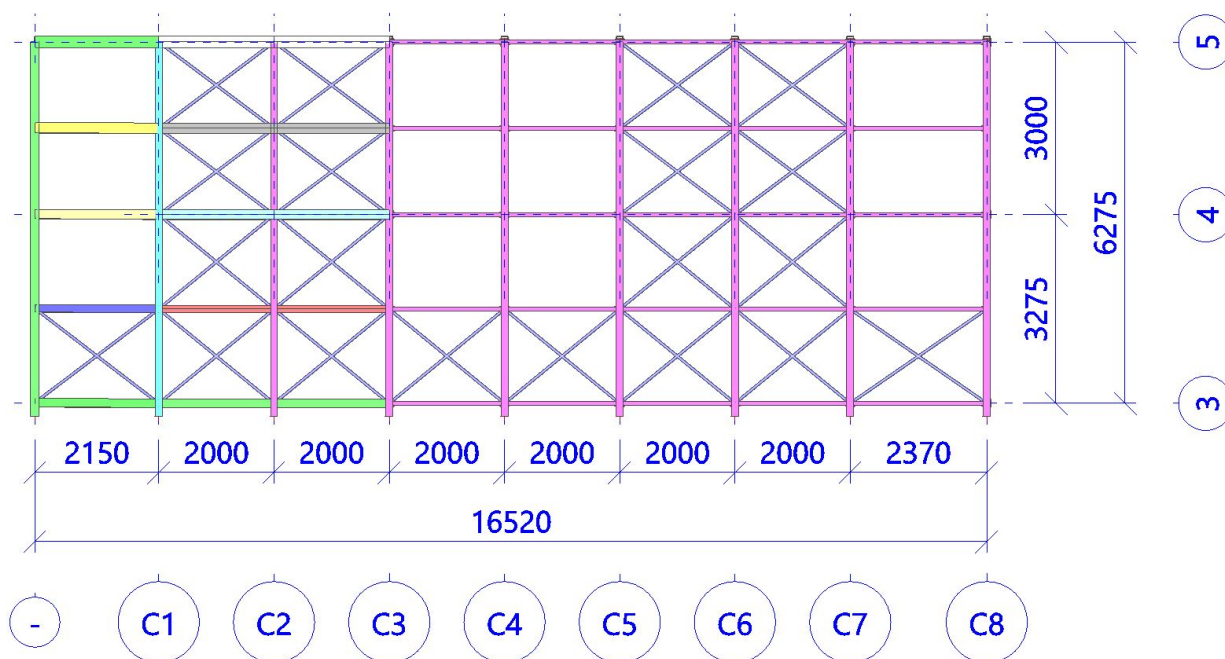
Gama,M0 [-]	1,00
Gama,M1 [-]	1,00
Gama,M2 [-]	1,25
Gama,M3 [-]	1,25
Gama,c [-]	1,50
Součinitel modifikace [-]	1,00
Triangulační mez	Výchozí metoda podle EN

5. Výpočtový model

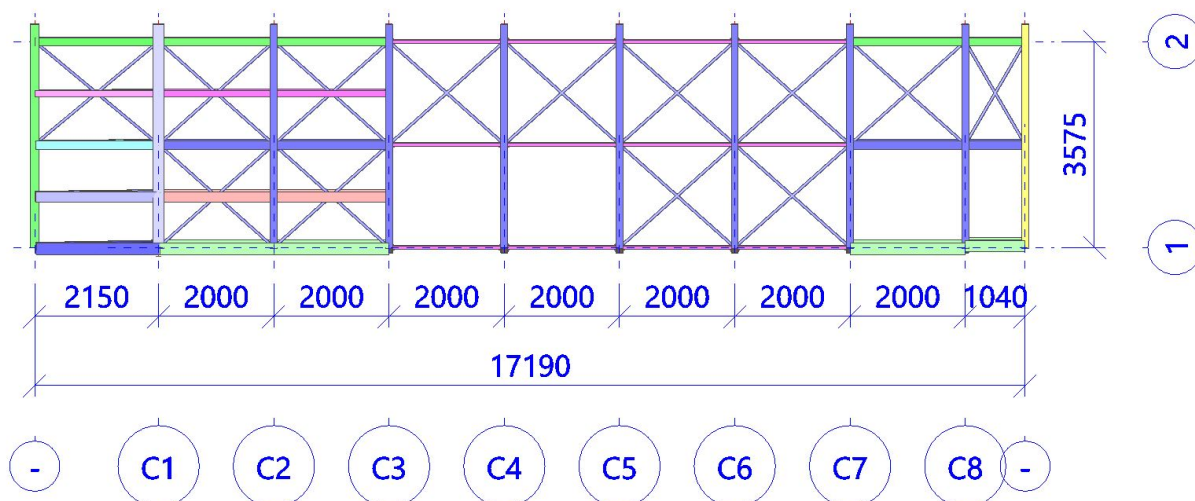


6. Výpočtový model

a



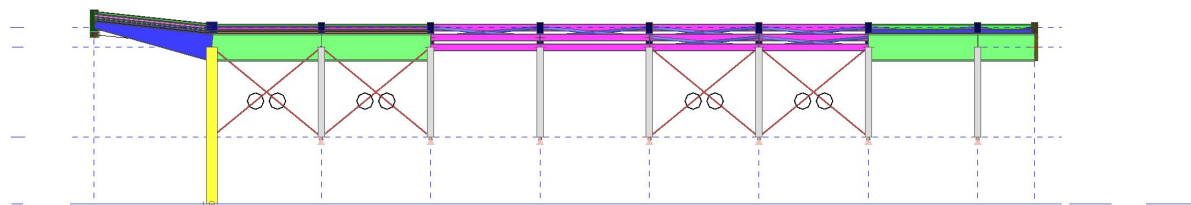
b



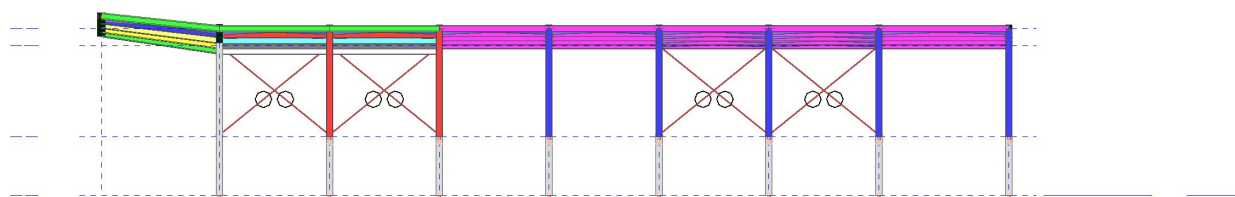
7. Výpočtový model



8. Výpočtový model



9. Výpočtový model



10. Materiály

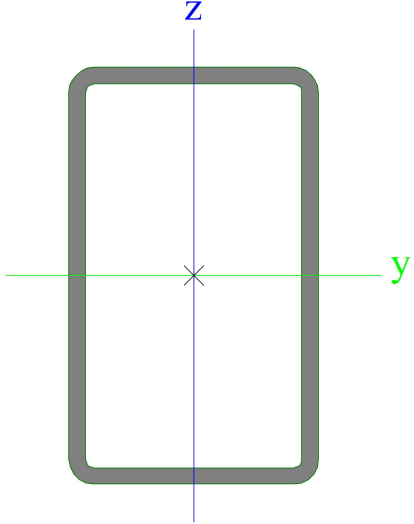
Ocel EC3

Jméno	ρ [kg/m ³]	E_{mod} [MPa]	μ	Dolní mez [mm]	Horní mez [mm]	F_y [MPa]	F_u [MPa]	Barva
		G_{mod} [MPa]	α [m/mK]					
S 235	7850,00	2,1000e+05	0,3	0,00	40,00	235,0	360,0	■
		8,0769e+04	0,01e-003	40,00	80,00	215,0	360,0	

11. Průřezy

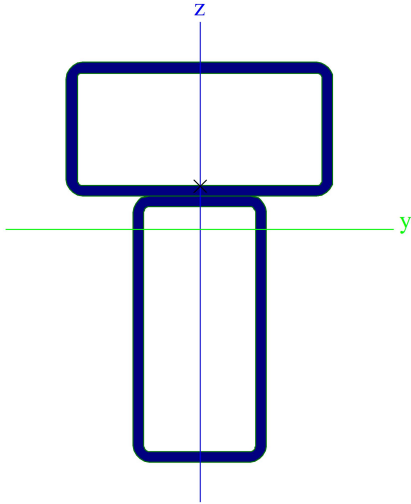

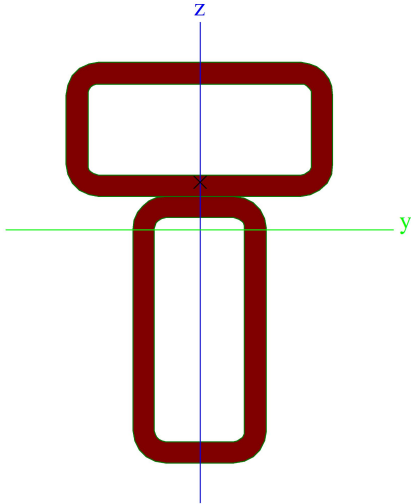
CS1		
Typ	RHS200/120/8.0	
Kód tvaru	2 - Obdélníkové uzavřené průřezy	
Typ tvaru	Tenkostěnný	
Materiál	S 235	
Výroba	válcovaný	
Barva	■	
Posudek rovinného vzpěru y-y, Posudek rovinného vzpěru z-z	a	a
A [mm ²]	4,8000e+03	
A_y [mm ²], A_z [mm ²]	1,7820e+03	2,9701e+03
A_L [m ² /m], A_D [m ² /m]	6,1900e-01	1,1884e+00
$c_{y,UCS}$ [mm], $c_{z,UCS}$ [mm]	60,00	100,00
α [deg]	0,00	
I_y [mm ⁴], I_z [mm ⁴]	2,5290e+07	1,1280e+07
i_y [mm], i_z [mm]	72,59	48,48
$W_{el,y}$ [mm ³], $W_{el,z}$ [mm ³]	2,5300e+05	1,8800e+05
$W_{pl,y}$ [mm ³], $W_{pl,z}$ [mm ³]	3,0877e+05	2,1597e+05
$M_{pl,y,+}$ [Nmm], $M_{pl,y,-}$ [Nmm]	72560792,25	72560792,25

Projekt RNR

M _{pl.z.+} [Nmm], M _{pl.z.-} [Nmm]	50751989,48	50751989,48
d _y [mm], d _z [mm]	0,00	0,00
I _t [mm ⁴], I _w [mm ⁶]	2,4950e+07	6,1440e+10
β _y [mm], β _z [mm]	0,00	0,00
Obrázek		

CS2		
Typ	Obecný průřez	
Typ tvaru	Tenkostěnný	
Materiál	S 235	
Výroba	obecný	
Barva	■	
Posudek rovinného vzpěru y-y, Posudek rovinného vzpěru z-z	d	d
A [mm ²]	2,2160e+03	
A _y [mm ²], A _z [mm ²]	9,7588e+02	8,6632e+02
A _L [m ² /m], A _D [m ² /m]	5,0330e-01	1,0324e+00
c _{y,UCS} [mm], c _{z,UCS} [mm]	0,00	37,50
α [deg]	0,00	
I _y [mm ⁴], I _z [mm ⁴]	4,9478e+06	1,8315e+06
i _y [mm], i _z [mm]	47,25	28,75
W _{el,y} [mm ³], W _{el,z} [mm ³]	5,6546e+04	3,6630e+04
W _{pl,y} [mm ³], W _{pl,z} [mm ³]	8,3102e+04	5,6012e+04
M _{pl.y.+} [Nmm], M _{pl.y.-} [Nmm]	19528894,76	19528894,76
M _{pl.z.+} [Nmm], M _{pl.z.-} [Nmm]	13162772,63	13162772,63
d _y [mm], d _z [mm]	0,00	16,11
I _t [mm ⁴], I _w [mm ⁶]	2,6702e+06	1,0663e+09
β _y [mm], β _z [mm]	-46,10	0,00


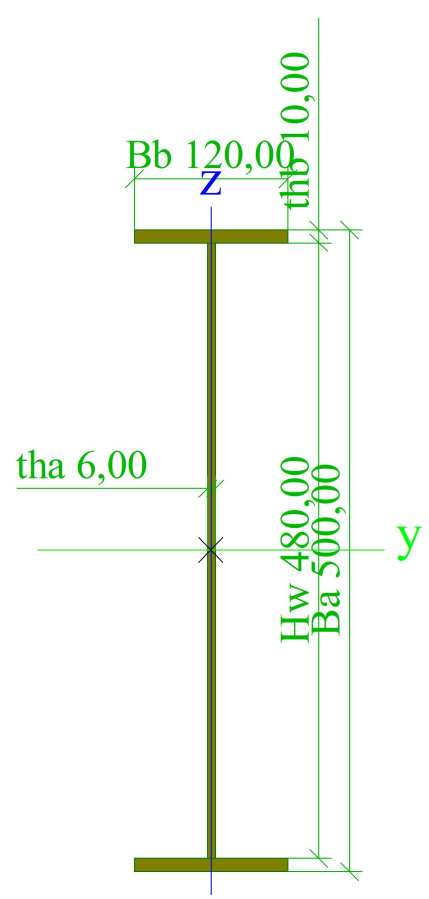

Projekt RNR

<p>Obrázek</p>		
<p>CS3</p>		
<p>Typ Typ tvaru Materiál Výroba Barva Posudek rovinného vzpěru y-y, Posudek rovinného vzpěru z-z A [mm²] A_y [mm²], A_z [mm²] A_L [m²/m], A_D [m²/m] c_{y,UCS} [mm], c_{z,UCS} [mm] α [deg] I_y [mm⁴], I_z [mm⁴] i_y [mm], i_z [mm] W_{el,y} [mm³], W_{el,z} [mm³] W_{pl,y} [mm³], W_{pl,z} [mm³] M_{pl,y,+} [Nmm], M_{pl,y,-} [Nmm] M_{pl,z,+} [Nmm], M_{pl,z,-} [Nmm] d_y [mm], d_z [mm] I_t [mm⁴], I_w [mm⁶] β_y [mm], β_z [mm] Obrázek</p>	<p>Obecný průřez Tenkostěnný S 235 obecný</p>  <p>d</p> <p>d</p> <p>4,0642e+03 1,8625e+03 5,0661e-01 0,00 0,00 8,6510e+06 46,14 9,8868e+04 1,5241e+05 35815523,55 22392675,83 0,00 4,2402e+06 -48,70</p>	<p>d</p> <p>1,6297e+03 9,6481e-01 37,50 2,9357e+06 26,88 5,8714e+04 9,5288e+04 35815523,55 22392675,83 17,75 2,2026e+09 0,00</p>
<p>Obrázek</p>		

Projekt RNR

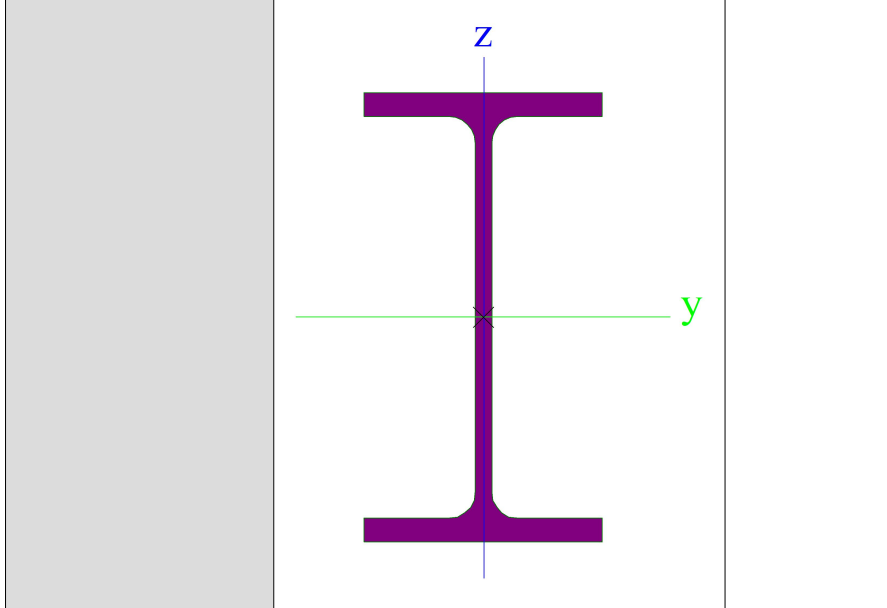
CS4		
Typ	Iw	
Detailní	500,00; 10,00; 120,00; 15,00; 470,00; 0,00	
Kód tvaru	1 - I průřez	
Typ tvaru	Tenkostěnný	
Materiál	S 235	
Výroba	svařovaný	
Barva	■	
Posudek rovinného vzpěru y-y, Posudek rovinného vzpěru z-z	b	c
A [mm ²]	8,3000e+03	
A _y [mm ²], A _z [mm ²]	3,6829e+03	4,9205e+03
A _L [m ² /m], A _D [m ² /m]	1,4600e+00	1,4600e+00
c _{y,UCS} [mm], c _{z,UCS} [mm]	60,00	250,00
α [deg]	0,00	
I _y [mm ⁴], I _z [mm ⁴]	2,9829e+08	4,3592e+06
i _y [mm], i _z [mm]	189,57	22,92
W _{el,y} [mm ³], W _{el,z} [mm ³]	1,1932e+06	7,2653e+04
W _{pl,y} [mm ³], W _{pl,z} [mm ³]	1,4252e+06	1,1975e+05
M _{pl,y,+} [Nmm], M _{pl,y,-} [Nmm]	334933750,00	334933750,00
M _{pl,z,+} [Nmm], M _{pl,z,-} [Nmm]	28141250,00	28141250,00
d _y [mm], d _z [mm]	0,00	0,00
I _t [mm ⁴], I _w [mm ⁶]	4,3167e+05	2,5404e+11
β _y [mm], β _z [mm]	0,00	0,00
Obrázek		
CS5		
Typ	Iw	
Detailní	500,00; 6,00; 120,00; 10,00; 480,00; 0,00	
Kód tvaru	1 - I průřez	
Typ tvaru	Tenkostěnný	
Materiál	S 235	

Projekt RNR


Výroba	svařovaný	
Barva		
Posudek rovinného vzpěru y-y, Posudek rovinného vzpěru z-z	b	c
A [mm ²]	5,2800e+03	
A _y [mm ²], A _z [mm ²]	2,2099e+03	2,9554e+03
A _L [m ² /m], A _D [m ² /m]	1,4680e+00	1,4680e+00
c _{y,UCS} [mm], c _{z,UCS} [mm]	60,00	250,00
α [deg]	0,00	
I _y [mm ⁴], I _z [mm ⁴]	1,9938e+08	2,8886e+06
i _y [mm], i _z [mm]	194,32	23,39
W _{el,y} [mm ³], W _{el,z} [mm ³]	7,9750e+05	4,8144e+04
W _{pl,y} [mm ³], W _{pl,z} [mm ³]	9,3360e+05	7,6320e+04
M _{pl,y,+} [Nmm], M _{pl,y,-} [Nmm]	219396000,00	219396000,00
M _{pl,z,+} [Nmm], M _{pl,z,-} [Nmm]	17935200,00	17935200,00
d _y [mm], d _z [mm]	0,00	0,00
I _t [mm ⁴], I _w [mm ⁶]	1,1528e+05	1,7287e+11
β _y [mm], β _z [mm]	0,00	0,00
Obrázek		
CS6		
Typ	IPE120	
Kód tvaru	1 - I průřez	
Typ tvaru	Tenkostěnný	
Materiál	S 235	
Výroba	válcovaný	
Barva		
Posudek rovinného vzpěru y-y, Posudek rovinného vzpěru z-z	a	b

Projekt RNR

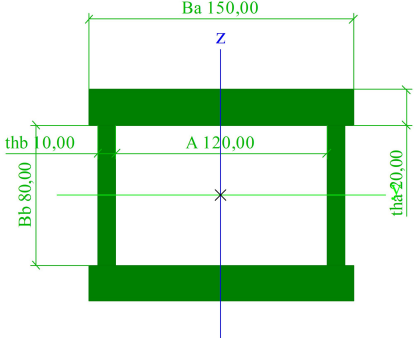

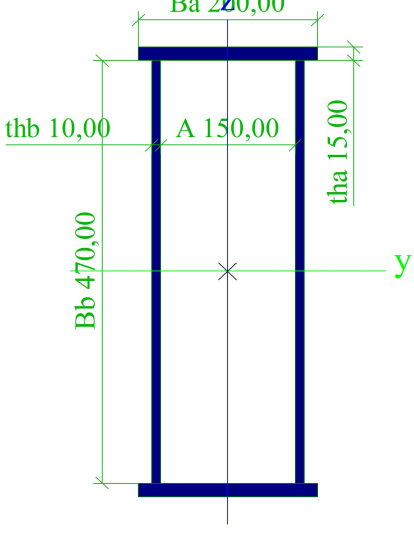
A [mm ²]	1,3200e+03	
A _y [mm ²], A _z [mm ²]	8,4381e+02	5,3657e+02
A _L [m ² /m], A _D [m ² /m]	4,7513e-01	4,7513e-01
c _{y,UCS} [mm], c _{z,UCS} [mm]	32,00	60,00
α [deg]	0,00	
I _y [mm ⁴], I _z [mm ⁴]	3,1770e+06	2,7660e+05
i _y [mm], i _z [mm]	49,06	14,48
W _{el,y} [mm ³], W _{el,z} [mm ³]	5,2950e+04	8,6460e+03
W _{pl,y} [mm ³], W _{pl,z} [mm ³]	6,0720e+04	1,3580e+04
M _{pl,y,+} [Nmm], M _{pl,y,-} [Nmm]	14279763,81	14279763,81
M _{pl,z,+} [Nmm], M _{pl,z,-} [Nmm]	3192292,78	3192292,78
d _y [mm], d _z [mm]	0,00	0,00
I _t [mm ⁴], I _w [mm ⁶]	1,6900e+04	8,8900e+08
β _y [mm], β _z [mm]	0,00	0,00




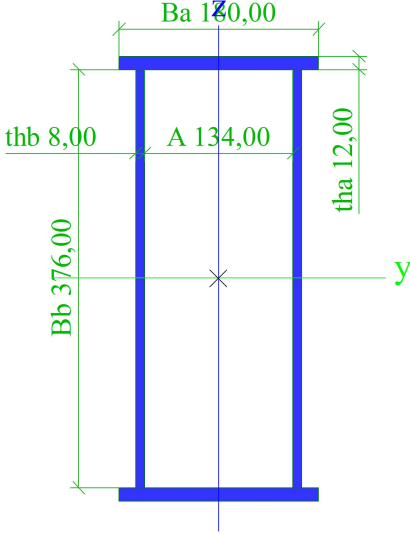

CS7

Typ	Komora fl	
Detailní	150,00; 20,00; 80,00; 10,00; 120,00	
Typ tvaru	Tenkostěnný	
Materiál	S 235	
Výroba	svařovaný	
Barva		
Posudek rovinného vzpěru y-y, Posudek rovinného vzpěru z-z	b	b
A [mm ²]	7,6000e+03	
A _y [mm ²], A _z [mm ²]	5,2977e+03	2,4840e+03
A _L [m ² /m], A _D [m ² /m]	5,6000e-01	9,6000e-01
c _{y,UCS} [mm], c _{z,UCS} [mm]	75,00	60,00
α [deg]	0,00	
I _y [mm ⁴], I _z [mm ⁴]	1,6053e+07	1,8023e+07
i _y [mm], i _z [mm]	45,96	48,70
W _{el,y} [mm ³], W _{el,z} [mm ³]	2,6756e+05	2,4031e+05
W _{pl,y} [mm ³], W _{pl,z} [mm ³]	3,3200e+05	3,2900e+05
M _{pl,y,+} [Nmm], M _{pl,y,-} [Nmm]	78020000,00	78020000,00
M _{pl,z,+} [Nmm], M _{pl,z,-} [Nmm]	77315000,00	77315000,00
d _y [mm], d _z [mm]	0,00	0,00
I _t [mm ⁴], I _w [mm ⁶]	2,1352e+07	1,8633e+09
β _y [mm], β _z [mm]	0,00	0,00

Projekt RNR

<p>Obrázek</p>		
<p>CS12</p>		
<p>Typ</p>	<p>Komora fl</p>	
<p>Detailní</p>	<p>200,00; 15,00; 470,00; 10,00; 150,00</p>	
<p>Typ tvaru</p>	<p>Tenkostěnný</p>	
<p>Materiál</p>	<p>S 235</p>	
<p>Výroba</p>	<p>svařovaný</p>	
<p>Barva</p>	<p></p>	
<p>Posudek rovinného vzpěru y-y, Posudek rovinného vzpěru z-z</p>	<p>b</p>	<p>b</p>
<p>A [mm²]</p>	<p>1,5400e+04</p>	
<p>A_y [mm²], A_z [mm²]</p>	<p>5,1666e+03</p>	<p>9,7409e+03</p>
<p>A_L [m²/m], A_D [m²/m]</p>	<p>1,4600e+00</p>	<p>2,7000e+00</p>
<p>c_{y,UCS} [mm], c_{z,UCS} [mm]</p>	<p>100,00</p>	<p>250,00</p>
<p>α [deg]</p>	<p>0,00</p>	
<p>I_y [mm⁴], I_z [mm⁴]</p>	<p>5,2599e+08</p>	<p>8,0238e+07</p>
<p>i_y [mm], i_z [mm]</p>	<p>184,81</p>	<p>72,18</p>
<p>W_{el,y} [mm³], W_{el,z} [mm³]</p>	<p>2,1040e+06</p>	<p>8,0238e+05</p>
<p>W_{pl,y} [mm³], W_{pl,z} [mm³]</p>	<p>2,5595e+06</p>	<p>1,0520e+06</p>
<p>M_{pl,y,+} [Nmm], M_{pl,y,-} [Nmm]</p>	<p>601482500,00</p>	<p>601482500,00</p>
<p>M_{pl,z,+} [Nmm], M_{pl,z,-} [Nmm]</p>	<p>247220000,00</p>	<p>247220000,00</p>
<p>d_y [mm], d_z [mm]</p>	<p>0,00</p>	<p>0,00</p>
<p>I_t [mm⁴], I_w [mm⁶]</p>	<p>2,0433e+08</p>	<p>1,0101e+12</p>
<p>β_y [mm], β_z [mm]</p>	<p>0,00</p>	<p>0,00</p>
<p>Obrázek</p>		
<p>Obrázek</p>		
<p>CS13</p>		
<p>Typ</p>	<p>Komora fl</p>	
<p>Detailní</p>	<p>180,00; 12,00; 376,00; 8,00; 134,00</p>	
<p>Typ tvaru</p>	<p>Tenkostěnný</p>	

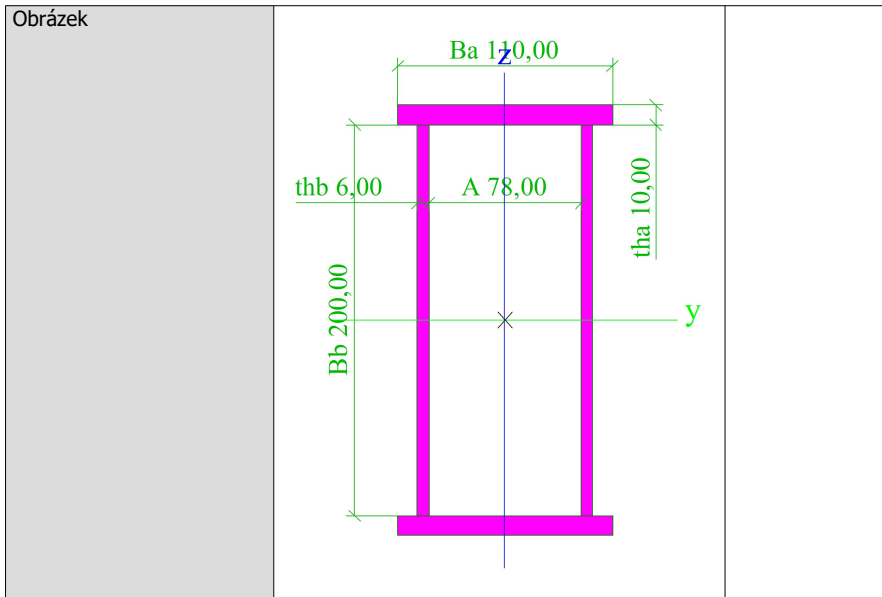
Projekt RNR

Materiál	S 235	
Výroba	svařovaný	
Barva		
Posudek rovinného vzpěru y-y, Posudek rovinného vzpěru z-z	b	b
A [mm ²]	1,0336e+04	
A _y [mm ²], A _z [mm ²]	3,7640e+03	6,2762e+03
A _L [m ² /m], A _D [m ² /m]	1,2200e+00	2,2400e+00
c _{y,ucs} [mm], c _{z,ucs} [mm]	90,00	200,00
α [deg]	0,00	
I _y [mm ⁴], I _z [mm ⁴]	2,3352e+08	4,2023e+07
i _y [mm], i _z [mm]	150,31	63,76
W _{el,y} [mm ³], W _{el,z} [mm ³]	1,1676e+06	4,6692e+05
W _{pl,y} [mm ³], W _{pl,z} [mm ³]	1,4036e+06	6,2154e+05
M _{pl,y,+} [Nmm], M _{pl,y,-} [Nmm]	329842240,00	329842240,00
M _{pl,z,+} [Nmm], M _{pl,z,-} [Nmm]	146060960,00	146060960,00
d _y [mm], d _z [mm]	0,00	0,00
I _E [mm ⁴], I _w [mm ⁶]	1,0097e+08	3,2078e+11
β _y [mm], β _z [mm]	0,00	0,00
Obrázek		
CS14		
Typ	Komora fl	
Detailní	150,00; 10,00; 280,00; 6,00; 108,00	
Typ tvaru	Tenkostěnný	
Materiál	S 235	
Výroba	svařovaný	
Barva		
Posudek rovinného vzpěru y-y, Posudek rovinného vzpěru z-z	b	b
A [mm ²]	6,3600e+03	
A _y [mm ²], A _z [mm ²]	2,5489e+03	3,5635e+03
A _L [m ² /m], A _D [m ² /m]	9,6000e-01	1,7360e+00
c _{y,ucs} [mm], c _{z,ucs} [mm]	75,00	150,00
α [deg]	0,00	
I _y [mm ⁴], I _z [mm ⁴]	8,5052e+07	1,6552e+07
i _y [mm], i _z [mm]	115,64	51,01
W _{el,y} [mm ³], W _{el,z} [mm ³]	5,6701e+05	2,2069e+05
W _{pl,y} [mm ³], W _{pl,z} [mm ³]	6,7020e+05	3,0402e+05
M _{pl,y,+} [Nmm], M _{pl,y,-} [Nmm]	157497000,00	157497000,00
M _{pl,z,+} [Nmm], M _{pl,z,-} [Nmm]	71444700,00	71444700,00

Projekt RNR

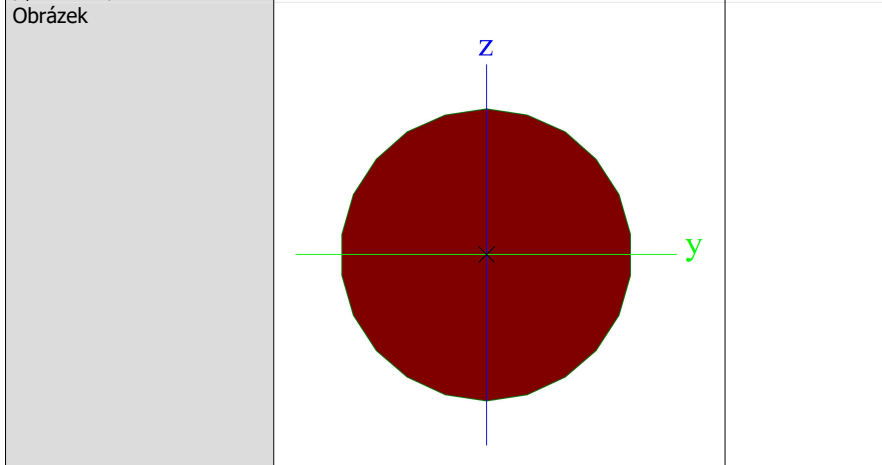
d _y [mm], d _z [mm]	0,00	0,00
I _t [mm ⁴], I _w [mm ⁶]	3,6737e+07	8,0182e+10
β _y [mm], β _z [mm]	0,00	0,00
Obrázek		

CS15		
Typ	Komora fl	
Detailní	110,00; 10,00; 200,00; 6,00; 78,00	
Typ tvaru	Tenkostěnný	
Materiál	S 235	
Výroba	svařovaný	
Barva	■	
Posudek rovinného vzpěru y-y, Posudek rovinného vzpěru z-z	b	b
A [mm ²]	4,6000e+03	
A _y [mm ²], A _z [mm ²]	1,8679e+03	2,5647e+03
A _L [m ² /m], A _D [m ² /m]	7,0000e-01	1,2560e+00
c _{y,UCS} [mm], c _{z,UCS} [mm]	55,00	110,00
α [deg]	0,00	
I _y [mm ⁴], I _z [mm ⁴]	3,2273e+07	6,4591e+06
i _y [mm], i _z [mm]	83,76	37,47
W _{el,y} [mm ³], W _{el,z} [mm ³]	2,9339e+05	1,1744e+05
W _{pl,y} [mm ³], W _{pl,z} [mm ³]	3,5100e+05	1,6130e+05
M _{pl,y,+} [Nmm], M _{pl,y,-} [Nmm]	82485000,00	82485000,00
M _{pl,z,+} [Nmm], M _{pl,z,-} [Nmm]	37905500,00	37905500,00
d _y [mm], d _z [mm]	0,00	0,00
I _t [mm ⁴], I _w [mm ⁶]	1,4443e+07	1,6268e+10
β _y [mm], β _z [mm]	0,00	0,00



CS16

Typ	RD20	
Kód tvaru	11 - Plný kruhový průřez	
Typ tvaru	Tlustostěnný	
Materiál	S 235	
Výroba	válcovaný	
Barva	■	
Posudek rovinného vzpěru y-y, Posudek rovinného vzpěru z-z	c	c
A [mm ²]	3,1400e+02	
A _y [mm ²], A _z [mm ²]	2,6918e+02	2,6918e+02
A _L [m ² /m], A _D [m ² /m]	6,2666e-02	6,2829e-02
c _{y,UCS} [mm], c _{z,UCS} [mm]	10,00	10,00
α [deg]	0,00	
I _y [mm ⁴], I _z [mm ⁴]	7,6894e+03	7,6894e+03
i _y [mm], i _z [mm]	4,95	4,95
W _{el,y} [mm ³], W _{el,z} [mm ³]	7,6894e+02	7,6894e+02
W _{pl,y} [mm ³], W _{pl,z} [mm ³]	1,3123e+03	1,3123e+03
M _{pl,y,+} [Nmm], M _{pl,y,-} [Nmm]	313237,90	313237,90
M _{pl,z,+} [Nmm], M _{pl,z,-} [Nmm]	313237,90	313237,90
d _y [mm], d _z [mm]	0,00	0,00
I _t [mm ⁴], I _w [mm ⁶]	1,5695e+04	0,0000e+00
β _y [mm], β _z [mm]	0,00	0,00



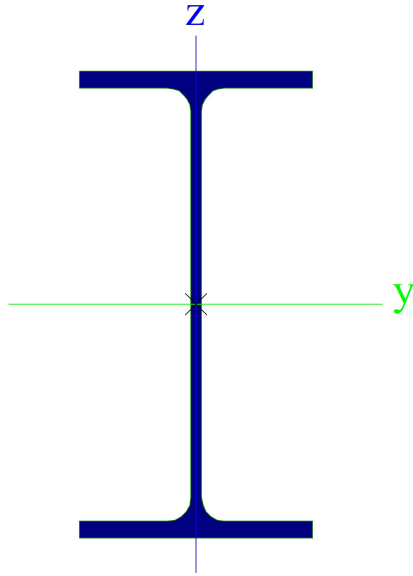
CS17

Typ	CHS48.3/3.2	
-----	-------------	--

Projekt RNR

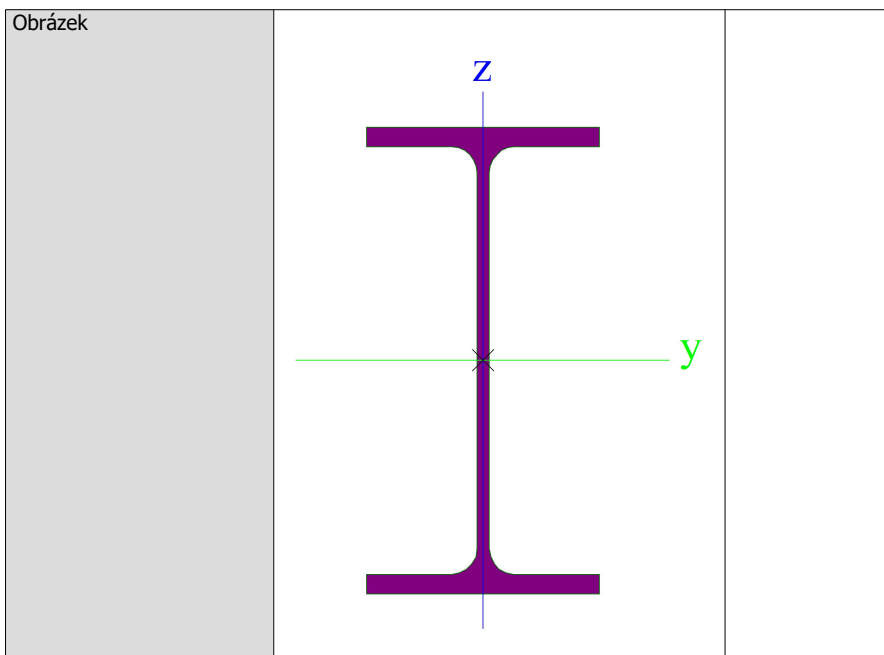
Kód tvaru	3 - Kruhové uzavřené průřezy	
Typ tvaru	Tenkostěnný	
Materiál	S 235	
Výroba	válcovaný	
Barva	■	
Posudek rovinného vzpěru y-y, Posudek rovinného vzpěru z-z	a	a
A [mm ²]	4,5300e+02	
A _y [mm ²], A _z [mm ²]	2,8864e+02	2,8864e+02
A _L [m ² /m], A _D [m ² /m]	1,5200e-01	2,8336e-01
c _{y,UCS} [mm], c _{z,UCS} [mm]	24,15	24,15
α [deg]	0,00	
I _y [mm ⁴], I _z [mm ⁴]	1,1600e+05	1,1600e+05
i _y [mm], i _z [mm]	16,00	16,00
W _{el,y} [mm ³], W _{el,z} [mm ³]	4,8000e+03	4,8000e+03
W _{pl,y} [mm ³], W _{pl,z} [mm ³]	6,4169e+03	6,4169e+03
M _{pl,y,+} [Nmm], M _{pl,y,-} [Nmm]	1531675,68	1531675,68
M _{pl,z,+} [Nmm], M _{pl,z,-} [Nmm]	1531675,68	1531675,68
d _y [mm], d _z [mm]	0,00	0,00
I _t [mm ⁴], I _w [mm ⁶]	2,3200e+05	1,7457e-25
β _y [mm], β _z [mm]	0,00	0,00
Obrázek		
CS18		
Typ	IPE300	
Kód tvaru	1 - I průřez	
Typ tvaru	Tenkostěnný	
Materiál	S 235	
Výroba	válcovaný	
Barva	■	
Posudek rovinného vzpěru y-y, Posudek rovinného vzpěru z-z	a	b
A [mm ²]	5,3800e+03	
A _y [mm ²], A _z [mm ²]	3,1835e+03	2,1775e+03
A _L [m ² /m], A _D [m ² /m]	1,1599e+00	1,1599e+00
c _{y,UCS} [mm], c _{z,UCS} [mm]	75,00	150,00
α [deg]	0,00	
I _y [mm ⁴], I _z [mm ⁴]	8,3560e+07	6,0370e+06
i _y [mm], i _z [mm]	124,63	33,50
W _{el,y} [mm ³], W _{el,z} [mm ³]	5,5700e+05	8,0500e+04
W _{pl,y} [mm ³], W _{pl,z} [mm ³]	6,2830e+05	1,2520e+05
M _{pl,y,+} [Nmm], M _{pl,y,-} [Nmm]	147776334,09	147776334,09
M _{pl,z,+} [Nmm], M _{pl,z,-} [Nmm]	29434013,31	29434013,31
d _y [mm], d _z [mm]	0,00	0,00
I _t [mm ⁴], I _w [mm ⁶]	1,9910e+05	1,2590e+11
β _y [mm], β _z [mm]	0,00	0,00

Obrázek



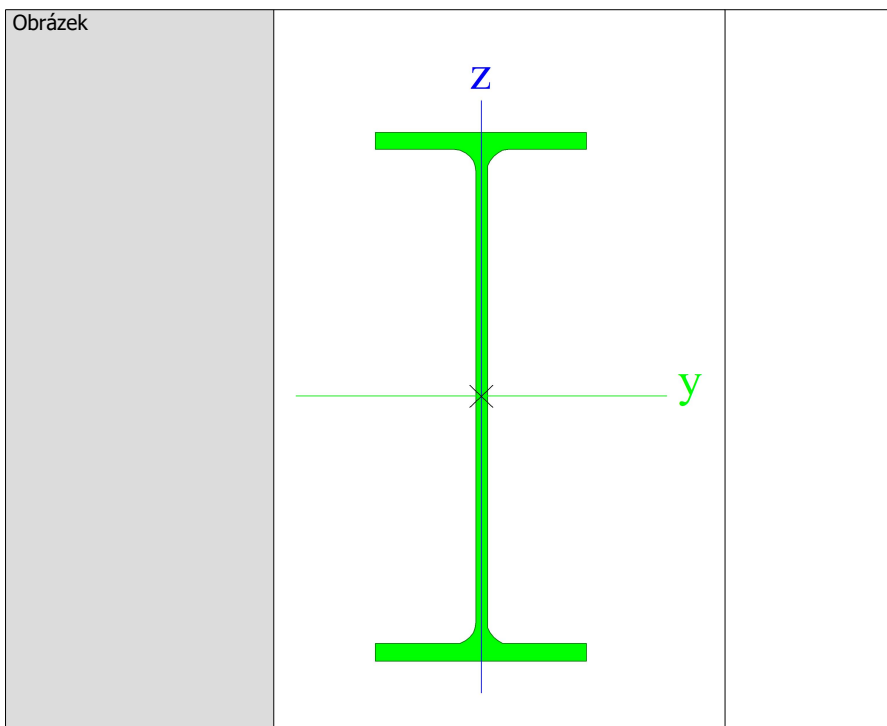
CS19

Typ	IPE220	
Kód tvaru	1 - I průřez	
Typ tvaru	Tenkostěnný	
Materiál	S 235	
Výroba	válcovaný	
Barva	■	
Posudek rovinného vzpěru y-y, Posudek rovinného vzpěru z-z	a	b
A [mm ²]	3,3400e+03	
A _y [mm ²], A _z [mm ²]	2,0643e+03	1,3244e+03
A _L [m ² /m], A _D [m ² /m]	8,4750e-01	8,4750e-01
c _{y,UCS} [mm], c _{z,UCS} [mm]	55,00	110,00
α [deg]	0,00	
I _y [mm ⁴], I _z [mm ⁴]	2,7710e+07	2,0480e+06
i _y [mm], i _z [mm]	91,08	24,76
W _{el,y} [mm ³], W _{el,z} [mm ³]	2,5190e+05	3,7250e+04
W _{pl,y} [mm ³], W _{pl,z} [mm ³]	2,8540e+05	5,8110e+04
M _{pl,y,+} [Nmm], M _{pl,y,-} [Nmm]	67122379,28	67122379,28
M _{pl,z,+} [Nmm], M _{pl,z,-} [Nmm]	13659888,75	13659888,75
d _y [mm], d _z [mm]	0,00	0,00
I _t [mm ⁴], I _w [mm ⁶]	9,0300e+04	2,2670e+10
β _y [mm], β _z [mm]	0,00	0,00

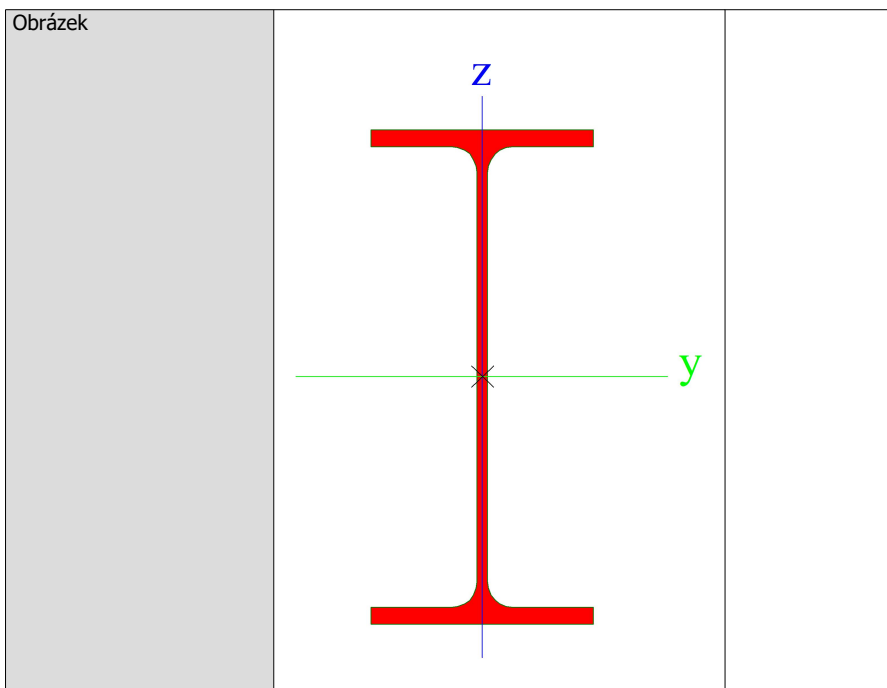



CS20		
Typ	IPE500	
Kód tvaru	1 - I průřez	
Typ tvaru	Tenkostěnný	
Materiál	S 235	
Výroba	válcovaný	
Barva	■	
Posudek rovinného vzpěru y-y, Posudek rovinného vzpěru z-z	a	b
A [mm ²]	1,1550e+04	
A _y [mm ²], A _z [mm ²]	6,4460e+03	5,1707e+03
A _L [m ² /m], A _D [m ² /m]	1,7434e+00	1,7434e+00
c _{y,UCS} [mm], c _{z,UCS} [mm]	100,00	250,00
α [deg]	0,00	
I _y [mm ⁴], I _z [mm ⁴]	4,8190e+08	2,1410e+07
i _y [mm], i _z [mm]	204,26	43,05
W _{el,y} [mm ³], W _{el,z} [mm ³]	1,9270e+06	2,1410e+05
W _{pl,y} [mm ³], W _{pl,z} [mm ³]	2,1940e+06	3,3580e+05
M _{pl,y,+} [Nmm], M _{pl,y,-} [Nmm]	515991309,51	515991309,51
M _{pl,z,+} [Nmm], M _{pl,z,-} [Nmm]	78952607,15	78952607,15
d _y [mm], d _z [mm]	0,00	0,00
I _t [mm ⁴], I _w [mm ⁶]	8,9090e+05	1,2490e+12
β _y [mm], β _z [mm]	0,00	0,00

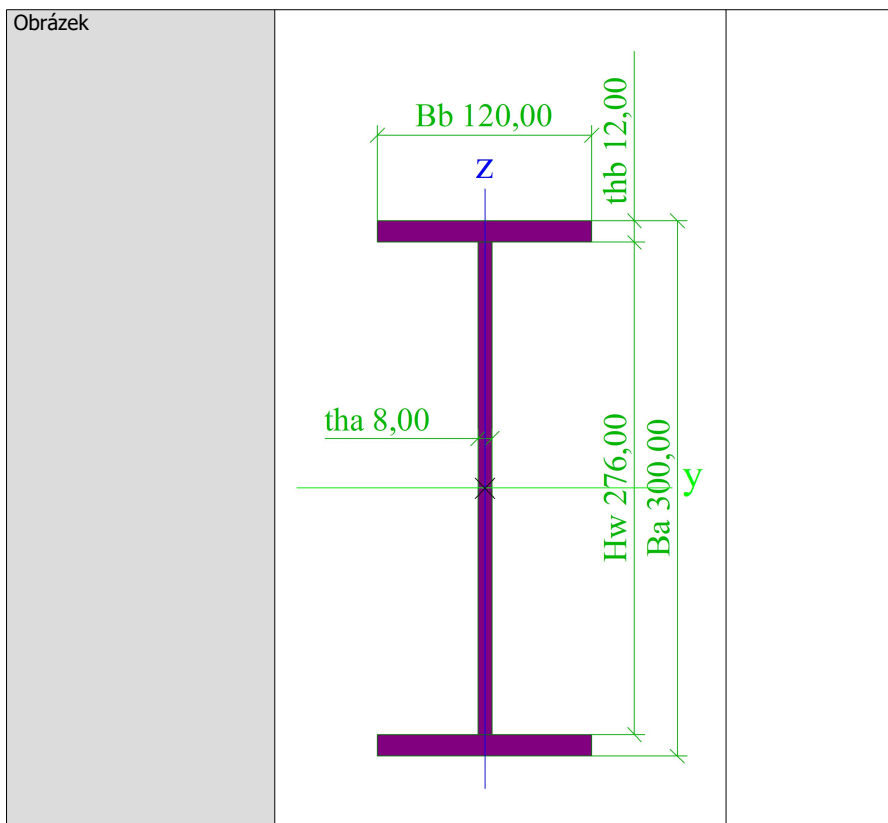
Projekt RNR



CS21		
Typ	IPE400	
Kód tvaru	1 - I průřez	
Typ tvaru	Tenkostěnný	
Materiál	S 235	
Výroba	válcovaný	
Barva	■	
Posudek rovinného vzpěru y-y, Posudek rovinného vzpěru z-z	a	b
A [mm ²]	8,4500e+03	
A _y [mm ²], A _z [mm ²]	4,9303e+03	3,5197e+03
A _L [m ² /m], A _D [m ² /m]	1,4666e+00	1,4666e+00
c _{y,UCS} [mm], c _{z,UCS} [mm]	90,00	200,00
α [deg]	0,00	
I _y [mm ⁴], I _z [mm ⁴]	2,3120e+08	1,3170e+07
i _y [mm], i _z [mm]	165,41	39,48
W _{el,y} [mm ³], W _{el,z} [mm ³]	1,1560e+06	1,4640e+05
W _{pl,y} [mm ³], W _{pl,z} [mm ³]	1,3070e+06	2,2900e+05
M _{pl,y,+} [Nmm], M _{pl,y,-} [Nmm]	307474884,46	307474884,46
M _{pl,z,+} [Nmm], M _{pl,z,-} [Nmm]	53834779,11	53834779,11
d _y [mm], d _z [mm]	0,00	
I _t [mm ⁴], I _w [mm ⁶]	5,1270e+05	4,9000e+11
β _y [mm], β _z [mm]	0,00	



CS22		
Typ	Iw	
Detailní	300,00; 8,00; 120,00; 12,00; 276,00; 0,00	
Kód tvaru	1 - I průřez	
Typ tvaru	Tenkostěnný	
Materiál	S 235	
Výroba	svařovaný	
Barva		
Posudek rovinného vzpěru y-y, Posudek rovinného vzpěru z-z	b	c
A [mm ²]	5,0880e+03	
A _y [mm ²], A _z [mm ²]	2,8706e+03	2,3895e+03
A _L [m ² /m], A _D [m ² /m]	1,0640e+00	1,0640e+00
c _{y,UCS} [mm], c _{z,UCS} [mm]	60,00	150,00
α [deg]	0,00	
I _y [mm ⁴], I _z [mm ⁴]	7,3771e+07	3,4678e+06
i _y [mm], i _z [mm]	120,41	26,11
W _{el,y} [mm ³], W _{el,z} [mm ³]	4,9180e+05	5,7796e+04
W _{pl,y} [mm ³], W _{pl,z} [mm ³]	5,6707e+05	9,0816e+04
M _{pl,y,+} [Nmm], M _{pl,y,-} [Nmm]	133261920,00	133261920,00
M _{pl,z,+} [Nmm], M _{pl,z,-} [Nmm]	21341760,00	21341760,00
d _y [mm], d _z [mm]	0,00	0,00
I _t [mm ⁴], I _w [mm ⁶]	1,8739e+05	7,1664e+10
β _y [mm], β _z [mm]	0,00	0,00



CS23		
Typ	2U komora	
Detailní	UPN220	
Typ tvaru	Tenkostěnný	
Materiál	S 235	
Výroba	svařovaný	
Barva	■	
Posudek rovinného vzpěru y-y, Posudek rovinného vzpěru z-z	b	b
A [mm ²]	7,4908e+03	
A _y [mm ²], A _z [mm ²]	3,5860e+03	3,9361e+03
A _L [m ² /m], A _D [m ² /m]	7,6000e-01	1,4218e+00
c _{y,UCS} [mm], c _{z,UCS} [mm]	80,00	110,00
α [deg]	0,00	
I _y [mm ⁴], I _z [mm ⁴]	5,3838e+07	2,9604e+07
i _y [mm], i _z [mm]	84,78	62,87
W _{el,y} [mm ³], W _{el,z} [mm ³]	4,8943e+05	3,7005e+05
W _{pl,y} [mm ³], W _{pl,z} [mm ³]	5,8315e+05	4,3866e+05
M _{pl,y,+} [Nmm], M _{pl,y,-} [Nmm]	137039562,72	137039562,72
M _{pl,z,+} [Nmm], M _{pl,z,-} [Nmm]	103085645,54	103085645,54
d _y [mm], d _z [mm]	0,00	0,00
I _t [mm ⁴], I _w [mm ⁶]	5,6180e+07	1,4988e+10
β _y [mm], β _z [mm]	0,00	0,00

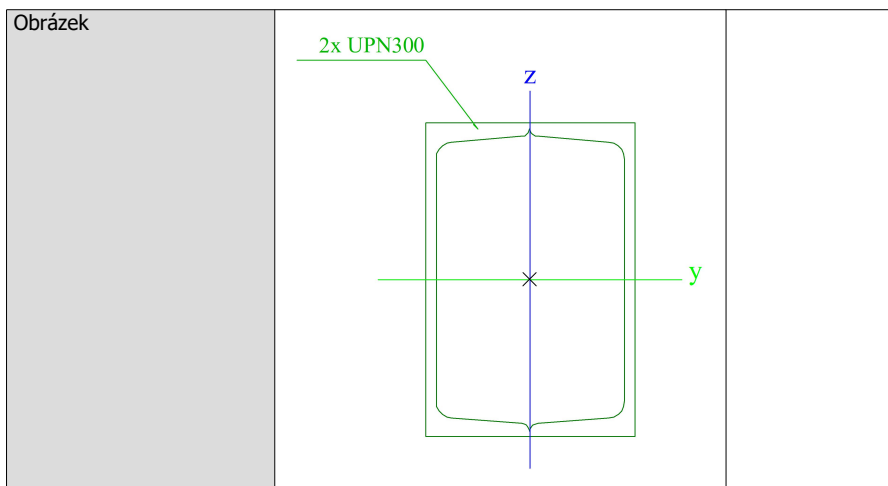
Projekt RNR

<p>Obrázek</p>		
<p>CS24</p>		
<p>Typ Detailní Typ tvaru Materiál Výroba Barva Posudek rovinného vzpěru y-y, Posudek rovinného vzpěru z-z A [mm²] A_y [mm²], A_z [mm²] A_L [m²/m], A_D [m²/m] c_{y,UCS} [mm], c_{z,UCS} [mm] α [deg] I_y [mm⁴], I_z [mm⁴] i_y [mm], i_z [mm] W_{el,y} [mm³], W_{el,z} [mm³] W_{pl,y} [mm³], W_{pl,z} [mm³] M_{pl,y,+} [Nmm], M_{pl,y,-} [Nmm] M_{pl,z,+} [Nmm], M_{pl,z,-} [Nmm] d_y [mm], d_z [mm] I_t [mm⁴], I_w [mm⁶] β_y [mm], β_z [mm] Obrázek</p>	<p>2U komora UPN160 Tenkostěnný S 235 svařovaný</p> <p style="text-align: center;">■</p> <p>b</p> <p>4,8042e+03 2,4312e+03 5,8000e-01 65,00 0,00 1,8500e+07 62,05 2,3125e+05 2,7516e+05 64662448,68 52624443,45 0,00 2,1364e+07 0,00</p>	<p>b</p> <p>2,3997e+03 1,0782e+00 80,00 1,2138e+07 50,26 1,8674e+05 2,2393e+05 64662448,68 52624443,45 0,00 2,3025e+09 0,00</p>
<p>Obrázek</p>		
<p>CS25</p>		
<p>Typ Detailní Typ tvaru Materiál Výroba Barva Posudek rovinného</p>	<p>2U komora UPN260 Tenkostěnný S 235 svařovaný</p> <p style="text-align: center;">■</p> <p>b</p>	<p>b</p>


Projekt RNR

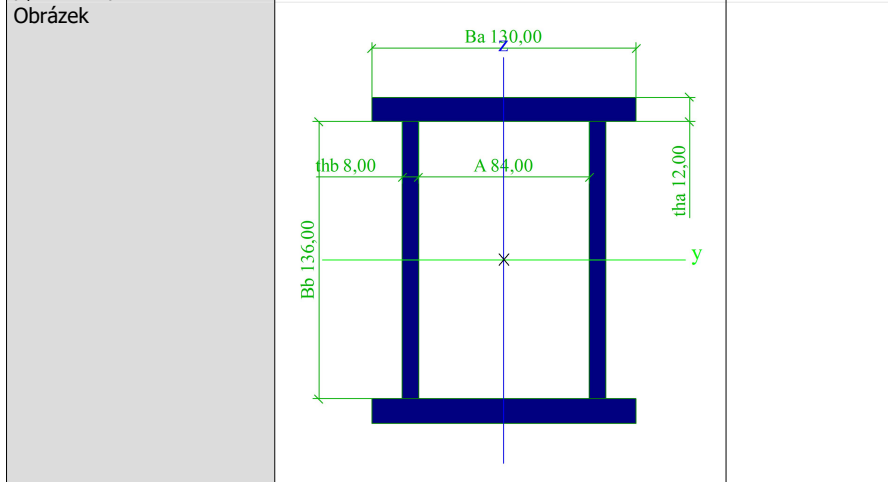
vzpěru y-y, Posudek rovinného vzpěru z-z		
A [mm ²]	9,6590e+03	
A _y [mm ²], A _z [mm ²]	4,5389e+03	5,1572e+03
A _L [m ² /m], A _D [m ² /m]	8,8000e-01	1,6496e+00
c _{y,UCS} [mm], c _{z,UCS} [mm]	90,00	130,00
α [deg]	0,00	
I _y [mm ⁴], I _z [mm ⁴]	9,6512e+07	4,8839e+07
i _y [mm], i _z [mm]	99,96	71,11
W _{el,y} [mm ³], W _{el,z} [mm ³]	7,4240e+05	5,4266e+05
W _{pl,y} [mm ³], W _{pl,z} [mm ³]	8,8508e+05	6,4069e+05
M _{pl,y,+} [Nmm], M _{pl,y,-} [Nmm]	207993670,85	207993670,85
M _{pl,z,+} [Nmm], M _{pl,z,-} [Nmm]	150561206,71	150561206,71
d _y [mm], d _z [mm]	0,00	0,00
I _t [mm ⁴], I _w [mm ⁶]	9,5672e+07	4,0541e+10
β _y [mm], β _z [mm]	0,00	0,00
Obrázek		
CS26		
Typ	2U komora	
Detailní	UPN300	
Typ tvaru	Tenkostěnný	
Materiál	S 235	
Výroba	svařovaný	
Barva		
Posudek rovinného vzpěru y-y, Posudek rovinného vzpěru z-z	b	b
A [mm ²]	1,1756e+04	
A _y [mm ²], A _z [mm ²]	5,7148e+03	5,9866e+03
A _L [m ² /m], A _D [m ² /m]	1,0000e+00	1,8796e+00
c _{y,UCS} [mm], c _{z,UCS} [mm]	100,00	150,00
α [deg]	0,00	
I _y [mm ⁴], I _z [mm ⁴]	1,6060e+08	7,2515e+07
i _y [mm], i _z [mm]	116,88	78,54
W _{el,y} [mm ³], W _{el,z} [mm ³]	1,0707e+06	7,2515e+05
W _{pl,y} [mm ³], W _{pl,z} [mm ³]	1,2651e+06	8,5824e+05
M _{pl,y,+} [Nmm], M _{pl,y,-} [Nmm]	297305052,04	297305052,04
M _{pl,z,+} [Nmm], M _{pl,z,-} [Nmm]	201687076,83	201687076,83
d _y [mm], d _z [mm]	0,00	0,00
I _t [mm ⁴], I _w [mm ⁶]	1,4530e+08	1,2009e+11
β _y [mm], β _z [mm]	0,00	0,00

Projekt RNR



CS27


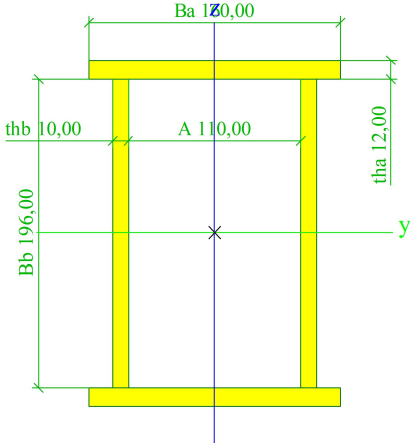

Typ	Komora fl	
Detailní	130,00; 12,00; 136,00; 8,00; 84,00	
Typ tvaru	Tenkostěnný	
Materiál	S 235	
Výroba	svařovaný	
Barva		
Posudek rovinného vzpěru y-y, Posudek rovinného vzpěru z-z	b	b
A [mm ²]	5,2960e+03	
A _y [mm ²], A _z [mm ²]	2,6227e+03	2,4850e+03
A _L [m ² /m], A _D [m ² /m]	6,4000e-01	1,0800e+00
c _{y,UCS} [mm], c _{z,UCS} [mm]	65,00	80,00
α [deg]	0,00	
I _y [mm ⁴], I _z [mm ⁴]	2,0477e+07	9,0100e+06
i _y [mm], i _z [mm]	62,18	41,25
W _{el,y} [mm ³], W _{el,z} [mm ³]	2,5596e+05	1,3862e+05
W _{pl,y} [mm ³], W _{pl,z} [mm ³]	3,0486e+05	2,0150e+05
M _{pl,y,+} [Nmm], M _{pl,y,-} [Nmm]	71643040,00	71643040,00
M _{pl,z,+} [Nmm], M _{pl,z,-} [Nmm]	47351560,00	47351560,00
d _y [mm], d _z [mm]	0,00	0,00
I _t [mm ⁴], I _w [mm ⁶]	1,4371e+07	7,2489e+09
β _y [mm], β _z [mm]	0,00	0,00



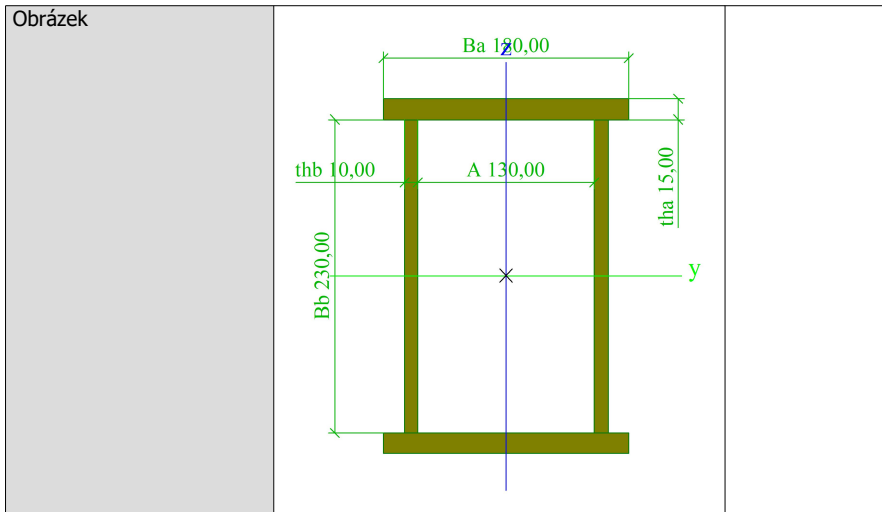
CS28

Typ	Komora fl	
Detailní	160,00; 12,00; 196,00; 10,00; 110,00	
Typ tvaru	Tenkostěnný	
Materiál	S 235	

Projekt RNR

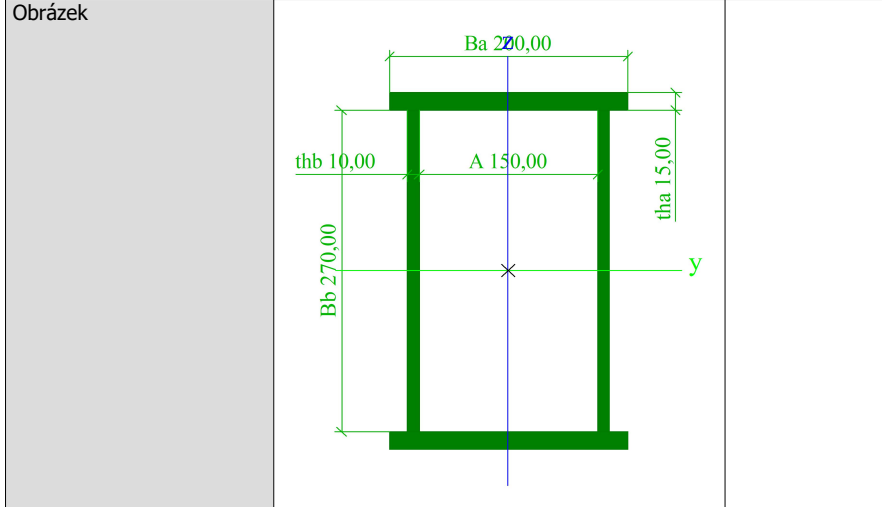
Výroba	svařovaný	
Barva		
Posudek rovinného vzpěru y-y, Posudek rovinného vzpěru z-z	b	b
A [mm ²]	7,7600e+03	
A _y [mm ²], A _z [mm ²]	3,3252e+03	4,3078e+03
A _L [m ² /m], A _D [m ² /m]	8,2000e-01	1,4320e+00
c _{y,UCS} [mm], c _{z,UCS} [mm]	80,00	110,00
α [deg]	0,00	
I _y [mm ⁴], I _z [mm ⁴]	5,4129e+07	2,2337e+07
i _y [mm], i _z [mm]	83,52	53,65
W _{el,y} [mm ³], W _{el,z} [mm ³]	4,9208e+05	2,7921e+05
W _{pl,y} [mm ³], W _{pl,z} [mm ³]	5,9144e+05	3,8880e+05
M _{pl,y,+} [Nmm], M _{pl,y,-} [Nmm]	138988400,00	138988400,00
M _{pl,z,+} [Nmm], M _{pl,z,-} [Nmm]	91368000,00	91368000,00
d _y [mm], d _z [mm]	0,00	0,00
I _t [mm ⁴], I _w [mm ⁶]	4,0778e+07	2,1584e+10
β _y [mm], β _z [mm]	0,00	0,00
Obrázek		
CS29		
Typ	Komora fl	
Detailní	180,00; 15,00; 230,00; 10,00; 130,00	
Typ tvaru	Tenkostěnný	
Materiál	S 235	
Výroba	svařovaný	
Barva		
Posudek rovinného vzpěru y-y, Posudek rovinného vzpěru z-z	b	b
A [mm ²]	1,0000e+04	
A _y [mm ²], A _z [mm ²]	4,6888e+03	5,1389e+03
A _L [m ² /m], A _D [m ² /m]	9,4000e-01	1,6600e+00
c _{y,UCS} [mm], c _{z,UCS} [mm]	90,00	130,00
α [deg]	0,00	
I _y [mm ⁴], I _z [mm ⁴]	1,0141e+08	3,7158e+07
i _y [mm], i _z [mm]	100,70	60,96
W _{el,y} [mm ³], W _{el,z} [mm ³]	7,8010e+05	4,1287e+05
W _{pl,y} [mm ³], W _{pl,z} [mm ³]	9,2600e+05	5,6500e+05
M _{pl,y,+} [Nmm], M _{pl,y,-} [Nmm]	217610000,00	217610000,00
M _{pl,z,+} [Nmm], M _{pl,z,-} [Nmm]	132775000,00	132775000,00
d _y [mm], d _z [mm]	0,00	0,00
I _t [mm ⁴], I _w [mm ⁶]	7,0115e+07	7,6254e+10
β _y [mm], β _z [mm]	0,00	0,00

Projekt RNR



CS30

Typ	Komora fl	
Detailní	200,00; 15,00; 270,00; 10,00; 150,00	
Typ tvaru	Tenkostěnný	
Materiál	S 235	
Výroba	svařovaný	
Barva	■	
Posudek rovinného vzpěru y-y, Posudek rovinného vzpěru z-z	b	b
A [mm ²]	1,1400e+04	
A _y [mm ²], A _z [mm ²]	5,1705e+03	5,8155e+03
A _L [m ² /m], A _D [m ² /m]	1,0600e+00	1,9000e+00
c _{y,UCS} [mm], c _{z,UCS} [mm]	100,00	150,00
α [deg]	0,00	
I _y [mm ⁴], I _z [mm ⁴]	1,5476e+08	5,4605e+07
i _y [mm], i _z [mm]	116,51	69,21
W _{el,y} [mm ³], W _{el,z} [mm ³]	1,0317e+06	5,4605e+05
W _{pl,y} [mm ³], W _{pl,z} [mm ³]	1,2195e+06	7,3200e+05
M _{pl,y,+} [Nmm], M _{pl,y,-} [Nmm]	286582500,00	286582500,00
M _{pl,z,+} [Nmm], M _{pl,z,-} [Nmm]	172020000,00	172020000,00
d _y [mm], d _z [mm]	0,00	0,00
I _t [mm ⁴], I _w [mm ⁶]	1,0682e+08	1,4763e+11
β _y [mm], β _z [mm]	0,00	0,00

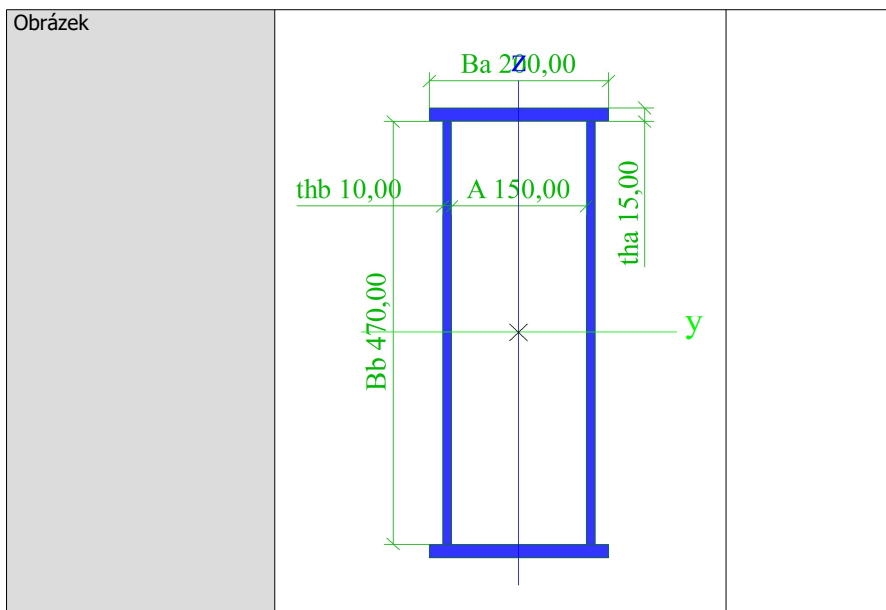



CS32

Typ	Komora fl	
Detailní	200,00; 35,00; 130,00; 20,00; 130,00	

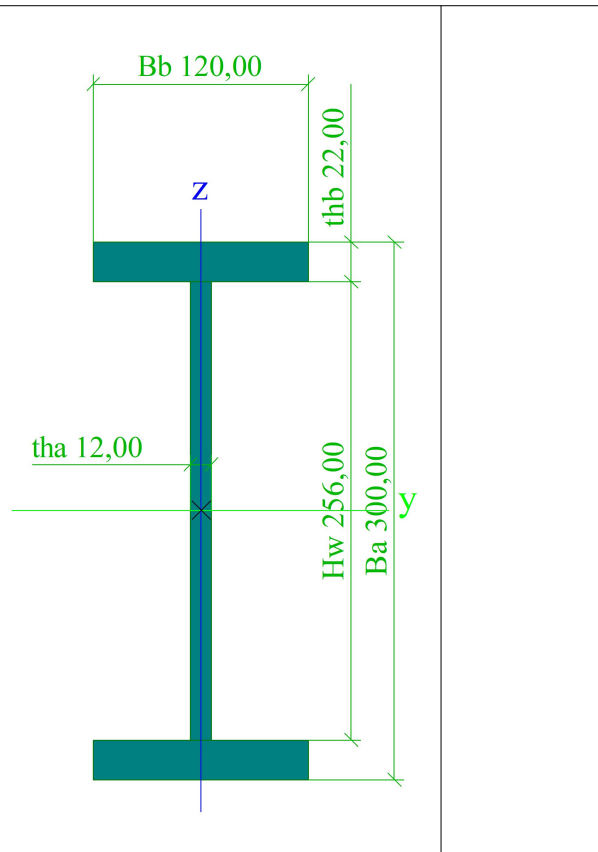
Projekt RNR

Typ tvaru	Tenkostěnný	
Materiál	S 235	
Výroba	svařovaný	
Barva	■	
Posudek rovinného vzpěru y-y, Posudek rovinného vzpěru z-z	b	b
A [mm ²]	1,9200e+04	
A _y [mm ²], A _z [mm ²]	1,2170e+04	8,0124e+03
A _L [m ² /m], A _D [m ² /m]	8,6000e-01	1,3800e+00
c _{y,UCS} [mm], c _{z,UCS} [mm]	100,00	100,00
α [deg]	0,00	
I _y [mm ⁴], I _z [mm ⁴]	1,0404e+08	7,6090e+07
i _y [mm], i _z [mm]	73,61	62,95
W _{el,y} [mm ³], W _{el,z} [mm ³]	1,0404e+06	7,6090e+05
W _{pl,y} [mm ³], W _{pl,z} [mm ³]	1,3240e+06	1,0900e+06
M _{pl,y,+} [Nmm], M _{pl,y,-} [Nmm]	311140000,00	311140000,00
M _{pl,z,+} [Nmm], M _{pl,z,-} [Nmm]	256150000,00	256150000,00
d _y [mm], d _z [mm]	0,00	0,00
I _t [mm ⁴], I _w [mm ⁶]	1,0433e+08	5,4313e+10
β _y [mm], β _z [mm]	0,00	0,00
Obrázek		
CS33		
Typ	Komora fl	
Detailní	200,00; 15,00; 470,00; 10,00; 150,00	
Typ tvaru	Tenkostěnný	
Materiál	S 235	
Výroba	svařovaný	
Barva	■	
Posudek rovinného vzpěru y-y, Posudek rovinného vzpěru z-z	b	b
A [mm ²]	1,5400e+04	
A _y [mm ²], A _z [mm ²]	5,1666e+03	9,7409e+03
A _L [m ² /m], A _D [m ² /m]	1,4600e+00	2,7000e+00
c _{y,UCS} [mm], c _{z,UCS} [mm]	100,00	250,00
α [deg]	0,00	
I _y [mm ⁴], I _z [mm ⁴]	5,2599e+08	8,0238e+07
i _y [mm], i _z [mm]	184,81	72,18
W _{el,y} [mm ³], W _{el,z} [mm ³]	2,1040e+06	8,0238e+05
W _{pl,y} [mm ³], W _{pl,z} [mm ³]	2,5595e+06	1,0520e+06
M _{pl,y,+} [Nmm], M _{pl,y,-} [Nmm]	601482500,00	601482500,00
M _{pl,z,+} [Nmm], M _{pl,z,-} [Nmm]	247220000,00	247220000,00
d _y [mm], d _z [mm]	0,00	0,00
I _t [mm ⁴], I _w [mm ⁶]	2,0433e+08	1,0101e+12
β _y [mm], β _z [mm]	0,00	0,00



CS34		
Typ	Iw	
Detailní	300,00; 12,00; 120,00; 22,00; 256,00; 0,00	
Kód tvaru	1 - I průřez	
Typ tvaru	Tenkostěnný	
Materiál	S 235	
Výroba	svařovaný	
Barva		
Posudek rovinného vzpěru y-y, Posudek rovinného vzpěru z-z	b	c
A [mm ²]	8,3520e+03	
A _y [mm ²], A _z [mm ²]	5,2789e+03	3,5292e+03
A _L [m ² /m], A _D [m ² /m]	1,0560e+00	1,0560e+00
c _{y,ucs} [mm], c _{z,ucs} [mm]	60,00	150,00
α [deg]	0,00	
I _y [mm ⁴], I _z [mm ⁴]	1,1901e+08	6,3729e+06
i _y [mm], i _z [mm]	119,37	27,62
W _{el,y} [mm ³], W _{el,z} [mm ³]	7,9337e+05	1,0621e+05
W _{pl,y} [mm ³], W _{pl,z} [mm ³]	9,3053e+05	1,6762e+05
M _{pl,y,+} [Nmm], M _{pl,y,-} [Nmm]	218674080,00	218674080,00
M _{pl,z,+} [Nmm], M _{pl,z,-} [Nmm]	39389760,00	39389760,00
d _y [mm], d _z [mm]	0,00	0,00
I _t [mm ⁴], I _w [mm ⁶]	1,0120e+06	1,2242e+11
β _y [mm], β _z [mm]	0,00	0,00

Obrázek



Vysvětlivky symbolů	
Kód tvaru	h - Výška b - Šířka s - Tloušťka r - Vnější poloměr r1 - Vnitřní poloměr
A	Plocha
A _y	Smyková plocha ve směru hlavní osy y
A _z	Smyková plocha ve směru hlavní osy z
A _L	Obvodový povrch na jednotku délky
A _D	Vysýchající povrch na jednotku délky
C _y .UCS	Souřadnice těžiště ve směru osy Y zadávacího systému
C _z .UCS	Souřadnice těžiště ve směru osy Z zadávacího systému
I _y .LCS	Moment setrvačnosti kolem osy YLSS
I _z .LCS	Moment setrvačnosti kolem osy ZLSS
I _{yz} .LCS	Moment setrvačnosti I _{yz} v LSS
α	Úhel pootočení hlavní osy
I _y	Moment setrvačnosti kolem hlavní osy y
I _z	Moment setrvačnosti kolem hlavní osy z
i _y	Poloměr setrvačnosti kolem hlavní osy y

Vysvětlivky symbolů	
i _z	Poloměr setrvačnosti kolem hlavní osy z
W _{el.y}	Pružný modul průřezu k hlavní ose y
W _{el.z}	Pružný modul průřezu k hlavní ose z
W _{pl.y}	Plastický modul průřezu k hlavní ose y
W _{pl.z}	Plastický modul průřezu k hlavní ose z
M _{pl.y.+}	Plastický moment kolem hlavní osy y pro kladný moment M _y
M _{pl.y.-}	Plastický moment kolem hlavní osy y pro záporný moment M _y
M _{pl.z.+}	Plastický moment kolem hlavní osy z pro kladný moment M _z
M _{pl.z.-}	Plastický moment kolem hlavní osy z pro záporný moment M _z
d _y	Souřadnice středu smyku ve směru hlavní osy y měřená od těžiště
d _z	Souřadnice středu smyku ve směru hlavní osy z měřená od těžiště
I _t	Moment setrvačnosti v prostém kroucení
I _w	Výšečový moment setrvačnosti
β _y	Mono-symetrická konstanta kolem hlavní osy y
β _z	Mono-symetrická konstanta kolem hlavní osy z

12. Uzly

Jméno	Souř. X [m]	Souř. Y [m]	Souř. Z [m]
N1	0,000	0,000	1,220
N2	0,000	0,000	2,860
N3	2,000	0,000	1,220
N4	2,000	0,000	2,860

Jméno	Souř. X [m]	Souř. Y [m]	Souř. Z [m]
N5	4,000	0,000	1,220
N6	4,000	0,000	2,860
N7	6,000	0,000	1,220
N8	6,000	0,000	2,860

Jméno	Souř. X [m]	Souř. Y [m]	Souř. Z [m]
N9	8,000	0,000	1,220
N10	8,000	0,000	2,860
N11	10,000	0,000	1,220
N12	10,000	0,000	2,860

Projekt RNR

Jméno	Souř. X [m]	Souř. Y [m]	Souř. Z [m]
N13	12,000	0,000	1,220
N14	12,000	0,000	2,860
N15	14,000	0,000	1,220
N16	14,000	0,000	2,860
N18	0,000	3,575	3,220
N19	2,000	3,575	1,220
N20	2,000	3,575	3,220
N21	4,000	3,575	1,220
N22	4,000	3,575	3,220
N23	6,000	3,575	1,220
N24	6,000	3,575	3,220
N25	8,000	3,575	1,220
N26	8,000	3,575	3,220
N27	10,000	3,575	1,220
N28	10,000	3,575	3,220
N29	12,000	3,575	1,220
N30	12,000	3,575	3,220
N31	14,000	3,575	1,220
N32	14,000	3,575	3,220
N33	0,000	3,873	3,250
N34	2,000	3,873	3,250
N35	4,000	3,873	3,250
N36	6,000	3,873	3,250
N37	8,000	3,873	3,250
N38	10,000	3,873	3,250
N39	12,000	3,873	3,250
N40	14,000	3,873	3,250
N41	15,040	0,000	2,860
N42	15,040	3,873	3,250
N44	2,000	1,788	3,040
N46	0,000	1,788	3,040
N47	4,000	1,788	3,040
N48	6,000	1,788	3,040
N49	8,000	1,788	3,040
N50	10,000	1,788	3,040
N51	12,000	1,788	3,040
N52	14,000	1,788	3,040
N53	-2,150	0,000	3,090
N54	-2,150	3,873	3,480
N55	-2,150	3,575	3,450
N56	-2,150	1,788	3,270
N57	0,000	0,894	2,950
N58	-2,150	0,894	3,180
N59	0,000	2,681	3,130
N60	-2,150	2,681	3,360
N61	2,000	2,681	3,130

Jméno	Souř. X [m]	Souř. Y [m]	Souř. Z [m]
N62	4,000	2,681	3,130
N63	2,000	0,894	2,950
N64	4,000	0,894	2,950
N65	15,040	3,575	3,220
N66	15,040	1,788	3,040
N67	0,000	3,575	1,220
N68	14,000	0,000	1,220
N69	14,000	0,050	2,865
N70	15,040	0,050	2,865
N72	0,003	11,341	3,030
N73	2,003	11,341	1,070
N74	2,003	11,341	3,030
N75	4,003	11,341	1,070
N76	4,003	11,341	3,030
N77	6,003	11,341	1,070
N78	6,003	11,341	3,030
N79	8,003	11,341	1,070
N80	8,003	11,341	3,030
N81	10,003	11,341	1,070
N82	10,003	11,341	3,030
N83	12,003	11,341	1,070
N84	12,003	11,341	3,030
N85	14,373	11,341	1,070
N86	14,373	11,341	3,030
N87	0,003	17,616	0,000
N88	0,003	17,616	2,720
N89	2,003	17,616	0,000
N90	2,003	17,616	2,720
N91	4,003	17,616	0,000
N92	4,003	17,616	2,720
N93	6,003	17,616	0,000
N94	6,003	17,616	2,720
N95	8,003	17,616	0,000
N96	8,003	17,616	2,720
N97	10,003	17,616	0,000
N98	10,003	17,616	2,720
N99	12,003	17,616	0,000
N100	12,003	17,616	2,720
N101	14,373	17,616	0,000
N102	14,373	17,616	2,720
N103	0,003	11,116	3,041
N104	0,003	14,616	0,000
N105	0,003	14,616	2,868
N106	2,003	11,116	3,041
N107	4,003	11,116	3,041
N108	6,003	11,116	3,041

Jméno	Souř. X [m]	Souř. Y [m]	Souř. Z [m]
N109	8,003	11,116	3,041
N110	10,003	11,116	3,041
N111	12,003	11,116	3,041
N112	14,373	11,116	3,041
N113	4,003	14,616	1,070
N114	4,003	14,616	2,868
N115	8,003	14,616	1,070
N116	8,003	14,616	2,868
N117	12,003	14,616	1,070
N118	12,003	14,616	2,868
N119	14,373	14,616	1,070
N120	14,373	14,616	2,868
N121	-2,147	11,116	3,271
N122	-2,147	17,616	2,950
N123	-2,147	11,352	3,259
N124	2,003	14,616	2,868
N125	0,003	12,978	2,949
N126	2,003	12,978	2,949
N127	4,003	12,978	2,949
N128	0,003	16,116	2,794
N129	2,003	16,116	2,794
N130	4,003	16,116	2,794
N131	6,003	12,978	2,949
N132	6,003	14,616	2,868
N133	6,003	16,116	2,794
N134	8,003	12,978	2,949
N135	8,003	16,116	2,794
N136	10,003	12,978	2,949
N137	10,003	14,616	2,868
N138	10,003	16,116	2,794
N139	12,003	12,978	2,949
N140	12,003	16,116	2,794
N142	14,373	12,978	2,949
N144	14,373	16,116	2,794
N145	-2,147	12,989	3,179
N146	-2,147	14,627	3,098
N147	-2,147	16,127	3,024
N148	-2,147	17,616	0,000
N149	12,003	17,616	1,100
N150	10,003	17,616	1,100
N151	2,003	17,616	1,100
N152	0,003	17,616	1,100
N153	8,003	17,616	1,100
N154	4,003	17,616	1,100
N155	0,000	0,000	0,000

13. Prvky

Jméno	Průřez	Materiál	Délka [m]	Poč. uzel	Konc. uzel	Typ
B1	CS32 - Komora fl (200,00; 35,00; 130,00; 20,00; 130,00)	S 235	2,860	N155	N2	sloup (100)
B2	CS1 - RHS200/120/8.0	S 235	1,640	N3	N4	sloup (100)
B3	CS1 - RHS200/120/8.0	S 235	1,640	N5	N6	sloup (100)
B4	CS1 - RHS200/120/8.0	S 235	1,640	N7	N8	sloup (100)
B5	CS1 - RHS200/120/8.0	S 235	1,640	N9	N10	sloup (100)
B6	CS1 - RHS200/120/8.0	S 235	1,640	N11	N12	sloup (100)
B7	CS1 - RHS200/120/8.0	S 235	1,640	N13	N14	sloup (100)
B8	CS1 - RHS200/120/8.0	S 235	1,640	N15	N16	sloup (100)
B10	CS3 - Obecný průřez	S 235	2,000	N19	N20	sloup (100)
B11	CS3 - Obecný průřez	S 235	2,000	N21	N22	sloup (100)
B12	CS2 - Obecný průřez	S 235	2,000	N23	N24	sloup (100)
B13	CS2 - Obecný průřez	S 235	2,000	N25	N26	sloup (100)
B14	CS2 - Obecný průřez	S 235	2,000	N27	N28	sloup (100)
B15	CS2 - Obecný průřez	S 235	2,000	N29	N30	sloup (100)

Projekt RNR

Jméno	Průřez	Materiál	Délka [m]	Poč. uzel	Konc. uzel	Typ
B16	CS2 - Obecný průřez	S 235	2,000	N31	N32	sloup (100)
B17	CS33 - Komora fl (200,00; 15,00; 470,00; 10,00; 150,00)	S 235	3,893	N2	N33	obecný (0)
B18	CS4 - Iw (500,00; 10,00; 120,00; 15,00; 470,00; 0,00)	S 235	3,893	N4	N34	obecný (0)
B19	CS4 - Iw (500,00; 10,00; 120,00; 15,00; 470,00; 0,00)	S 235	3,893	N6	N35	obecný (0)
B20	CS4 - Iw (500,00; 10,00; 120,00; 15,00; 470,00; 0,00)	S 235	3,893	N8	N36	obecný (0)
B21	CS4 - Iw (500,00; 10,00; 120,00; 15,00; 470,00; 0,00)	S 235	3,893	N10	N37	obecný (0)
B22	CS4 - Iw (500,00; 10,00; 120,00; 15,00; 470,00; 0,00)	S 235	3,893	N12	N38	obecný (0)
B23	CS4 - Iw (500,00; 10,00; 120,00; 15,00; 470,00; 0,00)	S 235	3,893	N14	N39	obecný (0)
B24	CS4 - Iw (500,00; 10,00; 120,00; 15,00; 470,00; 0,00)	S 235	3,893	N16	N40	obecný (0)
B25	CS5 - Iw (500,00; 6,00; 120,00; 10,00; 480,00; 0,00)	S 235	3,893	N41	N42	obecný (0)
B26	CS20 - IPE500	S 235	2,000	N2	N4	obecný (0)
B28	CS7 - Komora fl (150,00; 20,00; 80,00; 10,00; 120,00)	S 235	2,000	N18	N20	obecný (0)
B29	CS18 - IPE300	S 235	2,000	N46	N44	obecný (0)
B30	CS20 - IPE500	S 235	2,000	N4	N6	obecný (0)
B31	CS7 - Komora fl (150,00; 20,00; 80,00; 10,00; 120,00)	S 235	2,000	N20	N22	obecný (0)
B32	CS18 - IPE300	S 235	2,000	N44	N47	obecný (0)
B33	CS6 - IPE120	S 235	2,000	N6	N8	obecný (0)
B34	CS6 - IPE120	S 235	2,000	N22	N24	obecný (0)
B35	CS6 - IPE120	S 235	2,000	N47	N48	obecný (0)
B36	CS6 - IPE120	S 235	2,000	N8	N10	obecný (0)
B37	CS6 - IPE120	S 235	2,000	N24	N26	obecný (0)
B38	CS6 - IPE120	S 235	2,000	N48	N49	obecný (0)
B39	CS6 - IPE120	S 235	2,000	N10	N12	obecný (0)
B40	CS6 - IPE120	S 235	2,000	N26	N28	obecný (0)
B41	CS6 - IPE120	S 235	2,000	N49	N50	obecný (0)
B42	CS6 - IPE120	S 235	2,000	N12	N14	obecný (0)
B43	CS6 - IPE120	S 235	2,000	N28	N30	obecný (0)
B44	CS6 - IPE120	S 235	2,000	N50	N51	obecný (0)
B45	CS20 - IPE500	S 235	2,000	N14	N16	nosník (80)
B46	CS7 - Komora fl (150,00; 20,00; 80,00; 10,00; 120,00)	S 235	2,000	N30	N32	obecný (0)
B47	CS18 - IPE300	S 235	2,000	N51	N52	obecný (0)
B48	CS7 - Komora fl (150,00; 20,00; 80,00; 10,00; 120,00)	S 235	3,893	N53	N54	obecný (0)
B49	CS12 - Komora fl (200,00; 15,00; 470,00; 10,00; 150,00)	S 235	2,162	N2	N53	nosník (80)
B50	CS7 - Komora fl (150,00; 20,00; 80,00; 10,00; 120,00)	S 235	2,162	N18	N55	nosník (80)
B51	CS14 - Komora fl (150,00; 10,00; 280,00; 6,00; 108,00)	S 235	2,162	N46	N56	nosník (80)
B52	CS13 - Komora fl (180,00; 12,00; 376,00; 8,00; 134,00)	S 235	2,162	N57	N58	nosník (80)
B53	CS15 - Komora fl (110,00; 10,00; 200,00; 6,00; 78,00)	S 235	2,162	N59	N60	nosník (80)
B54	CS19 - IPE220	S 235	2,000	N59	N61	obecný (0)
B55	CS19 - IPE220	S 235	2,000	N61	N62	obecný (0)
B56	CS21 - IPE400	S 235	2,000	N57	N63	obecný (0)
B57	CS21 - IPE400	S 235	2,000	N63	N64	obecný (0)
B62	CS17 - CHS48.3/3.2	S 235	2,688	N2	N44	nosník (80)
B63	CS17 - CHS48.3/3.2	S 235	2,688	N4	N46	nosník (80)
B64	CS17 - CHS48.3/3.2	S 235	2,688	N46	N20	nosník (80)
B65	CS17 - CHS48.3/3.2	S 235	2,688	N44	N18	nosník (80)
B66	CS17 - CHS48.3/3.2	S 235	2,688	N12	N51	nosník (80)
B67	CS17 - CHS48.3/3.2	S 235	2,688	N14	N50	nosník (80)
B68	CS17 - CHS48.3/3.2	S 235	2,688	N50	N30	nosník (80)
B69	CS17 - CHS48.3/3.2	S 235	2,688	N51	N28	nosník (80)
B70	CS17 - CHS48.3/3.2	S 235	2,688	N47	N20	nosník (80)
B71	CS17 - CHS48.3/3.2	S 235	2,688	N44	N22	nosník (80)
B72	CS17 - CHS48.3/3.2	S 235	2,688	N48	N22	nosník (80)
B73	CS17 - CHS48.3/3.2	S 235	2,688	N47	N24	nosník (80)
B74	CS17 - CHS48.3/3.2	S 235	2,688	N49	N24	nosník (80)
B75	CS17 - CHS48.3/3.2	S 235	2,688	N48	N26	nosník (80)
B76	CS17 - CHS48.3/3.2	S 235	2,688	N50	N26	nosník (80)
B77	CS17 - CHS48.3/3.2	S 235	2,688	N49	N28	nosník (80)
B78	CS17 - CHS48.3/3.2	S 235	2,688	N52	N30	nosník (80)
B79	CS17 - CHS48.3/3.2	S 235	2,688	N51	N32	nosník (80)
B80	CS17 - CHS48.3/3.2	S 235	2,826	N46	N55	nosník (80)
B81	CS17 - CHS48.3/3.2	S 235	2,796	N56	N18	nosník (80)
B82	CS7 - Komora fl (150,00; 20,00; 80,00; 10,00; 120,00)	S 235	1,040	N32	N65	nosník (80)
B83	CS18 - IPE300	S 235	1,040	N52	N66	nosník (80)
B85	CS17 - CHS48.3/3.2	S 235	2,076	N52	N65	nosník (80)
B86	CS17 - CHS48.3/3.2	S 235	2,076	N32	N66	nosník (80)
B87	CS20 - IPE500	S 235	1,040	N69	N70	nosník (80)

Projekt RNR

Jméno	Průřez	Materiál	Délka [m]	Poč. uzel	Konc. uzel	Typ
B89	CS3 - Obecný průřez	S 235	1,960	N73	N74	sloup (100)
B90	CS3 - Obecný průřez	S 235	1,960	N75	N76	sloup (100)
B91	CS2 - Obecný průřez	S 235	1,960	N77	N78	sloup (100)
B92	CS2 - Obecný průřez	S 235	1,960	N79	N80	sloup (100)
B93	CS2 - Obecný průřez	S 235	1,960	N81	N82	sloup (100)
B94	CS2 - Obecný průřez	S 235	1,960	N83	N84	sloup (100)
B95	CS2 - Obecný průřez	S 235	1,960	N85	N86	sloup (100)
B96	CS1 - RHS200/120/8.0	S 235	2,720	N87	N88	sloup (100)
B97	CS1 - RHS200/120/8.0	S 235	2,720	N89	N90	sloup (100)
B98	CS1 - RHS200/120/8.0	S 235	2,720	N91	N92	sloup (100)
B99	CS1 - RHS200/120/8.0	S 235	2,720	N93	N94	sloup (100)
B100	CS1 - RHS200/120/8.0	S 235	2,720	N95	N96	sloup (100)
B101	CS1 - RHS200/120/8.0	S 235	2,720	N97	N98	sloup (100)
B102	CS1 - RHS200/120/8.0	S 235	2,720	N99	N100	sloup (100)
B103	CS1 - RHS200/120/8.0	S 235	2,720	N101	N102	sloup (100)
B104	CS34 - 1w (300,00; 12,00; 120,00; 22,00; 256,00; 0,00)	S 235	6,508	N103	N88	nosník (80)
B105	CS1 - RHS200/120/8.0	S 235	2,868	N104	N105	sloup (100)
B106	CS22 - 1w (300,00; 8,00; 120,00; 12,00; 276,00; 0,00)	S 235	6,508	N106	N90	nosník (80)
B107	CS22 - 1w (300,00; 8,00; 120,00; 12,00; 276,00; 0,00)	S 235	6,508	N107	N92	nosník (80)
B108	CS22 - 1w (300,00; 8,00; 120,00; 12,00; 276,00; 0,00)	S 235	6,508	N108	N94	nosník (80)
B109	CS22 - 1w (300,00; 8,00; 120,00; 12,00; 276,00; 0,00)	S 235	6,508	N109	N96	nosník (80)
B110	CS22 - 1w (300,00; 8,00; 120,00; 12,00; 276,00; 0,00)	S 235	6,508	N110	N98	nosník (80)
B111	CS22 - 1w (300,00; 8,00; 120,00; 12,00; 276,00; 0,00)	S 235	6,508	N111	N100	nosník (80)
B112	CS22 - 1w (300,00; 8,00; 120,00; 12,00; 276,00; 0,00)	S 235	6,508	N112	N102	nosník (80)
B113	CS1 - RHS200/120/8.0	S 235	1,798	N113	N114	sloup (100)
B114	CS1 - RHS200/120/8.0	S 235	1,798	N115	N116	sloup (100)
B115	CS1 - RHS200/120/8.0	S 235	1,798	N117	N118	sloup (100)
B116	CS1 - RHS200/120/8.0	S 235	1,798	N119	N120	sloup (100)
B117	CS7 - Komora fl (150,00; 20,00; 80,00; 10,00; 120,00)	S 235	6,508	N121	N122	nosník (80)
B118	CS7 - Komora fl (150,00; 20,00; 80,00; 10,00; 120,00)	S 235	2,162	N72	N123	nosník (80)
B119	CS7 - Komora fl (150,00; 20,00; 80,00; 10,00; 120,00)	S 235	2,000	N72	N74	nosník (80)
B120	CS7 - Komora fl (150,00; 20,00; 80,00; 10,00; 120,00)	S 235	2,000	N74	N76	nosník (80)
B121	CS23 - 2U komora (UPN220)	S 235	2,000	N105	N124	nosník (80)
B122	CS23 - 2U komora (UPN220)	S 235	2,000	N124	N114	nosník (80)
B123	CS24 - 2U komora (UPN160)	S 235	2,000	N125	N126	nosník (80)
B124	CS24 - 2U komora (UPN160)	S 235	2,000	N126	N127	nosník (80)
B125	CS25 - 2U komora (UPN260)	S 235	2,000	N128	N129	nosník (80)
B126	CS25 - 2U komora (UPN260)	S 235	2,000	N129	N130	nosník (80)
B127	CS26 - 2U komora (UPN300)	S 235	2,000	N88	N90	nosník (80)
B128	CS26 - 2U komora (UPN300)	S 235	2,000	N90	N92	nosník (80)
B129	CS6 - IPE120	S 235	2,000	N76	N78	nosník (80)
B130	CS6 - IPE120	S 235	2,000	N127	N131	nosník (80)
B131	CS6 - IPE120	S 235	2,000	N114	N132	nosník (80)
B132	CS6 - IPE120	S 235	2,000	N130	N133	nosník (80)
B133	CS6 - IPE120	S 235	2,000	N92	N94	nosník (80)
B134	CS6 - IPE120	S 235	2,000	N78	N80	nosník (80)
B135	CS6 - IPE120	S 235	2,000	N131	N134	nosník (80)
B136	CS6 - IPE120	S 235	2,000	N132	N116	nosník (80)
B137	CS6 - IPE120	S 235	2,000	N133	N135	nosník (80)
B138	CS6 - IPE120	S 235	2,000	N94	N96	nosník (80)
B139	CS6 - IPE120	S 235	2,000	N80	N82	nosník (80)
B140	CS6 - IPE120	S 235	2,000	N134	N136	nosník (80)
B141	CS6 - IPE120	S 235	2,000	N116	N137	nosník (80)
B142	CS6 - IPE120	S 235	2,000	N135	N138	nosník (80)
B143	CS6 - IPE120	S 235	2,000	N96	N98	nosník (80)
B144	CS6 - IPE120	S 235	2,000	N82	N84	nosník (80)
B145	CS6 - IPE120	S 235	2,000	N136	N139	nosník (80)
B146	CS6 - IPE120	S 235	2,000	N137	N118	nosník (80)
B147	CS6 - IPE120	S 235	2,000	N138	N140	nosník (80)
B148	CS6 - IPE120	S 235	2,000	N98	N100	nosník (80)
B149	CS6 - IPE120	S 235	2,370	N84	N86	nosník (80)
B150	CS6 - IPE120	S 235	2,370	N139	N142	nosník (80)
B151	CS6 - IPE120	S 235	2,370	N118	N120	nosník (80)
B152	CS6 - IPE120	S 235	2,370	N140	N144	nosník (80)
B153	CS6 - IPE120	S 235	2,370	N100	N102	nosník (80)
B154	CS27 - Komora fl (130,00; 12,00; 136,00; 8,00; 84,00)	S 235	2,162	N125	N145	nosník (80)

Projekt RNR

Jméno	Průřez	Materiál	Délka [m]	Poč. uzel	Konc. uzel	Typ
B155	CS28 - Komora fl (160,00; 12,00; 196,00; 10,00; 110,00)	S 235	2,162	N105	N146	nosník (80)
B156	CS29 - Komora fl (180,00; 15,00; 230,00; 10,00; 130,00)	S 235	2,162	N128	N147	nosník (80)
B157	CS30 - Komora fl (200,00; 15,00; 270,00; 10,00; 150,00)	S 235	2,162	N88	N122	nosník (80)
B158	CS17 - CHS48.3/3.2	S 235	2,714	N123	N125	nosník (80)
B159	CS17 - CHS48.3/3.2	S 235	2,714	N72	N145	nosník (80)
B160	CS17 - CHS48.3/3.2	S 235	2,586	N72	N126	nosník (80)
B161	CS17 - CHS48.3/3.2	S 235	2,586	N74	N125	nosník (80)
B162	CS17 - CHS48.3/3.2	S 235	2,586	N74	N127	nosník (80)
B163	CS17 - CHS48.3/3.2	S 235	2,586	N76	N126	nosník (80)
B164	CS17 - CHS48.3/3.2	S 235	2,586	N76	N131	nosník (80)
B165	CS17 - CHS48.3/3.2	S 235	2,586	N78	N127	nosník (80)
B166	CS17 - CHS48.3/3.2	S 235	2,586	N78	N134	nosník (80)
B167	CS17 - CHS48.3/3.2	S 235	2,586	N80	N131	nosník (80)
B168	CS17 - CHS48.3/3.2	S 235	2,586	N80	N136	nosník (80)
B169	CS17 - CHS48.3/3.2	S 235	2,586	N82	N134	nosník (80)
B170	CS17 - CHS48.3/3.2	S 235	2,586	N82	N139	nosník (80)
B171	CS17 - CHS48.3/3.2	S 235	2,586	N84	N136	nosník (80)
B172	CS17 - CHS48.3/3.2	S 235	2,882	N84	N142	nosník (80)
B173	CS17 - CHS48.3/3.2	S 235	2,882	N86	N139	nosník (80)
B174	CS17 - CHS48.3/3.2	S 235	2,586	N125	N124	nosník (80)
B175	CS17 - CHS48.3/3.2	S 235	2,586	N126	N105	nosník (80)
B176	CS17 - CHS48.3/3.2	S 235	2,501	N105	N129	nosník (80)
B177	CS17 - CHS48.3/3.2	S 235	2,501	N124	N128	nosník (80)
B178	CS17 - CHS48.3/3.2	S 235	2,501	N128	N90	nosník (80)
B179	CS17 - CHS48.3/3.2	S 235	2,501	N129	N88	nosník (80)
B180	CS17 - CHS48.3/3.2	S 235	2,586	N136	N118	nosník (80)
B181	CS17 - CHS48.3/3.2	S 235	2,586	N139	N137	nosník (80)
B182	CS17 - CHS48.3/3.2	S 235	2,501	N137	N140	nosník (80)
B183	CS17 - CHS48.3/3.2	S 235	2,501	N118	N138	nosník (80)
B184	CS17 - CHS48.3/3.2	S 235	2,501	N138	N100	nosník (80)
B185	CS17 - CHS48.3/3.2	S 235	2,501	N140	N98	nosník (80)
B190	CS16 - RD20	S 235	2,574	N149	N98	nosník (80)
B191	CS16 - RD20	S 235	2,574	N150	N100	nosník (80)
B192	CS16 - RD20	S 235	2,574	N151	N88	nosník (80)
B193	CS16 - RD20	S 235	2,574	N152	N90	nosník (80)
B194	CS16 - RD20	S 235	2,574	N150	N96	nosník (80)
B195	CS16 - RD20	S 235	2,574	N153	N98	nosník (80)
B196	CS16 - RD20	S 235	2,574	N154	N90	nosník (80)
B197	CS16 - RD20	S 235	2,574	N151	N92	nosník (80)
B198	CS17 - CHS48.3/3.2	S 235	2,501	N129	N92	nosník (80)
B199	CS17 - CHS48.3/3.2	S 235	2,501	N130	N90	nosník (80)
B200	CS17 - CHS48.3/3.2	S 235	2,501	N124	N130	nosník (80)
B201	CS17 - CHS48.3/3.2	S 235	2,501	N114	N129	nosník (80)
B202	CS17 - CHS48.3/3.2	S 235	2,586	N126	N114	nosník (80)
B203	CS17 - CHS48.3/3.2	S 235	2,586	N127	N124	nosník (80)
B204	CS17 - CHS48.3/3.2	S 235	2,501	N135	N98	nosník (80)
B205	CS17 - CHS48.3/3.2	S 235	2,501	N138	N96	nosník (80)
B206	CS17 - CHS48.3/3.2	S 235	2,501	N116	N138	nosník (80)
B207	CS17 - CHS48.3/3.2	S 235	2,501	N137	N135	nosník (80)
B208	CS17 - CHS48.3/3.2	S 235	2,586	N134	N137	nosník (80)
B209	CS17 - CHS48.3/3.2	S 235	2,586	N136	N116	nosník (80)
B210	CS16 - RD20	S 235	2,586	N1	N4	nosník (80)
B211	CS16 - RD20	S 235	2,586	N3	N2	nosník (80)
B212	CS16 - RD20	S 235	2,586	N3	N6	nosník (80)
B213	CS16 - RD20	S 235	2,586	N5	N4	nosník (80)
B214	CS16 - RD20	S 235	2,586	N9	N12	nosník (80)
B215	CS16 - RD20	S 235	2,586	N11	N10	nosník (80)
B216	CS16 - RD20	S 235	2,586	N11	N14	nosník (80)
B217	CS16 - RD20	S 235	2,586	N13	N12	nosník (80)
B218	CS17 - CHS48.3/3.2	S 235	2,688	N4	N47	nosník (80)
B219	CS17 - CHS48.3/3.2	S 235	2,688	N6	N44	nosník (80)
B220	CS17 - CHS48.3/3.2	S 235	2,688	N10	N50	nosník (80)
B221	CS17 - CHS48.3/3.2	S 235	2,688	N12	N49	nosník (80)

14. Zatěžovací panely

Jméno	Typ panelu	Směr roznosu zatížení	Výběr entit
LP1	Do okrajů panelu a do nosníků	X (LSS panelu)	Automatický výběr
LP3	Do okrajů panelu a do nosníků	X (LSS panelu)	Automatický výběr
LP4	Do okrajů panelu a do nosníků	X (LSS panelu)	Automatický výběr
LP5	Do okrajů panelu a do nosníků	X (LSS panelu)	Automatický výběr
LP6	Do okrajů panelu a do nosníků	Y (LSS panelu)	Automatický výběr
LP7	Do okrajů panelu a do nosníků	Y (LSS panelu)	Automatický výběr
LP8	Do okrajů panelu a do nosníků	X (LSS panelu)	Automatický výběr
LP9	Do okrajů panelu a do nosníků	Y (LSS panelu)	Automatický výběr
LP10	Do okrajů panelu a do nosníků	Y (LSS panelu)	Automatický výběr
LP11	Do okrajů panelu a do nosníků	X (LSS panelu)	Automatický výběr
LP12	Do okrajů panelu a do nosníků	X (LSS panelu)	Automatický výběr
LP13	Do okrajů panelu a do nosníků	X (LSS panelu)	Automatický výběr

Vysvětlivky symbolů

Výběr entit	<p>Vše: vybere všechny okraje a nosníky, které podepírají panel ve stejném místě.</p> <p>Automatický výběr: pokud se dva nebo více podpírajících prvků překrývá, výběr vynechá hrany, které náleží 2D dílcům ležícím ve stejné rovině jako panel.</p> <p>Uživatelský výběr: vyžaduje ruční výběr podpírajících okrajů a nosníků (pomocí akčního tlačítka).</p> <p>Podle typu: za podpírající prvky se uvažují pouze nosníky typu vybraného v seznamu.</p>
-------------	---

15. Pruty s proměnným průřezem

AP		
Dílec	B17	
Souř.	Rela	
délka 1, Prur1(1), Prur2(1)	1.000	CS33 - Komora fl (200,00; 15,00; 470,00; 10,00; 150,00)
AP1		
Dílec	B18	
Souř.	Rela	
délka 1, Prur1(1), Prur2(1)	1.000	CS4 - Iw (500,00; 10,00; 120,00; 15,00; 470,00; 0,00)
AP2		
Dílec	B19	
Souř.	Rela	
délka 1, Prur1(1), Prur2(1)	1.000	CS4 - Iw (500,00; 10,00; 120,00; 15,00; 470,00; 0,00)
AP3		
Dílec	B20	
Souř.	Rela	
délka 1, Prur1(1), Prur2(1)	1.000	CS4 - Iw (500,00; 10,00; 120,00; 15,00; 470,00; 0,00)
AP4		
Dílec	B21	
Souř.	Rela	
délka 1, Prur1(1), Prur2(1)	1.000	CS4 - Iw (500,00; 10,00; 120,00; 15,00; 470,00; 0,00)
AP5		
Dílec	B22	
Souř.	Rela	
délka 1, Prur1(1), Prur2(1)	1.000	CS4 - Iw (500,00; 10,00; 120,00; 15,00; 470,00; 0,00)
AP6		
Dílec	B23	
Souř.	Rela	
délka 1, Prur1(1), Prur2(1)	1.000	CS4 - Iw (500,00; 10,00; 120,00; 15,00; 470,00; 0,00)
AP7		
Dílec	B24	
Souř.	Rela	
délka 1, Prur1(1), Prur2(1)	1.000	CS4 - Iw (500,00; 10,00; 120,00; 15,00; 470,00; 0,00)
AP8		
Dílec	B25	

Projekt RNR

Souř. délka 1, Prur1(1), Prur2(1)	Rela 1.000	CS5 - Iw (500,00; 6,00; 120,00; 10,00; 480,00; 0,00)
AP9		
Dílec Souř. délka 1, Prur1(1), Prur2(1)	B49 Rela 1.000	CS12 - Komora fl (200,00; 15,00; 470,00; 10,00; 150,00)
AP10		
Dílec Souř. délka 1, Prur1(1), Prur2(1)	B52 Rela 1.000	CS13 - Komora fl (180,00; 12,00; 376,00; 8,00; 134,00)
AP11		
Dílec Souř. délka 1, Prur1(1), Prur2(1)	B51 Rela 1.000	CS14 - Komora fl (150,00; 10,00; 280,00; 6,00; 108,00)
AP12		
Dílec Souř. délka 1, Prur1(1), Prur2(1)	B53 Rela 1.000	CS15 - Komora fl (110,00; 10,00; 200,00; 6,00; 78,00)
AP13		
Dílec Souř. délka 1, Prur1(1), Prur2(1)	B104 Rela 1.000	CS34 - Iw (300,00; 12,00; 120,00; 22,00; 256,00; 0,00)
AP14		
Dílec Souř. délka 1, Prur1(1), Prur2(1)	B106 Rela 1.000	CS22 - Iw (300,00; 8,00; 120,00; 12,00; 276,00; 0,00)
AP15		
Dílec Souř. délka 1, Prur1(1), Prur2(1)	B107 Rela 1.000	CS22 - Iw (300,00; 8,00; 120,00; 12,00; 276,00; 0,00)
AP16		
Dílec Souř. délka 1, Prur1(1), Prur2(1)	B108 Rela 1.000	CS22 - Iw (300,00; 8,00; 120,00; 12,00; 276,00; 0,00)
AP17		
Dílec Souř. délka 1, Prur1(1), Prur2(1)	B109 Rela 1.000	CS22 - Iw (300,00; 8,00; 120,00; 12,00; 276,00; 0,00)
AP18		
Dílec Souř. délka 1, Prur1(1), Prur2(1)	B110 Rela 1.000	CS22 - Iw (300,00; 8,00; 120,00; 12,00; 276,00; 0,00)
AP19		
Dílec Souř. délka 1, Prur1(1), Prur2(1)	B111 Rela 1.000	CS22 - Iw (300,00; 8,00; 120,00; 12,00; 276,00; 0,00)
AP20		
Dílec Souř. délka 1, Prur1(1), Prur2(1)	B112 Rela 1.000	CS22 - Iw (300,00; 8,00; 120,00; 12,00; 276,00; 0,00)
AP22		
Dílec Souř. délka 1, Prur1(1), Prur2(1)	B154 Rela 1.000	CS27 - Komora fl (130,00; 12,00; 136,00; 8,00; 84,00)
AP23		
Dílec Souř. délka 1, Prur1(1), Prur2(1)	B155 Rela 1.000	CS28 - Komora fl (160,00; 12,00; 196,00; 10,00; 110,00)
AP24		
Dílec Souř. délka 1, Prur1(1), Prur2(1)	B156 Rela 1.000	CS29 - Komora fl (180,00; 15,00; 230,00; 10,00; 130,00)
AP25		
Dílec Souř. délka 1, Prur1(1), Prur2(1)	B157 Rela 1.000	CS30 - Komora fl (200,00; 15,00; 270,00; 10,00; 150,00)

Projekt RNR

16. Podpory v uzlech

Jméno	Uzel	Systém	Typ	X	Y	Z	Rx	Ry	Rz
Sn2	N3	GSS	Standard	Tuhý	Tuhý	Tuhý	Volný	Volný	Volný
Sn3	N5	GSS	Standard	Tuhý	Tuhý	Tuhý	Volný	Volný	Volný
Sn4	N7	GSS	Standard	Tuhý	Tuhý	Tuhý	Volný	Volný	Volný
Sn5	N9	GSS	Standard	Tuhý	Tuhý	Tuhý	Volný	Volný	Volný
Sn6	N11	GSS	Standard	Tuhý	Tuhý	Tuhý	Volný	Volný	Volný
Sn7	N13	GSS	Standard	Tuhý	Tuhý	Tuhý	Volný	Volný	Volný
Sn8	N15	GSS	Standard	Tuhý	Tuhý	Tuhý	Volný	Volný	Volný
Sn10	N19	GSS	Standard	Tuhý	Tuhý	Tuhý	Volný	Volný	Volný
Sn11	N21	GSS	Standard	Tuhý	Tuhý	Tuhý	Volný	Volný	Volný
Sn12	N23	GSS	Standard	Tuhý	Tuhý	Tuhý	Volný	Volný	Volný
Sn13	N25	GSS	Standard	Tuhý	Tuhý	Tuhý	Volný	Volný	Volný
Sn14	N27	GSS	Standard	Tuhý	Tuhý	Tuhý	Volný	Volný	Volný
Sn15	N29	GSS	Standard	Tuhý	Tuhý	Tuhý	Volný	Volný	Volný
Sn16	N31	GSS	Standard	Tuhý	Tuhý	Tuhý	Volný	Volný	Volný
Sn18	N73	GSS	Standard	Tuhý	Tuhý	Tuhý	Volný	Volný	Volný
Sn19	N75	GSS	Standard	Tuhý	Tuhý	Tuhý	Volný	Volný	Volný
Sn20	N77	GSS	Standard	Tuhý	Tuhý	Tuhý	Volný	Volný	Volný
Sn21	N79	GSS	Standard	Tuhý	Tuhý	Tuhý	Volný	Volný	Volný
Sn22	N81	GSS	Standard	Tuhý	Tuhý	Tuhý	Volný	Volný	Volný
Sn23	N83	GSS	Standard	Tuhý	Tuhý	Tuhý	Volný	Volný	Volný
Sn24	N85	GSS	Standard	Tuhý	Tuhý	Tuhý	Volný	Volný	Volný
Sn25	N104	GSS	Standard	Tuhý	Tuhý	Tuhý	Volný	Volný	Volný
Sn26	N87	GSS	Standard	Tuhý	Tuhý	Tuhý	Volný	Volný	Volný
Sn27	N89	GSS	Standard	Tuhý	Tuhý	Tuhý	Volný	Volný	Volný
Sn28	N91	GSS	Standard	Tuhý	Tuhý	Tuhý	Volný	Volný	Volný
Sn29	N93	GSS	Standard	Tuhý	Tuhý	Tuhý	Volný	Volný	Volný
Sn30	N95	GSS	Standard	Tuhý	Tuhý	Tuhý	Volný	Volný	Volný
Sn31	N97	GSS	Standard	Tuhý	Tuhý	Tuhý	Volný	Volný	Volný
Sn32	N99	GSS	Standard	Tuhý	Tuhý	Tuhý	Volný	Volný	Volný
Sn33	N101	GSS	Standard	Tuhý	Tuhý	Tuhý	Volný	Volný	Volný
Sn34	N113	GSS	Standard	Tuhý	Tuhý	Tuhý	Volný	Volný	Volný
Sn35	N115	GSS	Standard	Tuhý	Tuhý	Tuhý	Volný	Volný	Volný
Sn36	N117	GSS	Standard	Tuhý	Tuhý	Tuhý	Volný	Volný	Volný
Sn37	N119	GSS	Standard	Tuhý	Tuhý	Tuhý	Volný	Volný	Volný
Sn38	N155	GSS	Standard	Tuhý	Tuhý	Tuhý	Volný	Volný	Volný

17. Klouby

Jméno	Dílec	Pozice	ux	uy	uz	fix	fiy	fiz
H2	B10	Konec	Tuhý	Tuhý	Tuhý	Tuhý	Volný	Volný
H3	B11	Konec	Tuhý	Tuhý	Tuhý	Tuhý	Volný	Volný
H4	B12	Konec	Tuhý	Tuhý	Tuhý	Tuhý	Volný	Volný
H5	B13	Konec	Tuhý	Tuhý	Tuhý	Tuhý	Volný	Volný
H6	B14	Konec	Tuhý	Tuhý	Tuhý	Tuhý	Volný	Volný
H7	B15	Konec	Tuhý	Tuhý	Tuhý	Tuhý	Volný	Volný
H8	B16	Konec	Tuhý	Tuhý	Tuhý	Tuhý	Volný	Volný
H12	B30	Konec	Tuhý	Tuhý	Tuhý	Tuhý	Volný	Volný
H13	B31	Konec	Tuhý	Tuhý	Tuhý	Tuhý	Volný	Volný
H14	B32	Konec	Tuhý	Tuhý	Tuhý	Tuhý	Volný	Volný
H15	B33	Oba	Tuhý	Tuhý	Tuhý	Tuhý	Volný	Volný
H16	B34	Oba	Tuhý	Tuhý	Tuhý	Tuhý	Volný	Volný
H17	B35	Oba	Tuhý	Tuhý	Tuhý	Tuhý	Volný	Volný
H18	B36	Oba	Tuhý	Tuhý	Tuhý	Tuhý	Volný	Volný
H19	B37	Oba	Tuhý	Tuhý	Tuhý	Tuhý	Volný	Volný
H20	B38	Oba	Tuhý	Tuhý	Tuhý	Tuhý	Volný	Volný
H21	B39	Oba	Tuhý	Tuhý	Tuhý	Tuhý	Volný	Volný
H22	B40	Oba	Tuhý	Tuhý	Tuhý	Tuhý	Volný	Volný
H23	B41	Oba	Tuhý	Tuhý	Tuhý	Tuhý	Volný	Volný
H24	B42	Oba	Tuhý	Tuhý	Tuhý	Tuhý	Volný	Volný
H25	B43	Oba	Tuhý	Tuhý	Tuhý	Tuhý	Volný	Volný
H26	B44	Oba	Tuhý	Tuhý	Tuhý	Tuhý	Volný	Volný
H27	B45	Začátek	Tuhý	Tuhý	Tuhý	Tuhý	Volný	Volný
H28	B46	Začátek	Tuhý	Tuhý	Tuhý	Tuhý	Volný	Volný
H29	B47	Začátek	Tuhý	Tuhý	Tuhý	Tuhý	Volný	Volný
H31	B55	Konec	Tuhý	Tuhý	Tuhý	Tuhý	Volný	Volný

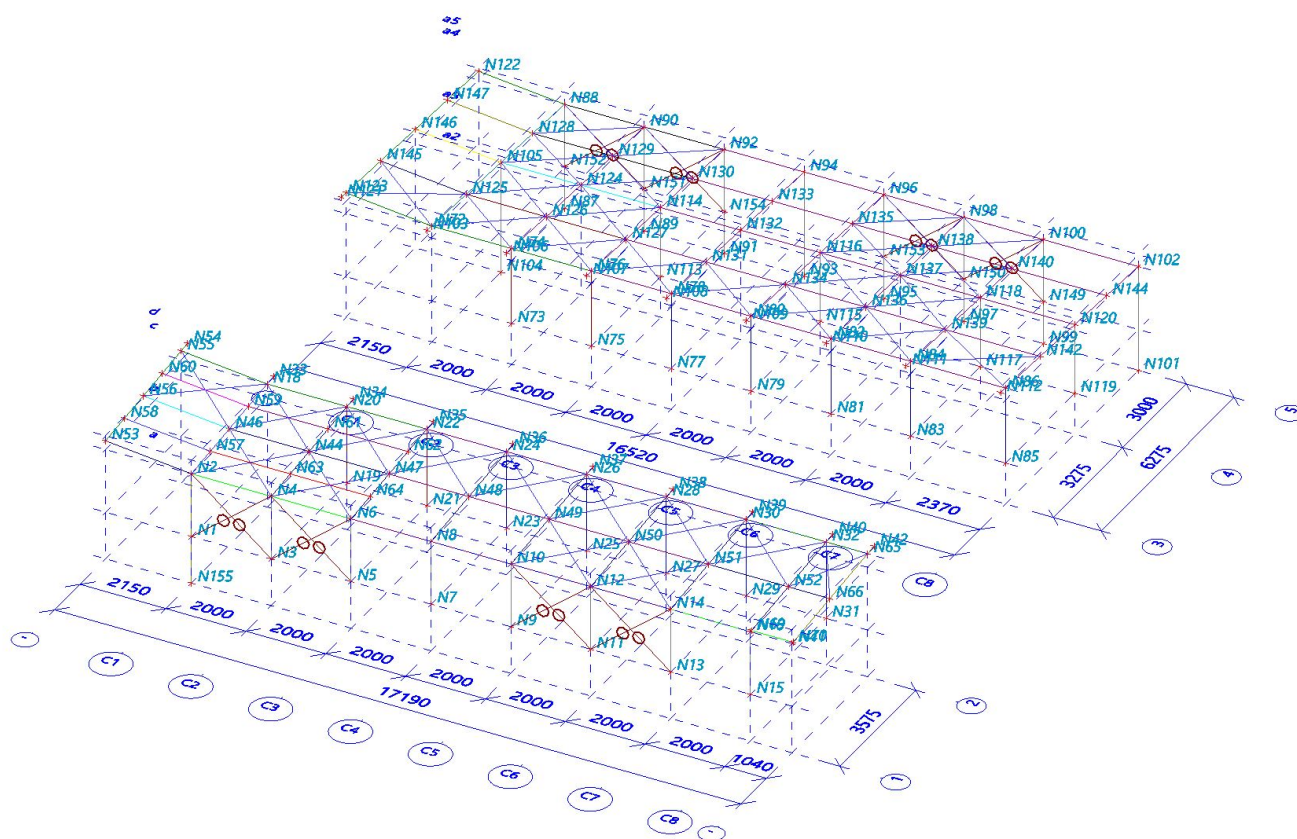
Projekt RNR

Jméno	Dílec	Pozice	ux	uy	uz	fix	fiy	fiz
H33	B57	Konec	Tuhý	Tuhý	Tuhý	Tuhý	Volný	Volný
H9	B49	Konec	Tuhý	Tuhý	Tuhý	Tuhý	Volný	Volný
H34	B51	Konec	Tuhý	Tuhý	Tuhý	Tuhý	Volný	Volný
H35	B52	Konec	Tuhý	Tuhý	Tuhý	Tuhý	Volný	Volný
H36	B53	Konec	Tuhý	Tuhý	Tuhý	Tuhý	Volný	Volný
H37	B50	Konec	Tuhý	Tuhý	Tuhý	Tuhý	Volný	Volný
H38	B62	Oba	Tuhý	Tuhý	Tuhý	Tuhý	Volný	Volný
H39	B63	Oba	Tuhý	Tuhý	Tuhý	Tuhý	Volný	Volný
H40	B64	Oba	Tuhý	Tuhý	Tuhý	Tuhý	Volný	Volný
H41	B65	Oba	Tuhý	Tuhý	Tuhý	Tuhý	Volný	Volný
H42	B66	Oba	Tuhý	Tuhý	Tuhý	Tuhý	Volný	Volný
H43	B67	Oba	Tuhý	Tuhý	Tuhý	Tuhý	Volný	Volný
H44	B68	Oba	Tuhý	Tuhý	Tuhý	Tuhý	Volný	Volný
H45	B69	Oba	Tuhý	Tuhý	Tuhý	Tuhý	Volný	Volný
H46	B70	Oba	Tuhý	Tuhý	Tuhý	Tuhý	Volný	Volný
H47	B71	Oba	Tuhý	Tuhý	Tuhý	Tuhý	Volný	Volný
H48	B72	Oba	Tuhý	Tuhý	Tuhý	Tuhý	Volný	Volný
H49	B73	Oba	Tuhý	Tuhý	Tuhý	Tuhý	Volný	Volný
H50	B74	Oba	Tuhý	Tuhý	Tuhý	Tuhý	Volný	Volný
H51	B75	Oba	Tuhý	Tuhý	Tuhý	Tuhý	Volný	Volný
H52	B76	Oba	Tuhý	Tuhý	Tuhý	Tuhý	Volný	Volný
H53	B77	Oba	Tuhý	Tuhý	Tuhý	Tuhý	Volný	Volný
H54	B78	Oba	Tuhý	Tuhý	Tuhý	Tuhý	Volný	Volný
H55	B79	Oba	Tuhý	Tuhý	Tuhý	Tuhý	Volný	Volný
H56	B80	Oba	Tuhý	Tuhý	Tuhý	Tuhý	Volný	Volný
H57	B81	Oba	Tuhý	Tuhý	Tuhý	Tuhý	Volný	Volný
H59	B83	Konec	Tuhý	Tuhý	Tuhý	Tuhý	Volný	Volný
H61	B82	Konec	Tuhý	Tuhý	Tuhý	Tuhý	Volný	Volný
H62	B85	Oba	Tuhý	Tuhý	Tuhý	Tuhý	Volný	Volný
H63	B86	Oba	Tuhý	Tuhý	Tuhý	Tuhý	Volný	Volný
H64	B87	Konec	Tuhý	Tuhý	Tuhý	Tuhý	Volný	Volný
H66	B120	Konec	Tuhý	Tuhý	Tuhý	Tuhý	Volný	Volný
H67	B89	Konec	Tuhý	Tuhý	Tuhý	Tuhý	Volný	Volný
H68	B90	Konec	Tuhý	Tuhý	Tuhý	Tuhý	Volný	Volný
H69	B91	Konec	Tuhý	Tuhý	Tuhý	Tuhý	Volný	Volný
H70	B92	Konec	Tuhý	Tuhý	Tuhý	Tuhý	Volný	Volný
H71	B93	Konec	Tuhý	Tuhý	Tuhý	Tuhý	Volný	Volný
H72	B94	Konec	Tuhý	Tuhý	Tuhý	Tuhý	Volný	Volný
H73	B95	Konec	Tuhý	Tuhý	Tuhý	Tuhý	Volný	Volný
H74	B122	Konec	Tuhý	Tuhý	Tuhý	Tuhý	Volný	Volný
H75	B124	Konec	Tuhý	Tuhý	Tuhý	Tuhý	Volný	Volný
H76	B126	Konec	Tuhý	Tuhý	Tuhý	Tuhý	Volný	Volný
H77	B128	Konec	Tuhý	Tuhý	Tuhý	Tuhý	Volný	Volný
H78	B129	Oba	Tuhý	Tuhý	Tuhý	Tuhý	Volný	Volný
H79	B130	Oba	Tuhý	Tuhý	Tuhý	Tuhý	Volný	Volný
H80	B131	Oba	Tuhý	Tuhý	Tuhý	Tuhý	Volný	Volný
H81	B132	Oba	Tuhý	Tuhý	Tuhý	Tuhý	Volný	Volný
H82	B133	Oba	Tuhý	Tuhý	Tuhý	Tuhý	Volný	Volný
H83	B134	Oba	Tuhý	Tuhý	Tuhý	Tuhý	Volný	Volný
H84	B135	Oba	Tuhý	Tuhý	Tuhý	Tuhý	Volný	Volný
H85	B136	Oba	Tuhý	Tuhý	Tuhý	Tuhý	Volný	Volný
H86	B137	Oba	Tuhý	Tuhý	Tuhý	Tuhý	Volný	Volný
H87	B138	Oba	Tuhý	Tuhý	Tuhý	Tuhý	Volný	Volný
H88	B139	Oba	Tuhý	Tuhý	Tuhý	Tuhý	Volný	Volný
H89	B140	Oba	Tuhý	Tuhý	Tuhý	Tuhý	Volný	Volný
H90	B141	Oba	Tuhý	Tuhý	Tuhý	Tuhý	Volný	Volný
H91	B142	Oba	Tuhý	Tuhý	Tuhý	Tuhý	Volný	Volný
H92	B143	Oba	Tuhý	Tuhý	Tuhý	Tuhý	Volný	Volný
H93	B144	Oba	Tuhý	Tuhý	Tuhý	Tuhý	Volný	Volný
H94	B145	Oba	Tuhý	Tuhý	Tuhý	Tuhý	Volný	Volný
H95	B146	Oba	Tuhý	Tuhý	Tuhý	Tuhý	Volný	Volný
H96	B147	Oba	Tuhý	Tuhý	Tuhý	Tuhý	Volný	Volný
H97	B148	Oba	Tuhý	Tuhý	Tuhý	Tuhý	Volný	Volný
H98	B149	Oba	Tuhý	Tuhý	Tuhý	Tuhý	Volný	Volný
H99	B150	Oba	Tuhý	Tuhý	Tuhý	Tuhý	Volný	Volný
H100	B151	Oba	Tuhý	Tuhý	Tuhý	Tuhý	Volný	Volný
H101	B152	Oba	Tuhý	Tuhý	Tuhý	Tuhý	Volný	Volný

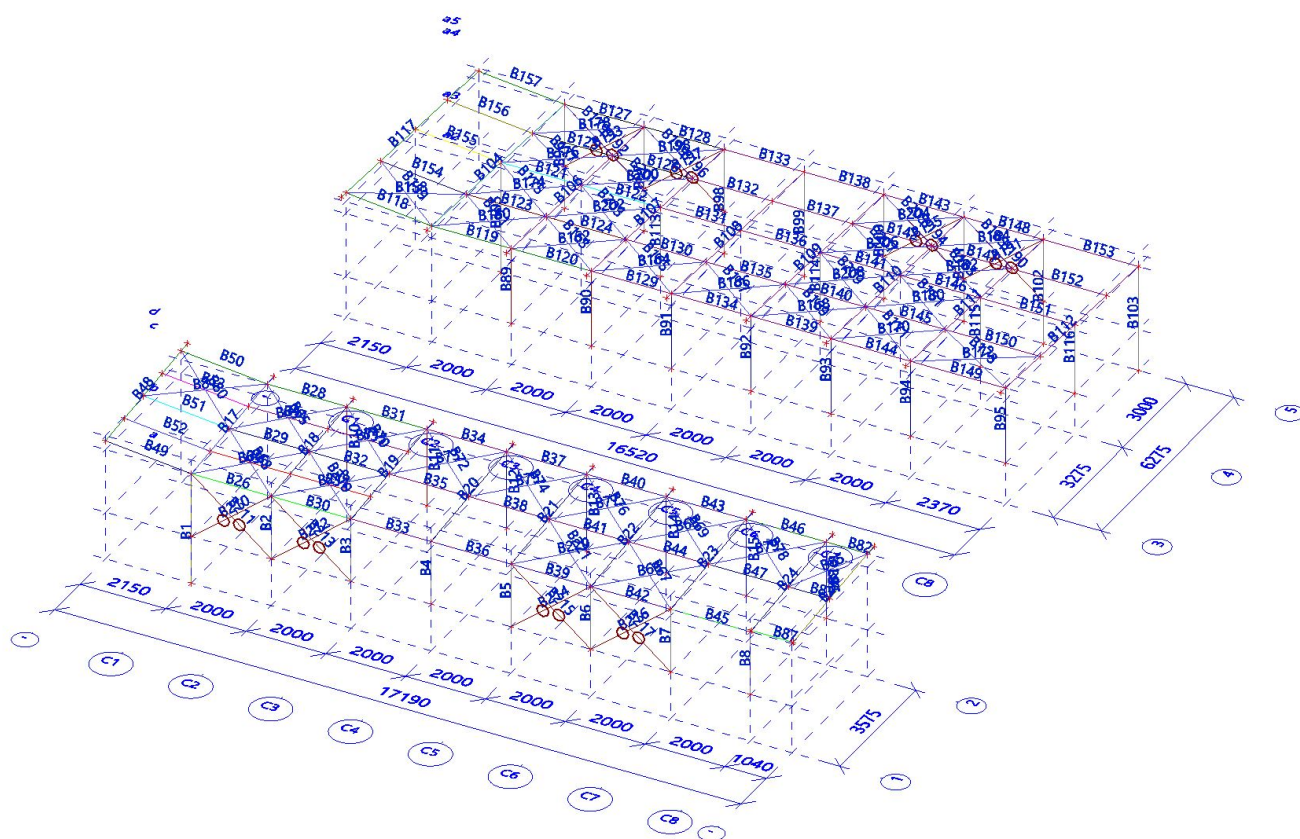
Projekt RNR

Jméno	Dílec	Pozice	ux	uy	uz	fix	fiy	fiz
H102	B153	Oba	Tuhý	Tuhý	Tuhý	Tuhý	Volný	Volný
H103	B118	Konec	Tuhý	Tuhý	Tuhý	Tuhý	Volný	Volný
H104	B154	Konec	Tuhý	Tuhý	Tuhý	Tuhý	Volný	Volný
H105	B155	Konec	Tuhý	Tuhý	Tuhý	Tuhý	Volný	Volný
H106	B156	Konec	Tuhý	Tuhý	Tuhý	Tuhý	Volný	Volný
H107	B157	Konec	Tuhý	Tuhý	Tuhý	Tuhý	Volný	Volný
H108	B158	Oba	Tuhý	Tuhý	Tuhý	Tuhý	Volný	Volný
H109	B159	Oba	Tuhý	Tuhý	Tuhý	Tuhý	Volný	Volný
H110	B160	Oba	Tuhý	Tuhý	Tuhý	Tuhý	Volný	Volný
H111	B161	Oba	Tuhý	Tuhý	Tuhý	Tuhý	Volný	Volný
H112	B162	Oba	Tuhý	Tuhý	Tuhý	Tuhý	Volný	Volný
H113	B163	Oba	Tuhý	Tuhý	Tuhý	Tuhý	Volný	Volný
H114	B164	Oba	Tuhý	Tuhý	Tuhý	Tuhý	Volný	Volný
H115	B165	Oba	Tuhý	Tuhý	Tuhý	Tuhý	Volný	Volný
H116	B166	Oba	Tuhý	Tuhý	Tuhý	Tuhý	Volný	Volný
H117	B167	Oba	Tuhý	Tuhý	Tuhý	Tuhý	Volný	Volný
H118	B168	Oba	Tuhý	Tuhý	Tuhý	Tuhý	Volný	Volný
H119	B169	Oba	Tuhý	Tuhý	Tuhý	Tuhý	Volný	Volný
H120	B170	Oba	Tuhý	Tuhý	Tuhý	Tuhý	Volný	Volný
H121	B171	Oba	Tuhý	Tuhý	Tuhý	Tuhý	Volný	Volný
H122	B172	Oba	Tuhý	Tuhý	Tuhý	Tuhý	Volný	Volný
H123	B173	Oba	Tuhý	Tuhý	Tuhý	Tuhý	Volný	Volný
H124	B174	Oba	Tuhý	Tuhý	Tuhý	Tuhý	Volný	Volný
H125	B175	Oba	Tuhý	Tuhý	Tuhý	Tuhý	Volný	Volný
H126	B176	Oba	Tuhý	Tuhý	Tuhý	Tuhý	Volný	Volný
H127	B177	Oba	Tuhý	Tuhý	Tuhý	Tuhý	Volný	Volný
H128	B178	Oba	Tuhý	Tuhý	Tuhý	Tuhý	Volný	Volný
H129	B179	Oba	Tuhý	Tuhý	Tuhý	Tuhý	Volný	Volný
H130	B180	Oba	Tuhý	Tuhý	Tuhý	Tuhý	Volný	Volný
H131	B181	Oba	Tuhý	Tuhý	Tuhý	Tuhý	Volný	Volný
H132	B182	Oba	Tuhý	Tuhý	Tuhý	Tuhý	Volný	Volný
H133	B183	Oba	Tuhý	Tuhý	Tuhý	Tuhý	Volný	Volný
H134	B184	Oba	Tuhý	Tuhý	Tuhý	Tuhý	Volný	Volný
H135	B185	Oba	Tuhý	Tuhý	Tuhý	Tuhý	Volný	Volný
H136	B198	Oba	Tuhý	Tuhý	Tuhý	Tuhý	Volný	Volný
H137	B199	Oba	Tuhý	Tuhý	Tuhý	Tuhý	Volný	Volný
H138	B200	Oba	Tuhý	Tuhý	Tuhý	Tuhý	Volný	Volný
H139	B201	Oba	Tuhý	Tuhý	Tuhý	Tuhý	Volný	Volný
H140	B202	Oba	Tuhý	Tuhý	Tuhý	Tuhý	Volný	Volný
H141	B203	Oba	Tuhý	Tuhý	Tuhý	Tuhý	Volný	Volný
H142	B204	Oba	Tuhý	Tuhý	Tuhý	Tuhý	Volný	Volný
H143	B205	Oba	Tuhý	Tuhý	Tuhý	Tuhý	Volný	Volný
H144	B206	Oba	Tuhý	Tuhý	Tuhý	Tuhý	Volný	Volný
H145	B207	Oba	Tuhý	Tuhý	Tuhý	Tuhý	Volný	Volný
H146	B208	Oba	Tuhý	Tuhý	Tuhý	Tuhý	Volný	Volný
H147	B209	Oba	Tuhý	Tuhý	Tuhý	Tuhý	Volný	Volný
H148	B218	Oba	Tuhý	Tuhý	Tuhý	Tuhý	Volný	Volný
H149	B219	Oba	Tuhý	Tuhý	Tuhý	Tuhý	Volný	Volný
H150	B220	Oba	Tuhý	Tuhý	Tuhý	Tuhý	Volný	Volný
H151	B221	Oba	Tuhý	Tuhý	Tuhý	Tuhý	Volný	Volný

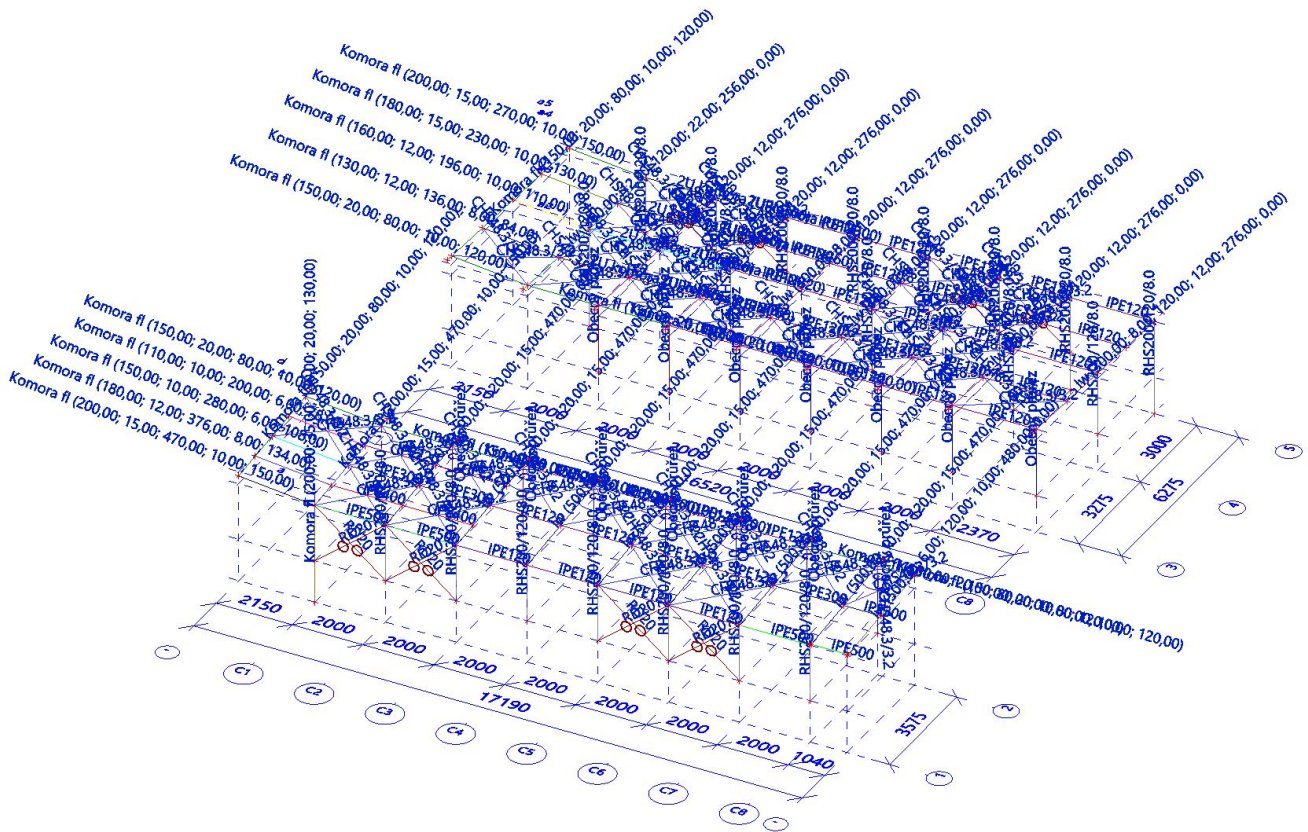
18. UZLY



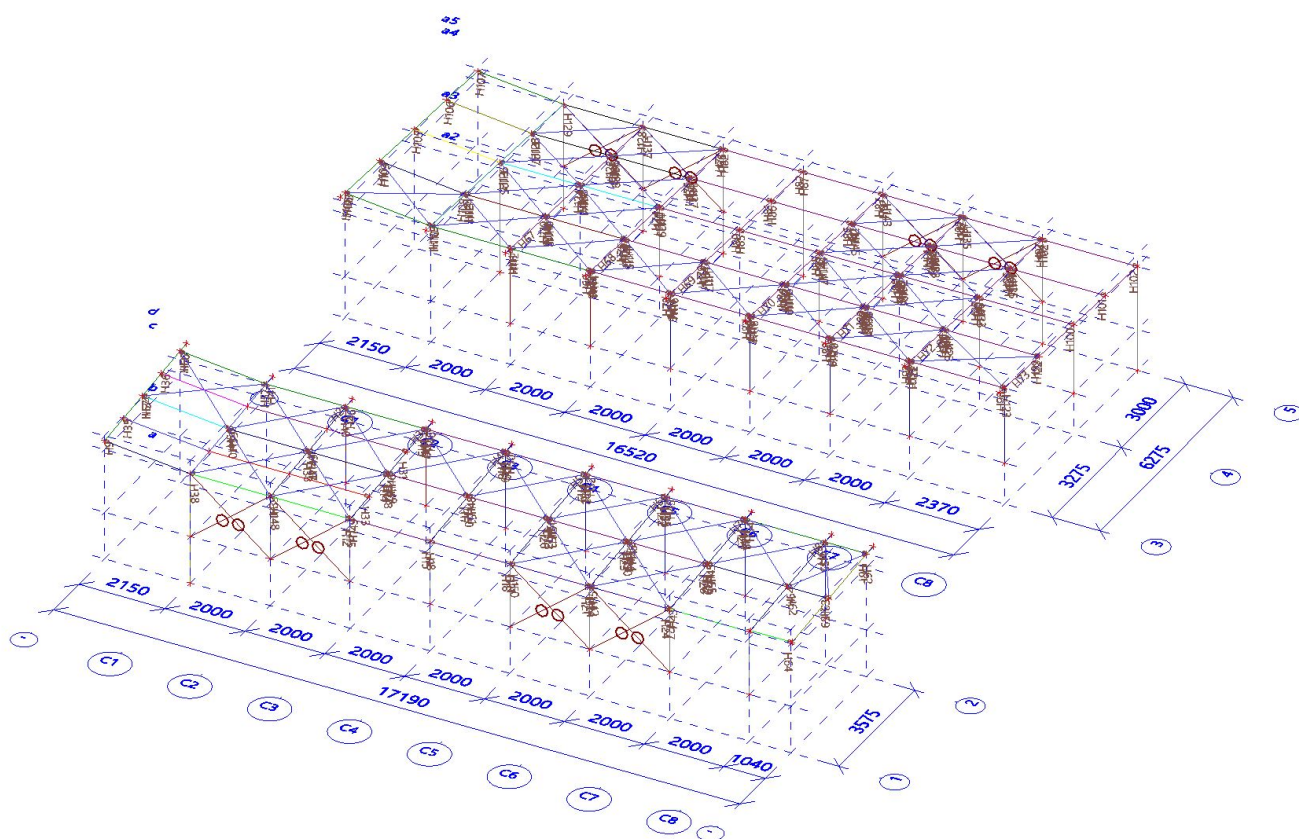
19. PRVKY



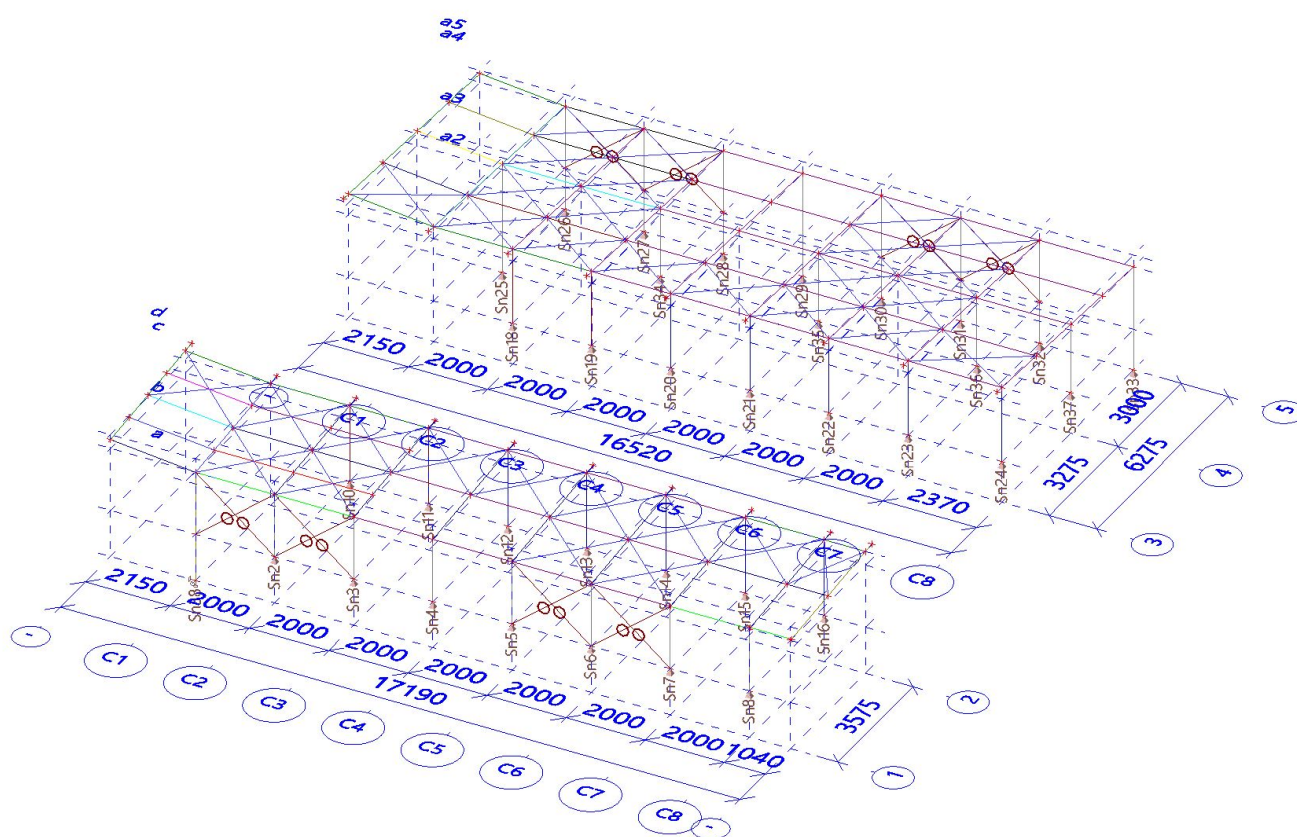
20. PRŮŘEZY



21. KLOUBY



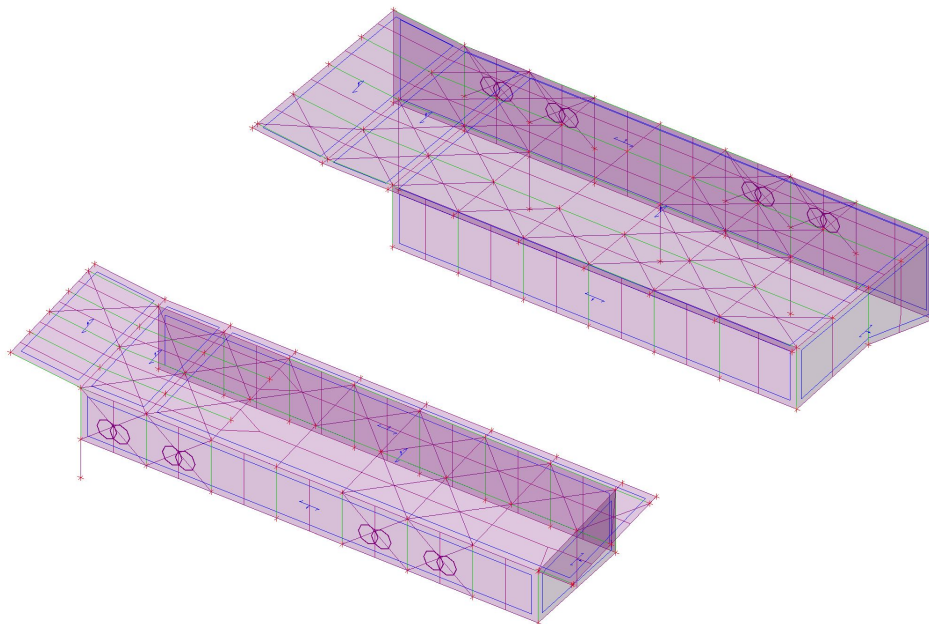
22. PODPORY



23. Zatěžovací stavy

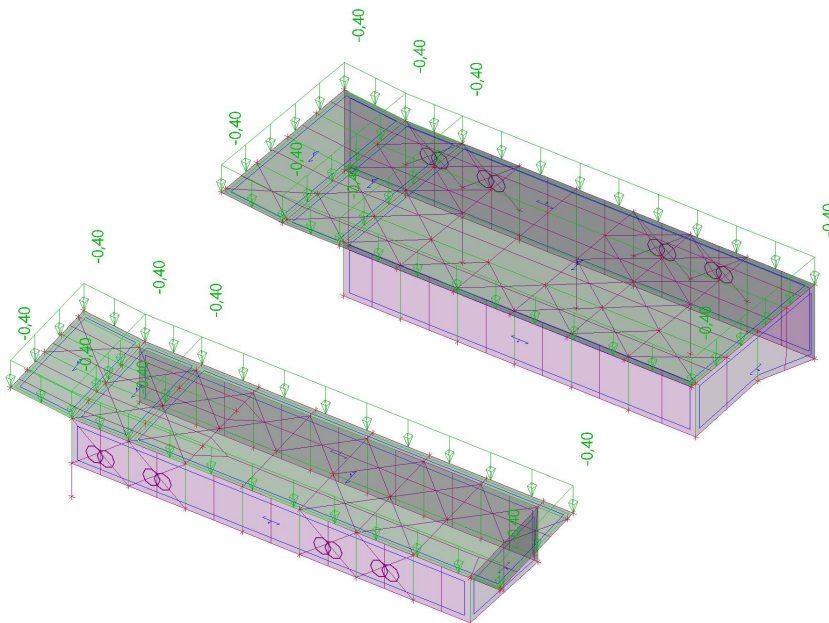
23.1. Zatěžovací stavy - ZS1

Jméno	Popis	Typ působení	Skupina zatížení	Typ zatížení	Směr
ZS1	Vlastní tíha	Stálé	SZ1	Vlastní tíha	-Z



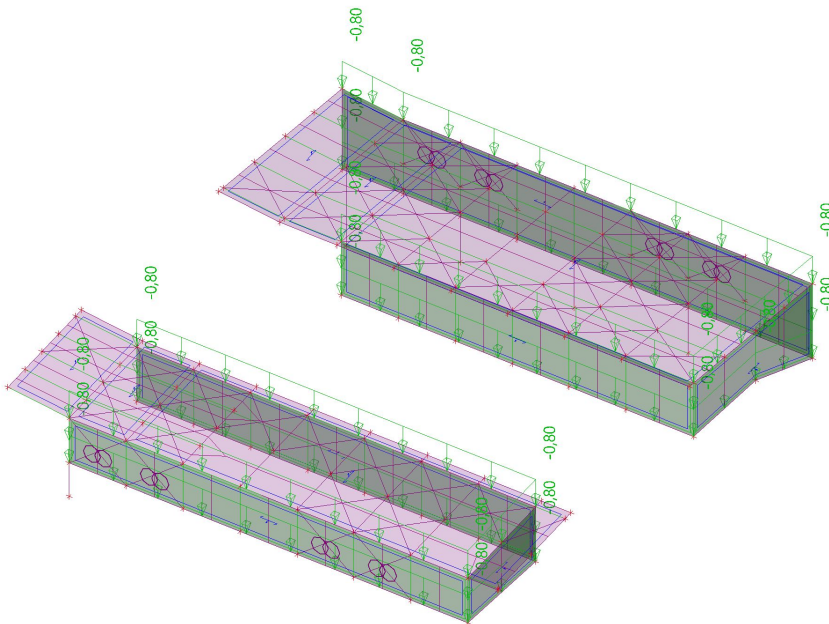
23.2. Zatěžovací stavy - ZS2

Jméno	Popis	Typ působení	Skupina zatížení	Typ zatížení
ZS2	STRESNI PLAST	Stálé	SZ1	Standard



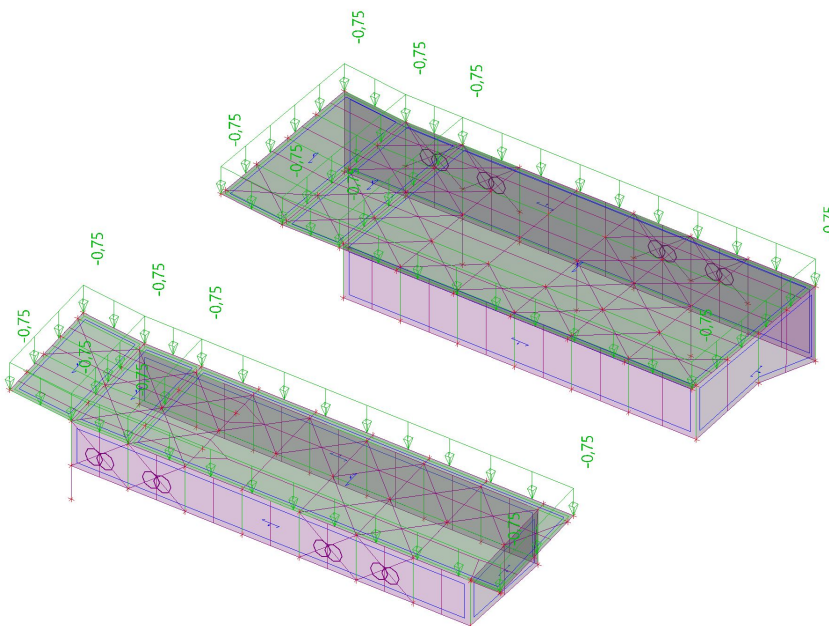
23.3. Zatěžovací stavy - ZS3

Jméno	Popis	Typ působení	Skupina zatížení	Typ zatížení
ZS3	OPLATENI STEN	Stálé	SZ1	Standard



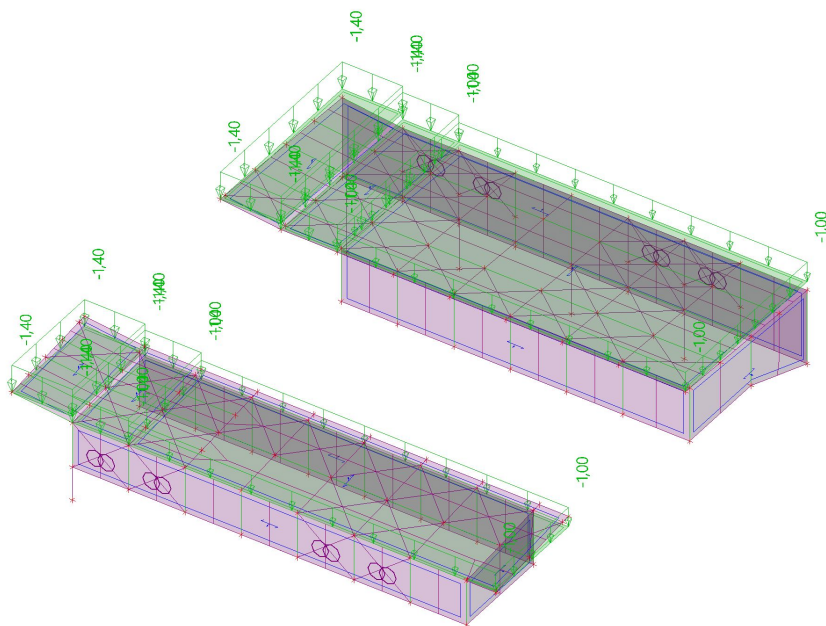
23.4. Zatěžovací stavy - ZS4

Jméno	Popis	Typ působení	Skupina zatížení	Typ zatížení	Spec	Působení	Rídící zat. stav
ZS4	UZITNE NA STRESE	Proměnné	UZITNE NA STRESE	Statické	Standard	Krátkodobé	Žádný



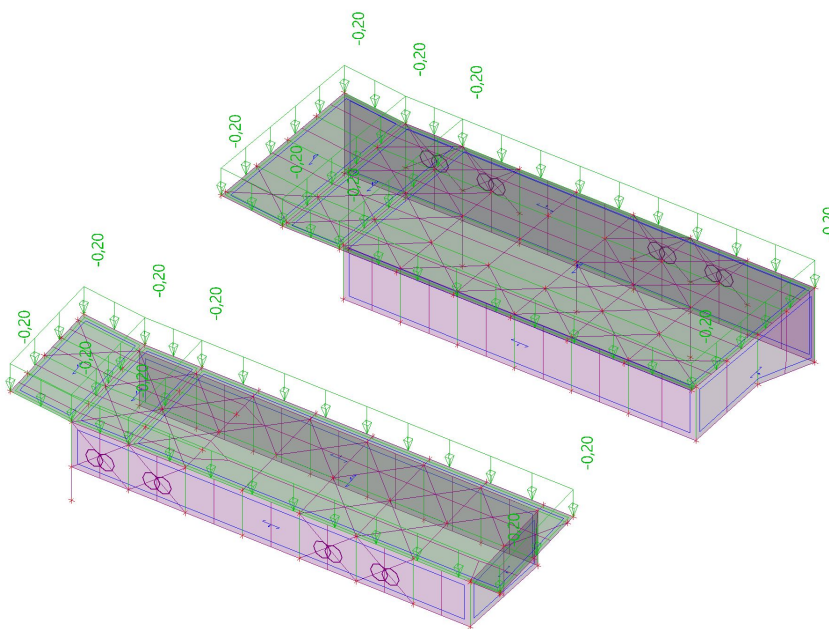
23.5. Zatěžovací stavy - ZS5

Jméno	Popis	Typ působení	Skupina zatížení	Typ zatížení	Spec	Působení	Rídící zat. stav
ZS5	SNIH	Proměnné	SNIH	Statické	Standard	Krátkodobé	Žádný



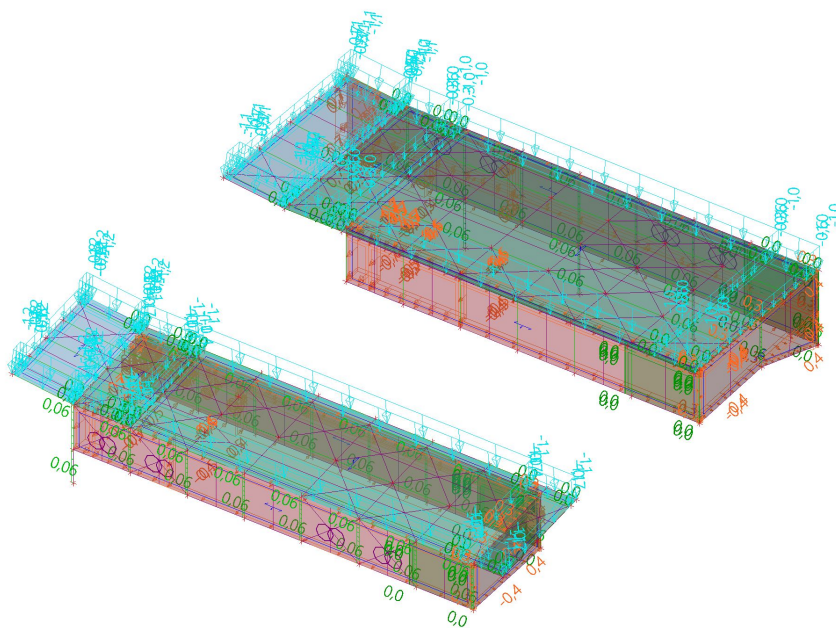
23.6. Zatěžovací stavy - ZS6

Jméno	Popis	Typ působení	Skupina zatížení	Typ zatížení	Spec	Působení	Řídicí zat. stav
ZS6	TECHNOLOGIE POD STRECHOU	Proměnné	TECHNOLOGIE	Statické	Standard	Krátkodobé	Žádný



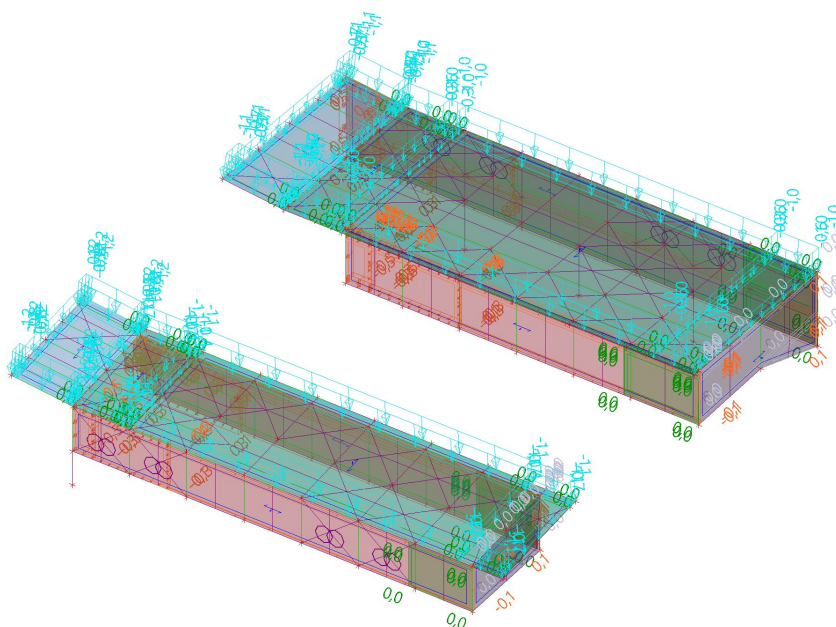
23.7. Zatěžovací stavy - 3DVít1

Jméno	Popis	Typ působení	Skupina zatížení	Typ zatížení	Spec	Řídicí zat. stav
3DVít1	0, + CPE, + CPI	Proměnné	TECHNOLOGIE2	Statické	Statický vítr	Žádný



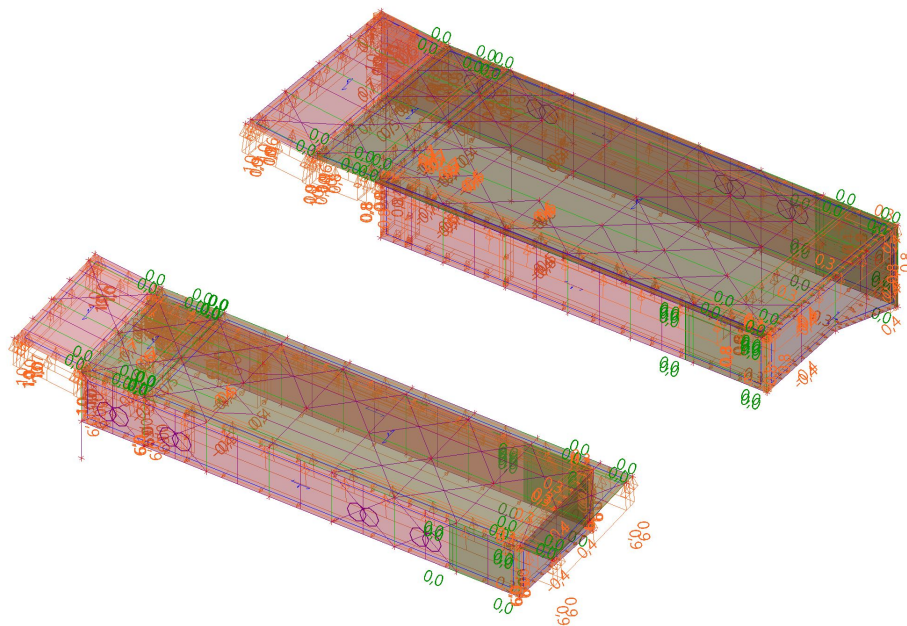
23.8. Zatěžovací stavy - 3DVítr2

Jméno	Popis	Typ působení	Skupina zatížení	Typ zatížení	Spec	Řídící zat. stav
3DVítr2	0, + CPE, - CPI	Proměnné	TECHNOLOGIE2	Statické	Statický vítr	Žádný



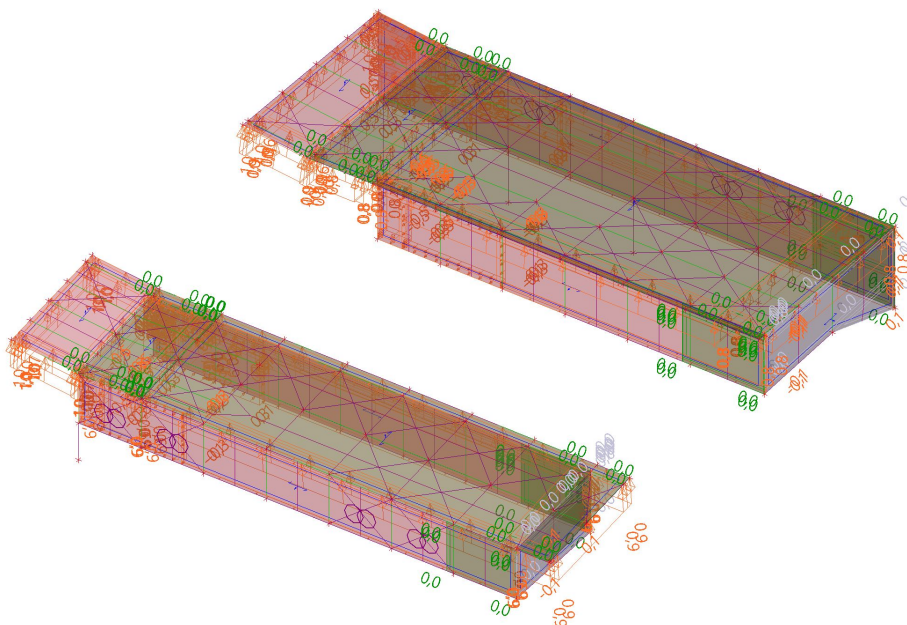
23.9. Zatěžovací stavy - 3DVítr3

Jméno	Popis	Typ působení	Skupina zatížení	Typ zatížení	Spec	Řídící zat. stav
3DVítr3	0, - CPE, + CPI	Proměnné	TECHNOLOGIE2	Statické	Statický vítr	Žádný



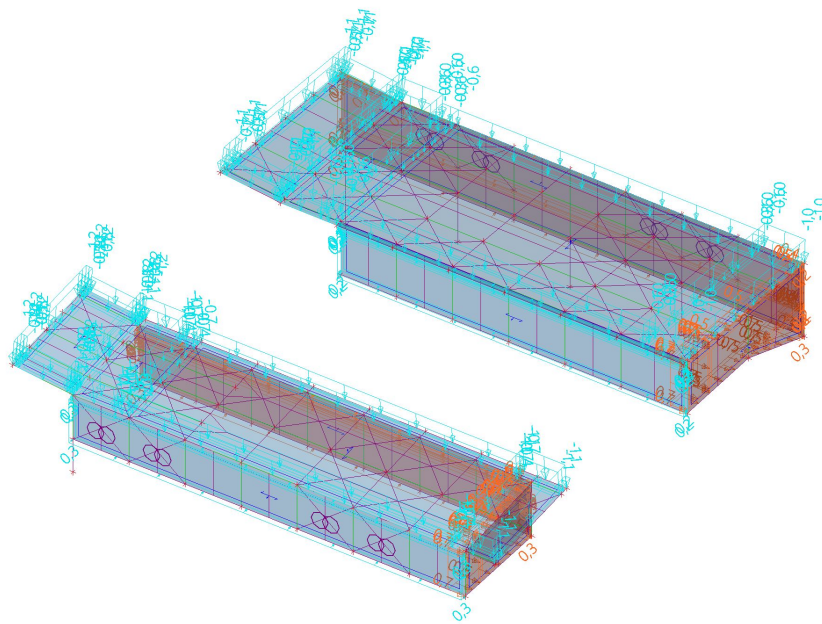
23.10. Zatěžovací stavy - 3DVitr4

Jméno	Popis	Typ působení	Skupina zatížení	Typ zatížení	Spec	Řídící zat. stav
3DVitr4	0, - CPE, - CPI	Proměnné	TECHNOLOGIE2	Statické	Statický vítr	Žádný



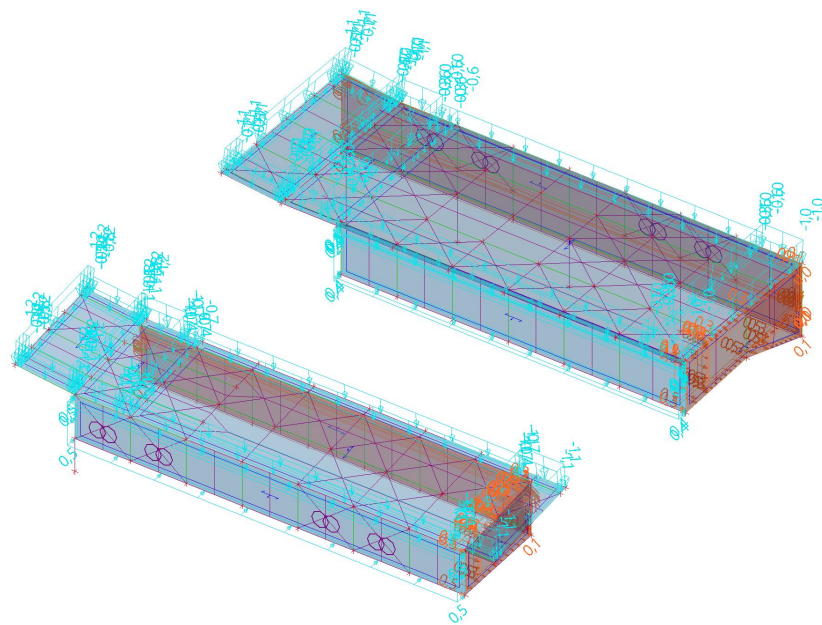
23.11. Zatěžovací stavy - 3DVitr5

Jméno	Popis	Typ působení	Skupina zatížení	Typ zatížení	Spec	Řídící zat. stav
3DVitr5	90, + CPE, + CPI	Proměnné	TECHNOLOGIE2	Statické	Statický vítr	Žádný



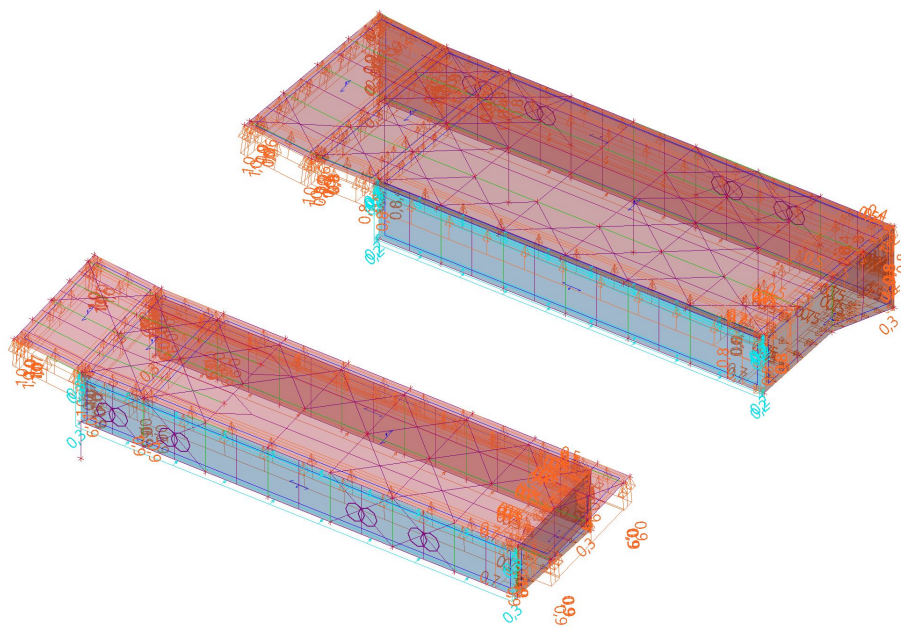
23.12. Zatěžovací stavy - 3DVitr6

Jméno	Popis	Typ působení	Skupina zatížení	Typ zatížení	Spec	Řídící zat. stav
3DVitr6	90, + CPE, - CPI	Proměnné	TECHNOLOGIE2	Statické	Statický vitr	Žádný



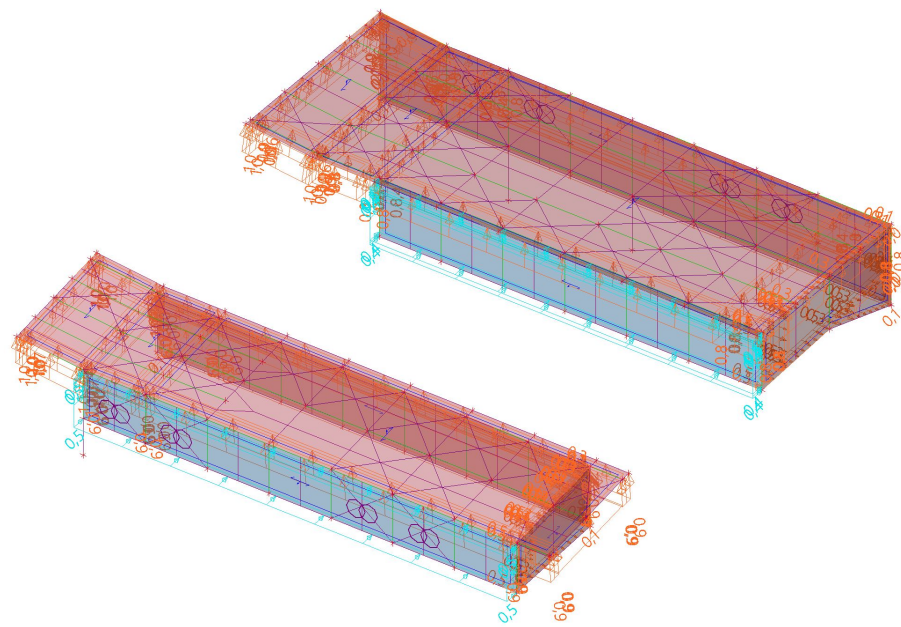
23.13. Zatěžovací stavy - 3DVitr7

Jméno	Popis	Typ působení	Skupina zatížení	Typ zatížení	Spec	Řídící zat. stav
3DVitr7	90, - CPE, + CPI	Proměnné	TECHNOLOGIE2	Statické	Statický vitr	Žádný



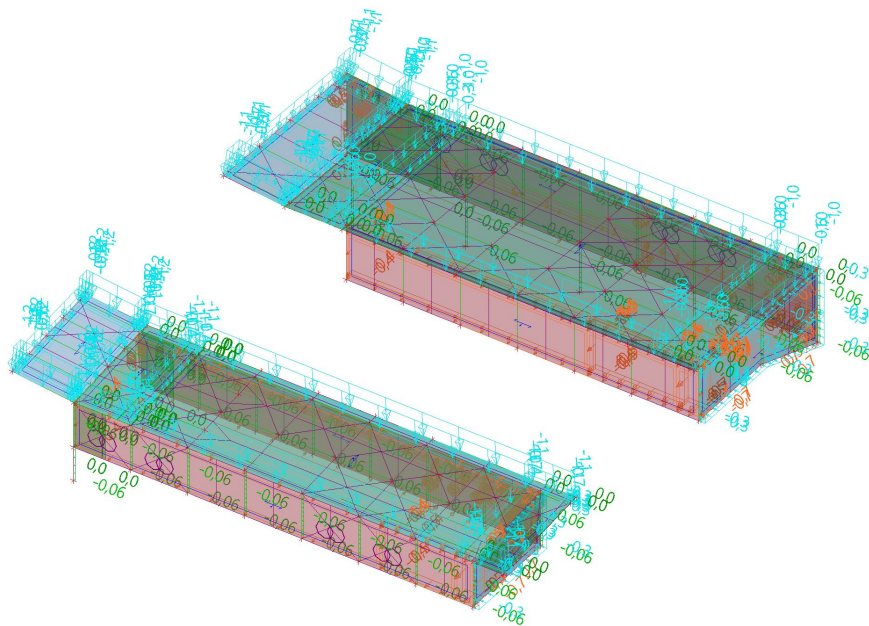
23.14. Zatěžovací stavy - 3DVitr8

Jméno	Popis	Typ působení	Skupina zatížení	Typ zatížení	Spec	Řídící zat. stav
3DVitr8	90, - CPE, - CPI	Proměnné	TECHNOLOGIE2	Statické	Statický vítr	Žádný



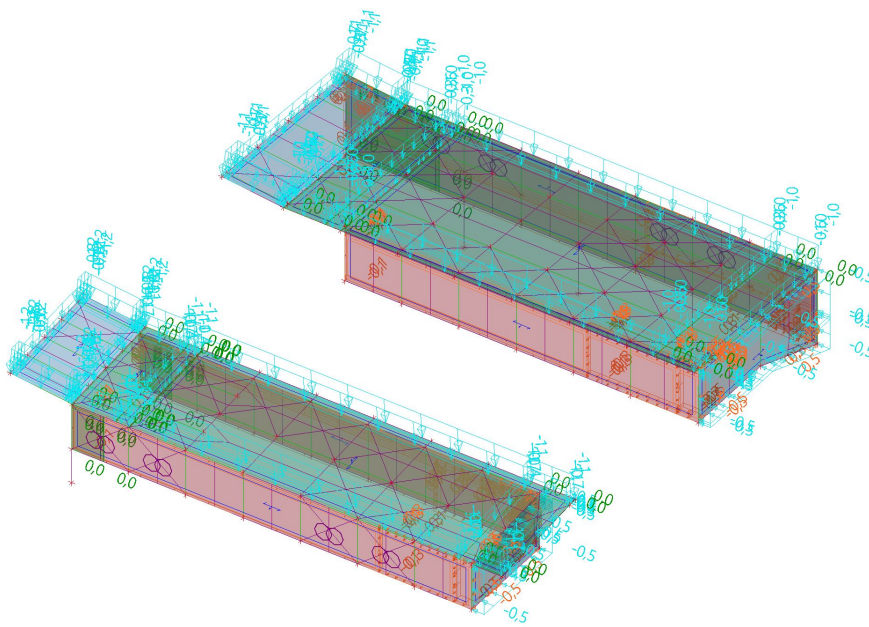
23.15. Zatěžovací stavy - 3DVitr9

Jméno	Popis	Typ působení	Skupina zatížení	Typ zatížení	Spec	Řídící zat. stav
3DVitr9	180, + CPE, + CPI	Proměnné	TECHNOLOGIE2	Statické	Statický vítr	Žádný



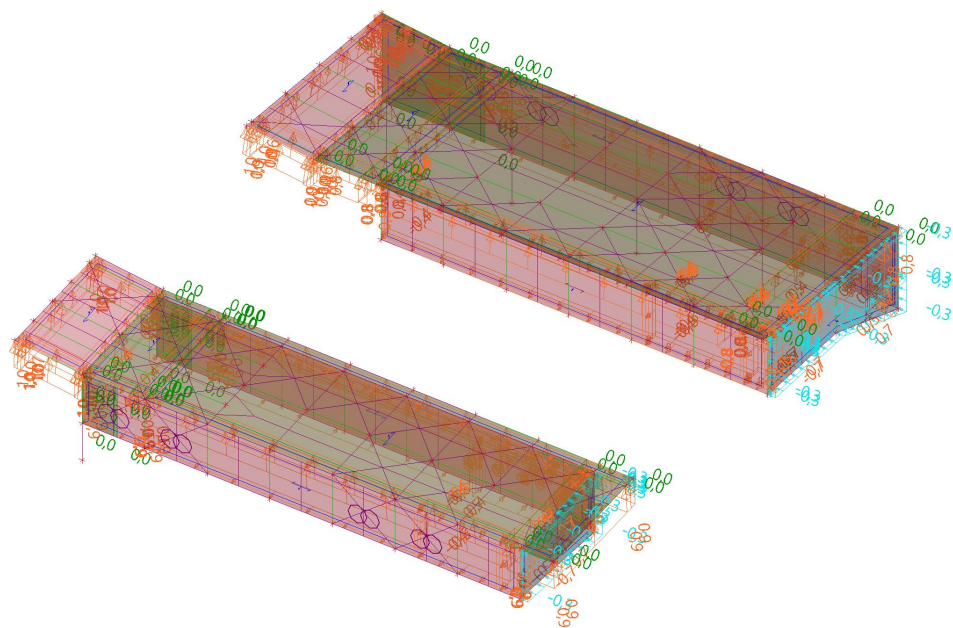
23.16. Zatěžovací stavy - 3DVítr10

Jméno	Popis	Typ působení	Skupina zatížení	Typ zatížení	Spec	Řídící zat. stav
3DVítr10	180, + CPE, - CPI	Proměnné	TECHNOLOGIE2	Statické	Statický vítr	Žádný



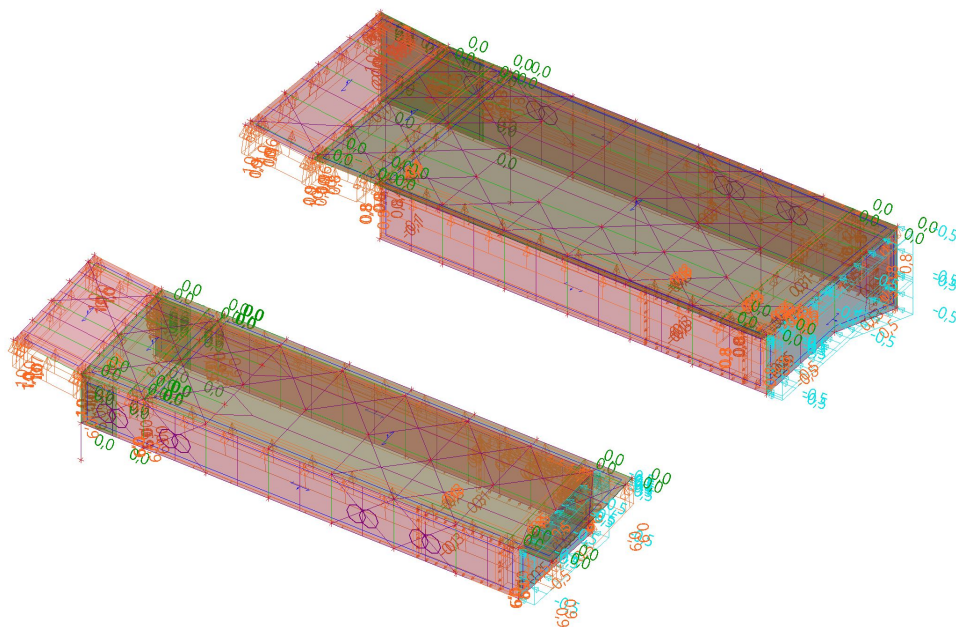
23.17. Zatěžovací stavy - 3DVítr11

Jméno	Popis	Typ působení	Skupina zatížení	Typ zatížení	Spec	Řídící zat. stav
3DVítr11	180, - CPE, + CPI	Proměnné	TECHNOLOGIE2	Statické	Statický vítr	Žádný



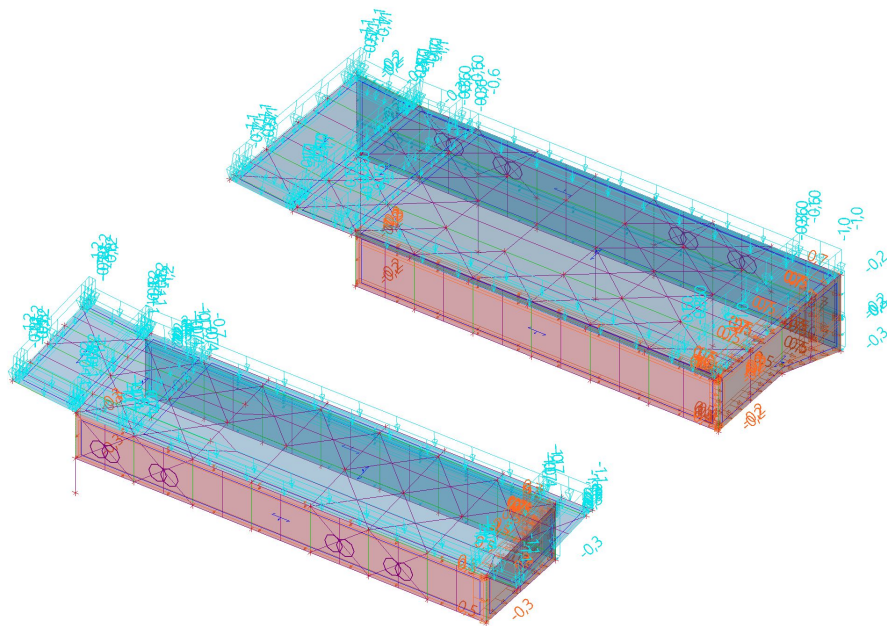
23.18. Zatěžovací stavy - 3DVítr12

Jméno	Popis	Typ působení	Skupina zatížení	Typ zatížení	Spec	Řídicí zat. stav
3DVítr12	180, - CPE, - CPI	Proměnné	TECHNOLOGIE2	Statické	Statický vítr	Žádný



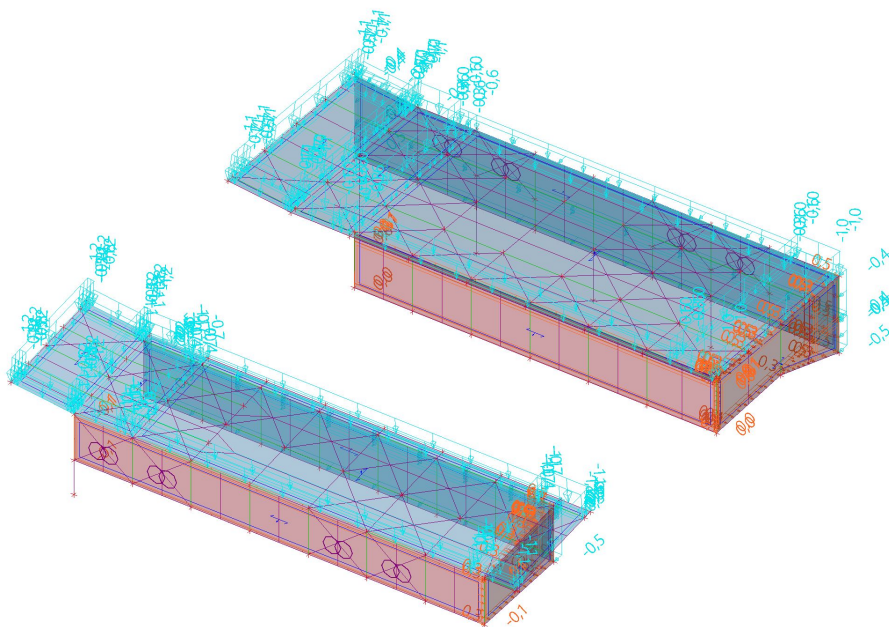
23.19. Zatěžovací stavy - 3DVítr13

Jméno	Popis	Typ působení	Skupina zatížení	Typ zatížení	Spec	Řídicí zat. stav
3DVítr13	270, + CPE, + CPI	Proměnné	TECHNOLOGIE2	Statické	Statický vítr	Žádný



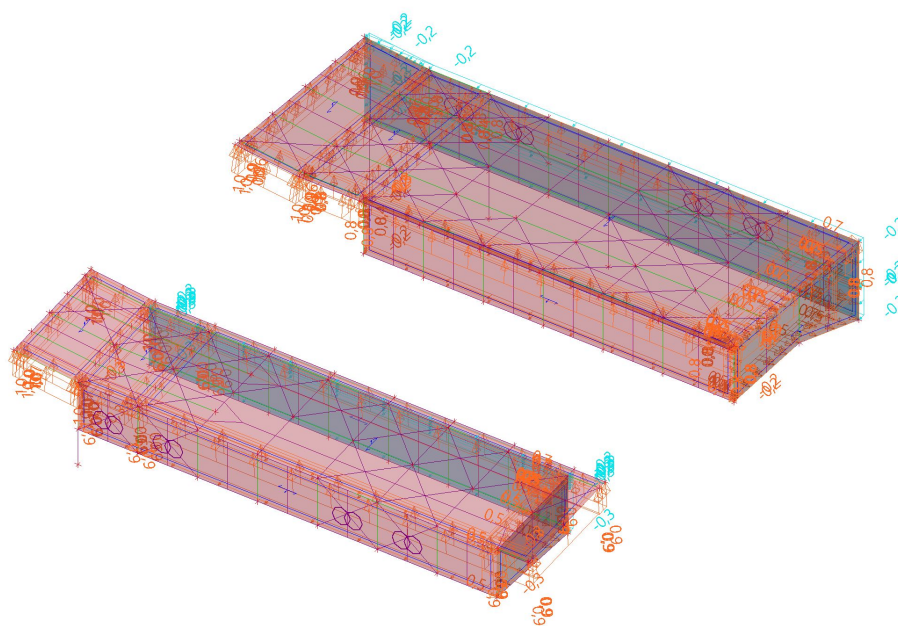
23.20. Zatěžovací stavy - 3DVitr14

Jméno	Popis	Typ působení	Skupina zatížení	Typ zatížení	Spec	Řídící zat. stav
3DVitr14	270, + CPE, - CPI	Proměnné	TECHNOLOGIE2	Statické	Statický vítr	Žádný



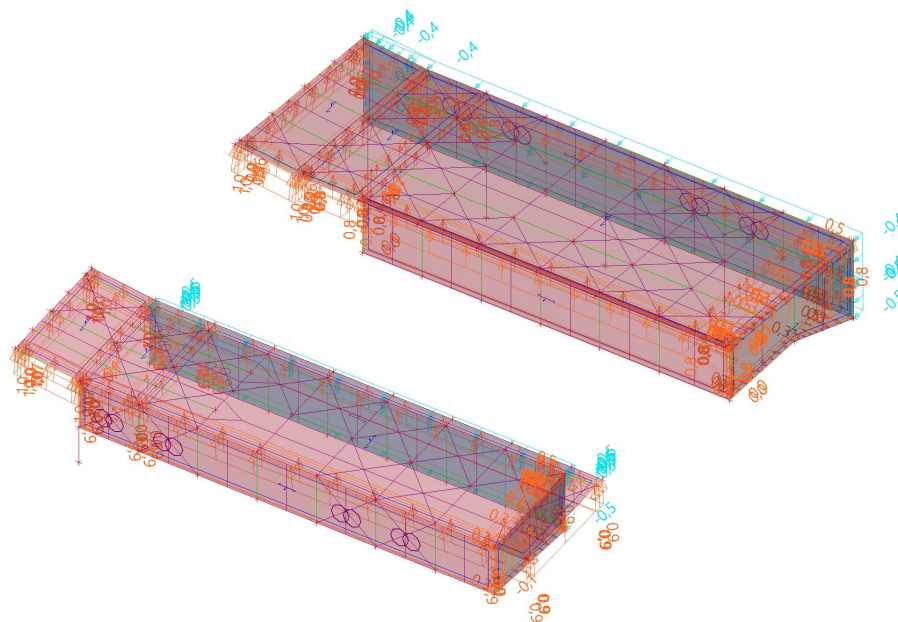
23.21. Zatěžovací stavy - 3DVitr15

Jméno	Popis	Typ působení	Skupina zatížení	Typ zatížení	Spec	Řídící zat. stav
3DVitr15	270, - CPE, + CPI	Proměnné	TECHNOLOGIE2	Statické	Statický vítr	Žádný



23.22. Zatěžovací stavy - 3DVitr16

Jméno	Popis	Typ působení	Skupina zatížení	Typ zatížení	Spec	Řídicí zat. stav
3DVitr16	270, - CPE, - CPI	Proměnné	TECHNOLOGIE2	Statické	Statický vitr	Žádný



24. Zatěžovací stavy

Jméno	Popis	Typ působení	Skupina zatížení	Typ zatížení	Spec	Směr	Působení	Řídicí zat. s
ZS1	Vlastní tíha	Stálé	SZ1	Vlastní tíha		-Z		
ZS2	STRESNI PLAST	Stálé	SZ1	Standard				
ZS3	OPLATENI STEN	Stálé	SZ1	Standard				
ZS4	UZITNE NA STRESE	Proměnné	UZITNE NA STRESE	Statické	Standard		Krátkodobé	Žádný
ZS5	SNIH	Proměnné	SNIH	Statické	Standard		Krátkodobé	Žádný
ZS6	TECHNOLOGIE POD STRECHOU	Proměnné	TECHNOLOGIE	Statické	Standard		Krátkodobé	Žádný

Projekt RNR

Jméno	Popis	Typ působení	Skupina zatížení	Typ zatížení	Spec	Směr	Působení	Řídící zat. s
3DVítr1	0, + CPE, + CPI	Proměnné	TECHNOLOGIE2	Statické	Statický vítr			Žádný
3DVítr2	0, + CPE, - CPI	Proměnné	TECHNOLOGIE2	Statické	Statický vítr			Žádný
3DVítr3	0, - CPE, + CPI	Proměnné	TECHNOLOGIE2	Statické	Statický vítr			Žádný
3DVítr4	0, - CPE, - CPI	Proměnné	TECHNOLOGIE2	Statické	Statický vítr			Žádný
3DVítr5	90, + CPE, + CPI	Proměnné	TECHNOLOGIE2	Statické	Statický vítr			Žádný
3DVítr6	90, + CPE, - CPI	Proměnné	TECHNOLOGIE2	Statické	Statický vítr			Žádný
3DVítr7	90, - CPE, + CPI	Proměnné	TECHNOLOGIE2	Statické	Statický vítr			Žádný
3DVítr8	90, - CPE, - CPI	Proměnné	TECHNOLOGIE2	Statické	Statický vítr			Žádný
3DVítr9	180, + CPE, + CPI	Proměnné	TECHNOLOGIE2	Statické	Statický vítr			Žádný
3DVítr10	180, + CPE, - CPI	Proměnné	TECHNOLOGIE2	Statické	Statický vítr			Žádný
3DVítr11	180, - CPE, + CPI	Proměnné	TECHNOLOGIE2	Statické	Statický vítr			Žádný
3DVítr12	180, - CPE, - CPI	Proměnné	TECHNOLOGIE2	Statické	Statický vítr			Žádný
3DVítr13	270, + CPE, + CPI	Proměnné	TECHNOLOGIE2	Statické	Statický vítr			Žádný
3DVítr14	270, + CPE, - CPI	Proměnné	TECHNOLOGIE2	Statické	Statický vítr			Žádný
3DVítr15	270, - CPE, + CPI	Proměnné	TECHNOLOGIE2	Statické	Statický vítr			Žádný
3DVítr16	270, - CPE, - CPI	Proměnné	TECHNOLOGIE2	Statické	Statický vítr			Žádný

25. Skupiny zatížení

Jméno	Zatížení	Vztah	Typ
SZ1	Stálé		
UZITNE NA STRESE	Proměnné	Standard	Kat H : střechy
SNIH	Proměnné	Standard	Sníh
TECHNOLOGIE	Proměnné	Standard	Kat E : sklady
TECHNOLOGIE1	Proměnné	Výběrová	Vítr
TECHNOLOGIE2	Proměnné	Výběrová	Vítr

26. Kombinace

Jméno	Typ	Zatěžovací stav	Souč. [-]
MSÚ-Sada B (auto)	EN-MSÚ (STR/GEO) Soubor B	ZS1 - Vlastní tíha	1,000
		ZS2 - STRESNI PLAST	1,000
		ZS3 - OPLATENI STEN	1,000
		ZS4 - UZITNE NA STRESE	1,000
		ZS5 - SNIH	1,000
		ZS6 - TECHNOLOGIE POD STRECHOU	1,000
		3DVítr1 - 0, + CPE, + CPI	1,000
		3DVítr2 - 0, + CPE, - CPI	1,000
		3DVítr3 - 0, - CPE, + CPI	1,000
		3DVítr4 - 0, - CPE, - CPI	1,000
		3DVítr5 - 90, + CPE, + CPI	1,000
		3DVítr6 - 90, + CPE, - CPI	1,000
		3DVítr7 - 90, - CPE, + CPI	1,000
		3DVítr8 - 90, - CPE, - CPI	1,000
		3DVítr9 - 180, + CPE, + CPI	1,000
		3DVítr10 - 180, + CPE, - CPI	1,000
		3DVítr11 - 180, - CPE, + CPI	1,000
3DVítr12 - 180, - CPE, - CPI	1,000		
3DVítr13 - 270, + CPE, + CPI	1,000		
3DVítr14 - 270, + CPE, - CPI	1,000		
3DVítr15 - 270, - CPE, + CPI	1,000		
3DVítr16 - 270, - CPE, - CPI	1,000		
MSP-Char (auto)	EN-MSP charakteristická	ZS1 - Vlastní tíha	1,000
		ZS2 - STRESNI PLAST	1,000
		ZS3 - OPLATENI STEN	1,000
		ZS4 - UZITNE NA STRESE	1,000
		ZS5 - SNIH	1,000
		ZS6 - TECHNOLOGIE POD STRECHOU	1,000
		3DVítr1 - 0, + CPE, + CPI	1,000
		3DVítr2 - 0, + CPE, - CPI	1,000
		3DVítr3 - 0, - CPE, + CPI	1,000
		3DVítr4 - 0, - CPE, - CPI	1,000
		3DVítr5 - 90, + CPE, + CPI	1,000
		3DVítr6 - 90, + CPE, - CPI	1,000
		3DVítr7 - 90, - CPE, + CPI	1,000

Projekt RNR

Jméno	Typ	Zatěžovací stavy	Souč. [-]
		3DVítr8 - 90, - CPE, - CPI	1,000
		3DVítr9 - 180, + CPE, + CPI	1,000
		3DVítr10 - 180, + CPE, - CPI	1,000
		3DVítr11 - 180, - CPE, + CPI	1,000
		3DVítr12 - 180, - CPE, - CPI	1,000
		3DVítr13 - 270, + CPE, + CPI	1,000
		3DVítr14 - 270, + CPE, - CPI	1,000
		3DVítr15 - 270, - CPE, + CPI	1,000
		3DVítr16 - 270, - CPE, - CPI	1,000

27. Nelineární kombinace

Prázdná tabulka

28. Skupiny výsledků

Jméno	Výpis
Všechny MSU	MSÚ-Sada B (auto) - EN-MSÚ (STR/GEO) Soubor B
Všechny MSP	MSP-Char (auto) - EN-MSP charakteristická
Vše MSÚ+MSP	MSÚ-Sada B (auto) - EN-MSÚ (STR/GEO) Soubor B MSP-Char (auto) - EN-MSP charakteristická

29. Reakce

Lineární výpočet

Kombinace: MSÚ-Sada B (auto)

Systém: Globální

Extrém: Dílec

Výběr: Vše

Uzlové reakce

Jméno	Stav	R _x [kN]	R _y [kN]	R _z [kN]
Sn2/N3	MSÚ-Sada B (auto)/1	2,96	-1,82	11,30
Sn2/N3	MSÚ-Sada B (auto)/2	1,39	-4,56	10,97
Sn2/N3	MSÚ-Sada B (auto)/3	-0,71	1,97	4,81
Sn2/N3	MSÚ-Sada B (auto)/4	-1,18	-1,02	3,98
Sn2/N3	MSÚ-Sada B (auto)/5	1,94	-2,06	12,57
Sn3/N5	MSÚ-Sada B (auto)/4	-0,60	-1,28	4,21
Sn3/N5	MSÚ-Sada B (auto)/1	1,44	-5,01	3,06
Sn3/N5	MSÚ-Sada B (auto)/2	0,66	-8,08	3,10
Sn3/N5	MSÚ-Sada B (auto)/3	-0,39	2,24	5,16
Sn3/N5	MSÚ-Sada B (auto)/6	1,36	-4,39	2,22
Sn3/N5	MSÚ-Sada B (auto)/7	-0,01	-0,37	6,14
Sn4/N7	MSÚ-Sada B (auto)/8	-0,07	-2,16	11,83
Sn4/N7	MSÚ-Sada B (auto)/9	0,07	-1,34	7,71
Sn4/N7	MSÚ-Sada B (auto)/2	0,00	-5,14	11,01
Sn4/N7	MSÚ-Sada B (auto)/3	0,00	2,44	3,38
Sn4/N7	MSÚ-Sada B (auto)/4	0,00	-1,25	2,19
Sn4/N7	MSÚ-Sada B (auto)/5	0,00	-2,06	13,51
Sn5/N9	MSÚ-Sada B (auto)/8	-0,76	-1,11	11,51
Sn5/N9	MSÚ-Sada B (auto)/9	0,54	-0,74	8,96
Sn5/N9	MSÚ-Sada B (auto)/2	-0,40	-4,14	11,18
Sn5/N9	MSÚ-Sada B (auto)/3	-0,63	2,63	2,59
Sn5/N9	MSÚ-Sada B (auto)/4	-0,47	-1,21	1,54
Sn5/N9	MSÚ-Sada B (auto)/10	0,08	-1,56	14,40
Sn6/N11	MSÚ-Sada B (auto)/11	-1,72	1,32	13,20
Sn6/N11	MSÚ-Sada B (auto)/12	0,93	0,94	3,23
Sn6/N11	MSÚ-Sada B (auto)/13	-0,77	-3,12	8,46
Sn6/N11	MSÚ-Sada B (auto)/14	-1,57	2,92	7,34
Sn6/N11	MSÚ-Sada B (auto)/4	-1,03	-1,10	2,44
Sn6/N11	MSÚ-Sada B (auto)/5	-1,20	0,55	14,86
Sn7/N13	MSÚ-Sada B (auto)/8	-1,23	0,77	14,57
Sn7/N13	MSÚ-Sada B (auto)/15	-0,55	-2,76	8,34
Sn7/N13	MSÚ-Sada B (auto)/16	-0,99	3,43	10,65

Projekt RNR

Jméno	Stav	R _x [kN]	R _y [kN]	R _z [kN]
Sn7/N13	MSÚ-Sada B (auto)/12	0,41	1,25	2,75
Sn7/N13	MSÚ-Sada B (auto)/17	-1,13	1,71	16,26
Sn8/N15	MSÚ-Sada B (auto)/18	-1,07	0,50	11,60
Sn8/N15	MSÚ-Sada B (auto)/19	0,90	1,06	15,46
Sn8/N15	MSÚ-Sada B (auto)/20	-0,61	-0,71	5,26
Sn8/N15	MSÚ-Sada B (auto)/11	-0,93	4,12	24,15
Sn8/N15	MSÚ-Sada B (auto)/4	-1,05	-0,44	5,14
Sn8/N15	MSÚ-Sada B (auto)/5	-0,32	3,73	25,06
Sn10/N19	MSÚ-Sada B (auto)/21	0,10	-1,58	40,77
Sn10/N19	MSÚ-Sada B (auto)/22	-0,09	-2,46	41,37
Sn10/N19	MSÚ-Sada B (auto)/23	0,00	2,08	5,43
Sn10/N19	MSÚ-Sada B (auto)/24	0,00	-0,78	66,82
Sn11/N21	MSÚ-Sada B (auto)/21	0,09	-1,05	3,33
Sn11/N21	MSÚ-Sada B (auto)/22	-0,09	-1,18	3,22
Sn11/N21	MSÚ-Sada B (auto)/25	0,00	1,39	0,92
Sn11/N21	MSÚ-Sada B (auto)/26	0,00	0,00	4,53
Sn12/N23	MSÚ-Sada B (auto)/21	0,09	-1,05	12,17
Sn12/N23	MSÚ-Sada B (auto)/22	-0,09	-1,05	12,17
Sn12/N23	MSÚ-Sada B (auto)/23	0,00	1,39	1,58
Sn12/N23	MSÚ-Sada B (auto)/24	0,00	-0,52	18,48
Sn13/N25	MSÚ-Sada B (auto)/21	0,09	-1,05	11,96
Sn13/N25	MSÚ-Sada B (auto)/22	-0,09	-1,05	11,95
Sn13/N25	MSÚ-Sada B (auto)/23	0,00	1,39	1,49
Sn13/N25	MSÚ-Sada B (auto)/24	0,00	-0,52	18,12
Sn14/N27	MSÚ-Sada B (auto)/22	-0,09	-1,05	11,63
Sn14/N27	MSÚ-Sada B (auto)/21	0,09	-1,18	11,72
Sn14/N27	MSÚ-Sada B (auto)/23	0,00	1,39	1,41
Sn14/N27	MSÚ-Sada B (auto)/27	0,05	-0,71	17,59
Sn15/N29	MSÚ-Sada B (auto)/22	-0,10	-1,05	10,55
Sn15/N29	MSÚ-Sada B (auto)/21	0,09	-1,50	10,77
Sn15/N29	MSÚ-Sada B (auto)/23	0,00	1,39	1,83
Sn15/N29	MSÚ-Sada B (auto)/27	0,05	-0,90	15,65
Sn16/N31	MSÚ-Sada B (auto)/28	-1,58	0,38	17,48
Sn16/N31	MSÚ-Sada B (auto)/29	1,34	-0,59	16,95
Sn16/N31	MSÚ-Sada B (auto)/21	0,76	-0,96	17,03
Sn16/N31	MSÚ-Sada B (auto)/23	-0,91	0,69	3,21
Sn16/N31	MSÚ-Sada B (auto)/24	-0,80	-0,26	24,01
Sn18/N73	MSÚ-Sada B (auto)/13	0,00	-0,64	21,00
Sn18/N73	MSÚ-Sada B (auto)/22	0,00	0,97	21,07
Sn18/N73	MSÚ-Sada B (auto)/30	0,00	0,51	2,00
Sn18/N73	MSÚ-Sada B (auto)/5	0,00	0,02	36,28
Sn19/N75	MSÚ-Sada B (auto)/13	0,00	-1,29	3,58
Sn19/N75	MSÚ-Sada B (auto)/22	0,00	1,47	4,39
Sn19/N75	MSÚ-Sada B (auto)/31	0,00	-0,66	2,94
Sn19/N75	MSÚ-Sada B (auto)/26	0,00	0,00	5,84
Sn20/N77	MSÚ-Sada B (auto)/22	0,00	1,23	12,62
Sn20/N77	MSÚ-Sada B (auto)/20	0,00	-1,29	2,48
Sn20/N77	MSÚ-Sada B (auto)/32	0,00	0,74	21,36
Sn21/N79	MSÚ-Sada B (auto)/13	0,00	-1,29	8,44
Sn21/N79	MSÚ-Sada B (auto)/22	0,00	1,03	9,30
Sn21/N79	MSÚ-Sada B (auto)/4	0,00	-0,66	2,31
Sn21/N79	MSÚ-Sada B (auto)/33	0,00	0,18	14,03
Sn22/N81	MSÚ-Sada B (auto)/21	0,00	1,15	12,83
Sn22/N81	MSÚ-Sada B (auto)/20	0,00	-1,29	2,63
Sn22/N81	MSÚ-Sada B (auto)/27	0,00	0,69	21,51
Sn23/N83	MSÚ-Sada B (auto)/22	-0,04	1,12	10,20
Sn23/N83	MSÚ-Sada B (auto)/13	0,00	-1,41	9,58
Sn23/N83	MSÚ-Sada B (auto)/21	0,00	1,61	10,36
Sn23/N83	MSÚ-Sada B (auto)/4	0,00	-0,73	2,30
Sn23/N83	MSÚ-Sada B (auto)/10	0,00	0,48	15,30
Sn24/N85	MSÚ-Sada B (auto)/29	1,20	0,67	9,35
Sn24/N85	MSÚ-Sada B (auto)/13	-0,96	-0,76	9,39
Sn24/N85	MSÚ-Sada B (auto)/21	0,60	1,10	9,33
Sn24/N85	MSÚ-Sada B (auto)/4	-1,56	-0,39	3,64
Sn24/N85	MSÚ-Sada B (auto)/5	-0,33	0,03	12,18
Sn25/N104	MSÚ-Sada B (auto)/32	-1,30	-1,74	101,63

Projekt RNR

Jméno	Stav	R _x [kN]	R _y [kN]	R _z [kN]
Sn25/N104	MSÚ-Sada B (auto)/12	0,30	-1,13	1,75
Sn25/N104	MSÚ-Sada B (auto)/1	-0,40	-2,37	84,28
Sn25/N104	MSÚ-Sada B (auto)/23	-0,29	1,24	5,80
Sn25/N104	MSÚ-Sada B (auto)/30	0,26	-1,60	1,12
Sn25/N104	MSÚ-Sada B (auto)/5	-1,18	-0,40	105,59
Sn26/N87	MSÚ-Sada B (auto)/34	2,08	-0,12	25,89
Sn26/N87	MSÚ-Sada B (auto)/35	-1,52	-3,97	7,80
Sn26/N87	MSÚ-Sada B (auto)/36	-0,03	5,38	17,88
Sn26/N87	MSÚ-Sada B (auto)/3	-1,04	2,20	6,77
Sn26/N87	MSÚ-Sada B (auto)/1	2,05	-1,98	26,03
Sn27/N89	MSÚ-Sada B (auto)/35	-1,85	-2,35	7,28
Sn27/N89	MSÚ-Sada B (auto)/34	2,36	0,17	10,47
Sn27/N89	MSÚ-Sada B (auto)/30	1,18	-2,55	7,81
Sn27/N89	MSÚ-Sada B (auto)/36	-0,09	4,05	8,21
Sn27/N89	MSÚ-Sada B (auto)/23	-0,81	2,64	5,36
Sn27/N89	MSÚ-Sada B (auto)/37	1,43	-0,39	11,57
Sn28/N91	MSÚ-Sada B (auto)/35	-1,51	-2,23	10,80
Sn28/N91	MSÚ-Sada B (auto)/34	1,94	0,15	8,50
Sn28/N91	MSÚ-Sada B (auto)/30	0,96	-2,34	5,76
Sn28/N91	MSÚ-Sada B (auto)/36	-0,05	3,75	9,18
Sn28/N91	MSÚ-Sada B (auto)/12	1,33	-1,08	4,35
Sn28/N91	MSÚ-Sada B (auto)/8	-1,24	-0,99	15,41
Sn29/N93	MSÚ-Sada B (auto)/38	-0,12	-3,91	15,09
Sn29/N93	MSÚ-Sada B (auto)/1	0,12	-6,47	24,31
Sn29/N93	MSÚ-Sada B (auto)/27	0,07	-7,04	27,82
Sn29/N93	MSÚ-Sada B (auto)/23	0,00	2,17	4,57
Sn29/N93	MSÚ-Sada B (auto)/3	0,00	1,25	4,56
Sn29/N93	MSÚ-Sada B (auto)/10	0,00	-6,38	27,83
Sn30/N95	MSÚ-Sada B (auto)/35	-1,47	-1,88	2,81
Sn30/N95	MSÚ-Sada B (auto)/34	2,09	0,28	15,73
Sn30/N95	MSÚ-Sada B (auto)/30	1,02	-2,03	8,30
Sn30/N95	MSÚ-Sada B (auto)/36	0,02	3,51	8,58
Sn30/N95	MSÚ-Sada B (auto)/3	-1,04	1,37	1,75
Sn30/N95	MSÚ-Sada B (auto)/1	2,05	-0,85	15,76
Sn31/N97	MSÚ-Sada B (auto)/35	-1,74	-1,69	5,33
Sn31/N97	MSÚ-Sada B (auto)/34	2,32	-5,62	24,75
Sn31/N97	MSÚ-Sada B (auto)/27	1,46	-7,24	28,14
Sn31/N97	MSÚ-Sada B (auto)/23	-0,78	1,88	5,03
Sn31/N97	MSÚ-Sada B (auto)/3	-1,22	1,01	4,96
Sn31/N97	MSÚ-Sada B (auto)/10	1,50	-6,63	28,18
Sn32/N99	MSÚ-Sada B (auto)/39	-1,51	-1,78	9,59
Sn32/N99	MSÚ-Sada B (auto)/40	1,87	-0,09	7,19
Sn32/N99	MSÚ-Sada B (auto)/30	1,00	-2,01	2,75
Sn32/N99	MSÚ-Sada B (auto)/36	-0,16	2,99	11,66
Sn32/N99	MSÚ-Sada B (auto)/12	1,37	-0,91	1,84
Sn32/N99	MSÚ-Sada B (auto)/8	-1,34	-0,97	15,44
Sn33/N101	MSÚ-Sada B (auto)/3	-1,68	0,59	6,03
Sn33/N101	MSÚ-Sada B (auto)/34	1,26	0,08	9,86
Sn33/N101	MSÚ-Sada B (auto)/4	-1,24	-1,39	7,72
Sn33/N101	MSÚ-Sada B (auto)/36	-1,05	1,83	10,45
Sn33/N101	MSÚ-Sada B (auto)/12	1,26	-0,64	5,56
Sn33/N101	MSÚ-Sada B (auto)/41	-0,74	-0,26	12,67
Sn34/N113	MSÚ-Sada B (auto)/38	-0,09	0,27	10,52
Sn34/N113	MSÚ-Sada B (auto)/1	0,09	0,79	19,49
Sn34/N113	MSÚ-Sada B (auto)/36	0,00	7,19	23,74
Sn34/N113	MSÚ-Sada B (auto)/30	0,01	-3,35	-0,27
Sn34/N113	MSÚ-Sada B (auto)/5	0,00	5,89	27,29
Sn35/N115	MSÚ-Sada B (auto)/38	-0,08	0,51	10,15
Sn35/N115	MSÚ-Sada B (auto)/1	0,10	1,20	19,38
Sn35/N115	MSÚ-Sada B (auto)/36	0,01	5,34	21,11
Sn35/N115	MSÚ-Sada B (auto)/4	0,00	-2,61	-0,55
Sn35/N115	MSÚ-Sada B (auto)/5	0,02	4,48	24,90
Sn36/N117	MSÚ-Sada B (auto)/8	-0,10	1,10	21,44
Sn36/N117	MSÚ-Sada B (auto)/9	0,08	1,31	12,09
Sn36/N117	MSÚ-Sada B (auto)/36	-0,02	3,59	23,13
Sn36/N117	MSÚ-Sada B (auto)/4	0,00	-2,49	-1,38

Projekt RNR

Jméno	Stav	R _x [kN]	R _y [kN]	R _z [kN]
Sn36/N117	MSÚ-Sada B (auto)/5	-0,03	3,12	26,89
Sn37/N119	MSÚ-Sada B (auto)/42	-2,47	-0,18	20,92
Sn37/N119	MSÚ-Sada B (auto)/12	2,39	0,38	4,27
Sn37/N119	MSÚ-Sada B (auto)/36	-1,20	2,54	22,16
Sn37/N119	MSÚ-Sada B (auto)/4	-2,46	-2,21	3,01
Sn37/N119	MSÚ-Sada B (auto)/5	-0,72	2,31	23,08
Sn38/N155	MSÚ-Sada B (auto)/8	-0,63	5,96	54,31
Sn38/N155	MSÚ-Sada B (auto)/12	0,04	2,52	12,17
Sn38/N155	MSÚ-Sada B (auto)/20	-0,16	-0,52	10,58
Sn38/N155	MSÚ-Sada B (auto)/17	-0,50	8,48	63,04
Sn38/N155	MSÚ-Sada B (auto)/4	-0,20	-0,43	10,31
Sn38/N155	MSÚ-Sada B (auto)/5	-0,47	8,42	63,21

Jméno	Klíč kombinace
MSÚ-Sada B (auto)/1	1.15*ZS1 + 1.15*ZS2 + 1.15*ZS3 + 0.75*ZS5 + 1.50*ZS6 + 1.50*3DVitr9
MSÚ-Sada B (auto)/2	1.15*ZS1 + 1.15*ZS2 + 1.15*ZS3 + 0.75*ZS5 + 1.50*ZS6 + 1.50*3DVitr6
MSÚ-Sada B (auto)/3	ZS1 + ZS2 + ZS3 + 1.50*3DVitr15
MSÚ-Sada B (auto)/4	ZS1 + ZS2 + ZS3 + 1.50*3DVitr7
MSÚ-Sada B (auto)/5	1.15*ZS1 + 1.15*ZS2 + 1.15*ZS3 + 1.50*ZS5 + 1.50*ZS6 + 0.90*3DVitr14
MSÚ-Sada B (auto)/6	ZS1 + ZS2 + ZS3 + 0.75*ZS5 + 1.50*3DVitr9
MSÚ-Sada B (auto)/7	1.35*ZS1 + 1.35*ZS2 + 1.35*ZS3 + 1.50*ZS6 + 0.90*3DVitr15
MSÚ-Sada B (auto)/8	1.15*ZS1 + 1.15*ZS2 + 1.15*ZS3 + 0.75*ZS5 + 1.50*ZS6 + 1.50*3DVitr1
MSÚ-Sada B (auto)/9	ZS1 + ZS2 + ZS3 + 1.50*3DVitr9
MSÚ-Sada B (auto)/10	1.15*ZS1 + 1.15*ZS2 + 1.15*ZS3 + 1.50*ZS5 + 1.50*ZS6 + 0.90*3DVitr10
MSÚ-Sada B (auto)/11	1.15*ZS1 + 1.15*ZS2 + 1.15*ZS3 + 0.75*ZS5 + 1.50*ZS6 + 1.50*3DVitr13
MSÚ-Sada B (auto)/12	ZS1 + ZS2 + ZS3 + 1.50*3DVitr12
MSÚ-Sada B (auto)/13	1.15*ZS1 + 1.15*ZS2 + 1.15*ZS3 + 1.50*3DVitr6
MSÚ-Sada B (auto)/14	ZS1 + ZS2 + ZS3 + 0.75*ZS5 + 1.50*ZS6 + 1.50*3DVitr15
MSÚ-Sada B (auto)/15	ZS1 + ZS2 + ZS3 + 1.50*3DVitr6
MSÚ-Sada B (auto)/16	1.15*ZS1 + 1.15*ZS2 + 1.15*ZS3 + 0.75*ZS5 + 1.50*ZS6 + 1.50*3DVitr15
MSÚ-Sada B (auto)/17	1.15*ZS1 + 1.15*ZS2 + 1.15*ZS3 + 1.50*ZS5 + 1.50*ZS6 + 0.90*3DVitr13
MSÚ-Sada B (auto)/18	1.15*ZS1 + 1.15*ZS2 + 1.15*ZS3 + 0.75*ZS5 + 1.50*ZS6 + 1.50*3DVitr7
MSÚ-Sada B (auto)/19	ZS1 + ZS2 + ZS3 + 1.50*3DVitr10
MSÚ-Sada B (auto)/20	ZS1 + ZS2 + ZS3 + 1.50*3DVitr8
MSÚ-Sada B (auto)/21	1.15*ZS1 + 1.15*ZS2 + 1.15*ZS3 + 1.50*3DVitr9
MSÚ-Sada B (auto)/22	1.15*ZS1 + 1.15*ZS2 + 1.15*ZS3 + 1.50*3DVitr1
MSÚ-Sada B (auto)/23	ZS1 + ZS2 + ZS3 + 1.50*3DVitr16
MSÚ-Sada B (auto)/24	1.15*ZS1 + 1.15*ZS2 + 1.15*ZS3 + 1.50*ZS5 + 1.50*ZS6 + 0.90*3DVitr5
MSÚ-Sada B (auto)/25	ZS1 + ZS2 + ZS3 + 0.75*ZS5 + 1.50*3DVitr14
MSÚ-Sada B (auto)/26	1.35*ZS1 + 1.35*ZS2 + 1.35*ZS3 + 1.05*ZS4 + 1.50*ZS6
MSÚ-Sada B (auto)/27	1.15*ZS1 + 1.15*ZS2 + 1.15*ZS3 + 1.50*ZS5 + 1.50*ZS6 + 0.90*3DVitr9
MSÚ-Sada B (auto)/28	1.15*ZS1 + 1.15*ZS2 + 1.15*ZS3 + 1.50*3DVitr13
MSÚ-Sada B (auto)/29	1.15*ZS1 + 1.15*ZS2 + 1.15*ZS3 + 1.50*3DVitr10
MSÚ-Sada B (auto)/30	ZS1 + ZS2 + ZS3 + 1.50*3DVitr11
MSÚ-Sada B (auto)/31	ZS1 + ZS2 + ZS3 + 0.75*ZS5 + 1.50*3DVitr5
MSÚ-Sada B (auto)/32	1.15*ZS1 + 1.15*ZS2 + 1.15*ZS3 + 1.50*ZS5 + 1.50*ZS6 + 0.90*3DVitr1
MSÚ-Sada B (auto)/33	1.15*ZS1 + 1.15*ZS2 + 1.15*ZS3 + 1.50*ZS5 + 1.50*ZS6 + 0.90*3DVitr2
MSÚ-Sada B (auto)/34	1.15*ZS1 + 1.15*ZS2 + 1.15*ZS3 + 0.75*ZS5 + 1.50*ZS6 + 1.50*3DVitr10
MSÚ-Sada B (auto)/35	ZS1 + ZS2 + ZS3 + 1.50*3DVitr3
MSÚ-Sada B (auto)/36	1.15*ZS1 + 1.15*ZS2 + 1.15*ZS3 + 0.75*ZS5 + 1.50*ZS6 + 1.50*3DVitr14

Projekt RNR

Jméno	Klíč kombinace
MSÚ-Sada B (auto)/37	1.35*ZS1 + 1.35*ZS2 + 1.35*ZS3 + 0.75*ZS5 + 1.50*ZS6 + 0.90*3DVítr9
MSÚ-Sada B (auto)/38	ZS1 + ZS2 + ZS3 + 1.50*3DVítr1
MSÚ-Sada B (auto)/39	ZS1 + ZS2 + ZS3 + 1.50*ZS6 + 1.50*3DVítr3
MSÚ-Sada B (auto)/40	1.15*ZS1 + 1.15*ZS2 + 1.15*ZS3 + 0.75*ZS5 + 1.50*3DVítr10
MSÚ-Sada B (auto)/41	1.35*ZS1 + 1.35*ZS2 + 1.35*ZS3 + 0.75*ZS5 + 1.50*ZS6 + 0.90*3DVítr5
MSÚ-Sada B (auto)/42	1.15*ZS1 + 1.15*ZS2 + 1.15*ZS3 + 0.75*ZS5 + 1.50*ZS6 + 1.50*3DVítr5

30. Reakce; R_z

Hodnoty: R_z

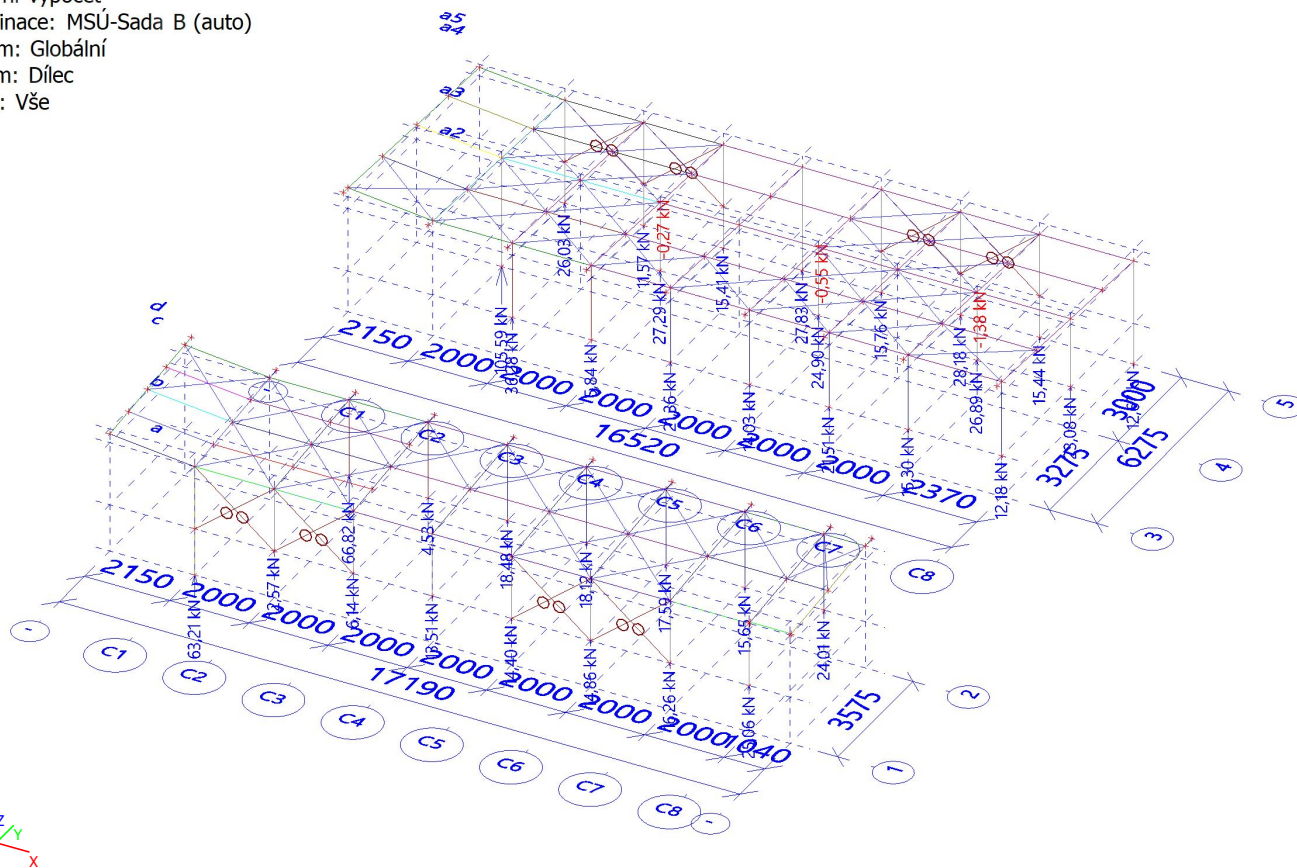
Lineární výpočet

Kombinace: MSÚ-Sada B (auto)

Systém: Globální

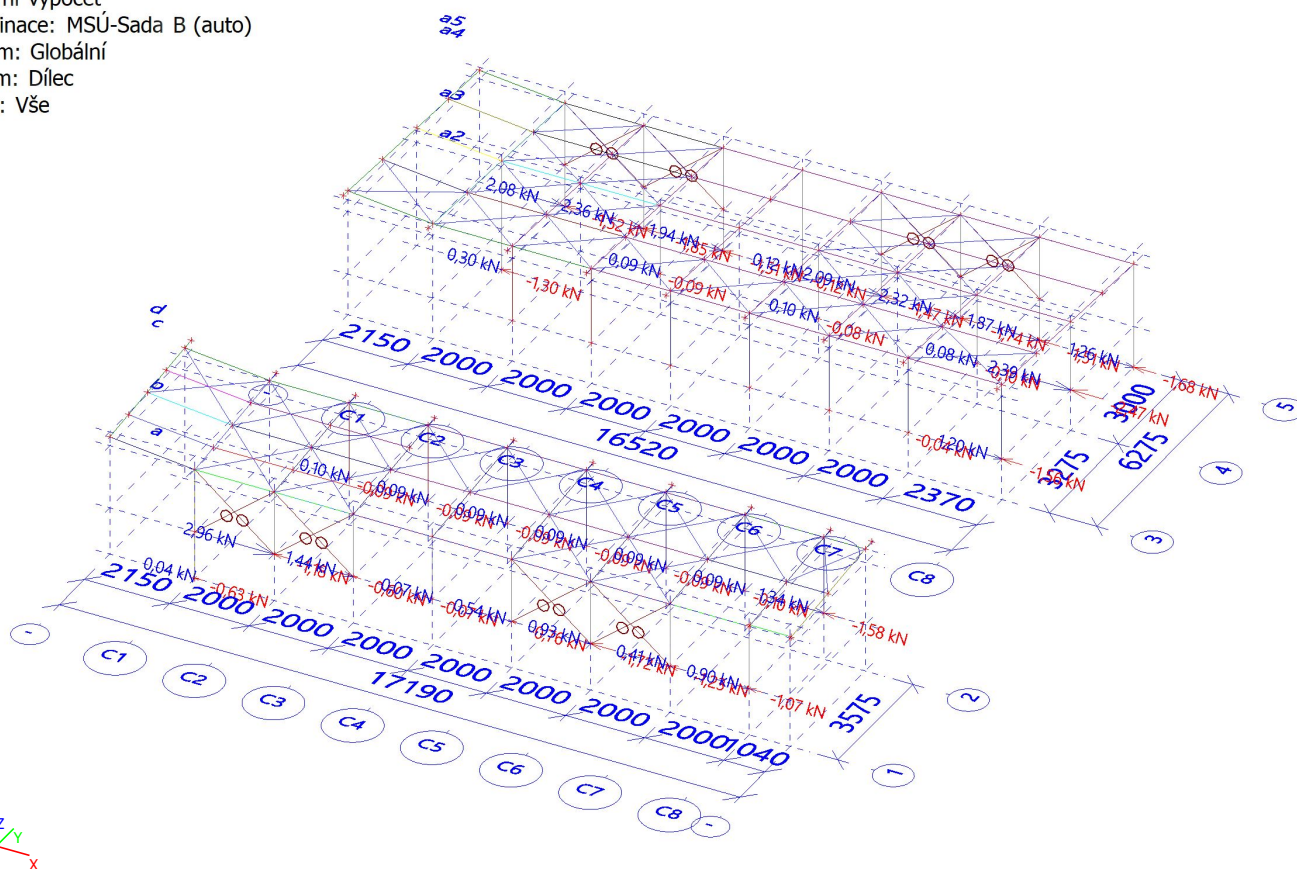
Extrém: Dílec

Výběr: Vše



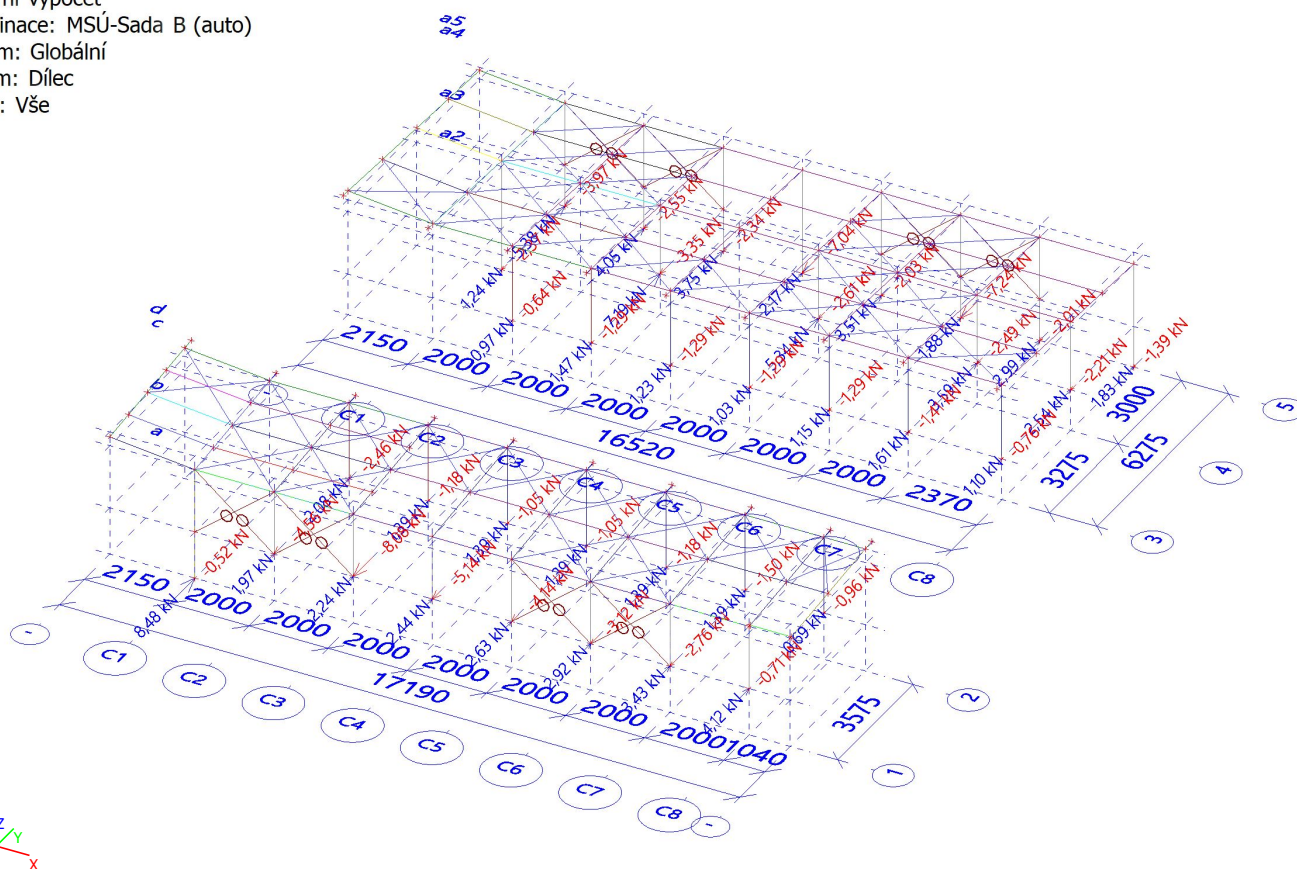
31. Reakce; R_x

Hodnoty: R_x
Lineární výpočet
Kombinace: MSÚ-Sada B (auto)
Systém: Globální
Extrém: Dílec
Výběr: Vše



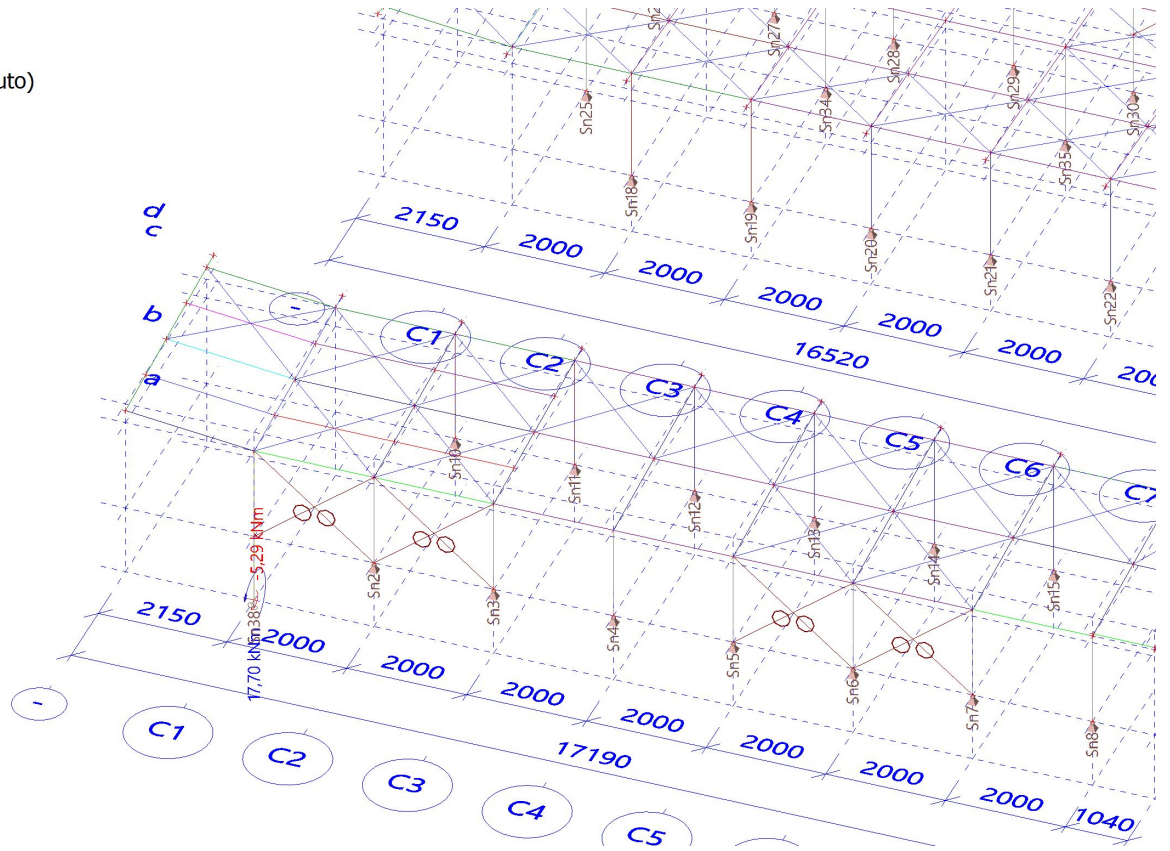
32. Reakce; R_y

Hodnoty: R_y
Lineární výpočet
Kombinace: MSÚ-Sada B (auto)
Systém: Globální
Extrém: Dílec
Výběr: Vše



33. Reakce; M_x

Hodnoty: M_x
Lineární výpočet
Kombinace: MSÚ-Sada B (auto)
Systém: Globální
Extrém: Dílec
Výběr: Vše



34. 1D vnitřní síly

Lineární výpočet
Kombinace: MSÚ-Sada B (auto)
Souřadný systém: Hlavní
Extrém 1D: Průřez
Výběr: Vše

Jméno	dx [m]	Stav	Průřez	N [kN]	V _y [kN]	V _z [kN]	M _x [kNm]	M _y [kNm]	M _z [kNm]
B1	2,860	MSÚ-Sada B (auto)/1	CS32 - Komora fl (200,00; 35,00; 130,00; 20,00; 130,00)	-4,78	0,15	-0,18	0,00	-1,32	0,49
B1	2,860	MSÚ-Sada B (auto)/2	CS32 - Komora fl (200,00; 35,00; 130,00; 20,00; 130,00)	-54,72	2,28	-7,21	0,00	-34,90	4,12
B1	0,000	MSÚ-Sada B (auto)/3	CS32 - Komora fl (200,00; 35,00; 130,00; 20,00; 130,00)	-63,04	0,50	-8,48	0,00	-12,29	0,00
B1	0,000	MSÚ-Sada B (auto)/4	CS32 - Komora fl (200,00; 35,00; 130,00; 20,00; 130,00)	-10,58	0,16	0,52	0,00	-2,03	0,00
B1	0,000	MSÚ-Sada B (auto)/5	CS32 - Komora fl (200,00; 35,00; 130,00; 20,00; 130,00)	-63,21	0,47	-8,42	0,00	-12,28	0,00
B1	2,860	MSÚ-Sada B (auto)/5	CS32 - Komora fl (200,00; 35,00; 130,00; 20,00; 130,00)	-55,41	2,18	-8,31	0,00	-36,28	4,15

Projekt RNR

Jméno	dx [m]	Stav	Průřez	N [kN]	V _y [kN]	V _z [kN]	M _x [kNm]	M _y [kNm]	M _z [kNm]
			130,00)						
B1	0,000	MSÚ-Sada B (auto)/6	CS32 - Komora fl (200,00; 35,00; 130,00; 20,00; 130,00)	-12,07	0,09	-3,74	0,00	5,29	0,00
B1	1,220-	MSÚ-Sada B (auto)/7	CS32 - Komora fl (200,00; 35,00; 130,00; 20,00; 130,00)	-10,36	-0,04	-2,52	0,00	0,05	-0,05
B1	2,860	MSÚ-Sada B (auto)/8	CS32 - Komora fl (200,00; 35,00; 130,00; 20,00; 130,00)	-54,41	2,18	-6,29	0,00	-33,91	4,24
B105	0,000	MSÚ-Sada B (auto)/5	CS1 - RHS200/120/8.0	-105,59	1,18	0,40	0,00	0,00	0,00
B116	1,798	MSÚ-Sada B (auto)/1	CS1 - RHS200/120/8.0	2,48	-2,14	2,21	0,00	3,97	0,00
B116	0,000	MSÚ-Sada B (auto)/7	CS1 - RHS200/120/8.0	-4,27	-2,39	-0,38	0,00	0,00	0,00
B116	0,000	MSÚ-Sada B (auto)/9	CS1 - RHS200/120/8.0	-20,92	2,47	0,18	0,00	0,00	0,00
B3	0,000	MSÚ-Sada B (auto)/10	CS1 - RHS200/120/8.0	-3,61	0,01	8,08	0,00	0,00	0,00
B113	1,798	MSÚ-Sada B (auto)/11	CS1 - RHS200/120/8.0	-22,97	0,00	-7,19	0,00	-12,93	0,01
B101	2,720	MSÚ-Sada B (auto)/8	CS1 - RHS200/120/8.0	-21,53	-0,13	5,84	0,00	17,54	0,00
B97	1,100-	MSÚ-Sada B (auto)/12	CS1 - RHS200/120/8.0	-7,98	-2,36	-0,50	0,00	-0,37	-2,60
B105	2,868	MSÚ-Sada B (auto)/13	CS1 - RHS200/120/8.0	-100,41	1,14	1,74	0,00	4,99	3,50
B10	0,000	MSÚ-Sada B (auto)/8	CS3 - Obecný průřez	-66,82	0,00	-0,78	0,00	0,00	0,00
B11	2,000	MSÚ-Sada B (auto)/14	CS3 - Obecný průřez	3,05	0,00	-1,39	0,00	0,00	0,00
B10	0,000	MSÚ-Sada B (auto)/15	CS3 - Obecný průřez	-41,37	-0,09	-2,46	0,00	0,00	0,00
B10	2,000	MSÚ-Sada B (auto)/15	CS3 - Obecný průřez	-35,14	0,09	2,37	0,00	0,00	0,00
B10	2,000	MSÚ-Sada B (auto)/16	CS3 - Obecný průřez	-34,55	-0,10	1,58	0,00	0,00	0,00
B10	0,000	MSÚ-Sada B (auto)/16	CS3 - Obecný průřez	-40,77	0,10	-1,58	0,00	0,00	0,00
B10	1,077	MSÚ-Sada B (auto)/6	CS3 - Obecný průřez	-2,51	0,00	-0,16	0,00	1,04	0,00
B10	0,923	MSÚ-Sada B (auto)/15	CS3 - Obecný průřez	-38,49	-0,01	-0,18	0,00	-1,22	-0,04
B10	1,077	MSÚ-Sada B (auto)/16	CS3 - Obecný průřez	-37,42	-0,01	0,12	0,00	-0,78	0,05
B16	0,000	MSÚ-Sada B (auto)/8	CS2 - Obecný průřez	-24,01	-0,80	-0,26	-0,01	0,00	0,00
B14	2,000	MSÚ-Sada B (auto)/6	CS2 - Obecný průřez	2,14	0,00	-1,39	0,00	0,00	0,00
B94	0,000	MSÚ-Sada B (auto)/16	CS2 - Obecný průřez	-10,36	0,00	-1,61	0,00	0,00	0,00
B94	1,960	MSÚ-Sada B (auto)/16	CS2 - Obecný průřez	-6,05	0,00	1,58	0,00	0,00	0,00
B16	0,000	MSÚ-Sada B (auto)/17	CS2 - Obecný průřez	-17,48	-1,58	0,38	-0,03	0,00	0,00
B95	0,000	MSÚ-Sada B (auto)/1	CS2 - Obecný průřez	-3,64	1,56	0,39	0,03	0,00	0,00
B94	0,905	MSÚ-Sada B (auto)/16	CS2 - Obecný průřez	-8,37	0,00	-0,12	0,00	-0,78	0,00
B12	1,077	MSÚ-Sada B (auto)/6	CS2 - Obecný průřez	0,32	0,00	-0,11	0,00	0,69	0,00
B16	0,923	MSÚ-Sada B	CS2 - Obecný	-14,94	-0,12	0,03	0,00	0,19	-0,78

Projekt RNR

Jméno	dx [m]	Stav	Průřez	N [kN]	V _y [kN]	V _z [kN]	M _x [kNm]	M _y [kNm]	M _z [kNm]
		(auto)/17	průřez						
B95	0,905	MSÚ-Sada B (auto)/1	CS2 - Obecný průřez	-1,44	0,12	0,03	0,00	0,19	0,76
B17	3,593-	MSÚ-Sada B (auto)/1	CS33 - Komora fl (200,00; 15,00; 470,00; 10,00; 150,00)	0,17	0,04	-0,48	0,62	0,01	0,09
B17	0,000	MSÚ-Sada B (auto)/18	CS33 - Komora fl (200,00; 15,00; 470,00; 10,00; 150,00)	-4,96	-0,09	12,15	8,05	-14,86	0,07
B17	3,593-	MSÚ-Sada B (auto)/8	CS33 - Komora fl (200,00; 15,00; 470,00; 10,00; 150,00)	-0,76	0,30	-4,72	10,43	1,42	0,28
B17	3,593+	MSÚ-Sada B (auto)/19	CS33 - Komora fl (200,00; 15,00; 470,00; 10,00; 150,00)	-0,03	0,00	0,27	0,00	-0,04	0,00
B17	0,000	MSÚ-Sada B (auto)/5	CS33 - Komora fl (200,00; 15,00; 470,00; 10,00; 150,00)	-11,21	0,49	24,30	15,05	-30,22	-0,17
B17	1,797+	MSÚ-Sada B (auto)/8	CS33 - Komora fl (200,00; 15,00; 470,00; 10,00; 150,00)	-1,75	0,20	-1,44	15,65	5,62	0,07
B17	0,000	MSÚ-Sada B (auto)/20	CS33 - Komora fl (200,00; 15,00; 470,00; 10,00; 150,00)	-4,37	0,82	9,72	5,89	-10,72	-0,46
B17	1,797-	MSÚ-Sada B (auto)/8	CS33 - Komora fl (200,00; 15,00; 470,00; 10,00; 150,00)	-8,31	0,99	5,54	17,01	2,90	0,50
B24	0,000	MSÚ-Sada B (auto)/11	CS4 - Iw (500,00; 10,00; 120,00; 15,00; 470,00; 0,00)	-5,16	0,27	15,02	-1,59	-6,18	-0,40
B18	3,593-	MSÚ-Sada B (auto)/21	CS4 - Iw (500,00; 10,00; 120,00; 15,00; 470,00; 0,00)	6,51	-0,37	-26,71	0,03	-4,85	-0,22
B18	0,000	MSÚ-Sada B (auto)/5	CS4 - Iw (500,00; 10,00; 120,00; 15,00; 470,00; 0,00)	1,76	-0,55	20,78	0,03	3,58	0,27
B24	0,000	MSÚ-Sada B (auto)/5	CS4 - Iw (500,00; 10,00; 120,00; 15,00; 470,00; 0,00)	-5,12	0,27	15,51	-1,64	-6,03	-0,41
B18	3,593-	MSÚ-Sada B (auto)/8	CS4 - Iw (500,00; 10,00; 120,00; 15,00; 470,00; 0,00)	5,74	-0,43	-31,63	0,03	-5,69	-0,26
B24	0,000	MSÚ-Sada B (auto)/10	CS4 - Iw (500,00; 10,00; 120,00; 15,00; 470,00; 0,00)	-2,79	0,18	13,64	-1,71	-1,36	-0,30
B24	0,050+	MSÚ-Sada B (auto)/22	CS4 - Iw (500,00; 10,00; 120,00; 15,00; 470,00; 0,00)	-3,35	0,20	10,50	0,04	-2,49	-0,17
B24	0,000	MSÚ-Sada B (auto)/23	CS4 - Iw (500,00; 10,00; 120,00; 15,00; 470,00; 0,00)	-4,90	0,26	15,02	-1,59	-6,18	-0,41

Projekt RNR

Jméno	dx [m]	Stav	Průřez	N [kN]	V _y [kN]	V _z [kN]	M _x [kNm]	M _y [kNm]	M _z [kNm]
			0,00)						
B18	1,797+	MSÚ-Sada B (auto)/8	CS4 - Iw (500,00; 10,00; 120,00; 15,00; 470,00; 0,00)	5,17	-0,11	-9,84	0,03	31,58	0,09
B24	0,000	MSÚ-Sada B (auto)/3	CS4 - Iw (500,00; 10,00; 120,00; 15,00; 470,00; 0,00)	-4,97	0,26	15,51	-1,64	-6,03	-0,42
B25	0,050+	MSÚ-Sada B (auto)/24	CS5 - Iw (500,00; 6,00; 120,00; 10,00; 480,00; 0,00)	-0,06	0,01	-0,35	0,00	0,05	0,00
B25	3,593-	MSÚ-Sada B (auto)/5	CS5 - Iw (500,00; 6,00; 120,00; 10,00; 480,00; 0,00)	0,24	-0,02	0,65	0,00	0,22	0,00
B25	1,797+	MSÚ-Sada B (auto)/11	CS5 - Iw (500,00; 6,00; 120,00; 10,00; 480,00; 0,00)	0,17	-0,02	1,22	0,00	-1,46	0,04
B25	0,050+	MSÚ-Sada B (auto)/11	CS5 - Iw (500,00; 6,00; 120,00; 10,00; 480,00; 0,00)	-0,04	0,02	-0,51	0,00	0,07	0,00
B25	1,797-	MSÚ-Sada B (auto)/25	CS5 - Iw (500,00; 6,00; 120,00; 10,00; 480,00; 0,00)	0,06	0,02	-1,28	0,00	-1,44	0,03
B25	1,797+	MSÚ-Sada B (auto)/25	CS5 - Iw (500,00; 6,00; 120,00; 10,00; 480,00; 0,00)	0,15	-0,02	1,25	0,00	-1,43	0,03
B25	1,797+	MSÚ-Sada B (auto)/6	CS5 - Iw (500,00; 6,00; 120,00; 10,00; 480,00; 0,00)	0,06	0,00	0,52	0,00	-0,57	0,01
B25	1,797-	MSÚ-Sada B (auto)/3	CS5 - Iw (500,00; 6,00; 120,00; 10,00; 480,00; 0,00)	0,06	0,02	-1,24	0,00	-1,48	0,03
B25	3,593-	MSÚ-Sada B (auto)/9	CS5 - Iw (500,00; 6,00; 120,00; 10,00; 480,00; 0,00)	0,15	-0,01	0,57	0,00	0,28	0,00
B25	1,797+	MSÚ-Sada B (auto)/1	CS5 - Iw (500,00; 6,00; 120,00; 10,00; 480,00; 0,00)	-0,02	0,00	0,45	0,00	-0,36	-0,01
B45	0,000	MSÚ-Sada B (auto)/7	CS20 - IPE500	-1,46	0,10	0,07	0,00	0,00	0,00
B30	0,000	MSÚ-Sada B (auto)/11	CS20 - IPE500	5,06	0,23	1,16	-0,04	1,92	-0,11
B45	2,000	MSÚ-Sada B (auto)/5	CS20 - IPE500	0,65	-0,50	-4,05	0,01	-1,61	-0,41
B45	2,000	MSÚ-Sada B (auto)/26	CS20 - IPE500	-0,67	-0,47	-4,21	0,01	-1,84	-0,36
B87	0,520	MSÚ-Sada B (auto)/10	CS20 - IPE500	0,01	0,15	1,65	-0,09	-0,33	-0,04
B45	0,615	MSÚ-Sada B (auto)/11	CS20 - IPE500	0,94	-0,10	0,46	0,01	0,87	-0,02
B26	0,000	MSÚ-Sada B (auto)/22	CS20 - IPE500	3,22	0,52	18,49	-0,06	-28,93	-0,47
B26	2,000	MSÚ-Sada B (auto)/22	CS20 - IPE500	3,22	0,04	13,13	-0,06	2,62	0,09
B26	0,000	MSÚ-Sada B	CS20 - IPE500	3,62	0,60	18,26	-0,06	-28,57	-0,56

Projekt RNR

Jméno	dx [m]	Stav	Průřez	N [kN]	V _y [kN]	V _z [kN]	M _x [kNm]	M _y [kNm]	M _z [kNm]
		(auto)/5							
B26	2,000	MSÚ-Sada B (auto)/11	CS20 - IPE500	3,54	0,16	11,29	-0,06	2,19	0,18
B31	0,000	MSÚ-Sada B (auto)/5	CS7 - Komora fl (150,00; 20,00; 80,00; 10,00; 120,00)	-6,22	0,37	11,65	1,29	-17,86	-0,24
B119	2,000	MSÚ-Sada B (auto)/27	CS7 - Komora fl (150,00; 20,00; 80,00; 10,00; 120,00)	4,58	-0,27	-10,53	3,93	-16,38	-0,34
B48	0,898+	MSÚ-Sada B (auto)/22	CS7 - Komora fl (150,00; 20,00; 80,00; 10,00; 120,00)	0,25	-1,20	6,69	-0,06	-6,17	0,50
B117	3,515+	MSÚ-Sada B (auto)/5	CS7 - Komora fl (150,00; 20,00; 80,00; 10,00; 120,00)	3,15	1,04	1,14	0,01	-8,02	-0,48
B28	2,000	MSÚ-Sada B (auto)/8	CS7 - Komora fl (150,00; 20,00; 80,00; 10,00; 120,00)	-0,30	-0,06	-16,50	-4,32	-18,29	-0,02
B120	0,000	MSÚ-Sada B (auto)/28	CS7 - Komora fl (150,00; 20,00; 80,00; 10,00; 120,00)	-0,12	0,07	13,22	0,21	-19,00	-0,33
B28	0,000	MSÚ-Sada B (auto)/8	CS7 - Komora fl (150,00; 20,00; 80,00; 10,00; 120,00)	-0,30	0,53	-9,64	-4,32	7,98	-0,50
B119	2,000	MSÚ-Sada B (auto)/5	CS7 - Komora fl (150,00; 20,00; 80,00; 10,00; 120,00)	3,10	-0,38	-12,47	4,66	-19,11	-0,46
B28	0,000	MSÚ-Sada B (auto)/5	CS7 - Komora fl (150,00; 20,00; 80,00; 10,00; 120,00)	-0,79	0,62	-9,29	-4,22	7,68	-0,59
B117	5,017-	MSÚ-Sada B (auto)/3	CS7 - Komora fl (150,00; 20,00; 80,00; 10,00; 120,00)	3,09	1,03	0,14	0,01	-7,04	1,07
B29	0,000	MSÚ-Sada B (auto)/29	CS18 - IPE300	-1,08	0,27	-0,47	-0,01	-2,43	-0,14
B47	0,000	MSÚ-Sada B (auto)/23	CS18 - IPE300	1,97	0,19	1,48	0,00	0,00	0,00
B29	0,000	MSÚ-Sada B (auto)/5	CS18 - IPE300	-0,64	0,48	-0,37	-0,02	-5,83	-0,29
B47	2,000	MSÚ-Sada B (auto)/3	CS18 - IPE300	1,78	-0,65	-8,60	0,00	-5,98	-0,34
B29	0,462	MSÚ-Sada B (auto)/8	CS18 - IPE300	-0,58	0,29	-2,33	-0,02	-6,44	-0,07
B47	0,769	MSÚ-Sada B (auto)/11	CS18 - IPE300	1,94	-0,07	-1,84	0,00	-0,14	0,05
B32	0,000	MSÚ-Sada B (auto)/8	CS18 - IPE300	0,33	0,36	10,12	0,00	-14,57	-0,20
B47	0,462	MSÚ-Sada B (auto)/30	CS18 - IPE300	1,12	0,10	0,12	0,00	0,59	0,09
B47	2,000	MSÚ-Sada B (auto)/5	CS18 - IPE300	1,76	-0,65	-8,60	0,00	-5,98	-0,34
B47	0,769	MSÚ-Sada B (auto)/31	CS18 - IPE300	0,67	-0,02	-1,05	0,00	0,24	0,12
B34	0,000	MSÚ-Sada B (auto)/5	CS6 - IPE120	-8,43	0,26	2,90	0,00	0,00	0,00
B33	0,000	MSÚ-Sada B	CS6 - IPE120	6,11	0,18	2,11	0,00	0,00	0,00

Projekt RNR

Jméno	dx [m]	Stav	Průřez	N [kN]	V _y [kN]	V _z [kN]	M _x [kNm]	M _y [kNm]	M _z [kNm]
		(auto)/3							
B38	2,000	MSÚ-Sada B (auto)/13	CS6 - IPE120	-0,37	-0,44	-4,83	0,00	0,00	0,00
B38	0,000	MSÚ-Sada B (auto)/13	CS6 - IPE120	-0,33	0,44	4,83	0,00	0,00	0,00
B150	2,370	MSÚ-Sada B (auto)/8	CS6 - IPE120	-0,88	0,14	-6,07	0,00	0,00	0,00
B150	0,000	MSÚ-Sada B (auto)/8	CS6 - IPE120	-0,88	-0,14	5,52	0,00	0,00	0,00
B144	1,077	MSÚ-Sada B (auto)/13	CS6 - IPE120	3,29	0,01	-0,24	0,00	1,58	-0,04
B129	1,077	MSÚ-Sada B (auto)/13	CS6 - IPE120	1,68	0,01	-0,24	0,00	1,58	-0,04
B150	1,333	MSÚ-Sada B (auto)/32	CS6 - IPE120	0,50	0,01	0,02	0,00	-0,69	-0,04
B150	1,185	MSÚ-Sada B (auto)/8	CS6 - IPE120	-0,88	0,00	0,18	0,00	3,49	-0,08
B150	1,185	MSÚ-Sada B (auto)/33	CS6 - IPE120	-0,76	0,00	-0,10	0,00	1,95	-0,10
B38	1,077	MSÚ-Sada B (auto)/13	CS6 - IPE120	-0,35	-0,03	-0,37	0,00	2,40	0,22
B49	0,000	MSÚ-Sada B (auto)/34	CS12 - Komora fl (200,00; 15,00; 470,00; 10,00; 150,00)	-0,45	-0,51	8,06	-4,22	-12,71	0,53
B49	2,162	MSÚ-Sada B (auto)/8	CS12 - Komora fl (200,00; 15,00; 470,00; 10,00; 150,00)	0,14	0,03	5,58	-6,10	0,00	0,00
B49	0,000	MSÚ-Sada B (auto)/31	CS12 - Komora fl (200,00; 15,00; 470,00; 10,00; 150,00)	-0,44	-0,52	8,09	-4,26	-12,82	0,55
B49	2,162	MSÚ-Sada B (auto)/12	CS12 - Komora fl (200,00; 15,00; 470,00; 10,00; 150,00)	0,12	0,08	4,66	-5,18	0,00	0,00
B49	2,162	MSÚ-Sada B (auto)/6	CS12 - Komora fl (200,00; 15,00; 470,00; 10,00; 150,00)	-0,02	-0,03	0,45	-0,32	0,00	0,00
B49	0,000	MSÚ-Sada B (auto)/13	CS12 - Komora fl (200,00; 15,00; 470,00; 10,00; 150,00)	-0,40	-0,49	11,29	-5,96	-17,81	0,48
B49	0,000	MSÚ-Sada B (auto)/7	CS12 - Komora fl (200,00; 15,00; 470,00; 10,00; 150,00)	-0,26	-0,23	1,40	-0,30	-1,77	0,21
B49	0,000	MSÚ-Sada B (auto)/8	CS12 - Komora fl (200,00; 15,00; 470,00; 10,00; 150,00)	-0,39	-0,50	11,22	-6,07	-17,92	0,48
B49	1,427	MSÚ-Sada B (auto)/18	CS12 - Komora fl (200,00; 15,00; 470,00; 10,00; 150,00)	0,00	0,00	4,09	-3,21	-2,57	-0,03
B51	0,000	MSÚ-Sada B (auto)/7	CS14 - Komora fl (150,00; 10,00; 280,00; 6,00; 108,00)	-0,10	-0,13	0,00	-0,13	-0,53	0,11
B51	2,162	MSÚ-Sada B (auto)/8	CS14 - Komora fl (150,00; 10,00; 280,00; 6,00; 108,00)	1,56	0,16	-0,48	-2,75	0,00	0,00
B51	0,000	MSÚ-Sada B	CS14 - Komora fl	0,87	-0,52	7,11	-2,73	-7,18	0,38

Projekt RNR

Jméno	dx [m]	Stav	Průřez	N [kN]	V _y [kN]	V _z [kN]	M _x [kNm]	M _y [kNm]	M _z [kNm]
		(auto)/8	(150,00; 10,00; 280,00; 6,00; 108,00)						
B51	2,162	MSÚ-Sada B (auto)/26	CS14 - Komora fl (150,00; 10,00; 280,00; 6,00; 108,00)	1,51	0,17	-0,41	-2,69	0,00	0,00
B51	2,162	MSÚ-Sada B (auto)/35	CS14 - Komora fl (150,00; 10,00; 280,00; 6,00; 108,00)	1,49	0,16	-0,52	-2,62	0,00	0,00
B51	1,297+	MSÚ-Sada B (auto)/8	CS14 - Komora fl (150,00; 10,00; 280,00; 6,00; 108,00)	1,29	-0,11	2,53	-2,75	-0,94	-0,02
B51	0,000	MSÚ-Sada B (auto)/6	CS14 - Komora fl (150,00; 10,00; 280,00; 6,00; 108,00)	-0,06	-0,14	0,03	-0,11	-0,55	0,12
B51	0,000	MSÚ-Sada B (auto)/5	CS14 - Komora fl (150,00; 10,00; 280,00; 6,00; 108,00)	0,85	-0,52	7,13	-2,69	-7,23	0,37
B51	2,033	MSÚ-Sada B (auto)/35	CS14 - Komora fl (150,00; 10,00; 280,00; 6,00; 108,00)	1,45	0,12	-0,04	-2,62	0,04	-0,02
B51	1,600	MSÚ-Sada B (auto)/26	CS14 - Komora fl (150,00; 10,00; 280,00; 6,00; 108,00)	1,33	-0,01	1,51	-2,69	-0,34	-0,05
B52	2,162	MSÚ-Sada B (auto)/28	CS13 - Komora fl (180,00; 12,00; 376,00; 8,00; 134,00)	0,30	0,12	1,83	-4,73	0,00	0,00
B52	0,000	MSÚ-Sada B (auto)/31	CS13 - Komora fl (180,00; 12,00; 376,00; 8,00; 134,00)	-0,56	-0,63	7,13	-3,35	-9,10	0,56
B52	2,162	MSÚ-Sada B (auto)/26	CS13 - Komora fl (180,00; 12,00; 376,00; 8,00; 134,00)	0,30	0,14	1,83	-4,71	0,00	0,00
B52	1,297-	MSÚ-Sada B (auto)/4	CS13 - Komora fl (180,00; 12,00; 376,00; 8,00; 134,00)	-0,10	-0,10	0,46	-0,31	-0,42	0,05
B52	1,730+	MSÚ-Sada B (auto)/8	CS13 - Komora fl (180,00; 12,00; 376,00; 8,00; 134,00)	0,14	-0,02	3,42	-4,82	-1,14	-0,02
B52	0,000	MSÚ-Sada B (auto)/6	CS13 - Komora fl (180,00; 12,00; 376,00; 8,00; 134,00)	-0,24	-0,22	0,55	-0,20	-1,09	0,23
B52	0,000	MSÚ-Sada B (auto)/3	CS13 - Komora fl (180,00; 12,00; 376,00; 8,00; 134,00)	-0,46	-0,62	9,93	-4,73	-12,53	0,52
B52	1,730-	MSÚ-Sada B (auto)/36	CS13 - Komora fl (180,00; 12,00; 376,00; 8,00; 134,00)	0,15	0,01	3,20	-4,49	-1,07	-0,03
B53	2,162	MSÚ-Sada B (auto)/32	CS15 - Komora fl (110,00; 10,00; 200,00; 6,00;	0,08	0,04	0,48	-0,08	0,00	0,00

Projekt RNR

Jméno	dx [m]	Stav	Průřez	N [kN]	V _y [kN]	V _z [kN]	M _x [kNm]	M _y [kNm]	M _z [kNm]
			78,00)						
B53	0,000	MSÚ-Sada B (auto)/26	CS15 - Komora fl (110,00; 10,00; 200,00; 6,00; 78,00)	-0,86	-0,46	5,50	-1,39	-4,04	0,28
B53	2,162	MSÚ-Sada B (auto)/37	CS15 - Komora fl (110,00; 10,00; 200,00; 6,00; 78,00)	-0,07	0,20	-1,06	-0,97	0,00	0,00
B53	2,162	MSÚ-Sada B (auto)/8	CS15 - Komora fl (110,00; 10,00; 200,00; 6,00; 78,00)	-0,18	0,20	-1,80	-1,42	0,00	0,00
B53	1,297+	MSÚ-Sada B (auto)/8	CS15 - Komora fl (110,00; 10,00; 200,00; 6,00; 78,00)	-0,44	-0,06	1,13	-1,42	0,26	-0,06
B53	0,000	MSÚ-Sada B (auto)/6	CS15 - Komora fl (110,00; 10,00; 200,00; 6,00; 78,00)	-0,12	-0,10	-0,23	-0,05	-0,25	0,07
B53	0,000	MSÚ-Sada B (auto)/5	CS15 - Komora fl (110,00; 10,00; 200,00; 6,00; 78,00)	-0,86	-0,46	5,58	-1,39	-4,05	0,28
B53	1,643	MSÚ-Sada B (auto)/35	CS15 - Komora fl (110,00; 10,00; 200,00; 6,00; 78,00)	-0,32	0,04	-0,03	-1,36	0,46	-0,06
B53	1,470	MSÚ-Sada B (auto)/37	CS15 - Komora fl (110,00; 10,00; 200,00; 6,00; 78,00)	-0,28	0,00	0,47	-0,97	0,22	-0,07
B54	0,000	MSÚ-Sada B (auto)/26	CS19 - IPE220	-0,44	0,37	-3,99	-0,02	1,08	-0,17
B54	0,000	MSÚ-Sada B (auto)/32	CS19 - IPE220	0,04	0,06	-0,79	0,00	0,04	-0,02
B55	2,000	MSÚ-Sada B (auto)/38	CS19 - IPE220	-0,03	-0,25	2,32	0,00	0,00	0,00
B54	2,000	MSÚ-Sada B (auto)/8	CS19 - IPE220	-0,35	-0,23	-11,14	-0,02	-14,08	-0,04
B55	0,000	MSÚ-Sada B (auto)/8	CS19 - IPE220	-0,03	0,34	9,74	0,00	-14,09	-0,18
B54	0,000	MSÚ-Sada B (auto)/9	CS19 - IPE220	-0,27	0,26	-3,63	-0,01	1,28	-0,12
B54	0,000	MSÚ-Sada B (auto)/5	CS19 - IPE220	-0,37	0,39	-3,76	-0,02	1,10	-0,19
B54	1,231	MSÚ-Sada B (auto)/5	CS19 - IPE220	-0,37	0,01	-8,33	-0,02	-6,35	0,06
B56	0,000	MSÚ-Sada B (auto)/7	CS21 - IPE400	-0,14	0,14	0,13	0,00	-1,13	-0,08
B56	0,000	MSÚ-Sada B (auto)/21	CS21 - IPE400	0,35	0,41	4,66	-0,04	-12,24	-0,28
B57	2,000	MSÚ-Sada B (auto)/37	CS21 - IPE400	0,03	-0,28	0,76	-0,01	0,00	0,00
B56	2,000	MSÚ-Sada B (auto)/22	CS21 - IPE400	0,26	-0,12	-2,31	-0,05	-10,93	0,07
B57	0,000	MSÚ-Sada B (auto)/22	CS21 - IPE400	0,05	0,43	8,61	-0,02	-10,93	-0,26
B56	0,000	MSÚ-Sada B (auto)/8	CS21 - IPE400	0,26	0,56	5,75	-0,05	-14,18	-0,37
B57	2,000	MSÚ-Sada B (auto)/7	CS21 - IPE400	-0,03	-0,09	0,18	0,00	0,00	0,00
B56	0,000	MSÚ-Sada B (auto)/5	CS21 - IPE400	0,27	0,65	5,82	-0,05	-14,12	-0,46
B56	2,000	MSÚ-Sada B (auto)/5	CS21 - IPE400	0,26	0,04	-1,97	-0,04	-9,37	0,17

Projekt RNR

Jméno	dx [m]	Stav	Průřez	N [kN]	V _y [kN]	V _z [kN]	M _x [kNm]	M _y [kNm]	M _z [kNm]
		(auto)/11							
B80	0,000	MSÚ-Sada B (auto)/26	CS17 - CHS48.3/3.2	-4,58	0,00	0,06	0,00	0,00	0,00
B165	0,000	MSÚ-Sada B (auto)/3	CS17 - CHS48.3/3.2	4,81	0,00	0,05	0,04	0,00	0,00
B172	2,882	MSÚ-Sada B (auto)/19	CS17 - CHS48.3/3.2	0,55	0,00	-0,07	0,00	0,00	0,00
B172	0,000	MSÚ-Sada B (auto)/19	CS17 - CHS48.3/3.2	0,56	0,00	0,07	0,00	0,00	0,00
B166	0,000	MSÚ-Sada B (auto)/5	CS17 - CHS48.3/3.2	1,30	0,00	0,05	-0,04	0,00	0,00
B165	0,000	MSÚ-Sada B (auto)/5	CS17 - CHS48.3/3.2	4,61	0,00	0,05	0,04	0,00	0,00
B172	1,365	MSÚ-Sada B (auto)/19	CS17 - CHS48.3/3.2	0,56	0,00	0,00	0,00	0,05	0,00
B104	3,504-	MSÚ-Sada B (auto)/5	CS34 - Iw (300,00; 12,00; 120,00; 22,00; 256,00; 0,00)	-8,85	-0,06	-26,17	-0,16	-42,56	0,03
B104	5,006+	MSÚ-Sada B (auto)/32	CS34 - Iw (300,00; 12,00; 120,00; 22,00; 256,00; 0,00)	2,63	-0,18	-0,76	0,00	0,53	0,13
B104	3,504+	MSÚ-Sada B (auto)/5	CS34 - Iw (300,00; 12,00; 120,00; 22,00; 256,00; 0,00)	-3,51	0,44	34,71	-0,04	-42,77	-0,28
B104	0,225+	MSÚ-Sada B (auto)/5	CS34 - Iw (300,00; 12,00; 120,00; 22,00; 256,00; 0,00)	-4,38	-0,06	-2,25	-0,21	1,67	0,07
B104	3,504+	MSÚ-Sada B (auto)/32	CS34 - Iw (300,00; 12,00; 120,00; 22,00; 256,00; 0,00)	1,34	-0,12	0,13	0,00	1,09	0,08
B104	3,504-	MSÚ-Sada B (auto)/8	CS34 - Iw (300,00; 12,00; 120,00; 22,00; 256,00; 0,00)	-8,76	-0,05	-26,49	-0,16	-43,32	0,04
B104	5,006-	MSÚ-Sada B (auto)/3	CS34 - Iw (300,00; 12,00; 120,00; 22,00; 256,00; 0,00)	-3,14	0,43	33,37	-0,04	8,59	0,37
B104	5,006+	MSÚ-Sada B (auto)/26	CS34 - Iw (300,00; 12,00; 120,00; 22,00; 256,00; 0,00)	-1,27	0,88	1,22	-0,02	3,48	-0,64
B104	6,508	MSÚ-Sada B (auto)/26	CS34 - Iw (300,00; 12,00; 120,00; 22,00; 256,00; 0,00)	-1,32	0,88	0,15	-0,02	4,51	0,68
B108	6,508	MSÚ-Sada B (auto)/5	CS22 - Iw (300,00; 8,00; 120,00; 12,00; 276,00; 0,00)	-7,72	0,00	-16,38	0,00	-15,74	0,00
B107	1,864+	MSÚ-Sada B (auto)/23	CS22 - Iw (300,00; 8,00; 120,00; 12,00; 276,00; 0,00)	7,84	-0,03	-2,33	0,00	3,66	0,04
B106	5,006+	MSÚ-Sada B (auto)/21	CS22 - Iw (300,00; 8,00; 120,00; 12,00; 276,00; 0,00)	3,54	-0,15	1,57	0,00	0,51	0,11
B107	3,504+	MSÚ-Sada B (auto)/5	CS22 - Iw (300,00; 8,00; 120,00; 12,00; 276,00; 0,00)	1,33	0,00	11,10	0,00	-12,05	-0,01

Projekt RNR

Jméno	dx [m]	Stav	Průřez	N [kN]	V _y [kN]	V _z [kN]	M _x [kNm]	M _y [kNm]	M _z [kNm]
			276,00; 0,00)						
B106	0,225+	MSÚ-Sada B (auto)/5	CS22 - Iw (300,00; 8,00; 120,00; 12,00; 276,00; 0,00)	1,98	0,17	8,02	-0,02	-4,47	-0,14
B111	0,225+	MSÚ-Sada B (auto)/26	CS22 - Iw (300,00; 8,00; 120,00; 12,00; 276,00; 0,00)	-1,14	-0,03	3,80	0,01	0,00	0,00
B110	6,508	MSÚ-Sada B (auto)/8	CS22 - Iw (300,00; 8,00; 120,00; 12,00; 276,00; 0,00)	-5,72	0,00	-16,97	0,00	-17,57	0,00
B108	3,504+	MSÚ-Sada B (auto)/5	CS22 - Iw (300,00; 8,00; 120,00; 12,00; 276,00; 0,00)	-7,32	0,01	-7,21	0,00	19,64	-0,01
B106	0,225+	MSÚ-Sada B (auto)/3	CS22 - Iw (300,00; 8,00; 120,00; 12,00; 276,00; 0,00)	2,18	0,17	7,99	-0,02	-4,48	-0,14
B106	1,864-	MSÚ-Sada B (auto)/3	CS22 - Iw (300,00; 8,00; 120,00; 12,00; 276,00; 0,00)	2,15	0,17	7,43	-0,02	8,17	0,13
B122	0,000	MSÚ-Sada B (auto)/12	CS23 - 2U komora (UPN220)	-1,56	-0,14	1,97	0,29	3,70	0,10
B122	0,000	MSÚ-Sada B (auto)/1	CS23 - 2U komora (UPN220)	0,42	-0,05	0,15	0,51	0,02	-0,01
B122	0,000	MSÚ-Sada B (auto)/39	CS23 - 2U komora (UPN220)	-0,64	-0,21	1,38	-0,11	4,39	0,10
B122	2,000	MSÚ-Sada B (auto)/5	CS23 - 2U komora (UPN220)	-0,70	0,08	-7,52	-0,17	0,00	0,00
B122	1,385	MSÚ-Sada B (auto)/40	CS23 - 2U komora (UPN220)	-0,05	-0,02	-2,16	-0,60	1,71	0,01
B121	0,000	MSÚ-Sada B (auto)/5	CS23 - 2U komora (UPN220)	-0,41	0,18	22,72	2,46	-26,80	-0,51
B121	0,000	MSÚ-Sada B (auto)/26	CS23 - 2U komora (UPN220)	-0,94	0,17	21,97	2,34	-27,02	-0,52
B122	0,462	MSÚ-Sada B (auto)/5	CS23 - 2U komora (UPN220)	-0,70	-0,14	-0,33	-0,17	6,04	0,04
B121	0,000	MSÚ-Sada B (auto)/13	CS23 - 2U komora (UPN220)	-0,31	0,23	21,70	2,34	-26,28	-0,58
B121	2,000	MSÚ-Sada B (auto)/13	CS23 - 2U komora (UPN220)	-0,43	0,56	9,91	2,34	5,17	0,21
B123	0,000	MSÚ-Sada B (auto)/12	CS24 - 2U komora (UPN160)	-3,76	-0,20	7,15	3,35	-10,22	0,12
B124	0,000	MSÚ-Sada B (auto)/41	CS24 - 2U komora (UPN160)	2,57	-0,07	6,15	0,04	-5,17	-0,04
B123	0,000	MSÚ-Sada B (auto)/5	CS24 - 2U komora (UPN160)	-2,25	-0,33	9,23	3,93	-12,02	0,22
B124	2,000	MSÚ-Sada B (auto)/33	CS24 - 2U komora	1,60	0,15	-1,37	0,00	0,00	0,00

Projekt RNR

Jméno	dx [m]	Stav	Průřez	N [kN]	V _y [kN]	V _z [kN]	M _x [kNm]	M _y [kNm]	M _z [kNm]
			(UPN160)						
B123	2,000	MSÚ-Sada B (auto)/5	CS24 - 2U komora (UPN160)	-2,25	-0,01	-3,35	3,93	-6,53	-0,12
B124	1,538	MSÚ-Sada B (auto)/42	CS24 - 2U komora (UPN160)	2,00	0,03	-0,16	-0,03	0,12	-0,02
B123	0,000	MSÚ-Sada B (auto)/8	CS24 - 2U komora (UPN160)	-2,43	-0,33	9,37	3,91	-12,09	0,22
B124	1,538	MSÚ-Sada B (auto)/43	CS24 - 2U komora (UPN160)	0,60	0,06	0,05	-0,01	0,34	-0,04
B123	2,000	MSÚ-Sada B (auto)/11	CS24 - 2U komora (UPN160)	-1,54	-0,06	-2,86	3,42	-5,79	-0,13
B126	0,000	MSÚ-Sada B (auto)/44	CS25 - 2U komora (UPN260)	-1,07	-0,17	2,03	0,00	-0,22	0,10
B125	0,000	MSÚ-Sada B (auto)/23	CS25 - 2U komora (UPN260)	1,00	0,76	14,29	-0,53	-15,13	-1,38
B126	0,000	MSÚ-Sada B (auto)/5	CS25 - 2U komora (UPN260)	0,25	-0,27	3,63	0,53	2,12	0,25
B126	2,000	MSÚ-Sada B (auto)/5	CS25 - 2U komora (UPN260)	0,25	0,01	-5,75	0,53	0,00	0,00
B126	1,231	MSÚ-Sada B (auto)/11	CS25 - 2U komora (UPN260)	0,51	-0,10	-2,06	0,54	2,73	0,04
B125	0,000	MSÚ-Sada B (auto)/5	CS25 - 2U komora (UPN260)	0,87	0,79	16,34	-0,61	-17,76	-1,53
B126	0,769	MSÚ-Sada B (auto)/5	CS25 - 2U komora (UPN260)	0,25	-0,16	0,02	0,53	3,53	0,09
B125	0,000	MSÚ-Sada B (auto)/13	CS25 - 2U komora (UPN260)	0,83	0,82	15,22	-0,54	-17,44	-1,59
B125	2,000	MSÚ-Sada B (auto)/13	CS25 - 2U komora (UPN260)	0,72	1,16	3,50	-0,54	1,14	0,38
B128	0,000	MSÚ-Sada B (auto)/45	CS26 - 2U komora (UPN300)	-1,43	-0,09	0,56	-0,32	0,11	0,06
B127	2,000	MSÚ-Sada B (auto)/12	CS26 - 2U komora (UPN300)	2,29	1,45	-1,48	-0,05	-1,26	0,37
B128	0,000	MSÚ-Sada B (auto)/26	CS26 - 2U komora (UPN300)	-0,22	-0,27	3,70	-0,42	-0,73	0,37
B127	2,000	MSÚ-Sada B (auto)/2	CS26 - 2U komora (UPN300)	1,96	1,64	-1,51	-0,05	-1,16	0,41
B128	2,000	MSÚ-Sada B (auto)/26	CS26 - 2U komora (UPN300)	-0,16	-0,10	-2,98	-0,42	0,00	0,00
B128	0,000	MSÚ-Sada B (auto)/27	CS26 - 2U komora (UPN300)	-0,77	-0,23	3,45	-0,60	-0,54	0,34
B128	0,000	MSÚ-Sada B (auto)/6	CS26 - 2U komora (UPN300)	0,63	-0,06	0,43	0,28	-0,17	0,01
B127	0,000	MSÚ-Sada B (auto)/13	CS26 - 2U komora	1,10	1,40	6,50	-0,05	-6,06	-2,58

Projekt RNR

Jméno	dx [m]	Stav	Průřez	N [kN]	V _y [kN]	V _z [kN]	M _x [kNm]	M _y [kNm]	M _z [kNm]
			(UPN300)						
B128	1,077	MSÚ-Sada B (auto)/12	CS26 - 2U komora (UPN300)	-0,67	-0,17	0,02	-0,50	1,34	0,13
B127	0,000	MSÚ-Sada B (auto)/2	CS26 - 2U komora (UPN300)	1,91	1,44	6,10	-0,05	-5,73	-2,66
B127	2,000	MSÚ-Sada B (auto)/28	CS26 - 2U komora (UPN300)	1,22	1,60	-1,24	-0,09	-0,79	0,42
B154	0,000	MSÚ-Sada B (auto)/26	CS27 - Komora fl (130,00; 12,00; 136,00; 8,00; 84,00)	-3,19	0,26	11,89	1,71	-12,05	-0,17
B154	2,162	MSÚ-Sada B (auto)/46	CS27 - Komora fl (130,00; 12,00; 136,00; 8,00; 84,00)	-0,13	-0,04	0,84	0,07	0,00	0,00
B154	2,162	MSÚ-Sada B (auto)/47	CS27 - Komora fl (130,00; 12,00; 136,00; 8,00; 84,00)	-1,59	-0,13	-0,34	1,18	0,00	0,00
B154	0,000	MSÚ-Sada B (auto)/37	CS27 - Komora fl (130,00; 12,00; 136,00; 8,00; 84,00)	-2,45	0,30	8,42	1,19	-8,66	-0,20
B154	2,162	MSÚ-Sada B (auto)/48	CS27 - Komora fl (130,00; 12,00; 136,00; 8,00; 84,00)	-1,59	-0,08	-0,94	1,63	0,00	0,00
B154	0,000	MSÚ-Sada B (auto)/49	CS27 - Komora fl (130,00; 12,00; 136,00; 8,00; 84,00)	-0,87	0,08	-0,46	0,04	-0,51	-0,02
B154	0,000	MSÚ-Sada B (auto)/28	CS27 - Komora fl (130,00; 12,00; 136,00; 8,00; 84,00)	-2,95	0,27	11,86	1,71	-12,00	-0,19
B154	0,000	MSÚ-Sada B (auto)/8	CS27 - Komora fl (130,00; 12,00; 136,00; 8,00; 84,00)	-2,95	0,27	12,03	1,69	-12,07	-0,19
B154	2,033	MSÚ-Sada B (auto)/48	CS27 - Komora fl (130,00; 12,00; 136,00; 8,00; 84,00)	-1,66	-0,06	-0,10	1,63	0,07	0,01
B154	0,000	MSÚ-Sada B (auto)/3	CS27 - Komora fl (130,00; 12,00; 136,00; 8,00; 84,00)	-2,85	0,27	12,00	1,70	-12,01	-0,20
B154	1,514-	MSÚ-Sada B (auto)/47	CS27 - Komora fl (130,00; 12,00; 136,00; 8,00; 84,00)	-1,94	0,00	2,25	1,18	-0,60	0,04
B155	2,162	MSÚ-Sada B (auto)/49	CS28 - Komora fl (160,00; 12,00; 196,00; 10,00; 110,00)	-0,04	-0,12	0,89	0,25	0,00	0,00
B155	2,162	MSÚ-Sada B (auto)/2	CS28 - Komora fl (160,00; 12,00; 196,00; 10,00; 110,00)	-1,99	-0,76	7,33	3,88	0,00	0,00
B155	0,000	MSÚ-Sada B (auto)/49	CS28 - Komora fl (160,00; 12,00; 196,00; 10,00; 110,00)	-0,31	0,02	-0,13	0,25	-0,77	0,11

Projekt RNR

Jméno	dx [m]	Stav	Průřez	N [kN]	V _y [kN]	V _z [kN]	M _x [kNm]	M _y [kNm]	M _z [kNm]
B155	0,000	MSÚ-Sada B (auto)/6	CS28 - Komora fl (160,00; 12,00; 196,00; 10,00; 110,00)	-0,50	0,12	0,32	0,11	-1,69	-0,11
B155	0,000	MSÚ-Sada B (auto)/5	CS28 - Komora fl (160,00; 12,00; 196,00; 10,00; 110,00)	-3,29	-0,33	20,29	3,78	-30,06	1,11
B155	0,000	MSÚ-Sada B (auto)/46	CS28 - Komora fl (160,00; 12,00; 196,00; 10,00; 110,00)	-0,49	0,12	0,32	0,12	-1,68	-0,11
B155	0,000	MSÚ-Sada B (auto)/2	CS28 - Komora fl (160,00; 12,00; 196,00; 10,00; 110,00)	-3,15	-0,40	19,80	3,88	-29,27	1,25
B156	0,000	MSÚ-Sada B (auto)/50	CS29 - Komora fl (180,00; 15,00; 230,00; 10,00; 130,00)	-0,49	-0,33	5,38	1,33	-7,09	1,04
B156	2,162	MSÚ-Sada B (auto)/3	CS29 - Komora fl (180,00; 15,00; 230,00; 10,00; 130,00)	1,20	-1,48	1,94	3,48	0,00	0,00
B156	2,162	MSÚ-Sada B (auto)/26	CS29 - Komora fl (180,00; 15,00; 230,00; 10,00; 130,00)	1,12	-1,55	2,00	3,47	0,00	0,00
B156	0,000	MSÚ-Sada B (auto)/5	CS29 - Komora fl (180,00; 15,00; 230,00; 10,00; 130,00)	0,05	-1,14	14,51	3,49	-17,72	2,85
B156	0,000	MSÚ-Sada B (auto)/32	CS29 - Komora fl (180,00; 15,00; 230,00; 10,00; 130,00)	-0,34	0,13	0,13	0,11	-0,87	-0,13
B156	0,000	MSÚ-Sada B (auto)/26	CS29 - Komora fl (180,00; 15,00; 230,00; 10,00; 130,00)	-0,03	-1,20	14,32	3,47	-17,55	2,98
B157	0,000	MSÚ-Sada B (auto)/3	CS30 - Komora fl (200,00; 15,00; 270,00; 10,00; 150,00)	-0,94	-1,37	6,46	1,41	-5,81	3,18
B157	2,162	MSÚ-Sada B (auto)/7	CS30 - Komora fl (200,00; 15,00; 270,00; 10,00; 150,00)	-0,02	-0,17	0,58	0,34	0,00	0,00
B157	2,162	MSÚ-Sada B (auto)/2	CS30 - Komora fl (200,00; 15,00; 270,00; 10,00; 150,00)	-0,23	-1,72	-0,93	1,58	0,00	0,00
B157	2,162	MSÚ-Sada B (auto)/48	CS30 - Komora fl (200,00; 15,00; 270,00; 10,00; 150,00)	-0,24	-1,51	-1,04	1,33	0,00	0,00
B157	0,000	MSÚ-Sada B (auto)/6	CS30 - Komora fl (200,00; 15,00; 270,00; 10,00; 150,00)	-0,31	0,15	0,38	0,03	-0,70	-0,19
B157	0,000	MSÚ-Sada B (auto)/2	CS30 - Komora fl (200,00; 15,00; 270,00; 10,00; 150,00)	-0,91	-1,51	6,93	1,58	-6,42	3,50
B157	1,860	MSÚ-Sada B (auto)/48	CS30 - Komora fl (200,00; 15,00; 270,00; 10,00; 150,00)	-0,33	-1,48	-0,02	1,33	0,16	0,45

Projekt RNR

Jméno	dx [m]	Stav	Průřez	N [kN]	V _y [kN]	V _z [kN]	M _x [kNm]	M _y [kNm]	M _z [kNm]
			270,00; 10,00; 150,00)						
B157	0,000	MSÚ-Sada B (auto)/46	CS30 - Komora fl (200,00; 15,00; 270,00; 10,00; 150,00)	-0,31	0,15	0,41	0,04	-0,75	-0,20
B193	0,000	MSÚ-Sada B (auto)/12	CS16 - RD20	-4,89	0,00	0,00	0,00	0,00	0,00
B196	2,574	MSÚ-Sada B (auto)/12	CS16 - RD20	4,23	0,00	0,00	0,00	0,00	0,00

Jméno	Klíč kombinace
MSÚ-Sada B (auto)/1	ZS1 + ZS2 + ZS3 + 1.50*3DVitr7
MSÚ-Sada B (auto)/2	1.15*ZS1 + 1.15*ZS2 + 1.15*ZS3 + 1.50*ZS5 + 1.50*ZS6 + 0.90*3DVitr9
MSÚ-Sada B (auto)/3	1.15*ZS1 + 1.15*ZS2 + 1.15*ZS3 + 1.50*ZS5 + 1.50*ZS6 + 0.90*3DVitr13
MSÚ-Sada B (auto)/4	ZS1 + ZS2 + ZS3 + 1.50*3DVitr8
MSÚ-Sada B (auto)/5	1.15*ZS1 + 1.15*ZS2 + 1.15*ZS3 + 1.50*ZS5 + 1.50*ZS6 + 0.90*3DVitr14
MSÚ-Sada B (auto)/6	ZS1 + ZS2 + ZS3 + 1.50*3DVitr16
MSÚ-Sada B (auto)/7	ZS1 + ZS2 + ZS3 + 1.50*3DVitr12
MSÚ-Sada B (auto)/8	1.15*ZS1 + 1.15*ZS2 + 1.15*ZS3 + 1.50*ZS5 + 1.50*ZS6 + 0.90*3DVitr5
MSÚ-Sada B (auto)/9	1.15*ZS1 + 1.15*ZS2 + 1.15*ZS3 + 0.75*ZS5 + 1.50*ZS6 + 1.50*3DVitr5
MSÚ-Sada B (auto)/10	1.15*ZS1 + 1.15*ZS2 + 1.15*ZS3 + 0.75*ZS5 + 1.50*ZS6 + 1.50*3DVitr6
MSÚ-Sada B (auto)/11	1.15*ZS1 + 1.15*ZS2 + 1.15*ZS3 + 0.75*ZS5 + 1.50*ZS6 + 1.50*3DVitr14
MSÚ-Sada B (auto)/12	1.15*ZS1 + 1.15*ZS2 + 1.15*ZS3 + 0.75*ZS5 + 1.50*ZS6 + 1.50*3DVitr10
MSÚ-Sada B (auto)/13	1.15*ZS1 + 1.15*ZS2 + 1.15*ZS3 + 1.50*ZS5 + 1.50*ZS6 + 0.90*3DVitr1
MSÚ-Sada B (auto)/14	1.15*ZS1 + 1.15*ZS2 + 1.15*ZS3 + 0.75*ZS5 + 1.50*3DVitr14
MSÚ-Sada B (auto)/15	1.15*ZS1 + 1.15*ZS2 + 1.15*ZS3 + 1.50*3DVitr1
MSÚ-Sada B (auto)/16	1.15*ZS1 + 1.15*ZS2 + 1.15*ZS3 + 1.50*3DVitr9
MSÚ-Sada B (auto)/17	1.15*ZS1 + 1.15*ZS2 + 1.15*ZS3 + 1.50*3DVitr13
MSÚ-Sada B (auto)/18	ZS1 + ZS2 + ZS3 + 1.50*3DVitr10
MSÚ-Sada B (auto)/19	1.35*ZS1 + 1.35*ZS2 + 1.35*ZS3
MSÚ-Sada B (auto)/20	1.15*ZS1 + 1.15*ZS2 + 1.15*ZS3 + 0.75*ZS5 + 1.50*ZS6 + 1.50*3DVitr7
MSÚ-Sada B (auto)/21	1.15*ZS1 + 1.15*ZS2 + 1.15*ZS3 + 0.75*ZS5 + 1.50*ZS6 + 1.50*3DVitr1
MSÚ-Sada B (auto)/22	1.15*ZS1 + 1.15*ZS2 + 1.15*ZS3 + 1.50*ZS5 + 1.50*ZS6 + 0.90*3DVitr6
MSÚ-Sada B (auto)/23	1.15*ZS1 + 1.15*ZS2 + 1.15*ZS3 + 0.75*ZS5 + 1.50*ZS6 + 1.50*3DVitr13
MSÚ-Sada B (auto)/24	ZS1 + ZS2 + ZS3 + 1.50*3DVitr13
MSÚ-Sada B (auto)/25	1.35*ZS1 + 1.35*ZS2 + 1.35*ZS3 + 0.75*ZS5 + 1.50*ZS6 + 0.90*3DVitr13
MSÚ-Sada B (auto)/26	1.15*ZS1 + 1.15*ZS2 + 1.15*ZS3 + 1.50*ZS5 + 1.50*ZS6 + 0.90*3DVitr10
MSÚ-Sada B (auto)/27	1.15*ZS1 + 1.15*ZS2 + 1.15*ZS3 + 0.75*ZS5 + 1.50*ZS6 + 1.50*3DVitr9
MSÚ-Sada B (auto)/28	1.15*ZS1 + 1.15*ZS2 + 1.15*ZS3 + 1.50*ZS5 + 1.50*ZS6 + 0.90*3DVitr2
MSÚ-Sada B (auto)/29	1.15*ZS1 + 1.15*ZS2 + 1.15*ZS3 + 0.75*ZS5 + 1.50*ZS6 + 1.50*3DVitr12
MSÚ-Sada B (auto)/30	ZS1 + ZS2 + ZS3 + 1.50*ZS5 + 1.50*ZS6 + 0.90*3DVitr9
MSÚ-Sada B (auto)/31	1.15*ZS1 + 1.15*ZS2 + 1.15*ZS3 + 1.50*ZS5 + 1.50*ZS6 + 0.90*3DVitr7
MSÚ-Sada B (auto)/32	ZS1 + ZS2 + ZS3 + 1.50*3DVitr3
MSÚ-Sada B (auto)/33	1.15*ZS1 + 1.15*ZS2 + 1.15*ZS3 + 1.50*ZS5 + 1.50*ZS6 + 0.90*3DVitr3

Projekt RNR

Jméno	Klíč kombinace
MSÚ-Sada B (auto)/34	1.15*ZS1 + 1.15*ZS2 + 1.15*ZS3 + 1.50*ZS5 + 1.50*ZS6 + 0.90*3DVítr4
MSÚ-Sada B (auto)/35	ZS1 + ZS2 + ZS3 + 1.50*ZS5 + 1.50*ZS6 + 0.90*3DVítr5
MSÚ-Sada B (auto)/36	ZS1 + ZS2 + ZS3 + 1.50*ZS5 + 1.50*ZS6 + 0.90*3DVítr10
MSÚ-Sada B (auto)/37	1.15*ZS1 + 1.15*ZS2 + 1.15*ZS3 + 1.50*ZS5 + 1.50*ZS6 + 0.90*3DVítr15
MSÚ-Sada B (auto)/38	1.15*ZS1 + 1.15*ZS2 + 1.15*ZS3 + 1.50*ZS5 + 1.50*ZS6 + 0.90*3DVítr8
MSÚ-Sada B (auto)/39	1.15*ZS1 + 1.15*ZS2 + 1.15*ZS3 + 1.50*ZS5 + 1.50*ZS6 + 0.90*3DVítr16
MSÚ-Sada B (auto)/40	ZS1 + ZS2 + ZS3 + 1.50*3DVítr14
MSÚ-Sada B (auto)/41	ZS1 + ZS2 + ZS3 + 0.75*ZS5 + 1.50*ZS6 + 1.50*3DVítr1
MSÚ-Sada B (auto)/42	ZS1 + ZS2 + ZS3 + 1.50*ZS6 + 1.50*3DVítr3
MSÚ-Sada B (auto)/43	ZS1 + ZS2 + ZS3 + 1.50*ZS4 + 1.50*ZS6
MSÚ-Sada B (auto)/44	ZS1 + ZS2 + ZS3 + 0.75*ZS5 + 1.50*ZS6 + 1.50*3DVítr12
MSÚ-Sada B (auto)/45	ZS1 + ZS2 + ZS3 + 1.50*ZS6 + 1.50*3DVítr12
MSÚ-Sada B (auto)/46	ZS1 + ZS2 + ZS3 + 1.50*3DVítr15
MSÚ-Sada B (auto)/47	1.15*ZS1 + 1.15*ZS2 + 1.15*ZS3 + 1.50*ZS5 + 1.50*ZS6 + 0.90*3DVítr12
MSÚ-Sada B (auto)/48	ZS1 + ZS2 + ZS3 + 1.50*ZS5 + 1.50*ZS6 + 0.90*3DVítr14
MSÚ-Sada B (auto)/49	ZS1 + ZS2 + ZS3 + 1.50*3DVítr11
MSÚ-Sada B (auto)/50	1.15*ZS1 + 1.15*ZS2 + 1.15*ZS3 + 0.75*ZS5 + 1.50*ZS6 + 1.50*3DVítr11

35. 1D vnitřní síly; N

Hodnoty: N

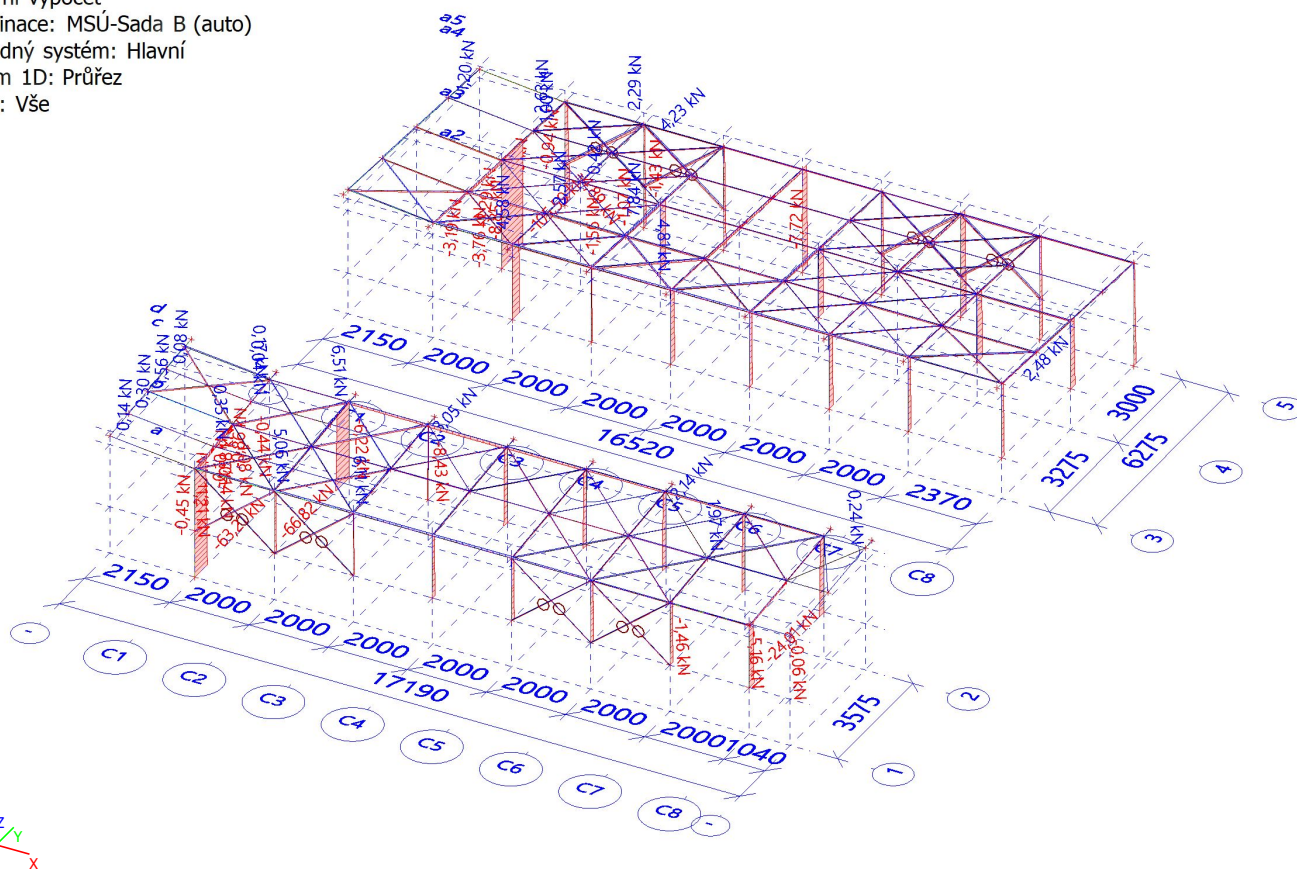
Lineární výpočet

Kombinace: MSÚ-Sada B (auto)

Souřadný systém: Hlavní

Extrém 1D: Průřez

Výběr: Vše



36. 1D vnitřní síly; V_y

Hodnoty: V_y

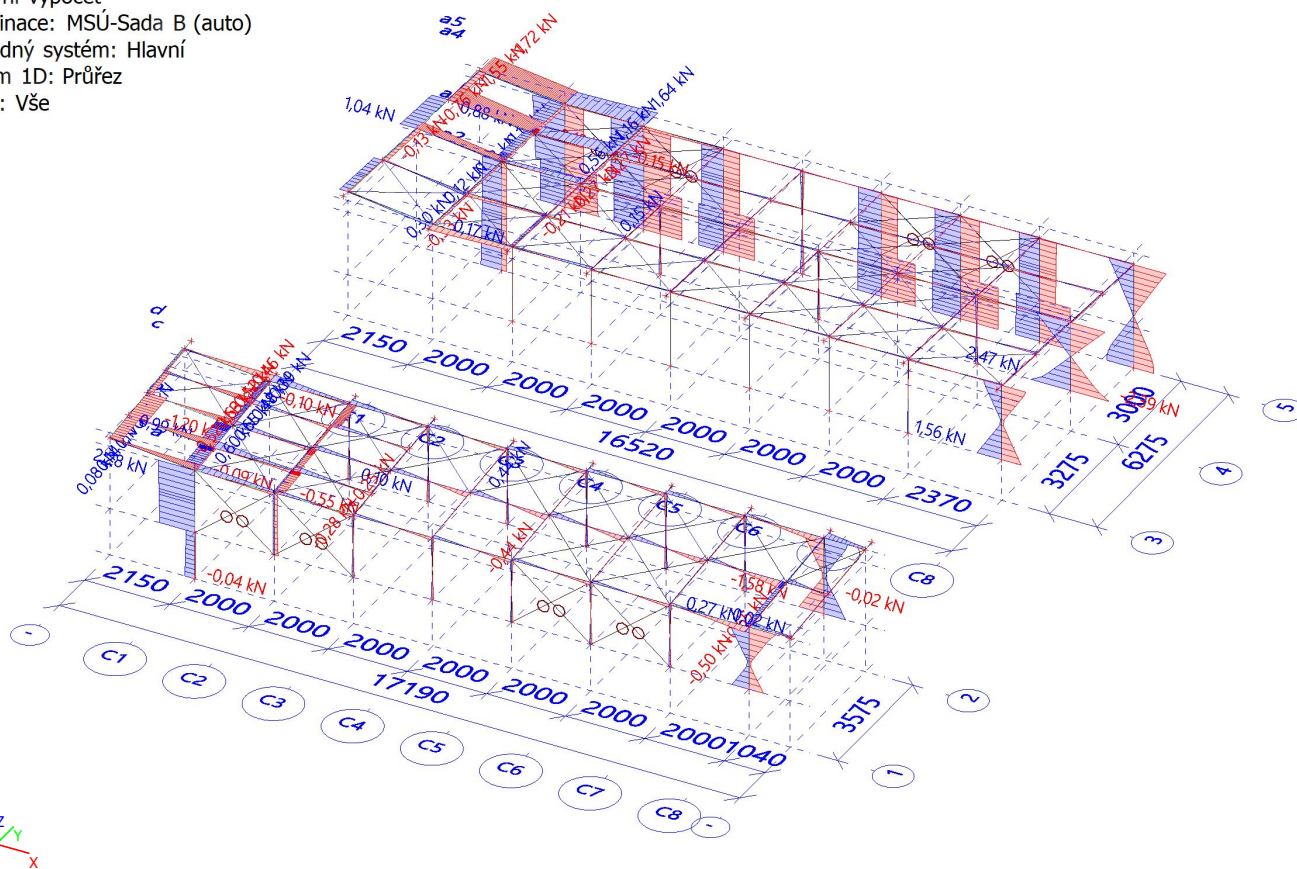
Lineární výpočet

Kombinace: MSÚ-Sada B (auto)

Souřadný systém: Hlavní

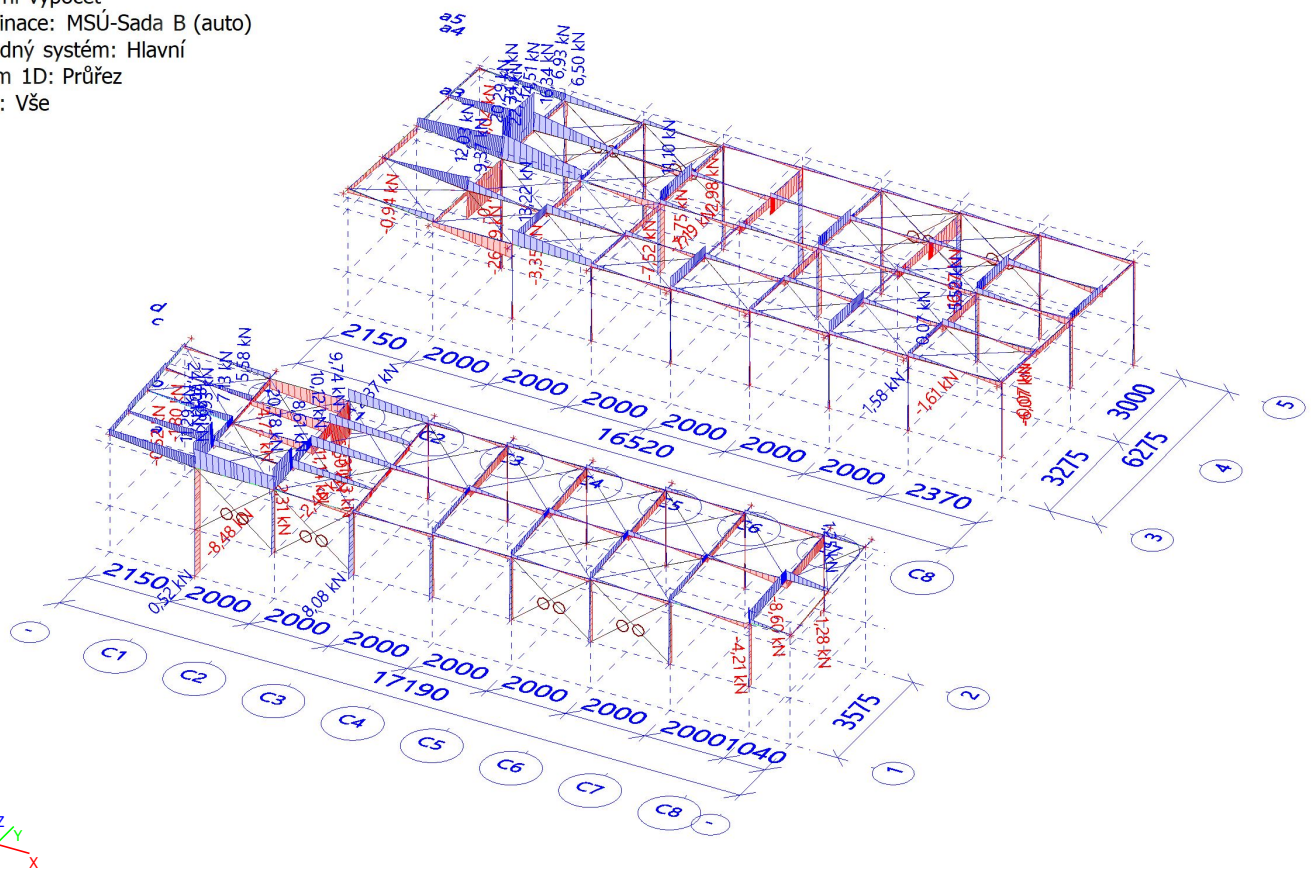
Extrém 1D: Průřez

Výběr: Vše



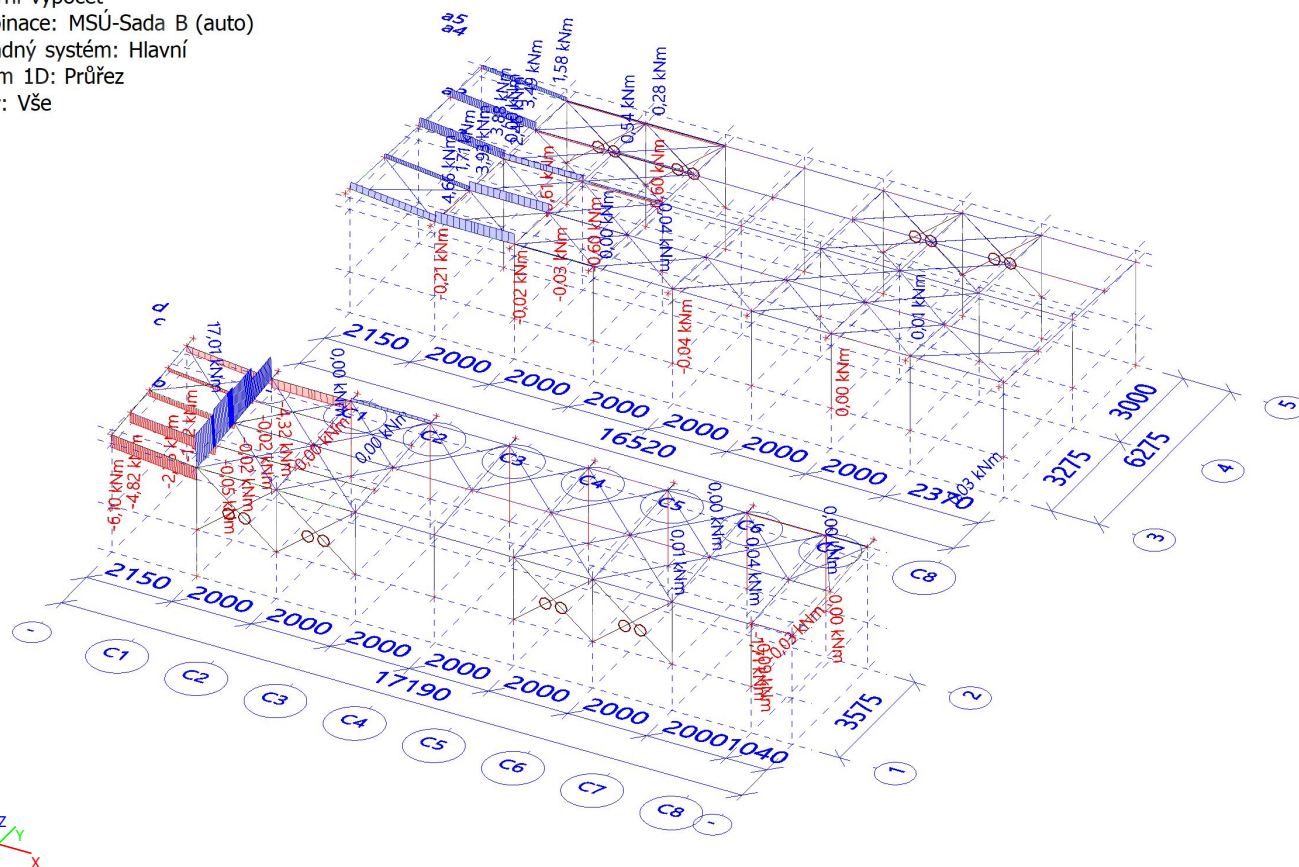
37. 1D vnitřní síly; V_z

Hodnoty: V_z
 Lineární výpočet
 Kombinace: MSÚ-Sada B (auto)
 Souřadný systém: Hlavní
 Extrém 1D: Průřez
 Výběr: Vše



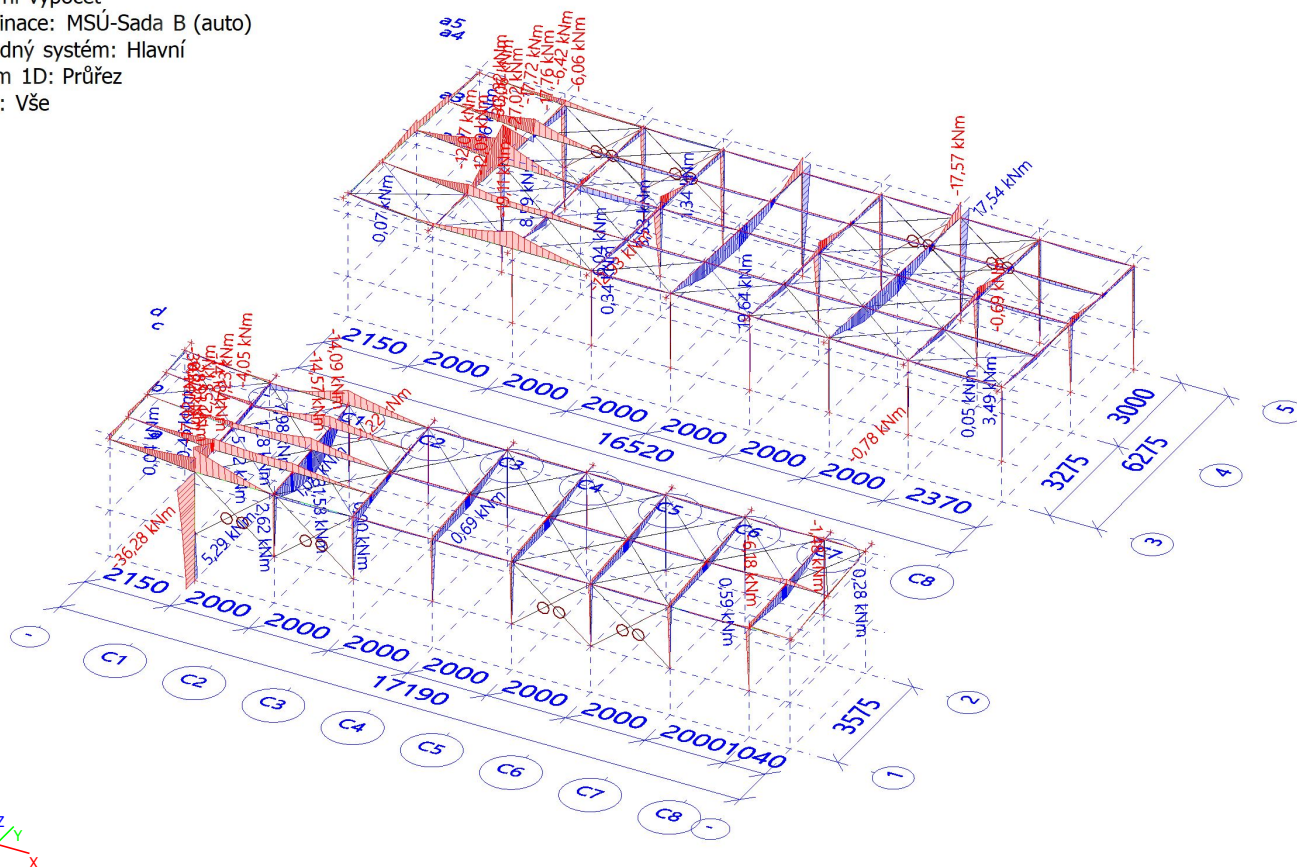
38. 1D vnitřní síly; M_x

Hodnoty: M_x
 Lineární výpočet
 Kombinace: MSÚ-Sada B (auto)
 Souřadný systém: Hlavní
 Extrém 1D: Průřez
 Výběr: Vše



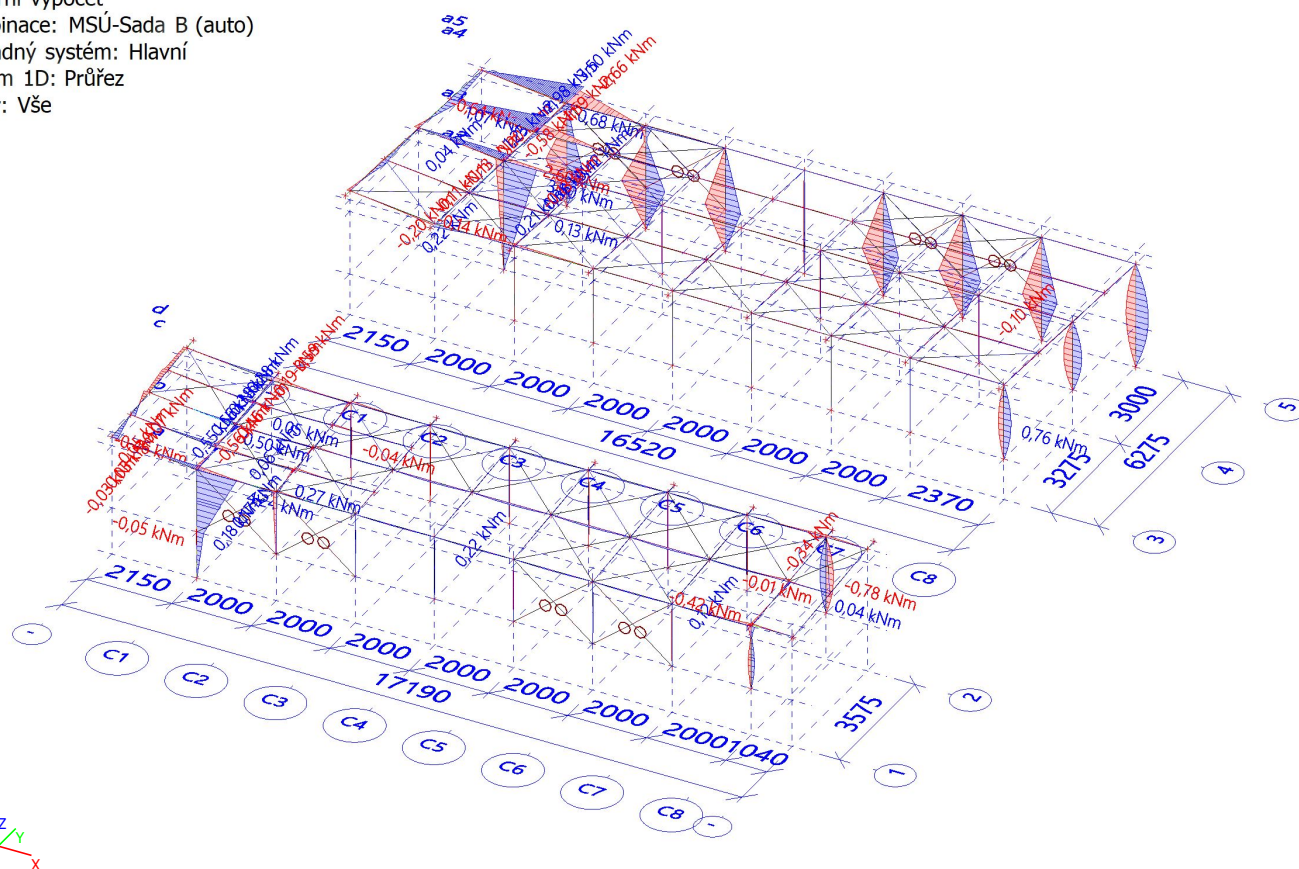
39. 1D vnitřní síly; M_y

Hodnoty: M_y
Lineární výpočet
Kombinace: MSÚ-Sada B (auto)
Souřadný systém: Hlavní
Extrém 1D: Průřez
Výběr: Vše



40. 1D vnitřní síly; M_z

Hodnoty: M_z
Lineární výpočet
Kombinace: MSÚ-Sada B (auto)
Souřadný systém: Hlavní
Extrém 1D: Průřez
Výběr: Vše



Projekt RNR

41. 1D deformace; u_z

Hodnoty: u_z

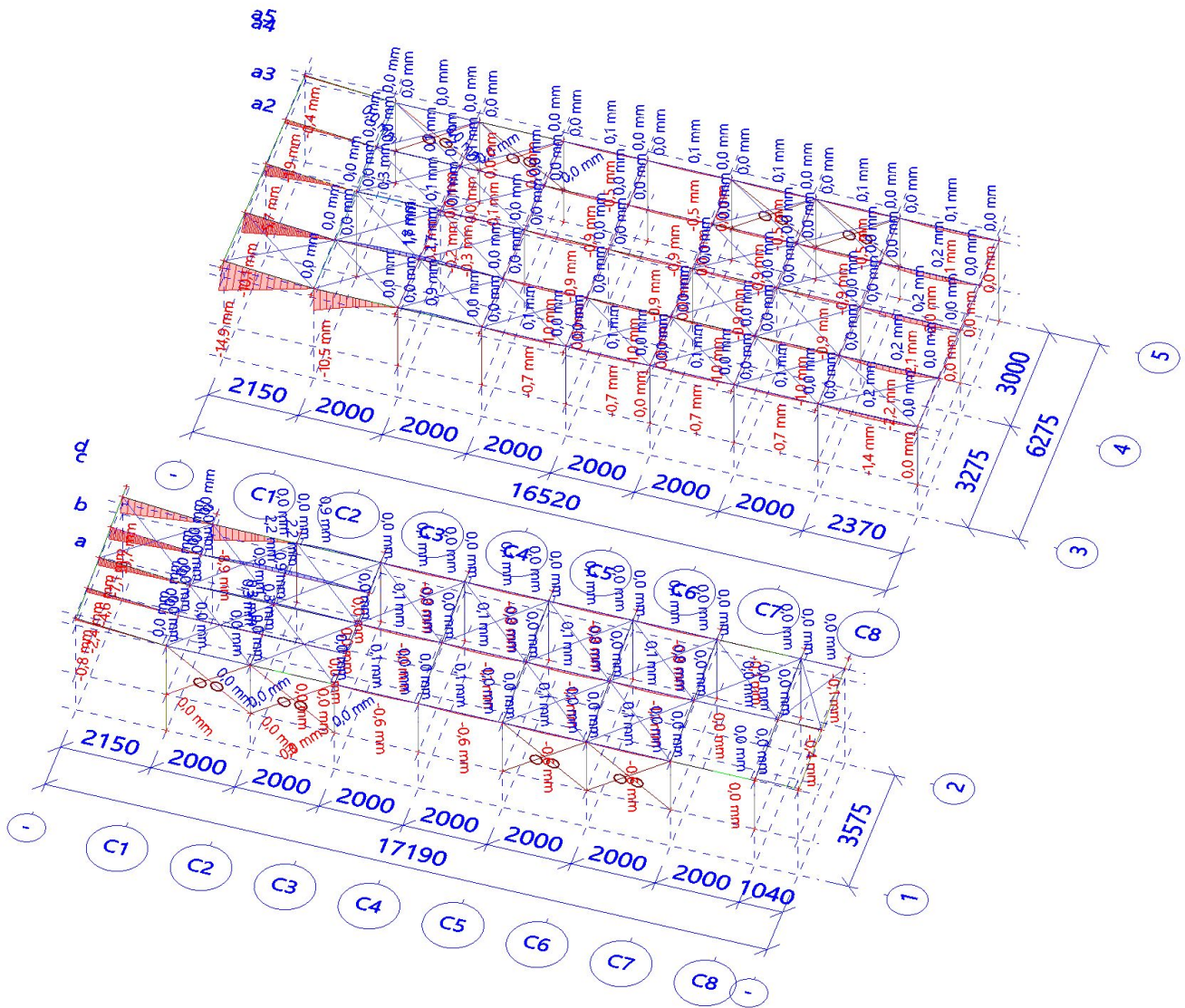
Lineární výpočet

Kombinace: MSP-Char (auto)

Souřadný systém: Hlavní

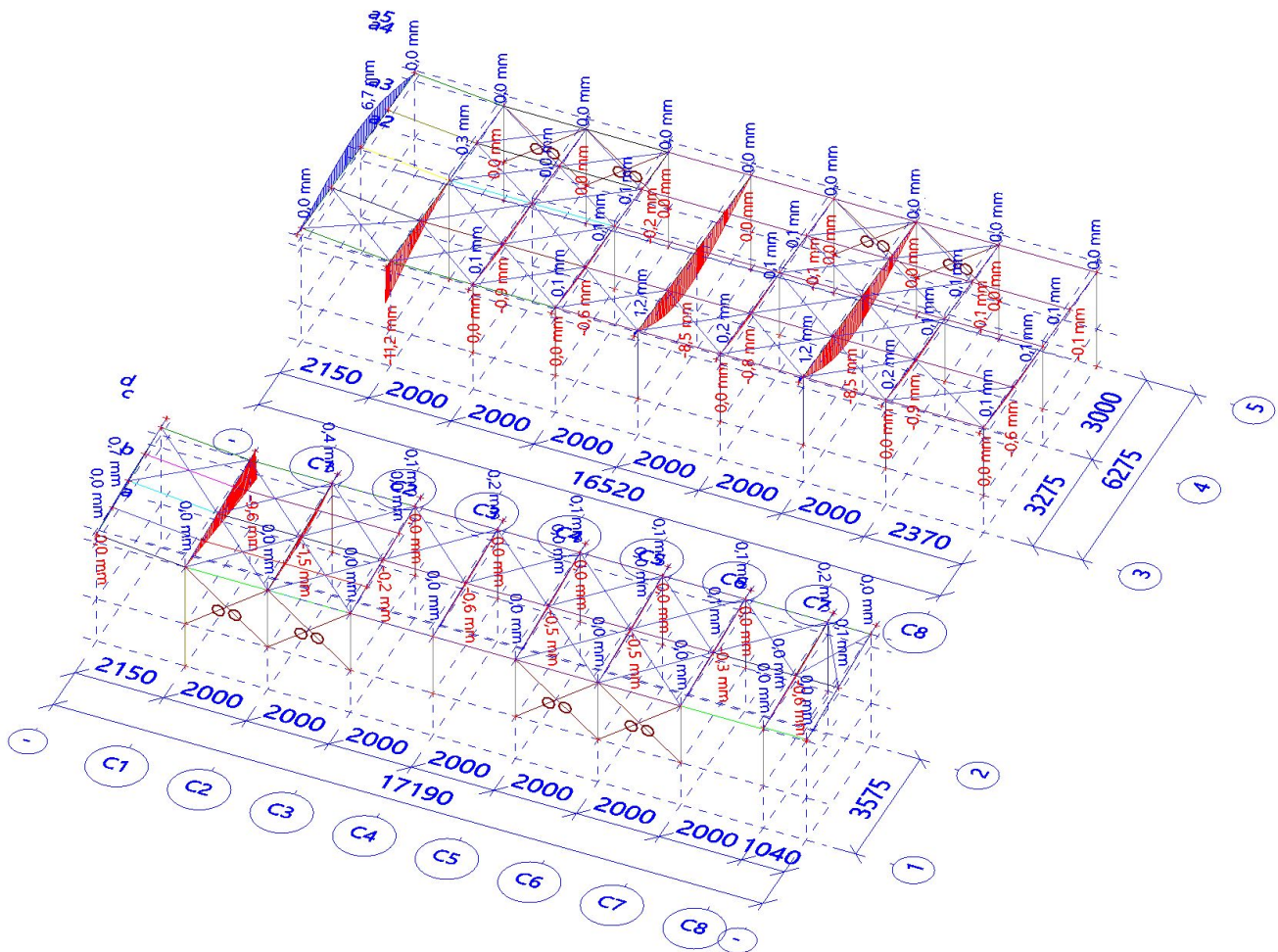
Extrém 1D: Lokální

Výběr: Pojmenovaný výběr - STRECHA



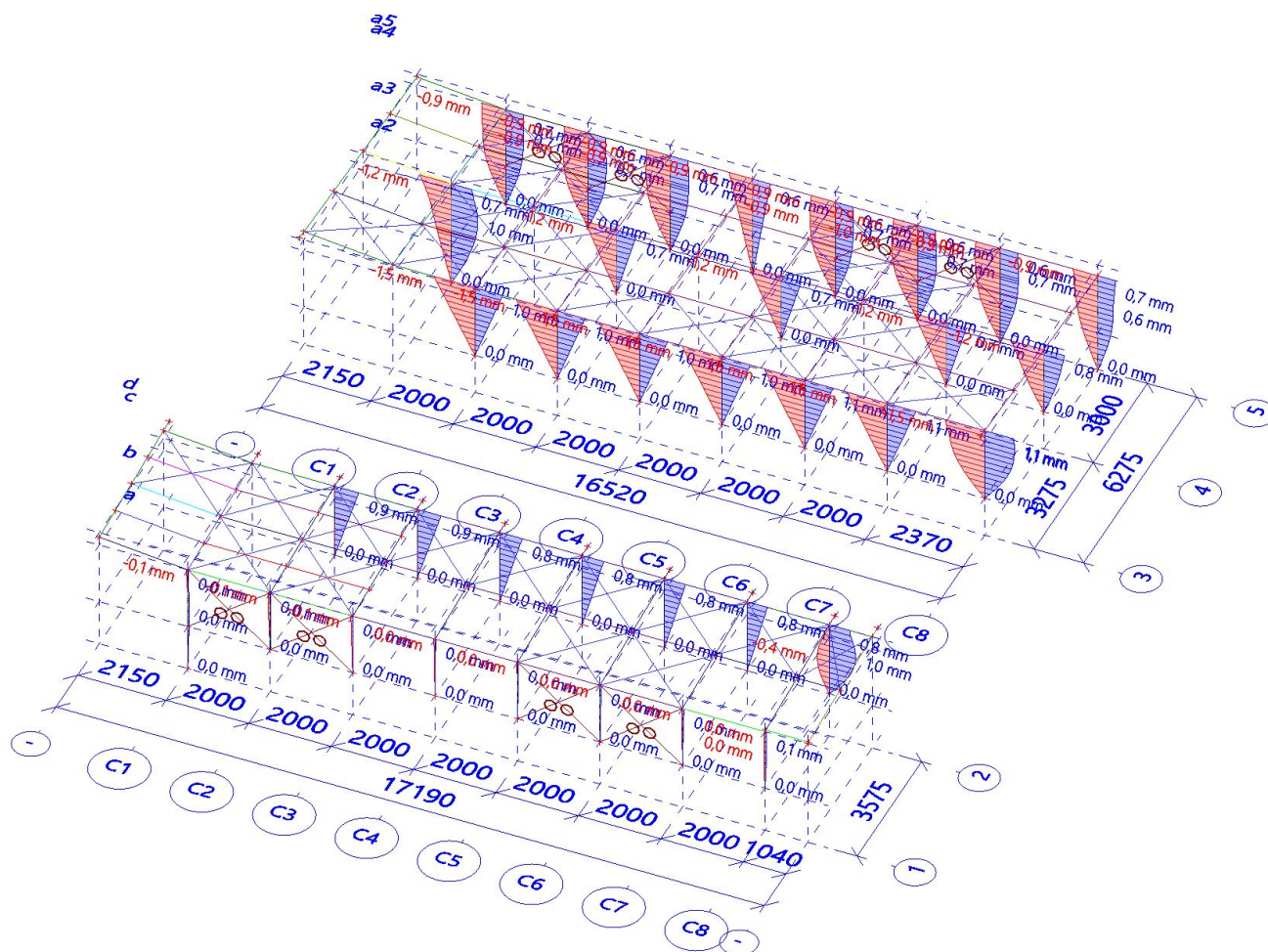
42. 1D deformace; u_z

Hodnoty: u_z
Lineární výpočet
Kombinace: MSP-Char (auto)
Souřadný systém: Hlavní
Extrém 1D: Lokální
Výběr: Pojmenovaný výběr -
STRECHA1



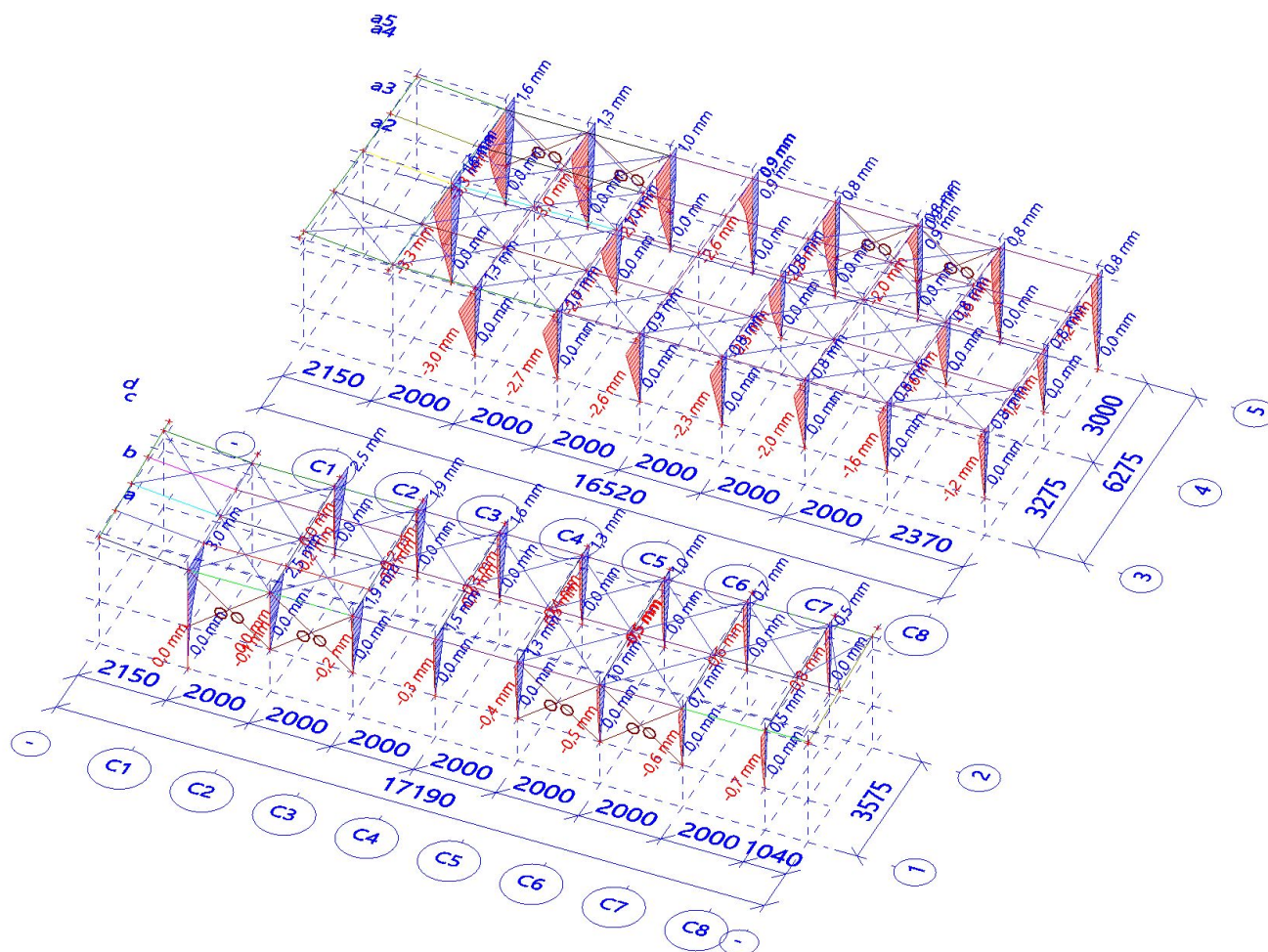
43. 1D deformace; u_x

Hodnoty: u_x
Lineární výpočet
Kombinace: MSP-Char (auto)
Souřadný systém: Globální
Extrém 1D: Lokální
Výběr: Vše
Filtr: Typ prutu = Sloup



44. 1D deformace; u_y

Hodnoty: u_y
 Lineární výpočet
 Kombinace: MSP-Char (auto)
 Souřadný systém: Globální
 Extrém 1D: Lokální
 Výběr: Vše
 Filtr: Typ prutu = Sloup



45. EC-EN 1993 Posudek oceli MSÚ; Souhrnný posudek

Hodnoty: **UC_{Celkový}**

Lineární výpočet

Kombinace: MSÚ-Sada B (auto)

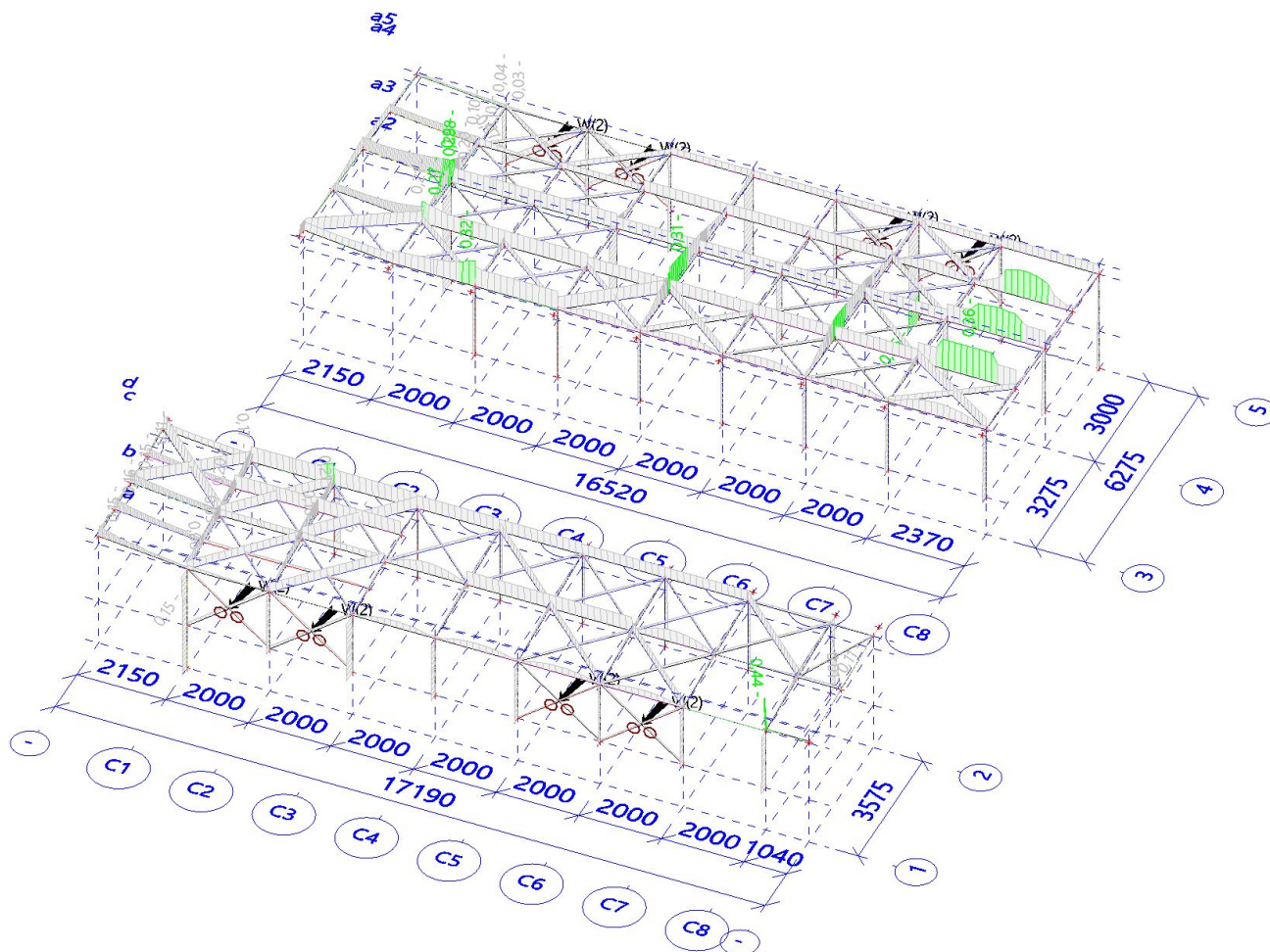
Souřadný systém: Hlavní

Extrém 1D: Průřez

Výběr: Vše

Na vybraných dílcích se vyskytuje 2

varování. 2 z nich je zobrazeno.



Projekt RNR

46. EC-EN 1993 Posudek oceli MSÚ

Hodnoty: **UC_{Celkový}**

Lineární výpočet

Kombinace: MSÚ-Sada B (auto)

Souřadný systém: Hlavní

Extrém 1D: Průřez

Výběr: Vše

Na vybraných dílcích se vyskytuje 2 varování. 2 z nich je zobrazeno.

Celkový posudek

Jméno	dx [m]	Stav	Průřez	Materiál	UC _{Celkový} [-]	UC _{Průřez} [-]	UC _{Stabilita} [-]	CH/V/P
B1	2,860	MSÚ-Sada B (auto)/1	CS32 - Komora fl (200,00; 35,00; 130,00; 20,00; 130,00)	S 235	0,15	0,15	0,12	
B101	0,000	MSÚ-Sada B (auto)/2	CS1 - RHS200/120/8.0	S 235	0,25	0,02	0,25	
B10	0,000	MSÚ-Sada B (auto)/3	CS3 - Obecný průřez	S 235	0,14	0,07	0,14	
B16	0,000	MSÚ-Sada B (auto)/4	CS2 - Obecný průřez	S 235	0,11	0,04	0,11	
B17	3,593-	MSÚ-Sada B (auto)/5	CS33 - Komora fl (200,00; 15,00; 470,00; 10,00; 150,00)	S 235	0,17	0,17	0,01	
B24	0,050-	MSÚ-Sada B (auto)/6	CS4 - Iw (500,00; 10,00; 120,00; 15,00; 470,00; 0,00)	S 235	0,44	0,44	0,01	
B25	1,797-	MSÚ-Sada B (auto)/7	CS5 - Iw (500,00; 6,00; 120,00; 10,00; 480,00; 0,00)	S 235	0,01	0,01	0,00	
B26	0,000	MSÚ-Sada B (auto)/8	CS20 - IPE500	S 235	0,06	0,06	0,00	
B119	2,000	MSÚ-Sada B (auto)/1	CS7 - Komora fl (150,00; 20,00; 80,00; 10,00; 120,00)	S 235	0,32	0,32	0,00	
B32	0,000	MSÚ-Sada B (auto)/5	CS18 - IPE300	S 235	0,10	0,10	0,00	
B150	1,185	MSÚ-Sada B (auto)/1	CS6 - IPE120	S 235	0,36	0,24	0,36	
B49	2,162	MSÚ-Sada B (auto)/5	CS12 - Komora fl (200,00; 15,00; 470,00; 10,00; 150,00)	S 235	0,15	0,15	0,00	
B51	2,162	MSÚ-Sada B (auto)/5	CS14 - Komora fl (150,00; 10,00; 280,00; 6,00; 108,00)	S 235	0,15	0,15	0,00	
B52	2,162	MSÚ-Sada B (auto)/5	CS13 - Komora fl (180,00; 12,00; 376,00; 8,00; 134,00)	S 235	0,16	0,16	0,00	
B53	2,162	MSÚ-Sada B (auto)/5	CS15 - Komora fl (110,00; 10,00; 200,00; 6,00; 78,00)	S 235	0,11	0,11	0,00	
B55	0,000	MSÚ-Sada B (auto)/5	CS19 - IPE220	S 235	0,21	0,21	0,19	
B56	0,000	MSÚ-Sada B (auto)/5	CS21 - IPE400	S 235	0,05	0,05	0,00	
B80	0,000	MSÚ-Sada B (auto)/2	CS17 - CHS48.3/3.2	S 235	0,20	0,04	0,20	
B104	3,504-	MSÚ-Sada B (auto)/5	CS34 - Iw (300,00; 12,00; 120,00; 22,00; 256,00; 0,00)	S 235	0,29	0,29	0,26	
B108	1,864+	MSÚ-Sada B (auto)/1	CS22 - Iw (300,00; 8,00; 120,00; 12,00; 276,00; 0,00)	S 235	0,31	0,27	0,31	
B121	0,000	MSÚ-Sada B (auto)/2	CS23 - 2U komora (UPN220)	S 235	0,20	0,20	0,19	
B123	0,000	MSÚ-Sada B (auto)/8	CS24 - 2U komora (UPN160)	S 235	0,27	0,27	0,19	
B125	0,000	MSÚ-Sada B (auto)/1	CS25 - 2U komora (UPN260)	S 235	0,10	0,10	0,00	
B127	0,000	MSÚ-Sada B (auto)/3	CS26 - 2U komora (UPN300)	S 235	0,03	0,03	0,00	
B154	0,000	MSÚ-Sada B (auto)/5	CS27 - Komora fl	S 235	0,21	0,21	0,17	

Projekt RNR

Jméno	dx [m]	Stav	Průřez	Materiál	UC Celkový [-]	UC Průřez [-]	UC Stabilita [-]	CH/V/P
			(130,00; 12,00; 136,00; 8,00; 84,00)					
B155	0,000	MSÚ-Sada B (auto)/1	CS28 - Komora fl (160,00; 12,00; 196,00; 10,00; 110,00)	S 235	0,28	0,28	0,23	
B156	0,000	MSÚ-Sada B (auto)/2	CS29 - Komora fl (180,00; 15,00; 230,00; 10,00; 130,00)	S 235	0,10	0,10	0,09	
B157	0,000	MSÚ-Sada B (auto)/9	CS30 - Komora fl (200,00; 15,00; 270,00; 10,00; 150,00)	S 235	0,04	0,04	0,03	
B193	0,000	MSÚ-Sada B (auto)/10	CS16 - RD20	S 235	0,07	0,07	0,00	W2, W9

Jméno	Klíč kombinace
MSÚ-Sada B (auto)/1	1.15*ZS1 + 1.15*ZS2 + 1.15*ZS3 + 1.50*ZS5 + 1.50*ZS6 + 0.90*3DVítr14
MSÚ-Sada B (auto)/2	1.15*ZS1 + 1.15*ZS2 + 1.15*ZS3 + 1.50*ZS5 + 1.50*ZS6 + 0.90*3DVítr10
MSÚ-Sada B (auto)/3	1.15*ZS1 + 1.15*ZS2 + 1.15*ZS3 + 1.50*ZS5 + 1.50*ZS6 + 0.90*3DVítr1
MSÚ-Sada B (auto)/4	1.15*ZS1 + 1.15*ZS2 + 1.15*ZS3 + 0.75*ZS5 + 1.50*ZS6 + 1.50*3DVítr13
MSÚ-Sada B (auto)/5	1.15*ZS1 + 1.15*ZS2 + 1.15*ZS3 + 1.50*ZS5 + 1.50*ZS6 + 0.90*3DVítr5
MSÚ-Sada B (auto)/6	1.15*ZS1 + 1.15*ZS2 + 1.15*ZS3 + 0.75*ZS5 + 1.50*ZS6 + 1.50*3DVítr6
MSÚ-Sada B (auto)/7	1.15*ZS1 + 1.15*ZS2 + 1.15*ZS3 + 1.50*ZS5 + 1.50*ZS6 + 0.90*3DVítr13
MSÚ-Sada B (auto)/8	1.15*ZS1 + 1.15*ZS2 + 1.15*ZS3 + 1.50*ZS5 + 1.50*ZS6 + 0.90*3DVítr6
MSÚ-Sada B (auto)/9	1.15*ZS1 + 1.15*ZS2 + 1.15*ZS3 + 1.50*ZS5 + 1.50*ZS6 + 0.90*3DVítr9
MSÚ-Sada B (auto)/10	1.15*ZS1 + 1.15*ZS2 + 1.15*ZS3 + 0.75*ZS5 + 1.50*ZS6 + 1.50*3DVítr10

CH/V/P	Přítomno na dílcích
W2	B190, B193
W9	B190, B193

Data projektu

Jméno projektu	RNR
Číslo projektu	24-026-002
Autor	
Popis	KOTVENÍ SLOUPU RHS 200*120*8 NA STĚNU
Datum	02.12.2024
Norma	EN

Materiál

Ocel	S 235, S 355
Beton	C25/30

Položka projektu Con N204

Návrh

Název	Con N204
Popis	
Výpočet	Napětí, přetvoření/ zatížení v rovnováze

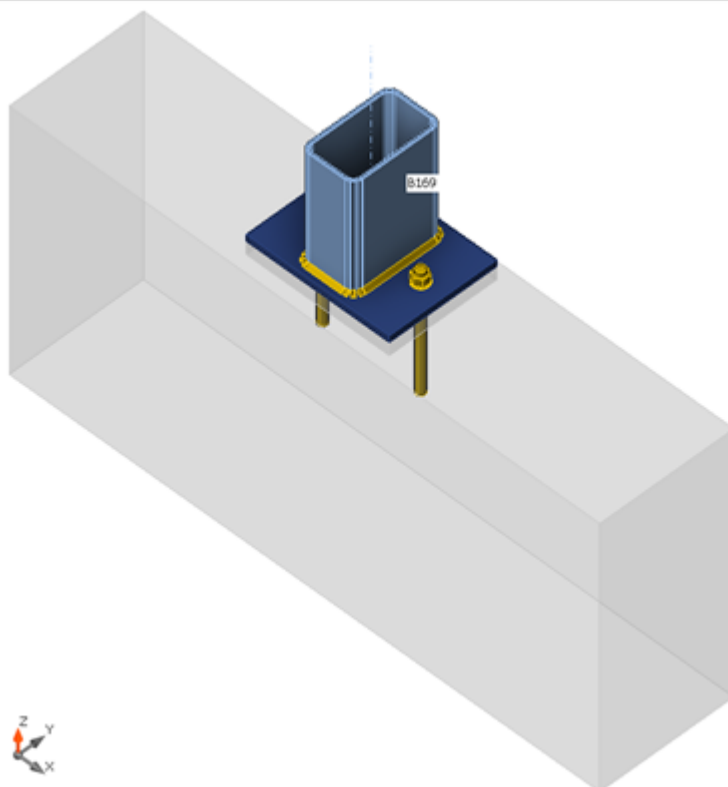
Prvky

Geometrie

Název	Průřez	β - Směr [°]	γ - Sklon [°]	α - Pootočení [°]	Odsazení ex [mm]	Odsazení ey [mm]	Odsazení ez [mm]
B169	1 - RHS200/120/8.0	0,0	90,0	90,0	0	0	0

Podpory a síly

Název	Podpora	Síly v	X [mm]
B169 / konec		Pozice	0



Průřezy

Název	Materiál
1 - RHS200/120/8.0	S 235

Kotvy

Název	Průměr [mm]	f_y [MPa]	f_u [MPa]	Plocha [mm ²]
M20 8.8	20	640,0	800,0	314

Účinky zatížení (síly v rovnováze)

Název	Prvek	N [kN]	Vy [kN]	Vz [kN]	Mx [kNm]	My [kNm]	Mz [kNm]
MSÚ-Sada(1)	B169 / Konec	-1,8	-1,0	-1,7	0,0	0,0	0,0
MSÚ-Sada(2)	B169 / Konec	-82,1	0,9	2,9	0,0	0,0	0,0
MSÚ-Sada(3)	B169 / Konec	-5,1	-1,7	0,4	0,0	0,0	0,0
MSÚ-Sada(4)	B169 / Konec	-1,9	-0,2	-1,4	0,0	0,0	0,0
MSÚ-Sada(5)	B169 / Konec	-2,0	1,6	-1,2	0,0	0,0	0,0
MSÚ-Sada(6)	B169 / Konec	-64,7	2,8	1,8	0,0	0,0	0,0
MSÚ-Sada(7)	B169 / Konec	-69,8	-0,2	0,3	0,0	0,0	0,0
MSÚ-Sada(8)	B169 / Konec	-3,1	-0,7	-2,4	0,0	0,0	0,0
MSÚ-Sada(9)	B169 / Konec	-72,1	0,6	3,6	0,0	0,0	0,0
MSÚ-Sada(10)	B169 / Konec	-32,6	0,5	0,5	0,0	0,0	0,0
MSÚ-Sada(11)	B169 / Konec	-70,0	0,7	0,6	0,0	0,0	0,0
MSÚ-Sada(12)	B169 / Konec	-3,0	-1,1	-2,1	0,0	0,0	0,0
MSÚ-Sada(13)	B169 / Konec	-5,2	-0,8	0,7	0,0	0,0	0,0
MSÚ-Sada(14)	B169 / Konec	-80,9	1,0	1,1	0,0	0,0	0,0
MSÚ-Sada(15)	B169 / Konec	-77,7	2,2	1,8	0,0	0,0	0,0
MSÚ-Sada(16)	B169 / Konec	-82,0	0,4	2,8	0,0	0,0	0,0
MSÚ-Sada(17)	B169 / Konec	-71,9	-0,2	3,4	0,0	0,0	0,0
MSÚ-Sada(18)	B169 / Konec	-37,4	2,5	1,2	0,0	0,0	0,0
MSÚ-Sada(19)	B169 / Konec	-44,8	0,3	3,1	0,0	0,0	0,0
MSÚ-Sada(20)	B169 / Konec	-48,3	0,4	3,1	0,0	0,0	0,0
MSÚ-Sada(21)	B169 / Konec	-80,8	0,5	0,9	0,0	0,0	0,0
MSÚ-Sada(22)	B169 / Konec	-30,4	-0,3	-1,9	0,0	0,0	0,0
MSÚ-Sada(23)	B169 / Konec	-26,9	-0,4	-1,9	0,0	0,0	0,0

Nevyvážené síly

Název	X [kN]	Y [kN]	Z [kN]	Mx [kNm]	My [kNm]	Mz [kNm]
MSÚ-Sada(1)	1,0	1,7	-1,8	0,0	0,0	0,0
MSÚ-Sada(2)	-0,9	-2,9	-82,1	0,0	0,0	0,0
MSÚ-Sada(3)	1,7	-0,4	-5,1	0,0	0,0	0,0
MSÚ-Sada(4)	0,2	1,4	-1,9	0,0	0,0	0,0
MSÚ-Sada(5)	-1,6	1,2	-2,0	0,0	0,0	0,0
MSÚ-Sada(6)	-2,8	-1,8	-64,7	0,0	0,0	0,0
MSÚ-Sada(7)	0,2	-0,3	-69,8	0,0	0,0	0,0
MSÚ-Sada(8)	0,7	2,4	-3,1	0,0	0,0	0,0
MSÚ-Sada(9)	-0,6	-3,6	-72,1	0,0	0,0	0,0
MSÚ-Sada(10)	-0,5	-0,5	-32,6	0,0	0,0	0,0
MSÚ-Sada(11)	-0,7	-0,6	-70,0	0,0	0,0	0,0
MSÚ-Sada(12)	1,1	2,1	-3,0	0,0	0,0	0,0
MSÚ-Sada(13)	0,8	-0,7	-5,2	0,0	0,0	0,0
MSÚ-Sada(14)	-1,0	-1,1	-80,9	0,0	0,0	0,0
MSÚ-Sada(15)	-2,2	-1,8	-77,7	0,0	0,0	0,0
MSÚ-Sada(16)	-0,4	-2,8	-82,0	0,0	0,0	0,0
MSÚ-Sada(17)	0,2	-3,4	-71,9	0,0	0,0	0,0
MSÚ-Sada(18)	-2,5	-1,2	-37,4	0,0	0,0	0,0
MSÚ-Sada(19)	-0,3	-3,1	-44,8	0,0	0,0	0,0
MSÚ-Sada(20)	-0,4	-3,1	-48,3	0,0	0,0	0,0
MSÚ-Sada(21)	-0,5	-0,9	-80,8	0,0	0,0	0,0
MSÚ-Sada(22)	0,3	1,9	-30,4	0,0	0,0	0,0
MSÚ-Sada(23)	0,4	1,9	-26,9	0,0	0,0	0,0

Betonová patka

Položka	Hodnota	Jednotka
CB 1		
Kóty	1320 x 300	mm
Výška	600	mm
Kotva	M20 8.8	
Kotevní délka	200	mm
Přenos smykové síly	Kotevní šrouby	
Podlití	30	mm

Posudek

Souhrn

Název	Hodnota	Status posudku
Výpočet	100,0%	OK
Plechý	0,0 < 5,0%	OK
Lok. deformace	0,0 < 3%	OK
Kotvy	19,6 < 100%	OK
Svary	Konstrukční zásady	Nevyhovuje!
Betonový blok	12,2 < 100%	OK
Boulení	Nespočteno	

Plechý

Název	Materiál	t_p [mm]	Zatížení	σ_{Ed} [MPa]	ϵ_{pl} [%]	$\sigma_{c,Ed}$ [MPa]	Status
B169	S 235	8,0	MSÚ-Sada(2)	25,4	0,0	0,0	OK
PD1	S 355	15,0	MSÚ-Sada(2)	22,5	0,0	0,0	OK

Návrhová data

Materiál	f_y [MPa]	ϵ_{lim} [%]
S 235	235,0	5,0
S 355	355,0	5,0

Vysvětlení symbolů

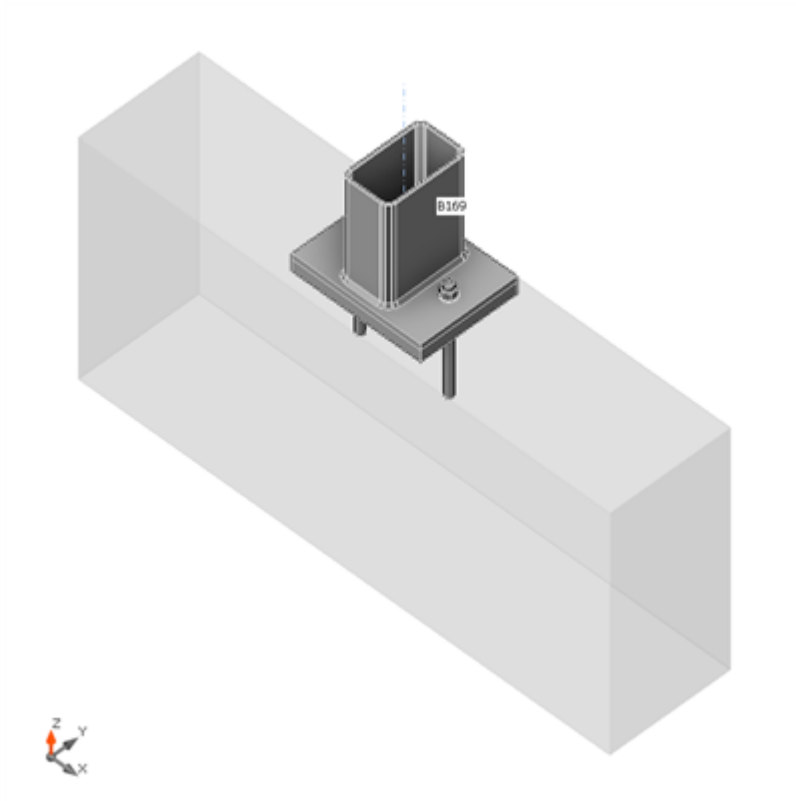
t_p	Tloušťka plechu
σ_{Ed}	Ekvivalentní napětí
ϵ_{pl}	Plastická deformace
$\sigma_{c,Ed}$	Kontaktní napětí
f_y	Mez kluzu
ϵ_{lim}	Mezní plastické přetvoření

Lok. deformace

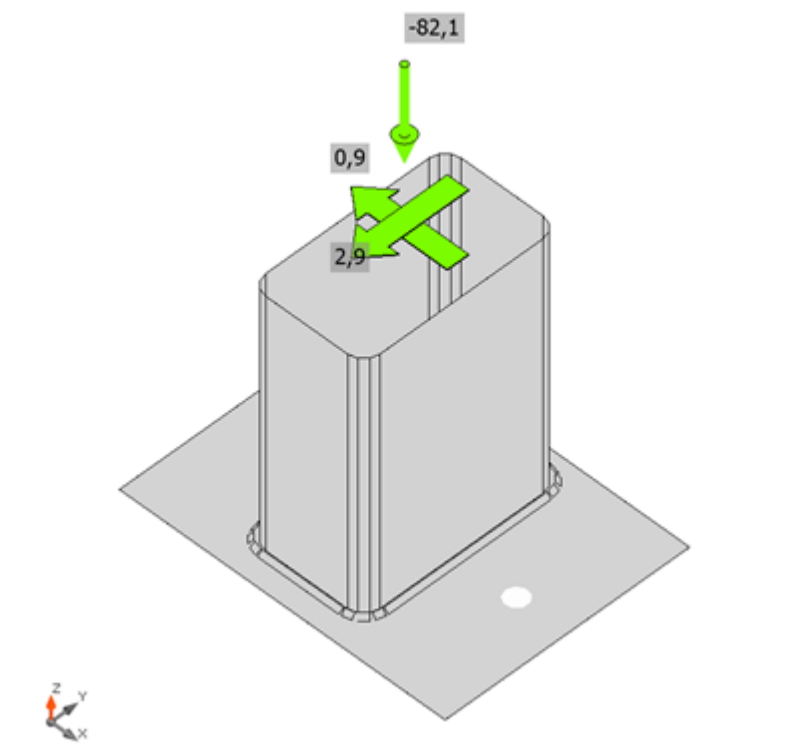
Název	d_0 [mm]	Zatížení	δ [mm]	δ_{lim} [mm]	δ/d_0 [%]	Status posudku
B169	120	MSÚ-Sada(23)	0	4	0,0	OK

Vysvětlení symbolů

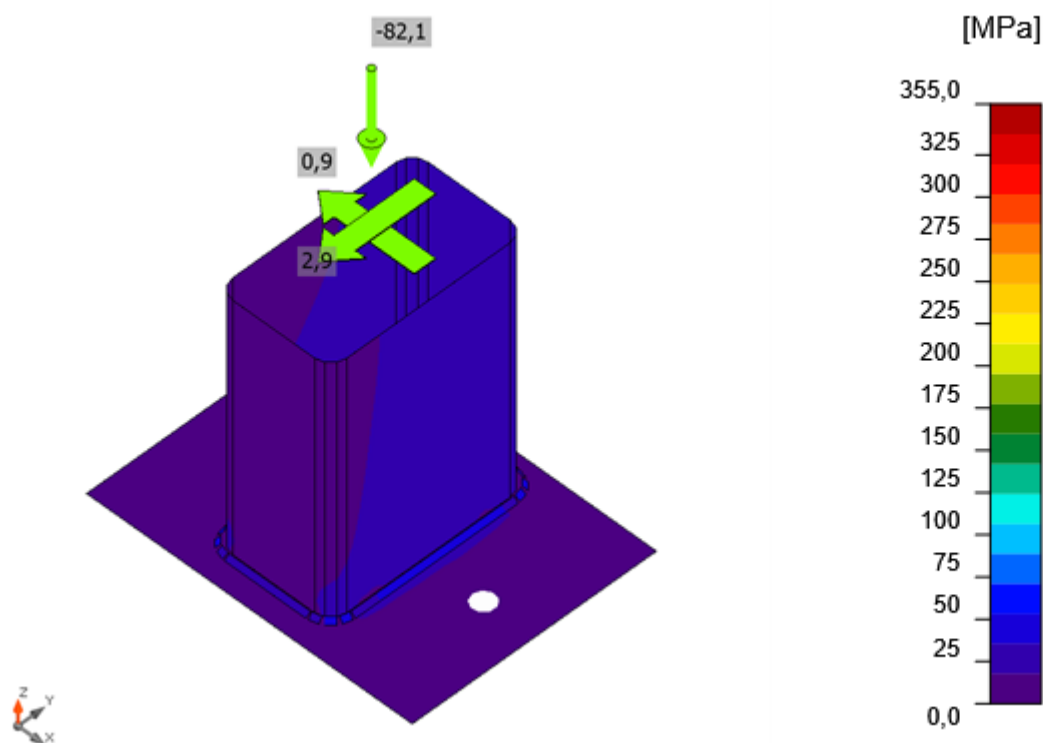
d_0	Velikost průřezu
δ	Lokální deformace průřezu
δ_{lim}	Povolená deformace



Souhrnný posudek, MSÚ-Sada(2)



Posudek přetvoření, MSÚ-Sada(2)



Ekvivalentní napětí, MSÚ-Sada(2)

Kotvy

Tvar	Položka	Zatížení	N_{Ed} [kN]	V_{Ed} [kN]	$V_{Rd,s}$ [kN]	$V_{Rd,c}$ [kN]	$V_{Rd,cp}$ [kN]	$U_{t,t}$ [%]	$U_{t,s}$ [%]	$U_{t,ts}$ [%]	Konstrukční zásady	Status
	A1	MSÚ-Sada(6)	0,0	1,7	17,5	15,1	84,3	0,0	19,6	8,7	OK	OK
	A2	MSÚ-Sada(9)	0,0	1,8	17,5	31,6	84,3	0,0	11,7	4,0	OK	OK

Návrhová data

Třída	$N_{Rd,s}$ [kN]
M20 8.8 - 1	111,1

Vysvětlení symbolů

- N_{Ed} Tahová síla
- V_{Ed} Výslednice smykových sil ve šroubu V_y a V_z v rovinách smyku
- $V_{Rd,s}$ Návrhová únosnost ve smyku spojovacího prostředku v případě porušení oceli - EN 1992-4 – 7.2.2.3.2
- $V_{Rd,c}$ Návrhová únosnost případě selhání betonového kužele vlivem smykového zatížení - EN 1992-4 – 7.2.2.5
- $V_{Rd,cp}$ Návrhová únosnost v případě selhání na vylomení betonu - EN 1992-4 – 7.2.2.4
- $U_{t,t}$ Využití v tahu
- $U_{t,s}$ Využití ve smyku
- $U_{t,ts}$ Využití v tahu a smyku
- $N_{Rd,s}$ Návrhová únosnost v tahu spojovacího prostředku v případě porušení oceli - EN 1992-4 – 7.2.1.3

Svary

Položka	Hrana	T_w [mm]	L [mm]	Zatížení	$\sigma_{w,Ed}$ [MPa]	ϵ_{PI} [%]	σ_{\perp} [MPa]	τ_{\perp} [MPa]	τ_{\parallel} [MPa]	Ut [%]	Ut _c [%]	Konstrukční zásady	Status
PD1	B169	▲ 6,0	576	MSÚ-Sada(2)	45,3	0,0	-30,2	18,9	5,1	10,4	8,3	Nevyhovuje!	OK

Návrhová data

Materiál	f_u [MPa]	β_w [-]	$\sigma_{w,Rd}$ [MPa]	0.9 σ [MPa]
S 355	490,0	0,90	435,6	352,8

Vysvětlení symbolů

T_w	Tloušťka svaru a
L	Délka
$\sigma_{w,Ed}$	Ekvivalentní napětí
ϵ_{PI}	Přetvoření
σ_{\perp}	Kolmé napětí
τ_{\perp}	Smykové napětí kolmé k ose svaru
τ_{\parallel}	Smykové napětí rovnoběžné s osou svaru
Ut	Využití
Ut _c	Odhad kapacity svaru
▲	Koutový svar
f_u	Mezní pevnost svaru
β_w	Korelační součinitel EN 1993-1-8 tabulka 4.1
$\sigma_{w,Rd}$	Únosnost na srovnávací napětí
0.9 σ	Únosnost na kolmé napětí - 0.9*f _u /γ _{M2}

Betonový blok

Položka	Zatížení	c [mm]	A_{eff} [mm ²]	σ [MPa]	k_j [-]	f_{jd} [MPa]	Ut [%]	Status
CB 1	MSÚ-Sada(2)	43	47239	1,7	1,28	14,3	12,2	OK

Vysvětlení symbolů

c	Šířka uložení
A_{eff}	Účinná plocha
σ	Průměrné napětí v betonu
k_j	Součinitel koncentrace
f_{jd}	Mezní únosnost betonové patky v otláčení
Ut	Využití

Boulení

Analýza boulení nebyla provedena.

Nastavení normových proměnných

Položka	Hodnota	Jednotka	Reference
Součinitel spolehlivosti γ_{M0}	1,00	-	EN 1993-1-1: 6.1
Součinitel spolehlivosti γ_{M1}	1,00	-	EN 1993-1-1: 6.1
Součinitel spolehlivosti γ_{M2}	1,25	-	EN 1993-1-1: 6.1
Součinitel spolehlivosti γ_{M3}	1,25	-	EN 1993-1-8: 2.2
Součinitel spolehlivosti γ_C	1,50	-	EN 1992-1-1: 2.4.2.4
Součinitel spolehlivosti γ_{Inst}	1,20	-	EN 1992-4: Table 4.1
Součinitel styčnicku β_j	0,67	-	EN 1993-1-8: 6.2.5
Účinná plocha - vliv velikosti sítě	0,10	-	
Součinitel tření - beton	0,25	-	EN 1993-1-8
Součinitel tření pro třecí spoje	0,30	-	EN 1993-1-8 tab 3.7
Mezní plastické přetvoření	0,05	-	EN 1993-1-5
Konstrukční zásady	Ano		
Vzdálenost mezi šrouby [d]	2,20	-	EN 1993-1-8: tab 3.3
Vzdálenost mezi šrouby a hranou [d]	1,20	-	EN 1993-1-8: tab 3.3
Únosnost vytržení betonu	Oba		EN 1992-4: 7.2.1.4 and 7.2.2.5
Použití vypočtené a_b v posudku otláčení.	Ano		EN 1993-1-8: tab 3.4
Potrhaný beton	Ano		EN 1992-4
Kontrola lokální deformace	Ano		CIDECT DG 1, 3 - 1.1
Limita lokální deformace	0,03	-	CIDECT DG 1, 3 - 1.1
Geometrická nelinearita (GMNA)	Ano		Analýza s velkými deformacemi pro spoje s dutými profily
Vyztužený systém	Ne		EN 1993-1-8: 5.2.2.5

Data projektu

Jméno projektu	RNR - SO 664
Číslo projektu	24-026-002
Autor	
Popis	KOTVENI OSA B1-B3, B31-B33 - OSA 1
Datum	27.11.2024
Norma	EN

Materiál

Ocel	S 235, S 355
Beton	C25/30

Položka projektu Con N121

Návrh

Název	Con N121
Popis	
Výpočet	Napětí, přetvoření/ zatížení v rovnováze

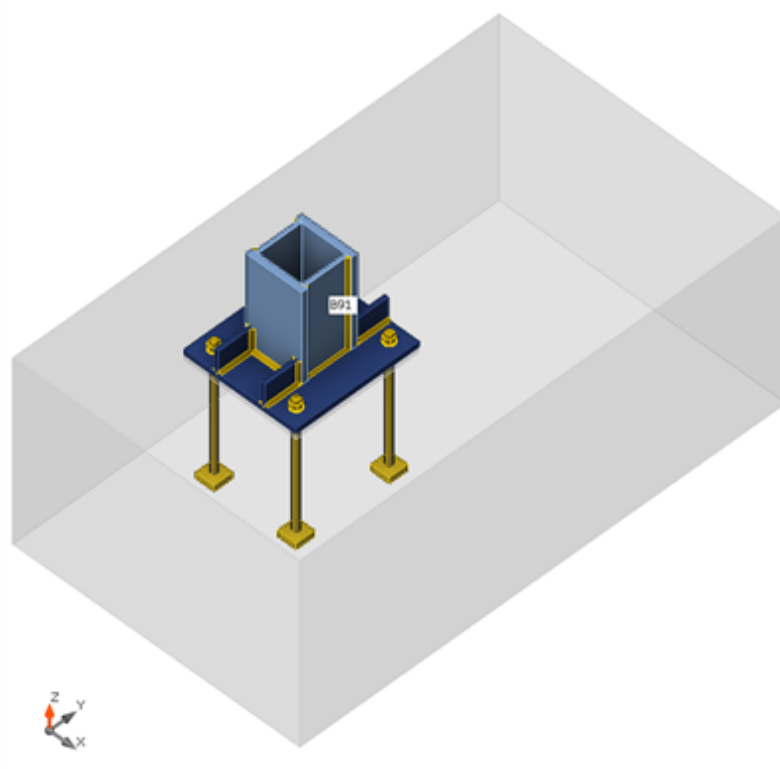
Prvky

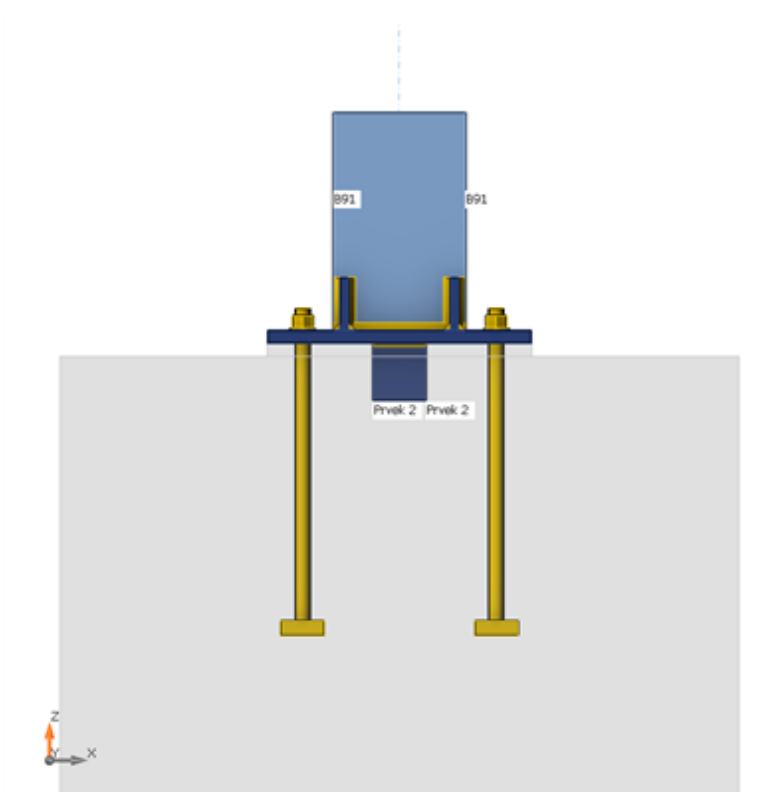
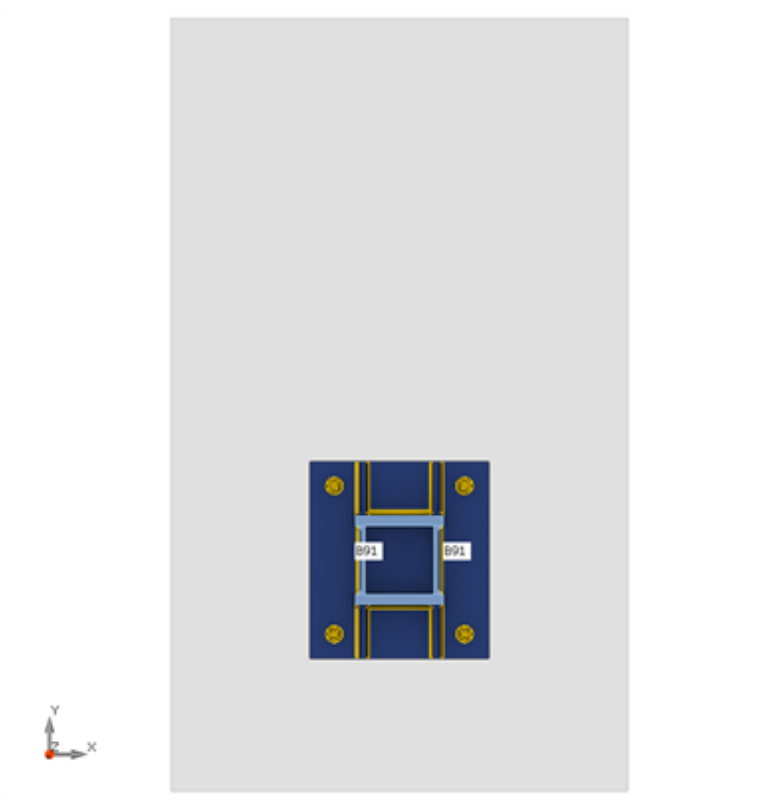
Geometrie

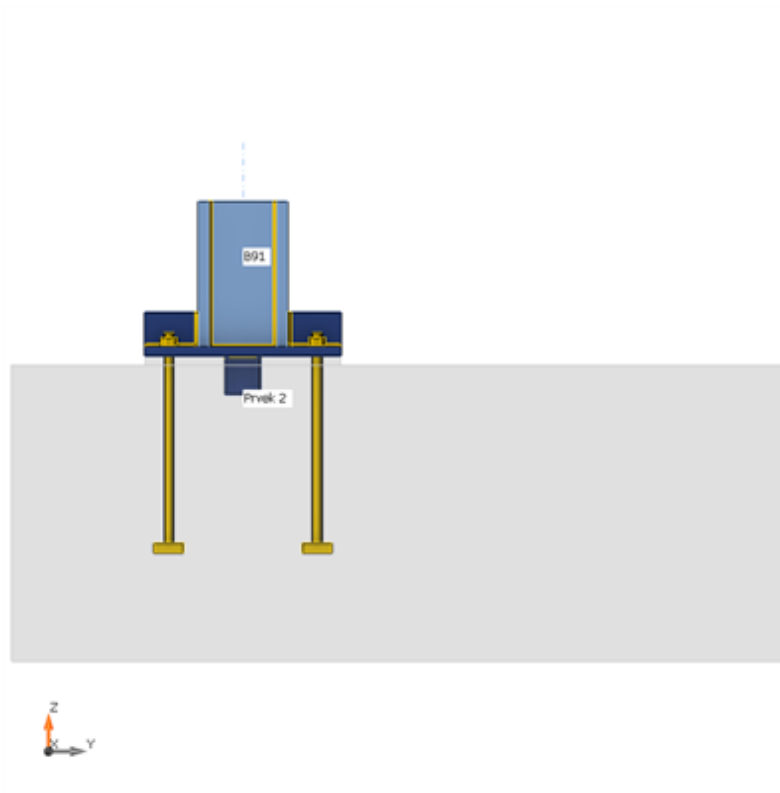
Název	Průřez	β - Směr [°]	γ - Sklon [°]	α - Pootočení [°]	Odsazení ex [mm]	Odsazení ey [mm]	Odsazení ez [mm]
B91	3 - BoxFI300x(300/300)	0,0	90,0	90,0	0	0	0

Podpory a síly

Název	Podpora	Síly v	X [mm]
B91 / konec		Pozice	0







Průřezy

Název	Materiál
3 - BoxFI300x(300/300)	S 235
4 - HEB120	S 235

Kotvy

Název	Průměr [mm]	f_y [MPa]	f_u [MPa]	Plocha [mm ²]
M33 8.8	33	640,0	800,0	855

Účinky zatížení (síly v rovnováze)

Název	Prvek	N [kN]	Vy [kN]	Vz [kN]	Mx [kNm]	My [kNm]	Mz [kNm]
MSÚ-Sada(1)	B91 / Konec	-13,6	0,1	-0,9	0,6	-3,4	0,0
MSÚ-Sada(2)	B91 / Konec	-46,0	0,0	-5,1	0,6	83,9	0,0
MSÚ-Sada(3)	B91 / Konec	-45,9	0,0	-3,9	0,7	89,5	0,0
MSÚ-Sada(4)	B91 / Konec	-41,2	-0,2	-4,6	0,3	78,1	0,0
MSÚ-Sada(5)	B91 / Konec	-23,3	0,0	3,6	0,8	9,0	0,0
MSÚ-Sada(6)	B91 / Konec	-21,8	0,1	-3,8	0,7	22,9	0,0
MSÚ-Sada(7)	B91 / Konec	-15,5	0,2	-1,8	0,5	4,5	0,0
MSÚ-Sada(8)	B91 / Konec	-32,8	0,0	-6,2	0,0	64,9	0,0
MSÚ-Sada(9)	B91 / Konec	-34,9	-0,2	-2,5	0,1	59,6	0,0
MSÚ-Sada(10)	B91 / Konec	-45,5	0,0	-13,9	0,3	108,2	0,0
MSÚ-Sada(11)	B91 / Konec	-45,6	0,0	-13,3	0,4	111,9	0,0
MSÚ-Sada(12)	B91 / Konec	-43,3	0,0	-10,0	0,4	101,8	0,0
MSÚ-Sada(13)	B91 / Konec	-15,1	0,0	6,5	0,7	-17,4	0,0
MSÚ-Sada(14)	B91 / Konec	-14,6	0,0	6,0	0,7	-17,2	0,0
MSÚ-Sada(15)	B91 / Konec	-14,5	0,0	3,1	0,6	-11,7	0,0
MSÚ-Sada(16)	B91 / Konec	-14,5	0,0	3,1	0,6	-11,7	0,0
MSÚ-Sada(17)	B91 / Konec	-45,8	0,0	-7,4	0,6	100,7	0,0
MSÚ-Sada(18)	B91 / Konec	-32,3	0,0	-2,7	0,5	37,0	0,0
MSÚ-Sada(19)	B91 / Konec	-36,3	0,0	-6,5	0,1	69,0	0,0
MSÚ-Sada(20)	B91 / Konec	-33,0	-0,2	-1,6	0,2	51,7	0,0
MSÚ-Sada(21)	B91 / Konec	-45,8	0,0	-6,4	0,6	94,1	0,0
MSÚ-Sada(22)	B91 / Konec	-33,4	0,0	-3,4	0,7	57,1	0,0
MSÚ-Sada(23)	B91 / Konec	-23,9	0,0	-2,0	0,4	27,4	0,0

Nevyvážené síly

Název	X [kN]	Y [kN]	Z [kN]	Mx [kNm]	My [kNm]	Mz [kNm]
MSÚ-Sada(1)	-0,1	0,9	-13,6	3,4	0,0	0,6
MSÚ-Sada(2)	0,0	5,1	-46,0	-83,9	0,0	0,6
MSÚ-Sada(3)	0,0	3,9	-45,9	-89,5	0,0	0,7
MSÚ-Sada(4)	0,2	4,6	-41,2	-78,1	0,0	0,3
MSÚ-Sada(5)	0,0	-3,6	-23,3	-9,0	0,0	0,8
MSÚ-Sada(6)	-0,1	3,8	-21,8	-22,9	0,0	0,7
MSÚ-Sada(7)	-0,2	1,8	-15,5	-4,5	0,0	0,5
MSÚ-Sada(8)	0,0	6,2	-32,8	-64,9	0,0	0,0
MSÚ-Sada(9)	0,2	2,5	-34,9	-59,6	0,0	0,1
MSÚ-Sada(10)	0,0	13,9	-45,5	-108,2	0,0	0,3
MSÚ-Sada(11)	0,0	13,3	-45,6	-111,9	0,0	0,4
MSÚ-Sada(12)	0,0	10,0	-43,3	-101,8	0,0	0,4
MSÚ-Sada(13)	0,0	-6,5	-15,1	17,4	0,0	0,7
MSÚ-Sada(14)	0,0	-6,0	-14,6	17,2	0,0	0,7
MSÚ-Sada(15)	0,0	-3,1	-14,5	11,7	0,0	0,6
MSÚ-Sada(16)	0,0	-3,1	-14,5	11,7	0,0	0,6
MSÚ-Sada(17)	0,0	7,4	-45,8	-100,7	0,0	0,6
MSÚ-Sada(18)	0,0	2,7	-32,3	-37,0	0,0	0,5
MSÚ-Sada(19)	0,0	6,5	-36,3	-69,0	0,0	0,1
MSÚ-Sada(20)	0,2	1,6	-33,0	-51,7	0,0	0,2
MSÚ-Sada(21)	0,0	6,4	-45,8	-94,1	0,0	0,6
MSÚ-Sada(22)	0,0	3,4	-33,4	-57,1	0,0	0,7
MSÚ-Sada(23)	0,0	2,0	-23,9	-27,4	0,0	0,4

Betonová patka

Položka	Hodnota	Jednotka
CB 1		
Kóty	1540 x 2610	mm
Výška	1000	mm
Kotva	M33 8.8	
Kotevní délka	600	mm
Přenos smykové síly	Smyková zarážka	
Průřez smykové zarážky	HEB120	
Délka smykové zarážky	130	mm
Podlití	30	mm

Posudek

Souhrn

Název	Hodnota	Status posudku
Výpočet	100,0%	OK
Plechý	0,0 < 5,0%	OK
Kotvy	95,2 < 100%	OK
Svary	85,6 < 100%	OK
Betonový blok	17,7 < 100%	OK
Smyk	9,0 < 100%	OK
Boulení	Nespočteno	

Plechý

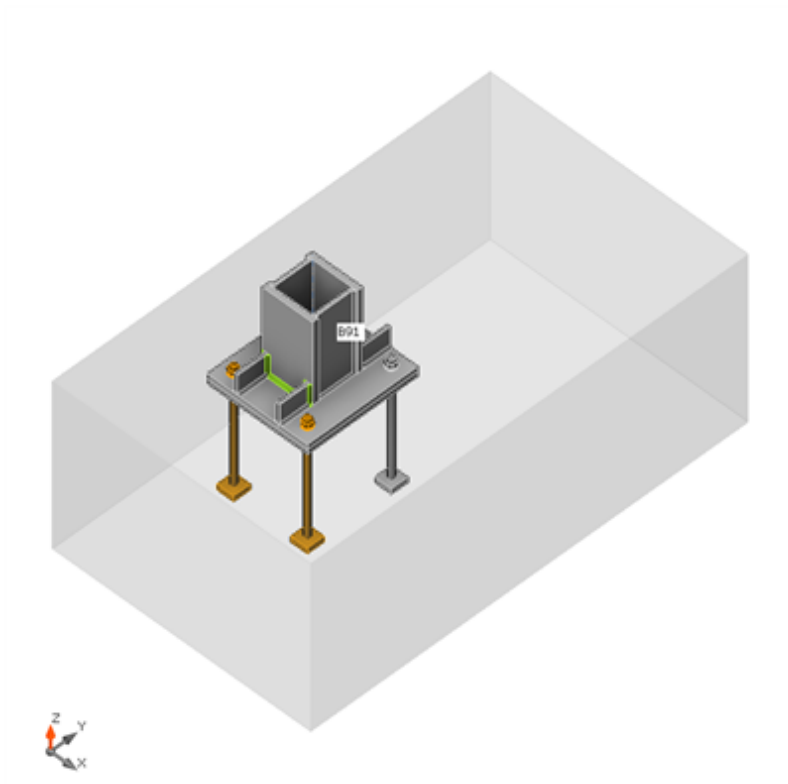
Název	Materiál	t_p [mm]	Zatížení	σ_{Ed} [MPa]	ϵ_{pl} [%]	$\sigma_{c,Ed}$ [MPa]	Status
B91-tfl 1	S 235	35,0	MSÚ-Sada(11)	82,3	0,0	0,0	OK
B91-bfl 1	S 235	35,0	MSÚ-Sada(11)	92,8	0,0	0,0	OK
B91-w 1	S 235	20,0	MSÚ-Sada(11)	73,5	0,0	0,0	OK
B91-w 2	S 235	20,0	MSÚ-Sada(11)	73,5	0,0	0,0	OK
Prvek 2-bfl 1	S 235	11,0	MSÚ-Sada(5)	43,8	0,0	0,0	OK
Prvek 2-tfl 1	S 235	11,0	MSÚ-Sada(11)	47,0	0,0	0,0	OK
Prvek 2-w 1	S 235	6,5	MSÚ-Sada(10)	32,5	0,0	0,0	OK
PD1	S 235	30,0	MSÚ-Sada(11)	146,7	0,0	0,0	OK
ŽEB1	S 355	20,0	MSÚ-Sada(11)	226,4	0,0	0,0	OK
ŽEB2	S 355	20,0	MSÚ-Sada(11)	196,9	0,0	0,0	OK
ŽEB3	S 355	20,0	MSÚ-Sada(11)	226,3	0,0	0,0	OK
ŽEB4	S 355	20,0	MSÚ-Sada(11)	196,1	0,0	0,0	OK

Návrhová data

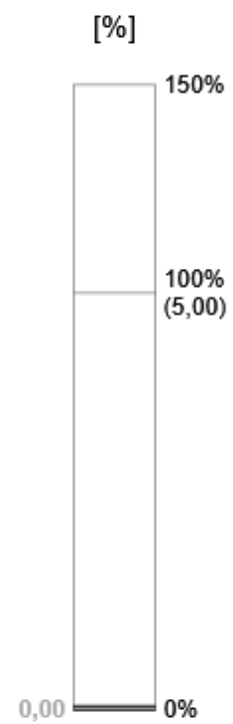
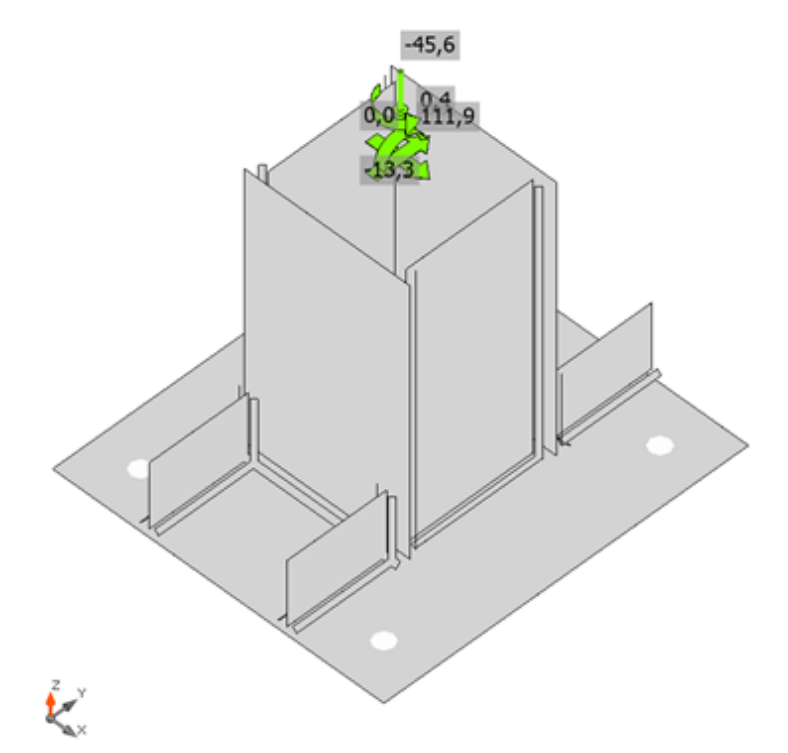
Materiál	f_y [MPa]	ϵ_{lim} [%]
S 235	235,0	5,0
S 355	355,0	5,0

Vysvětlení symbolů

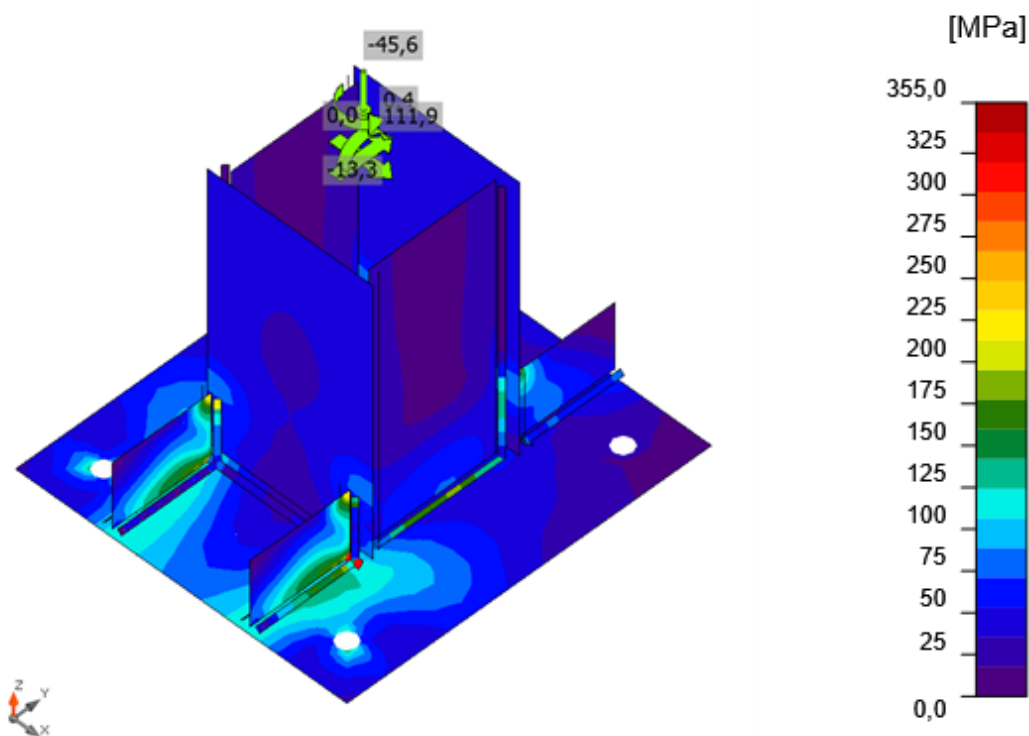
t_p	Tloušťka plechu
σ_{Ed}	Ekvivalentní napětí
ϵ_{pl}	Plastická deformace
$\sigma_{c,Ed}$	Kontaktní napětí
f_y	Mez kluzu
ϵ_{lim}	Mezní plastické přetvoření



Souhrnný posudek, MSÚ-Sada(11)



Posudek přetvoření, MSÚ-Sada(11)



Ekvivalentní napětí, MSÚ-Sada(11)

Kotvy

Tvar	Položka	Zatížení	N_{Ed} [kN]	$N_{Rd,c}$ [kN]	$N_{Rd,p}$ [kN]	$N_{Rd,cb}$ [kN]	$V_{Rd,cp}$ [kN]	$U_{t\uparrow}$ [%]	$U_{t\downarrow}$ [%]	$U_{t\pm}$ [%]	Konstrukční zásady	Status
	A1	MSÚ-Sada(11)	112,2	236,0	952,6	0,0	828,6	95,2	0,0	92,8	OK	OK
	A2	MSÚ-Sada(11)	112,3	236,0	952,6	0,0	828,6	95,2	0,0	92,8	OK	OK
	A3	MSÚ-Sada(13)	16,1	274,4	952,6	0,0	828,6	11,7	0,0	4,0	OK	OK
	A4	MSÚ-Sada(13)	16,1	274,4	952,6	0,0	828,6	11,7	0,0	4,0	OK	OK

Návrhová data

Třída	$N_{Rd,s}$ [kN]
M33 8.8 - 1	339,8

Vysvětlení symbolů

N_{Ed}	Tahová síla
$N_{Rd,c}$	Návrhová únosnost v případě selhání betonového kužele při zatížení tahem - EN 1992-4 – 7.2.1.4
$N_{Rd,p}$	Návrhová únosnost v případě selhání na vytržení - EN 1992-4 – 7.2.1.5
$N_{Rd,cb}$	Návrhová únosnost v případě selhání na odprýsknutí betonu - EN 1992-4 – 7.2.1.8
$V_{Rd,cp}$	Návrhová únosnost v případě selhání na vylomení betonu - EN 1992-4 – 7.2.2.4
U_t	Využití v tahu
U_s	Využití ve smyku
U_{ts}	Využití v tahu a smyku
$N_{Rd,s}$	Návrhová únosnost v tahu spojovacího prostředku v případě porušení oceli - EN 1992-4 – 7.2.1.3

Svary

Položka	Hrana	T_w [mm]	L [mm]	Zatížení	$\sigma_{w,Ed}$ [MPa]	ϵ_{pl} [%]	σ_{\perp} [MPa]	τ_{\perp} [MPa]	τ_{\parallel} [MPa]	Ut [%]	Ut _c [%]	Konstrukční zásady	Status
B91-tfl 1	B91-w 1	▲ 10,0	493	MSÚ-Sada(11)	114,2	0,0	35,3	36,9	50,7	31,7	16,3	OK	OK
B91-tfl 1	B91-w 2	▲ 10,0	493	MSÚ-Sada(11)	114,9	0,0	35,3	-36,9	-51,2	31,9	16,4	OK	OK
B91-bfl 1	B91-w 1	▲ 10,0	493	MSÚ-Sada(11)	137,1	0,0	-71,8	66,7	-10,1	38,1	20,5	OK	OK
B91-bfl 1	B91-w 2	▲ 10,0	493	MSÚ-Sada(11)	137,7	0,0	-71,9	-66,9	10,6	38,2	20,6	OK	OK
PD1	B91-tfl 1	▲ 12,0	299	MSÚ-Sada(11)	308,2	0,0	127,0	90,5	-134,5	85,6	53,5	OK	OK
PD1	B91-bfl 1	▲ 12,0	299	MSÚ-Sada(11)	97,3	0,0	-34,1	43,8	29,2	27,0	23,4	OK	OK
PD1	B91-w 1	▲ 8,0	229	MSÚ-Sada(11)	183,8	0,0	7,1	7,7	-105,7	51,0	34,0	OK	OK
PD1	B91-w 2	▲ 8,0	229	MSÚ-Sada(11)	186,1	0,0	9,2	-10,2	106,8	51,7	34,0	OK	OK
PD1	Prvek 2-bfl 1	▲ 5,5 ▼	119	MSÚ-Sada(5)	33,3	0,0	18,9	14,3	-6,7	9,2	7,7	OK	OK
		▲ 5,5 ▼	119	MSÚ-Sada(11)	37,9	0,0	-15,9	12,7	15,2	10,5	9,6	OK	OK
PD1	Prvek 2-tfl 1	▲ 5,5 ▼	119	MSÚ-Sada(11)	46,2	0,0	21,5	18,3	14,9	12,8	10,4	OK	OK
		▲ 5,5 ▼	119	MSÚ-Sada(17)	40,7	0,0	18,6	-18,5	-9,8	11,3	8,4	OK	OK
PD1	Prvek 2-w 1	▲ 3,3 ▼	108	MSÚ-Sada(10)	49,9	0,0	2,0	1,9	28,7	13,9	8,1	Nevyhovuje!	OK
		▲ 3,3 ▼	108	MSÚ-Sada(10)	49,1	0,0	1,6	-1,7	-28,3	13,6	8,0	Nevyhovuje!	OK
PD1	ŽEB1	▲ 10,0 ▼	178	MSÚ-Sada(11)	180,8	0,0	63,0	37,1	-90,5	50,2	31,9	OK	OK
		▲ 10,0 ▼	178	MSÚ-Sada(11)	60,8	0,0	-22,7	-1,2	-32,5	16,9	10,0	OK	OK
B91-tfl 1	ŽEB1	▲ 10,0 ▼	119	MSÚ-Sada(11)	160,0	0,0	40,9	54,0	71,2	44,4	32,8	OK	OK
		▲ 10,0 ▼	119	MSÚ-Sada(11)	220,1	0,0	92,5	-79,5	-83,5	61,1	39,7	OK	OK
PD1	ŽEB2	▲ 10,0 ▼	179	MSÚ-Sada(11)	83,4	0,0	-7,2	-9,7	47,0	23,2	17,0	OK	OK
		▲ 10,0 ▼	179	MSÚ-Sada(11)	83,8	0,0	-18,7	8,2	-46,4	23,3	18,4	OK	OK
B91-bfl 1	ŽEB2	▲ 10,0 ▼	119	MSÚ-Sada(11)	261,1	0,0	-102,8	-98,6	-97,4	72,5	42,4	OK	OK

Položka	Hrana	T_w [mm]	L [mm]	Zatížení	$\sigma_{w,Ed}$ [MPa]	ϵ_{pl} [%]	σ_{\perp} [MPa]	τ_{\perp} [MPa]	τ_{\parallel} [MPa]	Ut [%]	Ut _c [%]	Konstrukční zásady	Status
		▲ 10,0 ▼	119	MSÚ-Sada(11)	250,4	0,0	-94,5	98,7	90,5	69,6	41,5	OK	OK
PD1	ŽEB3	▲ 10,0 ▼	178	MSÚ-Sada(11)	66,4	0,0	-22,3	2,3	36,0	18,4	10,6	OK	OK
		▲ 10,0 ▼	178	MSÚ-Sada(11)	182,7	0,0	61,5	-37,2	92,1	50,8	32,4	OK	OK
B91-tfl 1	ŽEB3	▲ 10,0 ▼	119	MSÚ-Sada(11)	220,0	0,0	92,5	79,5	83,5	61,1	39,7	OK	OK
		▲ 10,0 ▼	119	MSÚ-Sada(11)	160,1	0,0	40,9	-54,0	-71,2	44,5	32,8	OK	OK
PD1	ŽEB4	▲ 10,0 ▼	179	MSÚ-Sada(11)	88,3	0,0	-15,9	6,4	49,7	24,5	20,3	OK	OK
		▲ 10,0 ▼	179	MSÚ-Sada(11)	83,9	0,0	-4,5	8,1	-47,7	23,3	18,6	OK	OK
B91-bfl 1	ŽEB4	▲ 10,0 ▼	119	MSÚ-Sada(11)	249,0	0,0	-94,3	-98,4	-89,5	69,2	41,6	OK	OK
		▲ 10,0 ▼	119	MSÚ-Sada(11)	259,4	0,0	-102,4	98,2	96,4	72,1	42,5	OK	OK

Návrhová data

Materiál	f_u [MPa]	β_w [-]	$\sigma_{w,Rd}$ [MPa]	0.9σ [MPa]
S 235	360,0	0,80	360,0	259,2

Vysvětlení symbolů

T_w	Tloušťka svaru a
L	Délka
$\sigma_{w,Ed}$	Ekvivalentní napětí
ϵ_{pl}	Přetvoření
σ_{\perp}	Kolmé napětí
τ_{\perp}	Smykové napětí kolmé k ose svaru
τ_{\parallel}	Smykové napětí rovnoběžné s osou svaru
Ut	Využití
Ut _c	Odhad kapacity svaru
▲	Koutový svar
f_u	Mezní pevnost svaru
β_w	Korelační součinitel EN 1993-1-8 tabulka 4.1
$\sigma_{w,Rd}$	Únosnost na srovnávací napětí
0.9σ	Únosnost na kolmé napětí - $0.9 \cdot f_u / \gamma_{M2}$

Betonový blok

Položka	Zatížení	c [mm]	A _{eff} [mm ²]	σ [MPa]	k _j [-]	f _{jd} [MPa]	U _t [%]	Status
CB 1	MSÚ-Sada(11)	46	46792	5,9	3,00	33,5	17,7	OK

Vysvětlení symbolů

c	Šířka uložení
A _{eff}	Účinná plocha
σ	Průměrné napětí v betonu
k _j	Součinitel koncentrace
f _{jd}	Mezní únosnost betonové patky v otláčení
U _t	Využití

Smyk ve styčné ploše

Název	Zatížení	V _y [kN]	V _z [kN]	V _{Rd,y} [kN]	V _{Rd,z} [kN]	V _{c,Rd} [kN]	U _t [%]	Status
PD1	MSÚ-Sada(10)	0,0	-13,4	358,2	148,8	180,1	9,0	OK

Vysvětlení symbolů

V _y	Smyková síla v patním plechu V _y
V _z	Smyková síla v patním plechu V _z
V _{Rd,y}	Smyková únosnost
V _{Rd,z}	Smyková únosnost
V _{c,Rd}	Únosnost betonu v otláčení
U _t	Využití

Boulení

Analýza boulení nebyla provedena.

Nastavení normových proměnných

Položka	Hodnota	Jednotka	Reference
Součinitel spolehlivosti γ_{M0}	1,00	-	EN 1993-1-1: 6.1
Součinitel spolehlivosti γ_{M1}	1,00	-	EN 1993-1-1: 6.1
Součinitel spolehlivosti γ_{M2}	1,25	-	EN 1993-1-1: 6.1
Součinitel spolehlivosti γ_{M3}	1,25	-	EN 1993-1-8: 2.2
Součinitel spolehlivosti γ_C	1,50	-	EN 1992-1-1: 2.4.2.4
Součinitel spolehlivosti γ_{Inst}	1,20	-	EN 1992-4: Table 4.1
Součinitel styčnicku β_j	0,67	-	EN 1993-1-8: 6.2.5
Účinná plocha - vliv velikosti sítě	0,10	-	
Součinitel tření - beton	0,25	-	EN 1993-1-8
Součinitel tření pro třecí spoje	0,30	-	EN 1993-1-8 tab 3.7
Mezní plastické přetvoření	0,05	-	EN 1993-1-5
Konstrukční zásady	Ano		
Vzdálenost mezi šrouby [d]	2,20	-	EN 1993-1-8: tab 3.3
Vzdálenost mezi šrouby a hranou [d]	1,20	-	EN 1993-1-8: tab 3.3
Únosnost vytržení betonu	Oba		EN 1992-4: 7.2.1.4 and 7.2.2.5
Použití vypočtené a_b v posudku otláčení.	Ano		EN 1993-1-8: tab 3.4
Potrhaný beton	Ano		EN 1992-4
Kontrola lokální deformace	Ano		CIDECT DG 1, 3 - 1.1
Limita lokální deformace	0,03	-	CIDECT DG 1, 3 - 1.1
Geometrická nelinearita (GMNA)	Ano		Analýza s velkými deformacemi pro spoje s dutými profily
Vyztužený systém	Ne		EN 1993-1-8: 5.2.2.5

Data projektu

Jméno projektu	RNR - SO 664
Číslo projektu	24-026-002
Autor	
Popis	KOTVENI B4 AŽ B30 - OSA 1
Datum	27.11.2024
Norma	EN

Materiál

Ocel	S 235, S 355
Beton	C25/30

Položka projektu Con N45

Návrh

Název	Con N45
Popis	
Výpočet	Napětí, přetvoření/ zatížení v rovnováze

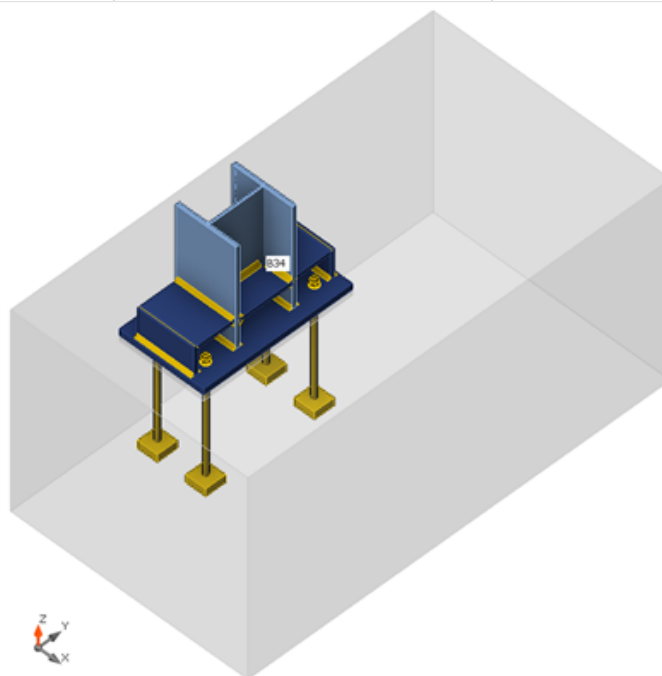
Prvky

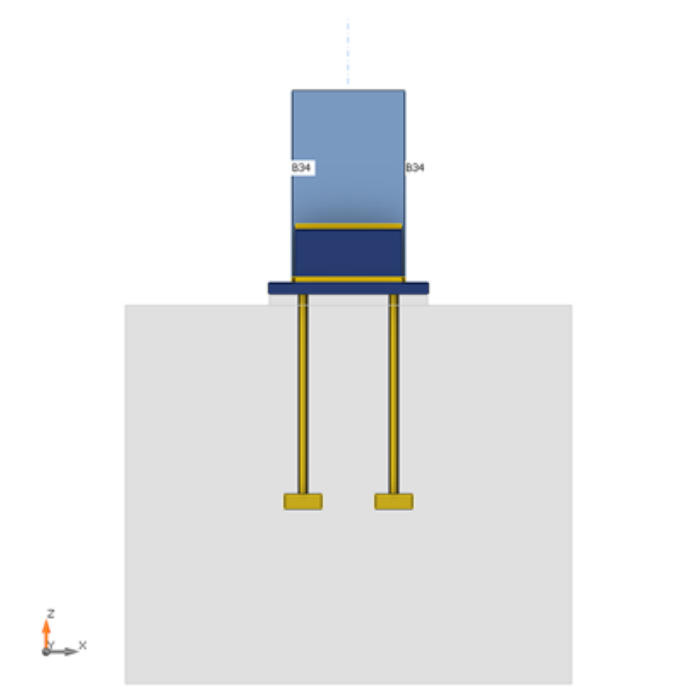
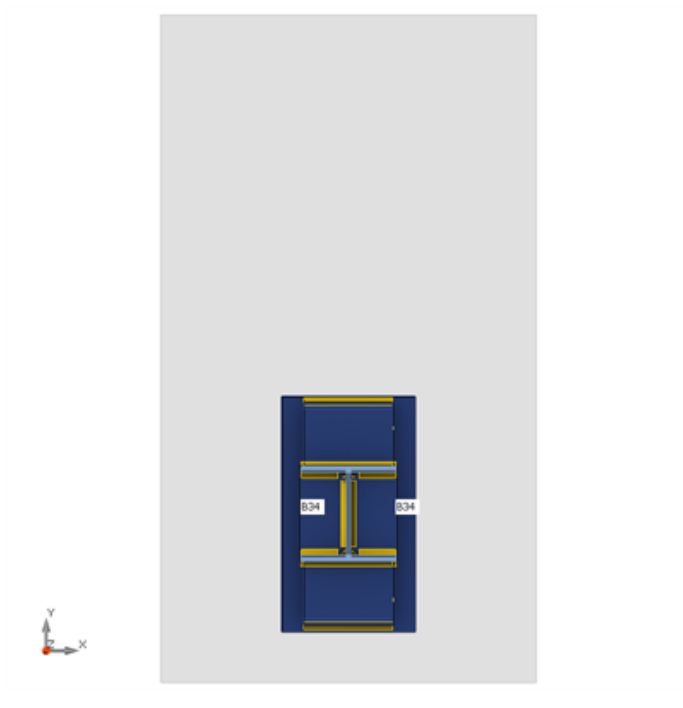
Geometrie

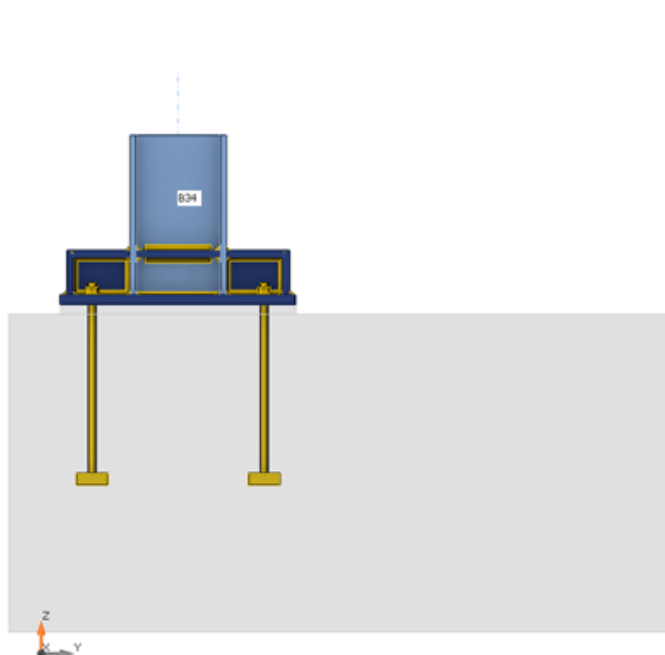
Název	Průřez	β - Směr [°]	γ - Sklon [°]	α - Pootočení [°]	Odsazení ex [mm]	Odsazení ey [mm]	Odsazení ez [mm]
B34	1 - HEB300	0,0	90,0	90,0	0	0	0

Podpory a síly

Název	Podpora	Síly v	X [mm]
B34 / konec		Pozice	0







Průřezy

Název	Materiál
1 - HEB300	S 235

Kotvy

Název	Průměr [mm]	f_y [MPa]	f_u [MPa]	Plocha [mm ²]
M24 8.8	24	640,0	800,0	452

Účinky zatížení (síly v rovnováze)

Název	Prvek	N [kN]	V _y [kN]	V _z [kN]	M _x [kNm]	M _y [kNm]	M _z [kNm]
MSÚ-Sada(2)	B34 / Konec	-36,3	0,0	1,7	0,0	53,2	0,0
MSÚ-Sada(3)	B34 / Konec	-30,7	-0,2	2,8	0,0	45,1	0,0
MSÚ-Sada(5)	B34 / Konec	-12,1	0,2	-1,7	0,0	-2,7	0,0
MSÚ-Sada(7)	B34 / Konec	-29,6	0,0	-5,3	0,0	56,1	0,0
MSÚ-Sada(9)	B34 / Konec	-12,3	0,0	4,7	0,0	-13,1	0,0
MSÚ-Sada(11)	B34 / Konec	-9,9	0,0	4,7	0,0	-15,0	0,0
MSÚ-Sada(12)	B34 / Konec	-35,7	0,0	-3,2	0,0	61,1	0,0

Nevyvážené síly

Název	X [kN]	Y [kN]	Z [kN]	M _x [kNm]	M _y [kNm]	M _z [kNm]
MSÚ-Sada(2)	0,0	-1,7	-36,3	-53,2	0,0	0,0
MSÚ-Sada(3)	0,2	-2,8	-30,7	-45,1	0,0	0,0
MSÚ-Sada(5)	-0,2	1,7	-12,1	2,7	0,0	0,0
MSÚ-Sada(7)	0,0	5,3	-29,6	-56,1	0,0	0,0
MSÚ-Sada(9)	0,0	-4,7	-12,3	13,1	0,0	0,0
MSÚ-Sada(11)	0,0	-4,7	-9,9	15,0	0,0	0,0
MSÚ-Sada(12)	0,0	3,2	-35,7	-61,1	0,0	0,0

Betonová patka

Položka	Hodnota	Jednotka
CB 1		
Kóty	1180 x 2100	mm
Výška	1000	mm
Kotva	M24 8.8	
Kotevní délka	500	mm
Přenos smykové síly	Kotevní šrouby	
Podlité	30	mm

Posudek

Souhrn

Název	Hodnota	Status posudku
Výpočet	100,0%	OK
Plechý	0,0 < 5,0%	OK
Kotvy	89,7 < 100%	OK
Svary	Konstrukční zásady	Nevyhovuje!
Betonový blok	5,0 < 100%	OK
Boulení	Nespočteno	

Plechý

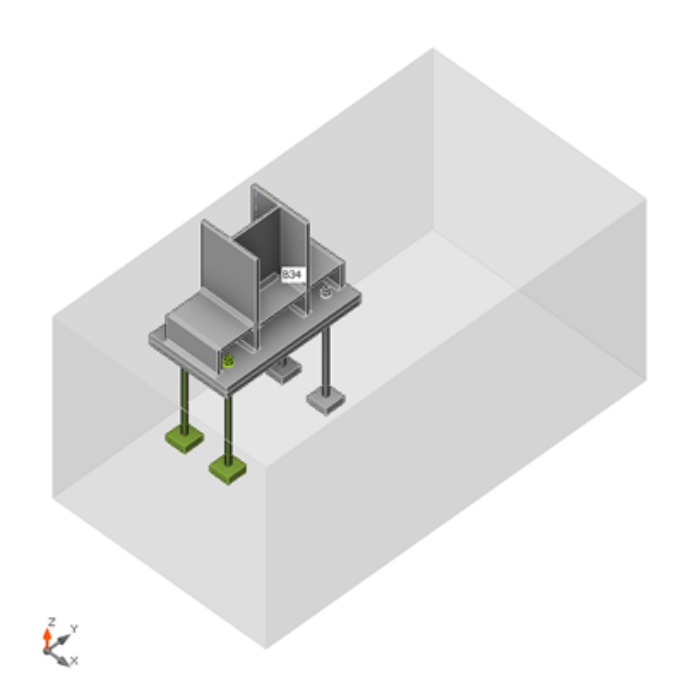
Název	t_p [mm]	Zatížení	σ_{Ed} [MPa]	ϵ_{pl} [%]	$\sigma_{c,Ed}$ [MPa]	Status
B34-bfl 1	19,0	MSÚ-Sada(12)	73,8	0,0	0,0	OK
B34-tfl 1	19,0	MSÚ-Sada(12)	67,5	0,0	0,0	OK
B34-w 1	11,0	MSÚ-Sada(12)	89,4	0,0	0,0	OK
PD1	30,0	MSÚ-Sada(12)	69,8	0,0	0,0	OK
SP1	20,0	MSÚ-Sada(12)	74,7	0,0	0,0	OK
SP2	20,0	MSÚ-Sada(12)	40,0	0,0	0,0	OK
SP3	20,0	MSÚ-Sada(12)	43,5	0,0	0,0	OK
SP4	20,0	MSÚ-Sada(12)	77,9	0,0	0,0	OK
SP5	20,0	MSÚ-Sada(12)	27,1	0,0	0,0	OK
SP6	20,0	MSÚ-Sada(12)	47,3	0,0	0,0	OK
VÝZT1a	20,0	MSÚ-Sada(12)	30,9	0,0	0,0	OK
VÝZT1b	20,0	MSÚ-Sada(12)	31,1	0,0	0,0	OK

Návrhová data

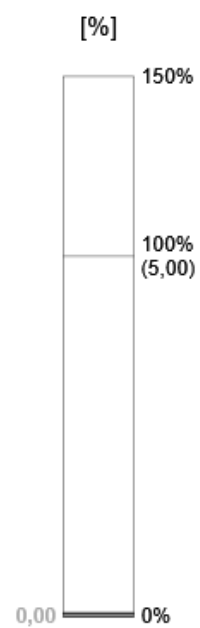
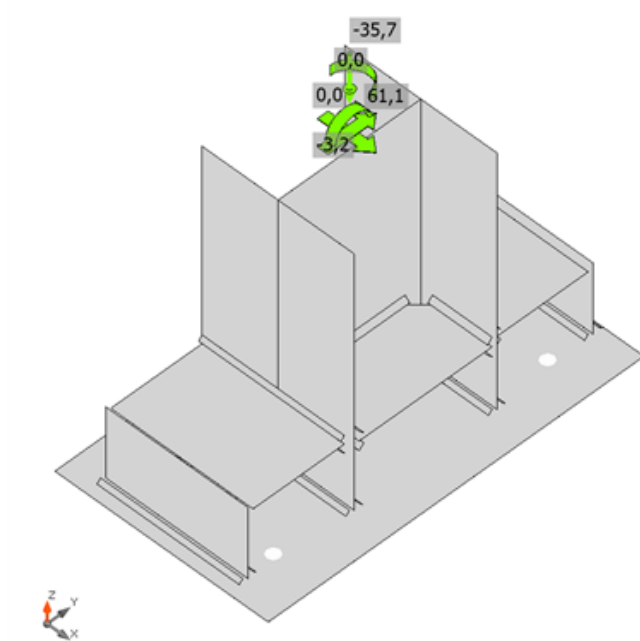
Materiál	f_y [MPa]	ϵ_{lim} [%]
S 235	235,0	5,0

Vysvětlení symbolů

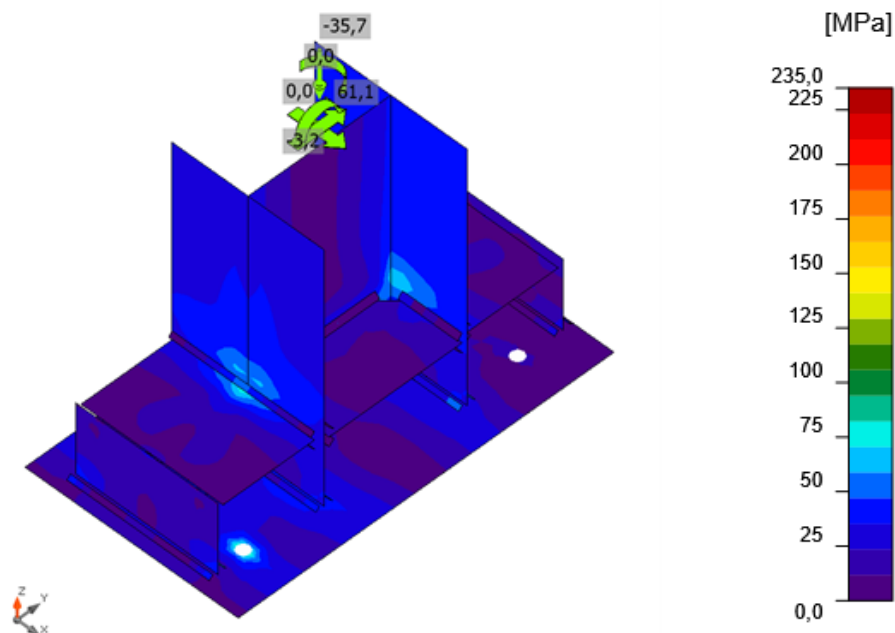
t_p	Tloušťka plechu
σ_{Ed}	Ekvivalentní napětí
ϵ_{pl}	Plastická deformace
$\sigma_{c,Ed}$	Kontaktní napětí
f_y	Mez kluzu
ϵ_{lim}	Mezní plastické přetvoření



Souhrnný posudek, MSÚ-Sada(12)



Posudek přetvoření, MSÚ-Sada(12)



Ekvivalentní napětí, MSÚ-Sada(12)

Kotvy

Tvar	Položka	Zatížení	N_{Ed} [kN]	V_{Ed} [kN]	$N_{Rd,c}$ [kN]	$N_{Rd,p}$ [kN]	$N_{Rd,cb}$ [kN]	$V_{Rd,s}$ [kN]	$V_{Rd,c}$ [kN]	$V_{Rd,cp}$ [kN]	U_{t_t} [%]	U_{t_s} [%]	$U_{t_{ts}}$ [%]	Konstrukční zásady	Status
	A1	MSÚ-Sada(12)	51,9	0,8	115,7	994,5	0,0	0,0	0,0	483,3	89,7	1,4	84,9	OK	OK
	A2	MSÚ-Sada(12)	51,9	0,8	115,7	994,5	0,0	0,0	0,0	483,3	89,7	1,4	84,9	OK	OK
	A3	MSÚ-Sada(11)	12,5	1,2	193,1	994,5	0,0	0,0	0,0	483,3	12,9	2,1	7,3	OK	OK
	A4	MSÚ-Sada(11)	12,5	1,2	193,1	994,5	0,0	0,0	0,0	483,3	12,9	2,1	7,3	OK	OK

Návrhová data

Třída	$N_{Rd,s}$ [kN]
M24 8.8 - 1	172,8

Vysvětlení symbolů

N_{Ed}	Tahová síla
V_{Ed}	Výslednice smykových sil ve šroubu V_y a V_z v rovinách smyku
$N_{Rd,c}$	Návrhová únosnost v případě selhání betonového kužele při zatížení tahem - EN 1992-4 – 7.2.1.4
$N_{Rd,p}$	Návrhová únosnost v případě selhání na vytržení - EN 1992-4 – 7.2.1.5
$N_{Rd,cb}$	Návrhová únosnost v případě selhání na odprýsknutí betonu - EN 1992-4 – 7.2.1.8
$V_{Rd,s}$	Návrhová únosnost ve smyku spojovacího prostředku v případě porušení oceli - EN 1992-4 – 7.2.2.3.2
$V_{Rd,c}$	Návrhová únosnost v případě selhání betonového kužele vlivem smykového zatížení - EN 1992-4 – 7.2.2.5
$V_{Rd,cp}$	Návrhová únosnost v případě selhání na vylomení betonu - EN 1992-4 – 7.2.2.4
U_{t_t}	Využití v tahu
U_{t_s}	Využití ve smyku
$U_{t_{ts}}$	Využití v tahu a smyku
$N_{Rd,s}$	Návrhová únosnost v tahu spojovacího prostředku v případě porušení oceli - EN 1992-4 – 7.2.1.3

Svary

Položka	Hrana	Materiál	T_w [mm]	L [mm]	Zatížení	$\sigma_{w,Ed}$ [MPa]	ϵ_{pl} [%]	σ_{\perp} [MPa]	τ_{\perp} [MPa]	τ_{\parallel} [MPa]	Ut [%]	Ut _c [%]	Konstrukční zásady	Status
PD1	B34-bfl 1	S 235	▲ 10,0 ▼	299	MSÚ-Sada(12)	51,7	0,0	-23,2	-23,9	-11,8	14,4	12,1	OK	OK
		S 235	▲ 10,0 ▼	299	MSÚ-Sada(12)	49,6	0,0	-22,5	21,8	13,2	13,8	11,6	OK	OK
PD1	B34-tfl 1	S 235	▲ 10,0 ▼	299	MSÚ-Sada(12)	44,4	0,0	22,6	18,0	-12,8	12,3	10,7	OK	OK
		S 235	▲ 10,0 ▼	299	MSÚ-Sada(12)	40,0	0,0	15,6	-20,2	6,6	11,1	10,1	OK	OK
PD1	B34-w 1	S 235	▲ 6,0 ▼	280	MSÚ-Sada(12)	87,5	0,0	1,6	1,6	50,5	24,3	14,7	OK	OK
		S 235	▲ 6,0 ▼	280	MSÚ-Sada(12)	87,6	0,0	1,6	-1,6	-50,5	24,3	14,7	OK	OK
B34-tfl 1	SP1	S 355	▲ 10,0 ▼	278	MSÚ-Sada(12)	46,2	0,0	1,9	-24,8	-9,7	10,6	7,8	Nevyhovuje!	OK
		S 355	▲ 10,0 ▼	278	MSÚ-Sada(12)	53,4	0,0	41,2	18,4	6,8	12,3	8,2	Nevyhovuje!	OK
B34-bfl 1	SP4	S 355	▲ 10,0 ▼	278	MSÚ-Sada(12)	55,3	0,0	-43,4	18,5	7,1	12,7	8,4	Nevyhovuje!	OK
		S 355	▲ 10,0 ▼	278	MSÚ-Sada(12)	48,8	0,0	-1,3	-26,2	-10,2	11,2	8,0	Nevyhovuje!	OK
PD1	SP2	S 355	▲ 10,0 ▼	279	MSÚ-Sada(12)	41,3	0,0	17,1	18,9	-10,7	9,5	7,6	Nevyhovuje!	OK
		S 355	▲ 10,0 ▼	279	MSÚ-Sada(12)	49,7	0,0	21,7	-19,9	16,4	11,4	8,7	Nevyhovuje!	OK
PD1	SP5	S 355	▲ 10,0 ▼	279	MSÚ-Sada(12)	29,3	0,0	-8,7	-10,9	11,9	6,7	6,7	Nevyhovuje!	OK
		S 355	▲ 10,0 ▼	279	MSÚ-Sada(12)	35,7	0,0	-15,5	13,3	-13,0	8,2	7,6	Nevyhovuje!	OK
SP1	SP2	S 355	-	280	-	-	-	-	-	-	-	-	OK	OK
SP4	SP5	S 355	-	280	-	-	-	-	-	-	-	-	OK	OK
PD1	SP3	S 355	▲ 10,0 ▼	178	MSÚ-Sada(12)	50,0	0,0	-5,6	-5,8	28,1	11,5	8,2	Nevyhovuje!	OK
		S 355	▲ 10,0 ▼	178	MSÚ-Sada(12)	49,6	0,0	-5,8	5,6	-27,9	11,4	8,1	Nevyhovuje!	OK
SP2	SP3	S 355	▲ 10,0 ▼	119	MSÚ-Sada(12)	23,5	0,0	-1,1	-1,1	-13,5	5,4	5,4	Nevyhovuje!	OK
		S 355	▲ 10,0 ▼	119	MSÚ-Sada(12)	23,5	0,0	-1,1	1,1	13,5	5,4	5,4	Nevyhovuje!	OK
SP1	SP3	S 355	▲ 10,0 ▼	178	MSÚ-Sada(12)	53,2	0,0	18,4	18,4	22,2	12,2	9,5	Nevyhovuje!	OK
		S 355	▲ 10,0 ▼	178	MSÚ-Sada(12)	53,2	0,0	18,4	-18,4	-22,2	12,2	9,5	Nevyhovuje!	OK
B34-tfl 1	SP3	S 355	▲ 10,0 ▼	119	MSÚ-Sada(12)	27,9	0,0	3,4	3,4	-15,6	6,4	5,9	Nevyhovuje!	OK
		S 355	▲ 10,0 ▼	119	MSÚ-Sada(12)	27,9	0,0	3,4	-3,4	15,6	6,4	5,9	Nevyhovuje!	OK
PD1	SP6	S 355	▲ 10,0 ▼	178	MSÚ-Sada(12)	47,8	0,0	1,9	2,0	27,5	11,0	8,2	Nevyhovuje!	OK
		S 355	▲ 10,0 ▼	178	MSÚ-Sada(12)	47,8	0,0	2,0	-1,9	-27,5	11,0	8,2	Nevyhovuje!	OK
SP5	SP6	S 355	▲ 10,0 ▼	119	MSÚ-Sada(12)	24,5	0,0	-0,9	-0,9	-14,1	5,6	5,6	Nevyhovuje!	OK
		S 355	▲ 10,0 ▼	119	MSÚ-Sada(12)	24,5	0,0	-0,9	0,9	14,1	5,6	5,6	Nevyhovuje!	OK
SP4	SP6	S 355	▲ 10,0 ▼	178	MSÚ-Sada(12)	57,5	0,0	-20,2	-20,2	23,6	13,2	9,3	Nevyhovuje!	OK

Položka	Hrana	Materiál	T_w [mm]	L [mm]	Zatížení	$\sigma_{w,Ed}$ [MPa]	ϵ_{pl} [%]	σ_{\perp} [MPa]	τ_{\perp} [MPa]	τ_{\parallel} [MPa]	Ut [%]	Ut _c [%]	Konstrukční zásady	Status
		S 355	▲ 10,0 ▼	178	MSÚ-Sada(12)	57,5	0,0	-20,2	20,2	-23,6	13,2	9,3	Nevyhovuje!	OK
B34-bf1 1	SP6	S 355	▲ 10,0 ▼	119	MSÚ-Sada(12)	31,8	0,0	-3,7	-3,7	-17,8	7,3	6,5	Nevyhovuje!	OK
		S 355	▲ 10,0 ▼	119	MSÚ-Sada(12)	31,8	0,0	-3,7	3,7	17,8	7,3	6,5	Nevyhovuje!	OK
B34-bf1 1	VÝZT1a	S 355	▲ 13,0 ▼	117	MSÚ-Sada(12)	24,9	0,0	-14,6	-10,1	5,8	5,7	5,7	Nevyhovuje!	OK
		S 355	▲ 13,0 ▼	117	MSÚ-Sada(12)	10,9	0,0	1,9	2,7	-5,6	2,5	2,5	Nevyhovuje!	OK
B34-w 1	VÝZT1a	S 355	▲ 13,0 ▼	208	MSÚ-Sada(12)	9,3	0,0	6,5	3,8	0,3	2,1	2,1	Nevyhovuje!	OK
		S 355	▲ 13,0 ▼	207	MSÚ-Sada(12)	11,4	0,0	0,4	-2,0	6,3	2,6	2,6	Nevyhovuje!	OK
B34-tf1 1	VÝZT1a	S 355	▲ 13,0 ▼	117	MSÚ-Sada(12)	23,9	0,0	14,3	9,6	5,4	5,5	5,5	Nevyhovuje!	OK
		S 355	▲ 13,0 ▼	117	MSÚ-Sada(12)	10,9	0,0	-2,1	-2,7	-5,5	2,5	0,0	Nevyhovuje!	OK
B34-bf1 1	VÝZT1b	S 355	▲ 13,0 ▼	117	MSÚ-Sada(12)	10,9	0,0	1,9	-2,7	5,6	2,5	2,5	Nevyhovuje!	OK
		S 355	▲ 13,0 ▼	117	MSÚ-Sada(12)	24,9	0,0	-14,6	10,1	-5,8	5,7	5,7	Nevyhovuje!	OK
B34-w 1	VÝZT1b	S 355	▲ 13,0 ▼	207	MSÚ-Sada(12)	11,4	0,0	0,4	2,0	-6,3	2,6	2,6	Nevyhovuje!	OK
		S 355	▲ 13,0 ▼	208	MSÚ-Sada(12)	9,3	0,0	6,5	-3,8	-0,3	2,1	2,1	Nevyhovuje!	OK
B34-tf1 1	VÝZT1b	S 355	▲ 13,0 ▼	117	MSÚ-Sada(12)	10,9	0,0	-2,0	2,7	5,5	2,5	0,0	Nevyhovuje!	OK
		S 355	▲ 13,0 ▼	117	MSÚ-Sada(12)	23,9	0,0	14,3	-9,6	-5,4	5,5	5,5	Nevyhovuje!	OK

Návrhová data

Materiál	f_u [MPa]	β_w [-]	$\sigma_{w,Rd}$ [MPa]	0.9σ [MPa]
S 235	360,0	0,80	360,0	259,2
S 355	490,0	0,90	435,6	352,8

Vysvětlení symbolů

T_w	Tloušťka svaru a
L	Délka
$\sigma_{w,Ed}$	Ekvivalentní napětí
ϵ_{pl}	Přetvoření
σ_{\perp}	Kolmé napětí
τ_{\perp}	Smykové napětí kolmé k ose svaru
τ_{\parallel}	Smykové napětí rovnoběžné s osou svaru
Ut	Využití
Ut _c	Odhad kapacity svaru
▲	Koutový svar
f_u	Mezní pevnost svaru
β_w	Korelační součinitel EN 1993-1-8 tabulka 4.1
$\sigma_{w,Rd}$	Únosnost na srovnávací napětí
0.9σ	Únosnost na kolmé napětí - $0.9 \cdot f_u / \gamma_{M2}$

Betonový blok

Položka	Zatížení	c [mm]	A _{eff} [mm ²]	σ [MPa]	k _j [-]	f _{jd} [MPa]	Ut [%]	Status
CB 1	MSÚ-Sada(12)	46	84587	1,7	3,00	33,5	5,0	OK

Vysvětlení symbolů

c	Šířka uložení
A _{eff}	Účinná plocha
σ	Průměrné napětí v betonu
k _j	Součinitel koncentrace
f _{jd}	Mezní únosnost betonové patky v otláčení
Ut	Využití

Boulení

Analýza boulení nebyla provedena.

Nastavení normových proměnných

Položka	Hodnota	Jednotka	Reference
Součinitel spolehlivosti γ_{M0}	1,00	-	EN 1993-1-1: 6.1
Součinitel spolehlivosti γ_{M1}	1,00	-	EN 1993-1-1: 6.1
Součinitel spolehlivosti γ_{M2}	1,25	-	EN 1993-1-1: 6.1
Součinitel spolehlivosti γ_{M3}	1,25	-	EN 1993-1-8: 2.2
Součinitel spolehlivosti γ_C	1,50	-	EN 1992-1-1: 2.4.2.4
Součinitel spolehlivosti γ_{Inst}	1,20	-	EN 1992-4: Table 4.1
Součinitel styčnicku β_j	0,67	-	EN 1993-1-8: 6.2.5
Účinná plocha - vliv velikosti sítě	0,10	-	
Součinitel tření - beton	0,25	-	EN 1993-1-8
Součinitel tření pro třecí spoje	0,30	-	EN 1993-1-8 tab 3.7
Mezní plastické přetvoření	0,05	-	EN 1993-1-5
Konstrukční zásady	Ano		
Vzdálenost mezi šrouby [d]	2,20	-	EN 1993-1-8: tab 3.3
Vzdálenost mezi šrouby a hranou [d]	1,20	-	EN 1993-1-8: tab 3.3
Únosnost vytržení betonu	Oba		EN 1992-4: 7.2.1.4 and 7.2.2.5
Použit vypočtené ab v posudku otláčení.	Ano		EN 1993-1-8: tab 3.4
Potrhaný beton	Ano		EN 1992-4
Kontrola lokální deformace	Ano		CIDECT DG 1, 3 - 1.1
Límata lokální deformace	0,03	-	CIDECT DG 1, 3 - 1.1
Geometrická nelinearita (GMNA)	Ano		Analýza s velkými deformacemi pro spoje s dutými profily
Vyztužený systém	Ne		EN 1993-1-8: 5.2.2.5

Data projektu

Jméno projektu	RNR - SO 664
Číslo projektu	24-026-002
Autor	
Popis	KOTVENI SLOUP OSA B1 -B33 OSA 5
Datum	02.12.2024
Norma	EN

Materiál

Ocel	S 235, S 355
Beton	C25/30

Položka projektu Con N303

Návrh

Název	Con N303
Popis	
Výpočet	Napětí, přetvoření/ zatížení v rovnováze

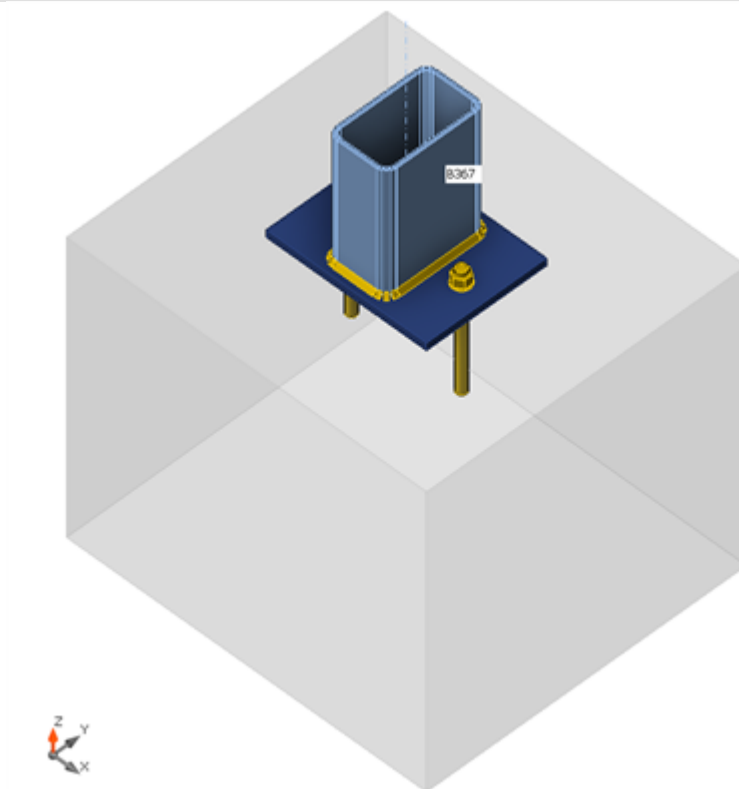
Prvky

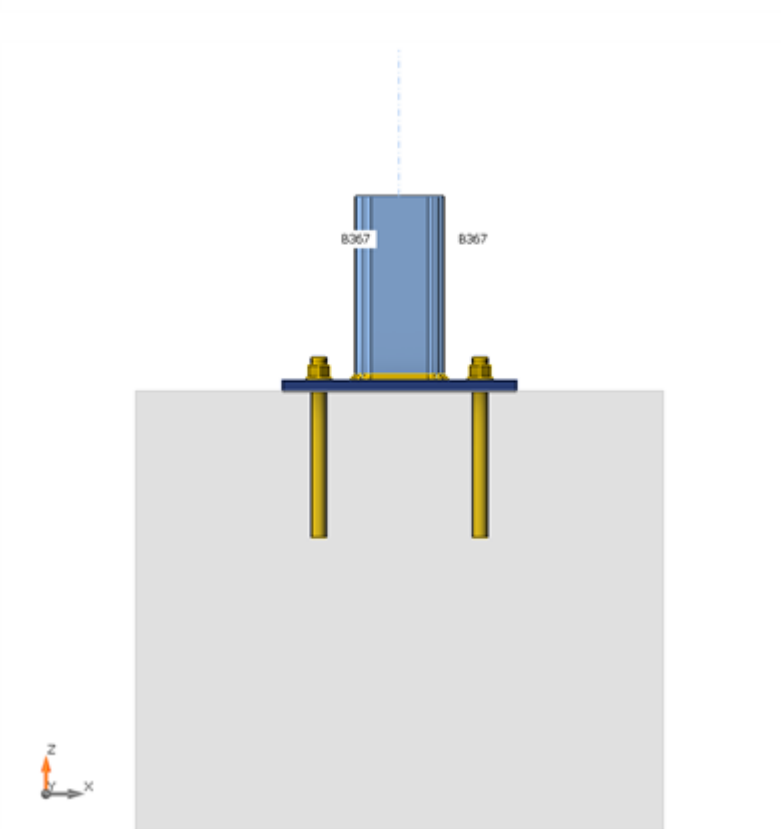
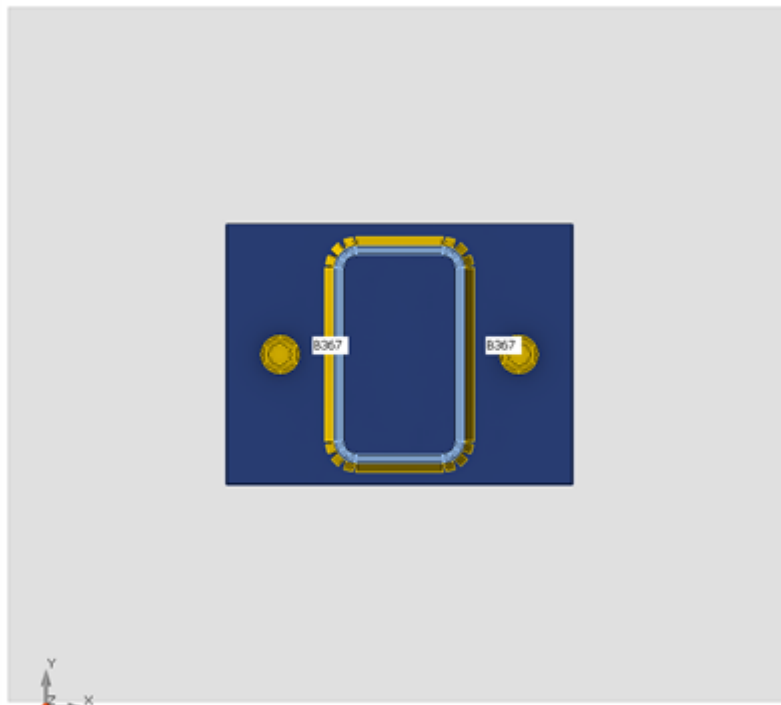
Geometrie

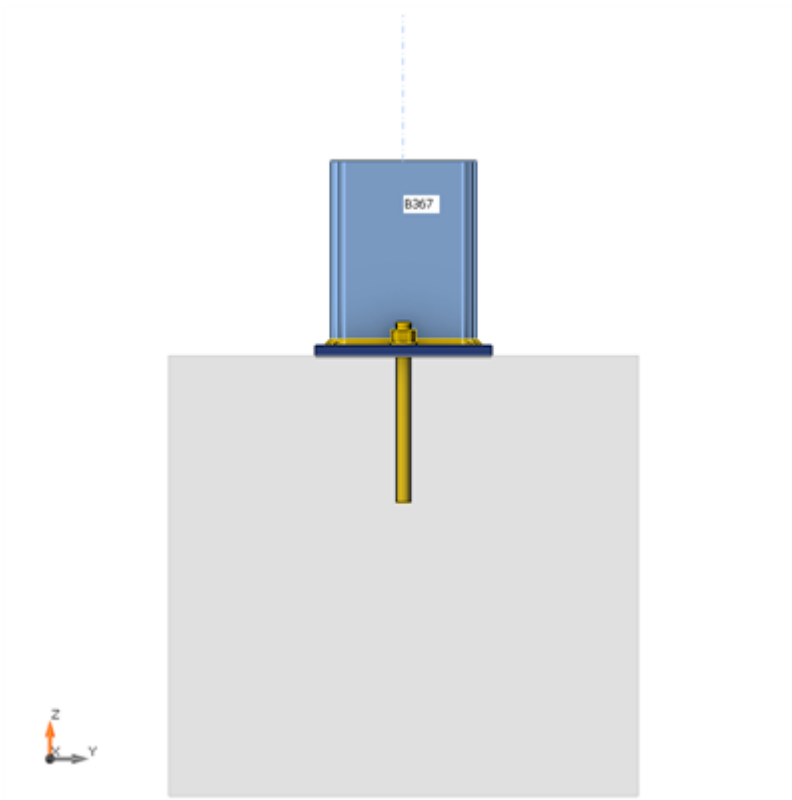
Název	Průřez	β - Směr [°]	γ - Sklon [°]	α - Pootočení [°]	Odsazení ex [mm]	Odsazení ey [mm]	Odsazení ez [mm]
B367	1 - RHS200/120/8.0	0,0	90,0	90,0	0	0	0

Podpory a síly

Název	Podpora	Síly v	X [mm]
B367 / konec		Pozice	0







Průřezy

Název	Materiál
1 - RHS200/120/8.0	S 235

Průřezy

Název	Materiál	Obrázek
1 - RHS200/120/8.0	S 235	

Kotvy

Název	Průměr [mm]	f_y [MPa]	f_u [MPa]	Plocha [mm ²]
M20 8.8	20	640,0	800,0	314

Účinky zatížení (síly v rovnováze)

Název	Prvek	N [kN]	Vy [kN]	Vz [kN]	Mx [kNm]	My [kNm]	Mz [kNm]
MSÚ-Sada(1)	B367 / Konec	16,7	0,0	-1,5	0,0	0,0	0,0
MSÚ-Sada(2)	B367 / Konec	-102,0	0,0	0,6	0,0	0,0	0,0
MSÚ-Sada(3)	B367 / Konec	-49,1	-0,2	-1,5	0,0	0,0	0,0
MSÚ-Sada(4)	B367 / Konec	4,5	0,0	1,5	0,0	0,0	0,0
MSÚ-Sada(5)	B367 / Konec	15,7	0,2	-1,6	0,0	0,0	0,0
MSÚ-Sada(6)	B367 / Konec	-15,7	0,2	-1,8	0,0	0,0	0,0
MSÚ-Sada(7)	B367 / Konec	-90,6	0,0	-1,2	0,0	0,0	0,0
MSÚ-Sada(8)	B367 / Konec	-80,4	-0,2	-1,7	0,0	0,0	0,0
MSÚ-Sada(9)	B367 / Konec	-88,4	0,0	-1,8	0,0	0,0	0,0
MSÚ-Sada(10)	B367 / Konec	-68,6	0,0	1,6	0,0	0,0	0,0
MSÚ-Sada(11)	B367 / Konec	-32,4	0,0	-0,2	0,0	0,0	0,0
MSÚ-Sada(12)	B367 / Konec	-100,0	0,0	1,4	0,0	0,0	0,0
MSÚ-Sada(13)	B367 / Konec	-95,1	0,0	-1,3	0,0	0,0	0,0

Nevyvážené síly

Název	X [kN]	Y [kN]	Z [kN]	Mx [kNm]	My [kNm]	Mz [kNm]
MSÚ-Sada(1)	0,0	1,5	16,7	0,0	0,0	0,0
MSÚ-Sada(2)	0,0	-0,6	-102,0	0,0	0,0	0,0
MSÚ-Sada(3)	0,2	1,5	-49,1	0,0	0,0	0,0
MSÚ-Sada(4)	0,0	-1,5	4,5	0,0	0,0	0,0
MSÚ-Sada(5)	-0,2	1,6	15,7	0,0	0,0	0,0
MSÚ-Sada(6)	-0,2	1,8	-15,7	0,0	0,0	0,0
MSÚ-Sada(7)	0,0	1,2	-90,6	0,0	0,0	0,0
MSÚ-Sada(8)	0,2	1,7	-80,4	0,0	0,0	0,0
MSÚ-Sada(9)	0,0	1,8	-88,4	0,0	0,0	0,0
MSÚ-Sada(10)	0,0	-1,6	-68,6	0,0	0,0	0,0
MSÚ-Sada(11)	0,0	0,2	-32,4	0,0	0,0	0,0
MSÚ-Sada(12)	0,0	-1,4	-100,0	0,0	0,0	0,0
MSÚ-Sada(13)	0,0	1,3	-95,1	0,0	0,0	0,0

Betonová patka

Položka	Hodnota	Jednotka
CB 1		
Kóty	720 x 640	mm
Výška	600	mm
Kotva	M20 8.8	
Kotevní délka	200	mm
Přenos smykové síly	Kotevní šrouby	

Posudek

Souhrn

Název	Hodnota	Status posudku
Výpočet	100,0%	OK
Plechý	0,0 < 5,0%	OK
Lok. deformace	0,0 < 3%	OK
Kotvy	30,5 < 100%	OK
Svary	15,5 < 100%	OK
Betonový blok	8,7 < 100%	OK
Boulení	Nespočteno	

Plechý

Název	Materiál	t_p [mm]	Zatížení	σ_{Ed} [MPa]	ϵ_{pl} [%]	$\sigma_{c,Ed}$ [MPa]	Status
B367	S 235	8,0	MSÚ-Sada(2)	31,4	0,0	0,0	OK
PD1	S 355	15,0	MSÚ-Sada(1)	44,1	0,0	0,0	OK

Návrhová data

Materiál	f_y [MPa]	ϵ_{lim} [%]
S 235	235,0	5,0
S 355	355,0	5,0

Vysvětlení symbolů

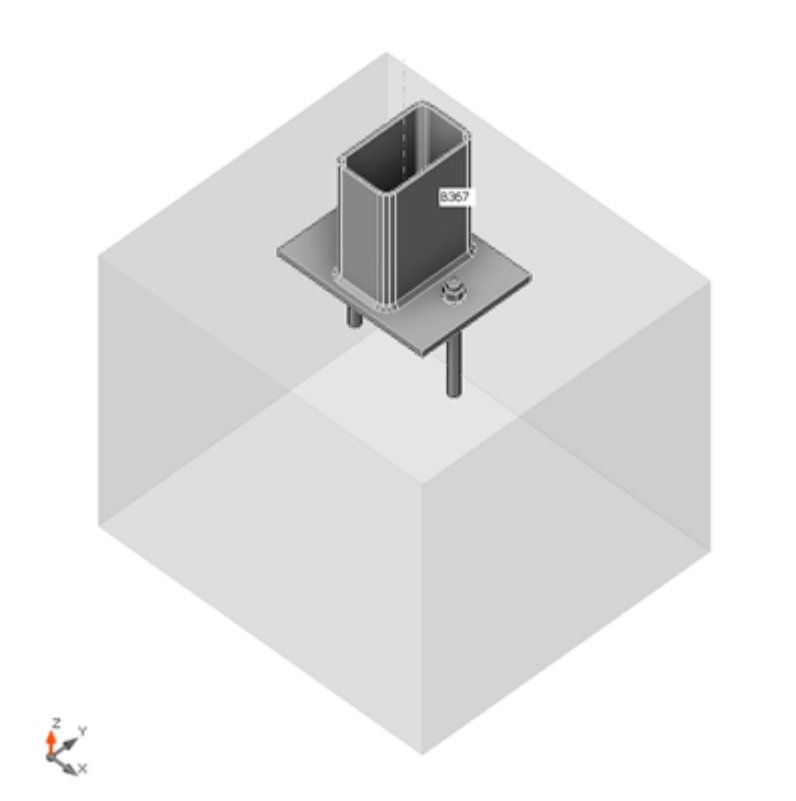
t_p	Tloušťka plechu
σ_{Ed}	Ekvivalentní napětí
ϵ_{pl}	Plastická deformace
$\sigma_{c,Ed}$	Kontaktní napětí
f_y	Mez kluzu
ϵ_{lim}	Mezní plastické přetvoření

Lok. deformace

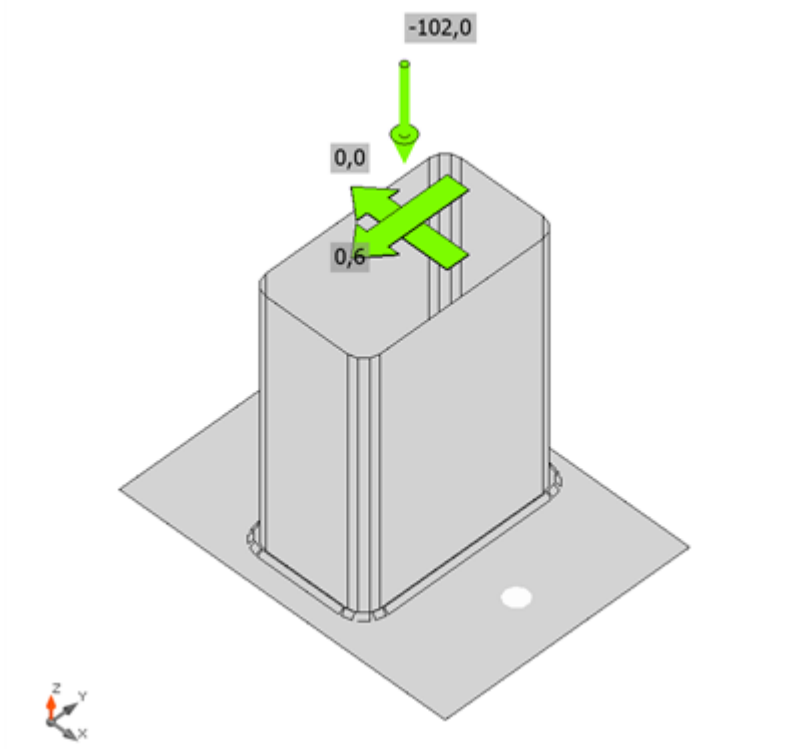
Název	d_0 [mm]	Zatížení	δ [mm]	δ_{lim} [mm]	δ/d_0 [%]	Status posudku
B367	120	MSÚ-Sada(13)	0	4	0,0	OK

Vysvětlení symbolů

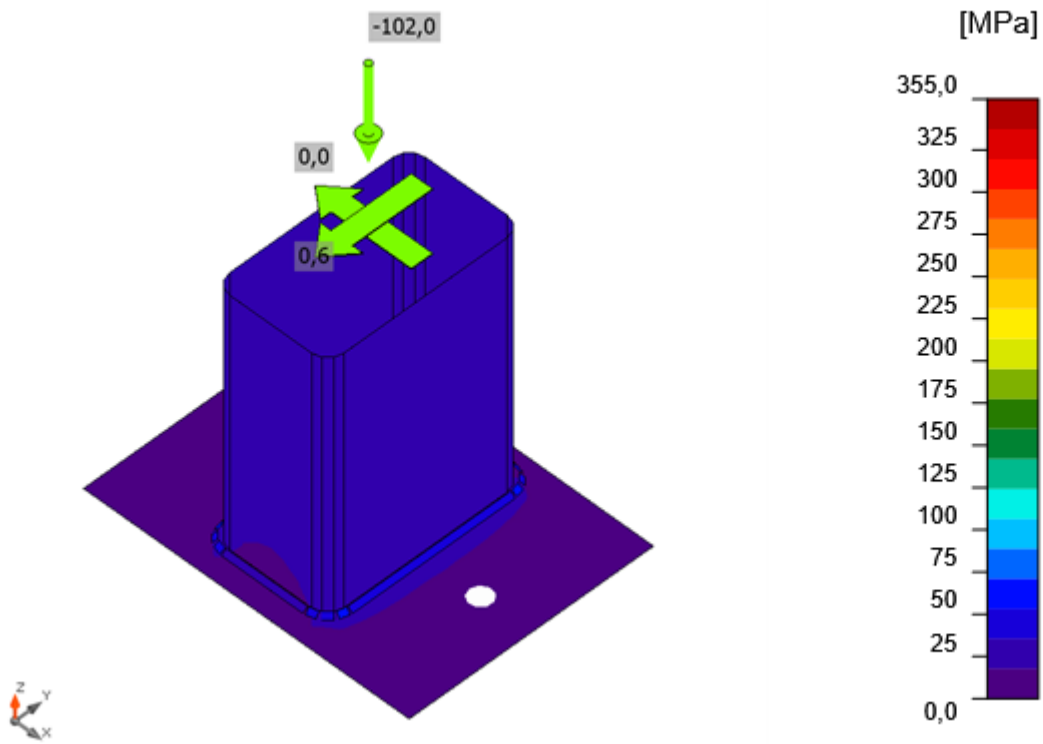
d_0	Velikost průřezu
δ	Lokální deformace průřezu
δ_{lim}	Povolená deformace



Souhrnný posudek, MSÚ-Sada(2)



Posudek přetvoření, MSÚ-Sada(2)



Ekvivalentní napětí, MSÚ-Sada(2)

Kotvy

Tvar	Položka	Zatížení	N_{Ed} [kN]	V_{Ed} [kN]	$N_{Rd,c}$ [kN]	$V_{Rd,c}$ [kN]	$V_{Rd,cp}$ [kN]	U_{t_t} [%]	U_{t_s} [%]	$U_{t_{ts}}$ [%]	Konstrukční zásady	Status
	A1	MSÚ-Sada(1)	10,5	0,8	69,0	35,8	165,5	30,5	4,2	17,7	OK	OK
	A2	MSÚ-Sada(1)	10,5	0,8	69,0	35,8	165,5	30,5	4,2	17,7	OK	OK

Návrhová data

Třída	$N_{Rd,s}$ [kN]	$V_{Rd,s}$ [kN]
M20 8.8 - 1	111,1	78,4

Vysvětlení symbolů

N_{Ed}	Tahová síla
V_{Ed}	Výslednice smykových sil ve šroubu V_y a V_z v rovinách smyku
$N_{Rd,c}$	Návrhová únosnost v případě selhání betonového kužele při zatížení tahem - EN 1992-4 – 7.2.1.4
$V_{Rd,c}$	Návrhová únosnost v případě selhání betonového kužele vlivem smykového zatížení - EN 1992-4 – 7.2.2.5
$V_{Rd,cp}$	Návrhová únosnost v případě selhání na vylomení betonu - EN 1992-4 – 7.2.2.4
U_{t_t}	Využití v tahu
U_{t_s}	Využití ve smyku
$U_{t_{ts}}$	Využití v tahu a smyku
$N_{Rd,s}$	Návrhová únosnost v tahu spojovacího prostředku v případě porušení oceli - EN 1992-4 – 7.2.1.3
$V_{Rd,s}$	Návrhová únosnost ve smyku spojovacího prostředku v případě porušení oceli - EN 1992-4 – 7.2.2.3.1

Svary

Položka	Hrana	T_w [mm]	L [mm]	Zatížení	$\sigma_{w,Ed}$ [MPa]	ϵ_{pl} [%]	σ_{\perp} [MPa]	τ_{\perp} [MPa]	τ_{\parallel} [MPa]	Ut [%]	Ut _c [%]	Konstrukční zásady	Status
PD1	B367	▲ 6,0	576	MSÚ-Sada(2)	55,8	0,0	-37,4	23,5	-4,6	15,5	10,5	OK	OK

Návrhová data

Materiál	f_u [MPa]	β_w [-]	$\sigma_{w,Rd}$ [MPa]	0.9σ [MPa]
S 235	360,0	0,80	360,0	259,2

Vysvětlení symbolů

T_w	Tloušťka svaru a
L	Délka
$\sigma_{w,Ed}$	Ekvivalentní napětí
ϵ_{pl}	Přetvoření
σ_{\perp}	Kolmé napětí
τ_{\perp}	Smykové napětí kolmé k ose svaru
τ_{\parallel}	Smykové napětí rovnoběžné s osou svaru
Ut	Využití
Ut _c	Odhad kapacity svaru
▲	Koutový svar
f_u	Mezní pevnost svaru
β_w	Korelační součinitel EN 1993-1-8 tabulka 4.1
$\sigma_{w,Rd}$	Únosnost na srovnávací napětí
0.9σ	Únosnost na kolmé napětí - $0.9 \cdot f_u / \gamma_{M2}$

Betonový blok

Položka	Zatížení	c [mm]	A_{eff} [mm ²]	σ [MPa]	k_j [-]	f_{jd} [MPa]	Ut [%]	Status
CB 1	MSÚ-Sada(2)	28	35307	2,9	3,00	33,5	8,7	OK

Vysvětlení symbolů

c	Šířka uložení
A_{eff}	Účinná plocha
σ	Průměrné napětí v betonu
k_j	Součinitel koncentrace
f_{jd}	Mezní únosnost betonové patky v otláčení
Ut	Využití

Boulení

Analýza boulení nebyla provedena.

Nastavení normových proměnných

Položka	Hodnota	Jednotka	Reference
Součinitel spolehlivosti γ_{M0}	1,00	-	EN 1993-1-1: 6.1
Součinitel spolehlivosti γ_{M1}	1,00	-	EN 1993-1-1: 6.1
Součinitel spolehlivosti γ_{M2}	1,25	-	EN 1993-1-1: 6.1
Součinitel spolehlivosti γ_{M3}	1,25	-	EN 1993-1-8: 2.2
Součinitel spolehlivosti γ_C	1,50	-	EN 1992-1-1: 2.4.2.4
Součinitel spolehlivosti γ_{Inst}	1,20	-	EN 1992-4: Table 4.1
Součinitel styčnicku β_j	0,67	-	EN 1993-1-8: 6.2.5
Účinná plocha - vliv velikosti sítě	0,10	-	
Součinitel tření - beton	0,25	-	EN 1993-1-8
Součinitel tření pro třecí spoje	0,30	-	EN 1993-1-8 tab 3.7
Mezní plastické přetvoření	0,05	-	EN 1993-1-5
Konstrukční zásady	Ano		
Vzdálenost mezi šrouby [d]	2,20	-	EN 1993-1-8: tab 3.3
Vzdálenost mezi šrouby a hranou [d]	1,20	-	EN 1993-1-8: tab 3.3
Únosnost vytržení betonu	Oba		EN 1992-4: 7.2.1.4 and 7.2.2.5
Použití vypočtené a_b v posudku otláčení.	Ano		EN 1993-1-8: tab 3.4
Potrhaný beton	Ano		EN 1992-4
Kontrola lokální deformace	Ano		CIDECT DG 1, 3 - 1.1
Limita lokální deformace	0,03	-	CIDECT DG 1, 3 - 1.1
Geometrická nelinearita (GMNA)	Ano		Analýza s velkými deformacemi pro spoje s dutými profily
Vyztužený systém	Ne		EN 1993-1-8: 5.2.2.5

Data projektu

Jméno projektu	RNR-SO 664
Číslo projektu	24-026-002
Autor	
Popis	KOTVENÍ SLOUPU CHS 168,3x8
Datum	02.12.2024
Norma	EN

Materiál

Ocel	S 235, S 355
Beton	C25/30

Položka projektu Con N303

Návrh

Název	Con N303
Popis	
Výpočet	Napětí, přetvoření/ zatížení v rovnováze

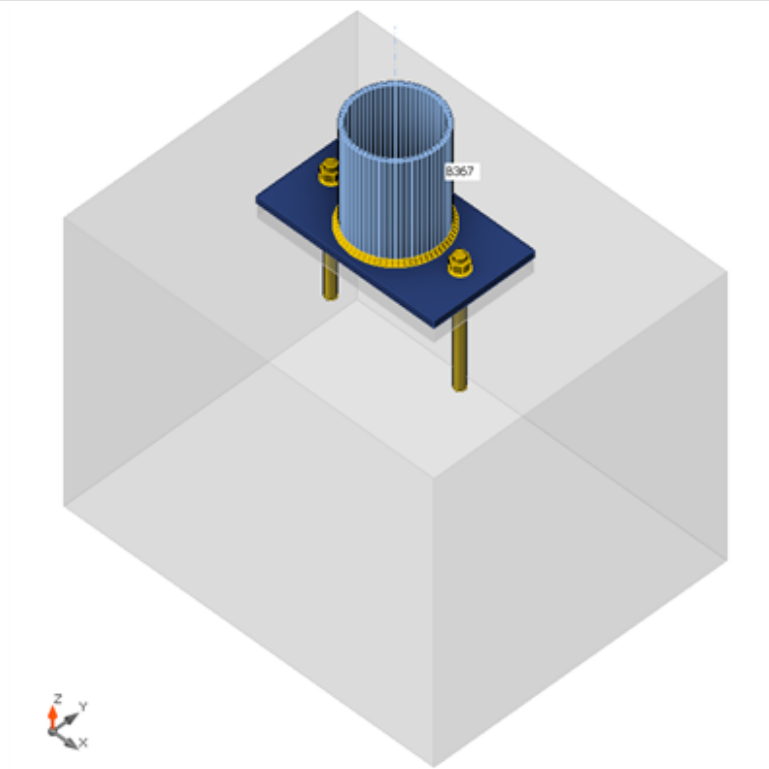
Prvky

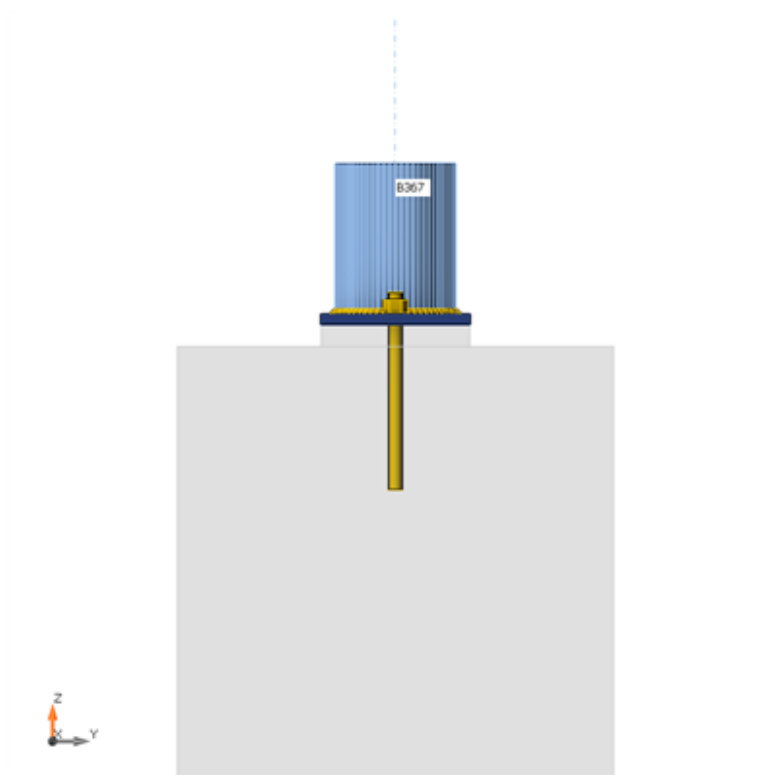
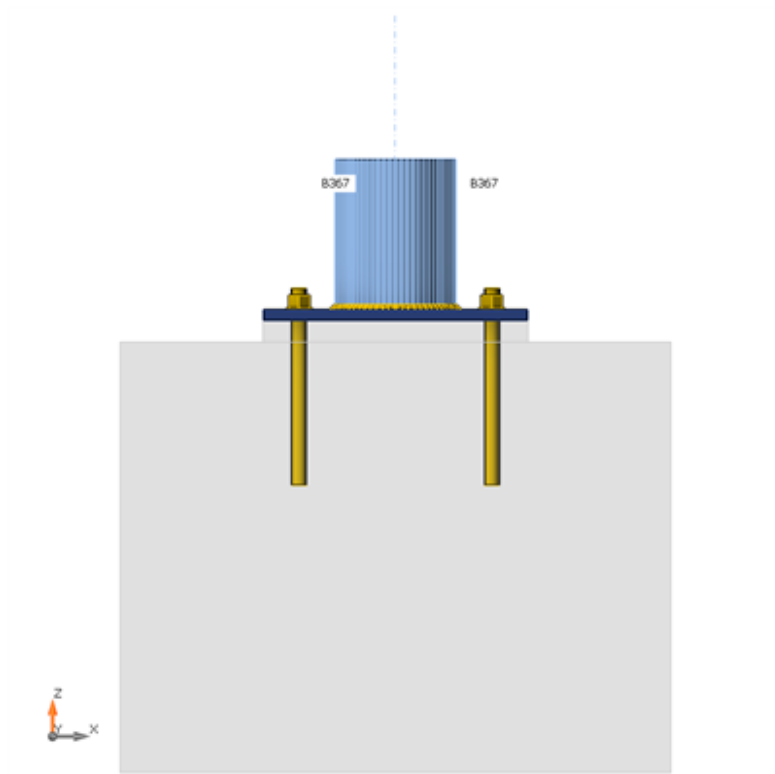
Geometrie

Název	Průřez	β – Směr [°]	γ - Sklon [°]	α - Pootočení [°]	Odsazení ex [mm]	Odsazení ey [mm]	Odsazení ez [mm]
B367	1 - CHS168.3/8.0	0,0	90,0	90,0	0	0	0

Podpory a síly

Název	Podpora	Síly v	X [mm]
B367 / konec		Pozice	0

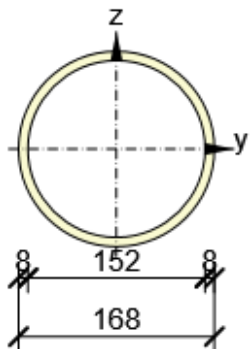




Průřezy

Název	Materiál
1 - CHS168.3/8.0	S 235

Průřezy

Název	Materiál	Obrázek
1 - CHS168.3/8.0	S 235	

Kotvy

Název	Průměr [mm]	f_y [MPa]	f_u [MPa]	Plocha [mm ²]
M20 8.8	20	640,0	800,0	314

Účinky zatížení (síly v rovnováze)

Název	Prvek	N [kN]	V _y [kN]	V _z [kN]	M _x [kNm]	M _y [kNm]	M _z [kNm]
MSÚ-Sada(1)	B367 / Konec	16,9	0,0	-1,1	0,0	0,0	0,0
MSÚ-Sada(2)	B367 / Konec	-104,6	0,0	0,4	0,0	0,0	0,0
MSÚ-Sada(3)	B367 / Konec	-48,5	-0,2	-0,8	0,0	0,0	0,0
MSÚ-Sada(4)	B367 / Konec	-48,7	0,2	-0,8	0,0	0,0	0,0
MSÚ-Sada(5)	B367 / Konec	-80,1	0,2	-0,9	0,0	0,0	0,0
MSÚ-Sada(6)	B367 / Konec	-90,1	0,1	-0,7	0,0	0,0	0,0
MSÚ-Sada(7)	B367 / Konec	-79,9	-0,2	-0,9	0,0	0,0	0,0
MSÚ-Sada(8)	B367 / Konec	-15,7	0,0	-1,3	0,0	0,0	0,0
MSÚ-Sada(9)	B367 / Konec	-72,9	0,0	1,1	0,0	0,0	0,0
MSÚ-Sada(10)	B367 / Konec	-32,2	0,0	-0,1	0,0	0,0	0,0
MSÚ-Sada(11)	B367 / Konec	15,7	0,0	-1,2	0,0	0,0	0,0
MSÚ-Sada(12)	B367 / Konec	-104,3	0,0	1,0	0,0	0,0	0,0
MSÚ-Sada(13)	B367 / Konec	3,9	0,0	0,9	0,0	0,0	0,0
MSÚ-Sada(14)	B367 / Konec	-97,5	0,0	-0,8	0,0	0,0	0,0
MSÚ-Sada(15)	B367 / Konec	-92,5	0,0	-1,0	0,0	0,0	0,0

Nevyvážené síly

Název	X [kN]	Y [kN]	Z [kN]	Mx [kNm]	My [kNm]	Mz [kNm]
MSÚ-Sada(1)	0,0	1,1	16,9	0,0	0,0	0,0
MSÚ-Sada(2)	0,0	-0,4	-104,6	0,0	0,0	0,0
MSÚ-Sada(3)	0,2	0,8	-48,5	0,0	0,0	0,0
MSÚ-Sada(4)	-0,2	0,8	-48,7	0,0	0,0	0,0
MSÚ-Sada(5)	-0,2	0,9	-80,1	0,0	0,0	0,0
MSÚ-Sada(6)	-0,1	0,7	-90,1	0,0	0,0	0,0
MSÚ-Sada(7)	0,2	0,9	-79,9	0,0	0,0	0,0
MSÚ-Sada(8)	0,0	1,3	-15,7	0,0	0,0	0,0
MSÚ-Sada(9)	0,0	-1,1	-72,9	0,0	0,0	0,0
MSÚ-Sada(10)	0,0	0,1	-32,2	0,0	0,0	0,0
MSÚ-Sada(11)	0,0	1,2	15,7	0,0	0,0	0,0
MSÚ-Sada(12)	0,0	-1,0	-104,3	0,0	0,0	0,0
MSÚ-Sada(13)	0,0	-0,9	3,9	0,0	0,0	0,0
MSÚ-Sada(14)	0,0	0,8	-97,5	0,0	0,0	0,0
MSÚ-Sada(15)	0,0	1,0	-92,5	0,0	0,0	0,0

Betonová patka

Položka	Hodnota	Jednotka
CB 1		
Kóty	768 x 608	mm
Výška	600	mm
Kotva	M20 8.8	
Kotevní délka	200	mm
Přenos smykové síly	Kotevní šrouby	
Podlité	30	mm

Posudek

Souhrn

Název	Hodnota	Status posudku
Výpočet	100,0%	OK
Plech	0,0 < 5,0%	OK
Lok. deformace	0,0 < 3%	OK
Kotvy	31,0 < 100%	OK
Svary	15,0 < 100%	OK
Betonový blok	10,0 < 100%	OK
Boulení	Nespočteno	

Plech

Název	Materiál	t_p [mm]	Zatížení	σ_{Ed} [MPa]	ϵ_{pl} [%]	$\sigma_{c,Ed}$ [MPa]	Status
B367	S 235	8,0	MSÚ-Sada(2)	31,8	0,0	0,0	OK
PD1	S 355	15,0	MSÚ-Sada(1)	48,5	0,0	0,0	OK

Návrhová data

Materiál	f_y [MPa]	ϵ_{lim} [%]
S 235	235,0	5,0
S 355	355,0	5,0

Vysvětlení symbolů

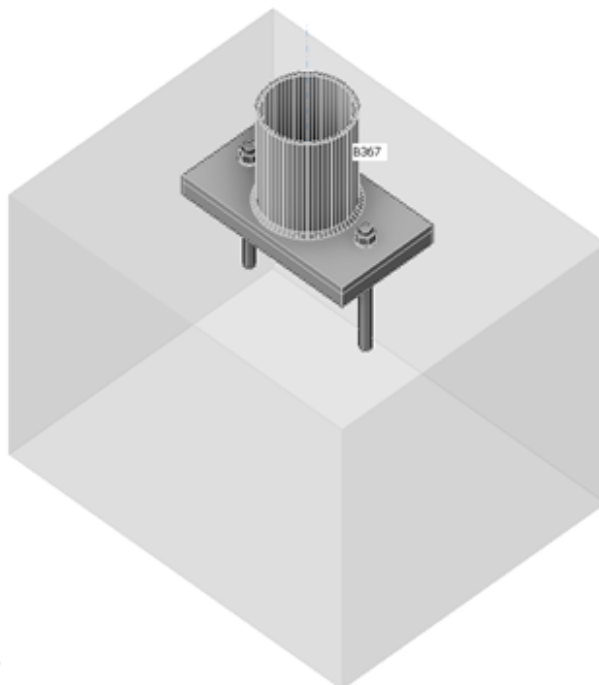
t_p	Tloušťka plechu
σ_{Ed}	Ekvivalentní napětí
ϵ_{pl}	Plastická deformace
$\sigma_{c,Ed}$	Kontaktní napětí
f_y	Mez kluzu
ϵ_{lim}	Mezní plastické přetvoření

Lok. deformace

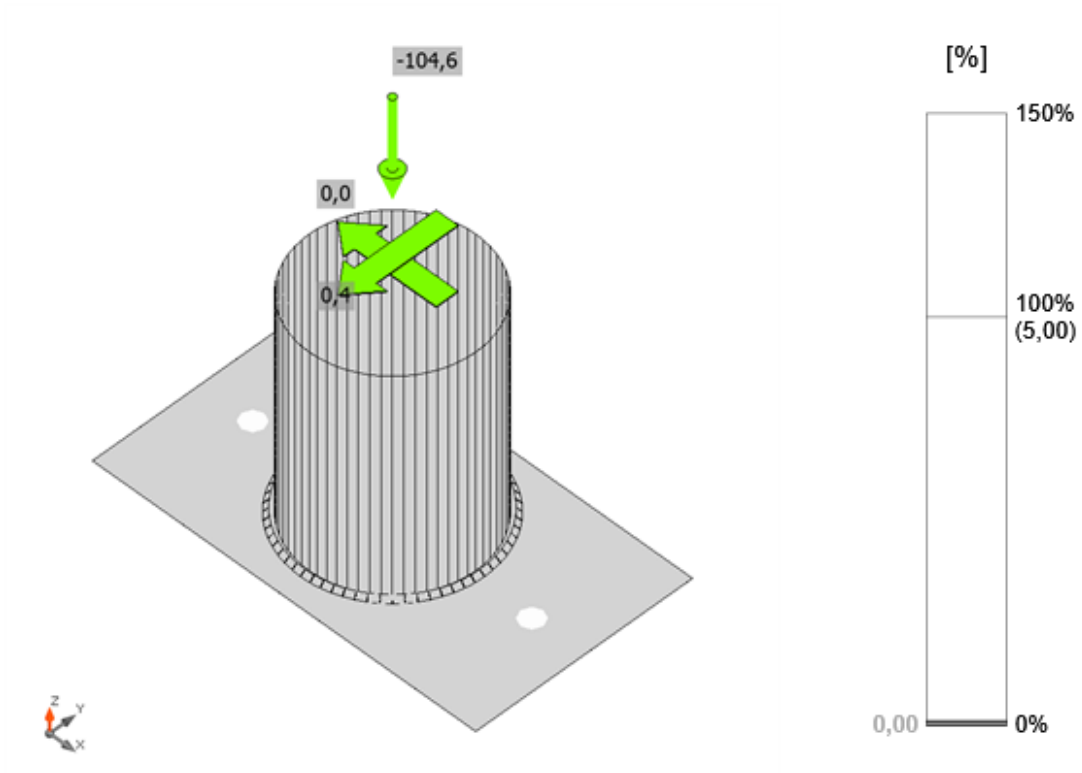
Název	d_0 [mm]	Zatížení	δ [mm]	δ_{lim} [mm]	δ/d_0 [%]	Status posudku
B367	168	MSÚ-Sada(15)	0	5	0,0	OK

Vysvětlení symbolů

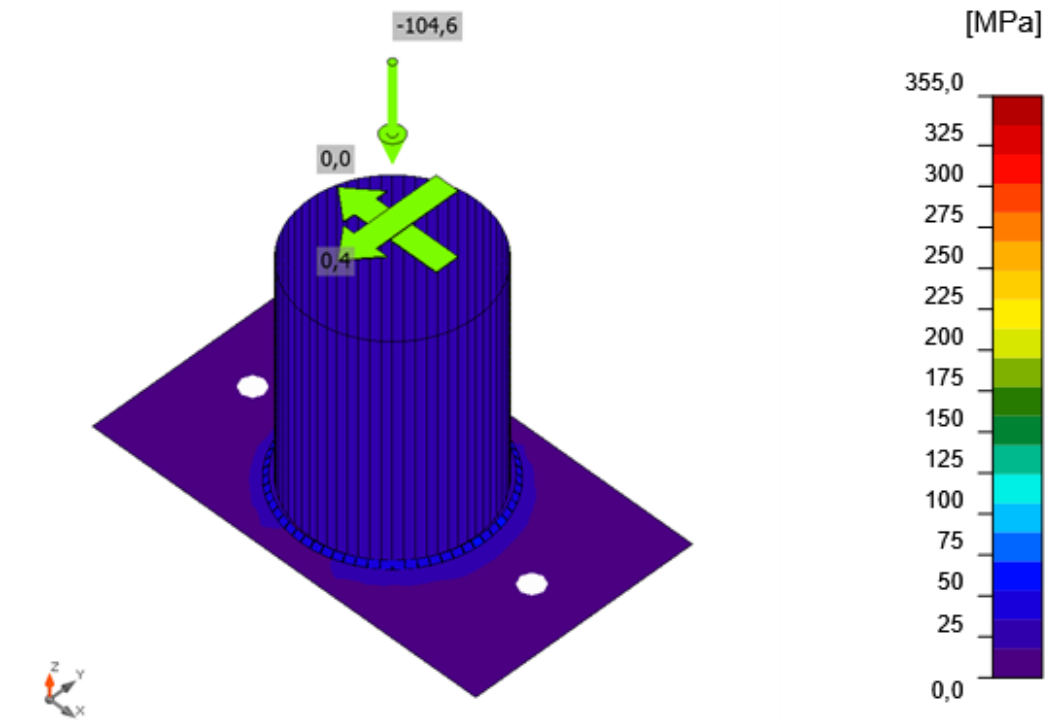
d_0	Velikost průřezu
δ	Lokální deformace průřezu
δ_{lim}	Povolená deformace



Souhrnný posudek, MSÚ-Sada(2)

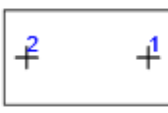


Posudek přetvoření, MSÚ-Sada(2)



Ekvivalentní napětí, MSÚ-Sada(2)

Kotvy

Tvar	Položka	Zatížení	N_{Ed} [kN]	V_{Ed} [kN]	$N_{Rd,c}$ [kN]	$V_{Rd,s}$ [kN]	$V_{Rd,c}$ [kN]	$V_{Rd,cp}$ [kN]	U_t [%]	U_s [%]	U_{ts} [%]	Konstrukční zásady	Status
	A1	MSÚ-Sada(1)	11,4	0,6	73,6	15,7	38,0	176,6	31,0	3,5	17,8	OK	OK
	A2	MSÚ-Sada(1)	11,4	0,6	73,6	15,7	38,0	176,6	31,0	3,5	17,8	OK	OK


Návrhová data

Třída	$N_{Rd,s}$ [kN]
M20 8.8 - 1	111,1

Vysvětlení symbolů

N_{Ed}	Tahová síla
V_{Ed}	Výslednice smykových sil ve šroubu V_y a V_z v rovinách smyku
$N_{Rd,c}$	Návrhová únosnost v případě selhání betonového kužele při zatížení tahem - EN 1992-4 – 7.2.1.4
$V_{Rd,s}$	Návrhová únosnost ve smyku spojovacího prostředku v případě porušení oceli - EN 1992-4 – 7.2.2.3.2
$V_{Rd,c}$	Návrhová únosnost případě selhání betonového kužele vlivem smykového zatížení - EN 1992-4 – 7.2.2.5
$V_{Rd,cp}$	Návrhová únosnost v případě selhání na vylomení betonu - EN 1992-4 – 7.2.2.4
U_t	Využití v tahu
U_s	Využití ve smyku
U_{ts}	Využití v tahu a smyku
$N_{Rd,s}$	Návrhová únosnost v tahu spojovacího prostředku v případě porušení oceli - EN 1992-4 – 7.2.1.3

Svary

Položka	Hrana	T_w [mm]	L [mm]	Zatížení	$\sigma_{w,Ed}$ [MPa]	ϵ_{pl} [%]	σ_{\perp} [MPa]	τ_{\perp} [MPa]	τ_{\parallel} [MPa]	U_t [%]	U_c [%]	Konstrukční zásady	Status
PD1	B367	 6,0	503	MSÚ-Sada(2)	54,0	0,0	-29,3	26,1	2,3	15,0	12,5	OK	OK

Návrhová data

Materiál	f_u [MPa]	β_w [-]	$\sigma_{w,Rd}$ [MPa]	0.9σ [MPa]
S 235	360,0	0,80	360,0	259,2

Vysvětlení symbolů

T_w	Tloušťka svaru a
L	Délka
$\sigma_{w,Ed}$	Ekvivalentní napětí
ϵ_{pl}	Přetvoření
σ_{\perp}	Kolmé napětí
τ_{\perp}	Smykové napětí kolmé k ose svaru
τ_{\parallel}	Smykové napětí rovnoběžné s osou svaru
Ut	Využití
Ut _c	Odhad kapacity svaru
▲	Koutový svar
f _u	Mezní pevnost svaru
β_w	Korelační součinitel EN 1993-1-8 tabulka 4.1
$\sigma_{w,Rd}$	Únosnost na srovnávací napětí
0.9 σ	Únosnost na kolmé napětí - 0.9*f _u /γ _{M2}

Betonový blok

Položka	Zatížení	c [mm]	A _{eff} [mm ²]	σ [MPa]	k _j [-]	f _{jd} [MPa]	Ut [%]	Status
CB 1	MSÚ-Sada(2)	28	31491	3,3	3,00	33,5	10,0	OK

Vysvětlení symbolů

c	Šířka uložení
A _{eff}	Účinná plocha
σ	Průměrné napětí v betonu
k _j	Součinitel koncentrace
f _{jd}	Mezní únosnost betonové patky v otláčení
Ut	Využití

Boulení

Analýza boulení nebyla provedena.

Nastavení normových proměnných

Položka	Hodnota	Jednotka	Reference
Součinitel spolehlivosti γ_{M0}	1,00	-	EN 1993-1-1: 6.1
Součinitel spolehlivosti γ_{M1}	1,00	-	EN 1993-1-1: 6.1
Součinitel spolehlivosti γ_{M2}	1,25	-	EN 1993-1-1: 6.1
Součinitel spolehlivosti γ_{M3}	1,25	-	EN 1993-1-8: 2.2
Součinitel spolehlivosti γ_C	1,50	-	EN 1992-1-1: 2.4.2.4
Součinitel spolehlivosti γ_{Inst}	1,20	-	EN 1992-4: Table 4.1
Součinitel styčnicku β_j	0,67	-	EN 1993-1-8: 6.2.5
Účinná plocha - vliv velikosti sítě	0,10	-	
Součinitel tření - beton	0,25	-	EN 1993-1-8
Součinitel tření pro třecí spoje	0,30	-	EN 1993-1-8 tab 3.7
Mezní plastické přetvoření	0,05	-	EN 1993-1-5
Konstrukční zásady	Ano		
Vzdálenost mezi šrouby [d]	2,20	-	EN 1993-1-8: tab 3.3
Vzdálenost mezi šrouby a hranou [d]	1,20	-	EN 1993-1-8: tab 3.3
Únosnost vytržení betonu	Oba		EN 1992-4: 7.2.1.4 and 7.2.2.5
Použít vypočtené a_b v posudku otláčení.	Ano		EN 1993-1-8: tab 3.4
Potrhaný beton	Ano		EN 1992-4
Kontrola lokální deformace	Ano		CIDECT DG 1, 3 - 1.1
Limita lokální deformace	0,03	-	CIDECT DG 1, 3 - 1.1
Geometrická nelinearita (GMNA)	Ano		Analýza s velkými deformacemi pro spoje s dutými profily
Vyztužený systém	Ne		EN 1993-1-8: 5.2.2.5

Data projektu

Jméno projektu	RNR - SO664
Číslo projektu	24-026-002
Autor	
Popis	STYČNÍK SLOUP CHS 168,3/8-PŘÍČEL OSY B1 AŽ B33
Datum	07.01.2025
Norma	EN

Materiál

Ocel	S 235, S 355
------	--------------

Položka projektu Con N230

Návrh

Název	Con N230
Popis	
Výpočet	Napětí, přetvoření/ zatížení v rovnováze

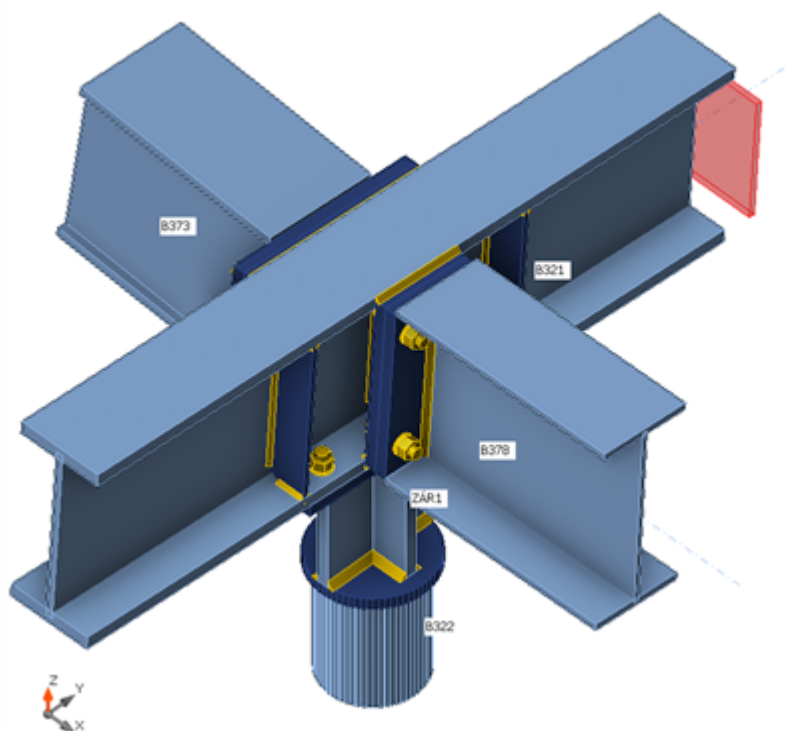
Prvky

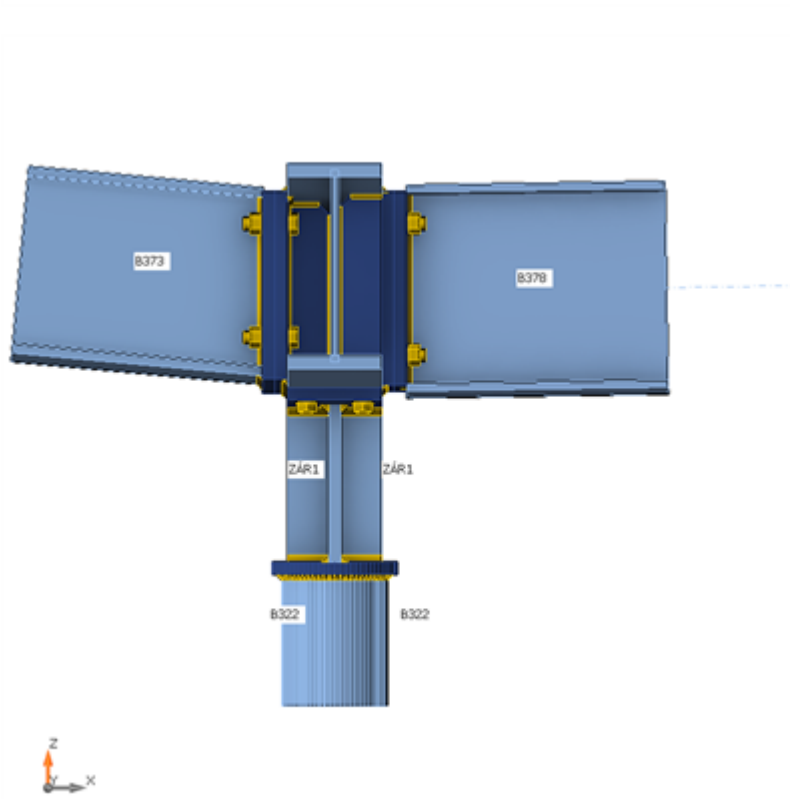
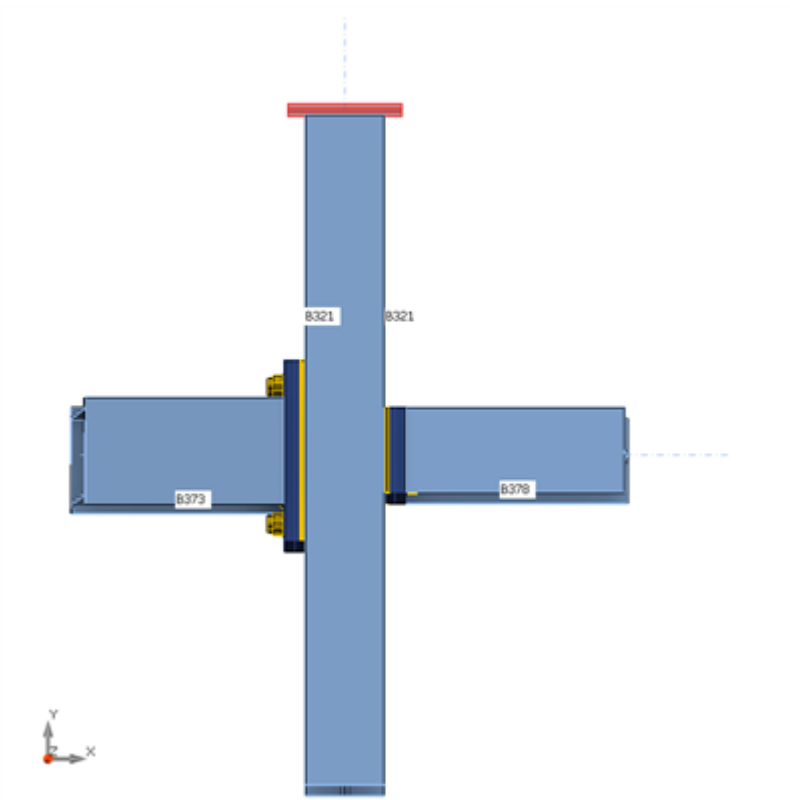
Geometrie

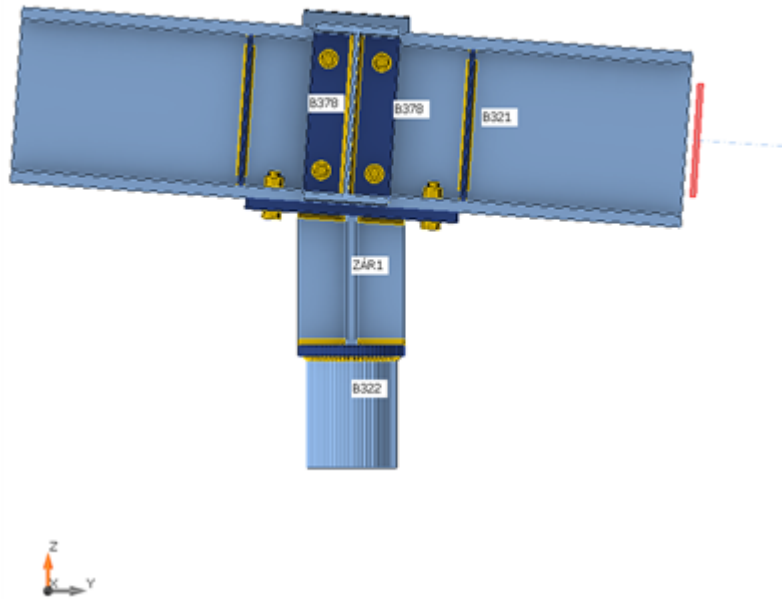
Název	Průřez	β - Směr [°]	γ - Sklon [°]	α - Pootočení [°]	Odsazení ex [mm]	Odsazení ey [mm]	Odsazení ez [mm]
B321	1 - I330	-90,0	3,8	0,0	0	0	0
B322	2 - CHS168.3/8.0	0,0	90,0	90,0	0	0	0
B373	6 - BoxFI300x(200/200)	0,0	-5,2	-4,0	0	0	0
B378	4 - IPE330	0,0	0,9	-4,0	0	0	0

Podpory a síly

Název	Podpora	Síly v	X [mm]
B321 / začátek	N-Vy-Vz-Mx-My-Mz	Pozice	0
B321 / konec		Pozice	0
B322 / konec		Pozice	0
B373 / začátek		Pozice	0
B378 / konec		Pozice	0



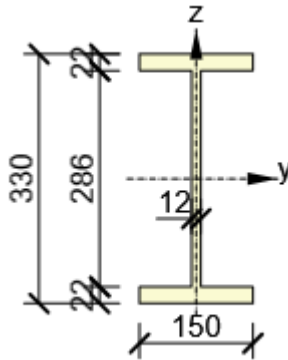
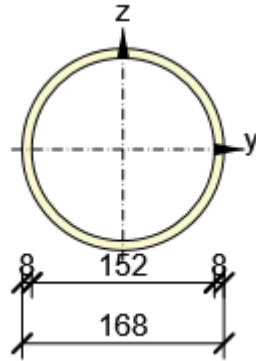
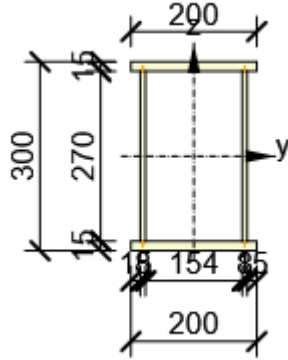
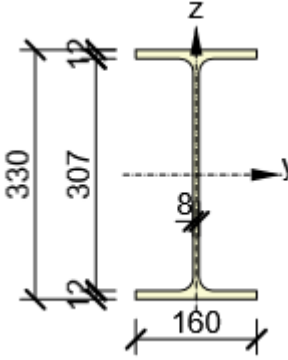




Průřezy

Název	Materiál
1 - I330	S 235
2 - CHS168.3/8.0	S 235
6 - BoxFI300x(200/200)	S 235
4 - IPE330	S 235
5 - General	S 235, S 235, S 235

Průřezy

Název	Materiál	Obrázek
1 - I330	S 235	
2 - CHS168.3/8.0	S 235	
6 - BoxFI300x(200/200)	S 235	
4 - IPE330	S 235	

Název	Materiál	Obrázek
5 - General	S 235, S 235, S 235	

Šrouby

Název	Průměr [mm]	f_y [MPa]	f_u [MPa]	Plocha [mm ²]
M20 8.8	20	640,0	800,0	314

Účinky zatížení (síly v rovnováze)

Název	Prvek	N [kN]	Vy [kN]	Vz [kN]	Mx [kNm]	My [kNm]	Mz [kNm]
MSÚ-Sada(2)	B321 / Začátek	-2,2	0,9	-43,2	0,0	-94,3	-1,2
	B321 / Konec	-4,8	-0,4	-36,0	0,1	88,0	-0,6
	B322 / Začátek	145,1	0,0	-0,8	0,0	-3,1	0,0
	B373 / Začátek	1,7	-1,5	-23,1	2,9	-37,3	3,1
	B378 / Konec	-0,8	-1,0	-42,4	0,0	37,5	-1,1
MSÚ-Sada(3)	B321 / Začátek	-0,4	-0,2	-3,9	0,0	-2,4	0,2
	B321 / Konec	1,0	0,3	-0,2	0,0	-0,3	0,4
	B322 / Začátek	2,3	0,0	-0,6	0,0	-2,4	-0,1
	B373 / Začátek	0,7	0,3	0,0	0,4	-1,8	-0,4
	B378 / Konec	-0,8	0,0	1,8	0,0	1,6	-0,2
MSÚ-Sada(4)	B321 / Začátek	1,8	0,1	2,7	0,0	0,4	-0,1
	B321 / Konec	-2,6	-0,1	-1,9	0,0	4,1	-0,1
	B322 / Začátek	-2,3	0,1	1,3	0,0	5,1	-0,4
	B373 / Začátek	0,6	0,1	-0,8	0,7	-3,0	0,1
	B378 / Konec	-0,5	0,3	2,4	0,0	2,6	0,2
MSÚ-Sada(5)	B321 / Začátek	1,8	0,1	4,6	0,0	4,7	-0,1
	B321 / Konec	-2,2	0,0	-0,2	0,0	-0,2	0,0
	B322 / Začátek	-8,7	0,1	1,3	0,0	5,0	-0,3
	B373 / Začátek	0,5	0,2	0,3	0,5	-1,0	-0,1
	B378 / Konec	-0,4	0,3	4,1	0,0	0,7	0,2
MSÚ-Sada(6)	B321 / Začátek	-0,1	1,2	-38,2	0,0	-94,8	-1,5
	B321 / Konec	-8,3	-0,7	-38,9	0,1	94,9	-0,9
	B322 / Začátek	145,7	0,1	1,0	0,0	3,8	-0,3
	B373 / Začátek	2,0	-1,6	-25,5	3,4	-40,5	3,5
	B378 / Konec	-0,8	-0,7	-42,6	0,0	40,4	-0,8
MSÚ-Sada(7)	B321 / Začátek	-0,1	1,2	-34,7	0,0	-87,2	-1,5
	B321 / Konec	-8,0	-0,8	-36,1	0,1	88,2	-1,0
	B322 / Začátek	134,1	0,1	1,1	0,0	4,3	-0,2
	B373 / Začátek	1,5	-1,6	-22,8	3,0	-36,6	3,4
	B378 / Konec	-0,4	-0,7	-40,1	0,0	36,6	-0,7
MSÚ-Sada(8)	B321 / Začátek	-0,1	1,2	-37,8	0,0	-93,4	-1,5
	B321 / Konec	-8,2	-0,6	-37,9	0,1	93,2	-0,9
	B322 / Začátek	141,2	0,1	0,9	0,0	3,7	-0,7
	B373 / Začátek	2,0	-1,5	-25,1	3,6	-40,0	3,5
	B378 / Konec	-0,8	-0,7	-40,0	0,0	39,5	-0,8
MSÚ-Sada(9)	B321 / Začátek	-1,4	1,1	-43,3	0,0	-99,0	-1,3
	B321 / Konec	-6,3	-0,4	-38,9	0,1	94,8	-0,7
	B322 / Začátek	152,3	0,0	-0,2	0,0	-0,6	-0,2
	B373 / Začátek	2,1	-1,5	-25,7	3,4	-40,9	3,3
	B378 / Konec	-1,0	-0,9	-44,0	0,0	41,0	-1,0
MSÚ-Sada(10)	B321 / Začátek	1,1	0,0	1,9	0,0	2,6	0,0
	B321 / Konec	-1,1	0,1	0,0	0,0	-0,6	0,1

Název	Prvek	N [kN]	Vy [kN]	Vz [kN]	Mx [kNm]	My [kNm]	Mz [kNm]
	B322 / Začátek	-6,0	0,1	0,6	0,0	2,6	-0,3
	B373 / Začátek	0,6	0,3	0,3	0,5	-1,2	-0,2
	B378 / Konec	-0,5	0,2	3,9	0,0	0,8	0,1
MSÚ-Sada(11)	B321 / Začátek	-2,2	0,6	-30,9	0,0	-63,9	-0,8
	B321 / Konec	-2,3	-0,2	-23,7	0,0	58,0	-0,4
	B322 / Začátek	98,0	0,0	-1,0	0,0	-4,0	0,1
	B373 / Začátek	0,9	-1,0	-14,5	1,8	-24,2	2,1
	B378 / Konec	-0,4	-0,8	-28,7	0,0	24,4	-0,8
MSÚ-Sada(13)	B321 / Začátek	-0,4	1,1	-39,2	0,0	-94,6	-1,4
	B321 / Konec	-7,6	-0,6	-37,9	0,1	93,2	-0,8
	B322 / Začátek	143,2	0,1	0,6	0,0	2,5	-0,5
	B373 / Začátek	2,1	-1,5	-25,2	3,6	-40,1	3,4
	B378 / Konec	-0,8	-0,7	-40,4	0,0	39,8	-0,9
MSÚ-Sada(14)	B321 / Začátek	1,7	0,1	4,4	0,0	4,7	-0,1
	B321 / Konec	-2,1	0,0	0,0	0,0	-0,5	0,0
	B322 / Začátek	-9,2	0,1	1,2	0,0	4,7	-0,4
	B373 / Začátek	0,5	0,2	0,4	0,5	-1,0	-0,1
	B378 / Konec	-0,4	0,3	4,5	0,0	0,6	0,2
MSÚ-Sada(15)	B321 / Začátek	1,7	0,4	-7,7	0,0	-25,7	-0,5
	B321 / Konec	-4,7	-0,2	-12,6	0,0	29,9	-0,3
	B322 / Začátek	38,5	0,1	1,5	0,0	5,9	-0,4
	B373 / Začátek	1,3	-0,2	-8,4	1,6	-14,2	1,0
	B378 / Konec	-0,8	0,1	-9,6	0,0	13,9	-0,1
MSÚ-Sada(22)	B321 / Začátek	0,0	1,2	-37,7	0,0	-93,4	-1,5
	B321 / Konec	-8,2	-0,6	-37,9	0,1	93,2	-0,9
	B322 / Začátek	141,2	0,2	1,0	0,0	3,8	-0,4
	B373 / Začátek	2,0	-1,6	-25,1	3,6	-40,0	3,5
	B378 / Konec	-0,7	-0,6	-40,1	0,0	39,8	-0,8
MSÚ-Sada(23)	B321 / Začátek	0,0	1,1	-33,9	0,0	-84,9	-1,4
	B321 / Konec	-7,8	-0,7	-34,4	0,1	85,5	-0,9
	B322 / Začátek	126,6	0,1	1,1	0,0	4,2	-0,9
	B373 / Začátek	1,5	-1,5	-22,2	3,3	-35,8	3,3
	B378 / Konec	-0,4	-0,6	-35,7	0,0	35,1	-0,7
MSÚ-Sada(26)	B321 / Začátek	0,1	1,2	-33,8	0,0	-84,8	-1,5
	B321 / Konec	-7,9	-0,7	-34,4	0,1	85,5	-0,9
	B322 / Začátek	126,6	0,3	1,1	0,0	4,3	-0,3
	B373 / Začátek	1,5	-1,6	-22,1	3,3	-35,7	3,4
	B378 / Konec	-0,3	-0,6	-35,9	0,0	35,6	-0,7
MSÚ-Sada(27)	B321 / Začátek	0,1	0,8	-21,5	0,0	-54,4	-1,0
	B321 / Konec	-5,4	-0,6	-22,1	0,1	55,4	-0,7
	B322 / Začátek	79,5	0,2	0,9	0,0	3,4	-0,2
	B373 / Začátek	0,7	-1,1	-13,5	2,2	-22,5	2,3
	B378 / Konec	0,1	-0,3	-22,2	0,0	22,5	-0,4
MSÚ-Sada(29)	B321 / Začátek	-0,3	0,6	-27,1	0,0	-62,2	-0,7

Název	Prvek	N [kN]	Vy [kN]	Vz [kN]	Mx [kNm]	My [kNm]	Mz [kNm]
	B321 / Konec	-4,4	-0,1	-24,8	0,1	59,8	-0,2
	B322 / Začátek	94,9	0,1	0,1	0,0	0,3	-0,3
	B373 / Začátek	2,0	-0,7	-17,1	2,5	-27,5	1,8
	B378 / Konec	-1,3	-0,4	-25,7	0,0	27,3	-0,7
MSÚ-Sada(33)	B321 / Začátek	1,7	0,1	4,4	0,0	4,7	-0,1
	B321 / Konec	-2,1	0,0	0,0	0,0	-0,5	0,0
	B322 / Začátek	-9,2	0,1	1,2	0,0	4,7	-0,4
	B373 / Začátek	0,5	0,2	0,4	0,5	-1,0	-0,1
	B378 / Konec	-0,4	0,3	4,5	0,0	0,6	0,2

Nevyvážené síly

Název	X [kN]	Y [kN]	Z [kN]	Mx [kNm]	My [kNm]	Mz [kNm]
MSÚ-Sada(2)	0,0	-4,6	0,3	0,3	0,1	0,0
MSÚ-Sada(3)	0,0	0,1	0,0	0,0	0,0	0,0
MSÚ-Sada(4)	0,0	0,1	0,0	0,0	0,0	0,0
MSÚ-Sada(5)	0,0	0,3	0,0	0,0	0,0	0,0
MSÚ-Sada(6)	0,0	-4,7	0,3	0,3	0,2	0,0
MSÚ-Sada(7)	0,0	-4,4	0,3	0,3	0,2	0,0
MSÚ-Sada(8)	0,0	-4,5	0,3	0,3	0,2	0,0
MSÚ-Sada(9)	0,0	-4,9	0,3	0,3	0,1	0,0
MSÚ-Sada(10)	0,0	0,3	0,0	0,0	0,0	0,0
MSÚ-Sada(11)	0,0	-3,0	0,2	0,2	0,1	0,0
MSÚ-Sada(13)	0,0	-4,6	0,3	0,3	0,2	0,0
MSÚ-Sada(14)	0,0	0,3	-0,1	0,0	0,0	0,0
MSÚ-Sada(15)	0,0	-1,3	0,1	0,1	0,1	0,0
MSÚ-Sada(22)	0,0	-4,5	0,3	0,3	0,2	0,0
MSÚ-Sada(23)	0,0	-4,0	0,3	0,3	0,2	0,0
MSÚ-Sada(26)	0,0	-4,0	0,3	0,3	0,2	0,0
MSÚ-Sada(27)	0,0	-2,5	0,2	0,2	0,1	0,0
MSÚ-Sada(29)	0,0	-3,0	0,2	0,2	0,1	0,0
MSÚ-Sada(33)	0,0	0,3	-0,1	0,0	0,0	0,0

Posudek

Souhrn

Název	Hodnota	Status posudku
Výpočet	100,0%	OK
Plechý	0,8 < 5,0%	OK
Lok. deformace	0,0 < 3%	OK
Šrouby	77,8 < 100%	OK
Svary	99,5 < 100%	OK
Boulení	Nespočteno	

Plechý

Název	Materiál	t_p [mm]	Zatížení	σ_{Ed} [MPa]	ϵ_{pl} [%]	$\sigma_{c,Ed}$ [MPa]	Status
B321-bfl 1	S 235	22,0	MSÚ-Sada(9)	103,3	0,0	10,6	OK
B321-tfl 1	S 235	22,0	MSÚ-Sada(9)	142,2	0,0	0,0	OK
B321-w 1	S 235	12,0	MSÚ-Sada(9)	77,6	0,0	0,0	OK
B322	S 235	8,0	MSÚ-Sada(6)	118,6	0,0	0,0	OK
B373-tfl 1	S 235	15,0	MSÚ-Sada(9)	126,7	0,0	0,0	OK
B373-bfl 1	S 235	15,0	MSÚ-Sada(9)	92,6	0,0	0,0	OK
B373-w 1	S 235	8,0	MSÚ-Sada(9)	118,1	0,0	0,0	OK
B373-w 2	S 235	8,0	MSÚ-Sada(9)	163,9	0,0	0,0	OK
B378-bfl 1	S 235	11,5	MSÚ-Sada(9)	92,5	0,0	0,0	OK
B378-tfl 1	S 235	11,5	MSÚ-Sada(9)	80,2	0,0	0,0	OK
B378-w 1	S 235	7,5	MSÚ-Sada(9)	236,7	0,8	0,0	OK
ZÁR1-bfl 1	S 235	20,0	MSÚ-Sada(8)	74,8	0,0	0,0	OK
ZÁR1-bfl 2	S 235	20,0	MSÚ-Sada(15)	80,3	0,0	0,0	OK
ZÁR1-bfl 3	S 235	20,0	MSÚ-Sada(5)	83,1	0,0	0,0	OK
ZÁR1-EP	S 355	20,0	MSÚ-Sada(6)	58,8	0,0	0,0	OK
ČD1	S 355	20,0	MSÚ-Sada(5)	89,2	0,0	6,7	OK
OČD1a	S 355	20,0	MSÚ-Sada(9)	256,9	0,0	72,6	OK
OČD1b	S 355	20,0	MSÚ-Sada(9)	337,6	0,0	72,6	OK
VÝZT	S 235	12,0	MSÚ-Sada(9)	89,2	0,0	0,0	OK
VÝZT1	S 235	8,0	MSÚ-Sada(9)	12,7	0,0	0,0	OK
VÝZT2	S 235	8,0	MSÚ-Sada(5)	15,1	0,0	0,0	OK
OČD2a	S 355	20,0	MSÚ-Sada(9)	306,2	0,0	72,3	OK
OČD2b	S 355	20,0	MSÚ-Sada(9)	325,0	0,0	72,3	OK
VÝZT	S 235	12,0	MSÚ-Sada(9)	42,4	0,0	0,0	OK

Návrhová data

Materiál	f_y [MPa]	ϵ_{lim} [%]
S 235	235,0	5,0
S 355	355,0	5,0

Vysvětlení symbolů

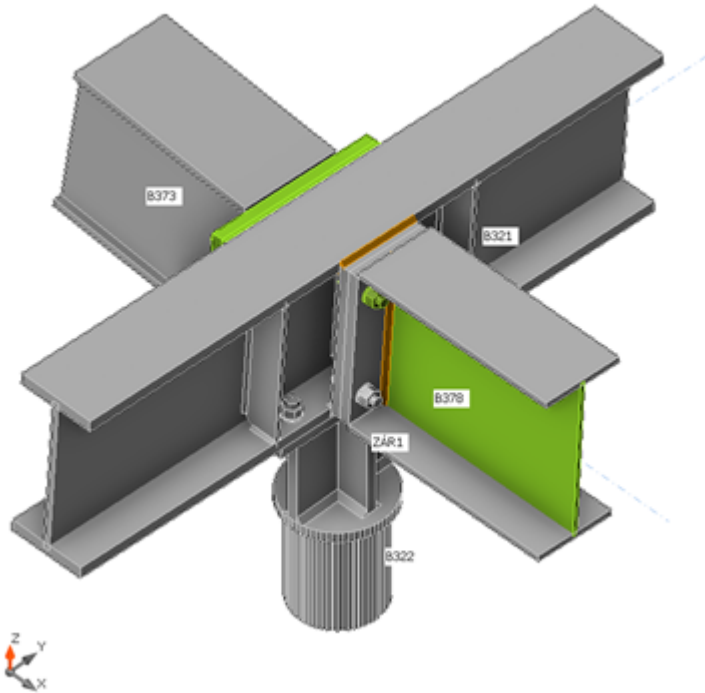
t_p	Tloušťka plechu
σ_{Ed}	Ekvivalentní napětí
ϵ_{pl}	Plastická deformace
$\sigma_{c,Ed}$	Kontaktní napětí
f_y	Mez kluzu
ϵ_{lim}	Mezní plastické přetvoření

Lok. deformace

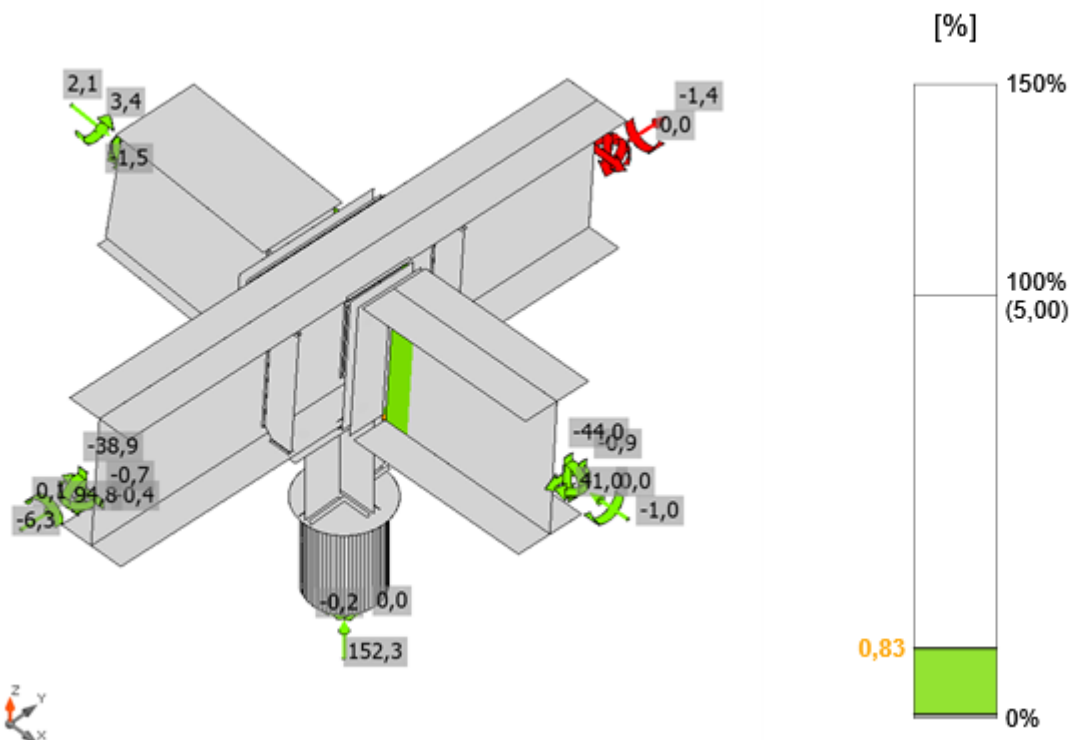
Název	d_0 [mm]	Zatížení	δ [mm]	δ_{lim} [mm]	δ/d_0 [%]	Status posudku
B322	168	MSÚ-Sada(33)	0	5	0,0	OK

Vysvětlení symbolů

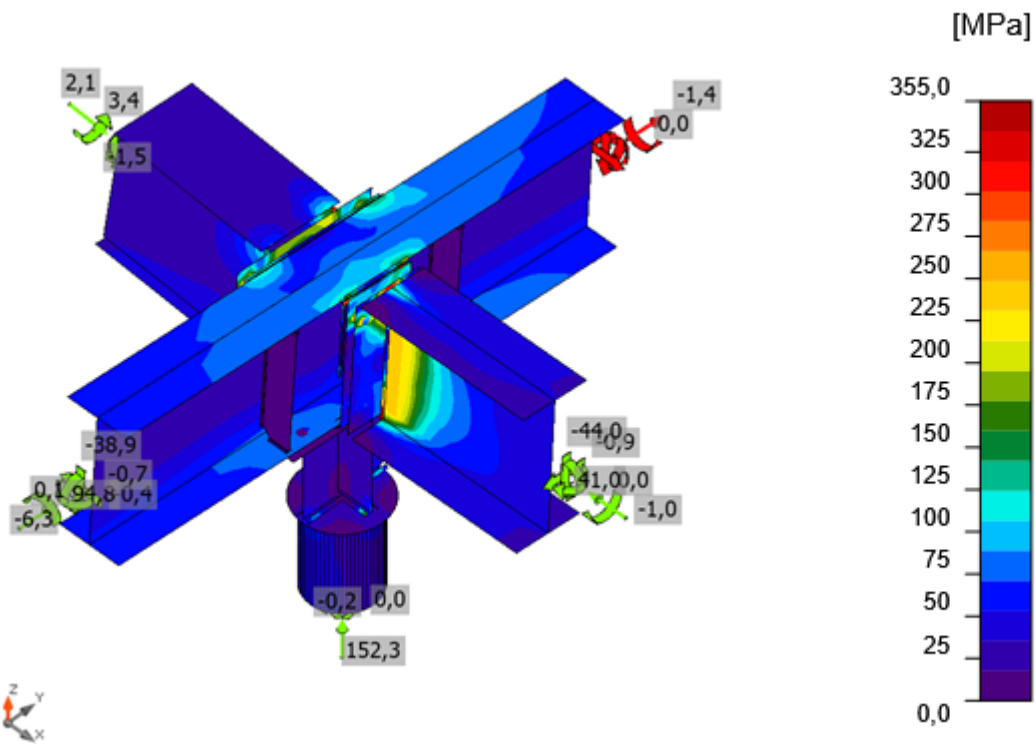
d_0	Velikost průřezu
δ	Lokální deformace průřezu
δ_{lim}	Povolená deformace



Souhrnný posudek, MSÚ-Sada(9)



Posudek přetvoření, MSÚ-Sada(9)



Ekvivalentní napětí, MSÚ-Sada(9)

Šrouby

Tvar	Položka	Třída	Zatížení	$F_{t,Ed}$ [kN]	$F_{v,Ed}$ [kN]	$F_{b,Rd}$ [kN]	U_{t_t} [%]	U_{t_s} [%]	$U_{t_{ts}}$ [%]	Konstrukční zásady	Status
	B1	M20 8.8 - 1	MSÚ-Sada(6)	0,9	7,7	268,4	0,7	8,2	8,6	OK	OK
	B2	M20 8.8 - 1	MSÚ-Sada(6)	1,5	7,2	268,4	1,0	7,6	8,4	OK	OK
	B3	M20 8.8 - 1	MSÚ-Sada(5)	16,6	0,8	214,6	11,8	0,8	9,3	OK	OK
	B4	M20 8.8 - 1	MSÚ-Sada(5)	15,3	0,7	238,6	10,8	0,8	8,5	OK	OK
	B5	M20 8.8 - 2	MSÚ-Sada(9)	88,4	10,4	212,9	62,6	11,1	55,8	OK	OK
	B6	M20 8.8 - 2	MSÚ-Sada(9)	96,8	11,1	203,6	68,6	11,8	60,8	OK	OK
	B7	M20 8.8 - 2	MSÚ-Sada(9)	0,0	12,1	251,6	0,0	12,9	12,9	OK	OK
	B8	M20 8.8 - 2	MSÚ-Sada(9)	1,3	11,3	251,6	0,9	12,0	12,7	OK	OK
	B9	M20 8.8 - 2	MSÚ-Sada(9)	101,5	12,9	297,0	71,9	13,7	65,1	OK	OK
	B10	M20 8.8 - 2	MSÚ-Sada(9)	109,8	10,6	237,6	77,8	11,3	66,9	OK	OK
	B11	M20 8.8 - 2	MSÚ-Sada(13)	14,3	11,0	315,3	10,1	11,7	19,0	OK	OK
	B12	M20 8.8 - 2	MSÚ-Sada(6)	17,1	2,9	237,6	12,1	3,1	11,7	OK	OK

Návrhová data

Třída	$F_{t,Rd}$ [kN]	$B_{p,Rd}$ [kN]	$F_{v,Rd}$ [kN]
M20 8.8 - 1	141,1	379,4	94,1
M20 8.8 - 2	141,1	469,4	94,1

Vysvětlení symbolů

$F_{t,Ed}$	Tahová síla
$F_{v,Ed}$	Výslednice smykových sil ve šroubu V_y a V_z v rovinách smyku
$F_{b,Rd}$	Únosnost plechu v otláčení podle EN 1993-1-8 tabulka 3.4
U_{t_t}	Využití v tahu
U_{t_s}	Využití ve smyku
$U_{t_{ts}}$	Interakce tahu a smyku podle EN 1993-1-8 tabulka 3.4
$F_{t,Rd}$	Tahová únosnost šroubu EN 1993-1-8 tab. 3.4
$B_{p,Rd}$	Únosnost v protlačení EN 1993-1-8 tabulka 3.4
$F_{v,Rd}$	Únosnost šroubu ve střihu EN 1993-1-8 tabulka 3.4

Svary

Položka	Hrana	T_w [mm]	L [mm]	Zatížení	$\sigma_{w,Ed}$ [MPa]	ϵ_{pl} [%]	σ_{\perp} [MPa]	τ_{\perp} [MPa]	τ_{\parallel} [MPa]	Ut [%]	Ut _c [%]	Konstrukční zásady	Status
ZÁR1-EP	ZÁR1-bfl 1	▲ 8,0 ▼	149	MSÚ-Sada(8)	176,4	0,0	-71,8	66,8	64,8	49,0	27,9	OK	OK
		▲ 8,0 ▼	149	MSÚ-Sada(8)	166,8	0,0	-61,8	-66,7	-59,6	46,3	26,0	OK	OK
ZÁR1-EP	ZÁR1-bfl 2	▲ 8,0 ▼	89	MSÚ-Sada(6)	131,5	0,0	-65,2	65,5	7,8	36,5	20,3	OK	OK
		▲ 8,0 ▼	89	MSÚ-Sada(6)	132,5	0,0	-66,1	-65,8	-8,3	36,8	20,5	OK	OK
ZÁR1-EP	ZÁR1-bfl 3	▲ 8,0 ▼	89	MSÚ-Sada(2)	122,6	0,0	-61,0	61,0	-7,0	34,1	19,5	OK	OK
		▲ 8,0 ▼	89	MSÚ-Sada(2)	122,7	0,0	-61,0	-61,1	6,8	34,1	19,5	OK	OK
ČD1	ZÁR1-bfl 1	▲ 8,0 ▼	150	MSÚ-Sada(8)	57,3	0,0	-30,3	25,2	-12,5	15,9	10,7	OK	OK
		▲ 8,0 ▼	150	MSÚ-Sada(8)	50,8	0,0	-19,8	-26,1	7,0	14,1	9,9	OK	OK
ČD1	ZÁR1-bfl 2	▲ 8,0 ▼	90	MSÚ-Sada(6)	146,6	0,0	-61,7	61,2	-46,3	40,7	26,5	OK	OK
		▲ 8,0 ▼	90	MSÚ-Sada(6)	147,0	0,0	-61,3	-61,7	46,2	40,8	26,6	OK	OK
ČD1	ZÁR1-bfl 3	▲ 8,0 ▼	90	MSÚ-Sada(5)	187,6	0,0	72,0	-68,7	-72,7	52,1	27,5	OK	OK
		▲ 8,0 ▼	90	MSÚ-Sada(5)	181,4	0,0	65,3	68,6	69,5	50,4	26,8	OK	OK
OČD1a	B321-tfl 1	▲ 6,0 ▼	160	MSÚ-Sada(9)	179,2	0,0	26,9	35,9	-95,7	49,8	38,1	OK	OK
		▲ 6,0 ▼	160	MSÚ-Sada(9)	352,8	0,0	201,6	143,7	85,3	98,0	63,0	OK	OK
OČD1a	B321-bfl 1	▲ 6,0 ▼	160	MSÚ-Sada(9)	133,8	0,0	-50,5	-48,4	52,7	37,2	30,4	OK	OK
		▲ 6,0 ▼	160	MSÚ-Sada(2)	122,8	0,0	-80,0	-47,3	-25,5	34,1	25,8	OK	OK
OČD1b	B378-w 1	▲ 6,0 ▼	309	MSÚ-Sada(9)	355,4	1,8	180,1	176,7	-8,8	98,7	84,0	OK	OK

Položka	Hrana	T_w [mm]	L [mm]	Zatížení	$\sigma_{w,Ed}$ [MPa]	ϵ_{pl} [%]	σ_{\perp} [MPa]	τ_{\perp} [MPa]	τ_{\parallel} [MPa]	Ut [%]	Ut _c [%]	Konstrukční zásady	Status
		▲ 6,0 ▼	309	MSÚ-Sada(9)	358,1	3,7	-171,1	179,8	25,5	99,5	88,1	OK	OK
OČD2a	B321-tfl 1	▲ 6,0 ▼	340	MSÚ-Sada(9)	102,9	0,0	-79,0	-5,5	-37,6	30,5	20,4	OK	OK
		▲ 6,0 ▼	340	MSÚ-Sada(9)	228,7	0,0	120,5	-104,7	40,4	63,5	38,4	OK	OK
OČD2a	B321-bfl 1	▲ 6,0 ▼	340	MSÚ-Sada(6)	64,6	0,0	63,7	0,2	6,4	24,6	12,9	OK	OK
		▲ 6,0 ▼	339	MSÚ-Sada(9)	127,9	0,0	-87,5	-53,8	2,1	35,5	26,4	OK	OK
B321-bfl 1	VÝZT	▲ 4,0 ▼	49	MSÚ-Sada(6)	165,1	0,0	-26,2	-28,2	-89,8	45,9	38,1	Nevyhovuje!	OK
		▲ 4,0 ▼	49	MSÚ-Sada(9)	167,0	0,0	-32,0	26,7	90,8	46,4	38,8	Nevyhovuje!	OK
B321-w 1	VÝZT	▲ 4,0 ▼	245	MSÚ-Sada(9)	97,5	0,0	45,2	43,4	-24,7	27,1	19,2	OK	OK
		▲ 4,0 ▼	245	MSÚ-Sada(9)	91,8	0,0	-31,8	32,2	-37,9	25,5	18,4	OK	OK
B321-tfl 1	VÝZT	▲ 4,0 ▼	49	MSÚ-Sada(9)	120,0	0,0	-27,7	-28,9	-60,9	33,3	25,2	Nevyhovuje!	OK
		▲ 4,0 ▼	49	MSÚ-Sada(9)	126,6	0,0	-34,3	33,1	62,1	35,2	25,1	Nevyhovuje!	OK
OČD1a	VÝZT	▲ 4,0 ▼	284	MSÚ-Sada(9)	227,7	0,0	111,6	113,9	-12,8	63,3	36,9	OK	OK
		▲ 4,0 ▼	284	MSÚ-Sada(9)	242,7	0,0	122,9	-120,7	-4,9	67,4	38,5	OK	OK
B321-bfl 1	VÝZT1	▲ 4,0 ▼	49	MSÚ-Sada(9)	24,3	0,0	12,5	9,5	7,4	6,8	6,8	Nevyhovuje!	OK
		▲ 4,0 ▼	49	MSÚ-Sada(9)	23,6	0,0	4,4	-1,8	13,2	6,5	6,5	Nevyhovuje!	OK
B321-w 1	VÝZT1	▲ 4,0 ▼	245	MSÚ-Sada(9)	13,2	0,0	0,2	0,4	7,6	3,7	3,7	OK	OK
		▲ 4,0 ▼	246	MSÚ-Sada(6)	9,2	0,0	-0,8	0,8	-5,2	2,6	2,6	OK	OK
B321-tfl 1	VÝZT1	▲ 4,0 ▼	49	MSÚ-Sada(6)	23,8	0,0	-12,7	-10,0	6,0	6,6	6,6	Nevyhovuje!	OK

Položka	Hrana	T_w [mm]	L [mm]	Zatížení	$\sigma_{w,Ed}$ [MPa]	ϵ_{pl} [%]	σ_{\perp} [MPa]	τ_{\perp} [MPa]	τ_{\parallel} [MPa]	Ut [%]	Ut _c [%]	Konstrukční zásady	Status
		▲ 4,0 ▼	49	MSÚ-Sada(6)	23,7	0,0	-3,2	0,7	13,6	6,6	6,6	Nevyhovuje!	OK
B321-bfl 1	VÝZT2	▲ 4,0 ▼	49	MSÚ-Sada(6)	30,3	0,0	8,7	5,3	-15,9	8,4	8,4	Nevyhovuje!	OK
		▲ 4,0 ▼	49	MSÚ-Sada(6)	29,2	0,0	14,5	-11,5	-9,1	8,1	8,1	Nevyhovuje!	OK
B321-w 1	VÝZT2	▲ 4,0 ▼	245	MSÚ-Sada(9)	10,5	0,0	-1,1	-0,9	6,0	2,9	2,9	OK	OK
		▲ 4,0 ▼	245	MSÚ-Sada(9)	14,3	0,0	0,1	-0,4	-8,3	4,0	4,0	OK	OK
B321-tfl 1	VÝZT2	▲ 4,0 ▼	49	MSÚ-Sada(9)	25,7	0,0	-10,3	-13,4	2,5	7,1	7,1	Nevyhovuje!	OK
		▲ 4,0 ▼	49	MSÚ-Sada(9)	25,9	0,0	-14,3	11,2	-5,4	7,2	7,2	Nevyhovuje!	OK
OČD2b	B373-bfl 1	▲ 6,0	199	MSÚ-Sada(9)	317,5	0,0	-205,4	114,2	80,6	88,2	66,1	OK	OK
OČD2b	B373-w 1	▲ 6,0	270	MSÚ-Sada(9)	274,8	0,1	252,1	-7,9	62,7	97,3	44,4	OK	OK
OČD2b	B373-w 2	▲ 6,0	270	MSÚ-Sada(9)	352,8	0,0	141,0	-172,3	-71,9	98,0	62,5	OK	OK
B321-bfl 1	VÝZT	▲ 4,0 ▼	49	MSÚ-Sada(9)	80,0	0,0	-45,7	17,1	-33,8	22,2	17,0	Nevyhovuje!	OK
		▲ 4,0 ▼	49	MSÚ-Sada(9)	103,5	0,0	8,1	54,7	-23,7	28,7	16,3	Nevyhovuje!	OK
B321-w 1	VÝZT	▲ 4,0 ▼	245	MSÚ-Sada(9)	74,3	0,0	36,6	37,3	1,2	20,6	14,4	OK	OK
		▲ 4,0 ▼	245	MSÚ-Sada(9)	77,6	0,0	39,3	-38,6	-2,0	21,5	14,5	OK	OK
B321-tfl 1	VÝZT	▲ 4,0 ▼	49	MSÚ-Sada(9)	67,3	0,0	7,6	-34,2	-18,0	18,7	15,3	Nevyhovuje!	OK
		▲ 4,0 ▼	49	MSÚ-Sada(9)	59,8	0,0	-22,9	26,8	-17,3	16,6	13,5	Nevyhovuje!	OK
OČD2a	VÝZT	▲ 4,0 ▼	285	MSÚ-Sada(9)	160,2	0,0	-13,9	-87,9	-27,7	44,5	28,0	OK	OK
		▲ 4,0 ▼	285	MSÚ-Sada(9)	75,9	0,0	10,0	43,4	1,9	23,0	13,2	OK	OK
ZÁR1-EP	B322	▲ 7,0	503	MSÚ-Sada(6)	182,9	0,0	-89,7	91,8	6,3	50,8	30,8	OK	OK

Návrhová data

Materiál	f_u [MPa]	β_w [-]	$\sigma_{w,Rd}$ [MPa]	0.9σ [MPa]
S 235	360,0	0,80	360,0	259,2

Vysvětlení symbolů

T_w	Tloušťka svaru a
L	Délka
$\sigma_{w,Ed}$	Ekvivalentní napětí
ϵ_{pl}	Přetvoření
σ_{\perp}	Kolmé napětí
τ_{\perp}	Smykové napětí kolmé k ose svaru
τ_{\parallel}	Smykové napětí rovnoběžné s osou svaru
Ut	Využití
Ut _c	Odhad kapacity svaru
▲	Koutový svar
f_u	Mezní pevnost svaru
β_w	Korelační součinitel EN 1993-1-8 tabulka 4.1
$\sigma_{w,Rd}$	Únosnost na srovnávací napětí
0.9σ	Únosnost na kolmé napětí - $0.9 \cdot f_u / \gamma_{M2}$

Boulení

Analýza boulení nebyla provedena.

Nastavení normových proměnných

Položka	Hodnota	Jednotka	Reference
Součinitel spolehlivosti γ_{M0}	1,00	-	EN 1993-1-1: 6.1
Součinitel spolehlivosti γ_{M1}	1,00	-	EN 1993-1-1: 6.1
Součinitel spolehlivosti γ_{M2}	1,25	-	EN 1993-1-1: 6.1
Součinitel spolehlivosti γ_{M3}	1,25	-	EN 1993-1-8: 2.2
Součinitel spolehlivosti γ_C	1,50	-	EN 1992-1-1: 2.4.2.4
Součinitel spolehlivosti γ_{Inst}	1,20	-	EN 1992-4: Table 4.1
Součinitel styčnicku β_j	0,67	-	EN 1993-1-8: 6.2.5
Účinná plocha - vliv velikosti sítě	0,10	-	
Součinitel tření - beton	0,25	-	EN 1993-1-8
Součinitel tření pro třecí spoje	0,30	-	EN 1993-1-8 tab 3.7
Mezní plastické přetvoření	0,05	-	EN 1993-1-5
Konstrukční zásady	Ano		
Vzdálenost mezi šrouby [d]	2,20	-	EN 1993-1-8: tab 3.3
Vzdálenost mezi šrouby a hranou [d]	1,20	-	EN 1993-1-8: tab 3.3
Únosnost vytržení betonu	Oba		EN 1992-4: 7.2.1.4 and 7.2.2.5
Použití vypočtené a_b v posudku otláčení.	Ano		EN 1993-1-8: tab 3.4
Potrhaný beton	Ano		EN 1992-4
Kontrola lokální deformace	Ano		CIDECT DG 1, 3 - 1.1
Limita lokální deformace	0,03	-	CIDECT DG 1, 3 - 1.1
Geometrická nelinearita (GMNA)	Ano		Analýza s velkými deformacemi pro spoje s dutými profily
Vyztužený systém	Ne		EN 1993-1-8: 5.2.2.5

Posouzení plošného základu

Vstupní data

Projekt

Akce : RNR - SO 664
 Část : PATKA MO A2-A14 OSA 5 (PATKA A.5)
 Popis : BEZ IGP DANÉ LOKALITY, PO ODKRYTÍ STÁVAJÍCÍCH VRSTEV JE NUTNÉ OVĚŘIT STAV KONSTRUKČNÍCH VRSTEV V NÁSYPU, TVAR A DIMENZI PATKY PAK PŘÍZPŮSOBIT SKUTEČNÉ GEOLOGII A ÚNOSNOSTI ZÁKLADOVÉ SPÁRY
 Datum : 24.10.2024

Nastavení

Standardní - EN 1997 - DA2

Materiály a normy

Betonové konstrukce : EN 1992-1-1 (EC2)
 Součinitele EN 1992-1-1 : standardní

Sedání

Metoda výpočtu : ČSN 73 1001 (Výpočet pomocí edometrického modulu)
 Omezení deformační zóny : procentem Sigma,Or
 Koef. omezení deformační zóny : 10,0 [%]

Patky

Posouzení tažené patky : standardní postup
 Dovolená excentricita : 0,333
 Metodika posouzení : výpočet podle EN1997
 Návrhový přístup : 2 - redukce zatížení a odporu

Součinitele redukce zatížení (F)			
Trvalá návrhová situace			
		Nepříznivé	Příznivé
Stálé zatížení :	$\gamma_G =$	1,35 [-]	1,00 [-]

Součinitele redukce odporu (R)			
Trvalá návrhová situace			
Součinitel redukce svislé únosnosti :		$\gamma_{Rvs} =$	1,40 [-]
Součinitel redukce vodorovné únosnosti :		$\gamma_{Rhs} =$	1,10 [-]

Základní parametry zemín

Číslo	Název	Vzorek	φ_{ef} [°]	c_{ef} [kPa]	γ [kN/m ³]	γ_{su} [kN/m ³]	δ [°]
1	Třída G2, středně ulehlá		35,50	0,00	20,00	10,00	

Pro výpočet tlaku v klidu jsou všechny zeminy zadány jako nesoudržné.

Parametry zemín

Třída G2, středně ulehlá

Objemová tíha : $\gamma = 20,00$ kN/m³
 Úhel vnitřního tření : $\varphi_{ef} = 35,50$ °
 Soudržnost zeminy : $c_{ef} = 0,00$ kPa
 Edometrický modul : $E_{oed} = 161,00$ MPa
 Obj.tíha sat.zeminy : $\gamma_{sat} = 20,00$ kN/m³

Založení

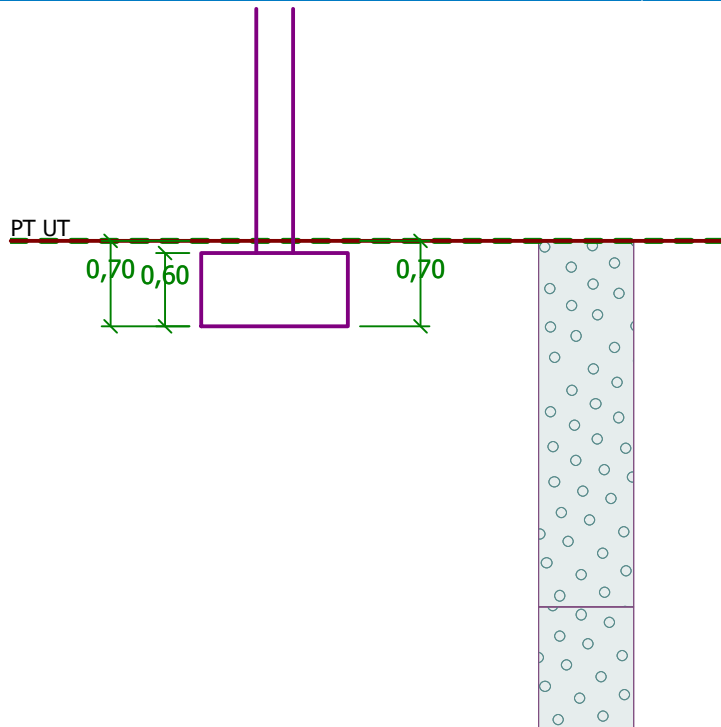
Typ základu: centrická patka

Hloubka od původního terénu $h_z = 0,70$ m
Hloubka základové spáry $d = 0,70$ m
Tloušťka základu $t = 0,60$ m
Sklon upraveného terénu $s_1 = 0,00$ °
Sklon základové spáry $s_2 = 0,00$ °

Objemová tíha zeminy nad základem = 20,00 kN/m³

Název : Založení

Fáze - výpočet : 1 - 0



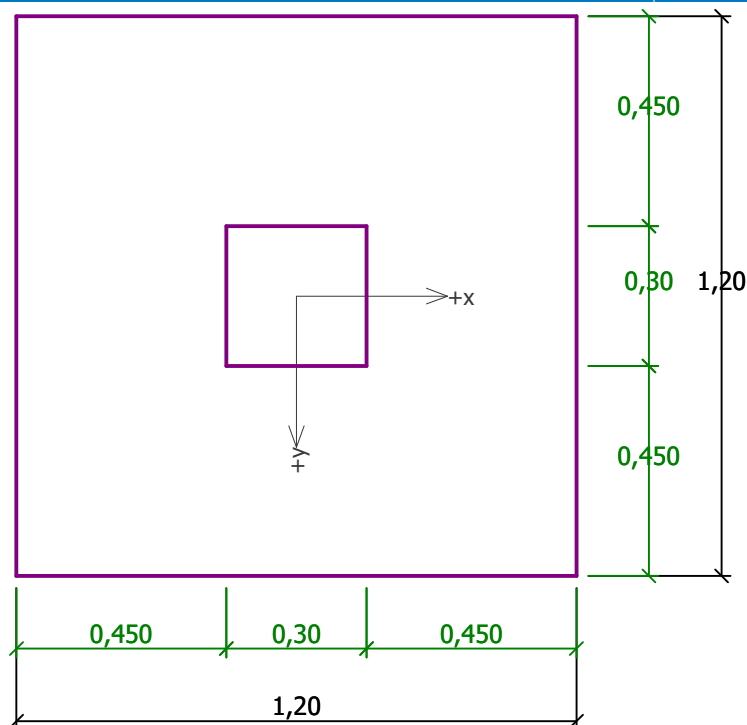
Geometrie konstrukce

Typ základu: centrická patka

Délka patky $x = 1,20$ m
Šířka patky $y = 1,20$ m
Šířka sloupu ve směru x $c_x = 0,30$ m
Šířka sloupu ve směru y $c_y = 0,30$ m
Objem patky = 0,86 m³

Název : Geometrie

Fáze - výpočet : 1 - 0



Materiál konstrukce

Objemová tíha $\gamma = 23,00 \text{ kN/m}^3$

Výpočet betonových konstrukcí proveden podle normy EN 1992-1-1 (EC2).

Beton : C 20/25

Válcová pevnost v tlaku

$$f_{ck} = 20,00 \text{ MPa}$$

Pevnost v tahu

$$f_{ctm} = 2,20 \text{ MPa}$$

Modul pružnosti

$$E_{cm} = 30000,00 \text{ MPa}$$

Ocel podélná : B500

Mez kluzu

$$f_{yk} = 500,00 \text{ MPa}$$

Ocel příčná : B500

Mez kluzu

$$f_{yk} = 500,00 \text{ MPa}$$

Geologický profil a přiřazení zemin

Číslo	Vrstva [m]	Přiřazená zemina	Vzorek
1	3,00	Třída G2, středně ulehlá	
2	-	Třída G2, středně ulehlá	

Zatížení

Číslo	Zatížení		Název	Typ	N [kN]	M_x [kNm]	M_y [kNm]	H_x [kN]	H_y [kN]
	nové	změna							
1	Ano		Zatížení č. 1	Návrhové	15,24	0,00	0,00	-2,76	0,20
2	Ano		Zatížení č. 2	Návrhové	11,48	0,00	0,00	1,68	-2,17
3	Ano		Zatížení č. 3	Návrhové	26,46	0,00	0,00	0,00	-7,30
4	Ano		Zatížení č. 4	Návrhové	6,89	0,00	0,00	0,00	4,10
5	Ano		Zatížení č. 5	Návrhové	-0,10	0,00	0,00	-2,30	0,79

Číslo	Zatížení		Název	Typ	N [kN]	M _x [kNm]	M _y [kNm]	H _x [kN]	H _y [kN]
	nové	změna							
6	Ano		Zatížení č. 6	Návrhové	34,95	0,00	0,00	0,27	-0,46
7	Ano		Zatížení č. 1 - provozní	Užitné	10,89	0,00	0,00	-1,97	0,14
8	Ano		Zatížení č. 2 - provozní	Užitné	8,20	0,00	0,00	1,20	-1,55
9	Ano		Zatížení č. 3 - provozní	Užitné	18,90	0,00	0,00	0,00	-5,21
10	Ano		Zatížení č. 4 - provozní	Užitné	4,92	0,00	0,00	0,00	2,93
11	Ano		Zatížení č. 5 - provozní	Užitné	-0,07	0,00	0,00	-1,64	0,56
12	Ano		Zatížení č. 6 - provozní	Užitné	24,96	0,00	0,00	0,19	-0,33

Celkové nastavení výpočtu

Typ výpočtu : zadat únosnost základové půdy R_d

Nastavení výpočtu fáze

Návrhová situace : trvalá

Posouzení čís. 1

Posouzení zatěžovacích stavů

Název	VI. tíha příznivě	e _x [m]	e _y [m]	σ [kPa]	R _d [kPa]	Využití [%]	Vyhovuje
Zatížení č. 1	Ano	-0,04	0,00	28,48	128,57	22,15	Ano
Zatížení č. 1	Ne	-0,04	0,00	33,93	128,57	26,39	Ano
Zatížení č. 2	Ano	0,03	0,04	26,57	128,57	20,66	Ano
Zatížení č. 2	Ne	0,02	0,03	32,00	128,57	24,89	Ano
Zatížení č. 3	Ano	0,00	0,09	40,01	128,57	31,12	Ano
Zatížení č. 3	Ne	0,00	0,08	45,35	128,57	35,27	Ano
Zatížení č. 4	Ano	0,00	-0,08	23,77	128,57	18,49	Ano
Zatížení č. 4	Ne	0,00	-0,07	29,14	128,57	22,67	Ano
Zatížení č. 5	Ano	-0,06	-0,02	18,02	128,57	14,01	Ano
Zatížení č. 5	Ne	-0,05	-0,02	23,43	128,57	18,22	Ano
Zatížení č. 6	Ano	0,00	0,00	40,46	128,57	31,47	Ano
Zatížení č. 6	Ne	0,00	0,00	45,94	128,57	35,73	Ano

Výpočet proveden s automatickým výběrem nejnepříznivějších zatěžovacích stavů.

Spočtená vlastní tíha patky G = 26,83 kN

Spočtená tíha nadloží Z = 3,64 kN

Posouzení svislé únosnosti - tlačená patka

Tvar kontaktního napětí : obdélník

Nejnepříznivější zatěžovací stav číslo 6. (Zatížení č. 6)

Únosnost základové půdy R_d = 180,00 kPa

Parametry smykové plochy pod základem:

Hloubka smykové plochy z_{sp} = 2,28 m

Dosah smykové plochy l_{sp} = 7,51 m

Výpočtová únosnost zákl. půdy R_d = 128,57 kPa

Extrémní kontaktní napětí σ = 45,94 kPa

Svislá únosnost - tlačená patka VYHOVUJE

Posouzení excentricity zatížení

Max. excentricita ve směru délky patky $e_x = 0,051 < 0,333$

Max. excentricita ve směru šířky patky $e_y = 0,074 < 0,333$

Max. prostorová excentricita $e_t = 0,074 < 0,333$

Excentricita zatížení základu VYHOVUJE

Posouzení svislé únosnosti - tažená patka

Návrhový úhel vnitřního tření nadloží $\varphi_d = 0,00^\circ$

Návrhová soudržnost nadloží $c_d = 0,00$ kPa

Max. tahová síla $N_{t,max} = 0,10$ kN

Odpor proti zvednutí $R_t = 19,63$ kN

Svislá únosnost - tažená patka VYHOVUJE

Posouzení vodorovné únosnosti

Nejnepříznivější zatěžovací stav číslo 3. (Zatížení č. 3)

Zemní odpor: klidový

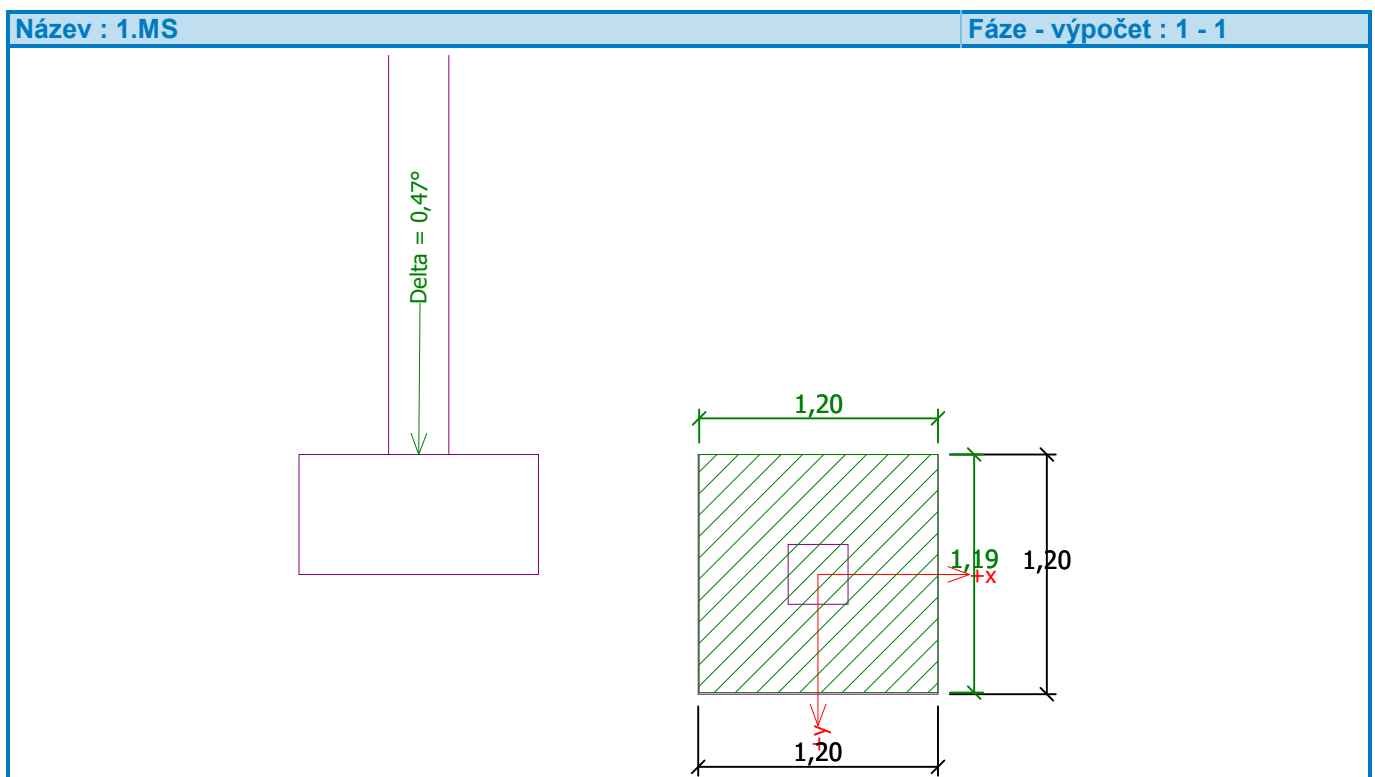
Výpočtová velikost zemního odporu $S_{pd} = 2,42$ kN

Horizontální únosnost základu $R_{dh} = 33,99$ kN

Extrémní horizontální síla $H = 7,30$ kN

Vodorovná únosnost VYHOVUJE

Únosnost základu VYHOVUJE



Posouzení čís. 1

Sednutí a natočení základu - vstupní data

Výpočet proveden s automatickým výběrem nejnepříznivějších zatěžovacích stavů.

Výpočet proveden s uvažováním koeficientu κ_1 (vliv hloubky založení).
Napětí v základové spáře uvažováno od upraveného terénu.

Spočtená vlastní tíha patky $G = 19,87$ kN
Spočtená tíha nadloží $Z = 2,70$ kN

Sednutí středu hrany x - 1 = 0,0 mm

Sednutí středu hrany x - 2 = 0,0 mm

Sednutí středu hrany y - 1 = 0,0 mm

Sednutí středu hrany y - 2 = 0,0 mm

Sednutí středu základu = 0,1 mm

Sednutí charakterist. bodu = 0,1 mm

(1-hrana max.tlačená; 2-hrana min.tlačená)

Sednutí a natočení základu - výsledky

Tuhost základu:

Spočtený vážený průměrný modul přetvárnosti $E_{def} = 144,90$ MPa

Základ je ve směru délky tuhý ($k=25,88$)

Základ je ve směru šířky tuhý ($k=25,88$)

Posouzení excentricity zatížení

Max. excentricita ve směru délky patky $e_x = 0,037 < 0,333$

Max. excentricita ve směru šířky patky $e_y = 0,063 < 0,333$

Max. prostorová excentricita $e_t = 0,063 < 0,333$

Excentricita zatížení základu VYHOVUJE

Celkové sednutí a natočení základu:

Sednutí základu = 0,1 mm

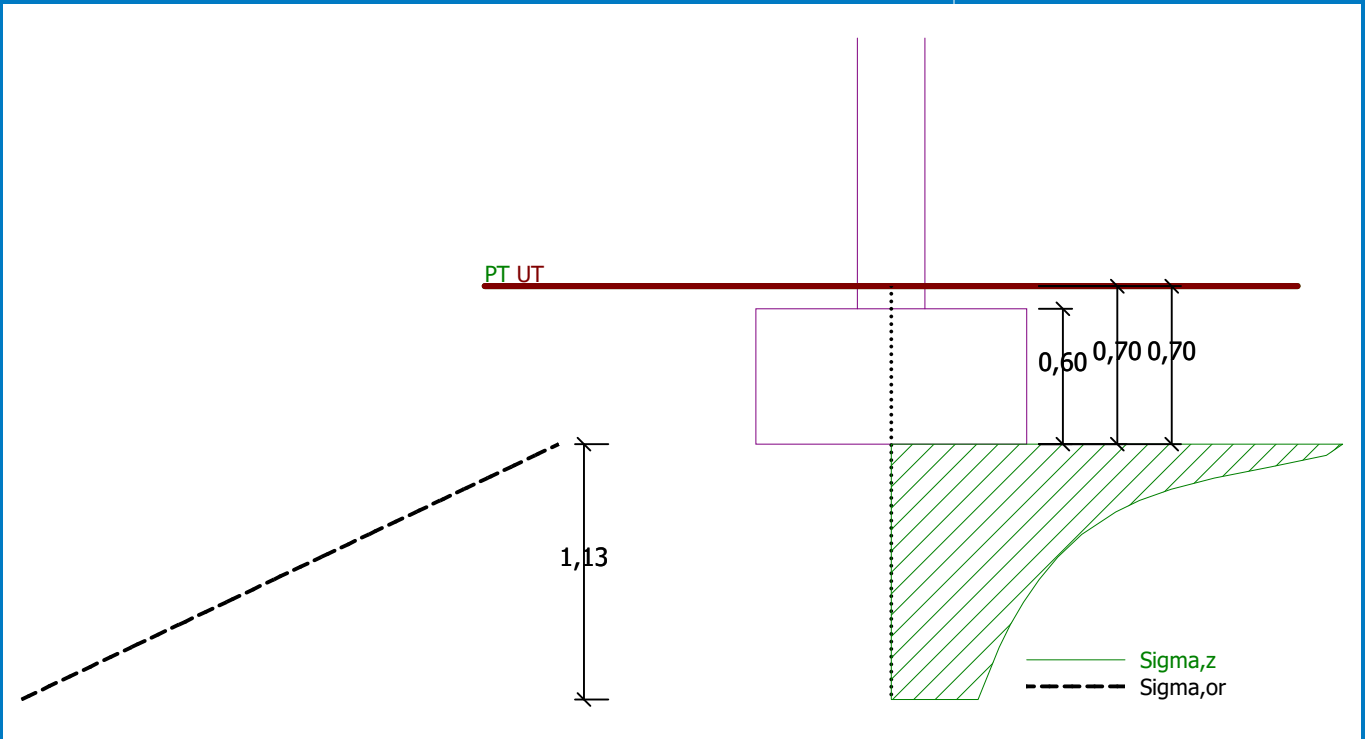
Hloubka deformační zóny = 1,13 m

Natočení ve směru x = 0,010 (\tan^*1000); ($5,8E-04$ °)

Natočení ve směru y = 0,027 (\tan^*1000); ($1,5E-03$ °)

Název : 2.MS

Fáze - výpočet : 1 - 1



Dimenzace čís. 1

Výpočet proveden s automatickým výběrem nejnepříznivějších zatěžovacích stavů.

Posouzení podélné výztuže základu ve směru x

Výztuž při dolním okraji

Profil vložky = 12,0 mm
Počet vložek = 12
Krytí výztuže = 50,0 mm
Šířka průřezu = 1,20 m
Výška průřezu = 0,60 m

Stupeň vyztužení $\rho = 0,21 \% > 0,13 \% = \rho_{min}$
Poloha neutrálné osy $x = 0,05 \text{ m} < 0,34 \text{ m} = x_{max}$
Moment na mezi únosnosti $M_{Rd} = 310,12 \text{ kNm} > 3,21 \text{ kNm} = M_{Ed}$

Průřez VYHOVUJE.

Výztuž při horním okraji

Profil vložky = 10,0 mm
Počet vložek = 12
Krytí výztuže = 60,0 mm

Stupeň vyztužení $\rho = 0,15 \% > 0,13 \% = \rho_{min}$
Poloha neutrálné osy $x = 0,03 \text{ m} < 0,33 \text{ m} = x_{max}$
Moment na mezi únosnosti $M_{Rd} = 213,98 \text{ kNm} > 0,01 \text{ kNm} = M_{Ed}$

Průřez VYHOVUJE.

Posouzení podélné výztuže základu ve směru y

Výztuž při dolním okraji

Profil vložky = 12,0 mm
Počet vložek = 12
Krytí výztuže = 70,0 mm

Šířka průřezu = 1,20 m

Výška průřezu = 0,60 m

Stupeň vyztužení $\rho = 0,22 \% > 0,13 \% = \rho_{min}$

Poloha neutrálné osy $x = 0,05 \text{ m} < 0,32 \text{ m} = x_{max}$

Moment na mezi únosnosti $M_{Rd} = 298,32 \text{ kNm} > 3,28 \text{ kNm} = M_{Ed}$

Průřez VYHOVUJE.

Výztuž při horním okraji

Profil vložky = 10,0 mm

Počet vložek = 12

Krytí výztuže = 50,0 mm

Stupeň vyztužení $\rho = 0,14 \% > 0,13 \% = \rho_{min}$

Poloha neutrálné osy $x = 0,03 \text{ m} < 0,34 \text{ m} = x_{max}$

Moment na mezi únosnosti $M_{Rd} = 218,08 \text{ kNm} > 0,01 \text{ kNm} = M_{Ed}$

Průřez VYHOVUJE.

Posouzení základu na protlačení

Normálová síla v sloupu = 34,95 kN

Maximální únosnost na obvodu sloupu

Síla přenesená roznášením do zákl. půdy = 2,18 kN

Síla přenášená smykovou pevností ŽB = 32,77 kN

Uvažovaný obvod sloupu $u_0 = 1,20 \text{ m}$

Smykové napětí na obvodu sloupu $v_{Ed,max} = 0,05 \text{ MPa}$

Únosnost na obvodu sloupu $v_{Rd,max} = 2,94 \text{ MPa}$

Kritický průřez bez smykové výztuže

Síla přenesená roznášením do zákl. půdy = 15,39 kN

Síla přenášená smykovou pevností ŽB = 19,56 kN

Vzdálenost průřezu od sloupu = 0,27 m

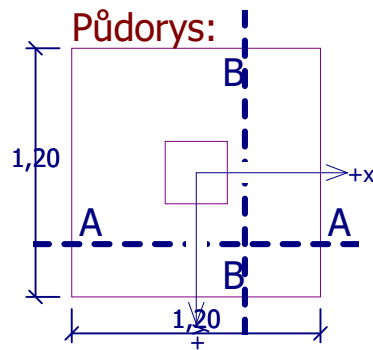
Délka průřezu $u = 2,88 \text{ m}$

Smykové napětí na průřezu $v_{Ed} = 0,01 \text{ MPa}$

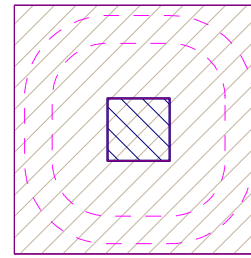
Únosnost nevyztuženého průřezu $v_{Rd,c} = 1,28 \text{ MPa}$

$v_{Ed} < v_{Rd,c} \Rightarrow$ Výztuž není nutná

Základ na protlačení VYHOVUJE



Protlačení - krit. průřez:



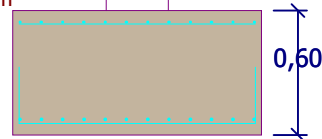
plocha zat., které
ŽB přenese smykem
plocha: $9,00E-02m^2$

kritický průřez
délka: 1,20m

kontrolované průřezy

Řez A-A:

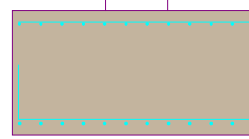
12 ks prof. 10,0mm
délka 1080mm, krytí 60mm



12 ks prof. 12,0mm
délka 1100mm, krytí 50mm

Řez B-B:

12 ks prof. 10,0mm
délka 1100mm, krytí 50mm



12 ks prof. 12,0mm
délka 1060mm, krytí 70mm

Posouzení plošného základu

Vstupní data

Projekt

Akce : RNR - SO 664
Část : PATKA MODULOVÁ OSA B1-B3 A B31-B33 - OSA 1 (PATKY B1.1)
Popis : BEZ IGP DANÉ LOKALITY, PO ODKRYTÍ STÁVAJÍCÍCH VRSTEV JE NUTNÉ OVĚŘIT STAV KONSTRUKČNÍCH VRSTEV V NÁSYPU, TVAR A DIMENZI PATKY PAK PŘÍZPŮSOBIT SKUTEČNÉ GEOLOGII A ÚNOSNOSTI ZÁKLADOVÉ SPÁRY
Datum : 24.10.2024

Nastavení

Standardní - EN 1997 - DA2

Materiály a normy

Betonové konstrukce : EN 1992-1-1 (EC2)
Součinitele EN 1992-1-1 : standardní

Sedání

Metoda výpočtu : ČSN 73 1001 (Výpočet pomocí edometrického modulu)
Omezení deformační zóny : procentem Sigma,Or
Koef. omezení deformační zóny : 10,0 [%]

Patky

Výpočet pro odvodněné podmínky : EC 7-1 (EN 1997-1:2003)
Posouzení tažené patky : standardní postup
Dovolená excentricita : 0,333
Metodika posouzení : výpočet podle EN1997
Návrhový přístup : 2 - redukce zatížení a odporu

Součinitele redukce zatížení (F)			
Trvalá návrhová situace			
		Nepříznivé	Příznivé
Stálé zatížení :	$\gamma_G =$	1,35 [-]	1,00 [-]

Součinitele redukce odporu (R)			
Trvalá návrhová situace			
Součinitel redukce svislé únosnosti :	$\gamma_{Rvs} =$	1,40 [-]	
Součinitel redukce vodorovné únosnosti :	$\gamma_{Rhs} =$	1,10 [-]	

Základní parametry zemín

Číslo	Název	Vzorek	φ_{ef} [°]	c_{ef} [kPa]	γ [kN/m ³]	γ_{su} [kN/m ³]	δ [°]
1	Třída G2, středně ulehlá		35,50	0,00	20,00	10,00	

Pro výpočet tlaku v klidu jsou všechny zeminy zadány jako nesoudržné.

Parametry zemín

Třída G2, středně ulehlá

Objemová tíha : $\gamma = 20,00$ kN/m³
Úhel vnitřního tření : $\varphi_{ef} = 35,50^\circ$
Soudržnost zeminy : $c_{ef} = 0,00$ kPa
Edometrický modul : $E_{oed} = 161,00$ MPa
Obj.tíha sat.zeminy : $\gamma_{sat} = 20,00$ kN/m³

Založení

Typ základu: excentrická patka

Hloubka od původního terénu $h_z = 1,20$ m

Hloubka základové spáry $d = 1,20$ m

Tloušťka základu $t = 1,00$ m

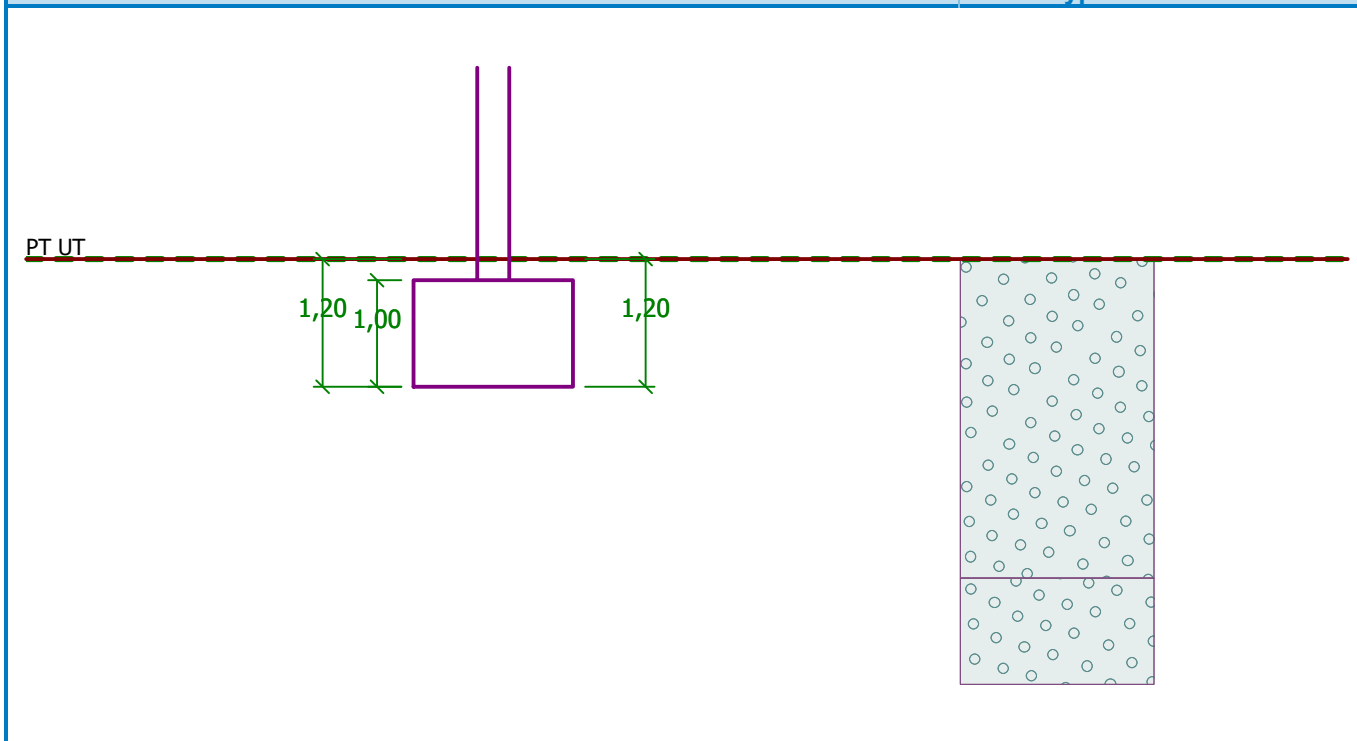
Sklon upraveného terénu $s_1 = 0,00$ °

Sklon základové spáry $s_2 = 0,00$ °

Objemová tíha zeminy nad základem = $20,00$ kN/m³

Název : Založení

Fáze - výpočet : 1 - 0



Geometrie konstrukce

Typ základu: excentrická patka

Délka patky $x = 1,50$ m

Šířka patky $y = 2,80$ m

Šířka sloupu ve směru x $c_x = 0,30$ m

Šířka sloupu ve směru y $c_y = 0,30$ m

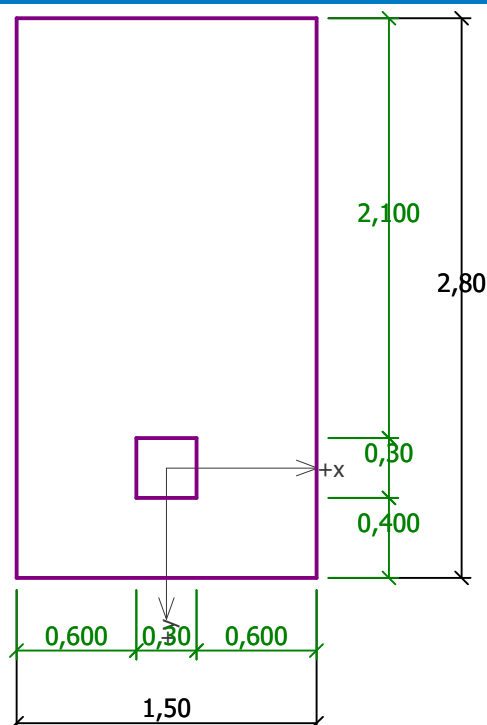
Objem patky = $4,20$ m³

Vzdál. osy sloupu od kraje patky ve směru x = $0,75$ m

Vzdál. osy sloupu od kraje patky ve směru y = $0,55$ m

Název : Geometrie

Fáze - výpočet : 1 - 0



Materiál konstrukce

Objemová tíha $\gamma = 23,00 \text{ kN/m}^3$

Výpočet betonových konstrukcí proveden podle normy EN 1992-1-1 (EC2).

Beton : C 20/25

Válcová pevnost v tlaku

$$f_{ck} = 20,00 \text{ MPa}$$

Pevnost v tahu

$$f_{ctm} = 2,20 \text{ MPa}$$

Modul pružnosti

$$E_{cm} = 30000,00 \text{ MPa}$$

Ocel podélná : B500

Mez kluzu

$$f_{yk} = 500,00 \text{ MPa}$$

Ocel příčná : B500

Mez kluzu

$$f_{yk} = 500,00 \text{ MPa}$$

Geologický profil a přiřazení zemin

Číslo	Vrstva [m]	Přiřazená zemina	Vzorek
1	3,00	Třída G2, středně ulehlá	
2	-	Třída G2, středně ulehlá	

Zatížení

Číslo	Zatížení		Název	Typ	N [kN]	M_x [kNm]	M_y [kNm]	H_x [kN]	H_y [kN]
	nové	změna							
1	Ano		Zatížení č. 1	Návrhové	45,26	-78,07	0,00	2,40	-4,55
2	Ano		Zatížení č. 2	Návrhové	30,57	-37,78	0,00	-2,28	-6,29
3	Ano		Zatížení č. 3	Návrhové	47,53	-108,16	0,00	1,12	-13,90
4	Ano		Zatížení č. 4	Návrhové	8,35	-9,14	0,00	-2,05	-2,21
5	Ano		Zatížení č. 5	Návrhové	96,77	-86,34	0,00	-0,79	10,58

Číslo	Zatížení		Název	Typ	N [kN]	M _x [kNm]	M _y [kNm]	H _x [kN]	H _y [kN]
	nové	změna							
6	Ano		Zatížení č. 6	Návrhové	15,17	17,39	0,00	0,02	6,54
7	Ano		Zatížení č. 7	Návrhové	47,42	-111,87	0,00	1,01	-13,35
8	Ano		Zatížení č. 8	Návrhové	91,82	-85,75	0,00	-1,18	9,23
9	Ano		Zatížení č. 9	Návrhové	61,12	-23,10	0,00	0,59	10,39
10	Ano		Zatížení č. 1 - provozní	Užitné	32,33	-55,76	0,00	1,71	-3,25
11	Ano		Zatížení č. 2 - provozní	Užitné	21,84	-26,99	0,00	-1,63	-4,49
12	Ano		Zatížení č. 3 - provozní	Užitné	33,95	-77,26	0,00	0,80	-9,93
13	Ano		Zatížení č. 4 - provozní	Užitné	5,96	-6,53	0,00	-1,46	-1,58
14	Ano		Zatížení č. 5 - provozní	Užitné	69,12	-61,67	0,00	-0,56	7,56
15	Ano		Zatížení č. 6 - provozní	Užitné	10,84	12,42	0,00	0,01	4,67
16	Ano		Zatížení č. 7 - provozní	Užitné	33,87	-79,91	0,00	0,72	-9,54
17	Ano		Zatížení č. 8 - provozní	Užitné	65,59	-61,25	0,00	-0,84	6,59
18	Ano		Zatížení č. 9 - provozní	Užitné	43,66	-16,50	0,00	0,42	7,42

Celkové nastavení výpočtu

Typ výpočtu : výpočet pro odvodněné podmínky

Nastavení výpočtu fáze

Návrhová situace : trvalá

Posouzení čís. 1

Posouzení zatěžovacích stavů

Název	VI. tíha příznivě	e _x [m]	e _y [m]	σ [kPa]	R _d [kPa]	Využití [%]	Vyhovuje
Zatížení č. 1	Ano	0,02	0,28	48,04	1182,13	4,06	Ano
Zatížení č. 1	Ne	0,01	0,22	56,96	1192,45	4,78	Ano
Zatížení č. 2	Ano	-0,02	0,13	38,39	1138,80	3,37	Ano
Zatížení č. 2	Ne	-0,01	0,10	47,71	1159,82	4,11	Ano
Zatížení č. 3	Ano	0,01	0,51	60,61	1102,95	5,49	Ano
Zatížení č. 3	Ne	0,01	0,41	67,76	1126,51	6,01	Ano
Zatížení č. 4	Ano	-0,02	0,04	30,33	1173,30	2,58	Ano
Zatížení č. 4	Ne	-0,01	0,03	39,73	1189,08	3,34	Ano
Zatížení č. 5	Ano	0,00	-0,03	51,34	1133,39	4,53	Ano
Zatížení č. 5	Ne	0,00	-0,03	60,76	1149,75	5,28	Ano
Zatížení č. 6	Ano	0,00	-0,29	38,41	1155,80	3,32	Ano
Zatížení č. 6	Ne	0,00	-0,22	47,38	1174,51	4,03	Ano
Zatížení č. 7	Ano	0,01	0,53	61,94	1113,63	5,56	Ano
Zatížení č. 7	Ne	0,01	0,42	68,81	1134,67	6,06	Ano
Zatížení č. 8	Ano	-0,01	-0,01	49,42	1140,82	4,33	Ano
Zatížení č. 8	Ne	0,00	-0,01	58,84	1156,32	5,09	Ano
Zatížení č. 9	Ano	0,00	-0,23	49,64	1129,69	4,39	Ano
Zatížení č. 9	Ne	0,00	-0,18	58,78	1149,31	5,11	Ano

Výpočet proveden s automatickým výběrem nejnepříznivějších zatěžovacích stavů.

Spočtená vlastní tíha patky G = 130,41 kN
 Spočtená tíha nadloží Z = 22,19 kN

Posouzení svislé únosnosti

Tvar kontaktního napětí : obdélník

Nejnepříznivější zatěžovací stav číslo 7. (Zatížení č. 7)

Parametry smykové plochy pod základem:

Hloubka smykové plochy $z_{sp} = 2,85 \text{ m}$

Dosah smykové plochy $l_{sp} = 9,39 \text{ m}$

Výpočtová únosnost zákl. půdy $R_d = 1134,67 \text{ kPa}$

Extrémní kontaktní napětí $\sigma = 68,81 \text{ kPa}$

Svislá únosnost VYHOVUJE

Posouzení excentricity zatížení

Max. excentricita ve směru délky patky $e_x = 0,011 < 0,333$

Max. excentricita ve směru šířky patky $e_y = 0,189 < 0,333$

Max. prostorová excentricita $e_t = 0,189 < 0,333$

Excentricita zatížení základu VYHOVUJE

Posouzení vodorovné únosnosti

Nejnepříznivější zatěžovací stav číslo 3. (Zatížení č. 3)

Zemní odpor: klidový

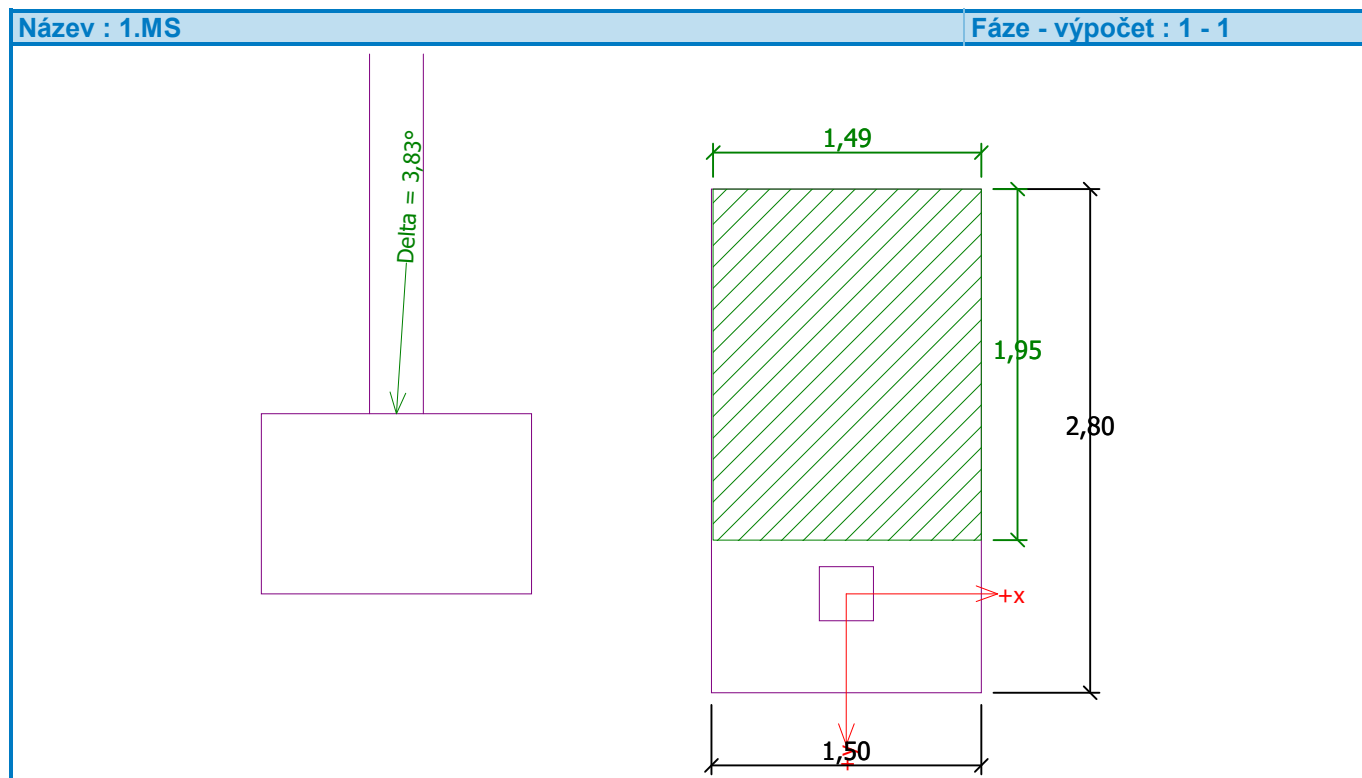
Výpočtová velikost zemního odporu $S_{pd} = 8,81 \text{ kN}$

Horizontální únosnost základu $R_{dh} = 112,13 \text{ kN}$

Extrémní horizontální síla $H = 13,95 \text{ kN}$

Vodorovná únosnost VYHOVUJE

Únosnost základu VYHOVUJE



Posouzení čís. 1

Sednutí a natočení základu - vstupní data

Výpočet proveden s automatickým výběrem nejnepříznivějších zatěžovacích stavů.

Výpočet proveden s uvažováním koeficientu κ_1 (vliv hloubky založení).

Napětí v základové spáře uvažováno od upraveného terénu.

Spočtená vlastní tíha patky $G = 96,60$ kN

Spočtená tíha nadloží $Z = 16,44$ kN

Sednutí středu hrany x - 1 = 0,1 mm

Sednutí středu hrany x - 2 = 0,0 mm

Sednutí středu hrany y - 1 = 0,0 mm

Sednutí středu hrany y - 2 = 0,0 mm

Sednutí středu základu = 0,1 mm

Sednutí charakterist. bodu = 0,1 mm

(1-hrana max.tlačená; 2-hrana min.tlačená)

Sednutí a natočení základu - výsledky

Tuhost základu:

Spočtený vážený průměrný modul přetvárnosti $E_{def} = 144,90$ MPa

Základ je ve směru délky tuhý ($k=61,34$)

Základ je ve směru šířky tuhý ($k=9,43$)

Posouzení excentricity zatížení

Max. excentricita ve směru délky patky $e_x = 0,008 < 0,333$

Max. excentricita ve směru šířky patky $e_y = 0,147 < 0,333$

Max. prostorová excentricita $e_t = 0,147 < 0,333$

Excentricita zatížení základu VYHOVUJE

Celkové sednutí a natočení základu:

Sednutí základu = 0,1 mm

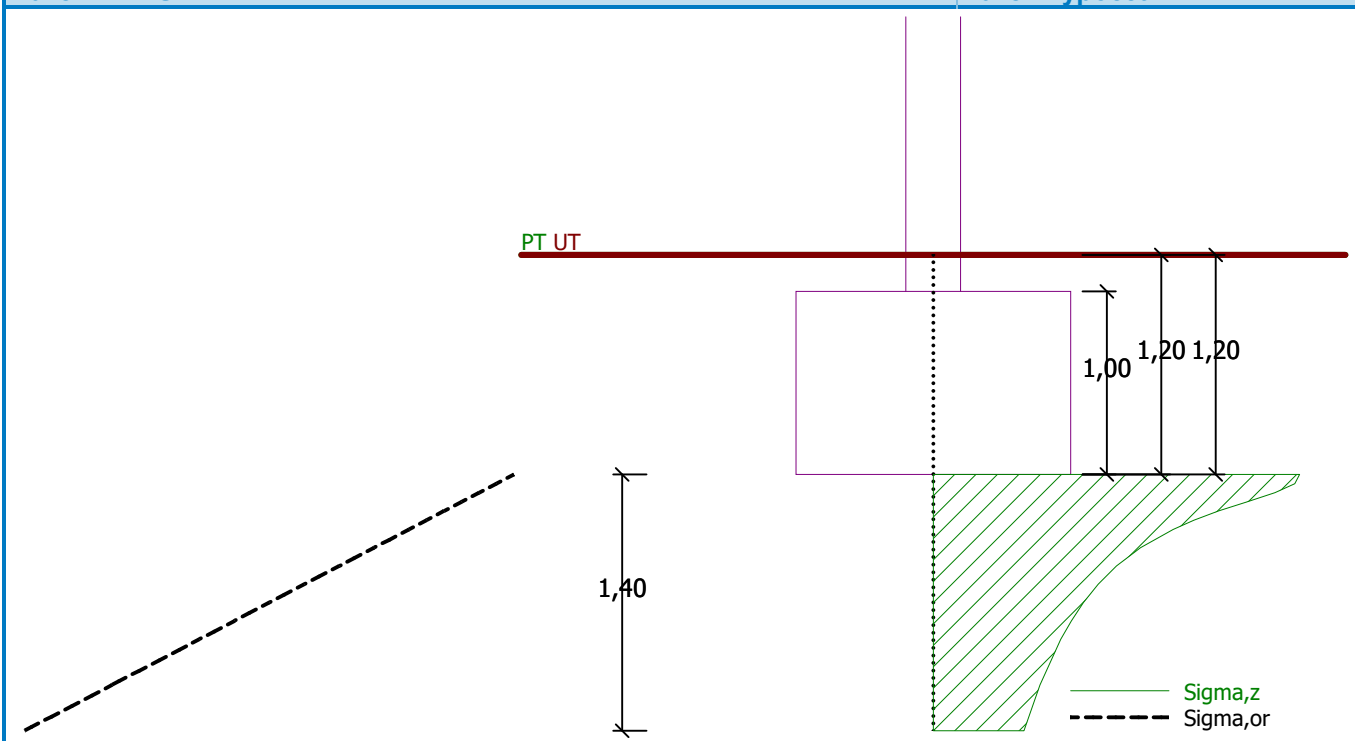
Hloubka deformační zóny = 1,40 m

Natočení ve směru x = 0,005 (tan*1000); (2,8E-04 °)

Natočení ve směru y = 0,043 (tan*1000); (2,5E-03 °)

Název : 2.MS

Fáze - výpočet : 1 - 1



Dimenzace čís. 1

Výpočet proveden s automatickým výběrem nejnepříznivějších zatěžovacích stavů.

Posouzení podélné výztuže základu ve směru x

Profil vložky = 16,0 mm
Počet vložek = 28
Krytí výztuže = 50,0 mm
Šířka průřezu = 2,80 m
Výška průřezu = 1,00 m

Stupeň vyztužení $\rho = 0,21 \% > 0,13 \% = \rho_{\min}$
Poloha neutrálné osy $x = 0,08 \text{ m} < 0,58 \text{ m} = x_{\max}$
Moment na mezi únosnosti $M_{Rd} = 2225,50 \text{ kNm} > 13,74 \text{ kNm} = M_{Ed}$

Průřez VYHOVUJE.

Posouzení podélné výztuže základu ve směru y

Profil vložky = 16,0 mm
Počet vložek = 15
Krytí výztuže = 70,0 mm
Šířka průřezu = 1,50 m
Výška průřezu = 1,00 m

Stupeň vyztužení $\rho = 0,22 \% > 0,13 \% = \rho_{\min}$
Poloha neutrálné osy $x = 0,08 \text{ m} < 0,57 \text{ m} = x_{\max}$
Moment na mezi únosnosti $M_{Rd} = 1166,01 \text{ kNm} > 89,15 \text{ kNm} = M_{Ed}$

Průřez VYHOVUJE.

Posouzení základu na protlačení

Normálová síla v sloupu = 47,42 kN

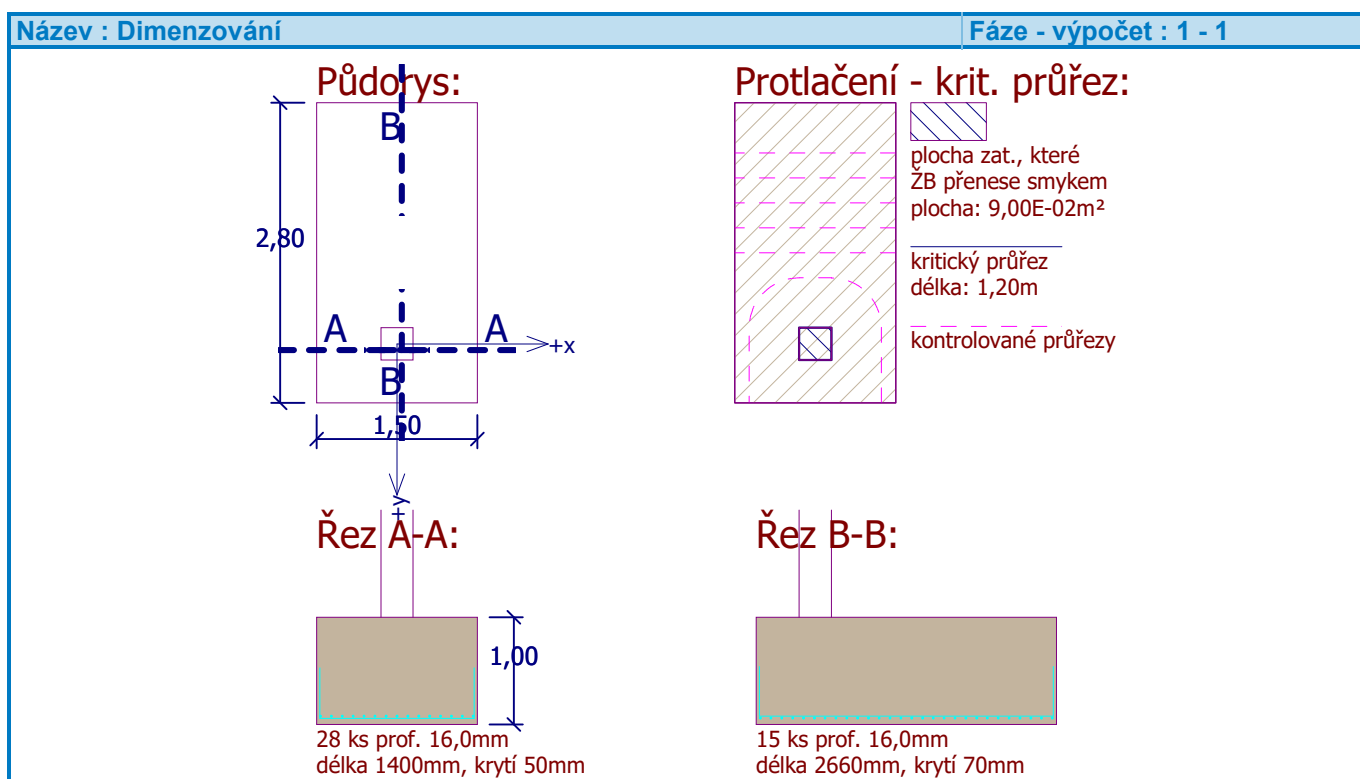
Maximální únosnost na obvodu sloupu

Síla přenesená roznášením do zákl. půdy	=	1,02 kN
Síla přenášená smykovou pevností ŽB	=	46,40 kN
Uvažovaný obvod sloupu	u_0	= 1,20 m
Smykové napětí na obvodu sloupu	$V_{Ed,max}$	= 0,57 MPa
Únosnost na obvodu sloupu	$V_{Rd,max}$	= 2,94 MPa

Kritický průřez bez smykové výztuže

Síla přenesená roznášením do zákl. půdy	=	31,59 kN
Síla přenášená smykovou pevností ŽB	=	15,83 kN
Vzdálenost průřezu od sloupu	=	1,17 m
Délka průřezu	u	= 1,50 m
Smykové napětí na průřezu	V_{Ed}	= 0,05 MPa
Únosnost nevyztuženého průřezu	$V_{Rd,c}$	= 0,50 MPa

$V_{Ed} < V_{Rd,c} \Rightarrow$ Výztuž není nutná

Základ na protlačení VYHOVUJE

Posouzení plošného základu

Vstupní data

Projekt

Akce : RNR - SO 664
Část : PATKA MO B4- B30 - OSA 1 (PATKY B.1.2)
Popis : BEZ IGP DANÉ LOKALITY, PO ODKRYTÍ STÁVAJÍCÍCH VRSTEV JE NUTNÉ OVĚŘIT STAV KONSTRUKČNÍCH VRSTEV V NÁSYPU, TVAR A DIMENZI PATKY PAK PŘÍZPŮSOBIT SKUTEČNÉ GEOLOGII A ÚNOSNOSTI ZÁKLADOVÉ SPÁRY
Datum : 24.10.2024

Nastavení

Standardní - EN 1997 - DA2

Materiály a normy

Betonové konstrukce : EN 1992-1-1 (EC2)
Součinitele EN 1992-1-1 : standardní

Sedání

Metoda výpočtu : ČSN 73 1001 (Výpočet pomocí edometrického modulu)
Omezení deformační zóny : procentem Sigma,Or
Koef. omezení deformační zóny : 10,0 [%]

Patky

Výpočet pro odvodněné podmínky : EC 7-1 (EN 1997-1:2003)
Posouzení tažené patky : standardní postup
Dovolená excentricita : 0,333
Metodika posouzení : výpočet podle EN1997
Návrhový přístup : 2 - redukce zatížení a odporu

Součinitele redukce zatížení (F)			
Trvalá návrhová situace			
		Nepříznivé	Příznivé
Stálé zatížení :	$\gamma_G =$	1,35 [-]	1,00 [-]

Součinitele redukce odporu (R)			
Trvalá návrhová situace			
Součinitel redukce svislé únosnosti :		$\gamma_{Rvs} =$	1,40 [-]
Součinitel redukce vodorovné únosnosti :		$\gamma_{Rhs} =$	1,10 [-]

Základní parametry zemín

Číslo	Název	Vzorek	φ_{ef} [°]	c_{ef} [kPa]	γ [kN/m ³]	γ_{su} [kN/m ³]	δ [°]
1	Třída G2, středně ulehlá		35,50	0,00	20,00	10,00	

Pro výpočet tlaku v klidu jsou všechny zeminy zadány jako nesoudržné.

Parametry zemín

Třída G2, středně ulehlá

Objemová tíha : $\gamma = 20,00$ kN/m³
Úhel vnitřního tření : $\varphi_{ef} = 35,50$ °
Soudržnost zeminy : $c_{ef} = 0,00$ kPa
Edometrický modul : $E_{oed} = 161,00$ MPa
Obj.tíha sat.zeminy : $\gamma_{sat} = 20,00$ kN/m³

Založení

Typ základu: excentrická patka

Hloubka od původního terénu $h_z = 1,20$ m

Hloubka základové spáry $d = 1,20$ m

Tloušťka základu $t = 1,00$ m

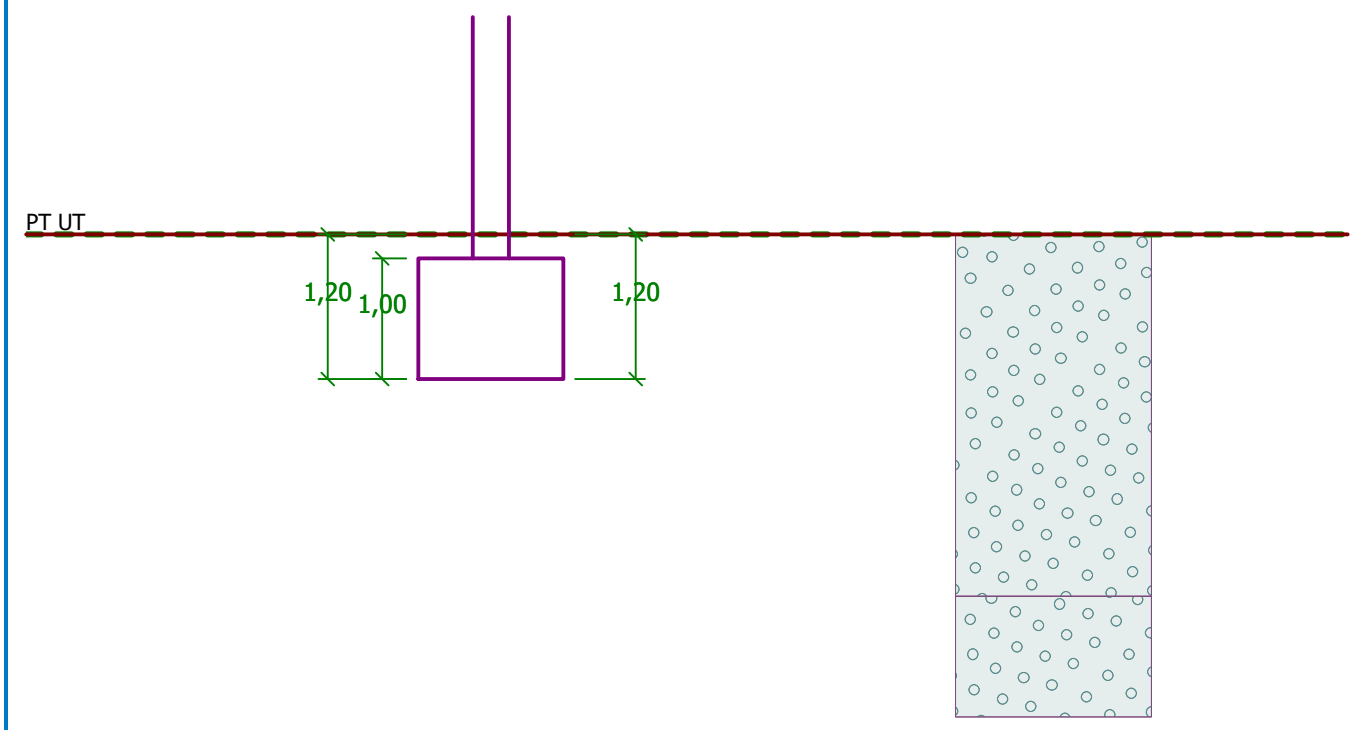
Sklon upraveného terénu $s_1 = 0,00$ °

Sklon základové spáry $s_2 = 0,00$ °

Objemová tíha zeminy nad základem = 20,00 kN/m³

Název : Založení

Fáze - výpočet : 1 - 0



Geometrie konstrukce

Typ základu: excentrická patka

Délka patky $x = 1,20$ m

Šířka patky $y = 2,50$ m

Šířka sloupu ve směru x $c_x = 0,30$ m

Šířka sloupu ve směru y $c_y = 0,30$ m

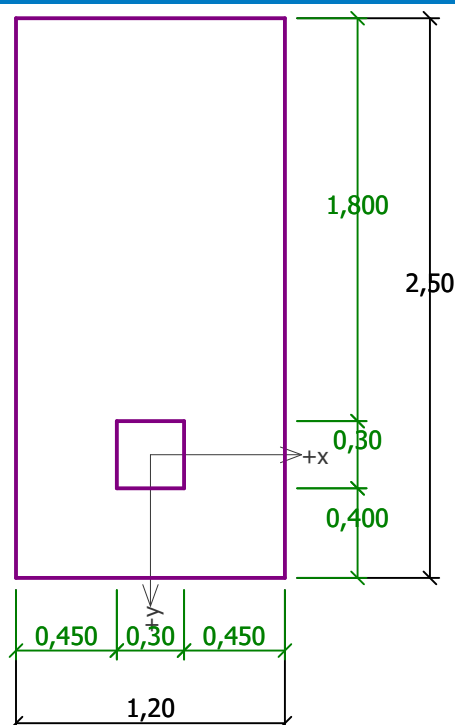
Objem patky = 3,00 m³

Vzdál. osy sloupu od kraje patky ve směru x = 0,60 m

Vzdál. osy sloupu od kraje patky ve směru y = 0,55 m

Název : Geometrie

Fáze - výpočet : 1 - 0



Materiál konstrukce

Objemová tíha $\gamma = 23,00 \text{ kN/m}^3$

Výpočet betonových konstrukcí proveden podle normy EN 1992-1-1 (EC2).

Beton : C 20/25

Válcová pevnost v tlaku

$$f_{ck} = 20,00 \text{ MPa}$$

Pevnost v tahu

$$f_{ctm} = 2,20 \text{ MPa}$$

Modul pružnosti

$$E_{cm} = 30000,00 \text{ MPa}$$

Ocel podélná : B500

Mez kluzu

$$f_{yk} = 500,00 \text{ MPa}$$

Ocel příčná : B500

Mez kluzu

$$f_{yk} = 500,00 \text{ MPa}$$

Geologický profil a přiřazení zemin

Číslo	Vrstva [m]	Přiřazená zemina	Vzorek
1	3,00	Třída G2, středně ulehlá	
2	-	Třída G2, středně ulehlá	

Zatížení

Číslo	Zatížení		Název	Typ	N [kN]	M_x [kNm]	M_y [kNm]	H_x [kN]	H_y [kN]
	nové	změna							
1	Ano		Zatížení č. 1	Návrhové	25,69	-39,42	0,00	2,09	4,18
2	Ano		Zatížení č. 2	Návrhové	3,90	-5,54	0,00	-2,29	-3,22
3	Ano		Zatížení č. 3	Návrhové	24,75	-44,40	0,00	0,00	-6,69
4	Ano		Zatížení č. 4	Návrhové	31,90	-41,72	0,00	0,96	6,15
5	Ano		Zatížení č. 5	Návrhové	1,64	-3,33	0,00	-2,24	-3,16

Číslo	Zatížení		Název	Typ	N [kN]	M _x [kNm]	M _y [kNm]	H _x [kN]	H _y [kN]
	nové	změna							
6	Ano		Zatížení č. 6	Návrhové	40,24	-53,00	0,00	1,27	1,92
7	Ano		Zatížení č. 7	Návrhové	7,57	15,33	0,00	-0,43	4,83
8	Ano		Zatížení č. 8	Návrhové	36,08	-61,10	0,00	-0,16	-3,17
9	Ano		Zatížení č. 9	Návrhové	17,16	-11,28	0,00	-0,16	-1,64
10	Ano		Zatížení č. 10	Návrhové	25,76	-19,85	0,00	0,00	2,46
11	Ano		Zatížení č. 1 - provozní	Užitné	18,35	-28,16	0,00	1,49	2,99
12	Ano		Zatížení č. 2 - provozní	Užitné	2,79	-3,96	0,00	-1,64	-2,30
13	Ano		Zatížení č. 3 - provozní	Užitné	17,68	-31,71	0,00	0,00	-4,78
14	Ano		Zatížení č. 4 - provozní	Užitné	22,79	-29,80	0,00	0,69	4,39
15	Ano		Zatížení č. 5 - provozní	Užitné	1,17	-2,38	0,00	-1,60	-2,26
16	Ano		Zatížení č. 6 - provozní	Užitné	28,74	-37,86	0,00	0,91	1,37
17	Ano		Zatížení č. 7 - provozní	Užitné	5,41	10,95	0,00	-0,31	3,45
18	Ano		Zatížení č. 8 - provozní	Užitné	25,77	-43,64	0,00	-0,11	-2,26
19	Ano		Zatížení č. 9 - provozní	Užitné	12,26	-8,06	0,00	-0,11	-1,17
20	Ano		Zatížení č. 10 - provozní	Užitné	18,40	-14,18	0,00	0,00	1,76

Celkové nastavení výpočtu

Typ výpočtu : výpočet pro odvozené podmínky

Nastavení výpočtu fáze

Návrhová situace : trvalá

Posouzení čís. 1

Posouzení zatěžovacích stavů

Název	VI. tíha příznivě	e _x [m]	e _y [m]	σ [kPa]	R _d [kPa]	Využití [%]	Vyhovuje
Zatížení č. 1	Ano	0,02	0,16	42,11	1054,07	4,00	Ano
Zatížení č. 1	Ne	0,02	0,13	51,31	1070,98	4,79	Ano
Zatížení č. 2	Ano	-0,03	0,07	31,30	1032,68	3,03	Ano
Zatížení č. 2	Ne	-0,02	0,05	40,64	1058,22	3,84	Ano
Zatížení č. 3	Ano	0,00	0,32	47,24	1052,73	4,49	Ano
Zatížení č. 3	Ne	0,00	0,25	55,82	1069,43	5,22	Ano
Zatížení č. 4	Ano	0,01	0,12	42,01	1039,60	4,04	Ano
Zatížení č. 4	Ne	0,01	0,09	51,32	1058,85	4,85	Ano
Zatížení č. 5	Ano	-0,03	0,06	30,30	1031,41	2,94	Ano
Zatížení č. 5	Ne	-0,02	0,05	39,66	1057,79	3,75	Ano
Zatížení č. 6	Ano	0,01	0,19	48,34	1110,67	4,35	Ano
Zatížení č. 6	Ne	0,01	0,15	57,48	1115,26	5,15	Ano
Zatížení č. 7	Ano	0,00	-0,29	38,54	1061,09	3,63	Ano
Zatížení č. 7	Ne	0,00	-0,22	47,33	1078,51	4,39	Ano
Zatížení č. 8	Ano	0,00	0,33	53,23	1122,80	4,74	Ano
Zatížení č. 8	Ne	0,00	0,27	61,69	1124,02	5,49	Ano
Zatížení č. 9	Ano	0,00	0,01	32,93	1105,70	2,98	Ano
Zatížení č. 9	Ne	0,00	0,01	42,34	1112,77	3,81	Ano
Zatížení č. 10	Ano	0,00	-0,01	35,64	1095,18	3,25	Ano
Zatížení č. 10	Ne	0,00	0,00	45,05	1103,99	4,08	Ano

Výpočet proveden s automatickým výběrem nejnepříznivějších zatěžovacích stavů.

Spočtená vlastní tíha patky $G = 93,15$ kN
Spočtená tíha nadloží $Z = 15,71$ kN

Posouzení svislé únosnosti

Tvar kontaktního napětí : obdélník
Nejnepříznivější zatěžovací stav číslo 8. (Zatížení č. 8)

Parametry smykové plochy pod základem:
Hloubka smykové plochy $z_{sp} = 2,28$ m
Dosah smykové plochy $l_{sp} = 7,51$ m

Výpočtová únosnost zákl. půdy $R_d = 1124,02$ kPa
Extrémní kontaktní napětí $\sigma = 61,69$ kPa

Svislá únosnost VYHOVUJE

Posouzení excentricity zatížení

Max. excentricita ve směru délky patky $e_x = 0,023 < 0,333$
Max. excentricita ve směru šířky patky $e_y = 0,134 < 0,333$
Max. prostorová excentricita $e_t = 0,134 < 0,333$

Excentricita zatížení základu VYHOVUJE

Posouzení vodorovné únosnosti

Nejnepříznivější zatěžovací stav číslo 3. (Zatížení č. 3)
Zemní odpor: klidový
Výpočtová velikost zemního odporu $S_{pd} = 7,04$ kN

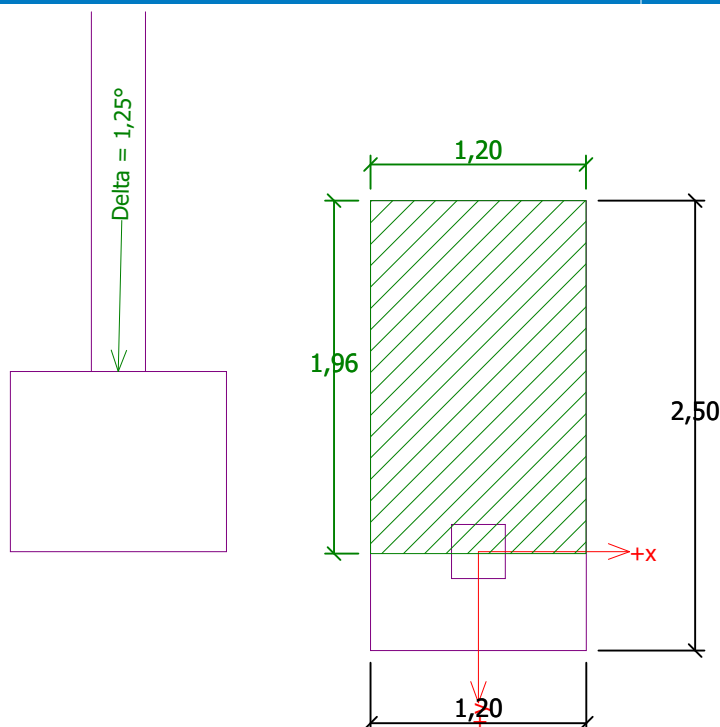
Horizontální únosnost základu $R_{dh} = 74,74$ kN
Extrémní horizontální síla $H = 6,69$ kN

Vodorovná únosnost VYHOVUJE

Únosnost základu VYHOVUJE

Název : 1.MS

Fáze - výpočet : 1 - 1



Posouzení čís. 1

Sednutí a natočení základu - vstupní data

Výpočet proveden s automatickým výběrem nejnepříznivějších zatěžovacích stavů.

Výpočet proveden s uvažováním koeficientu κ_1 (vliv hloubky založení).

Napětí v základové spáře uvažováno od upraveného terénu.

Spočtená vlastní tíha patky $G = 69,00$ kN

Spočtená tíha nadloží $Z = 11,64$ kN

Sednutí středu hrany x - 1 = 0,1 mm

Sednutí středu hrany x - 2 = 0,0 mm

Sednutí středu hrany y - 1 = 0,0 mm

Sednutí středu hrany y - 2 = 0,0 mm

Sednutí středu základu = 0,1 mm

Sednutí charakterist. bodu = 0,1 mm

(1-hrana max.tlačená; 2-hrana min.tlačená)

Sednutí a natočení základu - výsledky

Tuhost základu:

Spočtený vážený průměrný modul přetvárnosti $E_{def} = 144,90$ MPa

Základ je ve směru délky tuhý ($k=119,81$)

Základ je ve směru šířky tuhý ($k=13,25$)

Posouzení excentricity zatížení

Max. excentricita ve směru délky patky $e_x = 0,016 < 0,333$

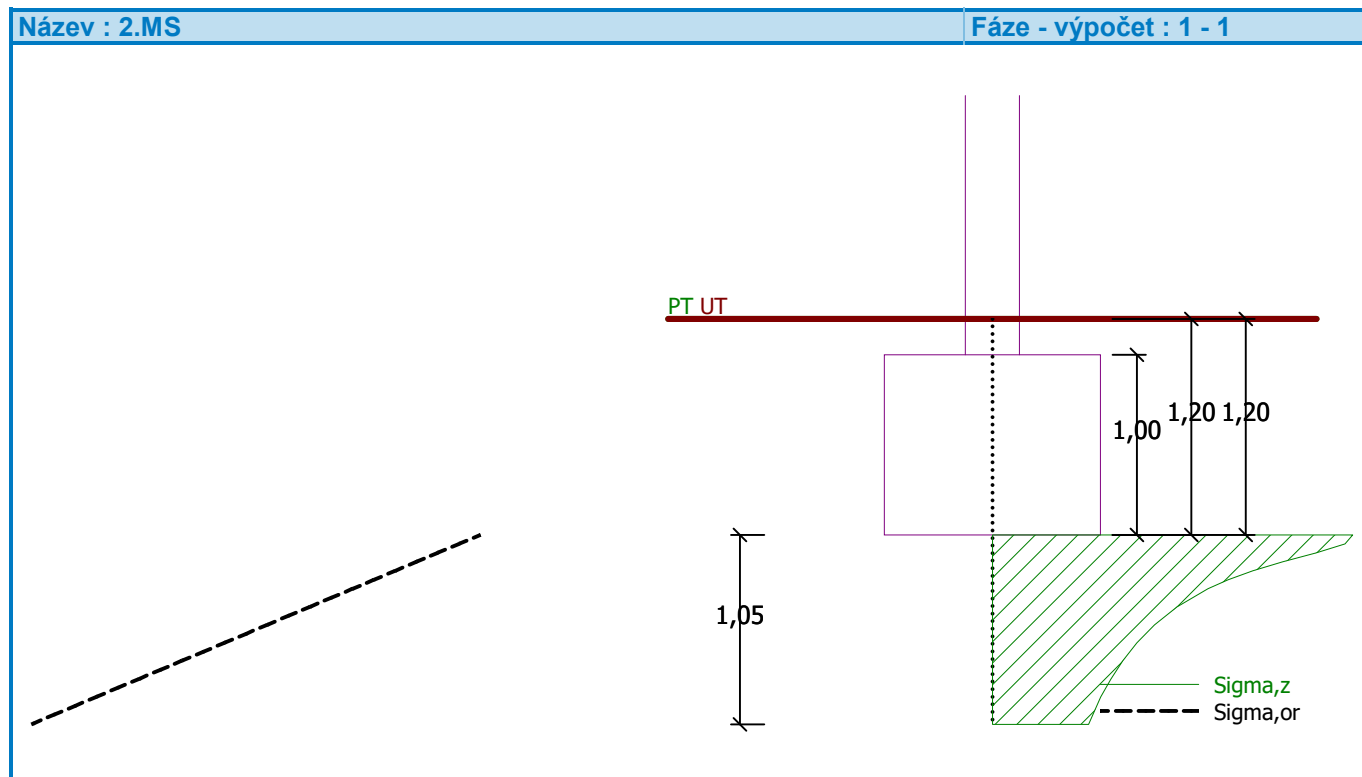
Max. excentricita ve směru šířky patky $e_y = 0,105 < 0,333$

Max. prostorová excentricita $e_t = 0,105 < 0,333$

Excentricita zatížení základu VYHOVUJE

Celkové sednutí a natočení základu:

Sednutí základu = 0,1 mm
 Hloubka deformační zóny = 1,05 m
 Natočení ve směru x = 0,008 (tan*1000); (4,6E-04 °)
 Natočení ve směru y = 0,030 (tan*1000); (1,7E-03 °)



Dimenzace čís. 1

Výpočet proveden s automatickým výběrem nejnepříznivějších zatěžovacích stavů.

Posouzení podélné výztuže základu ve směru x

Maximální vyložení patky je menší než 0,50 * tloušťka patky, výztuž není nutná.

Posouzení podélné výztuže základu ve směru y

Profil vložky = 16,0 mm
 Počet vložek = 12
 Krytí výztuže = 50,0 mm
 Šířka průřezu = 1,20 m
 Výška průřezu = 1,00 m

Stupeň vyztužení $\rho = 0,21 \% > 0,13 \% = \rho_{min}$
 Poloha neutrálné osy $x = 0,08 m < 0,58 m = x_{max}$
 Moment na mezi únosnosti $M_{Rd} = 953,79 kNm > 43,82 kNm = M_{Ed}$

Průřez VYHOVUJE.

Posouzení základu na protlačení

Normálová síla v sloupu = 36,08 kN

Maximální únosnost na obvodu sloupu

Síla přenesená roznášením do zákl. půdy = 1,08 kN
 Síla přenášená smykovou pevností ŽB = 35,00 kN
 Uvažovaný obvod sloupu $u_0 = 1,20 m$

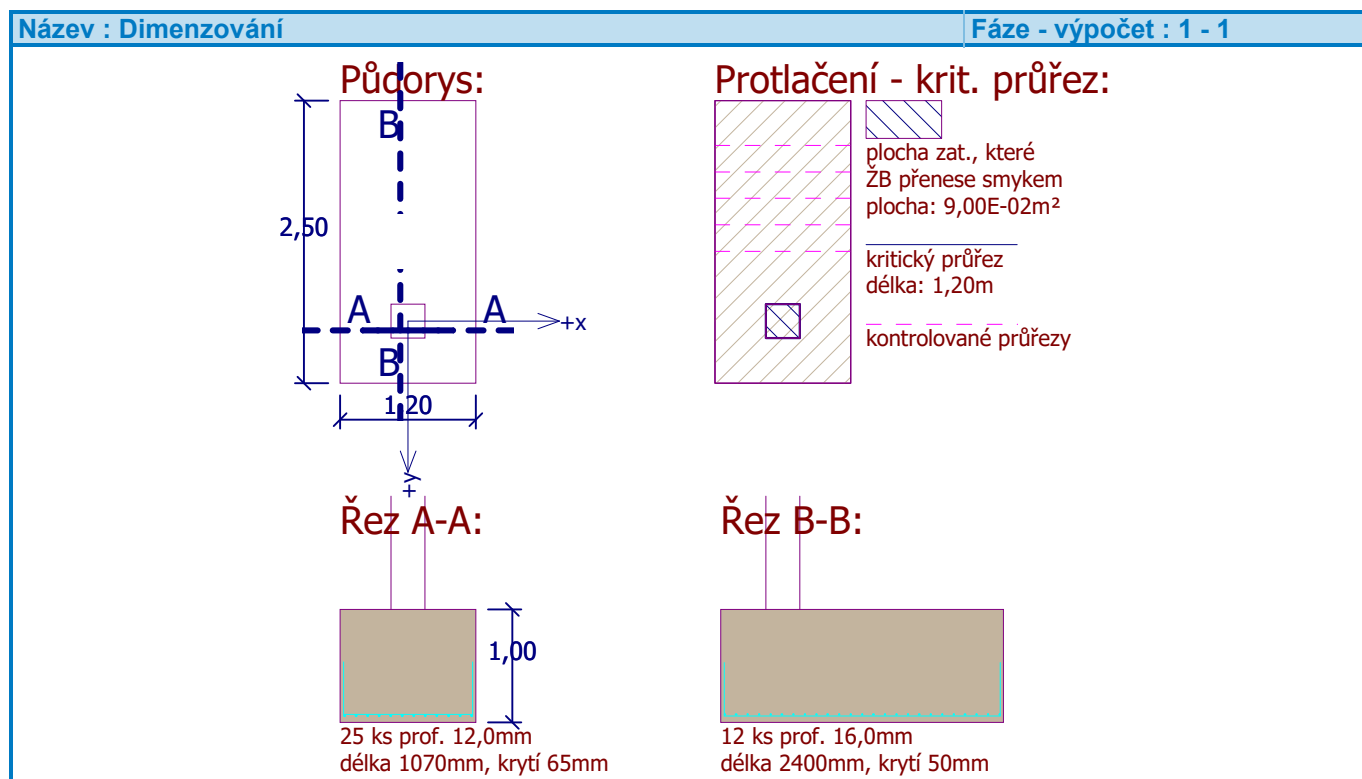
Smykové napětí na obvodu sloupu $V_{Ed,max} = 0,32 \text{ MPa}$
 Únosnost na obvodu sloupu $V_{Rd,max} = 2,94 \text{ MPa}$

Kritický průřez bez smykové výztuže

Síla přenesená roznášením do zákl. půdy = 23,61 kN
 Síla přenášená smykovou pevností ŽB = 12,47 kN
 Vzdálenost průřezu od sloupu = 0,94 m
 Délka průřezu $u = 1,20 \text{ m}$
 Smykové napětí na průřezu $V_{Ed} = 0,04 \text{ MPa}$
 Únosnost nevyztuženého průřezu $V_{Rd,c} = 0,57 \text{ MPa}$

$V_{Ed} < V_{Rd,c} \Rightarrow$ Výztuž není nutná

Základ na protlačení VYHOVUJE



Posouzení plošného základu

Vstupní data

Projekt

Akce : RNR - SO 664

Část : PATKA MO B1,B3 - OSA 4 (PATKY B.4.1)

Popis : BEZ IGP DANÉ LOKALITY, PO ODKRYTÍ STÁVAJÍCÍCH VRSTEV JE NUTNÉ OVĚŘIT STAV KONSTRUKČNÍCH VRSTEV V NÁSYPU, TVAR A DIMENZI PATKY PAK PŘÍZPŮBIT SKUTEČNÉ GEOLOGII A ÚNOSNOSTI ZÁKLADOVÉ SPÁRY

Datum : 24.10.2024

Nastavení

Standardní - EN 1997 - DA2

Materiály a normy

Betonové konstrukce : EN 1992-1-1 (EC2)

Součinitele EN 1992-1-1 : standardní

Sedání

Metoda výpočtu : ČSN 73 1001 (Výpočet pomocí edometrického modulu)

Omezení deformační zóny : procentem Sigma,Or

Koef. omezení deformační zóny : 10,0 [%]

Patky

Posouzení tažené patky : standardní postup

Dovolená excentricita : 0,333

Metodika posouzení : výpočet podle EN1997

Návrhový přístup : 2 - redukce zatížení a odporu

Součinitele redukce zatížení (F)			
Trvalá návrhová situace			
		Nepříznivé	Příznivé
Stálé zatížení :	$\gamma_G =$	1,35 [-]	1,00 [-]

Součinitele redukce odporu (R)			
Trvalá návrhová situace			
Součinitel redukce svislé únosnosti :		$\gamma_{Rvs} =$	1,40 [-]
Součinitel redukce vodorovné únosnosti :		$\gamma_{Rhs} =$	1,10 [-]

Základní parametry zemín

Číslo	Název	Vzorek	φ_{ef} [°]	c_{ef} [kPa]	γ [kN/m ³]	γ_{su} [kN/m ³]	δ [°]
1	Třída G2, středně ulehlá		35,50	0,00	20,00	10,00	

Pro výpočet tlaku v klidu jsou všechny zeminy zadány jako nesoudržné.

Parametry zemín

Třída G2, středně ulehlá

Objemová tíha : $\gamma = 20,00 \text{ kN/m}^3$ Úhel vnitřního tření : $\varphi_{ef} = 35,50^\circ$ Soudržnost zeminy : $c_{ef} = 0,00 \text{ kPa}$ Edometrický modul : $E_{oed} = 161,00 \text{ MPa}$ Obj.tíha sat.zeminy : $\gamma_{sat} = 20,00 \text{ kN/m}^3$

Založení

Typ základu: excentrická patka

Hloubka od původního terénu $h_z = 0,75$ m

Hloubka základové spáry $d = 0,75$ m

Tloušťka základu $t = 0,60$ m

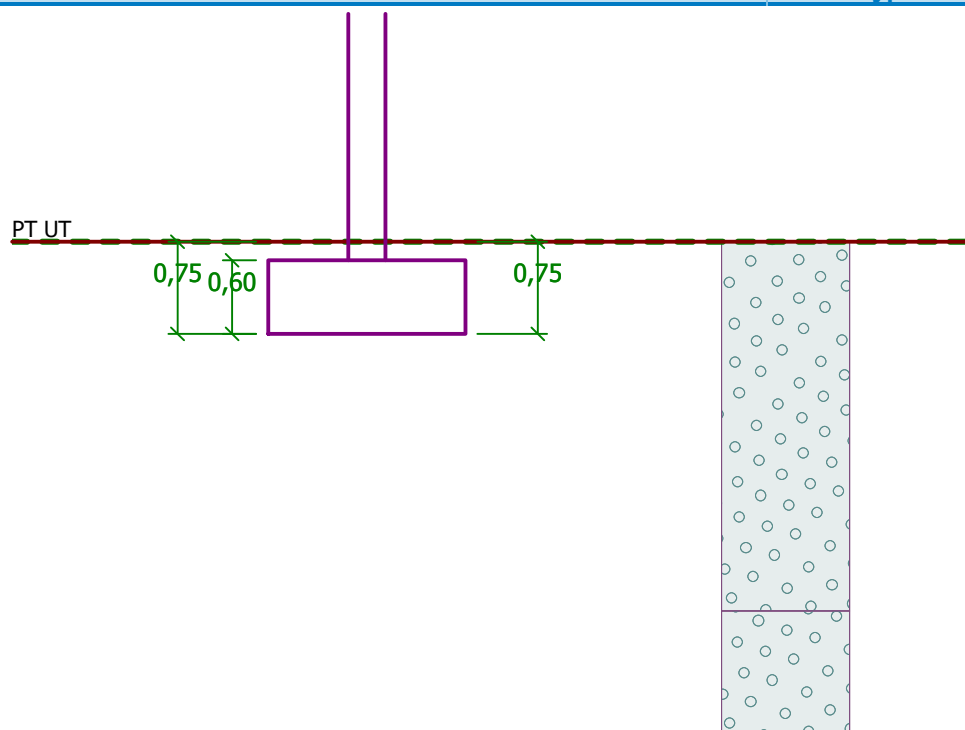
Sklon upraveného terénu $s_1 = 0,00$ °

Sklon základové spáry $s_2 = 0,00$ °

Objemová tíha zeminy nad základem = 20,00 kN/m³

Název : Založení

Fáze - výpočet : 1 - 0



Geometrie konstrukce

Typ základu: excentrická patka

Délka patky $x = 1,60$ m

Šířka patky $y = 1,60$ m

Šířka sloupu ve směru x $c_x = 0,30$ m

Šířka sloupu ve směru y $c_y = 0,30$ m

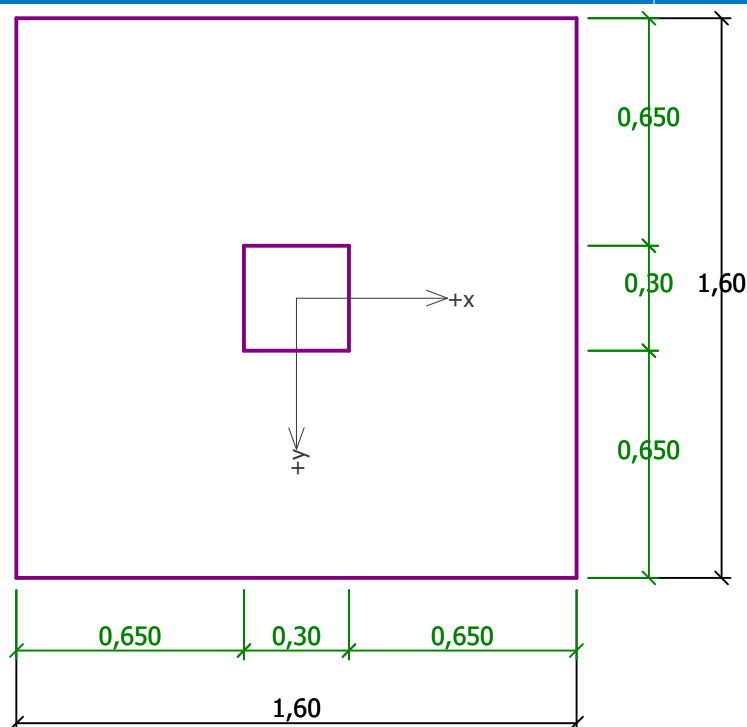
Objem patky = 1,54 m³

Vzdál. osy sloupu od kraje patky ve směru x = 0,80 m

Vzdál. osy sloupu od kraje patky ve směru y = 0,80 m

Název : Geometrie

Fáze - výpočet : 1 - 0



Materiál konstrukce

Objemová tíha $\gamma = 23,00 \text{ kN/m}^3$

Výpočet betonových konstrukcí proveden podle normy EN 1992-1-1 (EC2).

Beton : C 20/25

Válcová pevnost v tlaku

$$f_{ck} = 20,00 \text{ MPa}$$

Pevnost v tahu

$$f_{ctm} = 2,20 \text{ MPa}$$

Modul pružnosti

$$E_{cm} = 30000,00 \text{ MPa}$$

Ocel podélná : B500

Mez kluzu

$$f_{yk} = 500,00 \text{ MPa}$$

Ocel příčná: B500

Mez kluzu

$$f_{yk} = 500,00 \text{ MPa}$$

Geologický profil a přiřazení zemín

Číslo	Vrstva [m]	Přiřazená zemina	Vzorek
1	3,00	Třída G2, středně ulehlá	
2	-	Třída G2, středně ulehlá	

Zatížení

Číslo	Zatížení		Název	Typ	N [kN]	M_x [kNm]	M_y [kNm]	H_x [kN]	H_y [kN]
	nové	změna							
1	Ano		Zatížení č. 1	Návrhové	166,81	0,00	0,00	4,12	-1,39
2	Ano		Zatížení č. 2	Návrhové	21,50	0,00	0,00	-0,13	-4,69
3	Ano		Zatížení č. 3	Návrhové	48,65	0,00	0,00	0,00	4,28
4	Ano		Zatížení č. 4	Návrhové	-26,88	0,00	0,00	0,34	-3,74
5	Ano		Zatížení č. 5	Návrhové	169,20	0,00	0,00	4,10	1,36

Číslo	Zatížení		Název	Typ	N [kN]	M _x [kNm]	M _y [kNm]	H _x [kN]	H _y [kN]
	nové	změna							
6	Ano		Zatížení č. 6	Návrhové	131,93	0,00	0,00	-4,81	-0,45
7	Ano		Zatížení č. 1 - provozní	Užitné	119,15	0,00	0,00	2,94	-0,99
8	Ano		Zatížení č. 2 - provozní	Užitné	15,36	0,00	0,00	-0,09	-3,35
9	Ano		Zatížení č. 3 - provozní	Užitné	34,75	0,00	0,00	0,00	3,06
10	Ano		Zatížení č. 4 - provozní	Užitné	-19,20	0,00	0,00	0,24	-2,67
11	Ano		Zatížení č. 5 - provozní	Užitné	120,86	0,00	0,00	2,93	0,97
12	Ano		Zatížení č. 6 - provozní	Užitné	94,24	0,00	0,00	-3,44	-0,32

Celkové nastavení výpočtu

Typ výpočtu : zadat únosnost základové půdy R_d

Nastavení výpočtu fáze

Návrhová situace : trvalá

Posouzení čís. 1

Posouzení zatěžovacích stavů

Název	VI. tíha příznivě	e _x [m]	e _y [m]	σ [kPa]	R _d [kPa]	Využití [%]	Vyhovuje
Zatížení č. 1	Ano	0,01	0,00	83,50	128,57	64,94	Ano
Zatížení č. 1	Ne	0,01	0,00	89,34	128,57	69,48	Ano
Zatížení č. 2	Ano	0,00	0,04	26,59	128,57	20,68	Ano
Zatížení č. 2	Ne	0,00	0,04	32,41	128,57	25,21	Ano
Zatížení č. 3	Ano	0,00	-0,03	37,00	128,57	28,78	Ano
Zatížení č. 3	Ne	0,00	-0,02	42,83	128,57	33,32	Ano
Zatížení č. 4	Ano	0,01	0,14	7,65	128,57	72,33	Ano
Zatížení č. 4	Ne	0,01	0,07	13,35	128,57	72,33	Ano
Zatížení č. 5	Ano	0,01	0,00	84,41	128,57	65,65	Ano
Zatížení č. 5	Ne	0,01	0,00	90,25	128,57	70,20	Ano
Zatížení č. 6	Ano	-0,02	0,00	69,80	128,57	54,29	Ano
Zatížení č. 6	Ne	-0,02	0,00	75,64	128,57	58,83	Ano

Výpočet proveden s automatickým výběrem nejnepříznivějších zatěžovacích stavů.

Spočtená vlastní tíha patky G = 47,69 kN

Spočtená tíha nadloží Z = 10,00 kN

Posouzení svislé únosnosti - tlačená patka

Tvar kontaktního napětí : obdélník

Nejnepříznivější zatěžovací stav číslo 5. (Zatížení č. 5)

Únosnost základové půdy R_d = 180,00 kPa

Parametry smykové plochy pod základem:

Hloubka smykové plochy z_{sp} = 3,04 m

Dosah smykové plochy l_{sp} = 10,01 m

Výpočtová únosnost zákl. půdy R_d = 128,57 kPa

Extrémní kontaktní napětí σ = 90,25 kPa

Svislá únosnost - tlačená patka VYHOVUJE

Posouzení excentricity zatížení

Max. excentricita ve směru délky patky $e_x = 0,010 < 0,333$

Max. excentricita ve směru šířky patky $e_y = 0,088 < 0,333$

Max. prostorová excentricita $e_t = 0,089 < 0,333$

Excentricita zatížení základu VYHOVUJE

Posouzení svislé únosnosti - tažená patka

Návrhový úhel vnitřního tření nadloží $\varphi_d = 0,00^\circ$

Návrhová soudržnost nadloží $c_d = 0,00$ kPa

Max. tahová síla $N_{t,max} = 26,88$ kN

Odpor proti zvednutí $R_t = 37,16$ kN

Svislá únosnost - tažená patka VYHOVUJE

Posouzení vodorovné únosnosti

Nejnepříznivější zatěžovací stav číslo 6. (Zatížení č. 6)

Zemní odpor: klidový

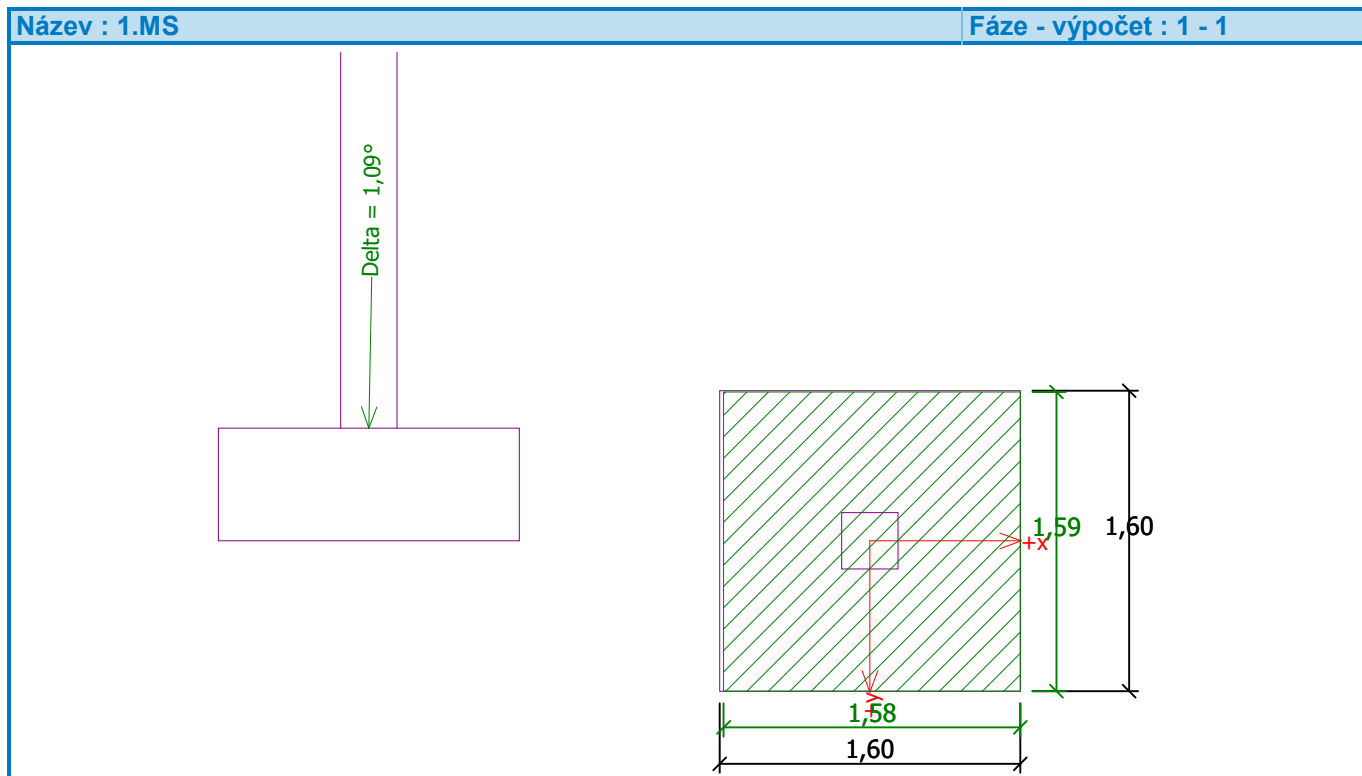
Výpočtová velikost zemního odporu $S_{pd} = 3,62$ kN

Horizontální únosnost základu $R_{dh} = 116,56$ kN

Extrémní horizontální síla $H = 4,83$ kN

Vodorovná únosnost VYHOVUJE

Únosnost základu VYHOVUJE



Posouzení čís. 1

Sednutí a natočení základu - vstupní data

Výpočet proveden s automatickým výběrem nejnepříznivějších zatěžovacích stavů.

Výpočet proveden s uvažováním koeficientu κ_1 (vliv hloubky založení).
Napětí v základové spáře uvažováno od upraveného terénu.

Spočtená vlastní tíha patky $G = 35,33$ kN
Spočtená tíha nadloží $Z = 7,41$ kN

Sednutí středu hrany x - 1 = 0,2 mm

Sednutí středu hrany x - 2 = 0,2 mm

Sednutí středu hrany y - 1 = 0,2 mm

Sednutí středu hrany y - 2 = 0,2 mm

Sednutí středu základu = 0,3 mm

Sednutí charakterist. bodu = 0,2 mm

(1-hrana max.tlačená; 2-hrana min.tlačená)

Sednutí a natočení základu - výsledky

Tuhost základu:

Spočtený vážený průměrný modul přetvárnosti $E_{def} = 144,90$ MPa

Základ je ve směru délky tuhý ($k=10,92$)

Základ je ve směru šířky tuhý ($k=10,92$)

Posouzení excentricity zatížení

Max. excentricita ve směru délky patky $e_x = 0,009 < 0,333$

Max. excentricita ve směru šířky patky $e_y = 0,043 < 0,333$

Max. prostorová excentricita $e_t = 0,043 < 0,333$

Excentricita zatížení základu VYHOVUJE

Celkové sednutí a natočení základu:

Sednutí základu = 0,2 mm

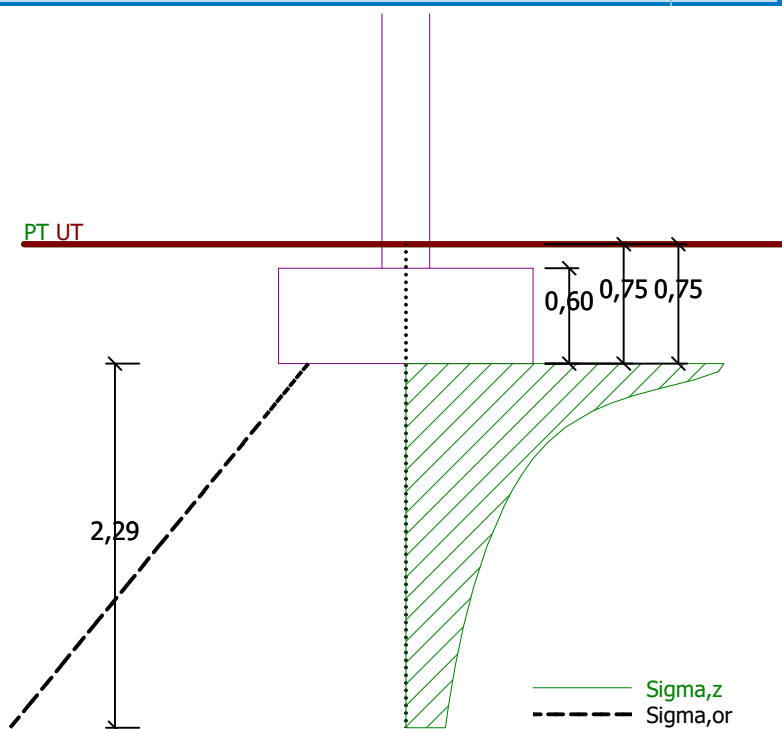
Hloubka deformační zóny = 2,29 m

Natočení ve směru x = 0,008 (\tan^*1000); ($4,4E-04$ °)

Natočení ve směru y = 0,008 (\tan^*1000); ($4,4E-04$ °)

Název : 2.MS

Fáze - výpočet : 1 - 1



Dimenzace čís. 1

Výpočet proveden s automatickým výběrem nejnepříznivějších zatěžovacích stavů.

Posouzení podélné výztuže základu ve směru x

Výztuž při dolním okraji

Profil vložky = 12,0 mm
Počet vložek = 16
Krytí výztuže = 50,0 mm
Šířka průřezu = 1,60 m
Výška průřezu = 0,60 m

Stupeň vyztužení $\rho = 0,21 \% > 0,13 \% = \rho_{\min}$
Poloha neutrálné osy $x = 0,05 \text{ m} < 0,34 \text{ m} = x_{\max}$
Moment na mezi únosnosti $M_{Rd} = 413,49 \text{ kNm} > 24,06 \text{ kNm} = M_{Ed}$

Průřez VYHOVUJE.

Výztuž při horním okraji

Profil vložky = 10,0 mm
Počet vložek = 16
Krytí výztuže = 50,0 mm

Stupeň vyztužení $\rho = 0,14 \% > 0,13 \% = \rho_{\min}$
Poloha neutrálné osy $x = 0,03 \text{ m} < 0,34 \text{ m} = x_{\max}$
Moment na mezi únosnosti $M_{Rd} = 290,77 \text{ kNm} > 3,55 \text{ kNm} = M_{Ed}$

Průřez VYHOVUJE.

Posouzení podélné výztuže základu ve směru y

Výztuž při dolním okraji

Profil vložky = 12,0 mm
Počet vložek = 16
Krytí výztuže = 50,0 mm

Šířka průřezu = 1,60 m

Výška průřezu = 0,60 m

Stupeň vyztužení $\rho = 0,21 \% > 0,13 \% = \rho_{\min}$

Poloha neutrálné osy $x = 0,05 \text{ m} < 0,34 \text{ m} = x_{\max}$

Moment na mezi únosnosti $M_{Rd} = 413,49 \text{ kNm} > 23,56 \text{ kNm} = M_{Ed}$

Průřez VYHOVUJE.

Výztuž při horním okraji

Profil vložky = 10,0 mm

Počet vložek = 16

Krytí výztuže = 50,0 mm

Stupeň vyztužení $\rho = 0,14 \% > 0,13 \% = \rho_{\min}$

Poloha neutrálné osy $x = 0,03 \text{ m} < 0,34 \text{ m} = x_{\max}$

Moment na mezi únosnosti $M_{Rd} = 290,77 \text{ kNm} > 3,55 \text{ kNm} = M_{Ed}$

Průřez VYHOVUJE.

Posouzení základu na protlačení

Normálová síla v sloupu = 169,20 kN

Maximální únosnost na obvodu sloupu

Síla přenesená roznášením do zákl. půdy = 5,95 kN

Síla přenášená smykovou pevností ŽB = 163,25 kN

Uvažovaný obvod sloupu $u_0 = 1,20 \text{ m}$

Smykové napětí na obvodu sloupu $v_{Ed,max} = 0,25 \text{ MPa}$

Únosnost na obvodu sloupu $v_{Rd,max} = 2,94 \text{ MPa}$

Kritický průřez bez smykové výztuže

Síla přenesená roznášením do zákl. půdy = 42,88 kN

Síla přenášená smykovou pevností ŽB = 126,32 kN

Vzdálenost průřezu od sloupu = 0,27 m

Délka průřezu $u = 2,91 \text{ m}$

Smykové napětí na průřezu $v_{Ed} = 0,08 \text{ MPa}$

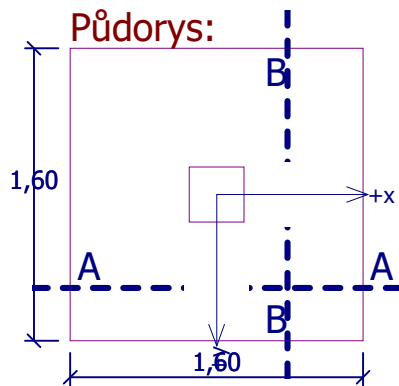
Únosnost nevyztuženého průřezu $v_{Rd,c} = 1,27 \text{ MPa}$

$v_{Ed} < v_{Rd,c} \Rightarrow$ Výztuž není nutná

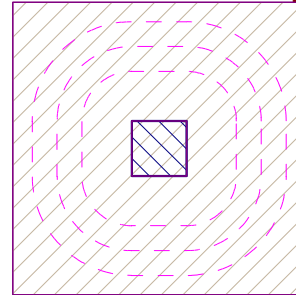
Základ na protlačení VYHOVUJE

Název : Dimenzování

Fáze - výpočet : 1 - 1



Protlačení - krit. průřez:



plocha zat., které
ŽB přeneseme smykem
plocha: $9,00E-02\text{m}^2$

kritický průřez
délka: 1,20m

kontrolované průřezy

Řez A-A:

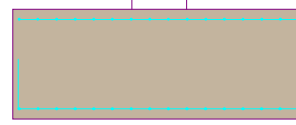
16 ks prof. 10,0mm
délka 1500mm, krytí 50mm



16 ks prof. 12,0mm
délka 1500mm, krytí 50mm

Řez B-B:

16 ks prof. 10,0mm
délka 1500mm, krytí 50mm



16 ks prof. 12,0mm
délka 1500mm, krytí 50mm

Posouzení plošného základu

Vstupní data

Projekt

Akce : RNR - SO 664
Část : PATKA MO B5 AŽ B33 - OSA 4 (PATKY B.4.2)
Popis : BEZ IGP DANÉ LOKALITY, PO ODKRYTÍ STÁVAJÍCÍCH VRSTEV JE NUTNÉ OVĚŘIT STAV KONSTRUKČNÍCH VRSTEV V NÁSYPU, TVAR A DIMENZI PATKY PAK PŘÍZPŮSOBIT SKUTEČNÉ GEOLOGII A ÚNOSNOSTI ZÁKLADOVÉ SPÁRY
Datum : 24.10.2024

Nastavení

Standardní - EN 1997 - DA2

Materiály a normy

Betonové konstrukce : EN 1992-1-1 (EC2)
Součinitele EN 1992-1-1 : standardní

Sedání

Metoda výpočtu : ČSN 73 1001 (Výpočet pomocí edometrického modulu)
Omezení deformační zóny : procentem Sigma,Or
Koef. omezení deformační zóny : 10,0 [%]

Patky

Posouzení tažené patky : standardní postup
Dovolená excentricita : 0,333
Metodika posouzení : výpočet podle EN1997
Návrhový přístup : 2 - redukce zatížení a odporu

Součinitele redukce zatížení (F)			
Trvalá návrhová situace			
		Nepříznivé	Příznivé
Stálé zatížení :	$\gamma_G =$	1,35 [-]	1,00 [-]

Součinitele redukce odporu (R)			
Trvalá návrhová situace			
Součinitel redukce svislé únosnosti :		$\gamma_{Rvs} =$	1,40 [-]
Součinitel redukce vodorovné únosnosti :		$\gamma_{Rhs} =$	1,10 [-]

Základní parametry zemín

Číslo	Název	Vzorek	φ_{ef} [°]	c_{ef} [kPa]	γ [kN/m ³]	γ_{su} [kN/m ³]	δ [°]
1	Třída G2, středně ulehlá		35,50	0,00	20,00	10,00	

Pro výpočet tlaku v klidu jsou všechny zeminy zadány jako nesoudržné.

Parametry zemín

Třída G2, středně ulehlá

Objemová tíha : $\gamma = 20,00$ kN/m³
Úhel vnitřního tření : $\varphi_{ef} = 35,50$ °
Soudržnost zeminy : $c_{ef} = 0,00$ kPa
Edometrický modul : $E_{oed} = 161,00$ MPa
Obj.tíha sat.zeminy : $\gamma_{sat} = 20,00$ kN/m³

Založení

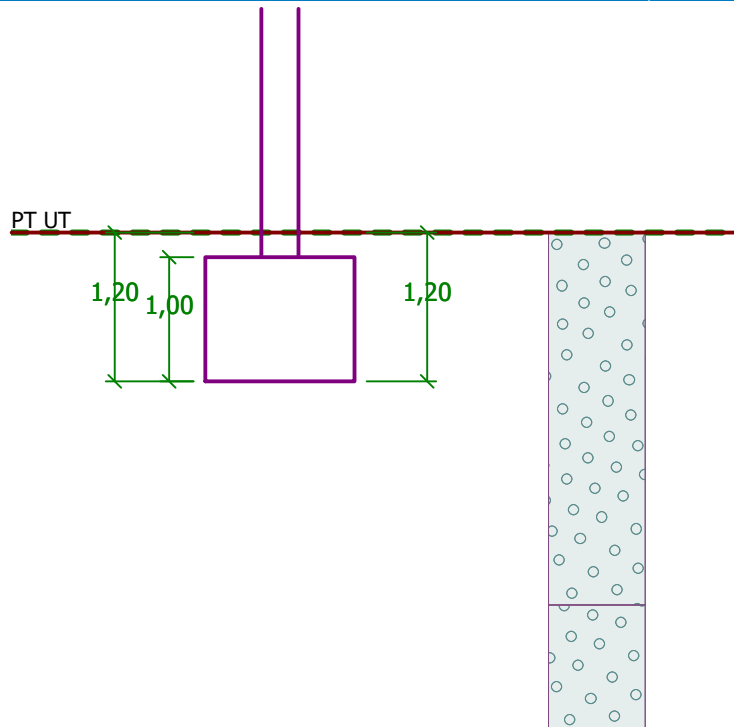
Typ základu: centrická patka

Hloubka od původního terénu $h_z = 1,20$ m
Hloubka základové spáry $d = 1,20$ m
Tloušťka základu $t = 1,00$ m
Sklon upraveného terénu $s_1 = 0,00$ °
Sklon základové spáry $s_2 = 0,00$ °

Objemová tíha zeminy nad základem = 20,00 kN/m³

Název : Založení

Fáze - výpočet : 1 - 0



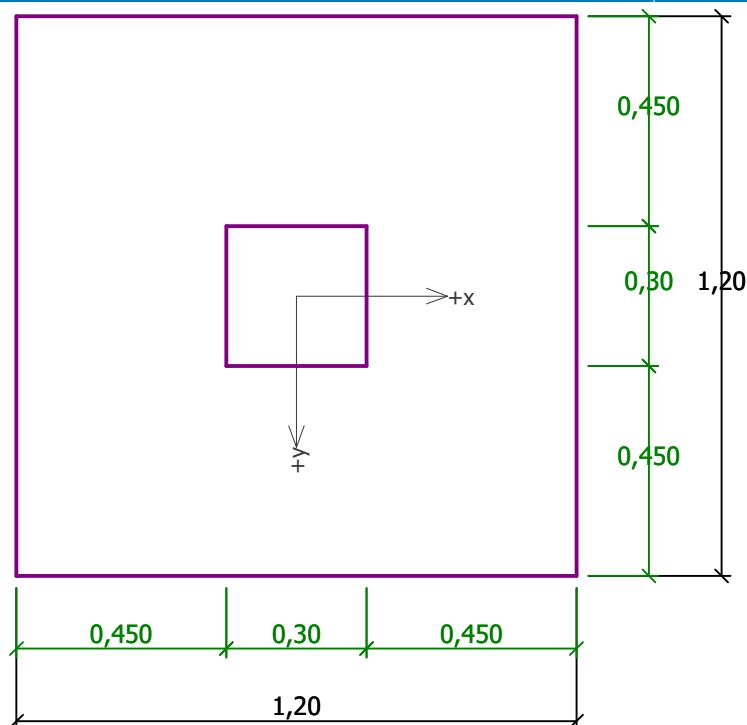
Geometrie konstrukce

Typ základu: centrická patka

Délka patky $x = 1,20$ m
Šířka patky $y = 1,20$ m
Šířka sloupu ve směru x $c_x = 0,30$ m
Šířka sloupu ve směru y $c_y = 0,30$ m
Objem patky = 1,44 m³

Název : Geometrie

Fáze - výpočet : 1 - 0



Materiál konstrukce

Objemová tíha $\gamma = 23,00 \text{ kN/m}^3$

Výpočet betonových konstrukcí proveden podle normy EN 1992-1-1 (EC2).

Beton : C 20/25

Válcová pevnost v tlaku

$$f_{ck} = 20,00 \text{ MPa}$$

Pevnost v tahu

$$f_{ctm} = 2,20 \text{ MPa}$$

Modul pružnosti

$$E_{cm} = 30000,00 \text{ MPa}$$

Ocel podélná : B500

Mez kluzu

$$f_{yk} = 500,00 \text{ MPa}$$

Ocel příčná : B500

Mez kluzu

$$f_{yk} = 500,00 \text{ MPa}$$

Geologický profil a přiřazení zemín

Číslo	Vrstva [m]	Přiřazená zemina	Vzorek
1	3,00	Třída G2, středně ulehlá	
2	-	Třída G2, středně ulehlá	

Zatížení

Číslo	Zatížení		Název	Typ	N [kN]	M_x [kNm]	M_y [kNm]	H_x [kN]	H_y [kN]
	nové	změna							
1	Ano		Zatížení č. 1	Návrhové	83,44	0,00	0,00	-0,09	-2,11
2	Ano		Zatížení č. 2	Návrhové	31,01	0,00	0,00	0,09	-3,67
3	Ano		Zatížení č. 3	Návrhové	30,00	0,00	0,00	0,09	-4,56
4	Ano		Zatížení č. 4	Návrhové	48,65	0,00	0,00	0,00	4,28
5	Ano		Zatížení č. 5	Návrhové	-16,87	0,00	0,00	0,00	-2,89

Číslo	Zatížení		Název	Typ	N [kN]	M _x [kNm]	M _y [kNm]	H _x [kN]	H _y [kN]
	nové	změna							
6	Ano		Zatížení č. 6	Návrhové	98,72	0,00	0,00	-0,01	-0,53
7	Ano		Zatížení č. 1 - provozní	Užitné	59,60	0,00	0,00	-0,06	-1,51
8	Ano		Zatížení č. 2 - provozní	Užitné	22,15	0,00	0,00	0,06	-2,62
9	Ano		Zatížení č. 3 - provozní	Užitné	21,43	0,00	0,00	0,06	-3,26
10	Ano		Zatížení č. 4 - provozní	Užitné	34,75	0,00	0,00	0,00	3,06
11	Ano		Zatížení č. 5 - provozní	Užitné	-12,05	0,00	0,00	0,00	-2,06
12	Ano		Zatížení č. 6 - provozní	Užitné	70,51	0,00	0,00	-0,01	-0,38

Celkové nastavení výpočtu

Typ výpočtu : zadat únosnost základové půdy R_d

Nastavení výpočtu fáze

Návrhová situace : trvalá

Posouzení čís. 1

Posouzení zatěžovacích stavů

Název	VI. tíha příznivě	e _x [m]	e _y [m]	σ [kPa]	R _d [kPa]	Využití [%]	Vyhovuje
Zatížení č. 1	Ano	0,00	0,02	87,32	128,57	67,91	Ano
Zatížení č. 1	Ne	0,00	0,02	96,67	128,57	75,19	Ano
Zatížení č. 2	Ano	0,00	0,05	53,06	128,57	41,27	Ano
Zatížení č. 2	Ne	0,00	0,04	62,35	128,57	48,49	Ano
Zatížení č. 3	Ano	0,00	0,07	53,64	128,57	41,72	Ano
Zatížení č. 3	Ne	0,00	0,06	62,88	128,57	48,90	Ano
Zatížení č. 4	Ano	0,00	-0,05	65,93	128,57	51,28	Ano
Zatížení č. 4	Ne	0,00	-0,04	75,23	128,57	58,51	Ano
Zatížení č. 5	Ano	0,00	0,13	19,34	128,57	50,36	Ano
Zatížení č. 5	Ne	0,00	0,08	28,27	128,57	50,36	Ano
Zatížení č. 6	Ano	0,00	0,00	95,93	128,57	74,62	Ano
Zatížení č. 6	Ne	0,00	0,00	105,30	128,57	81,90	Ano

Výpočet proveden s automatickým výběrem nejnepříznivějších zatěžovacích stavů.

Spočtená vlastní tíha patky G = 44,71 kN

Spočtená tíha nadloží Z = 7,29 kN

Posouzení svislé únosnosti - tlačená patka

Tvar kontaktního napětí : obdélník

Nejnepříznivější zatěžovací stav číslo 6. (Zatížení č. 6)

Únosnost základové půdy R_d = 180,00 kPa

Parametry smykové plochy pod základem:

Hloubka smykové plochy z_{sp} = 2,28 m

Dosah smykové plochy l_{sp} = 7,51 m

Výpočtová únosnost zákl. půdy R_d = 128,57 kPa

Extrémní kontaktní napětí σ = 105,30 kPa

Svislá únosnost - tlačená patka VYHOVUJE

Posouzení excentricity zatížení

Max. excentricita ve směru délky patky $e_x = 0,001 < 0,333$

Max. excentricita ve směru šířky patky $e_y = 0,111 < 0,333$

Max. prostorová excentricita $e_t = 0,111 < 0,333$

Excentricita zatížení základu VYHOVUJE

Posouzení svislé únosnosti - tažená patka

Návrhový úhel vnitřního tření nadloží $\varphi_d = 0,00^\circ$

Návrhová soudržnost nadloží $c_d = 0,00$ kPa

Max. tahová síla $N_{t,max} = 16,87$ kN

Odpor proti zvednutí $R_t = 33,50$ kN

Svislá únosnost - tažená patka VYHOVUJE

Posouzení vodorovné únosnosti

Nejnepříznivější zatěžovací stav číslo 6. (Zatížení č. 6)

Zemní odpor: klidový

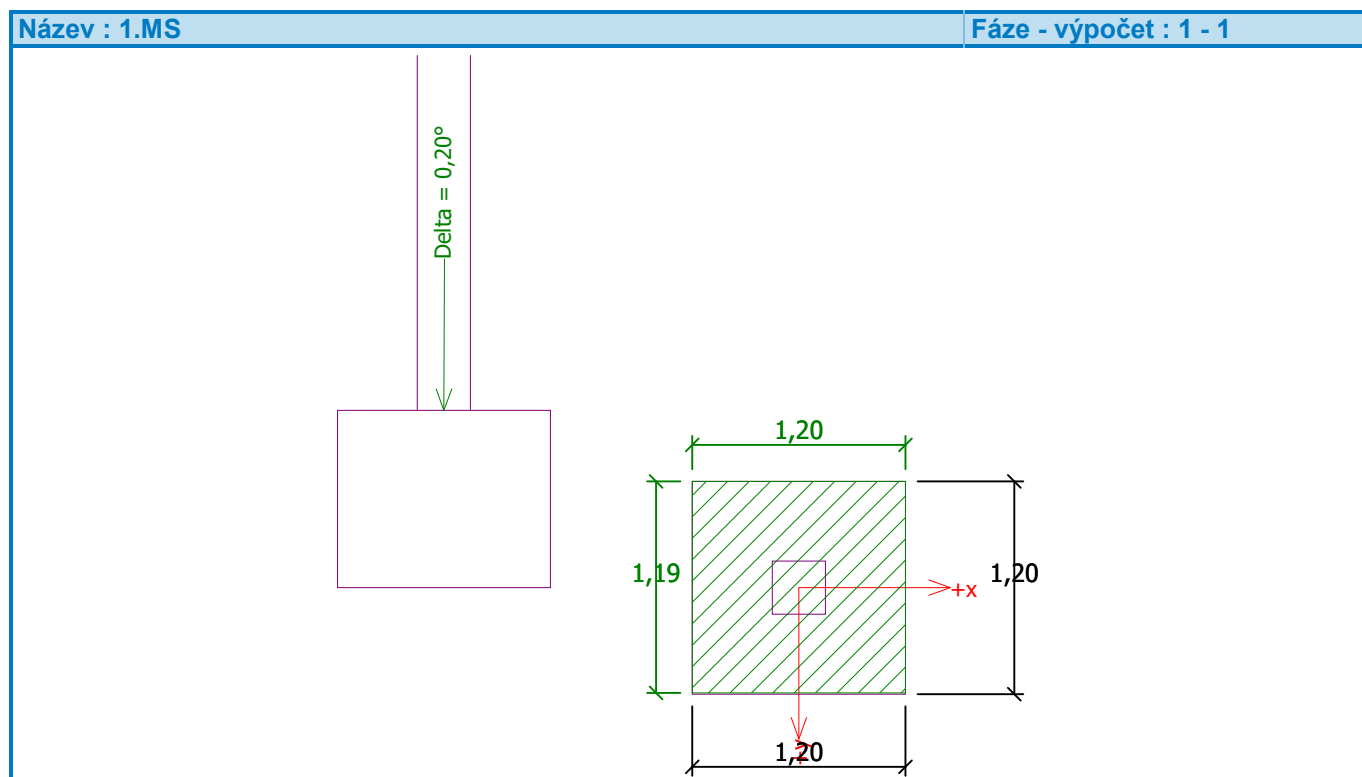
Výpočtová velikost zemního odporu $S_{pd} = 7,04$ kN

Horizontální únosnost základu $R_{dh} = 95,40$ kN

Extrémní horizontální síla $H = 0,53$ kN

Vodorovná únosnost VYHOVUJE

Únosnost základu VYHOVUJE



Posouzení čís. 1

Sednutí a natočení základu - vstupní data

Výpočet proveden s automatickým výběrem nejnepříznivějších zatěžovacích stavů.

Výpočet proveden s uvažováním koeficientu κ_1 (vliv hloubky založení).
Napětí v základové spáře uvažováno od upraveného terénu.

Spočtená vlastní tíha patky $G = 33,12$ kN
Spočtená tíha nadloží $Z = 5,40$ kN

Sednutí středu hrany x - 1 = 0,2 mm

Sednutí středu hrany x - 2 = 0,1 mm

Sednutí středu hrany y - 1 = 0,1 mm

Sednutí středu hrany y - 2 = 0,1 mm

Sednutí středu základu = 0,2 mm

Sednutí charakterist. bodu = 0,2 mm

(1-hrana max.tlačená; 2-hrana min.tlačená)

Sednutí a natočení základu - výsledky

Tuhost základu:

Spočtený vážený průměrný modul přetvárnosti $E_{def} = 144,90$ MPa

Základ je ve směru délky tuhý ($k=119,81$)

Základ je ve směru šířky tuhý ($k=119,81$)

Posouzení excentricity zatížení

Max. excentricita ve směru délky patky $e_x = 0,001 < 0,333$

Max. excentricita ve směru šířky patky $e_y = 0,065 < 0,333$

Max. prostorová excentricita $e_t = 0,065 < 0,333$

Excentricita zatížení základu VYHOVUJE

Celkové sednutí a natočení základu:

Sednutí základu = 0,2 mm

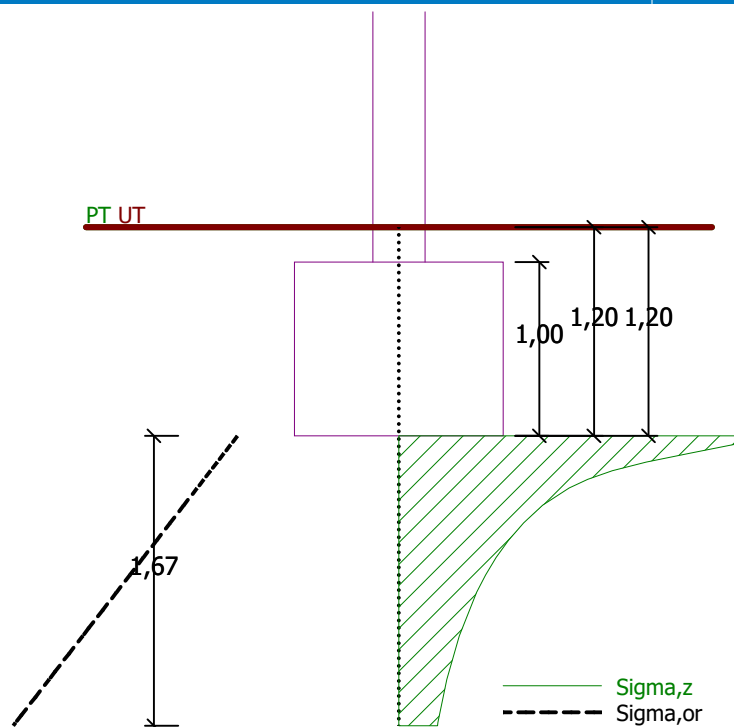
Hloubka deformační zóny = 1,67 m

Natočení ve směru x = 0,001 (tan*1000); (3,5E-05 °)

Natočení ve směru y = 0,027 (tan*1000); (1,5E-03 °)

Název : 2.MS

Fáze - výpočet : 1 - 1



Dimenzace čís. 1

Výpočet proveden s automatickým výběrem nejnepříznivějších zatěžovacích stavů.

Posouzení podélné výztuže základu ve směru x

Maximální vyložení patky je menší než $0,50 \cdot$ tloušťka patky, výztuž není nutná.

Posouzení podélné výztuže základu ve směru y

Maximální vyložení patky je menší než $0,50 \cdot$ tloušťka patky, výztuž není nutná.

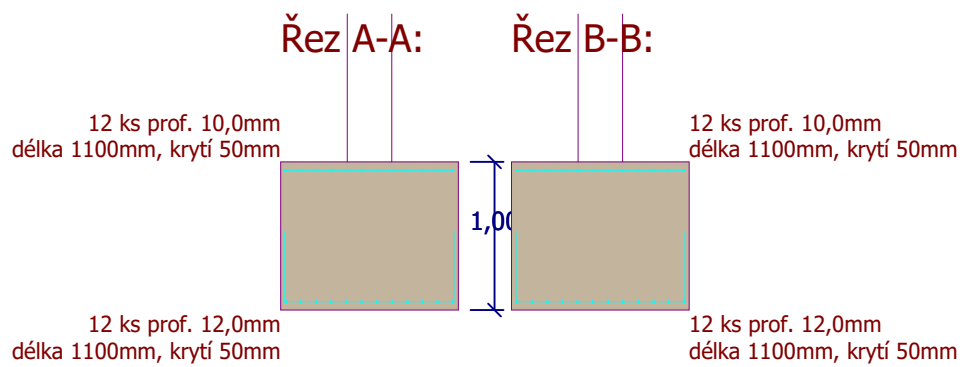
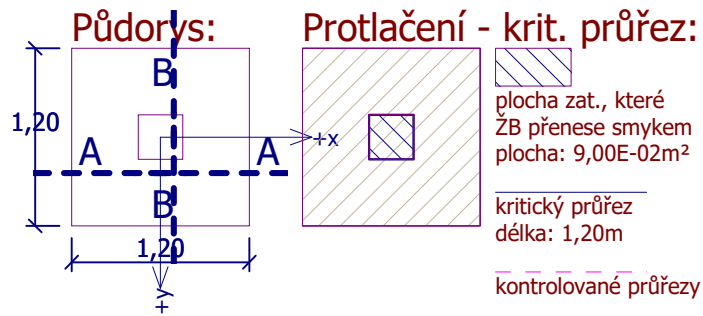
Posouzení základu na protlačení

Normálová síla v sloupu = 98,72 kN

Maximální únosnost na obvodu sloupu

Síla přenesená roznášením do zákl. půdy	=	6,17 kN
Síla přenášená smykovou pevností ŽB	=	92,55 kN
Uvažovaný obvod sloupu	u_0	= 1,20 m
Smykové napětí na obvodu sloupu	$v_{Ed,max}$	= 0,08 MPa
Únosnost na obvodu sloupu	$v_{Rd,max}$	= 2,94 MPa

Základ na protlačení VYHOVUJE



Posouzení plošného základu

Vstupní data

Projekt

Akce : RNR - SO 664 - ZÁKLADOVÁ PATKA
 Část : PATKA MO B4 AŽ B33-OSA 5 (PATKY B.5.2)
 Popis : BEZ IGP DANÉ LOKALITY, PO ODKRYTÍ STÁVAJÍCÍCH VRSTEV JE NUTNÉ OVĚŘIT STAV KONSTRUKČNÍCH VRSTEV V NÁSYPU, TVAR A DIMENZI PATKY PAK PŘÍZPŮSOBIT SKUTEČNÉ GEOLOGII A ÚNOSNOSTI ZÁKLADOVÉ SPÁRY
 Datum : 24.10.2024

Nastavení

Standardní - EN 1997 - DA2

Materiály a normy

Betonové konstrukce : EN 1992-1-1 (EC2)
 Součinitele EN 1992-1-1 : standardní

Sedání

Metoda výpočtu : ČSN 73 1001 (Výpočet pomocí edometrického modulu)
 Omezení deformační zóny : procentem Sigma,Or
 Koef. omezení deformační zóny : 10,0 [%]

Patky

Posouzení tažené patky : standardní postup
 Dovolená excentricita : 0,333
 Metodika posouzení : výpočet podle EN1997
 Návrhový přístup : 2 - redukce zatížení a odporu

Součinitele redukce zatížení (F)			
Trvalá návrhová situace			
		Nepříznivé	Příznivé
Stálé zatížení :	$\gamma_G =$	1,35 [-]	1,00 [-]

Součinitele redukce odporu (R)			
Trvalá návrhová situace			
Součinitel redukce svislé únosnosti :		$\gamma_{Rvs} =$	1,40 [-]
Součinitel redukce vodorovné únosnosti :		$\gamma_{Rhs} =$	1,10 [-]

Základní parametry zemín

Číslo	Název	Vzorek	φ_{ef} [°]	c_{ef} [kPa]	γ [kN/m ³]	γ_{su} [kN/m ³]	δ [°]
1	Třída G2, středně ulehlá		35,50	0,00	20,00	10,00	

Pro výpočet tlaku v klidu jsou všechny zeminy zadány jako nesoudržné.

Parametry zemín

Třída G2, středně ulehlá

Objemová tíha : $\gamma = 20,00$ kN/m³
 Úhel vnitřního tření : $\varphi_{ef} = 35,50$ °
 Soudržnost zeminy : $c_{ef} = 0,00$ kPa
 Edometrický modul : $E_{oed} = 161,00$ MPa
 Obj.tíha sat.zeminy : $\gamma_{sat} = 20,00$ kN/m³

Založení

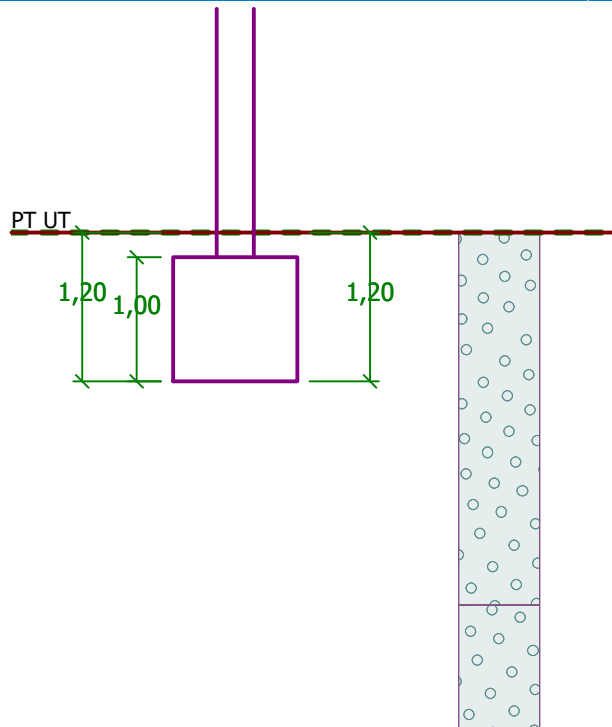
Typ základu: centrická patka

Hloubka od původního terénu $h_z = 1,20$ m
Hloubka základové spáry $d = 1,20$ m
Tloušťka základu $t = 1,00$ m
Sklon upraveného terénu $s_1 = 0,00^\circ$
Sklon základové spáry $s_2 = 0,00^\circ$

Objemová tíha zeminy nad základem = $20,00$ kN/m³

Název : Založení

Fáze - výpočet : 1 - 0



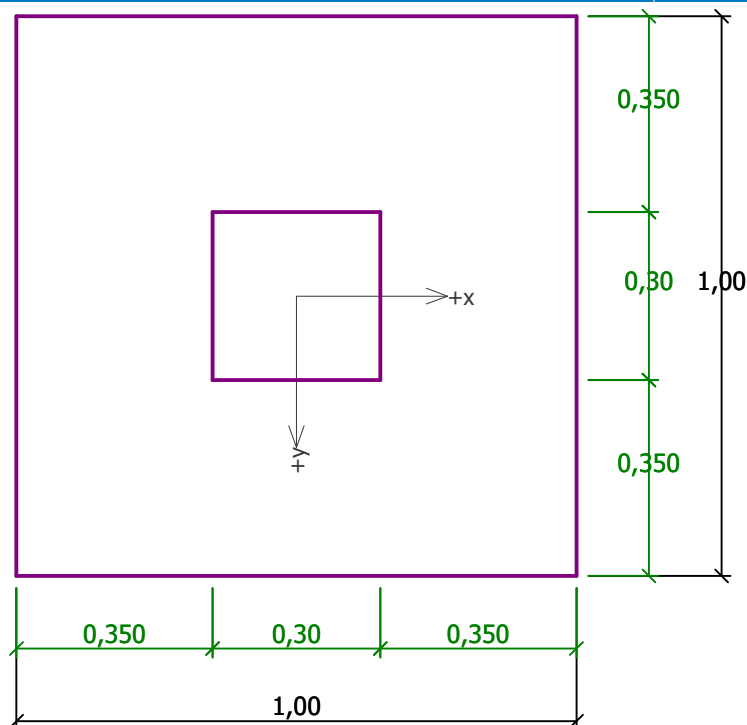
Geometrie konstrukce

Typ základu: centrická patka

Délka patky $x = 1,00$ m
Šířka patky $y = 1,00$ m
Šířka sloupu ve směru x $c_x = 0,30$ m
Šířka sloupu ve směru y $c_y = 0,30$ m
Objem patky = $1,00$ m³

Název : Geometrie

Fáze - výpočet : 1 - 0



Materiál konstrukce

Objemová tíha $\gamma = 23,00 \text{ kN/m}^3$

Výpočet betonových konstrukcí proveden podle normy EN 1992-1-1 (EC2).

Beton : C 20/25

Válcová pevnost v tlaku

$$f_{ck} = 20,00 \text{ MPa}$$

Pevnost v tahu

$$f_{ctm} = 2,20 \text{ MPa}$$

Modul pružnosti

$$E_{cm} = 30000,00 \text{ MPa}$$

Ocel podélná : B500

Mez kluzu

$$f_{yk} = 500,00 \text{ MPa}$$

Ocel příčná : B500

Mez kluzu

$$f_{yk} = 500,00 \text{ MPa}$$

Geologický profil a přiřazení zemin

Číslo	Vrstva [m]	Přiřazená zemina	Vzorek
1	3,00	Třída G2, středně ulehlá	
2	-	Třída G2, středně ulehlá	

Zatížení

Číslo	Zatížení		Název	Typ	N [kN]	M_x [kNm]	M_y [kNm]	H_x [kN]	H_y [kN]
	nové	změna							
1	Ano		Zatížení č. 1	Návrhové	10,76	0,00	0,00	-3,15	-0,92
2	Ano		Zatížení č. 2	Návrhové	16,85	0,00	0,00	3,15	-2,40
3	Ano		Zatížení č. 3	Návrhové	14,21	0,00	0,00	3,04	-2,68
4	Ano		Zatížení č. 4	Návrhové	-7,70	0,00	0,00	-0,69	3,92
5	Ano		Zatížení č. 5	Návrhové	21,01	0,00	0,00	3,09	-2,60

Číslo	Zatížení		Název	Typ	N [kN]	M _x [kNm]	M _y [kNm]	H _x [kN]	H _y [kN]
	nové	změna							
6	Ano		Zatížení č. 6	Návrhové	-9,41	0,00	0,00	-2,70	-0,44
7	Ano		Zatížení č. 1 - provozní	Užitné	7,69	0,00	0,00	-2,25	-0,66
8	Ano		Zatížení č. 2 - provozní	Užitné	12,04	0,00	0,00	2,25	-1,71
9	Ano		Zatížení č. 3 - provozní	Užitné	10,15	0,00	0,00	2,17	-1,91
10	Ano		Zatížení č. 4 - provozní	Užitné	-5,50	0,00	0,00	-0,49	2,80
11	Ano		Zatížení č. 5 - provozní	Užitné	15,01	0,00	0,00	2,21	-1,86
12	Ano		Zatížení č. 6 - provozní	Užitné	-6,72	0,00	0,00	-1,93	-0,31

Celkové nastavení výpočtu

Typ výpočtu : zadat únosnost základové půdy R_d

Nastavení výpočtu fáze

Návrhová situace : trvalá

Posouzení čís. 1

Posouzení zatěžovacích stavů

Název	VI. tíha příznivě	e _x [m]	e _y [m]	σ [kPa]	R _d [kPa]	Využití [%]	Vyhovuje
Zatížení č. 1	Ano	-0,08	0,02	47,30	128,57	36,79	Ano
Zatížení č. 1	Ne	-0,07	0,02	56,22	128,57	43,73	Ano
Zatížení č. 2	Ano	0,07	0,06	57,17	128,57	44,46	Ano
Zatížení č. 2	Ne	0,06	0,05	65,96	128,57	51,30	Ano
Zatížení č. 3	Ano	0,07	0,07	55,24	128,57	42,97	Ano
Zatížení č. 3	Ne	0,06	0,05	63,92	128,57	49,72	Ano
Zatížení č. 4	Ano	-0,04	-0,21	34,86	128,57	33,24	Ano
Zatížení č. 4	Ne	-0,02	-0,14	41,12	128,57	33,24	Ano
Zatížení č. 5	Ano	0,06	0,05	61,46	128,57	47,80	Ano
Zatížení č. 5	Ne	0,05	0,05	70,32	128,57	54,70	Ano
Zatížení č. 6	Ano	-0,16	0,03	26,45	128,57	40,62	Ano
Zatížení č. 6	Ne	-0,10	0,02	34,47	128,57	40,62	Ano

Výpočet proveden s automatickým výběrem nejnepříznivějších zatěžovacích stavů.

Spočtená vlastní tíha patky G = 31,05 kN

Spočtená tíha nadloží Z = 4,91 kN

Posouzení svislé únosnosti - tlačená patka

Tvar kontaktního napětí : obdélník

Nejnepříznivější zatěžovací stav číslo 5. (Zatížení č. 5)

Únosnost základové půdy R_d = 180,00 kPa

Parametry smykové plochy pod základem:

Hloubka smykové plochy z_{sp} = 1,90 m

Dosah smykové plochy l_{sp} = 6,26 m

Výpočtová únosnost zákl. půdy R_d = 128,57 kPa

Extrémní kontaktní napětí σ = 70,32 kPa

Svislá únosnost - tlačená patka VYHOVUJE

Posouzení excentricity zatížení

Max. excentricita ve směru délky patky $e_x = 0,157 < 0,333$

Max. excentricita ve směru šířky patky $e_y = 0,207 < 0,333$

Max. prostorová excentricita $e_t = 0,210 < 0,333$

Excentricita zatížení základu VYHOVUJE

Posouzení svislé únosnosti - tažená patka

Návrhový úhel vnitřního tření nadloží $\varphi_d = 0,00^\circ$

Návrhová soudržnost nadloží $c_d = 0,00$ kPa

Max. tahová síla $N_{t,max} = 9,41$ kN

Odpor proti zvednutí $R_t = 23,17$ kN

Svislá únosnost - tažená patka VYHOVUJE

Posouzení vodorovné únosnosti

Nejnepříznivější zatěžovací stav číslo 6. (Zatížení č. 6)

Zemní odpor: klidový

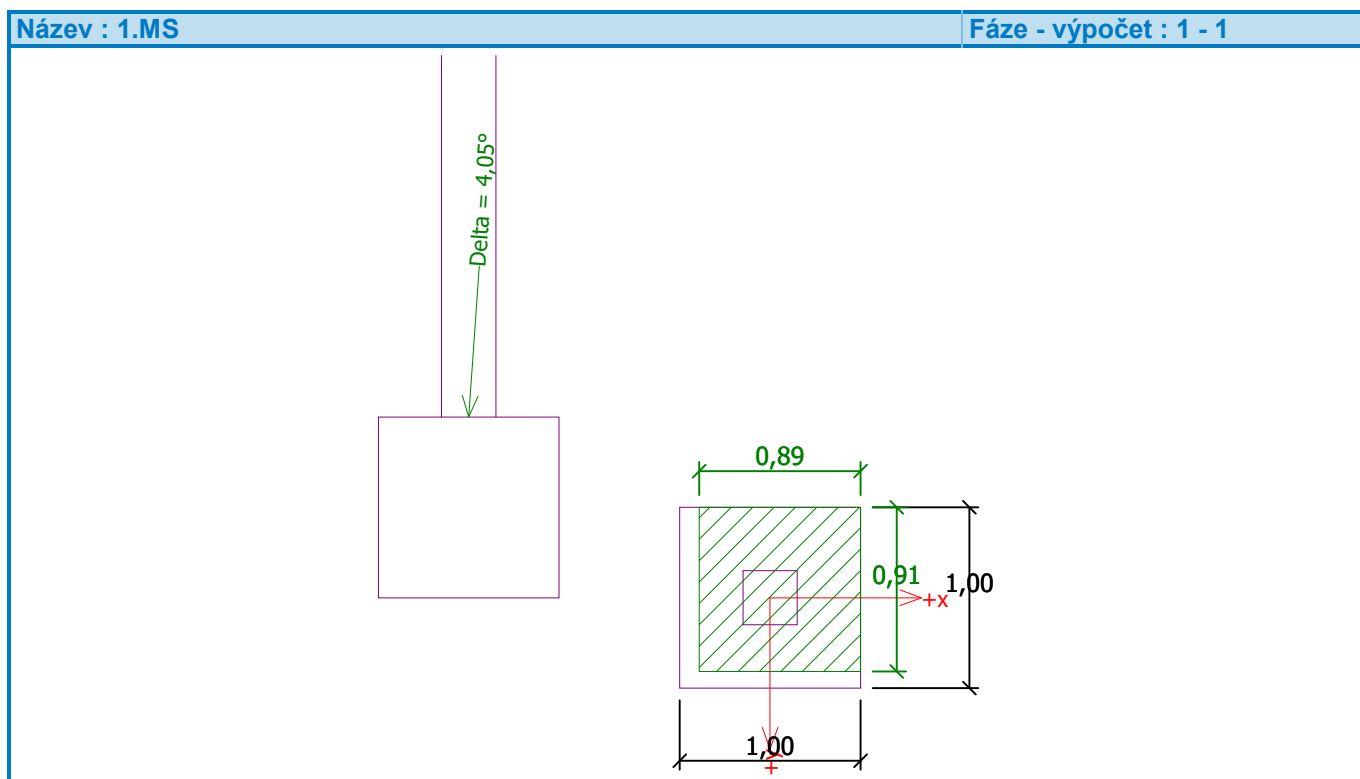
Výpočtová velikost zemního odporu $S_{pd} = 5,87$ kN

Horizontální únosnost základu $R_{dh} = 22,56$ kN

Extrémní horizontální síla $H = 0,00$ kN

Vodorovná únosnost VYHOVUJE

Únosnost základu VYHOVUJE



Posouzení čís. 1

Sednutí a natočení základu - vstupní data

Výpočet proveden s automatickým výběrem nejnepříznivějších zatěžovacích stavů.

Výpočet proveden s uvažováním koeficientu κ_1 (vliv hloubky založení).
Napětí v základové spáře uvažováno od upraveného terénu.

Spočtená vlastní tíha patky $G = 23,00$ kN
Spočtená tíha nadloží $Z = 3,64$ kN

Sednutí středu hrany x - 1 = 0,0 mm

Sednutí středu hrany x - 2 = 0,0 mm

Sednutí středu hrany y - 1 = 0,0 mm

Sednutí středu hrany y - 2 = 0,0 mm

Sednutí středu základu = 0,1 mm

Sednutí charakterist. bodu = 0,0 mm

(1-hrana max.tlačená; 2-hrana min.tlačená)

Sednutí a natočení základu - výsledky

Tuhost základu:

Spočtený vážený průměrný modul přetvárnosti $E_{def} = 144,90$ MPa

Základ je ve směru délky tuhý ($k=207,04$)

Základ je ve směru šířky tuhý ($k=207,04$)

Posouzení excentricity zatížení

Max. excentricita ve směru délky patky $e_x = 0,097 < 0,333$

Max. excentricita ve směru šířky patky $e_y = 0,132 < 0,333$

Max. prostorová excentricita $e_t = 0,134 < 0,333$

Excentricita zatížení základu VYHOVUJE

Celkové sednutí a natočení základu:

Sednutí základu = 0,0 mm

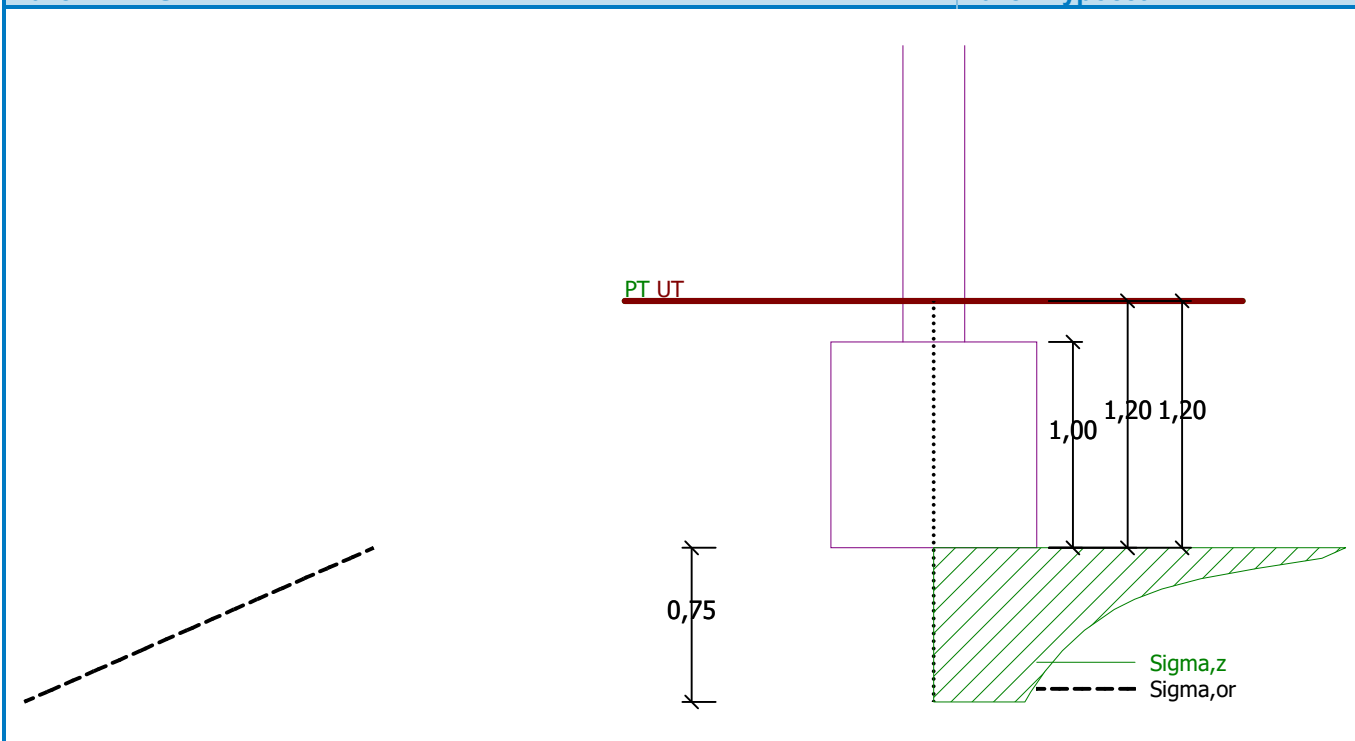
Hloubka deformační zóny = 0,75 m

Natočení ve směru x = 0,039 (\tan^*1000); ($2,2E-03$ °)

Natočení ve směru y = 0,033 (\tan^*1000); ($1,9E-03$ °)

Název : 2.MS

Fáze - výpočet : 1 - 1



Dimenzace čís. 1

Výpočet proveden s automatickým výběrem nejnepříznivějších zatěžovacích stavů.

Posouzení podélné výztuže základu ve směru x

Maximální vyložení patky je menší než $0,50 \cdot$ tloušťka patky, výztuž není nutná.

Posouzení podélné výztuže základu ve směru y

Maximální vyložení patky je menší než $0,50 \cdot$ tloušťka patky, výztuž není nutná.

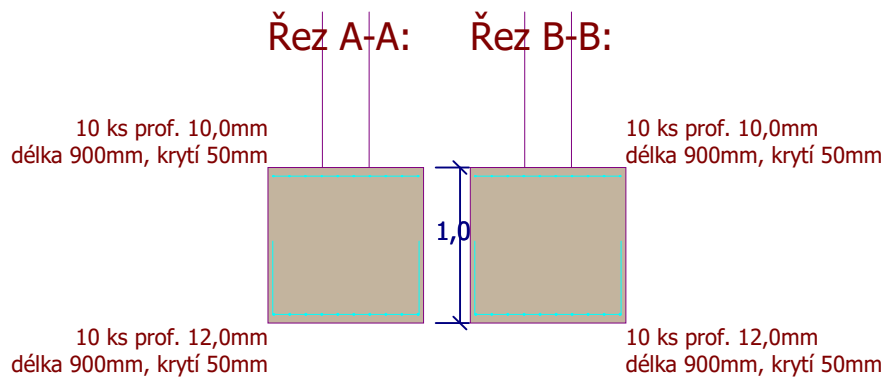
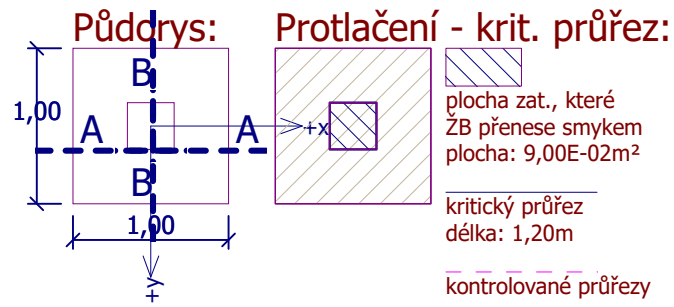
Posouzení základu na protlačení

Normálová síla v sloupu = 21,01 kN

Maximální únosnost na obvodu sloupu

Síla přenesená roznášením do zákl. půdy	=	1,89 kN
Síla přenášená smykovou pevností ŽB	=	19,12 kN
Uvažovaný obvod sloupu	u_0	= 1,20 m
Smykové napětí na obvodu sloupu	$v_{Ed,max}$	= 0,02 MPa
Únosnost na obvodu sloupu	$v_{Rd,max}$	= 2,94 MPa

Základ na protlačení VYHOVUJE



Posouzení plošného základu

Vstupní data

Projekt

Akce : RNR - SO 664 - ZÁKLADOVÁ PATKA
Část : PATKA MO B1 AŽ B3 - OSA 5 (PATKY B.5.1)
Popis : BEZ IGP DANÉ LOKALITY, PO ODKRYTÍ STÁVAJÍCÍCH VRSTEV JE NUTNÉ OVĚŘIT STAV KONSTRUKČNÍCH VRSTEV V NÁSYPU, TVAR A DIMENZI PATKY PAK PŘÍZPŮBIT SKUTEČNÉ GEOLOGII A ÚNOSNOSTI ZÁKLADOVÉ SPÁRY
Datum : 24.10.2024

Nastavení

Standardní - EN 1997 - DA2

Materiály a normy

Betonové konstrukce : EN 1992-1-1 (EC2)
Součinitele EN 1992-1-1 : standardní

Sedání

Metoda výpočtu : ČSN 73 1001 (Výpočet pomocí edometrického modulu)
Omezení deformační zóny : procentem Sigma,Or
Koef. omezení deformační zóny : 10,0 [%]

Patky

Posouzení tažené patky : standardní postup
Dovolená excentricita : 0,333
Metodika posouzení : výpočet podle EN1997
Návrhový přístup : 2 - redukce zatížení a odporu

Součinitele redukce zatížení (F)			
Trvalá návrhová situace			
		Nepříznivé	Příznivé
Stálé zatížení :	$\gamma_G =$	1,35 [-]	1,00 [-]

Součinitele redukce odporu (R)			
Trvalá návrhová situace			
Součinitel redukce svislé únosnosti :		$\gamma_{Rvs} =$	1,40 [-]
Součinitel redukce vodorovné únosnosti :		$\gamma_{Rhs} =$	1,10 [-]

Základní parametry zemín

Číslo	Název	Vzorek	φ_{ef} [°]	c_{ef} [kPa]	γ [kN/m ³]	γ_{su} [kN/m ³]	δ [°]
1	Třída G2, středně ulehlá		35,50	0,00	20,00	10,00	

Pro výpočet tlaku v klidu jsou všechny zeminy zadány jako nesoudržné.

Parametry zemín

Třída G2, středně ulehlá

Objemová tíha : $\gamma = 20,00 \text{ kN/m}^3$
Úhel vnitřního tření : $\varphi_{ef} = 35,50^\circ$
Soudržnost zeminy : $c_{ef} = 0,00 \text{ kPa}$
Edometrický modul : $E_{oed} = 161,00 \text{ MPa}$
Obj.tíha sat.zeminy : $\gamma_{sat} = 20,00 \text{ kN/m}^3$

Založení

Typ základu: centrická patka

Hloubka od původního terénu $h_z = 0,75$ m

Hloubka základové spáry $d = 0,75$ m

Tloušťka základu $t = 0,60$ m

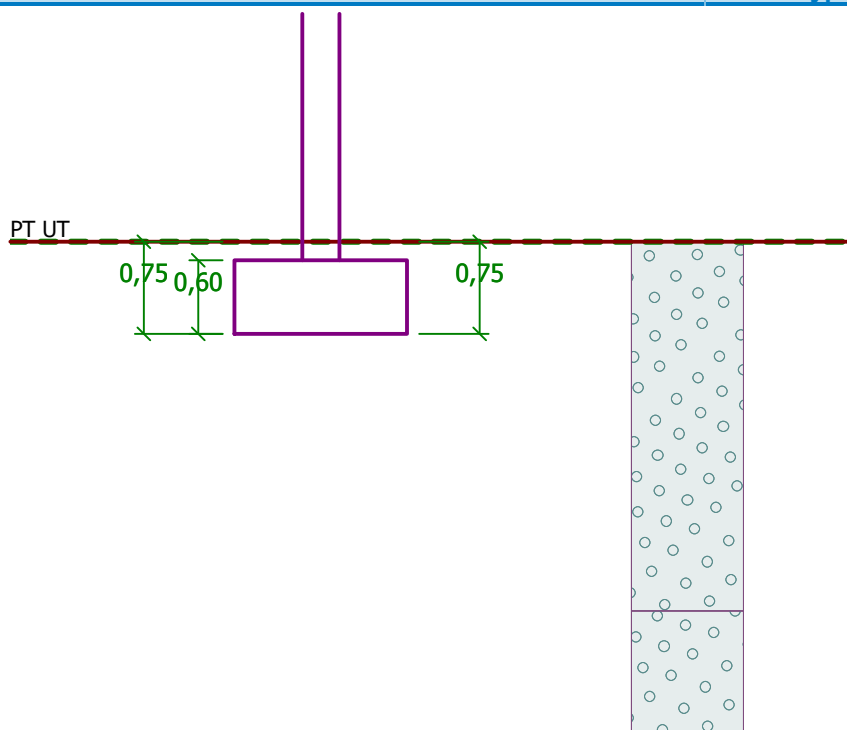
Sklon upraveného terénu $s_1 = 0,00$ °

Sklon základové spáry $s_2 = 0,00$ °

Objemová tíha zeminy nad základem = 20,00 kN/m³

Název : Založení

Fáze - výpočet : 1 - 0



Geometrie konstrukce

Typ základu: centrická patka

Délka patky $x = 1,40$ m

Šířka patky $y = 1,40$ m

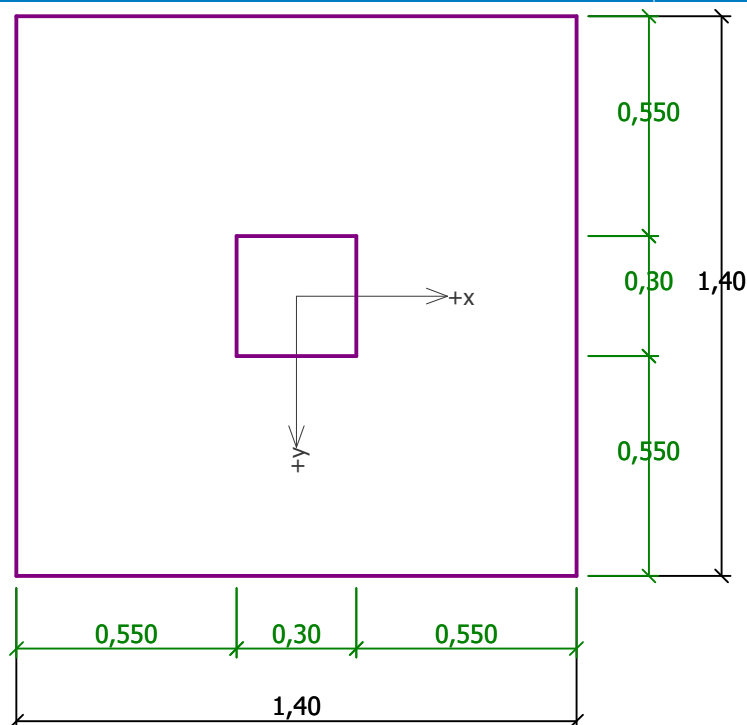
Šířka sloupu ve směru x $c_x = 0,30$ m

Šířka sloupu ve směru y $c_y = 0,30$ m

Objem patky = 1,18 m³

Název : Geometrie

Fáze - výpočet : 1 - 0



Materiál konstrukce

Objemová tíha $\gamma = 23,00 \text{ kN/m}^3$

Výpočet betonových konstrukcí proveden podle normy EN 1992-1-1 (EC2).

Beton : C 20/25

Válcová pevnost v tlaku

$$f_{ck} = 20,00 \text{ MPa}$$

Pevnost v tahu

$$f_{ctm} = 2,20 \text{ MPa}$$

Modul pružnosti

$$E_{cm} = 30000,00 \text{ MPa}$$

Ocel podélná : B500

Mez kluzu

$$f_{yk} = 500,00 \text{ MPa}$$

Ocel příčná : B500

Mez kluzu

$$f_{yk} = 500,00 \text{ MPa}$$

Geologický profil a přiřazení zemin

Číslo	Vrstva [m]	Přiřazená zemina	Vzorek
1	3,00	Třída G2, středně ulehlá	
2	-	Třída G2, středně ulehlá	

Zatížení

Číslo	Zatížení		Název	Typ	N [kN]	M_x [kNm]	M_y [kNm]	H_x [kN]	H_y [kN]
	nové	změna							
1	Ano		Zatížení č. 1	Návrhové	0,71	0,00	0,00	-1,08	-0,99
2	Ano		Zatížení č. 2	Návrhové	7,55	0,00	0,00	0,54	-1,27
3	Ano		Zatížení č. 3	Návrhové	15,46	0,00	0,00	0,49	-3,38
4	Ano		Zatížení č. 4	Návrhové	-5,65	0,00	0,00	-0,41	4,75
5	Ano		Zatížení č. 5	Návrhové	-18,83	0,00	0,00	-0,11	4,66

Číslo	Zatížení		Název	Typ	N [kN]	M _x [kNm]	M _y [kNm]	H _x [kN]	H _y [kN]
	nové	změna							
6	Ano		Zatížení č. 6	Návrhové	16,40	0,00	0,00	0,50	-3,35
7	Ano		Zatížení č. 1 - provozní	Užitné	0,51	0,00	0,00	-0,77	-0,71
8	Ano		Zatížení č. 2 - provozní	Užitné	5,39	0,00	0,00	0,39	-0,91
9	Ano		Zatížení č. 3 - provozní	Užitné	11,04	0,00	0,00	0,35	-2,41
10	Ano		Zatížení č. 4 - provozní	Užitné	-4,04	0,00	0,00	-0,29	3,39
11	Ano		Zatížení č. 5 - provozní	Užitné	-13,45	0,00	0,00	-0,08	3,33
12	Ano		Zatížení č. 6 - provozní	Užitné	11,71	0,00	0,00	0,36	-2,39

Celkové nastavení výpočtu

Typ výpočtu : zadat únosnost základové půdy R_d

Nastavení výpočtu fáze

Návrhová situace : trvalá

Posouzení čís. 1

Posouzení zatěžovacích stavů

Název	VI. tíha příznivě	e _x [m]	e _y [m]	σ [kPa]	R _d [kPa]	Využití [%]	Vyhovuje
Zatížení č. 1	Ano	-0,02	0,02	17,97	128,57	13,97	Ano
Zatížení č. 1	Ne	-0,01	0,01	23,79	128,57	18,50	Ano
Zatížení č. 2	Ano	0,01	0,02	21,33	128,57	16,59	Ano
Zatížení č. 2	Ne	0,01	0,01	27,16	128,57	21,12	Ano
Zatížení č. 3	Ano	0,01	0,04	26,35	128,57	20,50	Ano
Zatížení č. 3	Ne	0,00	0,03	32,16	128,57	25,02	Ano
Zatížení č. 4	Ano	-0,01	-0,11	16,44	128,57	19,90	Ano
Zatížení č. 4	Ne	-0,01	-0,07	22,14	128,57	19,90	Ano
Zatížení č. 5	Ano	0,00	-0,20	9,99	128,57	66,31	Ano
Zatížení č. 5	Ne	0,00	-0,11	15,36	128,57	66,31	Ano
Zatížení č. 6	Ano	0,01	0,04	26,82	128,57	20,86	Ano
Zatížení č. 6	Ne	0,00	0,03	32,63	128,57	25,38	Ano

Výpočet proveden s automatickým výběrem nejnepříznivějších zatěžovacích stavů.

Spočtená vlastní tíha patky G = 36,51 kN

Spočtená tíha nadloží Z = 7,57 kN

Posouzení svislé únosnosti - tlačená patka

Tvar kontaktního napětí : obdélník

Nejnepříznivější zatěžovací stav číslo 6. (Zatížení č. 6)

Únosnost základové půdy R_d = 180,00 kPa

Parametry smykové plochy pod základem:

Hloubka smykové plochy z_{sp} = 2,66 m

Dosah smykové plochy l_{sp} = 8,76 m

Výpočtová únosnost zákl. půdy R_d = 128,57 kPa

Extrémní kontaktní napětí σ = 32,63 kPa

Svislá únosnost - tlačená patka VYHOVUJE

Posouzení excentricity zatížení

Max. excentricita ve směru délky patky $e_x = 0,014 < 0,333$

Max. excentricita ve směru šířky patky $e_y = 0,144 < 0,333$

Max. prostorová excentricita $e_t = 0,144 < 0,333$

Excentricita zatížení základu VYHOVUJE

Posouzení svislé únosnosti - tažená patka

Návrhový úhel vnitřního tření nadloží $\varphi_d = 0,00^\circ$

Návrhová soudržnost nadloží $c_d = 0,00$ kPa

Max. tahová síla $N_{t,max} = 18,83$ kN

Odpor proti zvednutí $R_t = 28,40$ kN

Svislá únosnost - tažená patka VYHOVUJE

Posouzení vodorovné únosnosti

Nejnepříznivější zatěžovací stav číslo 6. (Zatížení č. 6)

Zemní odpor: klidový

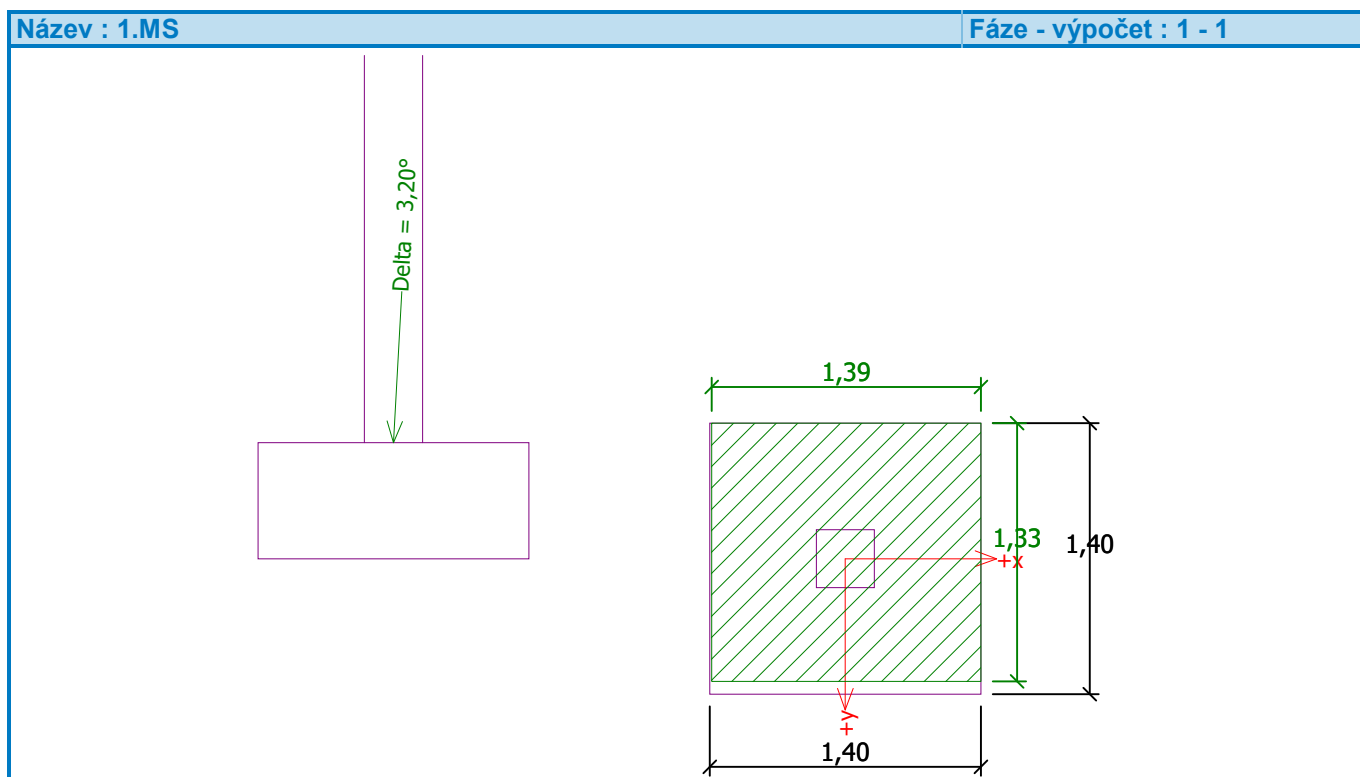
Výpočtová velikost zemního odporu $S_{pd} = 3,17$ kN

Horizontální únosnost základu $R_{dh} = 34,69$ kN

Extrémní horizontální síla $H = 3,39$ kN

Vodorovná únosnost VYHOVUJE

Únosnost základu VYHOVUJE



Posouzení čís. 1

Sednutí a natočení základu - vstupní data

Výpočet proveden s automatickým výběrem nejnepříznivějších zatěžovacích stavů.

Výpočet proveden s uvažováním koeficientu κ_1 (vliv hloubky založení).
Napětí v základové spáře uvažováno od upraveného terénu.

Spočtená vlastní tíha patky $G = 27,05$ kN
Spočtená tíha nadloží $Z = 5,61$ kN

Sednutí středu hrany x - 1 = 0,0 mm

Sednutí středu hrany x - 2 = 0,0 mm

Sednutí středu hrany y - 1 = 0,0 mm

Sednutí středu hrany y - 2 = 0,0 mm

Sednutí středu základu = 0,0 mm

Sednutí charakterist. bodu = 0,0 mm

(1-hrana max.tlačená; 2-hrana min.tlačená)

Sednutí a natočení základu - výsledky

Tuhost základu:

Spočtený vážený průměrný modul přetvárnosti $E_{def} = 144,90$ MPa

Základ je ve směru délky tuhý ($k=16,30$)

Základ je ve směru šířky tuhý ($k=16,30$)

Posouzení excentricity zatížení

Max. excentricita ve směru délky patky $e_x = 0,010 < 0,333$

Max. excentricita ve směru šířky patky $e_y = 0,074 < 0,333$

Max. prostorová excentricita $e_t = 0,074 < 0,333$

Excentricita zatížení základu VYHOVUJE

Celkové sednutí a natočení základu:

Sednutí základu = 0,0 mm

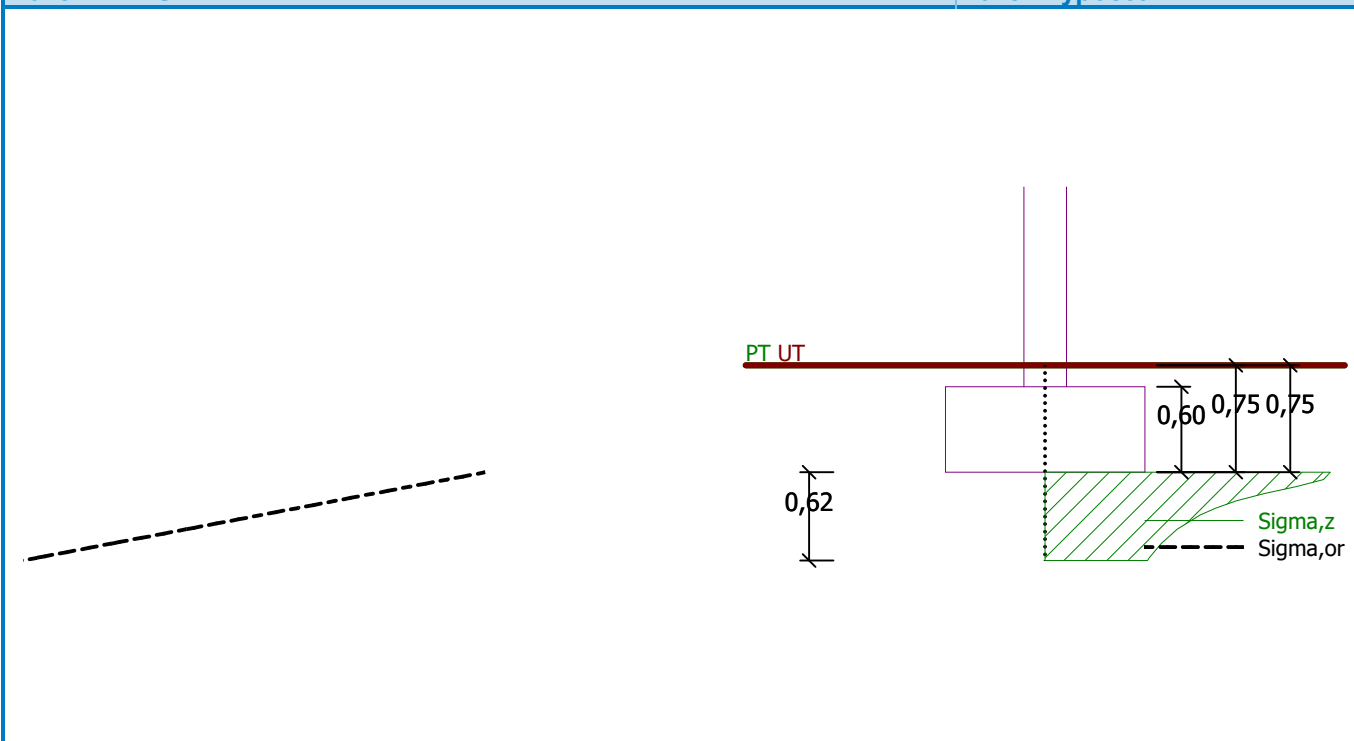
Hloubka deformační zóny = 0,62 m

Natočení ve směru x = 0,001 (\tan^*1000); ($7,8E-05$ °)

Natočení ve směru y = 0,008 (\tan^*1000); ($4,8E-04$ °)

Název : 2.MS

Fáze - výpočet : 1 - 1



Dimenzace čís. 1

Výpočet proveden s automatickým výběrem nejnepříznivějších zatěžovacích stavů.

Posouzení podélné výztuže základu ve směru x

Výztuž při dolním okraji

Profil vložky = 12,0 mm
Počet vložek = 14
Krytí výztuže = 50,0 mm
Šířka průřezu = 1,40 m
Výška průřezu = 0,60 m

Stupeň vyztužení $\rho = 0,21 \% > 0,13 \% = \rho_{min}$
Poloha neutrálné osy $x = 0,05 \text{ m} < 0,34 \text{ m} = x_{max}$
Moment na mezi únosnosti $M_{Rd} = 361,81 \text{ kNm} > 2,42 \text{ kNm} = M_{Ed}$

Průřez VYHOVUJE.

Výztuž při horním okraji

Profil vložky = 10,0 mm
Počet vložek = 14
Krytí výztuže = 50,0 mm

Stupeň vyztužení $\rho = 0,14 \% > 0,13 \% = \rho_{min}$
Poloha neutrálné osy $x = 0,03 \text{ m} < 0,34 \text{ m} = x_{max}$
Moment na mezi únosnosti $M_{Rd} = 254,43 \text{ kNm} > 2,03 \text{ kNm} = M_{Ed}$

Průřez VYHOVUJE.

Posouzení podélné výztuže základu ve směru y

Výztuž při dolním okraji

Profil vložky = 12,0 mm
Počet vložek = 14
Krytí výztuže = 50,0 mm

Šířka průřezu = 1,40 m

Výška průřezu = 0,60 m

Stupeň vyztužení $\rho = 0,21 \% > 0,13 \% = \rho_{\min}$

Poloha neutrálné osy $x = 0,05 \text{ m} < 0,34 \text{ m} = x_{\max}$

Moment na mezi únosnosti $M_{Rd} = 361,81 \text{ kNm} > 2,69 \text{ kNm} = M_{Ed}$

Průřez VYHOVUJE.

Výztuž při horním okraji

Profil vložky = 10,0 mm

Počet vložek = 14

Krytí výztuže = 50,0 mm

Stupeň vyztužení $\rho = 0,14 \% > 0,13 \% = \rho_{\min}$

Poloha neutrálné osy $x = 0,03 \text{ m} < 0,34 \text{ m} = x_{\max}$

Moment na mezi únosnosti $M_{Rd} = 254,43 \text{ kNm} > 2,03 \text{ kNm} = M_{Ed}$

Průřez VYHOVUJE.

Posouzení základu na protlačení

Normálová síla v sloupu = -18,83 kN

Maximální únosnost na obvodu sloupu

Síla přenesená roznášením do zákl. půdy = -0,86 kN

Síla přenášená smykovou pevností ŽB = -17,97 kN

Uvažovaný obvod sloupu $u_0 = 1,20 \text{ m}$

Smykové napětí na obvodu sloupu $v_{Ed,max} = 0,03 \text{ MPa}$

Únosnost na obvodu sloupu $v_{Rd,max} = 2,94 \text{ MPa}$

Kritický průřez bez smykové výztuže

Síla přenesená roznášením do zákl. půdy = -6,23 kN

Síla přenášená smykovou pevností ŽB = -12,60 kN

Vzdálenost průřezu od sloupu = 0,27 m

Délka průřezu $u = 2,91 \text{ m}$

Smykové napětí na průřezu $v_{Ed} = 0,01 \text{ MPa}$

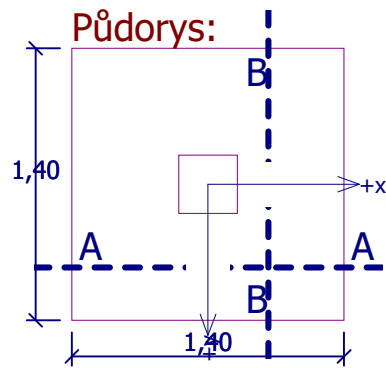
Únosnost nevyztuženého průřezu $v_{Rd,c} = 1,27 \text{ MPa}$

$v_{Ed} < v_{Rd,c} \Rightarrow$ Výztuž není nutná

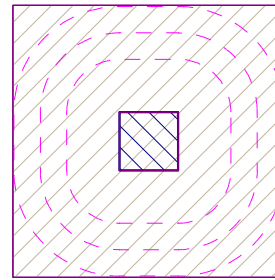
Základ na protlačení VYHOVUJE


Název : Dimenzování

Fáze - výpočet : 1 - 1



Protlačení - krit. průřez:



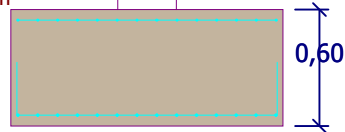
 plocha zat., které
ŽB přenese smykem
plocha: $9,00E-02m^2$

kritický průřez
délka: 1,20m

kontrolované průřezy

Řez A-A:

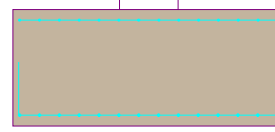
14 ks prof. 10,0mm
délka 1300mm, krytí 50mm



14 ks prof. 12,0mm
délka 1300mm, krytí 50mm

Řez B-B:

14 ks prof. 10,0mm
délka 1300mm, krytí 50mm



14 ks prof. 12,0mm
délka 1300mm, krytí 50mm

Posouzení plošného základu

Vstupní data

Projekt

Akce : RNR - SO 664
 Část : PATKA MO C1 - OSA 1 (PATKY C1)
 Popis : BEZ IGP DANÉ LOKALITY, PO ODKRYTÍ STÁVAJÍCÍCH VRSTEV JE NUTNÉ OVĚŘIT STAV KONSTRUKČNÍCH VRSTEV V NÁSYPU, TVAR A DIMENZI PATKY PAK PŘÍZPŮSOBIT SKUTEČNÉ GEOLOGII A ÚNOSNOSTI ZÁKLADOVÉ SPÁRY
 Datum : 24.10.2024

Nastavení

Standardní - EN 1997 - DA2

Materiály a normy

Betonové konstrukce : EN 1992-1-1 (EC2)
 Součinitele EN 1992-1-1 : standardní

Sedání

Metoda výpočtu : ČSN 73 1001 (Výpočet pomocí edometrického modulu)
 Omezení deformační zóny : procentem Sigma,Or
 Koef. omezení deformační zóny : 10,0 [%]

Patky

Výpočet pro odvodněné podmínky : EC 7-1 (EN 1997-1:2003)
 Posouzení tažené patky : standardní postup
 Dovolená excentricita : 0,333
 Metodika posouzení : výpočet podle EN1997
 Návrhový přístup : 2 - redukce zatížení a odporu

Součinitele redukce zatížení (F)			
Trvalá návrhová situace			
		Nepříznivé	Příznivé
Stálé zatížení :	$\gamma_G =$	1,35 [-]	1,00 [-]

Součinitele redukce odporu (R)			
Trvalá návrhová situace			
Součinitel redukce svislé únosnosti :		$\gamma_{Rvs} =$	1,40 [-]
Součinitel redukce vodorovné únosnosti :		$\gamma_{Rhs} =$	1,10 [-]

Základní parametry zemín

Číslo	Název	Vzorek	φ_{ef} [°]	c_{ef} [kPa]	γ [kN/m ³]	γ_{su} [kN/m ³]	δ [°]
1	Třída G2, středně ulehlá		35,50	0,00	20,00	10,00	

Pro výpočet tlaku v klidu jsou všechny zeminy zadány jako nesoudržné.

Parametry zemín

Třída G2, středně ulehlá

Objemová tíha : $\gamma = 20,00$ kN/m³
 Úhel vnitřního tření : $\varphi_{ef} = 35,50^\circ$
 Soudržnost zeminy : $c_{ef} = 0,00$ kPa
 Edometrický modul : $E_{oed} = 161,00$ MPa
 Obj.tíha sat.zeminy : $\gamma_{sat} = 20,00$ kN/m³

Založení

Typ základu: excentrická patka

Hloubka od původního terénu $h_z = 1,20$ m

Hloubka základové spáry $d = 1,20$ m

Tloušťka základu $t = 1,00$ m

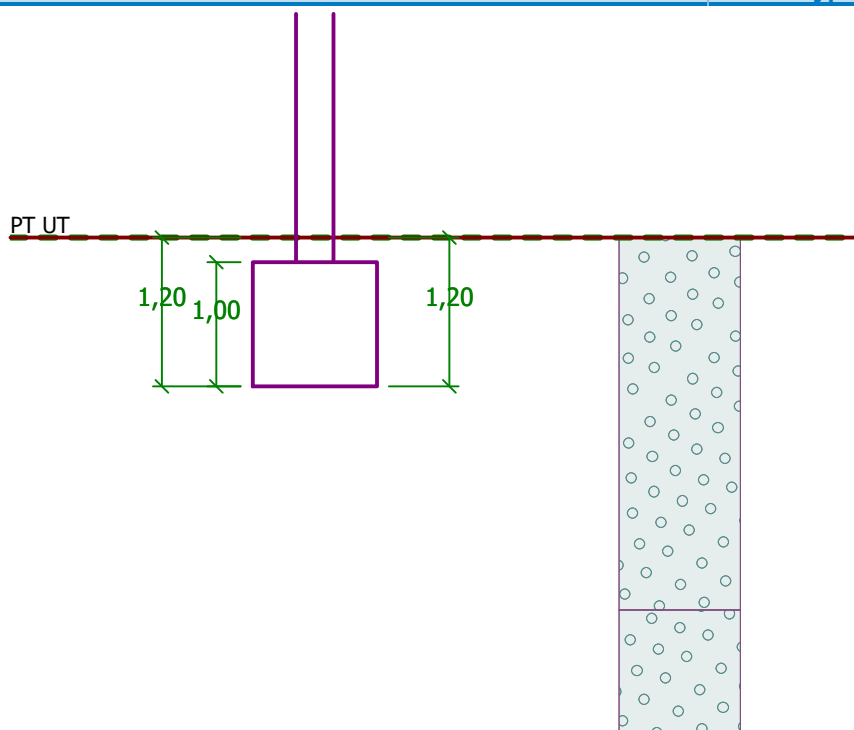
Sklon upraveného terénu $s_1 = 0,00$ °

Sklon základové spáry $s_2 = 0,00$ °

Objemová tíha zeminy nad základem = $20,00$ kN/m³

Název : Založení

Fáze - výpočet : 1 - 0



Geometrie konstrukce

Typ základu: excentrická patka

Délka patky $x = 1,00$ m

Šířka patky $y = 1,50$ m

Šířka sloupu ve směru x $c_x = 0,30$ m

Šířka sloupu ve směru y $c_y = 0,30$ m

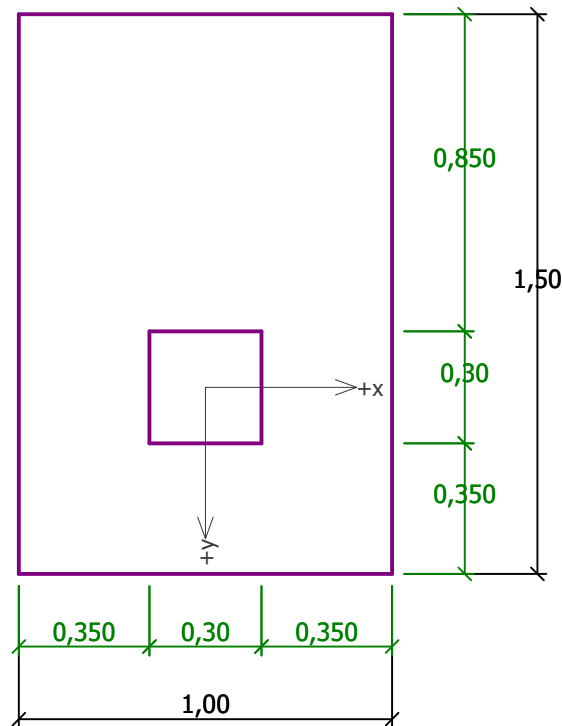
Objem patky = $1,50$ m³

Vzdál. osy sloupu od kraje patky ve směru $x = 0,50$ m

Vzdál. osy sloupu od kraje patky ve směru $y = 0,50$ m

Název : Geometrie

Fáze - výpočet : 1 - 0



Materiál konstrukce

Objemová tíha $\gamma = 23,00 \text{ kN/m}^3$

Výpočet betonových konstrukcí proveden podle normy EN 1992-1-1 (EC2).

Beton : C 20/25

Válcová pevnost v tlaku

$$f_{ck} = 20,00 \text{ MPa}$$

Pevnost v tahu

$$f_{ctm} = 2,20 \text{ MPa}$$

Modul pružnosti

$$E_{cm} = 30000,00 \text{ MPa}$$

Ocel podélná : B500

Mez kluzu

$$f_{yk} = 500,00 \text{ MPa}$$

Ocel příčná: B500

Mez kluzu

$$f_{yk} = 500,00 \text{ MPa}$$

Geologický profil a přiřazení zemín

Číslo	Vrstva [m]	Přiřazená zemina	Vzorek
1	3,00	Třída G2, středně ulehlá	
2	-	Třída G2, středně ulehlá	

Zatížení

Číslo	Zatížení		Název	Typ	N [kN]	M_x [kNm]	M_y [kNm]	H_x [kN]	H_y [kN]
	nové	změna							
1	Ano		Zatížení č. 1	Návrhové	15,64	2,91	0,00	0,05	2,96
2	Ano		Zatížení č. 2	Návrhové	43,51	-36,17	0,00	1,70	-2,07
3	Ano		Zatížení č. 3	Návrhové	36,38	-9,53	0,00	1,28	5,99
4	Ano		Zatížení č. 4	Návrhové	13,51	-4,99	0,00	0,59	-0,75
5	Ano		Zatížení č. 5	Návrhové	73,49	-46,94	0,00	2,76	4,94

Číslo	Zatížení		Název	Typ	N [kN]	M _x [kNm]	M _y [kNm]	H _x [kN]	H _y [kN]
	nové	změna							
6	Ano		Zatížení č. 6	Návrhové	15,38	6,18	0,00	0,31	4,49
7	Ano		Zatížení č. 7	Návrhové	72,37	-53,64	0,00	2,93	1,79
8	Ano		Zatížení č. 8	Návrhové	71,73	-49,19	0,00	3,00	3,66
9	Ano		Zatížení č. 1 - provozní	Užitné	11,17	2,08	0,00	0,04	2,11
10	Ano		Zatížení č. 2 - provozní	Užitné	31,08	-25,84	0,00	1,21	-1,48
11	Ano		Zatížení č. 3 - provozní	Užitné	25,99	-6,81	0,00	0,91	4,28
12	Ano		Zatížení č. 4 - provozní	Užitné	9,65	-3,56	0,00	0,42	-0,54
13	Ano		Zatížení č. 5 - provozní	Užitné	52,49	-33,53	0,00	1,97	3,53
14	Ano		Zatížení č. 6 - provozní	Užitné	10,99	4,41	0,00	0,22	3,21
15	Ano		Zatížení č. 7 - provozní	Užitné	51,69	-38,31	0,00	2,09	1,28
16	Ano		Zatížení č. 8 - provozní	Užitné	51,24	-35,14	0,00	2,14	2,61

Celkové nastavení výpočtu

Typ výpočtu : výpočet pro odvodněné podmínky

Nastavení výpočtu fáze

Návrhová situace : trvalá

Posouzení čís. 1

Posouzení zatěžovacích stavů

Název	VI. tíha příznivě	e _x [m]	e _y [m]	σ [kPa]	R _d [kPa]	Využití [%]	Vyhovuje
Zatížení č. 1	Ano	0,00	-0,18	48,62	1070,33	4,54	Ano
Zatížení č. 1	Ne	0,00	-0,14	57,32	1079,60	5,31	Ano
Zatížení č. 2	Ano	0,02	0,33	103,09	1075,94	9,58	Ano
Zatížení č. 2	Ne	0,02	0,28	107,70	1130,10	9,53	Ano
Zatížení č. 3	Ano	0,02	-0,07	58,44	980,88	5,96	Ano
Zatížení č. 3	Ne	0,01	-0,06	67,67	1002,32	6,75	Ano
Zatížení č. 4	Ano	0,01	0,04	38,85	1089,77	3,57	Ano
Zatížení č. 4	Ne	0,01	0,03	48,17	1096,65	4,39	Ano
Zatížení č. 5	Ano	0,02	0,21	110,16	1067,02	10,32	Ano
Zatížení č. 5	Ne	0,02	0,19	118,11	1071,49	11,02	Ano
Zatížení č. 6	Ano	0,01	-0,26	57,46	1037,41	5,54	Ano
Zatížení č. 6	Ne	0,00	-0,21	64,83	1056,75	6,14	Ano
Zatížení č. 7	Ano	0,03	0,30	131,89	1108,99	11,89	Ano
Zatížení č. 7	Ne	0,02	0,27	137,30	1137,04	12,08	Ano
Zatížení č. 8	Ano	0,03	0,25	117,43	1094,52	10,73	Ano
Zatížení č. 8	Ne	0,02	0,22	124,54	1094,70	11,38	Ano

Výpočet proveden s automatickým výběrem nejnepříznivějších zatěžovacích stavů.

Spočtená vlastní tíha patky G = 46,58 kN

Spočtená tíha nadloží Z = 7,61 kN

Posouzení svislé únosnosti

Tvar kontaktního napětí : obdélník

Nejnepříznivější zatěžovací stav číslo 7. (Zatížení č. 7)

Parametry smykové plochy pod základem:

Hloubka smykové plochy z_{sp} = 1,90 m

Dosah smykové plochy $l_{sp} = 6,26 \text{ m}$

Výpočtová únosnost zákl. půdy $R_d = 1137,04 \text{ kPa}$

Extrémní kontaktní napětí $\sigma = 137,30 \text{ kPa}$

Svislá únosnost VYHOVUJE

Posouzení excentricity zatížení

Max. excentricita ve směru délky patky $e_x = 0,027 < 0,333$

Max. excentricita ve směru šířky patky $e_y = 0,218 < 0,333$

Max. prostorová excentricita $e_t = 0,219 < 0,333$

Excentricita zatížení základu VYHOVUJE

Posouzení vodorovné únosnosti

Nejnepříznivější zatěžovací stav číslo 3. (Zatížení č. 3)

Zemní odpor: klidový

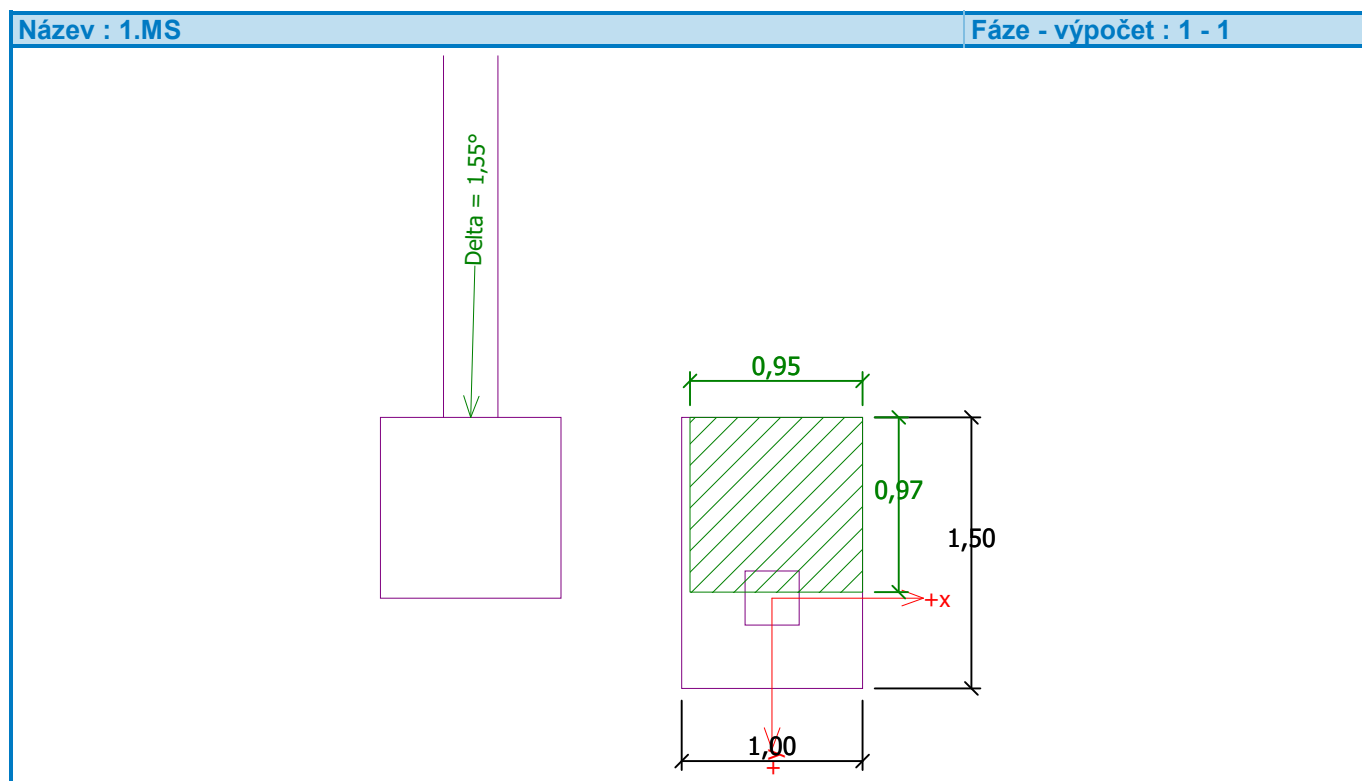
Výpočtová velikost zemního odporu $S_{pd} = 5,87 \text{ kN}$

Horizontální únosnost základu $R_{dh} = 54,96 \text{ kN}$

Extrémní horizontální síla $H = 6,13 \text{ kN}$

Vodorovná únosnost VYHOVUJE

Únosnost základu VYHOVUJE



Posouzení čís. 1

Sednutí a natočení základu - vstupní data

Výpočet proveden s automatickým výběrem nejnepříznivějších zatěžovacích stavů.

Výpočet proveden s uvažováním koeficientu κ_1 (vliv hloubky založení).

Napětí v základové spáře uvažováno od upraveného terénu.

Spočtená vlastní tíha patky $G = 34,50$ kN

Spočtená tíha nadloží $Z = 5,64$ kN

Výpočet proveden za vyloučení tahu.

Rozměry patky po vyloučení tažených okrajů:

Délka patky (x) = 1,00 m

Šířka patky (y) = 1,46 m

Sednutí středu hrany x - 1 = 0,2 mm

Sednutí středu hrany x - 2 = 0,0 mm

Sednutí středu hrany y - 1 = 0,1 mm

Sednutí středu hrany y - 2 = 0,1 mm

Sednutí středu základu = 0,2 mm

Sednutí charakterist. bodu = 0,2 mm

(1-hrana max.tlačená; 2-hrana min.tlačená)

Sednutí a natočení základu - výsledky

Tuhost základu:

Spočtený vážený průměrný modul přetvárnosti $E_{def} = 144,90$ MPa

Základ je ve směru délky tuhý ($k=207,04$)

Základ je ve směru šířky tuhý ($k=61,34$)

Posouzení excentricity zatížení

Max. excentricita ve směru délky patky $e_x = 0,023 < 0,333$

Max. excentricita ve směru šířky patky $e_y = 0,183 < 0,333$

Max. prostorová excentricita $e_t = 0,184 < 0,333$

Excentricita zatížení základu VYHOVUJE

Celkové sednutí a natočení základu:

Sednutí základu = 0,2 mm

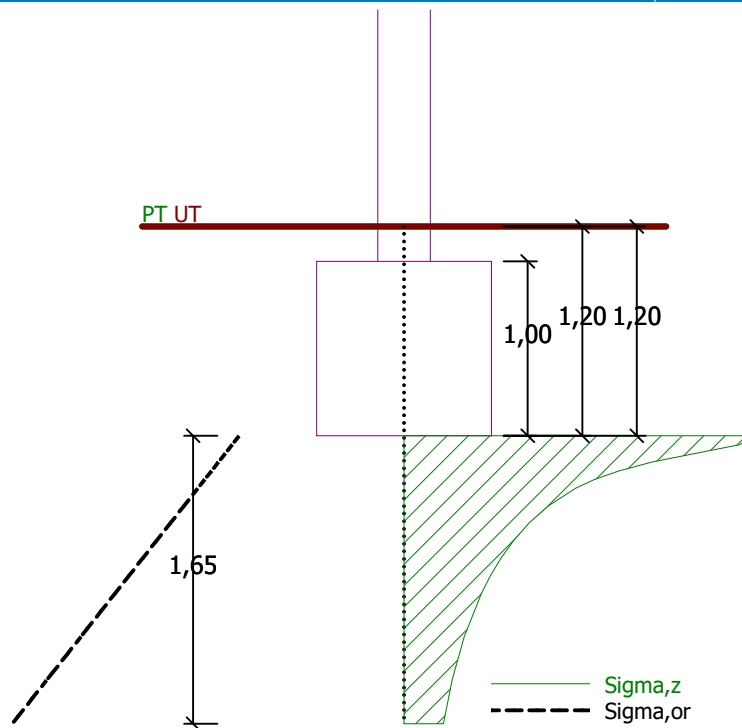
Hloubka deformační zóny = 1,65 m

Natočení ve směru x = 0,021 (\tan^*1000); ($1,2E-03$ °)

Natočení ve směru y = 0,147 (\tan^*1000); ($8,4E-03$ °)

Název : 2.MS

Fáze - výpočet : 1 - 1



Dimenzace čís. 1

Výpočet proveden s automatickým výběrem nejnepříznivějších zatěžovacích stavů.

Posouzení podélné výztuže základu ve směru x

Maximální vyložení patky je menší než $0,50 \cdot$ tloušťka patky, výztuž není nutná.

Posouzení podélné výztuže základu ve směru y

Profil vložky = 16,0 mm
Počet vložek = 10
Krytí výztuže = 50,0 mm
Šířka průřezu = 1,00 m
Výška průřezu = 1,00 m

Stupeň vyztužení $\rho = 0,21 \% > 0,13 \% = \rho_{\min}$
Poloha neutrálné osy $x = 0,08 \text{ m} < 0,58 \text{ m} = x_{\max}$
Moment na mezi únosnosti $M_{Rd} = 794,82 \text{ kNm} > 32,99 \text{ kNm} = M_{Ed}$

Průřez VYHOVUJE.

Posouzení základu na protlačení

Normálová síla v sloupu = 72,37 kN

Maximální únosnost na obvodu sloupu

Síla přenesená roznášením do zákl. půdy = 4,34 kN
Síla přenášená smykovou pevností ŽB = 68,03 kN
Uvažovaný obvod sloupu $u_0 = 1,20 \text{ m}$
Smykové napětí na obvodu sloupu $v_{Ed,\max} = 0,31 \text{ MPa}$
Únosnost na obvodu sloupu $v_{Rd,\max} = 2,94 \text{ MPa}$

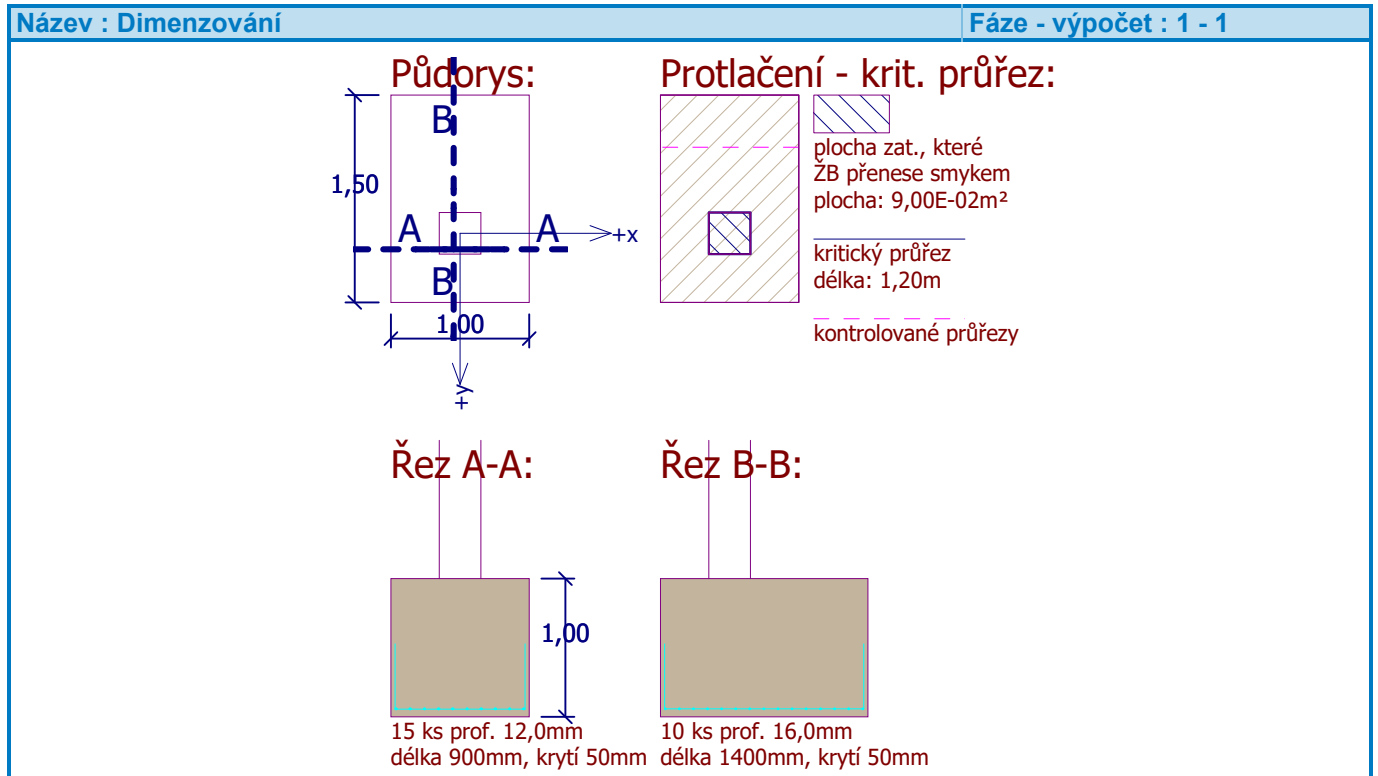
Kritický průřez bez smykové výztuže

Síla přenesená roznášením do zákl. půdy = 54,11 kN
Síla přenášená smykovou pevností ŽB = 18,26 kN

Vzdálenost průřezu od sloupu = 0,47 m
 Délka průřezu u = 1,00 m
 Smykové napětí na průřezu $v_{Ed} = 0,07$ MPa
 Únosnost nevyztuženého průřezu $v_{Rd,c} = 1,11$ MPa

$v_{Ed} < v_{Rd,c} \Rightarrow$ Výztuž není nutná

Základ na protlačení VYHOVUJE



Posouzení plošného základu

Vstupní data

Projekt

Akce : RNR - SO 664 - ZÁKLADOVÁ PATKA

Část : PATKA MO C1-OSA 4 (PATKA C.4)

Popis : BEZ IGP DANÉ LOKALITY, PO ODKRYTÍ STÁVAJÍCÍCH VRSTEV JE NUTNÉ OVĚŘIT STAV KONSTRUKČNÍCH VRSTEV V NÁSYPU, TVAR A DIMENZI PATKY PAK PŘÍZPŮBIT SKUTEČNÉ GEOLOGII A ÚNOSNOSTI ZÁKLADOVÉ SPÁRY

Datum : 24.10.2024

Nastavení

Standardní - EN 1997 - DA2

Materiály a normy

Betonové konstrukce : EN 1992-1-1 (EC2)

Součinitele EN 1992-1-1 : standardní

Sedání

Metoda výpočtu : ČSN 73 1001 (Výpočet pomocí edometrického modulu)

Omezení deformační zóny : procentem Sigma,Or

Koef. omezení deformační zóny : 10,0 [%]

Patky

Posouzení tažené patky : standardní postup

Dovolená excentricita : 0,333

Metodika posouzení : výpočet podle EN1997

Návrhový přístup : 2 - redukce zatížení a odporu

Součinitele redukce zatížení (F)			
Trvalá návrhová situace			
		Nepříznivé	Příznivé
Stálé zatížení :	$\gamma_G =$	1,35 [-]	1,00 [-]

Součinitele redukce odporu (R)			
Trvalá návrhová situace			
Součinitel redukce svislé únosnosti :		$\gamma_{Rvs} =$	1,40 [-]
Součinitel redukce vodorovné únosnosti :		$\gamma_{Rhs} =$	1,10 [-]

Základní parametry zemín

Číslo	Název	Vzorek	φ_{ef} [°]	c_{ef} [kPa]	γ [kN/m ³]	γ_{su} [kN/m ³]	δ [°]
1	Třída G2, středně ulehlá		35,50	0,00	20,00	10,00	

Pro výpočet tlaku v klidu jsou všechny zeminy zadány jako nesoudržné.

Parametry zemín

Třída G2, středně ulehlá

Objemová tíha : $\gamma = 20,00 \text{ kN/m}^3$ Úhel vnitřního tření : $\varphi_{ef} = 35,50^\circ$ Soudržnost zeminy : $c_{ef} = 0,00 \text{ kPa}$ Edometrický modul : $E_{oed} = 161,00 \text{ MPa}$ Obj.tíha sat.zeminy : $\gamma_{sat} = 20,00 \text{ kN/m}^3$

Založení

Typ základu: centrická patka

Hloubka od původního terénu $h_z = 1,20$ m

Hloubka základové spáry $d = 1,20$ m

Tloušťka základu $t = 1,00$ m

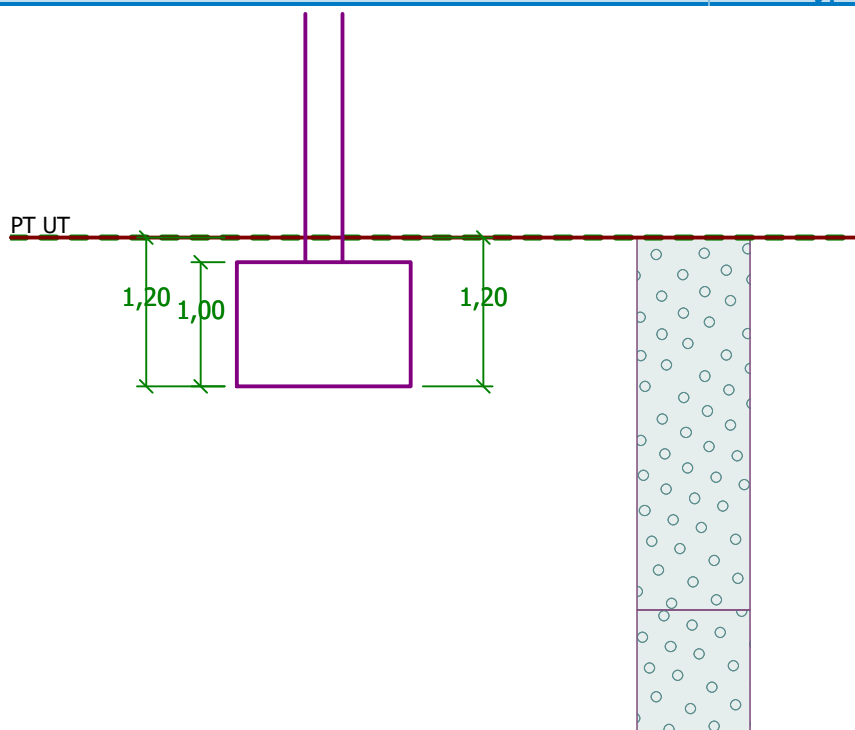
Sklon upraveného terénu $s_1 = 0,00^\circ$

Sklon základové spáry $s_2 = 0,00^\circ$

Objemová tíha zeminy nad základem = $20,00$ kN/m³

Název : Založení

Fáze - výpočet : 1 - 0



Geometrie konstrukce

Typ základu: centrická patka

Délka patky $x = 1,40$ m

Šířka patky $y = 1,40$ m

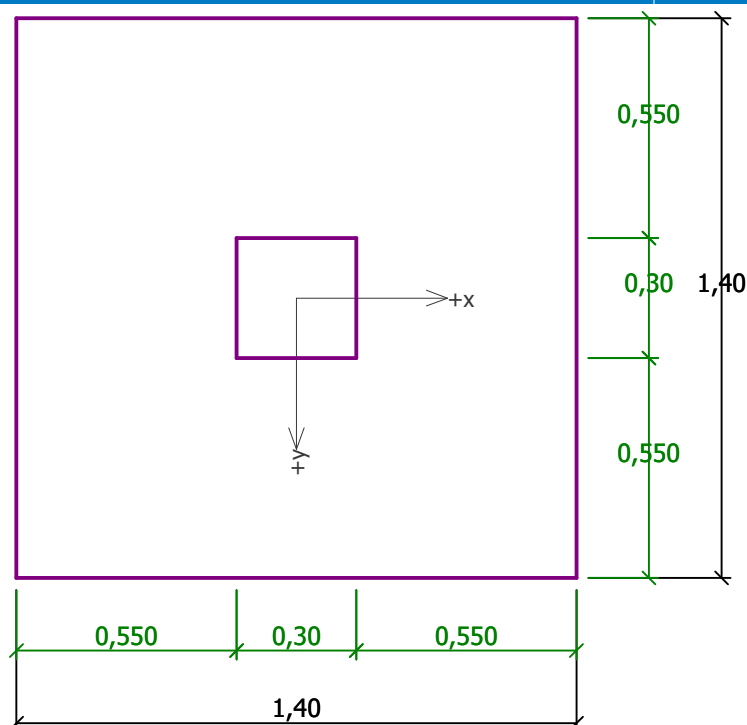
Šířka sloupu ve směru x $c_x = 0,30$ m

Šířka sloupu ve směru y $c_y = 0,30$ m

Objem patky = $1,96$ m³

Název : Geometrie

Fáze - výpočet : 1 - 0



Materiál konstrukce

Objemová tíha $\gamma = 23,00 \text{ kN/m}^3$

Výpočet betonových konstrukcí proveden podle normy EN 1992-1-1 (EC2).

Beton : C 20/25

Válcová pevnost v tlaku

$$f_{ck} = 20,00 \text{ MPa}$$

Pevnost v tahu

$$f_{ctm} = 2,20 \text{ MPa}$$

Modul pružnosti

$$E_{cm} = 30000,00 \text{ MPa}$$

Ocel podélná : B500

Mez kluzu

$$f_{yk} = 500,00 \text{ MPa}$$

Ocel příčná: B500

Mez kluzu

$$f_{yk} = 500,00 \text{ MPa}$$

Geologický profil a přiřazení zemín

Číslo	Vrstva [m]	Přiřazená zemina	Vzorek
1	3,00	Třída G2, středně ulehlá	
2	-	Třída G2, středně ulehlá	

Zatížení

Číslo	Zatížení		Název	Typ	N [kN]	M_x [kNm]	M_y [kNm]	H_x [kN]	H_y [kN]
	nové	změna							
1	Ano		Zatížení č. 1	Návrhové	1,75	0,00	0,00	0,30	-1,13
2	Ano		Zatížení č. 2	Návrhové	84,28	0,00	0,00	-0,40	-2,37
3	Ano		Zatížení č. 3	Návrhové	5,80	0,00	0,00	-0,29	1,24
4	Ano		Zatížení č. 4	Návrhové	1,12	0,00	0,00	0,26	-1,60
5	Ano		Zatížení č. 5	Návrhové	105,59	0,00	0,00	-1,18	-0,40

Číslo	Zatížení		Název	Typ	N [kN]	M _x [kNm]	M _y [kNm]	H _x [kN]	H _y [kN]
	nové	změna							
6	Ano		Zatížení č. 6	Návrhové	101,63	0,00	0,00	-1,30	-1,74
7	Ano		Zatížení č. 1 - provozní	Užitné	1,25	0,00	0,00	0,21	-0,81
8	Ano		Zatížení č. 2 - provozní	Užitné	60,20	0,00	0,00	-0,29	-1,69
9	Ano		Zatížení č. 3 - provozní	Užitné	4,14	0,00	0,00	-0,21	0,89
10	Ano		Zatížení č. 4 - provozní	Užitné	0,80	0,00	0,00	0,19	-1,14
11	Ano		Zatížení č. 5 - provozní	Užitné	75,42	0,00	0,00	-0,84	-0,29
12	Ano		Zatížení č. 6 - provozní	Užitné	72,59	0,00	0,00	-0,93	-1,24

Celkové nastavení výpočtu

Typ výpočtu : zadat únosnost základové půdy R_d

Nastavení výpočtu fáze

Návrhová situace : trvalá

Posouzení čís. 1

Posouzení zatěžovacích stavů

Název	VI. tíha příznivě	e _x [m]	e _y [m]	σ [kPa]	R _d [kPa]	Využití [%]	Vyhovuje
Zatížení č. 1	Ano	0,01	0,02	28,79	128,57	22,39	Ano
Zatížení č. 1	Ne	0,00	0,02	38,16	128,57	29,68	Ano
Zatížení č. 2	Ano	0,00	0,02	71,89	128,57	55,91	Ano
Zatížení č. 2	Ne	0,00	0,02	81,27	128,57	63,21	Ano
Zatížení č. 3	Ano	0,00	-0,02	30,93	128,57	24,05	Ano
Zatížení č. 3	Ne	0,00	-0,02	40,30	128,57	31,35	Ano
Zatížení č. 4	Ano	0,00	0,03	28,81	128,57	22,40	Ano
Zatížení č. 4	Ne	0,00	0,02	38,17	128,57	29,69	Ano
Zatížení č. 5	Ano	-0,01	0,00	81,85	128,57	63,66	Ano
Zatížení č. 5	Ne	-0,01	0,00	91,24	128,57	70,96	Ano
Zatížení č. 6	Ano	-0,01	0,01	80,93	128,57	62,95	Ano
Zatížení č. 6	Ne	-0,01	0,01	90,31	128,57	70,24	Ano

Výpočet proveden s automatickým výběrem nejnepříznivějších zatěžovacích stavů.

Spočtená vlastní tíha patky G = 60,86 kN

Spočtená tíha nadloží Z = 10,10 kN

Posouzení svislé únosnosti

Tvar kontaktního napětí : obdélník

Nejnepříznivější zatěžovací stav číslo 5. (Zatížení č. 5)

Únosnost základové půdy R_d = 180,00 kPa

Parametry smykové plochy pod základem:

Hloubka smykové plochy z_{sp} = 2,66 m

Dosah smykové plochy l_{sp} = 8,76 m

Výpočtová únosnost zákl. půdy R_d = 128,57 kPa

Extrémní kontaktní napětí σ = 91,24 kPa

Svislá únosnost VYHOVUJE

Posouzení excentricity zatížení

Max. excentricita ve směru délky patky $e_x = 0,006 < 0,333$

Max. excentricita ve směru šířky patky $e_y = 0,021 < 0,333$

Max. prostorová excentricita $e_t = 0,022 < 0,333$

Excentricita zatížení základu VYHOVUJE

Posouzení vodorovné únosnosti

Nejnepříznivější zatěžovací stav číslo 4. (Zatížení č. 4)

Zemní odpor: klidový

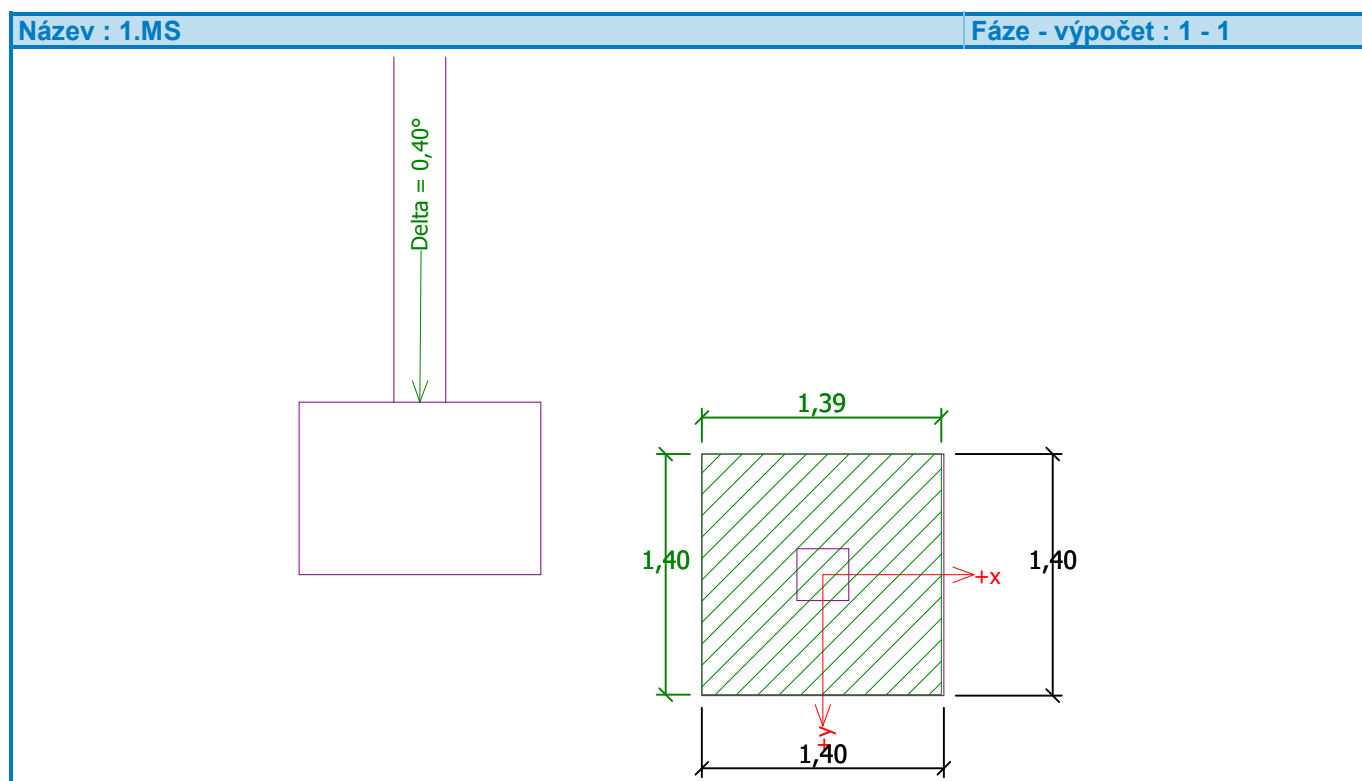
Výpočtová velikost zemního odporu $S_{pd} = 8,22 \text{ kN}$

Horizontální únosnost základu $R_{dh} = 42,28 \text{ kN}$

Extrémní horizontální síla $H = 1,62 \text{ kN}$

Vodorovná únosnost VYHOVUJE

Únosnost základu VYHOVUJE



Posouzení čís. 1

Sednutí a natočení základu - vstupní data

Výpočet proveden s automatickým výběrem nejnepříznivějších zatěžovacích stavů.

Výpočet proveden s uvažováním koeficientu κ_1 (vliv hloubky založení).

Napětí v základové spáře uvažováno od upraveného terénu.

Spočtená vlastní tíha patky $G = 45,08 \text{ kN}$

Spočtená tíha nadloží $Z = 7,48 \text{ kN}$

Sednutí středu hrany x - 1 = 0,1 mm

Sednutí středu hrany x - 2 = 0,1 mm

Sednutí středu hrany y - 1 = 0,1 mm

Sednutí středu hrany y - 2 = 0,1 mm

Sednutí středu základu = 0,2 mm

Sednutí charakterist. bodu = 0,2 mm
(1-hrana max.tlačená; 2-hrana min.tlačená)

Sednutí a natočení základu - výsledky

Tuhost základu:

Spočtený vážený průměrný modul přetvárnosti $E_{def} = 144,90 \text{ MPa}$

Základ je ve směru délky tuhý ($k=75,45$)

Základ je ve směru šířky tuhý ($k=75,45$)

Posouzení excentricity zatížení

Max. excentricita ve směru délky patky $e_x = 0,005 < 0,333$

Max. excentricita ve směru šířky patky $e_y = 0,015 < 0,333$

Max. prostorová excentricita $e_t = 0,015 < 0,333$

Excentricita zatížení základu VYHOVUJE

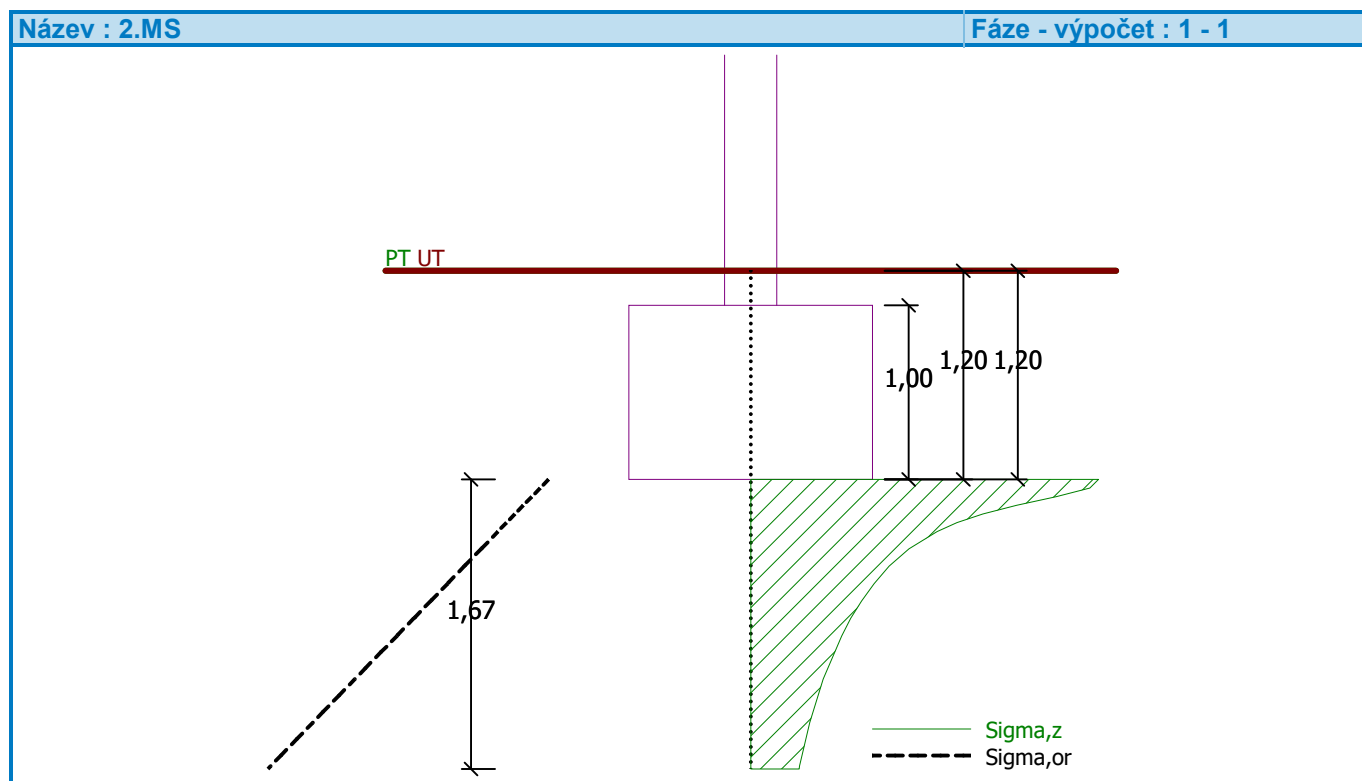
Celkové sednutí a natočení základu:

Sednutí základu = 0,2 mm

Hloubka deformační zóny = 1,67 m

Natočení ve směru x = 0,005 ($\tan \cdot 1000$); ($2,8E-04^\circ$)

Natočení ve směru y = 0,009 ($\tan \cdot 1000$); ($4,9E-04^\circ$)



Dimenzace čís. 1

Výpočet proveden s automatickým výběrem nejnepříznivějších zatěžovacích stavů.

Posouzení podélné výztuže základu ve směru x

Profil vložky = 16,0 mm

Počet vložek = 14

Krytí výztuže = 50,0 mm

Šířka průřezu = 1,40 m

Výška průřezu = 1,00 m

Stupeň vyztužení $\rho = 0,21 \% > 0,13 \% = \rho_{min}$

Poloha neutrálné osy $x = 0,08 \text{ m} < 0,58 \text{ m} = x_{max}$

Moment na mezi únosnosti $M_{Rd} = 1112,75 \text{ kNm} > 12,50 \text{ kNm} = M_{Ed}$

Průřez VYHOVUJE.

Posouzení podélné výztuže základu ve směru y

Profil vložky = 16,0 mm

Počet vložek = 14

Krytí výztuže = 50,0 mm

Šířka průřezu = 1,40 m

Výška průřezu = 1,00 m

Stupeň vyztužení $\rho = 0,21 \% > 0,13 \% = \rho_{min}$

Poloha neutrálné osy $x = 0,08 \text{ m} < 0,58 \text{ m} = x_{max}$

Moment na mezi únosnosti $M_{Rd} = 1112,75 \text{ kNm} > 12,31 \text{ kNm} = M_{Ed}$

Průřez VYHOVUJE.

Posouzení základu na protlačení

Normálová síla v sloupu = 105,59 kN

Maximální únosnost na obvodu sloupu

Síla přenesená roznášením do zákl. půdy = 4,85 kN

Síla přenášená smykovou pevností ŽB = 100,74 kN

Uvažovaný obvod sloupu $u_0 = 1,20 \text{ m}$

Smykové napětí na obvodu sloupu $V_{Ed,max} = 0,09 \text{ MPa}$

Únosnost na obvodu sloupu $V_{Rd,max} = 2,94 \text{ MPa}$

Kritický průřez bez smykové výztuže

Síla přenesená roznášením do zákl. půdy = 72,83 kN

Síla přenášená smykovou pevností ŽB = 32,76 kN

Vzdálenost průřezu od sloupu = 0,47 m

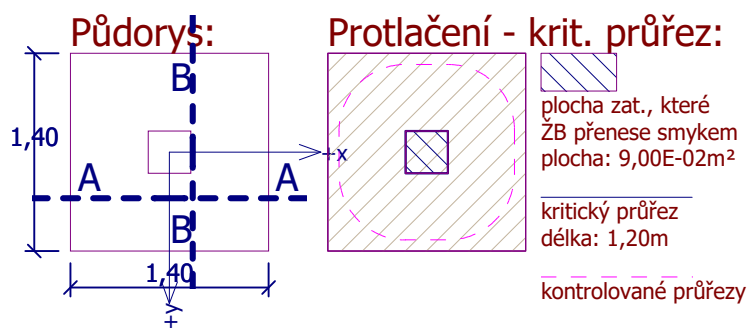
Délka průřezu $u = 4,16 \text{ m}$

Smykové napětí na průřezu $V_{Ed} = 0,01 \text{ MPa}$

Únosnost nevyztuženého průřezu $V_{Rd,c} = 1,12 \text{ MPa}$

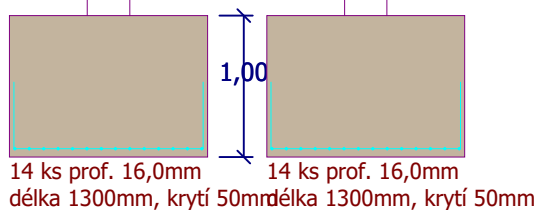
$V_{Ed} < V_{Rd,c} \Rightarrow$ Výztuž není nutná

Základ na protlačení VYHOVUJE



Řez A-A:

Řez B-B:



Posouzení plošného základu

Vstupní data

Projekt

Akce : RNR - SO 664 - ZÁKLADOVÁ PATKA
Část : PATKA MO C1 AŽ C8-OSA 5 (PATKY C.5)
Popis : BEZ IGP DANÉ LOKALITY, PO ODKRYTÍ STÁVAJÍCÍCH VRSTEV JE NUTNÉ OVĚŘIT STAV KONSTRUKČNÍCH VRSTEV V NÁSYPU, TVAR A DIMENZI PATKY PAK PŘÍZPŮSOBIT SKUTEČNÉ GEOLOGII A ÚNOSNOSTI ZÁKLADOVÉ SPÁRY
Datum : 24.10.2024

Nastavení

Standardní - EN 1997 - DA2

Materiály a normy

Betonové konstrukce : EN 1992-1-1 (EC2)
Součinitele EN 1992-1-1 : standardní

Sedání

Metoda výpočtu : ČSN 73 1001 (Výpočet pomocí edometrického modulu)
Omezení deformační zóny : procentem Sigma,Or
Koef. omezení deformační zóny : 10,0 [%]

Patky

Posouzení tažené patky : standardní postup
Dovolená excentricita : 0,333
Metodika posouzení : výpočet podle EN1997
Návrhový přístup : 2 - redukce zatížení a odporu

Součinitele redukce zatížení (F)			
Trvalá návrhová situace			
		Nepříznivé	Příznivé
Stálé zatížení :	$\gamma_G =$	1,35 [-]	1,00 [-]

Součinitele redukce odporu (R)			
Trvalá návrhová situace			
Součinitel redukce svislé únosnosti :		$\gamma_{Rvs} =$	1,40 [-]
Součinitel redukce vodorovné únosnosti :		$\gamma_{Rhs} =$	1,10 [-]

Základní parametry zemín

Číslo	Název	Vzorek	φ_{ef} [°]	c_{ef} [kPa]	γ [kN/m ³]	γ_{su} [kN/m ³]	δ [°]
1	Třída G2, středně ulehlá		35,50	0,00	20,00	10,00	

Pro výpočet tlaku v klidu jsou všechny zeminy zadány jako nesoudržné.

Parametry zemín

Třída G2, středně ulehlá

Objemová tíha : $\gamma = 20,00$ kN/m³
Úhel vnitřního tření : $\varphi_{ef} = 35,50$ °
Soudržnost zeminy : $c_{ef} = 0,00$ kPa
Edometrický modul : $E_{oed} = 161,00$ MPa
Obj.tíha sat.zeminy : $\gamma_{sat} = 20,00$ kN/m³

Založení

Typ základu: centrická patka

Hloubka od původního terénu $h_z = 1,20$ m

Hloubka základové spáry $d = 1,20$ m

Tloušťka základu $t = 1,00$ m

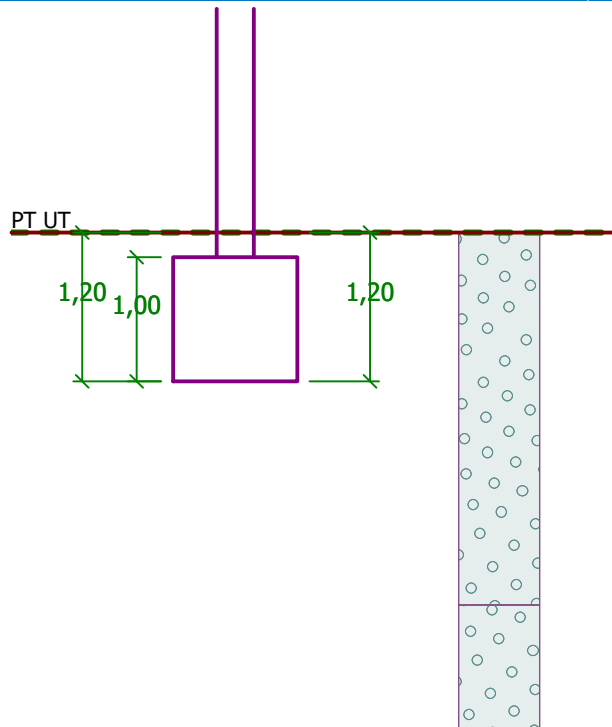
Sklon upraveného terénu $s_1 = 0,00^\circ$

Sklon základové spáry $s_2 = 0,00^\circ$

Objemová tíha zeminy nad základem = $20,00$ kN/m³

Název : Založení

Fáze - výpočet : 1 - 0



Geometrie konstrukce

Typ základu: centrická patka

Délka patky $x = 1,00$ m

Šířka patky $y = 1,00$ m

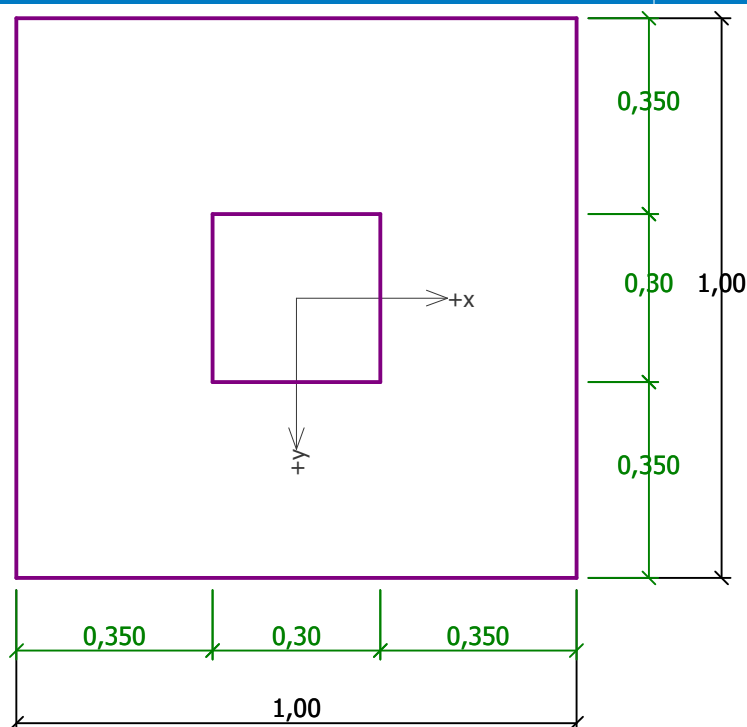
Šířka sloupu ve směru x $c_x = 0,30$ m

Šířka sloupu ve směru y $c_y = 0,30$ m

Objem patky = $1,00$ m³

Název : Geometrie

Fáze - výpočet : 1 - 0



Materiál konstrukce

Objemová tíha $\gamma = 23,00 \text{ kN/m}^3$

Výpočet betonových konstrukcí proveden podle normy EN 1992-1-1 (EC2).

Beton : C 20/25

Válcová pevnost v tlaku

$$f_{ck} = 20,00 \text{ MPa}$$

Pevnost v tahu

$$f_{ctm} = 2,20 \text{ MPa}$$

Modul pružnosti

$$E_{cm} = 30000,00 \text{ MPa}$$

Ocel podélná : B500

Mez kluzu

$$f_{yk} = 500,00 \text{ MPa}$$

Ocel příčná : B500

Mez kluzu

$$f_{yk} = 500,00 \text{ MPa}$$

Geologický profil a přiřazení zemin

Číslo	Vrstva [m]	Přiřazená zemina	Vzorek
1	3,00	Třída G2, středně ulehlá	
2	-	Třída G2, středně ulehlá	

Zatížení

Číslo	Zatížení		Název	Typ	N [kN]	M_x [kNm]	M_y [kNm]	H_x [kN]	H_y [kN]
	nové	změna							
1	Ano		Zatížení č. 1	Návrhové	9,25	0,00	0,00	-1,86	-2,20
2	Ano		Zatížení č. 2	Návrhové	24,79	0,00	0,00	2,24	-5,62
3	Ano		Zatížení č. 3	Návrhové	28,19	0,00	0,00	1,38	-7,25
4	Ano		Zatížení č. 4	Návrhové	26,84	0,00	0,00	-0,12	4,39
5	Ano		Zatížení č. 5	Návrhové	1,73	0,00	0,00	-1,04	1,38

Číslo	Zatížení		Název	Typ	N [kN]	M _x [kNm]	M _y [kNm]	H _x [kN]	H _y [kN]
	nové	změna							
6	Ano		Zatížení č. 6	Návrhové	38,16	0,00	0,00	1,24	-1,67
7	Ano		Zatížení č. 1 - provozní	Užitné	6,61	0,00	0,00	-1,33	-1,57
8	Ano		Zatížení č. 2 - provozní	Užitné	17,71	0,00	0,00	1,60	-4,01
9	Ano		Zatížení č. 3 - provozní	Užitné	20,14	0,00	0,00	0,99	-5,18
10	Ano		Zatížení č. 4 - provozní	Užitné	19,17	0,00	0,00	-0,09	3,14
11	Ano		Zatížení č. 5 - provozní	Užitné	1,24	0,00	0,00	-0,74	0,99
12	Ano		Zatížení č. 6 - provozní	Užitné	27,26	0,00	0,00	0,89	-1,19

Celkové nastavení výpočtu

Typ výpočtu : zadat únosnost základové půdy R_d

Nastavení výpočtu fáze

Návrhová situace : trvalá

Posouzení čís. 1

Posouzení zatěžovacích stavů

Název	VI. tíha příznivě	e _x [m]	e _y [m]	σ [kPa]	R _d [kPa]	Využití [%]	Vyhovuje
Zatížení č. 1	Ano	-0,05	0,06	45,63	128,57	35,49	Ano
Zatížení č. 1	Ne	-0,04	0,05	54,58	128,57	42,45	Ano
Zatížení č. 2	Ano	0,04	0,11	72,09	128,57	56,07	Ano
Zatížení č. 2	Ne	0,04	0,09	80,48	128,57	62,60	Ano
Zatížení č. 3	Ano	0,03	0,13	78,49	128,57	61,05	Ano
Zatížení č. 3	Ne	0,02	0,11	86,61	128,57	67,37	Ano
Zatížení č. 4	Ano	0,00	-0,08	64,27	128,57	49,99	Ano
Zatížení č. 4	Ne	0,00	-0,07	73,29	128,57	57,00	Ano
Zatížení č. 5	Ano	-0,04	-0,05	33,91	128,57	26,38	Ano
Zatížení č. 5	Ne	-0,03	-0,04	43,05	128,57	33,48	Ano
Zatížení č. 6	Ano	0,02	0,03	71,04	128,57	55,25	Ano
Zatížení č. 6	Ne	0,02	0,02	80,31	128,57	62,46	Ano

Výpočet proveden s automatickým výběrem nejnepříznivějších zatěžovacích stavů.

Spočtená vlastní tíha patky G = 31,05 kN

Spočtená tíha nadloží Z = 4,91 kN

Posouzení svislé únosnosti

Tvar kontaktního napětí : obdélník

Nejnepříznivější zatěžovací stav číslo 3. (Zatížení č. 3)

Únosnost základové půdy R_d = 180,00 kPa

Parametry smykové plochy pod základem:

Hloubka smykové plochy z_{sp} = 1,90 m

Dosah smykové plochy l_{sp} = 6,26 m

Výpočtová únosnost zákl. půdy R_d = 128,57 kPa

Extrémní kontaktní napětí σ = 86,61 kPa

Svislá únosnost VYHOVUJE

Posouzení excentricity zatížení

Max. excentricita ve směru délky patky $e_x = 0,052 < 0,333$

Max. excentricita ve směru šířky patky $e_y = 0,132 < 0,333$

Max. prostorová excentricita $e_t = 0,135 < 0,333$

Excentricita zatížení základu VYHOVUJE

Posouzení vodorovné únosnosti

Nejnepříznivější zatěžovací stav číslo 3. (Zatížení č. 3)

Zemní odpor: klidový

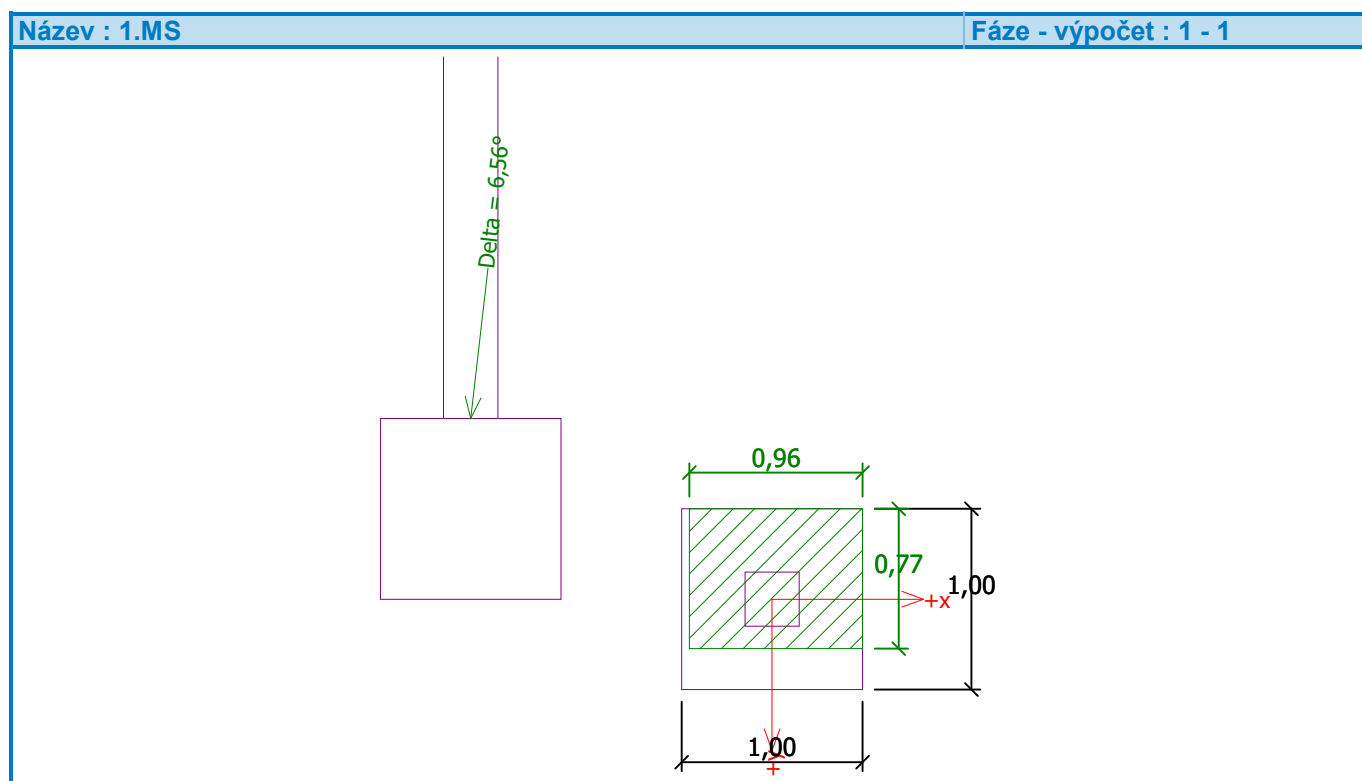
Výpočtová velikost zemního odporu $S_{pd} = 5,87$ kN

Horizontální únosnost základu $R_{dh} = 40,89$ kN

Extrémní horizontální síla $H = 7,38$ kN

Vodorovná únosnost VYHOVUJE

Únosnost základu VYHOVUJE



Posouzení čís. 1

Sednutí a natočení základu - vstupní data

Výpočet proveden s automatickým výběrem nejnepříznivějších zatěžovacích stavů.

Výpočet proveden s uvažováním koeficientu κ_1 (vliv hloubky založení).

Napětí v základové spáře uvažováno od upraveného terénu.

Spočtená vlastní tíha patky $G = 23,00$ kN

Spočtená tíha nadloží $Z = 3,64$ kN

Sednutí středu hrany x - 1 = 0,1 mm

Sednutí středu hrany x - 2 = 0,1 mm

Sednutí středu hrany y - 1 = 0,1 mm

Sednutí středu hrany y - 2 = 0,1 mm

Sednutí středu základu = 0,1 mm

Sednutí charakterist. bodu = 0,1 mm
 (1-hrana max.tlačená; 2-hrana min.tlačená)

Sednutí a natočení základu - výsledky

Tuhost základu:

Spočtený vážený průměrný modul přetvárnosti $E_{def} = 144,90 \text{ MPa}$

Základ je ve směru délky tuhý ($k=207,04$)

Základ je ve směru šířky tuhý ($k=207,04$)

Posouzení excentricity zatížení

Max. excentricita ve směru délky patky $e_x = 0,040 < 0,333$

Max. excentricita ve směru šířky patky $e_y = 0,111 < 0,333$

Max. prostorová excentricita $e_t = 0,113 < 0,333$

Excentricita zatížení základu VYHOVUJE

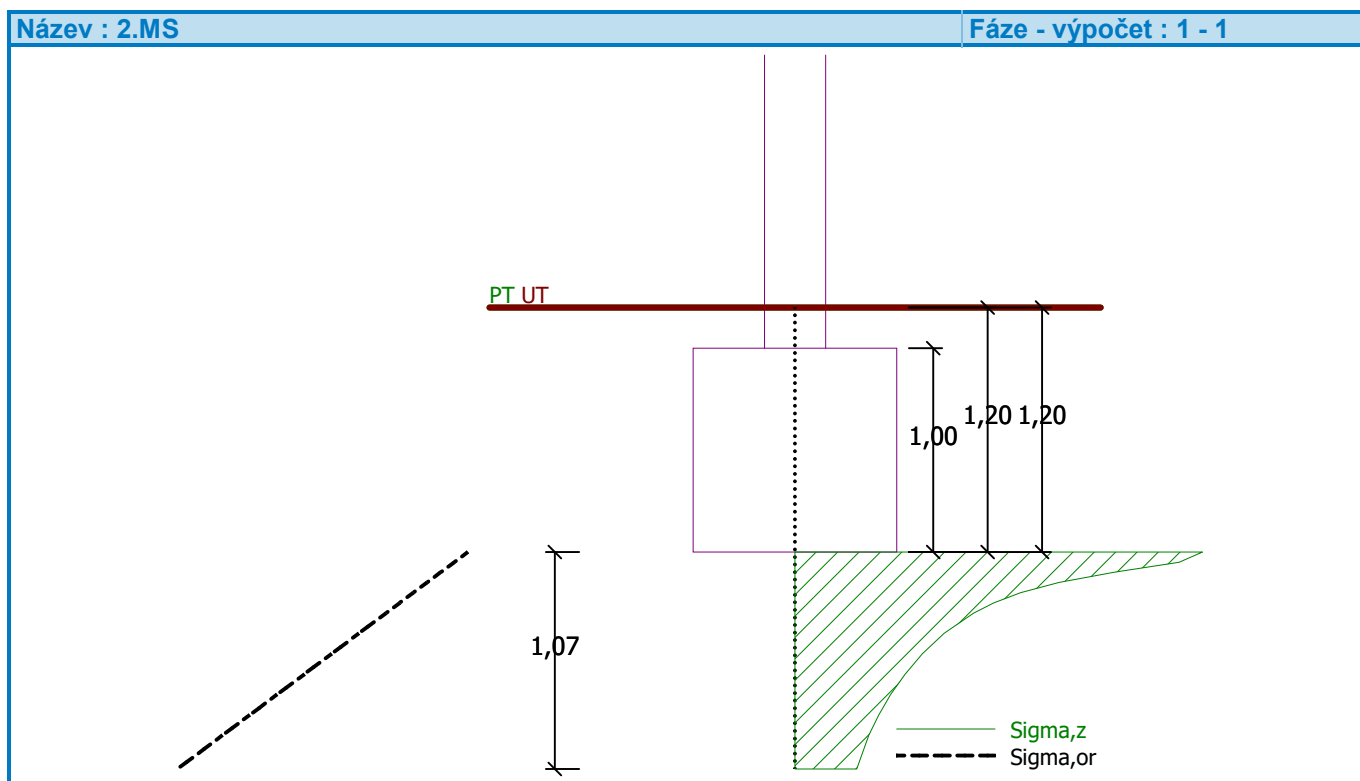
Celkové sednutí a natočení základu:

Sednutí základu = 0,1 mm

Hloubka deformační zóny = 1,07 m

Natočení ve směru x = 0,023 ($\tan \cdot 1000$); ($1,3E-03^\circ$)

Natočení ve směru y = 0,085 ($\tan \cdot 1000$); ($4,9E-03^\circ$)



Dimenzace čís. 1

Výpočet proveden s automatickým výběrem nejnepříznivějších zatěžovacích stavů.

Posouzení podélné výztuže základu ve směru x

Maximální vyložení patky je menší než $0,50 \cdot$ tloušťka patky, výztuž není nutná.

Posouzení podélné výztuže základu ve směru y

Maximální vyložení patky je menší než $0,50 \cdot$ tloušťka patky, výztuž není nutná.

Posouzení základu na protlačení

Normálová síla v sloupu = 38,16 kN

Maximální únosnost na obvodu sloupu

Síla přenesená roznášením do zákl. půdy	=	3,43 kN
Síla přenášená smykovou pevností ŽB	=	34,73 kN
Uvažovaný obvod sloupu	u_0	= 1,20 m
Smykové napětí na obvodu sloupu	$V_{Ed,max}$	= 0,03 MPa
Únosnost na obvodu sloupu	$V_{Rd,max}$	= 2,94 MPa

Základ na protlačení VYHOVUJE

